

5
3-50

Îndrumător
matematic

și tehnic

Traducere din limba rusă,
adaptată



EDITURA TEHNICĂ
București — 1964



Îndrumătorul matematic și tehnic cuprinde cinci părți:

— *Matematica*: cunoștințe generale, determinanți, ecuații liniare, geometria analitică, calculul diferențial, calculul integral, geometria diferențială, serii infinite, calculul vectorial, ecuații diferențiale, metode aproximative în analiză și se încheie cu o secțiune cuprinzând cele mai necesare tabele matematice.

— *Fizica*: mărimi fizice, prelucrarea rezultatelor experimentale, o secțiune specială cuprinzând cele mai uzuale tabele fizico-chimice, privind proprietățile generale ale corpurilor, acustica, fenomenele moleculare și căldura, fenomenele magnetice și electrice, optica structura atomului și procesele nucleare.

— *Mecanica*: cinematica, statica, dinamica.

— *Rezistența materialelor*: calculul și dimensionarea diferitelor corpuri supuse la solicitări: simple, elastice, compuse, dinamice și prin șoc.

— *Teoria mecanismelor și a mașinilor*: mecanisme, cuple cinematice, lanțuri cinematice, proprietățile structurale ale mecanismelor plane, al mecanismelor spațiale, solicitarea mecanismelor și echilibrarea lor, probleme de proiectare.

— Lucrarea se încheie cu un capitol cuprinzând *tabele de transformare a unităților nemetrice în unități metrice*.

Menționăm că s-a făcut adaptarea la normele și standardele noastre la toate capitolele unde aceasta s-a considerat necesară.

Lucrarea se adresează unui larg cerc de tehnicieni, ingineri cum și studenților din primii ani ai Institutelor Tehnice Superioare.

Краткий физико-технический справочник

под общей редакцией К. П. ЯКОВЛЕВА

Том первый: Математика. Физика

Том второй: Общая механика, сопротивление материалов,
теория механизмов и машин

Государственное издательство физико-математической литературы
Москва 1960

Pentru cititori

Această carte reprezintă o traducere din limba rusă, adaptată, după primele două volume ale lucrării apărute sub redacția generală a lui K. P. Iakovlev „Scurt îndreptar fizico-tehnic“.

Cele cinci părți au fost elaborate după cum urmează: *Matematica* — G. E. Lunț și A. R. Iampolski, *Fizica* — K. P. Iakovlev, *Mecanica generală* — G. N. Sveșnikov, *Rezistența materialelor* — I. K. Snitko, *Teoria mecanismelor și a mașinilor* — V. A. Zinoviev.

Trebuie să menționăm că autorii au expus materialul foarte concentrat; acolo unde a fost posibil au dat chiar numai formule, fără text explicativ (în deosebi în partea „Matematica“), cum și numeroase tabele și grafice. Această concentrare nu dăunează, însă, rigurozității.

Mai este de remarcat că tabelele numerice care însoțesc textul sînt alcătuite după ultimele date din literatura universală de specialitate.

În ceea ce privește adaptarea, aceasta se referă mai, cu seamă la părțile II—V, care au fost puse de acord cu normele prevăzute în standardele noastre privitoare la unități de măsură și notații.

Pentru apariția în cele mai bune condiții a acestei lucrări, am solicitat colaborarea prof. Gh. Buzdugan, membru corespondent al Acad. R.P.R., prof. Al. Davidescu, prof. N. Manolescu, prof. Edmond Nicolau și prof. R. Voinea, membru corespondent al Acad. R.P.R.

Sperăm că prin publicarea acestei lucrări vom veni în sprijinul tehnicienilor, inginerilor și studenților de la institutele tehnice, care vor găsi aici principalele formule și date numerice necesare în activitatea lor profesională.

Editura tehnică

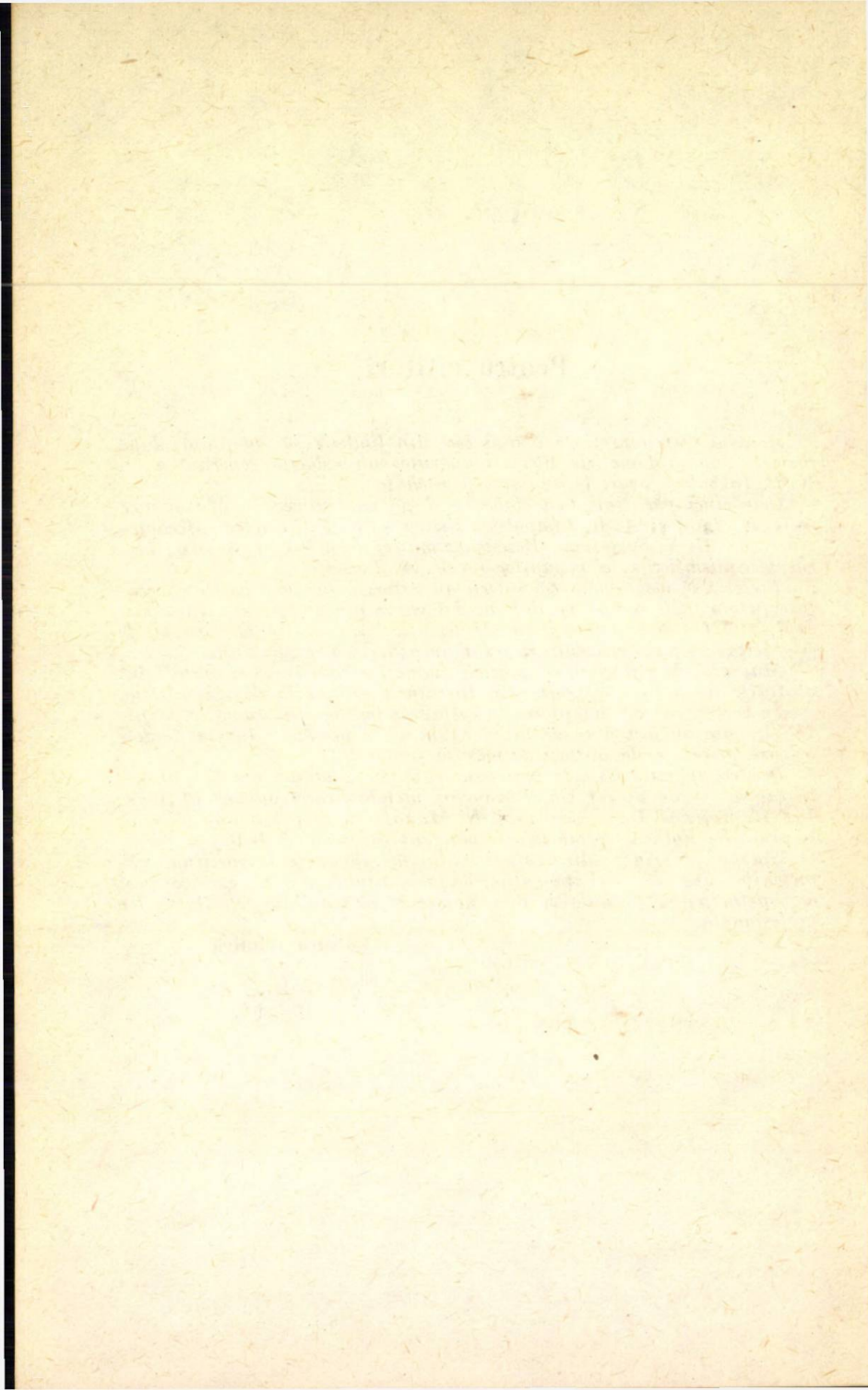


Tabla de materii

I *Matematica*

Notatii	19
1.1. Cîteva cunoștințe de matematică elementară.....	21
§ 1.1. Algebra	21
§ 1.2. Geometria	32
§ 1.3. Funcții trigonometrice circulare și funcții hiperbolice	53
1.2. Determinanți și sisteme de ecuații liniare.....	60
§ 1.4. Determinanți	60
§ 1.5. Sisteme de ecuații liniare.....	63
1.3. Geometria analitică	68
§ 1.6. Geometria analitică plană.....	68
§ 1.7. Geometria analitică în spațiu.....	83
1.4. Calculul diferențial	94
§ 1.8. Funcții de o variabilă.....	94
§ 1.9. Funcții de mai multe variabile.....	104
1.5. Calculul integral.....	109
§ 1.10. Integrala nedefinită	109
§ 1.11. Integrala definită	125
§ 1.12. Integrale multiple	139
§ 1.13. Integrala curbilinie	146
§ 1.14. Integrala de suprafață	151
1.6. Geometria diferențială	153
§ 1.15. Curbe plane	153
§ 1.16. Curbe în spațiu	167
§ 1.17. Suprafețe	172
1.7. Serii infinite	176
§ 1.18. Serii de numere	176
§ 1.19. Serii de funcții	181

1.8. Calculul vectorial	193
§ 1.20. Algebra vectorială	193
§ 1.21. Analiza vectorială	199
1.9. Ecuații diferențiale	204
§ 1.22. Ecuații de ordinul întâi	205
§ 1.23. Ecuații de ordine superioare	208
1.10. Metodele aproximative în analiză	216
§ 1.24. Rezolvarea aproximativă a ecuațiilor algebrice și transcendente	216
§ 1.25. Integrarea numerică (cuadraturi mecanice)	222
§ 1.26. Rezolvarea numerică a ecuațiilor diferențiale	225
§ 1.27. Metode grafice	231
Tabele matematice	234

2 Fizica

Notatii	421
2.1. Mărimile fizice, dimensiunile și unitățile lor de măsură	423
§ 2.1. Sistemul metric de măsură și sistemele fundamen- tale de unități	423
§ 2.2. Analiza dimensională	426
§ 2.3. Sistemul SI și trecerea de la un sistem de unități la altul	432
§ 2.4. Mărimile mecanice și acustice, dimensiunile și unitățile de măsură	436
§ 2.5. Mărimi moleculare și termice, dimensiunile și unitățile lor de măsură	440
§ 2.6. Mărimile electrice și magnetice, dimensiunile și unitățile lor de măsură	442
§ 2.7. Mărimile fotometrice și unitățile lor de măsură ..	445
§ 2.8. Mărimi și unități în fizica atomică și nucleară ..	447
§ 2.9. Constante fizice care se întâlnesc frecvent	453
2.2. Prelucrarea rezultatelor măsurărilor (elementele teoriei erorilor)	455
§ 2.10. Erori sistematice și întâmplătoare	455
§ 2.11. Erori absolute și relative	456
§ 2.12. Erorile rezultatului măsurărilor. Eroarea medie pătratică, eroarea probabilă și eroarea medie	457
§ 2.13. Determinarea erorilor funcțiilor după erorile argumentelor	459
§ 2.14. Exemple de calcul al erorilor rezultatelor măsurărilor	462
§ 2.15. Determinarea condițiilor celor mai favorabile pentru măsurări	465

2.3. Tabele fizice	467
§ 2.16. Proprietățile generale ale corpurilor.....	467
§ 2.17. Acustica	541
§ 2.18. Fenomene moleculare și căldura.....	547
§ 2.19. Fenomene magnetice și electrice.....	577
§ 2.20. Optica	595
§ 2.21. Structura atomului și procesele nucleare.....	604

3 *Mecanica*

Notății	637
---------------	-----

A. Cinematica

3.1. Cinematica punctului	638
§ 3.1. Sistemul de referință absolut.....	638
§ 3.2. Ecuațiile de mișcare ale punctului. Traiectoria..	640
§ 3.3. Viteza punctului	645
§ 3.4. Viteza areolară (sectorială).....	645
§ 3.5. Accelerația punctului	645
3.2. Cinematica rigidului	649
§ 3.6. Deplasările finite ale unui rigid.....	649
§ 3.7. Proprietatea generală a vitezelor punctelor unui rigid mobil	650
§ 3.8. Mișcarea de translație.....	651
§ 3.9. Mișcarea de rotație a rigidului.....	651
§ 3.10. Rotația în jurul unui punct fix.....	652
§ 3.11. Unghiurile lui Euler.....	653
§ 3.12. Accelerația unghiulară a rigidului în rotație....	655
§ 3.13. Accelerația punctelor rigidului în rotație....	656
§ 3.14. Mișcarea plană a rigidului.....	656
§ 3.15. Centrul instantaneu al vitezelor.....	658
§ 3.16. Centroide	659
§ 3.17. Accelerațiile punctelor figurii plane.....	660
§ 3.18. Cercurile lui Laguire și Bresse. Formula lui Savary	662
§ 3.19. Mișcarea cardanică	663
§ 3.20. Mișcarea rigidului liber	664
§ 3.21. Accelerația punctelor rigidului	666
3.3. Mișcarea compusă	666
§ 3.22. Mișcarea de transport, relativă și absolută.....	666
§ 3.23. Teorema paralelogramului vitezelor	667
§ 3.24. Compunerea rotațiilor în jurul axelor concurente	667
§ 3.25. Compunerea rotațiilor în jurul axelor paralele	668
§ 3.26. Compunerea mișcărilor de translație și de rotație	669

§ 3.27. Compunerea rotațiilor în jurul unor axe oarecare	669
§ 3.23. Accelerația punctului în mișcarea compusă.....	670

B. Statica

3.4. Statica punctului material	671
§ 3.29. Forța	671
§ 3.30. Echilibrul forțelor ce acționează asupra unui punct material	674
§ 3.31. Echilibrul punctului pe o suprafață netedă și pe o linie netedă.....	675
§ 3.32. Momentul unei forțe	676
3.5. Teoria geometrică a staticii rigidului.....	679
§ 3.33. Proprietățile forțelor exterioare aplicate unui rigid	679
§ 3.34. Forțe concurente	681
§ 3.35. Cupluri de forțe	682
§ 3.36. Reducerea unui sistem de forțe într-un punct dat	683
§ 3.37. Invariantii reducerii	686
§ 3.33. Axa centrală	686
§ 3.39. Condițiile necesare de echilibru ale unui rigid..	687
§ 3.40. Sistemul plan de forțe.....	689
§ 3.41. Metoda grafică de reducere a sistemului plan de forțe	690
§ 3.42. Forțe paralele	692
§ 3.43. Centrul de greutate	694
§ 3.44. Echilibrul unui corp greu rezemat pe un plan orizontal neted	701
§ 3.45. Virialul	702

C. Dinamica

3.6. Noțiunile de bază ale dinamicii punctului material.....	702
§ 3.46. Sisteme inerțiale de referință.....	702
§ 3.47. Masa punctului material	703
§ 3.48. Principiul independenței acțiunii forțelor....	703
§ 3.49. Forțele complementare	704
§ 3.50. Ecuatiile diferențiale ale mișcării punctului liber	704
§ 3.51. Mișcarea unui punct material greu.....	706
§ 3.52. Forțe centrale	707
§ 3.53. Căderea liberă a unui punct ținându-se seama de rotația Pământului	708
§ 3.54. Mișcarea rectilinie a punctului material.....	708
§ 3.55. Căderea pe verticală a unui punct material greu sub acțiunea rezistenței aerului proporțională cu pătratul vitezei	709

§ 3.56.	Oscilațiile rectilinii ale unui punct sub acțiunea unei forțe poziționale	709
§ 3.57.	Oscilațiile armonice ale punctului.....	710
§ 3.58.	Oscilații amortizate	711
§ 3.59.	Oscilațiile amortizate cu frecare constantă (Coulomb)	712
§ 3.60.	Mișcarea unui punct pe o curbă netedă dată....	713
§ 3.61.	Pendulul matematic circular	714
§ 3.62.	Mișcarea relativă a unui punct material pe o curbă netedă mobilă dată	716
§ 3.63.	Mișcarea unui punct pe o suprafață netedă dată	717
§ 3.64.	Pendulul sferic	718
3.7. Dinamica generală a sistemelor		719
§ 3.65.	Sisteme mecanice. Forțe interioare.....	719
§ 3.66.	Centrul de inerție	720
§ 3.67.	Teorema mișcării centrului de inerție.....	721
§ 3.68.	Impulsul	722
§ 3.69.	Ecuția lui Meşcerski pentru mișcarea de translație a unei rachete.....	724
§ 3.70.	Momentul cinetic al unui punct material.....	724
§ 3.71.	Momentul cinetic al unui sistem.....	726
§ 3.72.	Lucrul mecanic elementar al unei forțe.....	729
§ 3.73.	Cîmp de forțe	729
§ 3.74.	Energia cinetică a unui punct material.....	730
§ 3.75.	Energia cinetică a unui sistem.....	733
§ 3.76.	Sisteme conservative	736
3.8. Dinamica rigidului		736
§ 3.77.	Momentele de inerție ale unui rigid.....	736
§ 3.78.	Elipsoidul și tensorul momentelor de inerție..	739
§ 3.79.	Momentul cinetic al unui rigid.....	744
§ 3.80.	Ecuția diferențială a mișcării de rotație a unui rigid în jurul unei axe fixe	745
§ 3.81.	Reacțiunile în punctele fixe ale axei unui corp în rotație	746
§ 3.82.	Pendulul fizic	748
§ 3.83.	Oscilații de torsiune	749
§ 3.84.	Mișcarea plană a unui rigid	750
§ 3.85.	Lucrul mecanic elementar al forțelor aplicate în punctele unui rigid	750
§ 3.86.	Energia cinetică a unui rigid	752
§ 3.87.	Ecuțiile dinamice ale lui Euler pentru rotația unui rigid în jurul unui punct fix	753
§ 3.88.	Ecuțiile de mișcare ale unui rigid liber.....	754
§ 3.89.	Giroscopul	755
§ 3.90.	Precesia regulată a giroscopului	756
3.9. Statica analitică		757
§ 3.91.	Legături și deplasări virtuale	757
§ 3.92.	Coordonatele generalizate ale unui sistem.....	758
§ 3.93.	Lucrul mecanic virtual și forțele generalizate	760

§ 3.94. Funcția de forță generalizată	762
§ 3.95. Legături ideale și principiul deplasărilor virtuale	762
§ 3.96. Multiplicatorii lui Lagrange	763
§ 3.97. Ecuațiile de echilibru ale unui sistem olonom în coordonate generalizate	764
3.10. Principiul lui d'Alembert	765
§ 3.98. Forța de inerție	765
§ 3.99. Metoda cinetostatică	767
§ 3.100. Ecuația generală de mișcare a unui sistem cu legături ideale	768
3.11. Ecuațiile diferențiale de mișcare ale sistemelor olonome	769
§ 3.101. Ecuațiile lui Lagrange de speța întâia	769
§ 3.102. Viteze generalizate	769
§ 3.103. Energia cinetică în funcție de vitezele generalizate	771
§ 3.104. Lucrul mecanic virtual al forțelor de inerție	772
§ 3.105. Ecuațiile lui Lagrange de speța a doua	773
§ 3.106. Integrarea energiei	775
§ 3.107. Impulsuri generalizate	776
§ 3.108. Ecuații canonice	776
3.12. Micile oscilații ale sistemelor	777
§ 3.109. Echilibrul stabil	777
§ 3.110. Expresiile aproximative ale energiilor cinetice și potențială în cazul micilor oscilații	778
§ 3.111. Micile oscilații libere ale unui sistem cu un singur grad de libertate	779
§ 3.112. Micile oscilații libere ale unui sistem cu două grade de libertate	781
§ 3.113. Oscilațiile amortizate ale unui sistem cu un grad de libertate	782
§ 3.114. Oscilațiile forțate în cazul unei rezistențe	784
§ 3.115. Oscilații forțate fără rezistență	788
3.13. Ciocniri	790
§ 3.116. Percuții	790
§ 3.117. Ciocnirea unui punct cu o suprafață netedă fixă	792
§ 3.118. Ciocnirea normală centrală a două corpuri	793
§ 3.119. Acțiunea unei ciocniri asupra unui corp care se rotește în jurul axei fixe	794
§ 3.120. Variația energiei cinetice la ciocnirea datorită introducerii unei legături ideale de durată	795
§ 3.121. Variația energiei cinetice la ciocnirea normală centrală a corpurilor	795



4 Rezistența materialelor

Notății	799
4.1. Noțiuni generale asupra tensiunilor și deformațiilor.....	802
§ 4.1. Starca de tensiune	802
§ 4.2. Deformații	805
§ 4.3. Legea lui Hooke	806
§ 4.4. Teoriile de rezistență	809
§ 4.5. Concentrarea tensiunilor și rezistența la oboseală	811
§ 4.6. Forțe interioare în bare și plăci.....	814
4.2. Întinderea și comprimarea barelor.....	815
§ 4.7. Formule fundamentale	815
§ 4.8. Curba caracteristică de întindere. Caracteristici mecanice	816
§ 4.9. Rezistențe admisibile. Coeficient de siguranță Metode de calcul	819
§ 4.10. Luarea în considerare a greutateii proprii.....	839
§ 4.11. Probleme static nedeterminate	841
§ 4.12. Efectul temperaturii	842
§ 4.13. Tensiuni și deformații pe direcții înclinate....	843
§ 4.14. Înelitori subțiri de rotație.....	843
§ 4.15. Grinzi cu zăbrele	845
4.3. Porfecare	849
§ 4.16. Formule generale	849
§ 4.17. Îmbinări prin nituire	850
§ 4.18. Îmbinări prin sudură	851
§ 4.19. Îmbinări în lemn	852
4.4. Răsucire	852
§ 4.20. Formule pentru calculul diferitelor profile....	852
§ 4.21. Răsucirea pură și răsucirea împiedicată a profile- lor subțiri deschise	856
§ 4.22. Calculul unui arbore la răsucire.....	858
4.5. Încovoiere	859
§ 4.23. Formule de bază	859
§ 4.24. Caracteristici geometrice ale secțiunilor.....	861
§ 4.25. Formule ale momentelor de inerție și modulelor de rezistență	864
§ 4.26. Ecuații generale pentru bare drepte. Diagrame	874
§ 4.27. Grinzi de secțiune variabilă	881
§ 4.28. Grinzi static nedeterminate	886
§ 4.29. Grinzi pe teren elastic.....	894
§ 4.20. Cadre plane simple	901
§ 4.31. Bare curbe	905
§ 4.32. Calculul grinzilor solicitate la încovoiere	908

4.6. Plăci	912
§ 4.33. Plăci dreptunghiulare	912
§ 4.34. Plăci circulare și eliptice.....	916
4.7. Stabilitate elastică	919
§ 4.35. Ecuații generale pentru bare drepte.....	925
§ 4.36. Bare de secțiune variabilă	925
§ 4.37. Bare compuse și bare pe reazime elastice.....	927
§ 4.38. Inele și arce	929
§ 4.39. Plăci și învelitori	930
4.8. Solicitări compuse	931
§ 4.40. Încovoiere oblică și compresiune excentrică	931
§ 4.41. Răsucire cu încovoiere	934
4.9. Arcuri	935
§ 4.42. Arcul elicoidal	935
§ 4.43. Arcul conic	935
4.10. Vase cu pereți groși	936
§ 4.44. Calcule în regim elastic.....	936
§ 4.45. Calcule în stadiul plastic și elasto-plastic....	937
4.11. Solicitări dinamice	938
§ 4.46. Oscilațiile sistemelor cu un singur grad de liber- tate	938
§ 4.47. Oscilațiile sistemelor cu n grade de libertate....	941
§ 4.48. Solicitări prin șoc	943

5 *Teoria mecanismelor și mașinilor*

Notății	947
5.1. Structura mecanismelor	954
§ 5.1. Mecanism. Cuple cinematice. Lanț cinematic....	954
§ 5.2. Proprietăți structurale ale mecanismelor plane. Formarea sistemelor plane după Assur.....	957
5.2. Studiul cinematic al mecanismelor plane	960
§ 5.3. Determinarea pozițiilor elementelor.....	960
§ 5.4. Rezolvarea problemei vitezelor și accelerațiilor lor.....	962
5.3. Studiul cinematic al mecanismelor cu roți cu fricțiune și dințate	969
§ 5.5. Mecanisme obișnuite cu roți cu fricțiune și din- țate	969
§ 5.6. Mecanisme diferențiale și planetare.....	971

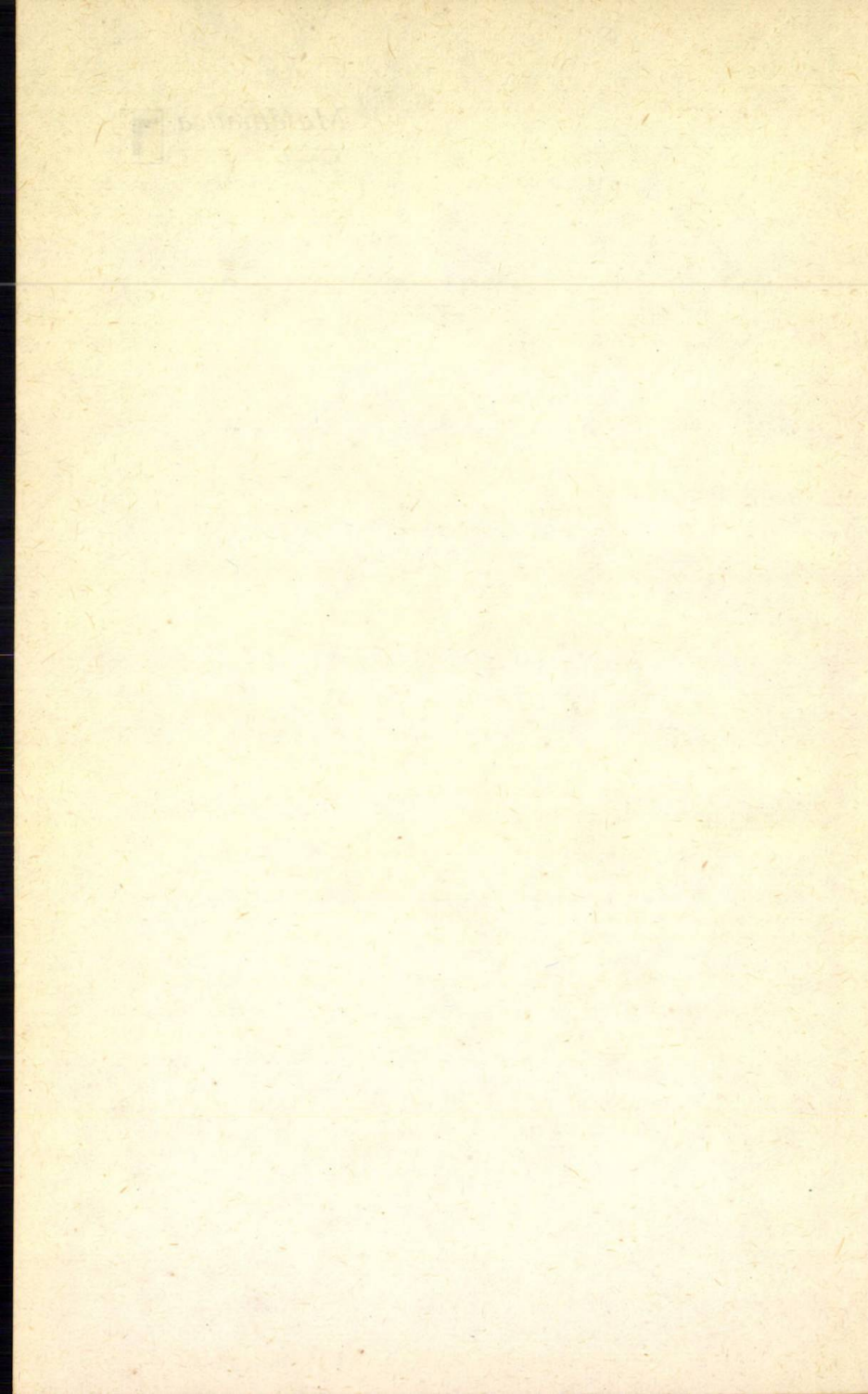
5.4. Studiul cinematic al mecanismelor plane cu camă și a mecanismelor de Malta	974
§ 5.7. Tipurile de mecanisme cu camă cu trei elemente	974
§ 5.8. Studiul cinematic al mecanismelor cu came....	975
§ 5.9. Mecanisme cu cruce de Malta.....	978
5.5. Studiul cinematic al câtorva mecanisme spațiale	978
§ 5.10. Relațiile de bază din geometria analitică.....	978
§ 5.11. Mecanismul bielă-manivelă	980
§ 5.12. Mecanismul manivelă-balansier	983
5.6. Teoria angrenării roților dințate	985
§ 5.13. Construirea unui profil, conjugat cu un profil dat	985
§ 5.14. Angrenarea în evolută	986
§ 5.15. Angrenarea cremalierei cu roata dințată.....	990
§ 5.16. Angrenarea roților conjugate cu același contur inițial	993
§ 5.17. Angrenările roților cu dinți înclinați.....	996
§ 5.17,a. Angrenarea dințată a lui M. L. Novikov	998
§ 5.18. Angrenarea dințată conică	999
§ 5.19. Angrenajul cu șurub melc și roată melcată.....	1001
5.7. Forțe ce acționează asupra mecanismului.....	1002
§ 5.20. Forțe motoare și forțe de rezistență productivă	1002
§ 5.21. Frecarea	1004
§ 5.22. Forțe de inerție	1006
5.8. Studiul mișcării unui agregat de mașină.....	1007
§ 5.23. Reducerea forțelor și maselor.....	1007
§ 5.24. Ecuația diferențială de mișcare a elementului de reducere	1009
§ 5.25. Limitarea oscilațiilor periodice ale vitezei agregatului	1013
§ 5.26. Reglarea oscilațiilor neperiodice ale vitezei agregatului	1018
5.9. Studiul forțelor în mecanisme.....	1020
§ 5.27. Cuple cinematice	1020
§ 5.28. Mecanisme cu roți de fricțiune.....	1026
§ 5.29. Mecanisme cu roți dințate	1028
§ 5.30. Mecanisme plane cu cuple inferioare.....	1037
§ 5.31. Mecanisme cu camă	1042
5.10. Echilibrarea mecanismelor	1044
§ 5.32. Echilibrarea elementelor în mișcarea de rotație	1044
§ 5.33. Echilibrarea mecanismului pe fundație.....	1047
5.11. Proiectarea mecanismelor	1050
§ 5.34. Problemele de bază ale proiectării.....	1050
§ 5.35. Mecanisme cu roți de fricțiune și cu roți dințate	1051

§ 5.36. Transmisii cu curele	1057
§ 5.37. Mecanisme cu cruce de Malta.....	1059
§ 5.38. Mecanisme cu camă	1060
§ 5.39. Mecanisme cu cuple inferioare	1066

Anexă

Unele sisteme de unități nemetrice	1077
Index alfabetic	1093

J. 44333



Notății

- \equiv — identic sau identic egal (se folosește în cazul cînd se subliniază în mod deosebit identitatea ambelor părți ale unei egalități).
 \approx — aproximativ egal.
 \ll — mult mai mic.
 \gg — mult mai mare.
 $|a|$ — valoarea absolută a numărului a .
 i — rădăcina pătrată din -1 ; $i = \sqrt{-1}$.
 \lg — logaritm cu baza 10 (logaritm obișnuit sau zecimal).
 \ln — logaritm cu baza $e = 2,71828\dots$ (logaritm natural).
 $n!$ — factorial; $n! = 1 \cdot 2 \cdot 3 \dots n$.
 sh — sinus hiperbolic.
 ch — cosinus hiperbolic.
 th — tangenta hiperbolică.
 coth — cotangenta hiperbolică.
 $\arg \text{sh}$ — argumentul sinusului hiperbolic.
 $\arg \text{ch}$ — argumentul cosinusului hiperbolic.
 $\arg \text{th}$ — argumentul tangentei hiperbolice.
 $\arg \text{coth}$ — argumentul cotangentei hiperbolice.
 const — constantă.
 Δ — creștere.
 d — diferențială; d^2, d^3, d^n — diferențiale de ordinul 2, 3, n .
 $\frac{d}{dx}$ — derivata de ordinul întâi a unei funcții în raport cu variabila x .
 $\frac{d^n}{dx^n}$ — derivata de ordinul n a unei funcții în raport cu variabila x , de exemplu: $\frac{d^2 f}{dx^2}, \frac{d^3 y}{dx^3}$.

', ", ''', IV, V — notații pentru derivatele de ordin superior ale funcției de o variabilă, de exemplu $f'(x)$, y'' , y''' , $f^{IV}(x)$, y^V .

$\left. \begin{matrix} f'_x, f'_y, f''_{xx}, f''_{xy} \\ \frac{\partial f}{\partial x}, \frac{\partial f}{\partial y}, \frac{\partial^2 f}{\partial x^2}, \frac{\partial^2 f}{\partial x \partial y} \end{matrix} \right\}$ — derivate parțiale ale funcției f de mai multe variabile x, y, z, \dots

Σ — suma, de exemplu $\sum_{k=1}^n u_k = u_1 + u_2 + \dots + u_n$.

Π — produs, de exemplu $\prod_{k=1}^n u_k = u_1 u_2 u_3 \dots u_n$.

$\left| \begin{matrix} b \\ a \end{matrix} \right|$ — semnul substituției duble, de exemplu $F(x) \left| \begin{matrix} b \\ a \end{matrix} \right| = F(b) - F(a)$.

\int_l, \int_C — integrala curbilinie, pe arcul l , pe conturul închis C .

\int_S, \int_V — integrala extinsă la suprafața S , la volumul V .
 $\vec{a}, \vec{b}, \vec{c}$ — notații pentru vectori.

\vec{a}^0 — vectorul unitate (versor) al direcției pe care este situat și vectorul \vec{a} .

$\vec{i}, \vec{j}, \vec{k}$ — versorii axelor de coordonate în sistemul ortogonal de coordonate.

$|\vec{a}|$ sau \vec{a} — lungimea (valoarea absolută) a vectorului \vec{a} .

$\vec{a}\vec{a}$ — produsul unui scalar cu un vector.

$\vec{a}\vec{b}$ — produsul scalar a doi vectori.

$\vec{a} \times \vec{b}$ sau $[\vec{a}, \vec{b}]$ — produsul vectorial a doi vectori.

$\vec{a}\vec{b}\vec{c} = \vec{a}(\vec{b} \times \vec{c})$ — produsul mixt a trei vectori.

a_x, a_y, a_z — proiecțiile vectorului \vec{a} în sistemul cartezian xOy .

∇ — operatorul diferențial al lui Hamilton („nabla“).

grad — gradientul cîmpului scalar ($\text{grad } \varphi = \nabla \varphi$).

div — divergența cîmpului vectorial ($\text{div } \vec{V} = \nabla \cdot \vec{V}$).

rot — rotorul cîmpului vectorial ($\text{rot } \vec{V} = \nabla \times \vec{V}$).

$\frac{\partial U}{\partial \vec{e}}$ — derivata cîmpului scalar în raport cu direcția \vec{e} .

$\Delta (= \nabla^2)$ — operatorul lui Laplace $\left(\Delta u = \frac{\partial^2 u}{\partial x^2} + \frac{\partial^2 u}{\partial y^2} + \frac{\partial^2 u}{\partial z^2} \right)$.

1.1

Cîteva cunoștințe
de matematică elementară

§ 1.1. Algebra

Progresii. 1. *Progresia aritmetică*

$$a_1; a_1 + r; a_1 + 2r; a_1 + 3r; \dots$$

a_1 este primul termen al progresiei; r este rația progresiei; pentru $r > 0$, progresia este crescătoare, pentru $r < 0$, progresia este descrescătoare.

Expresia generală a termenului de ordinul n

$$a_n = a_1 + (n - 1)r.$$

Suma primilor n termeni

$$S_n = \frac{a_1 + a_n}{2} n = \frac{n}{2} [2a_1 + (n - 1)r].$$

2. *Progresia geometrică*

$$a_1; a_1q; a_1q^2; a_1q^3; \dots$$

a_1 este primul termen al progresiei, q este rația; pentru $q > 1$, progresia este crescătoare; pentru $q < 1$, progresia este descrescătoare.

Expresia generală a termenului de ordinul n este

$$a_n = a_1q^{n-1}.$$

Suma primilor n termeni

$$S_n = \frac{a_1(q^n - 1)}{q - 1} = \frac{a_1(1 - q^n)}{1 - q}.$$

Dacă numărul de termeni ai progresiei geometrice descrescătoare crește nelimitat, atunci $q^n \rightarrow 0$ și $S = \lim_{n \rightarrow \infty} S_n = \frac{a_1}{1 - q}$ (suma progresiei geometrice infinite descrescătoare).

Citeva sume finite de numere

$$1) 1 + 2 + 3 + \dots + (n - 1) + n = \frac{n(n + 1)}{2};$$

$$2) p + (p + 1) + (p + 2) + \dots + (p + n - 2) + (p + n - 1) = \\ = \frac{n(2p + n - 1)}{2};$$

$$3) 1 + 3 + 5 + \dots + (2n - 3) + (2n - 1) = n^2;$$

$$4) 2 + 4 + 6 + \dots + (2n - 2) + 2n = n(n + 1);$$

$$5) 1^2 + 2^2 + 3^2 + \dots + (n - 1)^2 + n^2 = \frac{n(n + 1)(2n + 1)}{6};$$

$$6) 1^2 + 3^2 + 5^2 + \dots + (2n - 1)^2 = \frac{n(4n^2 - 1)}{3};$$

$$7) 1^3 + 2^3 + 3^3 + \dots + (n - 1)^3 + n^3 = \frac{n^2(n + 1)^2}{4};$$

$$8) 1^3 + 3^3 + 5^3 + \dots + (2n - 1)^3 = n^2(2n^2 - 1).$$

Logaritmi. Trecerea de la un sistem de logaritmi la altul se face cu ajutorul formulei

$$\log_a b = \frac{\log_c b}{\log_c a}.$$

În particular, la trecerea de la logaritmi zecimali la logaritmi naturali și de la logaritmi naturali la logaritmi zecimali, adică pentru $a = 10$, $c = e \approx 2,71828$, $\lg b = M \ln b$; $\ln b = \frac{1}{M} \lg b$,

unde $M = \lg e \approx 0,43429$ și $\frac{1}{M} \approx 2,30259$.

Analiza combinatorie. 1. Aranjamente 2. Permutări și 3. Combinări.

1. *Aranjamente* (de n elemente luate câte m). Numărul tuturor aranjamentelor de n elemente luate câte m (notația: A_n^m) este dat de formula

$$A_n^m = n(n - 1)(n - 2) \dots (n - m + 1) = \frac{n!}{(n - m)!}.$$

De exemplu, numărul aranjamentelor de trei elemente a , b și c câte două (ab , ac , bc , ba , ca , cb) este $A_3^2 = 3 \cdot 2 = 6$.

2. *Permutări* (de n elemente). Numărul tuturor permutărilor de n elemente (notația: P_n) este dat de formula

$$P_n = 1 \cdot 2 \cdot 3 \cdot 4 \dots n = n! = A_n^n.$$

De exemplu, numărul tuturor permutărilor de trei elemente a, b și c ($abc, bca, cab, acb, bac, cba$) este $P_3 = 1 \cdot 2 \cdot 3 = 6$.

Dacă printre cele n elemente a, b, c, \dots unele se repetă (de exemplu, a se repetă de α ori, b de β ori, c de γ ori etc.), numărul de permutări se calculează după formula

$$P_n = \frac{n!}{\alpha! \beta! \gamma! \dots},$$

unde $\alpha + \beta + \gamma + \dots = n$.

3. *Combinări* (de n elemente luate câte m). Numărul tuturor combinațiilor de n elemente luate câte m [notația C_n^m sau $\binom{n}{m}$] se determină cu formula

$$C_n^m = \binom{n}{m} = \frac{A_n^m}{P_m} = \frac{n!}{m! (n-m)!}.$$

De exemplu, numărul de combinații de trei elemente luate câte două (ab, ac, bc) este $C_3^2 \frac{3 \cdot 2}{2} = 3$. În particular: $C_n^1 = n$; $C_n^n = C_n^0 = 1$.

Proprietatea fundamentală a combinațiilor este

$$C_n^m = C_n^{n-m}.$$

Binomul lui Newton. Se numește binomul lui Newton formula care prezintă expresia $(a+b)^n$ în formă de polinom, pentru n întreg și pozitiv.

$$\begin{aligned} (a+b)^n &= a^n + na^{n-1}b + \frac{n(n-1)}{2!} a^{n-2}b^2 + \frac{n(n-1)(n-2)}{3!} a^{n-3}b^3 + \dots \\ &\dots + \frac{n(n-1)(n-2) \dots (n-k+1)}{k!} a^{n-k}b^k + \dots + nab^{n-1} + b^n \end{aligned}$$

sau

$$\begin{aligned} (a+b)^n &= C_n^0 a^n + C_n^1 a^{n-1}b + C_n^2 a^{n-2}b^2 + \dots + C_n^k a^{n-k}b^k + \dots \\ &\dots + C_n^{n-1} ab^{n-1} + C_n^n b^n. \end{aligned}$$

La determinarea valorilor numerice ale coeficienților termenilor consecutivi din partea dreaptă a acestei formule putem folosi triunghiul lui Pascal:

n	coeficienții binomiali						
0						1	
1					1	1	
2			1	2	1		
3		1	3	3	1		
4		1	4	6	4	1	
5	1	5	10	10	5	1	
6	1	6	15	20	15	6	1

.....

Gradul binomului este dat în prima coloană; valorile coeficienților sînt date în rîndurile orizontale. Fiecare dintre coeficienți se obține în urma adunării celor doi coeficienți de la dreapta și de la stînga din rîndul precedent. În afară de aceasta, trebuie avut în vedere că, coeficienții care se află la distanță egală de începutul și de sfîrșitul fiecărui rînd sînt egali între ei.

Numere complexe. *Forma algebrică:* $a + bi$; a este partea reală a numărului complex, b este partea imaginară.

Forma trigonometrică: $r(\cos \varphi + i \sin \varphi)$; r este *modulul* sau *mărimea absolută* a numărului complex ($r \geq 0$); φ este *argumentul*.

Între mărimile a , b , r și φ din aceste expresii există relațiile

$$a = r \cos \varphi, b = r \sin \varphi, r = \sqrt{a^2 + b^2}, \operatorname{tg} \varphi = \frac{b}{a}.$$

Două numere complexe $a_1 + b_1 i = r_1(\cos \varphi_1 + i \sin \varphi_1)$ și $a_2 + b_2 i = r_2(\cos \varphi_2 + i \sin \varphi_2)$ se numesc *conjugate*, dacă $a_2 = a_1$, $b_2 = -b_1$ (adică $r_2 = r_1$, $\varphi_2 = -\varphi_1$).

Adunarea și scăderea numerelor complexe

$$(a_1 + b_1 i) \pm (a_2 + b_2 i) = (a_1 \pm a_2) + (b_1 \pm b_2) i,$$

adică la adunarea (sau scăderea) numerelor complexe se adună (sau se scad) separat părțile lor reale și separat părțile imaginare.

Suma a două numere complexe conjugate este un număr real

$$(a + bi) + (a - bi) = 2a.$$

Înmulțirea numerelor complexe

$$(a_1 + b_1 i)(a_2 + b_2 i) = (a_1 a_2 - b_1 b_2) + (a_1 b_2 + a_2 b_1) i,$$

sau sub formă trigonometrică

$$\begin{aligned} [r_1(\cos \varphi_1 + i \sin \varphi_1)][r_2(\cos \varphi_2 + i \sin \varphi_2)] = \\ = r_1 r_2 [\cos(\varphi_1 + \varphi_2) + i \sin(\varphi_1 + \varphi_2)], \end{aligned}$$

adică modulul produsului este egal cu produsul modulelor factorilor iar argumentul, cu suma argumentelor factorilor.

Produsul a două numere complexe conjugate este un număr real, determinat de formula

$$(a + bi)(a - bi) = a^2 + b^2.$$

Împărțirea numerelor complexe

$$\frac{a_1 + b_1 i}{a_2 + b_2 i} = \frac{(a_1 a_2 + b_1 b_2) + (a_2 b_1 - a_1 b_2) i}{a_2^2 + b_2^2}$$

sau

$$\frac{r_1(\cos \varphi_1 + i \sin \varphi_1)}{r_2(\cos \varphi_2 + i \sin \varphi_2)} = \frac{r_1}{r_2} [\cos(\varphi_1 - \varphi_2) + i \sin(\varphi_1 - \varphi_2)],$$

adică modulul citului este egal cu citul modulelor deîmpărțitului și împărțitorului, iar argumentul cu diferența argumentelor lor.
Ridicarea la putere a unui număr complex

$$[r(\cos \varphi + i \sin \varphi)]^n = r^n (\cos n\varphi + i \sin n\varphi)$$

(formula lui Moivre), adică modulul se ridică la puterea n , iar argumentul se înmulțește cu n . În particular,

$$i^{4m} = 1; \quad i^{4m+1} = i; \quad i^{4m+2} = -1; \quad i^{4m+3} = -i \quad (m - \text{întreg}).$$

Extragerea rădăcinii dintr-un număr complex

$$\sqrt[n]{r(\cos \varphi + i \sin \varphi)} = \sqrt[n]{r} \left(\cos \frac{\varphi + 2k\pi}{n} + i \sin \frac{\varphi + 2k\pi}{n} \right)$$

unde $k = 0, 1, 2, 3, \dots, n-1$.

Exemplu.

$$\sqrt[3]{-1} = \sqrt[3]{1(\cos \pi + i \sin \pi)} = \cos \frac{\pi + 2k\pi}{3} + i \sin \frac{\pi + 2k\pi}{3}.$$

Admițind $k = 0, 1, 2$, se obțin trei valori

$$\frac{1}{2} + i \frac{\sqrt{3}}{2}; \quad -1; \quad \frac{1}{2} - i \frac{\sqrt{3}}{2}.$$

Expresii algebrice raționale. Orice expresie algebrică rațională întreagă $P(x)$ poate fi pusă sub formă de polinom

$$P(x) = a_0 x^n + a_1 x^{n-1} + a_2 x^{n-2} + \dots + a_{n-1} x + a_n,$$

ordonat după puterile descrescătoare (sau crescătoare) ale lui x , unde $a_0, a_1, a_2, \dots, a_n$ sînt coeficienții polinomului.

În multe cazuri se poate efectua ușor descompunerea polinomului în factori, cu ajutorul unor transformări identice, de exemplu

$$\begin{aligned} x^2 + ax + bx + ab &= (x^2 + ax) + (bx + ab) = \\ &= x(x + a) + b(x + a) = (x + a)(x + b). \end{aligned}$$

Orice expresie rațională fracționară poate fi transformată într-un raport de două polinoame care nu au factori comuni (fracție ireducibilă)

$$R(x) = \frac{Q(x)}{P(x)} = \frac{b_0 x^m + b_1 x^{m-1} + b_2 x^{m-2} + \dots + b_{m-1} x + b_m}{a_0 x^n + a_1 x^{n-1} + a_2 x^{n-2} + \dots + a_{n-1} x + a_n}.$$

Raportul a două polinoame se numește *fracție rațională regulată*, dacă gradul numărătorului este mai mic decît gradul numitorului ($m < n$), și *neregulată* dacă gradul numărătorului este mai mare sau egal cu gradul numitorului ($m \geq n$). Orice fracție rațională

neregulată poate fi transformată, prin împărțirea numărătorului la numitor, într-o sumă a unui polinom cu o fracție regulată, de exemplu

$$\frac{2x^3 + 5x^2 + 13x + 4}{x^2 + 2x + 3} = 2x + 1 + \frac{5x + 1}{x^2 + 2x + 3}.$$

Restul împărțirii polinomului $P(x) = a_0x^n + a_1x^{n-1} + a_2x^{n-2} + \dots + a_n$ la $x - \alpha$ este egal cu valoarea polinomului pentru $x = \alpha$, adică $P(x) = (x - \alpha)P_1(x) + P(\alpha)$, unde $P_1(x)$ este un polinom de gradul $n - 1$.

În cazul cînd $P(\alpha) = 0$ (adică α este o rădăcină a polinomului), împărțirea se face fără rest

$$P(x) = (x - \alpha)P_1(x).$$

Dacă $\alpha_1, \alpha_2, \dots, \alpha_n$ sînt rădăcinile polinomului dat, polinomul poate fi reprezentat sub forma unui produs de factori liniari (adică de gradul întii) în raport cu x

$$P(x) = a_0(x - \alpha_1)(x - \alpha_2)(x - \alpha_3) \dots (x - \alpha_n).$$

Dacă în descompunerea polinomului factorul $x - \alpha$ se întilnește de k ori, α se numește *rădăcină multiplă de ordinul k a polinomului*. În cazul cînd coeficienții polinomului a_0, a_1, \dots, a_n sînt reali, fiecare pereche de factori care corespunde la două rădăcini complexe conjugate poate fi înlocuită prin trinomul de gradul al doilea $x^2 + px + q$, unde p și q sînt numere reale. De aceea, în cazul general*) avem (pentru coeficienți reali ai polinomului)

$$P(x) = a_0(x - \alpha_1)^{k_1}(x - \alpha_2)^{k_2} \dots (x^2 + p_1x + q_1)^{s_1}(x^2 + p_2x + q_2)^{s_2} \dots$$

unde k_1, k_2, \dots sînt indicii de multiplicitate ai rădăcinilor reale; s_1, s_2, \dots sînt indicii de multiplicitate ai perechilor de rădăcini complexe conjugate ($k_1 + k_2 + \dots + 2s_1 + 2s_2 + \dots = n$), iar numerele $\alpha_1, \alpha_2, \dots, p_1, q_1, p_2, q_2, \dots$ sînt reale.

Orice fracție regulată ireductibilă**) cu coeficienți reali

$$R(x) = \frac{Q(x)}{P(x)} = \frac{b_0x^m + b_1x^{m-1} + \dots + b_m}{x^n + a_1x^{n-1} + \dots + a_n}$$

poate fi descompusă în mod univoc într-o sumă de fracții elementare (simple) de forma

$$\frac{A}{(x - \alpha)^k} \text{ sau } \frac{Cx + D}{(x^2 + px + q)^s}$$

*) Dacă $a + bi$ este o rădăcină multiplă de ordinul k a unui polinom cu coeficienți reali, $a - bi$ este și ea o rădăcină a acestui polinom și de același ordin de multiplicitate.

**) Coeficientul termenului de gradul cel mai mare al numitorului poate fi făcut totdeauna egal cu 1, împărțind cu el numărătorul și numitorul fracției.

$\left(\frac{p^2}{4} - q < 0\right)$, unde k și s sînt numere pozitive întregi, iar α, p și q , numere reale; avem

$$\begin{aligned} \frac{Q(x)}{P(x)} &= \frac{b_0 x^m + b_1 x^{m-1} + \dots + b_m}{(x - \alpha_1)^{k_1} (x - \alpha_2)^{k_2} \dots (x^2 + p_1 x + q_1)^{s_1} \dots} = \\ &= \frac{A_1}{x - \alpha_1} + \frac{A_2}{(x - \alpha_1)^2} + \dots + \frac{A_{k_1}}{(x - \alpha_1)^{k_1}} + \frac{B_1}{x - \alpha_2} + \\ &+ \frac{B_2}{(x - \alpha_2)^2} + \dots + \frac{B_{k_2}}{(x - \alpha_2)^{k_2}} + \dots + \frac{C_1 x + D_1}{x^2 + p_1 x + q_1} + \\ &+ \frac{C_2 x + D_2}{(x^2 + p_1 x + q_1)^2} + \dots + \frac{C_{s_1} x + D_{s_1}}{(x^2 + p_1 x + q_1)^{s_1}} + \dots \end{aligned}$$

Mărimile $A_1, A_2, \dots, A_{k_1}, B_1, B_2, \dots, B_{k_2}, C_1, C_2, \dots, C_{s_1}$ etc. pot fi calculate prin *metoda coeficienților nedeterminați*. În acest scop se adună toate fracțiile simple, luînd ca numitor comun numitorul fracției inițiale; numărătorul sumei obținute se scrie în ordinea puterilor descrescătoare ale lui x și se egalează coeficienții puterilor egale ale lui x de la acest numărător cu cei ai numărătorului fracției inițiale (din cauza identității acestor numărători).

Exemplu. Să se descompună fracția $\frac{x-3}{x^3-x}$ în fracții simple. Deoarece $x^3 - x = x(x-1)(x+1)$, rezultă că

$$\frac{x-3}{x^3-x} = \frac{A}{x} + \frac{B}{x-1} + \frac{C}{x+1}$$

și

$$x-3 \equiv (A+B+C)x^2 + (B-C)x - A.$$

Egalînd coeficienții, se obține

$$A+B+C=0, \quad B-C=1, \quad -A=-3,$$

de unde $A=3, \quad B=-1, \quad C=-2$, și prin urmare,

$$\frac{x-3}{x^3-x} = \frac{3}{x} - \frac{1}{x-1} - \frac{2}{x+1}.$$

Expresii iraționale. Orice *expresie irațională* poate fi adusă la o formă simplă (așa-numita formă *normală*) prin diferite transformări algebrice, ca: reducerea indicelui, scoaterea de sub semnul rădăcinii și raționalizarea numitorului.

Raționalizarea numitorului unei fracții

$$\frac{a}{\sqrt[n]{b^m}} = \frac{a \sqrt[n]{b^{n-m}}}{b}; \quad \frac{a}{\sqrt{b} \pm \sqrt{c}} = \frac{a(\sqrt{b} \mp \sqrt{c})}{b-c}.$$

Transformarea expresiei $\sqrt{A \pm \sqrt{B}}$

$$\sqrt{A \pm \sqrt{B}} = \sqrt{\frac{A+m}{2}} \pm \sqrt{\frac{A-m}{2}},$$

unde $m = \sqrt{A^2 - B}$.

Ecuatii. Orice ecuație algebrică cu o necunoscută poate fi adusă prin transformări algebrice la așa-numita *formă canonică*

$$a_0 x^n + a_1 x^{n-1} + a_2 x^{n-2} + \dots + a_{n-1} x + a_n = 0,$$

n se numește *gradul ecuației*.

Ecuația de gradul întâi (*liniară*) $ax + b = 0$ are rădăcina $x = -\frac{b}{a}$.

Ecuațiile de gradul al doilea (*pătrate*) au rădăcinile determinate de următoarele formule:

Ecuația redusă, $x^2 + px + q = 0$:

$$x_{1,2} = -\frac{p}{2} \pm \sqrt{\frac{p^2}{4} - q}.$$

Ecuația sub forma generală, $ax^2 + bx + c = 0$:

$$x_{1,2} = \frac{-b \pm \sqrt{b^2 - 4ac}}{2a}.$$

Ecuația cu coeficientul mediu par, $ax^2 + 2mx + c = 0$:

$$x_{1,2} = \frac{-m \pm \sqrt{m^2 - ac}}{a}.$$

Ecuația incompletă de forma $ax^2 + bx = 0$:

$$x_1 = 0; \quad x_2 = -\frac{b}{a}.$$

Ecuația incompletă de forma $ax^2 + c = 0$:

$$x_{1,2} = \pm \sqrt{-\frac{c}{a}}.$$

Studiul rădăcinilor ecuației de gradul al doilea poate fi făcut cu ajutorul expresiei $4ac - b^2 \left(\text{sau } q - \frac{p^2}{4} \text{ pentru ecuația redusă} \right)$, care se notează cu Δ , și se numește *discriminantul ecuației*. Dacă $\Delta < 0$, rădăcinile sînt reale și diferite; dacă $\Delta = 0$, rădăcinile sînt reale și egale între ele; dacă $\Delta > 0$, rădăcinile sînt imaginare.

Dacă x_1 și x_2 sînt rădăcinile ecuației $ax^2 + bx + c = 0$, trinomialul $ax^2 + bx + c$ poate fi transformat după formula

$$ax^2 + bx + c = a(x - x_1)(x - x_2).$$

Orice trinom de gradul al doilea cu coeficienți *reali* poate fi pus sub forma $ax^2 + bx + c = a \left[\left(x + \frac{b}{2a} \right)^2 - \alpha^2 \right]$ ($\Delta < 0$) sau $ax^2 + bx + c = a \left[\left(x + \frac{b}{2a} \right)^2 + \alpha^2 \right]$ ($\Delta > 0$), unde α este un număr real egal cu $\frac{\sqrt{b^2 - 4ac}}{2a}$ când $\Delta < 0$ și egal cu $\frac{\sqrt{4ac - b^2}}{2a}$ când $\Delta > 0$.

Rădăcinile ecuației de gradul al treilea (*cubice*), sub forma redusă $x^3 + px + q = 0$, se află cu formula

$$x = \sqrt[3]{-\frac{q}{2} + \sqrt{\left(\frac{q}{2}\right)^2 + \left(\frac{p}{3}\right)^3}} + \sqrt[3]{-\frac{q}{2} - \sqrt{\left(\frac{q}{2}\right)^2 + \left(\frac{p}{3}\right)^3}}.$$

În acest caz:

a) dacă $\left(\frac{q}{2}\right)^2 + \left(\frac{p}{3}\right)^3 > 0$, atunci:

$$x_1 = A + B;$$

$$x_2 = -\frac{1}{2}(A + B) + i\frac{\sqrt{3}}{2}(A - B);$$

$$x_3 = -\frac{1}{2}(A + B) - i\frac{\sqrt{3}}{2}(A - B),$$

unde A și B sînt valorile reale ale rădăcinilor cubice din formulă;

b) dacă $\left(\frac{q}{2}\right)^2 + \left(\frac{p}{3}\right)^3 = 0$, atunci

$$A = B, \quad x_1 = 2A, \quad x_2 = x_3 = -A;$$

c) dacă $\left(\frac{q}{2}\right)^2 + \left(\frac{p}{3}\right)^3 < 0$ (așa-numitul „caz ireductibil“) sub forma reală rădăcinile sînt date de formulele:

$$x_1 = 2r \cos \frac{\varphi}{3};$$

$$x_2 = 2r \cos \frac{\varphi + 2\pi}{3} = r \left(-\cos \frac{\varphi}{3} - \sqrt{3} \sin \frac{\varphi}{3} \right);$$

$$x_3 = 2r \cos \frac{\varphi + 4\pi}{3} = r \left(-\cos \frac{\varphi}{3} + \sqrt{3} \sin \frac{\varphi}{3} \right),$$

unde $r = \sqrt[3]{-\frac{p}{3}}$ și $\cos \varphi = -\frac{q}{2r^3}$.

Ecuția de gradul al treilea cu forma generală $ax^3 + bx^2 + cx + d = 0$ poate fi adusă la forma redusă $y^3 + py + q = 0$, împărțind-o prin a și făcând substituția $x = y - \frac{1}{3} \cdot \frac{b}{a}$.

Ecuțiile reciproce de gradul al treilea $ax^3 + bx^2 \pm bx \pm a = 0$ pot fi aduse la forma $(x \pm 1)[ax^2 + (b \mp a)x + a] = 0$ și rezolvarea lor se reduce la rezolvarea unor ecuații de gradul întâi și al doilea.

Rădăcinile ecuației de gradul al patrulea $x^4 + bx^3 + cx^2 + dx + e = 0$ coincid cu rădăcinile a două ecuații de gradul al doilea:

$$x^2 + (b + A) \frac{x}{2} + \left(y + \frac{by - d}{A} \right) = 0,$$

unde $A = \pm \sqrt{8y + b^2 - 4e}$, iar y este o rădăcină reală oarecare a ecuației cubice

$$8y^3 - 4cy^2 + (2bd - 8e)y + e(4c - b^2) - d^2 = 0.$$

Rădăcinile ecuației bipătrate $ax^4 + bx^2 + c = 0$ se determină cu formula

$$x_{1,2,3,4} = \pm \sqrt{\frac{-b \pm \sqrt{b^2 - 4ac}}{2a}}.$$

Ecuția reciprocă de gradul al patrulea $ax^4 \pm bx^3 + cx^2 \pm bx + a = 0$, prin împărțirea cu x^2 și substituția $x + \frac{1}{x} = y$, se reduce la ecuația $ay^2 \pm by + (c - 2a) = 0$, de unde

$$y_{1,2} = \frac{\mp b \pm \sqrt{b^2 - 4ac + 8a^2}}{2a},$$

după care

$$x_{1,2,3,4} = \frac{y_{1,2} \pm \sqrt{y_{1,2}^2 - 4}}{2}.$$

Dacă ecuația este de forma $ax^4 \pm bx^3 + cx^2 \mp bx + a = 0$, se face substituția $x - \frac{1}{x} = y$.

Rădăcinile ecuației binome $x^n - a = 0$ se determină cu formula $x = \sqrt[n]{a}$ (se iau toate valorile rădăcinii, v. p. 25).

Ecuția trinomă de forma $ax^{2n} + bx^n + c = 0$, prin substituția $x^n = y$, se reduce la ecuația de gradul al doilea $ay^2 + by + c = 0$.

Ecuția de gradul n , în cazul general cînd $n > 4$, nu poate fi rezolvată sub formă de radicali.

$$S = a^2 \sin \gamma = \frac{1}{2} D_1 D_2$$

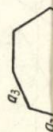
$$S = \pm \pm \frac{1}{2} [(x_2 y_1 - x_1 y_2) + \dots + (x_2 y_2 - x_3 y_3) + \dots + \dots]$$

a — latura
 γ — unghiul rombului
 D_1, D_2 — diagonalele



n — numărul laturilor

Poligon



Dacă x_1, x_2, \dots, x_n sînt rădăcinile ecuației $x^n + a_1 x^{n-1} + a_2 x^{n-2} + \dots + a_{n-1} x + a_n = 0$, atunci

$$a_1 = -(x_1 + x_2 + x_3 + \dots + x_n);$$

$$a_2 = x_1 x_2 + x_1 x_3 + x_1 x_4 + \dots + x_2 x_3 + x_2 x_4 + \dots + x_{n-1} x_n;$$

$$a_3 = -(x_1 x_2 x_3 + x_1 x_2 x_4 + \dots + x_1 x_2 x_n + x_2 x_3 x_4 + \dots + x_2 x_3 x_5 + \dots + x_{n-2} x_{n-1} x_n);$$

$$a_n = (-1)^n x_1 x_2 x_3 \dots x_{n-1} x_n.$$

Inegalități. A rezolva inegalitatea $F(x) > f(x)$ sau $F(x) < f(x)$, unde $F(x)$ și $f(x)$ sînt expresii care conțin necunoscuta x , înseamnă a determina pentru care valori ale lui x are loc inegalitatea.

Două inegalități se numesc *echivalente* dacă sînt valabile pentru aceleași valori ale necunoscutei x .

Adăugarea sau scăderea din ambele părți ale inegalității a aceleași mărimi și, prin urmare, trecerea oricărei mărimi dintr-o parte a inegalității în cealaltă, cu schimbarea semnului ei, duce la o inegalitate echivalentă cu cea inițială.

La înmulțirea sau la împărțirea ambelor părți ale unei inegalități cu un număr pozitiv se obține o inegalitate echivalentă cu cea inițială; la înmulțirea și la împărțirea ambelor părți ale unei inegalități cu un număr negativ, pentru a obține o inegalitate echivalentă trebuie schimbat semnul inegalității ($>$ cu $<$ sau $<$ cu $>$).

Inegalitățile de gradul întâi se rezolvă cu ajutorul transformărilor menționate.

Inegalitățile de gradul al doilea (pătrate) pot fi aduse la una din formele:

$$1) x^2 + px + q > 0.$$

Dacă rădăcinile x_1 și x_2 ale polinomului $x^2 + px + q$ sînt imaginare ($p^2 - 4q < 0$), inegalitatea este valabilă pentru toate valorile lui x ($-\infty < x < \infty$).

Dacă rădăcinile x_1 și x_2 sînt reale și $x_1 = x_2$ ($p^2 - 4q = 0$), inegalitatea este valabilă pentru toate valorile lui x , în afară de $x = x_1 = x_2$.

Dacă rădăcinile x_1 și x_2 sînt reale și diferite ($p^2 - 4q > 0$), iar $x_1 < x_2$, inegalitatea are loc pentru $x < x_1$ și $x > x_2$.

$$2) x^2 + px + q < 0.$$

Dacă rădăcinile x_1 și x_2 sînt imaginare ($p^2 - 4q < 0$), inegalitatea este contrazisă.

Dacă $x_1 = x_2$ ($p^2 - 4q = 0$), inegalitatea este de asemenea contrazisă.

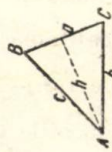
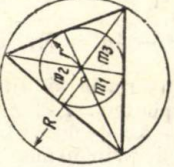

Dacă x_1 și x_2 sînt reale și diferite ($p^2 - 4q > 0$) și $x_1 < x_2$, inegalitatea are loc pentru $x_1 < x < x_2$.

Exemplul 1. $x^2 - 5x + 6 > 0$; rădăcinile trinomului sînt $x_1 = 2$, $x_2 = 3$ (reale) și, prin urmare, $x < 2$ sau $x > 3$.

Exemplul 2. $x^2 - x + 2 < 0$; $p^2 - 4q = -7 < 0$ (rădăcini imaginare), inegalitatea este contrazisă.

§ 1.2. Geometria

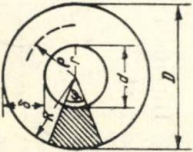
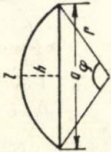
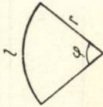
Figuri plane (S aria figurii, P — perimetrul, p — semiperimetrul)

	Notații	Formule
<p>Triunghi *)</p>  	<p>a, b, c — laturile A, B, C — unghiurile opuse lor h — înălțimea (din vârful unghiului A) R — raza cercului circumscris r — raza cercului înscris m_1, m_2, m_3 — medianele $\mu = \frac{1}{2} (m_1 + m_2 + m_3)$ — semisuma medianelor x_1 și y_1, x_2 și y_2, x_3 și y_3 — coordonatele vîrurilor triunghiului în sistemul cartezian ortogonal</p>	$S = \frac{1}{2} ah = \frac{1}{2} ab \sin C =$ $= \frac{a^2}{2} \cdot \frac{\sin B \sin C}{\sin A} =$ $= \frac{\sqrt{p(p-a)(p-b)(p-c)}}{2R^2 \sin A \sin B \sin C} =$ $= r^2 \cotg \frac{A}{2} \cotg \frac{B}{2} \cotg \frac{C}{2} =$ $= \frac{abc}{4R}$ $= \frac{4}{3} \sqrt{\mu(\mu-m_1)(\mu-m_2)(\mu-m_3)} =$ $= \pm \frac{1}{2} \begin{vmatrix} x_1 & y_1 & 1 \\ x_2 & y_2 & 1 \\ x_3 & y_3 & 1 \end{vmatrix}$
<p>Trapez</p> 	<p>a, b — bazele c, d — laturile neperalele D_1, D_2 — diagonalele φ — unghiul dintre diagonale m — linia mijlocie h — înălțimea</p>	$m = \frac{1}{2} (a + b)$ $P = 2m + c + d$ $S = \frac{a + b}{2} h = mh =$ $= \frac{1}{2} D_1 D_2 \sin \varphi$

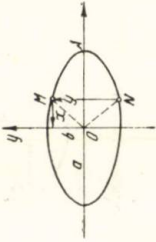
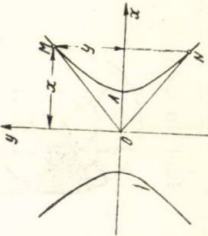
(continuare)

Formule

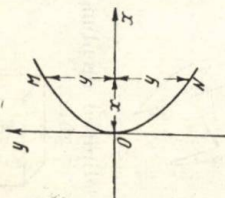
Notații

<p>Inel circular</p> 	<p> r — raza interioară R — raza exterioră d — diametrul interior D — diametrul exterior $\rho = \frac{r + R}{2}$ — raza medie $\delta = R - r$ — lărgimea inelului φ — unghiul la centru al unei porțiuni de inel (în grade) </p>	$S = \pi (R^2 - r^2) = \frac{\pi}{4} (D^2 - d^2) = 2\pi \rho \delta.$ <p>Aria unei părți de inel</p> $S = \frac{\pi \varphi}{360} (R^2 - r^2) = \frac{\pi \varphi}{90} D^2 - d^2 = \frac{\pi \varphi}{180} \rho \delta$
<p>Segment circular</p> 	<p> r — raza φ — unghiul la centru (în grade) $l = \frac{\pi \varphi}{180} r$ — lungimea arcului a — lungimea coardei h — înălțimea segmentului </p>	$P = l + a$ $S = \frac{1}{2} r^2 \left(\frac{\pi \varphi}{180} - \sin \varphi \right) = \frac{r(l - a) + ah}{2}$ <p>Aria unui segment, al cărui arc este mai mic decît un semicerc,</p> $S \approx \frac{2}{3} ah + \frac{h^3}{2a}$ <p>Aria unui segment, al cărui arc este mai mic decît 50°,</p> $S \approx \frac{2}{3} ah.$
<p>Sector circular</p> 	<p> r — raza; φ — unghiul la centru (în grade) $l = \frac{\pi \varphi}{180} r$ — lungimea arcului </p>	$P = l + 2r$ $S = \frac{1}{2} lr = \frac{\pi r^2 \varphi}{360} \approx 0,00873 r^2 \varphi.$

(continuare)

	Notaiji	Formule
<p>Elipsa</p> 	<p>a și b — semiaxa mare și semiaxa mică a elipsei</p> <p>$e = \frac{c}{a} = \frac{\sqrt{a^2 - b^2}}{a}$ — excentricitatea</p> <p>x, y — distanțele punctului M al elipsei pînă la axele Oy și Ox</p>	$P = 2\pi a \left[1 - \left(\frac{1}{2} \right)^2 \varepsilon^2 - \left(\frac{1 \cdot 3}{2 \cdot 4} \right)^2 \frac{\varepsilon^4}{3} - \left(\frac{1 \cdot 3 \cdot 5}{2 \cdot 4 \cdot 6} \right)^2 \frac{\varepsilon^6}{5} - \dots \right] = 4aE \left(\varepsilon, \frac{\pi}{2} \right).$ <p>unde E este integrala eliptică de speța a doua ($p.$)</p> $P \approx \pi \left(3 \frac{a+b}{2} - \sqrt{ab} \right).$ <p>$S = \pi ab.$</p> <p>Aria segmentului MAN:</p> $S = ab \arccos \frac{x}{a} - xy.$ <p>Aria sectorului $OMAN$:</p> $S = ab \arccos \frac{x}{a}.$
<p>Hiperbola</p> 	<p>a și b — semiaxa reală și semiaxa imaginară a hiperbolei</p> <p>x, y — distanțele punctului M al hiperbolei pînă la axele Oy și Ox</p>	<p>Aria segmentului hiperbolic AMN</p> $S = xy - ab \ln \left(\frac{x}{a} + \frac{y}{b} \right).$ <p>Aria sectorului hiperbolic $OMAN$</p> $S = ab \ln \left(\frac{x}{a} + \frac{y}{b} \right) = -ab \ln \left(\frac{x}{a} - \frac{y}{b} \right)$

Parabola



x și $2y$ — înălțimea și baza segmentului parabolic OMN

Aria segmentului parabolic OMN .

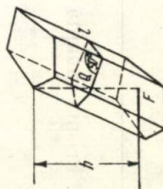
$$S = \frac{4}{3} xy$$

Poliedre (V — volumul corpului, S_{σ} și S — aria laterală și aria totală; dacă pentru S sau S_{σ} nu sînt date formulele, aceste arii pot fi calculate ca sume ale ariilor figurilor plane care mărginesc poliedrul)

Notății

Formule

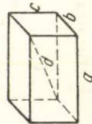
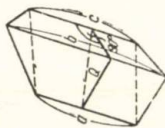
Prisma

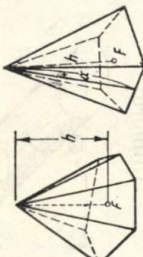
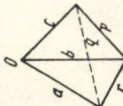
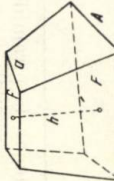


F — aria bazei
 h — înălțimea
 l — muchia laterală
 Q și P — aria și perimetrul secțiunii perpendiculare pe muchie

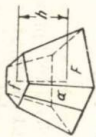
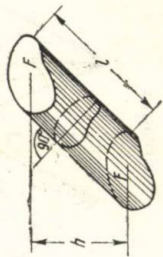
$$\begin{aligned} V &= Fh = Ql \\ S_{\sigma} &= Pl \\ S &= Pl + 2F \end{aligned}$$

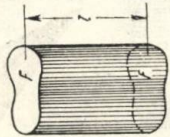
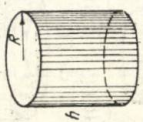
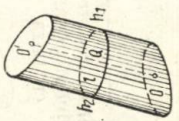
		(continuare)	
	Notății	Formule	
Prisma dreaptă	F și P — aria și perimetrul bazei l — muchia	$V = Fl$ $S_{\sigma} = Pl$ $S = Pl + 2F$	
Prisma secționată neparalel cu baza	l — lungimea segmentului OO_1 , care unește centrele de greutate ale bazelor Q — aria secțiunii perpendiculare pe segmentul OO_1	$V = Ql$	
Prismă triunghiulară, sec- ționată neparalel cu baza	a, b, c — muchii paralele Q — aria secțiunii perpendicu- lare pe muchii	$V = \frac{1}{3} (a + b + c) Q$	
Paralelipiped dreptun- ghic	a, b, c — muchii d — diagonala $d^2 = a^2 + b^2 + c^2$	$V = abc$ $S = 2 (ab + bc + ac)$	



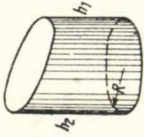
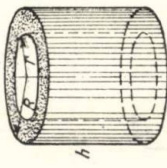
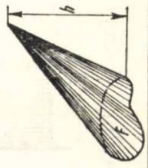
Piramidă, piramidă dreaptă 	F — aria bazei h — înălțimea P — perimetrul bazei α — apotema	$V = \frac{1}{3} Fh$ $S_{\sigma} = \frac{1}{2} P\alpha \text{ (pentru o piramidă regulată)}$
Piramidă triunghiulară (tetraedru) 	$a, b, c, p, q, r,$ — muchii x_1, y_1, z_1 x_2, y_2, z_2 x_3, y_3, z_3 — coordonatele celor trei vîrfuri ale piramidei într-un sistem de coordonate cartezian; vîrfurile sunt așezate în originea axelor de coordonate	$V^2 = \frac{1}{288} \begin{vmatrix} 0 & r^2 & q^2 & a^2 & 1 \\ r^2 & 0 & p^2 & b^2 & 1 \\ q^2 & p^2 & 0 & c^2 & 1 \\ a^2 & b^2 & c^2 & 0 & 1 \\ 1 & 1 & 1 & 1 & 1 \end{vmatrix}$ $V = \pm \frac{1}{6} \begin{vmatrix} x_1 & y_1 & z_1 \\ x_2 & y_2 & z_2 \\ x_3 & y_3 & z_3 \end{vmatrix}$
Trunchi de piramidă (planul secțiunii este paralel cu baza) 	F, f — ariile bazelor h — înălțimea (distanța dintre baze) A, a — două laturi corespunzătoare ale bazelor	$V = \frac{1}{3} h(F + f + \sqrt{Ff}) = \frac{1}{3} hF \left[1 + \frac{a}{A} + \left(\frac{a}{A} \right)^2 \right]$

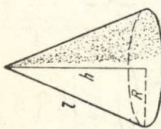
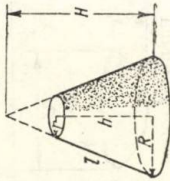
(continuare)

	Notații	Formule
Trunchi de piramidă regulată 	F, f — ariile bazelor h — înălțimea P, p — perimetrele bazelor α — apotema	$V = \frac{1}{3}h(F + f + \sqrt{Ff})$ $S_{\sigma} = \frac{P + p}{2} \alpha$
Corpurile circulare și câteva alte corpuri (V — volumul corpului, S_{σ} și S — aria laterală și aria totală)		
	Notații	Formule
Cilindrul 	F și P — aria și perimetrul bazei h — înălțimea l — generatoarea Q și s — aria și perimetrul secțiunii perpendiculare pe generatoare	$V = Fh = Ql$ $S_{\sigma} = sl = Ph$ $S = sl + 2F = Ph + 2F$

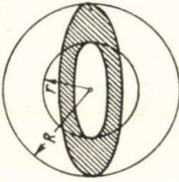
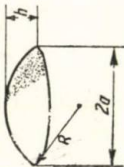
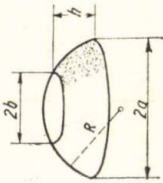
<p>Cilindrul drept</p> 	<p>F și P — aria și perimetrul bazei l — generatoarea</p>	$V = Fl$ $S_{\sigma} = Pl$ $S = Pl + 2F$
<p>Cilindru circular drept</p> 	<p>R — raza bazei h — înălțimea</p>	$V = \pi R^2 h$ $S_{\sigma} = 2\pi R h$ $S = 2\pi R (h + R)$
<p>Cilindru secționat neparalel cu baza</p> 	<p>h_1 și h_2 — generatoarea minimă și generatoarea maximă l — lungimea segmentului care unește centrele de greutate ale bazelor O și O' Q și L — aria și perimetrul secțiunii perpendiculare pe segmentul OO'</p>	$V = Ql$ $S_{\sigma} = \frac{1}{2} L(h_1 + h_2)$

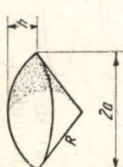
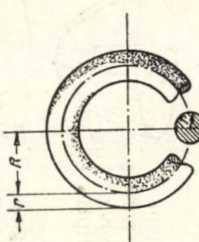
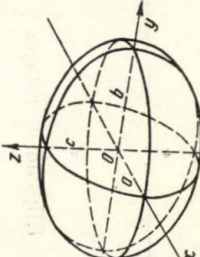
(continuare)

	Notății	Formule
<p>Cilindru circular drept secționat neperalel cu baza</p> 	<p>R — raza bazei h_1 și h_2 — generatoarea minimă și ge- neratoarea maximă</p>	$V = \frac{1}{2} \pi R^2 (h_1 + h_2)$ $S_{\sigma} = \pi R (h_1 + h_2)$ $S = \pi R \left[h_1 + h_2 + R + \sqrt{R^2 + \left(\frac{h_2 - h_1}{2} \right)^2} \right]$
<p>Cilindru gol (tub cili- ndric)</p> 	<p>R — raza exterioară r — raza interioară $\rho = \frac{R+r}{2}$ — raza medie h — înălțimea $\delta = R - r$ — grosimea</p>	$V = \pi h (R^2 - r^2) =$ $= \pi h \delta (2R - \delta) = \pi h \delta (2r + \delta) =$ $= 2\pi h \delta \rho$ $S_{\sigma} = 2\pi h (R + r) = 4\pi h \rho$ $S = 2\pi (R + r) (h + R - r) =$ $= 4\pi \rho (h + \delta)$
<p>Con</p> 	<p>F — aria bazei h — înălțimea</p>	$V = \frac{1}{3} Fh$

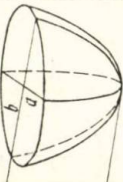
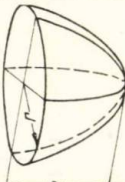
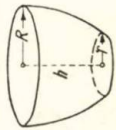
<p>Con circular drept</p> 	<p> R — raza bazei h — înălțimea $l = \sqrt{R^2 + h^2}$ — generatoarea </p>	$V = \frac{1}{3} \pi R^2 h$ $S_{\sigma} = \pi R \sqrt{R^2 + h^2} + \pi R l$ $S = \pi R (R + l)$
<p>Trunchi de con circular drept</p> 	<p> R și r — razele bazelor h — înălțimea l — generatoarea $l = \sqrt{h^2 + (R - r)^2}$ H — înălțimea conului neseccionat $H = h + \frac{hr}{R - r}$ </p>	$V = \frac{\pi h}{3} (R^2 + r^2 + Rr)$ $S_{\sigma} = \pi l (R + r)$ $S = \pi [R^2 + r^2 + l (R + r)]$
<p>Con eliptic (drept)</p>	<p> a, b — semiaxele bazei h — înălțimea </p>	$V = \frac{\pi h ab}{3}$
<p>Trunchi de con eliptic</p>	<p> Bazele paralele — elipse cu semiaxele a, b și a_1, b_1 h — înălțimea </p>	$V = \frac{\pi h}{6} [2(ab + a_1 b_1) + ab_1 + a_1 b]$

(continuare)

	Notaiji	Formule
<p>Sferă goală</p> 	<p>R — raza exterioară r — raza interioară D — diametrul exterior d — diametrul interior</p>	$V = \frac{3}{4} \pi (R^3 - r^3) =$ $= \frac{1}{6} \pi (D^3 - d^3)$ $S = 4\pi (R^2 + r^2) = \pi (D^2 + d^2)$
<p>Calotă sferică</p> 	<p>h — înălțimea calotei R — raza sferei a — raza bazei calotei $a = \sqrt{h(2R - h)}$</p>	$V = \frac{1}{6} \pi h (3a^2 + h^2) = \frac{1}{3} \pi h^2 (3R - h)$ $S_o = 2\pi Rh = \pi (a^2 + h^2)$ $S = \pi (2a^2 + h^2) = \pi (a^2 + 2Rh)$
<p>Zonă sferică</p> 	<p>h — înălțimea zonei a și b — razele bazelor ($a > b$) R — raza sferei</p>	$V = \frac{1}{6} \pi h (3a^2 + 3b^2 + h^2) =$ $+ V_1 + \frac{1}{6} \pi h l^2,$ <p>unde V_1 este volumul trunchiului de con înscris în zona sferică, bazele acestuia avînd razele a și b, înălțimea h și generatoarea l</p> $S_o = 2\pi Rh, S = \pi (a^2 + b^2 + 2Rh)$

<p>Sector sferic</p> 	<p> h — înălțimea calotei a — raza bazei calotei R — raza sferei </p>	$V = \frac{2}{3} \pi R^2 h$ $S = \pi R(a + 2h)$
<p>Tor (inel cilindric)</p> 	<p> r — raza secțiunii transversale R — distanța dintre centrul secțiunii transversale și axa de rotație $D = 2R$ $d = 2r$ </p>	$V = 2\pi^2 R r^2 = \frac{1}{4} \pi^2 D d^2$ $S = 4\pi^2 R r = \pi^2 D d$
<p>Elipsoid</p> 	<p> a, b, c — semiaxele </p>	$V = \frac{4}{3} \pi abc$

(continuare)

	Notății	Formule
Elipsoid de rotație	$\varepsilon = \frac{\sqrt{a^2 - b^2}}{a} \quad (a > b)$ <p>1) Axa de rotație $2a$ ($c = b$) 2) Axa de rotație $2b$ ($c = a$)</p>	$1) V = \frac{4}{3} \pi c b^2$ $S = 2\pi ab \left(\sqrt{1 - \varepsilon^2} + \frac{\arcsin \varepsilon}{\varepsilon} \right)$ $2) V = \frac{4}{3} \pi a^2 b$ $S = 2\pi a^2 + \frac{2\pi b^2}{\varepsilon} \ln \frac{a(1 + \varepsilon)}{b}$
 Segment de paraboloid eliptic	a, b — semiaxele elipsei (bazei) h — înălțimea	$V = \frac{1}{2} \pi ab h$
 Segment de paraboloid de rotație	r — raza bazei h — înălțimea	$V = \frac{1}{2} \pi r^2 h$
 Trunchi de paraboloid de rotație	R și r — razele bazelor paralele h — înălțimea	$V = \frac{1}{2} \pi h (R^2 + r^2)$

§ 1.3. Funcții trigonometrice circulare și funcții hiperbolice

Cîteva formule trigonometrice

Formule de transformare:

$\beta =$	$-\alpha$	$90^\circ \pm \alpha$	$180^\circ \pm \alpha$	$270^\circ + \alpha$	$360^\circ - \alpha$
$\sin \beta =$	$-\sin \alpha$	$+\cos \alpha$	$\mp \sin \alpha$	$-\cos \alpha$	$-\sin \alpha$
$\cos \beta =$	$\cos \alpha$	$\mp \sin \alpha$	$-\cos \alpha$	$\pm \sin \alpha$	$+\cos \alpha$
$\operatorname{tg} \beta =$	$-\operatorname{tg} \alpha$	$\mp \operatorname{cotg} \alpha$	$\pm \operatorname{tg} \alpha$	$\mp \operatorname{cotg} \alpha$	$-\operatorname{tg} \alpha$
$\operatorname{cotg} \beta =$	$-\operatorname{cotg} \alpha$	$\mp \operatorname{tg} \alpha$	$\pm \operatorname{cotg} \alpha$	$\mp \operatorname{tg} \alpha$	$-\operatorname{cotg} \alpha$
$\sec \beta =$	$\sec \alpha$	$\mp \operatorname{cosec} \alpha$	$-\sec \alpha$	$\pm \operatorname{cosec} \alpha$	$+\sec \alpha$
$\operatorname{cosec} \beta =$	$-\operatorname{cosec} \alpha$	$+\sec \alpha$	$\mp \operatorname{cosec} \alpha$	$-\sec \alpha$	$-\operatorname{cosec} \alpha$

Funcțiile trigonometrice ale sumei și ale diferenței unghiurilor, unghiurilor multiple și jumătăților de unghiuri:

$$\sin (\alpha \pm \beta) = \sin \alpha \cos \beta \pm \cos \alpha \sin \beta$$

$$\cos (\alpha \pm \beta) = \cos \alpha \cos \beta \mp \sin \alpha \sin \beta$$

$$\operatorname{tg} (\alpha \pm \beta) = \frac{\operatorname{tg} \alpha \pm \operatorname{tg} \beta}{1 \mp \operatorname{tg} \alpha \operatorname{tg} \beta}; \quad \operatorname{cotg} (\alpha \pm \beta) = \frac{\operatorname{cotg} \alpha \cdot \operatorname{cotg} \beta \mp 1}{\operatorname{cotg} \beta \pm \operatorname{cotg} \alpha}$$

$$\sin 2\alpha = 2 \sin \alpha \cos \alpha;$$

$$\cos 2\alpha = \cos^2 \alpha - \sin^2 \alpha = 2\cos^2 \alpha - 1 = 1 - 2 \sin^2 \alpha$$

$$\operatorname{tg} 2\alpha = \frac{2\operatorname{tg} \alpha}{1 - \operatorname{tg}^2 \alpha} = \frac{2}{\operatorname{cotg} \alpha - \operatorname{tg} \alpha}; \quad \operatorname{cotg} 2\alpha = \frac{\operatorname{cotg}^2 \alpha - 1}{2 \operatorname{cotg} \alpha} =$$

$$= \frac{\operatorname{cotg} \alpha - \operatorname{tg} \alpha}{2}$$

$$\sin 3\alpha = 3 \sin \alpha - 4 \sin^3 \alpha; \quad \cos 3\alpha = 4 \cos^3 \alpha - 3 \cos \alpha$$

$$\operatorname{tg} 3\alpha = \frac{3 \operatorname{tg} \alpha - \operatorname{tg}^3 \alpha}{1 - 3 \operatorname{tg}^2 \alpha}; \quad \operatorname{cotg} 3\alpha = \frac{\operatorname{cotg}^3 \alpha - 3 \operatorname{cotg} \alpha}{3 \operatorname{cotg}^2 \alpha - 1}$$

$$\sin \frac{\alpha}{2} = \pm \sqrt{\frac{1 - \cos \alpha}{2}}^*); \quad \cos \frac{\alpha}{2} = \pm \sqrt{\frac{1 + \cos \alpha}{2}}^*)$$

*) Semnul + sau semnul - se ia în funcție de cadrul în care se află unghiul $\frac{\alpha}{2}$.

$$\operatorname{tg} \frac{\alpha}{2} = \pm \sqrt{\frac{1 - \cos \alpha}{1 + \cos \alpha}} = \frac{1 - \cos \alpha}{\sin \alpha} = \frac{\sin \alpha}{1 + \cos \alpha}$$

$$\operatorname{cotg} \frac{\alpha}{2} = \pm \sqrt{\frac{1 + \cos \alpha}{1 - \cos \alpha}} = \frac{1 + \cos \alpha}{\sin \alpha} = \frac{\sin \alpha}{1 - \cos \alpha}$$

$$\sin \alpha = \frac{2 \operatorname{tg} \frac{\alpha}{2}}{1 + \operatorname{tg}^2 \frac{\alpha}{2}}, \quad \cos \alpha = \frac{1 - \operatorname{tg}^2 \frac{\alpha}{2}}{1 + \operatorname{tg}^2 \frac{\alpha}{2}}.$$

Produsele și puterile funcțiilor trigonometrice:

$$\sin \alpha \sin \beta = \frac{1}{2} [\cos (\alpha - \beta) - \cos (\alpha + \beta)]$$

$$\cos \alpha \cos \beta = \frac{1}{2} [\cos (\alpha - \beta) + \cos (\alpha + \beta)]$$

$$\sin \alpha \cos \beta = \frac{1}{2} [\sin (\alpha - \beta) + \sin (\alpha + \beta)]$$

$$\sin^2 \alpha = \frac{1 - \cos 2\alpha}{2}; \quad \cos^2 \alpha = \frac{1 + \cos 2\alpha}{2}$$

$$\sin^3 \alpha = \frac{3 \sin \alpha - \sin 3\alpha}{4}; \quad \cos^3 \alpha = \frac{\cos 3\alpha + 3 \cos \alpha}{4}.$$

Sumele și diferențele funcțiilor trigonometrice

$$\sin \alpha + \sin \beta = 2 \sin \frac{\alpha + \beta}{2} \cos \frac{\alpha - \beta}{2}$$

$$\sin \alpha - \sin \beta = 2 \cos \frac{\alpha + \beta}{2} \sin \frac{\alpha - \beta}{2}$$

$$\cos \alpha + \cos \beta = 2 \cos \frac{\alpha + \beta}{2} \cos \frac{\alpha - \beta}{2}$$

$$\cos \alpha - \cos \beta = -2 \sin \frac{\alpha + \beta}{2} \sin \frac{\alpha - \beta}{2}$$

$$\operatorname{tg} \alpha \pm \beta = \frac{\sin (\alpha \pm \beta)}{\cos \alpha \cos \beta}; \quad \operatorname{cotg} \alpha \pm \operatorname{cotg} \beta = \frac{\sin (\beta \pm \alpha)}{\sin \alpha \sin \beta}$$

*) V. nota de la p. precedentă.

$$1 + \sin \alpha = 2 \cos^2 \left(45^\circ - \frac{\alpha}{2} \right)$$

$$1 - \sin \alpha = 2 \sin^2 \left(45^\circ - \frac{\alpha}{2} \right)$$

$$1 + \cos \alpha = 2 \cos^2 \frac{\alpha}{2}; \quad 1 - \cos \alpha = 2 \sin^2 \frac{\alpha}{2}$$

$$\sin \alpha \pm \cos \alpha = 2 \sin 45^\circ \sin (\alpha \pm 45^\circ)$$

$$\sin \alpha + \operatorname{tg} \alpha = 2 \operatorname{tg} \alpha \cos^2 \frac{\alpha}{2}$$

$$\cotg \alpha + \operatorname{tg} \alpha = \frac{2}{\sin 2\alpha}; \quad \cotg \alpha - \operatorname{tg} \alpha = 2 \cotg 2\alpha$$

$$\frac{\sin \alpha + \sin \beta}{\sin \alpha - \sin \beta} = \frac{\operatorname{tg} \frac{\alpha + \beta}{2}}{\operatorname{tg} \frac{\alpha - \beta}{2}}$$

$$\frac{\cos \alpha - \cos \beta}{\cos \alpha + \cos \beta} = \operatorname{tg} \frac{\alpha + \beta}{2} \operatorname{tg} \frac{\beta - \alpha}{2}$$

$$\frac{1 + \operatorname{tg} \alpha}{1 - \operatorname{tg} \alpha} = \operatorname{tg} (45^\circ + \alpha)$$

$$\frac{\cotg \alpha + 1}{\cotg \alpha - 1} = \cotg (45^\circ - \alpha)$$

$$\sin^2 \alpha - \sin^2 \beta = \sin (\alpha + \beta) \sin (\alpha - \beta)$$

$$\cos^2 \alpha - \cos^2 \beta = \sin (\alpha + \beta) \sin (\beta - \alpha).$$

Graficele funcțiilor trigonometrice $\sin x$, $\cos x$, $\operatorname{tg} x$, $\cotg x$, $\sec x$, $\operatorname{cosec} x$ sînt date respectiv în figurile 1.1–1.6.

Funcții trigonometrice inverse

Dacă $x = \sin y$,	$y = \operatorname{Arcsin} x$ (arc sinus)
Dacă $x = \cos y$,	$y = \operatorname{Arccos} x$ (arc cosinus)
Dacă $x = \operatorname{tg} y$,	$y = \operatorname{Arctg} x$ (arc tangentă)
Dacă $x = \cotg y$,	$y = \operatorname{Arccotg} x$ (arc cotangentă)
Dacă $x = \sec y$,	$y = \operatorname{Arcsec} x$ (arc secantă)
Dacă $x = \operatorname{cosec} y$,	$y = \operatorname{Arccosec} x$ (arc cosecantă)

(y se măsoară în radiani).

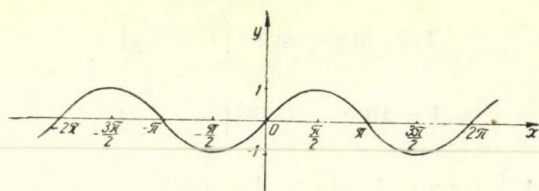


Fig. 1.1.

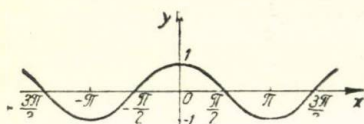


Fig. 1.2.

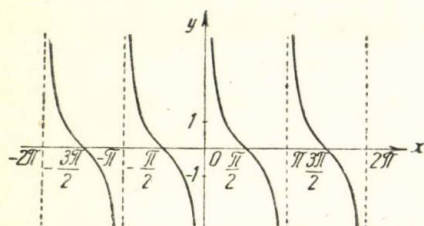


Fig. 1.4.

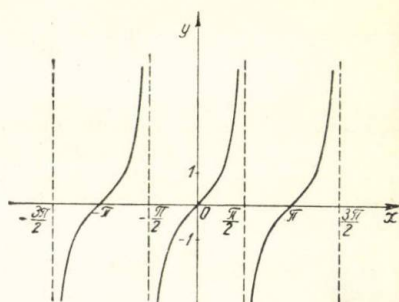


Fig. 1.3.

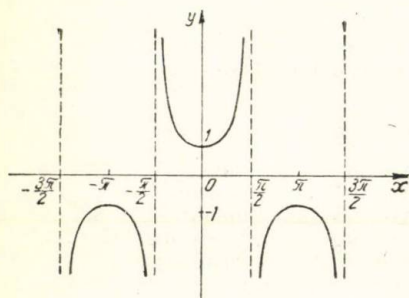


Fig. 1.5.

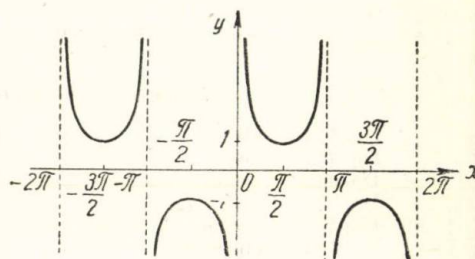


Fig. 1.6.

Funcțiile trigonometrice inverse sînt multiforme determinările lor principale se notează cu $\arcsin x$, $\arccos x$ etc. și sînt cuprinse între limitele:

$$-\frac{\pi}{2} \leq \arcsin x \leq \frac{\pi}{2}; \quad 0 \leq \arccos x \leq \pi;$$

$$-\frac{\pi}{2} < \operatorname{arctg} x < \frac{\pi}{2}; \quad 0 < \operatorname{arccotg} x < \pi.$$

Relațiile trigonometrice fundamentale aplicate funcțiilor trigonometrice inverse ne duc la egalitățile:

$$\sin(\arcsin x) = x; \quad \sin(\arccos x) = \sqrt{1 - x^2};$$

$$\sin(\operatorname{arctg} x) = \frac{x}{\sqrt{1 + x^2}}; \quad \sin(\operatorname{arccotg} x) = \frac{1}{\sqrt{1 + x^2}};$$

$$\cos(\arcsin x) = \sqrt{1 - x^2}; \quad \cos(\arccos x) = x;$$

$$\cos(\operatorname{arctg} x) = \frac{1}{\sqrt{1 + x^2}}; \quad \cos(\operatorname{arccotg} x) = \frac{x}{\sqrt{1 + x^2}}$$

$$\operatorname{tg}(\arcsin x) = \frac{x}{\sqrt{1 - x^2}}; \quad \operatorname{tg}(\arccos x) = \frac{\sqrt{1 - x^2}}{x}$$

$$\operatorname{tg}(\operatorname{arctg} x) = x; \quad \operatorname{tg}(\operatorname{arccotg} x) = \frac{1}{x}$$

$$\operatorname{cotg}(\arcsin x) = \frac{\sqrt{1 - x^2}}{x};$$

$$\operatorname{cotg}(\arccos x) = \frac{x}{\sqrt{1 - x^2}}; \quad \operatorname{cotg}(\operatorname{arctg} x) = \frac{1}{x}$$

$$\operatorname{cotg}(\operatorname{arccotg} x) = x.$$

Din relațiile dintre funcțiile trigonometrice ale unghiurilor suplimentare rezultă

$$\arcsin x + \arccos x = \frac{\pi}{2}; \quad \operatorname{arctg} x + \operatorname{arccotg} x = \frac{\pi}{2}.$$

Graficele funcțiilor trigonometrice inverse $\operatorname{Arcsin} x$, $\operatorname{Arccos} x$, $\operatorname{Arctg} x$, $\operatorname{Arccotg} x$ sînt date respectiv în fig. 1.7—1.10. Determinărilor principale le corespund liniile pline.

Relații între laturile și unghiurile triunghiului

$$\frac{a}{\sin A} = \frac{b}{\sin B} = \frac{c}{\sin C} = 2R \quad (\text{teorema sinusurilor})$$

(R — raza cercului circumscris)

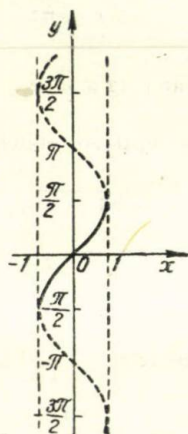


Fig. 1.7.

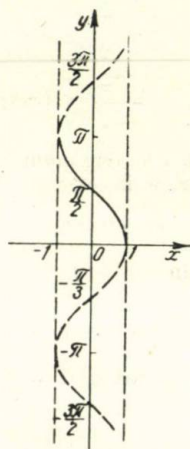


Fig. 1.8.

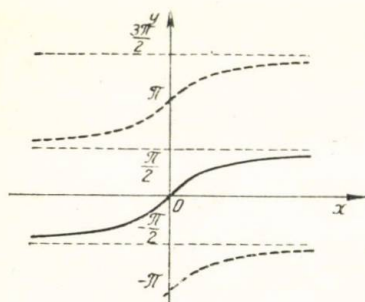


Fig. 1.9.

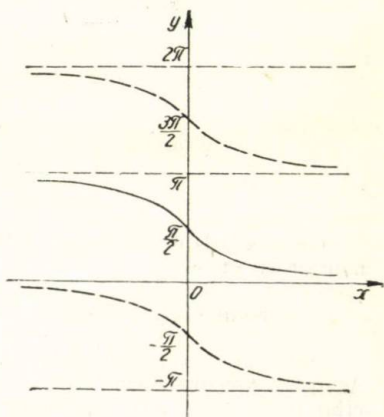


Fig. 1.10.

$$a^2 = c^2 + b^2 - 2bc \cos A \quad (\text{teorema cosinusurilor})$$

$$\frac{a+b}{a-b} = \frac{\operatorname{tg} \frac{A+B}{2}}{\operatorname{tg} \frac{A-B}{2}} \quad (\text{teorema tangentelor})$$

$$\left. \begin{aligned} \frac{a+b}{c} &= \frac{\cos \frac{A-B}{2}}{\cos \frac{A+B}{2}} = \frac{\cos \frac{A-B}{2}}{\sin \frac{C}{2}} \\ \frac{a-b}{c} &= \frac{\sin \frac{A-B}{2}}{\sin \frac{A+B}{2}} = \frac{\sin \frac{A-B}{2}}{\cos \frac{C}{2}} \end{aligned} \right\} \quad (\text{formulele lui Molweide}).$$

Calculul lungimilor unor segmente legate de un triunghi

Înălţimea din vârful A : $h_a = b \sin C = c \sin B$.

Mediana din vârful A : $m_a = \frac{1}{2} \sqrt{b^2 + c^2 + 2bc \cos A}$.

Bisectoarea unghiului A : $\beta_a = \frac{2bc \cos \frac{A}{2}}{b+c}$.

Raza cercului circumscris:

$$R = \frac{a}{2 \sin A} = \frac{b}{2 \sin B} = \frac{c}{2 \sin C}.$$

Raza cercului înscris:

$$\begin{aligned} r &= \frac{S}{p} = \sqrt{\frac{(p-a)(p-b)(p-c)}{p}} = \\ &= p \operatorname{tg} \frac{A}{2} \operatorname{tg} \frac{B}{2} \operatorname{tg} \frac{C}{2} = 4R \sin \frac{A}{2} \sin \frac{B}{2} \sin \frac{C}{2}. \end{aligned}$$

Rezolvarea triunghiurilor ascuțitunghice

Notății: A, B, C — unghiurile opuse laturilor a, b, c (fig. 1.11);

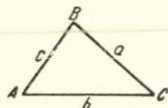


Fig. 1.11.

Date	Formule pentru determinarea celorlalte elemente
O latură și două unghiuri (a, A, B)	$C = 180^\circ - A - B;$ $b = \frac{a \sin B}{\sin A}; \quad c = \frac{a \sin C}{\sin A}$
Două laturi și unghiul dintre ele (a, b, C)	<p>Prima metodă:</p> $c = \sqrt{a^2 + b^2 - 2ab \cos C}$ $\sin B = \frac{b \sin C}{c}; \quad A = 180^\circ - B - C.$ <p>A doua metodă: unghiurile A și B se află din sistemul de două ecuații</p> $\left. \begin{aligned} \operatorname{tg} \frac{A - B}{2} &= \frac{a - b}{a + b} \cotg \frac{C}{2} \\ \frac{A + B}{2} &= 90^\circ - \frac{C}{2} \end{aligned} \right\}$ $c = \frac{a \sin C}{\sin A}$
Două laturi și unghiul opus uneia dintre ele (a, b, A)	$\sin B = \frac{b \sin A}{a}.$ <p>Dacă $a \geq b$, $B < 90^\circ$, există o singură soluție. Dacă $b \sin A > a$, rezolvarea nu este posibilă. Dacă $b \sin A = a$, există o singură soluție $B = 90^\circ$. Dacă $b \sin A < a$, există două soluții: B_1 și B_2, iar $B_2 = 180^\circ - B_1$; $C = 180^\circ - A - B$; $c = \frac{a \sin C}{\sin A}$.</p>

Rezolvarea triunghiurilor ascuțitunghice

Notății: A, B, C — unghiurile opuse laturilor a, b, c (fig. 1.11);

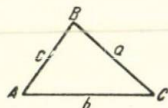


Fig. 1.11.

Date	Formule pentru determinarea celorlalte elemente
O latură și două unghiuri (a, A, B)	$C = 180^\circ - A - B;$ $b = \frac{a \sin B}{\sin A}; \quad c = \frac{a \sin C}{\sin A}$
Două laturi și unghiul dintre ele (a, b, C)	<p>Prima metodă:</p> $c = \sqrt{a^2 + b^2 - 2ab \cos C}$ $\sin B = \frac{b \sin C}{c}; \quad A = 180^\circ - B - C.$ <p>A doua metodă: unghiurile A și B se află din sistemul de două ecuații</p> $\left. \begin{aligned} \operatorname{tg} \frac{A - B}{2} &= \frac{a - b}{a + b} \cotg \frac{C}{2} \\ \frac{A + B}{2} &= 90^\circ - \frac{C}{2} \end{aligned} \right\}$ $c = \frac{a \sin C}{\sin A}$
Două laturi și unghiul opus uneia dintre ele (a, b, A)	$\sin B = \frac{b \sin A}{a}.$ <p>Dacă $a \geq b$, $B < 90^\circ$, există o singură soluție. Dacă $b \sin A > a$, rezolvarea nu este posibilă. Dacă $b \sin A = a$, există o singură soluție $B = 90^\circ$. Dacă $b \sin A < a$, există două soluții: B_1 și B_2, iar $B_2 = 180^\circ - B_1$; $C = 180^\circ - A - B$; $c = \frac{a \sin C}{\sin A}$.</p>

(continuare)

Date	Formule pentru determinarea celorlalte elemente
Trei laturi (a, b, c)	<p>Prima metodă:</p> $\cos A = \frac{b^2 + c^2 - a^2}{2bc}$ $\sin B = \frac{b \sin A}{a}; C = 180^\circ - A - B.$ <p>A doua metodă:</p> $\operatorname{tg} \frac{A}{2} = \sqrt{\frac{(p-b)(p-c)}{p(p-a)}}$ $\operatorname{tg} \frac{B}{2} = \sqrt{\frac{(p-a)(p-c)}{p(p-b)}}$ $C = 180^\circ - A - B.$

Funcții hiperbolice și funcții hiperbolice inverse

Funcțiile hiperbolice se definesc cu ajutorul funcțiilor exponențiale prin formulele:

$$\operatorname{sh} \varphi = \frac{e^\varphi - e^{-\varphi}}{2} \quad (\text{sinus hiperbolic})$$

$$\operatorname{ch} \varphi = \frac{e^\varphi + e^{-\varphi}}{2} \quad (\text{cosinus hiperbolic})$$

$$\operatorname{th} \varphi = \frac{e^\varphi - e^{-\varphi}}{e^\varphi + e^{-\varphi}} \quad (\text{tangenta hiperbolică})$$

$$\operatorname{coth} \varphi = \frac{1}{\operatorname{th} \varphi} = \frac{e^\varphi + e^{-\varphi}}{e^\varphi - e^{-\varphi}} \quad (\text{cotangenta hiperbolică})$$

$$\operatorname{sech} \varphi = \frac{1}{\operatorname{ch} \varphi} = \frac{2}{e^\varphi + e^{-\varphi}} \quad (\text{secanta hiperbolică})$$

$$\operatorname{cosech} \varphi = \frac{1}{\operatorname{sh} \varphi} = \frac{2}{e^\varphi - e^{-\varphi}} \quad (\text{cosecanta hiperbolică}).$$

Pentru valori reale ale argumentului φ au loc inegalitățile:

$$\operatorname{ch} \varphi \geq 1; \quad -1 < \operatorname{th} \varphi < +1; \quad |\operatorname{coth} \varphi| > 1,$$

iar $\operatorname{sh} \varphi$ poate avea orice valori pozitive sau negative.

Pentru funcțiile hiperbolice există următoarele relații:

1. Funcții de argument negativ

$$\operatorname{sh} (-\varphi) = -\operatorname{sh} \varphi; \quad \operatorname{ch} (-\varphi) = \operatorname{ch} \varphi; \quad \operatorname{th} (-\varphi) = -\operatorname{th} \varphi;$$

$$\operatorname{coth} (-\varphi) = -\operatorname{coth} \varphi.$$

2. Funcții de un argument

$$\operatorname{ch}^2 \varphi - \operatorname{sh}^2 \varphi = 1;$$

$$1 - \operatorname{th}^2 \varphi = \operatorname{sech}^2 \varphi; \quad \operatorname{coth}^2 \varphi - 1 = \operatorname{cosech}^2 \varphi;$$

$$\frac{\operatorname{sh} \varphi}{\operatorname{ch} \varphi} = \operatorname{th} \varphi; \quad \frac{\operatorname{ch} \varphi}{\operatorname{sh} \varphi} = \operatorname{coth} \varphi; \quad \operatorname{th} \varphi \cdot \operatorname{coth} \varphi = 1.$$

3. Funcții de suma și de diferența a două argumente, de argumente duble și jumătăți de argumente

$$\operatorname{sh} (\varphi \pm \psi) = \operatorname{sh} \varphi \operatorname{ch} \psi \pm \operatorname{ch} \varphi \operatorname{sh} \psi;$$

$$\operatorname{ch} (\varphi \pm \psi) = \operatorname{ch} \varphi \operatorname{ch} \psi \pm \operatorname{sh} \varphi \operatorname{sh} \psi;$$

$$\operatorname{th} (\varphi \pm \psi) = \frac{\operatorname{th} \varphi \pm \operatorname{th} \psi}{1 \pm \operatorname{th} \varphi \operatorname{th} \psi}; \quad \operatorname{coth} (\varphi \pm \psi) = \frac{1 \pm \operatorname{coth} \varphi \operatorname{coth} \psi}{\operatorname{coth} \varphi \pm \operatorname{coth} \psi};$$

$$\operatorname{sh} 2\varphi = 2\operatorname{sh} \varphi \operatorname{ch} \varphi; \quad \operatorname{ch} 2\varphi = \operatorname{ch}^2 \varphi + \operatorname{sh}^2 \varphi = 2\operatorname{sh}^2 \varphi + 1 = 2\operatorname{ch}^2 \varphi - 1;$$

$$\operatorname{th} 2\varphi = \frac{2 \operatorname{th} \varphi}{1 + \operatorname{th}^2 \varphi}; \quad \operatorname{coth} 2\varphi = \frac{1 + \operatorname{coth}^2 \varphi}{2 \operatorname{coth} \varphi};$$

$$\operatorname{sh} \frac{\varphi}{2} = \pm \sqrt{\frac{\operatorname{ch} \varphi - 1}{2}}^*); \quad \operatorname{ch} \frac{\varphi}{2} = \sqrt{\frac{\operatorname{ch} \varphi + 1}{2}};$$

$$\operatorname{th} \frac{\varphi}{2} = \pm \sqrt{\frac{\operatorname{ch} \varphi - 1}{\operatorname{ch} \varphi + 1}}^*); \quad \operatorname{coth} \frac{\varphi}{2} = \pm \sqrt{\frac{\operatorname{ch} \varphi + 1}{\operatorname{ch} \varphi - 1}}^*)$$

4. Sumele și diferențele funcțiilor hiperbolice

$$\operatorname{sh} \varphi \pm \operatorname{sh} \psi = 2\operatorname{sh} \frac{\varphi \pm \psi}{2} \operatorname{ch} \frac{\varphi \mp \psi}{2};$$

$$\operatorname{ch} \varphi - \operatorname{ch} \psi = 2\operatorname{sh} \frac{\varphi + \psi}{2} \operatorname{sh} \frac{\varphi - \psi}{2};$$

$$\operatorname{ch} \varphi + \operatorname{ch} \psi = 2\operatorname{ch} \frac{\varphi + \psi}{2} \operatorname{ch} \frac{\varphi - \psi}{2}; \quad \operatorname{th} \varphi \pm \operatorname{th} \psi = \frac{\operatorname{sh} (\varphi \pm \psi)}{\operatorname{ch} \varphi \operatorname{ch} \psi}.$$

Graficele funcțiilor hiperbolice $\operatorname{sh} x$, $\operatorname{ch} x$, $\operatorname{th} x$, $\operatorname{coth} x$, se găsesc respectiv în fig. 1.12—1.15.

Funcții hiperbolice inverse

Dacă $x = \operatorname{sh} y$, atunci $y = \arg \operatorname{sh} x$ (*argument sinus hiperbolic*)

Dacă $x = \operatorname{ch} y$, atunci $y = \arg \operatorname{ch} x$ (*argument cosinus hiperbolic*)

Dacă $x = \operatorname{th} y$, atunci $y = \arg \operatorname{th} x$ (*argument tangentă hiperbolică*)

Dacă $x = \operatorname{coth} y$, atunci $y = \arg \operatorname{coth} x$ (*argument cotangentă hiperbolică*).

*) Semnul $+$ se ia pentru $\varphi > 0$, semnul $-$ pentru $\varphi < 0$.

Funcțiile hiperbolice inverse se exprimă prin logaritmi cu ajutorul formulelor

$$\arg \operatorname{sh} x = \ln(x + \sqrt{x^2 + 1}); \quad \arg \operatorname{ch} x = \ln(x \pm \sqrt{x^2 - 1}) \quad (x \geq 1);$$

$$\arg \operatorname{th} x = \frac{1}{2} \ln \frac{1+x}{1-x} \quad (|x| < 1); \quad \arg \operatorname{coth} x = \frac{1}{2} \ln \frac{x+1}{x-1} \quad (|x| > 1).$$

Graficele funcțiilor hiperbolice inverse $\arg \operatorname{sh} x$, $\arg \operatorname{ch} x$, $\arg \operatorname{th} x$, $\arg \operatorname{coth} x$ sint date respectiv în figurile 1.16–1.19.

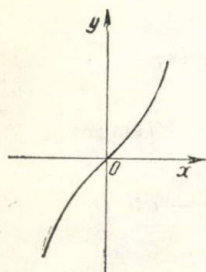


Fig. 1.12.

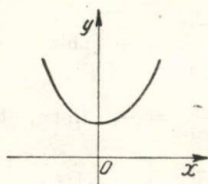


Fig. 1.13.

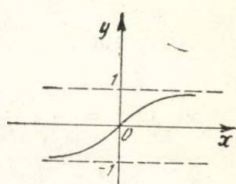


Fig. 1.14.

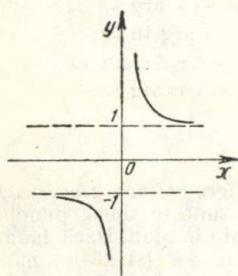


Fig. 1.15.

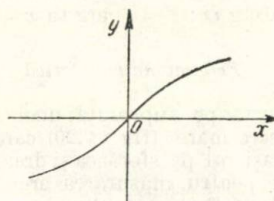


Fig. 1.16.

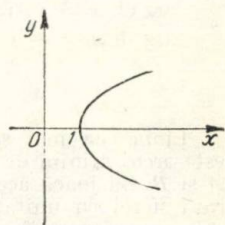


Fig. 1.17.

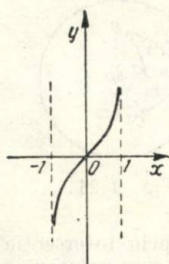


Fig. 1.18.

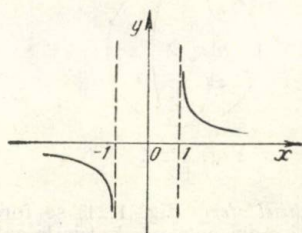


Fig. 1.19.

Relații între funcțiile trigonometrice circulare și funcțiile hiperbolice

Din formulele lui Euler

$$e^{ix} = \cos x + i \sin x,$$

$$e^{-ix} = \cos x - i \sin x$$

unde $i = \sqrt{-1}$, rezultă următoarele relații:

$$\cos x = \frac{e^{ix} + e^{-ix}}{2} = \operatorname{ch} ix; \quad \operatorname{ch} x = \cos ix;$$

$$\sin x = \frac{e^{ix} - e^{-ix}}{2i} = -i \operatorname{sh} ix; \quad \operatorname{sh} x = -i \sin ix;$$

$$\operatorname{tg} x = -i \frac{e^{ix} - e^{-ix}}{e^{ix} + e^{-ix}} = -i \operatorname{th} ix; \quad \operatorname{th} x = -i \operatorname{th} ix;$$

$$\operatorname{cotg} x = i \frac{e^{ix} + e^{-ix}}{e^{ix} - e^{-ix}} = i \operatorname{cotg} ix; \quad \operatorname{coth} x = i \operatorname{cotg} ix;$$

$$\operatorname{Arccos} x = -i \arg \operatorname{ch} x;$$

$$\operatorname{Arcsin} x = -i \arg \operatorname{sh} ix;$$

$$\operatorname{Arctg} x = -i \arg \operatorname{th} ix;$$

$$\operatorname{Arccotg} x = i \arg \operatorname{th} ix;$$

$$\arg \operatorname{ch} x = i \operatorname{Arccos} x;$$

$$\arg \operatorname{sh} x = -i \operatorname{Arcsin} ix;$$

$$\arg \operatorname{th} x = -i \operatorname{Arctg} ix;$$

$$\arg \operatorname{th} x = i \operatorname{Arccotg} ix.$$

Trigonometria sferică

Linia cea mai scurtă pe suprafața unei sfere (*linia geodezică*) este arcul minim de cerc mare (fig. 1.20) care unește două puncte A și B . Ea joacă același rol pe sferă ca și dreapta în plan. Dacă luăm raza sferei ca unitate pentru măsurarea arcului AB (și găsim $AB = a$), iar unghiul AOB îl măsurăm în radiani (și găsim $\angle AOB = \alpha$) avem $\alpha = a$.

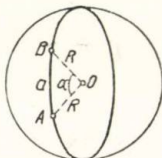


Fig. 1.20.

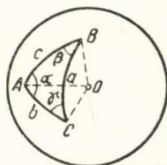


Fig. 1.21.

Triunghiul sferic (fig. 1.21) se formează prin intersecția arcelor a trei cercuri mari pe sferă. Laturile sale a, b, c , se măsoară cu ajutorul unghiurilor plane ale unghiului triedru $OABC$.

Un triunghi sferic poate fi rezolvat în raport cu trei din cele șase elemente ale sale (trei laturi a, b, c și trei unghiuri α, β, γ), deoarece unghiurile sale nu sînt legate printr-o relație ca unghiurile unui triunghi plan. Suma unghiurilor unui triunghi sferic este totdeauna mai mare decît π ; de aceea se introduce noțiunea de *exces sferic* al triunghiului, care este diferența $\varepsilon = (\alpha + \beta + \gamma) - \pi$.

Pentru rezolvarea triunghiurilor sferice dreptunghice cu unghiul drept $\alpha = \frac{\pi}{2}$ și ipotenuza a (fig. 1.22), se folosesc următoarele formule

$$\cos a = \cos b \cos c = \cotg \beta \cotg \gamma$$

$$\cos b = \frac{\cos \beta}{\sin \gamma}; \quad \cos \beta = \frac{\tg c}{\tg a}$$

$$\cos c = \frac{\cos \gamma}{\sin \beta}; \quad \cos \gamma = \frac{\tg b}{\tg a}$$

$$\sin \beta = \frac{\sin b}{\sin a}; \quad \tg \beta = \frac{\tg b}{\sin c}$$

$$\sin \gamma = \frac{\sin c}{\sin a}; \quad \tg \gamma = \frac{\tg c}{\sin b}$$

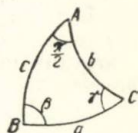


Fig. 1.22.

Pentru rezolvarea triunghiurilor sferice cu unghiuri ascuțite, se folosesc formulele:

$$\frac{\sin a}{\sin \alpha} = \frac{\sin b}{\sin \beta} = \frac{\sin c}{\sin \gamma} \quad (\text{teorema sinusurilor})$$

$$\left. \begin{aligned} \cos a &= \cos b \cos c + \sin b \sin c \cos \alpha; \\ \cos \alpha &= -\cos \beta \cos \gamma + \sin \beta \sin \gamma \cos a \end{aligned} \right\} \quad (\text{teorema cosinusurilor})$$

$$\sin a \cos b = \cos a \sin b \cos \gamma + \sin c \cos \beta;$$

$$\sin a \cotg b = \cotg b \sin \gamma + \cos a \cos \gamma;$$

$$\sin \alpha \cos \beta = \cos b \sin \gamma - \cos c \sin \beta \cos \alpha;$$

$$\sin \alpha \cotg \beta = \sin c \cotg b - \cos c \cos \alpha;$$

$$\sin \frac{a}{2} = \sqrt{\frac{-\cos \sigma \cos (\sigma - \alpha)}{\sin \beta \sin \gamma}}$$

$$\cos \frac{a}{2} = \sqrt{\frac{\cos (\sigma - \beta) \cos (\sigma - \gamma)}{\sin \beta \sin \gamma}}$$

$$\text{unde } \sigma = \frac{\alpha + \beta + \gamma}{2};$$

$$\sin \frac{\alpha}{2} = \sqrt{\frac{\sin(p-b) \sin(p-c)}{\sin b \sin c}}$$

$$\cos \frac{\alpha}{2} = \sqrt{\frac{\sin p \sin(p-a)}{\sin b \sin c}}.$$

Aria triunghiului sferic este $S = \varepsilon R^2$, unde ε este excesul sferic, iar R este raza sferei.

Aria fusului (biunghiului) sferic format de două arce ale unui cerc mare este $S = 2\varphi R^2$, unde unghiul φ dintre arce se măsoară în radiani.

1.2

Determinanți și sisteme de ecuații liniare

§ 1.4. Determinanți

Definiții. Determinantul de ordinul n

$$\Delta = \begin{vmatrix} a_{11} & a_{12} & \dots & a_{1n} \\ a_{21} & a_{22} & \dots & a_{2n} \\ \dots & \dots & \dots & \dots \\ a_{n1} & a_{n2} & \dots & a_{nn} \end{vmatrix}$$

conține n^2 elemente distribuite în n linii și în n coloane.

Minorul (subdeterminantul) unui element al determinantului de ordinul n se numește determinantul de ordinul $n - 1$ ce se obține din determinantul dat, prin tăierea liniei și a coloanei cărora le aparține elementul considerat.

Complementul algebric al unui element al determinantului de ordinul n se numește minorul său înmulțit cu $(-1)^{i+j}$, unde i este numărul liniei, iar j este numărul coloanei elementului considerat.

Determinantul este egal cu suma produselor elementelor unei linii sau unei coloane prin complementii algebrici respectivi (*descompunerea determinantului în minori*): astfel, de exemplu, dacă $A_{11}, A_{21}, \dots, A_{n1}$ sînt complementii algebrici ai elementelor primei coloane, atunci

$$\begin{vmatrix} a_{11} & a_{12} & \dots & a_{1n} \\ a_{21} & a_{22} & \dots & a_{2n} \\ \dots & \dots & \dots & \dots \\ a_{n1} & a_{n2} & \dots & a_{nn} \end{vmatrix} = a_{11}A_{11} + a_{21}A_{21} + \dots + a_{n1}A_{n1}.$$

Pentru calculul unui determinant de ordinul al doilea $\begin{vmatrix} a_1 & b_1 \\ a_2 & b_2 \end{vmatrix}$ trebuie să scădem din produsul elementelor a_1 și b_2 , așezate pe *diagonala*

principală, produsul elementelor a_2 și b_1 , așezate pe a doua diagonală, adică

$$\begin{vmatrix} a_1 & b_1 \\ a_2 & b_2 \end{vmatrix} = a_1 b_2 - a_2 b_1.$$

Pentru calculul unui determinant de ordinul al treilea pe baza celor spuse mai înainte avem

$$\begin{aligned} \begin{vmatrix} a_1 & b_1 & c_1 \\ a_2 & b_2 & c_2 \\ a_3 & b_3 & c_3 \end{vmatrix} &= a_1 \begin{vmatrix} b_2 & c_2 \\ b_3 & c_3 \end{vmatrix} - b_1 \begin{vmatrix} a_2 & c_2 \\ a_3 & c_3 \end{vmatrix} + c_1 \begin{vmatrix} a_2 & b_2 \\ a_3 & b_3 \end{vmatrix} = \\ &= a_1 (b_2 c_3 - b_3 c_2) - b_1 (a_2 c_3 - a_3 c_2) + c_1 (a_2 b_3 - a_3 b_2) = \\ &= a_1 b_2 c_3 - a_1 b_3 c_2 - a_2 b_1 c_3 + a_3 b_1 c_2 + a_2 b_3 c_1 - a_3 b_2 c_1. \end{aligned}$$

Determinantul de ordinul al treilea mai poate fi calculat folosind *regula lui Sarrus*: se scriu sub determinant primele două linii și se formează suma algebrică a produselor elementelor (luate câte trei) așezate pe diagonalele determinantului și pe paralelele lor; produsele de pe diagonala principală și de pe paralelele sale se iau cu semnul + iar celelalte cu semnul -.

Exemplu

$$\begin{array}{rcccl} & \begin{array}{ccc} 3 & 2 & -1' \end{array} & & \\ & \begin{array}{ccc} -1 & -2 & 0' \end{array} & & \\ - & \begin{array}{ccc} 4 & 1 & -3' \end{array} & + & \\ - & \begin{array}{ccc} 3 & 2 & -1' \end{array} & + & \\ - & \begin{array}{ccc} 1 & -2 & 0' \end{array} & + & \end{array} = 18 - 1 + 0 - 8 - 0 + 6 = 15.$$

În locul liniilor se pot lua în mod analog coloanele.

Determinanții de ordin superior se calculează prin dezvoltarea lor succesivă după minori.

Proprietățile fundamentale ale determinantilor*). 1. Determinantul nu-și schimbă valoarea dacă înlocuim toate liniile prin coloanele respective (proprietatea echivalenței liniilor și a coloanelor):

$$\begin{vmatrix} a_1 & b_1 & c_1 \\ a_2 & b_2 & c_2 \\ a_3 & b_3 & c_3 \end{vmatrix} = \begin{vmatrix} a_1 & a_2 & a_3 \\ b_1 & b_2 & b_3 \\ c_1 & c_2 & c_3 \end{vmatrix}.$$

*) Aceste proprietăți sînt valabile pentru un determinant de orice ordin; ele sînt ilustrate în exemplul unui determinant de ordinul al treilea.

2. Dacă toate elementele unei linii (sau ale unei coloane) sînt nule, determinantul este nul

$$\begin{vmatrix} a_1 & b_1 & c_1 \\ a_2 & b_2 & c_2 \\ 0 & 0 & 0 \end{vmatrix} = 0.$$

3. La permutarea a două linii (sau a două coloane) determinantul își schimbă semnul:

$$\begin{vmatrix} a_1 & b_1 & c_1 \\ a_2 & b_2 & c_2 \\ a_3 & b_3 & c_3 \end{vmatrix} = - \begin{vmatrix} a_2 & b_2 & c_2 \\ a_1 & b_1 & c_1 \\ a_3 & b_3 & c_3 \end{vmatrix}.$$

4. Dacă un determinant are două linii identice (sau două coloane identice), el este nul

$$\begin{vmatrix} a_1 & b_1 & c_1 \\ a_1 & b_1 & c_1 \\ a_3 & b_3 & c_3 \end{vmatrix} = 0.$$

Factorul comun al tuturor elementelor unei linii (sau unei coloane) poate fi scos de sub semnul determinantului

$$\begin{vmatrix} a_1 & b_1 & c_1 \\ \lambda a_2 & \lambda b_2 & \lambda c_2 \\ a_3 & b_3 & c_3 \end{vmatrix} = \lambda \begin{vmatrix} a_1 & b_1 & c_1 \\ a_2 & b_2 & c_2 \\ a_3 & b_3 & c_3 \end{vmatrix}.$$

6. Determinantul, în care elementele unei linii (sau unei coloane) sînt proporționale cu elementele respective ale altei linii (sau ale altei coloane), este nul

$$\begin{vmatrix} a_1 & b_1 & c_1 \\ \lambda a_1 & \lambda b_1 & \lambda c_1 \\ a_3 & b_3 & c_3 \end{vmatrix} = 0.$$

7. Dacă la elementele unei linii (sau unei coloane) se adaugă elementele altei linii (sau altei coloane), înmulțite cu același număr, valoarea determinantului nu se schimbă:

$$\begin{vmatrix} a_1 & b_1 & c_1 \\ a_2 & b_2 & c_2 \\ a_3 & b_3 & c_3 \end{vmatrix} = \begin{vmatrix} a_1 + \lambda a_2 & b_1 + \lambda b_2 & c_1 + \lambda c_2 \\ a_2 & b_2 & c_2 \\ a_3 & b_3 & c_3 \end{vmatrix}.$$

În particular, dacă elementele unei linii oarecare (sau unei coloane) sînt o combinație liniară a elementelor respective ale celorlalte linii (sau celorlalte coloane), determinantul este nul

$$\begin{vmatrix} \lambda a_2 + \mu a_3 & \lambda b_2 + \mu b_3 & \lambda c_2 + \mu c_3 \\ a_2 & b_2 & c_2 \\ a_3 & b_3 & c_3 \end{vmatrix} = 0.$$

8. Dacă doi determinanți diferă între ei numai prin elementele unei singure linii (sau coloane), suma lor este determinantul în care elementele liniei (sau coloanei) respective sînt sumele elementelor determinanților-termeni, iar celelalte elemente sînt aceleași ca și în determinanții-termeni:

$$\begin{vmatrix} a_1 & b_1 & c_1 \\ a_2 & b_2 & c_2 \\ a_3 & b_3 & c_3 \end{vmatrix} + \begin{vmatrix} a'_1 & b'_1 & c'_1 \\ a_2 & b_2 & c_2 \\ a_3 & b_3 & c_3 \end{vmatrix} = \begin{vmatrix} a_1 + a'_1 & b_1 + b'_1 & c_1 + c'_1 \\ a_2 & b_2 & c_2 \\ a_3 & b_3 & c_3 \end{vmatrix}.$$

9. Suma produselor elementelor unei linii (sau unei coloane) prin complementarii algebrici ai elementelor respective ale altei linii (sau altei coloane) este nulă, de exemplu: $b_1 A_1 + b_2 A_2 + b_3 A_3 = 0$ (A_1, A_2 și A_3 sînt complementarii algebrici ai elementelor a_1, a_2 și a_3).

§ 1.5. Sisteme de ecuații liniare

Sistemele de două și de trei ecuații liniare. 1. Soluția unui sistem de două ecuații liniare cu două necunoscute $a_1 x + b_1 y = c_1$, $a_2 x + b_2 y = c_2$ cu condiția ca $\Delta = \begin{vmatrix} a_1 & b_1 \\ a_2 & b_2 \end{vmatrix} \neq 0$, este:

$$x = \frac{\Delta_x}{\Delta}, \quad y = \frac{\Delta_y}{\Delta},$$

unde
$$\Delta_x = \begin{vmatrix} c_1 & b_1 \\ c_2 & b_2 \end{vmatrix}, \quad \Delta_y = \begin{vmatrix} a_1 & c_1 \\ a_2 & c_2 \end{vmatrix}.$$

În cazul cînd $\Delta = 0$, aceste formule devin lipsite de sens.

Dacă o dată cu egalitatea $\Delta = 0$ este satisfăcută cel puțin una din condițiile $\Delta_x \neq 0$, $\Delta_y \neq 0$, sistemul este incompatibil (nu are soluții). Dacă, însă, o dată cu $\Delta = 0$ avem $\Delta_x = \Delta_y = 0$, sistemul este nedeterminat (există o infinitate de soluții). În acest caz,

$$\frac{a_1}{a_2} = \frac{b_1}{b_2} = \frac{c_1}{c_2},$$

adică una dintre ecuații este o consecință a celeilalte și poate fi îndepărtată. Orice pereche de valori ale lui x și y , care satisfac ecuația rămasă, reprezintă o soluție a sistemului.

2. Sistemul de două ecuații omogene liniare cu două necunoscute $a_1x + b_1y = 0$, $a_2x + b_2y = 0$ sau este nedeterminat (pentru $\Delta = 0$ sau are o singură soluție (nulă: $x = y = 0$ pentru $\Delta \neq 0$). Cazul incompatibilității pentru un sistem omogen se exclude. Dacă un sistem de două ecuații omogene este nedeterminat, în afară de soluția nulă el are o infinitate de soluții cuprinse în formula $x:y = -b_1:a_1 = -b_2:a_2$.

3. Sistemul de trei ecuații liniare cu trei necunoscute:

$a_1x + b_1y + c_1z = d_1$, $a_2x + b_2y + c_2z = d_2$, $a_3x + b_3y + c_3z = d_3$
dacă

$$\Delta = \begin{vmatrix} a_1 & b_1 & c_1 \\ a_2 & b_2 & c_2 \\ a_3 & b_3 & c_3 \end{vmatrix} \neq 0,$$

se rezolvă prin formulele

$$x = \frac{\Delta_x}{\Delta}, \text{ unde } \Delta_x = \begin{vmatrix} d_1 & b_1 & c_1 \\ d_2 & b_2 & c_2 \\ d_3 & b_3 & c_3 \end{vmatrix}; y = \frac{\Delta_y}{\Delta}, \text{ unde } \Delta_y = \begin{vmatrix} a_1 & d_1 & c_1 \\ a_2 & d_2 & c_2 \\ a_3 & d_3 & c_3 \end{vmatrix};$$

$$z = \frac{\Delta_z}{\Delta}, \text{ unde } \Delta_z = \begin{vmatrix} a_1 & b_1 & d_1 \\ a_2 & b_2 & d_2 \\ a_3 & b_3 & d_3 \end{vmatrix}.$$

În cazul $\Delta = 0$, formulele de mai sus sînt lipsite de sens.

Dacă pentru $\Delta = 0$, printre determinanții Δ_x , Δ_y , Δ_z există cel puțin unul diferit de zero, sistemul este incompatibil; dacă, însă, $\Delta = \Delta_x = \Delta_y = \Delta_z = 0$, sistemul este fie incompatibil, fie nedeterminat (v. mai sus). În acest din urmă caz cel puțin una dintre ecuațiile sistemului este o consecință a celorlalte două și poate fi lăsată la o parte. Orice ansamblu de trei valori x , y și z , care satisface celelalte două (sau una) ecuații, este o soluție a sistemului.

Exemplu.

$$x + 2y - z = 2; 5x - 4y + z = 0; 2x + y - 3z = -5.$$

$$\Delta = \begin{vmatrix} 1 & 2 & -1 \\ 5 & -4 & 1 \\ 2 & 1 & -3 \end{vmatrix} = 32 \quad (\Delta \neq 0, \text{ sistemul este compatibil și are o singură soluție})$$

$$x = \frac{\begin{vmatrix} 2 & 2 & -1 \\ 0 & -4 & 1 \\ -5 & 1 & -3 \end{vmatrix}}{32} = 1; y = \frac{\begin{vmatrix} 1 & 2 & -1 \\ 5 & 0 & 1 \\ 2 & -5 & -3 \end{vmatrix}}{32} = 2; z = \frac{\begin{vmatrix} 1 & 2 & 2 \\ 5 & -4 & 0 \\ 2 & 1 & -5 \end{vmatrix}}{32} = 3.$$

4. Sistemul de două ecuații liniare, omogene, cu trei necunoscute $a_1x + b_1y + c_1z = 0$, $a_2x + b_2y + c_2z = 0$ are o infinitate de soluții, care se determină prin formulele

$$x = \begin{vmatrix} b_1 & c_1 \\ b_2 & c_2 \end{vmatrix} t; \quad y = \begin{vmatrix} c_1 & a_1 \\ c_2 & a_2 \end{vmatrix} t; \quad z = \begin{vmatrix} a_1 & b_1 \\ a_2 & b_2 \end{vmatrix} t,$$

unde t este o valoare arbitrară (se presupune că nu toți determinanții, care intervin în formule sînt nuli; în caz contrar, una dintre ecuații este o consecință a celeilalte și poate fi lăsată la o parte).

Exemplu. Rezolvînd sistemul de ecuații

$$x + y - z = 0, \quad 3x - 3y + z = 0,$$

se obține

$$x = \begin{vmatrix} 1 & -1 \\ -3 & 1 \end{vmatrix} t = -2t; \quad y = \begin{vmatrix} -1 & 1 \\ 1 & 3 \end{vmatrix} t = -4t; \quad z = \begin{vmatrix} 1 & 1 \\ 3 & -3 \end{vmatrix} t = -6t,$$

unde t este arbitrar.

Punînd $t = -1/2$, se obține soluția: $x = 1$, $y = 2$, $z = 3$; cînd $t = 1$, se obține o altă soluție: $x = -2$, $y = -4$, $z = -6$ etc.

5. Sistemul de trei ecuații liniare și omogene cu trei necunoscute

$$a_1x + b_1y + c_1z = 0, \quad a_2x + b_2y + c_2z = 0, \quad a_3x + b_3y + c_3z = 0$$

sau are o soluție unică (nulă pentru $\Delta \neq 0$), sau este nedeterminat (pentru $\Delta = 0$). În acest din urmă caz, una sau două ecuații pot fi lăsate la o parte, fiind consecințe ale celorlalte. Dacă se lasă la o parte o singură ecuație ($\Delta = 0$, însă cel puțin unul dintre minorii săi nu este nul), problema se reduce la rezolvarea sistemului de două ecuații omogene independente cu trei necunoscute (v. mai sus). Dacă, însă, două ecuații sînt consecința celei de a treia ($\Delta = 0$ și toți minorii sînt și ei nuli), orice ansamblu de trei valori, care satisfac această ultimă ecuație reprezintă o soluție a sistemului.

Matricea și rangul ei. Un tablou dreptunghiular de mn elemente așezate în m linii și în n coloane:

$$A = \begin{pmatrix} a_{11} & a_{12} & \dots & a_{1n} \\ a_{21} & a_{22} & \dots & a_{2n} \\ \dots & \dots & \dots & \dots \\ a_{m1} & a_{m2} & \dots & a_{mn} \end{pmatrix},$$

se numește *matrice*.

Minorul matricei de ordinul k se numește determinantul compus din k^2 elemente, format cu k linii și k coloane ale acestei matrice (ordinea elementelor se păstrează). Dacă la matricea dată cel puțin un minor de ordinul p este diferit de zero, iar toți minorii de ordin mai mare decît p sînt nuli, numărul p se numește *rangul matricei*.

obținute prin asocierea la matricea A a unei coloane formate din termenii liberi, sistemul este incompatibil (nu are soluții). Dacă, însă, $\Delta = 0$ și $\Delta_k = 0$ ($k = 1, 2, \dots, n$), iar rangul matricei A este egal cu rangul matricei B , sistemul este nedeterminat (are o infinitate de soluții). În acest din urmă caz se permută ecuațiile în sistem și se renumerează necunoscutele, astfel încât minorul de ordinul r al matricei A , diferit de zero, să fie așezat în unghiul superior din stânga

matricei. După aceasta, se rezolvă sistemul format din primele r ecuații în raport cu x_1, x_2, \dots, x_r . Astfel, aceste r necunoscute se exprimă prin celelalte $n - r$ și anume: $x_{r+1}, x_{r+2}, \dots, x_n$. Acestea din urmă pot lua orice valori. Ecuațiile rămase pot fi lăsate la o parte (ele sînt consecința primelor r).

Exemplu.

$$\begin{array}{rclcrcl} -x & + & y & + & 2z & + & u & = & 4 \\ 2x & - & 2y & + & z & + & u & = & 2 \\ x & - & y & + & 3z & + & 2u & = & 6 \\ 3x & - & 3y & + & 4z & + & 3u & = & 8. \end{array}$$

Rangul matricelor A și B este egal cu 2 (sistemul este nedeterminat). Determinantul de ordinul al doilea din unghiul superior din stânga

matricei $\begin{vmatrix} -1 & 1 \\ 2 & -2 \end{vmatrix} = 0$; de aceea schimbăm ordinea necunoscutelor

$$\begin{array}{rclcrcl} -x & + & 2z & + & y & + & u & = & 4 \\ 2x & + & z & - & 2y & + & u & = & 2 \\ x & + & 3z & - & y & + & 2u & = & 6 \\ 3x & + & 4z & - & 3y & + & 3u & = & 8. \end{array}$$

Acum determinantul stîng superior $\begin{vmatrix} -1 & 2 \\ 2 & 1 \end{vmatrix}$ este diferit de zero.

Rezolvăm sistemul compus din primele două ecuații în raport cu x și z (lăsăm la o parte ultimele două ecuații, întrucât ele rezultă din primele două):

$$\begin{aligned} -x + 2z &= 4 - y - u \\ 2x + z &= 2 + 2y - u \end{aligned}$$

Se obține $x = \frac{5y - u}{5}$, $z = \frac{10 - 3u}{5}$. Aceasta este soluția siste-

mului dat. Valorile lui y și u sînt aici arbitrare.

În cazul general, sistemul de m ecuații cu n necunoscute ($m > n$)

$$\begin{array}{rcl} a_{11} x_1 + a_{12} x_2 + \dots + a_{1n} x_n & = & b_1 \\ a_{21} x_1 + a_{22} x_2 + \dots + a_{2n} x_n & = & b_2 \\ \dots & & \dots \\ a_{m1} x_1 + a_{m2} x_2 + \dots + a_{mn} x_n & = & b_m \end{array}$$

este determinat, adică are o singură soluție, atunci și numai atunci
când rangul matricei sale

$$A = \begin{pmatrix} a_{11} & a_{12} & \dots & a_{1n} \\ a_{21} & a_{22} & \dots & a_{2n} \\ \vdots & \vdots & \ddots & \vdots \\ a_{m1} & a_{m2} & \dots & a_{mn} \end{pmatrix}$$

coincide cu rangul matricei lărgite B și este egal cu numărul de necunoscute n . În acest caz, trebuie să se transcrie sistemul astfel, încât

minorul diferit de zero de ordinul n al matricei A să ocupe unghiul stîng superior și să se rezolve sistemul primelor n ecuații, lăsînd la o parte celelalte (ele sînt consecința primelor n).

Dacă rangul matricei A este mai mic decît rangul matricei B , sistemul este incompatibil.

Dacă rangul r al matricei A este egal cu rangul matricei B , însă $r < n$, sistemul este nedeterminat; după permutările respective în ordinea ecuațiilor și a necunoscutei, primele r ecuații se rezolvă în raport cu x_1, x_2, \dots, x_r , exprimînd aceste necunoscute prin valorile arbitrare rămase: $x_{r+1}, x_{r+2}, \dots, x_n$.

În cazul sistemului de ecuații omogene

$$a_{11} x_1 + a_{12} x_2 + \dots + a_{1n} x_n = 0$$

$$a_{21} x_1 + a_{22} x_2 + \dots + a_{2n} x_n = 0$$

$$\dots \dots \dots$$

$$a_{m1} x_1 + a_{m2} x_2 + \dots + a_{mn} x_n = 0$$

rangul matricei A este totdeauna egal cu rangul matricei B . Un astfel de sistem are în toate cazurile soluția nulă $x_1 = x_2 = \dots = x_n = 0$, care este unică, dacă sistemul este determinat, adică atunci cînd rangul r al matricei A este egal cu n . Dacă, însă, $r < n$, sistemul este nedeterminat și prin metoda de mai sus putem exprima necunoscutele x_1, x_2, \dots, x_r prin celelalte necunoscute, care rămîn arbitrare.

1.3

Geometria analitică

§ 1.6. Geometria analitică plană

Sistemele principale de coordonate. Pentru determinarea poziției unui punct în plan, se folosesc de cele mai multe ori două sisteme de coordonate: 1) sistemul cartezian ortogonal și 2) sistemul polar.

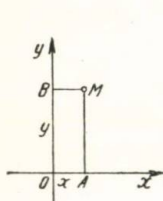


Fig. 1.23.

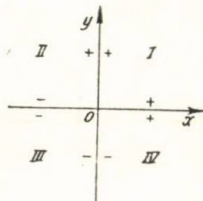


Fig. 1.24.

1. Coordonatele unui punct oarecare M (fig. 1.23) în sistemul de coordonate cartezian sînt: abscisa x și ordonata y , care se iau cu semne determinate. Distribuția obișnuită a semnelor în cele patru cadrane este reprezentată în fig. 1.24.

Transformarea sistemului de coordonate cartezian poate consta din:

a) *translația paralelă a axelor* de coordonate (fig. 1.25, a), în care coordonatele inițiale x și y ale punctului M sint legate de noile sale coordonate x' și y' prin relațiile

$$x = x' + a; \quad y = y' + b,$$

unde a și b sint coordonatele noii origini de coordonate O' în sistemul inițial, și

b) *rotația axelor* de coordonate cu un anumit unghi în jurul originii O (fig. 1.25, b); în acest caz, avem

$$x = x' \cos \alpha - y' \sin \alpha; \quad y = x' \sin \alpha + y' \cos \alpha,$$

unde α este unghiul de rotație a axelor.

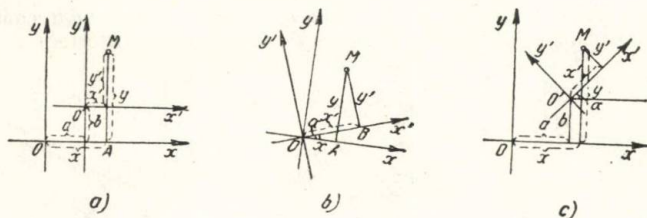


Fig. 1.25.

În cazul general al transformărilor de coordonate (fig. 1.25, c) avem relațiile:

$$x = x' \cos \alpha - y' \sin \alpha + a; \quad y = x' \sin \alpha + y' \cos \alpha + b.$$

2. Coordonatele unui punct oarecare M (fig. 1.26) în *sistemul de coordonate polar* sînt *raza vectorie* (distanța de la punctul M pînă la un anumit punct O — polul sistemului de coordonate) și *unghiul polar* φ (unghiul dintre raza vectorie OM și o anumită axă Ox — axa polară). Unghiul φ se consideră pozitiv dacă, începînd de la axa polară, se socotește în direcția opusă mișcării acelor de ceasornic; în caz contrar φ se consideră negativ.

Dacă polul sistemului de coordonate polar coincide cu originea sistemului de coordonate cartezian (fig. 1.27) și axa polară coincide cu partea pozitivă a axei absciselor, între coordonatele carteziene x, y ale punctului M și coordonatele sale polare ρ, φ există relațiile:

$$x = \rho \cos \varphi; \quad y = \rho \sin \varphi;$$

$$\rho = \sqrt{x^2 + y^2}; \quad \operatorname{tg} \varphi = \frac{y}{x}.$$

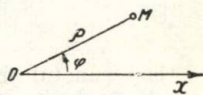


Fig. 1.26.

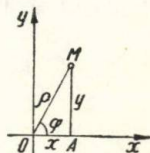


Fig. 1.27.

Citeva probleme simple. a) Distanța dintre două puncte $M_1(x_1, y_1)$ și $M_2(x_2, y_2)$, într-un sistem de coordonate cartezian (fig. 1.28), este

$$d = \sqrt{(x_2 - x_1)^2 + (y_2 - y_1)^2}.$$

În cazul particular cînd unul dintre puncte (de exemplu M_2) coincide cu originea axelor de coordonate,

$$d = \sqrt{x_1^2 + y_1^2}.$$

În sistemul de coordonate polar distanța dintre punctele $M_1(\rho_1, \varphi_1)$ și $M_2(\rho_2, \varphi_2)$ (fig. 1.29) este

$$d = \sqrt{\rho_1^2 + \rho_2^2 - 2 \rho_1 \rho_2 \cos(\varphi_2 - \varphi_1)}.$$

b) La împărțirea unui segment de dreaptă într-un raport dat, coordonatele carteziene ale punctului $M(x, y)$, care împarte interior segmen-

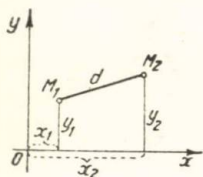


Fig. 1.28.

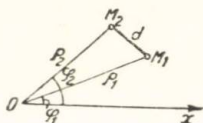


Fig. 1.29.

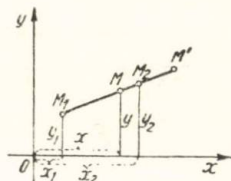


Fig. 1.30.

tul determinat de punctul inițial $M_1(x_1, y_1)$ și punctul final $M_2(x_2, y_2)$ în raportul $M_1M/MM_2 = \lambda$ (fig. 1.30), se determină prin formulele:

$$x = \frac{x_1 + \lambda x_2}{1 + \lambda}, \quad y = \frac{y_1 + \lambda y_2}{1 + \lambda}.$$

Dacă punctul M se află la mijlocul segmentului M_1M_2 ($\lambda = 1$), formulele capătă forma

$$x = \frac{x_1 + x_2}{2}, \quad y = \frac{y_1 + y_2}{2}.$$

Cînd punctul împarte exterior segmentul (punctul de diviziune este M') λ devine negativ.

c) Aria S a unui triunghi, definit prin vîrfurile $A(x_1, y_1)$, $B(x_2, y_2)$ și $C(x_3, y_3)$ (fig. 1.31, a), este dată de formula

$$S = \pm \frac{1}{2} \begin{vmatrix} x_1 & y_1 & 1 \\ x_2 & y_2 & 1 \\ x_3 & y_3 & 1 \end{vmatrix}.$$

Valorii pozitive a determinantului îi corespunde parcurgerea vîrfurilor triunghiului A , B și C în sens opus sensului mișcării acelor

de ceasornic, iar valorii negative, parcurgerea în sensul mișcării acelor de ceasornic.

Dacă determinantul este egal cu zero, punctele A , B și C sînt coliniare.

Dacă unul dintre vîrfurile triunghiului (C) coincide cu originea axelor de coordonate (fig. 1.31, b), atunci

$$S = \pm \frac{1}{2} \begin{vmatrix} x_1 & y_1 \\ x_2 & y_2 \end{vmatrix}.$$

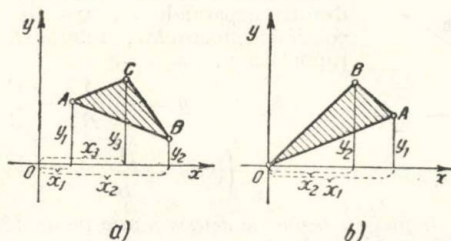


Fig. 1.31.

Aria S a unui poligon, definit prin vîrfurile $A_1(x_1, y_1)$, $A_2(x_2, y_2)$, $A_3(x_3, y_3), \dots, A_n(x_n, y_n)$, este dată de formula

$$S = \pm \frac{1}{2} [(x_1 - x_2)(y_1 + y_2) + (x_2 - x_3)(y_2 + y_3) + \dots + (x_n - x_1)(y_n + y_1)].$$

Reprezentarea geometrică a ecuației cu două variabile. Ecuația $F(x, y) = 0$ sau $y = f(x)$ este *ecuația unei drepte* în sistemul de coordonate cartezian dacă înlocuindu-se coordonatele oricărui punct al acestei drepte în ecuație se obține o identitate (satisfac ecuația), iar coordonatele tuturor celorlalte puncte ale planului nu satisfac această ecuație.

Tot astfel, ecuația $F(\rho, \varphi) = 0$ sau $\rho = f(\varphi)$ este *ecuația unei drepte* în coordonate polare.

Dreapta. Într-un sistem de coordonate cartezian linia dreaptă este dată de o ecuație liniară în raport cu coordonatele curente x și y .

1. *Ecuația generală a unei drepte:* $Ax + By + C = 0$. Pentru $C = 0$ dreapta trece prin originea axelor de coordonate, pentru $B = 0$ dreapta este paralelă cu axa Oy de ecuație $Ax + C = 0$, iar pentru $A = 0$ dreapta este paralelă cu axa Ox (fig. 1.32).

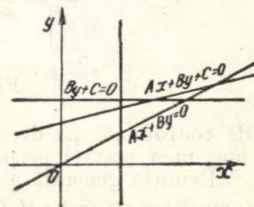


Fig. 1.32.

2. Ecuația dreptei cu coeficient unghiular

$$y = kx + b,$$

unde coeficientul unghiular k este egal cu tangenta unghiului format de dreaptă cu axa Ox ($k = \operatorname{tg} \varphi$), iar parametrul b , numit *ordonata la origine*, este egal cu lungimea segmentului determinat de dreaptă pe axa Oy , ținând seamă de semn (fig. 1.33). Ecuația dreptei cu coeficient unghiular poate reprezenta orice dreaptă, cu excepția dreptelor paralele cu axa Oy .

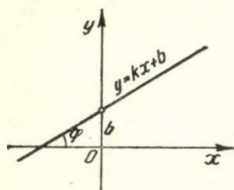


Fig. 1.33.

Pentru a reduce ecuația generală a unei drepte neparalele cu axa Oy la ecuația cu coeficient unghiular, trebuie să o rezolvăm în raport cu y :

$$y = -\frac{A}{B}x - \frac{C}{B}$$

$$\left(k = -\frac{A}{B}; b = -\frac{C}{B} \right).$$

3. Ecuația dreptei cu segmente determinante pe axele de coordonate (ecuația dreptei cu tăieturi) este

$$\frac{x}{a} + \frac{y}{b} = 1,$$

unde parametrii a și b , luați cu semnul $+$ sau $-$, sînt lungimile segmentelor determinate de dreaptă pe axele de coordonate (fig. 1.34). Dacă $b = \infty$ (dreapta este paralelă cu axa Oy), ecuația dreptei este $x = a$; dacă $a = \infty$ (dreapta este paralelă cu axa Ox), ecuația dreptei este $y = b$.

4. Ecuația normală a unei drepte este $x \cos \alpha + y \sin \alpha - p = 0$, unde α este unghiul format de perpendiculara dusă din originea axelor

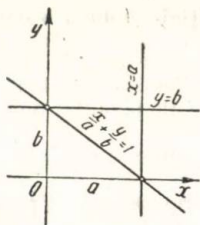


Fig. 1.34.

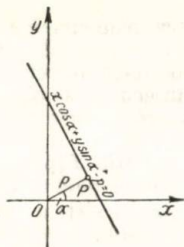


Fig. 1.35.

de coordonate pe dreaptă cu axa Ox , iar parametrul $p = OP$ este lungimea acestei perpendiculare (fig. 1.35).

Ecuația generală a dreptei poate fi redusă la forma normală prin înmulțirea cu factorul de normare $M = \pm 1/\sqrt{A^2 + B^2}$; semnul lui M este opus semnului lui C .

Între coeficienții A , B și C și parametrii α și p există relațiile

$$\cos \alpha = \pm \frac{A}{\sqrt{A^2 + B^2}}, \quad \sin \alpha = \pm \frac{B}{\sqrt{A^2 + B^2}}, \quad p = \mp \frac{C}{\sqrt{A^2 + B^2}}.$$

5. În sistemul de coordonate polar ecuația unei drepte care nu trece prin pol (fig. 1.36) este de forma $\rho = \frac{p}{\cos(\varphi - \alpha)}$, unde p este lungimea perpendiculară dusă din pol pe dreaptă, iar α , unghiul dintre

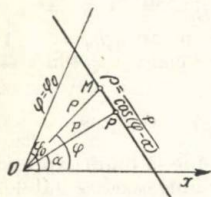


Fig. 1.36.

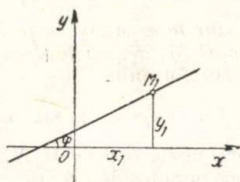


Fig. 1.37.

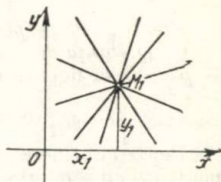


Fig. 1.38.

această perpendiculară și axa polară $\varphi = \varphi_0$ este ecuația razei care pornește din pol și care formează cu axa polară unghiul φ_0 .

6. Ecuația unei drepte care trece printr-un punct dat $M_1(x_1, y_1)$ și care are direcția dată (fig. 1.37) este $y - y_1 = k(x - x_1)$, unde k este coeficientul unghiular ($k = \tan \varphi$).

În cazul când k se consideră ca un parametru arbitrar, această ecuație reprezintă un fascicul de drepte care trec prin punctul $M_1(x_1, y_1)$ numit centrul fasciculului (fig. 1.38).

7. Ecuația unei drepte care trece prin două puncte date $M_1(x_1, y_1)$ și $M_2(x_2, y_2)$ (fig. 1.39):

$$\frac{y - y_1}{y_2 - y_1} = \frac{x - x_1}{x_2 - x_1} \quad \text{sau} \quad \begin{vmatrix} x & y & 1 \\ x_1 & y_1 & 1 \\ x_2 & y_2 & 1 \end{vmatrix} = 0.$$

Coeficientul unghiular al dreptei se determină în acest caz prin formula $k = \frac{y_2 - y_1}{x_2 - x_1}$.

Condiția ca trei puncte $M_1(x_1, y_1)$, $M_2(x_2, y_2)$ și $M_3(x_3, y_3)$ să se afle pe o aceeași dreaptă:

$$\frac{y_3 - y_1}{y_2 - y_1} = \frac{x_3 - x_1}{x_2 - x_1} \quad \text{sau} \quad \begin{vmatrix} x_1 & y_1 & 1 \\ x_2 & y_2 & 1 \\ x_3 & y_3 & 1 \end{vmatrix} = 0.$$

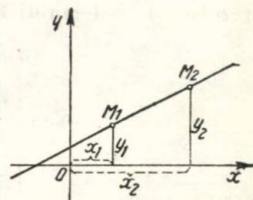


Fig. 1.39.

8. Unghiul dintre două drepte, date de ecuații sub forma generală $A_1x + B_1y + C_1 = 0$ și $A_2x + B_2y + C_2 = 0$, se determină prin formula

$$\tan \theta = \frac{A_1B_2 - A_2B_1}{A_1A_2 + B_1B_2}.$$

Unghiul θ se socotește de la prima dreaptă la a doua, în sens opus sensului mișcării acelor de ceasornic (fig. 1.40).

Dacă dreptele sînt date de ecuații cu coeficienți unghiulari $y = k_1x + b_1$ și $y = k_2x + b_2$, formula respectivă devine

$$\operatorname{tg} \theta = \frac{k_2 - k_1}{1 + k_1 k_2}.$$

Condiția de paralelism a două drepte: $\frac{A_1}{A_2} = \frac{B_1}{B_2}$ sau $k_1 = k_2$.

Condiția de perpendicularitate: $A_1 A_2 + B_1 B_2 = 0$ sau $k_1 k_2 = -1$.

9. Distanța de la punctul $M_1(x_1, y_1)$ la dreapta $x \cos \alpha + y \sin \alpha - p = 0$ se determină prin formula

$$d = \pm (x_1 \cos \alpha + y_1 \sin \alpha - p).$$

Pentru obținerea valorii pozitive $d = M_1 N$, trebuie să luăm expresia pentru d cu semnul $+$ dacă punctul $M_1(x_1, y_1)$ și originea coordonatelor

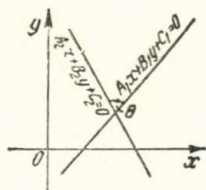


Fig. 1.40.

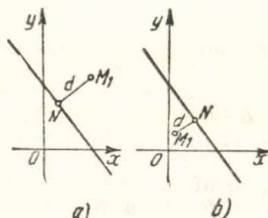


Fig. 1.41.

se află de părți diferite ale dreptei (fig. 1.41, a) și cu semnul $-$ dacă sînt de aceeași parte (fig. 1.41, b).

10. Coordonatele punctului de intersecție $M_0(x_0, y_0)$ a două drepte $A_1x + B_1y + C_1 = 0$ și $A_2x + B_2y + C_2 = 0$ se determină prin rezolvarea sistemului format de aceste ecuații după formulele

$$x_0 = \frac{\begin{vmatrix} B_1 & C_1 \\ B_2 & C_2 \end{vmatrix}}{\begin{vmatrix} A_1 & B_1 \\ A_2 & B_2 \end{vmatrix}}, \quad y_0 = \frac{\begin{vmatrix} C_1 & A_1 \\ C_2 & A_2 \end{vmatrix}}{\begin{vmatrix} A_1 & B_1 \\ A_2 & B_2 \end{vmatrix}},$$

dacă $\begin{vmatrix} A_1 & B_1 \\ A_2 & B_2 \end{vmatrix} \neq 0$.

În cazul cînd $\begin{vmatrix} A_1 & B_1 \\ A_2 & B_2 \end{vmatrix} = 0$ și $\begin{vmatrix} B_1 & C_1 \\ B_2 & C_2 \end{vmatrix} \neq 0$ (sau $\begin{vmatrix} C_1 & A_1 \\ C_2 & A_2 \end{vmatrix} \neq 0$), dreptele sînt paralele.

Dacă, însă, $\begin{vmatrix} A_1 & B_1 \\ A_2 & B_2 \end{vmatrix} = \begin{vmatrix} B_1 & C_1 \\ B_2 & C_2 \end{vmatrix} = \begin{vmatrix} C_1 & A_1 \\ C_2 & A_2 \end{vmatrix} = 0$, adică dacă sînt satisfăcute condițiile $A_1/A_2 = B_1/B_2 = C_1/C_2$, dreptele se suprapun (există o infinitate de puncte comune).

11. Condiția ca trei drepte avînd ecuațiile $A_1x + B_1y + C_1 = 0$, $A_2x + B_2y + C_2 = 0$, $A_3x + B_3y + C_3 = 0$ să treacă prin același punct:

$$\begin{vmatrix} A_1 & B_1 & C_1 \\ A_2 & B_2 & C_2 \\ A_3 & B_3 & C_3 \end{vmatrix} = 0.$$

12. Ecuația fasciculului de drepte care trec prin punctul de intersecție a două drepte date $A_1x + B_1y + C_1 = 0$ și $A_2x + B_2y + C_2 = 0$ este de forma

$$A_1x + B_1y + C_1 + \mu(A_2x + B_2y + C_2) = 0,$$

unde factorul μ este arbitrar. Variind pe μ , putem obține orice dreaptă din fascicul, care nu coincide cu dreapta a doua.

Cercul 1. Ecuația cercului în coordonate carteziene:

$$(x - a)^2 + (y - b)^2 = R^2,$$

unde R este raza cercului și a, b , coordonatele centrului O_1 (fig. 1.42).

Dacă centrul se află în originea axelor de coordonate, ecuația cercului ia forma $x^2 + y^2 = R^2$ sau, sub forma parametrică: $x = R \cos t$, $y = R \sin t$.

2. Ecuația generală de gradul al doilea în raport cu x și cu y : $Ax^2 + 2Bxy + Cy^2 + 2Dx + 2Ey + F = 0$ reprezintă un cerc dacă $A = C$ și $B = 0$, adică atunci cînd ea poate fi redusă la forma $x^2 + y^2 + 2D'x + 2E'y + F' = 0$.

Raza și coordonatele centrului cercului se determină prin formulele

$$R = \sqrt{D'^2 + E'^2 - F'};$$

$$a = -D'; \quad b = -E'.$$

Dacă $D'^2 + E'^2 - F' > 0$, cercul este real; dacă $D'^2 + E'^2 - F' < 0$, cercul este imaginar, iar dacă $D'^2 + E'^2 - F' = 0$, cercul se reduce la un punct.

3. În coordonate polare, ecuația cercului (fig. 1.43 a) este de forma

$$\rho^2 - 2\rho\rho_0(\varphi - \varphi_0) + \rho_0^2 = R^2,$$

unde R este raza cercului, iar ρ_0, φ_0 sînt coordonatele polare ale centrului O_1 .

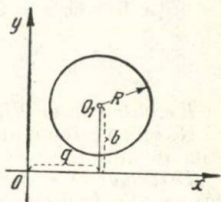


Fig. 1.42.

Dacă cercul trece prin pol și centrul se află pe axa polară (fig. 1.43, b), ecuația cercului capătă forma

$$\rho = 2R \cos \varphi.$$

Ecuația cercului al cărui centru coincide cu polul: $\rho = R$.

Elipsa. *Elipsa* (fig. 1.44) este locul geometric al punctelor din plan astfel încât suma distanțelor lor la două puncte date F_1 și F_2 , numite

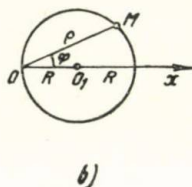
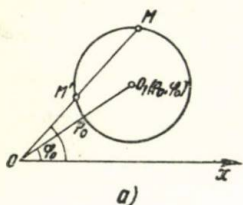


Fig. 1.43.

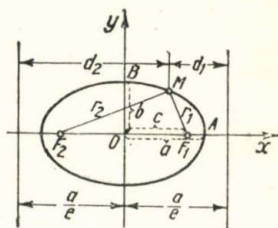


Fig. 1.44.

focare, este o mărime constantă: $r_1 + r_2 = 2a$ (segmentele r_1 și r_2 sînt razele vectoriale ale punctului M al elipsei).

1. Dacă focarele elipsei se află pe axa Ox , iar originea axelor de coordonate este situată în mijlocul segmentului F_1F_2 , ecuația elipsei este de forma:

$$\frac{x^2}{a^2} + \frac{y^2}{b^2} = 1,$$

unde a și b sînt semiaxele elipsei (ecuația canonică).

2. Ecuațiile parametrice ale elipsei: $x = a \cos t$, $y = b \sin t$.

Semiaxa mare a elipsei este $a = OA$, semiaxa mică $b = OB$, semi-distanța focală $c = OF_1$; între aceste mărimi există relația

$$b^2 = a^2 - c^2.$$

Excentricitatea elipsei $e = c/a$ este mai mică decît unitatea.

Razele vectoriale ale unui punct al elipsei cu abscisa x se calculează prin formulele: $r_1 = a - ex$; $r_2 = a + ex$.

Directoarele elipsei se numesc dreptele paralele cu axa mică și care se află la distanța a/e , de ambele părți ale ei. Ecuațiile directoarelor: $x = \pm a/e$.

Proprietatea fundamentală a directoarelor: raportul dintre raza vectorială a oricărui punct al elipsei și distanța de la acest punct la directoarea respectivă este o mărime constantă, egală cu excentricitatea elipsei:

$$\frac{r_1}{d_1} = \frac{r_2}{d_2} = e.$$

Hiperbola. *Hiperbola* (fig. 1.45) este locul geometric al punctelor din plan, astfel încât diferența distanțelor la două puncte date F_1 și F_2 , numite *focare*, este o mărime constantă: $r_1 - r_2 = \pm 2a$ (segmentele r_1 și r_2 sînt *razele vectoare* ale punctului M al hiperbolei).

1. Dacă focarele hiperbolei se află pe axa Ox , iar originea axelor de coordonate este situată în mijlocul segmentului F_1F_2 , ecuația hiperbolei este de forma:

$$\frac{x^2}{a^2} - \frac{y^2}{b^2} = 1,$$

unde a și b sînt *semiaxele* hiperbolei (ecuația canonică).

2. Ecuațiile parametrice ale hiperbolei: $x = \pm a \operatorname{ch} t$, $y = \pm b \operatorname{sh} t$.

Semiaxa reală a hiperbolei, $a = OA$; semiaxa imaginară, $b = OB$; semidistanța focală, $c = OF_1$; relația dintre aceste mărimi este

$$b^2 = c^2 - a^2.$$

Excentricitatea hiperbolei, $e = c/a$, este mai mare decît unitatea.

Razele vectoare ale unui punct al hiperbolei cu abscisa x se calculează după formulele:

$$r_1 = -a + ex, \quad r_2 = a + ex \quad (\text{pentru punctele de pe ramura dreaptă a hiperbolei})$$

$$r_1 = a - ex, \quad r_2 = -a - ex \quad (\text{pentru punctele de pe ramura stîngă a hiperbolei}).$$

Directoarele hiperbolei se numesc dreptele paralele cu axa imaginară și care se află la distanța a/e , de ambele părți ale ei. Ecuațiile directoarelor: $x = \pm a/e$.

Proprietatea fundamentală a directoarelor: raportul dintre raza vectoare a oricărui punct al hiperbolei și distanța de la acest punct la directoarea respectivă este o mărime constantă, egală cu excentricitatea hiperbolei:

$$\frac{r_1}{d_1} = \frac{r_2}{d_2} = e.$$

Dreptele $y = \pm bx/a$ (fig. 1.46) sînt asimptotele hiperbolei (v. p. 157).

Hiperbolele $\frac{x^2}{a^2} - \frac{y^2}{b^2} = -1$ și $\frac{x^2}{a^2} - \frac{y^2}{b^2} = 1$ se numesc *conjugate*.

Hiperbolele conjugate au asimptote comune; axa reală a uneia este axa imaginară a celeilalte și invers.

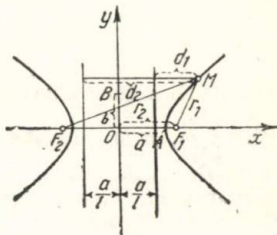


Fig. 1.45.

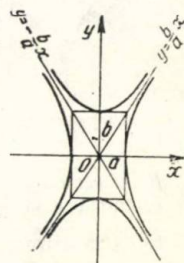


Fig. 1.46.

Hiperbola $x^2 - y^2 = a^2$, care are semiaxele a și b egale între ele, se numește *cu axe egale (echilateră)*. Asimptotele ei sînt perpendiculare între ele.

Dacă luăm ca axe de coordonate asimptotele unei hiperbole cu axe egale (fig. 1.47), ecuația acesteia devine:

$$xy = \pm \frac{a^2}{2}.$$

Ecuația $y = \frac{a_1x + b_1}{a_2x + b_2}$ este și ea ecuația unei hiperbole cu axe egale (fig. 1.48). Asimptotele ei sînt paralele cu axele de coordonate; centrul $O'(-b_2/a_2, a_1/a_2)$, iar vîrfurile $A, B\left(-\frac{b_2 \pm \sqrt{|D|}}{a_2}, \frac{a_1 \pm \sqrt{|D|}}{a_2}\right)$, unde $D = a_1b_2 - a_2b_1$.

Parabola. *Parabola* (fig. 1.49) este locul geometric al punctelor din plan egal depărtate de un punct dat F , numit *focar*, și o dreaptă dată, numită *directoare*.

Dacă axa Ox care trece prin focar este perpendiculară pe directoare, iar originea axelor de coordonate se află în mijlocul segmentului de pe axa Ox , cuprins între focar și directoare, ecuația parabolei este de forma $y^2 = 2px$, unde p este *parametrul* parabolei, egal cu distanța dintre focarul F și directoare (ecuația canonică).

Virful parabolei, dat de ecuația sub formă canonică, coincide cu originea axelor de coordonate. *Excentricitatea* parabolei este egală cu unitatea. Spre deosebire de elipsă și de hiperbolă, parabola nu are centru.

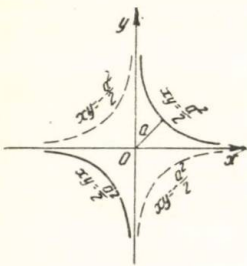


Fig. 1.47.

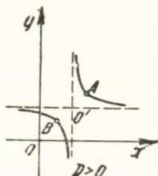


Fig. 1.48.

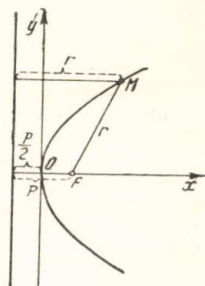


Fig. 1.49.

Raza vectoare a unui punct al parabolei cu abscisa x se calculează cu formula $r = x + p/2$.

Ecuația directoarei parabolei $x = -\frac{p}{2}$.

Ecuația $y = ax^2 + bx + c$, a cărei parte dreaptă este un trinom de gradul al doilea, este ecuația unei parabole cu axa paralelă cu axa

Oy (fig. 1.50). Parametrul ei este $p = \frac{1}{2|a|}$. Pentru $a > 0$, parabola este îndreptată cu concavitatea în sus. Pentru $a < 0$, cu concavitatea în jos. Coordonatele virfului parabolei sînt

$$x_0 = -\frac{b}{2a}; \quad y_0 = \frac{4ac - b^2}{4a}.$$

Tangentele și normalele la cerc, elipsă, hiperbolă și parabolă. Ecuația *tangentei* în punctul $M_1(x_1, y_1)$ al unui cerc, dat de ecuația generală în coordonate cartezienne, este

$$(x - a)(x_1 - a) + (y - b)(y_1 - b) = R^2,$$

iar ecuația normalei în același punct este

$$\frac{y - b}{y_1 - b} = \frac{x - a}{x_1 - a}.$$

În cazul cînd centrul cercului se află în originea axelor de coordonate, ecuația tangentei în punctul $M_1(x_1, y_1)$ ia forma

$$xx_1 + yy_1 = R^2,$$

iar ecuația normalei în același punct,

$$y_1x - x_1y = 0.$$

Ecuația tangentei la elipsă într-un punct dat $M_1(x_1, y_1)$ al elipsei este

$$\frac{xx_1}{a^2} + \frac{yy_1}{b^2} = 1.$$

Ecuația normalei în același punct

$$\frac{x - x_1}{b^2x_1} - \frac{y - y_1}{a^2y_1} = 0.$$

Normala la elipsă (fig. 1.51, a) este bisectoarea unghiului interior format de razele vectoare ale punctului elipsei, iar tangenta este bisectoarea unghiului exterior respectiv.

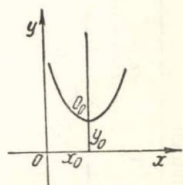
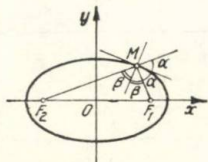
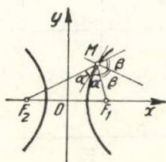


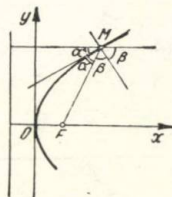
Fig. 1.50.



a)



b)



c)

Fig. 1.51.

Reducerea ecuației generale a curbei de gradul al doilea la forma canonică

		Forma curbelor	Transformarea coordonatelor	Ecuația canonică a curbei după transformare
Curbele cu centru $\delta \neq 0$	$\delta > 0$	Elipsă a) $\Delta \cdot I < 0$ — reală; b) $\Delta \cdot I > 0$ — imaginară	1) Translația originii în centrul curbei cu coordonatele $x_0 = \frac{BE - CD}{\delta}$ $y_0 = \frac{BD - AE}{\delta}.$	$S_1 x'^2 + S_2 y'^2 + \frac{\Delta}{\delta} = 0,$
		O pereche de drepte imaginare care au un punct comun		
	$\delta < 0$	Hiperbolă	2) rotația axelor cu unghiul α , unde $\operatorname{tg} 2\alpha = \frac{2B}{A - C},$	$S_1 = \frac{A + C + \sqrt{(A - C)^2 + 4B^2}}{2}$ $S_2 = \frac{A + C - \sqrt{(A - C)^2 + 4B^2}}{2}$
		O pereche de drepte care se intersectează	iar semnul lui $\sin 2\alpha$ coincide cu semnul lui $2B$. Coeficientul unghiular al axei noi x' ; $k = \frac{C - A + \sqrt{(C - A)^2 + 4B^2}}{2B}$	(S_1 și S_2 sînt rădăcinile ecuației de gradul al doilea $S^2 - LS + \delta = 0$).

Curbele parabolice *) $\delta = 0$	$\Delta \neq 0$	Parabolă	<p>1) rotația axelor cu unghiul α, unde</p> $\operatorname{tg} \alpha = -\frac{A}{B},$ <p>iar semnul lui $\sin \alpha$ este opus semnului lui A.</p> <p>2) Translația originii în virful parabolei, ale cărei coordonate x_0 și y_0 se determină prin ecuațiile</p> $I_{y_0} + \frac{AD + BE}{\sqrt{A^2 + B^2}} = 0$ $\frac{BD - AE}{2\sqrt{A^2 + B^2}} x_0 + \frac{AD + BE}{\sqrt{A^2 + B^2}} y_0 + F = 0.$	$y'^2 = 2px',$ <p>unde $p = \frac{AE - BD}{I\sqrt{A^2 + B^2}}$</p>
$\Delta = 0$	O pereche de drepte paralele, dacă $D^2 - AF > 0$. O pereche de drepte confundate, dacă $D^2 - AF = 0$. O pereche de drepte imaginare, dacă $D^2 - AF < 0$.	Rotația axelor cu unghiul α , unde	$\operatorname{tg} \alpha = -\frac{A}{B}$ <p>iar semnul lui $\sin \alpha$ este opus semnului lui A</p>	$I_y'^2 + 2\frac{AD + BE}{\sqrt{A^2 + B^2}} y' + F = 0$

*) Se are în vedere că nici unul dintre coeficienții principali (A , B , C) nu este nul. Dacă doi coeficienți (A și B sau B și C) sînt nuli, simplificarea ecuației se reduce la translația paralelă a axelor; ecuația $C'y^2 + 2Dx + 2Ey + F = 0$ se transformă în ecuația $y'^2 = 2px'$ și ecuația $Ax^2 + 2Dx + 2Ey + F = 0$ în ecuația $x'^2 = 2py'$.

Ecuția tangentei la hiperbolă într-un punct dat pe ea $M_1(x_1, y_1)$:

$$\frac{xx_1}{a^2} - \frac{yy_1}{b^2} = 1.$$

Ecuția normalei în același punct

$$\frac{x - x_1}{b^2 x_1} + \frac{y - y_1}{a^2 y_1} = 0.$$

Tangenta la hiperbolă (fig. 1.51, b) este bisectoarea unghiului interior format de razele vectoare ale punctului hiperbolei, iar normala este bisectoarea unghiului exterior respectiv.

Ecuția tangentei la parabolă într-un punct dat $M_1(x_1, y_1)$ al ei:

$$yy_1 = p(x + x_1).$$

Ecuția normalei în același punct:

$$y - y_1 = -\frac{y_1}{p}(x - x_1).$$

Tangenta la parabolă (fig. 1.51, c) este bisectoarea unghiului interior format de raza vectoare a punctului parabolei și perpendiculara dusă din acest punct pe directoare, iar normala este bisectoarea unghiului exterior corespunzător.

Ecuțiile polare ale elipsei, parabolei și ramurii drepte a hiperbolei, când polul se află în focar și sensul pozitiv al axei polare este de la vârful cel mai apropiat de focar spre acesta (fig. 1.52), sînt de forma

$$\rho = \frac{p}{1 - e \cos \varphi},$$

unde p (*parametrul curbei*) este segmentul de dreaptă paralel cu directoarea, de la focar pînă la intersecția cu curba; e este excentricitatea.

Ecuția generală a curbei de gradul al doilea,

$$Ax^2 + 2Bxy + Cy^2 + 2Dx + 2Ey + F = 0,$$

determină o elipsă (în particular un cerc), o hiperbolă, o parabolă sau o pereche de drepte (*curbă de gradul al doilea, descompusă*).

Curba care are un centru determinat (centru de simetrie) se numește *cu centru*. Curbele cu centru de gradul al doilea sînt elipsa, hiperbola și perechea de drepte concurente.

Invariantii curbei de gradul al doilea:

$$\Delta = \begin{vmatrix} A & B & D \\ B & C & F \\ D & E & F \end{vmatrix}; \quad \delta = \begin{vmatrix} A & B \\ B & C \end{vmatrix} = AC - B^2; \quad I = A + C.$$

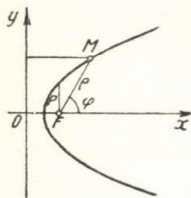


Fig. 1.52.

Aceste mărimi nu variază la translația și la rotația axelor de coordonate, adică, dacă după transformarea coordonatelor ecuația curbei este de forma

$$A'x'^2 + 2B'x'y' + C'y'^2 + 2D'x' + 2E'y' + F' = 0$$

mărimile Δ , δ și I , calculate pentru noile valori ale coeficienților, păstrează valorile inițiale.

§ 1.7. Geometria analitică în spațiu

Sistemele fundamentale de coordonate. Pentru determinarea poziției unui punct în spațiu se folosesc următoarele sisteme de coordonate: 1) sistemul cartezian ortogonal, 2) sistemul sferic sau polar și 3) sistemul cilindric sau semipolar.

1. *Coordonatele carteziene* ale punctului M (fig. 1.53) sînt: *abscisa* $x = OA$, *ordonata* $y = AN$ și *cota* $z = NM$. Se deosebesc sisteme

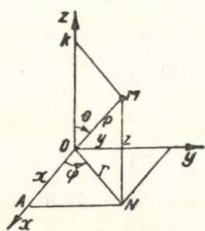


Fig. 1.53.

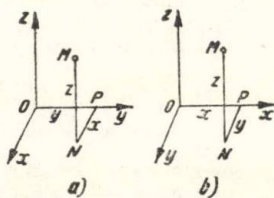


Fig. 1.54.

drepte de axe de coordonate (fig. 1.54, a) și sisteme stîngi (fig. 1.54, b); în cele ce urmează vom folosi sistemele drepte de axe.

Planele de coordonate împart spațiul în opt octanți (fig. 1.55). Semnele coordonatelor depind de octantul în care se află punctul și sînt date în tabela următoare

Octanți Coordonate	I	II	III	IV	V	VI	VII	VIII
x	+	-	-	+	+	-	-	+
y	+	+	-	-	+	+	-	-
z	+	+	+	+	-	-	-	-

La translația paralelă a axelor de coordonate (fig. 1.56), coordonatele x, y, z ale punctului M în sistemul $Oxyz$ sînt legate de coordonatele x', y', z' ale aceluiași punct în sistemul $O'x'y'z'$ prin relațiile: $x = x' + a, y = y' + b, z = z' + c$, unde a, b, c sînt coordonatele noii origini de coordonate O' în sistemul vechi.

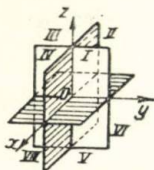


Fig. 1.55.

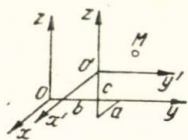


Fig. 1.56.

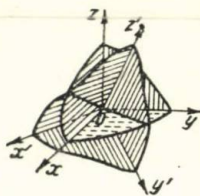


Fig. 1.57.

În cazul rotației axelor de coordonate (fig. 1.57) avem

$$\begin{aligned}x &= x' \cos \alpha_1 + y' \cos \alpha_2 + z' \cos \alpha_3 \\y &= x' \cos \beta_1 + y' \cos \beta_2 + z' \cos \beta_3 \\z &= x' \cos \gamma_1 + y' \cos \gamma_2 + z' \cos \gamma_3,\end{aligned}$$

unde $\alpha_1, \beta_1, \gamma_1$, sînt unghiurile formate de axa Ox' , $\alpha_2, \beta_2, \gamma_2$ — de axa Oy' și $\alpha_3, \beta_3, \gamma_3$ — de axa Oz' , cu axele vechi.

Aceste nouă unghiuri sînt legate prin relațiile

$$\begin{aligned}\cos^2 \alpha_1 + \cos^2 \beta_1 + \cos^2 \gamma_1 &= 1 \\ \cos^2 \alpha_2 + \cos^2 \beta_2 + \cos^2 \gamma_2 &= 1 \\ \cos^2 \alpha_3 + \cos^2 \beta_3 + \cos^2 \gamma_3 &= 1\end{aligned}$$

$$\cos \alpha_1 \cos \alpha_2 + \cos \beta_1 \cos \beta_2 + \cos \gamma_1 \cos \gamma_2 = 0$$

$$\cos \alpha_2 \cos \alpha_3 + \cos \beta_2 \cos \beta_3 + \cos \gamma_2 \cos \gamma_3 = 0$$

$$\cos \alpha_3 \cos \alpha_1 + \cos \beta_3 \cos \beta_1 + \cos \gamma_3 \cos \gamma_1 = 0.$$

2) Coordonatele sferice ale unui punct M (fig. 1.53) sînt raza vectorială $\rho = OM$, unghiul $\varphi = \angle AON$ (longitudinea) și unghiul $\theta = \angle KOM$ (distanța polară).

3. Coordonatele cilindrice ale punctului M (fig. 1.53) sînt: raza vectorială $r = ON$, unghiul polar $\varphi = \angle AON$ și cota z , iar $r \geq 0$, $0 \leq \varphi < 2\pi$.

Trecerea de la coordonatele carteziene la cele sferice se face după formulele

$$x = \rho \sin \theta \cos \varphi; y = \rho \sin \theta \sin \varphi; z = \rho \cos \theta,$$

valabile cu condiția ca planele principale ale ambelor sisteme să coincidă.

Trecerea de la coordonatele carteziene la cele cilindrice, în aceleași condiții, se face prin formulele

$$x = r \cos \varphi; y = r \sin \varphi;$$

cotele sînt în ambele cazuri identice.

Cîteva probleme simple. 1) Distanța dintre două puncte $M_1(x_1, y_1, z_1)$, și $M_2(x_2, y_2, z_2)$

$$d = \sqrt{(x_2 - x_1)^2 + (y_2 - y_1)^2 + (z_2 - z_1)^2};$$

în particular, distanța dintre punctul $M_1(x_1, y_1, z_1)$ și originea axelor de coordonate este

$$d = \sqrt{x_1^2 + y_1^2 + z_1^2}.$$

2) La împărțirea unui segment de dreaptă într-un raport dat, coordonatele punctului $M(x, y, z)$ care împarte segmentul M_1M_2 , determinat de punctele $M_1(x_1, y_1, z_1)$ și $M_2(x_2, y_2, z_2)$, în raportul $M_1M/MM_2 = \lambda$ (fig. 1.58) sînt date de formulele

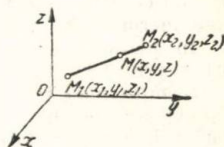


Fig. 1.58.

$$x = \frac{x_1 + \lambda x_2}{1 + \lambda}; \quad y = \frac{y_1 + \lambda y_2}{1 + \lambda}; \quad z = \frac{z_1 + \lambda z_2}{1 + \lambda}.$$

Dacă punctul M este mijlocul segmentului M_1M_2 , atunci

$$x = \frac{x_1 + x_2}{2}; \quad y = \frac{y_1 + y_2}{2}; \quad z = \frac{z_1 + z_2}{2}.$$

3) Dacă dreapta trece prin punctele $M_1(x_1, y_1, z_1)$ și $M_2(x_2, y_2, z_2)$ și formează cu axele de coordonate unghiurile α, β, γ (fig. 1.59), cosinusurile directoare ale dreptei sînt date de formulele

$$\cos \alpha = \frac{x_2 - x_1}{d}; \quad \cos \beta = \frac{y_2 - y_1}{d}; \quad \cos \gamma = \frac{z_2 - z_1}{d},$$

unde

$$d = \sqrt{(x_2 - x_1)^2 + (y_2 - y_1)^2 + (z_2 - z_1)^2}.$$

Cosinusurile directoare sînt legate între ele prin relația $\cos^2 \alpha + \cos^2 \beta + \cos^2 \gamma = 1$.

4) Volumul tetraedrului (piramidă triunghiulară) cu vîrfurile $M_1(x_1, y_1, z_1)$, $M_2(x_2, y_2, z_2)$, $M_3(x_3, y_3, z_3)$ și

$M_4(x_4, y_4, z_4)$ este dat de formula

$$V = \pm \frac{1}{6} \begin{vmatrix} x_1 - x_2 & y_1 - y_2 & z_1 - z_2 \\ x_1 - x_3 & y_1 - y_3 & z_1 - z_3 \\ x_1 - x_4 & y_1 - y_4 & z_1 - z_4 \end{vmatrix}.$$

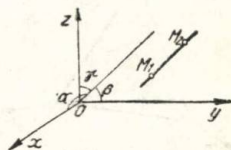


Fig. 1.59.

Determinantul din această formulă se obține cu semnul $+$ sau $-$ în funcție de faptul dacă vectorii $\vec{M_1M_2}$, $\vec{M_1M_3}$ și $\vec{M_1M_4}$ formează un sistem drept sau stîng.

Dacă determinantul este nul, punctele M_1, M_2, M_3, M_4 se află în același plan.

Reprezentarea geometrică a ecuației cu trei variabile. Ecuația $F(x, y, z) = 0$ sau $z = f(x, y)$ este *ecuația unei suprafețe* într-un sistem de coordonate cartezian dacă coordonatele oricărui punct al acestei suprafețe, înlocuite în ecuație, o prefac în identitate, iar coordonatele tuturor celorlalte puncte ale spațiului nu satisfac această ecuație.

Ecuația unei suprafețe cilindrice cu generatoarele paralele la axa Ox , nu conține coordonata x , adică este de forma $F(y, z) = 0$ (analog stau lucrurile în ceea ce privește celelalte două axe Oy și Oz).

În planul Oyz , aceeași ecuație $F(y, z) = 0$ reprezintă curba de intersecție a suprafeței cilindrice cu planul de coordonate dat.

Ecuația unei suprafețe conice cu vârful în originea axelor de coordonate este de forma $F(x, y, z) = 0$, unde F este o funcție omogenă de variabilele x, y, z , adică satisface condiția $F(tx, ty, tz) = t^n F(x, y, z)$.

Ecuația suprafeței de rotație, generate de curba plană $z = f(x)$ care se rotește în jurul axei Oz , este de forma $z = f(\sqrt{x^2 + y^2})$.

Două ecuații $F_1(x, y, z) = 0$ și $F_2(x, y, z) = 0$, date simultan, determină o anumită curbă în spațiu — intersecția suprafețelor reprezentate de aceste ecuații.

Sub formă parametrică, ecuațiile unei curbe în spațiu sînt de forma $x = \varphi_1(t)$; $y = \varphi_2(t)$; $z = \varphi_3(t)$.

Planul. În sistemul de coordonate cartezian planul este dat de o ecuație liniară în raport cu coordonatele curente x, y, z .

1. *Ecuația generală a planului* $Ax + By + Cz + D = 0$, sau, sub forma vectorială, $\vec{N} \cdot \vec{r} + D = 0$, unde r este raza vectorie a unui punct oarecare al planului, iar vectorul $\vec{N} (A, B, C)$ (fig. 1.60) este perpendicular pe plan.

În cazul cînd $D = 0$, planul trece prin originea axelor de coordonate. Cînd $A = 0$ (sau $B = 0$, sau $C = 0$), planul este paralel cu axa Ox (sau Oy sau Oz). Cînd $A = B = 0$ (sau $A = C = 0$, sau $B = C = 0$), planul este paralel cu planul xOy sau xOz sau yOz .

2. *Ecuația planului cu segmente determinate pe axele de coordonate (ecuația planului cu tăieturi)* este

$$\frac{x}{a} + \frac{y}{b} + \frac{z}{c} = 1,$$

unde a, b, c , luate cu semnele respective, sînt lungimile segmentelor determinate de plan pe axele Ox, Oy , și Oz (fig. 1.60).

Dacă $b = c = \infty$ (planul este paralel cu planul yOz), ecuația planului este $x = a$. Dacă $a = c = \infty$ (planul este paralel cu planul xOz), ecuația planului este $y = b$. Dacă

$a = b = \infty$ (planul este paralel cu planul xOy), ecuația planului este $z = c$.

3. *Ecuația normală a planului*: $x \cos \alpha + y \cos \beta + z \cos \gamma - p = 0$ sau, sub forma vectorială, $\vec{N}^0 \cdot \vec{r} - p = 0$, unde \vec{N}^0 este vectorul unitar

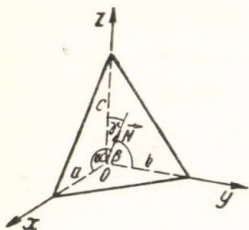


Fig. 1.60.

normal și $\cos \alpha$, $\cos \beta$, $\cos \gamma$ sînt cosinusurile sale directoare; t este distanța de la originea axelor de coordonate la plan (fig. 1.61).

Pentru a aduce ecuația generală a planului la forma normală, trebuie să înmulțim toți termenii din partea stîngă cu un factor de normare $M = \pm \frac{1}{\sqrt{A^2 + B^2 + C^2}} = \pm \frac{1}{N}$ ($N = |\vec{N}|$); semnul lui M se ia opus semnului lui D .

Parametrii p , $\cos \alpha$, $\cos \beta$, $\cos \gamma$ se deduc din coeficienții ecuației generale cu ajutorul formulelor:

$$\cos \alpha = \pm \frac{A}{\sqrt{A^2 + B^2 + C^2}},$$

$$\cos \beta = \pm \frac{B}{\sqrt{A^2 + B^2 + C^2}},$$

$$\cos \gamma = \pm \frac{C}{\sqrt{A^2 + B^2 + C^2}}, \quad p = \mp \frac{D}{\sqrt{A^2 + B^2 + C^2}}.$$

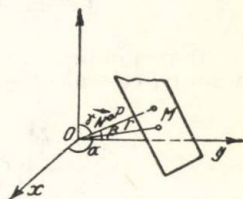


Fig. 1.61.

4. Ecuația unui fascicul de plane care trec printr-o dreaptă dată de sistemul de ecuații $Ax + By + Cz + D = 0$, $A_1x + B_1y + C_1z + D_1 = 0$ este de forma $Ax + By + Cz + D + \mu(A_1x + B_1y + C_1z + D_1) = 0$, unde μ este arbitrar.

5. Ecuația planului care trece prin trei puncte date $M_1(x_1, y_1, z_1)$, $M_2(x_2, y_2, z_2)$ și $M_3(x_3, y_3, z_3)$

$$\begin{vmatrix} x - x_1 & y - y_1 & z - z_1 \\ x_2 - x_1 & y_2 - y_1 & z_2 - z_1 \\ x_3 - x_1 & y_3 - y_1 & z_3 - z_1 \end{vmatrix} = 0$$

sau, sub forma vectorială, $(\vec{r} - \vec{r}_1)(\vec{r}_2 - \vec{r}_1)(\vec{r}_3 - \vec{r}_1) = 0$.

6. Unghiul dintre două plane

$$Ax + By + Cz + D = 0 \text{ sau } \vec{N}\vec{r} + D = 0,$$

$$A_1x + B_1y + C_1z + D_1 = 0 \text{ sau } \vec{N}_1\vec{r} + D_1 = 0$$

se determină prin formula

$$\cos \varphi = \pm \frac{AA_1 + BB_1 + CC_1}{\sqrt{A^2 + B^2 + C^2}\sqrt{A_1^2 + B_1^2 + C_1^2}} = \pm \frac{\vec{N}\vec{N}_1}{N \cdot N_1}.$$

Condiția de paralelism a două plane este $\frac{A}{A_1} = \frac{B}{B_1} = \frac{C}{C_1}$ sau

$$\vec{N} \times \vec{N}_1 = 0.$$

Condiția de perpendicularitate a două plane: $AA_1 + BB_1 + CC_1 = 0$ sau $\vec{N}\vec{N}_1 = 0$.

7. Distanța de la un punct $M_1(x_1, y_1, z_1)$ la planul $x \cos \alpha + y \cos \beta + z \cos \gamma - p = 0$ se determină prin formula

$$d = \pm (x_1 \cos \alpha + y_1 \cos \beta + z_1 \cos \gamma - p).$$

Pentru obținerea valorii pozitive a lui d , trebuie să se ia expresia pentru d cu semnul $+$, dacă punctul M_1 și originea axelor de coordo-

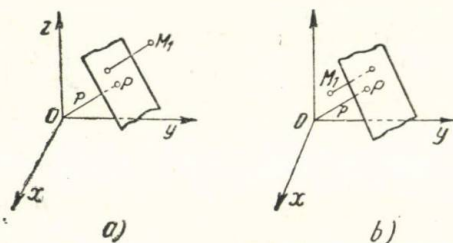


Fig. 1.62.

nate se află în părți diferite ale planului (fig. 1.62, a) și cu semnul $-$, dacă se află de aceeași parte a planului (fig. 1.62, b).

8. Pentru a afla *punctul de intersecție a trei plane* care au ecuațiile $A_1x + B_1y + C_1z + D_1 = 0$, $A_2x + B_2y + C_2z + D_2 = 0$, $A_3x + B_3y + C_3z + D_3 = 0$, trebuie să se rezolve sistemul de ecuații date.

Dreapta în spațiu. O dreaptă în spațiu se determină ca linia de intersecție a două plane.

1. *Ecuațiile generale ale dreptei:*

$$\begin{cases} Ax + By + Cz + D = 0 \\ A_1x + B_1y + C_1z + D_1 = 0 \end{cases} \quad \text{sau} \quad \begin{cases} \vec{N}\vec{r} + D = 0 \\ \vec{N}_1\vec{r} + D_1 = 0. \end{cases}$$

2. *Ecuațiile normale ale dreptei:* $\frac{x - x_1}{\cos \alpha} = \frac{y - y_1}{\cos \beta} = \frac{z - z_1}{\cos \gamma}$, unde x_1, y_1, z_1 sînt coordonatele unuia dintre punctele dreptei, iar α, β, γ sînt unghiurile formate de dreapta cu axele de coordonate.

3. *Ecuațiile canonice ale dreptei* $\frac{x - x_1}{m} = \frac{y - y_1}{n} = \frac{z - z_1}{p}$ sau, sub forma vectorială, $(\vec{r} - \vec{r}_1) \times \vec{R} = 0$, unde x_1, y_1, z_1 sînt coordonatele unuia dintre punctele dreptei (coordo-
natele vectorului \vec{r}_1), și m, n, p

sînt coordonatele vectorului \vec{R} (fig. 1.63), paralel cu dreapta, adică sînt numere proporționale cu cosinusurile directoare (*parametri directori*):

$$m : n : p = \cos \alpha : \cos \beta : \cos \gamma.$$

Pentru trecerea de la ecuațiile generale ale dreptei la cele canonice, trebuie să se aleagă x_1, y_1, z_1 astfel, încît ele să satisfacă ecuațiile generale, iar numerele m, n, p trebuie determinate prin formulele:

$$m = \begin{vmatrix} B_1 & C_1 \\ B_2 & C_2 \end{vmatrix}; \quad n = \begin{vmatrix} C_1 & A_1 \\ C_2 & A_2 \end{vmatrix};$$

$$p = \begin{vmatrix} A_1 & B_1 \\ A_2 & B_2 \end{vmatrix}.$$

Pentru ca ecuațiile canonice ale dreptei să fie reduse la forma normală, trebuie să se înmulțească numitorul cu *factorul de normare* $M = \mp \frac{1}{\sqrt{m^2 + n^2 + p^2}}$, prin urmare:

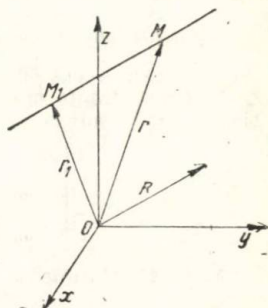


Fig. 1.63.

$$\cos \alpha = \pm \frac{m}{\sqrt{m^2 + n^2 + p^2}}; \quad \cos \beta = \pm \frac{n}{\sqrt{m^2 + n^2 + p^2}};$$

$$\cos \gamma = \pm \frac{p}{\sqrt{m^2 + n^2 + p^2}}.$$

Semnul factorului de normare determină sensul pe dreaptă.

4. *Ecuațiile parametrice ale dreptei:* $x = x_1 + mt, y = y_1 + nt, z = z_1 + pt$ sau, sub forma vectorială, $\vec{r} = \vec{r}_1 + \vec{R}t$, unde t este un parametru.

5. *Ecuațiile dreptei care trece prin punctele $M_1(x_1, y_1, z_1)$ și $M_2(x_2, y_2, z_2)$:*

$$\frac{x - x_1}{x_2 - x_1} = \frac{y - y_1}{y_2 - y_1} = \frac{z - z_1}{z_2 - z_1} \text{ sau, sub forma vectorială, } (\vec{r} - \vec{r}_1) \times (\vec{r}_2 - \vec{r}_1) = 0.$$

6. *Unghiul dintre două drepte avînd cosinusurile directoare $\cos \alpha, \cos \beta, \cos \gamma$ și $\cos \alpha_1, \cos \beta_1, \cos \gamma_1$ se determină prin formula*

$$\cos \varphi = \cos \alpha \cos \alpha_1 + \cos \beta \cos \beta_1 + \cos \gamma \cos \gamma_1.$$

Dacă dreptele au ecuațiile $\frac{x - x_1}{m} = \frac{y - y_1}{n} = \frac{z - z_1}{p}$,

$$\frac{x - x_2}{m_1} = \frac{y - y_2}{n_1} = \frac{z - z_2}{p_1} \text{ sau, sub forma vectorială,}$$

$$(\vec{r} - \vec{r}_1) \times \vec{R}_1 = 0, (\vec{r} - \vec{r}_2) \times \vec{R}_2 = 0, \text{ atunci}$$

$$\cos \varphi = \pm \frac{mm_1 + nn_1 + pp_1}{\sqrt{m^2 + n^2 + p^2} \sqrt{m_1^2 + n_1^2 + p_1^2}} = \pm \frac{\vec{R}_1 \vec{R}_2}{R_1 R_2}.$$

Condiția de paralelism a două drepte: $\cos \alpha = \cos \alpha_1$, $\cos \beta = \cos \beta_1$, $\cos \gamma = \cos \gamma_1$ sau $\frac{m}{m_1} = \frac{n}{n_1} = \frac{p}{p_1}$ sau $\vec{R}_1 \times \vec{R}_2 = 0$.

Condiția de perpendicularitate a două drepte: $\cos \alpha \cos \alpha_1 + \cos \beta \cos \beta_1 + \cos \gamma \cos \gamma_1 = 0$, sau $mm_1 + nn_1 + pp_1 = 0$ sau $\vec{R}_1 \vec{R}_2 = 0$.

7. Două drepte se află în același plan (sînt *coplanare*), dacă este satisfăcută condiția

$$\begin{vmatrix} x_2 - x_1 & y_2 - y_1 & z_2 - z_1 \\ m & n & p \\ m_1 & n_1 & p_1 \end{vmatrix} = 0.$$

8. Unghiul dintre o dreaptă și un plan se determină prin formula

$$\sin \varphi = \frac{|Am + Bn + Cp|}{\sqrt{m^2 + n^2 + p^2} \sqrt{A^2 + B^2 + C^2}} = \frac{|\vec{R} \vec{N}|}{RN}.$$

Condiția de paralelism a unei drepte cu un plan: $Am + Bn + Cp = 0$, sau $\vec{R} \vec{N} = 0$.

Condiția de perpendicularitate a unei drepte pe un plan: $\frac{A}{m} = \frac{B}{n} = \frac{C}{p}$ sau $\vec{N} \times \vec{R} = 0$.

9. Coordonatele punctului de intersecție a unei drepte cu un plan: $x_0 = x_1 + mt_0$, $y_0 = y_1 + nt_0$, $z_0 = z_1 + pt_0$ sau $t_0 = -\frac{Ax_1 + By_1 + Cz_1 + D}{Am + Bn + Cp}$.

Dreapta se află în plan, dacă sînt satisfăcute condițiile: $Ax_1 + By_1 + Cz_1 + D = 0$ (dreapta și planul au un punct comun) și $Am + Bn + Cp = 0$ (dreapta și planul sînt paralele).

Ecuatiile canonice ale suprafețelor de gradul al doilea. 1. *Elipsoidul* (fig. 1.64)

$$\frac{x^2}{a^2} + \frac{y^2}{b^2} + \frac{z^2}{c^2} = 1.$$

Dacă $a = b$, avem un *elipsoid de rotație* (suprafață de rotație generată de elipsa $x^2/a^2 + z^2/c^2 = 1$ prin rotația în jurul axei Oz).

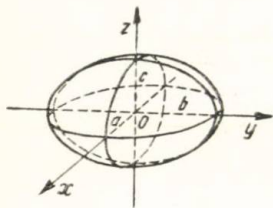


Fig. 1.64.

Dacă $a = b = c$, atunci $x^2 + y^2 + z^2 = a^2$ și în acest caz avem o sferă (suprafață sferică) cu raza a .

Ecuția $(x - x_0)^2 + (y - y_0)^2 + (z - z_0)^2 = a^2$ reprezintă o sferă cu raza a și cu centrul în punctul $O_0(x_0, y_0, z_0)$.

2. Hiperboloidul cu o pinză (fig. 1.65)

$$\frac{x^2}{a^2} + \frac{y^2}{b^2} - \frac{z^2}{c^2} = 1.$$

Dacă $a = b$, avem un hiperboloid de rotație cu o pinză (suprafață de rotație generată de hiperbola $x^2/a^2 - z^2/c^2 = 1$ prin rotația în jurul axei Oz).

3. Hiperboloidul cu două pinze (fig. 1.66)

$$\frac{x^2}{a^2} + \frac{y^2}{b^2} - \frac{z^2}{c^2} = -1.$$

Dacă $a = b$, avem un hiperboloid de rotație cu două pinze (suprafață de rotație generată de hiperbola $x^2/a^2 - z^2/c^2 = -1$ prin rotația în jurul axei Oz).

4. Conul de gradul al doilea (fig. 1.67)

$$\frac{x^2}{a^2} + \frac{y^2}{b^2} - \frac{z^2}{c^2} = 0.$$

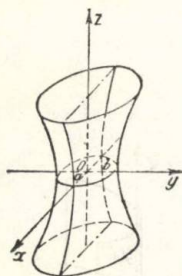


Fig. 1.65.

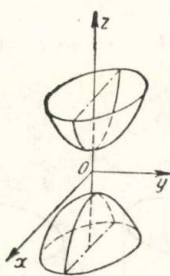


Fig. 1.66.

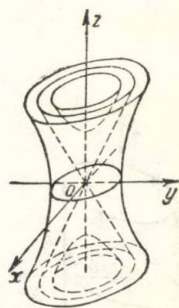


Fig. 1.67.

Generatoarele lui sînt asimptotele secțiunilor corespunzătoare hiperboloizilor $x^2/a^2 + y^2/b^2 - z^2/c^2 = \pm 1$; în raport cu acești hiperboloizi conul se numește *asimptotic*.

Dacă $a = b$, avem un con circular drept.

5. Paraboloidul eliptic (fig. 1.68):

$$\frac{x^2}{p} + \frac{y^2}{q} = 2z.$$

Dacă $p = q$, avem un *paraboloid de rotație* (suprafață de rotație generată de parabola $x^2 = 2pz$ prin rotația în jurul axei Oz).

6. *Paraboloidul hiperbolic* (fig. 1.69):

$$\frac{x^2}{p} - \frac{y^2}{q} = 2z.$$

7. *Cilindrii de gradul al doilea cu generatoare paralele cu axa Oz :*

$$\frac{x^2}{a^2} + \frac{y^2}{b^2} = 1 - \text{cilindrul eliptic (fig. 1.70);}$$

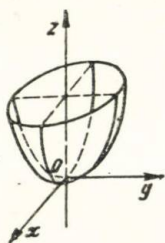


Fig. 1.68.

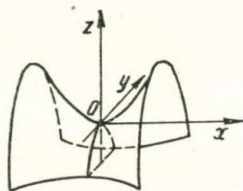


Fig. 1.69.

în particular, pentru $a = b$ avem *cilindrul circular*;

$$\frac{x^2}{a^2} - \frac{y^2}{b^2} = 1 - \text{cilindrul hiperbolic (fig. 1.71);}$$

$$y^2 = 2px - \text{cilindrul parabolic (fig. 1.72).}$$

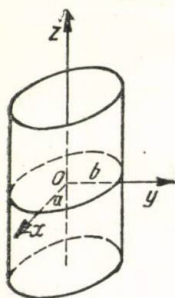


Fig. 1.70.

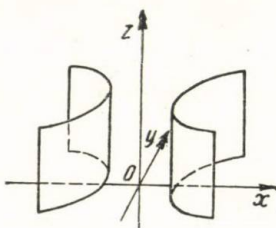


Fig. 1.71.

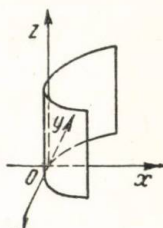


Fig. 1.72.

Ecuatia generală a suprafeței de gradul al doilea. Forma suprafeței de gradul al doilea care are ecuația generală

$$a_{11}x^2 + a_{22}y^2 + a_{33}z^2 + 2a_{12}xy + 2a_{23}yz + 2a_{13}xz + 2a_{14}x + 2a_{24}y + 2a_{34}z + a_{44} = 0$$

se determină, după cum se arată mai departe, după semnele mărimilor

$$\Delta = \begin{vmatrix} a_{11} & a_{12} & a_{13} & a_{14} \\ a_{21} & a_{22} & a_{23} & a_{24} \\ a_{31} & a_{32} & a_{33} & a_{34} \\ a_{41} & a_{42} & a_{43} & a_{44} \end{vmatrix}$$

$$\delta = \begin{vmatrix} a_{11} & a_{12} & a_{13} \\ a_{21} & a_{22} & a_{23} \\ a_{31} & a_{32} & a_{33} \end{vmatrix},$$

$$I = a_{11} + a_{22} + a_{33},$$

$$J = a_{22}a_{33} + a_{33}a_{11} + a_{11}a_{22} - a_{23}^2 - a_{31}^2 - a_{12}^2$$

care sînt *invariantii* acestei ecuații, deoarece aceste mărimi nu se modifică la transformarea sistemelor de coordonate (aici $a_{ij} = a_{ji}$).

$\delta \neq 0$ (suprafețe cu centru)			$\delta = 0$ (paraboloizi, cilindri și perechi de plane)		
	$I\delta > 0; J > 0$	$I\delta$ și J nu sînt ambii pozitivi		$J > 0 (\Delta < 0)$	$J < 0 (\Delta > 0)$
$\Delta < 0$	Elipsoid	Hiperboloid cu două pînze	$\Delta \neq 0$	Paraboloid eliptic	Paraboloid hiperbolic
$\Delta > 0$	Elipsoid imaginar	Hiperboloid cu o pînză	$\Delta = 0$	Suprafață cilindrică, a cărei directoare este o curbă de gradul al doilea. În funcție de forma acestei curbe, cilindrul va fi eliptic (pentru $J > 0$), hiperbolic, (pentru $J < 0$), parabolic (pentru $J = 0$), sau suprafața se împarte în două plane (reale, imaginare, sau confundate).	
$\Delta = 0$	Con imaginar (cu vîrf real)	Con			

1.4

Calculul diferențial

§ 1.8. Funcții de o variabilă

Noțiuni fundamentale. Un număr real x poate fi reprezentat printr-un punct pe axa numerică (axa Ox) cu abscisa x (fig. 1.73).

Mulțimea de valori $a \leq x \leq b$ se numește *interval închis* sau *segment* și se notează $[a, b]$. Mulțimea de valori $a < x < b$ se numește *interval (interval deschis)* și se notează (a, b) .

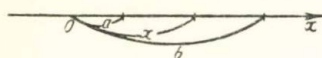


Fig. 1.73.

Vecinătate a punctului $x = x_0$ se numește orice segment pentru care punctul x_0 este interior.

Mărimea y se numește *funcție de variabila independentă (argument) x* , dacă oricărei valori a lui x , care aparține unei anumite mulțimi de valori, îi corespunde o valoare reală y , perfect determinată.

Notăția: $x = f(x)$ (x — argumentul, y — funcția, f — simbolul dependenței funcționale).

Domeniul de definiție al funcției se numește mulțimea de valori a argumentului pentru care această funcție este determinată.

Dacă între x și y este dată o relație astfel încât fiecărei (sau unor anumite) valori a lui x îi corespunde mai mult decât o valoare a lui y , atunci această relație determină nu o singură funcție, ci mai multe, sau, cum se spune pe scurt, o funcție multivocă (fiecare din funcțiile univoce reunite în cadrul acestei funcții multivoce se numește *ramură* ei).

O funcție poate fi reprezentată geometric cu ajutorul unui *grafic*, dacă valorile argumentului x și ale funcției y se consideră drept coordonate ale punctului în plan.

Funcția $f(x)$ se numește *pară*, dacă $f(-x) = f(x)$ și *impară*, dacă $f(-x) = -f(x)$. Graficul unei funcții pare este simetric în raport cu axa Ox (fig. 1.74, a), graficul unei funcții impare este simetric în raport cu originea axelor de coordonate (fig. 1.74, b).

Dacă $f(x + T) = f(x)$ pentru orice x (T este o mărime constantă), atunci funcția $f(x)$ se numește *periodică*, iar numărul T este *perioada* sa.

Dependența funcțională, dată cu ajutorul unei anumite formule, se numește *implicită* dacă este de forma $F(x, y) = 0$, *explicită* dacă are forma $y = f(x)$ și, în sfârșit, *parametrică* dacă argumentul x și funcția y sînt exprimate cu ajutorul unei mărimi variabile auxiliare t (parametrul): $x = \varphi_1(t)$, $y = \varphi_2(t)$.

Dacă formula prin care se determină funcția poate fi scrisă astfel, încît asupra argumentului să se efectueze un număr finit de operații algebrice (adunare, scădere, înmulțire, împărțire, ridicare la putere,

extragere de rădăcină, rezolvarea unei ecuații algebrice), funcția se numește *algebrică*; în caz contrar ea se numește *transcendentă* (funcțiile trigonometrice și inversele lor, funcția logaritmică, funcția exponențială etc.).

Funcțiile algebrice se împart în *raționale* și *iraționale*. O funcție este rațională dacă pentru calculul ei este suficient să efectuăm asupra

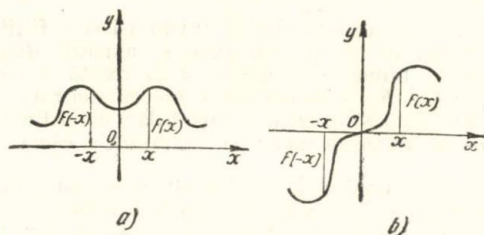


Fig. 1.74.

argumentului un număr finit de operații aritmetice (adunare, scădere, înmulțire, împărțire, ridicare la o putere întreagă); în caz contrar funcția este irațională.

Funcția rațională se numește *funcție întreagă* sau *polinom*, dacă pentru calculul ei nu se recurge la împărțirea cu o expresie care conține un argument (și la ridicarea argumentului la o putere negativă); în caz contrar, ea este o *funcție rațională*.

Funcțiile pentru determinarea cărora se efectuează asupra argumentului un număr finit de așa-numite *operații elementare* (în operațiile elementare intră toate operațiile algebrice, precum și logaritmarea, exponentierea și operațiile definite prin funcții trigonometrice și funcții trigonometrice inverse) se numesc *funcții elementare*.

Limitele și înfiniții mici. Numărul b se numește *limita funcției* $f(x)$ pentru x tinzând către a [notația: $\lim_{x \rightarrow a} f(x) = b$] dacă, oricât de mic ar

fi numărul pozitiv ε , putem să-i asociem un număr pozitiv δ , suficient de mic, astfel încât pentru orice valoare x ($x \neq a$), care satisface condiția $|x - a| < \delta$, să aibă loc inegalitatea $|f(x) - b| < \varepsilon$.

Egalitatea $\lim_{x \rightarrow \infty} f(x) = b$ înseamnă că pentru orice număr pozitiv ε

putem alege un număr A suficient de mare, astfel încât, pentru orice x care satisface condiția $|x| > A$, să aibă loc inegalitatea $|f(x) - b| < \varepsilon$.

Egalitatea $\lim_{x \rightarrow a} f(x) = \infty$ [în acest caz $\lim_{x \rightarrow a} f(x)$ nu există] înseamnă

că oricât de mare ar fi B , putem alege un număr pozitiv δ suficient de mic, pentru ca din $|x - a| < \delta$, $x \neq a$, să rezulte $|f(x)| > B$.

Egalitatea $\lim_{x \rightarrow -\infty} f(x) = b$ înseamnă că pentru orice număr pozitiv ε putem alege un număr A suficient de mare, astfel încât pentru orice x care satisface condiția $x < 0$, $|x| > A$, să aibă loc inegalitatea $|f(x) - b| < \varepsilon$.

Pentru a calcula $\lim_{x \rightarrow a} [\varphi(x)\psi(x)]$ cind $\lim_{x \rightarrow a} \varphi(x) = 0$ și $\lim_{x \rightarrow a} \psi(x) = \infty$ (nedeterminare de forma $0 \cdot \infty$) putem face o transformare de forma $\frac{\varphi(x)}{\frac{1}{\psi(x)}}$ sau $\frac{\psi(x)}{\frac{1}{\varphi(x)}}$, ceea ce duce la cazul $\frac{0}{0}$ sau $\frac{\infty}{\infty}$.

Pentru a calcula $\lim_{x \rightarrow a} [\varphi(x) - \psi(x)]$, unde $\lim_{x \rightarrow a} \varphi(x) = \infty$ și $\lim_{x \rightarrow a} \psi(x) = \infty$ (nedeterminare de forma $\infty - \infty$) putem transforma diferența $\varphi(x) - \psi(x)$ într-un raport, de exemplu, astfel:

$$\varphi(x) - \psi(x) = \left(\frac{1}{\frac{1}{\varphi(x)}} - \frac{1}{\frac{1}{\psi(x)}} \right) : \frac{1}{\varphi(x)\psi(x)},$$

ceea ce duce la cazul $\frac{0}{0}$.

Nedeterminările de forma 0^0 , ∞^0 , 1^∞ , pot fi rezolvate prin logaritizarea expresiei $\varphi(x)\psi(x)$ și găsirea limitei funcției $\psi(x) \ln \varphi(x)$ după care prin exponențiere se găsește limita căutată.

Pentru calculul limitelor care au o formă nedeterminată, putem folosi, de asemenea, dezvoltarea funcțiilor în serie Taylor.

Continuitatea și punctele de discontinuitate. Funcția $f(x)$ se numește *continuă în punctul* $x = x_0$ (fig. 1.75), dacă în acest punct $\lim_{\Delta x \rightarrow 0} \Delta y = 0$ [aici $\Delta x = x - x_0$ (creșterea argumentului) și $\Delta y = f(x_0 + \Delta x) - f(x_0)$ (creșterea funcției)].

Condiția de continuitate a lui $f(x)$ în punctul $x = x_0$ poate fi scrisă, de asemenea, cu ajutorul egalității $\lim_{x \rightarrow x_0} f(x) = f(x_0)$.

O funcție este *continuă pe un segment* (interval închis), dacă este continuă în toate punctele acestui segment.

Punctul $x = x_0$ în care condiția de continuitate nu este respectată se numește *punct de discontinuitate* a funcției.

Limitele la stînga și la dreapta ale funcției în punctul $x = x_0$ se numesc numerele determinate prin egalitățile:

$$f(x_0 - 0) = \lim_{\varepsilon \rightarrow 0} f(x_0 - \varepsilon) \quad (\varepsilon > 0);$$

$$f(x_0 + 0) = \lim_{\varepsilon \rightarrow 0} f(x_0 + \varepsilon) \quad (\varepsilon > 0).$$

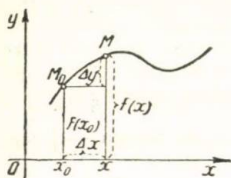


Fig. 1.75.

Dacă aceste limite există (și sînt finite), însă nu sînt egale între ele, punctul $x = x_0$ se numește *punct de discontinuitate de speța întâi*. Dacă cel puțin una dintre aceste limite nu există, $x = x_0$ este *punct de discontinuitate de speța a doua*.

Exemple.

a) $f(x) = \frac{1}{1 + 2^{1/x}}$; $x = 0$ este punct de discontinuitate de speța întâi (fig. 1.76); aici $f(-0) = 1$, $f(+0) = 0$;

b) $f(x) = \frac{1}{2^{x-3}}$; $x = 3$ este punct de discontinuitate de speța a doua (fig. 1.77); aici $f(3-0) = 0$; $f(3+0) = \infty$;

c) $f(x) = \sin \frac{1}{x}$; $x = 0$ este punct de discontinuitate de speța a doua (fig. 1.78); aici $f(-0)$ și $f(+0)$ nu există.

Dacă $f(x_0-0) = f(x_0+0) \neq f(x_0)$, atunci punctul $x = x_0$ se numește *punct de discontinuitate eliminabil*.

Derivata și diferențiala. Derivata funcției $y = f(x)$ se numește limita spre care tinde raportul dintre creșterea funcției și creșterea argumentului atunci când creșterea argumentului tinde spre zero:

$$\lim_{\Delta x \rightarrow 0} \frac{\Delta y}{\Delta x} = \lim_{\Delta x \rightarrow 0} \frac{f(x + \Delta x) - f(x)}{\Delta x}.$$

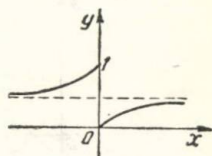


Fig. 1.76.

Notățiile derivatei sînt: y' , y'_x , $f'(x)$, $\frac{dy}{dx}$, $\frac{d}{dx} f(x)$.

A găsi derivata unei funcții înseamnă a diferenția funcția.

Pentru ca funcția să fie *diferențiabilă* într-un anumit punct este necesar (dar nu este suficient) ca ea să fie continuă în acel punct.

Tangentă în punctul M al unei curbe este poziția limită a secanței MN [N este un punct oarecare al curbei (fig. 1.79)], atunci cînd $N \rightarrow M$; *normala* este perpendiculara pe tangenta care trece prin punctul de tangentă.

Derivata funcției $y = f(x)$ este egală cu tangenta trigonometrică a unghiului pe care îl face cu axa Ox tangenta la curbă în punctul $M(x, y)$ (fig. 1.80):

$$\frac{dy}{dx} = \operatorname{tg} \alpha.$$

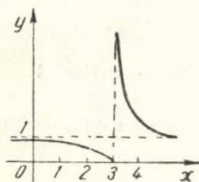


Fig. 1.77.

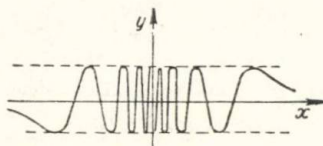


Fig. 1.78.



Fig. 1.79.

Derivata a doua a funcției $y = f(x)$ sau *derivata de ordinul al doilea* se numește *derivata derivatei ei*.

Notățiile pentru derivata a doua: y'' , $f''(x)$, d^2y/dx^2 . Analog se definesc derivatele de orice ordin. Notățiile pentru derivata de ordinul n : $y^{(n)}$, $f^{(n)}(x)$, $d^n y/dx^n$.

Diferențiala funcției $y = f(x)$ [notația: dy , $df(x)$] se numește produsul dintre derivata ei și creșterea argumentului:

$$dy = f'(x) \Delta x = y' \Delta x.$$

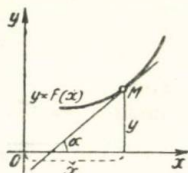


Fig. 1.80.

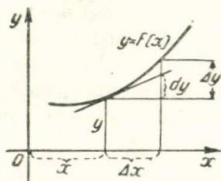


Fig. 1.81.

Diferența dintre creșterea funcției și diferențiala ei este un infinit mic de ordin mai mare decât Δx . Diferențiala argumentului, dx , este egală cu creșterea sa, Δx , și, prin urmare, $dy = y' dx$. Formula aceasta este *invariantă*, adică își păstrează forma și în cazul când x nu este o variabilă independentă și depinde de rîndul său de variabila t : $x = \varphi(t)$.

Geometric, diferențiala este reprezentată prin creșterea ordonatei punctului pînă la tangenta la curba care reprezintă funcția (fig. 1.81).

Diferențiala de ordinul al doilea este diferențiala diferențialei: $d^2y = d(dy)$. Analog se definesc și diferențialele de orice ordin.

Formulele pentru diferențialele de ordine superioare sînt:

$$d^2y = y'' dx^2, d^3y = y''' dx^3, \dots, d^ny = y^{(n)} dx^n$$

cu condiția ca x să fie argumentul; dacă însă $x = \varphi(t)$ [iar funcția $\varphi(t)$ este neliniară], aceste formule nu mai sînt valabile.

Reguli de derivare. Dacă u , v sînt funcții de argumentul x , în raport cu care se efectuează derivarea, atunci:

- 1) $(u \pm v)' = u' \pm v'$ (derivata sumei); $(u \pm v)^{(n)} = u^{(n)} \pm v^{(n)}$;
- 2) $(uv)' = u'v + uv'$ (derivata produsului)

$$(uv)^{(n)} = u^{(n)} v + \binom{n}{1} u^{(n-1)} v' + \binom{n}{2} u^{(n-2)} v'' + \dots + uv^{(n)};$$

în particular, dacă c este o constantă, atunci $(cu)' = cu'$; $(cu)^{(n)} = cu^{(n)}$;

$$3) \left(\frac{u}{v} \right)' = \frac{vu' - uv'}{v^2} \text{ (derivata cîntului);}$$

4) $(u^v)' = vu^{v-1} u' + u^v \ln u \cdot v'$ (derivata funcției exponențiale generale).

5) Dacă $y = f(u)$ și $u = \varphi(x)$, atunci $\frac{dy}{dx} = \frac{dy}{du} \cdot \frac{du}{dx}$ (regula de derivare a unei funcții de funcție).

Tabela derivatelor funcțiilor elementare fundamentale:

Funcția y	Derivata $\frac{dy}{dx}$	Funcția y	Derivata $\frac{dy}{dx}$
C (const)	0		
x	1	$\operatorname{cosec} x$	$-\frac{\cos x}{\sin^2 x} = -\cotg x \operatorname{cosec} x$
x^n	nx^{n-1}	$\arcsin x$	$\frac{1}{\sqrt{1-x^2}}$
$\frac{1}{x}$	$-\frac{1}{x^2}$	$\arccos x$	$-\frac{1}{\sqrt{1-x^2}}$
$\frac{1}{x^n}$	$-\frac{n}{x^{n+1}}$	$\operatorname{arctg} x$	$\frac{1}{1+x^2}$
\sqrt{x}	$\frac{1}{2\sqrt{x}}$	$\operatorname{arccotg} x$	$-\frac{1}{1+x^2}$
$\sqrt[n]{x}$	$\frac{1}{n\sqrt[n]{x^{n-1}}}$	$\operatorname{arcsec} x$	$\frac{1}{x\sqrt{x^2-1}}$
e^x	e^x	$\operatorname{arccosec} x$	$-\frac{1}{x\sqrt{x^2-1}}$
e^{kx}	ke^{kx}	$\operatorname{sh} x$	$\operatorname{ch} x$
a^x	$a^x \ln a$	$\operatorname{ch} x$	$\operatorname{sh} x$
a^{kx}	$ka^{kx} \ln a$	$\operatorname{th} x$	$\frac{1}{\operatorname{ch}^2 x}$
$\ln x$	$\frac{1}{x}$	$\operatorname{coth} x$	$-\frac{1}{\operatorname{sh}^2 x}$
$\log_a x$	$\frac{1}{x} \log_a e = \frac{1}{x \ln a}$	$\arg \operatorname{sh} x$	$\frac{1}{\sqrt{1+x^2}}$
$\lg x$	$\frac{1}{x} \lg e \approx \frac{0,4343}{x}$	$\arg \operatorname{ch} x$	$\pm \frac{1}{\sqrt{x^2-1}}$
$\sin x$	$\cos x$	$\arg \operatorname{th} x$	$\frac{1}{1-x^2}$
$\cos x$	$-\sin x$	$\operatorname{arc} \operatorname{coth} x$	$-\frac{1}{x^2-1}$
$\operatorname{tg} x$	$\frac{1}{\cos^2 x} = \sec^2 x$		
$\operatorname{cotg} x$	$-\frac{1}{\sin^2 x} = -\operatorname{cosec}^2 x$		
$\sec x$	$\frac{\sin x}{\cos^2 x} = \operatorname{tg} x \sec x$		

Tabela derivatelor de ordin superior ale funcțiilor elementare fundamentale:

Funcția y	Derivata $\frac{d^n y}{dx^n}$
x^m	$m(m-1)(m-2)\dots(m-n+1)x^{m-n}$ (pentru m întreg și $n > m$ derivata este egală cu zero)
$\frac{1}{x^m}$	$(-1)^n m(m+1)(m+2)\dots(m+n-1)\frac{1}{x^{m+n}}$
$\sqrt[m]{x}$	$(-1)^{n-1} \frac{1}{m^n} (m-1)(2m-1)\dots$ $\dots[(n-1)m-1] \frac{1}{\sqrt[m]{x^{mn-1}}}$
e^x	e^x
e^{kx}	$k^n e^{kx}$
a^x	$(\ln a)^n a^x$
a^{kx}	$(k \ln a)^n a^{kx}$
$\ln x$	$(-1)^{n-1} (n-1)! \frac{1}{x^n}$
$\log_a x$	$(-1)^{n-1} \frac{(n-1)!}{\ln a} \cdot \frac{1}{x^n}$
$\sin x$	$\sin\left(x + \frac{n\pi}{2}\right)$
$\sin kx$	$k^n \sin\left(kx + \frac{n\pi}{2}\right)$
$\cos x$	$\cos\left(x + \frac{n\pi}{2}\right)$
$\cos kx$	$k^n \cos\left(kx + \frac{n\pi}{2}\right)$
$\operatorname{sh} x$	$\begin{cases} \operatorname{sh} x & \text{pentru } n \text{ par} \\ \operatorname{ch} x & \text{pentru } n \text{ impar} \end{cases}$
$\operatorname{ch} x$	$\begin{cases} \operatorname{ch} x & \text{pentru } n \text{ par} \\ \operatorname{sh} x & \text{pentru } n \text{ impar} \end{cases}$

În cazul mai general cînd $y = f(u)$, $u = \varphi(v)$, $v = \psi(x)$, avem $\frac{dy}{dx} = \frac{dy}{du} \cdot \frac{du}{dv} \cdot \frac{dv}{dx}$ etc.

6) Dacă variabila y este dată ca funcție de argumentul x prin ecuația implicită $F(x, y) = 0$, derivatele ei pot fi găsite cu ajutorul derivatelor parțiale (în ceea ce privește definiția derivatelor parțiale v. p. 105):

$$\frac{dy}{dx} = -\frac{F'_x}{F'_y}; \quad \frac{d^2y}{dx^2} = -\frac{F''_{xx}(F'_y)^2 - 2F''_{xy}F'_xF'_y + F''_{yy}(F'_x)^2}{F''_{yy}(F'_y)^2}.$$

7) Dacă dependența dintre y și x este dată sub forma parametrică $x = \varphi(t)$, $y = \psi(t)$, atunci

$$\frac{dy}{dx} = \frac{y'_t}{x'_t}, \quad \frac{d^2y}{dx^2} = \frac{y''_{tt}x'_t - x''_{tt}y'_t}{(x'_t)^3}.$$

8) Dacă egalitatea $y = f(x)$ se consideră ca definind implicit funcția $x = \varphi(y)$, atunci f și φ sînt simbolurile a două funcții *inverse una alteia*. Derivatele acestor funcții sînt legate între ele prin relația $\varphi'(y) = 1/f'(x)$.

Teoremele fundamentale ale calculului diferențial. Teorema lui Rolli. Dacă funcția $f(x)$ este continuă pe segmentul (intervalul închis) $[a, b]$, derivabilă în intervalul (a, b) și $f(a) = f(b)$, atunci în acest interval se găsește cel puțin un punct $x = c$, în care $f'(c) = 0$ [tangenta la graficul funcției în punctul $x = c$ este paralelă cu axa Ox (fig. 1.82)].

Teorema lui Lagrange. Dacă funcția $f(x)$ este continuă pe segmentul (intervalul închis) $[a, b]$ și derivabilă în intervalul (a, b) , atunci în acest interval există cel puțin un punct $x = c$, astfel încît să fie valabilă formula creșterilor finite:

$$f(b) - f(a) = (b - a) f'(c)$$

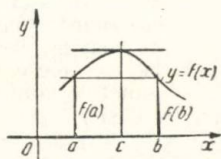


Fig. 1.82.

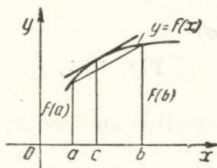


Fig. 1.83.

[tangenta la curba $y = f(x)$ în punctul cu abscisa $x = c$ este paralelă la coarda care unește punctele cu abscisele $x = a$ și $x = b$ (fig. 1.83)].

Teorema lui Cauchy. Dacă funcțiile $f(x)$ și $\varphi(x)$ sînt continue pe segmentul (intervalul închis) $[a, b]$, derivabile în intervalul (a, b) , în nici unul din punctele acestui interval $f'(x)$ și $\varphi'(x)$ nu sînt nule

simultan și $\varphi(a) \neq \varphi(b)$, atunci în acest interval există cel puțin un punct $x = c$, pentru care
$$\frac{f(b) - f(a)}{\varphi(b) - \varphi(a)} = \frac{f'(c)}{\varphi'(c)}.$$

Creșterea și descreșterea funcțiilor. Dacă pentru orice puncte x_1 și x_2 din intervalul (a, b) din inegalitatea $x_1 < x_2$ rezultă că $f(x_1) < f(x_2)$, funcția $f(x)$ se numește *crescătoare* în acest interval. Dacă din inegalitatea $x_1 < x_2$ rezultă $f(x_1) > f(x_2)$, funcția se numește *descrescătoare*.

Funcția se numește *monotonă* într-un interval dacă ea crește (*funcție monoton crescătoare*) sau scade (*funcție monoton descrescătoare*) în acest interval.

Pentru ca funcția $f(x)$ să crească sau să descrească într-un anumit interval, este suficient ca în toate punctele acestui interval $f'(x) > 0$ [respectiv $f'(x) < 0$].

Maxim și minim. Numărul x_0 , care se reprezintă printr-un punct pe axa Ox , se numește *punct de maxim* (*punct de minim*) al funcției $f(x)$, dacă există o vecinătate a acestui punct, astfel încît pentru orice punct x al acestei vecinătăți ($x \neq x_0$) să aibă loc inegalitatea $f(x_0) > f(x)$ [respectiv $f(x_0) < f(x)$].

Valoarea funcției în punctul de maxim (minim) se numește *maximul* (*minimul*) funcției.

Denumirea comună pentru maxim și minim este *extrem*.

În punctul de extrem derivata $f'(x)$ a unei funcții date sau este nulă (fig. 1.84 a), sau nu există (fig. 1.84, b) (*condiția necesară a extremului*). Dacă x_0 este rădăcina ecuației $f'(x) = 0$ [sau dacă $f'(x_0)$ nu există] și există o vecinătate a punctului x_0 astfel încît în toate punctele acestei vecinătăți la stînga lui x_0 derivata lui $f'(x)$ să aibă

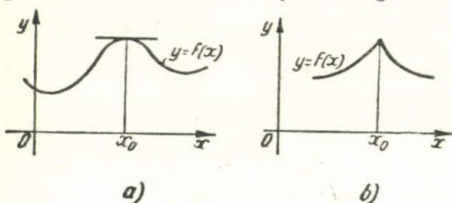


Fig. 1.84.

un semn, iar în toate punctele de la dreapta lui x_0 să aibă semnul opus, punctul x_0 este un punct de extrem (*condiție suficientă*). Variația semnelui (de la stînga la dreapta) de la + la - corespunde unui punct de maxim, iar de la - la + corespunde unui punct de minim.

O altă condiție suficientă: dacă $f'(x_0) = 0$ și $f''(x_0) < 0$, atunci x_0 este un punct de maxim; dacă $f'(x_0) = 0$ și $f''(x_0) > 0$, atunci x_0 este un punct de minim.

§ 1.9. Funcții de mai multe variabile

Noțiuni fundamentale. O funcție de variabilele x, y, z, \dots , este o mărime u [notația: $u = f(x, y, z, \dots)$] care ia o anumită valoare, cînd sînt date valori argumentelor independente unul de altul x, y, z, \dots . Ansamblul acestor valori ale argumentelor definesc *domeniul de definiție al funcției*.

Dacă funcția depinde de două argumente: $z = f(x, y)$, atunci ea poate fi interpretată geometric cu ajutorul unei suprafețe, a cărei ecuație este $z = f(x, y)$ (p. 86). Orice pereche de valori ale argumentelor (x, y) poate fi reprezentată cu ajutorul punctului $M(x, y)$ din planul xOy , iar funcția de două variabile poate fi considerată ca o funcție de punct în planul xOy : $z = f(M)$; domeniul de definiție al acestei funcții este un anumit domeniu din planul xOy .

Exemplu. Domeniul de definiție al funcției $z = \sqrt{1 - x^2 - y^2}$ este cercul $x^2 + y^2 \leq 1$.

Ca vecinătate a punctului (x_0, y_0) se ia fie dreptunghiul cu centrul în acest punct și cu laturile paralele cu axele de coordonate (adică ansamblul de valori ale lui x și y care satisfac inegalitățile $|x - x_0| \leq h$, $|y - y_0| \leq k$, unde $2h$ și $2k$ sînt lungimile laturilor dreptunghiului), fie cercul cu centrul în punctul dat $[(x - x_0)^2 + (y - y_0)^2 \leq \rho^2]$, unde ρ este raza cercului].

Numărul c se numește *limita funcției* $f(x, y)$, cînd x tinde către a și y tinde către b , dacă unui număr pozitiv δ , oricît de mic, i se pot asocia două numere pozitive suficient de mici, h și k , astfel încît pentru toate valorile x și y ($x \neq a$, $y \neq b$), care satisfac condițiile $|x - a| < h$ și $|y - b| < k$, să aibă loc inegalitatea $|f(x, y) - c| < \delta$.

Notăția: $\lim_{\substack{x \rightarrow a \\ y \rightarrow b}} f(x, y) = c$.

În mod asemănător se definește noțiunea de limită pentru funcția de un număr oarecare de argumente.

Semnificația simbolurilor: $\lim_{\substack{x \rightarrow \infty \\ y \rightarrow b}} f(x, y) = c$, $\lim_{\substack{x \rightarrow a \\ y \rightarrow b}} f(x, y) = \infty$,

$\lim_{\substack{x \rightarrow \infty \\ y \rightarrow b}} f(x, y) = \infty$ etc. este identică cu semnificația simbolurilor res-

pective pentru funcția de un singur argument (p. 95).

Funcția $f(x, y)$ se numește *continuă în punctul* (x_0, y_0) , dacă $\lim_{\substack{x \rightarrow x_0 \\ y \rightarrow y_0}} f(x, y) = f(x_0, y_0)$.

O funcție continuă în toate punctele unui anumit domeniu se numește *continuă în acel domeniu*.

Derivate și diferențiale. Se numește *derivată parțială* în raport cu argumentul x a funcției $u = f(x, y, z, \dots)$ derivata acestei funcții calculată în ipoteza că toate argumentele, în afară de x , sînt constante:

$$\lim_{\Delta x \rightarrow 0} \frac{f(x + \Delta x, y, z, \dots) - f(x, y, z, \dots)}{\Delta x}.$$

Notățiile derivatei parțiale în raport cu x : $\frac{\partial u}{\partial x}$, $\frac{\partial f}{\partial x}$, f'_x ,

$$\frac{\partial}{\partial x} f(x, y, z, \dots).$$

În mod analog se definesc și se notează derivatele parțiale în raport cu alte argumente.

Pentru funcția $z = f(x, y)$ derivata parțială $\frac{\partial z}{\partial x} = \operatorname{tg} \alpha$, unde α este unghiul dintre tangenta în punctul dat al suprafeței $z = f(x, y)$ la secțiunea suprafeței cu planul paralel cu planul xOz și direcția pozitivă a axei Ox (fig. 1.85); în mod analog $\frac{\partial z}{\partial y} = \operatorname{tg} \beta$.

Derivatele parțiale de ordine superioare se definesc și se notează astfel: $\frac{\partial}{\partial x} \left(\frac{\partial f}{\partial x} \right) = \frac{\partial^2 f}{\partial x^2} = f''_{xx}$, $\frac{\partial}{\partial y} \left(\frac{\partial f}{\partial x} \right) = \frac{\partial^2 f}{\partial x \partial y} = f''_{xy}$ etc. În cazul

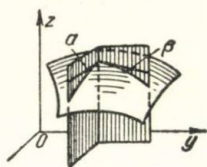


Fig. 1.85.

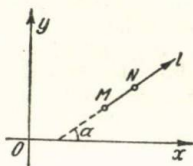


Fig. 1.86.

cînd derivatele parțiale, care trebuie calculate, sînt continue, rezultatul derivării de un număr de ori nu depinde de ordinea de derivare; astfel, de exemplu, $f''_{xy} = f''_{yx}$.

Derivata după o anumită direcție. Derivata unei funcții $f(x, y)$ în punctul $M(x, y)$ după direcția l (notația: $\frac{\partial f}{\partial l}$) se numește limita

$$\frac{\partial f}{\partial l} = \lim_{N \rightarrow M} \frac{f(N) - f(M)}{MN} \quad (\text{fig. 1.86}).$$

Dacă α este unghiul dintre direcția l și direcția pozitivă a axei Ox , atunci $\frac{\partial f}{\partial l} = \frac{\partial f}{\partial x} \cos \alpha + \frac{\partial f}{\partial y} \sin \alpha$.

În mod analog se definește derivata funcției $f(x, y, z)$ după o anumită direcție l în spațiu. Dacă α, β, γ sînt unghiurile formate de direcția l cu direcțiile pozitive ale axelor de coordonate respective, avem $\frac{\partial f}{\partial l} = \frac{\partial f}{\partial x} \cos \alpha + \frac{\partial f}{\partial y} \cos \beta + \frac{\partial f}{\partial z} \cos \gamma$.

Diferențiala. Diferențiala totală a funcției $z = f(x, y, \dots)$ care are derivatele parțiale continue $f'_x(x, y, \dots)$, $f'_y(x, y, \dots)$, se numește expresia $dz = f'_x(x, y, \dots) \Delta x + f'_y(x, y, \dots) \Delta y + \dots$, în care $\Delta x, \Delta y, \dots$ sînt creșterile argumentelor.

Diferențialele argumentelor sînt egale cu creșterile lor $dx = \Delta x, dy = \Delta y, \dots$ și de aceea putem scrie: $dz = f'_x dx + f'_y dy + \dots$ Formula aceasta este invariantă, adică își păstrează forma și în cazul cînd x, y, \dots nu sînt argumente, ci la rîndul lor depind de variabilele u, v .

Expresiile $f'_x dx, f'_y dy, \dots$ se numesc *diferențiale parțiale*: $d_x z = f'_x dx, d_y z = f'_y dy, \dots$

Diferențiala totală a funcției, dz , diferă de *creșterea totală* $\Delta z = f(x + \Delta x, y + \Delta y, \dots) - f(x, y, \dots)$ printr-un infinit mic de ordin superior în raport cu $\sqrt{(\Delta x)^2 + (\Delta y)^2 + \dots}$

Pentru ca expresia $M(x, y) dx + N(x, y) dy$, unde funcțiile $M(x, y), N(x, y)$ sînt continue împreună cu derivatele lor parțiale de ordinul întii $\frac{\partial M}{\partial y}$ și $\frac{\partial N}{\partial x}$, să fie diferențiala totală a unei funcții

oarecare de două variabile x și y este necesar și suficient să fie satisfăcută identitatea $\frac{\partial M}{\partial y} = \frac{\partial N}{\partial x}$. În mod analog, expresia $P(x, y, z) dx + Q(x, y, z) dy + R(x, y, z) dz$ este diferențiala totală a unei funcții de trei variabile x, y, z dacă $\frac{\partial R}{\partial y} = \frac{\partial Q}{\partial z}; \frac{\partial P}{\partial z} = \frac{\partial R}{\partial x}; \frac{\partial Q}{\partial x} = \frac{\partial P}{\partial y}$.

Geometric, diferențiala totală dz a unei funcții de două variabile se reprezintă cu ajutorul creșterii cotei planului tangent, în punctul dat, la suprafața $z = f(x, y)$, corespunzătoare creșterilor dx și dy ale argumentelor (fig. 1.87).

Formulele pentru *diferențialele totale de ordine superioare* ale unei funcții de două variabile:

$$\begin{aligned} d^2 z &= d(dz) = \frac{\partial^2 z}{\partial x^2} dx^2 + 2 \frac{\partial^2 z}{\partial x \partial y} dx dy + \frac{\partial^2 z}{\partial y^2} dy^2 = \\ &= \left(\frac{\partial}{\partial x} dx + \frac{\partial}{\partial y} dy \right)^2 z; \dots; \end{aligned}$$

$$d^n z = d(d^{n-1} z) = \left(\frac{\partial}{\partial x} dx + \frac{\partial}{\partial y} dy \right)^n z$$

sînt valabile dacă x și y sînt argumente sau dacă x și y depind de argumentele u, v, \dots , liniar.

Derivarea funcțiilor compuse și implicate. Dacă $z = f(x, y, \dots)$ și $x = \varphi_1(u, v, \dots); y = \varphi_2(u, v, \dots), \dots$ atunci

$$\frac{\partial z}{\partial u} = \frac{\partial f}{\partial x} \frac{\partial x}{\partial u} + \frac{\partial f}{\partial y} \frac{\partial y}{\partial u} + \dots;$$

$$\frac{\partial z}{\partial v} = \frac{\partial f}{\partial x} \frac{\partial x}{\partial v} + \frac{\partial f}{\partial y} \frac{\partial y}{\partial v} + \dots$$

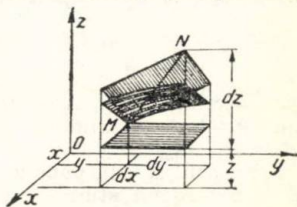


Fig. 1.87.

În particular, dacă $x = \varphi_1(t), y = \varphi_2(t), \dots$, atunci

$$\frac{dz}{dt} = \frac{\partial z}{\partial x} \frac{dx}{dt} + \frac{\partial z}{\partial y} \frac{dy}{dt} + \dots$$

Dacă egalitatea $f(x, y, z, \dots) = 0$ determină pe z implicit ca funcție de argumentele x, y, \dots , atunci

$$\frac{\partial z}{\partial x} = -\frac{f'_x}{f'_z}; \quad \frac{\partial z}{\partial y} = -\frac{f'_y}{f'_z}; \quad \dots$$

Extrem. Punctul (x_0, y_0) se numește *punct de extrem* al funcției $f(x, y)$, dacă există o vecinătate, astfel încît pentru toate punctele (x, y) ,

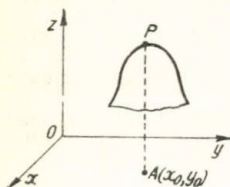


Fig. 1.88.

ale acestei vecinătăți să aibă loc una din inegalitățile $f(x_0, y_0) > f(x, y)$ (în cazul maximului) sau $f(x_0, y_0) < f(x, y)$ (în cazul minimului). Din punct de vedere geometric, aceasta înseamnă că în punctul de maxim (minim) $A(x_0, y_0)$ cota suprafeței, AP , este mai mare (respectiv mai mică) decît cota oricărui alt punct al unei anumite vecinătăți a punctului A (fig. 1.88).

În mod asemănător se definește extremul pentru funcția $f(x, y, \dots)$ de un număr oarecare de argumente.

În punctul extrem derivatele parțiale ale funcției, în raport cu toate argumentele, sînt egale cu zero (dacă aceste derivate există):

$$\frac{\partial f}{\partial x} = 0; \quad \frac{\partial f}{\partial y} = 0, \dots$$

(condiția necesară de extrem).

În cazul unei funcții $f(x, y)$ care depinde de două argumente, modul de determinare a punctelor de extrem este următorul. Dacă (x_0, y_0) este una din soluțiile sistemului de ecuații

$$\frac{\partial f}{\partial x} = 0, \quad \frac{\partial f}{\partial y} = 0,$$

numerele A, B, C egale cu

$$A = \frac{\partial^2 f(x_0, y_0)}{\partial x^2}, \quad B = \frac{\partial^2 f(x_0, y_0)}{\partial x \partial y}, \quad C = \frac{\partial^2 f(x_0, y_0)}{\partial y^2}$$

iar discriminantul $\Delta = AC - B^2$ este pozitiv, atunci (x_0, y_0) este un punct de maxim pentru $\Delta < 0$ și un punct de minim pentru $\Delta > 0$.

În cazul $\Delta < 0$, punctul (x_0, y_0) nu este un punct de extrem. Cazul $\Delta = 0$ cere un studiu mai detaliat.

Pentru găsirea extremului unei funcții de n variabile $f(x, y, z, \dots)$ în cazurile cînd argumentele x, y, z, \dots sînt legate între ele cu ajutorul a k condiții ($k < n$):

$$\varphi_1(x, y, z, \dots) = 0; \quad \varphi_2(x, y, z, \dots) = 0; \quad \varphi_k(x, y, z, \dots) = 0$$

(extrem condiționat), trebuie să introducem funcția auxiliară

$$F(x, y, z, \dots) = f(x, y, z, \dots) + \lambda_1 \varphi_1(x, y, z, \dots) + \lambda_2 \varphi_2(x, y, z, \dots) + \dots + \lambda_k \varphi_k(x, y, z, \dots)$$

($\lambda_1, \lambda_2, \dots, \lambda_k$ sînt constante, așa-numiții *multiplcatori ai lui Lagrange*).

Sistemul de $n + k$ ecuații cu $n + k$ necunoscute ($x, y, z, \dots; \lambda_1, \lambda_2, \dots, \lambda_k$):

$$\varphi_1 = 0, \quad \varphi_2 = 0, \dots, \quad \varphi_k = 0,$$

$$\frac{\partial F}{\partial x} = 0, \quad \frac{\partial F}{\partial y} = 0, \quad \frac{\partial F}{\partial z} = 0, \dots,$$

dă condițiile necesare (dar nu suficiente) ale extremului condiționat.

1.5

Calculul integral

§ 1.10. Integrala nedefinită

Definiții. Funcția $F(x)$ se numește *primitivă* pentru funcția $f(x)$, dacă $F'(x) = f(x)$. Dacă $F_1(x)$ și $F_2(x)$ sînt primitive pentru una și aceeași funcție $f(x)$, atunci diferența $F_1(x) - F_2(x)$ este o constantă. Ansamblul tuturor primitivelor unei anumite funcții $f(x)$ se numește *integrala nedefinită* a acestei funcții și se notează cu $\int f(x) dx$. Aici $f(x)$ este *funcția de integrat*, $f(x)dx$ — *integrandul* iar x *variabila de integrare*.

Astfel,

$$\int f(x) dx = F(x) + C,$$

unde $F(x)$ este una dintre primitivele funcției $f(x)$, iar C , o *constantă arbitrară* (*constantă de integrare*).

Integrala nedefinită este legată de integrala definită (v. p. 125) prin egalitatea

$$\int f(x) dx = \int_a^x f(x) dx + C,$$

unde C este o constantă arbitrară (și a este arbitrar).

Integrarea funcțiilor elementare nu duce totdeauna la funcții elementare. În astfel de cazuri integrala formează o nouă funcție,

neelementară, care poate fi calculată cu precizie suficientă și care capătă uneori o denumire specială. Astfel de integrale sînt, de exemplu

$$\int_0^x \frac{dx}{\ln x} = \text{li } x \text{ (logaritm integral)}$$

$$\int_0^x \frac{\sin x}{x} dx = \text{si } x \text{ (sinus integral)}$$

$$\int_0^{\sin \varphi} \frac{dx}{\sqrt{(1-x^2)(1-k^2x^2)}} = F(k, \varphi) \text{ (integrală eliptică de speța întâi)}$$

Regulile de integrare a funcțiilor

1) $\int [f_1(x) \pm f_2(x)] dx = \int f_1(x) dx \pm \int f_2(x) dx$ (regula de integrare a sumei);

2) $\int af(x) dx = a \int f(x) dx$ (regula de scoatere de sub semnul integralei a unui factor constant a);

3) $\int u(x) dv(x) = u(x)v(x) - \int v(x) du(x)$ (regula de integrare prin părți);

4) dacă $x = \varphi(t)$, atunci $\int f(x) dx = \int f[\varphi(t)] \varphi'(t) dt$ (regula de înlocuire a variabilei sau regula substituției).

Tabela integralelor fundamentale):*

$$1) \int dx = x \quad 2) \int x^n dx = \frac{x^{n+1}}{n+1} \quad (n \neq -1);$$

$$3) \int \frac{dx}{x} = \ln x^{**}); \quad 4) \int \frac{dx}{x^2 + a^2} = \frac{1}{a} \arctg \frac{x}{a};$$

$$5) \int \frac{dx}{x^2 - a^2} = \frac{1}{2a} \ln \frac{x-a}{x+a} = \begin{cases} -\frac{1}{a} \arg \text{th} \frac{x}{a}, & \text{dacă } |x| < a \\ -\frac{1}{a} \arg \text{coth} \frac{x}{a}, & \text{dacă } |x| > a; \end{cases}$$

$$6) \int \frac{dx}{\sqrt{a^2 - x^2}} = \arcsin \frac{x}{a};$$

*) Constantele arbitrare din această tabelă și din următoarele nu sînt trecute.

**) Aici și în celelalte formule care conțin în dreapta expresii logaritmice, în loc de $\ln f(x)$ trebuie înțeles $\ln |f(x)|$; semnul valorii absolute nu este trecut.

$$7) \int \frac{dx}{\sqrt{x^2 + a}} = \ln(x + \sqrt{x^2 + a}) = \begin{cases} \arg \operatorname{sh} \frac{x}{\sqrt{a}}, & \text{dacă } a > 0 \\ \arg \operatorname{ch} \frac{x}{\sqrt{-a}}, & \text{dacă } a < 0; \end{cases}$$

$$8) \int e^x dx = e^x; \quad 9) \int a^x dx = \frac{a^x}{\ln a};$$

$$10) \int \sin x dx = -\cos x; \quad 11) \int \cos x dx = \sin x;$$

$$12) \int \operatorname{tg} x dx = -\ln \cos x; \quad 13) \int \operatorname{cotg} x dx = \ln \sin x;$$

$$14) \int \frac{dx}{\sin x} = \ln \operatorname{tg} \frac{x}{2}; \quad 15) \int \frac{dx}{\cos x} = \ln \operatorname{tg} \left(\frac{x}{2} + \frac{\pi}{4} \right);$$

$$16) \int \frac{dx}{\sin^2 x} = -\operatorname{cotg} x; \quad 17) \int \frac{dx}{\cos^2 x} = \operatorname{tg} x;$$

$$18) \int \operatorname{sh} x dx = \operatorname{ch} x; \quad 19) \int \operatorname{ch} x dx = \operatorname{sh} x;$$

$$20) \int \operatorname{th} x dx = \ln \operatorname{ch} x; \quad 21) \int \operatorname{coth} x dx = \ln \operatorname{sh} x;$$

$$22) \int \frac{dx}{\operatorname{sh}^2 x} = -\operatorname{coth} x; \quad 23) \int \frac{dx}{\operatorname{ch}^2 x} = \operatorname{th} x.$$

Integrarea funcțiilor raționale:

$$1) \int (ax + b)^n dx = \frac{1}{(n+1)a} (ax + b)^{n+1} \quad (n \neq -1);$$

$$2) \int \frac{dx}{ax + b} = \frac{1}{a} \ln(ax + b);$$

$$3) \int \frac{dx}{(ax + b)^n} = -\frac{1}{(n-1)a(ax + b)^{n-1}} \quad (n \neq 1);$$

$$4) \int \frac{dx}{ax^2 + b} = \frac{1}{\sqrt{ab}} \operatorname{arctg} \sqrt{\frac{a}{b}} x \quad (ab > 0);$$

$$5) \int \frac{dx}{ax^2 - b} = \frac{1}{2\sqrt{ab}} \ln \frac{\sqrt{ab} - ax}{\sqrt{ab} + ax} \quad (ab > 0);$$

$$6) \int \frac{dx}{(x+a)(x+b)} = \frac{1}{a-b} \ln \frac{x+b}{x+a} \quad (a \neq b);$$

$$7) \int \frac{dx}{ax^2 + bx + c} = \frac{1}{a} \int \frac{dx}{\left(x + \frac{b}{2a}\right)^2 + \frac{4ac - b^2}{4a^2}} =$$

$$= \begin{cases} \frac{2}{\sqrt{4ac - b^2}} \operatorname{arctg} \frac{2ax + b}{\sqrt{4ac - b^2}}, & \text{dacă } 4ac - b^2 > 0; \\ \frac{1}{\sqrt{b^2 - 4ac}} \ln \frac{2ax + b - \sqrt{b^2 - 4ac}}{2ax + b + \sqrt{b^2 - 4ac}}, & \text{dacă } 4ac - b^2 < 0; \\ -\frac{2}{2ax + b}, & \text{dacă } 4ac - b^2 = 0; \end{cases}$$

$$8) \int \frac{Mx + N}{ax^2 + bx + c} dx = \frac{M}{2a} \ln(ax^2 + bx + c) +$$

$$+ \frac{2aN - Mb}{2a} \int \frac{dx}{ax^2 + bx + c};$$

$$9) *) \int \frac{dx}{(ax^2 + bx + c)^n} = \frac{2ax + b}{(n-1)(4ac - b^2)(ax^2 + bx + c)^{n-1}} +$$

$$+ \frac{2(2n-3)a}{(n-1)(4ac - b^2)} \int \frac{dx}{(ax^2 + bx + c)^{n-1}} \quad (n \neq 1).$$

Se poate, de asemenea, prin substituția $x + \frac{b}{2a} =$

$$= \frac{\sqrt{4ac - b^2}}{2a} \operatorname{tg} t \quad (4ac - b^2 > 0) \text{ reduce la forma } \int \cos^{2(n-1)} t \, dt$$

(p. 119-120);

$$10) \int \frac{Mx + N}{(ax^2 + bx + c)^n} dx = - \frac{M}{2(n-1)a(ax^2 + bx + c)^{n-1}} +$$

$$+ \frac{2aN - bM}{2a} \int \frac{dx}{(ax^2 + bx + c)^n} \quad (n \neq 1).$$

Integrarea fracțiilor raționale în cazul general. Frația rațională neregulată $\frac{P(x)}{Q(x)}$ poate fi reprezentată sub forma sumei unui polinom

$P_0(x)$ și a fracției raționale regulate $\frac{P_1(x)}{Q(x)}$ (v. p. 26). Prin urmare

$$\int \frac{P(x)}{Q(x)} dx = \int P_0(x) dx + \int \frac{P_1(x)}{Q(x)} dx.$$

*) Pentru calcularea integralei, se utilizează această formulă de $n-1$ ori (formulă de recurență).

O fracție rațională regulată $\frac{P_1(x)}{Q(x)}$ poate fi descompusă într-o sumă de fracții simple (v. p. 27) care se integrează după formulele (2), (3), (7), (8), (9), (10) de la pag. 110-111.

Integrarea expresiilor algebrice iraționale

$$1) \int \sqrt{ax+b} \, dx = \frac{2}{3a} (\sqrt{ax+b})^3;$$

$$2) \int \sqrt[n]{ax+b} \, dx = \frac{n}{(n+1)a} (\sqrt[n]{ax+b})^{n+1};$$

$$3) \int (\sqrt[n]{ax+b})^m \, dx = \frac{n}{(n+m)a} (\sqrt[n]{ax+b})^{n+m};$$

$$4) \int \frac{dx}{\sqrt{ax+b}} = \frac{2}{a} \sqrt{ax+b};$$

$$5) \int \frac{dx}{\sqrt[n]{ax+b}} = \frac{n}{(n-1)a} (\sqrt[n]{ax+b})^{n-1};$$

$$6) \int \frac{dx}{(\sqrt[n]{ax+b})^m} = \frac{n}{(n-m)a} (\sqrt[n]{ax+b})^{n-m};$$

$$7) \int \frac{Mx+N}{\sqrt{ax+b}} \, dx = \frac{2}{3a^2} (3Na - 2Mb + Max) \sqrt{ax+b};$$

$$8) \int \frac{dx}{\sqrt{ax^2+bx+c}} = \frac{1}{\sqrt{a}} \ln(2ax+b+2\sqrt{a}\sqrt{ax^2+bx+c}),$$

dacă $a > 0$;

$$= \frac{1}{\sqrt{a}} \arg \operatorname{sh} \frac{2ax+b}{\sqrt{4ac-b^2}},$$

dacă $a > 0$ și $4ac - b^2 > 0$;

$$= \frac{1}{\sqrt{a}} \arg \operatorname{ch} \frac{2ax+b}{\sqrt{b^2-4ac}},$$

dacă $a > 0$ și $4ac - b^2 < 0$;

$$= -\frac{1}{\sqrt{-a}} \arcsin \frac{2ax+b}{\sqrt{b^2-4ac}},$$

dacă $a < 0$;

$$9) \int \frac{Mx+N}{\sqrt{ax^2+bx+c}} \, dx =$$

$$= \frac{M}{a} \sqrt{ax^2+bx+c} + \frac{2aN-Mb}{2a} \int \frac{dx}{\sqrt{ax^2+bx+c}};$$

$$10) \int \frac{x^n dx}{\sqrt{ax^2 + bx + c}} = \frac{x^{n-1} \sqrt{ax^2 + bx + c}}{na} - \frac{(n-1)c}{na} \int \frac{x^{n-2} dx}{\sqrt{ax^2 + bx + c}} - \frac{(2n-1)b}{2na} \int \frac{x^{n-1} dx}{\sqrt{ax^2 + bx + c}};$$

$$11) \int \sqrt{x^2 + a^2} dx = \frac{x}{2} \sqrt{x^2 + a^2} + \frac{a^2}{2} \ln(x + \sqrt{x^2 + a^2}) = \\ = \frac{x}{2} \sqrt{x^2 + a^2} + \frac{a^2}{2} \operatorname{arg sh} \frac{x}{a};$$

$$12) \int \sqrt{x^2 - a^2} dx = \frac{x}{2} \sqrt{x^2 - a^2} - \frac{a^2}{2} \ln(x + \sqrt{x^2 - a^2}) = \\ = \frac{x}{2} \sqrt{x^2 - a^2} - \frac{a^2}{2} \operatorname{arg ch} \frac{x}{a};$$

$$13) \int \sqrt{a^2 - x^2} dx = \frac{x}{2} \sqrt{a^2 - x^2} + \frac{a^2}{2} \arcsin \frac{x}{a};$$

$$14) \int x \sqrt{x^2 \pm a^2} dx = \frac{1}{3} (x^2 \pm a^2)^{\frac{3}{2}};$$

$$15) \int x \sqrt{a^2 - x^2} dx = -\frac{1}{3} (a^2 - x^2)^{\frac{3}{2}};$$

$$16) \int x^2 \sqrt{x^2 \pm a^2} dx = \frac{x}{4} \sqrt{(x^2 \pm a^2)^3} - \\ - \frac{a^2}{8} [x \sqrt{x^2 \pm a^2} + a^2 \ln(x + \sqrt{x^2 \pm a^2})] = \\ = \frac{x}{4} \sqrt{(x^2 \pm a^2)^3} - \frac{a^2}{8} \left(x \sqrt{x^2 \pm a^2} + a^2 \operatorname{arg sh} \frac{x}{a} \right);$$

$$17) \int x^2 \sqrt{a^2 - x^2} dx = -\frac{x}{4} (a^2 - x^2)^{\frac{3}{2}} + \\ + \frac{a^2}{8} \left(x \sqrt{a^2 - x^2} + a^2 \arcsin \frac{x}{a} \right);$$

$$18) \int \frac{\sqrt{x^2 + a^2}}{x} dx = \sqrt{x^2 + a^2} - a \ln \frac{a + \sqrt{x^2 + a^2}}{x};$$

$$19) \int \frac{\sqrt{x^2 - a^2}}{x} dx = \sqrt{x^2 - a^2} - a \arccos \frac{a}{x};$$

$$20) \int \frac{\sqrt{a^2 - x^2}}{x} dx = \sqrt{a^2 - x^2} - a \ln \frac{a + \sqrt{a^2 - x^2}}{x};$$

$$21) \int \sqrt{ax^2 + bx + c} dx = \frac{2ax + b}{4a} \sqrt{ax^2 + bx + c} + \\ + \frac{4ac - b^2}{8a} \int \frac{dx}{\sqrt{ax^2 + bx + c}};$$

se poate, de asemenea, punind $x + b/2a = t$, să se aducă la una din formele (11), (12) sau (13).

$$22) \int \frac{dx}{(x - \alpha)^n \sqrt{ax^2 + bx + c}} \text{ se reduce la forma (10) prin substituția } x - \alpha = 1/z;$$

$$23) \int R \left\{ x, \left(\frac{ax + b}{cx + d} \right)^{\frac{m_1}{n_1}}, \dots, \left(\frac{ax + b}{cx + d} \right)^{\frac{m_p}{n_p}} \right\} dx, \text{ sau în cazul particular } (c = 0; d = 1):$$

$$\int R \left\{ x(ax + b)^{\frac{m_1}{n_1}}, \dots, (ax + b)^{\frac{m_p}{n_p}} \right\} dx,$$

unde R este o funcție rațională de argumentele care apar în interiorul parantezei cu acolade, iar $m_1, m_2, \dots, m_p, n_1, n_2, \dots, n_p$ sînt numere întregi, se reduce la integrala unei fracții raționale prin substituția $\frac{ax + b}{cx + d} = t^N$ (în cazul particular indicat $ax + b = t^N$), unde N este cel mai mic multiplu comun al numerelor n_1, n_2, \dots, n_p .

Exemplul 1. $\int \sqrt{\frac{1-x}{1+x}} \frac{dx}{x}$. Punind $\frac{1-x}{1+x} = t^2$, rezultă:

$$x = \frac{1-t^2}{1+t^2} \text{ și } dx = \frac{-4t dt}{(1+t^2)^2}, \text{ de unde } \int \sqrt{\frac{1-x}{1+x}} \frac{dx}{x} = \int \frac{-4t^2 dt}{(1-t^2)(1+t^2)}.$$

Dezvoltînd expresia de sub integrală într-o sumă de fracții simple, se obține:

$$-\frac{4t^2}{(1+t)(1-t)(1+t^2)} = -\frac{1}{1+t} - \frac{1}{1-t} + \frac{2}{1+t^2}, \text{ și mai departe,}$$

$$\int \sqrt{\frac{1-x}{1+x}} \frac{dx}{x} = 2 \operatorname{arctg} t - \ln(1+t) + \ln(1-t) + c =$$

$$= 2 \operatorname{arctg} \sqrt{\frac{1-x}{1+x}} + \ln \frac{\sqrt{1+x} - \sqrt{1-x}}{\sqrt{1+x} + \sqrt{1-x}} + c.$$

Exemplul 2. $\int \frac{dx}{\sqrt{1+x} + \sqrt[3]{1+x}}$. Punind $1+x=t^6$, rezultă $dx=6t^5 dt$; prin urmare

$$\int \frac{dx}{\sqrt{1+x} + \sqrt[3]{1+x}} = 6 \int \frac{t^3 dt}{t+1} = 2t^3 - 3t^2 + 6t - 6 \ln(t+1) + C =$$

$$= 2\sqrt[6]{1+x} - 3\sqrt[3]{1+x} + 6\sqrt[6]{1+x} - 6 \ln(\sqrt[6]{1+x} + 1) + C.$$

24) $\int R(x, \sqrt{ax^2+bx+c}) dx$, unde R este o funcție rațională de x și de $\sqrt{ax^2+bx+c}$, se reduce la integrala unei fracții raționale prin una din următoarele trei substituții (*substituțiile lui Euler*):

$$a) \sqrt{ax^2+bx+c} = t \pm x\sqrt{a} \quad (a > 0),$$

$$b) \sqrt{ax^2+bx+c} = tx \pm \sqrt{c} \quad (c > 0),$$

$$c) \sqrt{ax^2+bx+c} = t(x-\alpha) \quad (4ac - b^2 < 0),$$

unde α este una dintre rădăcinile trinomului ax^2+bx+c .

$\int R(x, \sqrt{ax^2+bx+c}) dx$ poate fi redusă, de asemenea, la forma $\int R_1(\sin t, \cos t) dt$ (p. 120) cu ajutorul *substituțiilor trigonometrice*:

$$x + \frac{b}{2a} = \begin{cases} \frac{\sqrt{b^2-4ac}}{2a} \sin t \\ \frac{\sqrt{b^2-4ac}}{2a} \cos t \end{cases} \quad x + \frac{b}{2a} = \begin{cases} \frac{\sqrt{b^2-4ac}}{2a} \sec t \\ \frac{\sqrt{b^2-4ac}}{2a} \operatorname{cosec} t \end{cases}$$

$$(a < 0, 4ac - b^2 < 0); \quad (a > 0, 4ac - b^2 < 0);$$

$$x + \frac{b}{2a} = \begin{cases} \frac{\sqrt{4ac-b^2}}{2a} \operatorname{tg} t \\ \frac{\sqrt{4ac-b^2}}{2a} \operatorname{cotg} t; \end{cases} \quad (a > 0, 4ac - b^2 > 0);$$

25) $\int x^m (ax^n + b)^p dx$ (integrala unei *diferențiale binomiale*) se exprimă prin funcții elementare numai atunci când este satisfăcută cel puțin una din următoarele condiții (*condițiile lui Cebîșev de integrabilitate a diferențialei binomiale*):

$$a) p \text{ întreg}; b) \frac{m+1}{n} \text{ întreg}; c) \frac{m+1}{n} + p \text{ întreg}.$$

În primul caz, dacă $p > 0$, se obține suma integralelor de puteri; dacă, însă, $p < 0$, atunci substituția $x = z^N$, unde N este numitorul comun al numerelor fracționare m și n , duce la integrala unei funcții raționale.

În al doilea caz se scrie $ax^n + b = z^s$, unde s este numitorul fracției $p = r/s$.

În cazul al treilea se folosește substituția $ax^n + b = z^s x^n$.

Exemplul 1. $\int x^{1/3} (1 + 3x^{2/3})^{1/3} dx$. Aici $\frac{m+1}{n} = 2$, și prin urmare, $1 + 3x^{2/3} = z^3$, de unde

$$x = \frac{(z^3 - 1)^{3/2}}{3\sqrt{3}}, \quad dx = \frac{\sqrt{3}}{2} (z^3 - 1)^{1/2} z^2 dz$$

și

$$\begin{aligned} \int x^{1/3} (1 + 3x^{2/3})^{1/3} dx &= \frac{1}{2} \int z^3 (z^3 - 1) dz = \frac{z^7}{14} - \frac{z^4}{8} + C = \\ &= \frac{(1 + 3x^{2/3})^{7/3}}{14} - \frac{(1 + 3x^{2/3})^{4/3}}{8} + C. \end{aligned}$$

Exemplul 2. $\int \frac{dx}{x^{11} \sqrt{1 + x^4}}$. Aici $\frac{m+1}{n} + p = -3$; punind

$$1 + x^4 = z^2 x^4, \text{ rezultă } x = \frac{1}{(z^2 - 1)^{1/4}}, \quad dx = -\frac{z dz}{2(z^2 - 1)^{5/4}} \text{ și}$$

$$\begin{aligned} \int \frac{dx}{x^{11} \sqrt{1 + x^4}} &= -\frac{1}{2} \int (z^2 - 1)^2 dz = -\frac{z^5}{10} + \frac{z^3}{3} - \frac{z}{2} + C = \\ &= -\frac{1}{10} \sqrt{\left(\frac{1 + x^4}{x^4}\right)^5} + \frac{1}{3} \sqrt{\left(\frac{1 + x^4}{x^4}\right)^3} - \frac{1}{2} \sqrt{\frac{1 + x^4}{x^4}} + C. \end{aligned}$$

Integrarea funcțiilor trigonometrice (m, n, p, q sînt numere pozitive întregi)

$$1) \int \sin^2 x \, dx = -\frac{1}{4} \sin 2x + \frac{1}{2} x;$$

$$2) \int \cos^2 x \, dx = \frac{1}{4} \sin 2x + \frac{1}{2} x;$$

$$3) \int \sin x \cos x \, dx = \frac{1}{2} \sin^2 x;$$

$$4) \int \sin mx \cos nx \, dx = -\frac{\cos(m+n)x}{2(m+n)} - \frac{\cos(m-n)x}{2(m-n)} (m \neq n);$$

$$5) \int \sin mx \sin nx \, dx = \frac{\sin(m-n)x}{2(m-n)} - \frac{\sin(m+n)x}{2(m+n)} \quad (m \neq n);$$

$$6) \int \cos mx \cos nx \, dx = \frac{\sin(m-n)x}{2(m-n)} + \frac{\sin(m+n)x}{2(m+n)} \quad (m \neq n);$$

$$7) \int \sin(mx + \alpha) \sin(mx + \beta) \, dx = \\ = \frac{1}{2m} [\cos(\beta - \alpha) mx - \sin(mx + \alpha) \cos(mx + \beta)];$$

$$8) \int \cos(mx + \alpha) \cos(mx + \beta) \, dx = \frac{1}{2m} [\cos(\beta - \alpha) mx + \\ + \sin(mx + \alpha) \cos(mx + \beta)];$$

$$9) \int \sin(mx + \alpha) \cos(mx + \beta) \, dx = \frac{1}{2m} [\sin(\alpha - \beta) mx + \\ + \sin(mx + \alpha) \sin(mx + \beta)];$$

$$10) \int \sin(mx + \alpha) \sin(nx + \beta) \, dx = \frac{1}{2(m-n)} \sin[(m-n)x + \alpha - \beta] - \\ - \frac{1}{2(m+n)} \sin[(m+n)x + \alpha + \beta];$$

$$11) \int \cos(mx + \alpha) \cos(nx + \beta) \, dx = \frac{1}{2(m+n)} \sin[(m+n)x + \alpha + \beta] + \\ + \frac{1}{2(m-n)} \sin[(m-n)x + \alpha - \beta];$$

$$12) \int \sin(mx + \alpha) \cos(nx + \beta) \, dx = - \frac{1}{2(m+n)} \cos[(m+n)x + \alpha + \beta] - \\ - \frac{1}{2(m-n)} \cos[(m-n)x + \alpha - \beta];$$

$$13) \int \frac{dx}{1 + \cos x} = \operatorname{tg} \frac{x}{2}$$

$$14) \int \frac{dx}{1 - \cos x} = - \operatorname{cotg} \frac{x}{2}$$

- $$\begin{aligned}
 15) \quad & \int \frac{dx}{a + b \cos x} = \\
 & \begin{cases} \frac{2}{\sqrt{a^2 - b^2}} \operatorname{arctg} \left(\sqrt{\frac{a-b}{a+b}} \operatorname{tg} \frac{x}{2} \right) & (\text{dacă } a^2 > b^2), \\ \frac{1}{\sqrt{b^2 - a^2}} \ln \frac{b + a \cos x + \sqrt{b^2 - a^2} \sin x}{a + b \cos x} = \\ = \frac{2}{\sqrt{b^2 - a^2}} \operatorname{arg th} \left(\sqrt{\frac{b-a}{b+a}} \operatorname{tg} \frac{x}{2} \right) & (\text{dacă } a^2 < b^2); \end{cases} \\
 16) \quad & \int \frac{\cos x \, dx}{a + b \cos x} = \frac{x}{b} - \frac{a}{b} \int \frac{dx}{a + b \cos x}; \\
 17) \quad & \int \frac{\sin x \, dx}{a + b \cos x} = -\frac{1}{b} \ln(a + b \cos x); \\
 18) \quad & \int \sin^n x \, dx = -\frac{\cos x \sin^{n-1} x}{n} + \frac{n-1}{n} \int \sin^{n-2} x \, dx; \\
 19) \quad & \int \cos^n x \, dx = \frac{\sin x \cos^{n-1} x}{n} + \frac{n-1}{n} \int \cos^{n-2} x \, dx; \\
 20) \quad & \int \operatorname{tg}^n x \, dx = \frac{\operatorname{tg}^{n-1} x}{n-1} - \int \operatorname{tg}^{n-2} x \, dx; \\
 21) \quad & \int \operatorname{cotg}^n x \, dx = \frac{\operatorname{cotg}^{n-1} x}{n-1} - \int \operatorname{cotg}^{n-2} x \, dx; \\
 22) \quad & \int \frac{dx}{\sin^n x} = -\frac{\cos x}{(n-1) \sin^{n-1} x} + \frac{n-2}{n-1} \int \frac{dx}{\sin^{n-2} x}; \\
 23) \quad & \int \frac{dx}{\cos^n x} = \frac{\sin x}{(n-1) \cos^{n-1} x} + \frac{n-2}{n-1} \int \frac{dx}{\cos^{n-2} x}; \\
 24) \quad & \int \sin^p x \cos^q x \, dx = \frac{\sin^{p+1} x \cos^{q-1} x}{p+q} + \\
 & + \frac{q-1}{p+q} \int \sin^p x \cos^{q-2} x \, dx = -\frac{\sin^{p-1} x \cos^{q+1} x}{p+q} + \\
 & + \frac{p-1}{p+q} \int \sin^{p-2} x \cos^q x \, dx; \\
 25) \quad & \int \sin^{-p} x \cos^q x \, dx = -\frac{\sin^{-p+1} x \cos^{q+1} x}{p-1} + \\
 & + \frac{p-q-2}{p-1} \int \sin^{-p+2} x \cos^q x \, dx;
 \end{aligned}$$

$$26) \int \sin^p x \cos^{-q} x \, dx = \frac{\sin^{p+1} x \cos^{-q+1} x}{q-1} + \\ + \frac{q-p-2}{q-1} \int \sin^p x \cos^{-q+2} x \, dx;$$

27) $\int \sin^r x \cos^s x \, dx$ se reduce la o sumă de integrale de puteri prin substituția $\sin x = z$, dacă $s > 0$ și impar, și $\cos x = z$, dacă $r > 0$ și impar.

$$\text{Exemplu. } \int \frac{\sin^3 x \, dx}{\sqrt{\cos x}} = \int \frac{(1 - \cos^2 x) \sin x \, dx}{\sqrt{\cos x}} = \\ = - \int \frac{1 - z^2}{\sqrt{z}} \, dz = - 2z^{1/2} + \frac{2}{5} z^{5/2} + C = - 2 \cos^{1/2} x + \\ + \frac{2}{5} \cos^{5/2} x + C.$$

În particular, în locul formulelor (18), (19), (20), (21), (24), (25), (26), dacă n , p sau q sînt impare, este mai bine să folosim substituția indicată.

În cazul cînd ambele numere r și s sînt pare și pozitive putem micșora puterea, folosind identitatea:

$$\cos^2 x = \frac{1}{2} + \frac{\cos 2x}{2}, \quad \sin^2 x = \frac{1}{2} - \frac{\cos 2x}{2}, \\ \sin x \cos x = \frac{1}{2} \sin 2x.$$

$$28) \int \operatorname{tg}^r x \sec^n x \, dx, \int \cotg^r x \sec^n x \, dx, \int \operatorname{tg}^r x \operatorname{cosec}^n x \, dx, \\ \int \cotg^r x \operatorname{cosec}^n x \, dx,$$

unde $n > 0$ și par, iar r este arbitrar, se reduc la o sumă de integrale de puteri: primele două prin substituția $\operatorname{tg} x = z$, următoarele două prin substituția $\cotg x = z$ (trebuie să ținem seama de identitatea: $\sec^2 x = 1 + \operatorname{tg}^2 x$, $\operatorname{cosec}^2 x = 1 + \cotg^2 x$).

În particular, pe această cale este indicat să se calculeze integralele (22) și (23) în cazul cînd n este par.

$$\text{Exemplu. } \int \sqrt{\cotg x \sec^4 x} \, dx = \int \frac{1 + \operatorname{tg}^2 x}{\sqrt{\operatorname{tg} x}} \sec^2 x \, dx = \\ = \int \frac{1 + z^2}{\sqrt{z}} \, dz = 2z^{1/2} + \frac{2}{5} z^{5/2} + C = 2 \operatorname{tg}^{1/2} x + \\ + \frac{2}{5} \operatorname{tg}^{5/2} x + C.$$

29) $\int R(\sin x, \cos x) dx$, unde funcția de sub integrală, R , este rațională în raport cu $\sin x$ și $\cos x$, se reduce la integrala unei fracții raționale prin substituția $\operatorname{tg} \frac{x}{2} = z$; avem

$$dx = \frac{2dz}{1+z^2}, \quad \sin x = \frac{2z}{1+z^2}, \quad \cos x = \frac{1-z^2}{1+z^2}.$$

Integrarea funcțiilor hiperbolice:

$$1) \int \operatorname{sh}^2 x \, dx = \frac{1}{2} \operatorname{sh} x \operatorname{ch} x - \frac{1}{2} x;$$

$$2) \int \operatorname{ch}^2 x \, dx = \frac{1}{2} \operatorname{sh} x \operatorname{ch} x + \frac{1}{2} x;$$

$$3) \int \operatorname{sh}^n x \, dx = \frac{1}{n} \operatorname{sh}^{n-1} x \operatorname{ch} x - \frac{n-1}{n} \int \operatorname{sh}^{n-2} x \, dx \quad (n > 0);$$

$$4) \int \operatorname{ch}^n x \, dx = \frac{1}{n} \operatorname{ch}^{n-1} x \operatorname{sh} x + \frac{n-1}{n} \int \operatorname{ch}^{n-2} x \, dx \quad (n > 0);$$

$$5) \int \frac{dx}{\operatorname{sh} x} = \ln \operatorname{th} \frac{x}{2}; \quad 6) \int \frac{dx}{\operatorname{ch} x} = 2 \operatorname{arctg} e^x;$$

$$7) \int \frac{dx}{\operatorname{sh}^n x} = \frac{1}{1-n} \operatorname{sh}^{1-n} x \operatorname{ch} x - \frac{n-2}{n-1} \int \frac{dx}{\operatorname{sh}^{n-2} x} \quad (n > 1);$$

$$8) \int \frac{dx}{\operatorname{ch}^n x} = \frac{1}{n-1} \operatorname{ch}^{1-n} x \operatorname{sh} x + \frac{n-2}{n-1} \int \frac{dx}{\operatorname{ch}^{n-2} x} \quad (n > 1);$$

$$9) \int \operatorname{th}^2 x \, dx = x - \operatorname{th} x;$$

$$10) \int \operatorname{coth}^2 x \, dx = x - \operatorname{coth} x;$$

$$11) \int \operatorname{sh} ax \operatorname{sh} bx \, dx = \frac{1}{2(a+b)} \operatorname{sh} (a+b)x - \frac{1}{2(a-b)} \operatorname{sh} (a-b)x \quad (a^2 \neq b^2);$$

$$12) \int \operatorname{ch} ax \operatorname{ch} bx \, dx = \frac{1}{2(a+b)} \operatorname{sh} (a+b)x + \frac{1}{2(a-b)} \operatorname{sh} (a-b)x \quad (a^2 \neq b^2);$$

$$13) \int \operatorname{sh} ax \operatorname{ch} bx \, dx = \frac{1}{2(a+b)} \operatorname{ch} (a+b)x + \\ + \frac{1}{2(a-b)} \operatorname{ch} (a-b)x \quad (a^2 \neq b^2).$$

Integrarea altor funcții transcendente:

- 1) $\int \arcsin x \, dx = x \arcsin x + \sqrt{1-x^2};$
- 2) $\int \arccos x \, dx = x \arccos x - \sqrt{1-x^2};$
- 3) $\int \operatorname{arctg} x \, dx = x \operatorname{arctg} x - \frac{1}{2} \ln(1+x^2);$
- 4) $\int \operatorname{arccotg} x \, dx = x \operatorname{arccotg} x + \frac{1}{2} \ln(1+x^2);$
- 5) $\int x \arcsin x \, dx = \frac{1}{4} [(2x^2-1) \arcsin x + x \sqrt{1-x^2}];$
- 6) $\int x \arccos x \, dx = \frac{1}{4} [(2x^2-1) \arccos x - x \sqrt{1-x^2}];$
- 7) $\int x \operatorname{arctg} x \, dx = \frac{1}{2} [(x^2+1) \operatorname{arctg} x - x];$
- 8) $\int x \operatorname{arccotg} x \, dx = \frac{1}{2} [(x^2+1) \operatorname{arccotg} x + x];$
- 9) $\int x^n \arcsin x \, dx = \frac{1}{n+1} \left(x^{n+1} \arcsin x - \int \frac{x^{n+1} dx}{\sqrt{1-x^2}} \right);$
- 10) $\int x^n \arccos x \, dx = \frac{1}{n+1} \left(x^{n+1} \arccos x + \int \frac{x^{n+1} dx}{\sqrt{1-x^2}} \right);$
- 11) $\int x^n \operatorname{arctg} x \, dx = \frac{1}{n+1} \left(x^{n+1} \operatorname{arctg} x - \int \frac{x^{n+1} dx}{1+x^2} \right);$
- 12) $\int x^n \operatorname{arccotg} x \, dx = \frac{1}{n+1} \left(x^{n+1} \operatorname{arccotg} x + \int \frac{x^{n+1} dx}{1+x^2} \right);$
- 13) $\int \arg \operatorname{sh} x \, dx = x \arg \operatorname{sh} x - \sqrt{1+x^2};$
- 14) $\int \arg \operatorname{ch} x \, dx = x \arg \operatorname{ch} x - \sqrt{x^2-1};$

$$15) \int \arg \operatorname{th} x \, dx = x \arg \operatorname{th} x + \frac{1}{2} \ln (1 - x^2);$$

$$16) \int x \arg \operatorname{sh} x \, dx = \frac{1}{4} [(2x^2 + 1) \arg \operatorname{sh} x - x \sqrt{1 + x^2}];$$

$$17) \int x \arg \operatorname{ch} x \, dx = \frac{1}{4} [(2x^2 - 1) \arg \operatorname{ch} x - x \sqrt{x^2 - 1}];$$

$$18) \int \ln x \, dx = x \ln x - x; \quad 19) \int (\ln x)^n \, dx = x(\ln x)^n - n \int (\ln x)^{n-1} \, dx;$$

$$20) \int x^n \ln x \, dx = x^{n+1} \left[\frac{\ln x}{n+1} - \frac{1}{(n+1)^2} \right];$$

$$21) \int \frac{(\ln x)^n}{x} \, dx = \frac{(\ln x)^{n+1}}{n+1}; \quad 22) \int \frac{dx}{x \ln x} = \ln \ln x;$$

$$23) \int \sin \ln x \, dx = \frac{x}{2} (\sin \ln x - \cos \ln x);$$

$$24) \int \cos \ln x \, dx = \frac{x}{2} (\sin \ln x + \cos \ln x);$$

$$25) \int x \sin ax \, dx = -\frac{1}{a} x \cos ax + \frac{1}{a^2} \sin ax;$$

$$26) \int x \cos ax \, dx = \frac{1}{a} x \sin ax - \frac{1}{a^2} \cos ax;$$

$$27) \int x^n \sin ax \, dx = -\frac{1}{a} x^n \cos ax + \frac{n}{a} \int x^{n-1} \cos ax \, dx;$$

$$28) \int x^n \cos ax \, dx = \frac{1}{a} x^n \sin ax - \frac{n}{a} \int x^{n-1} \sin ax \, dx;$$

$$29) \int x \operatorname{sh} ax \, dx = \frac{1}{a} x \operatorname{ch} ax - \frac{1}{a^2} \operatorname{sh} ax;$$

$$30) \int x \operatorname{ch} ax \, dx = \frac{1}{a} x \operatorname{sh} ax - \frac{1}{a^2} \operatorname{ch} ax;$$

$$31) \int x^n \operatorname{sh} ax \, dx = \frac{1}{a} x^n \operatorname{ch} ax - \frac{n}{a} \int x^{n-1} \operatorname{ch} ax \, dx;$$

$$32) \int x^n \operatorname{ch} ax \, dx = \frac{1}{a} x^n \operatorname{sh} ax - \frac{n}{a} \int x^{n-1} \operatorname{sh} ax \, dx;$$

$$33) \int x e^{ax} dx = \frac{e^{ax}}{a^2} (ax - 1);$$

$$34) \int x^n e^{ax} dx = \frac{1}{a} x^n e^{ax} - \frac{n}{a} \int x^{n-1} e^{ax} dx;$$

$$35) \int \frac{dx}{1 + e^{ax}} = \frac{1}{a} \ln \frac{e^{ax}}{1 + e^{ax}};$$

$$36) \int \frac{dx}{b + ce^{ax}} = \frac{x}{b} - \frac{1}{ab} \ln (b + ce^{ax});$$

$$37) \int \frac{e^{ax} dx}{b + ce^{ax}} = \frac{1}{ac} \ln (b + ce^{ax});$$

$$38) \int \frac{dx}{be^{ax} + ce^{-ax}} = \begin{cases} \frac{1}{a\sqrt{bc}} \operatorname{arctg} \left(e^{ax} \sqrt{\frac{b}{c}} \right) & (bc > 0); \\ \frac{1}{2a\sqrt{-bc}} \ln \frac{c + e^{ax}\sqrt{-bc}}{c - e^{ax}\sqrt{-bc}}; & (bc < 0); \end{cases}$$

$$39) \int \frac{xe^{ax} dx}{(1+ax)^2} = \frac{e^{ax}}{a^2(1+ax)};$$

$$40) \int e^{ax} \sin(\omega x + \varphi) dx = \frac{e^{ax}}{a^2 + \omega^2} [a \sin(\omega x + \varphi) - \omega \cos(\omega x + \varphi)];$$

$$41) \int e^{ax} \cos(\omega x + \varphi) dx = \frac{e^{ax}}{a^2 + \omega^2} [a \cos(\omega x + \varphi) + \omega \sin(\omega x + \varphi)];$$

$$42) \int xe^{ax} \sin(\omega x + \varphi) dx = \frac{xe^{ax}}{a^2 + \omega^2} [a \sin(\omega x + \varphi) - \omega \cos(\omega x + \varphi) - \frac{e^{ax}}{(a^2 + \omega^2)^2} [(a^2 - \omega^2) \sin(\omega x + \varphi) - 2a\omega \cos(\omega x + \varphi)];$$

$$43) \int xe^{ax} \cos(\omega x + \varphi) dx = \frac{xe^{ax}}{a^2 + \omega^2} [a \cos(\omega x + \varphi) + \omega \sin(\omega x + \varphi)] - \frac{e^{ax}}{(a^2 + \omega^2)^2} [(a^2 - \omega^2) \cos(\omega x + \varphi) + 2a\omega \sin(\omega x + \varphi)];$$

$$44) \int \operatorname{sh} ax \sin bx \, dx = \frac{1}{a^2 + b^2} (a \operatorname{ch} ax \sin bx - b \operatorname{sh} ax \cos bx);$$

$$45) \int \operatorname{ch} ax \cos bx \, dx = \frac{1}{a^2 + b^2} (a \operatorname{sh} ax \cos bx + b \operatorname{ch} ax \sin bx);$$

$$46) \int \operatorname{sh} ax \cos bx \, dx = \frac{1}{a^2 + b^2} (a \operatorname{ch} ax \cos bx + b \operatorname{sh} ax \sin bx);$$

$$47) \int \operatorname{ch} ax \sin bx \, dx = \frac{1}{a^2 + b^2} (a \operatorname{sh} ax \sin bx - b \operatorname{ch} ax \cos bx).$$

§ 1.11. Integrala definită

Definiția și semnificația geometrică. Fie dată o funcție $f(x)$ pe segmentul $[a, b]$. Numerele $x_0, x_1, x_2, \dots, x_n$ se aleg astfel, încît

$$a = x_0 < x_1 < x_2 < \dots < x_{n-1} < x_n = b, \text{ dacă } b > a,$$

și

$$a = x_0 > x_1 > x_2 > \dots > x_{n-1} > x_n = b, \text{ dacă } b < a.$$

În interiorul sau la capetele fiecărui interval elementar $[x_{i-1}, x_i]$, se ia un număr arbitrar ξ_i :

$$x_0 \leq \xi_1 \leq x_1, x_1 \leq \xi_2 \leq x_2, \dots, x_{n-1} \leq \xi_n \leq x_n, \text{ dacă } b > a$$

și

$$x_0 \geq \xi_1 \geq x_1, x_1 \geq \xi_2 \geq x_2, \dots, x_{n-1} \geq \xi_n \geq x_n, \text{ dacă } b < a$$

și se formează suma

$$\sum_{i=1}^n f(\xi_i) \Delta x_i \text{ (suma integrală),}$$

unde $x_1 - x_0 = \Delta x_1, x_2 - x_1 = \Delta x_2, \dots, x_n - x_{n-1} = \Delta x_n$.

Limita acestei sume, cînd cea mai mare dintre mărimile $|\Delta x_i|$ tinde spre zero (și, prin urmare, $n \rightarrow \infty$), se numește *integrala definită* a funcției $f(x)$ între limitele a și b :

$$\int_a^b f(x) \, dx = \lim_{\max |\Delta x_i| \rightarrow 0} \sum_{i=1}^n f(\xi_i) \Delta x_i.$$

Dacă funcția $f(x)$ este continuă pe segmentul $[a, b]$, limita din partea dreaptă a acestei egalități există și nu depinde de alegerea numerelor x_1, x_2, \dots, x_{n-1} ; $\xi_1, \xi_2, \dots, \xi_n$ (*teorema existenței integralei definite*).

Numele a și b se numesc *limita inferioară*, respectiv *limita superioară* a integralei, segmentul $[a, b]$ — *segment (interval) de integrare* $f(x)$ — *funcția de sub integrală*, $f(x)dx$ — *expresia integrandului*, x — *variabila de integrare*.

Mărimea integralei definite nu depinde de variabila de integrare:

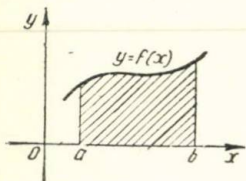


Fig. 1.89.

$$\int_a^b f(x) dx = \int_a^b f(t) dt.$$

Integrala definită cu limite egale este, prin definiție, egală cu zero:

$$\int_a^a f(x) dx = 0.$$

Dacă funcția $f(x)$ este pozitivă în interiorul segmentului de integrare, atunci $\int_a^b f(x) dx$ poate fi exprimată geometric prin aria trapezului curbiliniu format de curba $y = f(x)$, de axa Ox și de dreptele $x = a$ și $x = b$ (fig. 1.89).

Proprietățile integralei definite

- 1) $\int_a^b dx = b - a$;
- 2) $\int_a^b f(x) dx = - \int_b^a f(x) dx$;
- 3) $\int_a^b f(x) dx + \int_b^c f(x) dx = \int_a^c f(x) dx$;
- 4) $\int_a^b kf(x) dx = k \int_a^b f(x) dx$ ($k = \text{const}$);
- 5) $\int_a^b [f_1(x) \pm f_2(x)] dx = \int_a^b f_1(x) dx \pm \int_a^b f_2(x) dx$.

Teorema mediei. Dacă $f(x)$ și $\varphi(x)$ sînt continue pe segmentul $[a, b]$ și, în afară de aceasta, $\varphi(x)$ nu-și schimbă semnul pe acest segment, atunci pentru cel puțin un număr ξ din intervalul (a, b) există egalitatea

$$\int_a^b f(x) \varphi(x) dx = f(\xi) \int_a^b \varphi(x) dx.$$

În particular, punînd $\varphi(x) = 1$, avem

$$\int_a^b f(x) dx = (b - a) f(\xi).$$

Din punct de vedere geometric, în acest caz particular teorema afirmă existența unui dreptunghi $AB'C'D$ cu aria egală cu aria trapezului curbiliniu $ABCD$ (fig. 1.90).

Derivata integralei definite în raport cu limita superioară:

$$\frac{d}{dx} \int_a^x f(t) dt = f(x); \quad \frac{d}{dx} \int_a^{\varphi(x)} f(t) dt = f[\varphi(x)] \varphi'(x).$$

Derivata unei integrale definite în raport cu parametrul:

$$1) \quad \frac{\partial}{\partial \alpha} \int_a^b f(x, \alpha) dx = \int_a^b \frac{\partial f(x, \alpha)}{\partial \alpha} dx;$$

$$2) \quad \frac{\partial}{\partial \alpha} \int_{X(\alpha)}^{X(\alpha)} f(x, \alpha) dx =$$

$$= \int_{X(\alpha)}^{X(\alpha)} \frac{\partial f(x, \alpha)}{\partial \alpha} dx + f[X(\alpha), \alpha] \frac{dX(\alpha)}{d\alpha} - f[x(\alpha), \alpha] \frac{dx(\alpha)}{d\alpha}.$$

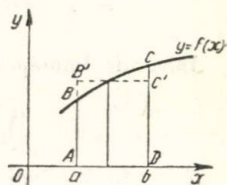


Fig. 1.90.

Calculul integralei definite. Dacă $F(x)$ este primitiva funcției $f(x)$ [adică $F'(x) = f(x)$], atunci

$$\int_a^b f(x) dx = F(x) \Big|_a^b$$

(formula lui Newton-Leibniz), unde

$$F(x) \Big|_a^b = F(b) - F(a).$$

Regula de integrare prin părți:

$$\int_a^b u(x) \frac{dv(x)}{dx} dx = u(x) v(x) \Big|_a^b - \int_a^b v(x) \frac{du(x)}{dx} dx.$$

Exemplu:

$$\int_0^1 x e^x dx = x e^x \Big|_0^1 - \int_0^1 e^x dx = 1.$$

Regula de substituție a variabilei: dacă $x = \varphi(t)$, $a = \varphi(\alpha)$, $b = \varphi(\beta)$, iar funcția $\varphi(t)$ este monotonă și continuă pentru $\alpha \leq t \leq \beta$, atunci

$$\int_a^b f(x) dx = \int_\alpha^\beta f[\varphi(t)] \varphi'(t) dt.$$

Exemplu. $\int_0^1 \sqrt{1-x^2} dx$. Punind $x = \sin t$ ($t = \arcsin x$), obținem

$$\begin{aligned} \int_0^1 \sqrt{1-x^2} dx &= \int_{\arcsin 0}^{\arcsin 1} \sqrt{1-\sin^2 t} \cos t dt = \\ &= \int_0^{\frac{\pi}{2}} \cos^2 t dt = \frac{1}{2} \left(t + \frac{1}{2} \sin 2t \right) \Big|_0^{\frac{\pi}{2}} = \frac{\pi}{4}. \end{aligned}$$

Integrale improprii. 1) Integrale cu limite infinite:

$$\int_a^\infty f(x) dx = \lim_{b \rightarrow \infty} \int_a^b f(x) dx.$$

Dacă limita indicată în această definiție a integralei improprii există și este finită, integrala se numește *convergentă*; în caz contrar ea se numește *divergentă*.

În mod analog se definesc integralele de forma

$$\int_{-\infty}^b f(x) dx \text{ și } \int_{-\infty}^{+\infty} f(x) dx.$$

Exemplul 1. $\int_1^\infty \frac{dx}{x^2} = \lim_{b \rightarrow \infty} \int_1^b \frac{dx}{x^2} = \lim_{b \rightarrow \infty} \left(-\frac{1}{b} + 1 \right) = 1$; integrală convergentă.

Exemplul 2. $\int_1^\infty \frac{dx}{x} = \lim_{b \rightarrow \infty} \int_1^b \frac{dx}{x} = \lim_{b \rightarrow \infty} \ln b = \infty$, integrală divergentă.

2) *Integrala unei funcții discontinue.* Dacă funcția $f(x)$ este continuă în intervalul $[a, b]$, iar în punctul $x = b$ devine infinită, prin definiție

$$\int_a^b f(x) dx = \lim_{\varepsilon \rightarrow 0} \int_a^{b-\varepsilon} f(x) dx \quad (\varepsilon > 0).$$

În mod analog se definește integrala improprie, dacă $f(x)$ este continuă în intervalul $[a, b]$, iar în punctul $x = a$ devine infinită.

Cazul în care $f(x)$ este discontinuă în punctul $x = c$, aflat în interiorul intervalului de integrare, se reduce la cele precedente:

$$\begin{aligned} \int_a^b f(x) dx &= \int_a^c f(x) dx + \int_c^b f(x) dx = \\ &= \lim_{\varepsilon_1 \rightarrow 0} \int_a^{c-\varepsilon_1} f(x) dx + \lim_{\varepsilon_2 \rightarrow 0} \int_{c+\varepsilon_2}^b f(x) dx, \end{aligned}$$

unde $\varepsilon_1 > 0$ și $\varepsilon_2 > 0$.

Exemplul 1. $\int_0^1 \frac{dx}{\sqrt{x}} = \lim_{\varepsilon \rightarrow 0} \int_{\varepsilon}^1 \frac{dx}{\sqrt{x}} = \lim_{\varepsilon \rightarrow 0} (2 - 2\sqrt{\varepsilon}) = 2$, integrală convergentă.

Exemplul 2. $\int_0^1 \frac{dx}{x} = \lim_{\varepsilon \rightarrow 0} \int_{\varepsilon}^1 \frac{dx}{x} = - \lim_{\varepsilon \rightarrow 0} \ln \varepsilon = \infty$, integrală divergentă.

Aplicații în geometrie și mecanică. Aria trapezului curbiliniu format de o curbă cu ecuația $y = f(x)$, y păstrind semnul constant în interiorul segmentului $[a, b]$, de axa Ox și de dreptele $x = a$ și $x = b$ (v. fig. 1.89), este

$$S = \int_a^b y \, dx = \int_a^b f(x) \, dx.$$

Dacă $f(x)$ își schimbă semnul, formula pentru calculul ariei trebuie aplicată separat pentru fiecare segment în care $f(x)$ își păstrează semnul și trebuie adunate valorile absolute ale mărimilor obținute.

Dacă ecuațiile curbei sînt date sub forma parametrică:

$$x = \varphi(t), \quad y = \psi(t) \text{ și } a = \varphi(t_1), \quad b = \varphi(t_2),$$

atunci

$$S = \int_{t_1}^{t_2} \psi(t) \varphi'(t) \, dt.$$

Pentru o arie mărginită de curba reprezentativă a funcției $x = F(y)$, de axa Oy și de dreptele $y = \alpha$, $y = \beta$ (fig. 1.91 a),

$$S = \int_{\alpha}^{\beta} x \, dy = \int_{\alpha}^{\beta} F(y) \, dy.$$

Aria unui sector curbiliniu, mărginit de curba $\rho = \rho(\varphi)$ și de razele $\varphi = \varphi_1$, $\varphi = \varphi_2$ (fig. 1.91 b),

$$\text{este } S = \frac{1}{2} \int_{\varphi_1}^{\varphi_2} \rho^2 \, d\varphi.$$

Lungimea arcului unei curbe plane, dată printr-o ecuație explicită $y = f(x)$ sau $x = F(y)$, sau sub forma parametrică $x = \varphi(t)$, $y = \psi(t)$;

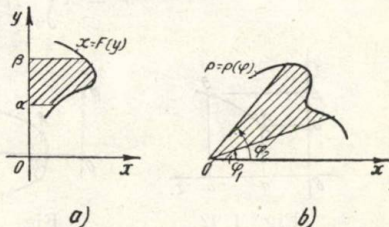


Fig. 1.91.

$$\begin{aligned} L &= \int_a^b \sqrt{1 + [f'(x)]^2} \, dx = \int_{\alpha}^{\beta} \sqrt{1 + [F'(y)]^2} \, dy = \\ &= \int_{t_1}^{t_2} \sqrt{[\varphi'(t)]^2 + [\psi'(t)]^2} \, dt. \end{aligned}$$

Aici punctul inițial și punctul final al arcului sînt respectiv $A(a, \alpha)$, $B(b, \beta)$ (fig. 1.92), iar $t = t_1$, $t = t_2$ sînt valorile parametrului t , corespunzătoare punctelor A și B .

Dacă ecuația curbei este dată în coordonate polare $\rho = \rho(\varphi)$, iar valorile unghiului polar φ în punctul inițial și în punctul final al arcului sînt respectiv $\varphi = \varphi_1$, $\varphi = \varphi_2$, atunci

$$L = \int_{\varphi_1}^{\varphi_2} \sqrt{\rho^2 + \left(\frac{d\rho}{d\varphi}\right)^2} d\varphi.$$

Aria unei suprafețe de rotație cînd axa de rotație este axa Ox (fig. 1.93) și ecuația curbei care generează suprafața de rotație este $y = f(x)$ sau sub forma parametrică $x = \varphi(t)$, $y = \psi(t)$, devine:

$$S = 2\pi \int_a^b f(x) \sqrt{1 + [f'(x)]^2} dx = 2\pi \int_{t_1}^{t_2} \psi(t) \sqrt{[\varphi'(t)]^2 + [\psi'(t)]^2} dt,$$

unde $x = a$, $x = b$ sînt abscisele punctelor inițial și final ale arcului. Corespunzător acestor puncte, valorile parametrului t sînt $t = t_1$, respectiv $t = t_2$.

Atunci cînd axa de rotație este axa Oy (fig. 1.94) și ecuația curbei care generează suprafața de rotație este $x = F(y)$, rezultă

$$S = 2\pi \int_{\alpha}^{\beta} F(y) \sqrt{1 + [F'(y)]^2} dy,$$

unde $y = \alpha$, $y = \beta$ sînt ordonatele punctelor inițial și final ale arcului.

Volumul unui corp de rotație cînd axa de rotație este axa Ox (fig. 1.93):

$$V = \pi \int_a^b [f(x)]^2 dx,$$

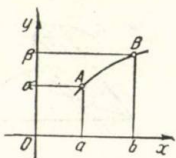


Fig. 1.92.

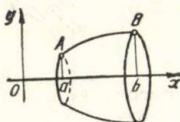


Fig. 1.93.

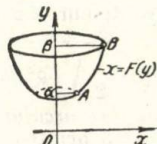


Fig. 1.94.

iar atunci cînd axa de rotație este axa Oy (fig. 1.94):

$$V = \pi \int_{\alpha}^{\beta} [F(y)]^2 dy$$

(notațiile sînt aceleași ca și în formulele pentru calculul ariei suprafeței de rotație).

Volumul unui corp de formă arbitrară. Dacă un corp este mărginit de planele $x = a$ și $x = b$, perpendiculare pe axa Ox , iar aria secțiunii perpendiculare pe această axă, $S = S(x)$, este dată ca funcție de x , unde x este distanța de la planul acestei secțiuni pînă la punctul O (fig. 1.95), volumul corpului se calculează după formula

$$V = \int_a^b S(x) dx.$$

Spațiul parcurs de un punct care se mișcă cu viteza $v = v(t)$ în intervalul de timp de la $t = \tau$ pînă la $t = T$ este egal cu

$$S = \int_{\tau}^T v(t) dt.$$

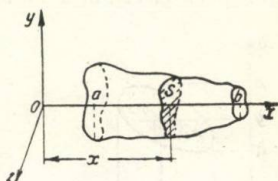


Fig. 1.95.

Lucrul mecanic efectuat de forța variabilă $F(x)$, care își deplasează punctul de aplicație pe o linie dreaptă din poziția $x = a$ în poziția $x = b$ (dacă direcția forței coincide cu direcția axei Ox) este egal cu

$$A = \int_a^b F(x) dx.$$

Momentele statice, coordonatele centrului de greutate și momentele de inerție.

a) *Arcul unei curbe plane.* Notății: ecuația curbei $y = y(x)$ sau $x = x(y)$, punctul inițial al curbei $A(a, \alpha)$, punctul final $B(b, \beta)$ (fig. 1.92).

Momentele statice: în raport cu axa Ox ,

$$S_x = \int_a^b y(x) \sqrt{1 + [y'(x)]^2} dx = \int_{\alpha}^{\beta} y \sqrt{1 + [x'(y)]^2} dy;$$

în raport cu axa Oy

$$S_y = \int_a^b x \sqrt{1 + [y'(x)]^2} dx = \int_{\alpha}^{\beta} x(y) \sqrt{1 + [x'(y)]^2} dy.$$

Coordonatele centrului de greutate:

$$x_c = \frac{S_y}{L}; \quad y_c = \frac{S_x}{L},$$

unde L este lungimea arcului.

Momentele de inerție: în raport cu axa Ox

$$\begin{aligned} I_x &= \int_a^b [y(x)]^2 \sqrt{1 + [y'(x)]^2} dx = \\ &= \int_{\alpha}^{\beta} y^2 \sqrt{1 + [x'(y)]^2} dy; \end{aligned}$$

în raport cu axa Oy

$$I_y = \int_a^b x^2 \sqrt{1 + [y'(x)]^2} dx = \int_\alpha^\beta [x(y)]^2 \sqrt{1 + [x'(y)]^2} dy;$$

în raport cu originea axelor de coordonate,

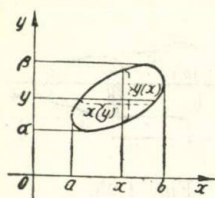


Fig. 1.96.

$$\begin{aligned} I_o &= I_x + I_y = \\ &= \int_a^b \{x^2 + [y(x)]^2\} \sqrt{1 + [y'(x)]^2} dx = \\ &= \int_\alpha^\beta \{[x(y)]^2 + y^2\} \sqrt{1 + [x'(y)]^2} dy. \end{aligned}$$

b) *Aria unei figuri plane.* Notății: $x = a$ și $x = b$ sînt valorile extreme ale lui x ; $y = \alpha$ și $y = \beta$ sînt valorile extreme ale lui y , $x(y)$ este lungimea secțiunii paralele cu axa Ox dusă la distanța y de ea; $y(x)$ este lungimea secțiunii paralele cu axa Oy dusă la distanța x de ea (fig. 1.96).

Momentele statice: în raport cu axa Ox

$$S_x = \int_\alpha^\beta y x(y) dy;$$

în raport cu axa Oy

$$S_y = \int_a^b x y(x) dx.$$

Coordonatele centrului de greutate

$$x_c = \frac{S_y}{S}; \quad y_c = \frac{S_x}{S},$$

unde S este aria figurii.

Momentele de inerție: în raport cu axa Ox

$$I_x = \int_\alpha^\beta y^2 x(y) dy;$$

în raport cu axa Oy

$$I_y = \int_a^b x^2 y(x) dx;$$

în raport cu originea axelor de coordonate

$$I_o = I_x + I_y.$$

Prima teoremă a lui Guldin. Dacă arcul de lungime l al unei curbe plane se rotește în jurul unei axe care nu intersectează acest

arc și care se află în același plan cu el, aria suprafeței generate de arc se calculează după formula $S = 2\pi d \cdot l$, unde d este distanța centrului de greutate al arcului la axa de rotație.

A doua teoremă a lui Guldin. Dacă figura plană de arie S se rotește în jurul unei axe care nu intersectează această figură și care se află în același plan cu ea, volumul corpului de rotație, format astfel, se calculează după formula $v = 2\pi d \cdot S$, unde d este distanța centrului de greutate al figurii la axa de rotație.

Citeva integrale definite

$$1) \int_0^{\infty} \frac{dx}{ax^2 + b} = \frac{\pi}{2\sqrt{ab}} \quad 2) \int_0^{\infty} \frac{x^{a-1}}{1 + x^b} dx = \frac{\pi}{b \sin \frac{a\pi}{b}}$$

$$(a > 0, b > 0);$$

$$(0 < a < b);$$

$$3) \int_0^{\infty} \frac{\sin ax \, dx}{x} = \frac{\pi}{2} \quad 4) \int_0^{\infty} \frac{\sin x}{\sqrt{x}} \, dx = \sqrt{\frac{\pi}{2}};$$

$$(a > 0);$$

$$5) \int_0^{\infty} \frac{\cos x}{\sqrt{x}} \, dx = \sqrt{\frac{\pi}{2}}; \quad 6) \int_0^{\infty} \sin x^2 \, dx = \frac{\sqrt{\pi}}{2\sqrt{2}};$$

$$7) \int_0^{\infty} \cos x^2 \, dx = \frac{\sqrt{\pi}}{2\sqrt{2}};$$

$$8) \int_0^{\frac{\pi}{2}} \sin^{2n+1} x \, dx = \int_0^{\frac{\pi}{2}} \cos^{2n+1} x \, dx = \frac{2 \cdot 4 \cdot 6 \dots 2n}{3 \cdot 5 \cdot 7 \dots (2n+1)}$$

$$(n > 0 \text{ și întreg});$$

$$9) \int_0^{\frac{\pi}{2}} \sin^{2n} x \, dx = \int_0^{\frac{\pi}{2}} \cos^{2n} x \, dx = \frac{1 \cdot 3 \cdot 5 \dots (2n-1)}{2 \cdot 4 \cdot 6 \dots 2n} \frac{\pi}{2}$$

$$(n > 0 \text{ și întreg});$$

$$10) \int_0^{\frac{\pi}{2}} \sin^{2n+1} x \cos^{2m+1} x \, dx = \frac{m! n!}{2(m+n+1)!}$$

$$(m > 0, n > 0, m \text{ și } n \text{ întregi});$$

$$11) \int_0^{\frac{\pi}{2}} \sin^{2\alpha+1} x \cos^{2\beta+1} x \, dx = \frac{\Gamma(\alpha+1) \Gamma(\beta+1)}{2 \Gamma(\alpha+\beta+2)}$$

(v. definiția funcției Γ la p. 138);

$$12) \int_0^{\infty} e^{-x} dx = 1; \quad 13) \int_0^{\infty} e^{-x^2} dx = \frac{\sqrt{\pi}}{2};$$

$$14) \int_0^{\infty} x^n e^{-x} dx = n! \quad (n > 0 \text{ și întreg});$$

$$15) \int_0^{\infty} e^{-ax} \sin bx dx = \frac{b}{a^2 + b^2};$$

$$16) \int_0^{\infty} e^{-ax} \cos bx dx = \frac{a}{a^2 + b^2};$$

$$17) \int_0^{\infty} e^{-a^2 x^2} \cos bx dx = \frac{\sqrt{\pi}}{2} \frac{e^{-\frac{b^2}{4a^2}}}{a} \quad (\text{cînd } a > 0);$$

$$18) \int_0^1 \frac{\ln x dx}{x-1} = \frac{\pi^2}{6}; \quad 19) \int_0^1 \frac{\ln x dx}{x+1} = -\frac{\pi^2}{12}.$$

Cîteva funcții neelementare definite prin integrale

$$1) \int_0^x \frac{\sin x dx}{x} = \text{si } x = x - \frac{x^3}{3 \cdot 3!} + \frac{x^5}{5 \cdot 5!} - \frac{x^7}{7 \cdot 7!} + \dots (\text{sinus integral});$$

$$2) - \int_x^{\infty} \frac{\cos x dx}{x} = \text{ci } x = C + \ln x - \frac{x^2}{2 \cdot 2!} + \frac{x^4}{4 \cdot 4!} - \frac{x^6}{6 \cdot 6!} + \dots (\text{consinus integral}), \text{ unde } C = 0,5772... \text{ este constanta lui Euler, } x > 0;$$

$$3) \int_0^x \frac{dx}{\ln x} = \text{li } x = C + \ln(-\ln x) + \frac{\ln^2 x}{2 \cdot 2!} + \frac{\ln^3 x}{3 \cdot 3!} + \dots (0 < x < 1) (\text{logaritm integral}), \text{ unde } C \text{ este constanta lui Euler};$$

$$4) \int_0^x e^{-ax^2} dx \text{ se reduce la integrala probabilității (v. tabela la p. 137) prin substituția } x = \frac{t}{\sqrt{2a}}.$$

Integrale eliptice: integrala de speța întâi (v. tabela la p. 136)

$$5) \int_0^{\sin \varphi} \frac{dx}{\sqrt{(1-x^2)(1-k^2 x^2)}} = \int_0^{\varphi} \frac{d\theta}{\sqrt{1-k^2 \sin^2 \theta}} = F(k, \varphi);$$

integrala de speța a doua (v. tabela la p. 136)

$$6) \int_0^{\sin \varphi} \sqrt{\frac{1-k^2 x^2}{1-x^2}} dx = \int_0^{\varphi} \sqrt{1-k^2 \sin^2 \theta} d\theta = E(k, \varphi).$$

Integralele lui Euler: integrala de prima speță

$$7) \int_0^1 x^{\alpha-1} (1-x)^{\beta-1} dx = B(\alpha, \beta);$$

integrala de speță a doua (funcția gamma) (v. tabela de mai jos

$$8) \int_0^{\infty} x^{t-1} e^{-x} dx = \Gamma(t).$$

Integralele lui Euler de speță întâi și de speță a doua sînt legate prin relația $B(\alpha, \beta) = \frac{\Gamma(\alpha) \Gamma(\beta)}{\Gamma(\alpha + \beta)}$.

Proprietățile fundamentale ale funcției $\Gamma(x)$: $\Gamma(1) = 1$, $\Gamma(x+1) = x \Gamma(x)$, $\Gamma(n+1) = n!$, dacă $n > 0$ și întreg;

$$\Gamma(-n) = \pm \infty \quad (n = 0, 1, 2, 3, \dots).$$

Funcția gamma

x	$\Gamma(x)$	x	$\Gamma(x)$	x	$\Gamma(x)$	x	$\Gamma(x)$
1,00	1,00000	1,25	0,90640	1,50	0,88623	1,75	0,91906
01	0,99433	26	0,90440	51	0,88659	76	0,92137
02	0,98884	27	0,90250	52	0,88704	77	0,92376
03	0,98355	28	0,90072	53	0,88757	78	0,92623
04	0,97844	29	0,89904	54	0,88818	79	0,92877
1,05	0,97350	1,30	0,89747	1,55	0,88887	1,80	0,93138
06	0,96874	31	0,89600	56	0,88964	81	0,93408
07	0,96415	32	0,89464	57	0,89049	82	0,93685
08	0,95973	33	0,89338	58	0,89142	83	0,93969
09	0,95546	34	0,89222	59	0,89243	84	0,94261
1,10	0,95135	1,35	0,89115	1,60	0,89352	1,85	0,94561
11	0,94740	36	0,89018	61	0,89468	86	0,94869
12	0,94359	37	0,88931	62	0,89592	87	0,95184
13	0,93993	38	0,88854	63	0,89724	88	0,95507
14	0,93642	39	0,88785	64	0,89864	89	0,95838
1,15	0,93304	1,40	0,88726	1,65	0,90012	1,90	0,96177
16	0,92980	41	0,88676	66	0,90167	91	0,96523
17	0,92670	42	0,88636	67	0,90330	92	0,96877
18	0,92373	43	0,88604	68	0,90500	93	0,97240
19	0,92089	44	0,88581	69	0,90678	94	0,97610
1,20	0,91817	1,45	0,88566	1,70	0,90864	1,95	0,97988
21	0,91558	46	0,88560	71	0,91057	96	0,98374
22	0,91311	47	0,88563	72	0,91258	97	0,98768
23	0,91075	48	0,88575	73	0,91467	98	0,99171
24	0,90852	49	0,88595	74	0,91683	99	0,99581

Integrala probabilității :

x	$\Phi(x)$	x	$\Phi(x)$	x	$\Phi(x)$
0,00	0,0000	0,40	0,3108	0,80	0,5763
01	0,0080	41	0,3182	81	0,5821
02	0,0160	42	0,3255	82	0,5878
03	0,0239	43	0,3328	83	0,5935
04	0,0319	44	0,3401	84	0,5991
05	0,0399	45	0,3473	85	0,6047
06	0,0478	46	0,3545	86	0,6102
07	0,0558	47	0,3616	87	0,6157
08	0,0638	48	0,3688	88	0,6211
09	0,0717	49	0,3759	89	0,6265
0,10	0,0797	0,50	0,3829	0,90	0,6319
11	0,0876	51	0,3899	91	0,6372
12	0,0955	52	0,3969	92	0,6424
13	0,1034	53	0,4039	93	0,6476
14	0,1113	54	0,4108	94	0,6528
15	0,1192	55	0,4177	95	0,6579
16	0,1271	56	0,4245	96	0,6629
17	0,1350	57	0,4313	97	0,6680
18	0,1428	58	0,4381	98	0,6729
19	0,1507	59	0,4448	99	0,6778
0,20	0,1585	0,60	0,4515	1,00	0,6827
21	0,1663	61	0,4581	01	0,6875
22	0,1741	62	0,4647	02	0,6923
23	0,1819	63	0,4713	03	0,6970
24	0,1897	64	0,4778	04	0,7017
25	0,1974	65	0,4843	05	0,7063
26	0,2051	66	0,4907	06	0,7109
27	0,2128	67	0,4971	07	0,7154
28	0,2205	68	0,5035	08	0,7199
29	0,2282	69	0,5098	09	0,7243
0,30	0,2358	0,70	0,5161	1,10	0,7287
31	0,2434	71	0,5223	11	0,7330
32	0,2510	72	0,5285	12	0,7373
33	0,2586	73	0,5346	13	0,7415
34	0,2661	74	0,5407	14	0,7457
35	0,2737	75	0,5467	15	0,7499
36	0,2812	76	0,5527	16	0,7540
37	0,2886	77	0,5587	17	0,7580
38	0,2961	78	0,5646	18	0,7620
39	0,3035	79	0,5705	19	0,7660

$$\Phi(x) = \frac{2}{\sqrt{2\pi}} \int_0^x e^{-\frac{t}{2}} dt$$

x	$\Phi(x)$	x	$\Phi(x)$	x	$\Phi(x)$
1,20	0,7669	1,60	0,8904	2,00	0,9545
21	0,7737	61	0,8926	05	0,9596
22	0,7775	62	0,8948	10	0,9643
23	0,7813	63	0,8969	15	0,9684
24	0,7850	64	0,8990	20	0,9722
25	0,7887	65	0,9011	25	0,9756
26	0,7923	66	0,9031	30	0,9786
27	0,7959	67	0,9051	35	0,9812
28	0,7995	68	0,9070	40	0,9836
29	0,8029	69	0,9090	45	0,9857
1,30	0,8064	1,70	0,9109	2,50	0,9876
31	0,8098	72	0,9146	60	0,9907
32	0,8132	74	0,9181	70	0,9931
33	0,8165	76	0,9216	80	0,9949
34	0,8198	78	0,9249	90	0,9963
35	0,8230				
36	0,8262	1,80	0,9281	3,00	0,99730
37	0,8293	82	0,9312	10	0,99806
38	0,8324	84	0,9342	20	0,99863
39	0,8355	86	0,9371	30	0,99903
1,40	0,8385	88	0,9399	40	0,99933
41	0,8415			50	0,99953
42	0,8444	1,90	0,9426	60	0,99968
43	0,8473	92	0,9451	70	0,99978
44	0,8501	94	0,9476	80	0,99986
45	0,8529	96	0,9500	90	0,99990
46	0,8557	98	0,9523		
47	0,8584			4,00	0,99994
48	0,8611				
49	0,8638				
1,50	0,8664				
51	0,8690				
52	0,8715				
53	0,8740				
54	0,8764				
55	0,8789				
56	0,8812				
57	0,8836				
58	0,8859				
59	0,8882				

Integrale eliptice de speța întâi: $F(k, \varphi)$, $k = \sin \alpha$

$\varphi \backslash \alpha$	0°	10°	20°	30°	40°	50°	60°	70°	80°	90°
0°	0,0000	0,0000	0,0000	0,0000	0,0000	0,0000	0,0000	0,0000	0,0000	0,0000
10	0,1745	0,1746	0,1746	1,1748	0,1749	0,1751	0,1752	0,1753	0,1754	0,1754
20	0,3491	0,3493	0,3499	0,3508	0,3520	0,3533	0,3545	0,3555	0,3561	0,3564
30	0,5236	0,5243	0,5263	0,5294	0,5334	0,5379	0,5422	0,5459	0,5484	0,5493
40	0,6981	0,6997	0,7043	0,7116	0,7213	0,7323	0,7436	0,7535	0,7604	0,7629
50	0,8727	0,8756	0,8842	0,8982	0,9173	0,9401	0,9647	0,9876	1,0044	1,0107
60	1,0472	1,0519	1,0660	1,0896	1,1226	1,1643	1,2126	1,2619	1,3015	1,3170
70	1,2217	1,2286	1,2495	1,2853	1,3372	1,4068	1,4944	1,5959	1,6918	1,7354
80	1,3963	1,4056	1,4344	1,4846	1,5597	1,6660	1,8125	2,0119	2,2653	2,4362
90	1,5708	1,5828	1,6200	1,6858	1,7868	1,9356	2,1565	2,5046	3,1534	∞

Integrale eliptice de speța a doua: $E(k, \varphi)$, $k = \sin \alpha$

$\varphi \backslash \alpha$	0°	10°	20°	30°	40°	50°	60°	70°	80°	90°
0°	0,0000	0,0000	0,0000	0,0000	0,0000	0,0000	0,0000	0,0000	0,0000	0,0000
10	0,1745	0,1745	0,1744	0,1743	0,1742	0,1740	0,1739	0,1738	0,1737	0,1736
20	0,3491	0,3489	0,3483	0,3473	0,3462	0,3450	0,3438	0,3429	0,3422	0,3420
30	0,5236	0,5229	0,5209	0,5179	0,5141	0,5100	0,5061	0,5029	0,5007	0,5000
40	0,6981	0,6966	0,6921	0,6851	0,6763	0,6667	0,6575	0,6497	0,6446	0,6428
50	0,8727	0,8698	0,8614	0,8483	0,8317	0,8134	0,7954	0,7801	0,7697	0,7660
60	1,0472	1,0426	1,0290	1,0076	0,9801	0,9493	0,9184	0,8914	0,8728	0,8660
70	1,2217	1,2149	1,1949	1,1632	1,1221	1,0750	1,0266	0,9830	0,9514	0,9397
80	1,3963	1,3870	1,3597	1,3161	1,2590	1,1926	1,1225	1,0565	1,0054	0,9848
90	1,5708	1,5589	1,5238	1,4675	1,3931	1,3055	1,2111	1,1184	1,0401	1,0000

§ 1.12. Integrale multiple

Definiții. Domeniul S din planul xOy se împarte în mod arbitrar în domenii elementare, ale căror arii se notează cu $\Delta S_1, \Delta S_2, \dots, \Delta S_n$ (fig. 1.97); în interiorul sau la limita fiecărui domeniu elementar cu suprafața ΔS_i se alege un punct arbitrar $M_i(x_i, y_i)$ și se formează

suma (suma integrală) $\sum_{i=1}^n f(x_i, y_i) \Delta S_i$.

Limita către care tinde această sumă atunci când cel mai mare dintre diametrii* domeniilor elementare tinde spre zero [dacă funcția $f(x, y)$ este continuă în domeniul (S) , această limită există] se numește *integrală dublă* a funcției $f(x, y)$, extinsă la domeniul S :

$$\iint_S f(x, y) dS = \lim_{\Delta S_i \rightarrow 0} \sum_{i=1}^n f(x_i, y_i) \Delta S_i.$$

Dacă funcția $f(x, y)$ este pozitivă în toate punctele domeniului S , atunci $\iint_S f(x, y) dS$ dă mărimea volumului corpului mărginit de suprafața $z = f(x, y)$, de planul xOy și de suprafața cilindrică cu generatoarea paralelă cu axa Oz , care intersectează planul xOz de-a lungul conturului domeniului S (fig. 1.98).

Integrala triplă a funcției $f(x, y, z)$, extinsă la domeniul tridimensional V , se numește numărul definit în modul următor.

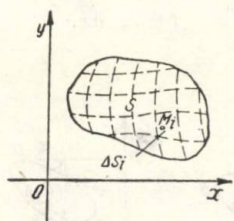


Fig. 1.97.

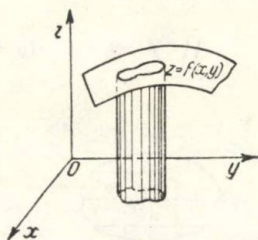


Fig. 1.98.

Domeniul V se împarte arbitrar în domenii elementare cu volumele $\Delta V_1, \Delta V_2, \dots, \Delta V_n$; în interiorul sau la limita fiecărui domeniu elementar cu volumul ΔV_i , se alege un punct arbitrar $M_i(x_i, y_i, z_i)$ și se calculează limita sumei $\sum_{i=1}^n f(x_i, y_i, z_i) \Delta V_i$ cu condiția ca cel mai

* *Diametrul* figurii se numește distanța maximă dintre două puncte care se află pe conturul ei.

mare dintre diametrii domeniilor elementare să tindă spre zero:

$$\iiint_V f(x, y, z) dV = \lim_{\Delta V_i \rightarrow 0} \sum_{i=1}^n f(x_i, y_i, z_i) \Delta V_i.$$

Calculul integralei duble. Calculul integralei duble se reduce la calculul succesiv a două integrale definite.

Calculul integralei duble în coordonate carteziene. Aria elementară în coordonate carteziene se exprimă prin formula $dS = dxdy$ (fig. 1.99).

În locul simbolului $\iint_S f(x, y) dS$ se folosește, de obicei, simbolul

$$\iint_S f(x, y) dxdy.$$

Dacă A și B sînt punctele de pe conturul domeniului S cu abscisele minimă și maximă ($x = a$ și $x = b$), iar $y = y_1(x)$ și $y = y_2(x)$ sînt ecuațiile porțiunilor din acest contur— AmB și AnB —(fig. 1.100), atunci

$$\iint_S f(x, y) dxdy = \int_a^b dx \int_{y_1(x)}^{y_2(x)} f(x, y) dy.$$

Prima integrare (internă) se efectuează pentru x constant.

Dacă C și D sînt puncte pe conturul domeniului S corespunzînd valorilor minimă și maximă ale lui y ($y = \alpha$ și $y = \beta$), iar $x = x_1(y)$ și $x = x_2(y)$ sînt ecuațiile porțiunilor CpD și CqD ale acestui contur (fig. 1.101), atunci

$$\iint_S f(x, y) dx dy = \int_{\alpha}^{\beta} dy \int_{x_1(y)}^{x_2(y)} f(x, y) dx.$$

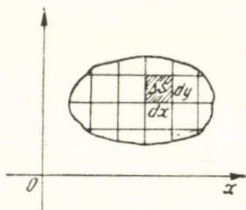


Fig. 1.99.

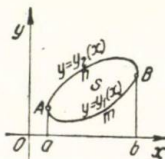


Fig. 1.100.

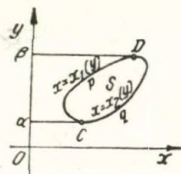


Fig. 1.101.

Prima dintre aceste formule se aplică în cazul cînd orice dreaptă paralelă cu axa Oy (cu excepția, poate, a unui număr finit de astfel de drepte) intersectează conturul domeniului S în nu mai mult decît două puncte; a doua formulă se aplică atunci cînd orice dreaptă paralelă cu axa Ox intersectează conturul domeniului S în nu mai mult decît două puncte.

Dacă nici una din condițiile amintite nu este îndeplinită, trebuie să împărțim domeniul S în două sau mai multe părți (fig. 1.102) și să folosim egalitatea

$$\iint_S f(x, y) dx dy = \iint_{S_1} f(x, y) dx dy + \iint_{S_2} f(x, y) dx dy.$$

Calculul integralei duble în coordonate polare. Aria elementară în coordonate polare: $dS = \rho d\rho d\varphi$ (v. fig. 1.103).

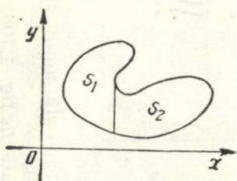


Fig. 1.102.

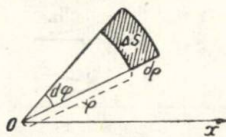


Fig. 1.103.

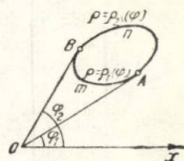


Fig. 1.104.

Folosind formulele $x = \rho \cos \varphi$; $y = \rho \sin \varphi$, obținem:

$$\begin{aligned} f(x, y) &= f(\rho \cos \varphi, \rho \sin \varphi) = F(\rho, \varphi) \text{ și } \iint_{(S)} f(x, y) dx dy = \\ &= \iint_{(S)} F(\rho, \varphi) \rho d\rho d\varphi. \end{aligned}$$

Dacă A și B sînt punctele de pe conturul domeniului S cu valorile minimă, respectiv maximă, ale lui φ ($\varphi = \varphi_1$ și $\varphi = \varphi_2$), iar $\rho = \rho_1(\varphi)$ și $\rho = \rho_2(\varphi)$ sînt ecuațiile porțiunilor AmB și AnB ale conturului (fig. 1.104), atunci

$$\iint_S F(\rho, \varphi) \rho d\rho d\varphi = \int_{\varphi_1}^{\varphi_2} d\varphi \int_{\rho_1(\varphi)}^{\rho_2(\varphi)} F(\rho, \varphi) \rho d\rho.$$

Calculul integralei triple. a) În coordonate carteziene

$$\begin{aligned} \iiint_V f(x, y, z) dV &= \iiint_V f(x, y, z) dx dy dz = \\ &= \iint_S dx dy \int_{z_1(x, y)}^{z_2(x, y)} f(x, y, z) dz = \\ &= \int_a^b dx \int_{y_1(x)}^{y_2(x)} dy \int_{z_1(x, y)}^{z_2(x, y)} f(x, y, z) dz, \end{aligned}$$

unde S este proiecția domeniului V pe planul xOy ; $z = z_1(x, y)$ și $z = z_2(x, y)$ sînt ecuațiile porțiunilor inferioară, respectiv superioară, ale suprafeței care mărginește domeniul V (fig. 1.105).

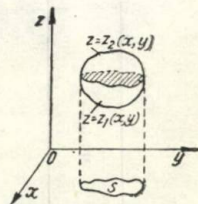


Fig. 1.105.

Aplicațiile integralelor multiple

1) Aplicațiile integralelor duble

Mărimea	Formula generală	În coordonate carteziene	În coordonate polare
Aria unei figuri plane	$\sigma = \iint_S dS$	$\iint_S dx dy$	$\iint_S \rho d\varphi d\rho$
Aria unei suprafețe*)	$\sigma = \iint_S \frac{dS}{\cos \gamma}$	$\iint_S \sqrt{1 + \left(\frac{\partial z}{\partial x}\right)^2 + \left(\frac{\partial z}{\partial y}\right)^2} dx dy$	$\iint_S \sqrt{\rho^2 + \rho \left(\frac{\partial z}{\partial \rho}\right) + \left(\frac{\partial z}{\partial \varphi}\right)^2} d\varphi d\rho$
Volumul unui corp**)	$V = \iint_S z dS$	$\iint_S z dx dy$	$\iint_S z \rho d\varphi d\rho$

*) Aici S este proiecția suprafeței pe planul xOy , γ este unghiul format de normala la elementul de suprafață cu axa Oz (unghiul dintre elementul de suprafață și planul xOy).

**) Se are în vedere volumul unui corp a cărui formă este reprezentată în fig. 1.105.

Momentul de inerție al unei figuri plane în raport cu axa Ox	$I_x = \iint_S y^2 dS$	$\iint_S y^2 dx dy$	$\iint_S \rho^3 \sin^2 \varphi d\varphi d\rho$
Momentul de inerție al unei figuri plane în raport cu polul O	$I_o = \iint_S \rho^2 dS$	$\iint_S (x^2 + y^2) dx dy$	$\iint_S \rho^3 \varphi d\rho$
Masa unei figuri plane de densitate δ va- riabilă	$M = \iint_S \delta dS$	$\iint_S \delta dx dy$	$\iint_S \delta \rho d\varphi d\rho$
Coordonatele centrului de greutate al unei figuri plane omogene (σ este aria figurii)	$x_c = \frac{\iint_S x dS}{\sigma}$	$\frac{\iint_S x dx dy}{\iint_S dx dy}$	$\frac{\iint_S \rho^2 \cos \varphi d\varphi d\rho}{\iint_S \rho d\varphi d\rho}$
	$y_c = \frac{\iint_S y dS}{\sigma}$	$\frac{\iint_S y dx dy}{\iint_S dx dy}$	$\frac{\iint_S \rho^2 \sin \varphi d\varphi d\rho}{\iint_S \rho d\varphi d\rho}$

2) Aplicațiile integralelor triple

Mărimea	Formula generală	În coordonate carteziene	În coordonate cilindrice	În coordonate sferice
Volumul corpului	$V = \iiint_V dV$	$\iiint_V dx dy dz$	$\iiint_V \rho d\rho d\varphi dz$	$\iiint_V r^2 \sin \theta d\varphi d\theta dr$
Momentul de inerție al corpului în raport cu axa Oz	$I_z = \iiint_V \rho^2 dV$	$\iiint_V (x^2 + y^2) dx dy dz$	$\iiint_V \rho^3 d\rho d\varphi dz$	$\iiint_V r^4 \sin^3 \theta d\varphi d\theta dr$
Momentul de inerție al corpului în raport cu polul O	$I_o = \iiint_V r^2 dV$	$\iiint_V (x^2 + y^2 + z^2) dx dy dz$	$\iiint_V (\rho^3 + z^2) \rho d\rho d\varphi dz$	$\iiint_V r^4 \sin \theta d\varphi d\theta dr$

Masa unui corp cu densitatea variabilă δ	$M = \iiint_V \delta \, dV$	$\iiint_V \delta \, dx \, dy \, dz$	$\iiint_V \delta \rho \, d\rho \, d\varphi \, dz$	$\iiint_V \delta r^2 \sin \theta \, d\varphi \, d\theta \, dr$
Coordonatele centrului de greutate al unui corp omogen (v — volumul corpului)	$x_c = \frac{\iiint_V x \, dV}{v}$ $y_c = \frac{\iiint_V y \, dV}{v}$ $z_c = \frac{\iiint_V z \, dV}{v}$	$\frac{\iiint_V x \, dx \, dy \, dz}{\iiint_V dx \, dy \, dz}$ $\frac{\iiint_V y \, dx \, dy \, dz}{\iiint_V dx \, dy \, dz}$ $\frac{\iiint_V z \, dx \, dy \, dz}{\iiint_V dx \, dy \, dz}$		

b) În coordonate cilindrice (p. 84)

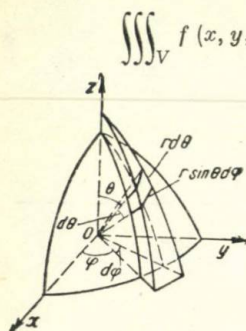


Fig. 1.106.

$$\begin{aligned} \iiint_V f(x, y, z) dV &= \iiint_V F(\rho, \varphi, z) \rho d\varphi d\rho dz = \\ &= \iint_S \rho d\rho d\varphi \int_{z_1(\rho, \varphi)}^{z_2(\rho, \varphi)} F(\rho, \varphi, z) dz = \\ &= \int_{\varphi_1}^{\varphi_2} d\varphi \int_{\rho_1(\varphi)}^{\rho_2(\varphi)} \rho d\rho \int_{z_1(\rho, \varphi)}^{z_2(\rho, \varphi)} F(\rho, \varphi, z) dz, \end{aligned}$$

unde S este proiecția domeniului V pe planul xOy , $z = z_1(\rho, \varphi)$ și $z = z_2(\rho, \varphi)$ sint ecuațiile părților inferioară, respectiv superioară, ale suprafeței care mărginește domeniul V , iar $F(\rho, \varphi, z) = f(\rho \cos \varphi, \rho \sin \varphi, z)$.

c) În coordonate sferice (p. 84) volumul elementar $dV = r^2 \sin \theta d\varphi d\theta dr$ (fig. 1.106) și

$$\begin{aligned} \iiint_V f(x, y, z) dV &= \iiint_V F(r, \varphi, \theta) r^2 \sin \theta d\varphi d\theta dr = \\ &= \int_{\varphi_1}^{\varphi_2} d\varphi \int_{\theta_1(\varphi)}^{\theta_2(\varphi)} \sin \theta d\theta \int_{r_1(\theta, \varphi)}^{r_2(\theta, \varphi)} F(r, \varphi, \theta) r^2 dr, \end{aligned}$$

unde

$$F(r, \varphi, \theta) = f(r \sin \theta \cos \varphi, r \sin \theta \sin \varphi, r \cos \theta).$$

§ 1.13. Integrala curbilinie

Definiții. Se dau funcțiile $P(x, y)$ și $Q(x, y)$ de-a lungul arcului l (fig. 1.107), $A(a, \alpha)$ punctul inițial și $B(b, \beta)$ punctul final al arcului l ; se notează $a = x_0, b = x_n; \alpha = y_0, \beta = y_n$ și se împarte arcul l în n părți elementare prin punctele $M_1(x_1, y_1); M_2(x_2, y_2), \dots, M_{n-1}(x_{n-1}, y_{n-1})$ (numerotarea se face astfel, încît punctul M_i să urmeze

după punctul M_{i-1} dacă ne mișcăm pe arc de la A spre B). În interiorul sau la capătul fiecărui arc elementar $M_{i-1} M_i$ se alege un punct arbitrar $N_i(\xi_i, \eta_i)$ și se formează suma

$$\sum_{i=1}^n [P(\xi_i, \eta_i) \Delta x_i + Q(\xi_i, \eta_i) \Delta y_i],$$

unde

$$\Delta x_i = x_i - x_{i-1};$$

$$\Delta y_i = y_i - y_{i-1}.$$

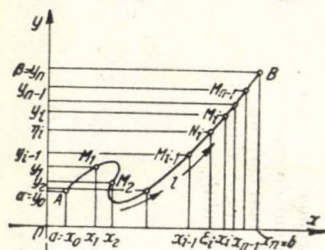


Fig. 1.107.

Limita către care tinde această sumă atunci când lungimea celui mai mare dintre arcele elementare tinde spre zero (și, prin urmare, $n \rightarrow \infty$) se numește *integrala curbilinie* a expresiei $P(x, y) dx + Q(x, y) dy$ de-a lungul arcului l :

$$\int_l P(x, y) dx + Q(x, y) dy = \lim_{\substack{\Delta x_i \rightarrow 0 \\ \Delta y_i \rightarrow 0}} \sum_{i=1}^n [P(\xi_i, \eta_i) \Delta x_i + Q(\xi_i, \eta_i) \Delta y_i].$$

Pentru existența integralei curbilinii este suficient ca funcțiile $P(x, y)$ și $Q(x, y)$ să fie continue de-a lungul arcului l , iar arcul l să fie neted pe porțiuni *).

Dacă $P(x, y)$ și $Q(x, y)$ sînt proiecțiile pe axele de coordonate ale vectorului forță $\vec{F}(x, y)$, care acționează asupra punctului material $M(x, y)$ într-un anumit domeniu (fig. 1.108), atunci

$$\int_l P(x, y) dx + Q(x, y) dy$$

exprimă lucrul mecanic al forței \vec{F} la deplasarea punctului material M din poziția A în poziția B pe arcul l , conținut în acest domeniu.

Definiția integralei curbilinii

$$\int_l P(x, y, z) dx + Q(x, y, z) dy + R(x, y, z) dz$$

de-a lungul arcului l al unei curbe în spațiu este analogă cu aceea pentru arcul unei curbe plane.

Integrala curbilinie de-a lungul unui drum închis, C , de integrare (circulația) se notează cu simbolul $\oint_C P dx + Q dy$ sau

$$\oint_C P dx + Q dy + R dz.$$

Proprietățile integralei curbilinii. 1. La variația sensului de mișcare pe arc, integrala își schimbă semnul (fig. 1.109)

$$\int_{l'} P dx + Q dy = - \int_l P dx + Q dy$$

(arcul l' coincide geometric cu arcul l , însă punctul inițial al unuia dintre ele este punct final pentru celălalt și invers).

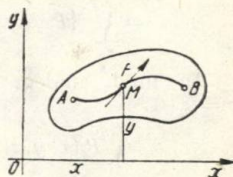


Fig. 1.108.

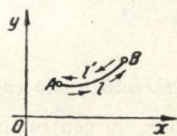


Fig. 1.109.

*) Arcul se numește neted pe porțiuni dacă constă dintr-un număr finit de arce continue, cu tangente care se rotesc continuu.

2. Dacă arcul l se compune din arcele l_1, l_2, \dots, l_p , atunci

$$\int_l = \int_{l_1} + \int_{l_2} + \dots + \int_{l_p}$$

(integrandul este același pentru toate integralele) (fig. 1.110),

Calculul integralei curbilinii. Dacă un arc plan l este intersectat de o dreaptă arbitrară paralelă cu una dintre axele de coordonate în nu mai mult decît într-un punct, atunci ecuația sa poate fi rezolvată atît în raport cu x [$x = x(y)$], cît și în raport cu y [$y = y(x)$].

Dacă $A(a, \alpha)$ este punctul inițial și $B(b, \beta)$ este punctul final al arcului, este valabilă, de exemplu, formula

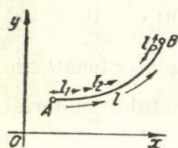


Fig. 1.110.

$$\begin{aligned} \int_l P(x, y) dx + Q(x, y) dy = \\ = \int_a^b P[x, y(x)] dx + \int_\alpha^\beta Q[x(y), y] dy. \end{aligned}$$

Dacă arcul l nu satisface condiția amintită, însă el poate fi împărțit în mai multe porțiuni astfel încît fiecare să satisfacă această condiție, formula menționată poate fi aplicată fiecărei părți separat și poate fi folosită proprietatea 2 (v. mai sus).

Dacă ecuațiile arcului sînt date sub forma parametrică $x = x(t)$; $y = y(t)$, iar τ și T sînt valorile parametrului t , corespunzătoare punctelor A și B , atunci

$$\begin{aligned} \int_l P(x, y) dx + Q(x, y) dy = \\ = \int_\tau^T \{P[x(t), y(t)] x'(t) + Q[x(t), y(t)] y'(t)\} dt. \end{aligned}$$

În mod analog, pentru curba în spațiu $x = x(t)$, $y = y(t)$, $z = z(t)$:

$$\begin{aligned} \int_l P(x, y, z) dx + Q(x, y, z) dy + R(x, y, z) dz = \\ = \int_\tau^T \{P[x(t), y(t), z(t)] x'(t) + Q[x(t), y(t), z(t)] y'(t) + \\ + R[x(t), y(t), z(t)] z'(t)\} dt. \end{aligned}$$

Exemplu. Să calculăm $\oint_C ydx - xdy$, unde C este un cerc cu raza r , cu centrul în originea axelor de coordonate (sensul de parcurgere este opus sensului mișcării acelor de ceasornic).

Ecuațiile cercului sînt $x = r \cos t$, $y = r \sin t$ și prin urmare,

$$\int_C ydx - xdy = \int_0^{2\pi} [r \sin t (-r \sin t) - r \cos t r \cos t] dt = -2\pi r^2.$$

Legătura dintre integralele curbilinii și integralele duble. Dacă C este un contur închis, parcurs în sens pozitiv (ca sens pozitiv de parcurgere al unui contur închis se consideră sensul în care domeniul mărginit de contur rămâne la stînga), S este suprafața delimitată de conturul C (fig. 1.111), iar funcțiile $P(x, y)$ și $Q(x, y)$ sînt continue împreună cu derivatele parțiale $\frac{\partial Q}{\partial x}$ și $\frac{\partial P}{\partial y}$ în domeniul S

$$\oint_C P dx + Q dy = \iint_S \left(\frac{\partial Q}{\partial x} - \frac{\partial P}{\partial y} \right) dx dy$$

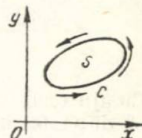


Fig. 1.111.

(formula lui Green).

Dacă domeniul S nu este simplu conex*) și frontiera sa constă din cîteva contururi, prin C în formula lui Green trebuie înțeles ansamblul tuturor acestor contururi, iar sensul de parcurgere pe fiecare contur se alege astfel, încît domeniul S să se afle în stînga (fig. 1.112).

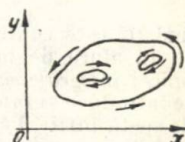


Fig. 1.112

Pentru ca integrala curbilinie $\int_{AB} P(x, y) dx + Q(x, y) dy$, unde funcțiile $P(x, y)$ și $Q(x, y)$ și derivatele lor parțiale sînt continue în domeniul S , să aibă aceeași valoare pentru toate drumurile care se află în domeniul simplu conex S și care pornesc de la punctul $A(x_0, y_0)$ spre punctul $B(x_1, y_1)$, este necesar și suficient ca expresia de sub integrală $P(x, y) dx + Q(x, y) dy$ să fie o diferențială totală, adică să fie îndeplinită condiția

$$\frac{\partial P}{\partial y} = \frac{\partial Q}{\partial x}.$$

În acest caz,

$$\int_l P(x, y) dx + Q(x, y) dy = U(x_1, y_1) - U(x_0, y_0),$$

unde $dU(x, y) = P(x, y) dx + Q(x, y) dy$.

Independența integralei de drumul de integrare în domeniul S este echivalentă cu anularea integralei pe orice contur închis, care se află în acest domeniu.

Dacă expresia de sub integrală este o diferențială totală, însă în interiorul conturului există un punct singular în care funcțiile $P(x, y)$ sau $Q(x, y)$ sau derivatele lor parțiale nu sînt continue, integrala pe un astfel de contur poate fi diferită de zero, dar în acest caz integrala pe orice contur închis, care înconjură de același număr de ori acest punct singular, are o valoare constantă.

*) Domeniul finit S se numește simplu conex dacă toate punctele care se află în interiorul oricărui contur închis din acest domeniu aparțin domeniului S .

Exemplu. Să calculăm $\oint_C \frac{xdy - ydx}{x^2 + y^2}$ de-a lungul conturului C care înconjură o dată originea axelor de coordonate (originea axelor de coordonate este un punct singular). Folosind ecuațiile parametrice ale cercului $x = r \cos t$, $y = r \sin t$, rezultă:

$$\oint_C \frac{xdy - ydx}{x^2 + y^2} = \int_0^{2\pi} dt = 2\pi.$$

Cu ajutorul integralei curbilinii se poate calcula aria σ a domeniului S după formula

$$\sigma = \frac{1}{2} \oint_C xdy - ydx,$$

unde C este conturul domeniului S .

În afară de integralele curbilinii studiate mai sus, denumite de obicei *integrale curbilinii de proiecție* (sau integrale de speța a doua), se introduce și *integrala curbilinie în raport cu arcul de curbă* (integrale de speța întâi). Păstrând notațiile de mai înainte se definește integrala curbilinie a unei funcții de două variabile $f(x, y)$ în raport cu arcul l , ca limita sumei integrale:

$$\int_l f(x, y) ds = \lim_{\Delta s_i \rightarrow 0} \sum_{i=1}^n f(\xi_i, \eta_i) \Delta s_i,$$

unde Δs_i este lungimea arcului elementar al curbei $M_{i-1} M_i$. Pentru existența acestei limite este suficient ca funcția $f(x, y)$ să fie continuă de-a lungul arcului l , iar arcul l să fie neted pe porțiuni (v. p. 147).

Analog se definește integrala curbilinie a unei funcții de trei variabile $f(x, y, z)$ în raport cu arcul l al unei curbe în spațiu

$$\int_l f(x, y, z) ds = \lim_{\Delta s_i \rightarrow 0} \sum_{i=1}^n f(\xi_i, \eta_i, \zeta_i) \Delta s_i.$$

Proprietatea 2 a integralei curbilinii de proiecție (v. p. 148), se păstrează și pentru integrala curbilinie în raport cu arcul de curbă, iar proprietatea 1 se înlocuiește prin următoarea: la variația sensului de mișcare pe drumul de integrare, integrala curbilinie în raport cu arcul nu se modifică:

$$\int_{l'} f(x, y) ds = \int_l f(x, y) ds.$$

Calculul integralei curbilinii în raport cu arcul, ca și al integralei de proiecție (respectând condițiile de mai sus), se reduce la calculul unei integrale definite. În acest caz:

1) dacă ecuația curbei este $y = y(x)$, atunci

$$\int_l f(x, y) ds = \int_a^b f[x, y(x)] \sqrt{1 + [y'(x)]^2} dx;$$

2) dacă ecuația curbei este $x = x(y)$, atunci

$$\int_l f(x, y) ds = \int_a^b f[x(y), y] \sqrt{1 + [x'(y)]^2} dy;$$

3) dacă ecuațiile curbei sînt date sub forma parametrică $x = x(t)$
 $y = y(t)$, atunci

$$\int_l f(x, y) ds = \int_a^b f[x(t), y(t)] \sqrt{[x'(t)]^2 + [y'(t)]^2} dt^*.$$

Exemplu. Să calculăm $\int_l y ds$, unde l este jumătatea superioară a elipsei $x = \sqrt{5} \cos t$; $y = 3 \sin t$.

$$\begin{aligned} \int_l y ds &= 3 \int_0^\pi \sin t \sqrt{5 \sin^2 t + 9 \cos^2 t} dt = \\ &= 3 \int_0^\pi \sin t \sqrt{5 + 4 \cos^2 t} dt = 9 + \frac{15}{4} \ln 5. \end{aligned}$$

§ 1.14. Integrația de suprafață

Definiție. Integrala funcției $f(x, y, z)$ pe domeniul σ situat pe o anumită suprafață se numește numărul care se determină în modul următor.

Domeniul σ se împarte arbitrar în domenii elementare cu ariile $\Delta\sigma_1, \Delta\sigma_2, \dots, \Delta\sigma_n$ (fig. 1.113); în interiorul sau pe frontiera fiecărui domeniu elementar se alege un punct $M_i(x_i, y_i, z_i)$, se formează suma $\sum_{i=1}^n f(x_i, y_i, z_i) \Delta\sigma_i$ și se află limita către care tinde această sumă atunci cînd cel mai mare dintre diametrii δ_i ai domeniilor elementare tinde spre zero:

$$\iint_{\sigma} f(x, y, z) d\sigma = \lim_{\max \delta_i \rightarrow 0} \sum_{i=1}^n f(x_i, y_i, z_i) \Delta\sigma_i.$$

Pentru existența acestei limite este suficient ca funcția $f(x, y, z)$ să fie continuă în domeniul σ și în fiecare punct al domeniului σ să se poată duce un plan tangent care să se rotească continuu o dată cu deplasarea continuă a punctului.

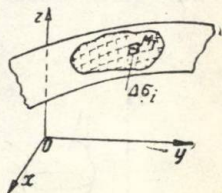


Fig. 1.113.

* Aici n-are importanță care dintre punctele extreme ale arcului l este punct inițial sau punct final. În părțile din dreapta ale formulelor, limita superioară a integralei trebuie luată mai mare decît cea inferioară.

Dacă domeniul σ constă din câteva porțiuni $\sigma_1, \sigma_2, \dots, \sigma_p$, atunci

$$\begin{aligned} \iint_{\sigma} f(x, y, z) d\sigma &= \\ &= \iint_{\sigma_1} f(x, y, z) d\sigma + \iint_{\sigma_2} f(x, y, z) d\sigma + \dots + \iint_{\sigma_p} f(x, y, z) d\sigma. \end{aligned}$$

Calculul integralei de suprafață. Calculul integralei de suprafață se reduce la calculul integralei duble cu ajutorul formulei.

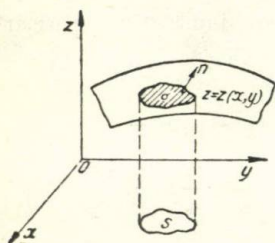


Fig. 1.114.

$$\begin{aligned} \iint_{\sigma} f(x, y, z) d\sigma &= \\ &= \iint_S \frac{f[x, y, z(x, y)]}{|\cos(\widehat{n, z})|} dS, \end{aligned}$$

unde S este proiecția domeniului σ pe planul xOy (fig. 1.114), $z = z(x, y)$ este ecuația suprafeței pe care se află domeniul σ , iar $(\widehat{n, z})$ este unghiul dintre normala la suprafață și axa Oz , și, prin urmare

$$|\cos(\widehat{n, z})| = \frac{1}{\sqrt{1 + \left(\frac{\partial z}{\partial x}\right)^2 + \left(\frac{\partial z}{\partial y}\right)^2}}.$$

Legătura dintre integrala de suprafață și integralele curbilinii și triple. Dacă σ este o suprafață închisă care mărginește un domeniu tridimensional V , n este normala la suprafața σ , îndreptată înspre exteriorul lui V (normala exterioară) (fig. 1.115), iar funcțiile $P(x, y, z)$, $Q(x, y, z)$, $R(x, y, z)$ și derivatele lor parțiale de primul ordin sînt continue în domeniul V , inclusiv pe frontiera sa, atunci

$$\begin{aligned} \iiint_V \left(\frac{\partial P}{\partial x} + \frac{\partial Q}{\partial y} + \frac{\partial R}{\partial z} \right) dV &= \\ &= \iint_{\sigma} [P \cos(\widehat{n, x}) + Q \cos(\widehat{n, y}) + \\ &\quad + R \cos(\widehat{n, z})] d\sigma \end{aligned}$$

(formula lui Gauss-Ostrogradski).

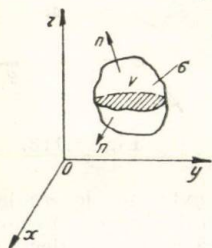


Fig. 1.115.

Dacă σ este un domeniu situat pe o anumită suprafață delimitat de conturul C , n este normala la suprafață, orientată astfel

încît ea să formeze un unghi ascuțit cu axa Oz (fig. 1.116), iar funcțiile $P(x, y, z)$, $Q(x, y, z)$, $R(x, y, z)$ și derivatele lor de primul ordin sînt continue în domeniul σ , inclusiv pe frontiera sa, atunci

$$\oint_C Pdx + Qdy + Rdz = \iint_{\sigma} \left\{ \left[\frac{\partial R}{\partial y} - \frac{\partial Q}{\partial z} \right] \cos(\widehat{n, x}) + \left[\frac{\partial P}{\partial z} - \frac{\partial R}{\partial x} \right] \cos(\widehat{n, y}) + \left[\frac{\partial Q}{\partial x} - \frac{\partial P}{\partial y} \right] \cos(\widehat{n, z}) \right\} d\sigma$$

(formula lui Stokes).

În cazul cînd domeniul σ este multiplu conex, prin C trebuie să se înțeleagă ansamblul de contururi care formează frontiera sa.

Condițiile de independență ale integralei curbilinii, pe o curbă în spațiu, față de drumul de integrare sînt următoarele:

$$\frac{\partial R}{\partial y} = \frac{\partial Q}{\partial z}; \quad \frac{\partial P}{\partial z} = \frac{\partial R}{\partial x}; \quad \frac{\partial Q}{\partial x} = \frac{\partial P}{\partial y};$$

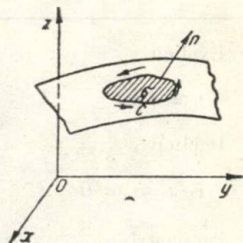


Fig. 1.116.

În aceste condiții, expresia de sub integrală este diferențiala totală a unei funcții oarecare $U(x, y, z)$: $Pdx + Qdy + Rdz = dU$.

1.6

Geometria diferențială

§ 1.15. Curbe plane

Diferențiala arcului. Diferențiala arcului unei curbe plane se exprimă cu ajutorul uneia dintre formulele următoare:

a) în coordonate carteziene

$$ds = \sqrt{dx^2 + dy^2} = \sqrt{1 + (y')^2} dx;$$

$ds = \sqrt{(x'_t)^2 + (y'_t)^2} dt$ (dacă curba este dată sub formă parametrică);

b) în coordonate polare

$$ds = \sqrt{\rho^2 + (\rho')^2} d\varphi.$$

Sensul pozitiv pentru arc se consideră sensul în care diferențiala arcului este pozitivă.

Tangenta și normala (X, Y sînt coordonatele curente ale punctului tangentei sau normalei; x, y coordonatele punctului pe curbă prin care se duce tangenta sau normala):

Forma ecuațiilor curbei	Ecuația tangentei	Ecuația normalei
Explicit $y = f(x)$	$Y - y = y'(X - x)$	$Y - y = -\frac{X - x}{y'}$
Implicit $F(x, y) = 0$	$F'_x(X - x) + F'_y(Y - y) = 0$	$\frac{X - x}{F'_x} = \frac{Y - y}{F'_y}$
Parametric $x = \varphi(t), y = \psi(t)$	$\frac{Y - y}{y'_t} = \frac{X - x}{x'_t}$	$x'_t(X - x) + y'_t(Y - y) = 0$

Direcția tangentei se determină în coordonate carteziane prin unghiul α dintre direcția pozitivă a axei Ox și tangentă; în coordonate polare — prin unghiul μ dintre raza vectorie $OM = \rho$ și tangentă (fig. 1.117).

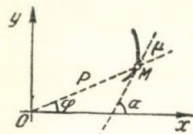


Fig. 1.117.

Unghiurile α și μ se definesc prin formulele:

$$\operatorname{tg} \alpha = \frac{dy}{dx}; \quad \cos \alpha = \frac{dx}{ds}; \quad \sin \alpha = \frac{dy}{ds};$$

$$\operatorname{tg} \mu = \frac{\rho}{\rho'}; \quad \cos \mu = \frac{d\rho}{ds}; \quad \sin \mu = \rho \frac{d\varphi}{ds}.$$

Unghiul dintre două curbe se numește unghiul dintre tangentele la aceste curbe în punctul lor comun.

Dacă curbele sînt date prin ecuațiile

$$y = f_1(x), \quad y = f_2(x),$$

unghiul φ dintre ele, în punctul de intersecție $N(x_0, y_0)$, se determină prin formula

$$\operatorname{tg} \varphi = \frac{f'_2(x_0) - f'_1(x_0)}{1 + f'_2(x_0) f'_1(x_0)}.$$

Formulele pentru calculul lungimilor unor segmente (fig. 1.118) legate de tangentă și de normală:

$$MT = \left| \frac{y \sqrt{1 + (y')^2}}{y'} \right| \quad (\text{segment de tangentă});$$

$$MN = |y \sqrt{1 + (y')^2}| \quad (\text{segment de normală});$$

$$PT = \left| \frac{y}{y'} \right| \quad (\text{subtangentă});$$

$$PN = |yy'| \quad (\text{subnormală}).$$

Convexitate și concavitate; punctele de inflexiune. În punctul M (fig. 1.119) curba $y = f(x)$ este îndreptată cu *convexitatea în jos*

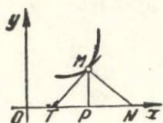


Fig. 1.118.

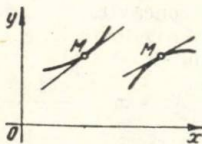


Fig. 1.119.



Fig. 1.120.

(*concavitatea în sus*), dacă într-o anumită vecinătate a acestui punct tangenta trece sub curbă; dacă, însă, tangenta trece deasupra curbei, curba are *convexitatea în sus*. Punctul în care tangenta trece dintr-o parte a curbei în cealaltă se numește *punct de inflexiune* (fig. 1.120).

Curba este concavă în sus în orice punct în care $f''(x) < 0$ și concavă în jos în orice punct, în care $f''(x) > 0$. În punctul de inflexiune, $f''(x) = 0$ [sau $f''(x)$ nu există]. Pentru aflarea punctelor de inflexiune trebuie să găsim toate rădăcinile ecuației $f''(x) = 0$. Dacă la trecerea lui x printr-una dintre aceste valori derivata a doua își schimbă semnul, curba are în acest punct, un punct de inflexiune.

Dacă curba este dată printr-o ecuație în coordonate polare $\rho = f(\varphi)$, valorile argumentului φ , corespunzătoare punctelor de inflexiune, satisfac ecuația

$$\rho^2 + 2(\rho')^2 - \rho\rho'' = 0.$$

Curbura curbei. Curbura K a curbei în punctul M se numește limita raportului dintre unghiul format de direcțiile pozitive ale tangentelor în punctele M și N (unghiul de contingență) și lungimea arcului MN , când $N \rightarrow M$ (fig. 1.121):

$$K = \lim_{\Delta s \rightarrow 0} \frac{\Delta \alpha}{\Delta s} = \frac{d\alpha}{ds},$$

unde α este unghiul dintre direcțiile pozitive ale tangentei în punctul M și axa Ox .

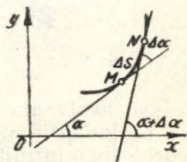


Fig. 1.121.

Raza de curbura R se numește inversul curburii: $R = 1/K$. Curbele plane care au curbura constantă sînt cercul ($K = 1/a$, unde a este raza de curbura) și dreapta ($K = 0$).

Formulele pentru calcularea curburii K și a razei de curbura R :

$$K = \frac{1}{R} = \frac{y''}{[1 + (y')^2]^{3/2}}; \quad K = \frac{1}{R} = \frac{\rho^2 + 2(\rho')^2 - \rho\rho''}{[\rho^2 + (\rho')^2]^{3/2}}.$$

(pentru ecuații în coordonate polare).

Punctele curbei în care curbura are un maxim sau un minim se numesc *virfurile* curbei.

Cercul de curbura (*cercul osculator*) al curbei în punctul M se numește poziția limită a cercului dus prin punctul M și prin alte două puncte de pe curbă, N și P (fig. 1.122), cînd $N \rightarrow M$ și $P \rightarrow M$.

Raza cercului de curbura este egală cu raza de curbura, iar *centrul cercului de curbura* (*centrul de curbura*) se află pe normala la curbă dusă în punctul M spre concavitatea curbei.

Coordonatele X , Y ale centrului de curbura al curbei $y = f(x)$ se calculează după formulele

$$X = x - \frac{y'[1 + (y')^2]}{y''};$$

$$Y = y + \frac{1 + (y')^2}{y''}.$$

Evoluta (*desfășurata*) curbei este locul geometric al centrelor de curbura. Dacă în formulele pentru determinarea coordonatelor centrului de curbura se consideră X și Y drept coordonate curente ale punctului pe evolută, aceste formule dau ecuațiile parametrice ale evolutei.

Evolventa (*desfășuranta* sau *desfășurătoarea*) curbei este curba pentru care curba dată este evolută.

Normala MC a evolventei Γ_2 este tangentă la evoluta Γ_1 (fig. 1.123); lungimea arcului CC_1 al evolutei este egală cu creșterea respectivă a razei de curbura a evolventei $\widehat{CC}_1 = M_1C_1 - MC$; de



Fig. 1.122.

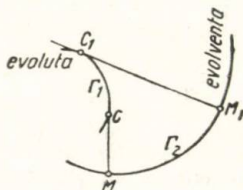


Fig. 1.123.

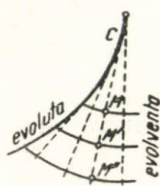


Fig. 1.124.

aceea, evolventa Γ_2 se mai numește *desfășuranta* curbei Γ_1 , întrucît se obține prin desfășurarea unui fir întins, înfășurat pe Γ_1 . Orice curbă are o infinitate de evolvente, corespunzătoare diferitelor lungimi inițiale ale firului (fig. 1.124).

Asimptote. Dacă distanța pînă la o anumită dreaptă de la un punct care se îndepărtează spre infinit pe o curbă dată tinde spre zero, această dreaptă se numește *asimptotă* la curba dată. Asimptota poate sau să nu intersecteze curba (fig. 1.125 a), sau s-o intersecteze, (fig. 1.125 b) de un număr finit sau infinit de ori.

Curba $y = f(x)$ are o asimptotă paralelă cu axa Ox , dacă există limita

$$\lim_{x \rightarrow +\infty} f(x) = b \text{ sau } \lim_{x \rightarrow -\infty} f(x) = \beta.$$

În acest caz $y = b$ (respectiv $y = \beta$) este ecuația acestei asimptote.

Dacă $\lim_{x \rightarrow a} f(x) = \infty$, dreapta $x = a$

este asimptotă paralelă cu axa Oy .

Pentru a găsi asimptotele oblice, trebuie să calculăm limitele $k = \lim_{x \rightarrow +\infty} f(x)/x$ și $b = \lim_{x \rightarrow +\infty} [f(x) - kx]$, respectiv

$$\lim_{x \rightarrow -\infty} [f(x) - kx].$$

Dacă limitele care determină mărimile k și b există, dreapta $y = kx + b$ este asimptotă la curba dată.

Exemplu. $y = \frac{x^3 + 2x^2 + 6}{x^2 + 3}; \quad k = \lim_{x \rightarrow \infty} \frac{x^3 + 2x^2 + 6}{(x^2 + 3)x} = 1;$

$$b = \lim_{x \rightarrow \infty} \left(\frac{x^3 + 2x^2 + 6}{x^2 + 3} - x \right) = 2; \text{ ecuația asimptotei: } y = x + 2.$$

Puncte singulare. Un punct al curbei $F(x, y) = 0$ se numește *multiplu* (*dublu*, *triplu* etc.), dacă coordonatele sale x_0, y_0 , satisfac sistemul de ecuații: $F(x_0, y_0) = 0; F'_x(x_0, y_0) = 0; F'_y(x_0, y_0) = 0$.

Dacă, totodată, nu se anulează nici una dintre derivatele de ordinul al doilea $A = F''_{xx}(x_0, y_0), B = F''_{xy}(x_0, y_0), C = F''_{yy}(x_0, y_0)$, punctul se numește *dublu*.

Un punct dublu este:

a) *izolat* (adică într-o anumită vecinătate a sa nu există alte puncte ale curbei date), dacă $\Delta = AC - B^2 > 0$ (fig. 1.126 a);

b) *nodal*, dacă $\Delta < 0$ (fig. 1.126, b);

c) *punct de întoarcere de speța întâi* (fig. 1.126 c) sau de *speța a doua* (fig. 1.126 d), sau *punct autooscultor* (fig. 1.126 e) dacă $\Delta = 0$.

La curbele nealgebrice, în afară de puncte multiple, pot exista singularități de altă natură, de exemplu, *puncte de*

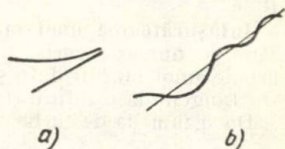


Fig. 1.125.

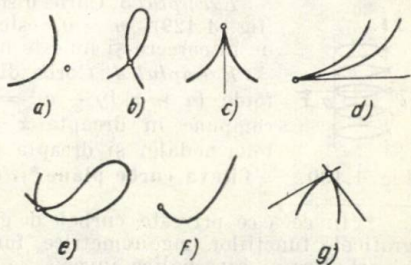


Fig. 1.126.

oprire (fig. 1.126 e) — care se află pe frontiera domeniului de existență a funcției $y = f(x)$ în care este definită curba — sau, în punctele de discontinuitate de speța întâi (v. p. 98) ale acestei funcții, *puncte unghiulare* (fig. 1.126 g) în care limitele la dreapta și la stânga (v. p.) ale derivatei $f'(x)$ există și sînt diferite și altele.

Înfășurătoarea unei familii de curbe. Înfășurătoarea unor curbe plane se numește curba (sau ansamblul de curbe) care atinge toate curbele unei familii date și orice arc, oricît de mic, al acestei curbe este tangent la o infinitate de curbe ale familiei.

Dacă familia de curbe, care depinde de un parametru α ,

$$F(x, y, \alpha) = 0$$

are o înfășurătoare, atunci ecuațiile parametrice ale acesteia din urmă se determină din sistemul

$$F(x, y, \alpha) = 0; F'_\alpha(x, y, \alpha) = 0.$$

Dacă din acest sistem se elimină parametrul α , se obține ecuația implicită $D(x, y) = 0$.

Curba $D(x, y) = 0$ (curba discriminantă) poate conține pe lîngă înfășurătoare, dacă există, și locul geometric al punctelor singulare, care nu este o înfășurătoare.

Exemplul 1. Curba discriminantă a familiei $y = (x - \alpha)^3$ (fig. 1.127), $y = 0$, este locul geometric al punctelor de inflexiune și înfășurătoare.

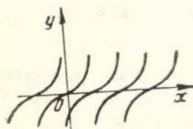


Fig. 1.127.

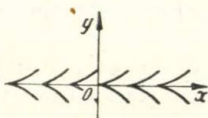


Fig. 1.128.

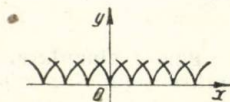


Fig. 1.129.

Exemplul 2. Curba discriminantă a familiei $y^2 = (x - \alpha)^3$ (fig. 1.128), $y = 0$, este locul geometric al punctelor de întoarcere și înfășurătoare.

Exemplul 3. Curba discriminantă a familiei $y^3 = (x - \alpha)^2$ (fig. 1.129), $y = 0$, este locul geometric al punctelor de întoarcere și nu este înfășurătoare.

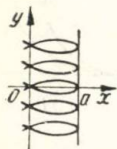


Fig. 1.130.

Exemplul 4. Curba discriminantă a familiei de strofoide $(a + x)(y - a)^2 = x^2(a - x)$ (fig. 1.130) se descompune în dreapta $x = 0$ (locul geometric al punctelor nodale) și dreapta $x = a$ (înfășurătoare).

Cîteva curbe plane *). Graficul funcției putere.

* În ceea ce privește curbele de gradul al doilea fig. 1.42—1.52; graficele funcțiilor trigonometrice, funcțiilor trigonometrice inverse, hiperbolice și hiperbolice inverse se găsesc la p. 50. În ecuațiile considerate mai departe, parametrul este pozitiv.

a) $y = ax^n$ ($n > 1$ și întreg); curba este o parabolă de ordinul n (fig. 1.131).

În cazul când n este par, curba este simetrică în raport cu axa Oy și are în originea axelor de coordonate un extrem (fig. 1.131 a); când n este impar curba este simetrică în raport cu originea axelor de coordonate, care este un punct de inflexiune (fig. 1.131 b). Nu are asimptote.

b) $y = \frac{a}{x^n} = ax^{-n}$ (n este întreg pozitiv) (fig. 1.132), curba este de tip hiperbolic.

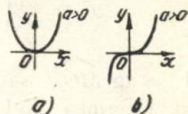


Fig. 1.131.

Asimptotele sînt axele de coordonate. Nu există puncte extreme. Dacă n este impar, curba este simetrică în raport cu originea axelor de coordonate, iar dacă n este par, în raport cu axa Oy .

Parabola semicubică (fig. 1.133) $y = ax^{3/2}$ (sub formă parametrică: $x = t^2$, $y = at^3$). Nu are asimptote.

Originea coordonatelor este punct de întoarcere de prima speță.

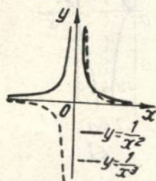


Fig. 1.132.

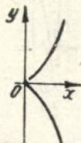


Fig. 1.133.

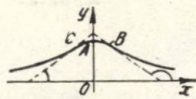


Fig. 1.134.

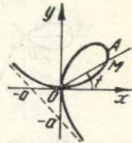


Fig. 1.135.

Curba lui Agnesi (fig. 1.134) $y = \frac{a^3}{a^2 + x^2}$. Asimptota este axa Ox . Maxim în $A(0, a)$. Punctele de inflexiune $B, C(\pm a/\sqrt{3}, 3a/4)$. Aria dintre curbă și asimptotă este πa^2 .

Curba (cubica) lui Descartes (fig. 1.135) $x^3 + y^3 = 3axy$ sau $x = 3at/(1 + t^3)$, $y = 3at^2/(1 + t^3)$ ($t = \tan \widehat{MOx}$).

Originea axelor de coordonate este un punct nodal în care tangentele sînt axele de coordonate. Asimptota: $x + y + a = 0$. Vîrfurile: $A(3a/2, 3a/2)$. Aria buclei: $\frac{3}{2}a^2$; aria dintre curbă și asimptotă $\frac{3}{2}a^2$.

Cisoida (fig. 1.136) este locul geometric al punctelor M , pentru care $OM = PQ$ (P este punctul cercului generator cu diametrul a).

Ecuția: $y^2 = x^3/(a - x)$ sau $x = at^2/(1 + t^2)$, $y = at^3/(1 + t^2)$ ($t = \tan \widehat{OMx}$) sau $\rho = a \sin^2 \varphi / \cos \varphi$.

Originea axelor de coordonate este punct de întoarcere de speța întâi. Asimptota este $x = a$. Aria dintre curbă și asimptotă este $\frac{3\pi a^2}{4}$.

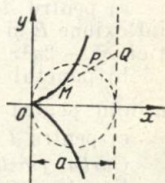


Fig. 1.136.

Strofoida (fig. 1.137) este locul geometric al punctelor M_1 și M_2 pentru care $PM_1 = PM_2 = OP$.

Ecuția:

$$y^2 = x^2 \left(\frac{a+x}{a-x} \right) \text{ sau } x = a \frac{t^2 - 1}{t^2 + 1}, \quad y = at \frac{t^2 - 1}{t^2 + 1}$$

($t = \widehat{MOx}$) sau $\rho = -a \cos 2\varphi / \cos \varphi$.

Originea axelor de coordonate este un punct nodal (tangentele: $y = \pm x$). Asimptota este $x = a$. Vîrful $A(-a, 0)$. Aria buclei $a^2(2 - \pi/2)$, aria dintre curbă și asimptotă, $a^2(2 + \pi/2)$.

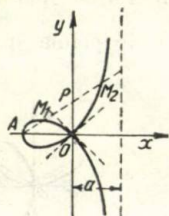


Fig. 1.137.

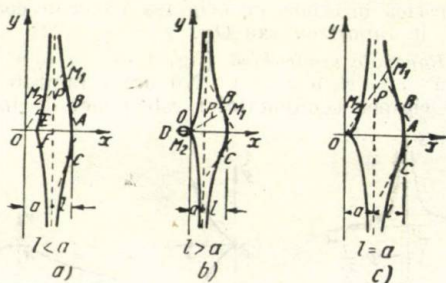


Fig. 1.138.

Concoida (fig. 1.138) este locul geometric al punctelor M pentru care $OM = OP \pm l$, semnul $+$ pentru ramura exterioară, iar semnul $-$ pentru ramura interioară.

Ecuția: $(x-a)^2(x^2+y^2) - l^2x^2 = 0$ sau $x = a + l \cos \varphi$,
 $y = a \tan \varphi + l \sin \varphi$, sau $\rho = \frac{a}{\cos \varphi} \pm l$.

Ramura exterioară: asimptotă $x = l$; vîrful $A(a+l, 0)$; punctele de inflexiune B și C [x este cea mai mare dintre rădăcinile ecuației $x^3 - 3a^2x + 2a(a^2 - l^2) = 0$]. Aria dintre ramură și asimptotă este infinită.

Ramura interioară: asimptotă $x = l$; vîrful $D(a-l, 0)$; originea axelor de coordonate este punct dublu:

a) pentru $l < a$ punctul este izolat (fig. 1.138 a). Punctele de inflexiune E și F [x este rădăcina pozitivă a doua ca mărime, a ecuației $x^3 - 3a^2x + 2a(a^2 - l^2) = 0$];

b) punctul $l > a$, punctul este nodal (fig. 1.138 b); maxim și minim pentru $x = a - \sqrt[3]{al^2}$;

c) pentru $l = a$ este punct de întoarcere (fig. 1.138 c).

Curba (melcul) lui Pascal (fig. 1.139): $OM = OP \pm l$.

Ecuția $(x^2 + y^2 - ax)^2 = l^2(x^2 + y^2)$ sau $x = a \cos^2 \varphi + l \cos \varphi$, $y = a \cos \varphi \sin \varphi + l \sin \varphi$ sau $\rho = a \cos \varphi + l$.

Virfurile A, B ($a \pm l, 0$). Patru extreme, dacă $a > l$ și două extreme, dacă $a \leq l$: C, D, E, F ($\cos \varphi = \frac{-l \pm \sqrt{l^2 + 8a^2}}{4a}$). Punctele de inflexiune: G și H ($\cos \varphi = -\frac{2a^2 + l^2}{3al}$) dacă $a < l < 2a$ (fig. 1.139, b).

Originea axelor de coordonate este un punct dublu: izolat dacă $a < l$, nodal dacă $a > l$ și punct de întoarcere dacă $a = l$ (în acest din urmă caz curba este o cardioidă).

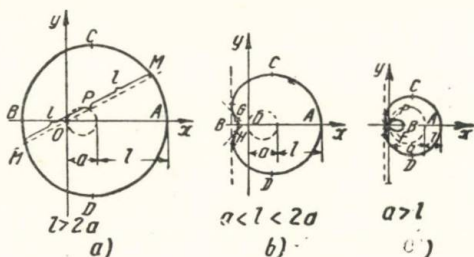


Fig. 1.139.

Aria melcului este $\frac{\pi a^2}{2} + \pi l^2$ [în cazul $a > l$ (fig. 1.139, c) aria buclei interioare, la calculul prin această formulă, se socotește de două ori].

Cardioida (fig. 1.140) este un caz particular al melcului lui Pascal: $OM = OP \pm a$. Ecuația $(x^2 + y^2)^2 - 2ax(x^2 + y^2) = a^2y^2$ sau $x = a \cos \varphi (1 + \cos \varphi)$, $y = a \sin \varphi (1 + \cos \varphi)$ sau $\rho = a(1 + \cos \varphi)$. Originea axelor de coordonate este punct de întoarcere. Virful $A(2a, 0)$. Maxim și minim pentru $\varphi = \pm \frac{\pi}{3}$: C, D ($\frac{3a}{4}, \pm \frac{3a\sqrt{3}}{4}$).

Aria: $\frac{3\pi a^2}{2}$; lungimea $8a$.

Ovalul lui Cassini (fig. 1.141) este locul geometric al punctelor M pentru care produsul distanțelor lor la punctele date $F_1(c, 0)$ și $F_2(-c, 0)$ (focare) este constant și egal cu a^2 .

Ecuația: $(x^2 + y^2)^2 - 2c^2(x^2 - y^2) = a^4 - c^4$ sau $\rho^2 = c^2 \cos 2\varphi \pm \sqrt{c^4 \cos^2 2\varphi + (a^4 - c^4)}$.

a) $a \geq c\sqrt{2}$, oval convex (fig. 1.141, a). Punctele de intersecție cu axa Ox : $A, C(\pm \sqrt{a^2 + c^2}, 0)$; punctele de intersecție cu axa Oy : $B, D(0, \pm \sqrt{a^2 - c^2})$.

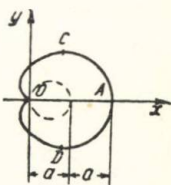


Fig. 1.140.

b) $c < a < c\sqrt{2}$ (fig. 1.141 b). Punctele de intersecție cu axele sînt aceleași ca și în cazul (a).

Maxime și minime:

$$B, D(0, \pm \sqrt{a^2 - c^2}); E, G, K, I \left(\pm \frac{\sqrt{4c^4 - a^4}}{2c}, \pm \frac{a^2}{2c} \right).$$

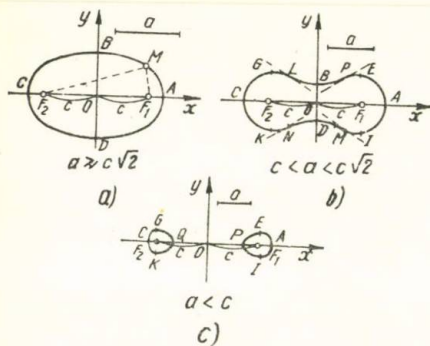


Fig. 1.141.

Puncte de inflexiune:

$$P, L, M, N \left(\pm \sqrt{\frac{1}{2} (m - n)}, \pm \sqrt{\frac{1}{2} (m + n)} \right),$$

$$\text{unde } n = \frac{a^4 - c^4}{3c^2}, \quad m = \frac{\sqrt{a^4 - c^4}}{3}.$$

c) $a < c$, două ovale (fig. 1.141 c). Punctele de intersecție cu axa Ox :

$$A, C(\pm \sqrt{a^2 + c^2}, 0) \text{ și } P, Q(\sqrt{c^2 - a^2}, 0).$$

$$\text{Maxime și minime: } E, G, K, I \left(\pm \frac{\sqrt{4c^4 - a^4}}{2c}, \pm \frac{a^2}{2c} \right).$$

Lemniscata lui Bernoulli (fig. 1.142) este un caz particular al ovalului lui Cassini pentru $a = c$.

Ecuția: $(x^2 + y^2)^2 - 2a^2(x^2 - y^2) = 0$ sau $\rho^2 = 2a^2 \cos 2\varphi$. Originea axelor de coordonate este punct de inflexiune și punct nodal cu tangentele $y = \pm x$.

Punctele de intersecție ale curbei cu axa Ox : $A, C(\pm a\sqrt{2}, 0)$.

$$\text{Maxime și minime: } E, G, K, I \left(\pm \frac{a\sqrt{3}}{2}, \pm \frac{a}{2} \right).$$

Aria fiecărei bucle: a^2 .

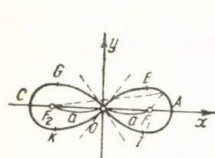


Fig. 1.142.

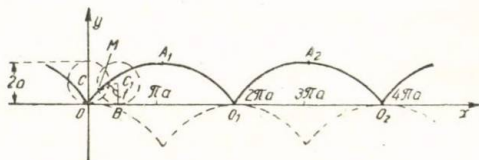


Fig. 1.143.

Cicloida (fig. 1.143) este traiectoria unui punct de pe un cerc care se rostogolește fără alunecare pe o dreaptă.

Ecuția: $x + \sqrt{y(2a - y)} = a \operatorname{Arccos} \frac{a - y}{a}$ (a este raza cercului) sau $x = a(t - \sin t)$, $y = a(1 - \cos t)$ ($t = \angle MC_1B$).

Punctele de întoarcere: O, O_1, O_2, \dots ($OO_1 = O_1O_2 = \dots = 2\pi a$).

Vîrfurile: $A_1, A_2, \dots [(2k+1)\pi a, 2a]$.

Lungimea unei ramuri este $8a$; aria dintre ea și axa Ox : $3\pi a^2$. Evoluta cicloidei este și ea o cicloidă (marcată cu linie punctată).

Trochoidale sînt cicloide alungite (fig. 1.144 a) sau scurtate (fig. 1.144 b), adică sînt traiectoriile punctelor care se află în afara,

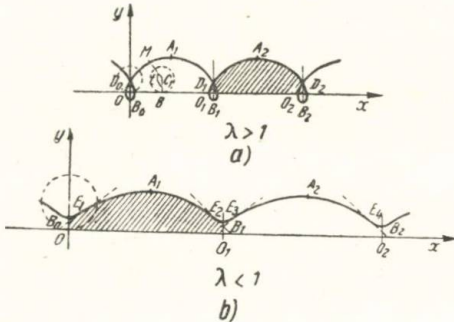


Fig. 1.144.

respectiv în interiorul, cercului care se rostogolește fără alunecare pe o dreaptă.

Ecuatiile parametrice: $x = a(t - \lambda \sin t)$, $y = a(1 - \lambda \cos t)$, unde a este raza cercului, $t = \angle MC_1B$, $\lambda a = C_1M$ (pentru cicloida alungită $\lambda > 1$, pentru cea scurtată $\lambda < 1$); $OO_1 = 2\pi a$; maxime: $A_1, A_2, \dots [(2k+1)\pi a, (1+\lambda)a]$, minime: $B_0, B_1, B_2, \dots [2k\pi a, (1-\lambda)a]$.

Pentru cicloida alungită punctele nodale sînt

$$D_0, D_1, D_2, \dots [2k\pi a, a(1 - \sqrt{\lambda^2 - t_0^2})],$$

unde t_0 este rădăcina pozitivă cea mai mică a ecuației $t = \lambda \sin t$.

Pentru cicloida scurtată punctele de întoarcere sînt

$$E_1, E_2, \dots [a(\arccos \lambda - \lambda \sqrt{1 - \lambda^2}), a(1 - \lambda^2)].$$

Aria hașurată pe desen este egală cu $\pi a^2 (2 + \lambda^2)$.

Epicycloida (fig. 1.145) este traiectoria punctului M al unui cerc care se rostogolește fără alunecare pe un alt cerc, în afara acestuia.

Ecuatiile parametrice: $x = (A + a) \cos \varphi - a \cos \frac{A+a}{a} \varphi$; $y = (A + a) \sin \varphi - a \sin \frac{A+a}{a} \varphi$ (A este raza cercului imobil, a este raza cercului mobil; $\varphi = \angle COx$). Pentru $m = A/a = 1$ curba devine o cardioidă.

a) Pentru m întreg curba este închisă și constă din m părți identice (fig. 1.145 a). Punctele de întoarcere A_1, A_2, \dots, A_m ; $\rho = A$; $\varphi = \frac{2k\pi}{m}$ ($k = 0, 1, \dots, m-1$).

Vîrfurile B_1, B_2, \dots, B_m : $\rho = A + a$; $\varphi = \frac{2\pi}{m} \left(k + \frac{1}{2} \right)$.

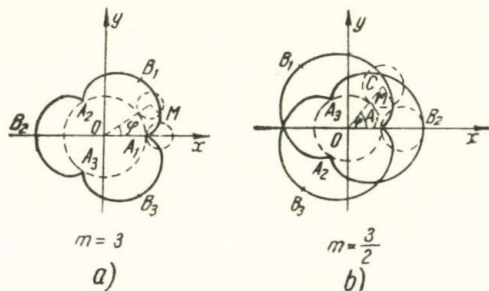


Fig. 1.145.

b) Pentru m fracționar (rațional) (fig. 1.145 b) curba este de asemenea închisă, însă se autoîntersectează.

Lungimea unei ramuri: $A_1B_1A_2 = \frac{8(A+a)}{m}$.

Pentru m întreg, lungimea întregii curbe este $8(A+a)$. Aria sectorului $A_1B_1A_2A_1$ (fără sectorul cercului imobil): $\pi a^2 \frac{3A+2a}{A}$.

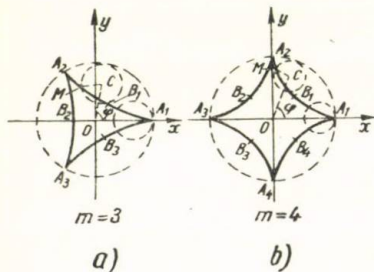


Fig. 1.146.

Pentru $m = A/a = 3$ (fig. 1.146 a) ecuația este: $x = a(2 \cos \varphi + \cos 2\varphi)$, $y = a(2 \sin \varphi - \sin 2\varphi)$. Lungimea: $16a$; aria: $2\pi a^2$.

Pentru $m = A/a = 4$ (fig. 1.146 b) curba devine o *astroidă*: $x = A \cos^3 \varphi$, $y = A \sin^3 \varphi$ sau $x^{2/3} + y^{2/3} = A^{2/3}$. Lungimea: $24a$ (sau $6A$); aria: $6\pi a^2$ (sau $\frac{3}{8} \pi A^2$).

Hipocicloida (fig. 1.146) este traiectoria unui punct de pe un cerc care se rostogolește fără alunecare pe un alt cerc din interiorul acestuia. Pentru orice m ($m > 1$) ecuația hipocicloidei se obține din ecuația respectivă a epicloidei prin înlocuirea lui a cu $-a$.

Pentru $m = A/a = 2$ curba degenerază în diametrul unui cerc imobil.

Desfășuranta (evolventa) cercului (fig. 1.147) este traiectoria capătului unui fir întins care se desfășoară de pe cerc ($\widehat{AB} = BM$).

Ecuatiile parametrice

$$x = a \cos \varphi + a\varphi \sin \varphi$$

$$y = a \sin \varphi - a\varphi \cos \varphi \quad (a - \text{raza}, \varphi = \angle BOx).$$

Punctul de întoarcere: $A(a, 0)$. Lungimea arcului AM : $a\varphi^2/2$.

Spirala lui Arhimede (fig. 1.148) este traiectoria unui punct mobil, cu viteza constantă v , pe o rază care se rotește în jurul polului O cu viteza unghiulară ω constantă.

Ecuatia: $\rho = a\varphi$, unde $a = v/\omega$.

Raza OR intersectează curba în punctele $O, A_1, A_2, \dots, A_n, \dots$, care se află unul față de altul la distanța constantă $A_i A_{i+1} = 2\pi a$.

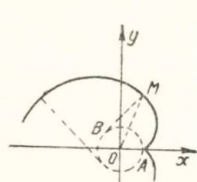


Fig. 1.147.

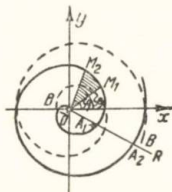


Fig. 1.148.

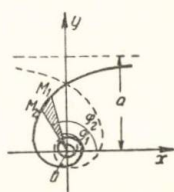


Fig. 1.149.

Lungimea arcului OM (M este un punct oarecare al spiralei) este $\frac{a}{2} (\varphi \sqrt{\varphi^2 + 1} + \arg \operatorname{sh} \varphi)$. Aria sectorului $M_1 OM_2$: $\frac{a^2}{6} (\varphi_2^3 - \varphi_1^3)$.

Spirala hiperbolică (fig. 1.149). Ecuția în coordonate polare: $\rho = a/\varphi$. Asimptota: $y = a$. Polul este un punct asimptotic.

Aria sectorului $M_1 OM_2$: $\frac{a^2}{2} \left(\frac{1}{\varphi_1} - \frac{1}{\varphi_2} \right)$.

Spirala logaritmică (fig. 1.150). Curba intersectează toate razele care ies din polul O sub același unghi α .

Ecuția: $\rho = ae^{k\varphi}$ ($k = \cotg \alpha$; dacă $\alpha = \frac{\pi}{2}$,

atunci $k = 0$ și curba este un cerc). Polul este un punct asimptotic. Lungimea arcului $M_1 M_2$

$$\frac{\sqrt{1+k^2}}{k} (\rho_2 - \rho_1).$$

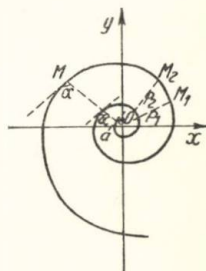


Fig. 1.150.

Spirala parabolică (fig. 1.151): $\rho^2 = a\varphi$. Polul este punct de oprire.
Curba-sceptru (fig. 1.152): $\rho^2 = a/\varphi$. Polul este un punct asimptotic. Axa polară este asimptotă.

Curba exponențială (fig. 1.153) $y = a^x$ ($a > 0$).

Pentru $a = e$ devine curba exponențială *naturală* $y = e^x$. Funcția y ia numai valori pozitive. Asimptota este axa Ox .

Curba logaritmică (fig. 1.154) $y = \log_a x$ ($a > 0$).

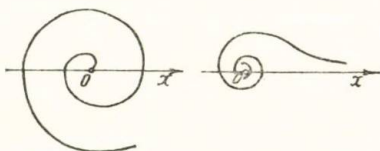


Fig. 1.151.



Fig. 1.152.

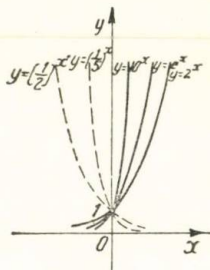


Fig. 1.153.

Pentru $a = e$ devine curba logaritmică *naturală* $y = \ln x$. Funcția y există numai pentru $x > 0$. Asimptota este axa Oy .

Graficul funcției $y = e^{-(ax)^2}$ (fig. 1.155). Curba este simetrică în raport cu axa Oy . Asimptota este axa Ox . Maxim în punctul $A(0, 1)$;

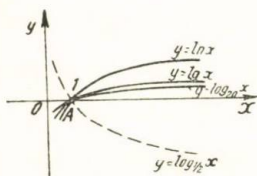


Fig. 1.154.

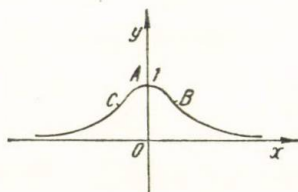


Fig. 1.155.

puncte de inflexiune: B și $C(\pm 1/a\sqrt{2}, 1/\sqrt{e})$. Din această categorie face parte *curba de distribuție normală a erorilor* (*curba lui Gauss*)

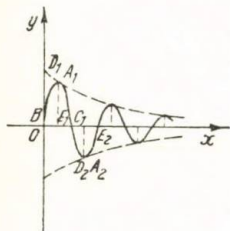


Fig. 1.156.

$$y = \frac{h}{\sqrt{\pi}} e^{-h^2 x^2}.$$

Curba oscilației amortizate (fig. 1.156) $y = Ae^{-ax} \sin(\omega x + \varphi_0)$.

Ea este cuprinsă între curbele $y = \pm Ae^{-ax}$, pe care le atinge în punctele

$$A_1, A_2, \dots \left[\frac{\left(k + \frac{1}{2}\right)\pi - \varphi_0}{\omega}, (-1)^k Ae^{-ax} \right].$$

Asimptota este axa Ox . Punctele de intersecție cu axele de coordonate: $B(0, A \sin \varphi_0)$ și $C_1, C_2, \dots \left(\frac{k\pi - \varphi_0}{\omega}, 0 \right)$.

Extreme: $D_1, D_2, \dots \left(x = \frac{k\pi - \varphi_0 + \alpha}{\omega} \right)$, unde $\operatorname{tg} \alpha = \frac{\omega}{a}$.

Punctele de inflexiune: $E_1, E_2, \dots \left(x = \frac{k\pi - \varphi_0 + 2\alpha}{\omega} \right)$.

Lănțișorul (fig. 1.157) este curba de echilibru a unui fir greu, inextensibil, atârnat în două puncte. Ecuația:

$$y = a \operatorname{ch} \frac{x}{a} = \left(a \frac{e^{\frac{x}{a}} + e^{-\frac{x}{a}}}{2} \right).$$

Curba este simetrică în raport cu axa Oy . Virful: $A(0, a)$. Lungimea arcului AM : $a \operatorname{sh} (x/a)$; aria $OAMP$: $a^2 \operatorname{sh} (x/a)$.

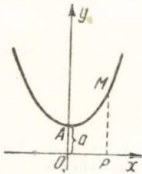


Fig. 1.157.

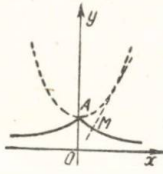


Fig. 1.158.

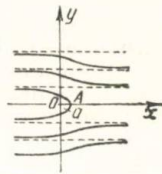


Fig. 1.159.

Tractricea (fig. 1.158). Evoluta lăntișorului (desfășurarea începe în virful A). Ecuația

$$x = a \operatorname{arg ch} \frac{a}{y} - \sqrt{a^2 - y^2} \left(= a \ln \frac{a + \sqrt{a^2 - y^2}}{y} - \sqrt{a^2 - y^2} \right).$$

Asimptota este axa Ox . Punctul de întoarcere (avind tangentă axa Oy) este $A(0, a)$. Curba este simetrică în raport cu axa Oy . Lungimea arcului AM : $a \ln \frac{a}{y}$.

Cvadratricea lui Dinostrat (fig. 1.159):

$$x = y \cotg \frac{y}{a} \text{ sau } \rho \sin \varphi = a\varphi.$$

Asimptotele: $y = n\pi$ ($n = \pm 1, \pm 2, \dots$). Virful $A(a, 0)$. Toate celelalte puncte, pentru care $x = a$, sînt puncte de inflexiune.

§ 1.16. Curbe în spațiu

Generalități. O curbă în spațiu (o curbă de curbură dublă) poate fi dată ca linie de intersecție a două suprafețe avînd ecuațiile $F(x, y, z) = 0$; $\Phi(x, y, z) = 0$, precum și sub forma parametrică $x = x(t)$, $y = y(t)$,

$z = z(t)$. În particular, dacă parametrul t coincide cu una dintre coordonatele punctului $M(x, y, z)$ de pe curbă (de exemplu, $t = x$), atunci ecuațiile curbei sînt de forma: $y = y(x)$, $z = z(x)$.

Ecuația vectorială a curbei $\vec{r} = \vec{r}(t)$, unde raza vectorială a oricărui punct al curbei este $\vec{r}(t) = x(t)\vec{i} + y(t)\vec{j} + z(t)\vec{k}$ (v. p. 195).

Pe curbă se alege un sens pozitiv corespunzător creșterii parametrului t .

Uneori este indicat să se aleagă ca parametru lungimea arcului s al curbei, de la un anumit punct inițial A (corespunzător valorii $t = t_0$) pînă la punctul M :

$$s = \int_{t_0}^t \sqrt{(x')^2 + (y')^2 + (z')^2} dt;$$

în acest caz ecuațiile curbei sînt de forma: $x = x(s)$; $y = y(s)$; $z = z(s)$.

Diferențiala arcului curbei se exprimă prin formula:

$$ds = \sqrt{dx^2 + dy^2 + dz^2}.$$

Triedrul asociat. În orice punct M al unei curbe în spațiu, în care cel puțin una dintre derivatele dx/dt , dy/dt , dz/dt nu este nulă, se determină trei drepte reciproc perpendiculare și trei plane reciproc perpendiculare, astfel încît fiecare să treacă prin două din cele trei drepte amintite. Aceste drepte și plane, care formează așa-numitul *triedru asociat* (fig. 1.160), sînt următoarele:

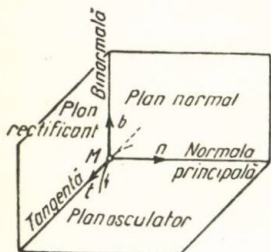


Fig. 1.160.

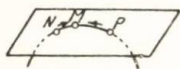


Fig. 1.161.

1) *tangenta*, care se determină ca și pentru curba plană;

2) *planul normal*, care este planul perpendicular pe tangentă; dreptele situate în acest plan și care trec prin punctul M se numesc *normale* la curbă;

3) *planul osculator*; acesta este poziția limită a planului care trece prin punctul M și prin alte două puncte ale curbei, N și P , atunci cînd $N \rightarrow M$ și $P \rightarrow M$ (fig. 1.161);

4) *normala principală* este normala care se află în planul osculator (linia de intersecție a planului normal și a planului osculator);

5) *binormala* este normala perpendiculară pe planul osculator;

6) *planul rectifiant* este planul care trece prin tangentă și prin binormală.

Sensul pozitiv pe tangentă se alege arbitrar și se determină prin vectorul unitar \vec{t} (p. 194); pe normala principală sensul pozitiv este sensul concavității curbei și se definește cu vectorul unitar \vec{n} ; pe binormală se definește cu ajutorul vectorului unitar $\vec{b} = \vec{t} \times \vec{n}$ (p. 197).

Dacă curba este dată sub forma $F(x, y, z) = 0$, $\Phi(x, y, z) = 0$, tangenta are ecuația

$$\frac{X - x}{\begin{vmatrix} F'_y & F'_z \\ \Phi'_y & \Phi'_z \end{vmatrix}} = \frac{Y - y}{\begin{vmatrix} F'_z & F'_x \\ \Phi'_z & \Phi'_x \end{vmatrix}} = \frac{Z - z}{\begin{vmatrix} F'_x & F'_y \\ \Phi'_x & \Phi'_y \end{vmatrix}},$$

iar planul normal are ecuația

$$\begin{vmatrix} X - x & Y - y & Z - z \\ F'_x & F'_y & F'_z \\ \Phi'_x & \Phi'_y & \Phi'_z \end{vmatrix} = 0,$$

unde x, y, z sînt coordonatele punctului M , iar X, Y, Z sînt coordonatele curente.

În formulele următoare se păstrează aceste notații, precum și aceea pentru \vec{r} — raza vectoare a punctului M . \vec{R} este raza vectoare curentă.

Ecuațiile elementelor triedrului asociat, atunci cînd curba este dată prin ecuații parametrice, sînt următoarele (toate derivatele se iau în raport cu t):

planul tangent

$$\begin{vmatrix} X - x & Y - y & Z - z \\ x' & y' & z' \\ x'' & y'' & z'' \end{vmatrix} = 0 \text{ sau } (\vec{R} - \vec{r}) \frac{d\vec{r}}{dt} \frac{d^2\vec{r}}{dt^2} = 0;$$

tangenta

$$\frac{X - x}{x'} = \frac{Y - y}{y'} = \frac{Z - z}{z'} \text{ sau } \vec{R} = \vec{r} + \lambda \frac{d\vec{r}}{dt};$$

planul normal

$$x'(X - x) + y'(Y - y) + z'(Z - z) = 0 \text{ sau } (\vec{R} - \vec{r}) \frac{d\vec{r}}{dt} = 0;$$

binormala

$$\frac{X - x}{\begin{vmatrix} y' & z' \\ y'' & z'' \end{vmatrix}} = \frac{Y - y}{\begin{vmatrix} z' & x' \\ z'' & x'' \end{vmatrix}} = \frac{Z - z}{\begin{vmatrix} x' & y' \\ x'' & y'' \end{vmatrix}} \text{ sau } \vec{R} = \vec{r} + \lambda \left(\frac{d\vec{r}}{dt} \times \frac{d^2\vec{r}}{dt^2} \right);$$

normala principală

$$\frac{X - x}{\begin{vmatrix} y' & z' \\ m & n \end{vmatrix}} = \frac{Y - y}{\begin{vmatrix} z' & x' \\ n & l \end{vmatrix}} = \frac{Z - z}{\begin{vmatrix} x' & y' \\ l & m \end{vmatrix}} \text{ sau } \vec{R} = \vec{r} + \lambda \frac{d\vec{r}}{dt} \times \left(\frac{d\vec{r}}{dt} \times \frac{d^2\vec{r}}{dt^2} \right);$$

planul rectificant

$$\begin{vmatrix} X-x & Y-y & Z-z \\ x' & y' & z' \\ l & m & n \end{vmatrix} = 0 \text{ sau } (\vec{R} - \vec{r}) \frac{d\vec{r}}{dt} \left(\frac{d\vec{r}}{dt} \times \frac{d^2\vec{r}}{dt^2} \right) = 0;$$

$$l = y'z'' - y''z'; \quad m = z'x'' - z''x'; \quad n = x'y'' - x''y'.$$

În cazul cînd se ia ca parametru lungimea arcului s , ecuațiile normalei principale și ale planului rectificant se simplifică:

$$\frac{X-x}{x''} = \frac{Y-y}{y''} = \frac{Z-z}{z''} \text{ sau } \vec{R} = \vec{r} + \lambda \frac{d^2\vec{r}}{ds^2} \text{ (normala principală);}$$

$$x''(X-x) + y''(Y-y) + z''(Z-z) = 0 \text{ sau } (\vec{R} - \vec{r}) \frac{d^2\vec{r}}{ds^2} = 0 \text{ (planul rectificant).}$$

Curbura și torsiunea. Curbura K a unei curbe în punctul M (fig. 1.162) se numește limita către care tinde raportul dintre unghiul δ format de tangentele în punctele curbei M și N (unghiul de contingență), și lungimea Δs a arcului MN , cînd $N \rightarrow M$:

$$K = \lim_{N \rightarrow M} \frac{\delta}{\Delta s}.$$

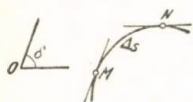
Raza de curbură ρ se numește mărimea inversă curburii: $\rho = \frac{1}{K}$;

K și ρ sînt totdeauna pozitive pentru curbele în spațiu.

Dacă curba este dată prin ecuații parametrice, atunci

$$K = \frac{1}{\rho} = \frac{\sqrt{(x'^2 + y'^2 + z'^2)(x''^2 + y''^2 + z''^2) - (x'x'' + y'y'' + z'z'')^2}}{(x'^2 + y'^2 + z'^2)^{3/2}}$$

În forma vectorială:



$$K^2 = \frac{\left(\frac{d\vec{r}}{dt} \right)^2 \left(\frac{d^2\vec{r}}{dt^2} \right)^2 - \left(\frac{d\vec{r}}{dt} \frac{d^2\vec{r}}{dt^2} \right)^2}{\left| \left(\frac{d\vec{r}}{dt} \right)^2 \right|^3}.$$

Fig. 1.162.

În particular, dacă avem ca parametru lungimea arcului s , atunci

$$K = \frac{1}{\rho} = \sqrt{x''^2 + y''^2 + z''^2} = \left| \frac{d^2\vec{r}}{ds^2} \right|.$$

Exemplu. Pentru elicea $x = a \cos t$, $y = a \sin t$, $z = bt$, luînd ca punct inițial $t = 0$, se obține: $s = \int_0^t \sqrt{a^2 + b^2} dt = t \sqrt{a^2 + b^2}$,

de unde $x = a \cos \frac{s}{\sqrt{a^2 + b^2}}$; $y = a \sin \frac{s}{\sqrt{a^2 + b^2}}$; $z = \frac{bs}{\sqrt{a^2 + b^2}}$;
 $K = \frac{1}{\rho} = \frac{a}{a^2 + b^2}$ (curbura este constantă).

Torsiunea T (curbura a doua) a unei curbe în punctul M (fig. 1.163) se numește limita către care tinde raportul dintre unghiul θ format de binormale (sau, ceea ce este același lucru, dintre planele tangente) în punctele M și N , și lungimea Δs a arcului MN , atunci cînd $N \rightarrow M$:

$$T = \lim_{N \rightarrow M} \frac{\theta}{\Delta s}.$$

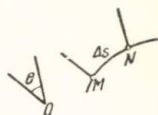


Fig. 1.163.

Rază de torsiune se numește mărimea inversă torsiunii: $\tau = \frac{1}{T}$. Dacă curba este dată prin ecuații parametriche, atunci

$$T = \frac{1}{\tau} = \rho^2 \frac{\begin{vmatrix} x' & y' & z' \\ x'' & y'' & z'' \\ x''' & y''' & z''' \end{vmatrix}}{(x'^2 + y'^2 + z'^2)^{3/2}} = \rho^2 \frac{\frac{d\vec{r}}{dt} \frac{d^2\vec{r}}{dt^2} \frac{d^3\vec{r}}{dt^3}}{\left| \left(\frac{d\vec{r}}{dt} \right)^2 \right|^{3/2}}.$$

Dacă se dă ca parametru lungimea arcului s :

$$T = \frac{1}{\tau} = \frac{\begin{vmatrix} x' & y' & z' \\ x'' & y'' & z'' \\ x''' & y''' & z''' \end{vmatrix}}{x''^2 + y''^2 + z''^2} = \rho^2 \left(\frac{d\vec{r}}{ds} \frac{d^2\vec{r}}{ds^2} \frac{d^3\vec{r}}{ds^3} \right).$$

Torsiunea calculată prin aceste formule (și raza de torsiune) are semnul + sau -. Dacă $T > 0$, pentru un observator care se află pe normala principală paralel cu binormala (v. fig. 1.160), curba pare să se răsucescă în sus, *de la dreapta la stînga*. Dacă $T < 0$, curba se răsucescă în sus, *de la stînga la dreapta*.

Exemplu. Pentru o elice $T = \frac{1}{\tau} = \frac{b}{a^2 + b^2}$ (torsiunea este constantă).

Formulele lui Serret-Frenet. Derivatele vectorilor unitari \vec{t} , \vec{n} și \vec{b} în raport cu arcul s se exprimă cu ajutorul acestor vectori unitari, al razei de curbură ρ și al razei de torsiune τ prin formulele

$$\frac{d\vec{t}}{ds} = \frac{\vec{n}}{\rho}; \quad \frac{d\vec{n}}{ds} = \frac{\vec{t}}{\rho} - \frac{\vec{b}}{\tau}; \quad \frac{d\vec{b}}{ds} = -\frac{\vec{n}}{\tau}.$$

§ 1.17. Suprafețe

Generalități. Forma implicită a ecuației unei suprafețe:

$$F(x, y, z) = 0.$$

Forma parametrică a ecuațiilor: $x = x(u, v)$; $y = y(u, v)$; $z = z(u, v)$. În particular, dacă se aleg ca parametri două coordonate oarecare (de exemplu, x și y), ecuația suprafeței este de formă $z = z(x, y)$ (forma explicită).

Forma vectorială:

$$\vec{r} = \vec{r}(u, v), \text{ unde } \vec{r}(u, v) = x(u, v) \vec{i} + y(u, v) \vec{j} + z(u, v) \vec{k}.$$

Orice relație între parametri $f(u, v) = 0$ sau $u = u(t)$, $v = v(t)$ împreună cu ecuațiile suprafeței determină o curbă pe suprafață; în particular, ecuațiile $u = \text{const}$ și $v = \text{const}$ determină pe suprafață două familii de așa-zise *curbe coordonate*, corespunzătoare alegerii date a parametrilor.

Orice pereche de valori $u = u_0$ și $v = v_0$ determină pe suprafață un punct oarecare $M(u_0, v_0)$ — *coordonațe gaussiene* sau *curbilinee*; prin punctul M trec două curbe coordonate: $u = u_0$ și $v = v_0$ (fig. 1.164).

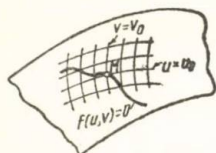


Fig. 1.164.

Planul tangent și normala. Dacă în punctul $M(x, y, z)$ al suprafeței $F(x, y, z) = 0$ cel puțin una dintre derivatele $F'_x(x, y, z)$, $F'_y(x, y, z)$, $F'_z(x, y, z)$ nu se anulează, tangentele la toate curbele care se află pe suprafață și care trec prin punctul M sînt situate în același plan, denumit *plan tangent* (fig. 1.165). Perpendiculara dusă prin punctul M la planul tangent se numește *normala* la suprafață.

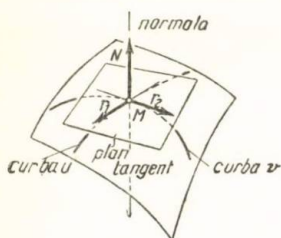


Fig. 1.165.

Planul tangent trece prin vectorii $\vec{r}_1 =$

$$= \frac{\partial \vec{r}}{\partial u} \text{ și } \vec{r}_2 = \frac{\partial \vec{r}}{\partial v} \text{ tangenți la curbele } u$$

și v în punctul M . Vectorul $\vec{r}_1 \times \vec{r}_2$ este paralel cu normala. Versorul normalei

$$\vec{N}_0 = \frac{\vec{r}_1 \times \vec{r}_2}{|\vec{r}_1 \times \vec{r}_2|} \text{ determină sensul pozitiv pe normală.}$$

Orice plan care trece prin normala la suprafață se numește *plan normal*.

Dacă într-un anumit punct al suprafeței avem $F'_x = F'_y = F'_z = 0$, tangentele la diferitele curbe situate pe suprafață și care trec prin punctul M nu se află în același plan și formează o suprafață conică.

Ecuațiile planului tangent și ale normalei se găsesc în tabela care urmează. Notații: x, y, z sînt coordonatele punctului M al suprafeței

Ecuațiile planului tangent și ale normalei la suprafață

Forma ecuației suprafeței	Planul tangent	Normala
Explicită	$Z - z = \frac{\partial z}{\partial x}(X - x) + \frac{\partial z}{\partial y}(Y - y)$	$\frac{X - x}{\frac{\partial z}{\partial x}} = \frac{Y - y}{\frac{\partial z}{\partial y}} = \frac{Z - z}{-1}$
Implicită	$F'_x(X - x) + F'_y(Y - y) + F'_z(Z - z) = 0$	$\frac{X - x}{F'_x} = \frac{Y - y}{F'_y} = \frac{Z - z}{F'_z}$
Parametrică	$\begin{vmatrix} X - x & Y - y & Z - z \\ \frac{\partial x}{\partial u} & \frac{\partial y}{\partial u} & \frac{\partial z}{\partial u} \\ \frac{\partial x}{\partial v} & \frac{\partial y}{\partial v} & \frac{\partial z}{\partial v} \end{vmatrix} = 0$	$\frac{X - x}{\begin{vmatrix} \frac{\partial y}{\partial u} & \frac{\partial z}{\partial u} \\ \frac{\partial y}{\partial v} & \frac{\partial z}{\partial v} \end{vmatrix}} = \frac{Y - y}{\begin{vmatrix} \frac{\partial z}{\partial u} & \frac{\partial x}{\partial u} \\ \frac{\partial z}{\partial v} & \frac{\partial x}{\partial v} \end{vmatrix}} = \frac{Z - z}{\begin{vmatrix} \frac{\partial x}{\partial u} & \frac{\partial y}{\partial u} \\ \frac{\partial x}{\partial v} & \frac{\partial y}{\partial v} \end{vmatrix}}$
Vectorială	$(\vec{R} - \vec{r}) \cdot \vec{r}_{12} = 0$ sau $(\vec{R} - \vec{r}) \cdot \vec{N} = 0$	$\vec{R} = \vec{r} + \lambda(\vec{r}_1 \times \vec{r}_2)$ sau $\vec{R} = \vec{r} + \lambda \vec{N}$

în care sînt duse planul tangent și normala; X, Y, Z sînt coordonatele curente; \vec{r} este raza vectorială a punctului M ; \vec{R} este raza vectorială curentă.

Prima formă pătratică (fundamentală). Diferențiala arcului ds al curbei situate pe suprafață și care trece prin punctul $M(u, v)$ * (elementul liniar al suprafeței) se află prin formula

$$ds^2 = E du^2 + 2F du dv + G dv^2 \quad (*)$$

unde

$$E = \left(\frac{\partial x}{\partial u} \right)^2 + \left(\frac{\partial y}{\partial u} \right)^2 + \left(\frac{\partial z}{\partial u} \right)^2 = \vec{r}_1^2;$$

$$F = \frac{\partial x}{\partial u} \frac{\partial x}{\partial v} + \frac{\partial y}{\partial u} \frac{\partial y}{\partial v} + \frac{\partial z}{\partial u} \frac{\partial z}{\partial v} = \vec{r}_1 \vec{r}_2;$$

$$G = \left(\frac{\partial x}{\partial v} \right)^2 + \left(\frac{\partial y}{\partial v} \right)^2 + \left(\frac{\partial z}{\partial v} \right)^2 = \vec{r}_2^2.$$

Partea dreaptă a formulei (*) se numește prima formă pătratică (fundamentală) a suprafeței; coeficienții ei depind numai de poziția punctului M pe suprafață.

Lungimea arcului curbei $u = u(t)$, $v = v(t)$, care se află pe suprafață, este

$$s = \int_{t_0}^{t_1} \sqrt{E \left(\frac{du}{dt} \right)^2 + 2F \frac{du}{dt} \frac{dv}{dt} + G \left(\frac{dv}{dt} \right)^2} dt,$$

unde t_0 și t_1 sînt valorile parametrului t corespunzătoare capetelor arcului.

Două suprafețe diferite, care au aceeași primă formă pătratică, pot fi aplicate una pe alta prin *deformare*, îndoire, (adică fără a modifica lungimile arcelor pe suprafață).

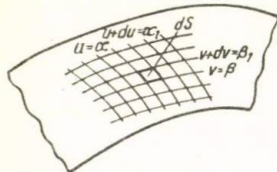


Fig. 1.166.

Aria elementară mărginită de curbele $u = \alpha$, $u + du = \alpha_1$, $v = \beta$, $v + dv = \beta_1$ (fig. 1.166) se află prin formula

$$ds = \sqrt{EG - F^2} du dv.$$

Curbura. Două curbe, care trec prin punctul M al suprafeței și care au în el un plan tangent comun, au în acest punct aceeași curbura (în particular, una dintre aceste curbe poate fi plană, adică poate să se afle în întregime în planul tangent).

Dacă ρ este raza de curbura a unei curbe C pe suprafață, în punctul M , iar R este raza de curbura în punctul M al curbei C_{norm} , obținute din intersecția suprafeței cu planul normal dus prin acest punct și prin tangenta la curba dată (*secțiune normală*), atunci $\rho = R \cos \alpha$,

* u și v sînt coordonatele curbilini ale punctului M .

unde $\alpha = (\vec{n}, \vec{N})$ este unghiul dintre versorul \vec{n} al normalei principale la curba dată și versorul \vec{N} al normalei la suprafață (fig. 1.167);

R trebuie luat pozitiv, dacă versorul \vec{N} al normalei la suprafață este îndreptat spre concavitatea secțiunii normale, și negativ în caz contrar (teorema lui Meusnier).

Secțiunile normale, care trec prin punctul M , cu razele de curbură minimă și maximă se numesc *secțiuni principale*, iar razele de curbură respective R_1 și R_2 sînt *raze de curbură principale*.

Planele secțiunilor principale sînt reciproc perpendiculare. Raza de curbură a oricărei secțiuni normale se exprimă prin razele de curbură principale cu ajutorul formulelor lui Euler:

$$\frac{1}{R} = \frac{\cos^2 \omega}{R_1} + \frac{\sin^2 \omega}{R_2},$$

unde ω este unghiul dintre planul secțiunii considerate și planul uneia dintre secțiunile principale.

Dacă R_1 și R_2 corespundătoare punctului M , au același semn, suprafața (într-o anumită vecinătate a punctului M) este situată de aceeași parte a planului tangent și punctul M se numește *eliptic* (astfel sînt, între altele, toate punctele unui elipsoid). În particular, dacă $R_1 = R_2$, punctul M este *ombilical*.

Dacă R_1 și R_2 sînt cu semne opuse, suprafața se intersectează în punctul M cu planul tangent, iar punctul M este *hiperbolic* (astfel sînt, în particular, toate punctele hiperboloidului cu o singură pînză).

Dacă $R_1 = \infty$ sau $R_2 = \infty$, atunci sau pentru una dintre secțiunile principale punctul M este punct de inflexiune, sau una dintre secțiunile principale este o dreaptă. În acest caz, punctul M este *parabolic* (astfel sînt toate punctele cilindrului).

Expresia $H = \frac{1}{2} \left(\frac{1}{R_1} + \frac{1}{R_2} \right)$ se numește *curbura medie* a suprafeței în punctul dat; expresia $K = 1/R_1 R_2$ se numește *curbura totală* sau *gaussiană*.

Liniile de curbură și liniile geodezice. Curbele de pe suprafață care au în fiecare punct orientarea secțiunilor principale se numesc *linii de curbură**.

Curbele de pe suprafață pentru care în fiecare punct normală principală coincide cu normala la suprafață, se numesc *linii geodezice*.

Dintre toate arcele care se află pe suprafață, și care unesc două puncte date, lungimea minimă o are arcul liniei geodezice.

Liniile geodezice ale unei suprafețe cilindrice circulare sînt spirale, ale unui plan sînt drepte, ale unei suprafețe sferice sînt cercuri mari.

*) A se vedea și Manualul de Geometrie analitică și diferențială, p. 690, de E. Murgulescu ș.a., Editura de Stat Didactică și Pedagogică, București, 1962 (notă Red. E.T.).

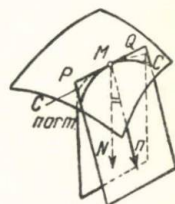


Fig. 1.167.

1.7

Serii infinite

§ 1.18. Serii de numere

Noțiuni de bază. *Suma parțială S_n a seriei de numere $a_1 + a_2 + \dots + a_n + \dots$ se numește suma primilor săi n termeni:*

$$S_n = a_1 + a_2 + \dots + a_n.$$

Dacă $\lim_{n \rightarrow \infty} S_n$ există și este finită, seria se numește convergentă și limita menționată se numește suma seriei: $S = \lim_{n \rightarrow \infty} S_n$.

Dacă $\lim_{n \rightarrow \infty} S_n$ nu există sau este infinită, seria se numește divergentă. De exemplu, o progresie geometrică infinită cu rația q : $a + aq + aq^2 + \dots + aq^n + \dots$ este convergentă, dacă $-1 < q < 1$, și divergentă dacă $|q| \geq 1$.

Suma progresiei geometrice infinite convergente se calculează după formula

$$S = \frac{a}{1 - q}.$$

Neglijarea unui număr finit de termeni ai unei serii (sau modificarea mărimilor acestor termeni) nu distruge convergența sau divergența seriei.

Restul unei serii convergente se numește diferența dintre suma sa și suma parțială: $R_n = S - S_n = a_{n+1} + a_{n+2} + \dots$

Criteriile de convergență ale seriilor. Dacă o serie este convergentă limita termenului său general este nulă $\lim_{n \rightarrow \infty} a_n = 0$ (criteriul necesar

de convergență). Acest criteriu este insuficient. Astfel, de exemplu seria armonică $1 + \frac{1}{2} + \frac{1}{3} + \dots + \frac{1}{n} + \dots$ este divergentă deși cri-

teriul necesar este satisfăcut, deoarece $\lim_{n \rightarrow \infty} \frac{1}{n} = 0$.

Compararea seriilor. Fie date două serii pozitive (adică două serii cu termeni pozitivi): $a_1 + a_2 + \dots + a_n + \dots$ și $b_1 + b_2 + \dots + b_n + \dots$. Dacă prima serie este convergentă și $b_n \leq a_n$, seria a doua este și ea convergentă. Dacă prima serie este divergentă și $b_n \geq a_n$, seria a doua este divergentă și ea.

Criteriul lui D'Alembert. Dacă seria este cu termeni pozitivi și dacă există o constantă $q < 1$ astfel încât începând de la un anumit n să fie satisfăcută inegalitatea $\frac{a_{n+1}}{a_n} \leq q < 1$, seria este convergentă.

Dacă începînd cu un anumit n este satisfăcută inegalitatea $\frac{a_{n+1}}{a_n} \geq 1$, seria este divergentă.

În particular, dacă există limita $\lim_{n \rightarrow \infty} \frac{a_{n+1}}{a_n} = k$, seria este convergentă cînd $k < 1$, și divergentă cînd $k > 1$; dacă, însă, $k = 1$, seria poate fi convergentă sau divergentă.

Criteriul lui Cauchy. O serie cu termeni pozitivi este convergentă dacă, începînd cu un anumit n , $\sqrt[n]{a_n} \leq q < 1$, și divergentă, dacă $\sqrt[n]{a_n} \geq 1$.

În particular, dacă există limita $\lim_{n \rightarrow \infty} \sqrt[n]{a_n} = k$, seria este convergentă pentru $k < 1$ și divergentă pentru $k > 1$; în cazul cînd $k = 1$, seria poate fi divergentă sau convergentă.

Criteriul integral de convergență. Termenul general a_n al unei serii $a_1 + a_2 + \dots + a_n + \dots$ este o funcție de numărul n : $a_n = f(n)$.

Dacă funcția $f(x)$, care coincide cu $f(n)$ pentru $x = n$ (n este un număr întreg pozitiv), este continuă și monotonă pentru orice valoare $x \geq \alpha$ (α este un număr arbitrar), seria dată este convergentă, dacă integrala $\int_{\alpha}^{\infty} f(x) dx$ este convergentă și divergentă, dacă această integrală este divergentă (p. 128).

Exemplu. Seria $1 + \frac{1}{2^p} + \frac{1}{3^p} + \dots + \frac{1}{n^p} + \dots$ este convergentă pentru $p > 1$ și divergentă pentru $p < 1$, deoarece funcția $f(x) = \frac{1}{x^p}$ este monotonă și continuă pentru $x \geq 1$, iar integrala

$$\int_1^{\infty} \frac{dx}{x^p} = \lim_{A \rightarrow \infty} \int_1^A \frac{dx}{x^p} = \lim_{A \rightarrow \infty} \left[\frac{1}{p-1} - \frac{1}{(p-1)A^{p-1}} \right]$$

este convergentă (și este egală cu $\frac{1}{p-1}$) pentru $p > 1$ și divergentă (este infinită) pentru $p < 1$.

Pentru $p = 1$ seria este de asemenea divergentă (în acest caz avem seria armonică), deoarece

$$\int_1^{\infty} \frac{dx}{x} = \lim_{A \rightarrow \infty} \int_1^A \frac{dx}{x} = \lim_{A \rightarrow \infty} \ln A = \infty$$

Criteriul lui Lobacevski. Dacă termenii seriei $\sum_{n=1}^{\infty} f(n)$ scad monoton,

seria este convergentă sau divergentă simultan cu seria $\sum_{m=1}^{\infty} p_m 2^{-m}$, unde p_m se determină din inegalitățile

$$f(p_m) \geq 2^{-m}, \quad f(p_m + 1) \leq 2^{-m}.$$

Se poate, de asemenea, determina p_m din relația $f(p_m) = 2^{-m}$, dacă funcția $f(x)$ este monotonă și definită pentru orice valori ale lui x .

Exemplu. Să se studieze convergența seriei $\sum_{n=1}^{\infty} \frac{1}{n^2}$.

Din ecuația $\frac{1}{p_m} = 2^{-m}$ se determină $p_m = 2^{\frac{m}{2}}$ și se formează

seria $\sum_{n=1}^{\infty} p_m 2^{-m} = \sum_{n=1}^{\infty} 2^{-\frac{m}{2}}$. Această serie este o progresie geometrică convergentă și, prin urmare, seria $\sum_{n=1}^{\infty} \frac{1}{n^2}$ este convergentă și ea.

Criteriul lui V.P. Ermakov. Fie pentru $x \geq \alpha$ (α este un număr arbitrar) o funcție $f(x)$ monotonă și continuă; în acest caz, seria cu termenul general $a_n = f(n)$ este convergentă dacă există o constantă $q < 1$, astfel încît pentru orice $x > \alpha$ să avem

$$\frac{\varphi'(x) f[\varphi(x)]}{f(x)} \leq q < 1,$$

și divergentă, dacă pentru orice $x > \alpha$ avem

$$\frac{\varphi'(x) f[\varphi(x)]}{f(x)} > 1,$$

unde $\varphi(x)$ este o funcție derivabilă oarecare, care satisface condiția $\varphi(x) > x$ pentru $x > \alpha$.

Dacă există

$$\lim_{x \rightarrow \infty} \frac{\varphi'(x) f[\varphi(x)]}{f(x)} = K,$$

seria este convergentă pentru $K < 1$ și divergentă pentru $K > 1$.

În particular, dacă $\varphi(x) = e^x$, atunci

$$K = \lim_{x \rightarrow \infty} \frac{e^x f(e^x)}{f(x)}.$$

Criteriul lui d'Alembert poate fi obținut din criteriul lui Ermakov, dacă $\varphi(x) = x + 1$.

Exemplu. Luînd pentru seria

$$\frac{1}{1 \cdot 2} + \frac{1}{3 \cdot 4} + \frac{1}{5 \cdot 6} + \dots + \frac{1}{(2n-1)2n} + \dots$$

$\varphi(x) = e^x$, obținem:

$$f(x) = \frac{1}{(2x-1)2x}; \quad f[\varphi(x)] = \frac{1}{(2e^x-1)2e^x};$$

$$\varphi'(x) = e^x$$

$$\text{și } \lim_{x \rightarrow \infty} \frac{\varphi'(x) f[\varphi(x)]}{f(x)} = \lim_{x \rightarrow \infty} \frac{x(2x-1)}{2e^x-1} = 0 < 1.$$

Prin urmare, seria dată este convergentă.

Serii alternate. Un criteriu suficient de convergență pentru seria alternată $u_1 - u_2 + u_3 - u_4 + \dots + (-1)^{n+1}u_n + \dots$ (aici cu u_1, u_2, \dots sînt notate mărimile absolute (modulele) ale termenilor seriei) este: dacă $\lim_{n \rightarrow \infty} u_n = 0$ și dacă începînd de la un anumit n (adică pentru toți $n \geq N$) modulele termenilor seriei variază monoton ($u_n \geq u_{n+1} \geq \dots$), seria alternată este convergentă (*teorema lui Leibniz*).

Dacă seria satisface condițiile teoremei lui Leibniz, valoarea absolută a restului seriei pentru $n \geq N$ nu depășește valoarea absolută a primului termen neglijat al seriei $|R_n| \leq u_{n+1}$.

De exemplu, seria $1 - \frac{1}{2} + \frac{1}{3} - \frac{1}{4} + \dots$ este convergentă, deoarece ambele condiții care intervin în criteriul lui Leibniz sînt satisfăcute.

Convergența absolută și relativă. Dacă seria $|a_1| + |a_2| + \dots + |a_n| + \dots$ formată din modulele termenilor seriei $a_1 + a_2 + \dots + a_n + \dots$ este convergentă, seria dată este convergentă și ea și se numește *serie absolut convergentă*.

De exemplu, seria $1 - \frac{1}{2^2} + \frac{1}{3^2} - \frac{1}{4^2} + \dots$ este absolut convergentă, deoarece seria ai cărei termeni sînt modulele termenilor acestei serii este convergentă, așa cum se poate stabili, de exemplu, cu ajutorul criteriului integral.

Se poate întîmpla ca o serie alternată să fie convergentă, iar seria modulelor termenilor să fie divergentă. O astfel de serie se numește *semiconvergentă* (sau *relativ convergentă*).

De exemplu, seria $1 - \frac{1}{2} + \frac{1}{3} - \frac{1}{4} + \dots$ este convergentă (v. teorema lui Leibniz), în timp ce seria modulelor termenilor săi (seria armonică) este divergentă; prin urmare, seria dată este semiconvergentă.

Proprietățile seriilor absolut convergente și semiconvergente. Proprietatea de comutativitate, care este valabilă pentru sume finite, se extinde numai asupra seriilor absolut convergente: orice permutare de termeni ai unei serii absolut convergente nu modifică nici convergența acestei serii, nici suma sa. Pentru o serie semiconvergentă este valabilă următoarea teoremă (*teorema lui Riemann*): prin permutarea corespunzătoare a termenilor unei serii semiconvergente suma sa poate fi făcută egală cu orice număr dinainte dat și seria se poate chiar transforma într-o serie divergentă.

Operațiile cu serii. *Suma (diferența)* seriilor $a_1 + a_2 + \dots + a_n + \dots$ și $b_1 + b_2 + \dots + b_n + \dots$ se numește seria $(a_1 \pm b_1) + (a_2 \pm b_2) + \dots$... $+(a_n \pm b_n) + \dots$

Dacă seriile date sînt convergente, suma (diferența) lor este și ea o serie convergentă, iar suma acestei serii este egală cu suma (diferența) sumelor seriilor date. Suma (diferența) unor serii absolut convergente este de asemenea o serie absolut convergentă.

Dacă seriile date sînt divergente, suma (diferența) lor poate totuși să fie convergentă (și chiar în mod absolut); dacă, însă, una dintre seriile date este convergentă, iar cealaltă este divergentă, suma (diferența) lor este totdeauna o serie divergentă.

Produsul seriilor $a_1 + a_2 + \dots + a_n + \dots$, $b_1 + b_2 + \dots + b_n + \dots$ se numește seria $c_1 + c_2 + \dots + c_n + \dots$ cu termenul general $c_n = a_1 b_n + a_2 b_{n-1} + \dots + a_n b_1$.

Dacă fiecare dintre cele două serii date este convergentă și cel puțin una absolut convergentă, produsul lor este o serie convergentă, a cărei sumă este egală cu produsul sumelor seriilor date. Dacă ambele serii sînt absolut convergente produsul lor este și el o serie absolut convergentă.

Sumele unor serii de numere

$$1) \ 1 + \frac{1}{2} + \frac{1}{4} + \frac{1}{8} + \dots + \frac{1}{2^n} + \dots = 2.$$

$$2) \ 1 - \frac{1}{2} + \frac{1}{4} - \frac{1}{8} + \dots \pm \frac{1}{2^n} \mp \dots = \frac{2}{3}.$$

$$3) \ 1 - \frac{1}{2} + \frac{1}{3} - \frac{1}{4} + \dots \pm \frac{1}{n} \mp \dots = \ln 2.$$

$$4) \ 1 - \frac{1}{3} + \frac{1}{5} - \frac{1}{7} + \dots \pm \frac{1}{2n-1} \mp \dots = \frac{\pi}{4}.$$

$$5) \ 1 + \frac{1}{1!} + \frac{1}{2!} + \frac{1}{3!} + \dots + \frac{1}{n!} + \dots = e.$$

$$6) \ 1 - \frac{1}{1!} + \frac{1}{2!} - \frac{1}{3!} + \dots \pm \frac{1}{n!} \mp \dots = \frac{1}{e}.$$

$$7) \ 1 - \frac{1}{3!} + \frac{1}{5!} - \frac{1}{7!} + \dots \pm \frac{1}{(2n-1)!} \mp \dots = \sin 1.$$

$$8) \ 1 - \frac{1}{2!} + \frac{1}{4!} - \frac{1}{6!} + \dots \pm \frac{1}{(2n-2)!} \mp \dots = \cos 1.$$

$$9) \ \frac{1}{1 \cdot 2} + \frac{1}{2 \cdot 3} + \frac{1}{3 \cdot 4} + \dots + \frac{1}{n(n+1)} + \dots = 1.$$

$$10) \frac{1}{1 \cdot 3} + \frac{1}{3 \cdot 5} + \frac{1}{5 \cdot 7} + \dots + \frac{1}{(2n-1)(2n+1)} + \dots = \frac{1}{2}.$$

$$11) \frac{1}{1 \cdot 3} + \frac{1}{2 \cdot 4} + \frac{1}{3 \cdot 5} + \dots + \frac{1}{(n-1)(n+1)} + \dots = \frac{3}{4}.$$

$$12) \frac{1}{3 \cdot 5} + \frac{1}{7 \cdot 9} + \frac{1}{11 \cdot 13} + \dots + \frac{1}{(4n-1)(4n+1)} + \dots = \frac{1}{2} - \frac{\pi}{8}.$$

$$13) \frac{1}{1 \cdot 2 \cdot 3} + \frac{1}{2 \cdot 3 \cdot 4} + \frac{1}{3 \cdot 4 \cdot 5} + \dots + \frac{1}{n(n+1)(n+2)} + \dots = \frac{1}{4}.$$

$$14) \frac{1}{1 \cdot 2 \dots k} + \frac{1}{2 \cdot 3 \dots (k+1)} + \frac{1}{3 \cdot 4 \dots (k+2)} + \dots + \\ + \frac{1}{n(n+1) \dots (n+k-1)} + \dots = \frac{1}{(k-1)(k-1)!}.$$

$$15) 1 + \frac{1}{2^2} + \frac{1}{3^2} + \frac{1}{4^2} + \dots + \frac{1}{n^2} + \dots = \frac{\pi^2}{6}.$$

$$16) 1 - \frac{1}{2^2} + \frac{1}{3^2} - \frac{1}{4^2} + \dots \pm \frac{1}{n^2} \mp \dots = \frac{\pi^2}{12}.$$

$$17) 1 + \frac{1}{3^2} + \frac{1}{5^2} + \frac{1}{7^2} + \dots + \frac{1}{(2n+1)^2} + \dots = \frac{\pi^2}{8}.$$

$$18) 1 - \frac{1}{3^2} + \frac{1}{5^2} - \frac{1}{7^2} + \dots \pm \frac{1}{(2n+1)^2} \mp \dots = \frac{\pi^2}{32}.$$

$$19) 1 + \frac{1}{2^4} + \frac{1}{3^4} + \frac{1}{4^4} + \dots + \frac{1}{n^4} + \dots = \frac{\pi^4}{90}.$$

$$20) 1 - \frac{1}{2^4} + \frac{1}{3^4} - \frac{1}{4^4} + \dots \pm \frac{1}{n^4} \mp \dots = \frac{7\pi^4}{720}.$$

$$21) 1 + \frac{1}{3^4} + \frac{1}{5^4} + \frac{1}{7^4} + \dots + \frac{1}{(2n+1)^4} + \dots = \frac{\pi^4}{96}.$$

§ 1.19. Serii de funcții

Convergența. Domeniul de convergență al unei serii de funcții $f_0(x) + f_1(x) + \dots + f_n(x) + \dots$ se numește ansamblul tuturor valorilor argumentului x pentru care această serie este convergentă.

Suma acestei serii se numește $\lim_{n \rightarrow \infty} S_n(x) = S(x)$, unde

$$S_n(x) = f_0(x) + f_1(x) + \dots + f_n(x).$$

Domeniul de convergență al unei serii de puteri

$$a_0 + a_1x + a_2x^2 + \dots + a_nx^n + \dots$$

este întotdeauna intervalul (*intervalul de convergență*) cu centrul în punctul $x = 0$; în toate punctele interioare ale acestui interval seria este absolut convergentă; la capetele intervalului de convergență, ea poate sau să fie convergentă, sau să fie divergentă. O jumătate din lungimea intervalului de convergență se numește *raza de convergență a seriei*. Raza de convergență r a seriei de puteri se determină după formula $\frac{1}{r} = \lim_{n \rightarrow \infty} \sqrt[n]{|a_n|}$ (dacă această limită există sau este infinită).

Dacă raza de convergență este nulă, seria este convergentă numai în punctul $x = 0$; dacă raza de convergență este infinită, seria este convergentă pentru toate valorile argumentului ($-\infty < x < \infty$).

Pentru seria de puteri cu forma mai generală

$$a_0 + a_1(x - \alpha) + a_2(x - \alpha)^2 + \dots + a_n(x - \alpha)^n + \dots$$

centrul intervalului de convergență este punctul $x = \alpha$.

Se poate, fără a recurge la formula de mai sus pentru raza de convergență (care de altfel nici nu este totdeauna aplicabilă), să se determine intervalul de convergență al unei serii de puteri în mod direct, aplicind criteriile de convergență ale seriilor cu termeni pozitivi seriei compuse din valorile absolute ale termenilor seriei de puteri studiate. Pentru cercetarea convergenței la capetele intervalului, criteriile lui Cauchy și d'Alembert nu rezolvă, de cele mai multe ori, problema convergenței și atunci trebuie să recurgem la alte criterii (criteriul integral al lui Leibniz etc.).

Exemplu. Să se determine intervalul de convergență al seriei

$$\frac{x+1}{2 \cdot 1} + \frac{(x+1)^2}{2^2 \cdot 2} + \frac{(x+1)^3}{2^3 \cdot 3} + \dots + \frac{(x+1)^n}{2^n \cdot n} + \dots$$

Termenul general al seriei: $u_n = (x+1)^n / 2^n n$. Aplicind criteriul lui d'Alembert seriei compuse din modulele termenilor seriei date, se obține

$$\lim_{n \rightarrow \infty} \frac{|u_{n+1}|}{|u_n|} = \lim_{n \rightarrow \infty} \left| \frac{(x+1)^{n+1} 2^n n}{(x+1)^n 2^{n+1} (n+1)} \right| = \frac{|x+1|}{2} < 1.$$

Rezolvind inegalitatea, se găsește intervalul de convergență $-3 < x < 1$. Pentru $x = 1$ obținem seria armonică, serie divergentă, iar pentru $x = -3$ avem seria $-1 + 1/2 - 1/3 + \dots$, serie semiconvergentă. Deci, seria este convergentă dacă $-3 \leq x < 1$.

Convergența uniformă. Seria de funcții

$$f_0(x) + f_1(x) + \dots + f_n(x) + \dots$$

se numește *uniform convergentă* într-un anumit domeniu, dacă pentru orice $\varepsilon > 0$ există întotdeauna un $N(\varepsilon)$, astfel încît pentru $n > N(\varepsilon)$, pentru toate valorile lui x care aparțin acestui domeniu, să aibă loc inegalitatea $|R_n(x)| < \varepsilon$, unde $R_n(x) = f_{n+1}(x) + f_{n+2}(x) + \dots$

Dacă modulele termenilor seriei de funcții date nu depășesc, într-un anumit domeniu, mărimile termenilor respectivi ai unei serii convergente de numere pozitive, seria dată este uniform convergentă în acest domeniu (*criteriul lui Weierstrass*). Dacă seria este uniform convergentă într-un anumit interval, suma sa $S(x)$ este continuă și seria poate fi integrată termen cu termen în intervalul dat, adică pentru toate valorile x și a care aparțin intervalului dat, are loc egalitatea

$$\int_a^x S(x) dx = \int_a^x f_0(x) dx + \int_a^x f_1(x) dx + \dots + \int_a^x f_n(x) dx + \dots,$$

iar seria din partea dreaptă este uniform convergentă.

Dacă într-un anumit domeniu, derivatele termenilor seriei de funcții date sînt continue și seria formată din aceste derivate este uniform convergentă, suma acestei din urmă serii este egală cu derivata sumei seriei inițiale, adică

$$S'(x) = f'_0(x) + f'_1(x) + \dots + f'_n(x) + \dots$$

Seria de puteri este uniform convergentă pe orice segment, (interval închis) care se află în întregime în interiorul intervalului de convergență al acestei serii.

Prin derivarea și prin integrarea unei serii de puteri, intervalul de convergență nu variază.

Seriile Taylor și MacLaurin. Seria Taylor permite să reprezentăm o funcție dată $f(x)$ ca sumă a unei serii de puteri

$$f(x) = f(a) + \frac{x-a}{1!} f'(a) + \frac{(x-a)^2}{2!} f''(a) + \dots + \frac{(x-a)^n}{n!} f^{(n)}(a) + \dots$$

Această descompunere este valabilă dacă *restul seriei* $R_n(x) = f(x) - S_n(x)$ tinde spre zero pentru $n \rightarrow \infty$.

$$\text{Aici } S_n(x) = f(a) + \frac{x-a}{1!} f'(a) + \dots + \frac{(x-a)^n}{n!} f^{(n)}(a).$$

Formulele pentru rest:

$$1) R_n(x) = \frac{1}{n!} \int_a^x (x-t)^n f^{(n+1)}(t) dt - \text{forma integrală;}$$

$$2) R_n(x) = \frac{(x-a)^{n+1}}{(n+1)!} f^{(n+1)}[a + \theta(x-a)] \quad (0 < \theta < 1) - \text{forma (restul lui) Lagrange;}$$

$$3) R_n(x) = \frac{(x-a)^{n+1}}{n!} (1-\theta)^n f^{(n+1)}[a + \theta(x-a)] \quad (0 < \theta < 1) - \text{forma (restul lui) Cauchy.}$$

Dezvoltarea unor funcții în serii de puteri

Dezvoltarea în serie	Domeniul de convergență al seriei pentru funcția dată
$(a+x)^n = a^n + na^{n-1}x + \dots + \frac{n(m-1)\dots(m-n+1)}{n!}a^{m-n}x^n + \dots$	$- a < x < a $
$a^x = 1 + \frac{x \ln a}{1!} + \frac{x^2 \ln^2 a}{2!} + \dots + \frac{x^n \ln^n a}{n!} + \dots$	$-\infty < x < +\infty$
$e^x = 1 + \frac{x}{1!} + \frac{x^2}{2!} + \dots + \frac{x^n}{n!} + \dots$	$-\infty < x < +\infty$
$\sin x = \frac{x}{1!} - \frac{x^3}{3!} + \dots + (-1)^n \frac{x^{2n+1}}{(2n+1)!} + \dots$	$-\infty < x < +\infty$
$\cos x = 1 - \frac{x^2}{2!} + \frac{x^4}{4!} - \dots + (-1)^n \frac{x^{2n}}{(2n)!} + \dots$	$-\infty < x < +\infty$
$\operatorname{tg} x = x + \frac{x^3}{3} + \frac{2x^5}{15} + \frac{17x^7}{315} + \frac{62x^9}{2835} + \dots$	$-\frac{\pi}{2} < x < \frac{\pi}{2}$
$\operatorname{ctg} x = \frac{1}{x} - \left\{ \frac{x}{3} + \frac{x^3}{45} + \frac{2x^5}{945} + \frac{x^7}{4725} + \dots \right\}$	$-\pi < x < \pi$, în afară de $x = 0$
$\arcsin x = x + \frac{1 \cdot x^3}{2 \cdot 3} + \frac{1 \cdot 3 \cdot x^5}{2 \cdot 4 \cdot 5} + \frac{1 \cdot 3 \cdot 5 \cdot x^7}{2 \cdot 4 \cdot 6 \cdot 7} + \dots + \frac{1 \cdot 3 \cdot 5 \dots (2n-1) x^{2n+1}}{2 \cdot 4 \cdot 6 \dots (2n) \cdot (2n+1)} + \dots$	$-1 < x < 1$
$\operatorname{arctg} x = x - \frac{x^3}{3} + \frac{x^5}{5} - \dots + (-1)^n \frac{x^{2n+1}}{2n+1} + \dots$	$-1 \leq x \leq 1$
$\operatorname{sh} x = \frac{x}{1!} + \frac{x^3}{3!} + \dots + \frac{x^{2n+1}}{(2n+1)!} + \dots$	$-\infty < x < +\infty$

$\operatorname{ch} x = 1 + \frac{x^2}{2!} + \frac{x^4}{4!} + \dots + \frac{x^{2n}}{(2n)!} + \dots$	$-\infty < x < +\infty$
$\operatorname{th} x = x - \frac{x^3}{3} + \frac{2x^5}{15} - \frac{17x^7}{315} + \dots$	$-\frac{\pi}{2} < x < \frac{\pi}{2}$
$\operatorname{coth} x = \frac{1}{x} + \frac{x}{3} - \frac{x^3}{45} + \frac{2x^5}{945} - \frac{x^7}{4725} + \dots$	$-\pi < x < \pi$, în afară de $x = 0$
$\operatorname{argsh} x = x - \frac{x^3}{2 \cdot 3} + \frac{1 \cdot 3 \cdot x^5}{2 \cdot 4 \cdot 5} - \frac{1 \cdot 3 \cdot 5 \cdot x^7}{2 \cdot 4 \cdot 6 \cdot 7} + \dots + (-1)^n \frac{1 \cdot 3 \cdot 5 \dots (2n-1)x^{2n+1}}{2 \cdot 4 \cdot 6 \dots (2n)(2n+1)} + \dots$	$-1 \leq x \leq 1$
$\operatorname{argtg} x = x + \frac{x^3}{3} - \frac{x^5}{5} + \dots + \frac{x^{2n+1}}{2n+1} + \dots$	$-1 < x < 1$
$\ln(1+x) = x - \frac{x^2}{2} + \frac{x^3}{3} - \dots + (-1)^{n-1} \frac{x^{n-1}}{n} + \dots$	$-1 < x \leq 1$
$\ln x = 2 \left[\frac{x-1}{x+1} + \frac{1}{3} \left(\frac{x-1}{x+1} \right)^3 + \frac{1}{5} \left(\frac{x-1}{x+1} \right)^5 + \dots + \frac{1}{2n+1} \left(\frac{x-1}{x+1} \right)^{2n+1} + \dots \right]$	$x > 0$
$\ln \frac{1+x}{1-x} = 2 \left[x + \frac{x^3}{3} + \frac{x^5}{5} + \dots + \frac{x^{2n+1}}{2n+1} + \dots \right]$	$-1 < x < 1$
$\ln \frac{x+1}{x-1} = 2 \left[\frac{1}{x} + \frac{1}{3x^3} + \frac{1}{5x^5} + \dots + \frac{1}{(2n+1)x^{2n+1}} + \dots \right]$	$x < -1, x > 1$
$\int_0^x \sin x \, dx = \frac{x}{1 \cdot 1!} - \frac{x^3}{3 \cdot 3!} + \frac{x^5}{5 \cdot 5!} - \dots + (-1)^n \frac{x^{2n+1}}{(2n+1)(2n+1)!} + \dots$	$-\infty < x < +\infty$
$\int_0^x e^{-x^2} dx = \frac{x}{1 \cdot 1!} - \frac{x^3}{3 \cdot 3!} + \frac{x^5}{5 \cdot 5!} - \dots + (-1)^n \frac{x^{2n+1}}{(2n+1)n!} + \dots$	$-\infty < x < +\infty$

Egalitatea $f(x) = S_n(x) + R_n(x)$, unde $S_n(x)$ este suma parțială a seriei Taylor, se numește *formula lui Taylor*.

Seria *MacLaurin* se obține din seria Taylor pentru $a = 0$.

$$f(x) = f(0) + \frac{x}{1!} f'(0) + \frac{x^2}{2!} f''(0) + \dots + \frac{x^n}{n!} f^{(n)}(0) + \dots$$

Formulele pentru rest:

$$\begin{aligned} R_n(x) &= \frac{1}{n!} \int_0^x (x-t)^n f^{(n+1)}(t) dt = \frac{x^{n+1}}{(n+1)!} f^{(n+1)}(\theta_1 x) = \\ &= \frac{x^{n+1}}{n!} (1 - \theta_2)^n f^{(n+1)}(\theta_2 x) \quad (0 < \theta_1 < 1, 0 < \theta_2 < 1). \end{aligned}$$

Seria Taylor pentru o funcție de două variabile:

$$\begin{aligned} f(x+h, y+k) &= f(x, y) + \frac{1}{1!} \left[\frac{\partial f(x, y)}{\partial x} h + \frac{\partial f(x, y)}{\partial y} k \right] + \\ &+ \frac{1}{2!} \left[\frac{\partial^2 f(x, y)}{\partial x^2} h^2 + 2 \frac{\partial^2 f(x, y)}{\partial x \partial y} hk + \frac{\partial^2 f(x, y)}{\partial y^2} k^2 \right] + \dots \end{aligned}$$

sau (în scriere simbolică):

$$\begin{aligned} f(x+h, y+k) &= f(x, y) + \frac{1}{1!} \left(\frac{\partial}{\partial x} h + \frac{\partial}{\partial y} k \right) f(x, y) + \\ &+ \frac{1}{2!} \left(\frac{\partial}{\partial x} h + \frac{\partial}{\partial y} k \right)^2 f(x, y) + \dots + \frac{1}{n!} \left(\frac{\partial}{\partial x} h + \frac{\partial}{\partial y} k \right)^n f(x, y) + \dots \end{aligned}$$

Restul seriei:

$$\begin{aligned} R_n(x) &= \frac{1}{(n+1)!} \left(\frac{\partial}{\partial x} h + \frac{\partial}{\partial y} k \right)^{n+1} f(x + \theta_1 h; y + \theta_2 k) \\ &\quad (0 < \theta_1 < 1, 0 < \theta_2 < 1). \end{aligned}$$

Evaluarea restului. Cu ajutorul dezvoltării unei funcții în serii de puteri se calculează valorile aproximative ale funcțiilor algebrice și transcendente. Eroarea făcută la înlocuirea sumei unei serii prin suma sa parțială este egală cu restul seriei. La astfel de calcule trebuie să știm să rezolvăm următoarele trei probleme fundamentale:

1. Să evaluăm eroarea, cunoscând numărul de termeni ai sumei parțiale, sumă considerată ca valoare numerică aproximativă a funcției, adică să evaluăm $|R_n(x)|$ pentru valorile n și x date.

2. Dându-se valoarea maximă, admisibilă, a erorii, să se găsească numărul de termeni ai sumei parțiale, care poate fi luată ca valoare numerică a funcției, adică să se găsească n minim din inegalitatea $|R_n(x)| < \delta$, unde x și δ sînt date.

3. Să se determine valorile argumentului pentru care formula aproximativă, obținută prin înlocuirea sumei seriei cu suma sa parțială,

ală, să dea o eroare care să nu depășească o mărime dată, adică să se rezolve în raport cu x inegalitatea $|R_n(x)| < \delta$, unde n și δ sînt cunoscute.

Exemplul 1. Care este mărimea erorii făcute dacă punem $e \approx 2 + \frac{1}{2!} + \frac{1}{3!} + \frac{1}{4!}$?

În dezvoltarea funcției e^x să scriem restul sub forma lui Lagrange

$$R_n(x) = \frac{x^{n+1}}{(n+1)!} e^{\theta x}; \text{ deoarece } n = 4 \text{ și } x = 1, e^{0x} < e < 3 \text{ și}$$

$$|R_4(1)| < \frac{3}{5!} = 0,025.$$

Exemplul 2. Câți termeni din seria

$$e^x = 1 + \frac{x}{1!} + \frac{x^2}{2!} + \dots$$

trebuie luați pentru a calcula numărul e cu o precizie de 0,0001?

Avem: $R_n(1) = \frac{e^{\theta}}{(n+1)!}$; $e^0 < e < 3$. Prin urmare, este suficient să luăm pe n astfel încît să satisfacă inegalitatea $\frac{3}{(n+1)!} < 0,0001$; valoarea minimă care satisface această inegalitate este $n = 7$ ($8! = 40\,320$); deci cu precizie pînă la 0,0001,

$$e \approx 1 + \frac{1}{1!} + \frac{1}{2!} + \frac{1}{3!} + \frac{1}{4!} + \frac{1}{5!} + \frac{1}{6!} + \frac{1}{7!}.$$

Exemplul 3. Pentru care valori ale lui x formula aproximativă $\cos x \approx 1 - \frac{x^2}{2}$ dă o eroare care nu depășește 0,001?

Aici $n = 3$, $R_3(x) = \frac{\cos \theta x}{4!} x^4$; deoarece $|\cos \theta x| < 1$, urmează că $|R_3(x)| < \frac{x^4}{4!}$. Rezolvînd inegalitatea $\frac{x^4}{4!} < 0,001$, se obține

$$|x| < \sqrt[4]{0,024} \approx 0,394 \text{ (radiani)} \approx 22^\circ 23'.$$

Serii Fourier. Dezvoltarea în serie Fourier. Dacă funcția $f(x)$, definită în intervalul $(-\pi, \pi)$, satisface condițiile lui Dirichlet, adică dacă în acest interval funcția: a) este uniform mărginită (adică există o astfel de constantă M , încît $|f(x)| < M$ în toate punctele intervalului); b) are cel mult un număr finit de puncte de discontinuitate și anume numai de speța întîi; c) are un număr finit de puncte de maxim și de minim, atunci ea poate fi dezvoltată în serie Fourier, adică în serie trigonometrică de forma

$$\frac{a_0}{2} + \sum_{n=1}^{\infty} (a_n \cos nx + b_n \sin nx),$$

unde numerele $a_0, a_1, b_1, \dots, a_n, b_n, \dots$ (coeficienții Fourier) se determină prin formulele lui Euler-Fourier:

$$a_n = \frac{1}{\pi} \int_{-\pi}^{\pi} f(x) \cos nx \, dx \quad (n = 0, 1, 2, \dots),$$

$$b_n = \frac{1}{\pi} \int_{-\pi}^{\pi} f(x) \sin nx \, dx \quad (n = 1, 2, \dots).$$

Rolul intervalului $(-\pi, \pi)$ poate să-l joace orice interval $(a, a + 2\pi)$, în particular intervalul $(0, 2\pi)$. În acest din urmă caz, coeficienții Fourier se calculează prin formulele:

$$a_n = \frac{1}{\pi} \int_0^{2\pi} f(x) \cos nx \, dx \quad (n = 0, 1, 2, \dots),$$

$$b_n = \frac{1}{\pi} \int_0^{2\pi} f(x) \sin nx \, dx \quad (n = 1, 2, \dots).$$

În cazul intervalului $(-\pi, \pi)$ suma seriei Fourier $S(x)$ este egală cu: a) valoarea funcției $f(x)$ în orice punct în care $f(x)$ este continuă; b) media aritmetică a valorilor limitelor la stînga și la dreapta ale lui $f(x)$ (p. 97) în orice punct de discontinuitate (fig. 1.168), adică

$$S(x) = \frac{f(x-0) + f(x+0)}{2},$$

unde

$$f(x-0) = \lim_{\varepsilon \rightarrow 0} f(x-\varepsilon) \quad \text{și} \quad f(x+0) = \lim_{\varepsilon \rightarrow 0} f(x+\varepsilon) \quad (\varepsilon > 0).$$

În afara intervalului $(-\pi, \pi)$ suma seriei este continuarea periodică (cu perioada 2π) a funcției definite mai sus, $S(x)$.

Dacă funcția $f(x)$ este pară, adică $f(-x) = f(x)$, atunci $b_n = 0$ ($n = 1, 2, \dots$) și ea se dezvoltă în seria incompletă Fourier după cosinusurile arcelor multiple:

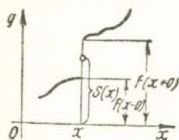


Fig. 1.168.

$$\frac{a_0}{2} + a_1 \cos x + a_2 \cos 2x + \dots + a_n \cos nx + \dots$$

unde coeficienții a_n pot fi calculați prin formulele

$$a_n = \frac{2}{\pi} \int_0^{\pi} f(x) \cos nx \, dx \quad (n = 0, 1, 2, \dots).$$

Dacă funcția $f(x)$ este impară, adică $f(-x) = -f(x)$, atunci $a_n = 0$ ($n = 0, 1, 2, \dots$) și ea se dezvoltă în seria incompletă Fourier după sinusurile arcelor multiple:

$$b_1 \sin x + b_2 \sin 2x + \dots + b_n \sin nx + \dots,$$

unde coeficienții b_n pot fi calculați prin formulele

$$b_n = \frac{2}{\pi} \int_0^{\pi} f(x) \sin nx \, dx \quad (n = 1, 2, \dots).$$

O funcție dată în intervalul $(0, \pi)$ poate fi prelungită în intervalul $(-\pi, 0)$, fie ca funcție pară (fig. 1.169 a), fie ca funcție impară (fig. 1.169 b), după cum dorim; dacă ea satisface condițiile lui Dirichlet

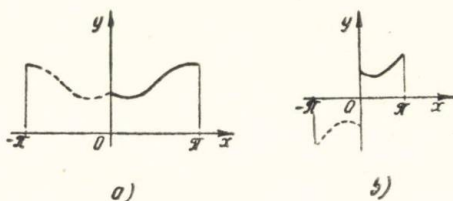


Fig. 1.169.

în intervalul în care este definită, poate fi dezvoltată — după dorință — într-o serie Fourier incompletă, numai după sinusurile, sau numai după cosinusurile arcelor multiple.

În cazul mai general în care funcția $f(x)$ este definită și satisface condițiile lui Dirichlet în intervalul $(-l, l)$, ea poate fi dezvoltată într-o serie de forma

$$\frac{a_0}{2} + \sum_{n=1}^{\infty} \left(a_n \cos \frac{n\pi x}{l} + b_n \sin \frac{n\pi x}{l} \right),$$

unde

$$a_n = \frac{1}{l} \int_{-l}^l f(x) \cos \frac{n\pi x}{l} \, dx, \quad b_n = \frac{1}{l} \int_{-l}^l f(x) \sin \frac{n\pi x}{l} \, dx$$

$$(n = 0, 1, 2, \dots \text{ pentru } a_n \text{ și } 1, 2, \dots \text{ pentru } b_n).$$

Suma unei astfel de serii Fourier, $S(x)$, se determină ca și în cazul particular precedent.

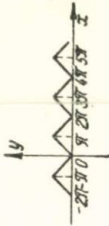
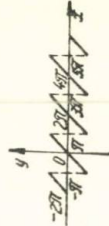
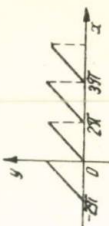
$$\text{Dacă funcția } f(x) \text{ este pară, } b_n = 0 \text{ și } a_n = \frac{2}{l} \int_0^l f(x) \cos \frac{n\pi x}{l} \, dx.$$

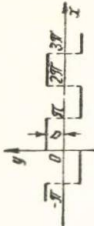
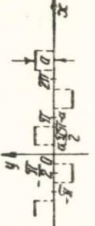


$$\text{Dacă, însă, } f(x) \text{ este impară, atunci } a_n = 0 \text{ și } b_n = \frac{2}{l} \int_0^l f(x) \sin \frac{n\pi x}{l} \, dx.$$

Proprietățile coeficienților Fourier. Dacă o anumită funcție $f(x)$ este aproximată în intervalul (a, b) printr-o funcție $\varphi(x)$, eroarea pătratică medie a acestei aproximații este numărul δ , determinat prin relația

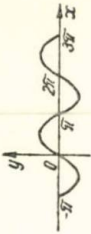
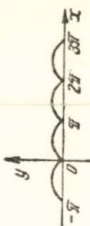


$$\delta^2 = \frac{1}{b-a} \int_a^b [f(x) - \varphi(x)]^2 \, dx.$$

Dezvoltarea unor funcții în serii Fourier

Funcția	Dezvoltarea în serie	Domeniul de convergență al seriei pentru funcția dată	Graficul sumei seriei
$y = x$	$\frac{\pi}{2} - \frac{4}{\pi} \left(\frac{\cos x}{1^2} + \frac{\cos 3x}{3^2} + \frac{\cos 5x}{5^2} + \dots \right)$	$0 \leq x \leq \pi$	
$y = x$	$2 \left(\frac{\sin x}{1} - \frac{\sin 2x}{2} + \frac{\sin 3x}{3} - \dots \right)$	$-\pi < x < \pi$	
$y = x$	$\pi - 2 \left(\frac{\sin x}{1} + \frac{\sin 2x}{2} + \frac{\sin 3x}{3} + \dots \right)$	$0 < x < 2\pi$	

$y = a$	$\frac{4a}{\pi} \left(\frac{\sin x}{1} + \frac{\sin 3x}{3} + \frac{\sin 5x}{5} + \dots \right)$	$0 < x < \pi$	
$y = 0$ pentru $0 \leq x < \alpha$ și pentru $\pi - \alpha < x \leq \pi$; $y = a$ pentru $\alpha < x < \pi - \alpha$	$\frac{4a}{\pi} \left(\frac{\cos \alpha \sin x}{1} + \frac{1}{3} \cos 3\alpha \sin 3x + \dots \right) + \frac{1}{5} \cos 5\alpha \sin 5x + \dots$	$0 \leq x \leq \pi$ în afară de $x = \alpha$ și $x = \pi - \alpha$	
$y = x^2$	$\frac{\pi^2}{3} - 4 \left(\frac{\cos x}{1} - \frac{\cos 2x}{2^2} + \frac{\cos 3x}{3^2} - \dots \right)$	$-\pi \leq x \leq \pi$	
$y = x(\pi - x)$	$\frac{\pi^2}{6} - \left(\frac{\cos 2x}{1^2} + \frac{\cos 4x}{2^2} + \frac{\cos 6x}{3^2} + \dots \right)$	$0 \leq x \leq \pi$	

(continuare)

$y = x(\pi - x)$	$\frac{8}{\pi} \left(\frac{\sin x}{1^3} + \frac{\sin 3x}{3^3} + \frac{\sin 5x}{5^3} + \dots \right)$	$0 \leq x \leq \pi$	
$y = \sin x$	$\frac{2}{\pi} - \frac{4}{\pi} \left(\frac{\cos 2x}{1 \cdot 3} + \frac{\cos 4x}{3 \cdot 5} + \frac{\cos 6x}{5 \cdot 7} + \dots \right)$	$0 \leq x \leq \pi$	
$y = \cos x$	$\frac{8}{\pi} \left(\frac{\sin 2x}{1 \cdot 3} + \frac{2 \sin 4x}{3 \cdot 5} + \frac{3 \sin 6x}{5 \cdot 7} + \dots \right)$	$0 < x < \pi$	
$y = e^x$	$\frac{1}{\pi} \operatorname{sh} \pi + \frac{2}{\pi} \operatorname{sh} \pi \sum_{k=1}^{\infty} (-1)^k \frac{\cos kx - k \sin kx}{1 + k^2}$	$-\pi < x < \pi$	

Coeficienții Fourier ai dezvoltării funcției $f(x)$ au următoarea *proprietate minimală*: eroarea pătratică medie datorită aproximării funcției $f(x)$ în intervalul $(-\pi, \pi)$ prin intermediul polinomului trigonometric de ordinul n , $\frac{a_0}{2} + a_1 \cos x + b_1 \sin x + a_2 \cos 2x + b_2 \sin 2x + \dots + a_n \cos nx + b_n \sin nx$ este minimă, dacă coeficienții acestui polinom sînt egali cu coeficienții Fourier respectivi ai dezvoltării funcției $f(x)$.

Coeficienții Fourier ai dezvoltării funcției $f(x)$ sînt legați de valoarea pătratică medie a acestei funcții prin *egalitatea lui Parseval*:

$$\frac{a_0^2}{2} + \sum_{k=1}^{\infty} (a_k^2 + b_k^2) = \frac{1}{\pi} \int_{-\pi}^{\pi} [f(x)]^2 dx.$$

Dacă funcția $f(x)$ satisface în orice interval finit condițiile lui Dirichlet și dacă integrala $\int_{-\infty}^{\infty} |f(x)| dx$ este convergentă, avem formula de dezvoltare a funcției în serie Fourier (*integrala Fourier*) (pentru $l \rightarrow \infty$).

$$f(x) = \frac{1}{\pi} \int_0^{\infty} ds \int_{-\infty}^{\infty} f(t) \cos s(t-x) dt.$$

1.8

Calculul vectorial

§ 1.20. Algebra vectorială

Noțiuni fundamentale. Mărimile caracterizate de un singur număr pozitiv sau negativ se numesc *mărimi scalare* sau *scalari* (lungimea, temperatura, masa, lucrul mecanic etc.). Mărimile, pentru determinarea cărora este necesar să se cunoască dimensiunile și orientarea lor în spațiu, se numesc *mărimi vectoriale* sau *vectori* (forța, viteza, accelerația etc.). Geometric, o mărime vectorială se reprezintă printr-un segment orientat AB și se notează $\overrightarrow{AB} = \vec{a}$ (fig. 1.170). Punctul A se numește *origine* (*punct de aplicație*), iar punctul B se numește *capătul* vectorului. Lungimea vectorului \vec{a} se notează $|\vec{a}|$ sau a . Ea se numește și *modulul* vectorului.

Vectorul zero (0) este vectorul a cărui origine și al cărui capăt coincid; lungimea lui este egală cu zero și direcția, nedeterminată.



Fig. 1.170.

Doi vectori se consideră egali ($\vec{a} = \vec{b}$) dacă lungimile lor sînt egale și dacă au aceeași orientare.

Vectorii paraleli cu aceeași dreaptă se numesc *coliniari*. Doi vectori se numesc *opuși* dacă sînt egali ca lungime și opuși ca sens.

Vectorii așezați într-un același plan sau în plane paralele se numesc *coplanari*.

Versorul sau *vectorul unitar* al vectorului \vec{a} se numește vectorul care coincide cu el ca direcție și are lungimea egală cu unitatea (notația: \vec{a}°).

Versorii axelor de coordonate se notează prin \vec{i} , \vec{j} , \vec{k} .

Proiecțiile vectorului \vec{a} pe axele unui sistem de coordonate ortogonal (fig. 1.171) sînt legate de lungimea vectorului și de cosinusurile sale directoare prin relațiile:

$$a_x = |\vec{a}| \cos(\vec{a}, x); \quad a_y = |\vec{a}| \cos(\vec{a}, y); \quad a_z = |\vec{a}| \cos(\vec{a}, z).$$

Proiecția este pozitivă sau negativă, în funcție de faptul dacă vectorul formează un unghi ascuțit sau un unghi obtuz cu direcția pozitivă a axei de coordonate respective.

Vectorul este perfect determinat de trei scalari, proiecțiile sale pe axele de coordonate.

Proiecțiile a_x, a_y, a_z se numesc și *coordonatele* vectorului în sistemul de coordonate $Oxyz$.

Dacă x_1, y_1, z_1 sînt coordonatele originii vectorului, iar x_2, y_2, z_2 sînt coordonatele vîrfului său, atunci $a_x = x_2 - x_1$; $a_y = y_2 - y_1$; $a_z = z_2 - z_1$.

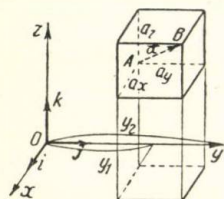


Fig. 1.171.

Lungimea vectorului \vec{a} și cosinusurile sale directoare se determină prin proiecțiile vectorului după formulele:

$$|\vec{a}| = \sqrt{a_x^2 + a_y^2 + a_z^2};$$

$$\cos(\vec{a}, x) = \frac{a_x}{\sqrt{a_x^2 + a_y^2 + a_z^2}};$$

$$\cos(\vec{a}, y) = \frac{a_y}{\sqrt{a_x^2 + a_y^2 + a_z^2}};$$

$$\cos(\vec{a}, z) = \frac{a_z}{\sqrt{a_x^2 + a_y^2 + a_z^2}}.$$

Vectorul $\overrightarrow{OM} = \vec{r}$ se numește *rază vectorie* a punctului M dacă originea sa coincide cu originea axelor de coordonate și vârful său cu punctul M ; proiecțiile razei vectorie \vec{r} (fig. 1.172) sînt egale cu coordonatele punctului M : $r_x = x$; $r_y = y$, $r_z = z$.

Operațiile cu vectorii. Sumă a doi vectori $\vec{a} = \overrightarrow{AB}$ și $\vec{b} = \overrightarrow{BC}$ se numește vectorul $\vec{c} = \overrightarrow{AC}$ (fig. 1.173) care unește originea A a primului termen a cu vârful C al termenului al doilea b : $\vec{c} = \vec{a} + \vec{b}$.

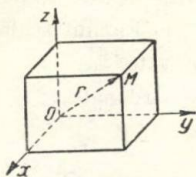


Fig. 1.172.

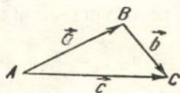


Fig. 1.173.

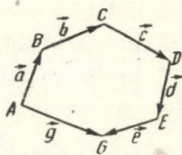


Fig. 1.174.

Suma vectorilor $\vec{a}, \vec{b}, \dots, \vec{e}$ (fig. 1.174) este vectorul $\vec{g} = \overrightarrow{AG}$ care închide poligonul $ABC\dots G$, compus din vectorii-termeni;

$$\vec{g} = \vec{a} + \vec{b} + \vec{c} + \dots + \vec{e}.$$

Suma vectorială are proprietatea de *comutativitate*: $\vec{a} + \vec{b} = \vec{b} + \vec{a}$ și proprietatea de *asociativitate* $(\vec{a} + \vec{b}) + \vec{c} = \vec{a} + (\vec{b} + \vec{c})$.

Diferența dintre doi vectori $\vec{a} = \overrightarrow{AB}$ și $\vec{b} = \overrightarrow{BC}$ (fig. 1.175) se numește vectorul $\vec{c}' = \overrightarrow{AC'}$ care unește originea A a vectorului \vec{a} cu vârful C al vectorului $-\vec{b}$, opus vectorului \vec{b} ($\overrightarrow{BC'} = -\overrightarrow{BC}$). Această diferență este suma vectorilor \vec{a} și $-\vec{b}$: $\vec{c} = \vec{a} - \vec{b} = \vec{a} + (-\vec{b})$.

Suma și diferența a doi vectori \vec{a} și \vec{b} (fig. 1.176) pot fi obținute ca cei doi vectori diagonali ai paralelogramului \vec{c} și \vec{c}' , construit pe vectorii \vec{a} și \vec{b} .

Pentru modulul vectorului sumă și modulul vectorului-diferență avem inegalitățile

$$|\vec{a}| - |\vec{b}| \leq |\vec{a} \pm \vec{b}| \leq |\vec{a}| + |\vec{b}|.$$

Coordonatele vectorului-sumă și ale vectorului-diferență a doi vectori sînt egale respectiv cu suma și diferența coordonatelor vectorilor componenți, adică dacă $\vec{c} = \vec{a} \pm \vec{b}$, atunci $c_x = a_x \pm b_x$; $c_y = a_y \pm b_y$; $c_z = a_z \pm b_z$.

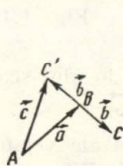


Fig. 1.175.

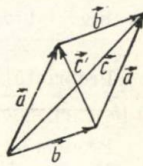


Fig. 1.176.

Produsul dintre scalarul m și vectorul \vec{a} este un vector coliniar cu \vec{a} , de lungime $|m| \cdot |\vec{a}|$, cu direcția lui \vec{a} pentru $m > 0$ și cu direcția opusă lui \vec{a} pentru $m < 0$.

Proprietăți fundamentale: $m\vec{a} = \vec{am}$; $m(n\vec{a}) = n(m\vec{a})$; $(m+n)\vec{a} = m\vec{a} + n\vec{a}$; $m(\vec{a} + \vec{b}) = m\vec{a} + m\vec{b}$.

Dacă vectorul \vec{b} este coliniar cu vectorul \vec{a} , atunci $\vec{b} = m\vec{a}$.

Dacă vectorii \vec{a} , \vec{b} și \vec{c} sînt coplanari, unul dintre ei este o combinație liniară a celorlalți doi, adică $\vec{c} = m\vec{a} + n\vec{b}$ (m și n sînt scalari).

Expresia vectorului \vec{a} prin versorul său \vec{a}^0 este: $\vec{a} = |\vec{a}| \cdot \vec{a}^0$.

Expresia vectorului \vec{a} prin versorii axelor de coordonate:

$$\vec{a} = a_x \vec{i} + a_y \vec{j} + a_z \vec{k}.$$

Vectorii $a_x \vec{i}$, $a_y \vec{j}$, $a_z \vec{k}$ se numesc *componentele* vectorului \vec{a} pe axele de coordonate.

În particular, pentru raza vectorie \vec{r} a punctului $M(x, y, z)$ (fig. 1.177) avem $\vec{r} = x\vec{i} + y\vec{j} + z\vec{k}$.

Produsul scalar a doi vectori \vec{a} și \vec{b} (notația $\vec{a}\vec{b}$) se numește produsul lungimilor vectorilor factori cu cosinusul unghiului dintre ele sau, cu alte cuvinte, produsul dintre lungimea unuia dintre vectorii factori și proiecția celui de al doilea (fig. 1.178) pe direcția primului:

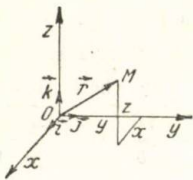


Fig. 1.177.

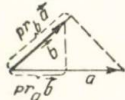


Fig. 1.178.

$$\begin{aligned} \vec{a}\vec{b} &= |\vec{a}| |\vec{b}| \cos \widehat{(\vec{a}, \vec{b})} = \\ &= |\vec{a}| \text{pr}_a \vec{b} = |\vec{b}| \text{pr}_b \vec{a}. \end{aligned}$$

Proprietățile produsului scalar: $\vec{a}\vec{b} = \vec{b}\vec{a}$; $m \cdot \vec{a}\vec{b} = m\vec{a} \cdot \vec{b} = \vec{a} \cdot m\vec{b}$; $\vec{a}(\vec{b} + \vec{c}) = \vec{a}\vec{b} + \vec{a}\vec{c}$.

Produsele scalare ale versurilor axelor de coordonate: $\vec{i}\vec{i} = \vec{j}\vec{j} = \vec{k}\vec{k} = 1$; $\vec{i}\vec{j} = \vec{j}\vec{k} = \vec{k}\vec{i} = 0$.

Expresia produsului scalar a doi vectori prin coordonatele vectorilor factori $\vec{a}\vec{b} = a_x b_x + a_y b_y + a_z b_z$.

Unghiul dintre vectorii \vec{a} și \vec{b} se determină după formula

$$\cos \widehat{(\vec{a}, \vec{b})} = \frac{\vec{a}\vec{b}}{|\vec{a}| |\vec{b}|} = \frac{a_x b_x + a_y b_y + a_z b_z}{\sqrt{a_x^2 + a_y^2 + a_z^2} \sqrt{b_x^2 + b_y^2 + b_z^2}}.$$

Condiția de perpendicularitate a doi vectori: $\vec{a}\vec{b} = 0$ sau, cu ajutorul proiecțiilor, $a_x b_x + a_y b_y + a_z b_z = 0$.

Produsul vectorial a doi vectori \vec{a} și \vec{b} (notația: $[\vec{a} \vec{b}]$ sau $\vec{a} \times \vec{b}$) este un vector \vec{c} cu lungimea numeric egală (fig. 1.179) cu aria paralelogramului construit pe vectorii factori, orientat perpendicular pe planul paralelogramului, astfel încît vectorii \vec{a} , \vec{b} și \vec{c} să formeze un triedru drept, adică rotația cea mai mică de la \vec{a} la \vec{b} , dacă privim din capătul vectorului \vec{c} , să se efectueze în sens contrar sensului de mișcare a acelor de ceasornic.

Modulul produsului vectorial este legat de modulele vectorilor-factori prin relația $|\vec{c}| = |\vec{a} \times$

$$\vec{b}| = |\vec{a}| |\vec{b}| \sin(\vec{a}, \vec{b}).$$

La permutarea vectorilor-factori, produsul vectorial își schimbă orientarea, astfel că $\vec{b} \times \vec{a} = -\vec{a} \times \vec{b}$.

Produsul vectorial a doi vectori are proprietățile:

$$m(\vec{a} \times \vec{b}) = m\vec{a} \times \vec{b} = \vec{a} \times m\vec{b}; \vec{a} \times (\vec{b} + \vec{c}) = \vec{a} \times \vec{b} + \vec{a} \times \vec{c}.$$

Produsele vectoriale ale versorilor axelor de coordonate:

$$\vec{i} \times \vec{i} = \vec{j} \times \vec{j} = \vec{k} \times \vec{k} = 0; \vec{i} \times \vec{j} = \vec{k}; \vec{j} \times \vec{k} = \vec{i}; \vec{k} \times \vec{i} = \vec{j}; \\ \vec{j} \times \vec{i} = -\vec{k}; \vec{k} \times \vec{j} = -\vec{i}; \vec{i} \times \vec{k} = -\vec{j}.$$

Expresia produsului vectorial cu ajutorul proiecțiilor vectorilor-factori:

$$\vec{c} = \vec{a} \times \vec{b} = \begin{vmatrix} \vec{i} & \vec{j} & \vec{k} \\ a_x & a_y & a_z \\ b_x & b_y & b_z \end{vmatrix}.$$

Proiecțiile sale:

$$c_x = \begin{vmatrix} a_y & a_z \\ b_y & b_z \end{vmatrix}; \quad c_y = \begin{vmatrix} a_z & a_x \\ b_z & b_x \end{vmatrix}; \quad c_z = \begin{vmatrix} a_x & a_y \\ b_x & b_y \end{vmatrix}.$$

Aria paralelogramului construit pe vectorii \vec{a} și \vec{b} poate fi calculată după formula

$$S = |\vec{a} \times \vec{b}| = \sqrt{\begin{vmatrix} a_y & a_z \\ b_y & b_z \end{vmatrix}^2 + \begin{vmatrix} a_z & a_x \\ b_z & b_x \end{vmatrix}^2 + \begin{vmatrix} a_x & a_y \\ b_x & b_y \end{vmatrix}^2}.$$

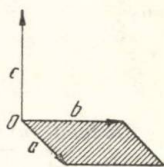


Fig. 1.179.

Condiția de coliniaritate a doi vectori este $\vec{a} \times \vec{b} = 0$, iar cu ajutorul proiecțiilor:

$$\begin{vmatrix} \vec{i} & \vec{j} & \vec{k} \\ a_x & a_y & a_z \\ b_x & b_y & b_z \end{vmatrix} = 0$$

sau

$$\frac{a_x}{b_x} = \frac{a_y}{b_y} = \frac{a_z}{b_z}.$$

Produsul mixt (vectorial-scalar) a trei vectori \vec{a} , \vec{b} și \vec{c} (fig. 1.180) [notația: $(\vec{a} \times \vec{b}) \cdot \vec{c}$ sau $\vec{a} \vec{b} \vec{c}$] este un scalar care în mărime absolută este egal cu volumul paralelipipedului construit pe vectorii \vec{a} , \vec{b} și \vec{c} , ca muchii. Produsul mixt este pozitiv, dacă vectorii \vec{a} , \vec{b} și \vec{c} formează un triedru drept și negativ, dacă ei formează un triedru stâng. Produsul mixt a trei vectori își schimbă semnul la permutarea a doi factori; la o permutare ciclică (circulară) a tuturor celor trei factori, produsul nu-și schimbă semnul:

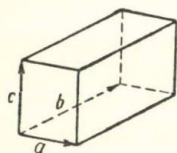


Fig. 1.180.

$$\vec{a} \vec{b} \vec{c} = \vec{b} \vec{c} \vec{a} = \vec{c} \vec{a} \vec{b} = -\vec{a} \vec{c} \vec{b} = -\vec{b} \vec{a} \vec{c} = -\vec{c} \vec{b} \vec{a}.$$

Expresia produsului mixt a trei vectori cu ajutorul proiecțiilor vectorilor-factori:

$$\vec{a} \vec{b} \vec{c} = \begin{vmatrix} a_x & a_y & a_z \\ b_x & b_y & b_z \\ c_x & c_y & c_z \end{vmatrix}.$$

Condiția de coplanaritate a trei vectori este $\vec{a} \vec{b} \vec{c} = 0$ sau, cu ajutorul proiecțiilor,

$$\begin{vmatrix} a_x & a_y & a_z \\ b_x & b_y & b_z \\ c_x & c_y & c_z \end{vmatrix} = 0.$$

Produsul vectorial dublu a trei vectori [notația: $\vec{a} \times (\vec{b} \times \vec{c})$] este un vector coplanar cu vectorii \vec{b} și \vec{c} ; el poate fi calculat după formula $\vec{a} \times (\vec{b} \times \vec{c}) = \vec{b}(\vec{a} \cdot \vec{c}) - \vec{c}(\vec{a} \cdot \vec{b})$.

§ 1.21. Analiza vectorială

Funcția vectorială. Dacă vectorul \vec{a} variază în funcție de un argument scalar t , el se numește *funcție vectorială* de argumentul scalar: $\vec{a} = \vec{a}(t)$.

Funcția vectorială $\vec{a} = \vec{a}(t)$ poate fi definită dacă se dau trei funcții scalare — proiecțiile sale pe axele de coordonate — $a_x = a_x(t)$, $a_y = a_y(t)$, $a_z = a_z(t)$:

$$\vec{a} = a_x(t)\vec{i} + a_y(t)\vec{j} + a_z(t)\vec{k}.$$

Virful M al unei raze vectoriale variabile $\vec{r} = \vec{r}(t)$ descrie o curbă în spațiu (fig. 1.181) numită *hodograful* vectorului \vec{r} .

Ecuatiile hodografului $x = x(t)$; $y = y(t)$; $z = z(t)$ ($\vec{r} = x\vec{i} + y\vec{j} + z\vec{k}$).

Derivata unei funcții vectoriale $\vec{a} = \vec{a}(t)$ în raport cu argumentul scalar t este

$$\frac{d\vec{a}(t)}{dt} = \lim_{\Delta t \rightarrow 0} \frac{\vec{a}(t + \Delta t) - \vec{a}(t)}{\Delta t} = a'_x(t)\vec{i} + a'_y(t)\vec{j} + a'_z(t)\vec{k}.$$

Derivata razei vectoriale $\frac{d\vec{r}(t)}{dt} = \lim_{\Delta t \rightarrow 0} \frac{\Delta \vec{r}(t)}{\Delta t}$ reprezintă un vector (fig. 1.182) tangent la hodograf în punctul respectiv.

Lungimea vectorului $d\vec{r}/dt$ depinde de alegerea parametrului t ; dacă t este lungimea arcului s al hodografului, calculat de la un anumit punct inițial al hodografului pînă în punctul M , lungimea vectorului $d\vec{r}/ds$ este egală cu 1.

Regulile fundamentale de derivare a funcției vectoriale de argument scalar:

$$1) \frac{d}{dt} (\vec{a} + \vec{b} - \vec{c}) = \frac{d\vec{a}}{dt} + \frac{d\vec{b}}{dt} - \frac{d\vec{c}}{dt};$$

$$2) \frac{d(\varphi \vec{a})}{dt} = \frac{d\varphi}{dt} \vec{a} + \varphi \frac{d\vec{a}}{dt}, \text{ unde } \varphi = \varphi(t) \text{ este o funcție scalară de } t;$$

$$3) \frac{d(\vec{a} \cdot \vec{b})}{dt} = \frac{d\vec{a}}{dt} \cdot \vec{b} + \vec{a} \cdot \frac{d\vec{b}}{dt};$$

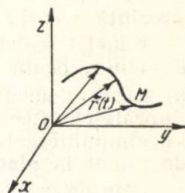


Fig. 1.181.

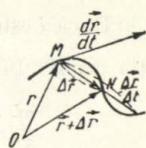


Fig. 1.182.

$$4) \frac{d}{dt} (\vec{a} \times \vec{b}) = \frac{d\vec{a}}{dt} \times \vec{b} + \vec{a} \times \frac{d\vec{b}}{dt}$$

$$5) \frac{d}{dt} \vec{a}(\varphi(t)) = \frac{d\vec{a}}{d\varphi} \frac{d\varphi}{dt}.$$

Pentru vectorul unitar, și în general pentru vectorul \vec{r} de lungime constantă, există relația $\vec{r} (d\vec{r}/dt) = 0$, care arată că tangenta la hodograf este perpendiculară pe raza vectoare; în acest caz, hodograful reprezintă o curbă pe sferă.

Funcția scalară $f(x, y, z)$, definită în toate punctele unui anumit domeniu, poate fi considerată ca o funcție de punctul $P(x, y, z)$ al acestui domeniu [notație: $f(P)$] și definește un anumit *cîmp scalar*. Suprafețele $f(x, y, z) = c$ ($c = \text{const}$) se numesc *suprafețe de nivel* ale cîmpului scalar dat [în cazul unei funcții de două variabile — funcție de punct în plan — curbele $f(x, y) = c$ sînt *linii de nivel*].

Prin orice punct $M_0(x_0, y_0, z_0)$ trece o suprafață de nivel, pentru care valoarea c se determină din relația $c = f(M_0) = f(x_0, y_0, z_0)$.

Gradientul cîmpului scalar $f(P) = f(x, y, z)$ [notația: $\text{grad } f(P)$ sau $\text{grad } f(x, y, z)$] într-un punct dat se numește vectorul orientat după normala n la suprafața de nivel [pentru funcția $f(x, y)$, la linia de nivel] în acest punct, în sensul creșterii funcției, și ca lungime egal cu derivata funcției date după această direcție (v. p. 106).

$$|\text{grad } f(x, y, z)| = \frac{\partial f(x, y, z)}{\partial n}.$$

Dacă l este o direcție arbitrară, derivata $\frac{\partial f}{\partial l}$ este egală cu proiecția gradientului pe direcția l :

$$\frac{\partial f}{\partial l} = \frac{\partial f}{\partial n} \cos(\widehat{l, n}) = |\text{grad } f| \cos(\widehat{l, n}) = \text{grad}_l f.$$

În particular, $\text{grad}_x f = \frac{\partial f}{\partial x}$; $\text{grad}_y f = \frac{\partial f}{\partial y}$; $\text{grad}_z f = \frac{\partial f}{\partial z}$. Vec-

torul $\vec{A}(x, y, z)$ care depinde de coordonatele punctului $P(x, y, z)$ și este definit în toate punctele unui anumit domeniu, se numește *funcție vectorială* de punctul P sau *cîmp vectorial*.

Exemplu. Să se determine cîmpul gradientului funcției $f(x, y, z) = x^2 + y^2 + z^2$. Suprafețele de nivel ale acestei funcții, $x^2 + y^2 + z^2 = C$, sînt suprafețe sferice cu centrul în originea axelor de coordonate. Avem

$$\text{grad}_x f = 2x; \text{grad}_y f = 2y; \text{grad}_z f = 2z \text{ și } |\text{grad } f| = 2\sqrt{x^2 + y^2 + z^2}.$$

Dacă este dat câmpul vectorial $\vec{A}(x, y, z)$, atunci în fiecare punct (x, y, z) sînt cunoscute funcțiile scalare $A_x(x, y, z)$; $A_y(x, y, z)$; $A_z(x, y, z)$ — proiecțiile vectorului \vec{A} pe axe de coordonate (reciproc: A_x, A_y, A_z definesc un câmp vectorial).

Divergența câmpului vectorial $\vec{A}(P) = \vec{A}(x, y, z)$ (notația: $\text{div } \vec{A}$) se numește scalarul

$$\frac{\partial A_x(x, y, z)}{\partial x} + \frac{\partial A_y(x, y, z)}{\partial y} + \frac{\partial A_z(x, y, z)}{\partial z}.$$

Pentru funcția vectorială $\vec{A}(x, y)$, care depinde de două variabile:

$$\text{div } \vec{A} = \frac{\partial A_x}{\partial x} + \frac{\partial A_y}{\partial y}.$$

Rotorul câmpului vectorial $\vec{A}(P) = \vec{A}(x, y, z)$ se numește vectorul $\vec{B}(x, y, z)$ (notația: $\vec{B} = \text{rot } \vec{A}$ sau $\vec{B} = \text{curl } \vec{A}$), ale cărui proiecții pe axe de coordonate B_x, B_y, B_z se exprimă prin proiecțiile vectorului \vec{A} cu ajutorul egalităților:

$$B_x = \frac{\partial A_z}{\partial y} - \frac{\partial A_y}{\partial z}; \quad B_y = \frac{\partial A_x}{\partial z} - \frac{\partial A_z}{\partial x}; \quad B_z = \frac{\partial A_y}{\partial x} - \frac{\partial A_x}{\partial y}.$$

În cazul funcției vectoriale $\vec{A}(x, y)$, care depinde de două argumente, avem: $B_x = B_y = 0$, $B_z = \frac{\partial A_y}{\partial x} - \frac{\partial A_x}{\partial y}$, iar vectorul $\vec{B} = \text{rot } \vec{A}$ este orientat totdeauna ca axa Oz ; uneori este indicat să se considere rotorul ca un scalar:

$$B = B_z = \frac{\partial A_y}{\partial x} - \frac{\partial A_x}{\partial y}.$$

Circulația și fluxul. *Circulația* vectorului $\vec{A}(x, y, z)$ (circulația câmpului vectorial) pe un contur în spațiu, închis, C se numește integrala curbilinie $\int_C A_s ds$, unde ds este diferențiala arcului conturului C , iar A_s este proiecția vectorului \vec{A} pe direcția pozitivă a tangentei la conturul C .

Dacă \vec{ds} este un vector, a cărui lungime este egală cu diferențiala arcului și care este orientat pe tangenta la conturul C în direcția pozitivă (dx, dy, dz sînt proiecțiile vectorului ds pe axe de coordonate), avem $A_s ds = \vec{A} \cdot \vec{ds}$.

Circulația vectorului \vec{A} pe conturul C poate fi scrisă sub forma

$$\int_C \vec{A} d\vec{s} \text{ sau } \int_C A_x dx + A_y dy + A_z dz.$$

Circulația unui câmp vectorial plan $\vec{A}(x, y)$:

$$\int_C A_s ds = \int_C \vec{A} d\vec{s} = \int_C A_x dx + A_y dy.$$

Fluxul vectorului $\vec{A}(x, y, z)$ (fluxul câmpului vectorial) prin suprafața S se numește integrala de suprafață $\iint_S A_n dS$, unde A_n este proiecția vectorului \vec{A} pe direcția n aleasă după normala la suprafață.

Dacă $d\vec{S}$ este un vector, a cărui lungime este numeric egală cu aria elementară dS a suprafeței și care este orientat pe normala la suprafață în direcția pozitivă, avem $A_n dS = \vec{A} d\vec{S}$, iar fluxul vectorului prin suprafață poate fi scris sub forma $\iint_S \vec{A} d\vec{S}$ sau

$$\iint_S [A_x \cos(\widehat{n, x}) + A_y \cos(\widehat{n, y}) + A_z \cos(\widehat{n, z})] dS.$$

Fluxul câmpului vectorial plan $\vec{A}(x, y)$ prin arcul l :

$$\begin{aligned} \int_l A_n ds &= \int_l \vec{A} d\vec{n} = \int_l [A_x \cos(\widehat{n, x}) + A_y \cos(\widehat{n, y})] ds = \\ &= \int_l A_x dy - A_y dx, \end{aligned}$$

unde $d\vec{n}$ este vectorul cu lungimea ds , orientat pe normala la contur în direcția pozitivă.

Formulele lui Stokes (pentru câmpul plan — formula lui Green) și Gauss-Ostrogradski (v. p. 149) leagă circulația și fluxul vectorului de rotor și de divergență:

$$1) \int_C A_s ds = \iint_{\sigma} \text{rot}_n \vec{A} d\sigma,$$

unde C este un contur închis care mărginește suprafața σ , iar n este normala exterioară la suprafață (formula lui Stokes);

$$2) \int_{\sigma} A_n d\sigma = \iiint_V \text{div } \vec{A} dV,$$

unde σ este o suprafață închisă care mărginește domeniul V , iar n este normala exterioară la suprafața σ (formula lui Gauss-Ostrogradski).

Relațiile care leagă o funcție scalară f de gradientul său și vectorul \vec{A} de rotorul său:

$$\int_{\sigma} f d\vec{S} = \iiint_V \text{grad } f dV; \quad \int_{\sigma} \vec{A} \times d\vec{S} = - \iiint_V \text{rot } \vec{A} dV.$$

Aici σ este o suprafață închisă, iar V este volumul mărginit de ea.

Cîmpul vectorului \vec{A} se numește *potențial sau irotațional* dacă vectorul \vec{A} este gradientul unei funcții $f(x, y, z)$, numită *funcție potențială*: $\vec{A} = \text{grad } f$; în acest caz

$$A_x = \frac{\partial f}{\partial x}; \quad A_y = \frac{\partial f}{\partial y}; \quad A_z = \frac{\partial f}{\partial z}$$

și expresia $A_x dx + A_y dy + A_z dz = df$ este o diferențială totală; pentru aceasta este necesar și suficient ca

$$\frac{\partial A_z}{\partial y} - \frac{\partial A_y}{\partial z} = 0; \quad \frac{\partial A_x}{\partial z} - \frac{\partial A_z}{\partial x} = 0; \quad \frac{\partial A_y}{\partial x} - \frac{\partial A_x}{\partial y} = 0,$$

adică se cere ca vectorul $\text{rot } \vec{A}$ să fie nul în orice punct. Într-un cîmp potențial circulația vectorului pe orice contur închis C este nulă:

$$\oint_C A_s ds = 0.$$

Cîmpul vectorului \vec{A} se numește *solenoidal*, dacă în orice punct al cîmpului $\text{div } \vec{A} = 0$, adică dacă $\frac{\partial A_x}{\partial x} + \frac{\partial A_y}{\partial y} + \frac{\partial A_z}{\partial z} = 0$; în acest caz fluxul vectorului prin orice suprafață închisă este nul.

Dacă cîmpul este simultan potențial și solenoidal, atunci $\text{div grad } f = 0$ (f este funcție potențială), iar funcția potențială este *armonică*, adică satisface ecuația lui Laplace

$$\Delta f = \frac{\partial^2 f}{\partial x^2} + \frac{\partial^2 f}{\partial y^2} + \frac{\partial^2 f}{\partial z^2} = 0$$

$$\left(\Delta = \frac{\partial^2}{\partial x^2} + \frac{\partial^2}{\partial y^2} + \frac{\partial^2}{\partial z^2} - \text{operatorul lui Laplace} \right).$$

Dacă divergența vectorului \vec{A} este nulă în toate punctele cîmpului vectorial, cu excepția unui număr finit de puncte M_1, M_2, \dots, M_n în care condiția de solenoidalitate nu este satisfăcută sau devine lipsită de sens din cauză că cel puțin una dintre derivatele $\frac{\partial A_x}{\partial x}, \frac{\partial A_y}{\partial y}, \frac{\partial A_z}{\partial z}$

devine infinită, atunci fluxul vectorului \vec{A} prin suprafața în interiorul căreia se află punctul M_i poate fi diferit de zero. Dacă fluxul vectorului \vec{A} prin suprafața închisă σ , care mărginește domeniul în interiorul căruia se află numai unul dintre aceste puncte M_i , este diferit de zero și egal cu N_σ , atunci punctul M_i se numește *sursă* dacă $N_\sigma > 0$ și *puț* dacă $N_\sigma < 0$. Numărul N_σ se numește *intensitatea* (sau *debitul*) sursei sau puțului. În mod analog se definesc noțiunile de sursă, puț și intensitate în cazul unui câmp plan (în locul fluxului printr-o suprafață închisă se consideră fluxul printr-un contur închis).

Dacă câmpul vectorial plan $\vec{A}(x, y)$ este potențial (irotațional) în toate punctele, în afară de un număr finit de puncte M_1, M_2, \dots, M_r , în care condiția de potențialitate nu este satisfăcută sau devine lipsită de sens din cauză că cel puțin una dintre derivatele parțiale care intervin în această condiție devine infinită, atunci circulația pe conturul închis în interiorul căruia se află punctele M_i poate fi diferită de zero. Dacă circulația pe conturul C (parcurs o singură dată în sens opus sensului mișcării acelor de ceasornic), care delimitează domeniul în interiorul căruia se află numai unul dintre aceste puncte M_i , este egală cu Γ_C și diferită de zero, atunci punctul M_i se numește *punct rotațional*, iar numărul Γ_C , *intensitatea rotorului* în punctul M_i . În cazul unui câmp spațial, rolul punctelor rotaționale este jucat de *liniile rotaționale*, iar conturul C ocolește linia rotațională (adică linia rotațională intersectează domeniul delimitat de conturul C și care se află pe o suprafață arbitrară ce trece prin conturul C).

Pentru scrierea formulelor de analiză vectorială este comod să se folosească *operatorul lui Hamilton* ∇ (*nabla*), unde ∇ este un vector simbolic; $\nabla = \frac{\partial}{\partial x} \vec{i} + \frac{\partial}{\partial y} \vec{j} + \frac{\partial}{\partial z} \vec{k}$. Astfel de exemplu, grad $f = \nabla f$;
 $\operatorname{div} \vec{A} = \nabla \vec{A}$; $\operatorname{rot} \vec{A} = \nabla \times \vec{A}$; $\nabla \nabla = \Delta$.

1.9

Ecuatii diferențiale

Ecuatie diferențială ordinară se numește o ecuație care conține argumentul, funcția căutată a acestui argument și derivatele ei de ordine diferite $F(x, y, y', \dots, y^{(n)}) = 0$.

Ordinul cel mai mare al derivatei funcției căutate, din ecuația dată, se numește *ordinul* acestei ecuații.

Orice funcție care, fiind înlocuită împreună cu derivatele sale de ordine corespunzătoare într-o ecuație diferențială în locul funcției căutate și a derivatelor sale, prefăce această ecuație în identitate

(satisface identic ecuația) se numește *soluția (integrala)* ecuației diferențiale.

Soluția unei ecuații diferențiale poate conține constante arbitrare. Pentru determinarea acestor constante arbitrare sînt necesare condiții suplimentare.

§ 1.22. Ecuații de ordinul întii

Teorema de existență (Cauchy). Dacă într-un domeniu al planului xOy care conține punctul (x_0, y_0) , funcția $f(x, y)$ este continuă și satisface condiția lui Lipschitz $|f(x, y_1) - f(x, y_2)| < A|y_1 - y_2|$ (A este o constantă în domeniul dat) există o singură funcție continuă într-o anumită vecinătate a punctului x_0, y_0 , funcția $y = f(x)$, care este soluția ecuației $y' = f(x, y)$ și care satisface condiția inițială, $y = y_0$ pentru $x = x_0$.

Orice soluție despre care este vorba în teorema lui Cauchy (la valori x_0 și y_0 date) se numește *soluție particulară* a ecuației diferențiale.

Ansamblul tuturor soluțiilor particulare se numește *soluție generală*. Soluția generală a unei ecuații de ordinul întii conține o constantă arbitrară C . Soluția unei ecuații care nu conține constanta arbitrară și care nu este soluție particulară (și, prin urmare, nu este obținută din soluția generală pentru nici o valoare a constantei arbitrare care intervine în ea) se numește *singulară**).

Graficul soluției ecuației diferențiale se numește *curba integrală* a acestei ecuații. Soluția generală a ecuației de ordinul întii este reprezentată, prin urmare, printr-o familie de curbe integrale cu un parametru.

Ecuația diferențială $y' = f(x, y)$ dă coeficientul unghiular al tangentei la curba integrală ca funcție de coordonatele punctului de tangență. Ansamblul punctelor în care este definită funcția $f(x, y)$ și al dreptelor orientate după tangentele la curbele integrale, care trec prin aceste puncte, formează așa-numitul *cîmp de direcții* al ecuației diferențiale date.

Curbele $f(x, y) = \text{const}$ se numesc *izocline*. În toate punctele fiecărei izocline tangentele la curbele integrale, duse prin aceste puncte, sînt paralele între ele. Pe fig. 1.183 sînt reprezentate curbele integrale (cercurile $x^2 + y^2 = C$) și izoclinele (dreptele $y = kx$) pentru ecuația

$$y' = -\frac{x}{y}.$$

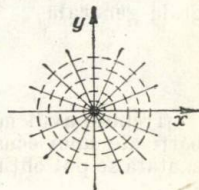


Fig. 1.183.

Ecuații cu diferențiale totale. Ecuația $M(x, y) dx + N(x, y) dy = 0$ în cazul cînd avem identitatea $\frac{\partial M}{\partial y} = \frac{\partial N}{\partial x}$, se numește *ecuație în diferențiale totale (exacte)*.

* În toate punctele curbei care reprezintă soluția singulară condițiile teoremei lui Cauchy nu sînt satisfăcute.

Soluția generală a unei astfel de ecuații are forma $u(x, y) = C$, unde

$$\frac{\partial u(x, y)}{\partial x} = M(x, y); \quad \frac{\partial u(x, y)}{\partial y} = N(x, y), \text{ adică } du = M dx + N dy.$$

Funcția $u(x, y)$ se determină prin relația $u(x, y) = \int M(x, y) dx + \varphi(y)$,

unde $\varphi(y)$ se deduce din ecuația $\frac{\partial}{\partial y} \left[\int M(x, y) dx + \varphi(y) \right] = N(x, y)$.

Dacă condiția $\frac{\partial M}{\partial y} = \frac{\partial N}{\partial x}$ nu este satisfăcută, există o funcție $\mu(x, y)$ (factor integrant), astfel încît ecuația $M dx + N dy = 0$ se reduce la o ecuație în diferențiale totale (exacte) după înmulțirea cu $\mu(x, y)$.

Ca factor integrant putem alege orice soluție particulară a ecuației

$$\frac{\partial(\mu M)}{\partial y} = \frac{\partial(\mu N)}{\partial x} \text{ sau } N \frac{\partial \ln \mu}{\partial x} - M \frac{\partial \ln \mu}{\partial y} = \frac{\partial M}{\partial y} - \frac{\partial N}{\partial x}.$$

Dacă, în particular, expresia $\frac{\frac{\partial M}{\partial y} - \frac{\partial N}{\partial x}}{N}$ depinde numai de x , atunci la căutarea factorului integrant putem presupune că și el depinde numai de x .

Ecuații cu variabile separabile. O ecuație de forma $y' = \varphi(x) \psi(y)$ se numește ecuație cu *variabile separabile*. Transformînd-o (*separînd variabilele*) în ecuația de forma $\frac{dy}{\psi(y)} - \varphi(x) dx = 0$, găsim integrala generală

$$\int \frac{dy}{\psi(y)} - \int \varphi(x) dx = C.$$

Trebuie avut în vedere că la înmulțirea sau la împărțirea ambelor părți ale unei ecuații diferențiale cu o expresie care conține funcția căutată se pot obține și soluții străine sau se pot pierde soluții.

Ecuații omogene. O ecuație omogenă este de forma $y' = f\left(\frac{y}{x}\right)$.

Ea se reduce la o ecuație cu variabile separabile prin substituția $y = ux$ (în acest caz $y' = u'x + u$).

Ecuațiile de forma $y' = f\left(\frac{a_1x + b_1y + c_1}{a_2x + b_2y + c_2}\right)$ se reduc la ecuații omogene, în cazul $\begin{vmatrix} a_1 & b_1 \\ a_2 & b_2 \end{vmatrix} \neq 0$, prin substituția $x = u + \alpha$, $y = v + \beta$, unde α și β se determină din sistemul de ecuații $a_1\alpha + b_1\beta + c_1 = 0$,

$a_2\alpha + b_2\beta + c_2 = 0$. Dacă însă, $\begin{vmatrix} a_1 & b_1 \\ a_2 & b_2 \end{vmatrix} = 0$, atunci, punînd $a_1x + b_1y = t$, obținem o ecuație cu variabile separabile.

Ecuații liniare. Ecuație diferențială liniară de primul ordin se numește o ecuație de forma $y' = P(x)y + Q(x)$ liniară în raport cu y și y' . Soluția ei generală se obține prin formula

$$y = e^{\int P(x)dx} \left[\int Q(x)e^{-\int P(x)dx} dx + C \right].$$

Dacă se cunoaște o soluție particulară a ecuației liniare $y = y_1(x)$, soluția generală se obține cu ajutorul unei *cuadraturi* (unei integrări)

$$y = y_1(x) + Ce^{\int P(x)dx}.$$

Dacă se cunosc două soluții particulare, liniar independente (p. 210), $y = y_1(x)$ și $y = y_2(x)$, soluția generală se află fără *cuadraturi* $y = y_1(x) + C[y_2(x) - y_1(x)]$.

Ecuația lui Bernoulli. Ecuația de forma $y' = P(x)y + Q(x)y^n$ (ecuația lui Bernoulli) se reduce la o ecuație liniară, cu ajutorul substituției $y^{1-n} = t$.

Ecuația lui Clairaut. Soluția generală a ecuației lui Clairaut, $y = xy' + \psi(y')$, este de forma $y = Cx + \psi(C)$.

Soluția singulară se obține din ecuațiile $y = Cx + \psi(C)$, $0 = x + \psi'(C)$ prin eliminarea lui C .

Curba integrală corespunzătoare soluției singulare este înfășurătoare (p. 157) familiei de drepte determinate prin soluția generală (fig. 1.184).

Exemplu. Ecuația $y = xy' + y'^2$ are soluția generală $y = Cx + C^2$; eliminînd C din ecuațiile $y = Cx + C^2$, $0 = x + 2C$, se obține soluția singulară, sub forma explicită, $y = -x^2/4$.

Ecuația lui Lagrange. Ecuația lui Clairaut este o formă particulară a ecuației lui Lagrange $y = x\varphi(y') + \psi(y')$.

Făcînd substituția $y' = p$ și diferențiînd egalitatea obținută în raport cu x , se ajunge la ecuațiile

$$y = x\varphi(p) + \psi(p), \quad \frac{dx}{dp} = \frac{x\varphi'(p) + \psi'(p)}{p - \varphi(p)}.$$

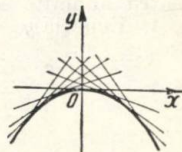


Fig. 1.184.

A doua dintre aceste ecuații [$p - \varphi(p) \neq 0$] este liniară (în raport cu funcția x și derivata $\frac{\partial x}{\partial p}$) și soluția sa generală împreună cu prima ecuație determină, sub forma parametrică, integrala generală a ecuației lui Lagrange.

Dacă $p - \varphi(p) = 0$ pentru $p = p_0$, atunci $y = x\varphi(p_0) + \psi(p_0)$ este o soluție singulară a ecuației lui Lagrange.

§ 1.23. Ecuații de ordin superior

Teorema de existență (Cauchy). Pentru ca ecuația $y^{(n)} = f(x, y, y', \dots, y^{(n-1)})$ să aibă o singură soluție $y = \varphi(x)$, continuă în vecinătatea punctului x_0 și care să satisfacă condițiile inițiale $y = y_0, y' = y'_0, \dots, y^{(n-1)} = y_0^{(n-1)}$ pentru $x = x_0$, este suficient ca funcția $f(x, y, y_1, \dots, y_{n-1})$, unde $x, y, y_1, \dots, y_{n-1}$ sînt argumente independente, să fie continuă într-o anumită vecinătate a punctului $(x_0, y_0, y'_0, \dots, y_0^{(n-1)})$, adică pentru toate valorile argumentelor care satisfac sistemul de inegalități $x_0 - h < x < x_0 + h,$

$$y_0 - k < y < y_0 + k, y'_0 - k_1 < y_1 < y'_0 + k_1, \dots, y_0^{(n-1)} - k_{n-1} < y_{n-1} < y_0^{(n-1)} + k_{n-1}, \text{ unde } h, k, k_1, \dots, k_{n-1}$$

sînt constante pozitive și să satisfacă condiția lui Lipschitz

$$|f(x, \bar{y}, \bar{y}_1, \dots, \bar{y}_{n-1}) - f(x, y, y_1, \dots, y_{n-1})| < \\ < A (|\bar{y} - y| + |\bar{y}_1 - y_1| + \dots + |\bar{y}_{n-1} - y_{n-1}|).$$

Soluția generală a ecuației $y^{(n)} = f(x, y, y', \dots, y^{(n-1)})$ conține n constante arbitrare C_1, C_2, \dots, C_n și se reprezintă geometric printr-o familie de curbe integrale cu n parametri.

Orice sistem de condiții inițiale de forma $y = y_0, y' = y'_0, \dots, y^{(n-1)} = y_0^{(n-1)}$, pentru $x = x_0$, în cazul cînd sînt satisfăcute condițiile teoremei lui Cauchy, ne permite să găsim valorile C_1, C_2, \dots, C_n , care determină soluția particulară respectivă.

Ecuațiile care admit micșorarea ordinului. Micșorînd ordinul prin intermediul substituției $y' = p$, se poate obține soluția generală pentru anumite ecuații diferențiale de ordinul al doilea.

1) Ecuația $y'' = f(y)$: soluția generală $x =$

$$= \pm \int \frac{dy}{\sqrt{2 \int f(y) dy + C_1}} + C_2.$$

2) Ecuația $y'' = f(y')$: soluția generală $x = \int \frac{dy}{\varphi(y, C_1)} + C_2,$

unde pentru găsirea funcției $p = \varphi(y, C_1)$ trebuie să rezolvăm ecuația

$$y = \int \frac{p dp}{f(p)} + C_1 \text{ în raport cu } p.$$

3) Ecuația $y'' = f(x, y')$: soluția generală $y = \int \varphi(x, C_1) dx + C_2,$

unde $p = \varphi(x, C_1)$ este soluția generală a ecuației $\frac{dp}{dx} = f(x, p).$

4) Ecuația $y'' = f(y, y')$: soluția generală $x = \int \frac{dy}{\varphi(y, C_1)} + C_2$,

unde $p = \varphi(y, C_1)$ este soluția generală a ecuației $p \frac{dp}{dy} = f(y, p)$.

Soluția generală a ecuației $y^{(n)} = f(x)$ se află prin integrare succesivă de n ori.

Ecuația $\frac{d^ny}{dx^n} = f\left(\frac{d^{n-1}y}{dx^{n-1}}\right)$ se reduce prin substituția $\frac{d^{n-1}y}{dx^{n-1}} = p$;

$\frac{d^ny}{dx^n} = \frac{dp}{dx}$ la ecuația cu variabile separabile $\frac{dp}{dx} = f(p)$.

Ordinul ecuației care nu conține funcția căutată y ,

$f\left(x, \frac{dy}{dx}, \frac{d^2y}{dx^2}, \dots, \frac{d^ny}{dx^n}\right) = 0$, se micșorează cu o unitate cu ajutorul

substituției $\frac{dy}{dx} = p$; $\frac{d^2y}{dx^2} = \frac{dp}{dx}$ etc.

Dacă în afară de y lipsesc din ecuație și derivatele pînă la ordinul $k - 1$ inclusiv, trebuie să se efectueze substituția $y^{(k)} = p$.

Pentru a micșora ordinul unei ecuații, care nu conține argumentul x , se scrie $\frac{dy}{dx} = p$; $\frac{d^2y}{dx^2} = p \frac{dp}{dy}$ etc.

Ecuații liniare. Ecuație diferențială liniară de ordinul n se numește ecuația de forma

$y^{(n)} + a_1(x) y^{(n-1)} + a_2(x) y^{(n-2)} + \dots + a_{n-1}(x)y' + a_n(x)y = f(x)$,
liniară în raport cu funcția căutată și cu derivatele sale.

Dacă *partea dreaptă* a ecuației $f(x)$ este identic nulă, ecuația se numește *omogenă* (sau ecuație *fără partea dreaptă*); în caz contrar, ea se numește *neomogenă*.

Dacă funcțiile $y_1(x), y_2(x), \dots, y_n(x)$ sînt soluții particulare ale ecuației *omogene liniare* și totodată sînt liniare independente (v. mai departe), atunci soluția generală a ecuației omogene este de forma

$$y = C_1 y_1(x) + C_2 y_2(x) + \dots + C_n y_n(x).$$

Funcțiile $y_1(x), y_2(x), \dots, y_n(x)$ se numesc *liniar independente*, dacă identitatea $\alpha_1 y_1(x) + \alpha_2 y_2(x) + \dots + \alpha_n y_n(x) = 0$, unde α_i sînt constante, poate avea loc numai în cazul cînd $\alpha_1 = \alpha_2 = \dots = \alpha_n = 0$. Pentru aceasta este necesar și suficient ca așa-numitul *determinant al lui Wronski* (*wronskian*)

$$W(x) = \begin{vmatrix} y_1(x) & y_2(x) & \dots & y_n(x) \\ y_1'(x) & y_2'(x) & \dots & y_n'(x) \\ \dots & \dots & \dots & \dots \\ y_1^{(n-1)}(x) & y_2^{(n-1)}(x) & \dots & y_n^{(n-1)}(x) \end{vmatrix}$$

să fie diferit de zero. Wronskianul format pentru n soluții particulare ale unei ecuații liniare de ordinul n [dacă coeficienții $a_1(x)$, $a_2(x)$, ..., $a_n(x)$ ai acestei ecuații sînt continui] poate să se anuleze numai identic.

Dacă $Y(x)$ este o soluție particulară a ecuației liniare neomogene, iar $u(x)$ este soluția generală a ecuației omogene respective, atunci funcția $u(x) + Y(x)$ este soluția generală a ecuației neomogene.

Dacă $Y_1(x)$ și $Y_2(x)$ sînt soluțiile a două ecuații liniare cu aceeași parte stîngă și cu părțile drepte $f_1(x)$ și $f_2(x)$, funcția $Y_1(x) + Y_2(x)$ este o soluție a ecuației cu aceeași parte stîngă și cu partea dreaptă $f_1(x) + f_2(x)$.

Ecuații omogene liniare cu coeficienți constanți. Pentru găsirea soluției generale a unei ecuații liniare omogene cu coeficienți constanți

$$y^{(n)} + a_1 y^{(n-1)} + \dots + a_{n-1} y' + a_n y = 0$$

(a_1, a_2, \dots, a_n — constante reale), trebuie să formăm așa-numita *ecuație caracteristică* $k^n + a_1 k^{n-1} + \dots + a_{n-1} k + a_n = 0$ și să găsim rădăcinile ei, după care cele n soluții particulare liniar independente $y_1(x), y_2(x), \dots, y_n(x)$ ale ecuației se obțin (sub formă reală) după următoarele reguli:

1) fiecărei rădăcini reale k de ordin de multiplicitate p îi corespund p soluții particulare liniar independente:

$$e^{kx}, xe^{kx}, x^2 e^{kx}, \dots, x^{p-1} e^{kx};$$

2) fiecărei perechi de rădăcini complexe conjugate $\alpha \pm \beta i$ de ordin de multiplicitate q îi corespund $2q$ soluții particulare liniar independente:

$$e^{\alpha x} \cos \beta x, e^{\alpha x} \sin \beta x, x e^{\alpha x} \cos \beta x, x e^{\alpha x} \sin \beta x, \dots, x^{q-1} e^{\alpha x} \cos \beta x, x^{q-1} e^{\alpha x} \sin \beta x.$$

Soluția generală se exprimă prin relația

$$y = C_1 y_1(x) + C_2 y_2(x) + \dots + C_n y_n(x).$$

Exemplul 1: să se rezolve ecuația $y''' - 4y'' + 4y' = 0$;

$$k^3 - 4k^2 + 4k = 0; \quad k_1 = 0, \quad k_{2,3} = 2; \quad y = C_1 + e^{2x}(C_2 + C_3 x).$$

Exemplul 2. Să se rezolve ecuația $y^{\text{VI}} + y^{\text{IV}} - y'' - y = 0$;

$$k^6 + k^4 - k^2 - 1 = 0; \quad k_1 = -1; \quad k_2 = 1; \quad k_{3,4} = i; \quad k_{5,6} = -i;$$

$$y = C_1 e^{-x} + C_2 e^x + (C_3 + C_4 x) \cos x + (C_5 + C_6 x) \sin x.$$

Ecuații liniare neomogene cu coeficienți constanți. Dacă s-a găsit o soluție particulară $Y(x)$ a ecuației liniare neomogene cu coeficienți constanți $y^{(n)} + a_1 y^{(n-1)} + \dots + a_{n-1} y' + a_n y = f(x)$ și se cunoaște soluția generală $u(x)$ a ecuației omogene respective, atunci $y = u(x) + Y(x)$ este soluția generală a ecuației neomogene date. Dacă, în particular, $f(x) = P(x) e^{ax} \cos bx$ sau $f(x) = P(x) e^{ax} \sin bx$, unde $P(x)$ este un polinom de gradul m , soluția particulară trebuie căutată sub forma $Y(x) = x^p e^{ax} [Q_1(x) \cos bx + Q_2(x) \sin bx]$, unde

$Q_1(x)$ și $Q_2(x)$ sînt polinoame de gradul m cu coeficienți nedeterminați; p este ordinul de multiplicitate a rădăcinii ecuației caracteristice egală cu $a + bi$ (dacă numărul $a + bi$ nu este rădăcină a ecuației caracteristice, atunci $p = 0$).

Exemplu. Să se găsească soluția generală a ecuației $y'' + \frac{y}{4} = x \sin \frac{x}{2}$. Aici numărul $a + bi = \frac{i}{2}$ este rădăcina simplă a ecuației caracteristice $k^2 + \frac{1}{4} = 0$ și, prin urmare, soluția particulară a ecuației trebuie căutată sub forma

$$Y(x) = x \left[(A_1 x + B_1) \sin \frac{x}{2} + (A_2 x + B_2) \cos \frac{x}{2} \right].$$

Găsind de aici Y'' și înlocuind în ecuație, se obține

$$\begin{aligned} [-2A_2 x + (2A_1 - B_2)] \sin \frac{x}{2} + [2A_1 x + (2A_2 + B_1)] \cos \frac{x}{2} = \\ = x \sin \frac{x}{2}. \end{aligned}$$

Comparînd coeficienții din ambele părți ale egalității, rezultă

$$-2A_2 = 1; 2A_1 - B_2 = 0; 2A_1 = 0, 2A_2 + B_1 = 0,$$

de unde $A_1 = 0; B_1 = 1; A_2 = -1/2, B_2 = 0$ și

$$Y(x) = x \sin \frac{x}{2} - \frac{1}{2} x^2 \cos \frac{x}{2}.$$

Soluția generală a ecuației omogene respective este $u(x) = C_1 \cos \frac{x}{2} + C_2 \sin \frac{x}{2}$ și, prin urmare,

$$y = C_1 \cos \frac{x}{2} + C_2 \sin \frac{x}{2} + x \sin \frac{x}{2} - \frac{1}{2} x^2 \cos \frac{x}{2}.$$

În anumite cazuri particulare putem folosi următoarele reguli:

1) Dacă $f(x)$ este un polinom de gradul m :

$$f(x) = b_0 x^m + b_1 x^{m-1} + \dots + b_{m-1} x + b_m,$$

și $a_n \neq 0$, soluția particulară a ecuației trebuie căutată sub forma unui polinom de același grad (cu coeficienți nedeterminați):

$$Y(x) = B_0 x^m + B_1 x^{m-1} + \dots + B_{m-1} x + B_m;$$

dacă, însă, $a_n = a_{n-1} = \dots = a_{n-p+1} = 0, a_{n-p} \neq 0$, atunci soluția particulară se caută sub formă $Y(x) = x^p (B_0 x^m + B_1 x^{m-1} + \dots + B_{m-1} x + B_m)$.

2) Dacă $f(x) = ke^{ax}$ și a nu este o rădăcină a ecuației caracteristice, soluția particulară se caută sub forma $Y(x) = Ae^{ax}$, unde A este un coeficient nedeterminat; dacă, însă, a este o rădăcină a ecuației caracteristice, de ordin de multiplicitate p , atunci $Y(x) = Ax^p e^{ax}$.

3) Dacă $f(x) = m \cos bx + n \sin bx$ și bi nu este rădăcină a ecuației caracteristice, soluția particulară trebuie căutată sub forma $Y(x) = M \cos bx + N \sin bx$, unde M, N sînt coeficienți nedeterminați; dacă, însă, $\pm bi$ este o pereche de rădăcini a ecuației caracteristice, de ordin de multiplicitate p , atunci $Y(x) = x^p(M \cos bx + N \sin bx)$.

În cazul cînd $f(x)$ din partea dreaptă are o formă arbitrară, soluția generală a ecuației neomogene se află prin metoda variației constantelor arbitrare sub forma $y = C_1(x) y_1(x) + C_2(x) y_2(x) + \dots + C_n(x) y_n(x)$, unde $y_1(x), y_2(x), \dots, y_n(x)$ sînt, ca și înainte, soluții liniare independente ale ecuației omogene respective, iar funcțiile $C_1(x), C_2(x), \dots, C_n(x)$ se determină din următorul sistem de ecuații algebrice, de gradul întâi în raport cu derivatele respective:

$$C'_1(x) y_1(x) + C'_2(x) y_2(x) + \dots + C'_n(x) y_n(x) = 0$$

$$C_1(x) y'_1(x) + C_2(x) y'_2(x) + \dots + C_n(x) y'_n(x) = 0$$

$$\dots\dots\dots$$

$$C'_1(x) y_1^{(n-2)}(x) + C'_2(x) y_2^{(n-2)}(x) + \dots + C'_n(x) y_n^{(n-2)}(x) = 0$$

$$C'_1(x) y_1^{(n-1)}(x) + C'_2(x) y_2^{(n-1)}(x) + \dots + C'_n(x) y_n^{(n-1)}(x) = f(x).$$

Rezolvînd acest sistem, se găsește $C'_1(x), C'_2(x), \dots, C'_n(x)$; prin integrare se pot determina funcțiile $C_1(x), C_2(x), \dots, C_n(x)$, iar fiecare dintre aceste funcții va conține un termen constant arbitrar.

Exemplu. Soluția generală a ecuației $y'' + 2y' + y = \frac{e^{-x}}{x}$ trebuie căutată sub forma $y = C_1(x) e^{-x} + C_2(x) x e^{-x}$ ($y = C_1 e^{-x} + C_2 x e^{-x}$ este soluția generală a ecuației omogene).

Pentru determinarea lui $C_1(x)$ și $C_2(x)$, se formează sistemul de ecuații:

$$C'_1(x) e^{-x} + C'_2(x) x e^{-x} = 0;$$

$$-C'_1(x) e^{-x} + C'_2(x) (e^{-x} - x e^{-x}) = \frac{e^{-x}}{x};$$

de unde $C'_1(x) = -1$; $C'_2(x) = \frac{1}{x}$ și $C_1(x) = -x + C_1$,

$$C_2(x) = \ln x + C_2.$$

Așadar, $y = (C_1 - x) e^{-x} + (C_2 + \ln x) x e^{-x}$.

Ecuația lui Euler. Ecuația liniară cu coeficienți variabili de forma $(\alpha x + \beta)^n y^{(n)} + a_1(\alpha x + \beta)^{n-1} y^{(n-1)} + \dots + a_{n-1}(\alpha x + \beta) y' + a_n y = f(x)$ (ecuația lui Euler) se reduce la o ecuație liniară cu coeficienți constanți prin substituția $\alpha x + \beta = e^t$.

Calculul operațional. Transformarea Laplace $\bar{f}(p) = \int_0^{\infty} e^{-pt} f(t) dt$ asociază funcției $f(t)$, funcția $\bar{f}(p)$; $f(t)$ se numește original, iar $\bar{f}(p)$ imagine (transformată). Trecerea de la original la imagine se scrie pe scurt: $f(t) \rightarrow \bar{f}(p)$. Se presupune că funcția $f(t)$ este continuă și netedă pe porțiuni pentru $t \geq 0$ [adică $f(t)$ și $f'(t)$ au pe fiecare segment finit nu mai mult decât un număr finit de puncte de discontinuitate, și anume de speța întâi] și crește nu mai repede decât o funcție exponențială, adică $|f(t)| < Me^{st}$, unde M, s sînt constante, iar $f(t) \equiv 0$ pentru $t < 0$.

Proprietățile cele mai simple ale transformării Laplace:

- 1) $cf(t) \rightarrow c\bar{f}(p)$ (c — constantă);
- 2) $f_1(t) + f_2(t) \rightarrow \bar{f}_1(p) + \bar{f}_2(p)$;
- 3) $f'(t) \rightarrow p\bar{f}(p) - f(0)$;
- 4) $f^{(n)}(t) \rightarrow p^n \bar{f}(p) - p^{n-1} f(0) - p^{n-2} f'(0) - \dots - f^{(n-1)}(0)$;
- 5) $\int_0^t f(t) dt \rightarrow \frac{1}{p} \bar{f}(p)$;
- 6) $f(t - \tau_0) \rightarrow e^{-p\tau_0} \bar{f}(p)$ ($\tau_0 > 0$ — constantă);
- 7) $f(at) \rightarrow \frac{1}{a} \bar{f}\left(\frac{p}{a}\right)$;
- 8) $e^{at} f(t) \rightarrow \bar{f}(p - a)$;
- 9) $\int_0^t f_1(\tau) f_2(t - \tau) d\tau \rightarrow \bar{f}_1(p) \bar{f}_2(p)$.

Pentru a găsi soluția $x(t)$ a ecuației diferențiale liniare cu coeficienți constanți $x^{(n)}(t) + a_1 x^{(n-1)}(t) + \dots + a_n x(t) = f(t)$, care să satisfacă condițiile inițiale $x(0) = x_0$; $x'(0) = x'_0$, ..., $x^{(n-1)}(0) = x_0^{(n-1)}$, trebuie să aplicăm ambelor părți ale ecuației transformarea Laplace, ceea ce duce la relația

$$\bar{x}(p) = \frac{\bar{f}(p) + \varphi(p)}{Q(p)}, \text{ unde } Q(p) = p^n + a_1 p^{n-1} + \dots + a_n,$$

$$\varphi(p) = p^{n-1} x_0 + p^{n-2} x'_0 + \dots + x_0^{(n-1)} +$$

$$+ a_1 p^{n-2} x_0 + p^{n-3} x'_0 + \dots + x_0^{(n-2)} + \dots + a_{n-1} x_0.$$

(În particular, dacă $x_0 = x'_0 = \dots = x_0^{(n-1)} = 0$, atunci $\varphi(p) \equiv 0$. În acest caz soluția ecuației diferențiale se numește *soluție particulară normală*). Pentru găsirea soluției, rămîne să trecem de la imaginea $\bar{x}(p)$ la originalul $x(t)$. Pentru aceasta se poate folosi tabela de imagini și originale și proprietățile transformării Laplace. Dacă funcția

$\frac{\bar{f}(p) + \varphi(p)}{Q(p)}$ este o fracție rațională regulată, este indicat, de obicei, s-o dezvoltăm în fracții elementare.

Se dă în continuare o tabelă sumară de originale și imagini.

Nr.	$\bar{f}(p)$ — imagine	$f(t)$ — original
1	$\frac{1}{p}$	1
2	$\frac{1}{p^{n+1}}$	$\frac{t^n}{n!}$
3	$\frac{1}{p+a}$	e^{-at}
4	$\frac{1}{(p+a)^{n+1}}$	$\frac{t^n}{n!} e^{-at}$
5	$\frac{a}{p^2+a^2}$	$\sin at$
6	$\frac{p}{p^2+a^2}$	$\cos at$
7	$\frac{a}{p^2-a^2}$	$\text{sh } at$
8	$\frac{p}{p^2-a^2}$	$\text{ch } at$
9	$\frac{1}{(p-a)(p-b)}$	$\frac{e^{at} - e^{bt}}{a-b}$
10	$\frac{p}{(p^2+a^2)^2}$	$\frac{t}{2a} \sin at$
11	$\frac{p^2-a^2}{(p^2+a^2)^2}$	$t \cos at$
12	$\frac{a^2}{(p^2+a^2)^2}$	$\frac{1}{2a} (\sin at - at \cos at)$
13	$\frac{p}{(p^2+a^2)(p^2+b^2)}$	$\frac{\cos at - \cos bt}{b^2-a^2}$
14	$\frac{b}{(p+a)^2+b^2}$	$e^{-at} \sin bt$
15	$\frac{p+a}{(p+a)^2+b^2}$	$e^{-at} \cos bt$
16	$\frac{p}{p^4+a^4}$	$\frac{1}{a^2} \sin \frac{at}{\sqrt{2}} \text{sh } \frac{at}{\sqrt{2}}$
17	$\frac{p^3}{p^4+a^4}$	$\cos \frac{at}{\sqrt{2}} \text{ch } \frac{at}{\sqrt{2}}$

(continuare)

Nr.	$\tilde{f}(p)$ — imagine	$f(t)$ — original
18	$\frac{1}{\sqrt{p}}$	$\frac{1}{\sqrt{\pi t}}$
19	$\frac{1}{p\sqrt{p}}$	$\frac{2\sqrt{t}}{\sqrt{\pi}}$
20	$\ln\left(1 + \frac{1}{p}\right)$	$\frac{1 - e^{-t}}{t}$
21	$\frac{e^{-\frac{a^2}{4p}}}{\sqrt{p}}$	$\frac{2}{a\sqrt{\pi}} \sin a\sqrt{t}$
22	$\frac{e^{-\frac{a^2}{4p}}}{p\sqrt{p}}$	$\frac{4}{a^2\sqrt{\pi}} \left(\frac{1}{a} \sin a\sqrt{t} - \sqrt{t} \cos a\sqrt{t} \right)$
23	$\frac{e^{-a\sqrt{p}}}{\sqrt{p}} (a \geq 0)$	$\frac{ae^{-\frac{a^2}{4t}}}{2\sqrt{\pi} t\sqrt{t}}$

Exemplu. Să se găsească soluția particulară normală și soluția generală a ecuației $y''' + 2y'' + y' + 2y = \sin x$. Transformarea Laplace duce la ecuația algebrică $(p^3 + 2p^2 + p + 2)Y(p) = \frac{1}{p^2 + 1}$, de unde

$$Y(p) = \frac{1}{(p^2 + 1)(p^3 + 2p^2 + p + 2)} = \frac{1}{(p^2 + 1)^2(p + 2)}.$$

Descompunând în sumă de fracții simple, se obține

$$Y(p) = \frac{-\frac{1}{5}p + \frac{2}{5}}{(p^2 + 1)^2} + \frac{-\frac{1}{25}p + \frac{2}{25}}{p^2 + 1} + \frac{\frac{1}{25}}{p + 2}$$

și folosind tabela de mai înainte se găsește soluția particulară normală

$$\begin{aligned} y(x) = & -\frac{1}{5} \cdot \frac{x}{2} \sin x + \frac{2}{5} \cdot \frac{1}{2} (\sin x - x \cos x) - \frac{1}{25} \cos x + \\ & + \frac{2}{25} \sin x + \frac{1}{25} e^{-2x} \text{ sau } y(x) = \frac{1}{25} e^{-2x} - \frac{1}{25} \cos x + \\ & + \frac{7}{25} \sin x - \frac{x}{10} (2 \cos x + \sin x). \end{aligned}$$

Soluția generală a ecuației omogene respective este de forma $u = C_1 e^{-2x} + C_2 \cos x + C_3 \sin x$, și, prin urmare, soluția generală a ecuației date este

$$y = C_1 e^{-2x} + C_2 \cos x + C_3 \sin x - \frac{x}{10} (2 \cos x + \sin x).$$

Dacă se caută numai soluția generală a ecuației, calculele se simplifică foarte mult, deoarece este suficient, ținând seama de forma soluției generale a ecuației omogene, să avem în vedere numai prima dintre fracțiile simple care apar în expresia pentru $Y(p)$.

1.10

Metode aproximative în analiză

§ 1.24. Rezolvarea aproximativă a ecuațiilor algebrice și transcendente

Rezolvarea grafică a ecuațiilor. Metodele grafice de rezolvare a ecuațiilor algebrice și transcendente se aplică în cazurile când nu este nevoie de o precizie mare.

Pentru a găsi pe cale grafică rădăcinile reale ale unei ecuații de forma $f(x) = 0$, trebuie să se construiască graficul funcției $y = f(x)$ și să se determine punctele de intersecție sau, în cazul rădăcinilor multiple, punctele ei de tangență cu axa Ox . Abscisele acestor puncte vor fi rădăcinile căutate ale ecuației $f(x) = 0$.

Exemplu. Să se rezolve grafic ecuația $x^3 + 3x^2 - 2 = 0$.

Se construiește graficul funcției $y = x^3 + 3x^2 - 2$; abscisele intersecției acestui grafic cu axa Ox sint rădăcinile ecuației: $x_1 = -2,73$; $x_2 = -1$; $x_3 = 0,73$ (fig. 1.185); pe desen, scara de pe axa Oy a fost aleasă de șase ori mai mică decât pe axa Ox .

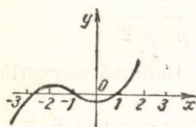


Fig. 1.185.

Uneori este indicat să împărțim termenii ecuației $f(x) = 0$ în două grupe, păstrând în partea stângă unul sau câțiva termeni și trecând restul în partea dreaptă. În acest caz, ecuația capătă forma $f_1(x) = f_2(x)$, după care trebuie: să construim două grafice $y = f_1(x)$ și $y = f_2(x)$ și să găsim punctele de intersecție ale graficelor construite. Abscisele acestor puncte vor fi rădăcinile căutate ale ecuației $f(x) = 0$. Avantajul acestei metode se manifestă în mod deosebit în cazurile când una dintre funcții, de exemplu $f_2(x)$, este liniară și rezolvarea grafică a ecuației se reduce la găsirea punctului de intersecție a curbei $y = f_1(x)$ cu dreapta $y = f_2(x) = kx + b$. Atunci când este

necesar să se rezolve un număr mare de ecuații de același tip de forma $f_1(x) = kx + b$, care diferă numai prin coeficienții funcției liniare din partea dreaptă, este indicat să se deseneze o dată graficul funcției $y = f_1(x)$ pe o foaie de hirtie transparentă, după care, pentru rezolvarea unei ecuații oarecare de tipul dat, rămîne să se construiască la aceeași scară dreapta $y = kx + b$, să se suprapună peste ea foaia cu curba desenată $y = f_1(x)$ și să se determine abscisele punctelor de intersecție. Pentru rezolvarea altei ecuații de acest tip, trebuie să se ducă numai o nouă dreaptă, care corespunde părții drepte respective a acestei ecuații, folosind de fiecare dată aceeași foaie cu graficul funcției $y = f_1(x)$.

În fig. 1.186 sînt date soluțiile grafice a două ecuații cubice $x^3 - 7x - 6 = 0$ și $x^3 + 2,8x - 7 = 0$. Rădăcinile primei ecuații sînt $x_1 = -2$, $x_2 = -1$, $x_3 = 3$; ecuația a doua are o singură rădăcină reală $x_1 = 1,4$. Scara pe axa Oy este aleasă de 20 de ori mai mică decît pe axa Ox .

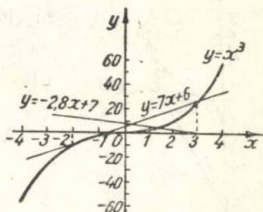


Fig. 1.186.

Pentru rezolvarea grafică a unui sistem de două ecuații cu două necunoscute $f(x, y) = 0$, $\varphi(x, y) = 0$, se construiesc curbele corespunzătoare acestor ecuații și se determină punctele de intersecție ale curbilor. Coordonatele fiecăruia dintre punctele de intersecție dau o pereche de valori pentru necunoscutele x și y , care satisfac sistemul.

Metoda iterației. Pentru rezolvarea ecuației $f(x) = 0$ prin metoda iterației (repetării), se transcrie ecuația sub forma $x + f(x) - x = 0$ sau $x = \varphi(x)$, unde $\varphi(x) = x + f(x)$.

Pe cale grafică sau printr-o altă metodă oarecare se găsește valoarea inițială aproximativă a rădăcinii x_0 și se înlocuiește în partea dreaptă a ecuației $x = \varphi(x)$ în locul lui x ; se obține astfel prima valoare mai corectă a rădăcinii: $x^{(1)} = \varphi(x_0)$. Punind analog în $\varphi(x)$ în locul lui x valoarea calculată $x^{(1)}$, se găsește a doua valoare corectată $x^{(2)} = \varphi(x^{(1)})$.

Repetînd acest procedeu de cîteva ori, se obține

$$x^{(3)} = \varphi(x^{(2)}); x^{(4)} = \varphi(x^{(3)}); \dots; x^{(n)} = \varphi(x^{(n-1)}).$$

Procesul de iterație încetează îndată ce se obține precizia dorită, adică atunci cînd valoarea absolută a diferenței dintre două valori consecutive ale rădăcinii devine mai mică decît eroarea admisă.

Pentru ca procesul de iterare să fie convergent, este suficient să fie îndeplinită condiția $|\varphi'(x)| < 1$ într-o anumită vecinătate a rădăcinii căutate, care conține punctul x_0 . Convergența este cu atît mai rapidă, cu cît $|\varphi'(x)|$ este mai mic. Deoarece funcția $\varphi(x)$ poate fi aleasă în mod arbitrar, trebuie să avem în vedere că la o alegere nefericită a lui $\varphi(x)$ procesul de iterare poate să ducă nu la micșorarea, ci la mărirea erorii. Astfel, de exemplu, metoda iterării nu poate fi aplicată la ecuația $x = \operatorname{tg} x$; însă dacă transformăm această ecuație în ecuația $x = \operatorname{arctg} x$, procesul de iterație devine convergent.

Exemplu: Să se găsească rădăcina reală a ecuației $\lg x - 2x + 7 = 0$.

Pentru a găsi valoarea aproximativă inițială a rădăcinii, transformăm ecuația sub forma $\lg x = 2x - 7$; construim curba $y = \lg x$ și dreapta $y = 2x - 7$ (fig. 1.187) și determinăm abscisa punctului de intersecție: $x_0 = 3,8$.

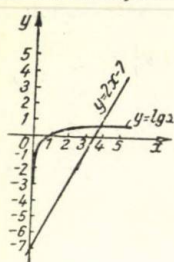


Fig. 1.187.

Transformând ecuația dată în $x = \frac{\lg x + 7}{2}$ și înlocuind în partea dreaptă x prin valoarea $x_0 = 3,8$, se obține valoarea corectată a rădăcinii: $x^{(1)} = \frac{1}{2} (\lg 3,8 + 7) = 3,79$.

Analog se calculează: $x^{(2)} = \frac{1}{2} (\lg 3,79 + 7) = 3,7893$; $x^{(3)} = \frac{1}{2} (\lg 3,7893 + 7) = 3,7893$.

Dacă ne limităm la valoarea aproximativă a rădăcinii cu cinci cifre exacte, putem să întrerupem calculele, admitând $x = 3,7893$.

Convergența rapidă a procesului de iterație se explică prin aceea că în cazul nostru mărimea $|\varphi'(x)|$ este mică: $|\varphi'(x)| = \left| \frac{1}{2x} \right| \approx \frac{1}{7,6}$.

Metoda iterației poate fi aplicată și atunci când ecuația este dată sub forma unei serii infinite. Astfel, de exemplu, dacă avem ecuația

$$x - \frac{x^3}{3} + \frac{x^5}{10} - \frac{x^7}{42} + \frac{x^9}{216} - \dots = 0,4431$$
 o transcriem sub forma

$$x = 0,4431 + \frac{x^3}{3} - \frac{x^5}{10} + \frac{x^7}{42} - \frac{x^9}{216} + \dots; \text{neglijând termenii superiori începînd cu } x^3 \text{ și rotunjind termenul liber, avem } x^{(0)} = 0,44.$$

Introducînd valoarea 0,44 în partea dreaptă a ecuației în locul lui x , găsim $x^{(1)} = 0,4431 + \frac{(0,44)^3}{3} - \frac{(0,44)^5}{10} + \frac{(0,44)^7}{42} \approx 0,470$.

Analog obținem $x^{(2)} = 0,4431 + \frac{(0,47)^3}{3} - \frac{(0,47)^5}{10} + \frac{(0,47)^7}{42} \approx 0,476$ etc.

Pentru aplicarea metodei iterației la rezolvarea unui sistem de două ecuații cu două necunoscute $f_1(x, y) = 0$; $f_2(x, y) = 0$ le transcriem sub forma $x = \varphi_1(x, y)$; $y = \varphi_2(x, y)$.

Determinînd grafic (sau pe altă cale) valorile aproximative inițiale ale rădăcinilor x_0 și y_0 și înlocuindu-le în ecuații, se obține prima aproximație $x^{(1)} = \varphi_1(x_0, y_0)$; $y^{(1)} = \varphi_2(x_0, y_0)$.

Analog se găsesc aproximațiile următoare

$$\left. \begin{aligned} x^{(2)} &= \varphi_1(x^{(1)}, y^{(1)}), \\ y^{(2)} &= \varphi_2(x^{(1)}, y^{(1)}), \end{aligned} \right\} \quad \left. \begin{aligned} x^{(3)} &= \varphi_1(x^{(2)}, y^{(2)}), \\ y^{(3)} &= \varphi_2(x^{(2)}, y^{(2)}), \end{aligned} \right\} \text{ etc.}$$

Pentru convergența proceselor de iterație, este suficient să fie satisfăcute condițiile $\left| \frac{\partial \varphi_1}{\partial x} \right| + \left| \frac{\partial \varphi_2}{\partial x} \right| < 1$ și $\left| \frac{\partial \varphi_1}{\partial y} \right| + \left| \frac{\partial \varphi_2}{\partial y} \right| < 1$ în vecinătatea punctului (x_0, y_0) , iar convergența va fi cu atât mai rapidă, cu cât va fi mai mică fiecare dintre părțile din stînga ale ambelor inegalități.

La fel se aplică metoda iterației și la rezolvarea sistemelor de ecuații cu un număr mare de necunoscute.

Separarea rădăcinilor unei ecuații. Separarea rădăcinilor unei ecuații $f(x) = 0$ constă în determinarea a două numere a și b , între care să se afle o singură rădăcină reală a ecuației. Dacă partea stîngă a ecuației $f(x)$ reprezintă o funcție continuă, iar ecuația $f(x) = 0$ are rădăcini reale, atunci dînd lui x diferite valori numerice succesive și calculînd valorile respective ale funcției $f(x)$, putem determina o pereche de valori a și b apropiate între ele ($a < b$), pentru care valorile funcției vor avea semne diferite. În acest caz, între a și b se află cel puțin o rădăcină reală a ecuației noastre. Continuînd să calculăm valorile funcției pentru valorile lui x cuprinse între a și b , putem înlocui intervalul (a, b) cu un interval mai mic (a', b') , la capetele căruia $f(x)$ are de asemenea semne diferite, și putem continua astfel, pînă cînd acest interval devine mai mic decît eroarea absolută cu care dorim să determinăm rădăcina ecuației.

De exemplu, dacă este dată ecuația $x \lg x - 1,2 = 0$, pentru separarea rădăcinilor se formează o tabelă de valori x și de valorile corespunzătoare acestora $f(x) = x \lg x - 1,2$.

x	$f(x) = x \lg x - 1,2$	x	$f(x) = x \lg x - 1,2$
0	-1,2	1,0	-1,2
0,2	-1,34	2,0	-0,6
0,4	-1,36	3,0	+0,23
0,6	-1,33	4,0	+1,21
0,8	-1,28		

Această tabelă arată că $f(2)$ și $f(3)$ sînt cu semne diferite și de aceea în intervalul $(2,3)$ se află o rădăcină a ecuației $x \lg x - 1,2 = 0$, micșorînd prin metoda indicată intervalul obținut, se poate determina valoarea acestei rădăcini cu orice precizie.

Metoda indicată de separarea rădăcinilor nu este aplicabilă pentru separarea unei rădăcini multiple a funcției $f(x)$, dacă ordinul de multiplicitate a rădăcinii este un număr par (sau în cazul cînd există un număr par de rădăcini foarte apropiate). O astfel de rădăcină este o rădăcină simplă sau multiplă, de ordin impar, a derivatei $f'(x)$ și separarea ei poate fi efectuată cu ajutorul metodei indicate mai înainte, care trebuie aplicată funcției $f'(x)$. Desigur, trebuie să avem în vedere că nu orice rădăcină a funcției $f'(x)$ poate fi rădăcină a funcției $f(x)$ și, de aceea, trebuie să facem o verificare înlocuind rădăcina găsită în $f(x)$.

Interpolarea liniară (metoda coardelor). Pentru a aplica această metodă, trebuie în prealabil să efectuăm separarea rădăcinii căutate a ecuației $f(x) = 0$. Precizarea valorii rădăcinii se face după formula

$$x^{(1)} = a - \frac{(b-a)f(a)}{f(b)-f(a)} \text{ sau } x^{(1)} = b - \frac{(b-a)f(b)}{f(b)-f(a)}.$$

Valoarea aproximativă a rădăcinii obținute prin această formulă este abscisa punctului de intersecție a coardei MN_1 a curbei $y = f(x)$ cu axa Ox (fig. 1.188), în timp ce valoarea exactă a rădăcinii este abscisa punctului de intersecție a arcului MN_1 cu axa Ox .

Prima aproximație obținută a rădăcinii poate fi din nou precizată prin aplicarea repetată a aceluiași formule pentru cel mai mic dintre intervale $(a, x^{(1)})$ sau $(x^{(1)}, b)$, la capetele căruia $f(x)$ are semne diferite:

$$x^{(2)} = a - \frac{(x^{(1)}-a)f(a)}{f(x^{(1)})-f(a)} \text{ sau } x^{(2)} = b - \frac{(b-x^{(1)})f(b)}{f(b)-f(x^{(1)})}.$$

Din punct de vedere geometric, aplicarea repetată a metodei înseamnă apropierea de rădăcină cu ajutorul coardelor MN_1, MN_2 etc.

Exemplu: să se rezolve ecuația $x \lg x - 1,2 = 0$.

Din tabela de la p. 249 se vede că rădăcina acestei ecuații se află între 2 și 3. De aceea, calculând prima valoare aproximativă a rădăcinii, se obține $x^{(1)} = 2 - \frac{(3-2)(-0,6)}{0,23 - (-0,6)} = 2,72$.

Deoarece $f(2,72) = -0,017$ și $f(3) = 0,23$ au semne diferite, aplicând de două ori metoda coardelor intervalului $(2,72; 3)$, se obține următoarea aproximație

$$x^{(2)} = 2,72 - \frac{(3-2,72 - (-0,017))}{0,23 - (-0,017)} \approx 2,74.$$

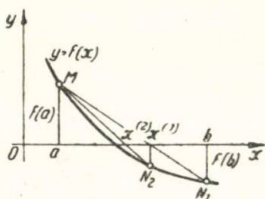


Fig. 1-188.

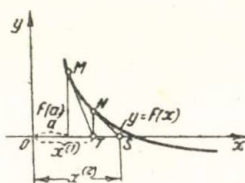


Fig. 1-189

Metoda lui Newton. Pentru a obține o valoare mai exactă rădăcinii $x = a$ a ecuației $f(x) = 0$, putem folosi formula lui Newton

$$x^{(1)} = a - \frac{f(a)}{f'(a)} \text{ care din punct de vedere geometric înseamnă că}$$

arcul curbei $y = f(x)$ este înlocuit cu tangenta MT (fig. 1.189), iar în locul valorii exacte a rădăcinii x (abscisa punctului de intersecție a curbei cu axa Ox) se ia ca valoare aproximativă $x^{(1)}$ (abscisa punctului de intersecție a tangentei cu axa Ox).

Prin aplicarea repetată a metodei lui Newton putem corecta prima aproximație obținută a rădăcinii:

$$x^{(2)} = x_1^{(1)} - \frac{f(x^{(1)})}{f'(x^{(1)})};$$

$$x^{(3)} = x^{(2)} - \frac{f(x^{(2)})}{f'(x^{(2)})}; \dots$$

$$x^{(n)} = x^{(n-1)} - \frac{f(x^{(n-1)})}{f'(x^{(n-1)})}.$$

Din punct de vedere geometric, aceasta înseamnă apropierea de rădăcină, cu ajutorul tangentelor MT , NS etc.

Dacă curba $y = f(x)$, la intersecția cu axa Ox , este aproape paralelă cu ea, adică dacă mărimea $f'(x)$ este aproape de zero, se recomandă să se recurgă la metoda coardelor sau la alte metode.

Dacă într-un anumit interval (a, b) , care conține rădăcina ecuației $f(x) = 0$, mărimea $f''(x)$ are semnul constant, este indicat să se facă simultan calculul atât prin metoda lui Newton, cât și prin metoda coardelor; una dintre metode va da valori aproximative ale rădăcinii cu erori în minus, iar cealaltă cu erori în plus, ceea ce va permite să se evalueze precizia obținută.

Exemplu. Să se determine rădăcina reală a ecuației $x^3 - 2x - 5 = 0$.

Aproximația inițială $x = 2$ (fig. 1.190) se determină grafic. Precizarea ulterioară a rădăcinii se efectuează cu ajutorul formulei lui Newton:

$$x^{(1)} = 2 - \frac{f(2)}{f'(2)} = 2 + \frac{1}{10} = 2,1.$$

Apoi se găsește

$$x^{(2)} = 2,1 - \frac{f(2,1)}{f'(2,1)} = 2,0946$$

și

$$x^{(3)} = 2,0946 - \frac{f(2,0946)}{f'(2,0946)} = 2,09455148.$$

Metoda menționată este aplicabilă și pentru obținerea valorilor aproximative ale rădăcinilor unui sistem de ecuații. De exemplu, dacă pentru sistemul $f_1(x, y) = 0$, $f_2(x, y) = 0$, numerele $x^{(0)}$, $y^{(0)}$ sînt valorile inițiale aproximative ale rădăcinilor sistemului, atunci aproximațiile lor succesive $x^{(1)} = x^{(0)} + h^{(1)}$, $y^{(1)} = y^{(0)} + k^{(1)}$ se obțin determinînd pe $h^{(1)}$ și $k^{(1)}$ din sistemul de ecuații:

$$\left[\frac{\partial f_1}{\partial x} \right]_0 h^{(1)} + \left[\frac{\partial f_1}{\partial y} \right]_0 k^{(1)} + [f_1]_0 = 0$$

$$\left[\frac{\partial f_2}{\partial x} \right]_0 h^{(1)} + \left[\frac{\partial f_2}{\partial y} \right]_0 k^{(1)} + [f_2]_0 = 0,$$

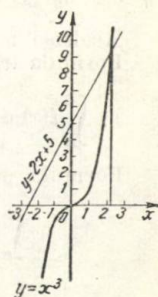


Fig. 1-190.

unde indicele zero de pe lângă paranteze înseamnă că în funcții și în derivatele lor trebuie să înlocuim pe x și y prin valorile $x^{(0)}$ și $y^{(0)}$.

Pentru obținerea unor valori mai exacte a rădăcinilor, trebuie să repetăm metoda indicată și să găsim corecțiile următoare $h^{(2)}$, $h^{(2)}$ etc.

§ 1.25. Integrarea numerică (cuadraturi mecanice)

Dacă într-o integrală definită $\int_a^b f(x) dx$ funcția de sub integrală este dată printr-o tabelă, ea poate fi integrată numeric, adică putem calcula aproximativ valoarea integralei definite (putem să efectuăm *cuadratura mecanică*). Dăm mai jos câteva formule utile pentru cuadraturile mecanice.

Formula dreptunghiurilor:

$$\int_a^b f(x) dx \approx \frac{b-a}{n} (y_0 + y_1 + y_2 + \dots + y_{n-1})$$

sau

$$\int_a^b f(x) dx \approx \frac{b-a}{n} (y_1 + y_2 + y_3 + \dots + y_n),$$

unde $y_0 = f(x_0)$; $y_1 = f(x_0 + h)$; $x_2 = f(x_0 + 2h)$; ...; $y_n = f(x_0 + nh)$, iar $x_0 = a$, $x_n = a + nh = b$, $h = \frac{b-a}{n}$.

Aceleași notații sînt adoptate și în următoarele două formule. Formula trapezelor:

$$\int_a^b f(x) dx \approx \frac{b-a}{2n} (y_0 + 2y_1 + 2y_2 + \dots + 2y_{n-1} + y_n).$$

Formula parabolilor (Simpson):

$$\int_a^b f(x) dx \approx \frac{b-a}{3n} (y_0 + 4y_1 + 2y_2 + 4y_3 + 2y_4 + \dots + 4y_{n-2} + 2y_{n-1} + y_n),$$

unde n este par.

Formula lui Cebîșev;

$$\int_a^b f(x) dx \approx \frac{b-a}{n} [f(X_1) + f(X_2) + \dots + f(X_n)],$$

unde

$$X_i = \frac{a+b}{2} + \frac{b-a}{2} x_i,$$

iar abscisele x_i sînt date mai departe în tabela I.

Pentru $n = 8$ și pentru $n > 9$ formula lui Cebîșev nu este aplicabilă (abscisele sînt imaginare).

I. Abscisele x_i pentru formula lui Cebîșev

n	x_1	x_2	x_3	x_4
2	0,577350	-0,577350		
3	0,707107	0	-0,707107	
4	0,794654	0,187592	-0,187592	-0,794654
5	0,832498	0,374541	0	-0,374541
6	0,866247	0,422519	0,266635	-0,266635
7	0,883862	0,529657	0,323919	0
9	0,911589	0,601019	0,528762	-0,167906

n	x_5	x_6	x_7	x_8	x_9
2					
3					
4					
5	-0,832498				
6	-0,422519	-0,866247			
7	-0,323919	-0,529657	-0,883862		
9	0	-0,167906	-0,528762	-0,601019	-0,911589

Formula lui Gauss:

$$\int_a^b f(x) dx \approx (b - a) [A_1 f(X_1) + A_2 f(X_2) + \dots + A_n f(X_n)],$$

unde $X_i = a + (b - a) x_i$, iar coeficienții A_i și abscisele x_i sînt date în tabela II.

Precizia fiecărei formule a cuadraturilor mecanice este de regulă cu atît mai mare, cu cît este mai mare n . Pentru aceleași valori n , formula a doua este mai precisă decît prima, iar a treia este în general și mai precisă și de aceea se folosește mai des.

Exemplu. Să se calculeze $I = \int_0^{\pi/2} \sin x dx$ (valoarea exactă $I = 1$):

a) După formula trapezului. Pentru $n = 10$ se obține

$$\frac{b - a}{n} = \frac{\pi}{20} = 0,1570796 = 9^\circ$$

și

$$I = \frac{1}{2} \cdot 0,1570796 [\sin 0^\circ + 2 \sin 9^\circ + 2 \sin 18^\circ + \dots \\ \dots + 2 \sin 81^\circ + \sin 90^\circ] = 0,997946.$$

II. Abscisele X_i și coeficienții A_i ai formulei lui Gauss

n	Abscisele x_i							
	x_1	x_2	x_3	x_4	x_5	x_6	x_7	x_8
1	0,5							
2	0,211325	0,788675						
3	0,112702	0,5	0,887298					
4	0,069432	0,330009	0,669991	0,930568				
5	0,046910	0,230765	0,5	0,769235	0,953090			
6	0,033765	0,169395	0,380690	0,619310	0,830605	0,966235		
7	0,025446	0,129234	0,297077	0,5	0,702923	0,870766	0,974554	
8	0,019855	0,101667	0,237234	0,408283	0,591717	0,762766	0,898333	0,980145

n	Coeficienții A_i							
	A_1	A_2	A_3	A_4	A_5	A_6	A_7	A_8
1	1							
2	$\frac{1}{2}$	$\frac{1}{2}$						
3	$\frac{5}{18}$	$\frac{4}{9}$	$\frac{5}{18}$					
4	0,173927	0,326073	0,326073	0,173927				
5	0,118463	0,239314	0,284444	0,239314	0,118463			
6	0,085662	0,180381	0,233957	0,233957	0,180381	0,085662		
7	0,064742	0,139853	0,190915	0,208980	0,190915	0,139853	0,064742	
8	0,050614	0,111191	0,156853	0,151342	0,181342	0,156853	0,111191	0,050614

b) După formula parabolei. Pentru $n = 10$ se obține

$$I = \frac{1}{3} \cdot 0,1570796 [\sin 0^\circ + 4 \sin 9^\circ + 2 \sin 18^\circ + 4 \sin 27^\circ + \dots + 4 \sin 72^\circ + 2 \sin 81^\circ + \sin 90^\circ] = 1,000005.$$

c) După formula lui Cebîșev. Luăm $n = 5$.

Folosind tabela I, avem:

$$x_1 = -x_5 = 0,832498; \quad x_2 = -x_4 = 0,374541; \quad x_3 = 0.$$

Mai departe

$$X_i = \frac{a+b}{2} + \frac{b-a}{2} x_i = 45^\circ + 45^\circ x_i$$

și

$$X_1 = 45^\circ + 45^\circ x_1 = 82^\circ 27',74; \quad \sin X_1 = 0,99136;$$

$$X_2 = 45^\circ + 45^\circ x_2 = 61^\circ 51',26; \quad \sin X_2 = 0,88176;$$

$$X_3 = 45^\circ + 45^\circ x_3 = 45^\circ; \quad \sin X_3 = 0,70711;$$

$$X_4 = 45^\circ + 45^\circ x_4 = 28^\circ 08',74; \quad \sin X_4 = 0,47171;$$

$$X_5 = 45^\circ + 45^\circ x_5 = 7^\circ 32',26; \quad \sin X_5 = 0,13117;$$

$$I = \frac{1}{5} \cdot \frac{\pi}{2} (\sin X_1 + \sin X_2 + \sin X_3 + \sin X_4 + \sin X_5) = 1,00000.$$

d) După formula lui Gauss. Luând $n = 5$, se obține x_1, x_2, x_3, x_4, x_5 , și A_1, A_2, A_3, A_4, A_5 din tabela II.

Mai departe,

$$X_i = a + (b - a) x_i = 90^\circ x_i,$$

de unde

$$X_1 = 4^\circ 13' 18'',87; \quad X_2 = 20^\circ 46' 7'',96; \quad X_3 = 45^\circ;$$

$$X_4 = 69^\circ 13' 52'',03; \quad X_5 = 85^\circ 46' 41'',13$$

și

$$I = \frac{\pi}{2} (A_1 \sin X_1 + A_2 \sin X_2 + A_3 \sin X_3 + A_4 \sin X_4 + A_5 \sin X_5) = 1,000000.$$

§ 1.26. Rezolvarea numerică a ecuațiilor diferențiale

Pentru a găsi o soluție particulară aproximativă a ecuației diferențiale $dy/dx = f(x, y)$ care să satisfacă condiția inițială $y = y_0$ pentru $x = x_0$ se pot folosi următoarele metode.

Metoda aproximațiilor succesive. Folosind condiția inițială, din ecuația $y' = f(x, y)$ se obține expresia pentru y sub forma.

$$y = y_0 + \int_{x_0}^x f(x, y) dx.$$

Ca aproximație inițială pentru y luăm y_0 , pe care o înlocuim în funcția de sub integrală în locul lui y ; efectuăm cuadratura (exact sau aproximativ) și obținem prima aproximație:

$$y_1 = y_0 + \int_{x_0}^x f(x, y_0) dx.$$

A doua și aproximațiile următoare le găsim în mod analog prin înlocuirea succesivă, în funcția de sub integrală, a lui y prin aproximațiile calculate y_1, y_2, y_3 etc.:

$$y_2 = y_0 + \int_{x_0}^x f(x, y_1) dx; \quad y_3 = y_0 + \int_{x_0}^x f(x, y_2) dx; \dots$$

$$y_n = y_0 + \int_{x_0}^x f(x, y_{n-1}) dx.$$

Procesul de aproximare succesivă se întrerupe, de obicei, îndată ce mărimea absolută a diferenței dintre două aproximații succesive y_{n+1} și y_n devine mai mică decât eroarea admisă.

Exemplu. Să se găsească soluția ecuației diferențiale $\frac{dy}{dx} = x + y$, care satisface condiția inițială: $y_0 = 1$ pentru $x = 0$.
Avem

$$y_1 = 1 + \int_0^x (x + 1) dy = 1 + x + \frac{x^2}{2};$$

$$y_2 = 1 + \int_0^x \left(x + 1 + x + \frac{x^2}{2} \right) dx = 1 + x + x^2 + \frac{x^3}{6};$$

$$y_3 = 1 + \int_0^x \left(x + 1 + x + x^2 + \frac{x^3}{6} \right) dx = 1 + x + x^2 + \frac{x^3}{3} + \frac{x^4}{24}.$$

Această aproximație dă $y = 1,1103$ pentru $x = 0,1$ și $y = 1,2427$ pentru $x = 0,2$. Dacă comparăm aceste numere cu valorile respective ale soluției exacte, vom constata că în prima dintre ele toate cifrele sînt exacte, iar în a doua eroarea este de o unitate la ultima cifră.

Aplicarea seriilor. Soluția particulară a ecuației diferențiale se caută sub forma unei serii Taylor:

$$y = y_0 + \frac{y'_0}{1!} (x - x_0) + \frac{y''_0}{2!} (x - x_0)^2 + \dots$$

În această dezvoltare x_0 și y_0 sînt date prin valorile inițiale. Introducînd în ecuația diferențială x_0 și y_0 în locul lui x și y , obținem valoarea inițială a primei derivate $y'_0 = f(x_0, y_0)$.

Pentru determinarea valorilor inițiale ale derivatelor superioare, derivăm ecuația noastră în raport cu x : $y'' = f'_x(x, y) + f'_y(x, y) y'$; în expresia obținută punem $x = x_0$, $y = y_0$, $y' = y'_0$ și găsim $y''_0 = f'_x(x_0, y_0) + f'_y(x_0, y_0) y'_0$.

Analog determinăm valorile inițiale ale celorlalte derivate.

Uneori, pentru găsirea coeficienților seriei, se folosește metoda coeficienților nedeterminați. În acest caz, se scrie soluția sub forma

$$y = a_0 + a_1(x - x_0) + a_2(x - x_0)^2 + \dots$$

Derivînd în raport cu x , se obține: $y' = a_1 + 2a_2(x - x_0) + \dots$

Se înlocuiește această dezvoltare în ecuație în identitatea obținută, se compară coeficienții acelorași puteri ale diferenței $x - x_0$ din partea stîngă și din partea dreaptă a identității și se ajunge astfel la un sistem de ecuații pentru determinarea coeficienților a_0, a_1, a_2, \dots

Metoda de rezolvare a ecuațiilor diferențiale cu ajutorul seriilor se aplică de asemenea și ecuațiilor de ordine superioare.

Exemplu. Să se găsească soluția particulară a ecuației $y'' + \frac{1}{x} y' +$

$+ y = 0$ cu condițiile inițiale: $y = 1$, $y' = 0$, pentru $x = 0$.

Punînd $y = a_0 + a_1x + a_2x^2 + \dots + a_{n-2}x^{n-2} + a_{n-1}x^{n-1} + a_nx^n + \dots$, se obține

$$y' = a_1 + 2a_2x + \dots + (n-2)a_{n-2}x^{n-3} +$$

$$+ (n-1)a_{n-1}x^{n-2} + na_nx^{n-1} + \dots;$$

$$y'' = 2a_2 + \dots + (n-3)(n-2)a_{n-2}x^{n-4} +$$

$$+ (n-2)(n-1)a_{n-1}x^{n-3} + (n-1)na_nx^{n-2} + \dots$$

Înlocuind în ecuație, rezultă

$$\frac{a_1}{x} + (a_0 + 2a_2 + 2a_2) + \dots$$

$$\dots + [a_{n-2} + na_n + (n-1)na_n]x^{n-2} + \dots = 0$$

sau

$$\frac{a_1}{x} + (a_0 + 4a_2) + \dots + (a_{n-2} + n^2a_n)x^{n-2} + \dots = 0.$$

De aici

$$a_1 = 0; \quad a_0 + 2^2a_2 = 0; \quad a_1 + 3^2a_3 = 0; \quad \dots; \quad a_{n-2} + n^2a_n = 0; \quad \dots$$

Rezolvînd acest sistem de ecuații, se obține

$$a_1 = a_3 = a_5 = \dots = 0;$$

$$a_2 = -\frac{a_0}{2^2}; a_4 = -\frac{a_2}{4^2} = \frac{a_0}{2^2 \cdot 4^2}; \dots; a_n = -\frac{a_{n-2}}{n^2} = \pm \frac{a_0}{2^2 \cdot 4^2 \dots n^2}$$

(n — par) și

$$y = a_0 \left(1 - \frac{x^2}{2^2} + \frac{x^4}{2^2 \cdot 4^2} - \frac{x^6}{2^2 \cdot 4^2 \cdot 6^2} + \dots \right).$$

Pentru determinarea lui a_0 se folosesc condițiile inițiale.

Punînd $x = 0$ și $y = 1$, se obține $a_0 = 1$ (condiția $y' = 0$ pentru $x = 0$ este satisfăcută pentru orice a_0).

Soluția particulară căutată este

$$y = 1 - \frac{x^2}{2^2} + \frac{x^4}{2^2 \cdot 4^2} - \frac{x^6}{2^2 \cdot 4^2 \cdot 6^2} + \dots$$

Metoda lui Euler-Cauchy. Transcriind ecuația diferențială sub forma $dy = f(x, y) dx$ și înlocuind diferențialele prin creșterile respective, se obțin egalitățile aproximative $\Delta y_0 = f(x_0, y_0) \Delta x_0$;

$$\Delta y_1 = f(x_1, y_1) \Delta x_1; \Delta y_2 = f(x_2, y_2) \Delta x_2; \dots$$

$$\dots \Delta y_{n-1} = f(x_{n-1}, y_{n-1}) \Delta x_{n-1}.$$

Din prima relație se determină y_1 după formula

$$y_1 = y_0 + \Delta y_0 = y_0 + f(x_0, y_0) \Delta x_0$$

și se înlocuiește în a doua. În mod analog, din egalitatea a doua se determină y_2 :

$$y_2 = y_1 + \Delta y_1 = y_1 + f(x_1, y_1) \Delta x_1$$

și se înlocuiește în a treia etc.

Metoda lui Euler-Cauchy se folosește de obicei numai pentru aproximații grosolane, luînd n mic.

Metoda lui Adams-Krîlov. Această metodă se bazează pe aplicarea formulei

$$\Delta y_n = \eta_n + \frac{1}{2} \Delta \eta_{n-1} + \frac{5}{12} \Delta^2 \eta_{n-2}, \text{ unde } \eta_n = y'_n h = f(x_n, y_n) h.$$

Dacă, în afară de valoarea inițială a funcției $y = y_0$ pentru $x = x_0$, se cunosc încă două valori ale funcției y_1 și y_2 , corespunzătoare

valorilor argumentului $x_1 = x_0 + h$ și $x_2 = x_0 + 2h$, putem forma tabela

x	y	Δy	η	$\Delta \eta$	$\Delta^2 \eta$
x_0	y_0	Δy_0	η_0	$\Delta \eta_0$	$\Delta^2 \eta_0$
x_1	y_1	Δy_1	η_1	$\Delta \eta_1$	
x_2	y_2		η_2		

Această tabelă poate fi prelungită cu ajutorul formulei fundamentale. Într-adevăr, punind $n = 2$, găsim din formulă Δy_2 și, deci, și y_3 ($y_3 = y_2 + \Delta y_2$). Calculăm $\eta_3 = f(x_3, y_3)h$ și diferențele $\Delta \eta_2$ și $\Delta^2 \eta_1$ și completăm astfel partea dreaptă a tabelului printr-un rând oblic. Folosind formula din urmă precum și formula fundamentală, determinăm Δy_3 și deci și y_4 , calculăm $\eta_4, \Delta \eta_3$ și $\Delta^2 \eta_2$ și prin urmare completăm tabela cu încă un rând oblic. Analog continuăm completarea tabelului.

Valorile y_1 și y_2 , necesare pentru completarea rîndurilor inițiale ale tabelului, pot fi determinate fie cu ajutorul dezvoltării lui y în serie, fie prin metoda aproximațiilor succesive, propusă de A. N. Krilov și bazată pe două formule

$$\begin{aligned} \Delta y_0 &= \eta_0 + \frac{1}{2} \Delta \eta_0 - \frac{1}{12} \Delta^2 \eta_0 \\ \Delta y_1 &= \eta_1 + \frac{1}{2} \Delta \eta_0 + \frac{5}{12} \Delta^2 \eta_0. \end{aligned} \quad (*)$$

În prima aproximație punem $\Delta y_0 = \eta_0$.

Cunoscînd pe y_0 și calculînd pe η_0 după formula $\eta_0 = f(x_0, y_0)h$, găsim y_1 ($y_1 = y_0 + \Delta y_0 = y_0 + \eta_0$). Acum vom calcula η_1 și, prin aceasta, și $\Delta \eta_0$ ($\Delta \eta_0 = \eta_1 - \eta_0$) și vom corecta valoarea Δy_0 , punînd, de data aceasta, $\Delta y_0 = \eta_0 + \frac{1}{2} \Delta \eta_0$.

Cu ajutorul acestei valori corectate Δy_0 vom corecta valorile y_1, η_1 și $\Delta \eta_0$ și vom găsi Δy_1 după formula $\Delta y_1 = \eta_1 + \frac{1}{2} \Delta \eta_0$.

Putem determina acum y_2 ($y_2 = y_1 + \Delta y_1$) precum și $\eta_2, \Delta \eta_1 = \eta_2 - \eta_1$ și $\Delta^2 \eta_0 = \Delta \eta_1 - \Delta \eta_0$.

Rămîne să verificăm acum formulele (*).

Deseori $\Delta^2 \eta_0$ se dovedește a fi atît de mic, încît aceste formule sînt corecte, deși pentru calculul lui Δy_0 și Δy_1 mărirea $\Delta^2 \eta_0$ nu a fost luată în considerare. Dacă aceasta nu este așa, atunci vom recalcuła Δy_0 și Δy_1 complet pe baza formulelor (*), vom calcula din nou $\eta_1, \eta_2, \Delta \eta_0, \Delta \eta_1$ și $\Delta^2 \eta_0$ și vom verifica din nou dacă formulele (*) sînt satisfăcute etc. De obicei, acest proces duce rapid la valori suficient de exacte pentru y_1 și y_2 .

Exemplu. Să se găsească soluția aproximativă a ecuației $y' = \frac{xy}{x^2 + y^2}$ pentru condițiile inițiale: $x_0 = 0$, $y_0 = 1$.

Să formăm tabela de valori a funcției căutate în intervalul de la $x=0$ la $x=1$ prin 0,1 (adică punând $h = 0,1$); să determinăm mai întâi prin metoda lui Krilov valorile y_1 și y_2 . Avem $\eta_0 = \frac{x_0 y_0}{x_0^2 + y_0^2} h = 0$; în prima aproximație punem $\Delta y_0 = \eta_0 = 0$, $y_1 = y_0 + \Delta y_0 = 1$ și

$$\eta_1 = \frac{x_1 y_1}{x_1^2 + y_1^2} h = \frac{0,1 \cdot 1}{0,1^2 + 1^2} \cdot 0,1 = 0,0099,$$

de unde $\Delta \eta_0 = \eta_1 - \eta_0 = 0,0099$.

Să corectăm valoarea Δy_0 punând

$$\Delta y_0 = \eta_0 + \frac{1}{2} \Delta \eta_0 = 0 + \frac{1}{2} \cdot 0,0099 = 0,005,$$

de unde

$$y_1 = y_0 + \Delta y_0 = 1,005$$

și

$$\eta_1 = \frac{x_1 y_1}{x_1^2 + y_1^2} h = \frac{0,1 \cdot 1,005}{0,1^2 + 1,005^2} \cdot 0,1 = 0,0099;$$

în acest caz,

$$\Delta \eta_0 = \eta_1 - \eta_0 = 0,0099 - 0 = 0,0099$$

și

$$\Delta y_1 = \eta_1 + \frac{1}{2} \Delta \eta_0 = 0,0099 + \frac{1}{2} \cdot 0,0099 = 0,015.$$

Prin urmare

$$y_2 = y_1 + \Delta y_1 = 1,005 + 0,015 = 1,020.$$

Mai departe

$$\eta_2 = \frac{x_2 y_2}{x_2^2 + y_2^2} h = \frac{0,2 \cdot 1,020}{0,2^2 + 1,020^2} \cdot 0,1 = 0,0189,$$

$$\Delta \eta_1 = \eta_2 - \eta_1 = 0,0189 - 0,0099 = -0,0090$$

și

$$\Delta^2 \eta_0 = \Delta \eta_1 - \Delta \eta_0 = 0,0090 - 0,0099 = -0,0009.$$

Să verificăm formulele (*) pentru valorile $y_1 = 1,005$ și $y_2 = 1,020$:

$$\Delta y_0 = 0 + \frac{1}{2} \cdot 0,0099 - \frac{1}{12} (-0,0009) = 0,005;$$

$$\Delta y_1 = 0,0099 + \frac{1}{2} \cdot 0,0099 + \frac{5}{12} (-0,0009) = 0,0145.$$

Astfel, prima formulă este satisfăcută exact, iar eroarea celei de a doua este atât de mică, încât apare numai în a cincea cifră semnificativă a lui y .

Calculule următoare ale valorilor y după metoda Adams-Krîlov sint date în tabela de mai jos.

$$\text{Rezolvarea ecuației } y' = \frac{xy}{x^2 + y^2}$$

x	y	Δy	η	$\Delta \eta$	$\Delta^2 \eta$
0,0	1,000		0		
0,1	1,005	0,005	0,0099	0,0099	
0,2	1,020	0,015	0,0189	0,0090	-0,0009
0,3	1,043	0,023	0,0266	0,0077	-0,0013
0,4	1,073	0,030	0,0327	0,0061	-0,0016
0,5	1,108	0,035	0,0375	0,0048	-0,0013
0,6	1,147	0,039	0,0411	0,0036	-0,0012
0,7	1,189	0,042	0,0437	0,0026	-0,0010
0,8	1,234	0,045	0,0456	0,0019	-0,0007
0,9	1,280	0,046	0,0471	0,0015	-0,0004
1,0	1,328	0,048			

§ 1.27. Metode grafice

Diferențierea grafică. Dacă funcția $y = f(x)$ este dată grafic (fig. 1.191), derivata ei $f'(x)$ poate fi găsită grafic în modul următor.

Segmentul $[a, b]$ pe care este dată funcția $y = f(x)$, îl împărțim în n părți. Părțile segmentului $[a, b]$ nu trebuie să fie numaidecît egale: trebuie luate mai mici acolo unde funcția $f(x)$ variază repede. Prin mijloacele tuturor părților de segment, m_1, m_2, m_3 , ducem dreptele $m_1M_1, m_2M_2, m_3M_3, \dots$ perpendiculare pe axa Ox , pînă la intersecția cu curba în punctele M_1, M_2, M_3, \dots și în fiecare din aceste puncte ducem tangentele respective. După aceea, alegînd în partea negativă a axei Ox polul P la distanța $PO = \lambda$ de originea axelor

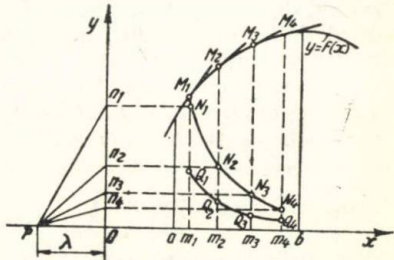


Fig. 1.191.

de coordonate, ducem din el paralel cu tangentele la curbă în punctele M_1, M_2, M_3, \dots , dreptele Pn_1, Pn_2, Pn_3, \dots pînă la intersecția cu axa Oy în punctele n_1, n_2, n_3, \dots . Din aceste puncte ducem paralel cu axa Ox dreptele $n_1N_1, n_2N_2, n_3N_3, \dots$ pînă la intersecția cu ordonatele respective (sau cu prelungirile lor) $m_1M_1, m_2M_2, m_3M_3, \dots$, în punctele N_1, N_2, N_3, \dots .

Curba $N_1N_2N_3, \dots$ este graficul aproximativ al funcției $y = \lambda f'(x)$; pentru $\lambda = 1$ obținem graficul căutat al derivatei $y = f'(x)$.

Dacă $\lambda \neq 1$, construim punctele Q_1, Q_2, Q_3, \dots cu ordonatele egale cu ordonatele punctelor N_1, N_2, N_3, \dots împărțite prin λ . Curba

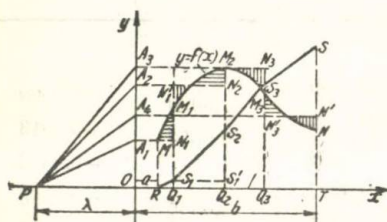


Fig. 1.192.

care unește punctele Q_1, Q_2, Q_3, \dots este graficul derivatei.

Integrarea grafică. Dacă este dat graficul funcției $y = f(x)$ (fig. 1.192), valoarea integralei

definite $\int_b^a f(x) dx$ poate fi găsită

grafic în modul următor. Aria $RMNT$, care dă mărimea integralei definite, se împarte în trapeze curbilinii $RMM_1Q_1, Q_1M_1M_2Q_2, Q_2M_2M_3Q_3, Q_3M_3NT$ și construim dreptunghiurile

$RMN_1Q_1, Q_1N_1'N_2Q_2, Q_2M_2N_3Q_3, Q_3N_3'N'T$ astfel, încît ariile triunghiurilor curbilinii situate deasupra și sub curbă (hașurate pe figură) să fie aproximativ egale; în acest caz, aria căutată poate fi înlocuită cu suma ariilor acestor triunghiuri.

Pentru a obține grafic un număr egal cu numărul care reprezintă aria primului dreptunghi RMN_1Q_1 , marcăm pe axa Ox la stînga originii segmentul $OP = \lambda$, iar pe axa Oy segmentul $OA_1 = Q_1N_1$ și din punctul R ducem o dreaptă paralelă cu PA_1 pînă la intersecția cu Q_1N_1 în punctul S_1 . Lungimea segmentului Q_1S_1 va reprezenta grafic aria dreptunghiului RMN_1Q_1 , împărțită prin λ .

Apoi, prin aceeași metodă construim un segment, a cărui lungime este numeric egală cu aria dreptunghiului al doilea. Pentru aceasta marcăm pe axa Oy , începînd de la origine, segmentul $OA_2 = Q_2N_2$, iar din punctul S_1 ducem o dreaptă paralelă cu PA_2 pînă la intersecția cu dreapta Q_2N_2 în punctul S_2 . Segmentul S_1S_2 dă aria celui de al doilea dreptunghi, împărțită prin λ , iar segmentul Q_2S_2 , suma ariilor primului și al doilea dreptunghi, împărțită prin λ etc. Pentru $\lambda = 1$ lungimile segmentelor Q_1S_1 și S_1S_2 sînt numeric egale cu ariile dreptunghiurilor $RMN_1Q_1, Q_1N_1'N_2Q_2$, iar lungimea segmentului Q_2S_2 este egală cu suma ariilor acestor dreptunghiuri. Continuînd construcția, ajungem la segmentul TS , care pentru $\lambda = 1$ reprezintă

grafic mărimea integralei $\int_a^b f(x) dx$. Linia frîntă $RS_1S_2S_3S$ va repre-

zenta (pentru $\lambda = 1$) graficul aproximativ al funcției $y = \int_a^x f(x) dx$.

Rezolvarea grafică a ecuațiilor diferențiale. Ecuația $dy/dx = f(x, y)$ redă dependența dintre coordonatele punctului $M(x, y)$ și coeficientul unghiular al tangentei la curbă în acest punct.

Dacă este dată valoarea inițială a funcției căutate $y = y_0$ pentru $x = x_0$, atunci din familia de curbe, reprezentate prin soluția generală a ecuației date, putem alege o anumită curbă, care trece prin punctul $M_0(x_0, y_0)$.

Pentru construirea aproximativă a acestei curbe, împărțim planul în benzi prin dreptele $x = x_0, x = x_1, x = x_2$ etc., paralele cu axa Oy și, pornind de la originea axelor de coordonate, marcăm pe axa Ox segmentul $OP = 1$ (fig. 1.193).

Determinînd din ecuația dată $f(x_0, y_0)$, marcăm pe axa Oy segmentul $OA_0 = f(x_0, y_0)$.

Dreapta PA_0 este paralelă cu tangenta la curba integrală în punctul M_0 , deoarece coeficientul ei unghiular este egal cu $f(x_0, y_0)$.

Din punctul M_0 ducem dreapta $M_0M_1 \parallel PA_0$, pînă la intersecția cu dreapta $x = x_1$ și măsurăm ordonata y_1 a punctului M_1 . După aceea, pe axa ordonatelor marcăm segmentul $OA_1 = f(x_1, y_1)$, iar din punctul M_1 ducem dreapta $M_1M_2 \parallel PA_1$ pînă la intersecția cu dreapta $x = x_2$ în punctul M_2 , măsurăm ordonata y_2 a acestui punct, luînd pe axa Oy segmentul $OA_2 = f(x_2, y_2)$ etc.

Linia frîntă construită $M_0M_1M_2M_3M_4M_5$ reprezintă aproximativ curba integrală.

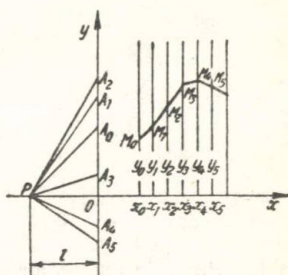


Fig. 1.193.

Tabele matematice

Cuprins

	Pag.
1.1. Puterile numerelor 2, 3 și 5.....	235
1.2. Numerele prime de la 1 până la 10 000.....	236
1.3. Logaritmi zecimali ai numerelor de la 1 până la 100	239
1.4. Logaritmi zecimali ai numerelor de la 100 până la 10 000	240
1.5. Antilogaritmi	262
1.6. Logaritmi naturali ai numerelor de la 1,00 până la 9,99	265
1.7. Logaritmi naturali ai puterilor lui 10.....	267
1.8. Multiplii lui $1/M$ pentru transformarea logaritmilor zecimali în logaritmi naturali.....	267
1.9. Puteri, radicali, logaritmi naturali, valori reciproce, lungimi și arii de cercuri	268
1.10. Puterea a 4-a și a 5-a.....	298
1.11. Lungimea arcului l , săgeata h , raportul l/h , coarda c , aria sectorului s și a segmentului d corespunzătoare unghiului la centru α în cercul cu raza unitatea.....	299
1.12. Multiplii lui π de la 1 până la 100.....	304
1.13. Multiplii lui $1/\pi$ de la 1 până la 100.....	305
1.14. Transformarea gradelor sexagesimale în radiani.....	306
1.15. Transformarea minutilor și secundelor centesimale în minute și secunde sexagesimale	307
1.16. Transformarea gradelor centesimale în grade sexagesimale și invers	308
1.17. Valorile naturale ale funcțiilor trigonometrice ale arcelor măsurate în grade sexagesimale.....	311
1.18. Valorile naturale ale funcțiilor trigonometrice ale arcelor măsurate în grade centesimale	314
1.19. Logaritmi cu cinci zecimale ai funcțiilor trigonometrice ale arcelor de la 0° până la 90° din minut în minut....	318
1.20. Valori numerice importante	416
1.21. Funcțiile exponențiale și hiperbolice	417

Tabele matematice

Tabela 1.1. Puterile numerelor 2, 3 și 5

Puterile lui 2

Ex	P	Ex	P	Ex	P	Ex	P
1	2	11	2 048	21	2 097 152	31	2 147 483 648
2	4	12	4 096	22	4 194 304	32	4 294 967 296
3	8	13	8 192	23	8 388 608	33	8 589 934 592
4	16	14	16 384	24	16 777 216	34	17 179 869 184
5	32	15	32 768	25	33 554 432	35	34 359 738 368
6	64	16	65 536	26	67 108 864	36	68 719 476 736
7	128	17	131 072	27	134 217 728	37	137 438 953 472
8	256	18	262 144	28	268 435 456	38	274 877 906 944
9	512	19	524 288	29	536 870 912	39	549 755 813 888
10	1 024	20	1 048 576	30	1 073 741 824	40	1 099 511 627 776

Puterile lui 3

Ex	P	Ex	P	Ex	P
1	3	11	177 147	21	10 460 353 203
2	9	12	531 441	22	31 381 059 609
3	27	13	1 594 323	23	94 143 178 827
4	81	14	4 782 969	24	282 429 536 481
5	243	15	14 348 907	25	847 288 609 443
6	729	16	43 046 721	26	2 541 865 828 329
7	2 187	17	129 140 163	27	7 625 597 484 987
8	6 561	18	387 420 489	28	22 876 792 454 961
9	19 683	19	1 162 261 467	29	68 630 377 364 883
10	59 049	20	3 486 784 401	30	205 891 132 094 649

Puterile lui 5

Ex	P	Ex	P	Ex	P
1	5	9	1 953 125	17	762 939 453 125
2	25	10	9 765 625	18	3 814 697 265 625
3	125	11	48 828 125	19	19 073 486 328 125
4	625	12	244 140 625	20	95 367 431 640 625
5	3 125	13	1 220 703 125	21	476 837 158 203 125
6	15 625	14	6 103 515 625	22	2 384 185 791 015 625
7	78 125	15	30 517 578 125	23	11 920 928 955 078 125
8	390 625	16	152 587 890 625	24	59 604 644 775 390 625

Tabela 1.2. Numerele prime de la 1 pînă la 10 000

1; 2	2 23	4 99	8 11	11 17	14 81	18 11	21 61	25 43
3	27	—	21	23	83	23	79	49
5	29	5 03	23	29	87	31	22 03	51
7	33	09	27	51	89	47	07	57
11	39	21	29	53	93	61	13	79
13	41	23	39	63	99	67	21	91
17	51	41	53	71	—	71	37	93
19	57	47	57	81	15 11	73	39	26 09
23	63	57	59	87	23	77	43	17
29	69	63	63	93	31	79	51	21
31	71	69	77	12 01	43	89	67	33
37	77	71	81	13	49	19 01	69	47
41	81	77	83	17	53	07	73	57
43	83	87	87	23	59	13	81	59
47	93	93	9 07	29	67	31	87	63
53	3 07	99	11	31	71	33	93	71
59	11	6 01	19	37	79	49	97	77
61	13	07	29	49	83	51	23 09	83
67	17	13	37	59	97	73	11	87
71	31	17	41	77	16 01	79	33	89
73	37	19	47	79	07	87	39	93
79	47	31	53	83	09	93	41	99
83	49	41	67	89	13	97	47	27 07
89	53	43	71	91	19	99	51	11
97	59	47	77	97	21	—	57	13
1 01	67	53	83	13 01	27	20 03	71	19
03	73	59	91	03	37	11	77	29
07	79	61	97	07	57	17	81	31
09	83	73	—	19	63	27	83	41
13	89	77	10 09	21	67	29	89	49
27	97	83	13	27	69	39	93	53
31	—	91	19	61	93	53	99	67
37	4 01	21	21	67	97	63	24 11	77
39	09	09	31	73	99	69	17	89
49	19	19	33	81	17 09	81	23	91
51	21	27	39	99	21	83	37	97
57	31	33	49	14 09	23	87	41	28 01
63	33	39	51	23	33	89	47	03
67	39	43	61	27	41	99	59	19
73	43	51	63	29	47	—	67	33
79	49	57	69	33	53	21 11	73	37
81	57	61	87	39	59	13	77	43
91	61	69	91	47	77	20	—	51
93	63	73	93	51	83	31	25 03	57
97	67	87	97	53	87	37	21	61
99	79	97	11 03	59	89	41	31	79
2 11	87	8 09	09	71	18 01	43	39	87
	91					53		

Tabela 1.2. (continuaré)

28 97	33 07	36 59	40 49	44 51	48 71	52 61	56 53	60 53
29 08	13	71	51	57	77	73	57	67
09	19	73	57	63	89	79	59	73
17	23	77	73	81	49 03	81	69	79
27	29	91	79	83	09	97	83	89
39	31	97	91	93	19			91
53	43	87 01	93	—	81	53 03	89	61 01
57	47	09	99	45 07	83	09	93	13
63	59	19	41 11	13	87	23	57 01	21
69	61	27	27	17	43	33	11	81
71	71	33	29	19	51	47	17	83
99	73	39	33	23	57	51	37	43
	89	61	39	47	67	81	41	51
30 01	91	67	53	49	69	87	43	63
11	34 07	69	57	61	73	93	49	73
19	13	79	59	67	87	99	79	97
23	33	93	77	83	93	54 07	83	99
37	49	97	42 01	91	99	13	91	62 03
41	57	88 03	11	97		17	58 01	11
49	61	21	17	46 03	50 03	19	07	17
61	63	23	19	21	09	31	13	21
67	67	33	29	37	11	37	21	29
79	69	47	31	39	21	41	27	47
83	91	51	41	43	23	43	39	57
89	99	53	43	49	39	49	43	63
		63	53	51	51	71	49	69
31 09	—	77	59	57	59	77	51	71
19	35 11	81	61	63	77	79	57	77
21	17	89	71	73	81	83	61	87
37	27		79	79	87	—	67	99
63	29	39 07	73	91	99	55 01	69	
67	33	11	83			03	79	63 01
69	39	17	89	47 03	51 01	07	81	11
81	41	19	97	21	07	19	97	17
87	47	23	43 27	23	13	21	59 03	23
91	57	29	37	29	19	27	23	29
32 03	59	31	39	33	47	31	27	37
09	71	43	49	51	53	57	39	43
17	81	47	57	59	67	63	53	53
21	83	67	63	83	71	69	81	59
29	93	89	73	87	79	73	87	61
51			91	89	89	81		67
53	36 07	40 01	97	93	97	91	60 07	73
57	13	03		99			11	79
59	17	07	44 09	48 01	52 09	56 23	29	89
71	23	13	21	13	27	39	37	97
99	31	19	23	17	31	41	43	64 21
33 01	37	21	41	31	83	47	47	27
	43	27	47	61	87	51		

Tabela 1.2. (continuare)

64 49	68 63	72 83	76 87	81 17	85 63	89 63	93 77	97 81
51	69	97	91	23	73	69	91	87
69	71	73 07	99	47	81	71	97	91
73	83	09	77 03	61	97	99	94 03	98 03
81	99	21	17	67	99		13	11
91	69 07	31	23	71	86 09	90 01	19	17
—	11	33	27	79	23	07	21	29
65 21	17	49	41	91	27	11	31	33
29	47	51	53	82 09	29	13	33	39
47	49	69	57	19	41	29	37	51
51	59	93	59	21	47	41	39	57
53	61	74 11	89	31	63	43	61	59
63	67	17	93	33	69	49	63	71
69	71	33	78 17	37	77	59	67	83
71	77	51	23	43	81	67	73	87
77	83	57	29	63	89	91	79	99 01
81	91	59	41	69	93	91 03	91	07
99	97	77	53	73	99	09	97	23
66 07		81	67	87	87 07	27	—	29
19	70 01	87	73	91	13	33	95 11	31
37	13	89	77	93	19	37	21	41
53	19	99	79	97	31	51	33	49
59	27	—	83	83 11	37	57	39	67
61	39	75 07	79 01	17	41	61	47	73
73	43	17	07	29	47	73	51	
79	57	23	19	53	53	81	87	
89	69	29	27	63	61	87		
91	79	37	33	69	79	99	96 01	
67 01	71 03	41	37	77	83	92 03	13	
03	09	47	49	87	88 03	09	19	
09	21	49	51	89	07	21	23	
19	27	59	63	84 19	19	27	29	
33	29	61	93	23	21	39	31	
37	51	73		29	31	41	43	
61	59	77	80 09	31	37	41	49	
63	77	83	11	43	39	57	61	
79	87	89	17	47	49	77	77	
81	93	91	39	61	61	81	79	
91		53	53	67	63	83	89	
93	72 07	76 03	59	—	67	93	97	
68 03	11	07	69	85 01	87	93 11	97 19	
23	13	21	81	13	93	19	21	
27	19	39	87	21	89 23	23	33	
29	29	43	89	27	29	37	39	
33	37	49	93	37	33	41	43	
41	43	69		39	41	43	49	
47	47	73	81 01	39	49	49	67	
57	53	81	11	43	51	71	69	

Tabela 1.3. Logaritmi zecimali ai numerelor de la 1 pînă la 100

<i>N</i>	lg	<i>N</i>	lg	<i>N</i>	lg	<i>N</i>	lg	<i>N</i>	lg
0	—∞	20	30 103	40	60 206	60	77 815	80	90 309
1	00 000	1	32 222	1	61 278	1	78 533	1	90 849
2	30 103	2	34 242	2	62 325	2	79 239	2	91 381
3	47 712	3	36 173	3	63 347	3	79 934	3	91 908
4	60 206	4	38 021	4	64 345	4	80 618	4	92 428
5	69 897	5	39 794	5	65 321	5	81 291	5	92 942
6	77 815	6	41 497	6	66 276	6	81 954	6	93 450
7	84 510	7	43 136	7	67 210	7	82 607	7	93 952
8	90 309	8	44 716	8	68 124	8	83 251	8	94 448
9	95 424	9	46 240	9	69 020	9	83 885	9	94 939
10	00 000	30	47 712	50	69 897	70	84 510	90	95 424
1	04 139	1	49 136	1	70 757	1	85 126	1	95 904
2	07 918	2	50 515	2	71 600	2	85 733	2	96 379
3	11 394	3	51 851	3	72 428	3	86 332	3	96 848
4	14 613	4	53 148	4	73 239	4	86 923	4	97 313
5	17 609	5	54 407	5	74 036	5	87 506	5	97 772
6	20 412	6	55 630	6	74 819	6	88 081	6	98 227
7	23 045	7	56 820	7	75 587	7	88 649	7	98 677
8	25 527	8	57 978	8	76 343	8	89 209	8	99 123
9	27 875	9	59 106	9	77 085	9	89 763	9	99 564

Tabela 1.4. Logaritmii zecimali ai numerelor de la 100 pînă la 10 000
100—139

N	0	1	2	3	4	5	6	7	8	9	P.P.			
100	00	000	043	087	130	173	217	260	303	346	389	44	43	42
101		432	475	518	561	604	647	689	732	775	817			
102		860	903	945	988	*030	*072	*115	*157	*199	*242			
103	01	284	326	368	410	452	494	536	578	620	662			
104		703	745	787	828	870	912	953	995	*036	*078	1	4,4	4,2
105	02	119	160	202	243	284	325	366	407	449	490	2	8,8	8,6
106		531	572	612	653	694	735	776	816	857	898	3	13,2	12,9
107		938	979	*019	*060	*100	*141	*181	*222	*262	*302	4	17,6	17,2
108	03	342	383	423	463	503	543	583	623	663	703	5	22,0	21,5
109		743	782	822	862	902	941	981	*021	*060	*100	6	26,4	25,8
110	04	139	179	218	258	297	336	376	415	454	493	7	30,8	30,1
111		532	571	610	650	689	727	766	805	844	883	8	35,2	34,4
112		922	961	999	*038	*077	*115	*154	*192	*231	*269	9	39,6	38,7
113	05	308	346	385	423	461	500	538	576	614	652	41	40	39
114		690	729	767	805	843	881	918	956	994	*032	1	4,1	4,0
115	06	070	108	145	183	221	258	296	333	371	408	2	8,2	8,0
116		446	483	521	558	595	633	670	707	744	781	3	12,3	12,0
117		819	856	893	930	967	*004	*041	*078	*115	*151	4	16,4	16,0
118	07	188	225	262	298	335	372	408	445	482	518	5	20,5	20,0
119		555	591	628	664	700	737	773	809	846	882	6	24,6	24,0
120		918	954	990	*027	*063	*099	*135	*171	*207	*243	7	28,7	28,0
121	08	279	314	350	386	422	458	493	529	565	600	8	32,8	32,0
122		636	672	707	743	778	814	849	884	920	955	9	36,9	36,0
123		991	*026	*061	*096	*132	*167	*202	*237	*272	*307	38	37	36
124	09	342	377	412	447	482	517	552	587	621	656	1	3,8	3,7
125		691	726	760	795	830	864	899	934	968	*003	2	7,6	7,4
126	10	037	072	106	140	175	209	243	278	312	346	3	11,4	11,1
127		380	415	449	483	517	551	585	619	653	687	4	15,2	14,8
128		721	755	789	823	857	890	924	958	992	*025	5	19,0	18,5
129	11	059	093	126	160	193	227	261	294	327	361	6	22,8	22,2
130		394	428	461	494	528	561	594	628	661	694	7	26,6	25,9
131		727	760	793	826	860	893	926	959	992	*024	8	30,4	29,6
132	12	057	090	123	156	189	222	254	287	320	352	9	34,2	33,3
133		385	418	450	483	516	548	581	613	646	678	35	34	33
134		710	743	775	808	840	872	905	937	969	*001	1	3,5	3,4
135	13	033	066	098	130	162	194	226	258	290	322	2	7,0	6,8
136		354	386	418	450	481	513	545	577	609	640	3	10,5	10,2
137		672	704	735	767	799	830	862	893	925	956	4	14,0	13,6
138		988	*019	*051	*082	*114	*145	*176	*208	*239	*270	5	17,5	17,0
139	14	301	333	364	395	426	457	489	520	551	582	6	21,0	20,4
												7	24,5	23,8
												8	28,0	27,2
												9	31,5	30,6
N	0	1	2	3	4	5	6	7	8	9	P.P.			

140—179

Tabela 1.4 (continuare)

N	0	1	2	3	4	5	6	7	8	9	P.P.		
140	14	613	644	675	706	737	768	799	829	860	891	32	31
141		922	953	983	*014	*045	*076	*106	*137	*168	*198		
142	15	229	259	290	320	351	381	412	442	473	503		
143		534	564	594	625	655	685	715	746	776	806	1	3,2
144		836	866	897	927	957	987	*017	*047	*077	*107	2	6,4
145	16	137	167	197	227	256	286	316	346	376	406	3	9,6
146		435	465	495	524	554	584	613	643	673	702	4	12,8
147		732	761	791	820	850	879	909	938	967	997	5	16,0
148	17	026	056	085	114	143	173	202	231	260	289	6	19,2
149		319	348	377	406	435	464	493	522	551	580	7	22,4
150		609	638	667	696	725	754	782	811	*840	869	8	25,6
151		898	926	955	984	*013	*041	*070	*099	*127	*156	9	28,8
152	18	184	213	241	270	298	327	355	384	412	441		
153		469	498	526	554	583	611	639	667	696	724	1	3,0
154		752	780	808	837	865	893	921	949	977	*005	2	6,0
155	19	033	061	089	117	145	173	201	229	257	285	3	9,0
156		312	340	368	396	424	451	479	507	535	562	4	12,0
157		590	618	645	673	700	728	756	783	811	838	5	15,0
158		866	893	921	948	976	*003	*030	*058	*085	*112	6	18,0
159	20	140	167	194	222	249	276	303	330	358	385	7	21,0
160		412	439	466	493	520	548	575	602	629	656	8	24,0
161		683	710	737	763	790	817	844	871	898	925	9	27,0
162		952	978	*005	*032	*059	*085	*112	*139	*165	*192		
163	21	219	245	272	299	325	352	378	405	431	458	1	2,8
164		484	511	537	564	590	617	643	669	696	722	2	5,6
165		748	775	801	827	854	880	906	932	958	985	3	8,4
166	22	011	037	063	089	115	141	167	194	220	246	4	11,2
167		272	298	324	350	376	401	427	453	479	505	5	14,0
168		531	557	583	608	634	660	686	712	737	763	6	16,8
169		789	814	840	866	891	917	943	968	994	*019	7	19,6
170	23	045	070	096	121	147	172	198	223	249	274	8	22,4
171		306	325	350	376	401	426	452	477	502	528	9	25,2
172		553	578	603	629	654	679	704	729	754	779		
173		805	830	855	880	905	930	955	980	*005	*030	1	2,6
174	24	055	080	105	130	155	180	204	229	254	279	2	5,2
175		304	329	353	378	403	428	452	477	502	527	3	7,8
176		551	576	601	625	650	674	699	724	748	773	4	10,4
177		797	822	846	871	895	920	944	969	993	*018	5	13,0
178	25	042	066	091	115	139	164	188	212	237	261	6	15,6
179		285	310	334	358	382	406	431	455	479	503	7	18,2
												8	20,8
												9	23,4
N	0	1	2	3	4	5	6	7	8	9	P.P.		

180-219

Tabela 1.4 (continuare)

N	0	1	2	3	4	5	6	7	8	9	P. P.		
180	25	527	551	575	600	624	648	672	696	720	744	26	25
181		768	792	816	840	864	888	912	935	959	983		
182	26	007	031	055	079	102	126	150	174	198	221		
183		245	269	293	316	340	364	387	411	435	458		
184		482	505	529	553	576	600	623	647	670	694		
185		717	741	764	788	811	834	858	881	905	928	27	26
186		951	975	998	*021	*045	*068	*091	*114	*138	*161		
187	27	184	207	231	254	277	300	323	346	370	393		
188		416	439	462	485	508	531	554	577	600	623		
189		646	669	692	715	738	761	784	807	830	852		
190		875	898	921	944	967	989	*012	*035	*058	*081	28	27
191	28	103	126	149	171	194	217	240	262	285	307		
192		330	353	375	398	421	443	466	488	511	533		
193		556	578	601	623	646	668	691	713	735	758		
194		780	803	825	847	870	892	914	937	959	981		
195	29	003	026	048	070	092	115	137	159	181	203	29	28
196		226	248	270	292	314	336	358	380	403	425		
197		447	469	491	513	535	557	579	601	623	645		
198		667	688	710	732	754	776	798	820	842	863		
199		885	907	929	951	973	994	*016	*038	*060	*081		
200	30	103	125	146	168	190	211	233	255	276	298	30	29
201		320	341	363	384	406	428	449	471	492	514		
202		535	557	578	600	621	643	664	685	707	728		
203		750	771	792	814	835	856	878	899	920	942		
204		963	984	*006	*027	*048	*069	*091	*112	*133	*154		
205	31	175	197	218	239	260	281	302	323	345	366	31	30
206		387	408	429	450	471	492	513	534	555	576		
207		597	618	639	660	681	702	723	744	765	785		
208		806	827	848	869	890	911	931	952	973	994		
209	32	015	035	056	077	098	118	139	160	181	201		
210		222	243	263	284	305	325	346	366	387	408	32	31
211		428	449	469	490	510	531	552	572	593	613		
212		634	654	675	695	715	736	756	777	797	818		
213		838	858	879	899	919	940	960	980	*001	*021		
214	33	041	062	082	102	122	143	163	183	203	224		
215		244	264	284	304	325	345	365	385	405	425	33	32
216		445	465	486	506	526	546	566	586	606	626		
217		646	666	686	706	726	746	766	786	806	826		
218		846	866	885	905	925	945	965	985	*005	*025		
219	34	044	064	084	104	124	143	163	183	203	223		
N	0	1	2	3	4	5	6	7	8	9	P. P.		

220—259

Tabela 1.4 (continuare)

N	0	1	2	3	4	5	6	7	8	9	P.P.	
220	34	242	262	282	301	321	341	361	380	400	420	20
221		439	459	479	498	518	537	557	577	596	616	
222		635	655	674	694	713	733	753	772	792	811	
223		830	850	869	889	908	928	947	967	986	*005	
224	35	025	044	064	083	102	122	141	160	180	199	
225		218	238	257	276	295	315	334	353	372	392	
226		411	430	449	468	488	507	526	545	564	583	
227		603	622	641	660	679	698	717	736	755	774	
228		793	813	832	851	870	889	908	927	946	965	
229		984	*003	*021	*040	*059	*078	*097	*116	*135	*154	
230	36	173	192	211	229	248	267	286	305	324	342	19
231		361	380	399	418	436	455	474	493	511	530	
232		549	568	586	605	624	642	661	680	698	717	
233		736	754	773	791	810	829	847	866	884	903	
234		922	940	959	977	996	*014	*033	*051	*070	*088	
235	37	107	125	144	162	181	199	218	236	254	273	
236		291	310	328	346	365	383	401	420	438	457	
237		475	493	511	530	548	566	585	603	621	639	
238		658	676	694	712	731	749	767	785	803	822	
239		840	858	876	894	912	931	949	967	985	*003	
240	38	021	039	057	075	093	112	130	148	166	184	18
241		202	220	238	256	274	292	310	328	346	364	
242		382	399	417	435	453	471	489	507	525	543	
243		561	578	596	614	632	650	668	686	703	721	
244		739	757	775	792	810	828	846	863	881	899	
245		917	934	952	970	987	*005	*023	*041	*058	*076	
246	39	094	111	129	146	164	182	199	217	235	252	
247		270	287	305	322	340	358	375	393	410	428	
248		445	463	480	498	515	533	550	568	585	602	
249		620	637	655	672	690	707	724	742	759	777	
250		794	811	829	846	863	881	898	915	933	950	17
251		967	985	*002	*019	*037	*054	*071	*088	*106	*123	
252	40	140	157	175	192	209	226	243	261	278	295	
253		312	329	346	364	381	398	415	432	449	466	
254		483	500	518	535	552	569	586	603	620	637	
255		654	671	688	705	722	739	756	773	790	807	
256		824	841	858	875	892	909	926	943	960	976	
257		993	*010	*027	*044	*061	*078	*095	*111	*128	*145	
258	41	162	179	196	212	229	246	263	280	296	313	
259		330	347	363	380	397	414	430	447	464	481	
N	0	1	2	3	4	5	6	7	8	9	P.P.	

260—299

Tabela 1.4 (continuare)

N	0	1	2	3	4	5	6	7	8	9	P.P.	
260	41	497	514	531	547	564	581	597	614	631	647	
261		664	681	697	714	731	747	764	780	797	814	
262		830	847	863	880	896	913	929	946	963	979	
263		996	*012	*029	*045	*062	*078	*095	*111	*127	*144	
264	42	160	177	193	210	226	243	259	275	292	308	
265		325	341	357	374	390	406	423	439	455	472	
266		488	504	521	537	553	570	586	602	619	635	17
267		651	667	684	700	716	732	749	765	781	797	
268		813	830	846	862	878	894	911	927	943	959	
269		975	*991	*008	*024	*040	056	*072	*088	*104	*120	1
270	43	136	152	169	185	201	217	233	249	265	281	2
271		297	313	329	345	361	377	393	409	425	441	3
272		457	473	489	505	521	537	553	569	584	600	4
273		616	632	648	664	680	696	712	727	743	759	5
274		775	791	807	823	838	854	870	886	902	917	6
275		933	949	965	981	996	*012	*028	*044	*059	*075	7
276	44	091	107	122	138	154	170	185	201	217	232	8
277		248	264	279	295	311	326	342	358	373	389	9
278		404	420	436	451	467	483	498	514	529	545	1,6
279		560	576	592	607	623	638	654	669	685	700	2
280		716	731	747	762	778	793	809	824	840	855	3
281		871	886	902	917	932	948	963	979	994	*010	4
282	45	025	040	056	071	086	102	117	133	148	163	5
283		179	194	209	225	240	255	271	286	301	317	6
284		332	347	362	378	393	408	423	439	454	469	7
285		484	500	515	530	545	561	576	591	606	621	8
286		637	652	667	682	697	712	728	743	758	773	9
287		788	803	818	834	849	864	879	894	909	924	1,5
288		939	954	969	984	*000	*015	*030	*045	*060	*075	2
289	46	090	105	120	135	150	165	180	195	210	225	3
290		240	255	270	285	300	315	330	345	359	374	4
291		389	404	419	434	449	464	479	494	509	523	5
292		538	553	568	583	598	613	627	642	657	672	6
293		687	702	716	731	746	761	776	790	805	820	7
294		835	850	864	879	894	909	923	938	953	967	8
295		982	997	*012	*026	*041	*056	*070	*085	*100	*114	9
296	47	129	144	159	173	188	202	217	232	246	261	1,5
297		276	290	305	319	334	349	363	378	392	407	2
298		422	436	451	465	480	494	509	524	538	553	3
299		567	582	596	611	625	640	654	669	683	698	4
N	0	1	2	3	4	5	6	7	8	9	P.P.	

300—339

Tabela 1.4 (continuare)

N	0	1	2	3	4	5	6	7	8	9	P.P.	
300	47	712	727	741	756	770	784	799	813	828	842	<div>14</div> <div><div>1</div><div>2</div><div>3</div><div>4</div><div>5</div><div>6</div><div>7</div><div>8</div><div>9</div></div> <div><div>1.4</div><div>2.8</div><div>4.2</div><div>5.6</div><div>7.0</div><div>8.4</div><div>9.8</div><div>11.2</div><div>12.6</div></div>
301		857	871	885	900	914	929	943	958	972	986	
302	48	001	015	029	044	058	073	087	101	116	130	
303		144	159	173	187	202	216	230	244	259	273	
304		287	302	316	330	344	359	373	387	401	419	
305		430	444	458	473	487	501	515	530	544	558	
306		572	586	601	615	629	643	657	671	686	700	
307		714	728	742	756	770	785	799	813	827	841	
308		855	869	883	897	911	926	940	954	968	982	
309		996	*010	*024	*038	*052	*066	*080	*094	*108	*122	
310	49	136	150	164	178	192	206	220	234	248	262	
311		276	290	304	318	332	346	360	374	388	402	
312		415	429	443	457	471	485	499	513	527	541	
313		554	568	582	596	610	624	638	651	665	679	
314		693	707	721	734	748	762	776	790	803	817	
315		831	845	859	872	886	900	914	927	941	955	
316		969	982	996	*010	*024	*037	*051	*065	*079	*092	
317	50	106	120	133	147	161	174	188	202	215	229	
318		243	256	270	284	297	311	325	338	352	365	
319		379	393	406	420	433	447	461	474	488	501	
320		515	529	542	556	569	583	596	610	623	637	
321		651	664	678	691	705	718	732	745	759	772	
322		786	799	813	826	840	853	866	880	893	907	
323		920	934	947	961	974	987	*001	*014	*028	*041	
324	51	055	068	081	095	108	121	135	148	162	175	
325		188	202	215	228	242	255	268	282	295	308	
326		322	335	348	362	375	388	402	415	428	441	
327		455	468	481	495	508	521	534	548	561	574	
328		587	601	614	627	640	654	667	680	693	706	
329		720	733	746	759	772	786	799	812	825	838	
330		851	865	878	891	904	917	930	943	957	970	
331		983	996	*009	*022	*035	*048	*061	*075	*088	*101	
332	52	114	127	140	153	166	179	192	205	218	231	
333		244	257	270	284	297	310	323	336	349	362	
334		375	388	401	414	427	440	453	466	479	492	
335		504	517	530	543	556	569	582	595	608	621	
336		634	647	660	673	686	699	711	724	737	750	
337		763	776	789	802	815	827	840	853	866	879	
338		892	905	917	930	943	956	969	982	994	*007	
339	53	020	033	046	058	071	084	097	110	122	135	
N	0	1	2	3	4	5	6	7	8	9	P.P.	

N	0	1	2	3	4	5	6	7	8	9	P.P.
---	---	---	---	---	---	---	---	---	---	---	------

340—379

Tabela 1.4 (continuare)

N		0	1	2	3	4		5	6	7	8	9	P.P.
340	53	148	161	173	186	199		212	224	237	250	263	13
341		275	288	301	314	326		339	352	364	377	390	
342		403	415	428	441	453		466	479	491	504	517	
343		529	542	555	567	580		593	605	618	631	643	
344		656	668	681	694	706		719	732	744	757	769	
345		782	794	807	820	832		845	857	870	882	895	
346		908	920	933	945	958		970	983	995*008	*020		
347	54	033	045	058	070	083		095	108	120	133	145	
348		158	170	183	195	208		220	233	245	258	270	
349		283	295	307	320	332		345	357	370	382	394	
350		407	419	432	444	456		469	481	494	506	518	
351		531	543	555	568	580		593	605	617	630	642	
352		654	667	679	691	704		716	728	741	753	765	
353		777	790	802	814	827		839	851	864	876	888	
354		900	913	925	937	949		962	974	986	998*011		
355	55	023	035	047	060	072		084	096	108	121	133	
356		145	157	169	182	194		206	218	230	242	255	
357		267	279	291	303	315		328	340	352	364	376	
358		388	400	413	425	437		449	461	473	485	497	
359		509	522	534	546	558		570	582	594	606	618	
360		630	642	654	666	678		691	703	715	727	739	
361		751	763	775	787	799		811	823	835	847	859	
362		871	883	895	907	919		931	943	955	967	979	
363		991*003	*015	*027	*038			*050	*062	*074	*086	*098	
364	56	110	122	134	146	158		170	182	194	205	217	
365		229	241	253	265	277		289	301	312	324	336	
366		348	360	372	384	396		407	419	431	443	455	
367		467	478	490	502	514		526	538	549	561	573	
368		585	597	608	620	632		644	656	667	679	691	
369		703	714	726	738	750		761	773	785	797	808	
370		820	832	844	855	867		879	891	902	914	926	
371		937	949	961	972	984		996*008	*019	*031	*043		
372	57	054	066	078	089	101		113	124	136	148	159	
373		171	183	194	206	217		229	241	252	264	276	
374		287	299	310	322	334		345	357	368	380	392	
375		403	415	426	438	449		461	473	484	496	507	
376		519	530	542	553	565		576	588	600	611	623	
377		634	646	657	669	680		692	703	715	726	738	
378		749	761	772	784	795		807	818	830	841	852	
379		864	875	887	898	910		921	933	944	955	967	
N		0	1	2	3	4		5	6	7	8	9	P.P.

380—419

Tabela 1.4 (continuare)

N	0	1	2	3	4	5	6	7	8	9	P.P.
380	57	978	990*001*013*024			*035*047*058*070*081					
381	58	092	104	115	127	138	149	161	172	184	195
382		206	218	229	240	252	263	274	286	297	309
383		320	331	343	354	365	377	388	399	410	422
384		433	444	456	467	478	490	501	512	524	535
385		546	557	569	580	591	602	614	625	636	647
386		659	670	681	692	704	715	726	737	749	760
387		771	782	794	805	816	827	838	850	861	872
388		883	894	906	917	928	939	950	961	973	984
389		995*006*017*028*040					*051*062*073*084*095				
390	59	106	118	129	140	151	162	173	184	195	207
391		218	229	240	251	262	273	284	295	306	318
392		329	340	351	362	373	384	395	406	417	428
393		439	450	461	472	483	494	506	517	528	539
394		550	561	572	583	594	605	616	627	638	649
395		660	671	682	693	704	715	726	737	748	759
396		770	780	791	802	813	824	835	846	857	868
397		879	890	901	912	923	934	945	956	966	977
398		988	999*010*021*032				*043*054*065*076*086				
399	60	097	108	119	130	141	152	163	173	184	195
400		206	217	228	239	249	260	271	282	293	304
401		314	325	336	347	358	369	379	390	401	412
402		423	433	444	455	466	477	487	498	509	520
403		531	541	552	563	574	584	595	606	617	627
404		638	649	660	670	681	692	703	713	724	735
405		746	756	767	778	788	799	810	821	831	842
406		853	863	874	885	895	906	917	927	938	949
407		959	970	981	991*002		*013*023*034*045*055				
408	61	066	077	087	098	109	119	130	140	151	162
409		172	183	194	204	215	225	236	247	257	268
410		278	289	300	310	321	331	342	352	363	374
411		384	395	405	416	426	437	448	458	469	479
412		490	500	511	521	532	542	553	563	574	584
413		595	606	616	627	637	648	658	669	679	690
414		700	711	721	731	742	752	763	773	784	794
415		805	815	826	836	847	857	868	878	888	899
416		909	920	930	941	951	962	972	982	993*003	
417	62	014	024	034	045	055	066	076	086	097	107
418		118	128	138	149	159	170	180	190	201	211
419		221	232	242	252	263	273	284	294	304	315
N	0	1	2	3	4	5	6	7	8	9	P.P.

12

1	1,2
2	2,4
3	3,6
4	4,8
5	6,0
6	7,2
7	8,4
8	9,6
9	10,8

11

1	1,1
2	2,2
3	3,3
4	4,4
5	5,5
6	6,6
7	7,7
8	8,8
9	9,9

420-459

Tabela 1.4 (continuare)

N	0	1	2	3	4	5	6	7	8	9	P.P.	
420	62	325	335	346	356	366	377	387	397	408	418	11
421		428	439	449	459	469	480	490	500	511	521	
422		531	542	552	562	572	583	593	603	613	624	
423		634	644	655	665	675	685	696	706	716	726	
424		737	747	757	767	778	788	798	808	818	829	
425		839	849	859	870	880	890	900	910	921	931	1 2 3 4 5 6 7 8 9
426		941	951	961	972	982	992*002*012*022*033					
427	63	043	053	063	073	083	094	104	114	124	134	
428		144	155	165	175	185	195	205	215	225	236	
429		246	256	266	276	286	296	306	317	327	337	
430		347	357	367	377	387	397	407	417	428	438	10
431		448	458	468	478	488	498	508	518	528	538	
432		548	558	568	579	589	599	609	619	629	639	
433		649	659	669	679	689	699	709	719	729	739	
434		749	759	769	779	789	799	809	819	829	839	
435		849	859	869	879	889	899	909	919	929	939	1 2 3 4 5 6 7 8 9
436		949	959	969	979	988	998*008*018*028*038					
437	64	048	058	068	078	088	098	108	118	128	137	
438		147	157	167	177	187	197	207	217	227	237	
439		246	256	266	276	286	296	303	316	326	335	
440		345	355	365	375	385	395	404	414	424	434	1 2 3 4 5 6 7 8 9
441		444	454	464	473	483	493	503	513	523	532	
442		542	552	562	572	582	591	601	611	621	631	
443		640	650	660	670	680	689	699	709	719	729	
444		738	748	758	768	777	787	797	807	816	826	
445		836	846	856	865	875	885	895	904	914	924	9
446		933	943	953	963	972	982	992*002*011*021				
447	65	031	040	050	060	070	079	089	099	108	118	
448		128	137	147	157	167	176	186	196	205	215	
449		225	234	244	254	263	273	283	292	302	312	
450		321	331	341	350	360	369	379	389	398	408	1 2 3 4 5 6 7 8 9
451		418	427	437	447	456	466	475	485	495	504	
452		514	523	533	543	552	562	571	581	591	600	
453		610	619	629	639	648	658	667	677	686	696	
454		706	715	725	734	744	753	763	772	782	792	
455		801	811	820	830	839	849	858	868	877	887	1 2 3 4 5 6 7 8 9
456		896	906	916	925	935	944	954	963	973	982	
457		992*001*011*020*030					*039*049*058*068*077					
458	66	087	096	106	115	124	134	143	153	162	172	
459		181	191	200	210	219	229	238	247	257	266	
N	0	1	2	3	4	5	6	7	8	9	P.P.	

460--499

Tabela 1.4 (continuare)

N	0	1	2	3	4	5	6	7	8	9	P.P.	
460	66	276	285	295	304	314	323	332	342	351	361	10
461		370	380	389	398	408	417	427	436	445	455	
462		464	474	483	492	502	511	521	530	539	549	
463		558	567	577	586	596	605	614	624	633	642	
464		652	661	671	680	689	699	708	717	727	736	
465		745	755	764	773	783	792	801	811	820	829	1 2 3 4 5 6 7 8 9
466		839	848	857	867	876	885	894	904	913	922	
467		932	941	950	960	969	978	987	997	*006	*015	
468	67	025	034	043	052	062	071	080	089	099	108	
469		117	127	136	145	154	164	173	182	191	201	
470		210	219	228	237	247	256	265	274	284	293	9
471		302	311	321	330	339	348	357	367	376	385	
472		394	403	413	422	431	440	449	459	468	477	
473		486	495	504	514	523	532	541	550	560	569	
474		578	587	596	605	614	624	633	642	651	660	
475		669	679	688	697	706	715	724	733	742	752	1 2 3 4 5 6 7 8 9
476		761	770	779	788	797	806	815	825	834	843	
477		852	861	870	879	888	897	906	916	925	934	
478		943	952	961	970	979	988	997	*006	*015	*024	
479	68	034	043	052	061	070	079	088	097	106	115	
480		124	133	142	151	160	169	178	187	196	205	1 2 3 4 5 6 7 8 9
481		215	224	233	242	251	260	269	278	287	296	
482		305	314	323	332	341	350	359	368	377	386	
483		395	404	413	422	431	440	449	458	467	476	
484		485	494	502	511	520	529	538	547	556	565	
485		574	583	592	601	610	619	628	637	646	655	8
486		664	673	681	690	699	708	717	726	735	744	
487		753	762	771	780	789	797	806	815	824	833	
488		842	851	860	869	878	886	895	904	913	922	
489		931	940	949	958	966	975	984	993	*002	*011	
490	69	020	028	037	046	055	064	073	082	090	099	1 2 3 4 5 6 7 8 9
491		108	117	126	135	144	152	161	170	179	188	
492		197	205	214	223	232	241	249	258	267	276	
493		285	294	302	311	320	329	338	346	355	364	
494		373	381	390	399	408	417	425	434	443	452	
495		461	469	478	487	496	504	513	522	531	539	1 2 3 4 5 6 7 8 9
496		548	557	566	574	583	592	601	609	618	627	
497		636	644	653	662	671	679	688	697	705	714	
498		723	732	740	749	758	767	775	784	793	801	
499		810	819	827	836	845	854	862	871	880	888	
N	0	1	2	3	4	5	6	7	8	9	P.P.	

500—539

Tabela 1.4 (continuare)

N	0	1	2	3	4	5	6	7	8	9	P.P.	
500	69	897	906	914	923	932	940	949	958	966	975	9
501		984	992	*001	*010	*018	*027	*036	*044	*053	*062	
502	70	070	079	088	096	105	114	122	131	140	148	
503		157	165	174	183	191	200	209	217	226	234	
504		243	252	260	269	278	286	295	303	312	321	
505		329	338	346	355	364	372	381	389	398	406	
506		415	424	432	441	449	458	467	475	484	492	
507		501	509	518	526	535	544	552	561	569	578	
508		586	595	603	612	621	629	638	646	655	663	
509		672	680	689	697	706	714	723	731	740	749	
510		757	766	774	783	791	800	808	817	825	834	
511		842	851	859	868	876	885	893	902	910	919	
512		927	935	944	952	961	969	978	986	995	*003	
513	71	012	020	029	037	046	054	063	071	079	088	
514		096	105	113	122	130	139	147	155	164	172	
515		181	189	198	206	214	223	231	240	248	257	
516		265	273	282	290	299	307	315	324	332	341	
517		349	357	366	374	383	391	399	408	416	425	
518		433	441	450	458	466	475	483	492	500	508	
519		517	525	533	542	550	559	567	575	584	592	
520		600	609	617	625	634	642	650	659	667	675	
521		684	692	700	709	717	725	734	742	750	759	
522		767	775	784	792	800	809	817	825	834	842	
523		850	858	867	875	883	892	900	908	917	925	
524		933	941	950	958	966	975	983	991	999	*008	
525	72	016	024	032	041	049	057	066	074	082	090	
526		099	107	115	123	132	140	148	156	165	173	
527		181	189	198	206	214	222	230	239	247	255	
528		263	272	280	288	296	304	313	321	329	337	
529		346	354	362	370	378	387	395	403	411	419	
530		428	436	444	452	460	469	477	485	493	501	
531		509	518	526	534	542	550	558	567	575	583	
532		591	599	607	616	624	632	640	648	656	665	
533		673	681	689	697	705	713	722	730	738	746	
534		754	762	770	779	787	795	803	811	819	827	
535		835	843	852	860	868	876	884	892	900	908	
536		916	925	933	941	949	957	965	973	981	989	
537		997	*006	*014	*022	*030	*038	*046	*054	*062	*070	
538	73	078	086	094	102	111	119	127	135	143	151	
539		159	167	175	183	191	199	207	215	223	231	
N	0	1	2	3	4	5	6	7	8	9	P.P.	

540—579

Tabela 1.4 (continuare)

N	0	1	2	3	4	5	6	7	8	9	P.P.		
540	73	239	247	255	263	272	280	288	296	304	312	8	
541		320	328	336	344	352	360	368	376	384	392		
542		400	408	416	424	432	440	448	456	464	472		
543		480	488	496	504	512	520	528	536	544	552		
544		560	568	576	584	592	600	608	616	624	632		
545		640	648	656	664	672	679	687	695	703	711		
546		719	727	735	743	751	759	767	775	783	791		
547		799	807	815	823	830	838	846	854	862	870		
548		878	886	894	902	910	918	926	933	941	949		
549		957	965	973	981	989	997	*005	*013	*020	*028		
550	74	036	044	052	060	068	076	084	092	099	107	1	0,8
551		115	123	131	139	147	155	162	170	178	186	2	1,6
552		194	202	210	218	225	233	241	249	257	265	3	2,4
553		273	280	288	296	304	312	320	327	335	343	4	3,2
554		351	359	367	374	382	390	398	406	414	421	5	4,0
555		429	437	445	453	461	468	476	484	492	500	6	4,8
556		507	515	523	531	539	547	554	562	570	578	7	5,6
557		586	593	601	609	617	624	632	640	648	656	8	6,4
558		663	671	679	687	695	702	710	718	726	733	9	7,2
559		741	749	757	764	772	780	788	796	803	811		
560		819	827	834	842	850	858	865	873	881	889		
561		896	904	912	920	927	935	943	950	958	966		
562		974	981	989	997	*005	*012	*020	*028	*035	*043		
563	75	051	059	066	074	082	089	097	105	113	120		
564		128	136	143	151	159	166	174	182	189	197		
565		205	213	220	228	236	243	251	259	266	274		
566		282	289	297	305	312	320	328	335	343	351		
567		358	366	374	381	389	397	404	412	420	427		
568		435	442	450	458	465	473	481	488	496	504		
569		511	519	526	534	542	549	557	565	572	580	1	0,7
570		587	595	603	610	618	626	633	641	648	656	2	1,4
571		664	671	679	686	694	702	709	717	724	732	3	2,1
572		740	747	755	762	770	778	785	793	800	808	4	2,8
573		815	823	831	838	846	853	861	868	876	884	5	3,5
574		891	899	906	914	921	929	937	944	952	959	6	4,2
575		967	974	982	989	997	*005	*012	*020	*027	*035	7	4,9
576	76	042	050	057	065	072	080	087	095	103	110	8	5,6
577		118	125	133	140	148	155	163	170	178	185	9	6,3
578		193	200	208	215	223	230	238	245	253	260		
579		268	275	283	290	298	305	313	320	328	335		
N	0	1	2	3	4	5	6	7	8	9	P.P.		

580-619

Tabela 1.4 (continuare)

N	0	1	2	3	4	5	6	7	8	9	P.P.		
580	76	343	350	358	365	373	380	388	395	403	410	8	
581		418	425	433	440	448	455	462	470	477	485		
582		492	500	507	515	522	530	537	545	552	559		
583		567	574	582	589	597	604	612	619	626	634		
584		641	649	656	664	671	678	686	693	701	708		
585		716	723	730	738	745	753	760	768	775	782		
586		790	797	805	812	819	827	834	842	849	856		
587		864	871	879	886	893	901	908	916	923	930		
588		938	945	953	960	967	975	982	989	997	*004		
589	77	012	019	026	034	041	048	056	063	070	078		
590		085	093	100	107	115	122	129	137	144	151	1	0,8
591		159	166	173	181	188	195	203	210	217	225	2	1,6
592		232	240	247	254	262	269	276	283	291	298	3	2,4
593		305	313	320	327	335	342	349	357	364	371	4	3,2
594		379	386	393	401	408	415	422	430	437	444	5	4,0
595		452	459	466	474	481	488	495	503	510	517	6	4,8
596		525	532	539	546	554	561	568	576	583	590	7	5,6
597		597	605	612	619	627	634	641	648	656	663	8	6,4
598		670	677	685	692	699	706	714	721	728	735	9	7,2
599		743	750	757	764	772	779	786	793	801	808		
600		815	822	830	837	844	851	859	866	873	880	7	
601		887	895	902	909	916	924	931	938	945	952		
602		960	967	974	981	988	996	*003	*010	*017	*025		
603	78	032	039	046	053	061	068	075	082	089	097		
604		104	111	118	125	132	140	147	154	161	168		
605		176	183	190	197	204	211	219	226	233	240		
606		247	254	262	269	276	283	290	297	305	312		
607		319	326	333	340	347	355	362	369	376	383		
608		390	398	405	412	419	426	433	440	447	455		
609		462	469	476	483	490	497	504	512	519	526		
610		533	540	547	554	561	569	576	583	590	597	1	0,7
611		604	611	618	625	633	640	647	654	661	668	2	1,4
612		675	682	689	696	704	711	718	725	732	739	3	2,1
613		746	753	760	767	774	781	789	796	803	810	4	2,8
614		817	824	831	838	845	852	859	866	873	880	5	3,5
615		888	895	902	909	916	923	930	937	944	951	6	4,2
616		958	965	972	979	986	993	*000	*007	*014	*021	7	4,9
617	79	029	036	043	050	057	064	071	078	085	092	8	5,6
618		099	106	113	120	127	134	141	148	155	162	9	6,3
619		169	176	183	190	197	204	211	218	225	232		
N	0	1	2	3	4	5	6	7	8	9	P.P.		

620—659

Tabela 1.4 (continuare)

N	0	1	2	3	4	5	6	7	8	9	P.P.	
620	79	239	246	253	260	267	274	281	288	295	302	7
621		309	316	323	330	337	344	351	358	365	372	
622		379	386	393	400	407	414	421	428	435	442	
623		449	456	463	470	477	484	491	498	505	511	
624		518	525	532	539	546	553	560	567	574	581	
625		588	595	602	609	616	623	630	637	644	650	
626		657	664	671	678	685	692	699	706	713	720	
627		727	734	741	748	754	761	768	775	782	789	
628		796	803	810	817	824	831	837	844	851	858	
629		865	872	879	886	893	900	906	913	920	927	
630		934	941	948	955	962	969	975	982	989	996	
631	80	003	010	017	024	030	037	044	051	058	065	6
632		072	079	085	092	099	106	113	120	127	134	
633		140	147	154	161	168	175	182	188	195	202	
634		209	216	223	229	236	243	250	257	264	271	
635		277	284	291	298	305	312	318	325	332	339	
636		346	353	359	366	373	380	387	393	400	407	
637		414	421	428	434	441	448	455	462	468	475	
638		482	489	496	502	509	516	523	530	536	543	
639		550	557	564	570	577	584	591	598	604	611	
640		618	625	632	638	645	652	659	665	672	679	
641		686	693	699	706	713	720	726	733	740	747	
642		754	760	767	774	781	787	794	801	808	814	
643		821	828	835	841	848	855	862	868	875	882	
644		889	895	902	909	916	922	929	936	943	949	
645		956	963	969	976	983	990	996	*003	*010	*017	
646	81	023	030	037	043	050	057	064	070	077	084	7
647		090	097	104	111	117	124	131	137	144	151	
648		158	164	171	178	184	191	198	204	211	218	
649		224	231	238	245	251	258	265	271	278	285	
650		291	298	305	311	318	325	331	338	345	351	
651		358	365	371	378	385	391	398	405	411	418	
652		425	431	438	445	451	458	465	471	478	485	
653		491	498	505	511	518	525	531	538	544	551	
654		558	564	571	578	584	591	598	604	611	617	
655		624	631	637	644	651	657	664	671	677	684	
656		690	697	704	710	717	723	730	737	743	750	
657		757	763	770	776	783	790	796	803	809	816	
658		823	829	836	842	849	856	862	869	875	882	
659		889	895	902	908	915	921	928	935	941	948	
N	0	1	2	3	4	5	6	7	8	9	P.P.	

660—699

Tabela 1.4 (continuare)

N	0	1	2	3	4	5	6	7	8	9	P.P.	
660	81	954	961	968	974	981	987	994	*000	*007	*014	7
661	82	020	027	033	040	046	053	060	066	073	079	
662		086	092	099	105	112	119	125	132	138	145	
663		151	158	164	171	178	184	191	197	204	210	
664		217	223	230	236	243	249	256	263	269	276	
665		282	289	295	302	308	315	321	328	334	341	
666		347	354	360	367	373	380	387	393	400	406	
667		413	419	426	432	439	445	452	458	465	471	1 2 3 4 5 6 7 8 9
668		478	484	491	497	504	510	517	523	530	536	
669		543	549	556	562	569	575	582	588	595	601	
670		607	614	620	627	633	640	646	653	659	666	
671		672	679	685	692	698	705	711	718	724	730	
672		737	743	750	756	763	769	776	782	789	795	
673		802	808	814	821	827	834	840	847	853	860	
674		866	872	879	885	892	898	905	911	918	924	
675		930	937	943	950	956	963	969	975	982	988	6
676		995	*001	*008	*014	*020	*027	*033	*040	*046	*052	
677	83	059	065	072	078	085	091	097	104	110	117	
678		123	129	136	142	149	155	161	168	174	181	
679		187	193	200	206	213	219	225	232	238	245	
680		251	257	264	270	276	283	289	296	302	308	
681		315	321	327	334	340	347	353	359	366	372	
682		378	385	391	398	404	410	417	423	429	436	1 2 3 4 5 6 7 8 9
683		442	448	455	461	467	474	480	487	493	499	
684		506	512	518	525	531	537	544	550	556	563	
685		569	575	582	588	594	601	607	613	620	626	
686		632	639	645	651	658	664	670	677	683	689	
687		696	702	708	715	721	727	734	740	746	753	
688		759	765	771	778	784	790	797	803	809	816	
689		822	828	835	841	847	853	860	866	872	879	
690		885	891	897	904	910	916	923	929	935	942	1 2 3 4 5 6 7 8 9
691		948	954	960	967	973	979	985	992	998	*004	
692	84	011	017	023	029	036	042	048	055	061	067	
693		073	080	086	092	098	105	111	117	123	130	
694		136	142	148	155	161	167	173	180	186	192	
695		198	205	211	217	223	230	236	242	248	255	
696		261	267	273	280	286	292	298	305	311	317	
697		323	330	336	342	348	354	361	367	373	379	P.P. ₂
698		386	392	398	404	410	417	423	429	435	442	
699		448	454	460	466	473	479	485	491	497	504	
N	0	1	2	3	4	5	6	7	8	9	P.P. ₂	

700-739

Tabela 1.4 (continuare)

N	0	1	2	3	4	5	6	7	8	9	P.P.	
700	84	510	516	522	528	535	541	547	553	559	566	6
701		572	578	584	590	597	603	609	615	621	628	
702		634	640	646	652	658	665	671	677	683	689	
703		696	702	708	714	720	726	733	739	745	751	
704		757	763	770	776	782	788	794	800	807	813	
705		819	825	831	837	844	850	856	862	868	874	
706		880	887	893	899	905	911	917	924	930	936	
707		942	948	954	960	967	973	979	985	991	997	
708	85	003	009	016	022	028	034	040	046	052	058	
709		065	071	077	083	089	095	101	107	114	120	
710		126	132	138	144	150	156	163	169	175	181	5
711		187	193	199	205	211	217	224	230	236	242	
712		248	254	260	266	272	278	285	291	297	303	
713		309	315	321	327	333	339	345	352	358	364	
714		370	376	382	388	394	400	406	412	418	425	
715		431	437	443	449	455	461	467	473	479	485	
716		491	497	503	509	516	522	528	534	540	546	
717		552	558	564	570	576	582	588	594	600	606	
718		612	618	625	631	637	643	649	655	661	667	
719		673	679	685	691	697	703	709	715	721	727	
720		733	739	745	751	757	763	769	775	781	788	4
721		794	800	806	812	818	824	830	836	842	848	
722		854	860	866	872	878	884	890	896	902	908	
723		914	920	926	932	938	944	950	956	962	968	
724		974	980	986	992	998	*004*010*016*022*028					
725	86	034	040	046	052	058	064	070	076	082	088	
726		094	100	106	112	118	124	130	136	141	147	
727		153	159	165	171	177	183	189	195	201	207	
728		218	219	225	231	237	243	249	255	261	267	
729		273	279	285	291	297	303	308	314	320	326	
730		332	338	344	350	356	362	368	374	380	386	3
731		392	398	404	410	415	421	427	433	439	445	
732		451	457	463	469	475	481	487	493	499	504	
733		510	516	522	528	534	540	546	552	558	564	
734		570	576	581	587	593	599	605	611	617	623	
735		629	635	641	646	652	658	664	670	676	682	
736		688	694	700	705	711	717	723	729	735	741	
737		747	753	759	764	770	776	782	788	794	800	
738		806	812	817	823	829	835	841	847	853	859	
739		864	870	876	882	888	894	900	906	911	917	
N	0	1	2	3	4	5	6	7	8	9	P.P.	

740—779

Tabela 1.4 (continuare)

N	0	1	2	3	4	5	6	7	8	9	P.P.	
740	86	923	929	935	941	947	953	958	964	970	976	6
741		982	988	994	999	*005	*011	*017	*023	*029	*035	
742	87	040	046	052	058	064	070	075	081	087	093	
743		099	105	111	116	122	128	134	140	146	151	
744		157	163	169	175	181	186	192	198	204	210	
745		216	221	227	233	239	245	251	256	262	268	5
746		274	280	286	291	297	303	309	315	320	326	
747		332	338	344	349	355	361	367	373	379	384	
748		390	396	402	408	413	419	425	431	437	442	
749		448	454	460	466	471	477	483	489	495	500	
750		506	512	518	523	529	535	541	547	552	558	5
751		564	570	576	581	587	593	599	604	610	616	
752		622	628	633	639	645	651	656	662	668	674	
753		679	685	691	697	703	708	714	720	726	731	
754		737	743	749	754	760	766	772	777	783	789	
755		795	800	806	812	818	823	829	835	841	846	5
756		852	858	864	869	875	881	887	892	898	904	
757		910	915	921	927	933	938	944	950	955	961	
758		967	973	978	984	990	996	*001	*007	*013	*018	
759	88	024	030	036	041	047	053	058	064	070	076	
760		081	087	093	098	104	110	116	121	127	133	6
761		138	144	150	156	161	167	173	178	184	190	
762		195	201	207	213	218	224	230	235	241	247	
763		252	258	264	270	275	281	287	292	298	304	
764		309	315	321	326	332	338	343	349	355	360	
765		366	372	377	383	389	395	400	406	412	417	5
766		423	429	434	440	446	451	457	463	468	474	
767		480	485	491	497	502	508	513	519	525	530	
768		536	542	547	553	559	564	570	576	581	587	
769		593	598	604	610	615	621	627	632	638	643	
770		649	655	660	666	672	677	683	689	694	700	6
771		705	711	717	722	728	734	739	745	750	756	
772		762	767	773	779	784	790	795	801	807	812	
773		818	824	829	835	840	846	852	857	863	868	
774		874	880	885	891	897	902	908	913	919	925	
775		930	936	941	947	953	958	964	969	975	981	5
776		986	992	997	*003	*009	*014	*020	*025	*031	*037	
777	89	042	048	053	059	064	070	076	081	087	092	
778		098	104	109	115	120	126	131	137	143	148	
779		154	159	165	170	176	182	187	193	198	204	
N	0	1	2	3	4	5	6	7	8	9	P.P.	

780—819

Tabela 1.4 (continuare)

N	0	1	2	3	4	5	6	7	8	9	P.P.		
780	89	209	215	221	226	232	237	243	248	254	260	6	
781		265	271	276	282	287	293	298	304	310	315		
782		321	326	332	337	343	348	354	360	365	371		
783		376	382	387	393	398	404	409	415	421	426		
784		432	437	443	448	454	459	465	470	476	481		
785		487	492	498	504	509	515	520	526	531	537		
786		542	548	553	559	564	570	575	581	586	592		
787		597	603	609	614	620	625	631	636	642	647		
788		653	658	664	669	675	680	686	691	697	702		
789		708	713	719	724	730	735	741	746	752	757		
790		763	768	774	779	785	790	796	801	807	812	1	0,6
791		818	823	829	834	840	845	851	856	862	867	2	1,2
792		873	878	883	889	894	900	905	911	916	922	3	1,8
793		927	933	938	944	949	955	960	966	971	977	4	2,4
794		982	988	993	998	*004	*009	*015	*020	*026	*031	5	3,0
795	90	037	042	048	053	059	064	069	075	080	086	6	3,6
796		091	097	102	108	113	119	124	129	135	140	7	4,2
797		146	151	157	162	168	173	179	184	189	195	8	4,8
798		200	206	211	217	222	227	233	238	244	249	9	5,4
799		255	260	266	271	276	282	287	293	298	304		
800		309	314	320	325	331	336	342	347	352	358	5	
801		363	369	374	380	385	390	396	401	407	412		
802		417	423	428	434	439	445	450	455	461	466		
803		472	477	482	488	493	499	504	509	515	520		
804		526	531	536	542	547	553	558	563	569	574		
805		580	585	590	596	601	607	612	617	623	628		
806		634	639	644	650	655	660	666	671	677	682		
807		687	693	698	703	709	714	720	725	730	736		
808		741	747	752	757	763	768	773	779	784	789		
809		795	800	806	811	816	822	827	832	838	843		
810		849	854	859	865	870	875	881	886	891	897	1	0,5
811		902	907	913	918	924	929	934	940	945	950	2	1,0
812		956	961	966	972	977	982	988	993	998	*004	3	1,5
813	91	009	014	020	025	030	036	041	046	052	057	4	2,0
814		062	068	073	078	084	089	094	100	105	110	5	2,5
815		116	121	126	132	137	142	148	153	158	164	6	3,0
816		169	174	180	185	190	196	201	206	212	217	7	3,5
817		222	228	233	238	243	249	254	259	265	270	8	4,0
818		275	281	286	291	297	302	307	312	318	323	9	4,5
819		328	334	339	344	350	355	360	365	371	376		
N	0	1	2	3	4	5	6	7	8	9	P.P.		

820—859

Tabela 1.4 (continuare)

N	0	1	2	3	4	5	6	7	8	9	P.P.	
820	91	381	387	392	397	403	408	413	418	424	429	6 1 0,6 2 1,2 3 1,8 4 2,4 5 3,0 6 3,6 7 4,2 8 4,8 9 5,4
821		434	440	445	450	455	461	466	471	477	482	
822		487	492	498	503	508	514	519	524	529	535	
823		540	545	551	556	561	566	572	577	582	587	
824		593	598	603	609	614	619	624	630	635	640	
825		645	651	656	661	666	672	677	682	687	693	
826		698	703	709	714	719	724	730	735	740	745	
827		751	756	761	766	772	777	782	787	793	798	
828		803	808	814	819	824	829	834	840	845	850	
829		855	861	866	871	876	882	887	892	897	903	
830		908	913	918	924	929	934	939	944	950	955	5 1 0,5 2 1,0 3 1,5 4 2,0 5 2,5 6 3,0 7 3,5 8 4,0 9 4,5
831		960	965	971	976	981	986	991	997*002*007			
832	92	012	018	023	028	033	038	044	049	054	059	
833		065	070	075	080	085	091	096	101	106	111	
834		117	122	127	132	137	143	148	153	158	163	
835		169	174	179	184	189	195	200	205	210	215	
836		221	226	231	236	241	247	252	257	262	267	
837		273	278	283	288	293	298	304	309	314	319	
838		324	330	335	340	345	350	355	361	366	371	
839		376	381	387	392	397	402	407	412	418	423	
840		428	433	438	443	449	454	459	464	469	474	5 1 0,5 2 1,0 3 1,5 4 2,0 5 2,5 6 3,0 7 3,5 8 4,0 9 4,5
841		480	485	490	495	500	505	511	516	521	526	
842		531	536	542	547	552	557	562	567	572	578	
843		583	588	593	598	603	609	614	619	624	629	
844		634	639	645	650	655	660	665	670	675	681	
845		686	691	696	701	706	711	716	722	727	732	
846		737	742	747	752	758	763	768	773	778	783	
847		788	793	799	804	809	814	819	824	829	834	
848		840	845	850	855	860	865	870	875	881	886	
849		891	896	901	906	911	916	921	927	932	937	
850		942	947	952	957	962	967	973	978	983	988	5 1 0,5 2 1,0 3 1,5 4 2,0 5 2,5 6 3,0 7 3,5 8 4,0 9 4,5
851		993	998*003*008*013				*018*024*029*034*039					
852	93	044	049	054	059	064	069	075	080	085	090	
853		095	100	105	110	115	120	125	131	136	141	
854		146	151	156	161	166	171	176	181	186	192	
855		197	202	207	212	217	222	227	232	237	242	
856		247	252	258	263	268	273	278	283	288	293	
857		298	303	308	313	318	323	328	334	339	344	
858		349	354	359	364	369	374	379	384	389	394	
859		399	404	409	414	420	425	430	435	440	445	
N	0	1	2	3	4	5	6	7	8	9	P.P.	

860—899

Tabela 1.4 (continuare)

N											P.P.	
	0	1	2	3	4	5	6	7	8	9		
860	93	450	455	460	465	470	475	480	485	490	495	5
861		500	505	510	515	520	526	531	536	541	546	
862		551	556	561	566	571	576	581	586	591	596	
863		601	606	611	616	621	626	631	636	641	646	
864		651	656	661	666	671	676	682	687	692	697	
865		702	707	712	717	722	727	732	737	742	747	
866		752	757	762	767	772	777	782	787	792	797	
867		802	807	812	817	822	827	832	837	842	847	
868		852	857	862	867	872	877	882	887	892	897	
869		902	907	912	917	922	927	932	937	942	947	
870		952	957	962	967	972	977	982	987	992	997	1 0,5 2 1,0 3 1,5 4 2,0 5 2,5 6 3,0 7 3,5 8 4,0 9 4,5
871	94	002	007	012	017	022	027	032	037	042	047	
872		052	057	062	067	072	077	082	086	091	096	
873		101	106	111	116	121	126	131	136	141	146	
874		151	156	161	166	171	176	181	186	191	196	
875		201	206	211	216	221	226	231	236	240	245	
876		250	255	260	265	270	275	280	285	290	295	
877		300	305	310	315	320	325	330	335	340	345	
878		349	354	359	364	369	374	379	384	389	394	
879		399	404	409	414	419	424	429	433	438	443	
880		448	453	458	463	468	473	478	483	488	493	4
881		498	503	507	512	517	522	527	532	537	542	
882		547	552	557	562	567	571	576	581	586	591	
883		596	601	606	611	616	621	626	630	635	640	
884		645	650	655	660	665	670	675	680	685	689	
885		694	699	704	709	714	719	724	729	734	738	
886		743	748	753	758	763	768	773	778	783	787	
887		792	797	802	807	812	817	822	827	832	836	
888		841	846	851	856	861	866	871	876	880	885	
889		890	895	900	905	910	915	919	924	929	934	
890		939	944	949	954	959	963	968	973	978	983	1 0,4 2 0,8 3 1,2 4 1,6 5 2,0 6 2,4 7 2,8 8 3,2 9 3,6
891		988	993	998	*002	*007	*012	*017	*022	*027	*032	
892	95	036	041	046	051	056	061	066	071	075	080	
893		085	090	095	100	105	109	114	119	124	129	
894		134	139	143	148	153	158	163	168	173	177	
895		182	187	192	197	202	207	211	216	221	226	
896		231	236	240	245	250	255	260	265	270	274	
897		279	284	289	294	299	303	308	313	318	323	
898		328	332	337	342	347	352	357	361	366	371	
899		376	381	386	390	395	400	405	410	415	419	
N	0	1	2	3	4	5	6	7	8	9	P.P.	

900—939

Tabela 1.4 (continuare)

N	0	1	2	3	4	5	6	7	8	9	P.P.	
900	95	424	429	434	439	444	448	453	458	463	468	5
901		472	477	482	487	492	497	501	506	511	516	
902		521	525	530	535	540	545	550	554	559	564	
903		569	574	578	583	588	593	598	602	607	612	
904		617	622	626	631	636	641	646	650	655	660	
905		665	670	674	679	684	689	694	698	703	708	1 2 3 4 5 6 7 8 9
906		713	718	722	727	732	737	742	746	751	756	
907		761	766	770	775	780	785	789	794	799	804	
908		809	813	818	823	828	832	837	842	847	852	
909		856	861	866	871	875	880	885	890	895	899	
910		904	909	914	918	923	928	933	938	942	947	1 2 3 4 5 6 7 8 9
911		952	957	961	966	971	976	980	985	990	995	
912		999*004	*009	*014	*019		*023	*028	*033	*038	*042	
913	96	047	052	057	061	066	071	076	080	085	090	
914		095	099	104	109	114	118	123	128	133	137	
915		142	147	152	156	161	166	171	175	180	185	4
916		190	194	199	204	209	213	218	223	227	232	
917		237	242	246	251	256	261	265	270	275	280	
918		284	289	294	298	303	308	313	317	322	327	
919		332	336	341	346	350	355	360	365	369	374	
920		379	384	388	393	398	402	407	412	417	421	1 2 3 4 5 6 7 8 9
921		426	431	435	440	445	450	454	459	464	468	
922		473	478	483	487	492	497	501	506	511	515	
923		520	525	530	534	539	544	548	553	558	562	
924		567	572	577	581	586	591	595	600	605	609	
925		614	619	624	628	633	638	642	647	652	656	1 2 3 4 5 6 7 8 9
926		661	666	670	675	680	685	689	694	699	703	
927		708	713	717	722	727	731	736	741	745	750	
928		755	759	764	769	774	778	783	788	792	797	
929		802	806	811	816	820	825	830	834	839	844	
930		848	853	858	862	867	872	876	881	886	890	1 2 3 4 5 6 7 8 9
931		895	900	904	909	914	918	923	928	932	937	
932		942	946	951	956	960	965	970	974	979	984	
933		988	993	997*002	*007		*011	*016	*021	*025	*030	
934	*97	035	039	044	049	053	058	063	067	072	077	
935		081	086	090	095	100	104	109	114	118	123	1 2 3 4 5 6 7 8 9
936		128	132	137	142	146	151	155	160	165	169	
937		174	179	183	188	192	197	202	206	211	216	
938		220	225	230	234	239	243	248	253	257	262	
939		267	271	276	280	285	290	294	299	304	308	
N	0	1	2	3	4	5	6	7	8	9	P.P.	

940-979

Tabela 1.4 (continuare)

N	0	1	2	3	4	5	6	7	8	9	P.P.		
940	97	313	317	322	327	331	336	340	345	350	354	5	
941		359	364	368	373	377	382	387	391	396	400		
942		405	410	414	419	424	428	433	437	442	447		
943		451	456	460	465	470	474	479	483	488	493		
944		497	502	506	511	516	520	525	529	534	539		
945		543	548	552	557	562	566	571	575	580	585		
946		589	594	598	603	607	612	617	621	626	630		
947		635	640	644	649	653	658	663	667	672	676		
948		681	685	690	695	699	704	708	713	717	722		
949		727	731	736	740	745	749	754	759	763	768		
950		772	777	782	786	791	795	800	804	809	813	1	0,5
951		818	823	827	832	836	841	845	850	855	859	2	1,0
952		864	868	873	877	882	886	891	896	900	905	3	1,5
953		909	914	918	923	928	932	937	941	946	950	4	2,0
954		955	959	964	968	973	978	982	987	991	996	5	2,5
955	98	000	005	009	014	019	023	028	032	037	041	6	3,0
956		046	050	055	059	064	068	073	078	082	087	7	3,5
957		091	096	100	105	109	114	118	123	127	132	8	4,0
958		137	141	146	150	155	159	164	168	173	177	9	4,5
959		182	186	191	195	200	204	209	214	218	223		
960		227	232	236	241	245	250	254	259	263	268	4	
961		272	277	281	286	290	295	299	304	308	313		
962		318	322	327	331	336	340	345	349	354	358		
963		363	367	372	376	381	385	390	394	399	403		
964		408	412	417	421	426	430	435	439	444	448		
965		453	457	462	466	471	475	480	484	489	493		
966		498	502	507	511	516	520	525	529	534	538		
967		543	547	552	556	561	565	570	574	579	583		
968		588	592	597	601	605	610	614	619	623	628		
969		632	637	641	646	650	655	659	664	668	673		
970		677	682	686	691	695	700	704	709	713	717	1	0,4
971		722	726	731	735	740	744	749	753	758	762	2	0,8
972		767	771	776	780	784	789	793	798	802	807	3	1,2
973		811	816	820	825	829	834	838	843	847	851	4	1,6
974		856	860	865	869	874	878	883	887	892	896	5	2,0
975		900	905	909	914	918	923	927	932	936	941	6	2,4
976		945	949	954	958	963	967	972	976	981	985	7	2,8
977		989	994	998	*003	*007	*012	016	*021	*025	*029	8	3,2
978	99	034	038	043	047	052	056	061	065	069	074	9	3,6
979		078	083	087	092	096	100	105	109	114	118		
N	0	1	2	3	4	5	6	7	8	9	P.P.		

980-999

Tabela 1.4 (continua)

N	0	1	2	3	4	5	6	7	8	9	P.P.	
980	99	123	127	131	136	140	145	149	154	158	162	5
981		167	171	176	180	185	189	193	198	202	207	
982		211	216	220	224	229	233	238	242	247	251	
983		255	260	264	269	273	277	282	286	291	295	
984		300	304	308	313	317	322	326	330	335	339	
985		344	348	352	357	361	366	370	374	379	383	4
986		388	392	396	401	405	410	414	419	423	427	
987		432	436	441	445	449	454	458	463	467	471	
988		476	480	484	489	493	498	502	506	511	515	
989		520	524	528	533	537	542	546	550	555	559	
990		564	568	572	577	581	585	590	594	599	603	4
991		607	612	616	621	625	629	634	638	642	647	
992		651	656	660	664	669	673	677	682	686	691	
993		695	699	704	708	712	717	721	726	730	734	
994		739	743	747	752	756	760	765	769	774	778	
995		782	787	791	795	800	804	808	813	817	822	4
996		826	830	835	839	843	848	852	856	861	865	
997		870	874	878	883	887	891	896	900	904	909	
998		913	917	922	926	930	935	939	944	948	952	
999		957	961	965	970	974	978	983	987	991	996	
N	0	1	2	3	4	5	6	7	8	9	P.P.	

Tabela 1.5. Antilogaritmi

m	0	1	2	3	4	5	6	7	8	9
00	1000	1002	1005	1007	1009	1012	1014	1016	1019	1021
01	1023	1026	1028	1030	1033	1035	1038	1040	1042	1045
02	1047	1050	1052	1054	1057	1059	1062	1064	1067	1069
03	1072	1074	1076	1079	1081	1084	1086	1089	1091	1094
04	1096	1099	1102	1104	1107	1109	1112	1114	1117	1119
05	1122	1125	1127	1130	1132	1135	1138	1140	1143	1146
06	1148	1151	1153	1156	1159	1161	1164	1167	1169	1172
07	1175	1178	1180	1183	1186	1189	1191	1194	1197	1199
08	1202	1205	1208	1211	1213	1216	1219	1222	1225	1227
09	1230	1233	1236	1239	1242	1245	1247	1250	1253	1256

100-54

Tabela 1.5 (continuare)

<i>m</i>	0	1	2	3	4	5	6	7	8	9
10	1259	1262	1265	1268	1271	1274	1276	1279	1282	1285
11	1288	1291	1294	1297	1300	1303	1306	1309	1312	1315
12	1318	1321	1324	1327	1330	1334	1337	1340	1343	1346
13	1349	1352	1355	1358	1361	1365	1368	1371	1374	1377
14	1380	1384	1387	1390	1393	1396	1400	1403	1406	1409
15	1413	1416	1419	1422	1426	1429	1432	1435	1439	1442
16	1445	1449	1452	1455	1459	1462	1466	1469	1472	1476
17	1479	1483	1486	1489	1493	1496	1500	1503	1507	1510
18	1514	1517	1521	1524	1528	1531	1535	1538	1542	1545
19	1549	1552	1556	1560	1563	1567	1570	1574	1578	1581
20	1585	1589	1592	1596	1600	1603	1607	1611	1614	1618
21	1622	1626	1629	1633	1637	1641	1644	1648	1652	1656
22	1660	1663	1667	1671	1675	1679	1683	1687	1690	1694
23	1698	1702	1706	1710	1714	1718	1722	1726	1730	1734
24	1738	1742	1746	1750	1754	1758	1762	1766	1770	1774
25	1778	1782	1786	1791	1795	1799	1803	1807	1811	1816
26	1820	1824	1828	1832	1837	1841	1845	1849	1854	1858
27	1862	1866	1871	1875	1879	1884	1888	1892	1897	1901
28	1905	1910	1914	1919	1923	1928	1932	1936	1941	1945
29	1950	1954	1959	1963	1968	1972	1977	1982	1986	1991
30	1995	2000	2004	2009	2014	2018	2023	2028	2032	2037
31	2042	2046	2051	2056	2061	2065	2070	2075	2080	2084
32	2089	2094	2099	2104	2109	2113	2118	2123	2128	2133
33	2138	2143	2148	2153	2158	2163	2168	2173	2178	2183
34	2188	2193	2198	2203	2208	2213	2218	2225	2228	2234
35	2239	2244	2249	2254	2259	2265	2270	2275	2280	2286
36	2291	2296	2301	2307	2312	2317	2323	2328	2333	2339
37	2344	2350	2355	2360	2366	2371	2377	2382	2388	2393
38	2399	2404	2410	2415	2421	2427	2432	2438	2443	2449
39	2455	2460	2466	2472	2477	2483	2489	2495	2500	2506
40	2512	2518	2523	2529	2535	2541	2547	2553	2559	2564
41	2570	2576	2582	2588	2594	2600	2606	2612	2618	2624
42	2630	2636	2642	2649	2655	2661	2667	2673	2679	2685
43	2692	2698	2704	2710	2716	2723	2729	2735	2742	2748
44	2754	2761	2767	2773	2780	2786	2793	2799	2805	2812
45	2818	2825	2831	2838	2844	2851	2858	2864	2871	2877
46	2884	2891	2897	2904	2911	2917	2924	2931	2938	2944
47	2951	2958	2965	2972	2979	2985	2992	2999	3006	3013
48	3020	3027	3034	3041	3048	3055	3062	3069	3076	3083
49	3090	3097	3105	3112	3119	3126	3133	3141	3148	3155
50	3162	3170	3177	3184	3192	3199	3206	3214	3221	3228
51	3236	3243	3251	3258	3266	3273	3281	3289	3296	3304
52	3311	3319	3327	3334	3342	3350	3357	3365	3373	3381
53	3388	3396	3404	3412	3420	3428	3436	3443	3451	3459
54	3467	3475	3483	3491	3499	3508	3516	3524	3532	3540

55—99

Tabela 1.5 (continuare)

m	0	1	2	3	4	5	6	7	8	9
55	3548	3556	3565	3573	3581	3589	3597	3606	3614	3622
56	3631	3639	3648	3656	3664	3673	3681	3690	3698	3707
57	3715	3724	3733	3741	3750	3758	3767	3776	3784	3793
58	3802	3811	3819	3828	3837	3846	3855	3864	3873	3882
59	3890	3899	3908	3917	3926	3936	3945	3954	3963	3972
60	3981	3990	3999	4009	4018	4027	4036	4046	4055	4064
61	4074	4083	4093	4102	4111	4121	4130	4140	4150	4159
62	4169	4178	4188	4198	4207	4217	4227	4236	4246	4256
63	4266	4276	4285	4295	4305	4315	4325	4335	4345	4355
64	4365	4375	4385	4395	4406	4416	4426	4436	4446	4457
65	4467	4477	4487	4498	4508	4519	4529	4539	4550	4560
66	4571	4581	4592	4603	4613	4624	4634	4645	4656	4667
67	4677	4688	4699	4710	4721	4732	4742	4753	4764	4775
68	4786	4797	4808	4819	4831	4842	4853	4864	4875	4887
69	4898	4909	4920	4932	4943	4955	4966	4977	4989	5000
70	5012	5023	5035	5047	5058	5070	5082	5093	5105	5117
71	5129	5140	5152	5164	5176	5188	5200	5212	5224	5236
72	5248	5260	5272	5284	5297	5309	5321	5333	5346	5358
73	5370	5383	5395	5408	5420	5433	5445	5458	5470	5483
74	5495	5508	5521	5534	5546	5559	5572	5585	5598	5610
75	5623	5636	5649	5662	5675	5689	5702	5715	5728	5741
76	5754	5768	5781	5794	5808	5821	5834	5848	5861	5875
77	5888	5902	5916	5929	5943	5957	5970	5984	5998	6012
78	6026	6039	6053	6067	6081	6095	6109	6124	6138	6152
79	6166	6180	6194	6209	6223	6237	6252	6266	6281	6295
80	6310	6324	6339	6353	6368	6383	6397	6412	6427	6442
81	6457	6471	6486	6501	6516	6531	6546	6561	6577	6592
82	6607	6622	6637	6653	6668	6683	6699	6714	6730	6745
83	6761	6776	6792	6808	6823	6839	6855	6871	6887	6902
84	6918	6934	6950	6966	6982	6998	7015	7031	7047	7063
85	7079	7096	7112	7129	7145	7161	7178	7194	7214	7228
86	7244	7261	7278	7295	7311	7328	7345	7362	7379	7396
87	7413	7430	7447	7464	7482	7499	7516	7534	7551	7568
88	7586	7603	7621	7638	7656	7674	7691	7709	7727	7745
89	7762	7780	7798	7816	7834	7852	7870	7889	7907	7925
90	7943	7962	7980	7998	8017	8035	8054	8072	8091	8110
91	8128	8147	8166	8185	8204	8222	8241	8260	8279	8299
92	8318	8337	8356	8375	8395	8414	8433	8453	8472	8492
93	8511	8531	8551	8570	8590	8610	8630	8650	8670	8690
94	8710	8730	8750	8770	8790	8810	8831	8851	8872	8892
95	8913	8933	8954	8974	8995	9016	9036	9057	9078	9099
96	9120	9141	9162	9183	9204	9226	9247	9268	9290	9311
97	9333	9354	9376	9397	9419	9441	9462	9484	9506	9528
98	9550	9572	9594	9616	9638	9661	9683	9705	9727	9750
99	9772	9795	9817	9840	9863	9886	9908	9931	9954	9977

Tabela 1.6 Logaritmi naturali ai numerelor de la 1,00 pînă la 9,99

N	0	1	2	3	4	5	6	7	8	9
1,0	0,0000	0,0100	0,0198	0,0296	0,0392	0,0488	0,0583	0,0677	0,0770	0,0862
1,1	0,0953	0,1044	0,1133	0,1222	0,1310	0,1398	0,1484	0,1570	0,1655	0,1740
1,2	0,1823	0,1906	0,1989	0,2070	0,2151	0,2231	0,2311	0,2390	0,2469	0,2546
1,3	0,2624	0,2700	0,2776	0,2852	0,2927	0,3001	0,3075	0,3148	0,3221	0,3293
1,4	0,3365	0,3436	0,3507	0,3577	0,3646	0,3716	0,3784	0,3853	0,3920	0,3988
1,5	0,4055	0,4121	0,4187	0,4253	0,4318	0,4383	0,4447	0,4511	0,4574	0,4637
1,6	0,4700	0,4762	0,4824	0,4886	0,4947	0,5008	0,5068	0,5128	0,5188	0,5247
1,7	0,5306	0,5365	0,5423	0,5481	0,5539	0,5596	0,5653	0,5710	0,5766	0,5822
1,8	0,5878	0,5933	0,5988	0,6043	0,6098	0,6152	0,6206	0,6259	0,6313	0,6366
1,9	0,6419	0,6471	0,6523	0,6575	0,6627	0,6678	0,6729	0,6780	0,6831	0,6881
2,0	0,6931	0,6981	0,7031	0,7080	0,7129	0,7178	0,7227	0,7275	0,7324	0,7372
2,1	0,7419	0,7467	0,7514	0,7561	0,7608	0,7655	0,7701	0,7747	0,7793	0,7839
2,2	0,7885	0,7930	0,7975	0,8020	0,8065	0,8109	0,8154	0,8198	0,8242	0,8286
2,3	0,8329	0,8372	0,8416	0,8459	0,8502	0,8544	0,8587	0,8629	0,8671	0,8713
2,4	0,8755	0,8796	0,8838	0,8879	0,8920	0,8961	0,9002	0,9042	0,9083	0,9123
2,5	0,9163	0,9203	0,9243	0,9282	0,9322	0,9361	0,9400	0,9439	0,9478	0,9517
2,6	0,9555	0,9594	0,9632	0,9670	0,9708	0,9746	0,9783	0,9821	0,9858	0,9895
2,7	0,9933	0,9969	1,0006	1,0043	1,0080	1,0116	1,0152	1,0188	1,0225	1,0260
2,8	1,0296	1,0332	1,0367	1,0403	1,0438	1,0473	1,0508	1,0543	1,0578	1,0613
2,9	1,0647	1,0682	1,0716	1,0750	1,0784	1,0818	1,0852	1,0886	1,0919	1,0953
3,0	1,0986	1,1019	1,1053	1,1086	1,1119	1,1151	1,1184	1,1217	1,1249	1,1282
3,1	1,1314	1,1346	1,1378	1,1410	1,1442	1,1474	1,1506	1,1537	1,1569	1,1600
3,2	1,1632	1,1663	1,1694	1,1725	1,1756	1,1787	1,1817	1,1848	1,1878	1,1909
3,3	1,1939	1,1969	1,2000	1,2030	1,2060	1,2090	1,2119	1,2149	1,2179	1,2208
3,4	1,2238	1,2267	1,2296	1,2326	1,2355	1,2384	1,2413	1,2442	1,2470	1,2499
3,5	1,2528	1,2556	1,2585	1,2613	1,2641	1,2669	1,2698	1,2726	1,2754	1,2782
3,6	1,2809	1,2837	1,2865	1,2892	1,2920	1,2947	1,2975	1,3002	1,3029	1,3056
3,7	1,3083	1,3110	1,3137	1,3164	1,3191	1,3218	1,3244	1,3271	1,3297	1,3324
3,8	1,3350	1,3376	1,3403	1,3429	1,3455	1,3481	1,3507	1,3533	1,3558	1,3584
3,9	1,3610	1,3635	1,3661	1,3686	1,3712	1,3737	1,3762	1,3788	1,3813	1,3838
4,0	1,3863	1,3888	1,3913	1,3938	1,3962	1,3987	1,4012	1,4036	1,4061	1,4085
4,1	1,4110	1,4134	1,4159	1,4183	1,4207	1,4231	1,4255	1,4279	1,4303	1,4327
4,2	1,4351	1,4375	1,4399	1,4422	1,4446	1,4469	1,4493	1,4516	1,4540	1,4563
4,3	1,4586	1,4609	1,4633	1,4656	1,4679	1,4702	1,4725	1,4748	1,4770	1,4793
4,4	1,4816	1,4839	1,4861	1,4884	1,4907	1,4929	1,4951	1,4974	1,4996	1,5019
4,5	1,5041	1,5063	1,5085	1,5107	1,5129	1,5151	1,5173	1,5195	1,5217	1,5239
4,6	1,5261	1,5282	1,5304	1,5326	1,5347	1,5369	1,5390	1,5412	1,5433	1,5454
4,7	1,5476	1,5497	1,5518	1,5539	1,5560	1,5581	1,5602	1,5623	1,5644	1,5665
4,8	1,5686	1,5707	1,5728	1,5748	1,5769	1,5790	1,5810	1,5831	1,5851	1,5872
4,9	1,5892	1,5913	1,5933	1,5953	1,5974	1,5994	1,6014	1,6034	1,6054	1,6074
5,0	1,6094	1,6114	1,6134	1,6154	1,6174	1,6194	1,6214	1,6233	1,6253	1,6273
5,1	1,6292	1,6312	1,6332	1,6351	1,6371	1,6390	1,6409	1,6429	1,6448	1,6467
5,2	1,6487	1,6506	1,6525	1,6544	1,6563	1,6582	1,6601	1,6620	1,6639	1,6658
5,3	1,6677	1,6696	1,6715	1,6734	1,6752	1,6771	1,6790	1,6808	1,6827	1,6845
5,4	1,6864	1,6882	1,6901	1,6919	1,6938	1,6956	1,6974	1,6993	1,7011	1,7029

5.5-9,9

Tabela 1.6 (continuare)

N	0	1	2	3	4	5	6	7	8	9
5,5	1,7047	1,7066	1,7084	1,7102	1,7120	1,7138	1,7156	1,7174	1,7192	1,7210
5,6	1,7228	1,7246	1,7263	1,7281	1,7299	1,7317	1,7334	1,7352	1,7370	1,7387
5,7	1,7405	1,7422	1,7440	1,7457	1,7475	1,7492	1,7509	1,7527	1,7544	1,7561
5,8	1,7579	1,7596	1,7613	1,7630	1,7647	1,7664	1,7681	1,7699	1,7716	1,7733
5,9	1,7750	1,7766	1,7783	1,7800	1,7817	1,7834	1,7851	1,7867	1,7884	1,7901
6,0	1,7918	1,7934	1,7951	1,7967	1,7984	1,8001	1,8017	1,8034	1,8050	1,8066
6,1	1,8083	1,8099	1,8116	1,8132	1,8148	1,8165	1,8181	1,8197	1,8213	1,8229
6,2	1,8245	1,8262	1,8278	1,8294	1,8310	1,8326	1,8342	1,8358	1,8374	1,8390
6,3	1,8405	1,8421	1,8437	1,8453	1,8469	1,8485	1,8500	1,8516	1,8532	1,8547
6,4	1,8563	1,8579	1,8594	1,8610	1,8625	1,8641	1,8656	1,8672	1,8687	1,8703
6,5	1,8718	1,8733	1,8749	1,8764	1,8779	1,8795	1,8810	1,8825	1,8840	1,8856
6,6	1,8871	1,8886	1,8901	1,8916	1,8931	1,8946	1,8961	1,8976	1,8991	1,9006
6,7	1,9021	1,9036	1,9051	1,9066	1,9081	1,9095	1,9110	1,9125	1,9140	1,9155
6,8	1,9169	1,9184	1,9199	1,9213	1,9228	1,9242	1,9257	1,9272	1,9286	1,9301
6,9	1,9315	1,9330	1,9344	1,9359	1,9373	1,9387	1,9402	1,9416	1,9430	1,9445
7,0	1,9459	1,9473	1,9488	1,9502	1,9516	1,9530	1,9544	1,9559	1,9573	1,9587
7,1	1,9601	1,9615	1,9629	1,9643	1,9657	1,9671	1,9685	1,9699	1,9713	1,9727
7,2	1,9741	1,9755	1,9769	1,9782	1,9796	1,9810	1,9824	1,9838	1,9851	1,9865
7,3	1,9879	1,9892	1,9906	1,9920	1,9933	1,9947	1,9961	1,9974	1,9988	2,0001
7,4	2,0015	2,0028	2,0042	2,0055	2,0069	2,0082	2,0096	2,0109	2,0122	2,0136
7,5	2,0149	2,0162	2,0176	2,0189	2,0202	2,0215	2,0229	2,0242	2,0255	2,0268
7,6	2,0281	2,0295	2,0308	2,0321	2,0334	2,0347	2,0360	2,0373	2,0386	2,0399
7,7	2,0412	2,0425	2,0438	2,0451	2,0464	2,0477	2,0490	2,0503	2,0516	2,0528
7,8	2,0541	2,0554	2,0567	2,0580	2,0592	2,0605	2,0618	2,0631	2,0643	2,0656
7,9	2,0669	2,0681	2,0694	2,0707	2,0719	2,0732	2,0744	2,0757	2,0769	2,0782
8,0	2,0794	2,0807	2,0819	2,0832	2,0844	2,0857	2,0869	2,0882	2,0894	2,0906
8,1	2,0919	2,0931	2,0943	2,0956	2,0968	2,0980	2,0992	2,1005	2,1017	2,1029
8,2	2,1041	2,1054	2,1066	2,1078	2,1090	2,1102	2,1114	2,1126	2,1138	2,1150
8,3	2,1163	2,1175	2,1187	2,1199	2,1211	2,1223	2,1235	2,1247	2,1258	2,1270
8,4	2,1282	2,1294	2,1306	2,1318	2,1330	2,1342	2,1353	2,1365	2,1377	2,1389
8,5	2,1401	2,1412	2,1424	2,1436	2,1448	2,1459	2,1471	2,1483	2,1494	2,1506
8,6	2,1518	2,1529	2,1541	2,1552	2,1564	2,1576	2,1587	2,1599	2,1610	2,1622
8,7	2,1633	2,1645	2,1656	2,1668	2,1679	2,1691	2,1702	2,1713	2,1725	2,1736
8,8	2,1748	2,1759	2,1770	2,1782	2,1793	2,1804	2,1815	2,1827	2,1838	2,1849
8,9	2,1861	2,1872	2,1883	2,1894	2,1905	2,1917	2,1928	2,1939	2,1950	2,1961
9,0	2,1972	2,1983	2,1994	2,2006	2,2017	2,2028	2,2039	2,2050	2,2061	2,2072
9,1	2,2083	2,2094	2,2105	2,2116	2,2127	2,2138	2,2148	2,2159	2,2170	2,2181
9,2	2,2192	2,2203	2,2214	2,2225	2,2235	2,2246	2,2257	2,2268	2,2279	2,2289
9,3	2,2300	2,2311	2,2322	2,2332	2,2343	2,2354	2,2364	2,2375	2,2386	2,2396
9,4	2,2407	2,2418	2,2428	2,2439	2,2450	2,2460	2,2471	2,2481	2,2492	2,2502
9,5	2,2513	2,2523	2,2534	2,2544	2,2555	2,2565	2,2576	2,2586	2,2597	2,2607
9,6	2,2618	2,2628	2,2638	2,2649	2,2659	2,2670	2,2680	2,2690	2,2701	2,2711
9,7	2,2721	2,2732	2,2742	2,2752	2,2762	2,2773	2,2783	2,2793	2,2803	2,2814
9,8	2,2824	2,2834	2,2844	2,2854	2,2865	2,2875	2,2885	2,2895	2,2905	2,2915
9,9	2,2925	2,2935	2,2946	2,2956	2,2966	2,2976	2,2986	2,2996	2,3006	2,3016

Tabela 1.7. Logaritmi naturali ai puterilor lui 10

n	$\ln 10^n$	n	$\ln 10^n$	n	$\ln 10^n$	n	$\ln 10^n$
-20	47,9482981	-10	24,9741491	+ 1	2,3025851	+11	25,3284360
-19	44,2508832	- 9	21,2767342	+ 2	4,6051702	+12	27,6310211
-18	42,5534683	- 8	19,5793193	+ 3	6,9077553	+13	29,9336062
-17	40,8560534	- 7	17,8819043	+ 4	9,2103404	+14	32,2361913
-16	37,1586385	- 6	14,1844894	+ 5	11,5129255	+15	34,5387664
-15	35,4612236	- 5	12,4870746	+ 6	13,8155111	+16	36,8413615
-14	33,7638087	- 4	10,7896596	+ 7	16,1180957	+17	39,1439466
-13	30,0663938	- 3	7,0922447	+ 8	18,4206807	+18	41,4465317
-12	28,3689789	- 2	5,3948398	+ 9	20,7232658	+19	43,7491168
-11	26,6715640	- 1	3,6974149	+10	23,0258509	+20	46,0517019

Tabela 1.8. Multiplii lui $1/M$

pentru transformarea logaritmilor zecimali în logaritmi naturali

$$\ln N = \frac{1}{M} \times \lg N$$

$$\frac{1}{M} = \ln 10 = 2,30258\ 50929\ 94045\ 68401\ 79915$$

	Multiplii		Multiplii		Multiplii
10	23,02 585	25	57,56 463	40	92,10 340
11	25,32 844	26	59,86 721	41	94,40 599
12	27,63 102	27	62,16 980	42	96,70 857
13	29,93 361	28	64,47 238	43	99,01 116
14	32,23 619	29	66,77 497	44	101,31 374
15	34,53 878	30	69,07 755	45	103,61 633
16	36,84 136	31	71,38 014	46	105,91 891
17	39,14 395	32	73,68 272	47	108,22 150
18	41,44 653	33	75,98 531	48	110,52 408
19	43,74 912	34	78,28 789	49	112,82 667
20	46,05 170	35	80,59 048	50	115,12 925
21	48,35 429	36	82,89 306	51	117,43 184
22	50,65 687	37	85,19 565	52	119,73 442
23	52,95 946	38	87,49 823	53	122,03 701
24	55,26 204	39	89,80 082	54	124,33 960

Tabela 1.9 Puteri, radicali, logaritmi naturali, valori reciproce, lungimi și arii de cercuri

n	n^2	n^3	\sqrt{n}	$\sqrt[3]{n}$	$\ln n$	$\frac{1}{n}10^3$	πn	$\frac{\pi n^2}{4}$	n
1	1	1	1,0000	1,0000	0,00000	1000,000	3,142	0,78 54	1
2	4	8	1,4142	1,2599	0,69315	500,000	6,283	3,14 16	2
3	9	27	1,7321	1,4422	1,09861	333,333	9,425	7,06 86	3
4	16	64	2,0000	1,5874	1,38629	250,000	12,566	12,56 64	4
5	25	125	2,2361	1,7100	1,60944	200,000	15,708	19,63 50	5
6	36	216	2,4495	1,8171	1,79176	166,667	18,850	28,27 43	6
7	49	343	2,6458	1,9129	1,94591	142,857	21,991	38,48 45	7
8	64	512	2,8284	2,0000	2,07944	125,000	25,133	50,26 55	8
9	81	729	3,0000	2,0801	2,19722	111,111	28,274	63,61 73	9
10	100	1000	3,1623	2,1544	2,30259	100,000	31,416	78,53 98	10
11	121	1331	3,3166	2,2240	2,39790	90,9091	34,558	95,03 32	11
12	144	1728	3,4641	2,2894	2,48491	83,3333	37,699	113,09 7	12
13	169	2197	3,6056	2,3513	2,56495	76,9231	40,841	132,73 2	13
14	196	2744	3,7417	2,4101	2,63906	71,4286	43,982	153,93 8	14
15	225	3375	3,8730	2,4662	2,70805	66,6667	47,124	176,71 5	15
16	256	4096	4,0000	2,5198	2,77259	62,5000	50,265	201,06 2	16
17	289	4913	4,1231	2,5713	2,83321	58,8235	53,407	226,98 0	17
18	324	5832	4,2426	2,6207	2,89037	55,5556	56,549	254,46 9	18
19	361	6859	4,3589	2,6684	2,94444	52,6316	59,690	283,52 9	19
20	400	8000	4,4721	2,7144	2,99573	50,0000	62,832	314,15 9	20
21	441	9261	4,5826	2,7589	3,04452	47,6190	65,973	346,36 1	21
22	484	10648	4,6904	2,8020	3,09104	45,4545	69,115	380,13 3	22
23	529	12167	4,7958	2,8439	3,13549	43,4783	72,257	415,47 6	23
24	576	13824	4,8990	2,8845	3,17805	41,6667	75,398	452,38 9	24
25	625	15625	5,0000	2,9240	3,21888	40,0000	78,540	490,87 4	25
26	676	17576	5,0990	2,9625	3,25810	38,4615	81,681	530,92 9	26
27	729	19683	5,1962	3,0000	3,29584	37,0370	84,823	572,55 5	27
28	784	21952	5,2915	3,0366	3,33220	35,7143	87,965	615,75 2	28
29	841	24389	5,3852	3,0723	3,36730	34,4828	91,106	660,52 0	29
30	900	27000	5,4772	3,1072	3,40120	33,3333	94,248	706,85 8	30
31	961	29791	5,5678	3,1414	3,43399	32,2581	97,389	754,76 8	31
32	1024	32768	5,6569	3,1748	3,46574	31,2500	100,531	804,24 8	32
33	1089	35937	5,7446	3,2075	3,49651	30,3030	103,673	855,29 9	33
34	1156	39304	5,8310	3,2396	3,52636	29,4118	106,814	907,92 0	34
35	1225	42875	5,9161	3,2711	3,55535	28,5714	109,956	962,11 3	35
36	1296	46656	6,0000	3,3019	3,58352	27,7778	113,097	1017,88	36
37	1369	50653	6,0828	3,3322	3,61092	27,0270	116,239	1075,21	37
38	1444	54872	6,1644	3,3620	3,63759	26,3158	119,381	1134,11	38
39	1521	59319	6,2450	3,3912	3,66356	25,6410	122,522	1194,59	39
40	1600	64000	6,3246	3,4200	3,68888	25,0000	125,66	1256,64	40
41	1681	68921	6,4031	3,4482	3,71357	24,3902	128,81	1320,25	41
42	1764	74088	6,4807	3,4760	3,73767	23,8095	131,95	1385,44	42
43	1849	79507	6,5574	3,5034	3,76120	23,2558	135,09	1452,20	43
44	1936	85184	6,6332	3,5303	3,78419	22,7273	138,23	1520,53	44
45	2025	91125	6,7082	3,5569	3,80666	22,2222	141,37	1590,43	45
46	2116	97336	6,7823	3,5830	3,82864	21,7391	144,51	1661,90	46
47	2209	103827	6,8557	3,6088	3,85015	21,2766	147,65	1734,94	47
48	2304	110592	6,9282	3,6342	3,87120	20,8333	150,80	1809,56	48
49	2401	117649	7,0000	3,6593	3,89182	20,4082	153,94	1885,74	49
50	2500	125000	7,0711	3,6840	3,91202	20,0000	157,08	1963,50	50

50-100

Tabela 1.9 (continuare)

n	n^2	n^3	\sqrt{n}	$\sqrt[3]{n}$	$\ln n$	$\frac{1}{n^{10}}$	πn	$\frac{\pi n^2}{4}$	n
50	25 00	125 000	7,0711	3,6840	3,91202	20,0000	157,08	19 63,50	50
51	26 01	132 651	7,1414	3,7084	3,93183	19,6078	160,22	20 42,82	51
52	27 04	140 608	7,2111	3,7325	3,95124	19,2308	163,36	21 23,72	52
53	28 09	148 877	7,2801	3,7563	3,97029	18,8679	166,50	22 06,18	53
54	29 16	157 464	7,3485	3,7798	3,98898	18,5185	169,65	22 90,22	54
55	30 25	166 375	7,4162	3,8030	4,00733	18,1818	172,79	23 75,83	55
56	31 36	175 616	7,4833	3,8259	4,02535	17,8571	175,93	24 63,01	56
57	32 49	185 193	7,5498	3,8485	4,04305	17,5439	179,07	25 51,76	57
58	33 64	195 112	7,6158	3,8709	4,06044	17,2414	182,21	26 42,08	58
59	34 81	205 379	7,6811	3,8930	4,07754	16,9492	185,35	27 33,97	59
60	36 00	216 000	7,7460	3,9149	4,09434	16,6667	188,50	28 27,43	60
61	37 21	226 981	7,8102	3,9365	4,11087	16,3934	191,64	29 22,47	61
62	38 44	238 328	7,8740	3,9579	4,12713	16,1290	194,78	30 19,07	62
63	39 69	250 047	7,9373	3,9791	4,14313	15,8730	197,92	31 17,25	63
64	40 96	262 144	8,0000	4,0000	4,15888	15,6250	201,06	32 16,99	64
65	42 25	274 625	8,0623	4,0207	4,17439	15,3846	204,20	33 18,31	65
66	43 56	287 496	8,1240	4,0412	4,18965	15,1515	207,35	34 21,19	66
67	44 89	300 763	8,1854	4,0615	4,20469	14,9254	210,49	35 25,65	67
68	46 24	314 432	8,2462	4,0817	4,21951	14,7059	213,63	36 31,68	68
69	47 61	328 509	8,3066	4,1016	4,23411	14,4928	216,77	37 39,28	69
70	49 00	343 000	8,3666	4,1213	4,24850	14,2857	219,91	38 48,45	70
71	50 41	357 911	8,4261	4,1408	4,26268	14,0845	223,05	39 59,19	71
72	51 84	373 248	8,4853	4,1602	4,27667	13,8889	226,19	40 71,50	72
73	53 29	389 017	8,5440	4,1793	4,29046	13,6986	229,34	41 85,29	73
74	54 76	405 224	8,6023	4,1983	4,30407	13,5135	232,48	43 00,84	74
75	56 25	421 875	8,6603	4,2172	4,31749	13,3333	235,62	44 17,86	75
76	57 76	438 976	8,7178	4,2358	4,33073	13,1579	238,76	45 36,46	76
77	59 29	456 533	8,7750	4,2543	4,34381	12,9870	241,90	46 56,63	77
78	60 84	474 552	8,8318	4,2727	4,35671	12,8205	245,04	47 78,36	78
79	62 41	493 039	8,8882	4,2908	4,36945	12,6582	248,19	49 01,67	79
80	64 00	512 000	8,9443	4,3089	4,38203	12,5000	251,33	50 26,55	80
81	65 61	531 441	9,0000	4,3267	4,39445	12,3457	254,47	51 53,00	81
82	67 24	551 368	9,0554	4,3445	4,40672	12,1951	257,61	52 81,02	82
83	68 89	571 787	9,1104	4,3621	4,41884	12,0482	260,75	54 10,61	83
84	70 56	592 704	9,1652	4,3795	4,43082	11,9048	263,89	55 41,77	84
85	72 25	614 125	9,2195	4,3968	4,44265	11,7647	267,04	56 74,50	85
86	73 96	636 056	9,2736	4,4140	4,45435	11,6279	270,18	58 08,80	86
87	75 69	658 503	9,3274	4,4310	4,46591	11,4943	273,32	59 44,88	87
88	77 44	681 472	9,3808	4,4480	4,47734	11,3636	276,46	60 82,12	88
89	79 21	704 969	9,4340	4,4647	4,48864	11,2360	279,60	62 21,14	89
90	81 00	729 000	9,4868	4,4814	4,49981	11,1111	282,74	63 61,73	90
91	82 81	753 571	9,5394	4,4979	4,51086	10,9890	285,88	65 03,88	91
92	84 64	778 688	9,5917	4,5144	4,52179	10,8696	289,03	66 47,61	92
93	86 49	804 357	9,6437	4,5307	4,53260	10,7527	292,17	67 92,91	93
94	88 36	830 584	9,6954	4,5468	4,54329	10,6383	295,31	69 39,78	94
95	90 25	857 375	9,7468	4,5629	4,55398	10,5263	298,45	70 88,22	95
96	92 16	884 736	9,7980	4,5789	4,56435	10,4167	301,59	72 38,23	96
97	94 09	912 673	9,8489	4,5947	4,57471	10,3093	304,73	73 89,81	97
98	96 04	941 192	9,8995	4,6104	4,58497	10,2041	307,88	75 42,96	98
99	98 01	970 299	9,9499	4,6261	4,59512	10,1010	311,02	76 97,69	99
100	1 00 00	1 000 000	10,0000	4,6416	4,60517	10,0000	314,16	78 53,98	100

100-150

Tabela 1.9 (continuare)

n	n^2	n^3	\sqrt{n}	$\sqrt[3]{n}$	$\ln n$	$\frac{1}{n} \cdot 10^3$	πn	$\frac{\pi n^2}{4}$	n
100	1 00 00	1 000 000	10,0000	4,6416	4,60517	10,0000	314,16	78 53,98	100
101	1 02 01	1 030 301	10 0499	4,6570	4,61512	9,90099	317,30	80 11,85	101
102	1 04 04	1 061 208	10,0995	4,6723	4,62497	9,80392	320,44	81 71,28	102
103	1 06 09	1 092 727	10,1489	4,6875	4,63473	9,70874	323,58	83 32,29	103
104	1 08 16	1 124 864	10,1980	4,7027	4,64439	9,61538	326,73	84 94,87	104
105	1 10 25	1 157 625	10,2470	4,7177	4,65396	9,52381	329,87	86 59,01	105
106	1 12 36	1 191 016	10,2956	4,7326	4,66344	9,43396	333,01	88 24,73	106
107	1 14 49	1 225 043	10,3441	4,7475	4,67283	9,34579	336,15	89 92,02	107
108	1 16 64	1 259 712	10,3923	4,7622	4,68213	9,25926	339,29	91 60,88	108
109	1 18 81	1 295 029	10,4403	4,7769	4,69135	9,17431	342,43	93 31,32	109
110	1 21 00	1 331 000	10,4881	4,7914	4,70048	9,09091	345,58	95 03,32	110
111	1 23 21	1 367 631	10,5357	4,8059	4,70953	9,00901	348,72	96 76,89	111
112	1 25 44	1 404 928	10,5830	4,8203	4,71850	8,92857	351,86	98 52,03	112
113	1 27 69	1 442 897	10,6301	4,8346	4,72739	8,84956	355,00	1 00 28,7	113
114	1 29 96	1 481 544	10,6771	4,8488	4,73620	8,77193	358,14	1 02 07,0	114
115	1 32 25	1 520 875	10,7238	4,8629	4,74493	8,69565	361,28	1 03 86,9	115
116	1 34 56	1 560 896	10,7703	4,8770	4,75359	8,62069	364,42	1 05 68,3	116
117	1 36 89	1 601 613	10,8167	4,8910	4,76217	8,54701	367,57	1 07 51,3	117
118	1 39 24	1 643 032	10,8628	4,9049	4,77068	8,47458	370,71	1 09 35,9	118
119	1 41 61	1 685 159	10,9087	4,9187	4,77912	8,40336	373,85	1 11 22,0	119
120	1 44 00	1 728 000	10,9545	4,9324	4,78749	8,33333	376,99	1 13 09,7	120
121	1 46 41	1 771 561	11,0000	4,9461	4,79579	8,26446	380,13	1 14 99,0	121
122	1 48 84	1 815 848	11,0454	4,9597	4,80402	8,19672	383,27	1 16 89,9	122
123	1 51 29	1 860 867	11,0905	4,9732	4,81218	8,13008	386,42	1 18 82,3	123
124	1 53 76	1 906 624	11,1355	4,9866	4,82028	8,06452	389,56	1 20 76,3	124
125	1 56 25	1 953 125	11,1803	5,0000	4,82831	8,00000	392,70	1 22 71,8	125
126	1 58 76	2 000 376	11,2250	5,0133	4,83628	7,93651	395,84	1 24 69,0	126
127	1 61 29	2 048 393	11,2694	5,0265	4,84419	7,87402	398,98	1 26 67,7	127
128	1 63 84	2 097 152	11,3137	5,0397	4,85203	7,81250	402,12	1 28 68,0	128
129	1 66 41	2 146 689	11,3578	5,0528	4,85981	7,75194	405,27	1 30 69,8	129
130	1 69 00	2 197 000	11,4018	5,0658	4,86753	7,69231	408,41	1 32 73,2	130
131	1 71 61	2 248 091	11,4455	5,0788	4,87520	7,63359	411,55	1 34 78,2	131
132	1 74 24	2 299 968	11,4891	5,0916	4,88280	7,57576	414,69	1 36 84,8	132
133	1 76 89	2 352 637	11,5326	5,1045	4,89035	7,51880	417,83	1 38 92,9	133
134	1 79 56	2 406 104	11,5758	5,1172	4,89784	7,46269	420,97	1 41 02,6	134
135	1 82 25	2 460 375	11,6190	5,1299	4,90527	7,40741	424,12	1 43 13,9	135
136	1 84 96	2 515 456	11,6619	5,1426	4,91265	7,35294	427,26	1 45 26,7	136
137	1 87 69	2 571 353	11,7047	5,1551	4,91998	7,29927	430,40	1 47 41,1	137
138	1 90 44	2 628 672	11,7473	5,1676	4,92725	7,24638	433,54	1 49 57,1	138
139	1 93 21	2 685 619	11,7898	5,1801	4,93447	7,19424	436,68	1 51 74,7	139
140	1 96 00	2 744 000	11,8322	5,1925	4,94164	7,14286	439,82	1 53 93,8	140
141	1 98 81	2 803 221	11,8743	5,2048	4,94876	7,09220	442,96	1 56 14,5	141
142	2 01 64	2 863 288	11,9164	5,2171	4,95583	7,04225	446,11	1 58 36,8	142
143	2 04 49	2 924 207	11,9583	5,2293	4,96284	6,99301	449,25	1 60 60,6	143
144	2 07 36	2 985 984	12,0000	5,2415	4,96981	6,94444	452,39	1 62 86,0	144
145	2 10 25	3 048 625	12,0416	5,2536	4,97673	6,89655	455,53	1 65 13,0	145
146	2 13 16	3 112 136	12,0830	5,2656	4,98361	6,84932	458,67	1 67 41,5	146
147	2 16 09	3 176 523	12,1244	5,2776	4,99043	6,80272	461,81	1 69 71,7	147
148	2 19 04	3 241 792	12,1655	5,2896	4,99721	6,75676	464,96	1 72 03,4	148
149	2 22 01	3 307 949	12,2066	5,3015	5,00395	6,71141	468,10	1 74 36,6	149
150	2 25 00	3 375 000	12,2474	5,3133	5,01064	6,66667	471,24	1 76 71,5	150

150—200

Tabela 1.9 (continuare)

n	n^2	n^3	\sqrt{n}	$\sqrt[3]{n}$	$\ln n$	$\frac{1}{n} \cdot 10^3$	πn	$\frac{\pi n^2}{8}$	n
150	2 25 00	3 375 000	12,2474	5,3133	5,01034	6,66667	471,24	1 76 71,5	150
151	2 28 01	3 442 951	12,2812	5,3251	5,01728	6,62252	474,38	1 79 07,9	151
152	2 31 04	3 511 808	12,3286	5,3368	5,02338	6,57895	477,52	1 81 45,8	152
153	2 34 09	3 581 577	12,3803	5,3485	5,03014	6,53595	480,66	1 83 85,4	153
154	2 37 16	3 652 264	12,4097	5,3601	5,03635	6,49351	483,81	1 86 26,5	154
155	2 40 25	3 723 875	12,4499	5,3717	5,04343	6,45161	486,95	1 88 60,2	155
156	2 43 36	3 796 416	12,4900	5,3832	5,04980	6,41026	490,09	1 91 13,4	156
157	2 46 49	3 869 893	12,5300	5,3947	5,05625	6,36943	493,23	1 93 50,3	157
158	2 49 64	3 944 312	12,5698	5,4061	5,06260	6,32911	496,37	1 96 00,7	158
159	2 52 81	4 019 679	12,6095	5,4175	5,06899	6,28931	499,51	1 98 55,7	159
160	2 56 00	4 096 000	12,6491	5,4288	5,07517	6,25000	502,65	2 01 06,2	160
161	2 59 21	4 173 281	12,6886	5,4401	5,08140	6,21118	505,80	2 03 58,3	161
162	2 62 44	4 251 528	12,7279	5,4514	5,08760	6,17284	508,94	2 06 12,0	162
163	2 65 69	4 330 747	12,7671	5,4626	5,09375	6,13497	512,08	2 08 67,2	163
164	2 68 96	4 410 944	12,8062	5,4737	5,09997	6,09756	515,22	2 11 24,1	164
165	2 72 25	4 492 125	12,8452	5,4848	5,10595	6,06061	518,36	2 13 82,5	165
166	2 75 56	4 574 296	12,8841	5,4959	5,11199	6,02410	521,50	2 16 42,4	166
167	2 78 89	4 657 463	12,9228	5,5069	5,11799	5,98802	524,65	2 19 04,0	167
168	2 82 24	4 741 632	12,9615	5,5178	5,12399	5,95238	527,79	2 21 67,1	168
169	2 85 61	4 826 809	13,0000	5,5288	5,12990	5,91716	530,93	2 24 31,3	169
170	2 89 00	4 913 000	13,0384	5,5397	5,13580	5,88235	534,07	2 26 98,0	170
171	2 92 41	5 000 211	13,0767	5,5505	5,14166	5,84735	537,21	2 29 65,8	171
172	2 95 84	5 088 448	13,1149	5,5613	5,14749	5,81395	540,35	2 32 35,2	172
173	2 99 29	5 177 717	13,1529	5,5721	5,15329	5,78035	543,50	2 35 06,2	173
174	3 02 76	5 268 024	13,1909	5,5828	5,15906	5,74713	546,64	2 37 78,7	174
175	3 06 25	5 359 375	13,2288	5,5934	5,16479	5,71429	549,78	2 40 52,8	175
176	3 09 76	5 451 776	13,2665	5,6041	5,17048	5,68182	552,92	2 43 28,5	176
177	3 13 29	5 545 233	13,3041	5,6147	5,17615	5,64972	556,06	2 46 05,7	177
178	3 16 84	5 639 752	13,3417	5,6252	5,18178	5,61798	559,20	2 48 84,0	178
179	3 20 41	5 735 339	13,3791	5,6357	5,18739	5,58659	562,35	2 51 64,0	179
180	3 24 00	5 832 000	13,4164	5,6462	5,19296	5,55556	565,49	2 54 45,9	180
181	3 27 61	5 929 741	13,4536	5,6567	5,19850	5,52488	568,63	2 57 30,4	181
182	3 31 24	6 028 568	13,4907	5,6671	5,20401	5,49451	571,77	2 60 15,5	182
183	3 34 89	6 128 487	13,5277	5,6774	5,20949	5,46448	574,91	2 63 02,2	183
184	3 38 56	6 229 504	13,5647	5,6877	5,21494	5,43478	578,05	2 65 90,4	184
185	3 42 25	6 331 625	13,6015	5,6980	5,22036	5,40541	581,19	2 68 80,3	185
186	3 45 96	6 434 856	13,6382	5,7083	5,22575	5,37634	584,34	2 71 71,8	186
187	3 49 69	6 539 203	13,6748	5,7185	5,23111	5,34759	587,48	2 74 64,6	187
188	3 53 44	6 644 672	13,7113	5,7287	5,23644	5,31815	590,62	2 77 59,1	188
189	3 57 21	6 751 269	13,7477	5,7389	5,24175	5,29101	593,76	2 80 55,2	189
190	3 61 00	6 859 000	13,7840	5,7489	5,24702	5,26316	596,90	2 83 52,9	190
191	3 64 81	6 967 871	13,8203	5,7590	5,25227	5,23560	600,04	2 86 52,1	191
192	3 68 64	7 077 868	13,8564	5,7690	5,25750	5,20839	603,19	2 89 52,9	192
193	3 72 49	7 189 057	13,8924	5,7790	5,26269	5,18125	606,33	2 92 55,3	193
194	3 76 36	7 301 384	13,9284	5,7890	5,26786	5,15444	609,47	2 95 59,2	194
195	3 80 25	7 414 875	13,9642	5,7989	5,27300	5,12621	612,61	2 98 64,8	195
196	3 84 16	7 529 586	14,0000	5,8088	5,27811	5,10204	615,75	3 01 71,9	196
197	3 88 09	7 645 373	14,0357	5,8186	5,28320	5,07614	618,89	3 04 80,5	197
198	3 92 04	7 762 392	14,0712	5,8283	5,28827	5,05031	622,04	3 07 90,7	198
199	3 96 01	7 880 599	14,1067	5,8383	5,29330	5,02513	625,18	3 11 02,0	199
200	4 00 00	8 000 000	14,1421	5,8480	5,29832	5,00000	628,32	3 14 15,9	200

200- 250

Tabela 1.9 (continuare)

n	n^2	n^3	$\sqrt[n]{n}$	$\sqrt[n]{n}$	$\ln n$	$\frac{1}{n}10^3$	πn	$\frac{\pi n^2}{4}$	n
200	4 00 00	8 000 000	14,1421	5,8480	5,29832	5,00000	628,32	3 14 15,9	200
201	4 04 01	8 120 601	14,1774	5,8578	5,30330	4 97512	631,46	3 17 30,9	201
202	4 08 04	8 242 408	14,2127	5,8675	5,30827	4 95050	634,60	3 20 47,4	202
203	4 12 09	8 365 427	14,2478	5,8771	5,31321	4,92611	637,74	3 23 65,5	203
204	4 16 16	8 489 664	14,2829	5,8868	5,31812	4,90196	640,88	3 26 85,1	204
205	4 20 25	8 615 125	14,3178	5,8964	5,32301	4,87805	644,03	3 30 06,4	205
206	4 24 36	8 741 816	14,3527	5,9059	5,32788	4,85437	647,17	3 33 29,2	206
207	4 28 49	8 869 743	14,3875	5,9155	5,33272	4,83092	650,31	3 36 53,5	207
208	4 32 64	8 998 912	14,4222	5,9250	5,33754	4,80769	653,45	3 39 79,5	208
209	4 36 81	9 129 329	14,4568	5,9345	5,34233	4,78469	656,59	3 43 07,0	209
210	4 41 00	9 261 000	14,4914	5,9439	5,34711	4,76190	659,73	3 46 36,1	210
211	4 45 21	9 393 931	14,5258	5,9533	5,35186	4,73934	662,88	3 49 66,7	211
212	4 49 44	9 528 128	14,5602	5,9627	5,35659	4,71698	666,02	3 52 98,9	212
213	4 53 69	9 663 597	14,5945	5,9721	5,36129	4,69484	669,16	3 56 32,7	213
214	4 57 96	9 800 344	14,6287	5,9814	5,36598	4,67290	672,30	3 59 68,1	214
215	4 62 25	9 938 375	14,6629	5,9907	5,37064	4,65116	675,44	3 63 05,0	215
216	4 66 56	10 077 696	14,6969	6,0000	5,37528	4,62963	678,58	3 66 43,5	216
217	4 70 89	10 218 313	14,7309	6,0092	5,37990	4,60829	681,73	3 69 83,6	217
218	4 75 24	10 360 232	14,7648	6,0185	5,38450	4,58716	684,87	3 73 25,3	218
219	4 79 61	10 503 459	14,7986	6,0277	5,38907	4,56621	688,01	3 76 68,5	219
220	4 84 00	10 648 000	14,8324	6,0368	5,39363	4,54545	691,15	3 80 13,3	220
221	4 88 41	10 793 861	14,8661	6,0459	5,39816	4,52489	694,29	3 83 59,5	221
222	4 92 84	10 941 048	14,8997	6,0550	5,40268	4,50450	697,43	3 87 07,6	222
223	4 97 29	11 089 567	14,9332	6,0641	5,40717	4,48430	700,58	3 90 57,1	223
224	5 01 76	11 239 424	14,9666	6,0732	5,41165	4,46429	703,72	3 94 08,1	224
225	5 06 25	11 390 625	15,0000	6,0822	5,41610	4,44444	706,86	3 97 60,8	225
226	5 10 76	11 543 176	15,0333	6,0912	5,42053	4,42478	710,00	4 01 15,0	226
227	5 15 29	11 697 083	15,0665	6,1002	5,42495	4,40529	713,14	4 04 70,8	227
228	5 19 84	11 852 352	15,0997	6,1091	5,42935	4,38596	716,28	4 08 28,1	228
229	5 24 41	12 008 989	15,1327	6,1180	5,43372	4,36681	719,42	4 11 87,1	229
230	5 29 00	12 167 000	15,1658	6,1269	5,43808	4,34783	722,57	4 15 47,6	230
231	5 33 61	12 326 391	15,1987	6,1358	5,44242	4,32900	725,71	4 19 09,6	231
232	5 38 24	12 487 168	15,2315	6,1446	5,44674	4,31034	728,85	4 22 73,3	232
233	5 42 89	12 649 337	15,2643	6,1534	5,45104	4,29185	731,99	4 26 38,5	233
234	5 47 56	12 812 904	15,2971	6,1622	5,45532	4,27350	735,13	4 30 05,3	234
235	5 52 25	12 977 875	15,3297	6,1710	5,45959	4,25532	738,27	4 33 73,6	235
236	5 56 96	13 144 256	15,3623	6,1797	5,46383	4,23729	741,42	4 37 43,5	236
237	5 61 69	13 312 053	15,3948	6,1885	5,46806	4,21941	744,56	4 41 15,0	237
238	5 66 44	13 481 272	15,4272	6,1972	5,47227	4,20168	747,70	4 44 88,1	238
239	5 71 21	13 651 919	15,4596	6,2058	5,47646	4,18410	750,84	4 48 62,7	239
240	5 76 00	13 824 000	15,4919	6,2145	5,48064	4,16667	753,98	4 52 38,9	240
241	5 80 81	13 997 521	15,5242	6,2231	5,48480	4,14938	757,12	4 56 16,7	241
242	5 85 64	14 172 488	15,5563	6,2317	5,48894	4,13223	760,27	4 59 96,1	242
243	5 90 49	14 348 907	15,5885	6,2403	5,49306	4,11523	763,41	4 63 77,0	243
244	5 95 36	14 526 784	15 6205	6,2488	5,49717	4,09836	766,55	4 67 59,5	244
245	6 00 25	14 706 125	15,6525	6,2573	5,50126	4,08163	769,69	4 71 43,5	245
246	6 05 16	14 886 936	15,6844	6,2658	5,50533	4,06504	772,83	4 75 29,2	246
247	6 10 09	15 069 223	15,7162	6,2743	5,50939	4,04858	775,97	4 79 16,4	247
248	6 15 04	15 252 992	15,7480	6,2828	5,51343	4,03226	779,11	4 83 05,1	248
249	6 20 01	15 438 249	15,7797	6,2912	5,51745	4,01606	782,26	4 86 95,5	249
250	6 25 00	15 625 000	15,8114	6,2996	5,52146	4,00000	785,40	4 90 87,4	250

250-300

Tabela 1.9 (continuare)

n	n^2	n^3	\sqrt{n}	$\sqrt[3]{n}$	$\ln n$	$\frac{1}{n} \cdot 10^3$	πn	$\frac{\pi n^2}{4}$	$n^{\frac{1}{5}}$
250	6 25 00	15 625 000	15,8114	6,2996	5,52146	4,00000	785,40	4 90 87,4	250
251	6 30 01	15 813 251	15,8430	6,3080	5,52545	3,98406	788,54	4 94 80,9	251
252	6 35 04	16 003 008	15,8745	6,3164	5,52943	3,96825	791,68	4 98 75,9	252
253	6 40 09	16 194 277	15,9060	6,3247	5,53339	3,95257	794,82	5 02 72,6	253
254	6 45 16	16 387 064	15,9374	6,3330	5,53733	3,93701	797,96	5 06 70,7	254
255	6 50 25	16 581 375	15,9687	6,3413	5,54126	3,92157	801,11	5 10 70,5	255
256	6 55 36	16 777 216	16,0000	6,3496	5,54518	3,90625	804,25	5 14 71,9	256
257	6 60 49	16 974 593	16,0312	6,3579	5,54908	3,89105	807,39	5 18 74,8	257
258	6 65 64	17 173 512	16,0624	6,3661	5,55296	3,87597	810,53	5 22 79,2	258
259	6 70 81	17 373 979	16,0935	6,3743	5,55683	3,86100	813,67	5 26 85,3	259
260	6 76 00	17 576 000	16,1245	6,3825	5,56068	3,84615	816,81	5 30 92,9	260
261	6 81 21	17 779 581	16,1555	6,3907	5,56452	3,83142	819,96	5 35 02,1	261
262	6 86 44	17 984 728	16,1864	6,3988	5,56834	3,81679	823,10	5 39 12,9	262
263	6 91 69	18 191 447	16,2173	6,4070	5,57215	3,80228	826,24	5 43 25,2	263
264	6 96 96	18 399 744	16,2481	6,4151	5,57595	3,78788	829,38	5 47 39,1	264
265	7 02 25	18 609 625	16,2788	6,4232	5,57973	3,77358	832,52	5 51 54,6	265
266	7 07 56	18 821 096	16,3095	6,4312	5,58350	3,75940	835,66	5 55 71,6	266
267	7 12 89	19 034 163	16,3401	6,4393	5,58725	3,74532	838,81	5 59 90,2	267
268	7 18 24	19 248 832	16,3707	6,4473	5,59099	3,73134	841,95	5 64 10,4	268
269	7 23 61	19 465 109	16,4012	6,4553	5,59471	3,71747	845,09	5 68 32,2	269
270	7 29 00	19 683 000	16 4317	6,4633	5,59842	3,70370	848,23	5 72 55,5	270
271	7 34 41	19 902 511	16,4621	6,4713	5,60212	3,69004	851,37	5 76 80,4	271
272	7 39 84	20 123 648	16,4924	6,4792	5,60580	3,67647	854,51	5 81 06,9	272
273	7 45 29	20 346 417	16,5227	6,4872	5,60947	3,66300	857,65	5 85 34,9	273
274	7 50 76	20 570 824	16,5529	6,4951	5,61313	3,64964	860,80	5 89 64,6	274
275	7 56 25	20 796 875	16,5831	6,5030	5,61677	3,63636	863,94	5 93 95,7	275
276	7 61 76	21 024 576	16,6132	6,5108	5,62040	3,62319	867,08	5 98 28,5	276
277	7 67 29	21 253 933	16,6433	6,5187	5,62402	3,61011	870,22	6 02 62,8	277
278	7 72 84	21 484 952	16,6733	6,5265	5,62762	3,59712	873,36	6 06 98,7	278
279	7 78 41	21 717 639	16,7033	6,5343	5,63121	3,58423	876,50	6 11 36,2	279
280	7 84 00	21 952 000	16,7332	6,5421	5,63479	3,57143	879,65	6 15 75,2	280
281	7 89 61	22 188 041	16,7631	6,5499	5,63835	3,55872	882,79	6 20 15,8	281
282	7 95 24	22 425 768	16,7929	6,5577	5,64191	3,54610	885,93	6 24 58,0	282
283	8 00 89	22 665 187	16,8226	6,5654	5,64545	3,53357	889,07	6 29 01,8	283
284	8 06 56	22 906 304	16,8523	6,5731	5,64897	3,52113	892,21	6 33 47,1	284
285	8 12 25	23 149 125	16,8819	6,5808	5,65249	3,50877	895,35	6 37 94,0	285
286	8 17 96	23 393 656	16 9115	6,5885	5,65599	3,49650	898,50	6 42 42,4	286
287	8 23 69	23 639 903	16,9411	6,5962	5,65948	3,48432	901,64	6 46 92,5	287
288	8 29 44	23 887 872	16,9706	6,6039	5,66296	3,47222	904,78	6 51 44,1	288
289	8 35 21	24 137 569	17,0000	6,6115	5,66643	3,46021	907,92	6 55 97,2	289
290	8 41 00	24 389 000	17,0294	6,6191	5,66988	3,44828	911,06	6 60 52,0	290
291	8 46 81	24 642 171	17,0587	6,6267	5,67332	3,43643	914,20	6 65 08,3	291
292	8 52 64	24 897 088	17,0880	6,6343	5,67675	3,42466	917,35	6 69 66,2	292
293	8 58 49	25 153 757	17 1172	6,6419	5,68017	3,41297	920,49	6 74 25,6	293
294	8 64 36	25 412 184	17,1464	6,6494	5,68358	3,40136	923,63	6 78 86,7	294
295	8 70 25	25 672 375	17,1756	6,6569	5,68698	3,38993	926,77	6 83 49,3	295
296	8 76 16	25 934 336	17,2047	6,6644	5,69036	3,37838	929,91	6 88 13,4	296
297	8 82 09	26 198 073	17,2337	6,6719	5,69373	3,36700	933,05	6 92 79,2	297
298	8 88 04	26 463 592	17,2627	6,6794	5,69709	3,35570	936,19	6 97 46,5	298
299	8 94 01	26 730 899	17,2916	6,6869	5,70044	3,34448	939,34	7 02 15,4	299
300	9 00 00	27 000 000	17,3205	6,6943	5,70378	3,33333	942,48	7 06 85,8	300

300-350

Tabela 1.9 (continuare)

n	n^2	n^3	\sqrt{n}	$\sqrt[3]{n}$	$\ln n$	$\frac{1}{n}10^3$	πn	$\frac{\pi n^2}{4}$	n
300	9 00 00	27 000 000	17,3205	6,6943	5,70378	3,33333	942,48	7 06 85,8	300
301	9 06 01	27 270 901	17,3494	6,7018	5,70711	3,32226	945,62	7 11 57,9	301
302	9 12 04	27 543 608	17,3781	6,7092	5,71043	3,31126	948,76	7 16 31,5	302
303	9 18 09	27 818 127	17,4069	6,7166	5,71373	3,30033	951,90	7 21 06,6	303
304	9 24 16	28 094 464	17,4356	6,7240	5,71703	3,28947	955,04	7 25 83,4	304
305	9 30 25	28 372 625	17,4642	6,7313	5,72031	3,27869	958,19	7 30 61,7	305
306	9 36 36	28 652 616	17,4929	6,7387	5,72359	3,26797	961,33	7 35 41,5	306
307	9 42 49	28 934 443	17,5214	6,7460	5,72685	3,25733	964,47	7 40 23,0	307
308	9 48 64	29 218 112	17,5499	6,7533	5,73010	3,24675	967,61	7 45 06,0	308
309	9 54 81	29 503 629	17,5784	6,7606	5,73334	3,23625	970,75	7 49 90,6	309
310	9 61 00	29 791 000	17,6068	6,7679	5,73657	3,22581	973,89	7 54 76,8	310
311	9 67 21	30 080 231	17,6352	6,7752	5,73979	3,21543	977,04	7 59 64,5	311
312	9 73 44	30 371 328	17,6635	6,7824	5,74300	3,20513	980,18	7 64 53,8	312
313	9 79 69	30 664 297	17,6918	6,7897	5,74620	3,19489	983,32	7 69 44,7	313
314	9 85 96	30 959 144	17,7200	6,7969	5,74939	3,18471	986,46	7 74 37,1	314
315	9 92 25	31 255 875	17,7482	6,8041	5,75257	3,17460	989,60	7 79 31,1	315
316	9 98 56	31 554 496	17,7764	6,8113	5,75574	3,16456	992,74	7 84 26,7	316
317	10 04 89	31 855 013	17,8045	6,8185	5,75890	3,15457	995,88	7 89 23,9	317
318	10 11 24	32 157 432	17,8326	6,8256	5,76205	3,14465	999,03	7 94 22,6	318
319	10 17 61	32 461 759	17,8606	6,8328	5,76519	3,13480	1002,2	7 99 22,9	319
320	10 24 00	32 768 000	17,8885	6,8399	5,76832	3,12500	1005,3	8 04 24,8	320
321	10 30 41	33 076 161	17,9165	6,8470	5,77144	3,11526	1008,5	8 09 28,2	321
322	10 36 84	33 386 248	17,9444	6,8541	5,77455	3,10559	1011,6	8 14 33,2	322
323	10 43 29	33 698 267	17,9722	6,8612	5,77765	3,09598	1014,7	8 19 39,8	323
324	10 49 76	34 012 224	18,0000	6,8683	5,78074	3,08642	1017,9	8 24 48,0	324
325	10 56 25	34 328 125	18,0278	6,8753	5,78383	3,07692	1021,0	8 29 57,7	325
326	10 62 76	34 645 976	18,0555	6,8824	5,78690	3,06748	1024,2	8 34 69,0	326
327	10 69 29	34 965 783	18,0831	6,8894	5,78996	3,05810	1027,3	8 39 81,8	327
328	10 75 84	35 287 552	18,1108	6,8964	5,79301	3,04878	1030,4	8 44 96,3	328
329	10 82 41	35 611 289	18,1384	6,9034	5,79606	3,03951	1033,6	8 50 12,3	329
330	10 89 00	35 937 000	18,1659	6,9104	5,79909	3,03030	1036,7	8 55 29,9	330
331	10 95 61	36 264 691	18,1934	6,9174	5,80212	3,02115	1039,9	8 60 49,0	331
332	11 02 24	36 594 368	18,2209	6,9244	5,80513	3,01205	1043,0	8 65 69,7	332
333	11 08 89	36 926 037	18,2483	6,9313	5,80814	3,00300	1046,2	8 70 92,0	333
334	11 15 56	37 259 704	18,2757	6,9382	5,81114	2,99401	1049,3	8 76 15,9	334
335	11 22 25	37 595 375	18,3030	6,9451	5,81413	2,98507	1052,4	8 81 41,3	335
336	11 28 96	37 933 056	18,3303	6,9521	5,81711	2,97619	1055,6	8 86 68,3	336
337	11 35 69	38 272 753	18,3576	6,9589	5,82008	2,96736	1058,7	8 91 96,9	337
338	11 42 44	38 614 472	18,3848	6,9658	5,82305	2,95858	1061,9	8 97 27,0	338
339	11 49 21	38 958 219	18,4120	6,9727	5,82600	2,94985	1065,0	9 02 58,7	339
340	11 56 00	39 304 000	18,4391	6,9795	5,82895	2,94118	1068,1	9 07 92,0	340
341	11 62 81	39 651 821	18,4662	6,9864	5,83188	2,93225	1071,3	9 13 26,9	341
342	11 69 64	40 001 688	18,4932	6,9932	5,83481	2,92398	1074,4	9 18 63,3	342
343	11 76 49	40 353 607	18,5203	7,0000	5,83773	2,91545	1077,6	9 24 01,3	343
344	11 83 36	40 707 584	18,5472	7,0068	5,84064	2,90698	1080,7	9 29 40,9	344
345	11 90 25	41 063 625	18,5742	7,0136	5,84354	2,89855	1083,8	9 34 82,0	345
346	11 97 16	41 421 736	18,6011	7,0203	5,84644	2,89017	1087,0	9 40 24,7	346
347	12 04 09	41 781 923	18,6279	7,0271	5,84932	2,88184	1090,1	9 45 69,0	347
348	12 11 04	42 144 192	18,6548	7,0338	5,85220	2,87356	1093,3	9 51 14,9	348
349	12 18 01	42 508 549	18,6815	7,0406	5,85507	2,86533	1096,4	9 56 62,3	349
350	12 25 00	42 875 000	18,7083	7,0473	5,85793	2,85714	1099,6	9 62 11,3	350

350-400

Tabela 1.9 (continuare)

n	n^2	n^3	\sqrt{n}	$\sqrt[3]{n}$	$\lg n$	$\frac{1}{n}$	$\frac{1}{n-100}$	πn	$\frac{\pi n^2}{4}$	n
350	12 25 60	42 875 000	18,7083	7,0473	5,85793	2,85714	1099,6	9 62 11,3	350	
351	12 32 01	43 243 551	18,7350	7 0540	5,86079	2,84900	1102,7	9 67 61,8	351	
352	12 39 04	43 614 208	18,7617	7,0607	5,86363	2,84091	1105,8	9 73 14,0	352	
353	12 46 09	43 986 977	18,7883	7,0674	5,86647	2,83286	1109,0	9 78 67,7	353	
354	12 53 16	44 361 864	18,8149	7,0740	5,86930	2,82486	1112,1	9 84 23,0	354	
355	12 60 25	44 738 875	18,8414	7,0807	5,87212	2,81690	1115,3	9 89 79,8	355	
356	12 67 36	45 118 016	18,8680	7,0873	5,87493	2,80899	1118,4	9 95 38,2	356	
357	12 74 49	45 499 293	18,8944	7,0940	5,87774	2,80112	1121,5	10 00 98	357	
358	12 81 64	45 882 712	18,9209	7,1006	5,88053	2,79330	1124,7	10 06 60	358	
359	12 88 81	46 268 279	18,9473	7,1072	5,88332	2,78552	1127,8	10 12 23	359	
360	12 96 00	46 656 000	18,9737	7,1138	5,88610	2,77778	1131,0	10 17 88	360	
361	13 03 21	47 045 881	19,0060	7,1204	5,88888	2,77008	1134,1	10 23 54	361	
362	13 10 44	47 437 928	19,0263	7,1269	5,89164	2,76243	1137,3	10 29 22	362	
363	13 17 69	47 832 147	19,0526	7,1335	5,89440	2,75482	1140,4	10 34 91	363	
364	13 24 96	48 228 544	19,0788	7,1400	5,89715	2,74725	1143,5	10 40 62	364	
365	13 32 25	48 627 125	19,1050	7,1466	5,89990	2,73973	1146,7	10 46 35	365	
366	13 39 56	49 027 896	19,1311	7,1531	5,90263	2,73224	1149,8	10 52 09	366	
367	13 46 89	49 430 863	19,1572	7,1596	5,90536	2,72480	1153,0	10 57 84	367	
368	13 54 24	49 836 032	19,1833	7,1661	5,90808	2,71739	1156,1	10 63 62	368	
369	13 61 61	50 243 409	19,2094	7,1726	5,91080	2,71003	1159,2	10 69 41	369	
370	13 69 00	50 653 000	19,2354	7,1791	5,91350	2,70270	1162,4	10 75 21	370	
371	13 76 41	51 064 811	19,2614	7,1855	5,91620	2,69542	1165,5	10 81 03	371	
372	13 83 84	51 478 848	19,2873	7,1920	5,91889	2,68817	1168,7	10 86 87	372	
373	13 91 29	51 895 117	19,3132	7,1984	5,92158	2,68097	1171,8	10 92 72	373	
374	13 98 76	52 313 624	19,3391	7,2048	5,92426	2,67380	1175,0	10 98 58	374	
375	14 06 25	52 734 375	19,3649	7,2112	5,92693	2,66667	1178,1	11 04 47	375	
376	14 13 76	53 157 376	19,3907	7,2177	5,92959	2,65957	1181,2	11 10 36	376	
377	14 21 29	53 582 633	19,4165	7,2240	5,93225	2,65252	1184,4	11 16 28	377	
378	14 28 84	54 010 152	19,4422	7,2304	5,93489	2,64550	1187,5	11 22 21	378	
379	14 36 41	54 439 939	19,4679	7,2368	5,93754	2,63852	1190,7	11 28 15	379	
380	14 44 00	54 872 000	19,4936	7,2432	5,94017	2,63158	1193,8	11 34 11	380	
381	14 51 61	55 306 341	19,5192	7,2495	5,94280	2,62467	1196,9	11 40 09	381	
382	14 59 24	55 742 968	19,5448	7,2558	5,94542	2,61780	1200,1	11 46 08	382	
383	14 66 89	56 181 887	19,5704	7,2622	5,94803	2,61097	1203,2	11 52 09	383	
384	14 74 56	56 623 104	19,5959	7,2685	5,95064	2,60417	1206,4	11 58 12	384	
385	14 82 25	57 066 625	19,6214	7,2748	5,95324	2,59740	1209,5	11 64 16	385	
386	14 89 96	57 512 456	19,6469	7,2811	5,95584	2,59067	1212,7	11 70 21	386	
387	14 97 69	57 960 603	19,6723	7,2874	5,95842	2,58398	1215,8	11 76 28	387	
388	15 05 44	58 411 072	19,6977	7,2936	5,96101	2,57732	1218,9	11 82 37	388	
389	15 13 21	58 863 869	19,7231	7,2999	5,96358	2,57069	1222,1	11 88 47	389	
390	15 21 00	59 319 000	19,7484	7,3061	5,96615	2,56410	1225,2	11 94 59	390	
391	15 28 81	59 776 471	19,7737	7,3124	5,96871	2,55754	1228,4	12 00 72	391	
392	15 36 64	60 236 288	19,7990	7,3186	5,97126	2,55102	1231,5	12 06 87	392	
393	15 44 49	60 698 457	19,8242	7,3248	5,97381	2,54453	1234,6	12 13 04	393	
394	15 52 36	61 162 984	19,8494	7,3310	5,97635	2,53807	1237,8	12 19 22	394	
395	15 60 25	61 629 875	19,8746	7,3372	5,97889	2,53165	1240,9	12 25 42	395	
396	15 68 16	62 099 136	19,8997	7,3434	5,98141	2,52525	1244,1	12 31 63	396	
397	15 76 09	62 570 773	19,9249	7,3496	5,98394	2,51889	1247,2	12 37 86	397	
398	15 84 04	63 044 792	19,9499	7,3558	5,98645	2,51256	1250,4	12 44 10	398	
399	15 92 01	63 521 199	19,9750	7,3619	5,98896	2,50627	1253,5	12 50 36	399	
400	16 00 00	64 000 000	20,0000	7,3681	5,99146	2,50000	1256,6	12 56 64	400	

400-450

Tabela 1.9 (continuare)

n	n^2	n^3	\sqrt{n}	$\sqrt[3]{n}$	$\ln n$	$\frac{1}{n}10^3$	πn	$\frac{\pi n^2}{4}$	n
400	16 00 00	64 000 000	20,0000	7,3681	5,99146	2,50000	1256,6	12 56 64	400
401	16 08 01	64 481 201	20,0250	7,3742	5,99396	2,49377	1259,8	12 62 93	401
402	16 16 04	64 964 808	20,0499	7,3803	5,99645	2,48753	1262,9	12 69 23	402
403	16 24 09	65 450 827	20,0749	7,3864	5,99894	2,48139	1266,1	12 75 56	403
404	16 32 16	65 939 264	20,0998	7,3925	6,00141	2,47525	1269,2	12 81 90	404
405	16 40 25	66 430 125	20,1246	7,3986	6,00389	2,46914	1272,3	12 88 25	405
406	16 48 36	66 923 416	20,1494	7,4047	6,00635	2,46305	1275,5	12 94 62	406
407	16 56 49	67 419 143	20,1742	7,4108	6,00881	2,45700	1278,6	13 01 00	407
408	16 64 64	67 917 312	20,1990	7,4169	6,01127	2,45098	1281,8	13 07 41	408
409	16 72 81	68 417 929	20,2237	7,4229	6,01372	2,44499	1284,9	13 13 82	409
410	16 81 00	68 921 000	20,2485	7,4290	6,01616	2,43902	1288,1	13 20 25	410
411	16 89 21	69 426 531	20,2731	7,4350	6,01859	2,43309	1291,2	13 26 70	411
412	16 97 44	69 934 528	20,2978	7,4410	6,02102	2,42718	1294,3	13 33 17	412
413	17 05 69	70 444 997	20,3224	7,4470	6,02345	2,42131	1297,5	13 39 65	413
414	17 13 96	70 957 944	20,3470	7,4530	6,02587	2,41546	1300,6	13 46 41	414
415	17 22 25	71 473 375	20,3715	7,4590	6,02828	2,40964	1303,8	13 52 65	415
416	17 30 56	71 991 296	20,3961	7,4650	6,03069	2,40385	1306,9	13 59 18	416
417	17 38 89	72 511 713	20,4206	7,4710	6,03309	2,39808	1310,0	13 65 72	417
418	17 47 24	73 034 632	20,4450	7,4770	6,03548	2,39234	1313,2	13 72 28	418
419	17 55 61	73 560 059	20,4695	7,4829	6,03787	2,38663	1316,3	13 78 85	419
420	17 64 00	74 088 000	20,4939	7,4889	6,04025	2,38095	1319,5	13 85 44	420
421	17 72 41	74 618 461	20,5183	7,4948	6,04263	2,37530	1322,6	13 92 05	421
422	17 80 84	75 151 448	20,5426	7,5007	6,04501	2,36967	1325,8	13 98 67	422
423	17 89 29	75 686 967	20,5670	7,5067	6,04737	2,36407	1328,9	14 05 31	423
424	17 97 76	76 225 024	20,5913	7,5126	6,04973	2,35849	1332,0	14 11 96	424
425	18 06 25	76 765 625	20,6155	7,5185	6,05209	2,35294	1335,2	14 18 63	425
426	18 14 76	77 308 776	20,6398	7,5244	6,05444	2,34742	1338,3	14 25 31	426
427	18 23 29	77 854 483	20,6640	7,5302	6,05678	2,34192	1341,5	14 32 01	427
428	18 31 84	78 402 752	20,6882	7,5361	6,05912	2,33645	1344,6	14 38 72	428
429	18 40 41	78 953 589	20,7123	7,5420	6,06146	2,33100	1347,7	14 45 45	429
430	18 49 00	79 507 000	20,7364	7,5478	6,06379	2,32558	1350,9	14 52 20	430
431	18 57 61	80 062 991	20,7605	7,5537	6,06611	2,32019	1354,0	14 58 96	431
432	18 66 24	80 621 568	20,7848	7,5595	6,06843	2,31481	1357,2	14 65 74	432
433	18 74 89	81 182 737	20,8087	7,5654	6,07074	2,30947	1360,3	14 72 54	433
434	18 83 56	81 746 504	20,8327	7,5712	6,07304	2,30415	1363,5	14 79 34	434
435	18 92 25	82 312 875	20,8567	7,5770	6,07535	2,29885	1366,6	14 86 17	435
436	19 00 96	82 881 856	20,8806	7,5828	6,07764	2,29358	1369,7	14 93 01	436
437	19 09 69	83 453 453	20,9045	7,5886	6,07993	2,28833	1372,9	14 99 87	437
438	19 18 44	84 027 672	20,9284	7,5944	6,08222	2,28311	1376,0	15 06 74	438
439	19 27 21	84 604 519	20,9523	7,6001	6,08450	2,27790	1379,2	15 13 63	439
440	19 36 00	85 184 000	20,9762	7,6059	6,08677	2,27273	1382,3	15 20 53	440
441	19 44 81	85 766 121	21,0000	7,6117	6,08904	2,26757	1385,4	15 27 45	441
442	19 53 64	86 350 888	21,0238	7,6174	6,09131	2,26244	1388,6	15 34 39	442
443	19 62 49	86 938 307	21,0476	7,6232	6,09357	2,25734	1391,7	15 41 34	443
444	19 71 36	87 528 384	21,0713	7,6289	6,09582	2,25225	1394,9	15 48 30	444
445	19 80 25	88 121 125	21,0950	7,6346	6,09807	2,24719	1398,0	15 55 28	445
446	19 89 16	88 716 536	21,1187	7,6403	6,10032	2,24215	1401,2	15 62 28	446
447	19 98 09	89 314 623	21,1424	7,6460	6,10256	2,23714	1404,3	15 69 30	447
448	20 07 04	89 915 392	21,1660	7,6517	6,10479	2,23214	1407,4	15 76 33	448
449	20 16 01	90 518 849	21,1896	7,6574	6,10702	2,22717	1410,6	15 83 37	449
450	20 25 00	91 125 000	21,2132	7,6631	6,10925	2,22222	1413,7	15 90 43	450

450—500

Tabela 1.9 (continuare)

n	n^2	n^3	\sqrt{n}	$\sqrt[3]{n}$	$\ln n$	$\frac{1}{n} \cdot 10^3$	πn	$\frac{\pi n^2}{4}$	n
450	20 25 00	91 125 000	21,2132	7,6631	6,10925	2,22222	1413,7	16 50 43	450
451	20 34 01	91 733 851	21,2368	7,6688	6,11147	2,21729	1416,9	15 97 51	451
452	20 43 04	92 345 408	21,2803	7,6744	6,11368	2,21239	1420,0	16 04 60	452
453	20 52 09	92 959 877	21,2838	7,6801	6,11589	2,20751	1423,1	16 11 71	453
454	20 61 16	93 576 664	21,3073	7,6857	6,11810	2,20264	1426,3	16 18 83	454
455	20 70 25	94 196 375	21,3307	7,6914	6,12030	2,19780	1429,4	16 25 97	455
456	20 79 36	94 818 816	21,3542	7,6970	6,12249	2,19298	1432,6	16 33 13	456
457	20 88 49	95 443 993	21,3776	7,7026	6,12468	2,18818	1435,7	16 40 30	457
458	20 97 64	96 071 912	21,4009	7,7082	6,12687	2,18341	1438,8	16 47 48	458
459	21 06 81	96 702 579	21,4243	7,7138	6,12905	2,17865	1442,0	16 54 68	459
460	21 16 00	97 336 000	21,4476	7,7194	6,13123	2,17391	1445,1	16 61 90	460
461	21 25 21	97 972 181	21,4709	7,7250	6,13340	2,16920	1448,3	16 69 14	461
462	21 34 44	98 611 128	21,4942	7,7306	6,13556	2,16450	1451,4	16 76 39	462
463	21 43 69	99 252 847	21,5174	7,7362	6,13773	2,15983	1454,6	16 83 65	463
464	21 52 96	99 897 344	21,5407	7,7418	6,13988	2,15517	1457,7	16 90 93	464
465	21 62 25	100 544 625	21,5639	7,7473	6,14204	2,15054	1460,8	16 98 23	465
466	21 71 56	101 194 696	21,5870	7,7529	6,14419	2,14592	1464,0	17 05 54	466
467	21 80 89	101 847 563	21,6102	7,7584	6,14633	2,14133	1467,1	17 12 87	467
468	21 90 24	102 503 232	21,6333	7,7639	6,14847	2,13675	1470,3	17 20 21	468
469	21 99 61	103 161 709	21,6564	7,7695	6,15060	2,13220	1473,4	17 27 57	469
470	22 09 00	103 823 000	21,6795	7,7750	6,15273	2,12766	1476,5	17 34 94	470
471	22 18 41	104 487 111	21,7025	7,7805	6,15486	2,12314	1479,7	17 42 34	471
472	22 27 84	105 154 048	21,7256	7,7860	6,15698	2,11864	1482,8	17 49 74	472
473	22 37 29	105 823 817	21,7486	7,7915	6,15910	2,11416	1486,0	17 57 16	473
474	22 46 76	106 496 424	21,7715	7,7970	6,16121	2,10970	1489,1	17 64 60	474
475	22 56 25	107 171 875	21,7945	7,8025	6,16331	2,10526	1492,3	17 72 05	475
476	22 65 76	107 850 176	21,8174	7,8079	6,16542	2,10084	1495,4	17 79 52	476
477	22 75 29	108 531 333	21,8403	7,8134	6,16752	2,09644	1498,5	17 87 01	477
478	22 84 84	109 215 352	21,8632	7,8188	6,16961	2,09205	1501,7	17 94 51	478
479	22 94 41	109 902 239	21,8861	7,8243	6,17170	2,08768	1504,8	18 02 03	479
480	23 04 00	110 592 000	21,9089	7,8297	6,17379	2,08333	1508,0	18 09 56	480
481	23 13 61	111 284 641	21,9317	7,8352	6,17587	2,07900	1511,1	18 17 11	481
482	23 23 24	111 980 168	21,9545	7,8406	6,17794	2,07469	1514,2	18 24 67	482
483	23 32 89	112 678 587	21,9773	7,8460	6,18002	2,07039	1517,4	18 32 25	483
484	23 42 56	113 379 904	22,0000	7,8514	6,18208	2,06612	1520,5	18 39 84	484
485	23 52 25	114 084 125	22,0227	7,8568	6,18415	2,06186	1523,7	18 47 45	485
486	23 61 96	114 791 256	22,0454	7,8622	6,18621	2,05761	1526,8	18 55 08	486
487	23 71 69	115 501 303	22,0681	7,8676	6,18826	2,05339	1530,0	18 62 72	487
488	23 81 44	116 214 272	22,0907	7,8730	6,19032	2,04918	1533,1	18 70 38	488
489	23 91 21	116 930 169	22,1133	7,8784	6,19236	2,04499	1536,2	18 78 05	489
490	24 01 00	117 649 000	22,1359	7,8837	6,19441	2,04082	1539,4	18 85 74	490
491	24 10 81	118 370 771	22,1585	7,8891	6,19644	2,03666	1542,5	18 93 45	491
492	24 20 64	119 095 488	22,1811	7,8944	6,19848	2,03252	1545,7	19 01 17	492
493	24 30 49	119 823 157	22,2036	7,8998	6,20051	2,02840	1548,8	19 08 90	493
494	24 40 36	120 553 784	22,2261	7,9051	6,20254	2,02429	1551,9	19 16 65	494
495	24 50 25	121 287 375	22,2486	7,9105	6,20456	2,02020	1555,1	19 24 42	495
496	24 60 16	122 023 936	22,2711	7,9158	6,20658	2,01613	1558,2	19 32 21	496
497	24 70 09	122 763 473	22,2935	7,9211	6,20859	2,01207	1561,4	19 40 00	497
498	24 80 04	123 505 992	22,3159	7,9264	6,21060	2,00803	1564,5	19 47 82	498
499	24 90 01	124 251 499	22,3383	7,9317	6,21261	2,00401	1567,7	19 55 65	499
500	25 00 00	125 000 000	22,3607	7,9370	6,21461	2,00000	1570,8	19 63 50	500

500—550

Tabela 1.9 (continuare)

n	n^2	n^3	\sqrt{n}	$\sqrt[3]{n}$	$\ln n$	$\frac{1}{n} \cdot 10^3$	πn	$\frac{\pi n^2}{4}$	n
500	25 00 00	125 000 000	22,3607	7,9370	6,21461	2,00000	1570,8	19 63 50	500
501	25 10 01	125 751 501	22,3830	7,9423	6,21661	1,99501	1573,9	19 71 35	501
502	25 20 04	126 506 008	22,4054	7,9476	6,21860	1,99203	1577,1	19 79 23	502
503	25 30 09	127 263 527	22,4277	7,9528	6,22059	1,98807	1580,2	19 87 13	503
504	25 40 16	128 024 064	22,4499	7,9581	6,22258	1,98413	1583,4	19 95 04	504
505	25 50 25	128 787 625	22,4722	7,9634	6,22456	1,98020	1586,5	20 02 96	505
506	25 60 36	129 554 216	22,4944	7,9686	6,22654	1,97628	1589,6	20 10 90	506
507	25 70 49	130 323 843	22,5167	7,9739	6,22851	1,97239	1592,8	20 18 86	507
508	25 80 64	131 096 512	22,5389	7,9791	6,23048	1,96850	1595,9	20 26 83	508
509	25 90 81	131 872 229	22,5610	7,9843	6,23245	1,96464	1599,1	20 34 82	509
510	26 01 00	132 651 000	22,5832	7,9896	6,23441	1,96078	1602,2	20 42 82	510
511	26 11 21	133 432 831	22,6053	7,9948	6,23637	1,95695	1605,4	20 50 84	511
512	26 21 44	134 217 728	22,6274	8,0000	6,23832	1,95312	1608,5	20 58 87	512
513	26 31 69	135 005 697	22,6495	8,0052	6,24028	1,94932	1611,6	20 66 92	513
514	26 41 96	135 796 744	22,6716	8,0104	6,24222	1,94553	1614,8	20 74 99	514
515	26 52 25	136 590 875	22,6936	8,0156	6,24417	1,94175	1617,9	20 83 07	515
516	26 62 56	137 388 096	22,7156	8,0208	6,24611	1,93798	1621,1	20 91 17	516
517	26 72 89	138 188 413	22,7376	8,0260	6,24804	1,93424	1624,2	20 99 28	517
518	26 83 24	138 991 832	22,7596	8,0311	6,24998	1,93050	1627,3	21 07 41	518
519	26 93 61	139 798 359	22,7816	8,0363	6,25190	1,92678	1630,5	21 15 56	519
520	27 04 00	140 608 000	22,8035	8,0415	6,25383	1,92308	1633,6	21 23 72	520
521	27 14 41	141 420 761	22,8254	8,0466	6,25575	1,91939	1636,8	21 31 89	521
522	27 24 84	142 236 648	22,8473	8,0517	6,25767	1,91571	1639,9	21 40 08	522
523	27 35 29	143 055 667	22,8692	8,0569	6,25958	1,91205	1643,1	21 48 29	523
524	27 45 76	143 877 824	22,8910	8,0620	6,26149	1,90840	1646,2	21 56 51	524
525	27 56 25	144 703 125	22,9129	8,0671	6,26340	1,90476	1649,3	21 64 75	525
526	27 66 76	145 531 576	22,9347	8,0723	6,26530	1,90114	1652,5	21 73 01	526
527	27 77 29	146 363 183	22,9565	8,0774	6,26720	1,89753	1655,6	21 81 28	527
528	27 87 84	147 197 952	22,9783	8,0825	6,26910	1,89394	1658,8	21 89 56	528
529	27 98 41	148 035 889	23,0000	8,0876	6,27099	1,89036	1661,9	21 97 87	529
530	28 09 00	148 877 000	23,0217	8,0927	6,27288	1,88679	1665,0	22 06 18	530
531	28 19 61	149 721 291	23,0434	8,0978	6,27476	1,88324	1668,2	22 14 52	531
532	28 30 24	150 568 768	23,0651	8,1028	6,27664	1,87970	1671,3	22 22 87	532
533	28 40 89	151 419 437	23,0868	8,1079	6,27852	1,87617	1674,5	22 31 23	533
534	28 51 56	152 273 304	23,1084	8,1130	6,28040	1,87266	1677,6	22 39 61	534
535	28 62 25	153 130 375	23,1301	8,1180	6,28227	1,86916	1680,8	22 48 01	535
536	28 72 96	153 990 656	23,1517	8,1231	6,28413	1,86567	1683,9	22 56 42	536
537	28 83 69	154 854 153	23,1733	8,1281	6,28600	1,86220	1687,0	22 64 84	537
538	28 94 44	155 720 872	23,1948	8,1332	6,28786	1,85874	1690,2	22 73 29	538
539	29 05 21	156 590 819	23,2164	8,1382	6,28972	1,85529	1693,3	22 81 75	539
540	29 16 00	157 464 000	23,2379	8,1433	6,29157	1,85185	1696,5	22 90 22	540
541	29 26 81	158 340 421	23,2594	8,1483	6,29342	1,84843	1699,6	22 98 71	541
542	29 37 64	159 220 088	23,2809	8,1533	6,29527	1,84502	1702,7	23 07 22	542
543	29 48 49	160 103 007	23,3024	8,1583	6,29711	1,84162	1705,9	23 15 74	543
544	29 59 36	160 989 184	23,3238	8,1633	6,29895	1,83824	1709,0	23 24 28	544
545	29 70 25	161 878 625	23,3452	8,1683	6,30079	1,83486	1712,2	23 32 83	545
546	29 81 16	162 771 336	23,3666	8,1733	6,30262	1,83150	1715,3	23 41 40	546
547	29 92 09	163 667 323	23,3880	8,1783	6,30445	1,82815	1718,5	23 49 98	547
548	30 03 04	164 566 592	23,4094	8,1833	6,30628	1,82482	1721,6	23 58 58	548
549	30 14 01	165 469 149	23,4307	8,1882	6,30810	1,82149	1724,7	23 67 20	549
550	30 25 00	166 375 000	23,4521	8,1932	6,30992	1,81818	1727,9	23 75 83	550

550—600

Tabela 1.9 (continuare)

n	n^2	n^3	\sqrt{n}	$\sqrt[3]{n}$	$\ln n$	$\frac{1}{n} \cdot 10^3$	πn	$\frac{\pi n^2}{4}$	n
550	30 25 00	166 375 000	23,4521	8,1932	6,30992	1,81818	1727,9	23 75 83	550
551	30 38 01	167 284 151	23,4734	8,1982	6,31173	1,81488	1731,0	23 84 48	551
552	30 47 04	168 196 608	23,4947	8,2031	6,31355	1,81159	1734,2	23 93 14	552
553	30 58 09	169 112 377	23,5160	8,2081	6,31536	1,80832	1737,3	24 01 82	553
554	30 69 16	170 031 464	23,5372	8,2130	6,31716	1,80505	1740,4	24 10 51	554
555	30 80 25	170 953 875	23,5584	8,2180	6,31897	1,80180	1743,6	24 19 22	555
556	30 91 36	171 879 616	23,5797	8,2229	6,32077	1,79856	1746,7	24 27 95	556
557	31 02 49	172 808 693	23,6008	8,2278	6,32257	1,79533	1749,9	24 36 69	557
558	31 13 64	173 741 112	23,6220	8,2327	6,32436	1,79211	1753,0	24 45 45	558
559	31 24 81	174 676 879	23,6432	8,2377	6,32615	1,78891	1756,2	24 54 22	559
560	31 36 00	175 616 000	23,6643	8,2426	6,32794	1,78571	1759,3	24 63 01	560
561	31 47 21	176 558 481	23,6854	8,2475	6,32972	1,78253	1762,4	24 71 81	561
562	31 58 44	177 504 328	23,7065	8,2524	6,33150	1,77933	1765,6	24 80 63	562
563	31 69 69	178 453 547	23,7276	8,2573	6,33328	1,77620	1768,7	24 89 47	563
564	31 80 96	179 406 144	23,7487	8,2621	6,33505	1,77305	1771,9	24 98 32	564
565	31 92 25	180 362 125	23,7697	8,2670	6,33683	1,76991	1775,0	25 07 19	565
566	32 03 56	181 321 496	23,7908	8,2719	6,33859	1,76678	1778,1	25 16 07	566
567	32 14 89	182 284 263	23,8118	8,2768	6,34036	1,76367	1781,3	25 24 97	567
568	32 26 24	183 250 432	23,8328	8,2816	6,34212	1,76056	1784,4	25 33 88	568
569	32 37 61	184 220 009	23,8537	8,2865	6,34388	1,75747	1787,6	25 42 81	569
570	32 49 00	185 193 000	23,8747	8,2913	6,34564	1,75439	1790,7	25 51 76	570
571	32 60 41	186 169 411	23,8956	8,2962	6,34739	1,75131	1793,8	25 60 72	571
572	32 71 84	187 149 248	23,9165	8,3010	6,34914	1,74825	1797,0	25 69 70	572
573	32 83 29	188 132 517	23,9374	8,3059	6,35089	1,74520	1800,1	25 78 69	573
574	32 94 76	189 119 224	23,9583	8,3107	6,35263	1,74216	1803,3	25 87 70	574
575	33 06 25	190 109 375	23,9792	8,3155	6,35437	1,73913	1806,4	25 96 72	575
576	33 17 76	191 102 976	24,0000	8,3203	6,35611	1,73611	1809,6	26 05 76	576
577	33 29 29	192 100 033	24,0208	8,3251	6,35784	1,73310	1812,7	26 14 82	577
578	33 40 84	193 100 552	24,0416	8,3300	6,35957	1,73010	1815,8	26 23 89	578
579	33 52 41	194 104 539	24,0624	8,3348	6,36130	1,72712	1819,0	26 32 98	579
580	33 64 00	195 112 000	24,0832	8,3396	6,36303	1,72414	1822,1	26 42 08	580
581	33 75 61	196 122 911	24,1039	8,3443	6,36475	1,72117	1825,3	26 51 20	581
582	33 87 24	197 137 368	24,1247	8,3491	6,36647	1,71821	1828,4	26 60 33	582
583	33 98 89	198 155 287	24,1454	8,3539	6,36819	1,71527	1831,5	26 69 48	583
584	34 10 56	199 176 704	24,1661	8,3587	6,36990	1,71233	1834,7	26 78 65	584
585	34 22 25	200 201 625	24,1868	8,3634	6,37161	1,70940	1837,8	26 87 83	585
586	34 33 96	201 230 056	24,2074	8,3682	6,37332	1,70648	1841,0	26 97 03	586
587	34 45 69	202 262 003	24,2281	8,3730	6,37502	1,70358	1844,1	27 06 24	587
588	34 57 44	203 297 472	24,2487	8,3777	6,37673	1,70068	1847,3	27 15 47	588
589	34 69 21	204 336 469	24,2693	8,3825	6,37843	1,69779	1850,4	27 24 71	589
590	34 81 00	205 379 000	24,2899	8,3872	6,38012	1,69492	1853,5	27 33 97	590
591	34 92 81	206 425 071	24,3105	8,3919	6,38182	1,69205	1856,7	27 43 25	591
592	35 04 64	207 474 688	24,3311	8,3967	6,38351	1,68919	1859,8	27 52 54	592
593	35 16 49	208 527 857	24,3516	8,4014	6,38519	1,68634	1863,0	27 61 84	593
594	35 28 36	209 584 584	24,3721	8,4061	6,38688	1,68350	1866,1	27 71 17	594
595	35 40 25	210 644 875	24,3926	8,4108	6,38856	1,68067	1869,2	27 80 51	595
596	35 52 16	211 708 736	24,4131	8,4155	6,39024	1,67785	1872,4	27 89 86	596
597	35 64 09	212 776 173	24,4336	8,4202	6,39192	1,67504	1875,5	27 99 23	597
598	35 76 04	213 847 192	24,4540	8,4249	6,39359	1,67224	1878,7	28 08 62	598
599	35 88 01	214 921 799	24,4745	8,4296	6,39526	1,66945	1881,8	28 18 02	599
600	36 00 00	216 000 000	24,4949	8,4343	6,39693	1,66667	1885,0	28 27 43	600

600—650

Tabela 1.9 (continuare)

n	n^2	n^3	\sqrt{n}	$\sqrt[3]{n}$	$\ln n$	$\frac{1}{n} \cdot 10^3$	πn	$\frac{\pi n^2}{4}$	n
600	36 00 00	216 000 000	24,4949	8,4343	6,39693	1,66667	1885,0	28 27 43	600
601	36 12 01	217 081 801	24,5153	8,4390	6,39859	1,66389	1888,1	28 36 87	601
602	36 24 04	218 167 208	24,5357	8,4437	6,40026	1,66113	1891,2	28 46 31	602
603	36 36 09	219 256 227	24,5561	8,4484	6,40192	1,65837	1894,4	28 55 78	603
604	36 48 16	220 348 864	24,5764	8,4530	6,40357	1,65563	1897,5	28 65 26	604
605	36 60 25	221 445 125	24,5967	8,4577	6,40523	1,65289	1900,7	28 74 75	605
606	36 72 36	222 545 016	24,6171	8,4623	6,40688	1,65017	1903,8	28 84 26	606
607	36 84 49	223 648 543	24,6374	8,4670	6,40853	1,64745	1906,9	28 93 79	607
608	36 96 64	224 755 712	24,6577	8,4716	6,41017	1,64474	1910,1	29 03 33	608
609	37 08 81	225 866 529	24,6779	8,4763	6,41182	1,64204	1913,2	29 12 89	609
610	37 21 00	226 981 000	24,6982	8,4809	6,41346	1,63934	1916,4	29 22 47	610
611	37 33 21	228 099 131	24,7184	8,4856	6,41510	1,63666	1919,5	29 32 06	611
612	37 45 44	229 220 928	24,7386	8,4902	6,41673	1,63399	1922,7	29 41 66	612
613	37 57 69	230 346 397	24,7588	8,4948	6,41836	1,63132	1925,8	29 51 28	613
614	37 69 96	231 475 544	24,7790	8,4994	6,41999	1,62866	1928,9	29 60 92	614
615	37 82 25	232 608 375	24,7992	8,5040	6,42162	1,62602	1932,1	29 70 57	615
616	37 94 56	233 744 896	24,8193	8,5086	6,42325	1,62338	1935,2	29 80 24	616
617	38 06 89	234 885 113	24,8395	8,5132	6,42487	1,62075	1938,4	29 89 62	617
618	38 19 24	236 029 032	24,8596	8,5178	6,42649	1,61812	1941,5	29 99 62	618
619	38 31 61	237 176 659	24,8797	8,5224	6,42811	1,61551	1944,6	30 09 34	619
620	38 44 00	238 328 000	24,8998	8,5270	6,42972	1,61290	1947,8	30 19 07	620
621	38 56 41	239 483 061	24,9199	8,5316	6,43133	1,61031	1950,9	30 28 82	621
622	38 68 84	240 641 848	24,9399	8,5362	6,43294	1,60772	1954,1	30 38 58	622
623	38 81 29	241 804 367	24,9600	8,5408	6,43455	1,60514	1957,2	30 48 36	623
624	38 93 76	242 970 624	24,9800	8,5453	6,43615	1,60256	1960,4	30 58 15	624
625	39 06 25	244 140 625	25,0000	8,5499	6,43775	1,60000	1963,5	30 67 96	625
626	39 18 76	245 314 376	25,0200	8,5544	6,43935	1,59744	1966,6	30 77 79	626
627	39 31 29	246 491 883	25,0400	8,5590	6,44095	1,59490	1969,8	30 87 63	627
628	39 43 84	247 673 152	25,0599	8,5635	6,44254	1,59236	1972,9	30 97 48	628
629	39 56 41	248 858 189	25,0799	8,5681	6,44413	1,58983	1976,1	31 07 36	629
630	39 69 00	250 047 000	25,0998	8,5726	6,44572	1,58730	1979,2	31 17 25	630
631	39 81 61	251 239 591	25,1197	8,5772	6,44731	1,58479	1982,3	31 27 15	631
632	39 94 24	252 435 968	25,1396	8,5817	6,44889	1,58228	1985,5	31 37 07	632
633	40 06 89	253 636 137	25,1595	8,5862	6,45047	1,57978	1988,6	31 47 00	633
634	40 19 56	254 840 104	25,1794	8,5907	6,45205	1,57729	1991,8	31 56 96	634
635	40 32 25	256 047 875	25,1992	8,5952	6,45362	1,57480	1994,9	31 66 92	635
636	40 44 96	257 259 456	25,2190	8,5997	6,45520	1,57233	1998,1	31 76 90	636
637	40 57 69	258 474 853	25,2389	8,6043	6,45677	1,56986	2001,2	31 86 90	637
638	40 70 44	259 694 072	25,2587	8,6088	6,45834	1,56740	2004,3	31 96 92	638
639	40 83 21	260 917 119	25,2784	8,6132	6,45990	1,56495	2007,5	32 06 95	639
640	40 96 00	262 144 000	25,2982	8,6177	6,46147	1,56250	2010,6	32 16 99	640
641	41 08 81	263 374 721	25,3180	8,6222	6,46303	1,56006	2013,8	32 27 05	641
642	41 21 64	264 609 288	25,3377	8,6267	6,46459	1,55763	2016,9	32 37 13	642
643	41 34 49	265 847 707	25,3574	8,6312	6,46614	1,55521	2020,0	32 47 22	643
644	41 47 36	267 089 984	25,3772	8,6357	6,46770	1,55280	2023,2	32 57 33	644
645	41 60 25	268 336 125	25,3969	8,6401	6,46925	1,55039	2026,3	32 67 45	645
646	41 73 16	269 586 136	25,4165	8,6446	6,47080	1,54799	2029,5	32 77 59	646
647	41 86 09	270 840 023	25,4362	8,6490	6,47235	1,54560	2032,6	32 87 75	647
648	41 99 04	272 097 792	25,4558	8,6535	6,47389	1,54321	2035,8	32 97 92	648
649	42 12 01	273 359 449	25,4755	8,6579	6,47543	1,54083	2038,9	33 08 10	649
650	42 25 00	274 625 000	25,4951	8,6624	6,47697	1,53846	2042,0	33 18 31	650

650—700

Tabela 1.9 (continuare)

n	n^2	n^3	\sqrt{n}	$\sqrt[3]{n}$	$\ln n$	$\frac{1}{n} \cdot 10^3$	πn	$\frac{\pi n^2}{4}$	n
650	42 25 00	274 625 000	25,4951	8,6624	6,47697	1,53846	2042,0	33 18 31	650
651	42 38 01	275 894 451	25,5147	8,6668	6,47851	1,53610	2045,2	33 28 53	651
652	42 51 04	277 167 808	25,5343	8,6713	6,48004	1,53374	2048,3	33 38 76	652
653	42 64 09	278 445 077	25,5539	8,6757	6,48158	1,53139	2051,5	33 49 01	653
654	42 77 16	279 726 264	25,5734	8,6801	6,48311	1,52905	2054,6	33 59 27	654
655	42 90 25	281 011 375	25,5930	8,6845	6,48464	1,52672	2057,7	33 69 55	655
656	43 03 36	282 300 416	25,6125	8,6890	6,48616	1,52439	2060,9	33 79 85	656
657	43 16 49	283 593 393	25,6320	8,6934	6,48768	1,52207	2064,0	33 90 16	657
658	43 29 64	284 890 312	25,6515	8,6978	6,48920	1,51976	2067,2	34 00 49	658
659	43 42 81	286 191 179	25,6710	8,7022	6,49072	1,51745	2070,3	34 10 83	659
660	43 56 00	287 496 000	25,6905	8,7066	6,49224	1,51515	2073,5	34 21 19	660
661	43 69 21	288 804 781	25,7099	8,7110	6,49375	1,51286	2076,6	34 31 57	661
662	43 82 44	290 117 528	25,7294	8,7154	6,49527	1,51057	2079,7	34 41 96	662
663	43 95 69	291 434 247	25,7488	8,7198	6,49677	1,50830	2082,9	34 52 37	663
664	44 08 96	292 754 944	25,7682	8,7241	6,49828	1,50602	2086,0	34 62 79	664
665	44 22 25	294 079 625	25,7876	8,7285	6,49979	1,50376	2089,2	34 73 23	665
666	44 35 56	295 408 296	25,8070	8,7329	6,50129	1,50150	2092,3	34 83 68	666
667	44 48 89	296 740 963	25,8263	8,7373	6,50279	1,49925	2095,4	34 94 15	667
668	44 62 24	298 077 632	25,8457	8,7416	6,50429	1,49701	2098,6	35 04 64	668
669	44 75 61	299 418 309	25,8650	8,7460	6,50578	1,49477	2101,7	35 15 14	669
670	44 89 00	300 763 000	25,8844	8,7503	6,50728	1,49254	2104,9	35 25 65	670
671	45 02 41	302 111 711	25,9037	8,7547	6,50877	1,49031	2108,0	35 36 18	671
672	45 15 84	303 464 448	25,9230	8,7590	6,51026	1,48810	2111,2	35 46 73	672
673	45 29 29	304 821 217	25,9422	8,7634	6,51175	1,48588	2114,3	35 57 30	673
674	45 42 76	306 182 024	25,9615	8,7677	6,51323	1,48368	2117,4	35 67 88	674
675	45 56 25	307 546 875	25,9808	8,7721	6,51471	1,48148	2120,6	35 78 47	675
676	45 69 76	308 915 776	26,0000	8,7764	6,51619	1,47929	2123,7	35 89 08	676
677	45 83 29	310 288 733	26,0192	8,7807	6,51767	1,47710	2126,9	35 99 71	677
678	45 96 84	311 665 752	26,0384	8,7850	6,51915	1,47493	2130,0	36 10 35	678
679	46 10 41	313 046 839	26,0576	8,7893	6,52062	1,47275	2133,1	36 21 01	679
680	46 24 00	314 432 000	26,0768	8,7937	6,52209	1,47055	2136,3	36 31 68	680
681	46 37 61	315 821 241	26,0960	8,7980	6,52356	1,46843	2139,4	36 42 37	681
682	46 51 24	317 214 568	26,1151	8,8023	6,52503	1,46628	2142,6	36 53 08	682
683	46 64 89	318 611 987	26,1343	8,8066	6,52649	1,46413	2145,7	36 63 80	683
684	46 78 56	320 013 504	26,1534	8,8109	6,52796	1,46199	2148,8	36 74 53	684
685	46 92 25	321 419 125	26,1725	8,8152	6,52942	1,45985	2152,0	36 85 28	685
686	47 05 96	322 828 856	26,1916	8,8194	6,53088	1,45773	2155,1	36 96 05	686
687	47 19 69	324 242 703	26,2107	8,8237	6,53233	1,45560	2158,3	37 06 84	687
688	47 33 44	325 660 672	26,2298	8,8280	6,53379	1,45349	2161,4	37 17 64	688
689	47 47 21	327 082 769	26,2488	8,8323	6,53524	1,45138	2164,6	37 28 45	689
690	47 61 00	328 509 000	26,2679	8,8366	6,53669	1,44928	2167,7	37 39 28	690
691	47 74 81	329 939 371	26,2869	8,8408	6,53814	1,44718	2170,8	37 50 13	691
692	47 88 64	331 373 888	26,3059	8,8451	6,53959	1,44509	2174,0	37 60 99	692
693	48 02 49	332 812 557	26,3249	8,8493	6,54103	1,44300	2177,1	37 71 87	693
694	48 16 36	334 255 384	26,3439	8,8536	6,54247	1,44092	2180,3	37 82 76	694
695	48 30 25	335 702 375	26,3629	8,8578	6,54391	1,43885	2183,4	37 93 67	695
696	48 44 16	337 153 536	26,3818	8,8621	6,54535	1,43678	2186,5	38 04 59	696
697	48 58 09	338 608 873	26,4008	8,8668	6,54679	1,43472	2189,7	38 15 53	697
698	48 72 04	340 068 392	26,4197	8,8706	6,54822	1,43266	2192,8	38 26 49	698
699	48 86 01	341 532 099	26,4386	8,8748	6,54965	1,43062	2196,0	38 37 46	699
700	49 00 00	343 000 000	26,4575	8,8790	6,55108	1,42857	2199,1	38 48 45	700

700—750

Tabela 1.9 (continuare)

n	n^2	n^3	\sqrt{n}	$\sqrt[3]{n}$	$\ln n$	$\frac{1}{n} \cdot 10^3$	πn	$\frac{\pi n^2}{4}$	n
700	49 00 00	343 000 000	26,4575	8,8790	6,55108	1,42857	2199,1	38 48 45	700
701	49 14 01	344 472 101	26,4764	8,8833	6,55251	1,42653	2202,3	38 59 45	701
702	49 28 04	345 948 408	26,4953	8,8875	6,55393	1,42450	2205,4	38 70 47	702
703	49 42 09	347 428 927	26,5141	8,8917	6,55536	1,42248	2208,5	38 81 51	703
704	49 56 16	348 913 664	26,5330	8,8959	6,55678	1,42045	2211,7	38 92 56	704
705	49 70 25	350 402 625	26,5518	8,9001	6,55820	1,41844	2214,8	39 03 63	705
706	49 84 36	351 895 816	26,5707	8,9043	6,55962	1,41643	2218,0	39 14 71	706
707	49 98 49	353 393 243	26,5895	8,9085	6,56103	1,41443	2221,1	39 25 80	707
708	50 12 64	354 894 912	26,6083	8,9127	6,56244	1,41243	2224,2	39 36 92	708
709	50 26 81	356 400 929	26,6271	8,9169	6,56386	1,41044	2227,4	39 48 05	709
710	50 41 00	357 911 000	26,6458	8,9211	6,56526	1,40845	2230,5	39 59 19	710
711	50 55 21	359 425 431	26,6646	8,9253	6,56667	1,40647	2233,7	39 70 35	711
712	50 69 44	360 944 128	26,6833	8,9295	6,56808	1,40449	2236,8	39 81 53	712
713	50 83 69	362 467 097	26,7021	8,9337	6,56948	1,40252	2240,0	39 92 72	713
714	50 97 96	363 994 344	26,7208	8,9378	6,57088	1,40056	2243,1	40 03 93	714
715	51 12 25	365 525 875	26,7395	8,9420	6,57228	1,39860	2246,2	40 15 15	715
716	51 26 56	367 061 696	26,7582	8,9462	6,57368	1,39665	2249,4	40 26 39	716
717	51 40 89	368 601 813	26,7769	8,9503	6,57508	1,39470	2252,5	40 37 65	717
718	51 55 24	370 146 232	26,7955	8,9545	6,57647	1,39276	2255,7	40 48 92	718
719	51 69 61	371 694 959	26,8142	8,9587	6,57786	1,39082	2258,8	40 60 20	719
720	51 84 00	373 248 000	26,8328	8,9628	6,57925	1,38889	2261,9	40 71 50	720
721	51 98 41	374 805 361	26,8514	8,9670	6,58064	1,38696	2265,1	40 82 82	721
722	52 12 84	376 367 048	26,8701	8,9711	6,58203	1,38504	2268,2	40 94 15	722
723	52 27 29	377 933 067	26,8887	8,9752	6,58341	1,38313	2271,4	41 05 50	723
724	52 41 76	379 503 424	26,9072	8,9794	6,58479	1,38122	2274,5	41 16 87	724
725	52 56 25	381 078 125	26,9258	8,9835	6,58617	1,37931	2277,7	41 28 25	725
726	52 70 76	382 657 176	26,9444	8,9876	6,58755	1,37741	2280,8	41 39 65	726
727	52 85 29	384 240 583	26,9629	8,9918	6,58893	1,37552	2283,9	41 51 06	727
728	52 99 84	385 828 352	26,9815	8,9959	6,59030	1,37363	2287,1	41 62 48	728
729	53 14 41	387 420 489	27,0000	9,0000	6,59167	1,37174	2290,2	41 73 93	729
730	53 29 00	389 017 000	27,0185	9,0041	6,59304	1,36986	2293,4	41 85 39	730
731	53 43 61	390 617 891	27,0370	9,0082	6,59441	1,36799	2296,5	41 96 86	731
732	53 58 24	392 223 168	27,0555	9,0123	6,59578	1,36612	2299,6	42 08 35	732
733	53 72 89	393 832 837	27,0740	9,0164	6,59715	1,36426	2302,8	42 19 86	733
734	53 87 56	395 446 064	27,0924	9,0205	6,59851	1,36240	2305,9	42 31 38	734
735	54 02 25	397 065 375	27,1109	9,0246	6,59987	1,36054	2309,1	42 42 92	735
736	54 16 96	398 688 256	27,1293	9,0287	6,60123	1,35870	2312,2	42 54 47	736
737	54 31 69	400 315 553	27,1477	9,0328	6,60259	1,35685	2315,4	42 66 04	737
738	54 46 44	401 947 272	27,1662	9,0369	6,60394	1,35501	2318,5	42 77 62	738
739	54 61 21	403 583 419	27,1846	9,0410	6,60530	1,35318	2321,6	42 89 22	739
740	54 76 00	405 224 000	27,2029	9,0450	6,60665	1,35135	2324,8	43 00 84	740
741	54 90 81	406 869 021	27,2213	9,0491	6,60800	1,34953	2327,9	43 12 47	741
742	55 05 64	408 518 488	27,2397	9,0532	6,60935	1,34771	2331,1	43 24 12	742
743	55 20 49	410 172 407	27,2580	9,0572	6,61070	1,34590	2334,2	43 35 78	743
744	55 35 36	411 830 784	27,2764	9,0613	6,61204	1,34409	2337,3	43 47 46	744
745	55 50 25	413 493 625	27,2947	9,0654	6,61338	1,34228	2340,5	43 59 16	745
746	55 65 16	415 160 936	27,3130	9,0694	6,61473	1,34048	2343,6	43 70 87	746
747	55 80 09	416 832 723	27,3313	9,0735	6,61607	1,33869	2346,8	43 82 59	747
748	55 95 04	418 508 992	27,3496	9,0775	6,61740	1,33690	2349,9	43 94 33	748
749	56 10 01	420 189 749	27,3679	9,0816	6,61874	1,33511	2353,1	44 06 09	749
750	56 25 00	421 875 000	27,3861	9,0856	6,62007	1,33333	2356,2	44 17 86	750

750—800

Tabela 1.9 (continuare)

n	n^2	n^3	\sqrt{n}	$\sqrt[3]{n}$	$\lg n$	$\frac{1}{n} \cdot 10^3$	πn	$\frac{\pi n^2}{4}$	n
750	56 25 00	421 875 000	27,3661	9,0856	6,62007	1,33333	2356,2	44 17 86	750
751	56 40 01	423 564 751	27,4044	9,0896	6,62141	1,33156	2359,3	44 29 65	751
752	56 55 04	425 259 008	27,4226	9,0937	6,62274	1,32979	2362,5	44 41 46	752
753	56 70 09	426 957 777	27,4408	9,0977	6,62407	1,32802	2365,6	44 53 28	753
754	56 85 16	428 661 064	27,4591	9,1017	6,62539	1,32626	2368,8	44 65 11	754
755	57 00 25	430 368 875	27,4773	9,1057	6,62672	1,32450	2371,9	44 76 97	755
756	57 15 36	432 081 216	27,4955	9,1098	6,62804	1,32275	2375,0	44 88 83	756
757	57 30 49	433 798 093	27,5136	9,1138	6,62936	1,32100	2378,2	45 00 72	757
758	57 45 64	435 519 512	27,5318	9,1178	6,63068	1,31926	2381,3	45 12 62	758
759	57 60 81	437 245 479	27,5500	9,1218	6,63200	1,31752	2384,5	45 24 53	759
760	57 76 00	438 976 000	27,5681	9,1258	6,63332	1,31579	2387,6	45 36 46	760
761	57 91 21	440 711 081	27,5862	9,1298	6,63463	1,31406	2390,8	45 48 41	761
762	58 06 44	442 450 728	27,6043	9,1338	6,63595	1,31234	2393,9	45 60 37	762
763	58 21 69	444 194 917	27,6225	9,1378	6,63726	1,31062	2397,0	45 72 34	763
764	58 36 96	445 943 744	27,6405	9,1418	6,63857	1,30900	2400,2	45 84 34	764
765	58 52 25	447 697 125	27,6586	9,1458	6,63988	1,30719	2403,3	45 96 35	765
766	58 67 56	449 455 096	27,6767	9,1498	6,64118	1,30548	2406,5	46 08 37	766
767	58 82 89	451 217 663	27,6948	9,1537	6,64249	1,30378	2409,6	46 20 41	767
768	58 98 24	452 984 832	27,7128	9,1577	6,64379	1,30208	2412,7	46 32 47	768
769	59 13 61	454 756 609	27,7309	9,1617	6,64509	1,30039	2415,9	46 44 54	769
770	59 29 00	456 533 000	27,7489	9,1657	6,64639	1,29870	2419,0	46 56 63	770
771	59 44 41	458 314 011	27,7669	9,1696	6,64769	1,29702	2422,2	46 68 73	771
772	59 59 84	460 099 648	27,7849	9,1736	6,64898	1,29534	2425,3	46 80 85	772
773	59 75 29	461 889 917	27,8029	9,1775	6,65028	1,29366	2428,5	46 92 98	773
774	59 90 76	463 684 824	27,8209	9,1815	6,65157	1,29199	2431,6	47 05 13	774
775	60 06 25	465 484 375	27,8388	9,1855	6,65286	1,29032	2434,7	47 17 30	775
776	60 21 76	467 288 576	27,8568	9,1894	6,65415	1,28866	2437,9	47 29 48	776
777	60 37 29	469 097 433	27,8747	9,1933	6,65544	1,28700	2441,0	47 41 68	777
778	60 52 84	470 910 952	27,8927	9,1973	6,65673	1,28535	2444,2	47 53 89	778
779	60 68 41	472 729 139	27,9106	9,2012	6,65801	1,28370	2447,3	47 66 12	779
780	60 84 00	474 552 000	27,9285	9,2052	6,65929	1,28205	2450,4	47 78 36	780
781	60 99 61	476 379 541	27,9464	9,2091	6,66058	1,28041	2453,6	47 90 62	781
782	61 15 24	478 211 768	27,9643	9,2130	6,66185	1,27877	2456,7	48 02 90	782
783	61 30 89	480 048 687	27,9821	9,2170	6,66313	1,27714	2459,9	48 15 19	783
784	61 46 56	481 890 304	28,0000	9,2209	6,66441	1,27551	2463,0	48 27 50	784
785	61 62 25	483 736 625	28,0179	9,2248	6,66568	1,27389	2466,2	48 39 82	785
786	61 77 96	485 587 656	28,0357	9,2287	6,66696	1,27226	2469,3	48 52 16	786
787	61 93 69	487 443 403	28,0535	9,2326	6,66823	1,27065	2472,4	48 64 51	787
788	62 09 44	489 303 872	28,0713	9,2365	6,66950	1,26904	2475,6	48 76 88	788
789	62 25 21	491 169 069	28,0891	9,2404	6,67077	1,26743	2478,7	48 89 27	789
790	62 41 00	493 039 000	28,1069	9,2443	6,67203	1,26582	2481,9	49 01 67	790
791	62 56 81	494 913 671	28,1247	9,2482	6,67330	1,26422	2485,0	49 14 09	791
792	62 72 64	496 793 088	28,1425	9,2521	6,67456	1,26263	2488,1	49 26 52	792
793	62 88 49	498 677 257	28,1603	9,2560	6,67582	1,26103	2491,3	49 38 97	793
794	63 04 36	500 566 184	28,1780	9,2599	6,67708	1,25945	2494,4	49 51 43	794
795	63 20 25	502 459 875	28,1957	9,2638	6,67834	1,25786	2497,6	49 63 91	795
796	63 36 16	504 358 336	28,2135	9,2677	6,67960	1,25628	2500,7	49 76 41	796
797	63 52 09	506 261 573	28,2312	9,2716	6,68085	1,25471	2503,8	49 88 92	797
798	63 68 04	508 169 592	28,2489	9,2754	6,68211	1,25313	2507,0	50 01 45	798
799	63 84 01	510 082 399	28,2666	9,2793	6,68336	1,25156	2510,1	50 13 99	799
800	64 00 00	512 000 000	28,2843	9,2832	6,68461	1,25000	2513,3	50 26 55	800

800—850

Tabela 1.9 (continuare)

n	n^2	n^3	\sqrt{n}	$\sqrt[3]{n}$	$\ln n$	$\frac{1}{n} \cdot 10^3$	πn	$\frac{\pi n^2}{4}$	n
800	64 00 00	512 000 000	28,2843	9,2832	6,68461	1,25000	2513,3	50 26 55	800
801	64 16 01	513 922 401	28,3019	9,2870	6,68586	1,24844	2516,4	50 39 12	801
802	64 32 04	515 849 608	28,3196	9,2909	6,68711	1,24688	2519,6	50 51 71	802
803	64 48 09	517 781 627	28,3373	9,2948	6,68835	1,24533	2522,7	50 64 32	803
804	64 64 16	519 718 464	28,3549	9,2986	6,68960	1,24378	2525,8	50 76 94	804
805	64 80 25	521 660 125	28,3725	9,3025	6,69084	1,24224	2529,0	50 89 58	805
806	64 96 36	523 606 616	28,3901	9,3063	6,69208	1,24069	2532,1	51 02 23	806
807	65 12 49	525 557 943	28,4077	9,3102	6,69332	1,23916	2535,3	51 14 90	807
808	65 28 64	527 514 112	28,4253	9,3140	6,69456	1,23762	2538,4	51 27 58	808
809	65 44 81	529 475 129	28,4429	9,3179	6,69580	1,23609	2541,5	51 40 28	809
810	65 61 00	531 441 000	28,4605	9,3217	6,69703	1,23457	2544,7	51 53 00	810
811	65 77 21	533 411 731	28,4781	9,3255	6,69827	1,23305	2547,8	51 65 73	811
812	65 93 44	535 387 328	28,4956	9,3294	6,69950	1,23153	2551,0	51 78 48	812
813	66 09 69	537 367 797	28,5132	9,3332	6,70073	1,23001	2554,1	51 91 24	813
814	66 25 96	539 353 144	28,5307	9,3370	6,70196	1,22850	2557,3	52 04 02	814
815	66 42 25	541 343 375	28,5482	9,3408	6,70319	1,22699	2560,4	52 16 81	815
816	66 58 56	543 338 496	28,5657	9,3447	6,70441	1,22549	2563,5	52 29 62	816
817	66 74 89	545 338 513	28,5832	9,3485	6,70564	1,22399	2566,7	52 42 45	817
818	66 91 24	547 343 432	28,6007	9,3523	6,70686	1,22249	2569,8	52 55 29	818
819	67 07 61	549 353 259	28,6182	9,3561	6,70808	1,22100	2573,0	52 68 14	819
820	67 24 00	551 368 000	28,6356	9,3599	6,70930	1,21951	2576,1	52 81 02	820
821	67 40 41	553 387 661	28,6531	9,3637	6,71052	1,21803	2579,2	52 93 91	821
822	67 56 84	555 412 248	28,6705	9,3675	6,71174	1,21655	2582,4	53 06 81	822
823	67 73 29	557 441 767	28,6880	9,3713	6,71296	1,21507	2585,5	53 19 73	823
824	67 89 76	559 476 224	28,7054	9,3751	6,71417	1,21359	2588,7	53 32 67	824
825	68 06 25	561 515 625	28,7228	9,3789	6,71538	1,21212	2591,8	53 45 62	825
826	68 22 76	563 559 976	28,7402	9,3827	6,71659	1,21065	2595,0	53 58 58	826
827	68 39 29	565 609 283	28,7576	9,3865	6,71780	1,20919	2598,1	53 71 57	827
828	68 55 84	567 663 552	28,7750	9,3902	6,71901	1,20773	2601,2	53 84 56	828
829	68 72 41	569 722 789	28,7924	9,3940	6,72022	1,20627	2604,4	53 97 58	829
830	68 89 60	571 787 000	28,8097	9,3978	6,72143	1,20482	2607,5	54 10 61	830
831	69 05 61	573 856 191	28,8271	9,4016	6,72263	1,20337	2610,7	54 23 65	831
832	69 22 24	575 930 368	28,8444	9,4053	6,72383	1,20192	2613,8	54 36 71	832
833	69 38 89	578 009 537	28,8617	9,4091	6,72503	1,20048	2616,9	54 49 79	833
834	69 55 56	580 093 704	28,8791	9,4129	6,72623	1,19904	2620,1	54 62 88	834
835	69 72 25	582 182 875	28,8964	9,4166	6,72743	1,19760	2623,2	54 75 99	835
836	69 88 96	584 277 056	28,9137	9,4204	6,72863	1,19617	2626,4	54 89 12	836
837	70 05 69	586 376 253	28,9310	9,4241	6,72982	1,19474	2629,5	55 02 26	837
838	70 22 44	588 480 472	28,9482	9,4279	6,73102	1,19332	2632,7	55 15 41	838
839	70 39 21	590 589 719	28,9655	9,4316	6,73221	1,19190	2635,8	55 28 58	839
840	70 56 00	592 704 000	28,9828	9,4354	6,73340	1,19048	2638,9	55 41 77	840
841	70 72 81	594 823 321	29,0000	9,4391	6,73459	1,18906	2642,1	55 54 97	841
842	70 89 64	596 947 688	29,0172	9,4429	6,73578	1,18765	2645,2	55 68 19	842
843	71 06 49	599 077 107	29,0345	9,4466	6,73697	1,18624	2648,4	55 81 42	843
844	71 23 36	601 211 534	29,0517	9,4503	6,73815	1,18483	2651,5	55 94 67	844
845	71 40 25	603 351 125	29,0689	9,4541	6,73934	1,18343	2654,6	56 07 94	845
846	71 57 16	605 495 736	29,0861	9,4578	6,74052	1,18203	2657,8	56 21 22	846
847	71 74 09	607 645 423	29,1033	9,4615	6,74170	1,18064	2660,9	56 34 52	847
848	71 91 04	609 800 192	29,1204	9,4652	6,74288	1,17925	2664,1	56 47 83	848
849	72 08 01	611 960 049	29,1376	9,4690	6,74406	1,17786	2667,2	56 61 16	849
850	72 25 00	614 125 000	29,1548	9,4727	6,74524	1,17647	2670,4	56 74 50	850

850—900

Tabela 1.9 (continuare)

n	n^2	n^3	\sqrt{n}	$\sqrt[3]{n}$	$\lg n$	$\frac{1}{n} \cdot 10^3$	πn	$\frac{\pi n^2}{4}$	n
850	72 25 00	614 125 000	29,1548	9,4727	6,74524	1,17647	2670,4	56 74 50	850
851	72 42 01	616 295 051	29,1719	9,4764	6,74641	1,17509	2673,5	56 87 86	851
852	72 59 04	618 470 208	29,1890	9,4801	6,74759	1,17371	2676,6	57 01 24	852
853	72 76 09	620 650 477	29,2062	9,4838	6,74876	1,17233	2679,8	57 14 63	853
854	72 93 16	622 835 864	29,2233	9,4875	6,74993	1,17096	2682,9	57 28 03	854
855	73 10 25	625 026 375	29,2404	9,4912	6,75110	1,16959	2686,1	57 41 46	855
856	73 27 36	627 222 016	29,2575	9,4949	6,75227	1,16822	2689,2	57 54 90	856
857	73 44 49	629 422 793	29,2746	9,4986	6,75344	1,16686	2692,3	57 68 35	857
858	73 61 64	631 628 712	29,2916	9,5023	6,75460	1,16550	2695,5	57 81 82	858
859	73 78 81	633 839 779	29,3087	9,5060	6,75577	1,16414	2698,6	57 95 30	859
860	73 96 00	636 056 000	29,3258	9,5097	6,75693	1,16279	2701,8	58 08 80	860
861	74 13 21	638 277 381	29,3428	9,5134	6,75809	1,16144	2704,9	58 22 32	861
862	74 30 44	640 503 928	29,3598	9,5171	6,75926	1,16009	2708,1	58 35 85	862
863	74 47 69	642 735 647	29,3769	9,5207	6,76041	1,15875	2711,2	58 49 40	863
864	74 64 96	644 972 544	29,3939	9,5244	6,76157	1,15741	2714,3	58 62 97	864
865	74 82 25	647 214 625	29,4109	9,5281	6,76273	1,15607	2717,5	58 76 55	865
866	74 99 56	649 461 896	29,4279	9,5317	6,76388	1,15473	2720,6	58 90 14	866
867	75 16 89	651 714 363	29,4449	9,5354	6,76504	1,15340	2723,8	59 03 75	867
868	75 34 24	653 972 032	29,4618	9,5391	6,76619	1,15207	2726,9	59 17 38	868
869	75 51 61	656 234 909	29,4788	9,5427	6,76734	1,15075	2730,0	59 31 02	869
870	75 69 00	658 503 000	29,4958	9,5464	6,76849	1,14943	2733,2	59 44 68	870
871	75 86 41	660 776 311	29,5127	9,5501	6,76964	1,14811	2736,3	59 58 35	871
872	76 03 84	663 054 848	29,5296	9,5537	6,77079	1,14679	2739,5	59 72 04	872
873	76 21 29	665 338 617	29,5466	9,5574	6,77194	1,14548	2742,6	59 85 75	873
874	76 38 76	667 627 624	29,5635	9,5610	6,77308	1,14416	2745,8	59 99 47	874
875	76 56 25	669 921 875	29,5804	9,5647	6,77422	1,14286	2748,9	60 13 20	875
876	76 73 76	672 221 376	29,5973	9,5683	6,77537	1,14155	2752,0	60 26 96	876
877	76 91 29	674 526 133	29,6142	9,5719	6,77651	1,14025	2755,2	60 40 73	877
878	77 08 84	676 836 152	29,6311	9,5756	6,77765	1,13895	2758,3	60 54 51	878
879	77 26 41	679 151 439	29,6479	9,5792	6,77878	1,13766	2761,5	60 68 31	879
880	77 44 00	681 472 000	29,6648	9,5828	6,77992	1,13636	2764,6	60 82 12	880
881	77 61 61	683 797 841	29,6816	9,5865	6,78106	1,13507	2767,7	60 95 95	881
882	77 79 24	686 128 968	29,6985	9,5901	6,78219	1,13379	2770,9	61 09 80	882
883	77 96 89	688 465 387	29,7153	9,5937	6,78333	1,13250	2774,0	61 23 66	883
884	78 14 56	690 807 104	29,7321	9,5973	6,78446	1,13122	2777,2	61 37 54	884
885	78 32 25	693 154 125	29,7489	9,6010	6,78559	1,12994	2780,3	61 51 43	885
886	78 49 96	695 506 456	29,7658	9,6046	6,78672	1,12867	2783,5	61 65 34	886
887	78 67 69	697 864 103	29,7825	9,6082	6,78784	1,12740	2786,6	61 79 27	887
888	78 85 44	700 227 072	29,7993	9,6118	6,78897	1,12613	2789,7	61 93 21	888
889	79 03 21	702 595 369	29,8161	9,6154	6,79010	1,12486	2792,9	62 07 17	889
890	79 21 00	704 969 000	29,8329	9,6190	6,79122	1,12360	2796,0	62 21 14	890
891	79 38 81	707 347 971	29,8496	9,6226	6,79234	1,12233	2799,2	62 35 13	891
892	79 56 64	709 732 288	29,8664	9,6262	6,79347	1,12108	2802,3	62 49 13	892
893	79 74 49	712 121 957	29,8831	9,6298	6,79459	1,11982	2805,4	62 63 15	893
894	79 92 36	714 516 984	29,8998	9,6334	6,79571	1,11857	2808,6	62 77 18	894
895	80 10 25	716 917 375	29,9166	9,6370	6,79682	1,11732	2811,7	62 91 24	895
896	80 28 16	719 323 136	29,9333	9,6406	6,79794	1,11607	2814,9	63 05 30	896
897	80 46 09	721 734 273	29,9500	9,6442	6,79906	1,11483	2818,0	63 19 38	897
898	80 64 04	724 150 792	29,9666	9,6477	6,80017	1,11359	2821,2	63 33 48	898
899	80 82 01	726 572 699	29,9833	9,6513	6,80128	1,11235	2824,3	63 47 60	899
900	81 00 00	729 000 000	30,0000	9,6549	6,80239	1,11111	2827,4	63 61 78	900

900-950

Tabela 1.9 (continuaré)

n	n^2	n^3	\sqrt{n}	$\sqrt[3]{n}$	$\ln n$	$\frac{1}{n} \cdot 10^3$	πn	$\frac{\pi n^2}{4}$	n
900	81 00 00	729 000 000	30,0900	9,6549	6,80239	1,11111	2827,4	63 61 73	900
901	81 18 01	731 432 701	30,0167	9,6585	6,80351	1,10988	2830,6	63 75 87	901
902	81 36 04	733 870 808	30,0333	9,6620	6,80461	1,10865	2833,7	63 90 03	902
903	81 54 09	736 314 327	30,0500	9,6656	6,80572	1,10742	2836,9	64 04 21	903
904	81 72 16	738 763 264	30,0666	9,6692	6,80683	1,10619	2840,0	64 18 40	904
905	81 90 25	741 217 625	30,0832	9,6727	6,80793	1,10497	2843,1	64 32 61	905
906	82 08 36	743 677 416	30,0998	9,6763	6,80904	1,10375	2846,3	64 46 83	906
907	82 26 49	746 142 643	30,1164	9,6799	6,81014	1,10254	2849,4	64 61 07	907
908	82 44 64	748 613 312	30,1330	9,6834	6,81124	1,10132	2852,6	64 75 33	908
909	82 62 81	751 089 429	30,1496	9,6870	6,81235	1,10011	2855,7	64 89 60	909
910	82 81 00	753 571 000	30,1662	9,6905	6,81344	1,09889	2858,8	65 03 88	910
911	82 99 21	756 058 031	30,1828	9,6941	6,81454	1,09769	2862,0	65 18 18	911
912	83 17 44	758 550 528	30,1993	9,6976	6,81564	1,09649	2865,1	65 32 50	912
913	83 35 69	761 048 497	30,2159	9,7012	6,81674	1,09529	2868,3	65 46 84	913
914	83 53 96	763 551 944	30,2324	9,7047	6,81783	1,09409	2871,4	65 61 18	914
915	83 72 25	766 060 875	30,2490	9,7082	6,81892	1,09290	2874,6	65 75 55	915
916	83 90 56	768 575 296	30,2655	9,7118	6,82002	1,09170	2877,7	65 89 93	916
917	84 08 89	771 095 213	30,2820	9,7153	6,82111	1,09051	2880,8	66 04 33	917
918	84 27 24	773 620 632	30,2985	9,7188	6,82220	1,08932	2884,0	66 18 74	918
919	84 45 61	776 151 559	30,3150	9,7224	6,82329	1,08814	2887,1	66 33 17	919
920	84 64 00	778 688 000	30,3315	9,7259	6,82437	1,08696	2890,3	66 47 61	920
921	84 82 41	781 229 961	30,3480	9,7294	6,82546	1,08578	2893,4	66 62 07	921
922	85 00 84	783 777 448	30,3645	9,7329	6,82655	1,08460	2896,5	66 76 54	922
923	85 19 29	786 330 467	30,3809	9,7364	6,82763	1,08342	2899,7	66 91 03	923
924	85 37 76	788 889 024	30,3974	9,7400	6,82871	1,08225	2902,8	67 05 54	924
925	85 56 25	791 453 125	30,4138	9,7435	6,82979	1,08108	2906,0	67 20 06	925
926	85 74 76	794 022 776	30,4302	9,7470	6,83087	1,07991	2909,1	67 34 60	926
927	85 93 29	796 597 983	30,4467	9,7505	6,83195	1,07875	2912,3	67 49 15	927
928	86 11 84	799 178 752	30,4631	9,7540	6,83303	1,07759	2915,4	67 63 72	928
929	86 30 41	801 765 089	30,4795	9,7575	6,83411	1,07643	2918,5	67 78 31	929
930	86 49 00	804 357 000	30,4959	9,7610	6,83518	1,07527	2921,7	67 92 91	930
931	86 67 61	806 954 491	30,5123	9,7645	6,83626	1,07411	2924,8	68 07 52	931
932	86 86 24	809 557 568	30,5287	9,7680	6,83733	1,07296	2928,0	68 22 16	932
933	87 04 89	812 166 287	30,5450	9,7715	6,83841	1,07181	2931,1	68 36 80	933
934	87 23 56	814 780 504	30,5614	9,7750	6,83948	1,07066	2934,2	68 51 47	934
935	87 42 25	817 400 375	30,5778	9,7785	6,84055	1,06952	2937,4	68 66 15	935
936	87 60 96	820 025 856	30,5941	9,7819	6,84162	1,06838	2940,5	68 80 84	936
937	87 79 69	822 656 953	30,6105	9,7854	6,84268	1,06724	2943,7	68 95 55	937
938	87 98 44	825 293 672	30,6268	9,7889	6,84375	1,06610	2946,8	69 10 28	938
939	88 17 21	827 936 019	30,6431	9,7924	6,84482	1,06496	2950,0	69 25 02	939
940	88 36 00	830 584 000	30,6594	9,7959	6,84588	1,06383	2953,1	69 39 78	940
941	88 54 81	833 237 621	30,6757	9,7993	6,84694	1,06270	2956,2	69 54 55	941
942	88 73 64	835 896 888	30,6920	9,8028	6,84801	1,06157	2959,4	69 69 34	942
943	88 92 49	838 561 807	30,7083	9,8063	6,84907	1,06045	2962,5	69 84 15	943
944	89 11 28	841 232 384	30,7246	9,8097	6,85013	1,05932	2965,7	69 98 97	944
945	89 30 23	843 908 625	30,7409	9,8132	6,85118	1,05820	2968,8	70 13 80	945
946	89 49 16	846 590 536	30,7571	9,8167	6,85224	1,05708	2971,9	70 28 65	946
947	89 68 09	849 278 123	30,7734	9,8201	6,85330	1,05597	2975,1	70 43 52	947
948	89 87 04	851 971 392	30,7896	9,8236	6,85435	1,05485	2978,2	70 58 40	948
949	89 06 01	854 670 849	30,8058	9,8270	6,85541	1,05374	2981,4	70 73 30	949
950	90 25 00	857 375 000	30,8221	9,8305	6,85648	1,05263	2984,5	70 88 22	950

950-1 000

Tabela 1.9 (continuare)

n	n^2	n^3	\sqrt{n}	$\sqrt[3]{n}$	$\ln n$	$\frac{1}{n} \cdot 10^3$	πn	$\frac{\pi n^2}{4}$	n
950	90 25 00	857 375 000	30,8221	9,8305	6,85646	1,05263	2984,5	70 88 22	950
951	90 44 01	860 085 351	30,8383	9,8339	6,85751	1,05152	2987,7	71 03 15	951
952	90 63 04	862 801 408	30,8545	9,8374	6,85857	1,05042	2990,8	71 18 09	952
953	90 82 09	865 523 177	30,8707	9,8408	6,85961	1,04932	2993,9	71 33 06	953
954	91 01 16	868 250 664	30,8869	9,8443	6,86066	1,04822	2997,1	71 48 03	954
955	91 20 25	870 983 875	30,9031	9,8477	6,86171	1,04712	3000,2	71 63 03	955
956	91 39 36	873 722 816	30,9192	9,8511	6,86276	1,04603	3003,4	71 78 04	956
957	91 58 49	876 467 493	30,9354	9,8546	6,86380	1,04493	3006,5	71 93 06	957
958	91 77 64	879 217 912	30,9516	9,8580	6,86485	1,04384	3009,6	72 08 10	958
959	91 96 81	881 974 079	30,9677	9,8614	6,86589	1,04275	3012,8	72 23 16	959
960	92 16 00	884 736 000	30,9839	9,8648	6,86693	1,04167	3015,9	72 38 23	960
961	92 35 21	887 503 681	31,0000	9,8683	6,86797	1,04058	3019,1	72 53 32	961
962	92 54 44	890 277 128	31,0161	9,8717	6,86901	1,03950	3022,2	72 68 42	962
963	92 73 69	893 056 347	31,0322	9,8751	6,87005	1,03842	3025,4	72 83 54	963
964	92 92 96	895 841 344	31,0483	9,8785	6,87109	1,03734	3028,5	72 98 67	964
965	93 12 25	898 632 125	31,0644	9,8819	6,87213	1,03627	3031,6	73 13 82	965
966	93 31 56	901 428 696	31,0805	9,8854	6,87316	1,03520	3034,8	73 28 99	966
967	93 50 89	904 231 063	31,0966	9,8888	6,87420	1,03413	3037,9	73 44 17	967
968	93 70 24	907 039 232	31,1127	9,8922	6,87523	1,03306	3041,1	73 59 37	968
969	93 89 61	909 853 209	31,1288	9,8956	6,87626	1,03199	3044,2	73 74 58	969
970	94 09 00	912 673 000	31,1448	9,8990	6,87730	1,03093	3047,3	73 89 81	970
971	94 28 41	915 498 611	31,1609	9,9024	6,87833	1,02987	3050,5	74 05 06	971
972	94 47 84	918 330 048	31,1769	9,9058	6,87936	1,02881	3053,6	74 20 32	972
973	94 67 29	921 167 317	31,1929	9,9092	6,88038	1,02775	3056,8	74 35 59	973
974	94 86 76	924 010 424	31,2090	9,9126	6,88141	1,02669	3059,9	74 50 88	974
975	95 06 25	926 859 375	31,2250	9,9160	6,88244	1,02564	3063,1	74 66 19	975
976	95 25 76	929 714 176	31,2410	9,9194	6,88346	1,02459	3066,2	74 81 51	976
977	95 45 29	932 574 833	31,2570	9,9227	6,88449	1,02354	3069,3	74 96 85	977
978	95 64 84	935 441 352	31,2730	9,9261	6,88551	1,02249	3072,5	75 12 21	978
979	95 84 41	938 313 739	31,2890	9,9295	6,88653	1,02145	3075,6	75 27 58	979
980	96 04 00	941 192 000	31,3050	9,9329	6,88755	1,02041	3078,8	75 42 96	980
981	96 23 61	944 076 141	31,3209	9,9363	6,88857	1,01937	3081,9	75 58 37	981
982	96 43 24	946 966 168	31,3369	9,9396	6,88959	1,01833	3085,0	75 73 78	982
983	96 62 89	949 862 087	31,3528	9,9430	6,89061	1,01729	3088,2	75 89 22	983
984	96 82 56	952 763 904	31,3688	9,9464	6,89163	1,01626	3091,3	76 04 66	984
985	97 02 25	955 671 625	31,3847	9,9497	6,89266	1,01523	3094,5	76 20 13	985
986	97 21 96	958 585 256	31,4006	9,9531	6,89366	1,01420	3097,6	76 35 61	986
987	97 41 69	961 504 803	31,4166	9,9565	6,89467	1,01317	3100,8	76 51 11	987
988	97 61 44	964 436 272	31,4325	9,9598	6,89568	1,01215	3103,9	76 66 62	988
989	97 81 21	967 361 669	31,4484	9,9632	6,89669	1,01112	3107,0	76 82 14	989
990	98 01 00	970 299 000	31,4643	9,9666	6,89770	1,01010	3110,2	76 97 69	990
991	98 20 81	973 242 271	31,4802	9,9699	6,89871	1,00908	3113,3	77 13 25	991
992	98 40 64	976 191 488	31,4960	9,9733	6,89972	1,00806	3116,5	77 28 82	992
993	98 60 49	979 146 657	31,5119	9,9766	6,90073	1,00705	3119,6	77 44 41	993
994	98 80 36	982 107 784	31,5278	9,9800	6,90174	1,00604	3122,7	77 60 02	994
995	99 00 25	985 074 875	31,5436	9,9833	6,90274	1,00503	3125,9	77 75 64	995
996	99 20 16	988 047 936	31,5595	9,9866	6,90375	1,00402	3129,0	77 91 28	996
997	99 40 09	991 026 973	31,5753	9,9900	6,90475	1,00301	3132,2	78 06 93	997
998	99 60 04	994 011 992	31,5911	9,9933	6,90575	1,00200	3135,3	78 22 60	998
999	99 80 01	997 002 999	31,6070	9,9967	6,90675	1,00100	3138,5	78 38 28	999
1000	100 00 00	1000 000 000	31,6228	10,0000	6,90776	1,00000	3141,6	78 53 98	1000

1 000—1 050

Tabela 1.9 (continuare)

n	n^2	n^3	\sqrt{n}	$\sqrt[3]{n}$	$\ln n$	$\frac{1}{n-103}$	πn	$\frac{\pi n^2}{4}$	n
1000	1 000 000	1 000 000 000	31,6228	10,0000	6,90778	1,00000	3141,6	78 53 98	1000
1001	1 002 001	1 003 003 001	31,6386	10,0033	6,90875	0,99900	3144,7	78 69 70	1001
1002	1 004 004	1 006 012 008	31,6544	10,0067	6,90975	0,99800	3147,9	78 85 43	1002
1003	1 006 009	1 009 027 027	31,6702	10,0100	6,91075	0,99701	3151,0	79 01 18	1003
1004	1 008 016	1 012 048 064	31,6860	10,0133	6,91175	0,99602	3154,2	79 16 94	1004
1005	1 010 025	1 015 675 125	31,7017	10,0166	6,91274	0,99502	3157,3	79 32 72	1005
1006	1 012 036	1 018 108 216	31,7175	10,0200	6,91374	0,99404	3160,4	79 48 51	1006
1007	1 014 049	1 021 147 343	31,7333	10,0233	6,91473	0,99305	3163,6	79 64 32	1007
1008	1 016 064	1 024 192 512	31,7490	10,0266	6,91572	0,99206	3166,7	79 80 15	1008
1009	1 018 081	1 027 243 729	31,7648	10,0299	6,91672	0,99108	3169,9	79 95 99	1009
1010	1 020 100	1 030 301 000	31,7805	10,0332	6,91771	0,99010	3173,0	80 11 85	1010
1011	1 022 121	1 033 364 331	31,7962	10,0365	6,91870	0,98912	3176,2	80 27 72	1011
1012	1 024 144	1 036 433 728	31,8119	10,0398	6,91968	0,98814	3179,3	80 43 61	1012
1013	1 026 169	1 039 509 197	31,8277	10,0431	6,92067	0,98717	3182,4	80 59 51	1013
1014	1 028 196	1 042 590 744	31,8434	10,0465	6,92166	0,98619	3185,6	80 75 43	1014
1015	1 030 225	1 045 678 375	31,8591	10,0498	6,92264	0,98522	3188,7	80 91 37	1015
1016	1 032 256	1 048 772 096	31,8748	10,0531	6,92363	0,98425	3191,9	81 07 32	1016
1017	1 034 289	1 051 871 913	31,8904	10,0563	6,92461	0,98328	3195,0	81 23 29	1017
1018	1 036 324	1 054 977 832	31,9061	10,0596	6,92560	0,98232	3198,1	81 39 27	1018
1019	1 038 361	1 058 089 859	31,9218	10,0629	6,92658	0,98135	3201,3	81 55 27	1019
1020	1 040 400	1 061 208 000	31,9374	10,0662	6,92756	0,98039	3204,4	81 71 28	1020
1021	1 042 441	1 064 332 261	31,9531	10,0695	6,92854	0,97943	3207,6	81 87 31	1021
1022	1 044 484	1 067 462 648	31,9687	10,0728	6,92952	0,97847	3210,7	82 03 36	1022
1023	1 046 529	1 070 599 167	31,9844	10,0761	6,93049	0,97752	3213,8	82 19 42	1023
1024	1 048 576	1 073 741 824	32,0000	10,0794	6,93147	0,97656	3217,0	82 35 50	1024
1025	1 050 625	1 076 890 625	32,0156	10,0826	6,93245	0,97561	3220,1	82 51 59	1025
1026	1 052 676	1 080 045 576	32,0312	10,0859	6,93342	0,97466	3223,3	82 67 70	1026
1027	1 054 729	1 083 206 683	32,0468	10,0892	6,93440	0,97371	3226,4	82 83 82	1027
1028	1 056 784	1 086 373 952	32,0624	10,0925	6,93537	0,97276	3229,6	82 99 96	1028
1029	1 058 841	1 089 547 389	32,0780	10,0957	6,93634	0,97182	3232,7	83 16 12	1029
1030	1 060 900	1 092 727 000	32,0936	10,0990	6,93731	0,97087	3235,8	83 32 29	1030
1031	1 062 961	1 095 912 791	32,1092	10,1023	6,93828	0,96993	3239,0	83 48 48	1031
1032	1 065 024	1 099 104 768	32,1248	10,1055	6,93925	0,96899	3242,1	83 64 68	1032
1033	1 067 089	1 102 302 937	32,1403	10,1088	6,94022	0,96805	3245,3	83 80 90	1033
1034	1 069 156	1 105 507 364	32,1559	10,1121	6,94119	0,96712	3248,4	83 97 13	1034
1035	1 071 225	1 108 717 875	32,1714	10,1153	6,94216	0,96618	3251,5	84 13 38	1035
1036	1 073 296	1 111 934 656	32,1870	10,1186	6,94312	0,96525	3254,7	84 29 65	1036
1037	1 075 369	1 115 157 653	32,2025	10,1218	6,94409	0,96432	3257,8	84 45 93	1037
1038	1 077 444	1 118 386 872	32,2180	10,1251	6,94505	0,96339	3261,0	84 62 23	1038
1039	1 079 521	1 121 622 319	32,2335	10,1283	6,94601	0,96246	3264,1	84 78 54	1039
1040	1 081 600	1 124 864 000	32,2490	10,1316	6,94698	0,96154	3267,3	84 94 87	1040
1041	1 083 681	1 128 111 921	32,2645	10,1348	6,94794	0,96061	3270,4	85 11 21	1041
1042	1 085 764	1 131 366 088	32,2800	10,1381	6,94890	0,95969	3273,5	85 27 57	1042
1043	1 087 849	1 134 626 507	32,2955	10,1413	6,94986	0,95877	3276,7	85 43 95	1043
1044	1 089 936	1 137 893 184	32,3110	10,1446	6,95081	0,95785	3279,8	85 60 34	1044
1045	1 092 025	1 141 166 125	32,3265	10,1478	6,95177	0,95694	3283,0	85 76 74	1045
1046	1 094 116	1 144 445 336	32,3419	10,1510	6,95273	0,95602	3286,1	85 93 17	1046
1047	1 096 209	1 147 730 823	32,3574	10,1543	6,95368	0,95511	3289,2	86 09 61	1047
1048	1 098 304	1 151 022 592	32,3728	10,1575	6,95464	0,95420	3292,4	86 26 06	1048
1049	1 100 401	1 154 320 649	32,3883	10,1607	6,95559	0,95329	3295,5	86 42 53	1049
1050	1 102 500	1 157 625 000	32,4037	10,1640	6,95655	0,95238	3298,7	86 59 01	1050

1 050—1 100

Tabela 1.9 (continuare)

n	n^2	n^3	\sqrt{n}	$\sqrt[3]{n}$	$\ln n$	$\frac{1}{n} \cdot 10^3$	πn	$\frac{\pi n^2}{4}$	n
1050	1 102 500	1 157 625 000	32,4037	10,1640	6,95655	0,95238	3298,7	86 59 01	1050
1051	1 104 601	1 160 935 651	32,4191	10,1672	6,95750	0,95147	3301,8	86 75 52	1051
1052	1 106 704	1 164 252 608	32,4345	10,1704	6,95845	0,95057	3305,0	86 92 03	1052
1053	1 108 809	1 167 575 877	32,4500	10,1736	6,95940	0,94967	3308,1	87 08 57	1053
1054	1 110 916	1 170 905 464	32,4654	10,1769	6,96035	0,94877	3311,2	87 25 11	1054
1055	1 113 025	1 174 241 375	32,4808	10,1801	6,96130	0,94787	3314,4	87 41 68	1055
1056	1 115 136	1 177 583 616	32,4962	10,1833	6,96224	0,94697	3317,5	87 58 26	1056
1057	1 117 249	1 180 932 193	32,5115	10,1865	6,96319	0,94607	3320,7	87 74 85	1057
1058	1 119 364	1 184 287 112	32,5269	10,1897	6,96414	0,94518	3323,8	87 91 46	1058
1059	1 121 481	1 187 648 379	32,5423	10,1929	6,96508	0,94429	3326,9	88 08 09	1059
1060	1 123 600	1 191 016 000	32,5576	10,1961	6,96602	0,94340	3330,1	88 24 73	1060
1061	1 125 721	1 194 389 981	32,5730	10,1993	6,96697	0,94251	3333,2	88 41 39	1061
1062	1 127 844	1 197 770 328	32,5883	10,2025	6,96791	0,94162	3336,4	88 58 07	1062
1063	1 129 969	1 201 157 047	32,6037	10,2057	6,96885	0,94073	3339,5	88 74 76	1063
1064	1 132 096	1 204 550 144	32,6190	10,2089	6,96979	0,93985	3342,7	88 91 46	1064
1065	1 134 225	1 207 949 625	32,6343	10,2121	6,97073	0,93897	3345,8	89 08 18	1065
1066	1 136 356	1 211 355 496	32,6497	10,2153	6,97167	0,93809	3348,9	89 24 92	1066
1067	1 138 489	1 214 767 763	32,6650	10,2185	6,97261	0,93721	3352,1	89 41 67	1067
1068	1 140 624	1 218 186 432	32,6803	10,2217	6,97354	0,93633	3355,2	89 58 44	1068
1069	1 142 761	1 221 611 509	32,6956	10,2249	6,97448	0,93545	3358,4	89 75 22	1069
1070	1 144 900	1 225 043 000	32,7109	10,2281	6,97541	0,93458	3361,5	89 92 02	1070
1071	1 147 041	1 228 480 911	32,7261	10,2313	6,97635	0,93371	3364,6	90 08 84	1071
1072	1 149 184	1 231 925 248	32,7414	10,2345	6,97728	0,93284	3367,8	90 25 67	1072
1073	1 151 329	1 235 376 017	32,7567	10,2376	6,97821	0,93197	3370,9	90 42 52	1073
1074	1 153 476	1 238 833 224	32,7719	10,2408	6,97915	0,93110	3374,1	90 59 38	1074
1075	1 155 625	1 242 296 875	32,7872	10,2440	6,98008	0,93023	3377,2	90 76 26	1075
1076	1 157 776	1 245 766 976	32,8024	10,2472	6,98101	0,92937	3380,4	90 93 15	1076
1077	1 159 929	1 249 243 533	32,8177	10,2503	6,98193	0,92851	3383,5	91 10 06	1077
1078	1 162 084	1 252 726 552	32,8329	10,2535	6,98286	0,92764	3386,6	91 26 99	1078
1079	1 164 241	1 256 216 039	32,8481	10,2567	6,98379	0,92678	3389,8	91 43 93	1079
1080	1 166 400	1 259 712 000	32,8634	10,2599	6,98472	0,92593	3392,9	91 60 88	1080
1081	1 168 561	1 263 214 441	32,8786	10,2630	6,98564	0,92507	3396,1	91 77 86	1081
1082	1 170 724	1 266 723 368	32,8938	10,2662	6,98657	0,92421	3399,2	91 94 84	1082
1083	1 172 889	1 270 238 787	32,9090	10,2693	6,98749	0,92336	3402,3	92 11 85	1083
1084	1 175 056	1 273 760 704	32,9242	10,2725	6,98841	0,92251	3405,5	92 28 87	1084
1085	1 177 225	1 277 289 125	32,9393	10,2757	6,98934	0,92166	3408,6	92 45 90	1085
1086	1 179 396	1 280 824 056	32,9545	10,2788	6,99026	0,92081	3411,8	92 62 95	1086
1087	1 181 569	1 284 365 503	32,9697	10,2820	6,99118	0,91996	3414,9	92 80 02	1087
1088	1 183 744	1 287 913 472	32,9848	10,2851	6,99210	0,91912	3418,1	92 97 10	1088
1089	1 185 921	1 291 467 969	33,0000	10,2883	6,99302	0,91827	3421,2	93 14 20	1089
1090	1 188 100	1 295 029 000	33,0151	10,2914	6,99393	0,91743	3424,3	93 31 32	1090
1091	1 190 281	1 298 596 571	33,0303	10,2946	6,99485	0,91659	3427,5	93 48 45	1091
1092	1 192 464	1 302 170 688	33,0454	10,2977	6,99577	0,91575	3430,6	93 65 59	1092
1093	1 194 649	1 305 751 357	33,0606	10,3009	6,99668	0,91491	3433,8	93 82 75	1093
1094	1 196 836	1 309 338 584	33,0757	10,3040	6,99760	0,91408	3436,9	93 99 93	1094
1095	1 199 025	1 312 932 375	33,0908	10,3071	6,99851	0,91324	3440,0	94 17 12	1095
1096	1 201 216	1 316 532 736	33,1059	10,3103	6,99942	0,91240	3443,2	94 34 33	1096
1097	1 203 409	1 320 139 673	33,1210	10,3134	7,00033	0,91158	3446,3	94 51 55	1097
1098	1 205 604	1 323 753 192	33,1361	10,3165	7,00125	0,91075	3449,5	94 68 79	1098
1099	1 207 801	1 327 373 299	33,1512	10,3197	7,00216	0,90992	3452,6	94 86 05	1099
1100	1 210 000	1 331 000 000	33,1662	10,3228	7,00307	0,90909	3455,8	95 03 32	1100

1 100—1 150

Tabela 1.9 (continua)

n	n^2	n^3	\sqrt{n}	$\sqrt[3]{n}$	$\ln n$	$\frac{1}{n}10^3$	πn	$\frac{\pi n^2}{4}$	n
1100	1 210 000	1 331 000 000	33,1662	10,3228	7,00307	0,90909	3455,8	95 03 32	1100
1101	1 212 201	1 334 633 301	33,1813	10,3259	7,00397	0,90827	3458,9	95 20 60	1101
1102	1 214 404	1 338 273 208	33,1964	10,3291	7,00488	0,90744	3462,0	95 37 91	1102
1103	1 216 609	1 341 919 727	33,2115	10,3322	7,00579	0,90662	3465,2	95 55 22	1103
1104	1 218 816	1 345 572 864	33,2265	10,3353	7,00670	0,90580	3468,3	95 72 56	1104
1105	1 221 025	1 349 232 625	33,2415	10,3384	7,00760	0,90498	3471,5	95 89 91	1105
1106	1 223 236	1 352 899 016	33,2566	10,3415	7,00851	0,90416	3474,6	96 07 27	1106
1107	1 225 449	1 356 572 043	33,2716	10,3447	7,00941	0,90334	3477,7	96 24 65	1107
1108	1 227 664	1 360 251 712	33,2866	10,3478	7,01031	0,90253	3480,9	96 42 05	1108
1109	1 229 881	1 363 938 029	33,3017	10,3509	7,01121	0,90171	3484,0	96 59 46	1109
1110	1 232 100	1 367 631 000	33,3167	10,3540	7,01212	0,90090	3487,2	96 76 89	1110
1111	1 234 321	1 371 330 631	33,3317	10,3571	7,01302	0,90009	3490,3	96 94 33	1111
1112	1 236 544	1 375 036 928	33,3467	10,3602	7,01392	0,89928	3493,5	97 11 79	1112
1113	1 238 769	1 378 749 897	33,3617	10,3633	7,01481	0,89847	3496,6	97 29 27	1113
1114	1 240 996	1 382 469 544	33,3767	10,3664	7,01571	0,89767	3499,7	97 46 76	1114
1115	1 243 225	1 386 195 875	33,3917	10,3695	7,01661	0,89686	3502,9	97 64 27	1115
1116	1 245 456	1 389 928 896	33,4066	10,3726	7,01751	0,89606	3506,0	97 81 79	1116
1117	1 247 689	1 393 668 613	33,4216	10,3757	7,01840	0,89526	3509,2	97 99 33	1117
1118	1 249 924	1 397 415 032	33,4365	10,3788	7,01930	0,89445	3512,3	98 16 88	1118
1119	1 252 161	1 401 168 159	33,4515	10,3819	7,02019	0,89366	3515,4	98 34 45	1119
1120	1 254 400	1 404 928 000	33,4664	10,3850	7,02108	0,89286	3518,6	98 52 03	1120
1121	1 256 641	1 408 694 561	33,4814	10,3881	7,02198	0,89206	3521,7	98 69 64	1121
1122	1 258 884	1 412 467 848	33,4963	10,3912	7,02287	0,89127	3524,9	98 87 25	1122
1123	1 261 129	1 416 247 867	33,5112	10,3942	7,02376	0,89047	3528,0	99 04 88	1123
1124	1 263 376	1 420 034 624	33,5261	10,3973	7,02465	0,88968	3531,2	99 22 53	1124
1125	1 265 625	1 423 828 125	33,5410	10,4004	7,02554	0,88889	3534,3	99 40 20	1125
1126	1 267 876	1 427 628 376	33,5559	10,4034	7,02643	0,88810	3537,4	99 57 87	1126
1127	1 270 129	1 431 435 383	33,5708	10,4066	7,02731	0,88731	3540,6	99 75 57	1127
1128	1 272 384	1 435 249 152	33,5857	10,4096	7,02820	0,88652	3543,7	99 93 28	1128
1129	1 274 641	1 439 069 689	33,6006	10,4127	7,02909	0,88574	3546,9	1 00 11 01	1129
1130	1 276 900	1 442 897 000	33,6155	10,4158	7,02997	0,88496	3550,0	1 00 28 75	1130
1131	1 279 161	1 446 731 091	33,6303	10,4189	7,03086	0,88417	3553,1	1 00 46 51	1131
1132	1 281 424	1 450 571 968	33,6452	10,4220	7,03174	0,88339	3556,3	1 00 64 28	1132
1133	1 283 689	1 454 419 637	33,6601	10,4250	7,03262	0,88261	3559,4	1 00 82 07	1133
1134	1 285 956	1 458 274 104	33,6749	10,4281	7,03351	0,88183	3562,6	1 00 99 87	1134
1135	1 288 225	1 462 135 375	33,6898	10,4311	7,03439	0,88106	3565,7	1 01 17 70	1135
1136	1 290 496	1 466 003 456	33,7046	10,4342	7,03527	0,88028	3568,8	1 01 35 53	1136
1137	1 292 769	1 469 878 353	33,7194	10,4373	7,03615	0,87951	3572,0	1 01 53 38	1137
1138	1 295 044	1 473 760 072	33,7342	10,4403	7,03703	0,87874	3575,1	1 01 71 25	1138
1139	1 297 321	1 477 648 619	33,7491	10,4434	7,03791	0,87796	3578,3	1 01 89 14	1139
1140	1 299 600	1 481 544 000	33,7639	10,4464	7,03878	0,87719	3581,4	1 02 07 03	1140
1141	1 301 881	1 485 446 221	33,7787	10,4495	7,03966	0,87642	3584,6	1 02 24 95	1141
1142	1 304 164	1 489 355 288	33,7935	10,4525	7,04054	0,87566	3587,7	1 02 42 88	1142
1143	1 306 449	1 493 271 207	33,8083	10,4556	7,04141	0,87489	3590,8	1 02 60 83	1143
1144	1 308 736	1 497 193 984	33,8231	10,4586	7,04229	0,87413	3594,0	1 02 78 79	1144
1145	1 311 025	1 501 123 625	33,8378	10,4617	7,04316	0,87336	3597,1	1 02 96 77	1145
1146	1 313 316	1 505 060 136	33,8527	10,4647	7,04403	0,87260	3600,3	1 03 14 76	1146
1147	1 315 609	1 509 003 523	33,8673	10,4678	7,04491	0,87184	3603,4	1 03 32 77	1147
1148	1 317 904	1 512 953 792	33,8822	10,4708	7,04578	0,87108	3606,5	1 03 50 79	1148
1149	1 320 201	1 516 910 949	33,8969	10,4739	7,04665	0,87032	3609,7	1 03 68 83	1149
1150	1 322 500	1 520 875 000	33,9117	10,4769	7,04752	0,86956	3612,8	1 03 86 89	1150

1 150—1 200

Tabela 1.9 (continuare)

n	n^2	n^3	\sqrt{n}	$\sqrt[3]{n}$	$\ln n$	$\frac{1}{n} \cdot 10^3$	πn	$\frac{\pi n^2}{4}$	n
1150	1 322 500	1 520 875 000	33,9117	10,4769	7,04752	0,86956	3612,8	1 03 86 89	1150
1151	1 324 801	1 524 845 951	33,9264	10,4799	7,04839	0,86881	3616,0	1 04 04 96	1151
1152	1 327 104	1 528 823 808	33,9411	10,4830	7,04925	0,86806	3619,1	1 04 23 05	1152
1153	1 329 409	1 532 808 677	33,9558	10,4860	7,05012	0,86730	3622,3	1 04 41 15	1153
1154	1 331 716	1 536 800 264	33,9706	10,4890	7,05099	0,86655	3625,4	1 04 59 27	1154
1155	1 334 025	1 540 798 875	33,9853	10,4921	7,05186	0,86580	3628,5	1 04 77 41	1155
1156	1 336 336	1 544 804 416	34,0000	10,4951	7,05272	0,86505	3631,7	1 04 95 56	1156
1157	1 338 649	1 548 816 893	34,0146	10,4981	7,05359	0,86430	3634,8	1 05 13 72	1157
1158	1 340 964	1 552 836 312	34,0294	10,5011	7,05445	0,86356	3638,0	1 05 31 91	1158
1159	1 343 281	1 556 862 679	34,0440	10,5041	7,05531	0,86281	3641,1	1 05 50 10	1159
1160	1 345 600	1 560 896 000	34,0588	10,5072	7,05618	0,86207	3644,2	1 05 68 32	1160
1161	1 347 921	1 564 936 281	34,0735	10,5102	7,05704	0,86133	3647,4	1 05 86 55	1161
1162	1 350 244	1 568 983 528	34,0881	10,5132	7,05790	0,86059	3650,5	1 06 04 79	1162
1163	1 352 569	1 573 037 747	34,1028	10,5162	7,05876	0,85984	3653,7	1 06 23 05	1163
1164	1 354 896	1 577 098 944	34,1174	10,5192	7,05962	0,85911	3656,8	1 06 41 33	1164
1165	1 357 225	1 581 167 125	34,1321	10,5223	7,06048	0,85837	3660,0	1 06 59 62	1165
1166	1 359 556	1 585 242 296	34,1467	10,5253	7,06133	0,85763	3663,1	1 06 77 93	1166
1167	1 361 889	1 589 324 463	34,1614	10,5283	7,06219	0,85690	3666,2	1 06 96 25	1167
1168	1 364 224	1 593 413 632	34,1760	10,5313	7,06305	0,85616	3669,4	1 07 14 59	1168
1169	1 366 561	1 597 509 809	34,1907	10,5343	7,06390	0,85543	3672,5	1 07 32 94	1169
1170	1 368 900	1 601 613 000	34,2052	10,5373	7,06476	0,85470	3675,7	1 07 51 32	1170
1171	1 371 241	1 605 723 211	34,2199	10,5403	7,06561	0,85397	3678,8	1 07 69 70	1171
1172	1 373 584	1 609 840 448	34,2345	10,5433	7,06647	0,85324	3681,9	1 07 88 10	1172
1173	1 375 929	1 613 964 717	34,2491	10,5463	7,06732	0,85252	3685,1	1 08 06 52	1173
1174	1 378 276	1 618 096 024	34,2637	10,5493	7,06817	0,85179	3688,2	1 08 24 95	1174
1175	1 380 625	1 622 234 375	34,2783	10,5523	7,06902	0,85106	3691,4	1 08 43 40	1175
1176	1 382 976	1 626 379 776	34,2929	10,5553	7,06987	0,85034	3694,5	1 08 61 87	1176
1177	1 385 329	1 630 532 233	34,3074	10,5582	7,07072	0,84962	3697,7	1 08 80 35	1177
1178	1 387 684	1 634 691 752	34,3220	10,5612	7,07157	0,84890	3700,8	1 08 98 84	1178
1179	1 390 041	1 638 858 339	34,3366	10,5642	7,07242	0,84818	3703,9	1 09 17 36	1179
1180	1 392 400	1 643 032 000	34,3512	10,5672	7,07327	0,84746	3707,1	1 09 35 88	1180
1181	1 394 761	1 647 212 741	34,3657	10,5702	7,07412	0,84674	3710,2	1 09 54 43	1181
1182	1 397 124	1 651 400 568	34,3802	10,5732	7,07496	0,84602	3713,4	1 09 72 99	1182
1183	1 399 489	1 655 595 487	34,3948	10,5762	7,07581	0,84531	3716,5	1 09 91 56	1183
1184	1 401 856	1 659 797 504	34,4093	10,5791	7,07665	0,84459	3719,6	1 10 10 15	1184
1185	1 404 225	1 664 006 625	34,4238	10,5821	7,07750	0,84388	3722,8	1 10 28 76	1185
1186	1 406 596	1 668 222 856	34,4383	10,5851	7,07834	0,84317	3725,9	1 10 47 38	1186
1187	1 408 969	1 672 446 203	34,4529	10,5881	7,07918	0,84246	3729,1	1 10 66 02	1187
1188	1 411 344	1 676 676 672	34,4674	10,5910	7,08003	0,84175	3732,2	1 10 84 67	1188
1189	1 413 721	1 680 914 269	34,4819	10,5940	7,08087	0,84104	3735,4	1 11 03 34	1189
1190	1 416 100	1 685 159 000	34,4964	10,5970	7,08171	0,84034	3738,5	1 11 22 02	1190
1191	1 418 481	1 689 410 871	34,5108	10,6000	7,08255	0,83963	3741,6	1 11 40 72	1191
1192	1 420 864	1 693 669 888	34,5253	10,6029	7,08339	0,83893	3744,8	1 11 59 44	1192
1193	1 423 249	1 697 936 057	34,5398	10,6059	7,08423	0,83822	3747,9	1 11 78 17	1193
1194	1 425 636	1 702 209 384	34,5543	10,6089	7,08506	0,83752	3751,1	1 11 96 92	1194
1195	1 428 025	1 706 489 875	34,5688	10,6118	7,08590	0,83682	3754,2	1 12 15 68	1195
1196	1 430 416	1 710 777 536	34,5832	10,6148	7,08674	0,83612	3757,3	1 12 34 46	1196
1197	1 432 809	1 715 072 373	34,5977	10,6177	7,08757	0,83542	3760,5	1 12 53 26	1197
1198	1 435 204	1 719 374 932	34,6121	10,6207	7,08841	0,83472	3763,6	1 12 72 07	1198
1199	1 437 601	1 723 683 599	34,6266	10,6236	7,08924	0,83403	3766,8	1 12 90 89	1199
1200	1 440 000	1 728 000 000	34,6410	10,6266	7,09008	0,83333	3769,9	1 13 09 73	1200

1 200—1 250

Tabela 1.9 (continuaré)

n	n^2	n^3	\sqrt{n}	$\sqrt[3]{n}$	$\ln n$	$\frac{1}{n} \cdot 10^3$	πn	$\frac{\pi n^2}{4}$	n
1200	1 440 000	1 728 000 000	34,6410	10,6266	7,09008	0,83333	3769,9	1 13 09 73	1200
1201	1 442 401	1 732 323 601	34,6555	10,6295	7,09091	0,83264	3773,1	1 13 28 59	1201
1202	1 444 804	1 736 654 408	34,6698	10,6325	7,09174	0,83195	3776,2	1 13 47 46	1202
1203	1 447 209	1 740 992 427	34,6843	10,6354	7,09257	0,83125	3779,3	1 13 66 35	1203
1204	1 449 616	1 745 337 664	34,6987	10,6384	7,09340	0,83056	3782,5	1 13 85 26	1204
1205	1 452 025	1 749 690 125	34,7131	10,6413	7,09423	0,82988	3785,6	1 14 04 18	1205
1206	1 454 436	1 754 049 816	34,7275	10,6443	7,09506	0,82919	3788,8	1 14 23 11	1206
1207	1 456 849	1 758 416 743	34,7419	10,6472	7,09589	0,82850	3791,9	1 14 42 07	1207
1208	1 459 264	1 762 790 912	34,7563	10,6501	7,09672	0,82781	3795,0	1 14 61 03	1208
1209	1 461 681	1 767 172 329	34,7707	10,6531	7,09755	0,82713	3798,2	1 14 80 02	1209
1210	1 464 100	1 771 561 000	34,7850	10,6560	7,09838	0,82645	3801,3	1 14 99 01	1210
1211	1 466 521	1 775 956 931	34,7994	10,6590	7,09920	0,82576	3804,5	1 15 18 03	1211
1212	1 468 944	1 780 360 128	34,8138	10,6619	7,10003	0,82508	3807,6	1 15 37 06	1212
1213	1 471 369	1 784 770 597	34,8281	10,6648	7,10085	0,82440	3810,8	1 15 56 11	1213
1214	1 473 796	1 789 188 344	34,8425	10,6678	7,10168	0,82372	3813,9	1 15 75 17	1214
1215	1 476 225	1 793 613 375	34,8568	10,6707	7,10250	0,82305	3817,0	1 15 94 24	1215
1216	1 478 656	1 798 045 696	34,8712	10,6736	7,10332	0,82237	3820,2	1 16 13 34	1216
1217	1 481 089	1 802 485 313	34,8855	10,6765	7,10414	0,82169	3823,3	1 16 32 45	1217
1218	1 483 524	1 806 932 232	34,8999	10,6795	7,10497	0,82102	3826,5	1 16 51 57	1218
1219	1 485 961	1 811 386 459	34,9142	10,6824	7,10579	0,82034	3829,6	1 16 70 71	1219
1220	1 488 400	1 815 848 000	34,9285	10,6853	7,10661	0,81967	3832,7	1 16 89 87	1220
1221	1 490 841	1 820 316 861	34,9428	10,6882	7,10743	0,81900	3835,9	1 17 09 04	1221
1222	1 493 284	1 824 793 048	34,9571	10,6911	7,10824	0,81833	3839,0	1 17 28 23	1222
1223	1 495 729	1 829 276 567	34,9714	10,6940	7,10906	0,81766	3842,2	1 17 47 43	1223
1224	1 498 176	1 833 767 424	34,9857	10,6970	7,10988	0,81699	3845,3	1 17 66 65	1224
1225	1 500 625	1 838 265 625	35,0000	10,6999	7,11070	0,81633	3848,5	1 17 85 88	1225
1226	1 503 076	1 842 771 176	35,0142	10,7028	7,11151	0,81566	3851,6	1 18 05 13	1226
1227	1 505 529	1 847 284 083	35,0286	10,7057	7,11233	0,81500	3854,7	1 18 24 46	1227
1228	1 507 984	1 851 804 352	35,0428	10,7086	7,11314	0,81433	3857,9	1 18 43 68	1228
1229	1 510 441	1 856 331 989	35,0571	10,7115	7,11396	0,81367	3861,0	1 18 62 98	1229
1230	1 512 900	1 860 867 000	35,0713	10,7144	7,11477	0,81301	3864,2	1 18 82 29	1230
1231	1 515 361	1 865 409 391	35,0856	10,7173	7,11558	0,81235	3867,3	1 19 01 62	1231
1232	1 517 824	1 869 959 168	35,0999	10,7202	7,11639	0,81169	3870,4	1 19 20 96	1232
1233	1 520 289	1 874 516 337	35,1141	10,7231	7,11721	0,81103	3873,6	1 19 40 32	1233
1234	1 522 756	1 879 080 904	35,1283	10,7260	7,11802	0,81037	3876,7	1 19 59 70	1234
1235	1 525 225	1 883 652 875	35,1426	10,7289	7,11883	0,80972	3879,9	1 19 79 09	1235
1236	1 527 696	1 888 232 256	35,1568	10,7318	7,11964	0,80906	3883,0	1 19 98 50	1236
1237	1 530 169	1 892 819 053	35,1710	10,7347	7,12044	0,80841	3886,2	1 20 17 92	1237
1238	1 532 644	1 897 413 272	35,1852	10,7376	7,12125	0,80775	3889,3	1 20 37 36	1238
1239	1 535 121	1 902 014 919	35,1994	10,7405	7,12206	0,80710	3892,4	1 20 56 81	1239
1240	1 537 600	1 906 624 000	35,2137	10,7434	7,12287	0,80645	3895,6	1 20 76 28	1240
1241	1 540 081	1 911 240 521	35,2278	10,7463	7,12367	0,80580	3898,7	1 20 95 77	1241
1242	1 542 564	1 915 864 488	35,2420	10,7491	7,12448	0,80515	3901,9	1 21 15 27	1242
1243	1 545 049	1 920 495 907	35,2562	10,7520	7,12528	0,80451	3905,0	1 21 34 79	1243
1244	1 547 536	1 925 134 784	35,2704	10,7549	7,12609	0,80386	3908,1	1 21 54 32	1244
1245	1 550 025	1 929 781 125	35,2845	10,7578	7,12689	0,80321	3911,3	1 21 73 87	1245
1246	1 552 516	1 934 434 936	35,2987	10,7607	7,12769	0,80257	3914,4	1 21 93 43	1246
1247	1 555 009	1 939 096 223	35,3128	10,7635	7,12850	0,80192	3917,6	1 22 13 01	1247
1248	1 557 504	1 943 764 992	35,3270	10,7664	7,12930	0,80128	3920,7	1 22 32 61	1248
1249	1 560 001	1 948 441 249	35,3412	10,7693	7,13010	0,80064	3923,8	1 22 52 22	1249
1250	1 562 500	1 953 125 000	35,3553	10,7722	7,13090	0,80000	3927,0	1 22 71 85	1250

1 250—1 300

Tabela 1.9 (continuare)

n	n^2	n^3	\sqrt{n}	$\sqrt[3]{n}$	$\ln n$	$\frac{1}{n} \cdot 10^3$	πn	$\frac{\pi n^2}{4}$	n
1250	1 562 500	1 953 125 000	35,3553	10,7722	7,13090	0,80000	3927,0	1 22 71 85	1250
1251	1 565 001	1 957 616 251	35,3695	10,7750	7,13170	0,79936	3930,1	1 22 91 49	1251
1252	1 567 504	1 962 515 008	35,3836	10,7779	7,13250	0,79872	3933,3	1 23 11 15	1252
1253	1 570 009	1 967 221 277	35,3977	10,7808	7,13330	0,79808	3936,4	1 23 30 82	1253
1254	1 572 516	1 971 935 064	35,4119	10,7836	7,13409	0,79745	3939,6	1 23 50 51	1254
1255	1 575 025	1 976 656 375	35,4260	10,7865	7,13489	0,79681	3942,7	1 23 70 22	1255
1256	1 577 536	1 981 385 216	35,4401	10,7894	7,13569	0,79618	3945,8	1 23 89 94	1256
1257	1 580 049	1 986 121 593	35,4542	10,7922	7,13648	0,79555	3949,0	1 24 09 68	1257
1258	1 582 564	1 990 865 512	35,4683	10,7951	7,13728	0,79491	3952,1	1 24 29 43	1258
1259	1 585 081	1 995 616 979	35,4824	10,7980	7,13807	0,79428	3955,3	1 24 49 20	1259
1260	1 587 600	2 000 376 000	35,4965	10,8008	7,13887	0,79365	3958,4	1 24 68 98	1260
1261	1 590 121	2 005 142 581	35,5105	10,8037	7,13966	0,79302	3961,5	1 24 88 78	1261
1262	1 592 644	2 009 916 728	35,5246	10,8065	7,14045	0,79239	3964,7	1 25 08 60	1262
1263	1 595 169	2 014 698 447	35,5387	10,8094	7,14125	0,79177	3967,8	1 25 28 43	1263
1264	1 597 696	2 019 487 744	35,5528	10,8122	7,14204	0,79114	3971,0	1 25 48 28	1264
1265	1 600 225	2 024 284 625	35,5669	10,8151	7,14283	0,79051	3974,1	1 25 68 14	1265
1266	1 602 756	2 029 089 096	35,5809	10,8179	7,14362	0,78989	3977,3	1 25 88 02	1266
1267	1 605 289	2 033 901 163	35,5950	10,8208	7,14441	0,78927	3980,4	1 26 07 91	1267
1268	1 607 824	2 038 720 832	35,6090	10,8236	7,14520	0,78864	3983,5	1 26 27 82	1268
1269	1 610 361	2 043 548 109	35,6231	10,8265	7,14598	0,78802	3986,7	1 26 47 75	1269
1270	1 612 900	2 048 383 000	35,6371	10,8293	7,14677	0,78740	3989,8	1 26 67 69	1270
1271	1 615 441	2 053 225 511	35,6511	10,8322	7,14756	0,78678	3993,0	1 26 87 64	1271
1272	1 617 984	2 058 075 648	35,6651	10,8350	7,14835	0,78616	3996,1	1 27 07 62	1272
1273	1 620 529	2 062 933 417	35,6791	10,8378	7,14913	0,78555	3999,2	1 27 27 61	1273
1274	1 623 076	2 067 798 824	35,6931	10,8407	7,14992	0,78493	4002,4	1 27 47 61	1274
1275	1 625 625	2 072 671 875	35,7072	10,8435	7,15070	0,78431	4005,5	1 27 67 63	1275
1276	1 628 176	2 077 552 576	35,7211	10,8463	7,15149	0,78370	4008,7	1 27 87 66	1276
1277	1 630 729	2 082 440 933	35,7351	10,8491	7,15227	0,78309	4011,8	1 28 07 72	1277
1278	1 633 284	2 087 336 952	35,7491	10,8520	7,15305	0,78247	4015,0	1 28 27 78	1278
1279	1 635 841	2 092 240 639	35,7631	10,8548	7,15383	0,78186	4018,1	1 28 47 87	1279
1280	1 638 400	2 097 152 000	35,7771	10,8577	7,15462	0,78125	4021,2	1 28 67 96	1280
1281	1 640 961	2 102 071 041	35,7910	10,8605	7,15540	0,78064	4024,4	1 28 88 08	1281
1282	1 643 524	2 106 997 768	35,8050	10,8633	7,15618	0,78003	4027,5	1 29 08 21	1282
1283	1 646 089	2 111 932 187	35,8190	10,8661	7,15696	0,77942	4030,7	1 29 28 35	1283
1284	1 648 656	2 116 874 304	35,8330	10,8690	7,15774	0,77882	4033,8	1 29 48 51	1284
1285	1 651 225	2 121 824 125	35,8469	10,8718	7,15851	0,77821	4036,9	1 29 68 69	1285
1286	1 653 796	2 126 781 656	35,8609	10,8746	7,15929	0,77760	4040,1	1 29 88 88	1286
1287	1 656 369	2 131 746 903	35,8748	10,8774	7,16007	0,77700	4043,2	1 30 09 09	1287
1288	1 658 944	2 136 719 872	35,8888	10,8802	7,16085	0,77640	4046,4	1 30 29 32	1288
1289	1 661 521	2 141 700 569	35,9026	10,8830	7,16162	0,77580	4049,5	1 30 49 56	1289
1290	1 664 100	2 146 689 000	35,9166	10,8859	7,16240	0,77519	4052,7	1 30 69 81	1290
1291	1 666 681	2 151 685 171	35,9305	10,8887	7,16317	0,77459	4055,8	1 30 90 08	1291
1292	1 669 264	2 156 689 088	35,9445	10,8915	7,16395	0,77399	4058,9	1 31 10 37	1292
1293	1 671 849	2 161 700 757	35,9583	10,8943	7,16472	0,77340	4062,1	1 31 30 67	1293
1294	1 674 436	2 166 720 184	35,9722	10,8971	7,16549	0,77280	4065,2	1 31 50 99	1294
1295	1 677 025	2 171 747 375	35,9861	10,8999	7,16627	0,77220	4068,4	1 31 71 32	1295
1296	1 679 616	2 176 782 336	36,0000	10,9027	7,16704	0,77160	4071,5	1 31 91 67	1296
1297	1 682 209	2 181 825 073	36,0139	10,9055	7,16781	0,77101	4074,6	1 32 12 04	1297
1298	1 684 804	2 186 875 592	36,0278	10,9083	7,16858	0,77042	4077,8	1 32 32 42	1298
1299	1 687 401	2 191 933 899	36,0416	10,9111	7,16935	0,76982	4080,9	1 32 52 82	1299
1300	1 690 000	2 197 000 000	36,0555	10,9139	7,17012	0,76923	4084,1	1 32 73 23	1300

1 300—1 350

Tabela 1.9 (continuare)

n	n^2	n^3	\sqrt{n}	$\sqrt[3]{n}$	$\lg n$	$\frac{1}{n} \cdot 10^3$	πn	$\frac{\pi n^2}{4}$	n
1300	1 690 000	2 197 000 000	36,0555	10,9139	7,17012	0,76923	4084,1	1 32 73 23	1300
1301	1 692 601	2 202 073 901	36,0693	10,9167	7,17089	0,76864	4087,2	1 32 93 66	1301
1302	1 695 204	2 207 155 608	36,0832	10,9195	7,17166	0,76805	4090,4	1 33 14 10	1302
1303	1 697 809	2 212 245 127	36,0971	10,9223	7,17242	0,76746	4093,5	1 33 34 56	1303
1304	1 700 416	2 217 342 464	36,1109	10,9252	7,17319	0,76687	4096,6	1 33 55 04	1304
1305	1 703 025	2 222 447 625	36,1248	10,9279	7,17396	0,76628	4099,8	1 33 75 53	1305
1306	1 705 636	2 227 560 616	36,1386	10,9307	7,17472	0,76570	4102,9	1 33 96 03	1306
1307	1 708 249	2 232 681 443	36,1525	10,9335	7,17549	0,76511	4105,1	1 34 16 56	1307
1308	1 710 864	2 237 810 112	36,1663	10,9363	7,17625	0,76453	4109,2	1 34 37 09	1308
1309	1 713 481	2 242 946 629	36,1801	10,9390	7,17702	0,76394	4112,3	1 34 57 65	1309
1310	1 716 100	2 248 091 000	36,1939	10,9418	7,17778	0,76336	4115,5	1 34 78 22	1310
1311	1 718 721	2 253 243 231	36,2077	10,9446	7,17855	0,76278	4118,6	1 34 98 80	1311
1312	1 721 344	2 258 403 328	36,2216	10,9474	7,17931	0,76220	4121,8	1 35 19 40	1312
1313	1 723 969	2 263 571 297	36,2354	10,9502	7,18007	0,76161	4124,9	1 35 40 02	1313
1314	1 726 596	2 268 747 144	36,2491	10,9530	7,18083	0,76104	4128,1	1 35 60 65	1314
1315	1 729 225	2 273 930 875	36,2629	10,9557	7,18159	0,76046	4131,2	1 35 81 30	1315
1316	1 731 856	2 279 122 496	36,2767	10,9585	7,18235	0,75988	4134,3	1 36 01 97	1316
1317	1 734 489	2 284 322 013	36,2905	10,9613	7,18311	0,75930	4137,5	1 36 22 64	1317
1318	1 737 124	2 289 529 432	36,3043	10,9641	7,18387	0,75873	4140,6	1 36 43 34	1318
1319	1 739 761	2 294 744 759	36,3180	10,9668	7,18463	0,75815	4143,8	1 36 64 05	1319
1320	1 742 400	2 299 968 000	36,3318	10,9696	7,18539	0,75758	4146,9	1 36 84 78	1320
1321	1 745 041	2 305 199 161	36,3455	10,9724	7,18614	0,75700	4150,0	1 37 05 52	1321
1322	1 747 684	2 310 438 248	36,3593	10,9751	7,18690	0,75643	4153,2	1 37 26 28	1322
1323	1 750 329	2 315 685 267	36,3731	10,9779	7,18766	0,75586	4156,3	1 37 47 05	1323
1324	1 752 976	2 320 940 224	36,3868	10,9807	7,18841	0,75529	4159,5	1 37 67 84	1324
1325	1 755 625	2 326 203 125	36,4006	10,9834	7,18917	0,75472	4162,6	1 37 88 65	1325
1326	1 758 276	2 331 473 976	36,4143	10,9862	7,18992	0,75415	4165,8	1 38 09 47	1326
1327	1 760 929	2 336 752 783	36,4280	10,9890	7,19068	0,75358	4168,9	1 38 30 30	1327
1328	1 763 584	2 342 039 552	36,4417	10,9917	7,19143	0,75301	4172,0	1 38 51 16	1328
1329	1 766 241	2 347 334 289	36,4555	10,9945	7,19218	0,75245	4175,2	1 38 72 02	1329
1330	1 768 900	2 352 637 000	36,4692	10,9972	7,19293	0,75188	4178,3	1 38 92 91	1330
1331	1 771 561	2 357 947 691	36,4828	11,0000	7,19369	0,75131	4181,5	1 39 13 81	1331
1332	1 774 224	2 363 266 368	36,4966	11,0027	7,19444	0,75075	4184,6	1 39 34 72	1332
1333	1 776 889	2 368 593 037	36,5103	11,0055	7,19519	0,75019	4187,7	1 39 55 65	1333
1334	1 779 556	2 373 927 704	36,5240	11,0083	7,19594	0,74963	4190,9	1 39 76 60	1334
1335	1 782 225	2 379 270 375	36,5376	11,0110	7,19669	0,74906	4194,0	1 39 97 56	1335
1336	1 784 896	2 384 621 056	36,5513	11,0138	7,19744	0,74850	4197,2	1 40 18 54	1336
1337	1 787 569	2 389 979 753	36,5650	11,0165	7,19818	0,74794	4200,3	1 40 39 53	1337
1338	1 790 244	2 395 346 472	36,5787	11,0193	7,19893	0,74738	4203,5	1 40 60 54	1338
1339	1 792 921	2 400 721 219	36,5924	11,0220	7,19968	0,74683	4206,6	1 40 81 57	1339
1340	1 795 600	2 406 104 000	36,6060	11,0247	7,20042	0,74627	4209,7	1 41 02 61	1340
1341	1 798 281	2 411 494 821	36,6197	11,0275	7,20117	0,74571	4212,9	1 41 23 67	1341
1342	1 800 964	2 416 893 688	36,6334	11,0302	7,20192	0,74516	4216,0	1 41 44 74	1342
1343	1 803 649	2 422 300 607	36,6470	11,0330	7,20266	0,74460	4219,2	1 41 65 83	1343
1344	1 806 336	2 427 715 584	36,6606	11,0357	7,20341	0,74405	4222,3	1 41 86 93	1344
1345	1 809 025	2 433 138 625	36,6742	11,0384	7,20415	0,74349	4225,4	1 42 08 05	1345
1346	1 811 716	2 438 569 736	36,6879	11,0412	7,20489	0,74294	4228,6	1 42 29 18	1346
1347	1 814 409	2 444 008 923	36,7015	11,0439	7,20564	0,74239	4231,7	1 42 50 33	1347
1348	1 817 104	2 449 456 193	36,7151	11,0466	7,20638	0,74184	4234,9	1 42 71 50	1348
1349	1 819 801	2 454 911 549	36,7287	11,0494	7,20712	0,74129	4238,0	1 42 92 68	1349
1350	1 822 500	2 460 375 000	36,7423	11,0521	7,20786	0,74074	4241,2	1 43 13 88	1350

1 350—1 400

Tabela 1.9 (continuare)

n	n^2	n^3	\sqrt{n}	$\sqrt[3]{n}$	$\ln n$	$\frac{1}{n}10^3$	πn	$\frac{\pi n^2}{4}$	n
1350	1 822 500	2 460 375 000	36,7423	11,0521	7,20786	0,74074	4241,2	1 43 13 88	1350
1351	1 825 201	2 465 846 551	36,7560	11,0548	7,20860	0,74019	4244,3	1 43 35 10	1351
1352	1 827 904	2 471 326 208	36,7695	11,0575	7,20934	0,73965	4247,4	1 43 56 32	1352
1353	1 830 609	2 476 813 977	36,7832	11,0603	7,21008	0,73910	4250,6	1 43 77 57	1353
1354	1 833 316	2 482 309 864	36,7968	11,0630	7,21082	0,73855	4253,7	1 43 98 83	1354
1355	1 836 025	2 487 813 875	36,8103	11,0657	7,21156	0,73801	4256,9	1 44 20 11	1355
1356	1 838 736	2 493 326 016	36,8239	11,0684	7,21229	0,73747	4260,0	1 44 41 40	1356
1357	1 841 449	2 498 846 293	36,8375	11,0712	7,21303	0,73692	4263,1	1 44 62 71	1357
1358	1 844 164	2 504 374 712	36,8511	11,0739	7,21377	0,73638	4266,3	1 44 84 03	1358
1359	1 846 881	2 509 911 279	36,8646	11,0766	7,21450	0,73584	4269,4	1 45 05 37	1359
1360	1 849 600	2 515 456 000	36,8782	11,0793	7,21524	0,73529	4272,6	1 45 26 72	1360
1361	1 852 321	2 521 008 881	36,8917	11,0820	7,21598	0,73475	4275,7	1 45 48 10	1361
1362	1 855 044	2 526 569 928	36,9053	11,0847	7,21671	0,73421	4278,8	1 45 69 48	1362
1363	1 857 769	2 532 139 147	36,9188	11,0875	7,21744	0,73368	4282,0	1 45 90 88	1363
1364	1 860 496	2 537 716 544	36,9323	11,0902	7,21818	0,73314	4285,1	1 46 12 30	1364
1365	1 863 225	2 543 302 125	36,9460	11,0929	7,21891	0,73260	4288,3	1 46 33 73	1365
1366	1 865 956	2 548 895 896	36,9595	11,0956	7,21964	0,73206	4291,4	1 46 55 18	1366
1367	1 868 689	2 554 497 863	36,9730	11,0983	7,22037	0,73153	4294,6	1 46 76 65	1367
1368	1 871 424	2 560 108 032	36,9865	11,1010	7,22111	0,73099	4297,7	1 46 98 13	1368
1369	1 874 161	2 565 726 469	37,0000	11,1037	7,22184	0,73046	4300,8	1 47 19 63	1369
1370	1 876 900	2 571 353 000	37,0135	11,1064	7,22257	0,72993	4304,0	1 47 41 14	1370
1371	1 879 641	2 576 987 811	37,0270	11,1091	7,22330	0,72939	4307,1	1 47 62 67	1371
1372	1 882 384	2 582 630 848	37,0405	11,1118	7,22402	0,72886	4310,3	1 47 84 21	1372
1373	1 885 129	2 588 282 117	37,0540	11,1145	7,22475	0,72833	4313,4	1 48 05 77	1373
1374	1 887 876	2 593 941 624	37,0675	11,1172	7,22548	0,72780	4316,5	1 48 27 34	1374
1375	1 890 625	2 599 609 375	37,0810	11,1199	7,22621	0,72727	4319,7	1 48 48 93	1375
1376	1 893 376	2 605 285 376	37,0945	11,1226	7,22694	0,72674	4322,8	1 48 70 54	1376
1377	1 896 129	2 610 969 633	37,1079	11,1253	7,22766	0,72622	4326,0	1 48 92 16	1377
1378	1 898 884	2 616 662 152	37,1214	11,1280	7,22839	0,72569	4329,1	1 49 13 80	1378
1379	1 901 641	2 622 362 939	37,1349	11,1307	7,22911	0,72516	4332,3	1 49 35 45	1379
1380	1 904 400	2 628 072 000	37,1484	11,1334	7,22984	0,72464	4335,4	1 49 57 12	1380
1381	1 907 161	2 633 789 341	37,1618	11,1361	7,23056	0,72411	4338,5	1 49 78 81	1381
1382	1 909 924	2 639 514 968	37,1753	11,1387	7,23129	0,72359	4341,7	1 50 00 51	1382
1383	1 912 689	2 645 248 857	37,1887	11,1414	7,23201	0,72307	4344,8	1 50 22 22	1383
1384	1 915 456	2 650 991 104	37,2022	11,1441	7,23273	0,72254	4348,0	1 50 43 96	1384
1385	1 918 225	2 656 741 625	37,2156	11,1468	7,23346	0,72202	4351,1	1 50 65 70	1385
1386	1 920 996	2 662 500 456	37,2290	11,1495	7,23418	0,72150	4354,2	1 50 87 47	1386
1387	1 923 769	2 668 267 603	37,2424	11,1522	7,23490	0,72098	4357,4	1 51 09 25	1387
1388	1 926 544	2 674 043 072	37,2559	11,1548	7,23562	0,72046	4360,5	1 51 31 04	1388
1389	1 929 321	2 679 826 869	37,2693	11,1575	7,23634	0,71994	4363,7	1 51 52 85	1389
1390	1 932 100	2 685 619 000	37,2827	11,1602	7,23706	0,71942	4366,8	1 51 74 68	1390
1391	1 934 881	2 691 419 471	37,2961	11,1629	7,23778	0,71891	4370,0	1 51 96 52	1391
1392	1 937 664	2 697 228 288	37,3095	11,1655	7,23850	0,71839	4373,1	1 52 18 38	1392
1393	1 940 449	2 703 045 457	37,3229	11,1682	7,23921	0,71787	4376,2	1 52 40 25	1393
1394	1 943 236	2 708 870 984	37,3363	11,1709	7,23993	0,71736	4379,4	1 52 62 14	1394
1395	1 946 025	2 714 704 875	37,3497	11,1735	7,24065	0,71685	4382,5	1 52 84 04	1395
1396	1 948 816	2 720 547 136	37,3630	11,1762	7,24137	0,71633	4385,7	1 53 05 97	1396
1397	1 951 609	2 726 397 773	37,3765	11,1789	7,24208	0,71582	4388,8	1 53 27 90	1397
1398	1 954 404	2 732 256 792	37,3899	11,1816	7,24280	0,71531	4391,9	1 53 49 85	1398
1399	1 957 201	2 738 124 199	37,4032	11,1842	7,24351	0,71480	4395,1	1 53 71 82	1399
1400	1 960 000	2 744 000 000	37,4166	11,1869	7,24423	0,71429	4398,2	1 53 93 80	1400

1 400—1 450

Tabela 1.9 (continuare)

n	n^2	n^3	\sqrt{n}	$\sqrt[3]{n}$	$\ln n$	$\frac{1}{n} \cdot 10^3$	πn	$\frac{\pi n^2}{4}$	n
1400	1 960 000	2 744 000 000	37,4166	11,1860	7,24423	0,71429	4398,2	1 53 83 80	1400
1401	1 962 801	2 749 884 201	37,4299	11,1896	7,24494	0,71378	4401,4	1 54 15 80	1401
1402	1 965 604	2 755 776 808	37,4433	11,1922	7,24566	0,71327	4404,5	1 54 37 82	1402
1403	1 968 409	2 761 677 827	37,4567	11,1949	7,24637	0,71276	4407,7	1 54 59 85	1403
1404	1 971 216	2 767 587 264	37,4700	11,1975	7,24708	0,71225	4410,8	1 54 81 89	1404
1405	1 974 025	2 773 505 125	37,4833	11,2002	7,24779	0,71174	4413,9	1 55 03 96	1405
1406	1 976 836	2 779 431 416	37,4966	11,2028	7,24850	0,71124	4417,1	1 55 26 03	1406
1407	1 979 649	2 785 366 143	37,5100	11,2055	7,24922	0,71073	4420,2	1 55 48 13	1407
1408	1 982 464	2 791 309 312	37,5233	11,2082	7,24993	0,71023	4423,4	1 55 70 24	1408
1409	1 985 281	2 797 260 929	37,5366	11,2108	7,25064	0,70972	4426,5	1 55 92 36	1409
1410	1 988 100	2 803 221 000	37,5500	11,2135	7,25134	0,70922	4429,6	1 56 14 50	1410
1411	1 990 921	2 809 189 531	37,5633	11,2161	7,25205	0,70872	4432,8	1 56 36 66	1411
1412	1 993 744	2 815 166 528	37,5766	11,2188	7,25276	0,70822	4435,9	1 56 58 83	1412
1413	1 996 569	2 821 151 997	37,5899	11,2214	7,25347	0,70771	4439,1	1 56 81 02	1413
1414	1 999 396	2 827 145 944	37,6032	11,2240	7,25418	0,70721	4442,2	1 57 03 22	1414
1415	2 002 225	2 833 148 375	37,6165	11,2267	7,25488	0,70671	4445,4	1 57 25 44	1415
1416	2 005 056	2 839 159 296	37,6298	11,2293	7,25559	0,70621	4448,5	1 57 47 67	1416
1417	2 007 889	2 845 178 713	37,6431	11,2320	7,25630	0,70572	4451,6	1 57 69 92	1417
1418	2 010 724	2 851 206 632	37,6563	11,2346	7,25700	0,70522	4454,8	1 57 92 19	1418
1419	2 013 561	2 857 243 059	37,6696	11,2373	7,25771	0,70472	4457,9	1 58 14 47	1419
1420	2 016 400	2 863 288 000	37,6829	11,2399	7,25841	0,70423	4461,1	1 58 36 77	1420
1421	2 019 241	2 869 341 461	37,6962	11,2425	7,25912	0,70373	4464,2	1 58 59 08	1421
1422	2 022 084	2 875 403 448	37,7094	11,2452	7,25982	0,70323	4467,3	1 58 81 41	1422
1423	2 024 929	2 881 473 967	37,7227	11,2478	7,26052	0,70274	4470,5	1 59 03 76	1423
1424	2 027 776	2 887 553 024	37,7359	11,2504	7,26123	0,70225	4473,6	1 59 26 12	1424
1425	2 030 625	2 893 640 625	37,7492	11,2531	7,26193	0,70175	4476,8	1 59 48 49	1425
1426	2 033 476	2 899 736 776	37,7625	11,2557	7,26263	0,70126	4479,9	1 59 70 88	1426
1427	2 036 329	2 905 841 483	37,7757	11,2584	7,26333	0,70077	4483,1	1 59 93 29	1427
1428	2 039 184	2 911 954 752	37,7889	11,2610	7,26403	0,70028	4486,2	1 60 15 71	1428
1429	2 042 041	2 918 076 589	37,8021	11,2636	7,26473	0,69979	4489,3	1 60 38 15	1429
1430	2 044 900	2 924 207 000	37,8153	11,2662	7,26543	0,69930	4492,5	1 60 60 61	1430
1431	2 047 761	2 930 345 991	37,8286	11,2689	7,26613	0,69881	4495,6	1 60 83 08	1431
1432	2 050 624	2 936 493 568	37,8418	11,2715	7,26683	0,69832	4498,8	1 61 05 56	1432
1433	2 053 489	2 942 649 737	37,8550	11,2741	7,26753	0,69784	4501,9	1 61 28 06	1433
1434	2 056 356	2 948 814 504	37,8682	11,2767	7,26822	0,69735	4505,0	1 61 50 58	1434
1435	2 059 225	2 954 987 875	37,8814	11,2793	7,26892	0,69686	4508,2	1 61 73 12	1435
1436	2 062 096	2 961 169 856	37,8946	11,2820	7,26962	0,69638	4511,3	1 61 95 66	1436
1437	2 064 969	2 967 360 453	37,9078	11,2846	7,27031	0,69589	4514,5	1 62 18 23	1437
1438	2 067 844	2 973 559 672	37,9210	11,2872	7,27101	0,69541	4517,6	1 62 40 81	1438
1439	2 070 721	2 979 767 519	37,9341	11,2898	7,27170	0,69493	4520,8	1 62 63 40	1439
1440	2 073 600	2 985 984 000	37,9473	11,2924	7,27240	0,69444	4523,9	1 62 86 02	1440
1441	2 076 481	2 992 209 121	37,9605	11,2951	7,27309	0,69396	4527,0	1 63 08 64	1441
1442	2 079 364	2 998 442 888	37,9737	11,2976	7,27379	0,69348	4530,2	1 63 31 29	1442
1443	2 082 249	3 004 685 307	37,9868	11,3002	7,27448	0,69300	4533,3	1 63 53 95	1443
1444	2 085 136	3 010 936 384	38,0000	11,3029	7,27517	0,69252	4536,5	1 63 76 62	1444
1445	2 088 025	3 017 196 125	38,0132	11,3055	7,27586	0,69204	4539,6	1 63 99 31	1445
1446	2 090 916	3 023 464 536	38,0263	11,3081	7,27656	0,69156	4542,7	1 64 22 02	1446
1447	2 093 809	3 029 741 623	38,0395	11,3107	7,27725	0,69109	4545,9	1 64 44 74	1447
1448	2 096 704	3 036 027 392	38,0526	11,3133	7,27794	0,69061	4549,0	1 64 67 47	1448
1449	2 099 601	3 042 321 849	38,0657	11,3159	7,27863	0,69013	4552,2	1 64 90 23	1449
1450	2 102 500	3 048 625 000	38,0788	11,3185	7,27932	0,68966	4555,3	1 65 13 00	1450

1 450—1 500

Tabela 1.9 (continuare)

n	n^2	n^3	$\sqrt[n]{n}$	$\sqrt[3]{n}$	$\ln n$	$\frac{1}{n}10^3$	πn	$\frac{\pi n^2}{4}$	n
1450	2 102 500	3 048 625 000	38,0788	11,3185	7,27932	0,68966	4555,3	1 65 13 00	1450
1451	2 105 401	3 054 936 851	38,0920	11,3211	7,28001	0,68918	4558,5	1 65 35 78	1451
1452	2 108 304	3 061 257 408	38,1051	11,3237	7,28070	0,68871	4561,6	1 65 58 58	1452
1453	2 111 209	3 067 586 677	38,1183	11,3263	7,28139	0,68823	4564,7	1 65 81 40	1453
1454	2 114 116	3 073 924 664	38,1313	11,3289	7,28207	0,68776	4567,9	1 66 04 23	1454
1455	2 117 025	3 080 271 375	38,1445	11,3315	7,28276	0,68729	4571,0	1 66 27 08	1455
1456	2 119 936	3 086 626 816	38,1575	11,3341	7,28345	0,68681	4574,2	1 66 49 94	1456
1457	2 122 849	3 092 990 993	38,1707	11,3367	7,28413	0,68634	4577,3	1 66 72 82	1457
1458	2 125 764	3 099 363 912	38,1838	11,3393	7,28482	0,68587	4580,4	1 66 95 71	1458
1459	2 128 681	3 105 745 579	38,1969	11,3419	7,28551	0,68540	4583,6	1 67 18 62	1459
1460	2 131 600	3 112 136 000	38,2100	11,3445	7,28619	0,68493	4586,7	1 67 41 55	1460
1461	2 134 521	3 118 535 181	38,2230	11,3471	7,28688	0,68446	4589,9	1 67 64 49	1461
1462	2 137 444	3 124 943 128	38,2361	11,3496	7,28756	0,68399	4593,0	1 67 87 45	1462
1463	2 140 369	3 131 359 847	38,2492	11,3522	7,28824	0,68353	4596,2	1 68 10 42	1463
1464	2 143 296	3 137 785 344	38,2622	11,3548	7,28893	0,68306	4599,3	1 68 33 41	1464
1465	2 146 225	3 144 219 625	38,2753	11,3574	7,28961	0,68259	4602,4	1 68 56 41	1465
1466	2 149 156	3 150 662 696	38,2884	11,3600	7,29029	0,68213	4605,6	1 68 79 43	1466
1467	2 152 089	3 157 114 563	38,3015	11,3626	7,29097	0,68166	4608,7	1 69 02 47	1467
1468	2 155 024	3 163 575 232	38,3145	11,3652	7,29165	0,68120	4611,9	1 69 25 52	1468
1469	2 157 961	3 170 044 709	38,3275	11,3677	7,29234	0,68074	4615,0	1 69 48 59	1469
1470	2 160 900	3 176 523 000	38,3406	11,3703	7,29302	0,68027	4618,1	1 69 71 67	1470
1471	2 163 841	3 183 010 111	38,3536	11,3729	7,29370	0,67981	4621,3	1 69 94 77	1471
1472	2 166 784	3 189 506 048	38,3666	11,3755	7,29438	0,67935	4624,4	1 70 17 88	1472
1473	2 169 729	3 196 010 817	38,3797	11,3780	7,29506	0,67889	4627,6	1 70 41 01	1473
1474	2 172 676	3 202 524 424	38,3927	11,3806	7,29574	0,67843	4630,7	1 70 64 16	1474
1475	2 175 625	3 209 046 875	38,4057	11,3832	7,29641	0,67797	4633,8	1 70 87 32	1475
1476	2 178 576	3 215 578 176	38,4187	11,3858	7,29709	0,67751	4637,0	1 71 10 50	1476
1477	2 181 529	3 222 118 333	38,4317	11,3883	7,29777	0,67705	4640,1	1 71 33 69	1477
1478	2 184 484	3 228 667 352	38,4447	11,3909	7,29845	0,67659	4643,3	1 71 56 90	1478
1479	2 187 441	3 235 225 239	38,4578	11,3935	7,29912	0,67613	4646,4	1 71 80 12	1479
1480	2 190 400	3 241 792 000	38,4708	11,3960	7,29980	0,67568	4649,6	1 72 03 36	1480
1481	2 193 361	3 248 367 641	38,4838	11,3986	7,30047	0,67522	4652,7	1 72 26 62	1481
1482	2 196 324	3 254 952 168	38,4967	11,4012	7,30115	0,67476	4655,8	1 72 49 89	1482
1483	2 199 289	3 261 545 587	38,5097	11,4037	7,30182	0,67431	4659,0	1 72 73 18	1483
1484	2 202 256	3 268 147 904	38,5227	11,4063	7,30250	0,67385	4662,1	1 72 96 48	1484
1485	2 205 225	3 274 759 125	38,5357	11,4088	7,30317	0,67340	4665,3	1 73 19 80	1485
1486	2 208 196	3 281 379 256	38,5487	11,4114	7,30384	0,67295	4668,4	1 73 43 13	1486
1487	2 211 169	3 288 008 303	38,5616	11,4140	7,30452	0,67250	4671,5	1 73 66 48	1487
1488	2 214 144	3 294 646 272	38,5746	11,4165	7,30519	0,67204	4674,7	1 73 89 85	1488
1489	2 217 121	3 301 293 169	38,5876	11,4191	7,30586	0,67159	4677,8	1 74 13 23	1489
1490	2 220 100	3 307 949 000	38,6005	11,4217	7,30653	0,67114	4681,0	1 74 36 62	1490
1491	2 223 081	3 314 613 771	38,6135	11,4242	7,30720	0,67069	4684,1	1 74 60 04	1491
1492	2 226 064	3 321 287 488	38,6264	11,4268	7,30787	0,67024	4687,3	1 74 83 47	1492
1493	2 229 049	3 327 970 157	38,6394	11,4293	7,30854	0,66979	4690,4	1 75 06 91	1493
1494	2 232 036	3 334 661 784	38,6523	11,4319	7,30921	0,66934	4693,5	1 75 30 37	1494
1495	2 235 025	3 341 362 375	38,6652	11,4344	7,30988	0,66890	4696,7	1 75 53 85	1495
1496	2 238 016	3 348 071 936	38,6782	11,4370	7,31055	0,66845	4699,8	1 75 77 34	1496
1497	2 241 009	3 354 790 473	38,6911	11,4395	7,31122	0,66800	4703,0	1 76 00 84	1497
1498	2 244 004	3 361 517 992	38,7040	11,4421	7,31189	0,66756	4706,1	1 76 24 37	1498
1499	2 247 001	3 368 254 499	38,7169	11,4446	7,31255	0,66711	4709,2	1 76 47 90	1499
1500	2 250 000	3 375 000 000	38,7299	11,4471	7,31322	0,66667	4712,4	1 76 71 46	1500

Tabela 1.10. Puterea a 4-a și a 5-a

n	n^4	n^5	n	n^4	n^5
1	1	1	51	6 765 201	345 025 251
2	16	32	52	7 311 616	380 204 032
3	81	243	53	7 890 481	418 195 493
4	256	1 024	54	8 503 056	459 165 024
5	625	3 125	55	9 150 625	503 284 375
6	1 296	7 776	56	9 834 496	550 731 776
7	2 401	16 807	57	10 556 001	601 692 057
8	4 096	32 768	58	11 316 496	656 356 868
9	6 561	59 049	59	12 117 361	714 924 299
10	10 000	100 000	60	1 960 000	777 600 000
11	14 641	161 051	61	13 845 841	844 596 301
12	20 736	248 832	62	14 776 336	916 132 832
13	58 561	371 293	63	15 752 961	992 436 543
14	38 416	537 824	64	16 777 216	1 073 741 824
15	50 625	759 375	65	17 850 625	1 160 290 625
16	65 536	1 048 576	66	18 974 736	1 252 332 576
17	83 521	1 419 857	67	20 151 121	1 350 125 107
18	104 976	1 889 568	68	21 381 376	1 453 933 568
19	130 321	2 476 099	69	22 667 121	1 564 031 349
20	160 000	3 200 000	70	24 010 000	1 680 700 000
21	194 481	4 084 101	71	25 411 681	1 804 229 351
22	234 256	5 153 632	72	26 873 856	1 934 917 632
23	279 841	6 436 343	73	28 398 241	2 073 071 593
24	331 776	7 962 624	74	29 986 576	2 219 006 624
25	390 625	9 765 625	75	31 640 625	2 373 046 875
26	456 976	11 881 376	76	33 362 176	2 535 525 376
27	531 441	14 348 907	77	35 153 041	2 706 784 157
28	614 656	17 210 368	78	37 015 056	2 887 174 368
29	707 281	20 511 149	79	38 950 081	3 077 056 399
30	810 000	24 300 000	80	40 960 000	3 276 800 000
31	923 521	28 629 151	81	43 046 721	3 486 784 401
32	1 048 576	33 554 432	82	45 212 176	3 707 398 432
33	1 185 921	39 135 393	83	77 458 321	3 939 040 643
34	1 336 336	45 435 424	84	49 787 136	4 182 119 424
35	1 500 625	52 521 875	85	52 200 625	4 437 053 125
36	1 679 616	60 466 176	86	54 700 816	4 704 270 176
37	1 874 161	69 343 957	87	57 289 761	4 984 209 207
38	2 085 136	79 235 168	88	59 969 536	5 277 319 168
39	2 313 441	90 224 199	89	62 742 241	5 584 059 449
40	2 560 000	102 400 000	90	65 610 000	5 904 900 000
41	2 825 761	115 856 201	91	68 574 961	6 240 321 451
42	3 111 696	130 691 232	92	71 639 296	6 590 815 232
43	3 418 801	147 008 443	93	74 805 201	6 956 883 693
44	3 748 096	164 916 224	94	78 074 896	7 339 040 224
45	4 100 625	184 528 125	95	81 450 625	7 737 809 375
46	4 477 456	205 962 976	96	84 934 656	8 153 726 976
47	4 879 681	229 345 007	97	88 529 281	8 587 340 257
48	5 308 416	254 803 968	98	92 236 816	9 039 207 968
49	5 764 801	282 475 249	99	96 059 601	9 509 900 499
50	6 250 000	312 500 000	100	100 000 000	10 000 000 000

Tabela 1.11 Lungimea arcului l , săgeata h , raportul l/h coarda c aria sectorului s și a segmentului d corespunzătoare unghiului la centru α în cercul cu raza unitatea

α	l	h	l/h	c	s	d
0	0,0000	0,0000	∞	0,0000	0,000000	0,00000
1	0,0175	0,0000	458,36	0,0175	0,008726	0,00000
2	0,0349	0,0002	229,19	0,0349	0,017453	0,00000
3	0,0524	0,0003	152,79	0,0524	0,026180	0,00001
4	0,0698	0,0006	114,60	0,0698	0,034907	0,00003
5	0,0873	0,0010	91,69	0,0872	0,043633	0,00006
6	0,1047	0,0014	76,41	0,1047	0,052360	0,00010
7	0,1222	0,0019	64,01	0,1221	0,061087	0,00015
8	0,1396	0,0024	56,01	0,1395	0,069813	0,00023
9	0,1571	0,0031	50,96	0,1569	0,078540	0,00032
10	0,1745	0,0038	45,87	0,1743	0,087267	0,00044
11	0,1920	0,0046	41,70	0,1917	0,095993	0,00059
12	0,2094	0,0055	38,23	0,2091	0,104720	0,00076
13	0,2269	0,0064	35,28	0,2264	0,113446	0,00097
14	0,2443	0,0075	32,78	0,2437	0,122173	0,00121
15	0,2618	0,0086	30,60	0,2611	0,130900	0,00149
16	0,2793	0,0097	28,04	0,2783	0,139626	0,00181
17	0,2967	0,0110	27,01	0,2956	0,148353	0,00217
18	0,3142	0,0123	25,35	0,3129	0,157080	0,00257
19	0,3316	0,0137	24,17	0,3301	0,165806	0,00302
20	0,3491	0,0152	22,98	0,3473	0,174533	0,00352
21	0,3665	0,0167	21,95	0,3645	0,183260	0,00408
22	0,3840	0,0184	20,90	0,3816	0,191986	0,00468
23	0,4014	0,0201	20,00	0,3987	0,200713	0,00535
24	0,4189	0,0219	19,17	0,4158	0,209440	0,00607
25	0,4363	0,0237	18,47	0,4329	0,218166	0,00686
26	0,4538	0,0256	17,71	0,4499	0,226893	0,00771
27	0,4712	0,0276	17,06	0,4669	0,235620	0,00862
28	0,4887	0,0297	16,45	0,4838	0,244346	0,00961
29	0,5061	0,0319	15,89	0,5008	0,253073	0,01067
30	0,5236	0,0341	15,37	0,5176	0,261800	0,01180
31	0,5411	0,0364	14,88	0,5345	0,270526	0,01301
32	0,5585	0,0387	14,42	0,5513	0,279253	0,01429
33	0,5760	0,0412	13,99	0,5680	0,287979	0,01566
34	0,5934	0,0437	13,58	0,5847	0,296706	0,01711

35—69

Tabela 1.11 (*continua*)

α	l	h	l/h	c	s	d
35	0,6109	0,0463	13,20	0,6014	0,305433	0,01864
36	0,6283	0,0489	12,84	0,6180	0,314159	0,02027
37	0,6458	0,0517	12,50	0,6346	0,322886	0,02198
38	0,6632	0,0545	12,17	0,6511	0,331613	0,02378
39	0,6807	0,0574	11,87	0,6676	0,340339	0,02568
40	0,6981	0,0603	11,58	0,6840	0,349066	0,02767
41	0,7156	0,0633	11,30	0,7004	0,357793	0,02976
42	0,7330	0,0664	11,04	0,7167	0,366519	0,03195
43	0,7505	0,0696	10,78	0,7330	0,375246	0,03425
44	0,7679	0,0728	10,55	0,7492	0,383973	0,03664
45	0,7854	0,0761	10,32	0,7654	0,392699	0,03915
46	0,8029	0,0795	10,10	0,7815	0,401426	0,04176
47	0,8203	0,0829	9,89	0,7975	0,410153	0,04448
48	0,8378	0,0865	9,69	0,8135	0,418879	0,04731
49	0,8552	0,0900	9,50	0,8294	0,427606	0,05025
50	0,8727	0,0937	9,31	0,8452	0,436333	0,05331
51	0,8901	0,0974	9,14	0,8610	0,445059	0,05649
52	0,9076	0,1012	8,97	0,8767	0,453786	0,05978
53	0,9250	0,1051	8,80	0,8924	0,462512	0,06319
54	0,9425	0,1090	8,65	0,9080	0,471239	0,06673
55	0,9599	0,1130	8,49	0,9235	0,479966	0,07039
56	0,9774	0,1171	8,35	0,9389	0,488692	0,07417
57	0,9948	0,1212	8,21	0,9543	0,497419	0,07808
58	1,0123	0,1254	8,07	0,9696	0,506146	0,08212
59	1,0297	0,1296	7,94	0,9848	0,514872	0,08629
60	1,0472	0,1340	7,81	1,0000	0,523599	0,09059
61	1,0647	0,1384	7,69	1,0151	0,532326	0,09502
62	1,0821	0,1428	7,56	1,0301	0,541052	0,09958
63	1,0996	0,1474	7,46	1,0450	0,549779	0,10428
64	1,1170	0,1520	7,35	1,0598	0,558506	0,10911
65	1,1345	0,1566	7,24	1,0746	0,567232	0,11408
66	1,1519	0,1613	7,14	1,0893	0,575959	0,11919
67	1,1694	0,1661	7,04	1,1039	0,584686	0,12443
68	1,1868	0,1710	6,94	1,1184	0,593412	0,12982
69	1,2043	0,1759	6,85	1,1328	0,602139	0,13535

70—104

Tabela 1.11 (*continuare*)

α	t	h	$1/h$	c	s	d
70	1,2217	0,1808	6,76	1,1472	0,610866	0,14102
71	1,2392	0,1859	6,67	1,1614	0,619592	0,14683
72	1,2566	0,1910	6,58	1,1756	0,628319	0,15279
73	1,2741	0,1961	6,50	1,1896	0,637045	0,15889
74	1,2915	0,2014	6,41	1,2036	0,645772	0,16514
75	1,3090	0,2066	6,34	1,2175	0,654499	0,17154
76	1,3265	0,2120	6,26	1,2313	0,663225	0,17808
77	1,3439	0,2174	6,18	1,2450	0,671952	0,18477
78	1,3614	0,2229	6,11	1,2586	0,680679	0,19160
79	1,3788	0,2284	6,04	1,2722	0,689405	0,19859
80	1,3963	0,2340	5,97	1,2856	0,698132	0,20553
81	1,4137	0,2396	5,90	1,2989	0,706859	0,21301
82	1,4312	0,2453	5,83	1,3121	0,715585	0,22045
83	1,4486	0,2510	5,77	1,3252	0,724312	0,22804
84	1,4661	0,2569	5,71	1,3383	0,733039	0,23578
85	1,4835	0,2627	5,65	1,3512	0,741765	0,24367
86	1,5010	0,2686	5,59	1,3640	0,750492	0,25171
87	1,5184	0,2746	5,53	1,3767	0,759219	0,25990
88	1,5359	0,2807	5,47	1,3893	0,767945	0,26825
89	1,5533	0,2867	5,42	1,4018	0,776672	0,27675
90	1,5708	0,2929	5,36	1,4142	0,785399	0,28540
91	1,5882	0,2991	5,31	1,4265	0,794125	0,29420
92	1,6057	0,3053	5,26	1,4387	0,802852	0,30316
93	1,6232	0,3116	5,21	1,4507	0,811578	0,31226
94	1,6406	0,3180	5,16	1,4627	0,820305	0,32152
95	1,6581	0,3244	5,11	1,4746	0,829032	0,33093
96	1,6755	0,3309	5,06	1,4863	0,837758	0,34050
97	1,6930	0,3374	5,02	1,4979	0,846485	0,35021
98	1,7104	0,3439	4,97	1,5094	0,855212	0,36008
99	1,7279	0,3506	4,93	1,5208	0,863938	0,37009
100	1,7453	0,3572	4,89	1,5321	0,872665	0,38026
101	1,7628	0,3639	4,84	1,5432	0,881392	0,39058
102	1,7802	0,3707	4,80	1,5543	0,890118	0,40104
103	1,7977	0,3775	4,76	1,5652	0,898845	0,41166
104	1,8151	0,3843	4,72	1,5760	0,907572	0,42242

105—139

Tabela 1.11 (continuare)

α	t	h	l/h	c	s	d
105	1,8326	0,3912	4,68	1,5867	0,916298	0,43333
106	1,8500	0,3982	4,65	1,5973	0,925025	0,44439
107	1,8675	0,4052	4,61	1,6077	0,933752	0,45560
108	1,8850	0,4122	4,57	1,6180	0,942478	0,46695
109	1,9024	0,4193	4,54	1,6282	0,951205	0,47845
110	1,9199	0,4264	4,50	1,6383	0,959932	0,49008
111	1,9373	0,4336	4,47	1,6483	0,968658	0,50187
112	1,9548	0,4408	4,43	1,6581	0,977385	0,51379
113	1,9722	0,4481	4,40	1,6678	0,986111	0,52586
114	1,9897	0,4554	4,37	1,6773	0,994838	0,53806
115	2,0071	0,4627	4,34	1,6868	1,003565	0,55041
116	2,0246	0,4701	4,31	1,6961	1,012291	0,56289
117	2,0420	0,4775	4,28	1,7053	1,021018	0,57551
118	2,0595	0,4850	4,25	1,7143	1,029745	0,58827
119	2,0769	0,4925	4,22	1,7233	1,038471	0,60116
120	2,0944	0,5000	4,19	1,7321	1,047198	0,61418
121	2,1118	0,5076	4,16	1,7407	1,055925	0,62734
122	2,1293	0,5152	4,13	1,7492	1,064651	0,64063
123	2,1468	0,5228	4,11	1,7576	1,073378	0,65404
124	2,1642	0,5305	4,08	1,7659	1,082105	0,66759
125	2,1817	0,5383	4,05	1,7740	1,090831	0,68125
126	2,1991	0,5460	4,03	1,7820	1,099558	0,69505
127	2,2166	0,5538	4,00	1,7899	1,108285	0,70897
128	2,2340	0,5616	3,98	1,7976	1,117011	0,72301
129	2,2515	0,5695	3,95	1,8052	1,125739	0,73716
130	2,2689	0,5774	3,93	1,8126	1,134465	0,75144
131	2,2864	0,5853	3,91	1,8199	1,143191	0,76584
132	2,3038	0,5933	3,88	1,8271	1,151918	0,78034
133	2,3213	0,6013	3,86	1,8341	1,160644	0,79497
134	2,3387	0,6093	3,84	1,8410	1,169371	0,80970
135	2,3562	0,6173	3,82	1,8478	1,178098	0,82454
136	2,3736	0,6254	3,80	1,8544	1,186824	0,83949
137	2,3911	0,6335	3,77	1,8608	1,195551	0,85455
138	2,4086	0,6416	3,75	1,8672	1,204278	0,86971
139	2,4260	0,6498	3,73	1,8733	1,213004	0,88497

140-180

Tabela 1.11 (continuare)

α	l	h	l/h	c	s	d
140	2,4435	0,6580	3,71	1,8794	1,221731	0,90034
141	2,4609	0,6662	3,69	1,8853	1,230458	0,91580
142	2,4784	0,6744	3,67	1,8910	1,239184	0,93135
143	2,4958	0,6827	3,66	1,8966	1,247911	0,94700
144	2,5133	0,6910	3,64	1,9021	1,256638	0,96274
145	2,5307	0,6993	3,62	1,9074	1,265364	0,97858
146	2,5482	0,7076	3,60	1,9126	1,274091	0,99449
147	2,5656	0,7160	3,58	1,9176	1,282818	1,01050
148	2,5831	0,7244	3,57	1,9225	1,291544	1,02658
149	2,6005	0,7328	3,55	1,9273	1,300271	1,04275
150	2,6180	0,7412	3,53	1,9319	1,308998	1,05900
151	2,6354	0,7496	3,52	1,9363	1,317724	1,07532
152	2,6529	0,7581	3,50	1,9406	1,326451	1,09171
153	2,6704	0,7666	3,48	1,9447	1,335177	1,10818
154	2,6878	0,7750	3,47	1,9487	1,343904	1,12472
155	2,7053	0,7836	3,45	1,9526	1,352631	1,14132
156	2,7227	0,7921	3,44	1,9563	1,361357	1,15799
157	2,7402	0,8006	3,42	1,9598	1,370084	1,17472
158	2,7576	0,8092	3,41	1,9633	1,378811	1,19151
159	2,7751	0,8178	3,39	1,9665	1,387537	1,20835
160	2,7925	0,8264	3,38	1,9696	1,396265	1,22525
161	2,8100	0,8350	3,37	1,9726	1,404992	1,24221
162	2,8274	0,8436	3,35	1,9754	1,413718	1,25921
163	2,8449	0,8522	3,34	1,9780	1,422445	1,27626
164	2,8623	0,8608	3,33	1,9805	1,431172	1,29335
165	2,8798	0,8695	3,31	1,9829	1,439898	1,31049
166	2,8972	0,8781	3,30	1,9851	1,448625	1,32766
167	2,9147	0,8868	3,28	1,9871	1,457352	1,34487
168	2,9322	0,8955	3,27	1,9890	1,466078	1,36212
169	2,9496	0,9042	3,26	1,9908	1,474805	1,37940
170	2,9671	0,9128	3,25	1,9924	1,483532	1,39671
171	2,9845	0,9215	3,24	1,9938	1,492258	1,41404
172	3,0020	0,9302	3,23	1,9951	1,500985	1,43140
173	3,0194	0,9390	3,22	1,9933	1,509741	1,44878
174	3,0369	0,9477	3,20	1,9973	1,518438	1,46617
175	3,0543	0,9564	3,19	1,9981	1,527165	1,48359
176	3,0718	0,9651	3,18	1,9988	1,535891	1,50101
177	3,0892	0,9738	3,17	1,9993	1,544618	1,51845
178	3,1067	0,9825	3,16	1,9997	1,553345	1,53589
179	3,1241	0,9913	3,15	1,9999	1,562071	1,55334
180	3,1416	1,0000	3,14	2,0000	1,570798	1,57080

Tabela 1.12. Multiplii lui π , de la 1 pînă la 100 $\pi = 3.14159\ 26535\ 89793\ 23846\ 26434\dots$

	Multiplii		Multiplii		Multiplii
10	31,415 927	40	125,663 706	70	219,911 486
11	34,557 519	41	128,805 299	71	223,053 078
12	37,699 112	42	131,946 891	72	226,194 671
13	40,840 704	43	135,088 484	73	229,336 264
14	43,982 297	44	138,230 077	74	232,477 856
15	47,123 890	45	141,371 669	75	235,619 449
16	50,265 482	46	144,513 262	76	238,761 042
17	53,407 075	47	147,654 855	77	241,902 634
18	56,548 668	48	150,796 447	78	245,044 227
19	59,690 260	49	153,938 040	79	248,185 820
20	62,831 853	50	157,079 633	80	251,327 412
21	65,973 446	51	160,221 225	81	254,469 005
22	69,115 038	52	163,362 818	82	257,610 598
23	72,256 631	53	166,504 411	83	260,752 190
24	75,398 224	54	169,646 003	84	263,893 783
25	78,539 816	55	172,787 596	85	267,035 376
26	81,681 409	56	175,929 189	86	270,176 968
27	84,823 002	57	179,070 781	87	273,318 561
28	87,964 594	58	182,212 374	88	276,460 154
29	91,106 187	59	185,353 967	89	279,601 746
30	94,247 780	60	188,495 559	90	282,743 339
31	97,389 372	61	191,637 152	91	285,884 931
32	100,530 965	62	194,778 745	92	289,026 524
33	103,672 558	63	197,920 337	93	292,168 117
34	106,814 150	64	201,061 930	94	295,309 709
35	109,955 743	65	204,203 522	95	298,451 302
36	113,097 336	66	207,345 115	96	301,592 895
37	116,238 928	67	210,486 708	97	304,734 487
38	119,380 521	68	213,628 300	98	307,876 080
39	122,522 113	69	216,769 893	99	311,017 673

Tabela 1.13. Multiplii lui $1/\pi$ de la 1 pînă la 100

$$1/\pi = 0,31830\ 98861\ 83790\ 67153\ 77675$$

	Multiplii		Multiplii		Multiplii
10	3,183 099	40	12,732 395	70	22,281 692
11	3,501 409	41	13,050 705	71	22,600 002
12	3,819 719	42	13,369 015	72	22,918 312
13	4,138 029	43	13,687 325	73	23,236 622
14	4,456 338	44	14,005 635	74	23,554 932
15	4,774 648	45	14,323 945	75	23,873 241
16	5,092 958	46	14,642 255	76	24,191 541
17	5,411 268	47	14,960 565	77	24,509 861
18	5,729 578	48	15,278 875	78	24,828 171
19	6,047 888	49	15,597 184	79	25,146 481
20	6,366 198	50	15,915 494	80	25,464 791
21	6,684 508	51	16,233 804	81	25,783 101
22	7,002 817	52	16,552 114	82	26,101 411
23	7,321 127	53	16,870 424	83	26,419 721
24	7,639 437	54	17,188 734	84	26,738 030
25	7,957 747	55	17,507 044	85	27,056 340
26	8,276 057	56	17 825 354	86	27,374 650
27	8,594 367	57	18,143 664	87	27,692 960
28	8,912 677	58	18,461 973	88	28,011 270
29	9,230 987	59	18,780 283	89	28,329 580
30	9,549 297	60	19,098 593	90	28,647 890
31	9,867 606	61	19,416 903	91	28,966 200
32	10,185 916	62	19,735 213	92	29,284 510
33	10,504 226	63	20,053 523	93	29,602 819
34	10,822 536	64	20,371 833	94	29,921 129
35	11,140 846	65	20,690 143	95	30,239 439
36	11,459 156	66	21,008 422	96	30,557 749
37	11,777 466	67	21,326 762	97	30,876 059
38	12,095 776	68	21,645 072	98	31,194 369
39	12,414 086	69	21,963 382	99	31,512 679

Tabela 1.14. Transformarea gradelor sexagesimale în radiani

Secunde și minute	Radiani	Grade	Radiani	Grade	Radiani
1"	0,000005	1°	0,017453	31°	0,541052
2	0,000010	2	0,034907	32	0,558505
3	0,000015	3	0,052360	33	0,575995
4	0,000019	4	0,069813	34	0,593412
5	0,000024	5	0,087266	35	0,610865
6	0,000029	6	0,104720	36	0,628319
7	0,000034	7	0,122173	37	0,645772
8	0,000039	8	0,139626	38	0,663225
9	0,000044	9	0,157080	39	0,680678
10	0,000048	10	0,174533	40	0,698132
20	0,000097	11	0,191986	45	0,785398
30	0,000145	12	0,209440	50	0,872665
40	0,000194	13	0,226893	55	0,959931
50	0,000242	14	0,244346	60	1,047193
		15	0,261799	65	1,134464
1'	0,000291	16	0,279253	70	1,221730
2	0,000582	17	0,296706	75	1,308997
3	0,000873	18	0,314159	80	1,396263
		19	0,331613	85	1,483530
4	0,001164	20	0,349066	90	1,570796
5	0,001454	21	0,366519	100	1,745329
6	0,001745	22	0,383972	120	2,094395
7	0,002036	23	0,401426	150	2,617994
8	0,002327	24	0,418879	180	3,141593
9	0,002618	25	0,436332	200	3,490659
10	0,002909	26	0,453786	250	4,363323
20	0,005818	27	0,471239	270	4,712389
30	0,008727	28	0,488692	300	5,235988
40	0,011636	29	0,506145	360	6,283185
50	0,014544	30	0,523599	400	6,981317

Tabela 1.15. Transformarea minutilor și secundelor centesimale în minute și secunde sexagesimale

0	8	0	8	0	8	0	8	0	8	0	8	0	8	0	8	0	8
0°00'00"	00	00	00	00	00	00	00	00	00	00	00	00	00	00	00	00	00
03	01	05	34	04	06	33	04	05	32	03	04	04	03	03	02	02	01
06	02	08	35	07	09	34	08	12	10	08	11	10	09	08	07	06	05
09	03	11	36	10	08	12	11	13	12	10	13	12	11	10	09	08	07
12	04	14	37	13	09	15	14	16	15	14	15	14	13	12	11	10	09
15	05	17	38	16	10	17	16	18	17	16	17	16	15	14	13	12	11
19	06	21	39	19	11	21	20	22	21	20	21	20	19	18	17	16	15
22	07	24	40	22	12	24	23	25	24	23	24	23	22	21	20	19	18
25	08	27	41	25	13	27	26	28	27	26	27	26	25	24	23	22	21
28	09	30	42	28	14	30	29	31	30	29	30	29	28	27	26	25	24
31	10	33	43	31	15	33	32	34	33	32	33	32	31	30	29	28	27
34	11	36	44	34	16	36	35	37	36	35	36	35	34	33	32	31	30
37	12	39	45	37	17	39	38	40	39	38	39	38	37	36	35	34	33
40	13	42	46	40	18	42	41	43	42	41	42	41	40	39	38	37	36
43	14	45	47	43	19	45	44	46	45	44	45	44	43	42	41	40	39
46	15	48	48	46	20	48	47	49	48	47	48	47	46	45	44	43	42
49	16	51	49	50	21	51	50	52	51	50	51	50	49	48	47	46	45
52	17	54	50	53	22	54	53	55	54	53	54	53	52	51	50	49	48
55	18	57	51	56	23	57	56	58	57	56	57	56	55	54	53	52	51
58	19		52	59	24		59										
0°01'00"	01	00	01	00	01	00	01	00	01	00	01	00	01	00	01	00	01
04	01	03	04	03	04	02	03	04	03	04	02	03	04	03	04	02	03
07	02	06	07	06	07	05	06	07	06	07	05	06	07	06	07	05	06
10	03	09	10	09	10	08	09	10	09	10	08	09	10	09	10	08	09
13	04	12	13	12	13	11	12	13	12	13	11	12	13	12	13	11	12
16	05	15	16	15	16	14	15	16	15	16	14	15	16	15	16	14	15
19	06	18	19	18	19	17	18	19	18	19	17	18	19	18	19	17	18
22	07	21	22	21	22	20	21	22	21	22	20	21	22	21	22	20	21
25	08	24	25	24	25	23	24	25	24	25	23	24	25	24	25	23	24
28	09	27	28	27	28	26	27	28	27	28	26	27	28	27	28	26	27
31	10	30	31	30	31	29	30	31	30	31	29	30	31	30	31	29	30
34	11	33	34	33	34	32	33	34	33	34	32	33	34	33	34	32	33
37	12	36	37	36	37	35	36	37	36	37	35	36	37	36	37	35	36
40	13	39	40	39	40	38	39	40	39	40	38	39	40	39	40	38	39
43	14	42	43	42	43	41	42	43	42	43	41	42	43	42	43	41	42
46	15	45	46	45	46	44	45	46	45	46	44	45	46	45	46	44	45
49	16	48	49	48	49	47	48	49	48	49	47	48	49	48	49	47	48
52	17	51	52	51	52	50	51	52	51	52	50	51	52	51	52	50	51
55	18	54	55	54	55	53	54	55	54	55	53	54	55	54	55	53	54
58	19	57	58	57	58	56	57	58	57	58	56	57	58	57	58	56	57
0°02'00"	02	00	02	00	02	01	02	01	02	01	02	01	02	01	02	01	02
05	02	06	05	06	04	07	05	06	04	07	06	05	06	04	07	06	05
08	03	09	08	09	07	10	08	09	07	10	09	08	09	07	10	09	08
11	04	12	11	12	10	13	11	12	10	13	12	11	12	10	13	12	11
14	05	15	14	15	13	16	14	15	13	16	15	14	15	13	16	15	14
17	06	18	17	18	16	19	17	18	16	19	18	17	18	16	19	18	17
20	07	21	20	21	20	22	21	22	20	23	21	22	21	22	20	23	21
23	08	24	23	24	23	25	24	25	23	26	24	25	24	25	23	26	24
26	09	27	26	27	26	28	27	28	26	29	27	28	27	28	26	29	27
29	10	30	29	30	29	31	30	31	29	32	30	31	30	31	29	32	30
32	11	33	32	33	32	34	33	34	32	35	33	34	33	34	32	35	33
35	12	36	35	36	35	37	36	37	35	38	36	37	36	37	35	38	36
38	13	39	38	39	38	40	39	40	38	41	39	40	39	40	38	41	39
41	14	42	41	42	41	43	42	43	41	44	42	43	42	43	41	44	42
44	15	45	44	45	44	46	45	46	44	47	45	46	45	46	44	47	45
47	16	48	47	48	47	49	48	49	47	50	48	49	48	49	47	50	48
50	17	51	50	51	50	52	51	52	50	53	51	52	50	53	51	52	50
53	18	54	53	54	53	55	54	55	53	56	54	55	53	56	54	55	53
56	19	57	56	57	56	58	57	58	56	59	57	58	56	59	57	58	56
0°03'00"	03	00	03	00	03	02	03	02	03	01	02	03	02	03	01	02	03
06	03	06	06	07	05	08	06	07	05	09	07	08	06	07	06	08	06
09	04	09	09	10	08	11	09	10	08	12	10	11	09	10	09	11	09
12	05	12	12	13	11	14	12	13	11	15	13	14	12	13	12	14	12
15	06	15	15	16	14	17	15	16	14	18	16	17	15	16	14	18	15
18	07	18	18	19	17	20	18	19	17	21	19	20	18	19	17	21	18
21	08	21	21	22	20	23	21	22	20	24	22	23	21	22	20	24	21
24	09	24	24	25	23	26	24	25	23	27	25	26	24	25	23	27	24
27	10	27	27	28	26	29	27	28	26	30	28	29	27	28	26	30	27
30	11	30	30	31	29	32	30	31	29	33	31	32	30	31	29	33	30
33	12	33	33	34	32	35	33	34	32	36	34	35	33	34	32	36	33
36	13	36	36	37	35	38	36	37	35	39	37	38	36	37	35	39	36
39	14	39	39	40	38	41	39	40	38	42	40	41	39	40	38	42	39
42	15	42	42	43	41	44	42	43	41	45	43	44	42	43	41	45	42
45	16	45	45	46	44	47	45	46	44	48	46	47	45	46	44	48	45
48	17	48	48	49	47	49	48	49	47	50	48	49	48	49	47	50	48
51	18	51	51	52	50	53	51	52	50	54	52	53	51	52	50	54	51
54	19	54	54	55	53	56	54	55	53	57	55	56	54	55	53	57	54
57	00	57	57	58	56	59	57	58	56	60	58	59	57	58	56	60	57
0°04'00"	04	00	04	00	04	03	04	03	04	02	03	04	03	04	02	03	04
07	04	07	07	08	06	09	07	08	06	10	08	09	07	08	06	10	07
10	05	10	10	11	09	12	10	11	09	13	11	12	10	11	09	13	10
13	06	13	13	14	12	15	13	14	12	16	14	15	13	14	12	16	13
16	07	16	16	17	15	18	16	17	15	19	17	18	16	17	15	19	16
19	08	19	19	20	18	21	19	20	18	22	20	21	19	20	18	22	19
22	09	22	22	23	21	24	22	23	21	25	23	24	22	23	21	25	22
25	10	25	25	26	24	27	25	26	24	28	26	27	25	26	24	28	25
28	11	28	28	29	27	30	28	29	27	31	29	30	28	29	27	31	28
31	12	31	31	32	30	33	31	32	30	34	32	33	31	32	30	34	31
34	13	34	34	35	33	36	34	35	33	37	35	36	34	35	33	37	34
37	14	37	37	38	36	39	37	38	36	40	38	39	37	38	36	40	37
40	15	40	40	41	39	42	40	41	39	43	41	42	40	41	39	43	40
43	16	43	43	44	42	45	43	44	42	46	44	45					

Tabela 1.16 Transformarea gradelor

Grade centesimale											
I		II		III		IV		I	II	III	IV
0 ^g 50 ^g	100 ^g 150 ^g	200 ^g 250 ^g	300 ^g 350 ^g	0°45'	90°135'	180°225'	270°315'				
1 51	101 151	201 251	301 351	0 45	90 135	180 225	270 315				
2 52	102 152	202 252	302 352	1 46	91 136	181 226	271 316				
3 53	103 153	203 253	303 353	2 47	92 137	182 227	272 317				
4 54	104 154	204 254	304 354	3 48	93 138	183 228	273 318				
5 55	105 155	205 255	305 355	4 49	94 139	184 229	274 319				
6 56	106 156	206 256	306 356	5 50	95 140	185 230	275 320				
7 57	107 157	207 257	307 357	6 51	96 141	186 231	276 321				
8 58	108 158	208 258	308 358	7 52	97 142	187 232	277 322				
9 59	109 159	209 259	309 359	8 53	98 143	188 233	278 323				
10 60	110 160	210 260	310 360	9 54	99 144	189 234	279 324				
11 61	111 161	211 261	311 361	9 54	99 144	189 234	279 324				
12 62	112 162	212 262	312 362	10 55	100 145	190 235	280 325				
13 63	113 163	213 263	313 363	11 56	101 146	191 236	281 326				
14 64	114 164	214 264	314 364	12 57	102 147	192 237	282 327				
15 65	115 165	215 265	315 365	13 58	103 148	193 238	283 328				
16 66	116 166	216 266	316 366	14 59	104 149	194 239	284 329				
17 67	117 167	217 267	317 367	15 60	105 150	195 240	285 330				
18 68	118 168	218 268	318 368	16 61	106 151	196 241	286 331				
19 69	119 169	219 269	319 369	17 62	107 152	197 242	287 332				
20 70	120 170	220 270	320 370	18 63	108 153	198 243	288 333				
21 71	121 171	221 271	321 371	18 63	108 153	198 243	288 333				
22 72	122 172	222 272	322 372	19 64	109 154	199 244	289 334				
23 73	123 173	223 273	323 373	20 65	110 155	200 245	290 335				
24 74	124 174	224 274	324 374	21 66	111 156	201 246	291 336				
25 75	125 175	225 275	325 375	22 67	112 157	202 247	292 337				
26 76	126 176	226 276	326 376	23 68	113 158	203 248	293 338				
27 77	127 177	227 277	327 377	24 69	114 159	204 249	294 339				
28 78	128 178	228 278	328 378	25 70	115 160	205 250	295 340				
29 79	129 179	229 279	329 379	26 71	116 161	206 251	296 341				
30 80	130 180	230 280	330 380	27 72	117 162	207 252	297 342				
31 81	131 181	231 281	331 381	27 72	117 162	207 252	297 342				
32 82	132 182	232 282	332 382	28 73	118 163	208 253	298 343				
33 83	133 183	233 283	333 383	29 74	119 164	209 254	299 344				
34 84	134 184	234 284	334 384	30 75	120 165	210 255	300 345				
35 85	135 185	235 285	335 385	31 76	121 166	211 256	301 346				
36 86	136 186	236 286	336 386	32 77	122 167	212 257	302 347				
37 87	137 187	237 287	337 387	33 78	123 168	213 258	303 348				
38 88	138 188	238 288	338 388	34 79	124 169	214 259	304 349				
39 89	139 189	239 289	339 389	35 80	125 170	215 260	305 350				
40 90	140 190	240 290	340 390	36 81	126 171	216 261	306 351				
41 91	141 191	241 291	341 391	36 81	126 171	216 261	306 351				
42 92	142 192	242 292	342 392	37 82	127 172	217 262	307 352				
43 93	143 193	243 293	343 393	38 83	128 173	218 263	308 353				
44 94	144 194	244 294	344 394	39 84	129 174	219 264	309 354				
45 95	145 195	245 295	345 395	40 85	130 175	220 265	310 355				
46 96	146 196	246 296	346 396	41 86	131 176	221 266	311 356				
47 97	147 197	247 297	347 397	42 87	132 177	222 267	312 357				
48 98	148 198	248 298	348 398	43 88	133 178	223 268	313 358				
49 99	149 199	249 299	349 399	44 89	134 179	224 269	314 359				
50 100	150 200	250 300	350 400	45 90	135 180	225 270	315 360				

centesimale la grade sexagesimale și invers

00°	10°	20°	30°	40°	50°	60°	70°	80°	90°
Grade sexagesimale									
00'00"	05'24"	10'48"	16'12"	21'36"	27'00"	32'24"	37'48"	43'12"	48'36"
54	59	*04	*10	*15	*21	*26	*31	*37	*42
48	53	58	*04	*09	*15	*20	*25	*31	*36
42	47	52	58	*03	*09	*14	*19	*25	*30
36	41	46	52	57	*03	*08	*13	*19	*24
30'00"	35'24"	40'48"	46'12"	51'36"	57'00"	*02'24"	*07'48"	*13'12"	*18'36"
24	29	34	40	45	51	56	*01	*07	*12
18	23	28	34	39	45	50	55	*01	*06
12	17	22	28	33	39	44	49	55	*00
06	11	16	22	27	33	38	43	49	54
00'00"	05'24"	10'48"	16'12"	21'36"	27'00"	32'24"	37'48"	43'12"	48'36"
54	59	*04	*10	*15	*21	*26	*31	*37	*42
48	53	58	*04	*09	*15	*20	*25	*31	*36
42	47	52	58	*03	*09	*14	*19	*25	*30
36	41	46	52	57	*03	*08	*13	*19	*24
30'00"	35'24"	40'48"	46'12"	51'36"	57'00"	*02'24"	*07'48"	*13'12"	*18'36"
24	29	34	40	45	51	56	*01	*07	*12
18	23	28	34	39	45	50	55	*01	*06
12	17	22	28	33	39	44	49	55	*00
06	11	16	22	27	33	38	43	49	54
00'00"	05'24"	10'48"	16'12"	21'36"	27'00"	32'24"	37'48"	43'12"	48'36"
54	59	*04	*10	*15	*21	*26	*31	*37	*42
48	53	58	*04	*09	*15	*20	*25	*31	*36
42	47	52	58	*03	*09	*14	*19	*25	*30
36	41	46	52	57	*03	*08	*13	*19	*24
30'00"	35'24"	40'48"	46'12"	51'36"	57'00"	*02'24"	*07'48"	*13'12"	*18'36"
24	29	34	40	45	51	56	*01	*07	*12
18	23	28	34	39	45	50	55	*01	*06
12	17	22	28	33	39	44	49	55	*00
06	11	16	22	27	33	38	43	49	54
00'00"	05'24"	10'48"	16'12"	21'36"	27'00"	32'24"	37'48"	43'12"	48'36"
54	59	*04	*10	*15	*21	*26	*31	*37	*42
48	53	58	*04	*09	*15	*20	*25	*31	*36
42	47	52	58	*03	*09	*14	*19	*25	*30
36	41	46	52	57	*03	*08	*13	*19	*24
30'00"	35'24"	40'48"	46'12"	51'36"	57'00"	*02'24"	*07'48"	*13'12"	*18'36"
24	29	34	40	45	51	56	*01	*07	*12
18	23	28	34	39	45	50	55	*01	*06
12	17	22	28	33	39	44	49	55	*00
06	11	16	22	27	33	38	43	49	54
00'00"	05'24"	10'48"	16'12"	21'36"	27'00"	32'24"	37'48"	43'12"	48'36"
54	59	*04	*10	*15	*21	*26	*31	*37	*42
48	53	58	*04	*09	*15	*20	*25	*31	*36
42	47	52	58	*03	*09	*14	*19	*25	*30
36	41	46	52	57	*03	*08	*13	*19	*24
30'00"	35'24"	40'48"	46'12"	51'36"	57'00"	*02'24"	*07'48"	*13'12"	*18'36"
24	29	34	40	45	51	56	*01	*07	*12
18	23	28	34	39	45	50	55	*01	*06
12	17	22	28	33	39	44	49	55	*00
06	11	16	22	27	33	38	43	49	54
00'00"	05'24"	10'48"	16'12"	21'36"	27'00"	32'24"	37'48"	43'12"	48'36"
54	59	*04	*10	*15	*21	*26	*31	*37	*42
48	53	58	*04	*09	*15	*20	*25	*31	*36
42	47	52	58	*03	*09	*14	*19	*25	*30
36	41	46	52	57	*03	*08	*13	*19	*24
30'00"	35'24"	40'48"	46'12"	51'36"	57'00"	*02'24"	*07'48"	*13'12"	*18'36"
24	29	34	40	45	51	56	*01	*07	*12
18	23	28	34	39	45	50	55	*01	*06
12	17	22	28	33	39	44	49	55	*00
06	11	16	22	27	33	38	43	49	54

Tabela 1.17. Valorile naturale ale funcțiilor

	Sinus							
	6'	10'	20'	30'	40'	50'	60'	
0°	0,00000	0,00291	0,00582	0,00873	0,01164	0,01454	0,01745	89°
1	0,01745	0,02036	0,02327	0,02618	0,02908	0,03199	0,03490	88
2	0,03490	0,03781	0,04071	0,04362	0,04653	0,04943	0,05234	87
3	0,05234	0,05524	0,05814	0,06105	0,06395	0,06685	0,06976	86
4	0,06976	0,07266	0,07556	0,07846	0,08136	0,08426	0,08716	85
5	0,08716	0,09005	0,09295	0,09585	0,09874	0,10164	0,10453	84
6	0,10453	0,10742	0,11031	0,11320	0,11609	0,11898	0,12187	83
7	0,12187	0,12476	0,12764	0,13053	0,13341	0,13629	0,13917	82
8	0,13917	0,14205	0,14493	0,14781	0,15069	0,15356	0,15643	81
9	0,15643	0,15931	0,16218	0,16505	0,16792	0,17078	0,17365	80
10	0,17365	0,17651	0,17937	0,18224	0,18509	0,18795	0,19081	79
11	0,19081	0,19366	0,19652	0,19937	0,20222	0,20507	0,20791	78
12	0,20791	0,21076	0,21360	0,21644	0,21928	0,22212	0,22495	77
13	0,22495	0,22778	0,23062	0,23345	0,23627	0,23910	0,24192	76
14	0,24192	0,24474	0,24756	0,25038	0,25320	0,25601	0,25882	75
15	0,25882	0,26163	0,26443	0,26724	0,27004	0,27284	0,27564	74
16	0,27564	0,27843	0,28123	0,28402	0,28680	0,28959	0,29237	73
17	0,29237	0,29515	0,29793	0,30071	0,30348	0,30625	0,30902	72
18	0,30902	0,31178	0,31454	0,31730	0,32006	0,32282	0,32557	71
19	0,32557	0,32832	0,33106	0,33381	0,33655	0,33929	0,34202	70
20	0,34202	0,34475	0,34748	0,35021	0,35293	0,35565	0,35837	69
21	0,35837	0,36108	0,36379	0,36650	0,36921	0,37191	0,37461	68
22	0,37461	0,37730	0,37999	0,38268	0,38537	0,38805	0,39073	67
23	0,39073	0,39341	0,39608	0,39875	0,40141	0,40408	0,40674	66
24	0,40674	0,40939	0,41204	0,41469	0,41734	0,41998	0,42262	65
25	0,42262	0,42525	0,42788	0,43051	0,43313	0,43575	0,43837	64
26	0,43837	0,44098	0,44359	0,44620	0,44880	0,45140	0,45399	63
27	0,45399	0,45658	0,45917	0,46175	0,46433	0,46690	0,46947	62
28	0,46947	0,47204	0,47460	0,47716	0,47971	0,48226	0,48481	61
29	0,48481	0,48735	0,48989	0,49242	0,49495	0,49748	0,50000	60
30	0,50000	0,50252	0,50503	0,50754	0,51004	0,51254	0,51504	59
31	0,51504	0,51753	0,52002	0,52250	0,52498	0,52745	0,52992	58
32	0,52992	0,53238	0,53484	0,53730	0,53975	0,54220	0,54464	57
33	0,54464	0,54708	0,54951	0,55194	0,55436	0,55678	0,55919	56
34	0,55919	0,56160	0,56401	0,56641	0,56880	0,57119	0,57358	55
35	0,57358	0,57596	0,57833	0,58070	0,58307	0,58543	0,58779	54
36	0,58779	0,59014	0,59248	0,59482	0,59716	0,59949	0,60182	53
37	0,60182	0,60414	0,60645	0,60876	0,61107	0,61337	0,61566	52</

trigonometrice ale arcelor măsurate în grade sexagesimale

		Cosinus						
	0'	10'	20'	30'	40'	50'	60'	
0°	1,00000	1,00000	0,99998	0,99996	0,99993	0,99989	0,99985	89
1	0,99985	0,99979	0,99973	0,99966	0,99958	0,99949	0,99939	88
2	0,99939	0,99929	0,99917	0,99905	0,99892	0,99878	0,99863	87
3	0,99863	0,99847	0,99831	0,99813	0,99795	0,99776	0,99756	86
4	0,99756	0,99736	0,99714	0,99692	0,99668	0,99644	0,99619	85
5	0,99619	0,99594	0,99567	0,99540	0,99511	0,99482	0,99452	84
6	0,99452	0,99421	0,99390	0,99357	0,99324	0,99290	0,99255	83
7	0,99255	0,99219	0,99182	0,99144	0,99106	0,99067	0,99027	82
8	0,99027	0,98986	0,98944	0,98902	0,98858	0,98814	0,98769	81
9	0,98769	0,98723	0,98676	0,98629	0,98580	0,98531	0,98481	80
10	0,98481	0,98430	0,98378	0,98325	0,98272	0,98218	0,98163	79
11	0,98163	0,98107	0,98050	0,97992	0,97934	0,97875	0,97815	78
12	0,97815	0,97754	0,97692	0,97630	0,97566	0,97502	0,97437	77
13	0,97437	0,97371	0,97304	0,97237	0,97169	0,97100	0,97030	76
14	0,97030	0,96959	0,96887	0,96815	0,96742	0,96667	0,96593	75
15	0,96593	0,96517	0,96440	0,96363	0,96285	0,96206	0,96126	74
16	0,96126	0,96046	0,95964	0,95882	0,95799	0,95715	0,95630	73
17	0,95630	0,95545	0,95459	0,95372	0,95284	0,95195	0,95106	72
18	0,95106	0,95015	0,94924	0,94832	0,94740	0,94646	0,94552	71
19	0,94552	0,94457	0,94361	0,94264	0,94167	0,94068	0,93969	70
20	0,93969	0,93869	0,93769	0,93667	0,93565	0,93462	0,93358	69
21	0,93358	0,93253	0,93148	0,93042	0,92935	0,92827	0,92718	68
22	0,92718	0,92609	0,92499	0,92388	0,92276	0,92164	0,92050	67
23	0,92050	0,91936	0,91822	0,91706	0,91590	0,91472	0,91355	66
24	0,91355	0,91236	0,91116	0,90996	0,90875	0,90753	0,90631	65
25	0,90631	0,90507	0,90383	0,90259	0,90133	0,90007	0,89879	64
26	0,89879	0,89752	0,89623	0,89493	0,89363	0,89232	0,89101	63
27	0,89101	0,88968	0,88835	0,88701	0,88566	0,88431	0,88295	62
28	0,88295	0,88158	0,88020	0,87882	0,87743	0,87603	0,87462	61
29	0,87462	0,87321	0,87178	0,87036	0,86892	0,86748	0,86603	60
30	0,86603	0,86457	0,86310	0,86163	0,86015	0,85866	0,85717	59
31	0,85717	0,85567	0,85416	0,85264	0,85112	0,84959	0,84805	58
32	0,84805	0,84650	0,84495	0,84339	0,84182	0,84025	0,83867	57
33	0,83867	0,83708	0,83549	0,83389	0,83228	0,83066	0,82904	56
34	0,82904	0,82741	0,82577	0,82413	0,82248	0,82082	0,81915	55

Tabela 1.17 (continuare)

	Tangenta							
	0'	10'	20'	30'	40'	50'	60'	
0°	0,00000	0,00291	0,00582	0,00873	0,01164	0,01455	0,01746	89°
1	0,01746	0,02036	0,02328	0,02619	0,02910	0,03201	0,03492	88
2	0,03492	0,03783	0,04075	0,04366	0,04658	0,04949	0,05241	87
3	0,05241	0,05533	0,05824	0,06116	0,06408	0,06700	0,06993	86
4	0,06993	0,07285	0,07578	0,07870	0,08163	0,08456	0,08749	85
5	0,08749	0,09042	0,09335	0,09629	0,09923	0,10216	0,10510	84
6	0,10510	0,10805	0,11099	0,11394	0,11688	0,11983	0,12278	83
7	0,12278	0,12574	0,12869	0,13165	0,13461	0,13758	0,14054	82
8	0,14054	0,14351	0,14648	0,14945	0,15243	0,15540	0,15838	81
9	0,15838	0,16137	0,16435	0,16734	0,17033	0,17333	0,17633	80
10	0,17633	0,17933	0,18233	0,18534	0,18835	0,19136	0,19438	79
11	0,19438	0,19740	0,20042	0,20345	0,20648	0,20952	0,21256	78
12	0,21256	0,21560	0,21864	0,22169	0,22475	0,22781	0,23087	77
13	0,23087	0,23393	0,23700	0,24008	0,24316	0,24624	0,24933	76
14	0,24933	0,25242	0,25552	0,25862	0,26172	0,26483	0,26795	75
15	0,26795	0,27107	0,27419	0,27732	0,28046	0,28360	0,28675	74
16	0,28675	0,28990	0,29305	0,29621	0,29938	0,30255	0,30573	73
17	0,30573	0,30891	0,31210	0,31530	0,31850	0,32171	0,32492	72
18	0,32492	0,32814	0,33136	0,33460	0,33783	0,34108	0,34433	71
19	0,34433	0,34758	0,35085	0,35412	0,35740	0,36068	0,36397	70
20	0,36397	0,36727	0,37057	0,37388	0,37720	0,38053	0,38386	69
21	0,38386	0,38721	0,39055	0,39391	0,39727	0,40065	0,40403	68
22	0,40403	0,40741	0,41081	0,41421	0,41763	0,42105	0,42447	67
23	0,42447	0,42791	0,43136	0,43481	0,43828	0,44175	0,44523	66
24	0,44523	0,44872	0,45222	0,45573	0,45924	0,46277	0,46631	65
25	0,46631	0,46985	0,47341	0,47698	0,48055	0,48414	0,48773	64
26	0,48773	0,49134	0,49495	0,49858	0,50222	0,50587	0,50953	63
27	0,50953	0,51318	0,51688	0,52057	0,52427	0,52798	0,53171	62
28	0,53171	0,53545	0,53920	0,54296	0,54673	0,55051	0,55431	61
29	0,55431	0,55812	0,56194	0,56577	0,56962	0,57348	0,57735	60
30	0,57735	0,58124	0,58513	0,58905	0,59297	0,59691	0,60086	59
31	0,60086	0,60483	0,60881	0,61280	0,61681	0,62083	0,62487	58
32	0,62487	0,62892	0,63299	0,63707	0,64117	0,64528	0,64941	57
33	0,64941	0,65355	0,65771	0,66189	0,66608	0,67028	0,67451	56
34	0,67451	0,67875	0,68301	0,68728	0,69157	0,69588	0,70021	55
35	0,70021	0,70455	0,70891	0,71329	0,71769	0,72211	0,72654	54
36	0,72654	0,73100	0,73547	0,73996	0,74447	0,74900	0,75355	53
37	0,75355	0,75812	0,76272	0,76733	0,77196	0,77661	0,78129	52
38	0,78129	0,78598	0,79070	0,79544	0,80020	0,80498	0,80978	51
39	0,80978	0,81461	0,81946	0,82434	0,82923	0,83415	0,83910	50
40	0,83910	0,84407	0,84906	0,85408	0,85912	0,86419	0,86929	49
41	0,86929	0,87441	0,87955	0,88473	0,88992	0,89515	0,90040	48
42	0,90040	0,90569	0,91099	0,91633	0,92170	0,92709	0,93252	47
43	0,93252	0,93797	0,94345	0,94896	0,95451	0,96008	0,96569	46
44°	0,96569	0,97133	0,97700	0,98270	0,98843	0,99420	1,00000	45°
	60'	50'	40'	30'	20'	10'	0'	
	Cotangenta							

(continue)

Tangentia

Tabela 1.18. Valorile naturale ale functiilor

	Sinus											
	00°	10°	20°	30°	40°	50°	60°	70°	80°	90°	100°	
0°	0,0000	0,0016	0,0031	0,0047	0,0063	0,0079	0,0094	0,0110	0,0126	0,0141	0,0157	99°
1	0,0157	0,0173	0,0188	0,0204	0,0220	0,0236	0,0251	0,0267	0,0283	0,0298	0,0314	98
2	0,0314	0,0330	0,0346	0,0361	0,0377	0,0393	0,0408	0,0424	0,0440	0,0455	0,0471	97
3	0,0471	0,0487	0,0502	0,0518	0,0534	0,0550	0,0565	0,0581	0,0597	0,0612	0,0628	96
4	0,0628	0,0644	0,0659	0,0675	0,0691	0,0706	0,0722	0,0738	0,0753	0,0769	0,0785	95
5	0,0785	0,0800	0,0816	0,0832	0,0847	0,0863	0,0879	0,0894	0,0910	0,0925	0,0941	94
6	0,0941	0,0957	0,0972	0,0988	0,1004	0,1019	0,1035	0,1050	0,1066	0,1082	0,1097	93
7	0,1097	0,1113	0,1129	0,1144	0,1160	0,1175	0,1191	0,1207	0,1222	0,1238	0,1253	92
8	0,1253	0,1269	0,1284	0,1300	0,1316	0,1331	0,1347	0,1362	0,1378	0,1393	0,1409	91
9	0,1409	0,1425	0,1440	0,1456	0,1471	0,1487	0,1502	0,1518	0,1533	0,1549	0,1564	90
10	0,1564	0,1580	0,1595	0,1611	0,1626	0,1642	0,1657	0,1673	0,1688	0,1704	0,1719	89
11	0,1719	0,1735	0,1750	0,1766	0,1781	0,1797	0,1812	0,1828	0,1843	0,1858	0,1874	88
12	0,1874	0,1889	0,1905	0,1920	0,1935	0,1951	0,1966	0,1982	0,1997	0,2012	0,2028	87
13	0,2028	0,2043	0,2059	0,2074	0,2089	0,2105	0,2120	0,2135	0,2151	0,2166	0,2181	86
14	0,2181	0,2197	0,2212	0,2227	0,2243	0,2258	0,2273	0,2289	0,2304	0,2319	0,2334	85
15	0,2334	0,2350	0,2365	0,2380	0,2396	0,2411	0,2426	0,2441	0,2456	0,2472	0,2487	84
16	0,2487	0,2502	0,2517	0,2533	0,2548	0,2563	0,2578	0,2593	0,2608	0,2624	0,2639	83
17	0,2639	0,2654	0,2669	0,2684	0,2699	0,2714	0,2730	0,2745	0,2760	0,2775	0,2790	82
18	0,2790	0,2805	0,2820	0,2835	0,2850	0,2865	0,2880	0,2895	0,2910	0,2925	0,2940	81
19	0,2940	0,2955	0,2970	0,2985	0,3000	0,3015	0,3030	0,3045	0,3060	0,3075	0,3090	80
20	0,3090	0,3105	0,3120	0,3135	0,3150	0,3165	0,3180	0,3195	0,3209	0,3224	0,3239	79
21	0,3239	0,3254	0,3269	0,3284	0,3299	0,3313	0,3328	0,3343	0,3358	0,3373	0,3387	78
22	0,3387	0,3402	0,3417	0,3432	0,3446	0,3461	0,3476	0,3491	0,3505	0,3520	0,3535	77
23	0,3535	0,3549	0,3564	0,3579	0,3593	0,3608	0,3623	0,3637	0,3652	0,3667	0,3681	76
24	0,3681	0,3696	0,3710	0,3725	0,3740	0,3754	0,3769	0,3783	0,3798	0,3812	0,3827	75
25	0,3827	0,3841	0,3856	0,3870	0,3885	0,3899	0,3914	0,3928	0,3943	0,3957	0,3971	74
26	0,3971	0,3986	0,4000	0,4015	0,4029	0,4043	0,4058	0,4072	0,4086	0,4101	0,4115	73
27	0,4115	0,4129	0,4144	0,4158	0,4172	0,4187	0,4201	0,4215	0,4229	0,4244	0,4258	72
28	0,4258	0,4272	0,4286	0,4300	0,4315	0,4329	0,4343	0,4357	0,4371	0,4385	0,4399	71
29	0,4399	0,4413	0,4428	0,4442	0,4456	0,4470	0,4484	0,4498	0,4512	0,4526	0,4540	70
30	0,4540	0,4554	0,4568	0,4582	0,4596	0,4610	0,4624	0,4638	0,4652	0,4665	0,4679	69
31	0,4679	0,4693	0,4707	0,4721	0,4735	0,4749	0,4762	0,4776	0,4790	0,4804	0,4818	68
32	0,4818	0,4831	0,4845	0,4859	0,4873	0,4886	0,4900	0,4914	0,4927	0,4941	0,4955	67
33	0,4955	0,4968	0,4982	0,4995	0,5009	0,5023	0,5036	0,5050	0,5063	0,5077	0,5090	66
34	0,5090	0,5104	0,5117	0,5131	0,5144	0,5158	0,5171	0,5185	0,5198	0,5212	0,5225	65
35	0,5225	0,5238	0,5252	0,5265	0,5278	0,5292	0,5305	0,5318	0,5332	0,5345	0,5358	64
36	0,5358	0,5372	0,5385	0,5398	0,5411	0,5424	0,5438	0,5451	0,5464	0,5477	0,5490	63
37	0,5490	0,5503	0,5516	0,5530	0,5543	0,5556	0,5569	0,5582	0,5595	0,5608	0,5621	62
38	0,5621	0,5634	0,5647	0,5660	0,5673	0,5686	0,5699	0,5711	0,5724	0,5737	0,5750	61
39	0,5750	0,5763	0,5776	0,5789	0,5801	0,5814	0,5827	0,5840	0,5852	0,5865	0,5878	60
40	0,5878	0,5891	0,5903	0,5916	0,5929	0,5941	0,5954	0,5966	0,5979	0,5992	0,6004	59
41	0,6004	0,6017	0,6029	0,6042	0,6054	0,6067	0,6079	0,6092	0,6104	0,6117	0,6129	58
42	0,6129	0,6141	0,6154	0,6166	0,6179	0,6191	0,6203	0,6216	0,6228	0,6240	0,6252	57
43	0,6252	0,6265	0,6277	0,6289	0,6301	0,6314	0,6326	0,6338	0,6350	0,6362	0,6374	56
44	0,6374	0,6386	0,6398	0,6410	0,6423	0,6435	0,6447	0,6459	0,6471	0,6483	0,6494	55
45	0,6494	0,6506	0,6518	0,6530	0,6542	0,6554	0,6566	0,6578	0,6590	0,6601	0,6613	54
46	0,6613	0,6625	0,6637	0,6648	0,6660	0,6672	0,6684	0,6695	0,6707	0,6718	0,6730	53
47	0,6730	0,6742	0,6753	0,6765	0,6776	0,6788	0,6800	0,6811	0,6823	0,6834	0,6845	52
48	0,6845	0,6857	0,6868	0,6880	0,6891	0,6903	0,6914	0,6925	0,6937	0,6948	0,6959	51
49°	0,6959	0,6970	0,6982	0,6993	0,7004	0,7015	0,7026	0,7038	0,7049	0,7060	0,7071	50°
	100°	90°	80°	70°	60°	50°	40°	30°	20°	10°	00°	
	Cosinus											

	Cosinus											
	00°	10°	20°	30°	40°	50°	60°	70°	80°	90°	100°	
0°	1,0000	1,0000	1,0000	1,0000	1,0000	1,0000	1,0000	0,9999	0,9999	0,9999	0,9999	99°
1	0,9999	0,9999	0,9998	0,9998	0,9998	0,9997	0,9997	0,9996	0,9996	0,9996	0,9995	98
2	0,9995	0,9995	0,9994	0,9993	0,9993	0,9992	0,9992	0,9991	0,9990	0,9990	0,9989	97
3	0,9989	0,9988	0,9987	0,9987	0,9986	0,9985	0,9984	0,9983	0,9982	0,9981	0,9980	96
4	0,9980	0,9979	0,9978	0,9977	0,9976	0,9975	0,9974	0,9973	0,9972	0,9970	0,9969	95
5	0,9969	0,9968	0,9967	0,9965	0,9964	0,9963	0,9961	0,9960	0,9959	0,9957	0,9956	94
6	0,9956	0,9954	0,9953	0,9951	0,9950	0,9948	0,9946	0,9945	0,9943	0,9941	0,9940	93
7	0,9940	0,9938	0,9936	0,9934	0,9933	0,9931	0,9929	0,9927	0,9925	0,9923	0,9921	92
8	0,9921	0,9919	0,9917	0,9915	0,9913	0,9911	0,9909	0,9907	0,9905	0,9902	0,9900	91
9	0,9900	0,9898	0,9896	0,9893	0,9891	0,9889	0,9887	0,9884	0,9882	0,9879	0,9877	90
10	0,9877	0,9874	0,9872	0,9869	0,9867	0,9864	0,9862	0,9859	0,9856	0,9854	0,9851	89
11	0,9851	0,9848	0,9846	0,9843	0,9840	0,9837	0,9834	0,9832	0,9829	0,9826	0,9823	88
12	0,9823	0,9820	0,9817	0,9814	0,9811	0,9808	0,9805	0,9802	0,9799	0,9795	0,9792	87
13	0,9792	0,9789	0,9786	0,9783	0,9779	0,9776	0,9773	0,9769	0,9766	0,9763	0,9759	86
14	0,9759	0,9756	0,9752	0,9749	0,9745	0,9742	0,9738	0,9735	0,9731	0,9727	0,9724	85
15	0,9724	0,9720	0,9716	0,9713	0,9709	0,9705	0,9701	0,9697	0,9694	0,9690	0,9686	84
16	0,9686	0,9682	0,9678	0,9674	0,9670	0,9666	0,9662	0,9658	0,9654	0,9650	0,9646	83
17	0,9646	0,9641	0,9637	0,9633	0,9629	0,9625	0,9620	0,9616	0,9612	0,9607	0,9603	82
18	0,9603	0,9599	0,9594	0,9590	0,9585	0,9581	0,9576	0,9572	0,9567	0,9563	0,9558	81
19	0,9558	0,9553	0,9549	0,9544	0,9539	0,9535	0,9530	0,9525	0,9520	0,9515	0,9511	80
20	0,9511	0,9506	0,9501	0,9496	0,9491	0,9486	0,9481	0,9476	0,9471	0,9466	0,9461	79
21	0,9461	0,9456	0,9451	0,9445	0,9440	0,9435	0,9430	0,9425	0,9419	0,9414	0,9409	78
22	0,9409	0,9403	0,9398	0,9393	0,9387	0,9382	0,9376	0,9371	0,9365	0,9360	0,9354	77
23	0,9354	0,9349	0,9343	0,9338	0,9332	0,9326	0,9321	0,9315	0,9309	0,9304	0,9298	76
24	0,9298	0,9292	0,9286	0,9280	0,9274	0,9269	0,9263	0,9257	0,9251	0,9245	0,9239	75
25	0,9239	0,9233	0,9227	0,9221	0,9215	0,9209	0,9202	0,9196	0,9190	0,9184	0,9178	74
26	0,9178	0,9171	0,9165	0,9159	0,9152	0,9146	0,9140	0,9133	0,9127	0,9120	0,9114	73
27	0,9114	0,9108	0,9101	0,9095	0,9088	0,9081	0,9075	0,906				

Tabela 1.18. (continuare)

	Tangenta											
	00°	10°	20°	30°	40°	50°	60°	70°	80°	90°	100°	
0°	0,0000	0,001E	0,0031	0,0047	0,0063	0,0079	0,0094	0,0110	0,0126	0,0141	0,0157	99°
1	0,0157	0,0173	0,0189	0,0204	0,0220	0,0236	0,0251	0,0267	0,0283	0,0299	0,0314	98
2	0,0314	0,0330	0,0346	0,0361	0,0377	0,0393	0,0409	0,0424	0,0440	0,0456	0,0472	97
3	0,0472	0,0487	0,0503	0,0519	0,0535	0,0550	0,0566	0,0582	0,0598	0,0613	0,0629	96
4	0,0629	0,0645	0,0661	0,0676	0,0692	0,0708	0,0724	0,0740	0,0755	0,0771	0,0787	95
5	0,0787	0,0803	0,0819	0,0834	0,0850	0,0866	0,0882	0,0898	0,0914	0,0929	0,0945	94
6	0,0945	0,0961	0,0977	0,0993	0,1009	0,1025	0,1040	0,1056	0,1072	0,1088	0,1104	93
7	0,1104	0,1120	0,1136	0,1152	0,1168	0,1184	0,1200	0,1215	0,1231	0,1247	0,1263	92
8	0,1263	0,1279	0,1295	0,1311	0,1327	0,1343	0,1359	0,1375	0,1391	0,1407	0,1423	91
9	0,1423	0,1439	0,1455	0,1471	0,1487	0,1503	0,1519	0,1536	0,1552	0,1568	0,1584	90
10	0,1584	0,1600	0,1616	0,1632	0,1648	0,1664	0,1681	0,1697	0,1713	0,1729	0,1745	89
11	0,1745	0,1761	0,1778	0,1794	0,1810	0,1826	0,1843	0,1859	0,1875	0,1891	0,1908	88
12	0,1908	0,1924	0,1940	0,1956	0,1973	0,1989	0,2005	0,2022	0,2038	0,2055	0,2071	87
13	0,2071	0,2087	0,2104	0,2120	0,2137	0,2153	0,2169	0,2186	0,2202	0,2219	0,2235	86
14	0,2235	0,2252	0,2268	0,2285	0,2301	0,2318	0,2334	0,2351	0,2368	0,2384	0,2401	85
15	0,2401	0,2417	0,2434	0,2451	0,2467	0,2484	0,2501	0,2517	0,2534	0,2551	0,2568	84
16	0,2568	0,2584	0,2601	0,2618	0,2635	0,2651	0,2668	0,2685	0,2702	0,2719	0,2736	83
17	0,2736	0,2753	0,2769	0,2786	0,2803	0,2820	0,2837	0,2854	0,2871	0,2888	0,2905	82
18	0,2905	0,2922	0,2939	0,2956	0,2974	0,2991	0,3008	0,3025	0,3042	0,3059	0,3076	81
19	0,3076	0,3094	0,3111	0,3128	0,3145	0,3163	0,3180	0,3197	0,3214	0,3232	0,3249	80
20	0,3249	0,3267	0,3284	0,3301	0,3319	0,3336	0,3354	0,3371	0,3389	0,3406	0,3424	79
21	0,3424	0,3441	0,3459	0,3476	0,3494	0,3512	0,3529	0,3547	0,3565	0,3582	0,3600	78
22	0,3600	0,3618	0,3636	0,3654	0,3671	0,3689	0,3707	0,3725	0,3743	0,3761	0,3779	77
23	0,3779	0,3797	0,3815	0,3833	0,3851	0,3869	0,3887	0,3905	0,3923	0,3941	0,3959	76
24	0,3959	0,3977	0,3996	0,4014	0,4032	0,4050	0,4069	0,4087	0,4105	0,4124	0,4142	75
25	0,4142	0,4161	0,4179	0,4197	0,4216	0,4234	0,4253	0,4272	0,4290	0,4309	0,4327	74
26	0,4327	0,4346	0,4365	0,4383	0,4402	0,4421	0,4440	0,4459	0,4477	0,4496	0,4515	73
27	0,4515	0,4534	0,4553	0,4572	0,4591	0,4610	0,4629	0,4648	0,4667	0,4686	0,4706	72
28	0,4706	0,4725	0,4744	0,4763	0,4783	0,4802	0,4821	0,4841	0,4860	0,4879	0,4899	71
29	0,4899	0,4918	0,4938	0,4958	0,4977	0,4997	0,5016	0,5036	0,5056	0,5075	0,5095	70
30	0,5095	0,5115	0,5135	0,5155	0,5175	0,5195	0,5215	0,5235	0,5255	0,5275	0,5295	69
31	0,5295	0,5315	0,5335	0,5355	0,5375	0,5396	0,5416	0,5436	0,5457	0,5477	0,5498	68
32	0,5498	0,5518	0,5539	0,5559	0,5580	0,5600	0,5621	0,5642	0,5662	0,5683	0,5704	67
33	0,5704	0,5725	0,5746	0,5767	0,5787	0,5808	0,5829	0,5851	0,5872	0,5893	0,5914	66
34	0,5914	0,5935	0,5956	0,5978	0,5999	0,6020	0,6042	0,6063	0,6085	0,6106	0,6128	65
35	0,6128	0,6150	0,6171	0,6193	0,6215	0,6237	0,6258	0,6280	0,6302	0,6324	0,6346	64
36	0,6346	0,6368	0,6390	0,6412	0,6435	0,6457	0,6479	0,6502	0,6524	0,6546	0,6569	63
37	0,6569	0,6591	0,6614	0,6636	0,6659	0,6682	0,6705	0,6727	0,6750	0,6773	0,6796	62
38	0,6796	0,6819	0,6842	0,6865	0,6888	0,6911	0,6935	0,6958	0,6981	0,7005	0,7028	61
39	0,7028	0,7052	0,7075	0,7099	0,7122	0,7146	0,7170	0,7194	0,7218	0,7241	0,7265	60
40	0,7265	0,7289	0,7314	0,7338	0,7362	0,7386	0,7410	0,7435	0,7459	0,7484	0,7508	59
41	0,7508	0,7533	0,7557	0,7582	0,7607	0,7632	0,7657	0,7682	0,7707	0,7732	0,7757	58
42	0,7757	0,7782	0,7807	0,7833	0,7858	0,7883	0,7909	0,7934	0,7960	0,7986	0,8012	57
43	0,8012	0,8037	0,8063	0,8089	0,8115	0,8141	0,8167	0,8194	0,8220	0,8246	0,8273	56
44	0,8273	0,8299	0,8326	0,8352	0,8379	0,8406	0,8433	0,8460	0,8487	0,8514	0,8541	55
45	0,8541	0,8568	0,8595	0,8623	0,8650	0,8678	0,8705	0,8733	0,8761	0,8788	0,8816	54
46	0,8816	0,8844	0,8872	0,8900	0,8928	0,8957	0,8985	0,9014	0,9042	0,9071	0,9099	53
47	0,9099	0,9128	0,9157	0,9186	0,9215	0,9244	0,9273	0,9302	0,9332	0,9361	0,9391	52
48	0,9391	0,9420	0,9450	0,9480	0,9510	0,9540	0,9570	0,9600	0,9630	0,9660	0,9691	51
49°	0,9691	0,9721	0,9752	0,9782	0,9813	0,9844	0,9875	0,9906	0,9937	0,9969	1,0000	50°
	100°	90°	80°	70°	60°	50°	40°	30°	20°	10°	00°	
	Cotangenta											

Tabela 1.18 (continuare)

Cotangentia												
	00°	10°	20°	30°	40°	50°	60°	70°	80°	90°	100°	
0°	∞	636,62	318,31	212,21	159,15	127,32	106,10	90,942	79,573	70,731	63,657	99°
1	63,657	57,869	53,045	48,964	45,466	42,433	39,780	37,439	35,358	33,496	31,821	98
2	31,821	30,304	28,926	27,667	26,513	25,452	24,472	23,564	22,722	21,937	21,205	97
3	21,205	20,520	19,878	19,274	18,706	18,171	17,665	17,187	16,733	16,303	15,895	96
4	15,895	15,505	15,136	14,783	14,446	14,124	13,815	13,520	13,238	12,967	12,706	95
5	12,706	12,456	12,215	11,984	11,761	11,546	11,339	11,139	10,946	10,759	10,579	94
6	10,579	10,404	10,236	10,072	9,9137	9,7601	9,6112	9,4667	9,3264	9,1902	9,0579	93
7	9,0579	8,9293	8,8042	8,6826	8,5642	8,4490	8,3367	8,2274	8,1209	8,0171	7,9158	92
8	7,9158	7,8170	7,7207	7,6266	7,5348	7,4451	7,3575	7,2719	7,1882	7,1064	7,0264	91
9	7,0264	6,9481	6,8715	6,7966	6,7233	6,6514	6,5811	6,5122	6,4447	6,3786	6,3138	90
10	6,3138	6,2502	6,1879	6,1267	6,0668	6,0080	5,9502	5,8936	5,8380	5,7834	5,7297	89
11	5,7297	5,6771	5,6253	5,5745	5,5246	5,4755	5,4272	5,3798	5,3332	5,2873	5,2422	88
12	5,2422	5,1978	5,1542	5,1112	5,0689	5,0273	4,9864	4,9461	4,9064	4,8673	4,8288	87
13	4,8288	4,7909	4,7536	4,7168	4,6805	4,6448	4,6096	4,5749	4,5407	4,5070	4,4737	86
14	4,4737	4,4410	4,4086	4,3768	4,3453	4,3143	4,2837	4,2535	4,2237	4,1943	4,1653	85
15	4,1653	4,1367	4,1084	4,0805	4,0529	4,0257	3,9989	3,9724	3,9462	3,9203	3,8947	84
16	3,8947	3,8695	3,8446	3,8199	3,7956	3,7715	3,7477	3,7242	3,7010	3,6781	3,6554	83
17	3,6554	3,6330	3,6108	3,5889	3,5672	3,5457	3,5245	3,5036	3,4828	3,4623	3,4420	82
18	3,4420	3,4220	3,4021	3,3824	3,3630	3,3438	3,3247	3,3059	3,2873	3,2688	3,2506	81
19	3,2506	3,2325	3,2146	3,1969	3,1793	3,1620	3,1448	3,1278	3,1109	3,0942	3,0777	80
20	3,0777	3,0613	3,0451	3,0290	3,0131	2,9974	2,9818	2,9663	2,9510	2,9358	2,9208	79
21	2,9208	2,9059	2,8911	2,8765	2,8620	2,8476	2,8333	2,8192	2,8052	2,7914	2,7776	78
22	2,7776	2,7640	2,7505	2,7371	2,7238	2,7106	2,6976	2,6846	2,6718	2,6590	2,6464	77
23	2,6464	2,6339	2,6215	2,6092	2,5970	2,5848	2,5728	2,5609	2,5491	2,5373	2,5257	76
24	2,5257	2,5142	2,5027	2,4913	2,4801	2,4689	2,4578	2,4468	2,4358	2,4250	2,4142	75
25	2,4142	2,4035	2,3929	2,3824	2,3719	2,3616	2,3513	2,3411	2,3309	2,3209	2,3109	74
26	2,3109	2,3009	2,2911	2,2813	2,2716	2,2620	2,2524	2,2429	2,2334	2,2241	2,2148	73
27	2,2148	2,2055	2,1963	2,1872	2,1782	2,1692	2,1602	2,1514	2,1426	2,1338	2,1251	72
28	2,1251	2,1165	2,1079	2,0994	2,0909	2,0825	2,0741	2,0658	2,0576	2,0494	2,0413	71
29	2,0413	2,0332	2,0251	2,0171	2,0092	2,0013	1,9935	1,9857	1,9779	1,9703	1,9626	70
30	1,9626	1,9550	1,9475	1,9400	1,9325	1,9251	1,9177	1,9104	1,9031	1,8959	1,8887	69
31	1,8887	1,8815	1,8744	1,8673	1,8603	1,8533	1,8464	1,8395	1,8326	1,8258	1,8189	68
32	1,8189	1,8122	1,8055	1,7989	1,7922	1,7856	1,7791	1,7725	1,7661	1,7596	1,7532	67
33	1,7532	1,7468	1,7405	1,7341	1,7279	1,7216	1,7154	1,7092	1,7031	1,6970	1,6909	66
34	1,6909	1,6849	1,6788	1,6729	1,6669	1,6610	1,6551	1,6492	1,6434	1,6376	1,6319	65
35	1,6319	1,6261	1,6204	1,6147	1,6091	1,6034	1,5979	1,5923	1,5867	1,5812	1,5757	64
36	1,5757	1,5703	1,5649	1,5595	1,5541	1,5487	1,5434	1,5381	1,5328	1,5276	1,5224	63
37	1,5224	1,5172	1,5120	1,5068	1,5017	1,4966	1,4915	1,4865	1,4814	1,4764	1,4715	62
38	1,4715	1,4665	1,4616	1,4566	1,4517	1,4469	1,4420	1,4372	1,4324	1,4276	1,4229	61
39	1,4229	1,4181	1,4134	1,4087	1,4040	1,3994	1,3947	1,3901	1,3855	1,3809	1,3764	60
40	1,3764	1,3718	1,3673	1,3628	1,3584	1,3539	1,3495	1,3450	1,3406	1,3362	1,3319	59
41	1,3319	1,3275	1,3232	1,3189	1,3146	1,3103	1,3061	1,3018	1,2976	1,2934	1,2892	58
42	1,2892	1,2850	1,2809	1,2767	1,2726	1,2685	1,2644	1,2603	1,2563	1,2522	1,2482	57
43	1,2482	1,2442	1,2402	1,2362	1,2323	1,2283	1,2244	1,2205	1,2166	1,2127	1,2088	56
44	1,2088	1,2049	1,2011	1,1973	1,1934	1,1896	1,1859	1,1821	1,1783	1,1746	1,1708	55
45	1,1708	1,1671	1,1634	1,1597	1,1561	1,1524	1,1487	1,1451	1,1415	1,1379	1,1343	54
46	1,1343	1,1307	1,1271	1,1236	1,1200	1,1165	1,1130	1,1094	1,1059	1,1025	1,0990	53
47	1,0990	1,0955	1,0921	1,0886	1,0852	1,0818	1,0784	1,0750	1,0716	1,0682	1,0649	52
48	1,0649	1,0615	1,0582	1,0549	1,0516	1,0483	1,0450	1,0417	1,0384	1,0352	1,0319	51
49	1,0319	1,0287	1,0255	1,0222	1,0190	1,0158	1,0126	1,0095	1,0063	1,0031	1,0000	50°
	100°	90°	80°	70°	60°	50°	40°	30°	20°	10°	00°	
Tangentia												

Tabela 1.19. Logaritmi cu cinci zecimale ai funcțiilor trigono-

0°

0°	lg sin	+ d 1"	lg cos	- d 1"	lg tg	+ d 1"	lg cotg	- d 1"			
0'	—∞		0,00 000	0,00	—∞		+∞		60'		
1	4,46 373	501,72	00 000	00	4,46 373	501,72	3,53 627	501,72	59		
2	76 476	293,48	00 000	00	76 476	293,48	23 524	293,48	58		
3	94 085	208,23	00 000	00	94 085	208,23	05 915	208,23	57		
4	3,06 579	161,52	00 000	0,00	3,06 579	161,52	2,93 421	161,52	56		
5	16 270	131,97	00 000	00	16 270	131,97	83 730	131,97	55		
6	24 188	111,57	00 000	00	24 188	111,57	75 812	111,57	54		
7	30 882	96,67	00 000	00	30 882	96,67	69 118	96,67	53		
8	36 682	85,25	00 000	00	36 682	85,25	63 318	85,25	52		
9	41 797	76,27	00 000	0,00	41 797	76,27	58 203	76,27	51		
10'	3,46 373	68,98	0,00 000	00	3,46 373	68,98	2,53 627	68,98	50'		
11	50 512	62,98	00 000	00	50 512	62,98	49 488	62,98	49		
12	54 291	57,93	00 000	00	54 291	57,93	45 709	57,93	48		
13	57 767	53,63	00 000	00	57 767	53,65	42 233	53,65	47		
14	60 985	49,95	00 000	0,00	60 986	49,93	39 014	49,93	46		
15	63 982	46,70	00 000	00	63 982	46,72	36 018	46,72	45		
16	66 784	43,88	00 000	00	66 785	43,88	33 215	43,88	44		
17	69 417	41,38	1,99 999	02	69 418	41,37	30 582	41,37	43		
18	71 900	39,13	99 999	00	71 900	39,13	28 100	39,13	42		
19	74 248	37,12	99 999	0,00	74 248	37,13	25 752	37,13	41		
20'	3,76 475	35,32	1,99 999	00	3,76 476	35,32	2,23 524	35,32	40'		
21	78 594	33,68	99 999	00	78 595	33,67	21 405	33,67	39		
22	80 615	32,17	99 999	00	80 615	32,18	19 385	32,18	38		
23	82 545	30,80	99 999	00	82 546	30,80	17 454	30,80	37		
24	84 393	29,55	99 999	0,00	84 394	29,55	15 606	29,55	36		
25	86 166	28,40	99 999	00	86 167	28,40	13 833	28,40	35		
26	87 870	27,32	99 999	00	87 871	27,32	12 129	27,32	34		
27	89 509	26,32	99 999	00	89 510	26,32	10 490	26,32	33		
28	91 088	25,40	99 999	00	91 089	25,40	08 911	25,40	32		
29	92 612	24,53	99 998	02	92 613	24,55	07 387	24,55	31		
30'	3,94 084	24,53	1,99 998	0,00	3,94 086	24,55	2,05 914	24,55	30'		
	lg cos	- d 1"	lg sin	+ d 1"	lg cotg	- d 1"	lg tg	+ d 1"	89°		
40°	'	"	S:6,68	T:6,68	'	"	S:6,68	T:6,68			
0	0	558	557	10	600	557	558	20	1200	557	558
1	60	558	557	11	660	557	558	21	1260	557	558
2	120	558	557	12	720	557	558	22	1320	557	558
3	180	558	557	13	780	557	558	23	1380	557	558
4	240	558	557	14	840	557	558	24	1440	557	558
5	300	557	558	15	900	557	558	25	1500	557	558
6	360	557	558	16	960	557	558	26	1560	557	558
7	420	557	558	17	1020	557	558	27	1620	557	558
8	480	557	558	18	1080	557	558	28	1680	557	558
9	540	557	558	19	1140	557	558	29	1740	557	558

89°

nometrice ale arcelor de la 0 pînă la 90 din minut în minut

0°

0°	lg sin	+d 1"	lg cos	-d 1"	lg tg	+d 1"	lg cotg	-d 1"
30'	3,94 084	23,73	1,99 998	0,00	3,94 086	23,73	2,05 914	23,73
31	95 508	22,98	99 998	00	95 510	22,98	04 490	22,98
32	96 887	22,27	99 998	00	96 889	22,27	03 111	22,27
33	98 223	21,62	99 998	00	98 225	21,62	01 775	21,62
34	99 520	20,98	99 998	0,00	99 522	20,98	00 478	20,98
35	2,00 779	20,38	99 998	0,00	2,00 781	20,38	1,99 219	20,38
36	02 002	19,83	99 998	02	02 004	19,83	97 996	19,83
37	03 192	19,30	99 997	00	03 194	19,32	96 806	19,32
38	04 350	18,80	99 997	00	04 353	18,80	95 647	18,80
39	05 478	18,33	99 997	0,00	05 481	18,33	94 519	18,33
40'	2,06 578	17,87	1,99 997	00	2,06 581	17,87	1,93 419	17,87
41	07 650	17,43	99 997	00	07 653	17,45	92 347	17,45
42	08 696	17,03	99 997	00	08 700	17,03	91 300	17,03
43	09 718	16,65	99 997	02	09 722	16,63	90 278	16,63
44	10 717	16,27	99 996	0,00	10 720	16,27	89 280	16,27
45	11 693	15,90	99 996	00	11 696	15,92	88 304	15,92
46	12 647	15,57	99 996	00	12 651	15,57	87 349	15,57
47	13 581	15,23	99 996	00	13 585	15,25	86 415	15,25
48	14 495	14,93	99 996	00	14 500	14,92	85 500	14,92
49	15 391	14,62	99 996	0,02	15 395	14,63	84 605	14,63
50'	2,16 268	14,33	1,99 995	00	2,16 273	14,33	1,83 727	14,33
51	17 128	14,05	99 995	00	17 133	14,05	82 867	14,05
52	17 971	13,78	99 995	00	17 976	13,80	82 024	13,80
53	18 798	13,53	99 995	00	18 804	13,63	81 196	13,63
54	19 610	13,28	99 995	0,02	19 616	13,28	80 384	13,28
55	20 407	13,03	99 994	00	20 413	13,03	79 587	13,03
56	21 189	12,82	99 994	00	21 195	12,82	78 805	12,82
57	21 958	12,58	99 994	00	21 964	12,60	78 036	12,60
58	22 713	12,38	99 994	00	22 720	12,37	77 280	12,37
59	23 456	12,17	99 994	0,02	23 462	12,17	76 538	12,17
60'	2,24 186	1,99 993	2,24 192	1,75 808				

0°	lg cos	-d 1"	lg sin	+d 1"	lg cotg	-d 1"	lg tg	+d 1"	89°
	S:6,68	T:6,68			S:6,68	T:6,69			

30	1800	557	559	40	2400	557	559	50	3000	556	561
31	1860	557	559	41	2460	556	560	51	3060	556	561
32	1920	557	559	42	2520	556	560	52	3120	556	561
33	1980	557	559	43	2580	556	560	53	3180	556	561
34	2040	557	559	44	2640	556	560	54	3240	556	561
35	2100	557	559	45	2700	556	560	55	3300	556	561
36	2160	557	559	46	2760	556	560	56	3360	556	561
37	2220	557	559	47	2820	556	560	57	3420	556	562
38	2280	557	559	48	2880	556	560	58	3480	555	562
39	2340	557	559	49	2940	556	560	59	3540	555	562

89°

1°

0°	lg sin	+ d 1"	lg cos	- d 1"	lg tg	+ d 1"	lg cotg	- d 1"	
0'	2,24 186		1,99 993	0,00	2,24 192		1,75 808		60'
1	24 903	11,95	99 993	0,00	24 910	11,97	75 090	11,97	59
2	25 609	77	99 993	00	25 616	77	74 384	77	58
3	26 304	58	99 993	00	26 312	60	73 688	60	57
4	26 988	40	99 992	02	26 996	40	73 004	40	56
5	27 661	11,22	99 992	0,00	27 669	11,22	72 331	11,22	55
6	28 324	05	99 992	00	28 332	05	71 668	05	54
7	28 977	10,88	99 992	00	28 986	10,90	71 014	10,90	53
8	29 621	73	99 992	00	29 629	72	70 371	72	52
9	30 255	57	99 991	02	30 263	57	69 737	57	51
10'	2,30 879	10,40	1,99 991	0,00	2,30 888	10,42	1,69 112	10,42	50'
11	31 495	27	99 991	00	31 505	28	68 495	28	49
12	32 103	13	99 990	02	32 112	12	67 888	12	48
13	32 702	9,98	99 990	00	32 711	9,98	67 289	9,98	47
14	33 292	83	99 990	00	33 302	85	66 698	85	46
15	33 875	9,72	99 990	0,00	33 886	9,73	66 114	9,73	45
16	34 450	58	99 989	02	34 461	58	65 539	58	44
17	35 018	47	99 989	00	35 029	47	64 971	47	43
18	35 578	33	99 989	00	35 590	35	64 410	35	42
19	36 131	22	99 989	00	36 143	22	63 857	22	41
20'	2,36 678	9,12	1,99 988	0,02	2,36 689	9,10	1,63 311	9,10	40'
21	37 217	8,98	99 988	00	37 229	00	62 771	00	39
22	37 750	88	99 988	00	37 762	8,88	62 238	8,88	38
23	38 276	77	99 987	02	38 289	78	61 711	78	37
24	38 796	67	99 987	00	38 809	67	61 191	67	36
25	39 310	8,57	99 987	0,00	39 323	8,57	60 677	8,57	35
26	39 818	47	99 986	02	39 832	48	60 168	48	34
27	40 320	37	99 986	00	40 334	37	59 666	37	33
28	40 816	27	99 986	00	40 830	27	59 170	27	32
29	41 307	18	99 985	02	41 321	18	58 679	18	31
30'	2,41 792	8,08	1,99 985	0,00	2,41 807	8,10	1,58 193	8,10	30'

	lg cos	— d 1"	lg sin	+ d 1"	lg cotg	— d 1"	lg tg	+ d 1 "	88°			
1°	'	"	S:6,68	T:6,68	'	"	S:6,68	T:6,68	'	"	S:6,68	T:6,68
0	3600	555	562	10	4200	555	564	20	4800	554	565	
1	3660	555	562	11	4260	554	564	21	4860	554	566	
2	3720	555	562	12	4320	554	564	22	4920	553	566	
3	3780	555	562	13	4380	554	564	23	4980	553	566	
4	3840	555	563	14	4440	554	564	24	5040	553	566	
5	3900	555	563	15	4500	554	564	25	5100	553	566	
6	3960	555	563	16	4560	554	565	26	5160	553	567	
7	4020	555	563	17	4620	554	565	27	5220	553	567	
8	4080	555	563	18	4680	554	565	28	5280	553	567	
9	4140	555	563	19	4740	554	565	29	5340	553	567	

38°

2°

2°	lg sin	+ d 1"	lg cos	- d 1"	lg tg	+ d 1"	lg cotg	- d 1"	
0'	2,54 282	6,00	1,99 974	0,02	2,54 308	6,02	1,45 692	6,02	60'
1	54 642	5,95	99 973	00	54 669	5,97	45 331	5,97	59
2	54 999	92	99 973	02	55 027	92	44 973	92	58
3	55 354	85	99 972	00	55 382	87	44 618	87	57
4	55 705	5,82	99 972	0,02	55 734	5,82	44 266	5,82	56
5	56 054	77	99 971	00	56 083	77	43 917	77	55
6	56 400	72	99 971	02	56 429	73	43 571	73	54
7	56 743	68	99 970	00	56 773	68	43 227	68	53
8	57 084	62	99 970	02	57 114	63	42 886	63	52
9	57 421	5,60	99 969	0,00	57 452	5,60	42 548	5,60	51
10'	2,57 757	53	1,99 969	02	2,57 788	55	1,42 212	55	50'
11	58 089	50	99 968	00	58 121	50	41 879	50	49
12	58 419	47	99 968	02	58 451	47	41 549	47	48
13	58 747	42	99 967	00	58 779	43	41 221	43	47
14	59 072	5,38	99 967	0,00	59 105	5,38	40 895	5,38	46
15	59 395	33	99 967	02	59 428	35	40 572	35	45
16	59 715	30	99 966	00	59 749	32	40 251	32	44
17	60 033	27	99 966	02	60 068	27	39 932	27	43
18	60 349	22	99 965	02	60 384	23	39 616	23	42
19	60 662	5,18	99 964	0,00	60 698	5,18	39 302	5,18	41
20'	2,60 973	15	1,99 964	02	2,61 009	17	1,38 991	17	40'
21	61 282	12	99 963	00	61 319	12	38 681	12	39
22	61 589	08	99 963	02	61 626	08	38 374	08	38
23	61 894	03	99 962	00	61 931	05	38 069	05	37
24	62 196	5,02	99 962	0,02	62 234	5,02	37 766	5,02	36
25	62 497	4,97	99 961	00	62 535	4,98	37 465	4,98	35
26	62 795	93	99 961	02	62 834	95	37 166	95	34
27	63 091	90	99 960	00	63 131	92	36 869	92	33
28	63 385	88	99 960	02	63 426	87	36 574	87	32
29	63 678	4,83	99 959	0,00	63 718	4,85	36 282	4,85	31
30'	2,63 968		1,99 959		2,64 009		1,35 991		30'

	lg cos	— 1 d"	lg sin	+ d 1"	lg cotg	— d 1"	lg tg	+ d 1"	87°			
2°	'	"	S:6.68	T:6.68	'	"	S:6.68	T:6.68	'	"	S:6.68	T:6.68
	0	7200	549	575	10	7800	547	578	20	8400	546	582
	1	7260	549	575	11	7860	547	579	21	8460	545	582
	2	7320	548	576	12	7920	547	579	22	8520	545	582
	3	7380	548	576	13	7980	547	579	23	8580	545	583
	4	7440	548	576	14	8040	547	580	24	8640	545	583
	5	7500	548	577	15	8100	546	580	25	8700	545	583
	6	7560	548	577	16	8160	546	580	26	8760	544	584
	7	7620	548	577	17	8220	546	581	27	8820	544	584
	8	7680	548	578	18	8280	546	581	28	8880	544	584
	9	7740	547	578	19	8340	546	581	29	8940	544	585

87°

P. P.

d 1"	0,02	4,83	4,85	4,87	4,88	4,90	4,92	4,93	4,95	4,97
6"	0,1	29,0	29,1	29,2	29,3	29,4	29,5	29,6	29,7	29,8
7	0,1	33,8	34,0	34,1	34,2	34,3	34,4	34,5	34,7	34,8
8	0,1	38,7	38,8	38,9	39,1	39,2	39,3	39,5	39,6	39,7
9	0,2	43,5	43,7	43,8	44,0	44,1	44,3	44,4	44,6	44,7
10	0,2	48,3	48,5	48,7	48,8	49,0	49,2	49,3	49,5	49,7
20	0,3	96,7	97,0	97,3	97,7	98,0	98,3	98,7	99,0	99,3
30	0,5	145,0	145,5	146,0	146,5	147,0	147,5	148,0	148,5	149,0
40	0,7	193,3	194,0	194,7	195,3	196,0	196,7	197,3	198,0	198,7
50	0,8	241,7	242,5	243,3	244,2	245,0	245,8	246,7	247,5	248,3

d 1"	4,98	5,02	5,03	5,05	5,08	5,12	5,15	5,17	5,18	5,22
6"	29,9	30,1	30,2	30,3	30,5	30,7	30,9	31,0	31,1	31,3
7	34,9	35,1	35,2	35,4	35,6	35,8	36,1	36,2	36,3	36,5
8	39,9	40,1	40,3	40,4	40,7	40,9	41,2	41,3	41,5	41,7
9	44,9	45,2	45,3	45,5	45,8	46,1	46,4	46,5	46,7	47,0
10	49,8	50,2	50,3	50,5	50,8	51,2	51,5	51,7	51,8	52,2
20	99,7	100,3	100,7	101,0	101,7	102,3	103,0	103,3	103,7	104,3
30	149,5	150,5	151,0	151,5	152,5	153,5	154,5	155,0	155,5	156,5
40	199,3	200,7	201,3	202,0	203,3	204,7	206,0	206,7	207,3	208,7
50	249,2	250,8	251,7	252,5	254,2	255,8	257,5	258,3	259,2	260,8

d 1"	5,23	5,27	5,30	5,32	5,33	5,35	5,38	5,42	5,43	5,47
6"	31,4	31,6	31,8	31,9	32,0	32,1	32,3	32,5	32,6	32,8
7	36,6	36,9	37,1	37,2	37,3	37,5	37,7	37,9	38,0	38,3
8	41,9	42,1	42,4	42,5	42,7	42,8	43,1	43,3	43,5	43,7
9	47,1	47,4	47,7	47,9	48,0	48,2	48,5	48,8	48,9	49,2
10	52,3	52,7	53,0	53,2	53,3	53,5	53,8	54,2	54,3	54,7
20	104,7	105,3	106,0	106,3	106,7	107,0	107,7	108,3	108,7	109,3
30	157,0	158,0	159,0	159,5	160,0	160,5	161,5	162,5	163,0	164,0
40	209,3	210,7	212,0	212,7	213,3	214,0	215,3	216,7	217,3	218,7
50	261,7	262,3	265,0	265,8	266,7	267,5	269,2	270,8	271,7	273,3

d 1"	5,50	5,53	5,55	5,60	5,62	5,63	5,68	5,72	5,73	5,77
6"	33,0	33,2	33,3	33,6	33,7	33,8	34,1	34,3	34,4	34,6
7	38,5	38,7	38,9	39,2	39,3	39,4	39,8	40,0	40,1	40,4
8	44,0	44,3	44,4	44,8	44,9	45,1	45,5	45,7	45,9	46,1
9	49,5	49,8	50,0	50,4	50,6	50,7	51,2	51,5	51,6	51,9
10	55,0	55,3	55,5	56,0	56,2	56,3	56,8	57,2	57,3	57,7
20	110,0	110,7	111,0	112,0	112,3	112,7	113,7	114,3	114,7	115,3
30	165,0	166,0	166,5	168,0	168,5	169,0	170,5	171,5	172,0	173,0
40	220,0	221,3	222,0	224,0	224,7	225,3	227,3	228,7	229,3	230,7
50	275,0	276,7	277,5	280,0	280,8	281,7	284,2	285,8	286,7	288,3

d 1"	5,82	5,85	5,87	5,92	5,95	5,97	6,00	6,02
6"	34,9	35,1	35,2	35,5	35,7	35,8	36,0	36,1
7	40,7	41,0	41,1	41,4	41,7	41,8	42,0	42,1
8	46,5	46,8	46,9	47,3	47,6	47,7	48,0	48,1
9	52,4	52,7	52,8	53,3	53,6	53,7	54,0	54,2
10	58,2	58,5	58,7	59,2	59,5	59,7	60,0	60,2
20	116,3	117,0	117,3	118,3	119,0	119,3	120,0	120,3
30	174,5	175,5	176,0	177,5	178,5	179,0	180,0	180,5
40	232,7	243,0	234,7	236,7	238,0	238,7	240,0	240,7
50	290,8	292,5	293,3	295,8	297,5	298,3	300,6	300,8

2°

2°	lg sin	+d 1"	lg cos	—d 1"	lg tg	+d 1"	lg cotg	—d 1"
30'	2,63 968		1,99 959		2,64 009		1,35 991	
31	64 256	4,80	99 958	0,02	64 298	4,82	35 702	4,82
32	64 543	78	99 958	00	64 585	78	35 415	78
33	64 827	73	99 957	02	64 870	75	35 130	75
34	65 110	72	99 956	02	65 154	73	34 846	73
35	65 391	4,68	99 956	0,00	65 435	4,68	34 565	4,68
36	65 670	65	99 955	02	65 715	67	34 285	67
37	65 947	62	99 955	00	65 993	63	34 007	63
38	66 223	60	99 954	02	66 269	60	33 731	60
39	66 497	57	99 954	00	66 543	57	33 457	57
40'	2,66 769	4,53	1,99 953	0,02	2,66 816	4,55	1,33 184	4,55
41	67 039	50	99 952	02	67 087	52	32 913	52
42	67 308	48	99 952	00	67 356	48	32 644	48
43	67 575	45	99 951	02	67 624	47	32 376	47
44	67 841	43	99 951	00	67 890	43	32 110	43
45	68 104	4,38	99 950	0,02	68 154	4,40	31 846	4,40
46	68 367	38	99 949	02	68 117	38	31 583	38
47	68 627	33	99 949	00	68 678	35	31 322	35
48	68 886	32	99 948	02	68 938	33	31 062	33
49	69 144	30	99 948	00	69 196	30	30 804	30
50'	2,69 400	4,27	1,99 947	0,02	2,69 453	4,28	1,30 547	4,28
51	69 654	23	99 946	02	69 708	25	30 292	25
52	69 907	22	99 946	00	69 962	23	30 038	23
53	70 159	20	99 945	02	70 214	20	29 786	20
54	70 409	17	99 944	02	70 465	18	29 535	18
55	70 658	4,15	99 944	0,00	70 714	4,15	29 286	4,15
56	70 905	12	99 943	02	70 962	13	29 038	13
57	71 151	10	99 942	02	71 208	10	28 792	10
58	71 395	07	99 942	00	71 453	08	28 547	08
59	71 638	05	99 941	02	71 697	07	28 303	07
60'	2,71 880	4,03	1,99 940	0,02	2,71 940	4,05	1,28 060	4,05

2°	lg cos	—d 1"	lg sin	+d 1"	lg cotg	—d 1"	lg tg	+d 1"	87°
			S:6,68	T:6,68		S:6,68	T:6,68		

30	9000	544	585	40	9600	542	589	50	10200	540	593
31	9060	544	585	41	9660	542	589	51	10260	540	593
32	9120	543	586	42	9720	541	590	52	10320	539	594
33	9180	543	586	43	9780	541	590	53	10380	539	594
34	9240	543	587	44	9840	541	591	54	10440	539	595
35	9300	543	587	45	9900	541	591	55	10500	539	595
36	9360	543	587	46	9960	541	591	56	10560	539	596
37	9420	542	588	47	10020	540	592	57	10620	538	596
38	9480	542	588	48	10080	540	592	58	10680	538	596
39	9540	542	589	49	10140	540	593	59	10740	538	597

87°

P.P.

d 1"	0,02	4,03	4,05	4,07	4,08	4,10	4,12	4,13	4,15
6"	0,1	24,2	24,3	24,4	24,5	24,6	24,7	24,8	24,9
7	0,1	28,2	28,4	28,5	28,6	28,7	28,8	28,9	29,1
8	0,1	32,3	32,4	32,5	32,7	32,8	32,9	33,1	33,2
9	0,2	36,3	36,5	36,6	36,8	36,9	37,1	37,2	37,4
10	0,2	40,3	40,5	40,7	40,8	41,0	41,2	41,3	41,5
20	0,3	80,7	81,0	81,3	81,7	82,0	82,3	82,7	83,0
30	0,5	121,0	121,5	122,0	122,5	123,0	123,5	124,0	124,5
40	0,7	161,3	162,0	162,7	163,3	164,0	164,7	165,3	166,0
50	0,8	201,7	202,5	203,3	204,2	205,0	205,8	206,7	207,5

d 1"	4,17	4,18	4,20	4,22	4,23	4,25	4,27	4,28	4,30
6"	25,0	25,1	25,2	25,3	25,4	25,5	25,6	25,7	25,8
7	29,2	29,3	29,4	29,5	29,6	29,8	29,9	30,0	30,1
8	33,3	33,5	33,6	33,7	33,9	34,0	34,1	34,3	34,4
9	37,5	37,7	37,8	38,0	38,1	38,3	38,4	38,6	38,7
10	41,7	41,8	42,0	42,2	42,3	42,5	42,7	42,8	43,0
20	83,3	83,7	84,0	84,3	84,7	85,0	85,3	85,7	86,0
30	125,0	125,5	126,0	126,5	127,0	127,5	128,0	128,5	129,0
40	166,7	167,3	168,0	168,7	169,3	170,0	170,7	171,3	172,0
50	208,3	209,2	210,0	210,8	211,7	212,5	213,3	214,2	215,0

d 1"	4,32	4,33	4,35	4,38	4,40	4,43	4,45	4,47	4,48
6"	25,9	26,0	26,1	26,3	26,4	26,6	26,7	26,8	26,9
7	30,2	30,3	30,5	30,7	30,8	31,0	31,2	31,3	31,4
8	34,5	34,7	34,8	35,1	35,2	35,5	35,6	35,7	35,9
9	38,9	39,0	39,2	39,5	39,6	39,9	40,1	40,2	40,4
10	43,2	43,3	43,5	43,8	44,0	44,3	44,5	44,7	44,8
20	86,3	86,7	87,0	87,7	88,0	88,7	89,0	89,3	89,7
30	129,5	130,0	130,5	131,5	132,0	133,0	133,5	134,0	134,5
40	172,7	173,3	174,0	175,3	176,0	177,3	178,0	178,7	179,3
50	215,8	216,7	217,5	219,2	220,0	221,7	222,5	223,3	224,2

d 1"	4,50	4,52	4,53	4,55	4,57	4,60	4,62	4,63	4,65
6"	27,0	27,1	27,2	27,3	27,4	27,6	27,7	27,8	27,9
7	31,5	31,6	31,7	31,9	32,0	32,2	32,3	32,4	32,6
8	36,0	36,1	36,3	36,4	36,5	36,8	36,9	37,1	37,2
9	40,5	40,7	40,8	41,0	41,1	41,4	41,6	41,7	41,9
10	45,0	45,2	45,3	45,5	45,7	46,0	46,2	46,3	46,5
20	90,0	90,3	90,7	91,0	91,3	92,0	92,3	92,7	93,0
30	135,0	135,5	136,0	136,5	137,0	138,0	138,5	139,0	139,5
40	180,0	180,7	181,3	182,0	182,7	184,0	184,7	185,3	186,0
50	225,0	225,8	226,7	227,5	228,3	230,0	230,8	231,7	232,5

d 1"	4,67	4,68	4,72	4,73	4,75	4,78	4,80	4,82	
6"	28,0	28,1	28,3	28,4	28,5	28,7	28,8	28,9	
7	32,7	32,8	33,0	33,1	33,3	33,5	33,6	33,7	
8	37,3	37,5	37,7	37,9	38,0	38,3	38,4	38,5	
9	42,0	42,2	42,5	42,6	42,8	43,1	43,2	43,4	
10	46,7	46,8	47,2	47,3	47,5	47,8	48,0	48,2	
20	93,3	93,7	94,3	94,7	95,0	95,7	96,0	96,3	
30	140,0	140,5	141,5	142,0	142,5	143,5	144,0	144,5	
40	186,7	187,3	188,7	189,3	191,0	191,3	192,0	192,7	
50	233,3	234,2	235,8	236,7	237,5	239,2	240,0	240,8	

3°

3°	lg sin	+ d 1"	lg cos	— d 1"	lg tg	+ d 1"	lg cotg	— d 1"	
0'	2,71 880		1,99 940		2,71 940		1,28 060		60'
1	72 120	4,00	99 940	0,00	72 181	4,02	27 819	4,02	59
2	72 359	3,98	99 939	02	72 420	3,98	27 580	3,98	58
3	72 597	97	99 938	02	72 659	98	27 341	98	57
4	72 834	95	99 938	00	72 896	95	27 104	95	56
		3,92		0,02		3,93		3,93	
5	73 069		99 937		73 132		26 868		55
6	73 303	90	99 936	02	73 366	90	26 634	90	54
7	73 535	87	99 936	00	73 600	90	26 400	90	53
8	73 767	87	99 935	02	73 832	87	26 168	87	52
9	73 997	83	99 934	02	74 063	85	25 937	85	51
		3,82		0,00		3,82		3,82	
10'	2,74 226		1,99 934		2,74 292		1,25 708		50'
11	74 454	80	99 933	02	74 521	82	25 479	82	49
12	74 680	77	99 932	02	74 748	78	25 252	78	48
13	74 906	77	99 932	00	74 974	77	25 026	77	47
14	75 130	73	99 931	02	75 199	75	24 801	75	46
		3,72		0,02		3,73		3,73	
15	75 353		99 930		75 423		24 577		45
16	75 575	70	99 929	02	75 645	70	24 355	70	44
17	75 795	67	99 929	00	75 867	70	24 133	70	43
18	76 015	67	99 928	02	76 087	67	23 913	67	42
19	76 234	65	99 927	02	76 306	65	23 694	65	41
		3,62		0,02		3,65		3,65	
20'	2,76 451		1,99 926		2,76 525		1,23 475		40'
21	76 667	60	99 926	00	76 742	62	23 258	62	39
22	76 883	60	99 925	02	76 958	60	23 042	60	38
23	77 097	57	99 924	02	77 173	58	22 827	58	37
24	77 310	55	99 923	02	77 387	57	22 613	57	36
		3,53		0,00		3,55		3,55	
25	77 532		99 923		77 600		22 400		35
26	77 733	52	99 922	02	77 811	52	22 189	52	34
27	77 943	50	99 921	02	78 022	52	21 978	52	33
28	78 152	48	99 920	02	78 232	50	21 768	50	32
29	78 360	47	99 920	00	78 441	48	21 559	48	31
		3,47		0,02		3,47		3,47	
30'	2,78 568		1,99 919		2,78 649		1,21 351		30'
	lg cos	— d 1"	lg sin	+ d 1"	lg cotg	— d 1"	lg tg	+ d 1"	86°

86°

P.P.

d 1"	0,02	3,47	3,48	3,50	3,52	3,53	3,55
6"	0,1	20,8	20,9	21,0	21,1	21,2	21,3
7	0,1	24,3	24,4	24,5	24,6	24,7	24,9
8	0,1	27,7	27,9	28,0	28,1	28,3	28,4
9	0,2	31,2	31,4	31,5	31,7	31,8	32,0
10	0,2	34,7	34,8	35,0	35,2	35,3	35,5
20	0,3	69,3	69,7	70,0	70,3	70,7	71,0
30	0,5	104,0	104,5	105,0	105,5	106,0	106,5
40	0,7	138,7	139,3	140,0	140,7	141,3	142,0
50	0,8	173,3	174,2	175,0	175,8	176,7	177,5

d 1"	3,57	3,58	3,60	3,62	3,65	3,67	3,70
6"	21,4	21,5	21,6	21,7	21,9	22,0	22,2
7	25,0	25,1	25,2	25,3	25,6	25,7	25,9
8	28,5	28,7	28,8	28,9	29,2	29,3	29,6
9	32,1	32,3	32,4	32,6	32,9	33,0	33,3
10	35,7	35,8	36,0	36,2	36,5	36,7	37,0
20	71,3	71,7	72,0	72,3	73,0	73,3	74,0
30	107,0	107,5	108,0	108,5	109,5	110,0	111,0
40	142,7	143,3	144,0	144,7	146,0	146,7	148,0
50	178,3	179,2	180,0	180,8	182,5	183,3	185,0

d 1"	3,72	3,73	3,75	3,77	3,78	3,80	3,82
6"	22,3	22,4	22,5	22,6	22,7	22,8	22,9
7	26,0	26,1	26,3	26,4	26,5	26,6	26,7
8	29,7	29,9	30,0	30,1	30,3	30,4	30,5
9	33,5	33,6	33,8	33,9	34,1	34,2	34,4
10	37,2	37,3	37,5	37,7	37,8	38,0	38,2
20	74,3	74,7	75,0	75,3	75,7	76,0	76,3
30	111,5	112,0	112,5	113,0	113,5	114,0	114,5
40	148,7	149,3	150,0	150,7	151,3	152,0	152,7
50	185,8	186,7	187,5	188,3	189,2	190,0	190,8

d 1"	3,83	3,85	3,87	3,90	3,92	3,93	3,95
6"	23,0	23,1	23,2	23,4	23,5	23,6	23,7
7	26,8	27,0	27,1	27,3	27,4	27,5	27,7
8	30,7	30,8	30,9	31,2	31,3	31,5	31,6
9	34,5	34,7	34,8	35,1	35,3	35,4	35,6
10	38,3	38,5	38,7	39,0	39,2	39,3	39,5
20	76,7	77,0	77,3	78,0	78,3	78,7	79,0
30	115,0	115,5	116,0	117,0	117,5	118,0	118,5
40	153,3	154,0	154,7	156,0	156,7	157,3	158,0
50	191,7	192,5	193,3	195,0	195,8	196,7	197,5

d 1"	3,97	3,98	4,00	4,02	d 1"	3,97	3,98	4,00	4,02
6"	23,8	23,9	24,0	24,1	20	79,3	79,7	80,0	80,3
7	27,8	27,9	28,0	28,1	30	119,0	119,5	120,0	120,5
8	31,7	31,9	32,0	32,1	40	158,7	159,3	160,0	160,7
9	35,7	35,9	36,0	36,2	50	198,3	199,2	200,0	200,8
10	39,7	39,8	40,0	40,2					

3°

3°	lg sin	+ d 1"	lg cos	- d 1"	lg tg	+ d 1"	lg cotg	- d 1"	
30'	2,78 568	3,43	1,99 919	0,02	2,78 649	3,43	1,21 351	3,43	30'
31	78 774	42	99 918	02	78 855	43	21 145	43	29
32	78 979	40	99 917	00	79 061	42	20 939	42	28
33	79 183	38	99 917	02	79 266	40	20 734	40	27
34	79 386		99 916		79 470		20 530		26
		3,37		0,02		3,38		3,38	
35	79 588	35	99 915	02	79 673	37	20 327	37	25
36	79 789	35	99 914	02	79 875	35	20 125	35	24
37	79 990	32	99 913	00	80 076	35	19 924	35	23
38	80 189	32	99 913	02	80 277	32	19 723	32	22
39	80 388		99 912		80 476		19 524		21
		3,28		0,02		3,30		3,30	
40'	2,80 585	28	1,99 911	02	2,80 674	30	1,19 326	30	20'
41	80 782	27	99 910	02	80 872	27	19 128	27	19
42	80 978	25	99 909	00	81 068	27	18 932	27	18
43	81 173	23	99 909	02	81 264	25	18 736	25	17
44	81 367		99 908		81 459		18 541		16
		3,22		0,02		3,23		3,23	
45	81 560	20	99 907	02	81 653	22	18 347	22	15
46	81 752	20	99 906	02	81 846	20	18 154	20	14
47	81 944	17	99 905	02	82 038	20	17 962	20	13
48	82 134	17	99 904	00	82 230	17	17 770	17	12
49	82 324		99 904		82 420		17 580		11
		3,15		0,02		3,17		3,17	
50'	2,82 513	13	1,99 903	02	2,82 610	15	1,17 390	15	10'
51	82 701	12	99 902	02	82 799	13	17 201	13	9
52	82 888	12	99 901	02	82 987	13	17 013	13	8
53	83 075	10	99 900	02	83 175	10	16 825	10	7
54	83 261		99 899		83 361		16 639		6
		3,08		0,02		3,10		3,10	
55	83 446	07	99 898	00	83 547	08	16 453	08	5
56	83 630	05	99 898	02	83 732	07	16 268	07	4
57	83 813	05	99 897	02	83 916	07	16 084	07	3
58	83 996	02	99 896	02	84 100	03	15 900	03	2
59	84 177		99 895		84 282		15 718		1
		3,02		0,02		3,03		0,03	
60'	2,84 358		1,99 894		2,84 464		1,15 536		0'
	lg cos	- d 1"	lg sin	+ d 1"	lg cotg	- d 1"	lg tg	+ d 1"	86°

86°

P. P.

d 1''	0,02	3,02	3,03	3,05	3,07	3,08	3,10
6"	0,1	18,1	18,2	18,3	18,4	18,5	18,6
7	0,1	21,1	21,2	21,4	21,5	21,6	21,7
8	0,1	24,1	24,3	24,4	24,5	24,7	24,8
9	0,2	27,2	27,3	27,5	27,6	27,8	27,9
10	0,2	30,2	30,3	30,5	30,7	30,8	31,0
20	0,3	60,3	60,7	61,0	61,3	61,7	62,0
30	0,5	90,5	91,0	91,5	92,0	92,5	93,0
40	0,7	120,7	121,3	122,0	122,7	123,3	124,0
50	0,8	150,8	151,7	152,5	153,3	154,2	155,0

d 1'	3,12	3,13	3,15	3,17	3,20	3,22	3,23
6"	18,7	18,8	18,9	19,0	19,2	19,3	19,4
7	21,8	21,9	22,1	22,2	22,4	22,5	22,6
8	24,9	25,1	25,2	25,3	25,6	25,7	25,9
9	28,1	28,2	28,4	28,5	28,8	29,0	29,1
10	31,2	31,3	31,5	31,7	32,0	32,2	32,3
20	62,3	62,7	63,0	63,3	64,0	64,3	64,7
30	93,5	94,0	94,5	95,0	96,0	96,5	97,0
40	124,7	125,3	126,0	126,7	128,0	128,7	129,3
50	155,8	156,7	157,5	158,3	160,0	160,8	161,7

d 1'	3,25	3,27	3,28	3,30	3,32	3,35	3,37
6"	19,5	19,6	19,7	19,8	19,9	20,1	20,2
7	22,8	22,9	23,0	23,1	23,2	23,5	23,6
8	26,0	26,1	26,3	26,4	26,5	26,8	26,9
9	29,3	29,4	29,6	29,7	29,9	30,2	30,3
10	32,5	32,7	32,8	33,0	33,2	33,5	33,7
20	65,0	65,3	65,7	66,0	66,3	67,0	67,3
30	97,5	98,0	98,5	99,0	99,5	100,5	101,0
40	130,0	130,7	131,3	132,0	132,7	134,0	134,7
50	162,5	163,3	164,2	165,0	165,8	167,5	168,3

d 1'	3,38	3,40	3,42	3,43
6"	20,3	20,4	20,5	20,6
7	23,7	23,8	23,9	24,0
8	27,1	27,2	27,3	27,5
9	30,5	30,6	30,8	30,9
10	33,8	34,0	34,2	34,3
20	67,7	68,0	68,3	68,7
30	101,5	102,0	102,5	103,0
40	135,3	136,0	136,7	137,3
50	169,2	170,0	170,8	171,7

4°

4°	lg sin	+ d 1"	lg cos	— d 1"	lg tg	+ d 1"	lg cotg	— d 1"	
0'	2,84 358	3,02	1,99 894	0,02	2,84 464	3,03	1,15 536	3,03	60'
1	84 539	2,98	99 893	02	84 646	00	15 354	00	59
2	84 718	98	99 892	02	84 826	00	15 174	00	58
3	84 897	97	99 891	00	85 006	2,98	14 994	2,98	57
4	85 075	2,95	99 891	0,02	85 185	2,97	14 815	2,97	56
5	85 252	95	99 890	02	85 363	95	14 637	95	55
6	85 429	93	99 889	02	85 540	95	14 460	95	54
7	85 605	92	99 888	02	85 717	93	14 283	93	53
8	85 780	92	99 887	02	85 893	93	14 107	93	52
9	85 955	2,88	99 886	0,02	86 069	2,90	13 931	2,90	51
10'	2,86 128	88	1,99 885	02	2,86 243	90	1,13 757	90	50'
11	86 301	88	99 884	02	86 417	90	13 583	90	49
12	86 474	85	99 883	02	86 591	87	13 409	87	48
13	86 645	85	99 882	02	86 763	87	13 237	87	47
14	86 816	2,85	99 881	0,02	86 935	2,85	13 065	2,85	46
15	86 987	82	99 880	02	87 106	85	12 894	85	45
16	87 156	82	99 879	00	87 277	83	12 723	83	44
17	87 325	82	99 879	02	87 447	82	12 553	82	43
18	87 494	78	99 878	02	87 616	82	12 384	82	42
19	87 661	2,80	99 877	0,02	87 785	2,80	12 215	2,80	41
20'	2,87 829	77	1,99 876	02	2,87 953	78	1,12 047	78	40'
21	87 995	77	99 875	02	88 120	78	11 880	78	39
22	88 161	75	99 874	02	88 287	77	11 713	77	38
23	88 326	73	99 873	02	88 453	75	11 547	75	37
24	88 490	2,73	99 872	0,02	88 618	2,75	11 382	2,75	36
25	88 654	72	99 871	02	88 783	75	11 217	75	35
26	88 817	72	99 870	02	88 948	72	11 052	72	34
27	88 980	70	99 869	02	89 111	72	10 889	72	33
28	89 142	70	99 868	02	89 274	72	10 726	72	32
29	89 304	2,67	99 867	0,02	89 437	2,68	10 563	2,68	31
30'	2,89 464		1,99 866		2,89 598		1,10 402		30'
<div>lg cos — d 1" lg sin + d 1" lg cotg — d 1" lg tg + d 1" 85°</div>									

85°

P. P.

d 1"	0,02	2,67	2,68	2,70	2,72	2,73
6"	0,1	16,0	16,1	16,2	16,3	16,4
7	0,1	18,7	18,8	18,9	19,0	19,1
8	0,1	21,3	21,5	21,6	21,7	21,9
9	0,2	24,0	24,2	24,3	24,5	24,6
10	0,2	26,7	26,8	27,0	27,2	27,3
20	0,3	53,3	53,7	54,0	54,3	54,7
30	0,5	80,0	80,5	81,0	81,5	82,0
40	0,7	106,7	107,3	108,0	108,7	109,3
50	0,8	133,3	134,2	135,0	135,8	136,7

d 1"	2,75	2,77	2,78	2,80	2,82	2,83
6"	16,5	16,6	16,7	16,8	16,9	17,0
7	19,3	19,4	19,5	19,6	19,7	19,8
8	22,0	22,1	22,3	22,4	22,5	22,7
9	24,8	24,9	25,1	25,2	25,4	25,5
10	27,5	27,7	27,8	28,0	28,2	28,3
20	55,0	55,3	55,7	56,0	56,3	56,7
30	82,5	83,0	83,5	84,0	84,5	85,0
40	110,0	110,7	111,3	112,0	112,7	113,3
50	137,5	138,3	139,2	140,0	140,8	141,7

d 1"	2,85	2,87	2,88	2,90	2,92	2,93
6"	17,1	17,2	17,3	17,4	17,5	17,6
7	20,0	20,1	20,2	20,3	20,4	20,5
8	22,8	22,9	23,1	23,2	23,3	23,5
9	25,7	25,8	26,0	26,1	26,2	26,4
10	28,5	28,7	28,8	29,0	29,3	29,3
20	57,0	57,3	57,7	58,0	58,3	58,7
30	85,5	86,0	86,5	87,0	87,5	88,0
40	114,0	114,7	115,3	116,0	116,7	117,3
50	142,5	143,3	144,2	145,0	145,8	146,7

d 1"	2,95	2,97	2,98	3,00	3,02	3,03
6"	17,7	17,8	17,9	18,0	18,1	18,2
7	20,7	20,8	20,9	21,0	21,1	21,2
8	23,6	23,7	23,9	24,0	24,1	24,3
9	26,6	26,7	26,9	27,0	27,2	27,3
10	29,5	29,7	29,8	30,0	30,2	30,3
20	59,0	59,3	59,7	60,0	60,3	60,7
30	88,5	89,0	89,5	90,0	90,5	91,0
40	118,0	118,7	119,3	120,0	120,7	121,3
50	147,5	148,3	149,2	150,0	150,8	151,7

4°

4°	lg sin	+ d 1"	lg cos	— d 1"	lg tg	+ d 1"	lg cotg	— d 1"	
30'	2,89 464	2,68	1,99 866	0,02	2,89 598	2,70	1,10 402	2,70	30'
31	89 625	65	99 865	02	89 760	67	10 240	67	29
32	89 784	65	99 864	02	89 920	67	10 080	67	28
33	89 943	65	99 863	02	90 080	67	09 920	67	27
34	90 102	65	99 862	02	90 240	67	09 760	67	26
		2,63		0,02		2,65		2,65	
35	90 260	62	99 861	02	90 399	63	09 601	63	25
36	90 417	62	99 860	02	90 557	63	09 443	63	24
37	90 574	60	99 859	02	90 715	62	09 285	62	23
38	90 730	58	99 858	02	90 872	62	09 128	62	22
39	90 885		99 857	02	91 029		08 971		21
		2,58		0,02		2,60		2,60	
40'	2,91 040		1,99 856		2,91 185		1,08 815		20'
41	91 195	58	99 855	02	91 340	58	08 660	58	19
42	91 349	57	99 854	02	91 495	58	08 505	58	18
43	91 502	55	99 853	02	91 650	58	08 350	58	17
44	91 655	55	99 852	02	91 803	55	08 197	55	16
		2,53		0,02		2,57		2,57	
45	91 807		99 851		91 957		08 043		15
46	91 959	53	99 850	02	92 110	55	07 890	55	14
47	92 110	52	99 848	03	92 262	53	07 738	53	13
48	92 261	52	99 847	02	92 414	53	07 586	53	12
49	92 411	50	99 846	02	92 565	52	07 435	52	11
		2,50		0,02		2,52		2,52	
50'	2,92 561		1,99 845		2,92 716		1,07 284		10'
51	92 710	48	99 844	02	92 866	50	07 134	50	9
52	92 859	48	99 843	02	93 016	50	06 984	50	8
53	93 007	47	99 842	02	93 165	48	06 835	48	7
54	93 154	45	99 841	02	93 313	47	06 687	47	6
		2,45		0,02		2,48		2,48	
55	93 301		99 840		93 462		06 538		5
56	93 448	45	99 839	02	93 609	45	06 391	45	4
57	93 594	43	99 838	02	93 756	45	06 244	45	3
58	93 740	43	99 837	02	93 903	45	06 097	45	2
59	93 885	42	99 836	02	94 049	43	05 951	43	1
		2,42		0,03		2,43		2,43	
60'	2,94 030		1,99 834		2,94 195		1,05 805		0'
	lg cos	— d 1"	lg sin	+ d 1"	lg cotg	— d 1"	lg tg	+ d 1"	85°

85°

P. P.

d 1"	0,02	0,03	2,42	2,43	2,45	2,47	2,48
6"	0,1	0,2	14,5	14,6	14,7	14,8	14,9
7	0,1	0,2	16,9	17,0	17,2	17,3	17,4
8	0,1	0,3	19,3	19,5	19,6	19,7	19,9
9	0,2	0,3	21,8	21,9	22,1	22,2	22,4
10	0,2	0,3	24,2	24,3	24,5	24,7	24,8
20	0,3	0,7	48,3	48,7	49,0	49,3	49,7
30	0,5	1,0	72,5	73,0	73,5	74,0	74,5
40	0,7	1,3	96,7	97,3	98,0	98,7	99,3
50	0,8	1,7	120,8	121,7	122,5	123,3	124,2
d 1"	2,50	2,52	2,53	2,55	2,57	2,58	2,60
6"	15,0	15,1	15,2	15,3	15,4	15,5	15,6
7	17,5	17,6	17,7	17,9	18,0	18,1	18,2
8	20,0	20,1	20,3	20,4	20,5	20,7	20,8
9	22,5	22,7	22,8	23,0	23,1	23,3	23,3
10	25,0	25,2	25,3	25,5	25,7	25,8	26,0
20	50,0	50,3	50,7	51,0	51,3	51,7	52,0
30	75,0	75,5	76,0	76,5	77,0	77,5	78,0
40	100,0	100,2	101,3	102,0	102,7	103,3	104,0
50	125,0	125,8	126,7	127,5	128,3	129,2	130,0
d 1"	2,62	2,63	2,65	2,67	2,68	2,70	
6"	15,7	15,8	15,9	16,0	16,1	16,2	
7	18,3	18,4	18,6	18,7	18,8	18,9	
8	20,9	21,1	21,2	21,3	21,5	21,6	
9	23,6	23,7	23,9	24,0	24,2	24,3	
10	26,2	26,3	26,5	26,7	26,8	27,0	
20	52,3	52,7	53,0	53,3	53,7	64,0	
30	78,5	79,0	79,5	80,0	80,5	81,0	
40	104,7	105,3	106,0	106,7	107,3	108,0	
50	130,8	131,7	132,5	133,3	134,2	135,0	

5°

5°	lg sin	+ d 1"	lg cos	- d 1"	lg tg	+ d 1"	lg cotg	- d 1"	
0'	2,94 030	2,40	1,99 834	0,02	2,94 195	2,42	1,05 805	2,42	60'
1	94 174	38	99 833	02	94 340	42	05 660	42	59
2	94 317	40	99 832	02	94 485	42	05 515	42	58
3	94 461	37	99 831	02	94 630	38	05 370	38	57
4	94 603		99 830		94 773		05 227		56
		2,38		0,02		2,40		2,40	
5	94 746	35	99 829	02	94 917	38	05 083	38	55
6	94 887	37	99 828	02	95 060	37	04 940	37	54
7	95 029	35	99 827	03	95 202	37	04 798	37	53
8	95 170	33	99 825	02	95 344	37	04 656	37	52
9	95 310		99 824		95 486		04 514		51
		2,33		0,02		2,35		2,35	
10'	2,95 450	32	1,99 823	02	2,95 627	33	1,04 373	33	50'
11	95 589	32	99 822	02	95 767	35	04 233	35	49
12	95 728	32	99 821	02	95 908	32	04 092	32	48
13	95 867	30	99 820	02	96 047	33	03 953	33	47
14	96 005		99 819		96 187		03 813		46
		2,30		0,03		2,30		2,30	
15	96 143	28	99 817	02	96 325	32	03 675	32	45
16	96 280	28	99 816	02	96 464	30	03 536	30	44
17	96 417	27	99 815	02	96 602	28	03 398	28	43
18	96 553	27	99 814	02	96 739	30	03 261	30	42
19	96 689		99 813		96 877		03 123		41
		2,27		0,02		2,27		2,27	
20'	2,96 825	25	1,99 812	03	2,97 013	28	1,02 987	28	40'
21	96 960	25	99 810	02	97 150	25	02 850	25	39
22	97 095	23	99 809	02	97 285	27	02 715	27	38
23	97 229	23	99 808	02	97 421	25	02 579	25	37
24	97 363		99 807		97 556		02 444		36
		2,22		0,02		2,25		2,25	
25	97 496	22	99 806	03	97 691	23	02 309	23	35
26	97 629	22	99 804	02	97 825	23	02 175	23	34
27	97 762	20	99 803	02	97 959	22	02 041	22	33
28	97 894	20	99 802	02	98 092	22	01 908	22	32
29	98 026		99 801		98 225		01 775		31
		2,18		0,02		2,22		2,22	
30'	2,98 157		1,99 800		2,98 358		1,01 642		30'
	lg cos	- d 1"	lg sin	+ d 1"	lg cotg	- d 1"	lg tg	+ d 1"	84°

84°

P. P.

d 1 "	0,02	0,03	2,18	2,20	2,22	2,23
6 "	0,1	0,2	13,1	13,2	13,3	13,4
7	0,1	0,2	15,3	15,4	15,5	15,6
8	0,1	0,3	17,5	17,6	17,7	17,9
9	0,2	0,3	19,7	19,8	20,0	20,1
10	0,2	0,3	21,8	22,0	22,2	22,3
20	0,3	0,7	43,7	44,0	44,3	44,7
30	0,5	1,0	65,5	66,0	66,5	67,0
40	0,7	1,3	87,3	88,0	88,7	89,3
50	0,8	1,7	109,2	110,0	110,8	111,7

d 1 "	2,25	2,27	2,28	2,30	2,32	2,33
6 "	13,5	13,6	13,7	13,8	13,9	14,0
7	15,8	15,9	16,0	16,1	16,2	16,3
8	18,0	18,1	18,3	18,4	18,5	18,7
9	20,3	20,4	20,6	20,7	20,9	21,0
10	22,5	22,7	22,8	23,0	23,2	23,3
20	45,0	45,3	45,7	46,0	46,3	46,7
30	67,5	68,0	68,5	69,0	69,5	70,0
40	90,0	90,7	91,3	92,0	92,7	93,3
50	112,5	113,3	114,2	115,0	115,8	116,7

d 1 "	2,35	2,37	2,38	2,40	2,42
6 "	14,1	14,2	14,3	14,4	14,5
7	16,5	16,6	16,7	16,8	16,9
8	18,8	18,9	19,1	19,2	19,3
9	21,2	21,3	21,5	21,6	21,8
10	23,5	23,7	23,8	24,0	24,2
20	47,0	47,3	47,7	48,0	48,3
30	70,5	71,0	71,5	72,0	72,5
40	94,0	94,7	95,3	96,0	96,7
50	117,5	118,3	119,2	120,0	120,8

5°

5°	lg sin	+ d 1"	lg cos	- d 1"	lg tg	+ d 1"	lg cotg	- d 1"	
30'	2,98 157	2,18	1,99 800	0,03	2,98 358	2,20	1,01 642	2,20	30'
31	98 288	18	99 798	02	98 490	20	01 510	20	29
32	98 419	17	99 797	02	98 622	18	01 378	18	28
33	98 549	17	99 796	02	98 753	18	01 247	18	27
34	98 679	17	99 795	02	98 884	18	01 116	18	26
		2,15		0,03		2,18		2,18	
35	98 808	15	99 793	02	99 015	17	00 985	17	25
36	98 937	15	99 792	02	99 145	17	00 855	17	24
37	99 066	13	99 791	02	99 275	17	00 725	17	23
38	99 194	13	99 790	02	99 405	17	00 595	17	22
39	99 322	13	99 788	03	99 534	15	00 466	15	21
		2,13		0,02		2,13		2,13	
40'	2,99 450	12	1,99 787	02	2,99 662	15	1,00 338	15	20'
41	99 577	12	99 786	02	99 791	13	00 209	13	19
42	99 704	10	99 785	03	99 919	12	00 081	12	18
43	99 830	10	99 783	02	1,00 046	13	0,99 954	13	17
44	99 956	10	99 782	02	00 174		99 826	13	16
		2,10		0,02		2,12		2,12	
45	1,00 082	08	99 781	02	00 301	10	99 699	10	15
46	00 207	08	99 780	03	00 427	10	99 573	10	14
47	00 332	07	99 778	02	00 553	10	99 447	10	13
48	00 456	08	99 777	02	00 679	10	99 321	10	12
49	00 581	08	99 776	02	00 805	10	99 195	10	11
		2,05		0,02		2,08		2,08	
50'	1,00 704	07	1,99 775	03	1,00 930	08	0,99 070	08	10'
51	00 828	05	99 773	02	01 055	07	98 945	07	9
52	00 951	05	99 772	02	01 179	07	98 821	07	8
53	01 074	03	99 771	03	01 303	07	98 697	07	7
54	01 196	03	99 769	03	01 427	07	98 573	07	6
		2,03		0,02		2,05		2,05	
55	01 318	03	99 768	02	01 550	05	98 450	05	5
56	01 440	02	99 767	03	01 673	05	98 327	05	4
57	01 561	02	99 765	02	01 796	03	98 204	03	3
58	01 682	02	99 764	02	01 918	03	98 082	03	2
59	01 803	02	99 763	02	02 040	03	97 960	03	1
		2,00		0,03		2,03		2,03	
60'	1,01 923		1,99 761		1,02 162		0,97 838		0'

lg cos	- d 1"	lg sin	+ d 1"	lg cotg	- d 1"	lg tg	+ d 1"	48°
--------	--------	--------	--------	---------	--------	-------	--------	-----

48°

P. P.

d 1"	0,02	0,03	2,00	2,02	2,03
6"	0,1	0,2	12,0	12,1	12,2
7	0,1	0,2	14,0	14,1	14,2
8	0,1	0,3	16,0	16,1	16,3
9	0,2	0,3	18,0	18,2	18,3
10	0,2	0,3	20,0	20,2	20,3
20	0,3	0,7	40,0	40,3	40,7
30	0,5	1,0	60,0	60,5	61,0
40	0,7	1,3	80,0	80,7	81,3
50	0,8	1,7	100,0	100,8	101,7

d 1"	2,05	2,07	2,08	2,10	2,12
6"	12,3	12,4	12,5	12,6	12,7
7	14,4	14,5	14,6	14,7	14,8
8	16,4	16,5	16,7	16,8	16,9
9	18,5	18,6	18,8	18,9	19,1
10	20,5	20,7	20,8	21,0	21,2
20	41,0	41,3	41,7	42,0	42,3
30	61,5	62,0	62,5	63,0	63,5
40	82,0	82,7	83,3	84,0	84,7
50	102,5	103,3	104,2	105,0	105,8

d 1"	2,13	2,15	2,17	2,18	2,20
6"	12,8	12,9	13,0	13,1	13,2
7	14,9	15,1	15,2	15,3	15,4
8	17,1	17,2	17,3	17,5	17,6
9	19,2	19,4	19,5	19,7	19,8
10	21,3	21,5	21,7	21,8	22,0
20	42,7	43,0	43,3	43,7	44,0
30	64,0	64,5	65,0	65,5	66,0
40	85,3	86,0	86,7	87,3	88,0
50	106,7	107,5	108,3	109,2	110,0

6°

6°	lg sin	+d 1"	lg cos	-d 1"	lg tg	+d 1"	lg cotg	-d 1"	
0'	1,01 923	2,00	1,99 761	0,02	1,02 162	2,02	0,97 838	2,02	60
1	02 043	00	99 760	02	02 283	02	97 717	02	59
2	02 163	00	99 759	03	02 404	02	97 596	02	58
3	02 283	1,98	99 757	02	02 525	00	97 475	00	57
4	02 402	1,97	99 756	0,02	02 645	2,02	97 355	2,02	56
5	02 520	98	99 755	03	02 766	1,98	97 234	1,98	55
6	02 639	97	99 753	02	02 885	2,00	97 115	2,00	54
7	02 757	95	99 752	02	03 005	1,98	96 995	1,98	53
8	02 874	97	99 751	03	03 124	97	96 876	97	52
9	02 992	1,95	99 749	0,02	03 242	1,98	96 758	1,98	51
10'	1,03 109	95	1,99 748	02	1,03 361	97	0,96 639	97	50'
11	03 226	93	99 747	03	03 479	97	96 521	97	49
12	03 342	93	99 745	02	03 597	95	96 403	95	48
13	03 458	93	99 744	03	03 714	97	96 286	97	47
14	03 574	1,93	99 742	0,02	03 832	1,93	96 168	1,93	46
15	03 690	92	99 741	02	03 948	95	96 052	95	45
16	03 805	92	99 740	03	04 065	93	95 935	93	44
17	03 920	90	99 738	02	04 181	93	95 819	93	43
18	04 034	92	99 737	02	04 297	93	95 703	93	42
19	04 149	1,88	99 736	0,03	04 413	1,92	95 587	1,92	41
20'	1,04 262	90	1,99 734	02	1,04 528	92	0,95 472	92	40'
21	04 376	90	99 733	03	04 643	92	95 357	92	39
22	04 490	88	99 731	02	04 758	92	95 242	92	38
23	04 603	87	99 730	03	04 873	90	95 127	90	37
24	04 715	1,88	99 728	0,02	04 987	1,90	95 013	1,90	36
25	04 828	87	99 727	02	05 101	88	94 899	88	35
26	04 940	87	99 726	03	05 214	90	94 786	90	34
27	05 052	87	99 724	02	05 328	88	94 672	88	33
28	05 164	85	99 723	03	05 441	87	94 559	87	32
29	05 275	1,85	99 721	0,02	05 553	1,88	94 447	1,88	31
30'	1,05 386	90	1,99 720	02	1,05 666	90	0,94 334	90	30'
lg cos		-d 1"	lg sin		+d 1"	lg cotg		-d 1"	83°

P. P.

d 1"	0,02	0,03	1,87	1,88	1,90	1,92	1,93	1,95	1,97	1,98	2,00	2,02
6"	0,1	0,2	11,2	11,3	11,4	11,5	11,6	11,7	11,8	11,9	12,0	12,1
7	0,1	0,2	13,1	13,2	13,3	13,4	13,5	13,7	13,8	13,9	14,0	14,1
8	0,1	0,3	14,9	15,1	15,2	15,3	15,5	15,6	15,7	15,9	16,0	16,1
9	0,2	0,3	16,8	17,0	17,1	17,3	17,4	17,6	17,7	17,9	18,0	18,2
10	0,2	0,3	18,7	18,8	19,0	19,2	19,3	19,5	19,7	19,8	20,0	20,2
20	0,3	0,7	37,3	37,7	38,0	38,3	38,7	39,0	39,3	39,7	40,0	40,3
30	0,5	1,0	56,0	56,5	57,0	57,5	58,0	58,5	59,0	59,5	60,0	60,5
40	0,7	1,3	74,7	75,3	76,0	76,7	77,3	78,0	78,7	79,3	80,0	80,7
50	0,8	1,7	93,3	94,2	95,0	95,8	96,7	97,5	98,3	99,2	100,0	100,8

83°

6°

6°	lg sin	+d 1"	lg cos	-d 1"	lg tg	+d 1"	lg cotg	-d 1"
30'	1,05 386		1,99 720		1,05 666		0,94 334	
31	05 497	1,85	99 718	0,03	05 778	1,87	94 222	1,87
32	05 607	83	99 717	02	05 890	87	94 110	87
33	05 717	83	99 716	02	06 002	87	93 998	87
34	05 827	83	99 714	03	06 113	85	93 887	85
35	05 937	1,83	99 713	0,02	06 224	1,85	93 776	1,85
36	06 046	82	99 711	03	06 335	85	93 665	85
37	06 155	82	99 710	02	06 445	83	93 555	83
38	06 264	82	99 708	03	06 556	85	93 444	85
39	06 372	80	99 707	02	06 666	83	93 334	83
40'	1,06 481	1,82	1,99 705	0,03	1,06 775	1,82	0,93 225	1,82
41	06 589	80	99 704	02	06 885	83	93 115	83
42	06 696	78	99 702	03	06 994	82	93 006	82
43	06 804	80	99 701	02	07 103	82	92 897	82
44	06 911	78	99 699	03	07 211	80	92 789	80
45	07 018	1,78	99 698	0,02	07 320	1,82	92 680	1,82
46	07 124	77	99 696	03	07 428	80	92 572	80
47	07 231	78	99 695	02	07 536	80	92 464	80
48	07 337	77	99 693	03	07 643	78	92 357	78
49	07 442	75	99 692	02	07 751	80	92 249	80
50'	1,07 548	1,77	1,99 690	0,03	1,07 858	1,78	0,92 142	1,78
51	07 653	75	99 689	02	07 964	77	92 036	77
52	07 758	75	99 687	03	08 071	78	91 929	78
53	07 863	75	99 686	02	08 177	77	91 823	77
54	07 968	75	99 684	03	08 283	77	91 717	77
55	08 072	1,73	99 683	0,02	08 389	1,77	91 611	1,77
56	08 176	73	99 681	03	08 495	77	91 505	77
57	08 280	73	99 680	02	08 600	75	91 400	75
58	08 383	72	99 678	03	08 705	75	91 295	75
59	08 486	72	99 677	02	08 810	75	91 190	75
60'	1,08 589	1,72	1,99 675	0,03	1,08914	1,73	0,91 086	1,73
	lg cos	-d 1"	lg sin	+d 1"	lg cotg	-d 1"	lg tg	+d 1"

P. P.

d 1"	0,02	0,03	1,72	1,73	1,75	1,77	1,78	1,80	1,82	1,83	1,85	1,87
6"	0,1	0,2	10,3	10,4	10,5	10,6	10,7	10,8	10,9	11,0	11,1	11,2
7	0,1	0,2	12,0	12,1	12,3	12,4	12,5	12,6	12,7	12,8	13,0	13,1
8	0,1	0,3	13,7	13,9	14,0	14,1	14,3	14,4	14,5	14,7	14,8	14,9
9	0,2	0,3	15,5	15,6	15,8	15,9	16,1	16,2	16,4	16,5	16,7	16,8
10	0,2	0,3	17,2	17,3	17,5	17,7	17,8	18,0	18,2	18,3	18,5	18,7
20	0,3	0,7	34,3	34,7	35,0	35,3	35,7	36,0	36,3	36,7	37,0	37,3
30	0,5	1,0	51,5	52,0	52,5	53,0	53,5	54,0	54,5	55,0	55,5	56,0
40	0,7	1,3	68,7	69,3	70,0	70,7	71,3	72,0	72,7	73,3	74,0	74,7
50	0,8	1,7	85,8	86,7	87,5	88,3	89,2	90,0	90,8	91,7	92,5	93,3

83°

7°

7°	lg sin	+d 1"	lg cos	-d 1"	lg tg	+d 1"	lg cotg	-d 1"
0'	1,08 589		1,99 675		1,08 914		0,91 086	
1	08 692	1,72	99 674	0,02	09 019	1,75	90 981	1,75
2	08 795	72	99 672	03	09 123	73	90 877	73
3	08 897	70	99 670	03	09 227	73	90 773	73
4	08 999	70	99 669	02	09 330	72	90 670	72
5	09 101	1,70	99 667	0,03	09 434	1,73	90 566	1,73
6	09 202	68	99 666	02	09 537	72	90 463	72
7	09 304	70	99 664	03	09 640	72	90 360	72
8	09 405	68	99 663	02	09 742	70	90 258	70
9	09 506	68	99 661	03	09 845	72	90 155	72
10'	1,09 606	1,67	1,99 659	0,03	1,09 947	1,70	0,90 053	1,70
11	09 707	68	99 658	02	10 049	70	89 951	70
12	09 807	67	99 656	03	10 150	68	89 850	68
13	09 907	67	99 655	02	10 252	70	89 748	70
14	10 006	65	99 653	03	10 353	68	89 647	68
15	10 106	1,67	99 651	0,03	10 454	1,68	89 546	1,68
16	10 205	65	99 650	02	10 555	68	89 445	68
17	10 304	65	99 648	03	10 656	68	89 344	68
18	10 402	63	99 647	02	10 756	67	89 244	67
19	10 501	65	99 645	03	10 856	67	89 144	67
20'	1,10 599	1,63	1,99 643	0,03	1,10 956	1,67	0,89 044	1,67
21	10 697	63	99 642	02	11 056	67	88 944	67
22	10 795	63	99 640	03	11 155	65	88 845	65
23	10 893	63	99 638	03	11 254	65	88 746	65
24	10 990	62	99 637	02	11 353	65	88 647	65
25	11 087	1,62	99 635	0,03	11 452	1,65	88 548	1,65
26	11 184	62	99 633	03	11 551	65	88 449	65
27	11 281	62	99 632	02	11 649	63	88 351	63
28	11 377	60	99 630	03	11 747	63	88 253	63
29	11 474	62	99 629	02	11 845	63	88 155	63
30'	1,11 570	1,60	1,99 627	0,03	1,11 943	1,63	0,88 057	1,63
	lg cos	-d 1"	lg sin	+d 1"	lg cotg	-d 1"	lg tg	+d 1"

P. P.

d 1"	0,02	0,03	1,60	1,62	1,63	1,65	1,67	1,68	1,70	1,72	1,73	1,75
6"	0,1	0,2	9,6	9,7	9,8	9,9	10,0	10,1	10,2	10,3	10,4	10,5
7	0,1	0,2	11,2	11,3	11,4	11,6	11,7	11,8	11,9	12,0	12,1	12,3
8	0,1	0,3	12,8	12,9	13,1	13,2	13,3	13,5	13,6	13,7	13,9	14,0
9	0,2	0,3	14,4	14,6	14,7	14,9	15,0	15,2	15,3	15,5	15,6	15,8
10	0,2	0,3	16,0	16,2	16,3	16,5	16,7	16,8	17,0	17,2	17,3	17,5
20	0,3	0,7	32,0	32,3	32,7	33,0	33,3	33,7	34,0	34,3	34,7	35,0
30	0,5	1,0	48,0	48,5	49,0	49,5	50,0	50,5	51,0	51,5	52,0	52,5
40	0,7	1,3	64,0	64,7	65,3	66,0	66,7	67,3	68,0	68,7	69,3	70,0
50	0,8	1,7	80,0	80,8	81,7	82,5	83,3	84,2	85,0	85,8	86,7	87,5

82°

7°

7°	lg sin	+d 1"	lg cos	-d 1"	lg tg	+d 1"	lg cotg	-d 1"
30'	1,11 570		1,99 627		1,11 943		0,88 057	
31	11 666	1,60	99 625	0,03	12 040	1,62	87 960	1,62
32	11 761	58	99 624	02	12 138	63	87 862	63
33	11 857	60	99 622	03	12 235	62	87 765	62
34	11 952	58	99 620	03	12 332	62	87 668	62
35	12 047	1,58	99 618	0,03	12 428	1,60	87 572	1,60
36	12 142	58	99 617	02	12 525	62	87 475	62
37	12 236	57	99 615	03	12 621	60	87 379	60
38	12 331	58	99 613	03	12 717	60	87 283	60
39	12 425	57	99 612	02	12 813	60	87 187	60
40'	1,12 519	1,57	1,99 610	0,03	1,12 909	1,60	0,87 091	1,60
41	12 612	55	99 608	03	13 004	58	86 996	58
42	12 706	57	99 607	02	13 099	58	86 901	58
43	12 799	55	99 605	03	13 194	58	86 806	58
44	12 892	55	99 603	03	13 289	58	86 711	58
45	12 985	1,55	99 601	0,03	13 384	1,58	86 616	1,58
46	13 078	55	99 600	02	13 478	57	86 522	57
47	13 171	55	99 598	03	13 573	58	86 427	58
48	13 263	53	99 596	03	13 667	57	86 333	57
49	13 355	53	99 595	02	13 761	57	86 239	57
50'	1,13 447	1,53	1,99 593	0,03	1,13 854	1,55	0,86 146	1,55
51	13 539	53	99 591	03	13 948	57	86 052	57
52	13 630	52	99 589	03	14 041	55	85 959	55
53	13 722	53	99 588	02	14 134	55	85 866	55
54	13 813	52	99 586	03	14 227	55	85 773	55
55	13 904	1,52	99 584	0,03	14 320	1,55	85 680	1,55
56	13 994	50	99 582	03	14 412	53	85 588	53
57	14 085	52	99 581	02	14 504	53	85 496	53
58	14 175	50	99 579	03	14 597	55	85 403	55
59	14 266	52	99 577	03	14 688	52	85 312	52
60'	1,14 356	1,50	1,99 575	0,03	1,14 780	1,53	0,85 220	1,53
	lg cos	-d 1"	lg sin	+d 1"	lg cotg	-d 1"	lg tg	+d 1"

P. P.

d 1"	0,02	0,03	1,50	1,52	1,53	1,55	1,57	1,58	1,60	1,62	1,63
6"	0,1	0,2	9,0	9,1	9,2	9,3	9,4	9,5	9,6	9,7	9,8
7	0,1	0,2	10,5	10,6	10,7	10,9	11,0	11,1	11,2	11,3	11,4
8	0,1	0,3	12,0	12,1	12,3	12,4	12,5	12,7	12,8	12,9	13,1
9	0,2	0,3	13,5	13,7	13,8	14,0	14,1	14,3	14,4	14,6	14,7
10	0,2	0,3	15,0	15,2	15,3	15,5	15,7	15,8	16,0	16,2	16,3
20	0,3	0,7	30,0	30,3	30,7	31,0	31,3	31,7	32,0	32,3	32,7
30	0,5	1,0	45,0	45,5	46,0	46,5	47,0	47,5	48,0	48,5	49,0
40	0,7	1,3	60,0	60,7	61,3	62,0	62,7	63,3	64,0	64,7	65,3
50	0,8	1,7	75,0	75,8	76,7	77,5	78,3	79,2	80,0	80,8	81,7

82°

8°

8°	lg sin	+d 1"	lg cos	-d 1"	lg tg	+d 1"	lg cotg	-d 1"
0'	1,14 356	1,48	1,99 575	0,02	1,14 780	1,53	0,85 220	1,53
1	14 445	50	99 574	03	14 872	52	85 128	52
2	14 535	48	99 572	03	14 963	52	85 037	52
3	14 624	50	99 570	03	15 054	52	84 946	52
4	14 714	1,48	99 568	0,03	15 145	52	84 855	52
5	14 803	47	99 566	02	15 236	1,52	84 764	1,52
6	14 891	48	99 565	03	15 327	52	84 673	52
7	14 980	48	99 563	03	15 417	50	84 583	50
8	15 069	47	99 561	03	15 508	52	84 492	52
9	15 157	1,47	99 559	0,03	15 598	50	84 402	50
10'	1,15 245	47	1,99 557	02	1,15 688	1,50	0,84 312	1,50
11	15 333	47	99 556	03	15 777	48	84 223	48
12	15 421	45	99 554	03	15 867	50	84 133	50
13	15 508	47	99 552	03	15 956	48	84 044	48
14	15 596	47	99 550	03	16 046	50	83 954	50
15	15 683	1,45	99 548	0,03	16 135	1,48	83 865	1,48
16	15 770	45	99 546	03	16 224	48	83 776	48
17	15 857	45	99 545	02	16 312	47	83 688	47
18	15 944	45	99 543	03	16 401	48	83 599	48
19	16 030	43	99 541	03	16 489	47	83 511	47
20'	1,16 116	1,43	1,99 539	0,03	1,16 577	1,47	0,83 423	1,47
21	16 203	45	99 537	03	16 665	47	83 335	47
22	16 289	43	99 535	03	16 753	47	83 247	47
23	16 374	42	99 533	03	16 841	47	83 159	47
24	16 460	43	99 532	02	16 928	45	83 072	45
25	16 545	1,42	99 530	0,03	17 016	1,47	82 984	1,47
26	16 631	43	99 528	03	17 103	45	82 897	45
27	16 716	42	99 526	03	17 190	45	82 810	45
28	16 801	42	99 524	03	17 277	45	82 723	45
29	16 886	42	99 522	03	17 363	43	82 637	43
30'	1,16 970	1,40	1,99 520	0,03	1,17 450	1,45	0,82 550	1,45
lg cos	-d 1"	lg sin	+d 1"	lg cotg	-d 1"	lg tg	+d 1"	81°

P. P.

d 1"	0,02	0,03	1,40	1,42	1,43	1,45	1,47	1,48	1,50	1,52	1,53
6"	0,1	0,2	8,4	8,5	8,6	8,7	8,8	8,9	9,0	9,1	9,2
7	0,1	0,2	9,8	9,9	10,0	10,2	10,3	10,4	10,5	10,6	10,7
8	0,1	0,3	11,2	11,3	11,5	11,6	11,7	11,9	12,0	12,1	12,3
9	0,2	0,3	12,6	12,8	12,9	13,1	13,2	13,4	13,5	13,7	13,8
10	0,2	0,3	14,0	14,2	14,3	14,5	14,7	14,8	15,0	15,2	15,3
20	0,3	0,7	28,0	28,3	28,7	29,0	29,3	29,7	30,0	30,3	30,7
30	0,5	1,0	42,0	42,5	43,0	43,5	44,0	44,5	45,0	45,5	46,0
40	0,7	1,3	56,0	56,7	57,3	58,0	58,7	59,3	60,0	60,7	61,3
50	0,8	1,7	70,0	70,8	71,7	72,5	73,3	74,2	75,0	75,8	76,7

81°

8°

8°	lg sin.	+d 1"	lg cos	-d 1"	lg tg	+d 1"	lg cotg	-d 1"	
30'	1,16 970		1,99 520		1,17 450		0,82 550		30'
31	17 055	1,42	99 518	0,03	17 536	1,43	82 464	1,43	29
32	17 139	40	99 517	02	17 622	43	82 378	43	28
33	17 223	40	99 515	03	17 708	43	82 292	43	27
34	17 307	40	99 513	03	17 794	43	82 206	43	26
35	17 391	1,40	99 511	0,03	17 880	1,43	82 120	1,43	25
36	17 474	38	99 509	03	17 965	42	82 035	42	24
37	17 558	40	99 507	03	18 051	43	81 949	43	23
38	17 641	38	99 505	03	18 136	42	81 864	42	22
39	17 724	38	99 503	03	18 221	42	81 779	42	21
40'	1,17 807	1,38	1,99 501	0,03	1,18 306	1,42	0,81 694	1,42	20'
41	17 890	38	99 499	03	18 391	42	81 609	42	19
42	17 973	38	99 497	03	18 475	40	81 525	40	18
43	18 055	37	99 495	03	18 560	42	81 440	42	17
44	18 137	37	99 494	02	18 644	40	81 356	40	16
45	18 220	1,38	99 492	0,03	18 728	1,40	81 272	1,40	15
46	18 302	37	99 490	03	18 812	40	81 188	40	14
47	18 383	35	99 488	03	18 896	40	81 104	40	13
48	18 465	37	99 486	03	18 979	38	81 021	38	12
49	18 547	37	99 484	03	19 063	40	80 937	40	11
50'	1,18 628	1,35	1,99 482	0,03	1,19 146	1,38	0,80 854	1,38	10'
51	18 709	35	99 480	03	19 229	38	80 771	38	9
52	18 790	35	99 478	03	19 312	38	80 688	38	8
53	18 871	35	99 476	03	19 395	38	80 605	38	7
54	18 952	35	99 474	03	19 478	38	80 522	38	6
55	19 033	1,35	99 472	0,03	19 561	1,38	80 439	1,38	5
56	19 113	33	99 470	03	19 643	37	80 357	37	4
57	19 193	33	99 468	03	19 725	37	80 275	37	3
58	19 273	33	99 466	03	19 807	37	80 193	37	2
59	19 353	33	99 464	03	19 889	37	80 111	37	1
60'	1,19 433	1,33	1,99 462	0,03	1,19 971	1,37	0,80 029	1,37	0'
	lg cos	-d 1"	lg sin	+d 1"	lg cotg	-d 1"	lg tg	+d 1"	81°

P. P.

d 1"	0,02	0,03	1,33	1,35	1,37	1,38	1,40	1,42	1,43
6"	0,1	0,2	8,0	8,1	8,2	8,3	8,4	8,5	8,6
7	0,1	0,2	9,3	9,5	9,6	9,7	9,8	9,9	10,0
8	0,1	0,3	10,7	10,8	10,9	11,1	11,2	11,3	11,5
9	0,2	0,3	12,0	12,2	12,3	12,5	12,6	12,8	12,9
10	0,2	0,3	13,3	13,5	13,7	13,8	14,0	14,2	14,3
20	0,3	0,7	26,7	27,0	27,3	27,7	28,0	28,3	28,7
30	0,5	1,0	40,0	40,5	41,0	41,5	42,0	42,5	43,0
40	0,7	1,3	53,3	54,0	54,7	55,3	56,0	56,7	57,3
50	0,8	1,7	66,7	67,4	68,3	69,2	70,0	70,8	71,7

81°

9°

9°	lg sin	+d 1"	lg cos	-d 1"	lg tg	+d 1"	lg cotg	-d 1"	
0'	1,19 433	1,33	1,99 462	0,03	1,19 971	1,37	0,80 029	1,37	60'
1	19 513	32	99 460	03	20 053	35	79 947	35	59
2	19 592	33	99 458	03	20 134	37	79 866	37	58
3	19 672	32	99 456	03	20 216	35	79 784	35	57
4	19 751	32	99 454	03	20 297	35	79 703	35	56
5	19 830	1,32	99 452	0,03	20 378	1,35	79 622	1,35	55
6	19 909	32	99 450	03	20 459	35	79 541	35	54
7	19 988	32	99 448	03	20 540	35	79 460	35	53
8	20 067	32	99 446	03	20 621	35	79 379	35	52
9	20 145	30	99 444	03	20 701	33	79 299	33	51
10'	1,20 223	1,30	1,99 442	0,03	1,20 782	1,35	0,79 218	1,35	50'
11	20 302	32	99 440	03	20 862	33	79 138	33	49
12	20 380	30	99 438	03	20 942	33	79 058	33	48
13	20 458	30	99 436	03	21 022	33	78 978	33	47
14	20 535	28	99 434	03	21 102	33	78 898	33	46
15	20 613	1,30	99 432	0,03	21 182	1,33	78 818	1,33	45
16	20 691	30	99 429	05	21 261	32	78 739	32	44
17	20 768	28	99 427	03	21 341	33	78 659	33	43
18	20 845	28	99 425	03	21 420	32	78 580	32	42
19	20 922	28	99 423	03	21 499	32	78 501	32	41
20'	1,20 999	1,28	1,99 421	0,03	1,21 578	1,32	0,78 422	1,32	40'
21	21 076	28	99 419	03	21 657	32	78 343	32	39
22	21 153	28	99 417	03	21 736	32	78 264	32	38
23	21 229	27	99 415	03	21 814	30	78 186	30	37
24	21 306	28	99 413	03	21 893	32	78 107	32	36
25	21 382	1,27	99 411	0,03	21 971	1,30	78 029	1,30	35
26	21 458	27	99 409	03	22 049	30	77 951	30	34
27	21 534	27	99 407	03	22 127	30	77 873	30	33
28	21 610	27	99 404	05	22 205	30	77 795	30	32
29	21 685	25	99 402	03	22 283	30	77 717	30	31
30'	1,21 761	1,27	1,99 400	0,03	1,22 361	1,30	0,77 639	1,30	30'
	lg cos	-d 1"	lg sin	+d 1"	lg cotg	-d 1"	lg tg	+d 1"	80°

P. P.

d 1'	0,03	0,05	1,27	1,28	1,30	1,32	1,33	1,35	1,37
6"	0,2	0,3	7,6	7,7	7,8	7,9	8,0	8,1	8,2
7	0,2	0,4	8,9	9,0	9,1	9,2	9,3	9,5	9,6
8	0,3	0,4	10,1	10,3	10,4	10,5	10,7	10,8	10,9
9	0,3	0,5	11,4	11,6	11,7	11,9	12,0	12,2	12,3
10	0,3	0,5	12,7	12,8	13,0	13,2	13,3	13,5	13,7
20	0,7	1,0	25,3	25,7	26,0	26,3	26,7	27,0	27,3
30	1,0	1,5	38,0	38,5	39,0	39,5	40,0	40,5	41,0
40	1,3	2,0	50,7	51,3	52,0	52,7	53,3	54,0	54,7
50	1,7	2,5	63,3	64,2	65,0	65,8	66,7	67,5	68,3

80°

9°

9°	lg sin	+d 1"	lg cos	-d 1"	lg tg	+d 1"	lg cotg	-d 1"
30'	1,21 761	1,25	1,99 400	0,03	1,22 361	1,28	0,77 639	1,28
31	21 836	27	99 398	03	22 438	30	77 562	30
32	21 912	25	99 396	03	22 516	28	77 484	28
33	21 987	25	99 394	03	22 593	28	77 407	28
34	22 062	1,25	99 392	0,03	22 670	1,28	77 330	1,28
35	22 137	23	99 390	03	22 747	28	77 253	28
36	22 211	25	99 388	05	22 824	28	77 176	28
37	22 286	25	99 385	03	22 901	27	77 099	27
38	22 361	23	99 383	03	22 977	28	77 023	28
39	22 435	1,23	99 381	0,03	23 054	1,27	76 946	1,27
40'	1,22 509	23	1,99 379	03	1,23 130	27	0,76 870	27
41	22 583	23	99 377	03	23 206	28	76 794	28
42	22 657	23	99 375	05	23 283	27	76 717	27
43	22 731	23	99 372	03	23 359	27	76 641	27
44	22 805	1,22	99 370	0,03	23 435	1,25	76 565	1,25
45	22 878	23	99 368	03	23 510	27	76 490	27
46	22 952	22	99 366	03	23 586	25	76 414	25
47	23 025	22	99 364	03	23 661	27	76 339	27
48	23 098	22	99 362	05	23 737	25	76 263	25
49	23 171	1,22	99 359	0,03	23 812	1,25	76 188	1,25
50'	1,23 244	22	1,99 357	03	1,23 887	25	0,76 113	25
51	23 317	22	99 355	03	23 962	25	76 038	25
52	23 390	20	99 353	03	24 037	25	75 963	25
53	23 462	22	99 351	05	24 112	23	75 888	23
54	23 535	1,20	99 348	0,03	24 186	1,25	75 814	1,25
55	23 607	20	99 346	03	24 261	23	75 739	23
56	23 679	22	99 344	03	24 335	25	75 665	25
57	23 752	18	99 342	03	24 410	23	75 590	23
58	23 823	20	99 340	05	24 484	23	75 516	23
59	23 895	1,20	99 337	0,03	24 558	1,23	75 442	1,23
60'	1,23 967		1,99 335		1,24 632		0,75 368	

lg cos	-d 1"	lg sin	+d 1"	lg cotg	-d 1"	lg tg	+d 1"
--------	-------	--------	-------	---------	-------	-------	-------

P. P.

d 1"	0,03	0,05	1,18	1,20	1,22	1,23	1,25	1,27	1,28
6"	0,2	0,3	7,1	7,2	7,3	7,4	7,5	7,6	7,7
7	0,2	0,4	8,3	8,4	8,5	8,6	8,8	8,9	9,0
8	0,3	0,4	9,5	9,6	9,7	9,9	10,0	10,1	10,3
9	0,3	0,5	10,7	10,8	11,0	11,1	11,3	11,4	11,6
10	0,3	0,5	11,8	12,0	12,2	12,3	12,5	12,7	12,8
20	0,7	1,0	23,7	24,0	24,3	24,7	25,0	25,3	25,7
30	1,0	1,5	35,5	36,0	36,5	37,0	37,5	38,0	38,5
40	1,3	2,0	47,3	48,0	48,7	49,3	50,0	50,7	51,3
50	1,7	2,5	59,2	60,0	60,8	61,7	62,5	63,3	64,2

80°

10°

10°	lg sin	+d 1"	lg cos	-d 1"	lg tg	+d 1"	lg cotg	-d 1"
0'	1,23 967		1,99 335		1,24 632		0,75 368	
1	24 039	1,20	99 333	0,03	24 706	1,23	75 294	1,23
2	24 110	18	99 331	03	24 779	22	75 221	22
3	24 181	18	99 328	05	24 853	23	75 147	23
4	24 253	20	99 326	03	24 926	22	75 074	22
5	24 324	1,18	99 324	0,03	25 000	1,23	75 000	1,23
6	24 395	18	99 322	03	25 073	22	74 927	22
7	24 466	18	99 319	05	25 146	22	74 854	22
8	24 536	17	99 317	03	25 219	22	74 781	22
9	24 607	18	99 315	03	25 292	22	74 708	22
10'	1,24 677	1,17	1,99 313	0,03	1,25 365	1,22	0,74 635	1,22
11	24 748	18	99 310	05	25 437	20	74 563	20
12	24 818	17	99 308	03	25 510	22	74 490	22
13	24 888	17	99 306	03	25 582	20	74 418	20
14	24 958	17	99 304	03	25 655	22	74 345	22
15	25 028	1,17	99 301	0,05	25 727	1,20	74 273	1,20
16	25 098	17	99 299	03	25 799	20	74 201	20
17	25 168	17	99 297	03	25 871	20	74 129	20
18	25 237	15	99 294	05	25 943	20	74 057	20
19	25 307	17	99 292	03	26 015	20	73 985	20
20'	1,25 376	1,15	1,99 290	0,03	1,26 086	1,18	0,73 914	1,18
21	25 445	15	99 288	03	26 158	20	73 842	20
22	25 514	15	99 285	05	26 229	18	73 771	18
23	25 583	15	99 283	03	26 301	20	73 699	20
24	25 652	15	99 281	03	26 372	18	73 628	18
25	25 721	1,15	99 278	0,05	26 443	1,18	73 557	1,18
26	25 790	15	99 276	03	26 514	18	73 486	18
27	25 858	13	99 274	03	26 585	18	73 415	18
28	25 927	15	99 271	05	26 655	17	73 345	17
29	25 995	13	99 269	03	26 726	18	73 274	18
30'	1,26 063	1,13	1,99 267	0,03	1,26 797	1,18	0,73 203	1,18
	lg cos	-d 1"	lg sin	+d 1"	lg cotg	-d 1"	lg tg	+d 1"

P. P.

d 1"	0,03	0,05	1,13	1,15	1,17	1,18	1,20	1,22	1,23
6"	0,2	0,3	6,8	6,9	7,0	7,1	7,2	7,3	7,4
7	0,2	0,4	7,9	8,1	8,2	8,3	8,4	8,5	8,6
8	0,3	0,4	9,1	9,2	9,3	9,5	9,6	9,7	9,9
9	0,3	0,5	10,2	10,4	10,5	10,7	10,8	11,0	11,1
10	0,3	0,5	11,3	11,5	11,7	11,8	12,0	12,2	12,3
20	0,7	1,0	22,7	23,0	23,3	23,7	24,0	24,3	24,7
30	1,0	1,5	34,0	34,5	35,0	35,5	36,0	36,5	37,0
40	1,3	2,0	45,3	46,0	46,7	47,3	48,0	48,7	49,3
50	1,7	2,5	56,7	57,5	58,3	59,2	60,0	60,8	61,7

79°

10°

10°	lg sin	+d 1"	lg cos	-d 1"	lg tg	+d 1"	lg cotg	-d 1"
30'	1,26 063	1,13	1,99 267	0,05	1,26 797	1,17	0,73 203	1,17
31	26 131	13	99 264	03	26 867	17	73 133	17
32	26 199	13	99 262	03	26 937	18	73 063	18
33	26 267	13	99 260	05	27 008	17	72 992	17
34	26 335	1,13	99 257	0,03	27 078	1,17	72 922	1,17
35	26 403	12	99 255	05	27 148	17	72 852	17
36	26 470	13	99 252	03	27 218	17	72 782	17
37	26 538	12	99 250	03	27 288	15	72 712	15
38	26 605	12	99 248	05	27 357	17	72 643	17
39	26 672	1,12	99 245	0,03	27 427	1,15	72 573	1,15
40'	1,26 739	12	1,99 243	03	1,27 496	17	0,72 504	17
41	26 806	12	99 241	05	27 566	15	72 434	15
42	26 873	12	99 238	03	27 635	15	72 365	15
43	26 940	12	99 236	05	27 704	15	72 296	15
44	27 007	1,10	99 233	0,03	27 773	1,15	72 227	1,15
45	27 073	12	99 231	03	27 842	15	72 158	15
46	27 140	10	99 229	05	27 911	15	72 089	15
47	27 206	12	99 226	03	27 980	15	72 020	15
48	27 273	10	99 224	05	28 049	13	71 951	13
49	27 339	1,10	99 221	0,03	28 117	1,15	71 883	1,15
50'	1,27 405	10	1,99 219	03	1,28 186	13	0,71 814	13
51	27 471	10	99 217	05	28 254	15	71 746	15
52	27 537	08	99 214	03	28 323	13	71 677	13
53	27 602	10	99 212	05	28 391	13	71 609	13
54	27 668	1,10	99 209	0,03	28 459	1,13	71 541	1,13
55	27 734	08	99 207	05	28 527	13	71 473	13
56	27 799	08	99 204	03	28 595	12	71 405	12
57	27 864	10	99 202	03	28 662	13	71 338	13
58	27 930	08	99 200	05	28 730	13	71 270	13
59	27 995	1,08	99 197	0,03	28 798	1,12	71 202	1,12
60'	1,28 060	1,08	1,99 195	0,03	1,28 865	1,12	0,71 135	1,12
	lg cos	-d 1"	lg sin	+d 1"	lg cotg	-d 1"	lg tg	+d 1"

P. P.

d 1"	0,03	0,05	1,08	1,10	1,12	1,13	1,15	1,17	1,18
6"	0,2	0,3	6,5	6,6	6,7	6,8	6,9	7,0	7,1
7	0,2	0,4	7,6	7,7	7,8	7,9	8,1	8,2	8,3
8	0,3	0,4	8,7	8,8	8,9	9,1	9,2	9,3	9,5
9	0,3	0,5	9,8	9,9	10,1	10,2	10,4	10,5	10,7
10	0,3	0,5	10,8	11,0	11,2	11,3	11,5	11,7	11,8
20	0,7	1,0	21,7	22,0	22,3	22,7	23,0	23,3	23,7
30	1,0	1,5	32,5	33,0	33,5	34,0	34,5	35,0	35,5
40	1,3	2,0	43,3	44,0	44,7	45,3	46,0	46,7	47,3
50	1,7	2,5	54,2	55,0	55,8	56,7	57,5	58,3	59,2

79°

11°

11°	lg sin	+d 1"	lg cos	-d 1"	lg tg	+d 1"	lg cotg	-d 1"
0'	1,28 060		1,99 195		1,28 865		0,71 135	
1	28 125	1,08	99 192	0,05	28 933	1,13	71 067	1,13
2	28 190	08	99 190	03	29 000	12	71 000	12
3	28 254	07	99 187	05	29 067	12	70 933	12
4	28 319	08	99 185	03	29 134	12	70 866	12
5	28 384	1,08	99 182	0,05	29 201	1,12	70 799	1,12
6	28 448	07	99 180	03	29 268	12	70 732	12
7	28 512	07	99 177	05	29 335	12	70 665	12
8	28 577	08	99 175	03	29 402	12	70 598	12
9	28 641	07	99 172	05	29 468	10	70 532	10
10'	1,28 705	1,07	1,99 170	0,03	1,29 535	1,12	0,70 465	1,12
11	28 769	07	99 167	05	29 601	10	70 399	10
12	28 833	07	99 165	03	29 668	12	70 332	12
13	28 896	05	99 162	05	29 734	10	70 266	10
14	28 960	07	99 160	03	29 800	10	70 200	10
15	29 024	1,07	99 157	0,05	29 866	1,10	70 134	1,10
16	29 087	05	99 155	03	29 932	10	70 068	10
17	29 150	05	99 152	05	29 998	10	70 002	10
18	29 214	07	99 150	03	30 064	10	69 936	10
19	29 277	05	99 147	05	30 130	10	69 870	10
20	1,29 340	1,05	1,99 145	0,03	1,30 195	1,08	0,69 805	1,08
21	29 403	05	99 142	05	30 261	10	69 739	10
22	29 466	05	99 140	03	30 326	08	69 674	08
23	29 529	05	99 137	05	30 391	08	69 609	08
24	29 591	03	99 135	03	30 457	10	69 543	10
25	29 654	1,05	99 132	0,05	30 522	1,08	69 478	1,08
26	29 716	03	99 130	03	30 587	08	69 413	08
27	29 779	05	99 127	05	30 652	08	69 348	08
28	29 841	03	99 124	05	30 717	08	69 283	08
29	29 903	03	99 122	03	30 782	08	69 218	08
30'	1,29 966	1,05	1,99 119	0,05	1,30 846	1,07	0,69 154	1,07
lg cos	-d 1"	lg sin	+d 1"	lg cotg	-d 1"	lg tg	+d 1"	78°

P. P.

d 1"	0,03	0,05	1,03	1,05	1,07	1,08	1,10	1,12	1,13
6"	0,2	0,3	6,2	6,3	6,4	6,5	6,6	6,7	6,8
7	0,2	0,4	7,2	7,4	7,5	7,6	7,7	7,8	7,9
8	0,3	0,4	8,3	8,4	8,5	8,7	8,8	8,9	9,1
9	0,3	0,5	9,3	9,5	9,6	9,8	9,9	10,1	10,2
10	0,3	0,5	10,3	10,5	10,7	10,8	11,0	11,2	11,3
20	0,7	1,0	20,7	21,0	21,3	21,7	22,0	22,3	22,7
30	1,0	1,5	31,0	31,5	32,0	32,5	33,0	33,5	34,0
40	1,3	2,0	41,3	42,0	42,7	43,3	44,0	44,7	45,3
50	1,7	2,5	51,7	52,5	53,3	54,2	55,0	55,8	56,7

78°

11°

11°	lg sin	+d 1"	lg cos	-d 1"	lg tg	+d 1"	lg cotg	-d 1"	
30'	1,29 966	1,03	1,99 119	0,03	1,30 846	1,08	0,69 154	1,08	30'
31	30 028	03	99 117	05	30 911	07	69 089	07	29
32	30 090	02	99 114	03	30 975	08	69 025	08	28
33	30 151	03	99 112	05	31 040	07	68 960	07	27
34	30 213	03	99 109	05	31 104	07	68 896	07	26
35	30 275	1,03	99 106	0,05	31 168	1,07	68 832	1,07	25
36	30 336	02	99 104	03	31 233	08	68 767	08	24
37	30 398	03	99 101	05	31 297	07	68 703	07	23
38	30 459	02	99 099	03	31 361	07	68 639	07	22
39	30 521	03	99 096	05	31 425	07	68 575	07	21
40'	1,30 582	1,02	1,99 093	0,05	1,31 489	1,07	0,68 511	1,07	20'
41	30 643	02	99 091	03	31 552	05	68 448	05	19
42	30 704	02	99 088	05	31 616	07	68 384	07	18
43	30 765	02	99 086	03	31 679	05	68 321	05	17
44	30 826	02	99 083	05	31 743	07	68 257	07	16
45	30 887	1,02	99 080	0,05	31 806	1,05	68 194	1,05	15
46	30 947	00	99 078	03	31 870	07	68 130	07	14
47	31 008	02	99 075	05	31 933	05	68 067	05	13
48	31 068	00	99 072	05	31 996	05	68 004	05	12
49	31 129	02	99 070	03	32 059	05	67 941	05	11
50'	1,31 189	1,00	1,99 067	0,05	1,32 122	1,05	0,67 878	1,05	10'
51	31 250	02	99 064	05	32 185	05	67 815	05	9
52	31 310	00	99 062	03	32 248	05	67 752	05	8
53	31 370	00	99 059	05	32 311	05	67 689	05	7
54	31 430	00	99 056	05	32 373	03	67 627	03	6
55	31 490	1,00	99 054	0,03	32 436	1,05	67 564	1,05	5
56	31 549	0,98	99 051	05	32 498	03	67 502	03	4
57	31 609	1,00	99 048	05	32 561	05	67 439	05	3
58	31 669	1,00	99 046	03	32 623	03	67 377	03	2
59	31 728	0,98	99 043	05	32 685	03	67 315	03	1
60'	1,31 788	1,00	1,99 040	0,05	1,32 747	1,03	0,67 253	1,03	0'
lg cos -d 1" lg sin +d 1" lg cotg -d 1" lg tg +d 1" 78°									

P. P.

d 1	0,03	0,05	0,98	1,00	1,02	1,03	1,05	1,07	1,08
6"	0,2	0,3	5,9	6,0	6,1	6,2	6,3	6,4	6,5
7	0,2	0,4	6,9	7,0	7,1	7,2	7,4	7,5	7,6
8	0,3	0,4	7,9	8,0	8,1	8,3	8,4	8,5	8,7
9	0,3	0,5	8,9	9,0	9,2	9,3	9,5	9,6	9,8
10	0,3	0,5	9,8	10,0	10,2	10,3	10,5	10,7	10,8
20	0,7	1,0	19,7	20,0	20,3	20,7	21,0	21,3	21,7
30	1,0	1,5	29,5	30,0	30,5	31,0	31,5	32,0	32,5
40	1,3	2,0	39,3	40,0	40,7	41,3	42,0	42,7	43,3
50	1,7	2,5	49,2	50,0	50,8	51,7	52,5	53,3	54,2

78°

12°

12°	lg sin	+d 1"	lg cos	-d 1"	lg tg	+d 1"	lg cotg	-d 1"	
0'	1,31 788	0,98	1,99 040	0,03	1,32 747	1,05	0,67 253	1,05	60'
1	31 847	1,00	99 038	05	32 810	03	67 190	03	59
2	31 907	0,98	99 035	05	32 872	02	67 128	02	58
3	31 966	0,98	99 032	03	32 933	03	67 067	03	57
4	32 025	0,98	99 030	05	32 995	03	67 005	03	56
5	32 084	98	99 027	0,05	33 057	1,03	66 943	1,03	55
6	32 143	98	99 024	05	33 119	03	66 881	03	54
7	32 202	98	99 022	03	33 180	02	66 820	02	53
8	32 261	98	99 019	05	33 242	03	66 758	03	52
9	32 319	97	99 016	05	33 303	02	66 697	02	51
10'	1,32 378	0,98	1,99 013	0,05	1,33 365	1,03	0,66 635	1,03	50'
11	32 437	98	99 011	03	33 426	02	66 574	02	49
12	32 495	97	99 008	05	33 487	02	66 513	02	48
13	32 553	97	99 005	05	33 548	02	66 452	02	47
14	32 612	98	99 002	05	33 609	02	66 391	02	46
15	32 670	0,97	99 000	0,03	33 670	1,02	66 330	1,02	45
16	32 728	97	98 997	05	33 731	02	66 269	02	44
17	32 786	97	98 994	05	33 792	02	66 208	02	43
18	32 844	97	98 991	05	33 853	02	66 147	02	42
19	32 902	97	98 989	03	33 913	00	66 087	00	41
20'	1,32 960	0,97	1,98 986	0,05	1,33 974	1,02	0,66 026	1,02	40'
21	33 018	97	98 983	05	34 034	00	65 966	00	39
22	33 075	95	98 980	05	34 095	02	65 905	02	38
23	33 133	97	98 978	03	34 155	00	65 845	00	37
24	33 190	95	98 975	05	34 215	00	65 785	00	36
25	33 248	0,97	98 972	0,05	34 276	1,02	65 724	1,02	35
26	33 305	95	98 969	05	34 336	00	65 664	00	34
27	33 362	95	98 967	03	34 396	00	65 604	00	33
28	33 420	97	98 964	05	34 456	00	65 544	00	32
29	33 477	95	98 961	05	34 516	00	65 484	00	31
30'	1,33 534	0,95	1,98 958	0,05	1,34 576	1,00	0,65 424	1,00	30'
	lg cos	-d 1"	lg sin	+d 1"	lg cotg	-d 1"	lg tg	+d 1"	77°

P. P.

d 1"	0,03	,005	0,95	0,97	0,98	1,00	1,02	1,03	1,05
6"	0,2	0,3	5,7	5,8	5,9	6,0	6,1	6,2	6,3
7	0,2	0,4	6,7	6,8	6,9	7,0	7,1	7,2	7,4
8	0,3	0,4	7,6	7,7	7,9	8,0	8,1	8,3	8,4
9	0,3	0,5	8,6	8,7	8,9	9,0	9,2	9,3	9,5
10	0,3	0,5	9,5	9,7	9,8	10,0	10,2	10,3	10,5
20	0,7	1,0	19,0	19,3	19,7	20,0	20,3	20,7	21,0
30	1,0	1,5	28,5	29,0	29,5	30,0	30,5	31,0	31,5
40	1,3	2,0	38,0	38,7	39,3	40,0	40,7	41,3	42,0
50	1,7	2,5	47,5	48,3	49,2	50,0	50,8	51,7	52,5

77°

12°

12°	lg sin	+d 1"	lg cos	-d 1"	lg tg	+d 1"	lg cotg	+d 1"	
30'	1,33 534	0,95	1,98 958	0,05	1,34 576	0,98	0,65 424	0,98	30'
31	33 591	93	98 955	03	34 635	1,00	65 365	1,00	29
32	33 647	95	98 953	05	34 695	1,00	65 305	1,00	28
33	33 704	95	98 950	05	34 755	0,98	65 245	0,98	27
34	33 761	0,95	98 947	0,05	34 814	1,00	65 186	1,00	26
35	33 818	93	98 944	05	34 874	0,98	65 126	0,98	25
36	33 874	95	98 941	05	34 933	98	65 067	98	24
37	33 931	93	98 938	03	34 992	98	65 008	98	23
38	33 987	93	98 936	05	35 051	1,00	64 949	1,00	22
39	34 043	0,95	98 933	0,05	35 111	0,98	64 889	0,98	21
40'	1,34 100	93	1,98 930	05	1,35 170	98	0,64 830	98	20'
41	34 156	93	98 927	05	35 229	98	64 771	98	19
42	34 212	93	98 924	05	35 288	98	64 712	98	18
43	34 268	93	98 921	03	35 347	97	64 653	97	17
44	34 324	0,93	98 919	0,05	35 405	0,98	64 595	0,98	16
45	34 380	93	98 916	05	35 464	98	64 536	98	15
46	34 436	92	98 913	05	35 523	97	64 477	97	14
47	34 491	93	98 910	05	35 581	98	64 419	98	13
48	34 547	92	98 907	05	35 640	97	64 360	97	12
49	34 602	0,93	98 904	0,05	35 698	0,98	64 302	0,98	11
50'	1,34 658	92	1,98 901	05	1,35 757	97	0,64 243	97	10'
51	34 713	93	98 898	03	35 815	97	64 185	97	9
52	34 769	92	98 896	05	35 873	97	64 127	97	8
53	34 824	92	98 893	05	35 931	97	64 069	97	7
54	34 879	0,92	98 890	0,05	35 989	0,97	64 011	0,97	6
55	34 934	92	98 887	05	36 047	97	63 953	97	5
56	34 989	92	98 884	05	36 105	97	63 895	97	4
57	35 044	92	98 881	05	36 163	97	63 837	97	3
58	35 099	92	98 878	05	36 221	97	63 779	97	2
59	35 154	0,92	98 875	0,05	36 279	0,95	63 721	0,95	1
60'	1,35 209	0,92	1,98 872	0,05	1,36 336	0,95	0,63 664	0,95	0'
	lg cos	-d 1"	lg sin	+d 1"	lg cotg	-d 1"	lg tg	-d 1"	77°

P. P.

d 1"	0,03	0,05	0,92	0,93	0,95	0,97	0,98	1,00
6"	0,2	0,3	5,5	5,6	5,7	5,8	5,9	6,0
7	0,2	0,4	6,4	6,5	6,7	6,8	6,9	7,0
8	0,3	0,4	7,3	7,5	7,6	7,7	7,9	8,0
9	0,3	0,5	8,3	8,4	8,6	8,7	8,9	9,0
10	0,3	0,5	9,2	9,3	9,5	9,7	9,8	10,0
20	0,7	1,0	18,3	18,7	19,0	19,3	19,7	20,0
30	1,0	1,5	27,5	28,0	28,5	29,0	29,5	30,0
40	1,3	2,0	36,7	37,3	38,0	38,7	39,3	40,0
50	1,7	2,5	45,8	46,7	47,5	48,3	49,2	50,0

77°

18°

18°	lg sin	+d 1"	lg cos	-d 1"	lg tg	+d 1"	lg cotg	-d 1"	
0'	1,35 209	0,90	1,98 872	0,05	1,36 336	0,97	0,63 664	0,97	60'
1	35 263	92	98 869	03	36 394	97	63 606	97	59
2	35 318	92	98 867	05	36 452	95	63 548	95	58
3	35 373	90	98 864	05	36 509	95	63 491	95	57
4	35 427	90	98 861	05	36 566	95	63 434	95	56
5	35 481	0,90	98 858	0,05	36 624	0,97	63 376	0,97	55
6	35 536	92	98 855	05	36 681	95	63 319	95	54
7	35 590	90	98 852	05	36 738	95	63 262	95	53
8	35 644	90	98 849	05	36 795	95	63 205	95	52
9	35 698	90	98 846	05	36 852	95	63 148	95	51
10'	1,35 752	0,90	1,98 843	0,05	1,36 909	0,95	0,63 091	0,95	50'
11	35 806	90	98 840	05	36 966	95	63 034	95	49
12	35 860	90	98 837	05	37 023	95	62 977	95	48
13	35 914	90	98 834	05	37 080	95	62 920	95	47
14	35 968	90	98 831	05	37 137	95	62 863	95	46
15	36 022	0,90	98 828	0,05	37 193	0,93	62 807	0,93	45
16	36 075	88	98 825	05	37 250	95	62 750	95	44
17	36 129	90	98 822	05	37 306	93	62 694	93	43
18	36 182	88	98 819	05	37 363	95	62 637	95	42
19	36 236	90	98 816	05	37 419	93	62 581	93	41
20'	1,36 289	0,88	1,98 813	0,05	1,37 476	0,95	0,62 524	0,95	40'
21	36 342	88	98 810	05	37 532	93	62 468	93	39
22	36 395	88	98 807	05	37 588	93	62 412	93	38
23	36 449	88	98 804	05	37 644	93	62 356	93	37
24	36 502	88	98 801	05	37 700	93	62 300	93	36
25	36 555	0,88	98 798	0,05	37 756	0,93	62 244	0,93	35
26	36 608	88	98 795	05	37 812	93	62 188	93	34
27	36 660	87	98 792	05	37 868	93	62 132	93	33
28	36 713	88	98 789	05	37 924	93	62 076	93	32
29	36 766	88	98 786	05	37 980	93	62 020	93	31
30'	1,36 819	0,88	1,98 783	0,05	1,38 035	0,92	0,61 965	0,92	30'
	lg cos	-d 1"	lg sin	+d 1"	lg cotg	-d 1"	lg tg	+d 1"	76°

P. P

d 1"	0,03	0,05	0,88	0,90	0,92	0,93	0,95	0,97
6"	0,2	0,3	5,3	5,4	5,5	5,6	5,7	5,8
7	0,2	0,4	6,2	6,3	6,4	6,5	6,7	6,8
8	0,3	0,4	7,1	7,2	7,3	7,5	7,6	7,7
9	0,3	0,5	8,0	8,1	8,3	8,4	8,6	8,7
10	0,3	0,5	8,8	9,0	9,2	9,3	9,5	9,7
20	0,7	1,0	17,7	18,0	18,3	18,7	19,0	19,3
30	1,0	1,5	26,5	27,0	27,5	28,0	28,5	29,0
40	1,3	2,0	35,3	36,0	36,7	37,3	38,0	38,7
50	1,7	2,5	44,2	45,0	45,8	46,7	47,5	48,3

76°

13°

13°	lg sin	+d 1"	lg cos	-d 1"	lg tg	+d 1"	lg cotg	-d 1"	
30'	1,36 819	0,87	1,98 783	0,05	1,38 035	0,93	0,61 965	0,93	30'
31	36 871	88	98 780	05	38 091	93	61 909	93	29
32	36 924	87	98 777	05	38 147	92	61 853	92	28
33	36 976	87	98 774	05	38 202	92	61 798	92	27
34	37 028	87	98 771	05	38 257	92	61 743	92	26
35	37 081	0,88	98 768	0,05	38 313	0,93	61 687	0,93	25
36	37 133	87	98 765	05	38 368	92	61 632	92	24
37	37 185	87	98 762	05	38 423	92	61 577	92	23
38	37 237	87	98 759	05	38 479	93	61 521	93	22
39	37 289	87	98 756	05	38 534	92	61 466	92	21
40'	1,37 341	0,87	1,98 753	0,05	1,38 589	0,92	0,61 411	0,92	20'
41	37 393	87	98 750	05	38 644	92	61 356	92	19
42	37 445	87	98 746	07	38 699	92	61 301	92	18
43	37 497	87	98 743	05	38 754	92	61 246	92	17
44	37 549	87	98 740	05	38 808	90	61 192	90	16
45	37 600	0,85	98 737	0,05	38 863	0,92	61 137	0,92	15
46	37 652	87	98 734	05	38 918	92	61 082	92	14
47	37 703	85	98 731	05	38 972	90	61 028	90	13
48	37 755	87	98 728	05	39 027	92	60 973	92	12
49	37 806	85	98 725	05	39 082	92	60 918	92	11
50'	1,37 858	0,87	1,98 722	0,05	1,39 136	0,90	0,60 864	0,90	10'
51	37 909	85	98 719	05	39 190	90	60 810	90	9
52	37 960	85	98 715	07	39 245	92	60 755	92	8
53	38 011	85	98 712	05	39 299	90	60 701	90	7
54	38 062	85	98 709	05	39 353	90	60 647	90	6
55	38 113	0,85	98 706	0,05	39 407	0,90	60 593	0,90	5
56	38 164	85	98 703	05	39 461	90	60 539	90	4
57	38 215	85	98 700	05	39 515	90	60 485	90	3
58	38 266	85	98 697	05	39 569	90	60 431	90	2
59	38 317	85	98 694	05	39 623	90	60 377	90	1
60'	1,38 368	0,85	1,98 690	0,07	1,39 677	0,90	0,60 323	0,90	0'
	lg cos	-d 1"	lg sin	+d 1"	lg cotg	-d 1"	lg tg	+d 1"	76°

P. P.

d 1"	0,05	0,07	0,85	0,87	0,88	0,90	0,92	0,93
6"	0,3	0,4	5,1	5,2	5,3	5,4	5,5	5,6
7	0,4	0,5	6,0	6,1	6,2	6,3	6,4	6,5
8	0,4	0,5	6,8	6,9	7,1	7,2	7,3	7,5
9	0,5	0,6	7,7	7,8	8,0	8,1	8,3	8,4
10	0,5	0,7	8,5	8,7	8,8	9,0	9,2	9,3
20	1,0	1,3	17,0	17,3	17,7	18,0	18,3	18,7
30	1,5	2,0	25,5	26,0	26,5	27,0	27,5	28,0
40	2,0	2,7	34,0	34,7	35,3	36,0	36,7	37,3
50	2,5	3,3	42,5	43,3	44,2	45,0	45,8	46,7

76°

14°

14°	lg sin	+d 1"	lg cos	-d 1"	lg tg	-d 1"	lg cotg	-d 1"	
0'	1,38 368	0,83	1,98 680	0,05	1,39 677	0,90	0,60 323	0,90	60'
1	38 418	85	98 687	05	39 731	90	60 269	90	59
2	38 469	83	98 684	05	39 785	88	60 215	88	58
3	38 519	85	98 681	05	39 838	90	60 162	90	57
4	38 570	83	98 678	05	39 892	88	60 108	88	56
5	38 620	0,83	98 675	0,05	39 945	0,88	60 055	0,88	55
6	38 670	83	98 671	07	39 999	90	60 001	90	54
7	38 721	85	98 668	05	40 052	88	59 948	88	53
8	38 771	83	98 665	05	40 106	90	59 894	90	52
9	38 821	83	98 662	05	40 159	88	59 841	88	51
10'	1,38 871	0,83	1,98 659	0,05	1,40 212	0,88	0,59 788	0,88	50'
11	38 921	83	98 656	05	40 266	90	59 734	90	49
12	38 971	83	98 652	07	40 319	88	59 681	88	48
13	39 021	83	98 649	05	40 372	88	59 628	88	47
14	39 071	83	98 646	05	40 425	88	59 575	88	46
15	39 121	0,83	98 643	0,05	40 478	0,88	59 522	0,88	45
16	39 170	82	98 640	05	40 531	88	59 469	88	44
17	39 220	83	98 636	07	40 584	88	59 416	88	43
18	39 270	83	98 633	05	40 636	87	59 364	87	42
19	39 319	82	98 630	05	40 689	88	59 311	88	41
20'	1,39 369	0,83	1,98 627	0,05	1,40 742	0,88	0,59 258	0,88	40'
21	39 418	82	98 623	07	40 795	88	59 205	88	39
22	39 467	82	98 620	05	40 847	87	59 153	87	38
23	39 517	83	98 617	05	40 900	88	59 100	88	37
24	39 566	82	98 614	05	40 952	87	59 048	87	36
25	39 615	0,82	98 610	0,07	41 005	0,88	58 995	0,88	35
26	39 664	82	98 607	05	41 057	87	58 943	87	34
27	39 713	82	98 604	05	41 109	87	58 891	87	33
28	39 762	82	98 601	05	41 161	87	58 839	87	32
29	39 811	82	98 597	07	41 214	88	58 786	88	31
30'	1,39 860	0,82	1,98 594	0,05	1,41 266	0,87	0,58 734	0,87	30'
	lg cos	-d 1"	lg sin	+d 1"	lg cotg	-d 1"	lg tg	+d 1"	75°

P. P.

d1"	0,05	0,07	0,82	0,83	0,85	0,87	0,88	0,90
6"	0,3	0,4	4,9	5,0	5,1	5,2	5,3	5,4
7	0,4	0,5	5,7	5,8	6,0	6,1	6,2	6,3
8	0,4	0,5	6,5	6,7	6,8	6,9	7,1	7,2
9	0,5	0,6	7,4	7,5	7,7	7,8	8,0	8,1
10	0,5	0,7	8,2	8,3	8,5	8,7	8,8	9,0
20	1,0	1,3	16,3	16,7	17,0	17,3	17,7	18,0
30	1,5	2,0	24,5	25,0	25,5	26,0	26,5	27,0
40	2,0	2,7	32,7	33,3	34,0	34,7	35,3	36,0
50	2,5	3,3	40,8	41,7	42,5	43,3	44,2	45,0

75°

14°

14°	lg sin	+d 1"	lg cos	-d 1"	lg tg	+d 1"	lg cotg	-d 1"	
30'	1,39 860		1,98 594		1,41 266		0,58 734		30'
31	39 909	0,82	98 591	0,05	41 318	0,87	58 682	0,87	29
32	39 958	82	98 588	05	41 370	87	58 630	87	28
33	40 006	80	98 584	07	41 422	87	58 578	87	27
34	40 055	82	98 581	05	41 474	87	58 526	87	26
		0,80		0,05		0,87		0,87	
35	40 103	82	98 578	07	41 526	87	58 474	87	25
36	40 152	80	98 574	05	41 578	85	58 422	85	24
37	40 200	82	98 571	05	41 629	87	58 371	87	23
38	40 249	82	98 568	05	41 681	87	58 319	87	22
39	40 297	80	98 565	05	41 733	87	58 267	87	21
		0,82		0,07		0,85		0,85	
40'	1,40 346		1,98 561		1,41 784		0,58 216		20'
41	40 394	80	98 558	05	41 836	87	58 164	87	19
42	40 442	80	98 555	05	41 887	85	58 113	85	18
43	40 490	80	98 551	07	41 939	87	58 061	87	17
44	40 538	80	98 548	05	41 990	85	58 010	85	16
		0,80		0,05		0,85		0,85	
45	40 586	80	98 545	07	42 041	87	57 959	87	15
46	40 634	80	98 541	05	42 093	85	57 907	85	14
47	40 682	80	98 538	05	42 144	85	57 856	85	13
48	40 730	80	98 535	05	42 195	85	57 805	85	12
49	40 778	80	98 531	07	42 246	85	57 754	85	11
		0,78		0,05		0,85		0,85	
50'	1,40 825		1,98 528		1,42 297		0,57 703		10'
51	40 873	80	98 525	05	42 348	85	57 652	85	9
52	40 921	80	98 521	07	42 399	85	57 601	85	8
53	40 968	78	98 518	05	42 450	85	57 550	85	7
54	41 016	80	98 515	05	42 501	85	57 499	85	6
		0,78		0,07		0,85		0,85	
55	41 063	80	98 511	05	42 552	85	57 448	85	5
56	41 111	78	98 508	05	42 603	83	57 397	83	4
57	41 158	78	98 505	07	42 653	85	57 347	85	3
58	41 205	78	98 501	05	42 704	85	57 296	85	2
59	41 252	78	98 498	05	42 755	85	57 245	85	1
		0,80		0,07		0,83		0,83	
60'	1,41 300		1,98 494		1,42 805		0,57 195		0'
lg cos	-d 1"		lg sin	+d 1"	lg cotg	-d 1"	lg tg	+d 1"	75°

P. P.

d 1"	0,05	0,07	0,78	0,80	0,82	0,83	0,85	0,87
6"	0,3	0,4	4,7	4,8	4,9	5,0	5,1	5,2
7	0,4	0,5	5,5	5,6	5,7	5,8	6,0	6,1
8	0,4	0,5	6,3	6,4	6,5	6,7	6,8	6,9
9	0,5	0,6	7,1	7,2	7,4	7,5	7,7	7,8
10	0,5	0,7	7,8	8,0	8,2	8,3	8,5	8,7
20	1,0	1,3	15,7	16,0	16,3	16,7	17,0	17,3
30	1,5	2,0	23,5	24,0	24,5	25,0	25,5	26,0
40	2,0	2,7	31,3	32,0	32,7	33,3	34,0	34,7
50	2,5	3,3	39,2	40,0	40,8	41,7	42,5	43,3

75°

15°

15°	lg sin	+d 1"	lg cos	-d 1"	lg tg	+d 1"	lg cotg	-d 1"	
0'	1,41 300	0,78	1,98 494	0,05	1,42 805	0,85	0,57 195	0,85	60
1	41 347	78	98 491	05	42 856	83	57 144	83	59
2	41 394	78	98 488	07	42 906	85	57 094	85	58
3	41 441	78	98 484	05	42 957	83	57 043	83	57
4	41 488	78	98 481	05	43 007	83	56 993	83	56
5	41 535	0,78	98 477	0,07	43 057	0,83	56 943	0,83	55
6	41 582	78	98 474	05	43 108	85	56 892	85	54
7	41 628	77	98 471	05	43 158	83	56 842	83	53
8	41 675	78	98 467	07	43 208	83	56 792	83	52
9	41 722	78	98 464	05	43 258	83	56 742	83	51
		0,77		0,07		0,83		0,83	
10'	1,41 768	78	1,98 460	05	1,43 308	83	0,56 692	83	50
11	41 815	78	98 457	05	43 358	83	56 642	83	49
12	41 861	77	98 453	07	43 408	83	56 592	83	48
13	41 908	78	98 450	05	43 458	83	56 542	83	47
14	41 954	77	98 447	05	43 508	83	56 492	83	46
15	42 001	0,78	98 443	0,07	43 558	0,83	56 442	0,83	45
16	42 047	77	98 440	05	43 607	82	56 393	82	44
17	42 093	77	98 436	07	43 657	83	56 343	83	43
18	42 140	78	98 433	05	43 707	83	56 293	83	42
19	42 186	77	98 429	07	43 756	82	56 244	82	41
		0,77		0,05		0,83		0,83	
20'	1,42 232	77	1,98 426	07	1,43 806	82	0,56 194	82	40
21	42 278	77	98 422	05	43 855	83	56 145	83	39
22	42 324	77	98 419	07	43 905	82	56 095	82	38
23	42 370	77	98 415	05	43 954	83	56 046	83	37
24	42 416	77	98 412	05	44 004	83	55 996	83	36
25	42 461	0,75	98 409	0,05	44 053	0,82	55 947	0,82	35
26	42 507	77	98 405	07	44 102	82	55 898	82	34
27	42 553	77	98 402	05	44 151	82	55 849	82	33
28	42 599	77	98 398	07	44 201	83	55 799	83	32
29	42 644	75	98 395	05	44 250	82	55 750	82	31
		0,77		0,07		0,82		0,82	
30'	1,42 690		1,98 391		1,44 299		0,55 701		30
	lg cos	-d 1"	lg sin	+d 1"	lg cotg	-d 1"	lg tg	+d 1"	74°

P. P.

d 1"	0,05	0,07	0,75	0,77	0,78	0,80	0,82	0,83	0,85
6"	0,3	0,4	4,5	4,6	4,7	4,8	4,9	5,0	5,1
7	0,4	0,5	5,3	5,4	5,5	5,6	5,7	5,8	6,0
8	0,4	0,5	6,0	6,1	6,3	6,4	6,5	6,7	6,8
9	0,5	0,6	6,8	6,9	7,1	7,2	7,4	7,5	7,7
10	0,5	0,7	7,5	7,7	7,8	8,0	8,2	8,3	8,5
20	1,0	1,3	15,0	15,3	15,7	16,0	16,3	16,7	17,0
30	1,5	2,0	22,5	23,0	23,5	24,0	24,5	25,0	25,5
40	2,0	2,7	30,0	30,7	31,3	32,0	32,7	33,3	34,0
50	2,5	3,3	37,5	38,3	39,2	40,0	40,8	41,7	42,5

74°

15°

15°	lg sin	+d 1"	lg cos	-d 1"	lg tg	+d 1"	lg cotg	-d 1"	
30'	1,42 690		1,98 391		1,44 299		0,55 701		30'
31	42 735	0,75	98 388	0,05	44 348	0,82	55 652	0,82	29
32	42 781	77	98 384	07	44 397	82	55 603	82	28
33	42 826	75	98 381	05	44 446	82	55 554	82	27
34	42 872	77	98 377	07	44 495	82	55 505	82	26
35	42 917	0,75	98 373	0,07	44 544	0,82	55 456	0,82	25
36	42 962	75	98 370	05	44 592	80	55 408	80	24
37	43 008	77	98 366	07	44 641	82	55 359	82	23
38	43 053	75	98 363	05	44 690	82	55 310	82	22
39	43 098	75	98 359	07	44 738	80	55 262	80	21
40'	1,43 143	0,75	1,98 356	0,05	1,44 787	0,82	0,55 213	0,82	20'
41	43 188	75	98 352	07	44 836	82	55 164	82	19
42	43 233	75	98 349	05	44 884	80	55 116	80	18
43	43 278	75	98 345	07	44 933	82	55 067	82	17
44	43 323	75	98 342	05	44 981	80	55 019	80	16
45	43 367	0,73	98 338	0,07	45 029	0,80	54 971	0,80	15
46	43 412	75	98 334	07	45 078	82	54 922	82	14
47	43 457	75	98 331	05	45 126	80	54 874	80	13
48	43 502	75	98 327	07	45 174	80	54 826	80	12
49	43 546	73	98 324	05	45 222	80	54 778	80	11
		0,75		0,07		0,82		0,82	
50'	1,43 591	73	1,98 320	0,05	1,45 271	80	0,54 729	80	10'
51	43 635	75	98 317	05	45 319	80	54 681	80	9
52	43 680	75	98 313	07	45 367	80	54 633	80	8
53	43 724	73	98 309	07	45 415	80	54 585	80	7
54	43 769	75	98 306	05	45 463	80	54 537	80	6
55	43 813	0,73	98 302	0,07	45 511	0,80	54 489	0,80	5
56	43 857	73	98 299	05	45 559	80	54 441	80	4
57	43 901	73	98 295	07	45 606	78	54 394	78	3
58	43 946	75	98 291	07	45 654	80	54 346	80	2
59	43 990	73	98 288	05	45 702	80	54 298	80	1
		0,73		0,07		0,80		0,80	
60'	1,44 034		1,98 284		1,45 750		0,54 250		0'
	lg cos	-d 1"	lg sin	+d 1"	lg cotg	-d 1"	lg tg	+d 1"	74°

P. P.

d 1"	0,05	0,07	0,73	0,75	0,77	0,78	0,80	0,82
6"	0,3	0,4	4,4	4,5	4,6	4,7	4,8	4,9
7	0,4	0,5	5,1	5,3	5,4	5,5	5,6	5,7
8	0,4	0,5	5,9	6,0	6,1	6,3	6,4	6,5
9	0,5	0,6	6,6	6,8	6,9	7,1	7,2	7,4
10	0,5	0,7	7,3	7,5	7,7	7,8	8,0	8,2
20	1,0	1,3	14,7	15,0	15,3	15,7	16,0	16,3
30	1,5	2,0	22,0	22,5	23,0	23,5	24,0	24,5
40	2,0	2,7	29,3	30,0	30,7	31,3	32,0	32,7
50	2,5	3,3	36,7	37,5	38,3	39,2	40,0	40,8

74°

16°

16°	lg sin	+d 1"	lg cos	-d 1"	lg tg	+d 1"	lg cotg	-d 1"	
0'	1,44 034		1,98 284		1,45 750		0,54 250		60'
1	44 078	0,73	98 281	0,05	45 797	0,78	54 203	0,78	59
2	44 122	73	98 277	07	45 845	80	54 155	80	58
3	44 166	73	98 273	07	45 892	78	54 108	78	57
4	44 210	73	98 270	05	45 940	80	54 060	80	56
5	44 253	0,72	98 266	0,07	45 987	0,78	54 013	0,78	55
6	44 297	73	98 262	07	46 035	80	53 965	80	54
7	44 341	73	98 259	05	46 082	78	53 918	78	53
8	44 385	73	98 255	07	46 130	80	53 870	80	52
9	44 428	72	98 251	07	46 177	78	53 823	78	51
10	44 472	0,73	1,98 248	0,05	1,46 224	0,78	0,53 776	0,78	50
11	44 516	73	98 244	07	46 271	78	53 729	78	49
12	44 559	72	98 240	07	46 319	80	53 681	80	48
13	44 602	72	98 237	05	46 366	78	53 634	78	47
14	44 646	73	98 233	07	46 413	78	53 587	78	46
15	44 689	0,72	98 229	0,07	46 460	0,78	53 540	0,78	45
16	44 733	73	98 226	05	46 507	78	53 493	78	44
17	44 776	72	98 222	07	46 554	78	53 446	78	43
18	44 819	72	98 218	07	46 601	78	53 399	78	42
19	44 862	72	98 215	05	46 648	78	53 352	78	41
20	44 905	0,72	1,98 211	0,07	1,46 694	0,77	0,53 306	0,77	40
21	44 948	72	98 207	07	46 741	78	53 259	78	39
22	44 992	73	98 204	05	46 788	78	53 212	78	38
23	45 035	72	98 200	07	46 835	78	53 165	78	37
24	45 077	70	98 196	07	46 881	77	53 119	77	36
25	45 120	0,72	98 192	0,07	46 928	0,78	53 072	0,78	35
26	45 163	72	98 189	05	46 975	78	53 025	78	34
27	45 206	72	98 185	07	47 021	77	52 979	77	33
28	45 249	72	98 181	07	47 068	78	52 932	78	32
29	45 292	72	98 177	07	47 114	77	52 886	77	31
30	1,45 334	0,70	1,98 174	0,05	1,47 160	0,77	0,52 840	0,77	30
	lg cos	-d 1"	lg sin	+d 1"	lg cotg	-d 1"	lg tg	+d 1"	73°

P. P.

d 1	0,05	0,07	0,70	0,72	0,73	0,77	0,78	0,80
6"	0,3	0,4	4,2	4,3	4,4	4,6	4,7	4,8
7	0,4	0,5	4,9	5,0	5,1	5,4	5,5	5,6
8	0,4	0,5	5,6	5,7	5,9	6,1	6,3	6,4
9	0,5	0,6	6,3	6,5	6,6	6,9	7,1	7,2
10	0,5	0,7	7,0	7,2	7,3	7,7	7,8	8,0
20	1,0	1,3	14,0	14,3	14,7	15,3	15,7	16,0
30	1,5	2,0	21,0	21,5	22,0	23,0	23,5	24,0
40	2,0	2,7	28,0	28,7	29,3	30,7	31,3	32,0
50	2,5	3,3	35,0	35,8	36,7	38,3	39,2	40,0

73°

16°

16°	lg sin	+d 1"	lg cos	-d 1"	lg tg	+d 1"	lg cotg	-d 1"	
30'	1,45 334		1,98 174		1,47 160		0,52 840		30'
31	45 377	0,72	98 170	0,07	47 207	0,78	52 793	0,78	29
32	45 419	70	98 166	07	47 253	77	52 747	77	28
33	45 462	72	98 162	07	47 299	77	52 701	77	27
34	45 504	70	98 159	05	47 346	78	52 654	78	26
35	45 547	0,72	98 155	0,07	47 392	0,77	52 608	0,77	25
36	45 589	70	98 151	07	47 438	77	52 562	77	24
37	45 632	72	98 147	07	47 484	77	52 516	77	23
38	45 674	70	98 144	05	47 530	77	52 470	77	22
39	45 716	70	98 140	07	47 576	77	52 424	77	21
40'	1,45 758	0,70	1,98 136	0,07	1,47 622	0,77	0,52 378	0,77	20'
41	45 801	72	98 132	07	47 668	77	52 332	77	19
42	45 843	70	98 129	05	47 714	77	52 286	77	18
43	45 885	70	98 125	07	47 760	77	52 240	77	17
44	45 927	70	98 121	07	47 806	77	52 194	77	16
45	45 969	0,70	98 117	0,07	47 852	0,77	52 148	0,77	15
46	46 011	70	98 113	07	47 897	75	52 103	75	14
47	46 053	70	98 110	05	47 943	77	52 057	77	13
48	46 095	70	98 106	07	47 989	77	52 011	77	12
49	46 136	68	98 102	07	48 035	77	51 965	77	11
50'	1,46 178	0,70	1,98 098	0,07	1,48 080	0,75	0,51 920	0,75	10'
51	46 220	70	98 094	07	48 126	77	51 874	77	9
52	46 262	70	98 090	07	48 171	75	51 829	75	8
53	46 303	68	98 087	05	48 217	77	51 783	77	7
54	46 345	70	98 083	07	48 262	75	51 738	75	6
55	46 386	0,68	98 079	0,07	48 307	0,75	51 693	0,75	5
56	46 428	70	98 075	07	48 353	77	51 647	77	4
57	46 469	68	98 071	07	48 398	75	51 602	75	3
58	46 511	70	98 067	07	48 443	75	51 557	75	2
59	46 552	68	98 063	07	48 489	77	51 511	77	1
60'	1,46 594	0,70	1,98 060	0,05	1,48 534	0,75	0,51 466	0,75	0'
	lg cos	-d 1"	lg sin	+d 1"	lg cotg	-d 1"	lg tg	+d 1"	73

P. P.

d 1"	0,05	0,07	0,68	0,70	0,72	0,75	0,77	0,78
6"	0,3	0,4	4,1	4,2	4,3	4,5	4,6	4,7
7	0,4	0,5	4,8	4,9	5,0	5,3	5,4	5,5
8	0,4	0,5	5,5	5,6	5,7	6,0	6,1	6,3
9	0,5	0,6	6,2	6,3	6,5	6,8	6,9	7,1
10	0,5	0,7	6,8	7,0	7,2	7,5	7,7	7,8
20	1,0	1,3	13,7	14,0	14,3	15,0	15,3	15,7
30	1,5	2,0	20,5	21,0	21,5	22,5	23,0	23,5
40	2,0	2,7	27,3	28,0	28,7	30,0	30,7	31,3
50	2,5	3,3	34,2	35,0	35,8	37,5	38,3	39,2

73°

17°

17°	lg sin	+d 1"	lg cos	-d 1"	lg tg	+d 1"	lg cotg	-d 1"	
0'	1,46 594		1,98 060		1,48 534		0,51 466		60'
1	46 635	0,68	98 056	0,07	48 579	0,75	51 421	0,75	59
2	46 676	68	98 052	07	48 624	75	51 376	75	58
3	46 717	68	98 048	07	48 669	75	51 331	75	57
4	46 758	68	98 044	07	48 714	75	51 286	75	56
5	46 800	0,70	98 040	0,07	48 759	0,75	51 241	0,75	55
6	46 841	68	98 036	07	48 804	75	51 196	75	54
7	46 882	68	98 032	07	48 849	75	51 151	75	53
8	46 923	68	98 029	05	48 894	75	51 106	75	52
9	46 964	68	98 025	07	48 939	75	51 061	75	51
10'	1,47 005	0,68	1,98 021	0,07	1,48 984	0,75	0,51 016	0,75	50'
11	47 045	67	98 017	07	49 029	75	50 971	75	49
12	47 086	68	98 013	07	49 073	73	50 927	73	48
13	47 127	68	98 009	07	49 118	75	50 882	75	47
14	47 168	68	98 005	07	49 163	75	50 837	75	46
15	47 209	0,68	98 001	0,07	49 207	0,73	50 793	0,73	45
16	47 249	67	97 997	07	49 252	75	50 748	75	44
17	47 290	68	97 993	07	49 296	73	50 704	73	43
18	47 330	67	97 989	07	49 341	75	50 659	75	42
19	47 371	68	97 986	05	49 385	73	50 615	73	41
20'	1,47 411	0,67	1,97 982	0,07	1,49 430	0,75	0,50 570	0,75	40'
21	47 452	68	97 978	07	49 474	73	50 526	73	39
22	47 492	67	97 974	07	49 519	75	50 481	75	38
23	47 533	68	97 970	07	49 563	73	50 437	73	37
24	47 573	67	97 966	07	49 607	73	50 393	73	36
25	47 613	0,67	97 962	0,07	49 652	0,75	50 348	0,75	35
26	47 654	68	97 958	07	49 696	73	50 304	73	34
27	47 694	67	97 954	07	49 740	73	50 260	73	33
28	47 734	67	97 950	07	49 784	73	50 216	73	32
29	47 774	67	97 946	07	49 828	73	50 172	73	31
30'	1,47 814	0,67	1,97 942	0,07	1,49 872	0,73	0,50 128	0,73	30'
	lg cos	-d 1"	lg sin	+d 1"	lg cotg	-d 1"	lg tg	+d 1"	72°

P. P.

d 1"	0,05	0,07	0,67	0,68	0,70	0,72	0,73	0,75
6"	0,3	0,4	4,0	4,1	4,2	4,3	4,4	4,5
7	0,4	0,5	4,7	4,8	4,9	5,0	5,1	5,3
8	0,4	0,5	5,3	5,5	5,6	5,7	5,9	6,0
9	0,5	0,6	6,0	6,2	6,3	6,5	6,6	6,8
10	0,5	0,7	6,7	6,8	7,0	7,2	7,3	7,5
20	1,0	1,3	13,3	13,7	14,0	14,3	14,7	15,0
30	1,5	2,0	20,0	20,5	21,0	21,5	22,0	22,5
40	2,0	2,7	26,7	27,3	28,0	28,7	29,3	30,0
50	2,5	3,3	33,3	34,2	35,0	35,8	36,7	37,5

72°

17°

17°	lg sin	+d 1"	lg cos	-d 1"	lg tg	+d 1"	lg cotg	-d 1"
30'	1,47 814		1,97 942		1,49 872		0,50 128	
31	47 854	0,67	97 938	0,07	49 916	0,73	50 084	0,73
32	47 894	67	97 934	07	49 960	73	50 040	73
33	47 934	67	97 930	07	50 004	73	49 996	73
34	47 974	67	97 926	07	50 048	73	49 952	73
35	48 014	0,67	97 922	0,07	50 092	0,73	49 908	0,73
36	48 054	67	97 918	07	50 136	73	49 864	73
37	48 094	67	97 914	07	50 180	73	49 820	73
38	48 133	65	97 910	07	50 223	72	49 777	72
39	48 173	67	97 906	07	50 267	73	49 733	73
40'	1,48 213	0,67	1,97 902	0,07	1,50 311	0,73	0,49 689	0,73
41	48 252	65	97 898	07	50 355	73	49 645	73
42	48 292	67	97 894	07	50 398	72	49 602	72
43	48 332	67	97 890	07	50 442	73	49 558	73
44	48 371	65	97 886	07	50 485	72	49 515	72
45	48 411	0,67	97 882	0,07	50 529	0,73	49 471	0,73
46	48 450	65	97 878	07	50 572	72	49 428	72
47	48 490	67	97 874	07	50 616	73	49 384	73
48	48 529	65	97 870	07	50 659	72	49 341	72
49	48 568	65	97 866	07	50 703	73	49 297	73
50'	1,48 607	0,65	1,97 861	0,08	1,50 746	0,72	0,49 254	0,72
51	48 647	67	97 857	07	50 789	72	49 211	72
52	48 686	65	97 853	07	50 833	73	49 167	73
53	48 725	65	97 849	07	50 876	72	49 124	72
54	48 764	65	97 845	07	50 919	72	49 081	72
55	48 803	0,65	97 841	0,07	50 962	0,72	49 038	0,72
56	48 842	65	97 837	07	51 005	72	48 995	72
57	48 881	65	97 833	07	51 048	73	48 952	73
58	48 920	65	97 829	07	51 092	72	48 908	72
59	48 959	65	97 825	07	51 135	72	48 865	72
60'	1,48 998	0,65	1,97 821	0,07	1,51 178	0,72	0,48 822	0,72
	lg cos	-d 1"	lg sin	+d 1"	lg cotg	-d 1"	lg tg	+d 1"

P. P.

d 1"	0,07	0,08	0,65	0,67	0,72	0,73
6"	0,4	0,5	3,9	4,0	4,3	4,4
7	0,5	0,6	4,6	4,7	5,0	5,1
8	0,5	0,7	5,2	5,3	5,7	5,9
9	0,6	0,8	5,9	6,0	6,5	6,6
10	0,7	0,8	6,5	6,7	7,2	7,3
20	1,3	1,7	13,0	13,3	14,3	14,7
30	2,0	2,5	19,5	20,0	21,5	22,0
40	2,7	3,3	26,0	26,7	28,7	29,3
50	3,3	4,2	32,5	33,8	35,8	36,7

72°

18°

18°	lg sin	+d 1"	lg cos	—d 1"	lg tg	+d 1"	lg cotg	—d 1"	
0'	1,48 998	0,65	1,97 821	0,07	1,51 178	0,72	0,48 822	0,72	60'
1	49 037	65	97 817	08	51 221	72	48 779	72	59
2	49 076	65	97 812	07	51 264	70	48 736	70	58
3	49 115	63	97 808	07	51 306	72	48 694	72	57
4	49 153	63	97 804	07	51 349	72	48 651	72	56
5	49 192	0,65	97 800	0,07	51 392	0,72	48 608	0,72	55
6	49 231	65	97 796	07	51 435	72	48 565	72	54
7	49 269	63	97 792	07	51 478	72	48 522	72	53
8	49 308	65	97 788	07	51 520	70	48 480	70	52
9	49 347	65	97 784	07	51 563	72	48 437	72	51
	0,63		0,08		0,72		0,72		
10'	1,49 385	65	1,97 779	07	1,51 606	70	0,48 394	70	50'
11	49 424	63	97 775	07	51 648	72	48 352	72	49
12	49 462	63	97 771	07	51 691	72	48 309	72	48
13	49 500	63	97 767	07	51 734	72	48 266	72	47
14	49 539	65	97 763	07	51 776	70	48 224	70	46
15	49 577	0,63	97 759	0,07	51 819	0,72	48 181	0,72	45
16	49 615	63	97 754	08	51 861	70	48 139	70	44
17	49 654	65	97 750	07	51 903	70	48 097	70	43
18	49 692	63	97 746	07	51 946	72	48 054	72	42
19	49 730	63	97 742	07	51 988	70	48 012	70	41
	0,63		0,07		0,72		0,72		
20'	1,49 768	63	1,97 738	07	1,52 031	70	0,47 969	70	40'
21	49 806	63	97 734	08	52 073	70	47 927	70	39
22	49 844	63	97 729	07	52 115	70	47 885	70	38
23	49 882	63	97 725	07	52 157	70	47 843	70	37
24	49 920	63	97 721	07	52 200	72	47 800	72	36
25	49 958	0,63	97 717	0,07	52 242	0,70	47 758	0,70	35
26	49 996	63	97 713	07	52 284	70	47 716	70	34
27	50 034	63	97 708	07	52 326	70	47 674	70	33
28	50 072	63	97 704	07	52 368	70	47 632	70	32
29	50 110	63	97 700	07	52 410	70	47 590	70	31
	0,63		0,07		0,70		0,70		
30'	1,50 148		1,97 696		1,52 452		0,47 548		30'
lg cos	—d 1"	lg sin	+d 1"	lg cotg	—d 1"	lg tg	+d 1"		71°

P. P.

d 1"	0,07	0,08	0,63	0,65	0,70	0,72
6	0,4	0,5	3,8	3,9	4,2	4,3
7	0,5	0,6	4,4	4,6	4,9	5,0
8	0,5	0,7	5,1	5,2	5,6	5,7
9	0,6	0,8	5,7	5,9	6,3	6,5
10	0,7	0,8	6,3	6,5	7,0	7,2
20	1,3	1,7	12,7	13,0	14,0	14,3
30	2,0	2,5	19,0	19,5	21,0	21,5
40	2,7	3,3	25,3	26,0	28,0	28,7
50	3,3	4,2	31,7	32,5	35,0	35,8

71°

18°

18°	lg sin	+d 1"	lg cos	-d 1"	lg tg	+d 1"	lg cotg	-d 1"	
30'	1,50 148	0,62	1,97 696	0,08	1,52 452	0,70	0,47 548	0,70	30'
31	50 185	63	97 691	07	52 494	70	47 506	70	29
32	50 223	63	97 687	07	52 536	70	47 464	70	28
33	50 261	63	97 683	07	52 578	70	47 422	70	27
34	50 298	62	97 679	07	52 620	70	47 380	70	26
35	50 336	0,63	97 674	0,08	52 661	0,68	47 339	0,68	25
36	50 374	63	97 670	07	52 703	70	47 297	70	24
37	50 411	62	97 666	07	52 745	70	47 255	70	23
38	50 449	63	97 662	07	52 787	70	47 213	70	22
39	50 486	62	97 657	08	52 829	70	47 171	70	21
40'	1,50 523	0,62	1,97 653	0,07	1,52 870	0,68	0,47 130	0,68	20'
41	50 561	63	97 649	07	52 912	70	47 088	70	19
42	50 598	62	97 645	07	52 953	68	47 047	68	18
43	50 635	62	97 640	08	52 995	70	47 005	70	17
44	50 673	63	97 636	07	53 037	70	46 963	70	16
45	50 710	0,62	97 632	0,07	53 078	0,68	46 922	0,68	15
46	50 747	62	97 628	07	53 120	70	46 880	70	14
47	50 784	62	97 623	08	53 161	68	46 839	68	13
48	50 821	62	97 619	07	53 202	68	46 798	68	12
49	50 858	62	97 615	07	53 244	70	46 756	70	11
50'	1,50 896	0,63	1,97 610	0,08	1,53 285	0,68	0,46 715	0,68	10'
51	50 933	62	97 606	07	53 327	70	46 673	70	9
52	50 970	62	97 602	07	53 368	68	46 632	68	8
53	51 007	62	97 597	08	53 409	68	46 591	68	7
54	51 043	60	97 593	07	53 450	68	46 550	68	6
55	51 080	0,62	97 589	0,07	53 492	0,70	46 508	0,70	5
56	51 117	62	97 584	08	53 533	68	46 467	68	4
57	51 154	62	97 580	07	53 574	68	46 426	68	3
58	51 191	62	97 576	07	53 615	68	46 385	68	2
59	51 227	60	97 571	08	53 656	68	46 344	68	1
60'	1,51 264	0,62	1,97 567	0,07	1,53 697	0,68	0,46 303	0,68	0'
lg cos -d 1" lg sin +d 1" lg cotg -d 1" lg tg +d 1" 71°									

P. P.

d 1'	0,07	0,08	0,60	0,62	0,63	0,68	0,70
6"	0,4	0,5	3,6	3,7	3,8	4,1	4,2
7	0,5	0,6	4,2	4,3	4,4	4,8	4,9
8	0,5	0,7	4,8	4,9	5,1	5,5	5,6
9	0,6	0,8	5,4	5,6	5,7	6,2	6,3
10	0,7	0,8	6,0	6,2	6,3	6,8	7,0
20	1,3	1,7	12,0	12,3	12,7	13,7	14,0
30	2,0	2,5	18,0	18,5	19,0	20,5	21,0
40	2,7	3,3	24,0	24,7	25,3	27,3	28,0
50	3,3	4,2	30,0	30,8	31,7	34,2	35,0

71°

19°

19°	lg sin	+d 1"	lg cos	-d 1"	lg tg	+d 1"	lg cotg	-d 1"
0'	1,51 264	0,62	1,97 567	0,07	1,53 697	0,68	0,46 303	0,68
1	51 301	62	97 563	08	53 738	68	46 262	68
2	51 338	60	97 558	07	53 779	68	46 221	68
3	51 374	62	97 554	07	53 820	68	46 180	68
4	51 411	62	97 550	07	53 861	68	46 139	68
5	51 447	0,60	97 545	0,08	53 902	0,68	46 098	0,68
6	51 484	62	97 541	07	53 943	68	46 057	68
7	51 520	60	97 536	08	53 984	68	46 016	68
8	51 557	62	97 532	07	54 025	68	45 975	68
9	51 593	60	97 528	07	54 065	67	45 935	67
10'	1,51 629	0,60	1,97 523	0,08	1,54 106	0,68	0,45 894	0,68
11	51 666	62	97 519	07	54 147	68	45 853	68
12	51 702	60	97 515	07	54 187	67	45 813	67
13	51 738	60	97 510	08	54 228	68	45 772	68
14	51 774	60	97 506	07	54 269	68	45 731	68
15	51 811	0,62	97 501	0,08	54 309	0,67	45 691	0,67
16	51 847	60	97 497	07	54 350	68	45 650	68
17	51 883	60	97 492	08	54 390	67	45 610	67
18	51 919	60	97 488	07	54 431	68	45 569	68
19	51 955	60	97 484	07	54 471	67	45 529	67
20'	1,51 991	0,60	1,97 479	0,08	1,54 512	0,68	0,45 488	0,68
21	52 027	60	97 475	07	54 552	67	45 448	67
22	52 063	60	97 470	08	54 593	68	45 407	68
23	52 099	60	97 466	07	54 633	67	45 367	67
24	52 135	60	97 461	08	54 673	67	45 327	67
25	52 171	0,60	97 457	0,07	54 714	0,68	45 286	0,68
26	52 207	60	97 453	07	54 754	67	45 246	67
27	52 242	58	97 448	08	54 794	67	45 206	67
28	52 278	60	97 444	07	54 835	68	45 165	68
29	52 314	60	97 439	08	54 875	67	45 125	67
30'	1,52 350	0,60	1,97 435	0,07	1,54 915	0,67	0,45 085	0,67
	lg cos	-d 1"	lg sin	+d 1"	lg cotg	-d 1"	lg tg	+d 1"

P. P.

d 1"	0,07	0,08	0,58	0,60	0,62	0,67	0,68
6"	0,4	0,5	3,5	3,6	3,7	4,0	4,1
7	0,5	0,6	4,1	4,2	4,3	4,7	4,8
8	0,5	0,7	4,7	4,8	4,9	5,3	5,5
9	0,6	0,8	5,3	5,4	5,6	6,0	6,2
10	0,7	0,8	5,8	6,0	6,2	6,7	6,8
20	1,3	1,7	11,7	12,0	12,3	13,3	13,7
30	2,0	2,5	17,5	18,0	18,5	20,0	20,5
40	2,7	3,3	23,3	24,0	24,7	26,7	27,3
50	3,3	4,2	29,2	30,0	30,8	33,3	34,2

70°

19°

19°	lg sin	+ d 1"	lg cos	— d 1"	lg tg	+ d 1"	lg cotg	— d 1"	
30'	1,52 350	0,58	1,97 435	0,08	1,54 915	0,67	0,45 085	0,67	30'
31	52 385	60	97 430	07	54 955	67	45 045	67	29
32	52 421	58	97 426	08	54 995	67	45 005	67	28
33	52 456	60	97 421	07	55 035	67	44 965	67	27
34	52 492	0,58	97 417	0,08	55 075	0,67	44 925	0,67	26
35	52 527	60	97 412	07	55 115	67	44 885	67	25
36	52 563	58	97 408	08	55 155	67	44 845	67	24
37	52 598	60	97 403	07	55 195	67	44 805	67	23
38	52 634	58	97 399	08	55 235	67	44 765	67	22
39	52 669	0,60	97 394	0,07	55 275	0,67	44 725	0,67	21
40'	1,52 705	58	1,97 390	08	1,55 315	67	0,44 685	67	20'
41	52 740	58	97 385	07	55 355	67	44 645	67	19
42	52 775	60	97 381	08	55 395	65	44 605	65	18
43	52 811	58	97 376	07	55 434	67	44 566	67	17
44	52 846	0,58	97 372	0,08	55 474	0,67	44 526	0,67	16
45	52 881	58	97 367	07	55 514	67	44 486	67	15
46	52 916	58	97 363	08	55 554	65	44 446	65	14
47	52 951	58	97 358	08	55 593	67	44 407	67	13
48	52 986	58	97 353	07	55 633	67	44 367	67	12
49	53 021	0,58	97 349	0,08	55 673	0,65	44 327	0,65	11
50'	1,53 056	60	1,97 344	07	1,55 712	67	0,44 288	67	10'
51	53 092	57	97 340	08	55 752	65	44 248	65	9
52	53 126	58	97 335	07	55 791	67	44 209	67	8
53	53 161	58	97 331	08	55 831	65	44 169	65	7
54	53 196	0,58	97 326	0,07	55 870	0,67	44 130	0,67	6
55	53 231	58	97 322	08	55 910	65	44 090	65	5
56	53 266	58	97 317	08	55 949	67	44 051	67	4
57	53 301	58	97 312	07	55 989	65	44 011	65	3
58	53 336	57	97 308	08	56 028	65	43 972	65	2
59	53 370	0,58	97 303	0,07	56 067	0,67	43 933	0,67	1
60'	1,53 405	0,58	1,97 299	0,07	1,56 107	0,67	0,43 893	0,67	0'
	lg cos	— d 1"	lg sin	+ d 1"	lg cotg	— d 1"	lg tg	+ d 1"	70°

P. P.

d 1"	0,07	0,08	0,57	0,58	0,60	0,65	0,67
6"	0,4	0,5	3,4	3,5	3,6	3,9	4,0
7	0,5	0,6	4,0	4,1	4,2	4,6	4,7
8	0,5	0,7	4,5	4,7	4,8	5,2	5,3
9	0,6	0,8	5,1	5,3	5,4	5,9	6,0
10	0,7	0,8	5,7	5,8	6,0	6,5	6,7
20	1,3	1,7	11,3	11,7	12,0	13,0	13,3
30	2,0	2,5	17,0	17,5	18,0	19,5	20,0
40	2,7	3,3	22,7	23,3	24,0	26,0	26,7
50	3,3	4,2	28,3	29,2	30,0	32,5	33,3

70°

20°

20°	lg sin	+d 1"	lg cos	-d 1"	lg tg	+d 1"	lg cotg	-d 1"	
0'	1,53 405	0,58	1,97 299	0,08	1,56 107	0,65	0,43 893	0,65	60'
1	53 440	58	97 294	08	56 146	65	43 854	65	59
2	53 475	57	97 289	07	56 185	65	43 815	65	58
3	53 509	58	97 285	08	56 224	67	43 776	67	57
4	53 544	0,57	97 280	0,07	56 264	0,65	43 736	0,65	56
5	53 578	58	97 276	08	56 303	65	43 697	65	55
6	53 613	57	97 271	08	56 342	65	43 658	65	54
7	53 647	58	97 266	07	56 381	65	43 619	65	53
8	53 682	57	97 262	08	56 420	65	43 580	65	52
9	53 716	0,58	97 257	0,08	56 459	0,65	43 541	0,65	51
10'	1,53 751	57	1,97 252	07	1,56 498	65	0,43 502	0,65	50'
11	53 785	57	97 248	08	56 537	65	43 463	65	49
12	53 819	58	97 243	08	56 576	65	43 424	65	48
13	53 854	57	97 238	07	56 615	65	43 385	65	47
14	53 888	0,57	97 234	0,08	56 654	0,65	43 346	0,65	46
15	53 922	58	97 229	08	56 693	65	43 307	65	45
16	53 957	57	97 224	07	56 732	65	43 268	65	44
17	53 991	57	97 220	08	56 771	65	43 229	65	43
18	54 025	57	97 215	08	56 810	65	43 190	65	42
19	54 059	0,57	97 210	0,07	56 849	0,63	43 151	0,63	41
20'	1,54 093	57	1,97 206	08	1,56 887	65	0,43 113	0,65	40'
21	54 127	57	97 201	08	56 926	65	43 074	65	39
22	54 161	57	97 196	07	56 965	65	43 035	65	38
23	54 195	57	97 192	08	57 004	63	42 996	63	37
24	54 229	0,57	97 187	0,08	57 042	0,65	42 958	0,65	36
25	54 263	57	97 182	07	57 081	65	42 919	65	35
26	54 297	57	97 178	08	57 120	63	42 880	63	34
27	54 331	57	97 173	08	57 158	65	42 842	65	33
28	54 365	57	97 168	08	57 197	63	42 803	63	32
29	54 399	0,57	97 163	0,07	57 235	0,65	42 765	0,65	31
30'	1,54 433	57	1,97 159	0,07	1,57 274	0,65	0,42 726	0,65	30'
	lg cos	-d 1"	lg sin	+d 1"	lg cotg	-d 1"	lg tg	+d 1"	69°

P. P.

d 1"	0,07	0,08	0,57	0,58	0,63	0,65	0,67
6'	0,4	0,5	3,4	3,5	3,8	3,9	4,0
7	0,5	0,6	4,0	4,1	4,4	4,6	4,7
8	0,5	0,7	4,5	4,7	5,1	5,2	5,3
9	0,6	0,8	5,1	5,3	5,7	5,9	6,0
10	0,7	0,8	5,7	5,8	6,3	6,5	6,7
20	1,3	1,7	11,3	11,7	12,7	13,0	13,3
30	2,0	2,5	17,0	17,5	19,0	19,5	20,0
40	2,7	3,3	22,7	23,3	25,3	26,0	26,7
50	3,3	4,2	28,3	29,2	31,7	32,5	33,3

69°

20°

20°	lg sin	+d 1"	lg cos	-d 1"	lg tg	+d 1"	lg cotg	-d 1"	
30'	1,54 433	0,55	1,97 159	0,08	1,57 274	0,63	0,42 726	0,63	30'
31	54 466	57	97 154	08	57 312	65	42 688	65	29
32	54 500	57	97 149	07	57 351	63	42 649	63	28
33	54 534	55	97 145	08	57 389	65	42 611	65	27
34	54 567	0,57	97 140	0,08	57 428	0,63	42 572	0,63	26
35	54 601	57	97 135	08	57 466	63	42 534	63	25
36	54 635	55	97 130	07	57 504	65	42 496	65	24
37	54 668	57	97 126	08	57 543	63	42 457	63	23
38	54 702	55	97 121	08	57 581	63	42 419	63	22
39	54 735	0,57	97 116	0,08	57 619	0,65	42 381	0,65	21
40'	1,54 769	55	1,97 111	07	1,57 658	63	0,42 342	63	20'
41	54 802	57	97 107	08	57 696	63	42 304	63	19
42	54 836	55	97 102	08	57 734	63	42 266	63	18
43	54 869	57	97 097	08	57 772	63	42 228	63	17
44	54 903	0,55	97 092	0,08	57 810	0,65	42 190	0,65	16
45	54 936	55	97 087	07	57 849	63	42 151	63	15
46	54 969	57	97 083	08	57 887	63	42 113	63	14
47	55 003	55	97 078	08	57 925	63	42 075	63	13
48	55 036	55	97 073	08	57 963	63	42 037	63	12
49	55 069	0,55	97 068	0,08	58 001	0,63	41 999	0,63	11
50'	1,55 102	57	1,97 063	07	1,58 039	63	0,41 961	63	10'
51	55 136	55	97 059	08	58 077	63	41 923	63	9
52	55 169	55	97 054	08	58 115	63	41 885	63	8
53	55 202	55	97 049	08	58 153	63	41 847	63	7
54	55 235	0,55	97 044	0,08	58 191	0,63	41 809	0,63	6
55	55 268	55	97 039	07	58 229	63	41 771	63	5
56	55 301	55	97 035	08	58 267	62	41 733	62	4
57	55 334	55	97 030	08	58 304	63	41 696	63	3
58	55 367	55	97 025	08	58 342	63	41 658	63	2
59	55 400	0,55	97 020	0,08	58 380	0,63	41 620	0,63	1
60'	1,55 433	57	1,97 015	07	1,58 418	63	0,41 582	63	0'
	lg cos	-d 1"	lg sin	+d 1"	lg cotg	-d 1"	lg tg	+d 1"	69°

P. P.

d 1'	0,07	0,08	0,55	0,57	0,62	0,63	0,65
6"	0,4	0,5	3,3	3,4	3,7	3,8	3,9
7	0,5	0,6	3,9	4,0	4,3	4,4	4,6
8	0,5	0,7	4,4	4,5	4,9	5,1	5,2
9	0,6	0,8	5,0	5,1	5,6	5,7	5,9
10	0,7	0,8	5,5	5,7	6,2	6,3	6,5
20	1,3	1,7	11,0	11,3	12,3	12,7	13,0
30	2,0	2,5	16,5	17,0	18,5	19,0	19,5
40	2,7	3,3	22,0	22,7	24,7	25,3	26,0
50	3,3	4,2	27,5	28,3	30,8	31,7	32,5

69°

21°

21°	lg sin	+d 1"	lg cos	-d 1"	lg tg	+d 1"	lg cotg	-d 1"	
0'	1,55 433		1,97 015		1,58 418		0,41 582		60'
1	55 466	0,55	97 010	0,08	58 455	0,62	41 545	0,62	59
2	55 499	55	97 005	08	58 493	63	41 507	63	58
3	55 532	55	97 001	07	58 531	63	41 469	63	57
4	55 564	53	96 996	08	58 569	63	41 431	63	56
5	55 597	0,55	96 991	0,08	58 606	0,62	41 394	0,62	55
6	55 630	55	96 986	08	58 644	63	41 356	63	54
7	55 663	55	96 981	08	58 681	62	41 319	62	53
8	55 695	53	96 976	08	58 719	63	41 281	63	52
9	55 728	55	96 971	08	58 757	63	41 243	63	51
10'	1,55 761	0,55	1,96 966	0,08	1,58 794	0,62	0,41 206	0,62	50'
11	55 793	53	96 962	07	58 832	63	41 168	63	49
12	55 826	55	96 957	08	58 869	62	41 131	62	48
13	55 858	53	96 952	08	58 907	63	41 093	63	47
14	55 891	55	96 947	08	58 944	62	41 056	62	46
15	55 923	0,53	96 942	0,08	58 981	0,62	41 019	0,62	45
16	55 956	55	96 937	08	59 019	63	40 981	63	44
17	55 988	53	96 932	08	59 056	62	40 944	62	43
18	56 021	55	96 927	08	59 094	63	40 906	63	42
19	56 053	53	96 922	08	59 131	62	40 869	62	41
20'	1,56 085	0,53	1,96 917	0,08	1,59 168	0,62	0,40 832	0,62	40'
21	56 118	55	96 912	08	59 205	62	40 795	62	39
22	56 150	53	96 907	08	59 243	63	40 757	63	38
23	56 182	53	96 903	07	59 280	62	40 720	62	37
24	56 215	55	96 898	08	59 317	62	40 683	62	36
25	56 247	0,53	96 893	0,08	59 354	0,62	40 646	0,62	35
26	56 279	53	96 888	08	59 391	62	40 609	62	34
27	56 311	53	96 883	08	59 429	63	40 571	63	33
28	56 343	53	96 878	08	59 466	62	40 534	62	32
29	56 375	53	96 873	08	59 503	62	40 497	62	31
30'	1,56 408	0,55	1,96 868	0,08	1,59 540	0,62	0,40 460	0,62	30'
	lg cos	-d 1"	lg sin	+d 1"	lg cotg	-d 1"	lg tg	+d 1"	68°

P. P.

d 1"	0,07	0,08	0,53	0,55	0,62	0,63
6"	0,4	0,5	3,2	3,3	3,7	3,8
7	0,5	0,6	3,7	3,9	4,3	4,4
8	0,5	0,7	4,3	4,4	4,9	5,1
9	0,6	0,8	4,8	5,0	5,6	5,7
10	0,7	0,8	5,3	5,5	6,2	6,3
20	1,3	1,7	10,7	11,0	12,3	12,7
30	2,0	2,5	16,0	16,5	18,5	19,0
40	2,7	3,3	21,3	22,0	24,7	25,3
50	3,3	4,2	26,7	27,5	30,8	31,7

68°

21°

21°	lg sin	+d 1"	lg cos	-d 1"	lg tg	+d 1"	lg cotg	-d 1"	
30'	1,56 408	0,53	1,96 868	0,08	1,59 540	0,62	0,40 460	0,62	30'
31	56 440	53	96 863	08	59 577	62	40 423	62	29
32	56 472	53	96 858	08	59 614	62	40 386	62	28
33	56 504	53	96 853	08	59 651	62	40 349	62	27
34	56 536	53	96 848	08	59 688	62	40 312	62	26
35	56 568	0,53	96 843	0,08	59 725	0,62	40 275	0,62	25
36	56 599	52	96 838	08	59 762	62	40 238	62	24
37	56 631	53	96 833	08	59 799	62	40 201	62	23
38	56 663	53	96 828	08	59 835	60	40 165	60	22
39	56 695	53	96 823	08	59 872	62	40 128	62	21
40'	1,56 727	0,53	1,96 818	0,08	1,59 909	0,62	0,40 091	0,62	20'
41	56 759	53	96 813	08	59 946	62	40 054	62	19
42	56 790	52	96 808	08	59 983	62	40 017	62	18
43	56 822	53	96 803	08	60 019	60	39 981	60	17
44	56 854	53	96 798	08	60 056	62	39 944	62	16
45	56 886	0,53	96 793	0,08	60 093	0,62	39 907	0,62	15
46	56 917	52	96 788	08	60 130	62	39 870	62	14
47	56 949	53	96 783	08	60 166	60	39 834	60	13
48	56 980	52	96 778	08	60 203	62	39 797	62	12
49	57 012	53	96 772	10	60 240	62	39 760	62	11
50'	1,57 044	0,53	1,96 767	0,08	1,60 276	0,60	0,39 724	0,60	10'
51	57 075	52	96 762	08	60 313	62	39 687	62	9
52	57 107	53	96 757	08	60 349	60	39 651	60	8
53	57 138	52	96 752	08	60 386	62	39 614	62	7
54	57 169	52	96 747	08	60 422	60	39 578	60	6
55	57 201	0,53	96 742	0,08	60 459	0,62	39 541	0,62	5
56	57 232	52	96 737	08	60 495	60	39 505	60	4
57	57 264	53	96 732	08	60 532	62	39 468	62	3
58	57 295	52	96 727	08	60 568	60	39 432	60	2
59	57 326	52	96 722	08	60 605	62	39 395	62	1
60'	1,57 358	0,53	1,96 717	0,08	1,60 641	0,60	0,39 359	0,60	0'
	lg cos	-d 1"	lg sin	+d 1"	lg cotg	-d 1"	lg tg	+d 1"	68°

P. P.

d 1"	0,08	0,10	0,52	0,53	0,60	0,62
6"	0,5	0,6	3,1	3,2	3,6	3,7
7	0,6	0,7	3,6	3,7	4,2	4,3
8	0,7	0,8	4,1	4,3	4,8	4,9
9	0,8	0,9	4,7	4,8	5,4	5,6
10	0,8	1,0	5,2	5,3	6,0	6,2
20	1,7	2,0	10,3	10,7	12,0	12,3
30	2,5	3,0	15,5	16,0	18,0	18,5
40	3,3	4,0	20,7	21,3	24,0	24,7
50	4,2	5,0	25,8	26,7	30,0	30,8

68°

22°

22°	lg sin	+d 1"	lg cos	-d 1"	lg tg	+d 1"	lg cotg	-d 1"	
0'	1,57 358		1,96 717		1,60 641		0,39 359		60'
1	57 389	0,52	96 711	0,10	60 677	0,60	39 323	0,60	59
2	57 420	52	96 706	08	60 714	62	39 286	62	58
3	57 451	52	96 701	08	60 750	60	39 250	60	57
4	57 482	52	96 696	08	60 786	60	39 214	60	56
5	57 514	0,53	96 691	0,08	60 823	0,62	39 177	0,62	55
6	57 545	52	96 686	08	60 859	60	39 141	60	54
7	57 576	52	96 681	08	60 895	60	39 105	60	53
8	57 607	52	96 676	08	60 931	60	39 069	60	52
9	57 638	52	96 670	10	60 967	60	39 033	60	51
10'	1,57 669	0,52	1,96 665	0,08	1,61 004	0,62	0,38 996	0,62	50'
11	57 700	52	96 660	08	61 040	60	38 960	60	49
12	57 731	52	96 655	08	61 076	60	38 924	60	48
13	57 762	52	96 650	08	61 112	60	38 888	60	47
14	57 793	52	96 645	08	61 148	60	38 852	60	46
15	57 824	0,52	96 640	0,08	61 184	0,60	38 816	0,60	45
16	57 855	52	96 634	10	61 220	60	38 780	60	44
17	57 885	50	96 629	08	61 256	60	38 744	60	43
18	57 916	52	96 624	08	61 292	60	38 708	60	42
19	57 947	52	96 619	08	61 328	60	38 672	60	41
20'	1,57 978	0,52	1,96 614	0,08	1,61 364	0,60	0,38 636	0,60	40'
21	58 008	50	96 608	10	61 400	60	38 600	60	39
22	58 039	52	96 603	08	61 436	60	38 564	60	38
23	58 070	52	96 598	08	61 472	60	38 528	60	37
24	58 101	52	96 593	08	61 508	60	38 492	60	36
25	58 131	0,50	96 588	0,08	61 544	0,60	38 456	0,60	35
26	58 162	52	96 582	10	61 579	58	38 421	58	34
27	58 192	50	96 577	08	61 615	60	38 385	60	33
28	58 223	52	96 572	08	61 651	60	38 349	60	32
29	58 253	50	96 567	08	61 687	60	38 313	60	31
30'	1,58 284	0,52	1,96 562	0,08	1,61 722	0,58	0,38 278	0,58	30'
	lg cos	-d 1"	lg sin	+d 1"	lg cotg	-d 1"	lg tg	+d 1"	67°

P. P.

d 1"	0,08	0,10	0,50	0,52	0,53	0,58	0,60	0,62
6"	0,5	0,6	3,0	3,1	3,2	3,5	3,6	3,7
7	0,6	0,7	3,5	3,6	3,7	4,1	4,2	4,3
8	0,7	0,8	4,0	4,1	4,3	4,7	4,8	4,9
9	0,8	0,9	4,5	4,7	4,8	5,3	5,4	5,6
10	0,8	1,0	5,0	5,2	5,3	5,8	6,0	6,2
20	1,7	2,0	10,0	10,3	10,7	11,7	12,0	12,3
30	2,5	3,0	15,0	15,5	16,0	17,5	18,0	18,5
40	3,3	4,0	20,0	20,7	21,3	23,3	24,0	24,7
50	4,2	5,0	25,0	25,8	26,7	29,2	30,0	30,8

67°

22°

22°	lg sin	+d 1"	lg cos	-d 1"	lg tg	+d 1"	lg cotg	-d 1"	
30'	1,58 284		1,96 562		1,61 722		0,38 278		30'
31	58 314	0,50	96 556	0,10	61 758	0,60	38 242	0,60	29
32	58 345	52	96 551	08	61 794	60	38 206	60	28
33	58 375	50	96 546	08	61 830	60	38 170	60	27
34	58 406	52	96 541	08	61 865	58	38 135	58	26
35	58 436	0,50	96 535	0,10	61 901	0,60	38 099	0,60	25
36	58 467	52	96 530	08	61 936	58	38 064	58	24
37	58 497	50	96 525	08	61 972	60	38 028	60	23
38	58 527	50	96 520	08	62 008	60	37 992	60	22
39	58 557	50	96 514	10	62 043	58	37 957	58	21
40'	1,58 588	0,52	1,96 509	0,08	1,62 079	0,60	0,37 921	0,60	20'
41	58 618	50	96 504	08	62 114	58	37 886	58	19
42	58 648	50	96 498	10	62 150	60	37 850	60	18
43	58 678	50	96 493	08	62 185	58	37 815	58	17
44	58 709	52	96 488	08	62 221	60	37 779	60	16
45	58 739	0,50	96 483	0,08	62 256	0,58	37 744	0,58	15
46	58 769	50	96 477	10	62 292	60	37 708	60	14
47	58 799	50	96 472	08	62 327	58	37 673	58	13
48	58 829	50	96 467	08	62 362	58	37 638	58	12
49	58 859	50	96 461	10	62 398	60	37 602	60	11
50'	1,58 889	0,50	1,96 456	0,08	1,62 433	0,58	0,37 567	0,58	10'
51	58 919	50	96 451	08	62 468	58	37 532	58	9
52	58 949	50	96 445	10	62 504	60	37 496	60	8
53	58 979	50	96 440	08	62 539	58	37 461	58	7
54	59 009	50	96 435	08	62 574	58	37 426	58	6
55	59 039	0,50	96 429	0,10	62 609	0,58	37 391	0,58	5
56	59 069	50	96 424	08	62 645	60	37 355	60	4
57	59 098	48	96 419	08	62 680	58	37 320	58	3
58	59 128	50	96 413	10	62 715	58	37 285	58	2
59	59 158	50	96 408	08	62 750	58	37 250	58	1
60'	1,59 188	0,50	1,96 403	0,08	1,62 785	0,58	0,37 215	0,58	0'
	lg cos	-d 1"	lg sin	+d 1"	lg cotg	-d 1"	lg tg	+d 1"	67°

P. P.

d 1"	0,08	0,10	0,48	0,50	0,52	0,58	0,60
6"	0,5	0,6	2,9	3,0	3,1	3,5	3,6
7	0,6	0,7	3,4	3,5	3,6	4,1	4,2
8	0,7	0,8	3,9	4,0	4,1	4,7	4,8
9	0,8	0,9	4,4	4,5	4,7	5,3	5,4
10	0,8	1,0	4,8	5,0	5,2	5,8	6,0
20	1,7	2,0	9,7	10,0	10,3	11,7	12,0
30	2,5	3,0	14,5	15,0	15,5	17,5	18,0
40	3,3	4,0	19,3	20,0	20,7	23,3	24,0
50	4,2	5,0	24,2	25,0	25,8	29,2	30,0

67°

23°

23°	lg sin	+d 1"	lg cos	-d 1"	lg tg	+d 1"	lg cotg	-d 1"	
0'	1,59 188		1,96 403		1,62 785		0,37 215		60'
1	59 218	0,50	96 397	0,10	62 820	0,58	37 180	0,58	59
2	59 247	48	96 392	08	62 855	58	37 145	58	58
3	59 277	50	96 387	08	62 890	58	37 110	58	57
4	59 307	50	96 381	10	62 926	60	37 074	60	56
5	59 336	0,48	96 376	0,08	62 961	0,58	37 039	0,58	55
6	59 366	50	96 370	10	62 996	58	37 004	58	54
7	59 396	50	96 365	08	63 031	58	36 969	58	53
8	59 425	48	96 360	08	63 066	58	36 934	58	52
9	59 455	50	96 354	10	63 101	58	36 899	58	51
		0,48		0,08		0,57		0,57	
10'	1,59 484		1,96 349		1,63 135		0,36 865		50'
11	59 514	50	96 343	10	63 170	58	36 830	58	49
12	59 543	48	96 338	08	63 205	58	36 795	58	48
13	59 573	50	96 333	08	63 240	58	36 760	58	47
14	59 602	48	96 327	10	63 275	58	36 725	58	46
15	59 632	0,50	96 322	0,08	63 310	0,58	36 690	0,58	45
16	59 661	48	96 316	10	63 345	58	36 655	58	44
17	59 690	48	96 311	08	63 379	57	36 621	57	43
18	59 720	50	96 305	10	63 414	58	36 586	58	42
19	59 749	48	96 300	08	63 449	58	36 551	58	41
		0,48		0,10		0,58		0,58	
20'	1,59 778		1,96 294		1,63 484		0,36 516		40'
21	59 808	50	96 289	08	63 519	58	36 481	58	39
22	59 837	48	96 284	08	63 553	57	36 447	57	38
23	59 866	48	96 278	10	63 588	58	36 412	58	37
24	59 895	48	96 273	08	63 623	58	36 377	58	36
25	59 924	0,48	96 267	0,10	63 657	0,57	36 343	0,57	35
26	59 954	50	96 262	08	63 692	58	36 308	58	34
27	59 983	48	96 256	10	63 726	57	36 274	57	33
28	60 012	48	96 251	08	63 761	58	36 239	58	32
29	60 041	48	96 245	10	63 796	58	36 204	58	31
		0,48		0,08		0,57		0,57	
30'	1,60 070		1,96 240		1,63 830		0,36 170		30'
	lg cos	-d 1"	lg sin	+d 1"	lg cotg	-d 1"	lg tg	+d 1"	66°

P. P.

d 1"	0,08	0,10	0,48	0,50	0,57	0,58	0,60
6"	0,5	0,6	2,9	3,0	3,4	3,5	3,6
7	0,6	0,7	3,4	3,5	4,0	4,1	4,2
8	0,7	0,8	3,9	4,0	4,5	4,7	4,8
9	0,8	0,9	4,4	4,5	5,1	5,3	5,4
10	0,8	1,0	4,8	5,0	5,7	5,8	6,0
20	1,7	2,0	9,7	10,0	11,3	11,7	12,0
30	2,5	3,0	14,5	15,0	17,0	17,5	18,0
40	3,3	4,0	19,3	20,0	22,7	23,3	24,0
50	4,2	5,0	24,2	25,0	28,3	29,2	30,0

66°

28°

23°	lg sin	+d 1"	lg cos	—d 1"	lg tg	+d 1"	lg cotg	—d 1"	
30'	1,60 070		1,96 240		1,63 830		0,36 170		30'
31	60 099	0,48	96 234	0,10	63 865	0,58	36 135	0,58	29
32	60 128	48	96 229	08	63 899	57	36 101	57	28
33	60 157	48	96 223	10	63 934	58	36 066	58	27
34	60 186	48	96 218	08	63 968	57	36 032	57	26
35	60 215	0,48	96 212	0,10	64 003	0,58	35 997	0,58	25
36	60 244	48	96 207	08	64 037	57	35 963	57	24
37	60 273	48	96 201	10	64 072	58	35 928	58	23
38	60 302	48	96 196	08	64 106	57	35 894	57	22
39	60 331	48	96 190	10	64 140	57	35 860	57	21
40'	1,60 359	0,47	1,96 185	0,08	1,64 175	0,58	0,35 825	0,58	20'
41	60 388	48	96 179	10	64 209	57	35 791	57	19
42	60 417	48	96 174	08	64 243	57	35 757	57	18
43	60 446	48	96 168	10	64 278	58	35 722	58	17
44	60 474	47	96 162	10	64 312	57	35 688	57	16
45	60 503	0,48	96 157	0,08	64 346	0,57	35 654	0,57	15
46	60 532	48	96 151	10	64 381	58	35 619	58	14
47	60 561	48	96 146	08	64 415	57	35 585	57	13
48	60 589	47	96 140	10	64 449	57	35 551	57	12
49	60 618	48	96 135	08	64 483	57	35 517	57	11
50'	1,60 646	0,47	1,96 129	0,10	1,64 517	0,57	0,35 483	0,57	10'
51	60 675	48	96 123	10	64 552	58	35 448	58	9
52	60 704	48	96 118	08	64 586	57	35 414	57	8
53	60 732	47	96 112	10	64 620	57	35 380	57	7
54	60 761	48	96 107	08	64 654	57	35 346	57	6
55	60 789	0,47	96 101	0,10	64 688	0,57	35 312	0,57	5
56	60 818	48	96 095	10	64 722	57	35 278	57	4
57	60 846	47	96 090	08	64 756	57	35 244	57	3
58	60 875	48	96 084	10	64 790	57	35 210	57	2
59	60 903	47	96 079	08	64 824	57	35 176	57	1
60'	1,60 931	0,47	1,96 073	0,10	1,64 858	0,57	0,35 142	0,57	0'
	lg cos	—d 1"	lg sin	+d 1"	lg cotg	—d 1"	lg tg	+d 1"	66°

P. P.

d 1"	0,08	0,10	0,47	0,48	0,57	0,58
6"	0,5	0,6	2,8	2,9	3,4	3,5
7	0,6	0,7	3,3	3,4	4,0	4,1
8	0,7	0,8	3,7	3,9	4,5	4,7
9	0,8	0,9	4,2	4,4	5,1	5,3
10	0,8	1,0	4,7	4,8	5,7	5,8
20	1,7	2,0	9,3	9,7	11,3	11,7
30	2,5	3,0	14,0	14,5	17,0	17,5
40	3,3	4,0	18,7	19,3	22,7	23,3
50	4,2	5,0	23,3	24,2	28,3	29,2

66°

24°

24°	lg sin	+d 1"	lg cos	-d 1"	lg tg	+d 1"	lg cotg	-d 1"	
0'	1,60 931		1,96 073		1,64 858		0,35 142		60'
1	60 960	0,48	96 067	0,10	64 892	0,57	35 108	0,57	59
2	60 988	47	96 062	08	64 926	57	35 074	57	58
3	61 016	47	96 056	10	64 960	57	35 040	57	57
4	61 045	48	96 050	10	64 994	57	35 006	57	56
5	61 073	0,47	96 045	0,08	65 028	0,57	34 972	0,57	55
6	61 101	47	96 039	10	65 062	57	34 938	57	54
7	61 129	47	96 034	08	65 096	57	34 904	57	53
8	61 158	48	96 028	10	65 130	57	34 870	57	52
9	61 186	47	96 022	10	65 164	57	34 836	57	51
10'	1,61 214	0,47	1,96 017	0,08	1,65 197	0,55	0,34 803	0,55	50'
11	61 242	47	96 011	10	65 231	57	34 769	57	49
12	61 270	47	96 005	10	65 265	57	34 735	57	48
13	61 298	47	96 000	08	65 299	57	34 701	57	47
14	61 326	47	95 994	10	65 333	57	34 667	57	46
15	61 354	0,47	95 988	0,10	65 366	0,55	34 634	0,55	45
16	61 382	47	95 982	10	65 400	57	34 600	57	44
17	61 411	48	95 977	08	65 434	57	34 566	57	43
18	61 438	45	95 971	10	65 467	55	34 533	55	42
19	61 466	47	95 965	10	65 501	57	34 499	55	41
20'	1,61 494	0,47	1,95 960	0,08	1,65 535	0,57	0,34 465	0,57	40'
21	61 522	47	95 954	10	65 568	55	34 432	55	39
22	61 550	47	95 948	10	65 602	57	34 398	57	38
23	61 578	47	95 942	10	65 636	57	34 364	57	37
24	61 606	47	95 937	08	65 669	55	34 331	55	36
25	61 634	0,47	95 931	0,10	65 703	0,57	34 297	0,57	35
26	61 662	47	95 925	10	65 736	55	34 264	55	34
27	61 689	45	95 920	08	65 770	57	34 230	57	33
28	61 717	47	95 914	10	65 803	55	34 197	55	32
29	61 745	47	95 908	10	65 837	57	34 163	57	31
30'	1,61 773	0,47	1,95 902	0,10	1,65 870	0,55	0,34 130	0,55	30'
	lg cos.	-d 1"	lg sin	+d 1"	lg cotg	-d 1"	lg tg	+d 1"	65°

P. P.

d 1"	0,08	0,10	0,45	0,47	0,48	0,55	0,57
6"	0,5	0,6	2,7	2,8	2,9	3,3	3,4
7	0,6	0,7	3,2	3,3	3,4	3,9	4,0
8	0,7	0,8	3,6	3,7	3,9	4,4	4,5
9	0,8	0,9	4,1	4,2	4,4	5,0	5,1
10	0,8	1,0	4,5	4,7	4,8	5,5	5,7
20	1,7	2,0	9,0	9,3	9,7	11,0	11,3
30	2,5	3,0	13,5	14,0	14,5	16,5	17,0
40	3,3	4,0	18,0	18,7	19,3	22,0	22,7
50	4,2	5,0	22,5	23,3	24,2	27,5	28,3

65°

24°

24°	lg sin	+d 1"	lg cos	-d 1"	lg tg	+d 1"	lg cotg	-d 1"
30'	1,61 773	0,45	1,95 902	0,08	1,65 870	0,57	0,34 130	0,57
31	61 800	47	95 897	10	65 904	55	34 096	55
32	61 828	47	95 891	10	65 937	57	34 063	57
33	61 856	45	95 885	10	65 971	55	34 029	55
34	61 883	0,47	95 879	0,10	66 004	0,57	33 996	0,57
35	61 911	47	95 873	08	66 038	55	33 962	55
36	61 939	45	95 868	10	66 071	55	33 929	55
37	61 966	47	95 862	10	66 104	57	33 896	57
38	61 994	45	95 856	10	66 138	55	33 862	55
39	62 021	0,47	95 850	0,10	66 171	0,55	33 829	0,55
40'	1,62 049	45	1,95 844	08	1,66 204	57	0,33 796	57
41	62 076	47	95 839	10	66 238	55	33 762	55
42	62 104	45	95 833	10	66 271	55	33 729	55
43	62 131	47	95 827	10	66 304	55	33 696	55
44	62 159	0,45	95 821	0,10	66 337	0,57	33 663	0,57
45	62 186	47	95 815	08	66 371	55	33 629	55
46	62 214	45	95 810	10	66 404	55	33 596	55
47	62 241	45	95 804	10	66 437	55	33 563	55
48	62 268	47	95 798	10	66 470	55	33 530	55
49	62 296	0,45	95 792	0,10	66 503	0,57	33 497	0,57
50'	1,62 323	45	1,95 786	10	1,66 537	55	0,33 463	55
51	62 350	45	95 780	08	66 570	55	33 430	55
52	62 377	47	95 775	10	66 603	55	33 397	55
53	62 405	45	95 769	10	66 636	55	33 364	55
54	62 432	0,45	95 763	0,10	66 669	0,55	33 331	0,55
55	62 459	45	95 757	10	66 702	55	33 298	55
56	62 486	45	95 751	10	66 735	55	33 265	55
57	62 513	47	95 745	10	66 768	55	33 232	55
58	62 541	45	95 739	10	66 801	55	33 199	55
59	62 568	0,45	95 733	0,08	66 834	0,55	33 166	0,55
60'	1,62 595	0,45	1,95 728	0,08	1,66 867	0,55	0,33 133	0,55
	lg cos	-d 1"	lg sin	+d 1"	lg cotg	-d 1"	lg tg	+d 1"

P. P.

d 1'	0,08	0,10	0,45	0,47	0,55	0,57.
6"	0,5	0,6	2,7	2,8	3,3	3,4
7	0,6	0,7	3,2	3,3	3,9	4,0
8	0,7	0,8	3,6	3,7	4,4	4,5
9	0,8	0,9	4,1	4,2	5,0	5,1
10	0,8	1,0	4,5	4,7	5,5	5,7
20	1,7	2,0	9,0	9,3	11,0	11,3
30	2,5	3,0	13,5	14,0	16,5	17,0
40	3,3	4,0	18,0	18,7	22,0	22,7
50	4,2	5,0	22,5	23,3	27,5	28,3

65°

25°								
25°	lg sin	+d 1"	lg cos	-d 1"	lg tg	+d 1"	lg cotg	-d 1"
0'	1,62 595		1,95 728		1,66 867		0,33 133	
1	62 622	0,45	95 722	0,10	66 900	0,55	33 100	0,55
2	62 649	45	95 716	10	66 933	55	33 067	55
3	62 676	45	95 710	10	66 966	55	33 034	55
4	62 703	45	95 704	10	66 999	55	33 001	55
5	62 730	0,45	95 698	0,10	67 032	0,55	32 968	0,55
6	62 757	45	95 692	10	67 065	55	32 935	55
7	62 784	45	95 686	10	67 098	55	32 902	55
8	62 811	45	95 680	10	67 131	55	32 869	55
9	62 838	45	95 674	10	67 163	53	32 837	53
10'	1,62 865	0,45	1,95 668	0,10	1,67 196	0,55	0,32 804	0,55
11	62 892	45	95 663	08	67 229	55	32 771	55
12	62 918	43	95 657	10	67 262	55	32 738	55
13	62 945	45	95 651	10	67 295	55	32 705	55
14	62 972	45	95 645	10	67 327	53	32 673	53
15	62 999	0,45	95 639	0,10	67 360	0,55	32 640	0,55
16	63 026	45	95 633	10	67 393	55	32 607	55
17	63 052	43	95 627	10	67 426	55	32 574	55
18	63 079	45	95 621	10	67 458	53	32 542	53
19	63 106	45	95 615	10	67 491	55	32 509	55
20'	1,63 133	0,45	1,95 609	0,10	1,67 524	0,55	0,32 476	0,55
21	63 159	43	95 603	10	67 556	53	32 444	53
22	63 186	45	95 597	10	67 589	55	32 411	55
23	63 213	45	95 591	10	67 622	55	32 378	55
24	63 239	43	95 585	10	67 654	53	32 346	53
25	63 266	0,45	95 579	0,10	67 687	0,55	32 313	0,55
26	63 292	43	95 573	10	67 719	53	32 281	53
27	63 319	45	95 567	10	67 752	55	32 248	55
28	63 345	43	95 561	10	67 785	55	32 215	55
29	63 372	45	95 555	10	67 817	53	32 183	53
30'	1,63 398	0,43	1,95 549	0,10	1,67 850	0,55	0,32 150	0,55
	lg cos	-d 1"	lg sin	+d 1"	lg cotg	-d 1"	lg tg	+d 1"
								64°

P. P.

d 1"	0,08	0,10	0,43	0,45	0,53	0,55
6"	0,5	0,6	2,6	2,7	3,2	3,3
7	0,6	0,7	3,0	3,2	3,7	3,9
8	0,7	0,8	3,5	3,6	4,3	4,4
9	0,8	0,9	3,9	4,1	4,8	5,0
10	0,8	1,0	4,3	4,5	5,3	5,5
20	1,7	2,0	8,7	9,0	10,7	11,0
30	2,5	3,0	13,0	13,5	16,0	16,5
40	3,3	4,0	17,3	18,0	21,3	22,0
50	4,2	5,0	21,7	22,5	26,7	27,5

25°

25°	lg sin	+d 1"	lg cos	-d 1"	lg tg	+d 1"	lg cotg	-d 1"	
30'	1,63 398	0,45	1,95 549	0,10	1,67 850	0,53	0,32 150	0,53	30'
31	63 425	43	95 543	10	67 882	55	32 118	55	29
32	63 451	45	95 537	10	67 915	53	32 085	53	28
33	63 478	43	95 531	10	67 947	55	32 053	55	27
34	63 504	0,45	95 525	0,10	67 980	0,53	32 020	0,53	26
35	63 531	43	95 519	10	68 012	53	31 988	53	25
36	63 557	43	95 513	10	68 044	55	31 956	55	24
37	63 583	45	95 507	12	68 077	53	31 923	53	23
38	63 610	43	95 500	10	68 109	55	31 891	55	22
39	63 636	0,43	95 494	0,10	68 142	0,53	31 858	0,53	21
40'	1,63 662	45	1,95 488	10	1,68 174	53	0,31 826	53	20"
41	63 689	43	95 482	10	68 206	55	31 794	55	19
42	63 715	43	95 476	10	68 239	53	31 761	53	18
43	63 741	43	95 470	10	68 271	53	31 729	53	17
44	63 767	0,45	95 464	0,10	68 303	0,55	31 697	0,55	16
45	63 794	43	95 458	10	68 336	53	31 664	53	15
46	63 820	43	95 452	10	68 368	53	31 632	53	14
47	63 846	43	95 446	10	68 400	53	31 600	53	13
48	63 872	43	95 440	10	68 432	55	31 568	55	12
49	63 898	0,43	95 434	0,12	68 465	0,53	31 535	0,53	11
50'	1,63 924	43	1,95 427	10	1,68 497	53	0,31 503	53	10"
51	63 950	43	95 421	10	68 529	53	31 471	53	9
52	63 976	43	95 415	10	68 561	53	31 439	53	8
53	64 002	43	95 409	10	68 593	55	31 407	55	7
54	64 028	0,43	95 403	0,10	68 626	0,53	31 374	0,53	6
55	64 054	43	95 397	10	68 658	53	31 342	53	5
56	64 080	43	95 391	12	68 690	53	31 310	53	4
57	64 106	43	95 384	10	68 722	53	31 278	53	3
58	64 132	43	95 378	10	68 754	53	31 246	53	2
59	64 158	0,43	95 372	0,10	68 786	0,53	31 214	0,53	1
60'	1,64 184	0,43	1,95 366	0,10	1,68 818	0,53	0,31 182	0,53	0'
	lg cos	-d 1"	lg sin	+d 1"	lg cotg	-d 1"	lg tg	+d 1"	64°

P. P.

d 1"	0,10	0,12	0,43	0,45	0,53	0,55
6"	0,6	0,7	2,6	2,7	3,2	3,3
7	0,7	0,8	3,0	3,2	3,7	3,9
8	0,8	0,9	3,5	3,6	4,3	4,4
9	0,9	1,1	3,9	4,1	4,8	5,0
10	1,0	1,2	4,3	4,5	5,3	5,5
20	2,0	2,3	8,7	9,0	10,7	11,0
30	3,0	3,5	13,0	13,5	16,0	16,5
40	4,0	4,7	17,3	18,0	21,3	22,0
50	5,0	5,8	21,7	22,5	26,7	27,5

64°

26°

26°	lg sin	+d 1"	lg cos	-d 1"	lg tg	+d 1"	lg cotg	-d 1"	
0'	1,64 184		1,95 366		1,68 818		0,31 182		60'
1	64 210	0,43	95 360	0,10	68 850	0,53	31 150	0,53	59
2	64 236	43	95 354	10	68 882	53	31 118	53	58
3	64 262	43	95 348	10	68 914	53	31 086	53	57
4	64 288	43	95 341	12	68 946	53	31 054	53	56
5	64 313	0,42	95 335	0,10	68 978	0,53	31 022	0,53	55
6	64 339	43	95 329	10	69 010	53	30 990	53	54
7	64 365	43	95 323	10	69 042	53	30 958	53	53
8	64 391	43	95 317	10	69 074	53	30 926	53	52
9	64 417	43	95 310	12	69 106	53	30 894	53	51
10'	1,64 442	0,42	1,95 304	0,10	1,69 138	0,53	0,30 862	0,53	50'
11	64 468	43	95 298	10	69 170	53	30 830	53	49
12	64 494	43	95 292	10	69 202	53	30 798	53	48
13	64 519	42	95 286	10	69 234	53	30 766	53	47
14	64 545	43	95 279	12	69 266	53	30 734	53	46
15	64 571	0,43	95 273	0,10	69 298	0,53	30 702	0,53	45
16	64 596	42	95 267	10	69 329	52	30 671	52	44
17	64 622	43	95 261	10	69 361	53	30 639	53	43
18	64 647	42	95 254	12	69 393	53	30 607	53	42
19	64 673	43	95 248	10	69 425	53	30 575	53	41
20'	1,64 698	0,42	1,95 242	0,10	1,69 457	0,53	0,30 543	0,53	40'
21	64 724	43	95 236	10	69 488	52	30 512	52	39
22	64 749	42	95 229	12	69 520	53	30 480	53	38
23	64 775	43	95 223	10	69 552	53	30 448	53	37
24	64 800	42	95 217	10	69 584	53	30 416	53	36
25	64 826	0,43	95 211	0,10	69 615	0,52	30 385	0,52	35
26	64 851	42	95 204	12	69 647	53	30 353	53	34
27	64 877	43	95 198	10	69 679	53	30 321	53	33
28	64 902	42	95 192	10	69 710	52	30 290	52	32
29	64 927	42	95 185	12	69 742	53	30 258	53	31
30'	1,64 953	0,43	1,95 179	0,10	1,69 774	0,53	0,30 226	0,53	30'
	lg cos	-d 1"	lg sin	+d 1"	lg cotg	-d 1"	lg tg	+d 1"	63°

P. P.

d 1"	0,10	0,12	0,42	0,43	0,52	0,53
6"	0,6	0,7	2,5	2,6	3,1	3,2
7	0,7	0,8	2,9	3,0	3,6	3,7
8	0,8	0,9	3,3	3,5	4,1	4,3
9	0,9	1,1	3,8	3,9	4,7	4,8
10	1,0	1,2	4,2	4,3	5,2	5,3
20	2,0	2,3	8,3	8,7	10,3	10,7
30	3,0	3,5	12,5	13,0	15,5	16,0
40	4,0	4,7	16,7	17,3	20,7	21,3
50	5,0	5,8	20,8	21,7	25,8	26,7

63°

26°

26°	lg sin	+d 1"	lg cos	-d 1"	lg tg	+d 1"	lg cotg	-d 1"	
30'	1,64 953		1,95 179		1,69 774		0,30 226		30'
31	64 978	0,42	95 173	0,10	69 805	0,52	30 195	0,52	29
32	65 003	42	95 167	10	69 837	53	30 163	53	28
33	65 029	43	95 160	12	69 868	52	30 132	52	27
34	65 054	42	95 154	10	69 900	53	30 100	53	26
35	65 079	0,42	95 148	0,10	69 932	0,53	30 068	0,53	25
36	65 104	42	95 141	12	69 963	52	30 037	52	24
37	65 130	43	95 135	10	69 995	53	30 005	53	23
38	65 155	42	95 129	10	70 026	52	29 974	52	22
39	65 180	42	95 122	12	70 058	53	29 942	53	21
40'	1,65 205	0,42	1,95 116	0,10	1,70 089	0,52	0,29 911	0,52	20'
41	65 230	42	95 110	10	70 121	53	29 879	53	19
42	65 255	42	95 103	12	70 152	52	29 848	52	18
43	65 281	43	95 097	10	70 184	53	29 816	53	17
44	65 306	42	95 090	12	70 215	52	29 785	52	16
45	65 331	0,42	95 084	0,10	70 247	0,53	29 753	0,53	15
46	65 356	42	95 078	10	70 278	52	29 722	52	14
47	65 381	42	95 071	12	70 309	52	29 691	52	13
48	65 406	42	95 065	10	70 341	53	29 659	53	12
49	65 431	42	95 059	10	70 372	52	29 628	52	11
50'	1,65 456	0,42	1,95 052	0,12	1,70 404	0,53	0,29 596	0,53	10'
51	65 481	42	95 046	10	70 435	52	29 565	52	9
52	65 506	42	95 039	12	70 466	52	29 534	52	8
53	65 531	42	95 033	10	70 498	53	29 502	53	7
54	65 556	42	95 027	10	70 529	52	29 471	52	6
55	65 580	0,40	95 020	0,12	70 560	0,52	29 440	0,52	5
56	65 605	42	95 014	10	70 592	53	29 408	53	4
57	65 630	42	95 007	12	70 623	52	29 377	52	3
58	65 655	42	95 001	10	70 654	52	29 346	52	2
59	65 680	42	94 995	10	70 685	52	29 315	52	1
60'	1,65 705	0,42	1,94 988	0,12	1,70 717	0,53	0,29 283	0,53	0'
	lg cos	-d 1"	lg sin	+d 1"	lg cotg	-d 1"	lg tg	+d 1"	63°

P.P.

d 1"	0,10	0,12	0,40	0,42	0,43	0,52	0,53
6"	0,6	0,7	2,4	2,5	2,6	3,1	3,2
7	0,7	0,8	2,8	2,9	3,0	3,6	3,7
8	0,8	0,9	3,2	3,3	3,5	4,1	4,3
9	0,9	1,1	3,6	3,8	3,9	4,7	4,8
10	1,0	1,2	4,0	4,2	4,3	5,2	5,3
20	2,0	2,3	8,0	8,3	8,7	10,3	10,7
30	3,0	3,5	12,0	12,5	13,0	15,5	16,0
40	4,0	4,7	16,0	16,7	17,3	20,7	21,3
50	5,0	5,8	20,0	20,8	21,7	25,8	26,7

63°

27°

27°	lg sin	+d 1"	lg cos	-d 1"	lg tg	+d 1"	lg cotg	-d 1"
0'	1,65 705	0,40	1,94 988	0,10	1,70 717	0,52	0,29 283	0,52
1	65 729	42	94 982	12	70 748	52	29 252	52
2	65 754	42	94 975	10	70 779	52	29 221	52
3	65 779	42	94 969	12	70 810	52	29 190	52
4	65 804	42	94 962	12	70 841	52	29 159	52
5	65 828	0,40	94 956	0,10	70 873	0,53	29 127	0,53
6	65 853	42	94 949	12	70 904	52	29 096	52
7	65 878	42	94 943	10	70 935	52	29 065	52
8	65 902	40	94 936	12	70 966	52	29 034	52
9	65 927	42	94 930	10	70 997	52	29 003	52
10'	1,65 952	0,42	1,94 923	0,12	1,71 028	0,52	0,28 972	0,52
11	65 976	40	94 917	10	71 059	52	28 941	52
12	66 001	42	94 911	10	71 090	52	28 910	52
13	66 025	40	94 904	12	71 121	52	28 879	52
14	66 050	42	94 898	10	71 153	53	28 847	53
15	66 075	0,42	94 891	0,12	71 184	0,52	28 816	0,52
16	66 099	40	94 885	10	71 215	52	28 785	52
17	66 124	42	94 878	12	71 246	52	28 754	52
18	66 148	40	94 871	12	71 277	52	28 723	52
19	66 173	42	94 865	10	71 308	52	28 692	52
20'	1,66 197	0,40	1,94 858	0,12	1,71 339	0,52	0,28 661	0,52
21	66 221	40	94 852	10	71 370	52	28 630	52
22	66 246	42	94 845	12	71 401	52	28 599	52
23	66 270	40	94 839	10	71 431	50	28 569	50
24	66 295	42	94 832	12	71 462	52	28 538	52
25	66 319	0,40	94 826	0,10	71 493	0,52	28 507	0,52
26	66 243	40	94 819	12	71 524	52	28 476	52
27	66 368	42	94 813	10	71 555	52	28 445	52
28	66 392	40	94 806	12	71 586	52	28 414	52
29	66 416	40	94 799	12	71 617	52	28 383	52
30'	1,66 441	0,42	1,94 793	0,10	1,71 648	0,52	0,28 352	0,52
	lg cos	-d 1"	lg sin	+d 1"	lg cotg	-d 1"	lg tg	+d 1"

P. P.

d 1"	0,10	0,12	0,40	0,42	0,50	0,52	0,53
6"	0,6	0,7	2,4	2,5	3,0	3,1	3,2
7	0,7	0,8	2,8	2,9	3,5	3,6	3,7
8	0,8	0,9	3,2	3,3	4,0	4,1	4,3
9	0,9	1,1	3,6	3,8	4,5	4,7	4,8
10	1,0	1,2	4,0	4,2	5,0	5,2	5,3
20	2,0	2,3	8,0	8,3	10,0	10,3	10,7
30	3,0	3,5	12,0	12,5	15,0	15,5	16,0
40	4,0	4,7	16,0	16,7	20,0	20,7	21,6
50	5,0	5,8	20,0	20,8	25,0	25,8	26,7

62°

27°

27°	lg sin	+d 1"	lg cos	-d 1"	lg tg	+d 1"	lg cotg	-d 1"	
30'	1,66 441		1,94 793		1,71 648		0,28 352		30'
31	66 465	0,40	94 786	0,12	71 679	0,52	28 321	0,52	29
32	66 489	40	94 780	10	71 709	50	28 291	50	28
33	66 513	40	94 773	12	71 740	52	28 260	52	27
34	66 537	40	94 767	10	71 771	52	28 229	52	26
35	66 562	0,42	94 760	0,12	71 802	0,52	28 198	0,52	25
36	66 586	40	94 753	12	71 833	52	28 167	52	24
37	66 610	40	94 747	10	71 863	50	28 137	50	23
38	66 634	40	94 740	12	71 894	52	28 106	52	22
39	66 658	40	94 734	10	71 925	52	28 075	52	21
40'	1,66 682	0,40	1,94 727	0,12	1,71 955	0,50	0,28 045	0,50	20'
41	66 706	40	94 720	12	71 986	52	28 014	52	19
42	66 731	42	94 714	10	72 017	52	27 983	52	18
43	66 755	40	94 707	12	72 048	52	27 952	52	17
44	66 779	40	94 700	12	72 078	50	27 922	50	16
45	66 803	0,40	94 694	0,10	72 109	0,52	27 891	0,52	15
46	66 827	40	94 687	12	72 140	52	27 860	52	14
47	66 851	40	94 680	12	72 170	50	27 830	50	13
48	66 875	40	94 674	10	72 201	52	27 799	52	12
49	66 899	40	94 667	12	72 231	50	27 769	50	11
50'	1,66 922	0,38	1,94 660	0,12	1,72 262	0,52	0,27 738	0,52	10'
51	66 946	40	94 654	10	72 293	52	27 707	52	9
52	66 970	40	94 647	12	72 323	50	27 677	50	8
53	66 994	40	94 640	12	72 354	52	27 646	52	7
54	67 018	40	94 634	10	72 384	50	27 616	50	6
55	67 042	0,40	94 627	0,12	72 415	0,52	27 585	0,52	5
56	67 066	40	94 620	12	72 445	50	27 555	50	4
57	67 090	40	94 614	10	72 476	52	27 524	52	3
58	67 113	38	94 607	12	72 506	50	27 494	50	2
59	67 137	40	94 600	12	72 537	52	27 463	52	1
60'	1,67 161	0,40	1,94 593	0,12	1,72 567	0,50	0,27 433	0,50	0'
	lg cos	-d 1"	lg sin	+d 1"	lg cotg	-d 1"	lg tg	+d 1"	62°

P. P.

d 1"	0,10	0,12	0,38	0,40	0,42	0,50	0,52
6"	0,6	0,7	2,3	2,4	2,5	3,0	3,1
7	0,7	0,8	2,7	2,8	2,9	3,5	3,6
8	0,8	0,9	3,1	3,2	3,3	4,0	4,1
9	0,9	1,1	3,5	3,6	3,8	4,5	4,7
10	1,0	1,2	3,8	4,0	4,2	5,0	5,2
20	2,0	2,3	7,7	8,0	8,3	10,0	10,3
30	3,0	3,5	11,5	12,0	12,5	15,0	15,5
40	4,0	4,7	15,3	16,0	16,7	20,0	20,7
50	5,0	5,8	19,2	20,0	20,8	25,0	25,8

62°

28°

28°	lg sin	+d 1"	lg cos	-d 1"	lg tg	+d 1"	lg cotg	-d 1"	
0'	1,67 161		1,94 593		1,72 567		0,27 433		60'
1	67 185	0,40	94 587	0,10	72 598	0,52	27 402	0,52	59
2	67 208	38	94 580	12	72 628	50	27 372	50	58
3	67 232	40	94 573	12	72 659	52	27 341	52	57
4	67 256	40	94 567	10	72 689	50	27 311	50	56
5	67 280	0,40	94 560	0,12	72 720	0,52	27 280	0,52	55
6	67 303	38	94 553	12	72 750	50	27 250	50	54
7	67 327	40	94 546	12	72 780	50	27 220	50	53
8	67 350	38	94 540	10	72 811	52	27 189	52	52
9	67 374	40	94 533	12	72 841	50	27 159	50	51
10'	1,67 398	0,40	1,94 526	0,12	1,72 872	0,52	0,27 128	0,52	50'
11	67 421	38	94 519	12	72 902	50	27 098	50	49
12	67 445	40	94 513	10	72 932	50	27 068	50	48
13	67 468	38	94 506	12	72 963	52	27 037	52	47
14	67 492	40	94 499	12	72 993	50	27 007	50	46
15	67 515	0,38	94 492	0,12	73 023	0,50	26 977	0,50	45
16	67 539	40	94 485	12	73 054	52	26 946	52	44
17	67 562	38	94 479	10	73 084	50	26 916	50	43
18	67 586	40	94 472	12	73 114	50	26 886	50	42
19	67 609	38	94 465	12	73 144	50	26 856	50	41
20'	1,67 633	0,40	1,94 458	0,12	1,73 175	0,52	0,26 825	0,52	40'
21	67 656	38	94 451	12	73 205	50	26 795	50	39
22	67 680	40	94 445	10	73 235	50	26 765	50	38
23	67 703	38	94 438	12	73 265	50	26 735	50	37
24	67 726	38	94 431	12	73 295	50	26 705	50	36
25	67 750	0,40	94 424	0,12	73 326	0,52	26 674	0,52	35
26	67 773	38	94 417	12	73 356	50	26 644	50	34
27	67 796	38	94 410	12	73 386	50	26 614	50	33
28	67 820	40	94 404	10	73 416	50	26 584	50	32
29	67 843	38	94 397	12	73 446	50	26 554	50	31
30'	1,67 866	0,38	1,94 390	0,12	1,73 476	0,50	0,26 524	0,50	30'
	lg cos	-d 1"	lg sin	+d 1"	lg cotg	-d 1"	lg tg	+d 1"	61°

P. P.

d 1'	0,10	0,12	0,38	0,40	0,50	0,52
6"	0,6	0,7	2,3	2,4	3,0	3,1
7	0,7	0,8	2,7	2,8	3,5	3,6
8	0,8	0,9	3,1	3,2	4,0	4,1
9	0,9	1,1	3,5	3,6	4,5	4,7
10	1,0	1,2	3,8	4,0	5,0	5,2
20	2,0	2,3	7,7	8,0	10,0	10,3
30	3,0	3,5	11,5	12,0	15,0	15,5
40	4,0	4,7	15,3	16,0	20,0	20,7
50	5,0	5,8	19,2	20,0	25,0	25,8

61°

28°

28°	lg sin	+d 1"	lg cos	-d 1"	lg tg	+d 1"	lg cotg	-d 1"
30'	1,67 866		1,94 390		1,73 476		0,26 524	
31	67 890	0,40	94 383	0,12	73 507	0,52	26 493	0,52
32	67 913	38	94 376	12	73 537	50	26 463	50
33	67 936	38	94 369	12	73 567	50	26 433	50
34	67 959	38	94 362	12	73 597	50	26 403	50
35	67 982	0,38	94 355	0,12	73 627	0,50	26 373	0,50
36	68 006	40	94 349	10	73 657	50	26 343	50
37	68 029	38	94 342	12	73 687	50	26 313	50
38	68 052	38	94 335	12	73 717	50	26 283	50
39	68 075	38	94 328	12	73 747	50	26 253	50
40'	1,68 098	0,38	1,94 321	0,12	1,73 777	0,50	0,26 223	0,50
41	68 121	38	94 314	12	73 807	50	26 193	50
42	68 144	38	94 307	12	73 837	50	26 163	50
43	68 167	38	94 300	12	73 867	50	26 133	50
44	68 190	38	94 293	12	73 897	50	26 103	50
45	68 213	0,38	94 286	0,12	73 927	0,50	26 073	0,50
46	68 237	40	94 279	12	73 957	50	26 043	50
47	68 260	38	94 273	10	73 987	50	26 013	50
48	68 283	38	94 266	12	74 017	50	25 983	50
49	68 305	37	94 259	12	74 047	50	25 953	50
50'	1,68 328	0,38	1,94 252	0,12	1,74 077	0,50	0,25 923	0,50
51	68 351	38	94 245	12	74 107	50	25 893	50
52	68 374	38	94 238	12	74 137	50	25 863	50
53	68 397	38	94 231	12	74 166	48	25 834	48
54	68 420	38	94 224	12	74 196	50	25 804	50
55	68 443	0,38	94 217	0,12	74 226	0,50	25 774	0,50
56	68 466	38	94 210	12	74 256	50	25 744	50
57	68 489	38	94 203	12	74 286	50	25 714	50
58	68 512	38	94 196	12	74 316	50	25 684	50
59	68 534	37	94 189	12	74 345	48	25 655	48
60'	1,68 557	0,38	1,94 182	0,12	1,74 375	0,50	0,25 625	0,50
	lg cos	-d 1"	lg sin	+d 1"	lg cotg	-d 1"	lg tg	+d 1"

P. P.

d 1"	0,10	0,12	0,38	0,40	0,48	0,50	0,52
6"	0,6	0,7	2,3	2,4	2,9	3,0	3,1
7	0,7	0,8	2,7	2,8	3,4	3,5	3,6
8	0,8	0,9	3,1	3,2	3,9	4,0	4,1
9	0,9	1,1	3,5	3,6	4,4	4,5	4,7
10	1,0	1,2	3,8	4,0	4,8	5,0	5,2
20	2,0	2,3	7,7	8,0	9,7	10,0	10,3
30	3,0	3,5	11,5	12,0	14,5	15,0	15,5
40	4,0	4,7	15,3	16,0	19,3	20,0	20,7
50	5,0	5,8	19,2	20,0	24,2	25,0	25,8

61°

29°								
29°	lg sin	+d 1"	lg cos	-d 1"	lg tg	+d 1"	lg cotg	-d 1"
0'	1,68 557		1,94 182		1,74 375		0,25 625	
1	68 580	0,38	94 175	0,12	74 405	0,50	25 595	0,50
2	68 603	38	94 168	12	74 435	50	25 565	50
3	68 625	37	94 161	12	74 465	50	25 535	50
4	68 648	38	94 154	12	74 494	48	25 506	48
5	68 671	0,38	94 147	0,12	74 524	0,50	25 476	0,50
6	68 694	38	94 140	12	74 554	50	25 446	50
7	68 716	37	94 133	12	74 583	48	25 417	48
8	68 739	38	94 126	12	74 613	50	25 387	50
9	68 762	38	94 119	12	74 643	50	25 357	50
10'	1,68 784	0,37	1,94 112	0,12	1,74 673	0,50	0,25 327	0,50
11	68 807	38	94 105	12	74 702	48	25 298	48
12	68 829	37	94 098	12	74 732	50	25 268	50
13	68 852	38	94 090	13	74 762	50	25 238	50
14	68 875	38	94 083	12	74 791	48	25 209	48
15	68 897	0,37	94 076	0,12	74 821	0,50	25 179	0,50
16	68 920	38	94 069	12	74 851	50	25 149	50
17	68 942	37	94 062	12	74 880	48	25 120	48
18	68 965	38	94 055	12	74 910	50	25 090	50
19	68 987	37	94 048	12	74 939	48	25 061	48
20'	1,69 010	0,38	1,94 041	0,12	1,74 969	0,50	0,25 031	0,50
21	69 032	37	94 034	12	74 998	48	25 002	48
22	69 055	38	94 027	12	75 028	50	24 972	50
23	69 077	37	94 020	12	75 058	50	24 942	50
24	69 100	38	94 012	13	75 087	48	24 913	48
25	69 122	0,37	94 005	0,12	75 117	0,50	24 883	0,50
26	69 144	37	93 998	12	75 146	48	24 854	48
27	69 167	38	93 991	12	75 176	50	24 824	50
28	69 189	37	93 984	12	75 205	48	24 795	48
29	69 212	38	93 977	12	75 235	50	24 765	50
30'	1,69 234	0,37	1,93 970	0,12	1,75 264	0,48	0,24 736	0,48
lg cos	-d 1"	lg sin	+d 1"	lg cotg	-d 1"	lg tg	+d 1"	60°

P. P.

d 1"	0,12	0,13	0,37	0,38	0,48	0,50
6"	0,7	0,8	2,2	2,3	2,9	3,0
7	0,8	0,9	2,6	2,7	3,4	3,5
8	0,9	1,1	2,9	3,1	3,9	4,0
9	1,1	1,2	3,3	3,5	4,4	4,5
10	1,2	1,3	3,7	3,8	4,8	5,0
20	2,3	2,7	7,3	7,7	9,7	10,0
30	3,5	4,0	11,0	11,5	14,5	15,0
40	4,7	5,3	14,7	15,3	19,3	20,0
50	5,8	6,7	18,3	19,2	24,2	25,0

60°

29°

29°	lg sin	+d 1"	lg cos	-d 1"	lg tg	+d 1"	lg cotg	-d 1"	
30'	1,69 234	0,37	1,93 970	0,12	1,75 264	0,50	0,24 736	0,50	30'
31	69 256	38	93 963	13	75 294	48	24 706	48	29
32	69 279	37	93 955	12	75 323	50	24 677	48	28
33	69 301	37	93 948	12	75 353	48	24 647	50	27
34	69 323	37	93 941	12	75 382	48	24 618	48	26
35	69 345	0,37	93 934	0,12	75 411	0,48	24 589	0,48	25
36	69 368	38	93 927	12	75 441	50	24 559	50	24
37	69 390	37	93 920	12	75 470	48	24 530	48	23
38	69 412	37	93 912	13	75 500	50	24 500	50	22
39	69 434	37	93 905	12	75 529	48	24 471	48	21
		0,37		0,12		0,48		0,48	
40'	1,69 456	38	1,93 898	12	1,75 558	50	0,24 442	50	20'
41	69 479	37	93 891	12	75 588	48	24 412	48	19
42	69 501	37	93 884	12	75 617	48	24 383	48	18
43	69 523	37	93 876	13	75 647	50	24 353	50	17
44	69 545	37	93 869	12	75 676	48	24 324	48	16
45	69 567	0,37	93 862	0,12	75 705	0,48	24 295	0,48	15
46	69 589	37	93 855	12	75 735	50	24 265	50	14
47	69 611	37	93 847	13	75 764	48	24 236	48	13
48	69 633	37	93 840	12	75 793	48	24 207	48	12
49	69 655	37	93 833	12	75 822	48	24 178	48	11
		0,37		0,12		0,50		0,50	
50'	1,69 677	37	1,93 826	12	1,75 852	48	0,24 148	48	10'
51	69 699	37	93 819	12	75 881	48	24 119	48	9
52	69 721	37	93 811	13	75 910	48	24 090	48	8
53	69 743	37	93 804	12	75 939	48	24 061	48	7
54	69 765	37	93 797	12	75 969	50	24 031	50	6
55	69 787	0,37	93 789	0,13	75 998	0,48	24 002	0,48	5
56	69 809	37	93 782	12	76 027	48	23 973	48	4
57	69 831	37	93 775	12	76 056	48	23 944	48	3
58	69 853	37	93 768	12	76 086	50	23 914	50	2
59	69 875	37	93 760	13	76 115	48	23 885	48	1
		0,37		0,12		0,48		0,48	
60'	1,69 897	37	1,93 753	12	1,76 144	48	0,23 856	48	0'
	lg cos	-d 1"	lg sin	+d 1"	lg cotg	-d 1"	lg tg	+d 1"	60°

P. P.

d 1"	0,12	0,13	0,37	0,38	0,48	0,50
6"	0,7	0,8	2,2	2,3	2,9	3,0
7	0,8	0,9	2,6	2,7	3,4	3,5
8	0,9	1,1	2,9	3,1	3,9	4,0
9	1,1	1,2	3,3	3,4	4,4	4,5
10	1,2	1,3	3,7	3,8	4,8	5,0
20	2,3	2,7	7,3	7,7	9,7	10,0
30	3,5	4,0	11,0	11,5	14,5	15,0
40	4,7	5,3	14,7	15,3	19,3	20,0
50	5,8	6,7	18,3	19,2	24,2	25,0

60°

30°

30°	lg sin	+d 1"	lg cos	-d 1"	lg tg	+d 1"	lg cotg	-d 1"	
0'	1,69 897		1,93 753		1,76 144		0,23 856		60°
1	69 919	0,37	93 746	0,12	76 173	0,48	23 827	0,48	59
2	69 941	37	93 738	13	76 202	48	23 798	48	58
3	69 963	37	93 731	12	76 231	48	23 769	48	57
4	69 984	35	93 724	12	76 261	50	23 739	50	56
5	70 006	0,37	93 717	0,12	76 290	0,48	23,710	0,48	55
6	70 028	37	93 709	13	76 319	48	23 681	48	54
7	70 050	37	93 702	12	76 348	48	23 652	48	53
8	70 072	37	93 695	12	76 377	48	23 623	48	52
9	70 093	35	93 687	13	76 406	48	23 594	48	51
10'	1,70 115	0,37	1,93 680	0,12	1,76 435	0,48	0,23 565	0,48	50°
11	70 137	37	93 673	12	76 464	48	23 536	48	49
12	70 159	37	93 665	13	76 493	48	23 507	48	48
13	70 180	35	93 658	12	76 522	48	23 478	48	47
14	70 202	37	93 650	13	76 551	48	23 449	48	46
15	70 224	0,37	93 643	0,12	76 580	0,48	23 420	0,48	45
16	70 245	35	93 636	12	76 609	48	23 391	48	44
17	70 267	37	93 628	13	76 639	50	23 361	50	43
18	70 288	35	93 621	12	76 668	48	23 332	48	42
19	70 310	37	93 614	12	76 697	48	23 303	48	41
20'	1,70 332	0,37	1,93 606	0,13	1,76 725	0,47	0,23 275	0,47	40°
21	70 353	35	93 599	12	76 754	48	23 246	48	39
22	70 375	37	93 591	13	76 783	48	23 217	48	38
23	70 396	35	93 584	12	76 812	48	23 188	48	37
24	70 418	37	93 577	12	76 841	48	23 159	48	36
25	70 439	0,35	93 569	0,13	76 870	0,48	23 130	0,48	35
26	70 461	37	93 562	12	76 899	48	23 101	48	34
27	70 482	35	93 554	13	76 928	48	23 072	48	33
28	70 504	37	93 547	12	76 957	48	23 043	48	32
29	70 525	35	93 539	13	76 986	48	23 014	48	31
30'	1,70 547	0,37	1,93 532	0,12	1,77 015	0,48	0,22 985	0,48	30°
	lg cos	-d 1"	lg sin	+d 1"	lg cotg	-d 1"	lg tg	+d 1"	59°

P. P.

d 1"	0,12	0,13	0,35	0,37	0,47	0,48	0,50
6"	0,7	0,8	2,1	2,2	2,8	2,9	3,0
7	0,8	0,9	2,5	2,6	3,3	3,4	3,5
8	0,9	1,1	2,8	2,9	3,7	3,9	4,0
9	1,1	1,2	3,2	3,3	4,2	4,4	4,5
10	1,2	1,3	3,5	3,7	4,7	4,8	5,0
20	2,3	2,7	7,0	7,3	9,3	9,7	10,0
30	3,5	4,0	10,5	11,0	14,0	14,5	15,0
40	4,7	5,3	14,0	14,7	18,7	19,3	20,0
50	5,8	6,7	17,5	18,3	23,3	24,2	25,0

59°

30°

30°	lg sin	—d 1"	lg cos	—d 1"	lg tg	—d 1"	lg cotg	—d 1"	
30'	1,70 547	0,35	1,93 532	0,12	1,77 015	0,48	0,22 985	0,48	30'
31	70 568	37	93 525	13	77 044	48	22 956	48	29
32	70 590	37	93 517	12	77 073	47	22 927	47	28
33	70 611	35	93 510	13	77 101	48	22 899	48	27
34	70 633	37	93 502	13	77 130	48	22 870	48	26
35	70 654	0,35	93 495	0,12	77 159	0,48	22 841	0,48	25
36	70 675	35	93 487	13	77 188	48	22 812	48	24
37	70 697	37	93 480	12	77 217	48	22 783	48	23
38	70 718	35	93 472	13	77 246	48	22 754	48	22
39	70 739	35	93 465	12	77 274	47	22 726	47	21
40'	1,70 761	0,37	1,93 457	0,13	1,77 303	0,48	0,22 697	0,48	20'
41	70 782	35	93 450	12	77 332	48	22 668	48	19
42	70 803	35	93 442	13	77 361	48	22 639	48	18
43	70 824	35	93 435	12	77 390	48	22 610	48	17
44	70 846	37	93 427	13	77 418	47	22 582	47	16
45	70 867	0,35	93 420	0,12	77 447	0,48	22 553	0,48	15
46	70 888	35	93 412	13	77 476	48	22 524	48	14
47	70 909	35	93 405	12	77 505	48	22 495	48	13
48	70 931	37	93 397	13	77 533	47	22 467	47	12
49	70 952	35	93 390	12	77 562	48	22 438	48	11
50'	1,70 973	0,35	1,93 382	0,13	1,77 591	0,48	0,22 409	0,48	10'
51	70 994	35	93 375	12	77 619	47	22 381	47	9
52	71 015	35	93 367	13	77 648	48	22 352	48	8
53	71 036	35	93 360	12	77 677	48	22 323	48	7
54	71 058	37	93 352	13	77 706	48	22 294	48	6
55	71 079	0,35	93 344	0,13	77 734	0,47	22 266	0,47	5
56	71 100	35	93 337	12	77 763	48	22 237	48	4
57	71 121	35	93 329	13	77 791	47	22 209	47	3
58	71 142	35	93 322	12	77 820	48	22 180	48	2
59	71 163	35	93 314	13	77 849	48	22 151	48	1
60'	1,71 184	0,35	1,93 307	0,12	1,77 877	0,47	0,22 123	0,47	0'
	lg cos	—d 1"	lg sin	+d 1"	lg cotg	—d 1"	lg tg	+d 1"	59°

P. P.

d 1"	0,12	0,13	0,35	0,37	0,47	0,48
6"	0,7	0,8	2,1	2,2	2,8	2,9
7	0,8	0,9	2,5	2,6	3,3	3,4
8	0,9	1,1	2,8	2,9	3,7	3,9
9	1,1	1,2	3,2	3,3	4,2	4,4
10	1,2	1,3	3,5	3,7	4,7	4,8
20	2,3	2,7	7,0	7,3	9,3	9,7
30	3,5	4,0	10,5	11,0	14,0	14,5
40	4,7	5,3	14,0	14,7	18,7	19,3
50	5,8	6,7	17,5	18,3	23,3	24,2

59°

31°

31°	lg sin	+d 1"	lg cos	-d 1"	lg tg	+d 1"	lg cotg	-d 1"	
0'	1,71 184		1,93 307		1,77 877		0,22 123		60'
1	71 205	0,35	93 299	0,13	77 906	0,48	22 094	0,48	59
2	71 226	35	93 291	13	77 935	48	22 065	48	58
3	71 247	35	93 284	12	77 963	47	22 037	47	57
4	71 268	35	93 276	13	77 992	48	22 008	48	56
5	71 289	0,35	93 269	0,12	78 020	0,47	21 980	0,47	55
6	71 310	35	93 261	13	78 049	48	21 951	48	54
7	71 331	35	93 253	13	78 077	47	21 923	47	53
8	71 352	35	93 246	12	78 106	48	21 894	48	52
9	71 373	35	93 238	13	78 135	48	21 865	48	51
10'	1,71 393	0,33	1,93 230	0,13	1,78 163	0,47	0,21 837	0,47	50'
11	71 414	35	93 223	12	78 192	48	21 808	48	49
12	71 435	35	93 215	13	78 220	47	21 780	47	48
13	71 456	35	93 207	13	78 249	48	21 751	48	47
14	71 477	35	93 200	12	78 277	47	21 723	47	46
15	71 498	0,35	93 192	0,13	78 306	0,48	21 694	0,48	45
16	71 519	35	93 184	13	78 334	47	21 666	47	44
17	71 539	33	93 177	12	78 363	48	21 637	48	43
18	71 560	35	93 169	13	78 391	47	21 609	47	42
19	71 581	35	93 161	13	78 419	47	21 581	47	41
20'	1,71 602	0,35	1,93 154	0,12	1,78 448	0,48	0,21 552	0,48	40'
21	71 622	33	93 146	13	78 476	47	21 524	47	39
22	71 643	35	93 138	13	78 505	48	21 495	48	38
23	71 664	35	93 131	12	78 533	47	21 467	47	37
24	71 685	35	93 123	13	78 562	48	21 438	48	36
25	71 705	0,33	93 115	0,13	78 590	0,47	21 410	0,47	35
26	71 726	35	93 108	12	78 618	47	21 382	47	34
27	71 747	35	93 100	13	78 647	48	21 353	48	33
28	71 767	33	93 092	13	78 675	47	21 325	47	32
29	71 788	35	93 084	13	78 704	48	21 296	48	31
30'	1,71 809	0,35	1,93 077	0,12	1,78 732	0,47	0,21 268	0,47	30'
	lg cos	-d 1"	lg sin	+d 1"	lg cotg	-d 1"	lg tg	+d 1"	58°

P. P.

d 1°	0,12	0,13	0,33	0,35	0,47	0,48
6"	0,7	0,8	2,0	2,1	2,8	2,9
7	0,8	0,9	2,3	2,5	3,3	3,4
8	0,9	1,1	2,7	2,8	3,7	3,9
9	1,1	1,2	3,0	3,2	4,2	4,4
10	1,2	1,3	3,3	3,5	4,7	4,8
20	2,3	2,7	6,7	7,0	9,3	9,7
30	3,5	4,0	10,0	10,5	14,0	14,5
40	4,7	5,3	13,3	14,0	18,7	19,3
50	5,8	6,7	16,7	17,5	23,3	24,2

58°

31°

31°	lg sin	+d 1"	lg cos	-d 1"	lg tg	+d 1"	lg cotg	-d 1"
30'	1,71 809	0,33	1,93 077	0,13	1,78 732	0,47	0,21 268	0,47
31	71 829	35	93 069	13	78 760	48	21 240	47
32	71 850	33	93 061	13	78 789	47	21 211	48
33	71 870	35	93 053	12	78 817	47	21 183	47
34	71 891	0,33	93 046	0,13	78 845	0,48	21 155	0,48
35	71 911	35	93 038	13	78 874	47	21 126	47
36	71 932	33	93 030	13	78 902	47	21 098	47
37	71 952	35	93 022	13	78 930	48	21 070	48
38	71 973	35	93 014	12	78 959	47	21 041	47
39	71 994	0,33	93 007	0,13	78 987	0,47	21 013	0,47
40'	1,72 014	33	1,92 999	13	1,79 015	47	0,20 985	47
41	72 034	35	92 991	13	79 043	48	20 957	48
42	72 055	33	92 983	12	79 072	47	20 928	47
43	72 075	35	92 976	13	79 100	47	20 900	47
44	72 096	0,33	92 968	0,13	79 128	0,47	20 872	0,47
45	72 116	35	92 960	13	79 156	48	20 844	48
46	72 137	33	92 952	13	79 185	47	20 815	47
47	72 157	33	92 944	13	79 213	47	20 787	47
48	72 177	35	92 936	12	79 241	47	20 759	47
49	72 198	0,33	92 929	0,13	79 269	0,47	20 731	0,47
50'	1,72 218	33	1,92 921	13	1,79 297	48	0,20 703	48
51	72 238	35	92 913	13	79 326	47	20 674	47
52	72 259	33	92 905	13	79 354	47	20 646	47
53	72 279	33	92 897	13	79 382	47	20 618	47
54	72 299	0,35	92 889	0,13	79 410	0,47	20 590	0,47
55	72 320	33	92 881	12	79 438	47	20 562	47
56	72 340	33	92 874	13	79 466	48	20 534	48
57	72 360	35	92 866	13	79 495	47	20 505	47
58	72 381	33	92 858	13	79 523	47	20 477	47
59	72 401	0,33	92 850	0,13	79 551	0,47	20 449	0,47
60'	1,72 421	33	1,92 842	13	1,79 579	48	0,20 421	48

lg cos -d 1" | lg sin +d 1" | lg cotg -d 1" | lg tg +d 1" 58°

P. P.

d 1"	0,12	0,13	0,33	0,35	0,47	0,48
6"	0,7	0,8	2,0	2,1	2,8	2,9
7	0,8	0,9	2,3	2,5	3,3	3,4
8	0,9	1,1	2,7	2,8	3,7	3,9
9	1,1	1,2	3,0	3,2	4,2	4,4
10	1,2	1,3	3,3	3,5	4,7	4,8
20	2,3	2,7	6,7	7,0	9,3	9,7
30	3,5	4,0	10,0	10,5	14,0	14,5
40	4,7	5,3	13,3	14,0	18,7	19,3
50	5,8	6,7	16,7	17,5	23,3	24,2

58°

32°

32°	lg sin	+d 1"	lg cos	-d 1"	lg tg	+d 1"	lg cotg	-d 1"	
0'	1,72 421	0,33	1,92 842	0,13	1,79 579	0,47	0,20 421	0,47	60'
1	72 441	33	92 834	13	79 607	47	20 393	47	59
2	72 461	35	92 826	13	79 635	47	20 365	47	58
3	72 482	33	92 818	13	79 663	47	20 337	47	57
4	72 502	33	92 810	13	79 691	47	20 309	47	56
5	72 522	0,33	92 803	0,12	79 719	0,47	20 281	0,47	55
6	72 542	33	92 795	13	79 747	47	20 253	47	54
7	72 562	33	92 787	13	79 776	48	20 224	48	53
8	72 582	33	92 779	13	79 804	47	20 196	47	52
9	72 602	33	92 771	13	79 832	47	20 168	47	51
10'	1,72 622	0,33	1,92 763	0,13	1,79 860	0,47	0,20 140	0,47	50'
11	72 643	35	92 755	13	79 888	47	20 112	47	49
12	72 663	33	92 747	13	79 916	47	20 084	47	48
13	72 683	33	92 739	13	79 944	47	20 056	47	47
14	72 703	33	92 731	13	79 972	47	20 028	47	46
15	72 723	0,33	92 723	0,13	80 000	0,47	20 000	0,47	45
16	72 743	33	92 715	13	80 028	47	19 972	47	44
17	72 763	33	92 707	13	80 056	47	19 944	47	43
18	72 783	33	92 699	13	80 084	47	19 916	47	42
19	72 803	33	92 691	13	80 112	47	19 888	47	41
20'	1,72 823	0,33	1,92 683	0,13	1,80 140	0,47	0,19 860	0,47	40'
21	72 843	33	92 675	13	80 168	47	19 832	47	39
22	72 863	33	92 667	13	80 195	45	19 805	45	38
23	72 883	33	92 659	13	80 223	47	19 777	47	37
24	72 902	32	92 651	13	80 251	47	19 749	47	36
25	72 922	0,33	92 643	0,13	80 279	0,47	19 721	0,47	35
26	72 942	33	92 635	13	80 307	47	19 693	47	34
27	72 962	33	92 627	13	80 335	47	19 665	47	33
28	72 982	33	92 619	13	80 363	47	19 637	47	32
29	73 002	33	92 611	13	80 391	47	19 609	47	31
30'	1,73 022	0,33	1,92 603	0,13	1,80 419	0,47	0,19 581	0,47	30'
	lg cos	-d 1"	lg sin	+d 1"	lg cotg	-d 1"	lg tg	+d 1"	57°

P. P.

d 1"	0,12	0,13	0,32	0,33	0,35	0,45	0,47	0,48
6"	0,7	0,8	1,9	2,0	2,1	2,7	2,8	2,9
7	0,8	0,9	2,2	2,3	2,5	3,2	3,3	3,4
8	0,9	1,1	2,5	2,7	2,8	3,6	3,7	3,9
9	1,1	1,2	2,9	3,0	3,2	4,1	4,2	4,4
10	1,2	1,3	3,2	3,3	3,5	4,5	4,7	4,8
20	2,3	2,7	6,3	6,7	7,0	9,0	9,3	9,7
30	3,5	4,0	9,5	10,0	10,5	13,5	14,0	14,5
40	4,7	5,3	12,7	13,3	14,0	18,0	18,7	19,3
50	5,8	6,7	15,8	16,7	17,5	22,5	23,3	24,2

57°

32°

32°	lg sin	+d 1"	lg cos	-d 1"	lg tg	+d 1"	lg cotg	-d 1"	
30'	1,73 022		1,92 603		1,80 419		0,19 581		30'
31	73 041	0,32	92 595	0,13	80 447	0,47	19 553	0,47	29
32	73 061	33	92 587	13	80 474	45	19 526	45	28
33	73 081	33	92 579	13	80 502	47	19 498	47	27
34	73 101	33	92 571	13	80 530	47	19 470	47	26
35	73 121	0,33	92 563	0,13	80 558	0,47	19 442	0,47	25
36	73 140	32	92 555	13	80 586	47	19 414	47	24
37	73 160	33	92 546	15	80 614	47	19 386	47	23
38	73 180	33	92 538	13	80 642	47	19 358	47	22
39	73 200	33	92 530	13	80 669	45	19 331	45	21
40'	1,73 219	0,32	1,92 522	0,13	1,80 697	0,47	0,19 303	0,47	20'
41	73 239	33	92 514	13	80 725	47	19 275	47	19
42	73 259	33	92 506	13	80 753	47	19 247	47	18
43	73 278	32	92 498	13	80 781	47	19 219	47	17
44	73 298	33	92 490	13	80 808	45	19 192	45	16
45	73 318	0,33	92 482	0,13	80 836	0,47	19 164	0,47	15
46	73 337	32	92 473	15	80 864	47	19 136	47	14
47	73 357	33	92 465	13	80 892	47	19 108	47	13
48	73 377	33	92 457	13	80 919	45	19 081	45	12
49	73 396	32	92 449	13	80 947	47	19 053	47	11
50'	1,73 416	0,33	1,92 441	0,13	1,80 975	0,47	0,19 025	0,47	10'
51	73 435	32	92 433	13	81 003	47	18 997	47	9
52	73 455	33	92 425	13	81 030	45	18 970	45	8
53	73 474	32	92 416	15	81 058	47	18 942	47	7
54	73 494	33	92 408	13	81 086	47	18 914	47	6
55	73 513	0,32	92 400	0,13	81 113	0,45	18 887	0,45	5
56	73 533	33	92 392	13	81 141	47	18 859	47	4
57	73 552	32	92 384	13	81 169	47	18 831	47	3
58	73 572	33	92 376	13	81 196	45	18 804	45	2
59	73 591	32	92 367	15	81 224	47	18 776	47	1
60'	1,73 611	0,33	1,92 359	0,13	1,81 252	0,47	0,18 748	0,47	0'
	lg cos	-d 1"	lg sin	+d 1"	lg cotg	-d 1"	lg tg	+d 1"	57°

P. P.

d 1'	0,13	0,15	0,32	0,33	0,45	0,47
6"	0,8	0,9	1,9	2,0	2,7	2,8
7	0,9	1,1	2,2	2,3	3,2	3,3
8	1,1	1,2	2,5	2,7	3,6	3,7
9	1,2	1,4	2,9	3,0	4,1	4,2
10	1,3	1,5	3,2	3,3	4,5	4,7
20	2,7	3,0	6,3	6,7	9,0	9,3
30	4,0	4,5	9,5	10,0	13,5	14,0
40	5,3	6,0	12,7	13,3	18,0	18,7
50	6,7	7,5	15,8	16,7	22,5	23,3

57°

33°

33°	lg sin	+d 1"	lg cos	-d 1"	lg tg	+d 1"	lg cotg	-d 1"	
0'	1,73 611	0,32	1,92 359	0,13	1,81 252	0,45	0,18 748		60'
1	73 630	33	92 351	13	81 279	47	18 721	0,45	59
2	73 650	32	92 343	13	81 307	47	18 693	47	58
3	73 669	33	92 335	15	81 335	45	18 665	45	57
4	73 689	0,32	92 326	0,13	81 362	0,47	18 638	0,47	56
5	73 708	32	92 318	13	81 390	47	18 610	47	55
6	73 727	33	92 310	13	81 418	45	18 582	45	54
7	73 747	32	92 302	15	81 445	47	18 555	47	53
8	73 766	32	92 293	13	81 473	45	18 527	45	52
9	73 785	0,33	92 285	0,13	81 500	0,47	18 500	0,47	51
10'	1,73 805	32	1,92 277	13	1,81 528	47	0,18 472	47	50'
11	73 824	32	92 269	15	81 556	45	18 444	45	49
12	73 843	33	92 260	13	81 583	47	18 417	47	48
13	73 863	32	92 252	13	81 611	45	18 389	45	47
14	73 882	0,32	92 244	0,15	81 638	0,47	18 362	0,47	46
15	73 901	33	92 235	13	81 666	45	18 334	45	45
16	73 921	32	92 227	13	81 693	47	18 307	47	44
17	73 940	32	92 219	13	81 721	45	18 279	45	43
18	73 959	32	92 211	15	81 748	47	18 252	47	42
19	73 978	0,32	92 202	0,13	81 776	0,45	18 224	0,45	41
20'	1,73 997	33	1,92 194	13	1,81 803	47	0,18 197	47	40'
21	74 017	32	92 186	15	81 831	45	18 169	45	39
22	74 036	32	92 177	13	81 858	47	18 142	47	38
23	74 055	32	92 169	13	81 886	45	18 114	45	37
24	74 074	0,32	92 161	0,15	81 913	0,47	18 087	0,47	36
25	74 093	33	92 152	13	81 941	45	18 059	45	35
26	74 113	32	92 144	13	81 968	47	18 032	47	34
27	74 132	32	92 136	15	81 996	45	18 004	45	33
28	74 151	32	92 127	13	82 023	47	17 977	47	32
29	74 170	0,32	92 119	0,13	82 051	0,45	17 949	0,45	31
30'	1,74 189	33	1,92 111	13	1,82 078	47	0,17 922	47	30'
	lg cos	-d 1"	lg sin	+d 1"	lg cotg	-d 1"	lg tg	+d 1"	56°

P. P.

d 1"	0,13	0,15	0,32	0,33	0,45	0,47
6"	0,8	0,9	1,9	2,0	2,7	2,8
7	0,9	1,1	2,2	2,3	3,2	3,3
8	1,1	1,2	2,5	2,7	3,6	3,7
9	1,2	1,4	2,9	3,0	4,1	4,2
10	1,3	1,5	3,2	3,3	4,5	4,7
20	2,7	3,0	6,3	6,7	9,0	9,3
30	4,0	4,5	9,5	10,0	13,5	14,0
40	5,3	6,0	12,7	13,3	18,0	18,7
50	6,7	7,5	15,8	16,7	22,5	23,3

56°

33°

33°	lg sin	+d 1"	lg cos	-d 1"	lg tg	+d 1"	lg cotg	-d 1"	
30'	1,74 189	0,32	1,92 111	0,15	1,82 078	0,47	0,17 922	0,47	30'
31	74 208	32	92 102	13	82 106	45	17 894	45	29
32	74 227	32	92 094	13	82 133	47	17 867	47	28
33	74 246	32	92 086	15	82 161	45	17 839	45	27
34	74 265	32	92 077	15	82 188	45	17 812	45	26
35	74 284	0,32	92 069	0,13	82 215	0,45	17 785	0,45	25
36	74 303	32	92 060	15	82 243	47	17 757	47	24
37	74 322	32	92 052	13	82 270	45	17 730	45	23
38	74 341	32	92 044	13	82 298	47	17 702	47	22
39	74 360	32	92 035	15	82 325	45	17 675	45	21
40'	1,74 379	0,32	1,92 027	0,13	1,82 352	0,45	0,17 648	0,45	20'
41	74 398	32	92 018	15	82 380	47	17 620	47	19
42	74 417	32	92 010	13	82 407	45	17 593	45	18
43	74 436	32	92 002	13	82 435	47	17 565	47	17
44	74 455	32	91 993	15	82 462	45	17 538	45	16
45	74 474	0,32	91 985	0,13	82 489	0,45	17 511	0,45	15
46	74 493	32	91 976	15	82 517	47	17 483	47	14
47	74 512	32	91 968	13	82 544	45	17 456	45	13
48	74 531	32	91 959	15	82 571	45	17 429	45	12
49	74 549	30	91 951	13	82 599	47	17 401	47	11
50'	1,74 568	0,32	1,91 942	0,15	1,82 626	0,45	0,17 374	0,45	10'
51	74 587	32	91 934	13	82 653	45	17 347	45	9
52	74 606	32	91 925	15	82 681	47	17 319	47	8
53	74 625	32	91 917	13	82 708	45	17 292	45	7
54	74 644	32	91 908	15	82 735	45	17 265	45	6
55	74 662	0,30	91 900	0,13	82 762	0,45	17 238	0,45	5
56	74 681	32	91 891	15	82 790	47	17 210	47	4
57	74 700	32	91 883	13	82 817	45	17 183	45	3
58	74 719	32	91 874	15	82 844	45	17 156	45	2
59	74 737	30	91 866	13	82 871	45	17 129	45	1
60'	1,74 756	0,32	1,91 857	0,15	1,82 899	0,47	0,17 101	0,47	0'
	lg cos	-d 1"	lg sin	+d 1"	lg cotg	-d 1"	lg tg	+d 1"	56°

P. P.

d 1"	0,13	0,15	0,30	0,32	0,45	0,47
6"	0,8	0,9	1,8	1,9	2,7	2,8
7	0,9	1,1	2,1	2,2	3,2	3,3
8	1,1	1,2	2,4	2,5	3,6	3,7
9	1,2	1,4	2,7	2,9	4,1	4,2
10	1,3	1,5	3,0	3,2	4,5	4,7
20	2,7	3,0	6,0	6,3	9,0	9,3
30	4,0	4,5	9,0	9,5	13,5	14,0
40	5,3	6,0	12,0	12,7	18,0	18,7
50	6,7	7,5	15,0	15,8	22,5	23,3

56°

34°

34°	lg sin	+d 1"	lg cos	-d 1"	lg tg	+d 1"	lg cotg	-d 1"
0'	1,74 756	0,32	1,91 857	0,13	1,82 899	0,45	0,17 101	60'
1	74 775	32	91 849	15	82 926	45	17 074	59
2	74 794	30	91 840	13	82 953	45	17 047	58
3	74 812	32	91 832	15	82 980	47	17 020	57
4	74 831	0,32	91 823	0,13	83 008	0,45	16 992	56
5	74 850	30	91 815	15	83 035	45	16 965	55
6	74 868	32	91 806	13	83 062	45	16 938	54
7	74 887	32	91 798	15	83 089	47	16 911	53
8	74 906	30	91 789	13	83 117	45	16 883	52
9	74 924	0,32	91 781	0,15	83 144	0,45	16 856	51
10'	1,74 943	30	1,91 772	15	1,83 171	45	0,16 829	50'
11	74 961	32	91 763	13	83 198	45	16 802	49
12	74 980	32	91 755	15	83 225	45	16 775	48
13	74 999	30	91 746	13	83 252	47	16 748	47
14	75 017	0,32	91 738	0,15	83 280	0,45	16 720	46
15	75 036	30	91 729	15	83 307	45	16 693	45
16	75 054	32	91 720	13	83 334	45	16 666	44
17	75 073	30	91 712	15	83 361	45	16 639	43
18	75 091	32	91 703	13	83 388	45	16 612	42
19	75 110	0,30	91 695	0,15	83 415	0,45	16 585	41
20'	1,75 128	32	1,91 686	15	1,83 442	47	0,16 558	40'
21	75 147	30	91 677	13	83 470	45	16 530	39
22	75 165	32	91 669	15	83 497	45	16 503	38
23	75 184	30	91 660	15	83 524	45	16 476	37
24	75 202	0,32	91 651	0,13	83 551	0,45	16 449	36
25	75 221	30	91 643	15	83 578	45	16 422	35
26	75 239	32	91 634	15	83 605	45	16 395	34
27	75 258	30	91 625	13	83 632	45	16 368	33
28	75 276	30	91 617	15	83 659	45	16 341	32
29	75 294	0,32	91 608	0,15	83 686	0,45	16 314	31
30'	1,75 313	30	1,91 599	15	1,83 713	45	0,16 287	30'
	lg cos	-d 1"	lg sin	+d 1"	lg cotg	-d 1"	lg tg	+d 1"

P. P.

d 1"	0,13	0,15	0,30	0,32	0,45	0,47
6"	0,8	0,9	1,8	1,9	2,7	2,8
7	0,9	1,1	2,1	2,2	3,2	3,3
8	1,1	1,2	2,4	2,5	3,6	3,7
9	1,2	1,4	2,7	2,9	4,1	4,2
10	1,3	1,5	3,0	3,2	4,5	4,7
20	2,7	3,0	6,0	6,3	9,0	9,3
30	4,0	4,5	9,0	9,5	13,5	14,0
40	5,3	6,0	12,0	12,7	18,0	18,7
50	6,7	7,5	15,0	15,8	22,5	23,3

55°

34°

34°	lg sin	+d 1"	lg cos	—d 1"	lg tg	+d 1"	lg cotg	—d 1"	
30'	1,75 313	0,30	1,91 599	0,13	1,83 713	0,45	0,16 287	0,45	30'
31	75 331	32	91 591	15	83 740	47	16 260	47	29
32	75 350	30	91 582	15	83 768	45	16 232	45	28
33	75 368	30	91 573	13	83 795	45	16 205	45	27
34	75 386	30	91 565	15	83 822	45	16 178	45	26
35	75 405	0,32	91 556	0,15	83 849	0,45	16 151	0,45	25
36	75 423	30	91 547	15	83 876	45	16 124	45	24
37	75 441	30	91 538	15	83 903	45	16 097	45	23
38	75 459	30	91 530	13	83 930	45	16 070	45	22
39	75 478	32	91 521	15	83 957	45	16 043	45	21
40'	1,75 496	0,30	1,91 512	0,15	1,83 984	0,45	0,16 016	0,45	20'
41	75 514	30	91 504	13	84 011	45	15 989	45	19
42	75 533	32	91 495	15	84 038	45	15 962	45	18
43	75 551	30	91 486	15	84 065	45	15 935	45	17
44	75 569	30	91 477	15	84 092	45	15 908	45	16
45	75 587	0,30	91 469	0,13	84 119	0,45	15 881	0,45	15
46	75 605	30	91 460	15	84 146	45	15 854	45	14
47	75 624	32	91 451	15	84 173	45	15 827	45	13
48	75 642	30	91 442	15	84 200	45	15 800	45	12
49	75 660	30	91 433	15	84 227	45	15 773	45	11
50'	1,75 678	0,30	1,91 425	0,13	1,84 254	0,45	0,15 746	0,45	10'
51	75 696	30	91 416	15	84 280	43	15 720	43	10'
52	75 714	30	91 407	15	84 307	45	15 693	45	9
53	75 733	32	91 398	15	84 334	45	15 666	45	8
54	75 751	30	91 389	15	84 361	45	15 639	45	7
55	75 769	0,30	91 381	0,18	84 388	0,45	15 612	0,45	6
56	75 787	30	91 372	15	84 415	45	15 585	45	5
57	75 805	30	91 363	15	84 442	45	15 558	45	4
58	75 823	30	91 354	15	84 469	45	15 531	45	3
59	75 841	30	91 345	15	84 496	45	15 504	45	2
60'	1,75 859	0,30	1,91 336	0,15	1,84 523	0,45	0,15 477	0,45	1
	lg cos	—d 1"	lg sin	+d 1"	lg cotg	—d 1"	lg tg	+d 1"	55°

P. P.

d 1"	0,13	0,15	0,30	0,32	0,43	0,45	0,47
6"	0,8	0,9	1,8	1,9	2,6	2,7	2,8
7	0,9	1,1	2,1	2,2	3,0	3,2	3,3
8	1,1	1,2	2,4	2,5	3,5	3,6	3,7
9	1,2	1,4	2,7	2,9	3,9	4,1	4,2
10	1,3	1,5	3,0	3,2	4,3	4,5	4,7
20	2,7	3,0	6,0	6,3	8,7	9,0	9,3
30	4,0	4,5	9,0	9,5	13,0	13,5	14,0
40	5,3	6,0	12,0	12,7	17,3	18,0	18,7
50	6,7	7,5	15,0	15,8	21,7	22,5	23,3

55°

35°

35°	lg sin	+d 1"	lg cos	-d 1"	lg tg	+d 1"	lg cotg	-d 1"
0'	1,75 859		1,91 336		1,84 523		0,15 477	
1	75 877	0,30	91 328	0,13	84 550	0,45	15 450	0,45
2	75 895	30	91 319	15	84 576	43	15 424	43
3	75 913	30	91 310	15	84 603	45	15 397	45
4	75 931	30	91 301	15	84 630	45	15 370	45
5	75 949	0,30	91 292	0,15	84 657	0,45	15 343	0,45
6	75 967	30	91 283	15	84 684	45	15 316	45
7	75 985	30	91 274	15	84 711	45	15 289	45
8	76 003	30	91 266	13	84 738	45	15 262	45
9	76 021	30	91 257	15	84 764	43	15 236	43
10'	1,76 039	0,30	1,91 248	0,15	1,84 791	0,45	0,15 209	0,45
11	76 057	30	91 239	15	84 818	45	15 182	45
12	76 075	30	91 230	15	84 845	45	15 155	45
13	76 093	30	91 221	15	84 872	45	15 128	45
14	76 111	30	91 212	15	94 899	45	15 101	45
15	76 129	0,30	91 203	0,15	84 925	0,43	15 075	0,43
16	76 146	28	91 194	15	84 952	45	15 048	45
17	76 164	30	91 185	15	84 979	45	15 021	45
18	76 182	30	91 176	15	85 006	45	14 994	45
19	76 200	30	91 167	15	85 033	45	14 967	45
20'	1,76 218	0,30	1,91 158	0,15	1,85 059	0,43	0,14 941	0,43
21	76 236	30	91 149	15	85 086	45	14 914	45
22	76 253	28	91 141	13	85 113	45	14 887	45
23	76 271	30	91 132	15	85 140	45	14 860	45
24	76 289	30	91 123	15	85 166	43	14 834	43
25	76 307	0,30	91 114	0,15	85 193	0,45	14 807	0,45
26	76 324	28	91 105	15	85 220	45	14 780	45
27	76 342	30	91 096	15	85 247	45	14 753	45
28	76 360	30	91 087	15	85 273	43	14 727	43
29	76 378	30	91 078	15	85 300	45	14 700	45
30'	1,76 395	0,28	1,91 069	0,15	1,85 327	0,45	0,14 673	0,45
	lg cos	-d 1"	lg sin	+d 1"	lg cotg	-d 1"	lg tg	+d 1"

P. P.

d 1"	0,13	0,15	0,28	0,30	0,43	0,45
6"	0,8	0,9	1,7	1,8	2,6	2,7
7	0,9	1,1	2,0	2,1	3,0	3,2
8	1,1	1,2	2,3	2,4	3,5	3,6
9	1,2	1,4	2,6	2,7	3,9	4,1
10	1,3	1,5	2,8	3,0	4,3	4,5
20	2,7	3,0	5,7	6,0	8,7	9,0
30	4,0	4,5	8,5	9,0	13,0	13,5
40	5,3	6,0	11,3	12,0	17,3	18,0
50	6,7	7,5	14,2	15,0	21,7	22,5

54°

35°

35°	lg sin	+d 1"	lg cos	-d 1"	lg tg	+d 1"	lg cotg	-d 1"	
30'	1,76 393	0,30	1,91 069	0,15	1,85 327	0,45	0,14 673	0,45	30'
31	76 413	30	91 060	15	85 354	43	14 646	43	29
32	76 431	28	91 051	15	85 380	45	14 620	45	28
33	76 448	30	91 042	15	85 407	45	14 593	45	27
34	76 466	0,30	91 033	0,17	85 434	0,43	14 566	0,43	26
35	76 484	28	91 023	15	85 460	45	14 540	45	25
36	76 501	30	91 014	15	85 487	45	14 513	45	24
37	76 519	30	91 005	15	85 514	43	14 486	43	23
38	76 537	28	90 996	15	85 540	45	14 460	45	22
39	76 554	0,30	90 987	0,15	85 567	0,45	14 433	0,45	21
40'	1,76 572	30	1,90 978	15	1,85 594	43	0,14 406	43	20'
41	76 590	28	90 969	15	85 620	45	14 380	45	19
42	76 607	30	90 960	15	85 647	45	14 353	45	18
43	76 625	28	90 951	15	85 674	43	14 326	43	17
44	76 642	0,30	90 942	0,15	85 700	0,45	14 300	0,45	16
45	76 660	28	90 933	15	85 727	45	14 273	45	15
46	76 677	30	90 924	15	85 754	43	14 246	43	14
47	76 695	28	90 915	15	85 780	45	14 220	45	13
48	76 712	30	90 906	17	85 807	45	14 193	45	12
49	76 730	0,28	90 896	0,15	85 834	0,43	14 166	0,43	11
50'	1,76 747	30	1,90 887	15	1,85 860	45	0,14 140	45	10'
51	76 765	28	90 878	15	85 887	43	14 113	43	9
52	76 782	30	90 869	15	85 913	45	14 087	45	8
53	76 800	28	90 860	15	85 940	45	14 060	45	7
54	76 817	0,30	90 851	0,15	85 967	0,43	14 033	0,43	6
55	76 835	28	90 842	17	85 993	45	14 007	45	5
56	76 852	30	90 832	15	86 020	43	13 980	43	4
57	76 870	28	90 823	15	86 046	45	13 954	45	3
58	76 887	30	90 814	15	86 073	45	13 927	45	2
59	76 904	0,30	90 805	0,15	86 100	0,43	13 900	0,43	1
60'	1,76 922		1,90 796		1,86 126		0,13 874		0'
	lg cos	-d 1"	lg sin	+d 1"	lg cotg	-d 1"	lg tg	+d 1"	54°

P. P.

d 1°	0,15	0,17	0,28	0,30	0,43	0,45
6"	0,9	1,0	1,7	1,8	2,6	2,7
7	1,1	1,2	2,0	2,1	3,0	3,2
8	1,2	1,3	2,3	2,4	3,5	3,6
9	1,4	1,5	2,6	2,7	3,9	4,1
10	1,5	1,7	2,8	3,0	4,3	4,5
20	3,0	3,3	5,7	6,0	8,7	9,0
30	4,5	5,0	8,5	9,0	13,0	13,5
40	6,0	6,7	11,3	12,0	17,3	18,0
50	7,5	8,3	14,2	15,0	21,7	22,5

54°

36°

36°	lg sin	+d 1"	lg cos	-d 1"	lg tg	+d 1"	lg cotg	-d 1"	
0'	1,76 922	0,28	1,90 796	0,15	1,86 126	0,45	0,13 874	0,45	60'
1	76 939	30	90 787	17	86 153	43	13 847	43	59
2	76 957	28	90 777	15	86 179	45	13 821	45	58
3	76 974	28	90 768	15	86 206	43	13 794	43	57
4	76 991	0,30	90 759	0,15	86 232	0,45	13 768	0,45	56
5	77 009	28	90 750	15	86 259	43	13 741	43	55
6	77 026	28	90 741	17	86 285	45	13 715	45	54
7	77 043	30	90 731	15	86 312	43	13 688	43	53
8	77 061	28	90 722	15	86 338	45	13 662	45	52
9	77 078	0,28	90 713	0,15	86 365	0,45	13 635	0,45	51
10'	1,77 095	28	1,90 704	17	1,86 392	43	0,13 608	43	50'
11	77 112	30	90 694	15	86 418	45	13 582	45	49
12	77 130	28	90 685	15	86 445	43	13 555	43	48
13	77 147	28	90 676	15	86 471	45	13 529	45	47
14	77 164	0,28	90 667	0,17	86 498	0,43	13 502	0,43	46
15	77 181	30	90 657	15	86 524	45	13 476	45	45
16	77 199	28	90 648	15	86 551	43	13 449	43	44
17	77 216	28	90 639	15	86 577	43	13 423	43	43
18	77 233	28	90 630	17	86 603	45	13 397	45	42
19	77 250	0,30	90 620	0,15	86 630	0,43	13 370	0,43	41
20'	1,77 268	28	1,90 611	15	1,86 656	45	0,13 344	45	40'
21	77 285	28	90 602	17	86 683	43	13 317	43	39
22	77 302	28	90 592	15	86 709	45	13 291	45	38
23	77 319	28	90 583	15	86 736	43	13 264	43	37
24	77 336	0,28	90 574	0,15	86 762	0,45	13 238	0,45	36
25	77 353	28	90 565	17	86 789	43	13 211	43	35
26	77 370	28	90 555	15	86 815	45	13 185	45	34
27	77 387	30	90 546	15	86 842	43	13 158	43	33
28	77 405	28	90 537	17	86 868	43	13 132	43	32
29	77 422	0,28	90 527	0,15	86 894	0,45	13 106	0,45	31
30'	1,77 439	28	1,90 518	15	1,86 921	45	0,13 079	45	30'
	lg cos	-d 1"	lg sin	+d 1"	lg cotg	-d 1"	lg tg	+d 1"	53°

P. P.

d 1"	0,15	0,17	0,28	0,30	0,43	0,45
6"	0,9	1,0	1,7	1,8	2,6	2,7
7	1,1	1,2	2,0	2,1	3,0	3,2
8	1,2	1,3	2,3	2,4	3,5	3,6
9	1,4	1,5	2,6	2,7	3,9	4,1
10	1,5	1,7	2,8	3,0	4,3	4,5
20	3,0	3,3	5,7	6,0	8,7	9,0
30	4,5	5,0	8,5	9,0	13,0	13,5
40	6,0	6,7	11,3	12,0	17,3	18,0
50	7,5	8,3	14,2	15,0	21,7	22,5

53°

36°

36°	lg sin	+d 1"	lg cos	-d 1"	lg tg	+d 1"	lg cotg	-d 1"	
30'	1,77 439	0,28	1,90 518	0,15	1,86 921	0,43	0,13 079	0,43	30'
31	77 456	28	90 509	17	86 947	45	13 053	45	29
32	77 473	28	90 499	16	86 974	43	13 026	43	28
33	77 490	28	90 490	15	87 000	45	13 000	45	27
34	77 507	28	90 480	17	87 027	45	12 973	45	26
35	77 524	0,28	90 471	0,15	87 053	0,43	12 947	0,43	25
36	77 541	28	90 462	15	87 079	43	12 921	43	24
37	77 558	28	90 452	17	87 106	45	12 894	45	23
38	77 575	28	90 443	15	87 132	43	12 868	43	22
39	77 592	28	90 434	15	87 158	43	12 842	43	21
40'	1,77 609	0,28	1,90 424	0,17	1,87 185	0,45	0,12 815	0,45	20'
41	77 626	28	90 415	15	87 211	43	12 789	43	19
42	77 643	28	90 405	17	87 238	45	12 762	45	18
43	77 660	28	90 396	15	87 264	43	12 736	43	17
44	77 677	28	90 386	17	87 290	43	12 710	43	16
45	77 694	0,28	90 377	0,15	87 317	0,45	12 683	0,45	15
46	77 711	28	90 368	15	87 343	43	12 657	43	14
47	77 728	28	90 358	17	87 369	45	12 631	45	13
48	77 744	27	90 349	15	87 396	43	12 604	43	12
49	77 761	28	90 339	17	87 422	43	12 578	43	11
50'	1,77 778	0,28	1,90 330	0,15	1,87 448	0,43	0,12 552	0,43	10'
51	77 795	28	90 320	17	87 475	45	12 525	45	9
52	77 812	28	90 311	15	87 501	43	12 499	43	8
53	77 829	28	90 301	17	87 527	45	12 473	45	7
54	77 846	28	90 292	15	87 554	45	12 446	45	6
55	77 862	0,27	90 282	0,17	87 580	0,43	12 420	0,43	5
56	77 879	28	90 273	15	87 606	43	12 394	43	4
57	77 896	28	90 263	17	87 633	45	12 367	45	3
58	77 913	28	90 254	15	87 659	43	12 341	43	2
59	77 930	28	90 244	17	87 685	43	12 315	43	1
60'	1,77 946	0,27	1,90 235	0,15	1,87 711	0,43	0,12 289	0,43	0'
	lg cos	-d 1"	lg sin	+d 1"	lg cotg	-d 1"	lg tg	+d 1"	53°

P. P.

d 1"	0,15	0,17	0,27	0,28	0,43	0,45
6"	0,9	1,0	1,6	1,7	2,6	2,7
7	1,1	1,2	1,9	2,0	3,0	3,2
8	1,2	1,3	2,1	2,3	3,5	3,6
9	1,4	1,5	2,4	2,6	3,9	4,1
10	1,5	1,7	2,7	2,8	4,3	4,5
20	3,0	3,3	5,3	5,7	8,7	9,0
30	4,5	5,0	8,0	8,5	13,0	13,5
40	6,0	6,7	10,7	11,3	17,3	18,0
50	7,5	8,3	13,3	14,2	21,7	22,5

53°

37°

37°	lg sin	+d 1"	lg cos	-d 1"	lg tg	+d 1"	lg cotg	-d 1"
0'	1,77 946	0,28	1,90 235	0,17	1,87 711	0,45	0,12 289	0,45
1	77 963	28	90 225	15	87 738	43	12 262	43
2	77 980	28	90 216	17	87 764	43	12 236	43
3	77 997	27	90 206	15	87 790	45	12 210	45
4	78 013	0,28	90 197	0,17	87 817	0,43	12 183	0,43
5	78 030	28	90 187	15	87 843	43	12 157	43
6	78 047	27	90 178	17	87 869	43	12 131	43
7	78 063	28	90 168	15	87 895	45	12 105	45
8	78 080	28	90 159	17	87 922	43	12 078	43
9	78 097	0,27	90 149	0,17	87 948	0,43	12 052	0,43
10'	1,78 113	28	1,90 139	15	1,87 974	43	0,12 026	43
11	78 130	28	90 130	17	88 000	45	12 000	45
12	78 147	27	90 120	15	88 027	43	11 973	43
13	78 163	28	90 111	17	88 053	43	11 947	43
14	78 180	0,28	90 101	0,17	88 079	0,43	11 921	0,43
15	78 197	27	90 091	15	88 105	43	11 895	43
16	78 213	28	90 082	17	88 131	45	11 869	45
17	78 230	27	90 072	15	88 158	43	11 842	43
18	78 246	28	90 063	17	88 184	43	11 816	43
19	78 263	0,28	90 053	0,17	88 210	0,43	11 790	0,43
20'	1,78 280	27	1,90 043	15	1,88 236	43	0,11 764	43
21	78 296	28	90 034	17	88 262	45	11 738	45
22	78 313	27	90 024	15	88 289	43	11 711	43
23	78 329	28	90 014	17	88 315	43	11 685	43
24	78 346	0,27	90 005	0,17	88 341	0,43	11 659	0,43
25	78 362	28	89 995	15	88 367	43	11 633	43
26	78 379	27	89 985	17	88 393	45	11 607	45
27	78 395	28	89 976	15	88 420	43	11 580	43
28	78 412	27	89 966	17	88 446	43	11 554	43
29	78 428	0,28	89 956	0,15	88 472	0,43	11 528	0,43
30'	1,78 445	28	1,89 947	15	1,88 498	43	0,11 502	43
	lg cos	-d 1"	lg sin	+d 1"	lg cotg	-d 1"	lg tg	+d 1"

P. P.

d 1"	0,15	0,17	0,27	0,28	0,43	0,45
6"	0,9	1,0	1,6	1,7	2,6	2,7
7	1,1	1,2	1,9	2,0	3,0	3,2
8	1,2	1,3	2,1	2,3	3,5	3,6
9	1,4	1,5	2,4	2,6	3,9	4,1
10	1,5	1,7	2,7	2,8	4,3	4,5
20	3,0	3,3	5,3	5,7	8,7	9,0
30	4,5	5,0	8,0	8,5	13,0	13,5
40	6,0	6,7	10,7	11,3	17,3	18,0
50	7,5	8,3	13,3	14,2	21,7	22,5

52°

37°

37°	lg sin	+d 1"	lg cos	-d 1"	lg tg	+d 1"	lg cotg	-d 1"	
30'	1,78 445	0,27	1,89 947	0,17	1,88 498	0,43	0,11 502	0,43	30'
31	78 461	28	89 937	17	88 524	43	11 476	43	29
32	78 478	27	89 927	15	88 550	45	11 450	45	28
33	78 494	27	89 918	17	88 577	43	11 423	43	27
34	78 510	27	89 908	17	88 603	43	11 397	43	26
35	78 527	0,28	89 898	0,17	88 629	0,43	11 371	0,43	25
36	78 543	27	89 888	17	88 655	43	11 345	43	24
37	78 560	28	89 879	15	88 681	43	11 319	43	23
38	78 576	27	89 869	17	88 707	43	11 293	43	22
39	78 592	27	89 859	17	88 733	43	11 267	43	21
40'	1,78 609	0,28	1,89 849	0,17	1,88 759	0,43	0,11 241	0,43	20'
41	78 625	27	89 840	15	88 786	45	11 214	45	19
42	78 642	28	89 830	17	88 812	43	11 188	43	18
43	78 658	27	89 820	17	88 838	43	11 162	43	17
44	78 674	27	89 810	17	88 864	43	11 136	43	16
45	78 691	0,28	89 801	0,15	88 890	0,43	11 110	0,43	15
46	78 707	27	89 791	17	88 916	43	11 084	43	14
47	78 723	27	89 781	17	88 942	43	11 058	43	13
48	78 739	27	89 771	17	88 968	43	11 032	43	12
49	78 756	28	89 761	17	88 994	43	11 006	43	11
50'	1,78 772	0,27	1,89 752	0,15	1,89 020	0,43	0,10 980	0,43	10'
51	78 788	27	89 742	17	89 046	43	10 954	43	9
52	78 805	28	89 732	17	89 073	45	10 927	45	8
53	78 821	27	89 722	17	89 099	43	10 901	43	7
54	78 837	27	89 712	17	89 125	43	10 875	43	6
55	78 853	0,27	89 702	0,17	89 151	0,43	10 849	0,43	5
56	78 869	27	89 693	15	89 177	43	10 823	43	4
57	78 886	28	89 683	17	89 203	43	10 797	43	3
58	78 902	27	89 673	17	89 229	43	10 771	43	2
59	78 918	27	89 663	17	89 255	43	10 745	43	1
60'	1,78 934	0,27	1,89 653	0,17	1,89 281	0,43	0,10 719	0,43	0'
	lg cos	-d 1"	lg sin	+d 1"	lg cotg	-d 1"	lg tg	+d 1"	52°

P. P.

d 1"	0,15	0,17	0,27	0,28	0,43	0,45
6"	0,9	1,0	1,6	1,7	2,6	2,7
7	1,1	1,2	1,9	2,0	3,0	3,2
8	1,2	1,3	2,1	2,3	3,5	3,6
9	1,4	1,5	2,4	2,6	3,9	4,1
10	1,5	1,7	2,7	2,8	4,3	4,5
20	3,0	3,3	5,3	5,7	8,7	9,0
30	4,5	5,0	8,0	8,5	13,0	13,5
40	6,0	6,7	10,7	11,3	17,3	18,0
50	7,5	8,3	13,3	14,2	21,7	22,5

52°

38°

38°	lg sin	+d 1"	lg cos	-d 1"	lg tg	-d 1"	lg cotg	-d 1"	
0'	1,78 934	0,27	1,89 653	0,17	1,89 281	0,43	0,10 719	0,43	60'
1	78 950	28	89 643	17	89 307	43	10 693	43	59
2	78 967	27	89 633	15	89 333	43	10 667	43	58
3	78 983	27	89 624	17	89 359	43	10 641	43	57
4	78 999	27	89 614	17	89 385	43	10 615	43	56
5	79 015	0,27	89 604	0,17	89 411	0,43	10 589	0,43	55
6	79 031	27	89 594	17	89 437	43	10 563	43	54
7	79 047	27	89 584	17	89 463	43	10 537	43	53
8	79 063	27	89 574	17	89 489	43	10 511	43	52
9	79 079	27	89 564	17	89 515	43	10 485	43	51
10'	1,79 095	0,27	1,89 554	0,17	1,89 541	0,43	0,10 459	0,43	50'
11	79 111	28	89 544	17	89 567	43	10 433	43	49
12	79 128	27	89 534	17	89 593	43	10 407	43	48
13	79 144	27	89 524	17	89 619	43	10 381	43	47
14	79 160	27	89 514	17	89 645	43	10 355	43	46
15	79 176	0,27	89 504	0,17	89 671	0,43	10 329	0,43	45
16	79 192	27	89 495	15	89 697	43	10 303	43	44
17	79 208	27	89 485	17	89 723	43	10 277	43	43
18	79 224	27	89 475	17	89 749	43	10 251	43	42
19	79 240	27	89 465	17	89 775	43	10 225	43	41
20'	1,79 256	0,27	1,89 455	0,17	1,89 801	0,43	0,10 199	0,43	40'
21	79 272	27	89 445	17	89 827	43	10 173	43	39
22	79 288	27	89 435	17	89 853	43	10 147	43	38
23	79 304	27	89 425	17	89 879	43	10 121	43	37
24	79 319	25	89 415	17	89 905	43	10 095	43	36
25	79 335	0,27	89 405	0,17	89 931	0,43	10 069	0,43	35
26	79 351	27	89 395	17	89 957	43	10 043	43	34
27	79 367	27	89 385	17	89 983	43	10 017	43	33
28	79 383	27	89 375	17	90 009	43	09 991	43	32
29	79 399	27	89 364	18	90 035	43	09 965	43	31
30'	1,79 415	0,27	1,89 354	0,17	1,90 061	0,43	0,09 939	0,43	30'
	lg cos	-d 1"	lg sin	+d 1"	lg cotg	-d 1"	lg tg	+d 1"	51°

P. P.

d 1"	0,15	0,17	0,18	0,25	0,27	0,28	0,43
6"	0,9	1,0	1,1	1,5	1,6	1,7	2,6
7	1,1	1,2	1,3	1,8	1,9	2,0	3,0
8	1,2	1,3	1,5	2,0	2,1	2,3	3,5
9	1,4	1,5	1,7	2,3	2,4	2,6	3,9
10	1,5	1,7	1,8	2,5	2,7	2,8	4,3
20	3,0	3,3	3,7	5,0	5,3	5,7	8,7
30	4,5	5,0	5,5	7,5	8,0	8,5	13,0
40	6,0	6,7	7,3	10,0	10,7	11,3	17,3
50	7,5	8,3	9,2	12,5	13,3	14,2	21,7

51°

38°

38°	lg sin	+d 1"	lg cos	-d 1"	lg tg	+d 1"	lg cotg	-d 1"	
30'	1 79 415	0,27	1,89 354	0,17	1,90 061	0,42	0,09 939	0,42	30'
31	79 431	27	89 344	17	90 086	43	09 914	43	29
32	79 447	27	89 334	17	90 112	43	09 888	43	28
33	79 463	27	89 324	17	90 138	43	09 862	43	27
34	79 478	25	89 314	17	90 164	43	09 836	43	26
35	79 494	0,27	89 304	0,17	90 190	0,43	09 810	0,43	25
36	79 510	27	89 294	17	90 216	43	09 784	43	24
37	79 526	27	89 284	17	90 242	43	09 758	43	23
38	79 542	27	89 274	17	90 268	43	09 732	43	22
39	79 558	27	89 264	17	90 294	43	09 706	43	21
40'	1,79 573	0,25	1,89 254	0,17	1,90 320	0,43	0,09 680	0,43	20'
41	79 589	27	89 244	17	90 346	43	09 654	43	19
42	79 605	27	89 233	18	90 371	42	09 629	42	18
43	79 621	27	89 223	17	90 397	43	09 603	43	17
44	79 636	25	89 213	17	90 423	43	09 577	43	16
45	79 652	0,27	89 203	0,17	90 449	0,43	09 551	0,43	15
46	79 668	27	89 193	17	90 475	43	09 525	43	14
47	79 684	27	89 183	17	90 501	43	09 499	43	13
48	79 699	25	89 173	17	90 527	43	09 473	43	12
49	79 715	27	89 162	18	90 553	43	09 447	43	11
50'	1,79 731	0,27	1,89 152	0,17	1,90 578	0,42	0,09 422	0,42	10'
51	79 746	25	89 142	17	90 604	43	09 396	43	9
52	79 762	27	89 132	17	90 630	43	09 370	43	8
53	79 778	27	89 122	17	90 656	43	09 344	43	7
54	79 793	25	89 112	17	90 682	43	09 318	43	6
55	79 809	0,27	89 101	0,18	90 708	0,43	09 292	0,43	5
56	79 825	27	89 091	17	90 734	43	09 266	43	4
57	79 840	25	89 081	17	90 759	42	09 241	42	3
58	79 856	27	89 071	17	90 785	43	09 215	43	2
59	79 872	27	89 060	18	90 811	43	09 189	43	1
60'	1,79 887	0,25	1,89 050	0,17	1,90 837	0,43	0,09 163	0,43	0'
	lg cos	-d 1"	lg sin	+d 1"	lg cotg	-d 1"	lg tg	+d 1"	51°

P. P.

d 1"	0,17	0,18	0,25	0,27	0,42	0,43
6"	1,0	1,1	1,5	1,6	2,5	2,6
7	1,2	1,3	1,8	1,9	2,9	3,0
8	1,3	1,5	2,0	2,1	3,3	3,5
9	1,5	1,7	2,3	2,4	3,8	3,9
10	1,7	1,8	2,5	2,7	4,2	4,3
20	3,3	3,7	5,0	5,3	8,3	8,7
30	5,0	5,5	7,5	8,0	12,5	13,0
40	6,7	7,3	10,0	10,7	16,7	17,3
50	8,3	9,2	12,5	13,3	20,8	21,7

51°

39°

39°	lg sin	+d 1"	lg cos	-d 1"	lg tg	+d 1"	lg cotg	-d 1"	
0'	1,79 887	0,27	1,89 050	0,17	1,90 837	0,43	0,09 163	0,43	60'
1	79 903	25	89 040	17	90 863	43	09 137	43	59
2	79 918	27	89 030	17	90 889	43	09 111	43	58
3	79 934	27	89 020	17	90 914	42	09 086	42	57
4	79 950	27	89 009	18	90 940	43	09 060	43	56
5	79 965	0,25	88 999	0,17	90 966	0,43	09 034	0,43	55
6	79 981	27	88 989	17	90 992	43	09 008	43	54
7	79 996	25	88 978	18	91 018	43	08 982	43	53
8	80 012	27	88 968	17	91 043	42	08 957	42	52
9	80 027	25	88 958	17	91 069	43	08 931	43	51
10'	1,80 043	0,27	1,88 948	0,17	1,91 095	0,43	0,08 905	0,43	50'
11	80 058	25	88 937	18	91 121	43	08 879	43	49
12	80 074	27	88 927	17	91 147	43	08 853	43	48
13	80 089	25	88 917	17	91 172	42	08 828	42	47
14	80 105	27	88 906	18	91 198	43	08 802	43	46
15	80 120	0,25	88 896	0,17	91 224	0,43	08 776	0,43	45
16	80 136	27	88 886	17	91 250	43	08 750	43	44
17	80 151	25	88 875	18	91 276	43	08 724	43	43
18	80 166	25	88 865	17	91 301	42	08 699	42	42
19	80 182	27	88 855	17	91 327	43	08 673	43	41
20'	1,80 197	0,25	1,88 844	0,18	1,91 353	0,43	0,08 647	0,43	40'
21	80 213	27	88 834	17	91 379	43	08 621	43	39
22	80 228	25	88 824	17	91 404	42	08 596	42	38
23	80 244	27	88 813	18	91 430	43	08 570	43	37
24	80 259	25	88 803	17	91 456	43	08 544	43	36
25	80 274	0,25	88 793	0,17	91 482	0,43	08 518	0,43	35
26	80 290	27	88 782	18	91 507	42	08 493	42	34
27	80 305	25	88 772	17	91 533	43	08 467	43	33
28	80 320	25	88 761	18	91 559	43	08 441	43	32
29	80 336	27	88 751	17	91 585	43	08 415	43	31
30'	1,80 351	0,25	1,88 741	0,17	1,91 610	0,42	0,08 390	0,42	30'
	lg cos	-d 1"	lg sin	+d 1"	lg cotg	-d 1"	lg tg	+d 1"	50°

P. P.

d 1" 0,17 0,18 0,25 0,27 0,42 0,43

6"	1,0	1,1	1,5	1,6	2,5	2,6
7	1,2	1,3	1,8	1,9	2,9	3,0
8	1,3	1,5	2,0	2,1	3,3	3,5
9	1,5	1,7	2,3	2,4	3,8	3,9
10	1,7	1,8	2,5	2,7	4,2	4,3
20	3,3	3,7	5,0	5,3	8,3	8,7
30	5,0	5,5	7,5	8,0	12,5	13,0
40	6,7	7,3	10,0	10,7	16,7	17,3
50	8,3	9,2	12,5	13,3	20,8	21,7

50°

39°

39°	lg sin	+d 1"	lg cos	-d 1"	lg tg	+d 1"	lg cotg	-d 1"	
30'	1,80 351		1,88 741		1,91 610		0,08 390		30'
31	80 366	0,25	88 730	0,18	91 636	0,43	08 364	0,43	29
32	80 382	27	88 720	17	91 662	43	08 338	43	28
33	80 397	25	88 709	18	91 688	43	08 312	43	27
34	80 412	25	88 699	17	91 713	42	08 287	42	26
35	80 428	0,27	88 688	0,18	91 739	0,43	08 261	0,43	25
36	80 443	25	88 678	17	91 765	43	08 235	43	24
37	80 458	25	88 668	17	91 791	43	08 209	43	23
38	80 473	25	88 657	18	91 816	42	08 184	42	22
39	80 489	27	88 647	17	91 842	43	08 158	43	21
40'	1,80 504	0,25	1,88 636	0,18	1,91 868	0,43	0,08 132	0,43	20'
41	80 519	25	88 626	17	91 893	42	08 107	42	19
42	80 534	25	88 615	18	91 919	43	08 081	43	18
43	80 550	27	88 605	17	91 945	43	08 055	43	17
44	80 565	25	88 594	18	91 971	43	08 029	43	16
45	80 580	0,25	88 584	0,17	91 996	0,42	08 004	0,42	15
46	80 595	25	88 573	18	92 022	43	07 978	43	14
47	80 610	25	88 563	17	92 048	43	07 952	43	13
48	80 625	25	88 552	18	92 073	42	07 927	42	12
49	80 641	27	88 542	17	92 099	43	07 901	43	11
50'	1,80 656	0,25	1,88 531	0,18	1,92 125	0,43	0,07 875	0,43	10'
51	80 671	25	88 521	17	92 150	42	07 850	42	9
52	80 686	25	88 510	18	92 176	43	07 824	43	8
53	80 701	25	88 499	18	92 202	43	07 798	43	7
54	80 716	25	88 489	17	92 227	42	07 773	42	6
55	80 731	0,25	88 478	0,18	92 253	0,43	07 747	0,43	5
56	80 746	25	88 468	17	92 279	43	07 721	43	4
57	80 762	27	88 457	18	92 304	42	07 696	42	3
58	80 777	25	88 447	17	92 330	43	07 670	43	2
59	80 792	25	88 436	18	92 356	43	07 644	43	1
60'	1,80 807	0,25	1,88 425	0,18	1,92 381	0,42	0,07 619	0,42	0'
	lg cos	-d 1"	lg sin	+d 1"	lg cotg	-d 1"	lg tg	+d 1"	50°

P. P.

d 1"	0,17	0,18	0,25	0,27	0,42	0,43
6"	1,0	1,1	1,5	1,6	2,5	2,6
7	1,2	1,3	1,8	1,9	2,9	3,0
8	1,3	1,5	2,0	2,1	3,3	3,5
9	1,5	1,7	2,3	2,4	3,8	3,9
10	1,7	1,8	2,5	2,7	4,2	4,3
20	3,3	3,7	5,0	5,3	8,3	8,7
30	5,0	5,5	7,5	8,0	12,5	13,0
40	6,7	7,3	10,0	10,7	16,7	17,3
50	8,3	9,2	12,5	13,3	20,8	21,7

50°

40°

40°	lg sin	+d 1"	lg cos	-d 1"	lg tg	+d 1"	lg cotg	-d 1"	
0'	1,80 807	0,25	1,88 425	0,17	1,92 381	0,43	0,07 619	0,43	60'
1	80 822	25	88 415	18	92 407	43	07 593	43	59
2	80 837	25	88 404	17	92 433	42	07 567	42	58
3	80 852	25	88 394	18	92 458	43	07 542	43	57
4	80 867	25	88 383	18	92 484	43	07 516	43	56
5	80 882	0,25	88 372	0,18	92 510	0,43	07 490	0,43	55
6	80 897	25	88 362	17	92 535	42	07 465	42	54
7	80 912	25	88 351	18	92 561	43	07 439	43	53
8	80 927	25	88 340	18	92 587	43	07 413	43	52
9	80 942	25	88 330	17	92 612	42	07 388	42	51
10'	1,80 957	0,25	1,88 319	0,18	1,92 638	0,43	0,07 362	0,43	50'
11	80 972	25	88 308	18	92 663	42	07 337	42	49
12	80 987	25	88 298	17	92 689	43	07 311	43	48
13	81 002	25	88 287	18	92 715	43	07 285	43	47
14	81 017	25	88 276	18	92 740	42	07 260	42	46
15	81 032	0,25	88 266	0,17	92 766	0,43	07 234	0,43	45
16	81 047	25	88 255	18	92 792	43	07 208	43	44
17	81 061	23	88 244	18	92 817	42	07 183	42	43
18	81 076	25	88 234	17	92 843	43	07 157	43	42
19	81 091	25	88 223	18	92 868	42	07 132	42	41
20'	1,81 106	0,25	1,88 212	0,18	1,92 894	0,43	0,07 106	0,43	40'
21	81 121	25	88 201	18	92 920	43	07 080	43	39
22	81 136	25	88 191	17	92 945	42	07 055	42	38
23	81 151	25	88 180	18	92 971	43	07 029	43	37
24	81 166	25	88 169	18	92 996	42	07 004	42	36
25	81 180	0,23	88 158	0,18	93 022	0,43	06 978	0,43	35
26	81 195	25	88 148	17	93 048	43	06 952	43	34
27	81 210	25	88 137	18	93 073	42	06 927	42	33
28	81 225	25	88 126	18	93 099	43	06 901	43	32
29	81 240	25	88 115	18	93 124	42	06 876	42	31
30'	1,81 254	0,23	1,88 105	0,17	1,93 150	0,43	0,06 850	0,43	30'
	lg cos	-d 1"	lg sin	+d 1"	lg cotg	-d 1"	lg tg	+d 1"	49°

P. P.

d 1"	0,17	0,18	0,23	0,25	0,42	0,43
6"	1,0	1,1	1,4	1,5	2,5	2,6
7	1,2	1,3	1,6	1,8	2,9	3,0
8	1,3	1,5	1,9	2,0	3,3	3,5
9	1,5	1,7	2,1	2,3	3,8	3,9
10	1,7	1,8	2,3	2,5	4,2	4,3
20	3,3	3,7	4,7	5,0	8,3	8,7
30	5,0	5,5	7,0	7,5	12,5	13,0
40	6,7	7,3	9,3	10,0	16,7	17,3
50	8,3	9,2	11,7	12,5	20,8	21,7

49°

40°

40°	lg sin	+d 1"	lg cos	-d 1"	lg tg	+d 1"	lg cotg	-d 1"	
30'	1,81 254		1,88 105		1,93 150		0,06 850		30'
31	81 269	0,25	88 094	0,18	93 175	0,42	06 825	0,42	29
32	81 284	25	88 083	18	93 201	43	06 799	43	28
33	81 299	25	88 072	18	93 227	43	06 773	43	27
34	81 314	25	88 061	18	93 252	42	06 748	42	26
35	81 328	0,23	88 051	0,17	93 278	0,43	06 722	0,43	25
36	81 343	25	88 040	18	93 303	42	06 697	42	24
37	81 358	25	88 029	18	93 329	43	06 671	43	23
38	81 372	23	88 018	18	93 354	42	06 646	42	22
39	81 387	25	88 007	18	93 380	43	06 620	43	21
		0,25		0,18		0,43		0,43	
40'	1,81 402		1,87 996		1,93 406		0,06 594		20'
41	81 417	25	87 985	18	93 431	42	06 569	42	19
42	81 431	23	87 975	17	93 457	43	06 543	43	18
43	81 446	25	87 964	18	93 482	42	06 518	42	17
44	81 461	25	87 953	18	93 508	43	06 492	43	16
45	81 475	0,23	87 942	0,18	93 533	0,42	06 467	0,42	15
46	81 490	25	87 931	18	93 559	43	06 441	43	14
47	81 505	25	87 920	18	93 584	42	06 416	42	13
48	81 519	23	87 909	18	93 610	43	06 390	43	12
49	81 534	25	87 898	18	93 636	43	06 364	43	11
		0,25		0,18		0,42		0,42	
50'	1,81 549		1,87 887		1,93 661		0,06 339		10'
51	81 563	23	87 877	17	93 687	43	06 313	43	9
52	81 578	25	87 866	18	93 712	42	06 288	42	8
53	81 592	23	87 855	18	93 738	43	06 262	43	7
54	81 607	25	87 844	18	93 763	42	06 237	42	6
55	81 622	0,25	87 833	0,18	93 789	0,43	06 211	0,43	5
56	81 636	23	87 822	18	93 814	42	06 186	42	4
57	81 651	25	87 811	18	93 840	43	06 160	43	3
58	81 665	23	87 800	18	93 865	42	06 135	42	2
59	81 680	25	87 789	18	93 891	43	06 109	43	1
60'	1,81 694	0,23	1,87 778	0,18	1,93 916	0,42	0,06 084	0,42	0'
	lg cos	-d 1"	lg sin	+d 1"	lg cotg	-d 1"	lg tg	+d 1"	49°

P. P.

d 1"	0,17	0,18	0,23	0,25	0,42	0,43
6"	1,0	1,1	1,4	1,5	2,5	2,6
7	1,2	1,3	1,6	1,8	2,9	3,0
8	1,3	1,5	1,9	2,0	3,3	3,5
9	1,5	1,7	2,1	2,3	3,8	3,9
10	1,7	1,8	2,3	2,5	4,2	4,3
20	3,3	3,7	4,7	5,0	8,3	8,7
30	5,0	5,5	7,0	7,5	12,5	13,0
40	6,7	7,3	9,3	10,0	16,7	17,3
50	8,3	9,2	11,7	12,5	20,8	21,7

49°

41°

41°	lg sin	+d 1"	lg cos	-d 1"	lg tg	+d 1"	lg cotg	-d 1"
0'	1,81 694	0,25	1,87 778	0,18	1,93 916	0,43	0,06 084	0,43
1	81 709	23	87 767	18	93 942	42	06 058	42
2	81 723	25	87 756	18	93 967	43	06 033	43
3	81 738	23	87 745	18	93 993	42	06 007	42
4	81 752	23	87 734	18	94 018	42	05 982	42
5	81 767	0,25	87 723	0,18	94 044	0,43	05 956	0,43
6	81 781	23	87 712	18	94 069	42	05 931	42
7	81 796	25	87 701	18	94 095	43	05 905	43
8	81 810	23	87 690	18	94 120	42	05 880	42
9	81 825	25	87 679	18	94 146	43	05 854	43
10'	1,81 839	0,23	1,87 668	0,18	1,94 171	0,42	0,05 829	0,42
11	81 854	25	87 657	18	94 197	43	05 803	43
12	81 868	23	87 646	18	94 222	42	05 778	42
13	81 882	23	87 635	18	94 248	43	05 752	43
14	81 897	25	87 624	18	94 273	42	05 727	42
15	81 911	0,23	87 613	0,18	94 299	0,43	05 701	0,43
16	81 926	25	87 601	20	94 324	42	05 676	42
17	81 940	23	87 590	18	94 350	43	05 650	43
18	81 955	25	87 579	18	94 375	42	05 625	42
19	81 969	23	87 568	18	94 401	43	05 599	43
20'	1,81 983	0,23	1,87 557	0,18	1,94 426	0,42	0,05 574	0,42
21	81 998	25	87 546	18	94 452	43	05 548	43
22	82 012	23	87 535	18	94 477	42	05 523	42
23	82 026	23	87 524	18	94 503	43	05 497	43
24	82 041	25	87 513	18	94 528	42	05 472	42
25	82 055	0,23	87 501	0,20	94 554	0,43	05 446	0,43
26	82 069	23	87 490	18	94 579	42	05 421	42
27	82 084	25	87 479	18	94 604	42	05 396	42
28	82 098	23	87 468	18	94 630	43	05 370	43
29	82 112	23	87 457	18	94 655	42	05 345	42
30'	1,82 126	0,23	1,87 446	0,18	1,94 681	0,43	0,05 319	0,43
	lg cos	-d 1"	lg sin	+d 1"	lg cotg	-d 1"	lg tg	+d 1"

P. P.

d 1"	0,18	0,20	0,23	0,25	0,42	0,43
6"	1,1	1,2	1,4	1,5	2,5	2,6
7	1,3	1,4	1,6	1,8	2,9	3,0
8	1,5	1,6	1,9	2,0	3,3	3,5
9	1,7	1,8	2,1	2,3	3,8	3,9
10	1,8	2,0	2,3	2,5	4,2	4,3
20	3,7	4,0	4,7	5,0	8,3	8,7
30	5,5	6,0	7,0	7,5	12,5	13,0
40	7,3	8,0	9,3	10,0	16,7	17,3
50	9,2	10,0	11,7	12,5	20,8	21,7

48°

41°

41°	lg sin	+d 1"	lg cos	-d 1"	lg tg	+d 1"	lg cotg	-d 1"
30'	1,82 126		1,87 446		1,94 681		0,05 319	
31	82 141	0,25	87 434	0,20	94 706	0,42	05 294	0,42
32	82 155	23	87 423	18	94 732	43	05 268	43
33	82 169	23	87 412	18	94 757	42	05 243	42
34	82 184	25	87 401	18	94 783	43	05 217	43
35	82 198	0,23	87 390	0,18	94 808	0,42	05 192	0,42
36	82 212	23	87 378	20	94 834	43	05 166	43
37	82 226	23	87 367	18	94 859	42	05 141	42
38	82 240	23	87 356	18	94 884	42	05 116	42
39	82 255	25	87 345	18	94 910	43	05 090	43
40'	1,82 269	0,23	1,87 334	0,18	1,94 935	0,42	0,05 065	0,42
41	82 283	23	87 322	20	94 961	43	05 039	43
42	82 297	23	87 311	18	94 986	42	05 014	42
43	82 311	23	87 300	18	95 012	43	04 988	43
44	82 326	25	87 288	20	95 037	42	04 963	42
45	82 340	0,23	87 277	0,18	95 062	0,42	04 938	0,42
46	82 354	23	87 266	18	95 088	43	04 912	43
47	82 368	23	87 255	18	95 113	42	04 887	42
48	82 382	23	87 243	20	95 139	43	04 861	43
49	82 396	25	87 232	18	95 164	42	04 836	42
50'	1,82 410	0,23	1,87 221	0,18	1,95 190	0,43	0,04 810	0,43
51	82 424	23	87 209	20	95 215	42	04 785	42
52	82 439	25	87 198	18	95 240	42	04 760	42
53	82 453	23	87 187	18	95 266	43	04 734	43
54	82 467	23	87 175	20	95 291	42	04 709	42
55	82 481	0,23	87 164	0,18	95 317	0,43	04 683	0,43
56	82 495	23	87 153	18	95 342	42	04 658	42
57	82 509	23	87 141	20	95 368	43	04 632	43
58	82 523	23	87 130	18	95 393	42	04 607	42
59	82 537	23	87 119	18	95 418	42	04 582	42
60'	1,82 551	0,23	1,87 107	0,20	1,95 444	0,43	0,04 556	0,43
	lg cos	-d 1"	lg sin	+d 1"	lg cotg	-d 1"	lg tg	+d 1"

P. P.

d 1"	0,18	0,20	0,23	0,25	0,42	0,43
6"	1,1	1,2	1,4	1,5	2,5	2,6
7	1,3	1,4	1,6	1,8	2,9	3,0
8	1,5	1,6	1,9	2,0	3,3	3,5
9	1,7	1,8	2,1	2,3	3,8	3,9
10	1,8	2,0	2,3	2,5	4,2	4,3
20	3,7	4,0	4,7	5,0	8,3	8,7
30	5,5	6,0	7,0	7,5	12,5	13,0
40	7,3	8,0	9,3	10,0	16,7	17,3
50	9,2	10,0	11,7	12,5	20,8	21,7

48°

42°

-42°	lg sin	+d 1"	lg cos	-d 1"	lg tg	+d 1"	lg cotg	-d 1"	
0'	1,82 551		1,87 107		1,95 444		0,04 556		60'
1	82 565	0,23	87 096	0,18	95 469	0,42	04 531	0,42	59
2	82 579	23	87 085	20	95 495	43	04 505	43	58
3	82 593	23	87 073	18	95 520	42	04 480	42	57
4	82 607	23	87 062	18	95 545	42	04 455	42	56
5	82 621	0,23	87 050	0,20	95 571	0,43	04 429	0,43	55
6	82 635	23	87 039	18	95 596	42	04 404	42	54
7	82 649	23	87 028	18	95 622	43	04 378	43	53
8	82 663	23	87 016	20	95 647	42	04 353	42	52
9	82 677	23	87 005	18	95 672	42	04 328	42	51
10'	1,82 691	0,23	1,86 993	0,20	1,95 698	0,43	0,04 302	0,43	50'
11	82 705	23	86 982	18	95 723	42	04 277	42	49
12	82 719	23	86 970	20	95 748	42	04 252	42	48
13	82 733	23	86 959	18	95 774	43	04 226	43	47
14	82 747	23	86 947	20	95 799	42	04 201	42	46
15	82 761	0,23	86 936	0,18	95 825	0,43	04 175	0,43	45
16	82 775	23	86 924	20	95 850	42	04 150	42	44
17	82 788	22	86 913	18	95 875	42	04 125	42	43
18	82 802	23	86 902	18	95 901	43	04 099	43	42
19	82 816	23	86 890	20	95 926	42	04 074	42	41
20'	1,82 830	0,23	1,86 879	0,18	1,95 952	0,43	0,04 048	0,43	40'
21	82 844	23	86 867	20	95 977	42	04 023	42	39
22	82 858	23	86 855	20	96 002	42	03 998	42	38
23	82 872	23	86 844	18	96 028	43	03 972	43	37
24	82 885	22	86 832	20	96 053	42	03 947	42	36
25	82 899	0,23	86 821	0,18	96 078	0,42	03 922	0,42	35
26	82 913	23	86 809	20	96 104	43	03 922	43	34
27	82 927	23	86 798	18	96 129	42	03 896	42	33
28	82 941	23	86 786	20	96 155	43	03 871	43	32
29	82 955	23	86 775	18	96 180	42	03 845	42	31
30'	1,82 968	0,22	1,86 763	0,20	1,96 205	0,42	0,03 795	0,42	30'
	lg cos	-d 1"	lg sin	+d 1"	lg cotg	-d 1"	lg tg	+d 1"	47°

P. P.

d 1"	0,18	0,20	0,22	0,23	0,42	0,43
6"	1,1	1,2	1,3	1,4	2,5	2,6
7	1,3	1,4	1,5	1,6	2,9	3,0
8	1,5	1,6	1,7	1,9	3,3	3,5
9	1,7	1,8	2,0	2,1	3,8	3,9
10	1,8	2,0	2,2	2,3	4,2	4,3
20	3,7	4,0	4,3	4,7	8,3	8,7
30	5,5	6,0	6,5	7,0	12,5	13,0
40	7,3	8,0	8,7	9,3	16,7	17,3
50	9,2	10,0	10,8	11,7	20,8	21,7

47°

42°

42°	lg sin	+d 1"	lg cos	-d 1"	lg tg	+d 1"	lg cotg	-d 1"	
30'	1,82 968	0,23	1,86 763	0,18	1,96 205	0,43	0,03 795	0,43	30'
31	82 982	23	86 752	20	96 231	42	03 769	42	29
32	82 996	23	86 740	20	96 256	42	03 744	42	28
33	83 010	22	86 728	18	96 281	43	03 719	43	27
34	83 023	0,23	86 717	0,20	96 307	0,42	03 693	0,42	26
35	83 037	23	86 705	18	96 332	42	03 668	42	25
36	83 051	23	86 694	20	96 357	43	03 643	43	24
37	83 065	22	86 682	20	96 383	42	03 617	42	23
38	83 078	23	86 670	18	96 408	42	03 592	42	22
39	83 092	0,23	86 659	0,20	96 433	0,43	03 567	0,43	21
40'	1,83 106	23	1,86 647	20	1,96 459	42	0,03 541	42	20'
41	83 120	22	86 635	18	96 484	43	03 516	43	19
42	83 133	23	86 624	20	96 510	42	03 490	42	18
43	83 147	23	86 612	20	96 535	42	03 465	42	17
44	83 161	0,22	86 600	0,18	96 560	0,43	03 440	0,43	16
45	83 174	23	86 589	20	96 586	42	03 414	42	15
46	83 188	23	86 577	20	96 611	42	03 389	42	14
47	83 202	22	86 565	18	96 636	43	03 364	43	13
48	83 215	23	86 554	20	96 662	42	03 338	42	12
49	83 229	0,22	86 542	0,20	96 687	0,42	03 313	0,42	11
50'	1,83 242	23	1,86 530	20	1,96 712	43	0,03 288	43	10'
51	83 256	23	86 518	18	96 738	42	03 262	42	9
52	83 270	22	86 507	20	96 763	42	03 237	42	8
53	83 283	23	86 495	20	96 788	43	03 212	43	7
54	83 297	0,22	86 483	0,18	96 814	0,42	03 186	0,42	6
55	83 310	23	86 472	20	96 839	42	03 161	42	5
56	83 324	23	86 460	20	96 864	43	03 136	43	4
57	83 338	22	86 448	20	96 890	42	03 110	42	3
58	83 351	23	86 436	18	96 915	42	03 085	42	2
59	83 365	0,22	86 425	0,20	96 940	0,43	03 060	0,43	1
60'	1,83 378		1,86 413		1,96 966		0,03 034		0'
	lg cos	-d 1"	lg sin	+d 1"	lg cotg	-d 1"	lg tg	+d 1"	47°

P. P.

d 1"	0,18	0,20	0,22	0,23	0,42	0,43
6"	1,1	1,2	1,3	1,4	2,5	2,6
7	1,3	1,4	1,5	1,6	2,9	3,0
8	1,5	1,6	1,7	1,9	3,3	3,5
9	1,7	1,8	2,0	2,1	3,8	3,9
10	1,8	2,0	2,2	2,3	4,2	4,3
20	3,7	4,0	4,3	4,7	8,3	8,7
30	5,5	6,0	6,5	7,0	12,5	13,0
40	7,3	8,0	8,7	9,3	16,7	17,3
50	9,2	10,0	10,8	11,7	20,8	21,7

47°

43°

43°	lg sin	+d 1"	lg cos	-d 1"	lg tg	+d 1"	lg cotg	-d 1"	
0'	1,83 378	0,23	1,86 413	0,20	1,96 966	0,42	0,03 034	0,42	60'
1	83 392	22	86 401	20	96 991	42	03 009	42	59
2	83 405	23	86 389	20	97 016	42	02 984	42	58
3	83 419	23	86 377	20	97 042	43	02 958	43	57
4	83 432	22	86 366	18	97 067	42	02 933	42	56
5	83 446	0,23	86 354	0,20	97 092	0,42	02 908	0,42	55
6	83 459	22	86 342	20	97 118	43	02 882	43	54
7	83 473	23	86 330	20	97 143	42	02 857	42	53
8	83 486	22	86 318	20	97 168	42	02 832	42	52
9	83 500	23	86 306	20	97 193	42	02 807	42	51
10'	1,83 513	0,22	1,86 295	0,18	1,97 219	0,43	0,02 781	0,43	50'
11	83 527	23	86 283	20	97 244	42	02 756	42	49
12	83 540	22	86 271	20	97 269	42	02 731	42	48
13	83 554	23	86 259	20	97 295	43	02 705	43	47
14	83 567	22	86 247	20	97 320	42	02 680	42	46
15	83 581	0,23	86 235	0,20	97 345	0,42	02 655	0,42	45
16	83 594	22	86 223	20	97 371	43	02 629	43	44
17	83 608	23	86 211	20	97 396	42	02 604	42	43
18	83 621	22	86 200	18	97 421	42	02 579	42	42
19	83 634	22	86 188	20	97 447	43	02 553	43	41
20'	1,83 648	0,23	1,86 176	0,20	1,97 472	0,42	0,02 528	0,42	40'
21	83 661	22	86 164	20	97 497	42	02 503	42	39
22	83 674	22	86 152	20	97 523	43	02 477	43	38
23	83 688	23	86 140	20	97 548	42	02 452	42	37
24	83 701	22	86 128	20	97 573	42	02 427	42	36
25	83 715	0,23	86 116	0,20	97 598	0,42	02 402	0,42	35
26	83 728	22	86 104	20	97 624	43	02 376	43	34
27	83 741	22	86 092	20	97 649	42	02 351	42	33
28	83 755	23	86 080	20	97 674	42	02 326	42	32
29	83 768	22	86 068	20	97 700	43	02 300	43	31
30'	1,83 781	0,22	1,86 056	0,20	1,97 725	0,42	0,02 275	0,42	30'
	lg cos	-d 1"	lg sin	+d 1"	lg cotg	-d 1"	lg tg	+d 1"	46°

P. P.

d 1"	0,18	0,20	0,22	0,23	0,42	0,43
6"	1,1	1,2	1,3	1,4	2,5	2,6
7	1,3	1,4	1,5	1,6	2,9	3,0
8	1,5	1,6	1,7	1,9	3,3	3,5
9	1,6	1,8	2,0	2,1	3,8	3,9
10	1,8	2,0	2,2	2,3	4,2	4,3
20	3,7	4,0	4,3	4,7	8,3	8,7
30	5,5	6,0	6,5	7,0	12,5	13,0
40	7,3	8,0	8,7	9,3	16,7	17,3
50	9,2	10,0	10,8	11,7	20,8	21,7

46°

43°

43'	lg sin	+d 1"	lg cos	-d 1"	lg tg	+d 1"	lg cotg	-d 1"
30'	1,83 781	0,23	1,86 056	0,20	1,97 725	0,42	0,02 275	0,42
31	83 795	22	86 044	20	97 750	43	02 250	43
32	83 808	22	86 032	20	97 776	42	02 224	42
33	83 821	22	86 020	20	97 801	42	02 199	42
34	83 834	22	86 008	20	97 826	42	02 174	42
35	83 848	0,23	85 996	0,20	97 851	0,42	02 149	0,42
36	83 861	22	85 984	20	97 877	43	02 123	43
37	83 874	22	85 972	20	97 902	42	02 098	42
38	83 887	22	85 960	20	97 927	42	02 073	42
39	83 901	23	85 948	20	97 953	43	02 047	43
40'	1,83 914	0,22	1,85 936	0,20	1,97 978	0,42	0,02 022	0,42
41	83 927	22	85 924	20	98 003	42	01 997	42
42	83 940	22	85 912	20	98 029	43	01 971	43
43	83 954	23	85 900	20	98 054	42	01 946	42
44	83 967	22	85 888	20	98 079	42	01 921	42
45	83 980	0,22	85 876	0,20	98 104	0,42	01 896	0,42
46	83 993	22	85 864	20	98 130	43	01 870	43
47	84 006	22	85 851	22	98 155	42	01 845	42
48	84 020	23	85 839	20	98 180	42	01 820	42
49	84 033	22	85 827	20	98 206	43	01 794	43
50'	1,84 046	0,22	1,85 815	0,20	1,98 231	0,42	0,01 769	0,42
51	84 059	22	85 803	20	98 256	42	01 744	42
52	84 072	22	85 791	20	98 281	42	01 719	42
53	84 085	22	85 779	20	98 307	43	01 693	43
54	84 098	22	85 766	22	98 332	42	01 668	42
55	84 112	0,23	85 754	0,20	98 357	0,42	01 643	0,42
56	84 125	22	85 742	20	98 383	43	01 617	43
57	84 138	22	85 730	20	98 408	42	01 592	42
58	84 151	22	85 718	20	98 433	42	01 567	42
59	84 164	22	85 706	20	98 458	42	01 542	42
60'	1,84 177	0,22	1,85 693	0,22	1,98 484	0,43	0,01 516	0,43
lg cos	-d 1"	lg sin	+d 1"	lg cotg	-d 1"	lg tg	+d 1"	46°

P. P.

d 1"	0,20	0,22	0,23	0,42	0,43
6"	1,2	1,3	1,4	2,5	2,6
7	1,4	1,5	1,6	2,9	3,0
8	1,6	1,7	1,9	3,3	3,5
9	1,8	2,0	2,1	3,8	3,9
10	2,0	2,2	2,3	4,2	4,3
20	4,0	4,3	4,7	8,3	8,7
30	6,0	6,5	7,0	12,5	13,0
40	8,0	8,7	9,3	16,7	17,3
50	10,0	10,8	11,7	20,8	21,7

46°

44°

44°	lg sin	+d 1"	lg cos	-d 1"	lg tg	+d 1"	lg cotg	-d 1"	
0'	1,84 177		1,85 693		1,98 484		0,01 516		60'
1	84 190	0,22	85 681	0,20	98 509	0,42	01 491	0,42	59
2	84 203	22	85 669	20	98 534	42	01 466	42	58
3	84 216	22	85 657	20	98 560	43	01 440	43	57
4	84 229	22	85 645	20	98 585	42	01 415	42	56
5	84 242	0,22	85 632	0,22	98 610	0,42	01 390	0,42	55
6	84 255	22	85 620	20	98 635	42	01 365	42	54
7	84 269	23	85 608	20	98 661	43	01 339	43	53
8	84 282	22	85 596	20	98 686	42	01 314	42	52
9	84 295	22	85 583	22	98 711	42	01 289	42	51
10'	1,84 308	0,22	1,85 571	0,20	1,98 737	0,43	0,01 263	0,43	50'
11	84 321	22	85 559	20	98 762	42	01 238	42	49
12	84 334	22	85 547	20	98 787	42	01 213	42	48
13	84 347	22	85 534	22	98 812	42	01 188	42	47
14	84 360	22	85 522	20	98 838	43	01 162	43	46
15	84 373	0,22	85 510	0,20	98 863	0,42	01 137	0,42	45
16	84 385	20	85 497	22	98 888	42	01 112	42	44
17	84 398	22	85 485	20	98 913	42	01 087	42	43
18	84 411	22	85 473	20	98 939	43	01 061	43	42
19	84 424	22	85 460	22	98 964	42	01 036	42	41
20'	1,84 437	0,22	1,85 448	0,20	1,98 989	0,42	0,01 011	0,42	40'
21	84 450	22	85 436	20	99 015	43	00 985	43	39
22	84 463	22	85 423	22	99 040	42	00 960	42	38
23	84 476	22	85 411	20	99 065	42	00 935	42	37
24	84 489	22	85 399	20	99 090	42	00 910	42	36
25	84 502	0,22	85 386	0,22	99 116	0,43	00 884	0,43	35
26	84 515	22	85 374	20	99 141	42	00 859	42	34
27	84 528	22	85 361	22	99 166	42	00 834	42	33
28	84 540	20	85 349	20	99 191	42	00 809	42	32
29	84 553	22	85 337	20	99 217	43	00 783	43	31
30'	1,84 566	0,22	1,85 324	0,22	1,99 242	0,42	0,00 758	0,42	30'
	lg cos	-d 1"	lg sin	+d 1"	lg cotg	-d 1"	lg tg	+d 1"	45°

P. P.

d 1"	0,20	0,22	0,23	0,42	0,43
6"	1,2	1,3	1,4	2,5	2,6
7	1,4	1,5	1,6	2,9	3,0
8	1,6	1,7	1,9	3,3	3,5
9	1,8	2,0	2,1	3,8	3,9
10	2,0	2,2	2,3	4,2	4,3
20	4,0	4,3	4,7	8,3	8,7
30	6,0	6,5	7,0	12,5	13,0
40	8,0	8,7	9,3	16,7	17,3
50	10,0	10,8	11,7	20,8	21,7

45°

44°

44°	lg sin	+d 1"	lg cos	-d 1"	lg tg	+d 1"	lg cotg	-d 1"	
30'	1,84 566	0,22	1,85 324	0,20	1,99 242	0,42	0,00 758	0,42	30
31	84 579	22	85 312	22	99 267	43	00 733	43	29
32	84 592	22	85 299	20	99 293	42	00 707	42	28
33	84 605	22	85 287	22	99 318	42	00 682	42	27
34	84 618	22	85 274	22	99 343	42	00 657	42	26
35	84 630	0,20	85 262	0,20	99 368	0,42	00 632	0,42	25
36	84 643	22	85 250	20	99 394	43	00 606	43	24
37	84 656	22	85 237	22	99 419	42	00 581	42	23
38	84 669	22	85 225	20	99 444	42	00 556	42	22
39	84 682	22	85 212	22	99 469	42	00 531	42	21
40'	1,84 694	0,20	1,85 200	0,20	1,99 495	0,43	0,00 505	0,43	20
41	84 707	22	85 187	22	99 520	42	00 480	42	19
42	84 720	22	85 175	20	99 545	42	00 455	42	18
43	84 733	22	85 162	22	99 570	42	00 430	42	17
44	84 745	20	85 150	20	99 596	43	00 404	43	16
45	84 758	0,22	85 137	0,22	99 621	0,42	00 379	0,42	15
46	84 771	22	85 125	20	99 646	42	00 354	42	14
47	84 784	22	85 112	22	99 672	43	00 328	43	13
48	84 796	20	85 100	20	99 697	42	00 303	42	12
49	84 809	22	85 087	22	99 722	42	00 278	42	11
50'	1,84 822	0,22	1,85 074	0,22	1,99 747	0,42	0,00 253	0,42	10
51	84 835	22	85 062	20	99 773	43	00 227	43	9
52	84 847	20	85 049	22	99 798	42	00 202	42	8
53	84 860	22	85 037	20	99 823	42	00 177	42	7
54	84 873	22	85 024	22	99 848	42	00 152	42	6
55	84 885	0,20	85 012	0,20	99 874	0,43	00 126	0,43	5
56	84 898	22	84 999	22	99 899	42	00 101	42	4
57	84 911	22	84 986	22	99 924	42	00 076	42	3
58	84 923	20	84 974	20	99 949	42	00 051	42	2
59	84 936	22	84 961	22	99 975	43	00 025	43	1
60'	1,84 949	0,22	1,84 949	0,20	0,00 000	0,42	0,00 000	0,42	0
	lg cos	-d 1"	lg sin	+d 1"	lg cotg	-d 1"	lg tg	+d 1"	45°

P. P.

d 1"	0,20	0,22	0,42	0,43
6"	1,2	1,3	2,5	2,6
7	1,4	1,5	2,9	3,0
8	1,6	1,7	3,3	3,5
9	1,8	2,0	3,8	3,9
10	2,0	2,2	4,2	4,3
20	4,0	4,3	8,3	8,7
30	6,0	6,5	12,5	13,0
40	8,0	8,7	16,7	17,3
50	10,0	10,8	20,8	21,7

45°



1871

Notății

- A — arie (suprafață), număr de masă (număr nucleonic).
 a — accelerația mișcării rectilinii.
 B — inducția magnetică, strălucirea.
 C — concentrația, capacitatea calorică, capacitatea electrostatică.
 $^{\circ}\text{C}$ — grade Celsius (centigrade).
 c — căldura specifică (capacitatea calorică specifică), viteza luminii în vid.
 D — coeficientul de difuzie.
 d — simbolul deuteronului în fizica nucleară, distanța, densitatea relativă a corpurilor solide.
 E — densitatea de energie acustică, modulul de elasticitate (modulul lui Young), iluminarea, intensitatea cîmpului electric, tensiunea electromotoare.
 e — sarcina electronului, simbolul electronului în fizica nucleară.
 F — forța, numărul lui Faraday.
 f — frecvența oscilațiilor.
 G — greutatea unui corp în vid.
 g — accelerația căderii libere (accelerația gravitației).
 g_n — valoarea normală a accelerației căderii libere.
 H — înălțimea barometrului, intensitatea cîmpului magnetic, componenta orizontală a magnetismului terestru.
 h — constanta lui Planck.
 I — intensitatea curentului, intensitatea luminii.
 J — momentul de inerție, echivalentul mecanic al caloriei,
 K — coeficientul de transfer termic.
 $^{\circ}\text{K}$ — grade absolute (grade Kelvin).
 k — constanta lui Boltzmann.
 L — lucrul mecanic, inductanța, căldura latentă, cantitatea de iluminare.
 l — lungimea, căldura latentă specifică.
 M — masa moleculară.
 M_A — masa atomică.
 M_r — masa atomică relativă.
 m — masa.
 m_H — masa atomului de hidrogen.

- m_n — masa neutronului.
 m_p — masa protonului.
 m_e — masa de repaus a electronului.
 N — numărul lui Avogadro.
 n — indicele de refracție a luminii; simbolul neutronului în fizica nucleară.
 P — greutatea unui corp în aer, puterea.
 p — presiunea, simbolul protonului în fizica nucleară.
 Q — cantitatea de căldură, cantitatea de lumină, energia reacțiilor nucleare.
 q — sarcina electrică.
 R — constanta gazelor perfecte, rezistența electrică, constanta lui Rydberg, radianța.
 r — rază, eroare probabilă a măsurărilor.
 s — deplasare (drum) în mișcarea de translație.
 S — entropia specifică, entropia, aria (suprafața).
 T — Timp, perioadă, temperatura absolută.
 T_1
 $\frac{2}{2}$ — timpul de înjumătățire prin dezintegrare al substanțelor radio-active.
 t — timp, temperatura în scara Celsius.
 U — diferența de potențial electric (tensiunea electrică).
 u — viteza moleculelor, mobilitatea ionilor.
 \bar{u} — viteza medie a mișcării moleculare.
 V — volum, potențial electric.
 V_0 — volumul molar (volumul unei molecule-gram)
 v — viteza în mișcarea rectilinie, volum specific.
 W — energie.
 Z — număr atomic (număr de ordine).
 α — coeficientul de dilatare liniară a corpurilor, coeficientul de întindere (alungire), accelerația unghiulară, coeficientul de cedare termică, simbolul particulei α în fizica nucleară.
 β — simbolul particulei β în fizica nucleară, coeficientul de compresie (contractie) transversală.
 γ — greutatea specifică, coeficientul de dilatare în volum.
 δ — eroarea relativă a măsurărilor.
 ε — eroarea absolută a măsurărilor.
 η — coeficientul de frecare internă, viscozitate dinamică.
 λ — coeficientul de conductivitate termică, lungimea de undă.
 μ — coeficientul de contractie transversală (coeficientul lui Poisson), permeabilitatea magnetică.
 ν — frecvența oscilațiilor, viscozitatea cinematică.
 ρ — densitatea (masa specifică), rezistivitatea.
 σ — coeficientul de tensiune superficială, eroarea medie pătratică a măsurărilor.
 Φ — fluxul luminos.
 φ — deplasarea unghiulară.
 χ — susceptibilitatea magnetică.
 ω — viteza unghiulară.

2.1

Mărimile fizice, dimensiunile și unitățile lor de măsură

§ 2.1. Sistemul metric de măsură și sistemele fundamentale de unități

Ca mărimi fundamentale în sistemul metric, elaborat la sfârșitul secolului XVIII de o comisie de oameni de știință francezi, au fost alese *lungimea L*, *masa M* și *timpul T*, iar ca unități de măsură a acestor mărimi au fost alese *metrul*, *gramul* (apoi kilogramul) și *secunda*. În legătură cu aceste unități trebuie făcute următoarele observații.

1. Ca unitate fundamentală de lungime, numită *metru*, comisia franceză a hotărât să aleagă lungimea egală cu a zecea milioane parte din sfertul meridianului pământesc. Pe baza rezultatelor măsurărilor geodezice corespunzătoare s-a preparat din platină primul etalon al metrului, care a primit după aceea denumirea de *prototip de arhivă al metrului* sau „*metru de arhivă*”. Lungimea lui la 0°C s-a luat inițial egală cu 10^{-7} parte dintr-un sfert din meridianul pământesc, însă din cercetările ulterioare s-a văzut că lungimea metrului de arhivă este ceva mai mică decât această mărime, deși diferența este foarte mică.

2. Ca unitate fundamentală de masă, numită *gram*, comisia franceză a hotărât să ia masa apei pure (distilate), al cărei volum la 4°C (temperatura apei la densitate maximă) este egal cu un centimetru cub. Primul etalon al unității de masă, egal cu 1 000 g, făcut din platină, a primit denumirea de *kilogram*. Masa sa a fost luată egală cu masa apei pure, care are la 4°C volum egal cu 1 000 cm³. Acest prim etalon al kilogramului a primit denumirea de *prototip de arhivă al kilogramului* sau „*kilogram internațional*”. Ulterior s-a constatat că kilogramul de arhivă are o masă ceva mai mare decât s-a presupus inițial; în prezent se consideră că kilogramul de arhivă corespunde unei mase de apă, care are la 4°C un volum egal cu 1 000,028 cm³.

3. Unitatea fundamentală de timp, *secunda*, a fost definită de comisia franceză ca intervalul de timp egal cu $1/24 \cdot 60 \cdot 60$, adică $1/86400$ din ziua solară medie.

În 1889 a fost convocată la Paris prima Conferință Generală de Măsură și Greutăți, care a studiat problemele stabilirii definitive a unităților fundamentale de *lungime (L)*, *masă (M)* și *timp (T)*. Unitatea de timp *secunda* și definiția ei au fost lăsate fără modificări importante; în ceea ce privește unitățile pentru *L* și *M*, la conferință s-a hotărât să se aleagă ca unități fundamentale de lungime și masă, lungimea metrului de arhivă și masa kilogramului de arhivă, deși ele nu mai corespundeau definiției lor inițiale. Ulterior s-au făcut copii cât mai exacte ale modelelor metrului și kilogramului de arhivă. Ca material pentru copii s-a folosit un aliaj de 90% platină și 10% iridiu, care posedă o rigiditate suficientă, un coeficient mic de dilatare termică

și o rezistență chimică foarte mare. Două din cele mai bune copii ale metrului și kilogramului, adică exemplarele care corespund cel mai bine modelelor de arhivă, au fost predate la Biroul Internațional de Măsură și Greutăți, unde se păstrează ca etaloane internaționale de unități de lungime și masă; celelalte copii au fost distribuite statelor, care au participat la crearea Biroului Internațional, și servesc în fiecare stat ca etaloane naționale de metru și kilogram. Diferențele foarte mici dintre diferitele copii-etalon, cercetate minuțios, au o importanță foarte mică în condițiile dezvoltării moderne a tehnicii și a metodelor de măsură.

În 1960 a fost convocată cea de a 11-a Conferință Generală de Măsură și Greutăți care a adoptat ca unic sistem de măsurare, sistemul bazat pe șase mărimi fundamentale și anume: lungimea, masa, timpul, intensitatea curentului electric, temperatura termodinamică și intensitatea luminoasă. Totodată s-a stabilit ca acest sistem să se numească Sistem Internațional de unități de măsură, avînd prescurtarea internațională SI, iar denumirile multiplilor și submultiplilor să fie alcătuite cu ajutorul prefixelor. Conform H.C.M. 550 din 30.VIII.1961 și STAS 737-62, SI este singurul sistem de unități de măsură legal și obligatoriu în R.P.R. Unitățile sistemului SI sînt:

Metru (m) este lungimea egală cu 1 650 763,73 lungimi de undă, în vid, ale radiației care corespunde tranziției atomului de kripton 86 între nivelele sale $2p_{10}$ și $5d_5$.

Kilogramul (kg) este masa „kilogramului internațional”, prototip de platină iridiată adoptat în 1889 de Conferința Generală de Măsură și Greutăți și păstrat la Biroul Internațional de Măsură și Greutăți de la Sèvres-Franța.

Secunda (s) este fracțiunea $1/31556925,9747$ din anul tropic pentru 1900 ianuarie 0, la orele 12 ale timpului efemeridelor¹⁾.

Amperul (A) este intensitatea unui curent electric constant, care menținut în doi conductori paraleli, rectilinii, de lungime infinită și de secțiune circulară neglijabilă, așezați în vid la o distanță de un metru unul de altul, ar produce între acești doi conductori o forță egală cu $2 \cdot 10^{-7} \text{ kg} \cdot \text{m} \cdot \text{s}^{-2}$ (newtoni) pe metru de lungime.

Gradul Kelvin ($^{\circ}\text{K}$) este unitatea de măsură în scara termodinamică în care pentru punctul triplu al apei s-a atribuit valoarea numerică de 273,16.

Candela (cd) este intensitatea luminoasă, emisă în direcție normală, la temperatura de solidificare a platinei și presiunea atmosferică normală, de către suprafața unui radiator integral (corp negru) cu aria $1/600000 \text{ m}^2$.

Denumirile multiplilor și submultiplilor unităților fundamentale se formează din denumirile acestora cu ajutorul unor prefixe. Aceste prefixe și simbolurile lor sînt date în tabela 2.1 (vezi STAS 669-61).

Pentru unitățile derivate mai mari decît secunda s-au păstrat denumirile și definițiile vechi, corespunzătoare multiplului de 12: *minutul* (min), *ora* (h), *ziua* (d).

¹⁾ Definiția anului tropic și definiția timpului efemeridelor sînt arătate în STAS 3331-62.

T a b e l a 2.1. Prefixe și simboluri

Prefixe	Simboluri	Factorii cu care sînt înmulțite unitățile de referință	
pico	p	10^{-12}	sau 0,000 000 000 001
nano	n	10^{-9}	sau 0,000 000 001
micro	μ	10^{-6}	sau 0,000 001
mili	m	10^{-3}	sau 0,001
centi	c	10^{-2}	sau 0,01
deci	d	10^{-1}	sau 0,1
deca	da	10^1	sau 10
hecto	h	10^2	sau 100
kilo	k	10^3	sau 1 000
mega	M	10^6	sau 1 000 000
giga	G	10^9	sau 1 000 000 000
tera	T	10^{12}	sau 1 000 000 000 000

Sistemul metric de măsură a fost în prezent adoptat peste tot, însă în unele țări, de exemplu în Anglia și America, se folosesc unități de măsură vechi alături de cele metrice, în special în tehnică (vezi Anexe).

Sistemul metric de măsură a servit ca bază pentru elaborarea unor sisteme de unități, care se deosebesc atît prin mărimile unităților fundamentale cît și uneori prin alegerea lor. Dintre aceste sisteme de unități, mai importante sînt trei. În două din ele, ca mărimi fundamentale sînt alese *lungimea L*, *masa M* și *timpul T*. În al treilea sistem de unități, mărimile fundamentale sînt *lungimea L*, *forța F* și *timpul T*.

Primele două sisteme diferă între ele numai prin valorile unităților fundamentale; aceste două sisteme sînt:

a) Sistemul CGS care are unitățile fundamentale alese *centimetrul* (cm), *gramul* (g) și *secunda* (s).

b) Sistemul MKS care are ca unități fundamentale alese *metrul* (m), *kilogramul* (kg) și *secunda* (s); acest sistem, constituie o parte a sistemului SI.

În legătură cu această tabelă trebuie făcute următoarele observații:

1) Dimensiunile pătrate și cubice în sistemul metric se notează obișnuit, adică cu puterile 2 și 3 la simbolurile unităților respective, de exemplu, m^2 (metru pătrat), m^3 (metru cub) etc.

2) Nu toate prefixele sînt folosite în același mod, astfel: a) se obișnuiește să se spună zece grame, o sută de grame în loc de un decagram, un hectogram; b) foarte rar se folosesc denumirile unor unități derivate ca decametru, hectometru etc.

3) Unele unități derivate au primit denumiri speciale, din care se formează uneori alte unități derivate cu ajutorul aceluiași prefixe, astfel: a) volumul egal aproximativ cu $1\,000\text{ cm}^3$, sau 1 dm^3 , se numește *litru* (l); *litru* este unitatea fundamentală pentru volumul (capacitatea) vaselor și formează un sistem propriu de unități derivate, de exemplu, *decalitru* (dal), *decilitru* (dl), *mililitru* (ml) etc.; b) 100 m^2

se notează cu un ar (1 a), de unde rezultă unitatea derivată cunoscută *hectarul* (1 ha) = 100 ar; c) 100 kg și 1 000 kg se numesc respectiv *chintal* și *tonă* etc.

4) Derivatele unității de timp, *secunda*, care sînt mai mici decît ea, se denumesc după principiul diviziunii zecimale, cu ajutorul prefixelor respective, de exemplu, *milisecunda* (ms), egală cu 10^{-3} s, *microsecunda* (μ s), egală cu 10^{-6} s etc. Analog cu sistemul MKS de unități fundamentale este sistemul MTS în care unitățile sînt: metrul (m), tona (t) și secunda (s).

În al treilea sistem de unități, ca unități fundamentale sînt alese: *metrul* (m), *kilogramul-forță* (kgf) și *secunda* (s). Acest sistem de unități se numește MKfS; el mai purta și denumirea de *sistem tehnic*.

În tabela 2.2 sînt date măsurile fundamentale și unitățile fundamentale ale acestor trei sisteme.

Tabela 2.2. Mărimile și unitățile fundamentale ale sistemelor CGS, MKS și MKfS

Sistemul	Mărimile fundamentale	Unitățile fundamentale	Notăția
CGS	Lungimea L Masa M Timpul T	centimetrul gramul secunda	cm g s
MKS	Lungimea L Masa M Timpul T	metrul kilogramul secunda	m kg s
MKfS	Lungimea L Forța F Timpul T	metrul kilogramul-forță secunda	m kgf s

Astfel, numai unitatea de timp (s) este comună în toate cele trei sisteme. În ceea ce privește *formulele de dimensiuni*, în sistemele CGS și MKS ele sînt aceleași, dar diferă de cele din sistemul MKfS.

§ 2.2. Analiza dimensională

Mărimile fizice sînt legate între ele prin relații, care reprezintă *legi ale fenomenelor fizice* caracterizate prin mărimile respective.

Legat de aceasta, în legile fizice nu pot fi adunați algebric decît termeni de același fel (cu aceeași dimensiune), respectiv nu pot fi egalați decît termeni de același fel.

Ca urmare directă, rezultă așa-numitele *formule dimensionale* care se stabilesc pe baza legilor fizice și care arată că unitățile de măsură dintr-o relație ce exprimă o anumită lege fizică sînt legate între ele.

Astfel spre exemplu în mecanică, formula bine cunoscută a lui Newton care exprimă legea căderii corpurilor, leagă mărimile fizice forță, accelerație și masă. Notînd forța cu F , accelerația cu a și masa cu m , formula se scrie

$$F = m \cdot a. \quad (2.1)$$

Formula dimensională este o ecuație convențională, scrisă între paranteze drepte, care urmează formula ce reprezintă legea fizică și care exprimă faptul că dimensiunile fiecărui termen al egalității (și ale sumei atunci cînd este cazul) sînt egale

$$[F] = [m] \cdot [a]. \quad (2.2)$$

Ținînd seama de faptul că mărimile au dimensiuni care sînt legate între ele, în fizică s-a urmărit unificarea cît mai completă a dimensiunilor, unificare care să cuprindă toate capitolele fizicii.

Această tendință, care reprezintă astăzi rezultatul evoluției istorice (§ 2.1), a dus la *dimensiuni fundamentale* (legate de mărimile fundamentale) la un sistem format din: L (lungime); M (masă), T (timp), Θ (temperatura termodinamică) I (intensitatea curentului electric) și I' (intensitatea luminoasă), restul dimensiunilor (legate de celelalte mărimi derivate) denumite *dimensiuni derivate* fiind obținute din produsul primelor, ridicate fiecare la o anumită putere care poate fi întreagă sau fracționară, pozitivă sau negativă sau egală cu zero.

Astfel, de exemplu, în relația (2.2) avînd

$$[a] = L^1 M^0 T^{-2} \quad \Theta^0 I^0 I'^0 = L^1 T^{-2}, \quad (2.3)$$

rezultă

$$[F] = [m] [a] = L^1 M^1 T^{-2} I^0 I'^0 = L^1 M^1 T^{-2}. \quad (2.4)$$

În mod asemănător, pornind de la legea schimbului de căldură, pentru căldura specifică c , raportată la unitatea de masă se poate scrie

$$c = \frac{W}{m \cdot \Delta\theta}, \quad (2.5)$$

unde W este energia (sau lucrul mecanic), cu dimensiunea

$$[W] = L^2 M^1 T^{-2} \quad \Theta^0 I^0 I'^0 = L^2 M^1 T^{-2}. \quad (2.6)$$

m este masa, cu dimensiunea

$$[m] = L^0 M^1 T^0 \quad \Theta^0 I^0 I'^0 = M \quad (2.7)$$

și $\Delta\theta$ diferența de temperatură, cu dimensiunea

$$[\Delta\theta] = L^0 M^0 T^0 \quad \Theta^1 I^0 I'^0 = \Theta. \quad (2.8)$$

Cu aceasta, în baza relației (2.5), rezultă formula dimensională și dimensiunea căldurii specifice

$$[c] = \frac{[W]}{[m][\Delta\theta]} = L^2 M^{\circ} T^{-2} \Theta^{-1} I^{\circ} I^{\circ} = L^2 T^{-2} \Theta^{-1}. \quad (2.9)$$

În electricitate legea lui Ohm dă rezistența electrică R pentru relația

$$R = \frac{\Delta U}{I}, \quad (2.10)$$

în care I este intensitatea curentului electric și ΔU este căderea de tensiune, determinată în funcție de puterea consumată P_c

$$\Delta U = \frac{P_c}{I}, \quad (2.11)$$

astfel încît

$$R = \frac{P_c}{I^2} = \frac{W}{I^2 t}. \quad (2.12)$$

Dimensional, W este dat de relația (26), I este dat de

$$[I] = L^{\circ} M^{\circ} T^{\circ} \Theta^{\circ} I^{\circ} I^{\circ} = I \quad (2.13)$$

și t de

$$[t] = L^{\circ} M^{\circ} T^1 \Theta^{\circ} I^{\circ} I^{\circ} = t, \quad (2.14)$$

astfel încît, din (2.12) rezultă

$$[R] = \frac{[W]}{[I^2][t]} = L^2 M^1 T^{-3} \Theta^{\circ} I^{-2} I^{\circ} = L^2 M T^{-3} I^{-2}. \quad (2.15)$$

Tot astfel în optică legea care dă fluxul luminos Φ este

$$\Phi = I' \cdot \omega, \quad (2.16)$$

în care I' este intensitatea de radiație, iar ω unghiul solid în care se măsoară fluxul.

Cunoscînd că ω unghiul solid este fără dimensiuni:

$$[\omega] = L^{\circ} M^{\circ} T^{\circ} \Theta^{\circ} I^{\circ} I^{\circ}, \quad (2.17)$$

rezultă pentru fluxul luminos:

$$[\Phi] = [I'] = L^{\circ} M^{\circ} T^{\circ} \Theta^{\circ} I^{\circ} I^1 = I'. \quad (2.18)$$

Revenind în urma exemplelor date la partea generală, se arată că *pentru mărimile fundamentale se pot alege unități de măsură absolut arbitrare*, fără ca aceasta să afecteze în vreun fel scrierea legilor fizice, în formulele matematice.

În această situație însă mărimile derivate au unități de măsură determinate, schimbarea unităților de măsură necesitând introducerea în formulele care reprezintă legile fizice ale unor coeficienți dimensionali, care fac aceste formule omogene, adică fac termenii acestor formule echidimensionali, necesitate despre care s-a vorbit la începutul acestui paragraf.

Urmărind cele arătate înainte rezultă necesitatea introducerii într-un sistem de unități de măsură, a definirii unităților care pot fi alese arbitrar. Astfel în sistemul SI după cum s-a arătat în § 2.1 s-au definit unitățile metrice (pentru lungime), kilogramul (pentru masă), secunda (pentru timp), gradul Kelvin sau absolut (pentru temperatură), amperul (pentru intensitatea electrică) și candela (pentru intensitatea luminoasă).

Analiza dimensională se bazează pe faptul că legile fizice sînt exprimate prin formule matematice care au termenii echidimensionali.

Ea are la bază trei axiome și anume:

— valoarea numerică n , a unei mărimi fizice A , este egală cu raportul dintre mărime și unitatea ei de măsură a :

$$A = n a; \quad (2.19)$$

— mărimea fizică A nu depinde de unitatea ei de măsură a ;

— formulele care reprezintă legi fizice, compuse din valori numerice și anumite mărimi fizice, sînt independente de unitățile alese pentru mărimile fizice fundamentale.

Din cele arătate înainte, rezultă că într-o formulă matematică ce reprezintă legea unui anumit fenomen fizic, pot fi luate cel mult șase mărimi fundamentale. Se observă că nu este obligatoriu ca cele șase mărimi să fie cele considerate anterior (L, M, T, Θ , I, I') condiția fiind însă ca acele mărimi care au fost alese ca fundamentale să fie independente între ele.

Determinarea numărului de mărimi fundamentale într-o formulă se face luînd fiecare mărime componentă a acesteia și scriindu-i ecuația dimensională în funcție de cele șase mărimi indicate înainte. Numărul de mărimi diferite care intervin în toate ecuațiile dimensionale, reprezintă numărul de mărimi fundamentale care pot fi alese în ecuația respectivă.

Evident că avînd la mărimi fundamentale și $n - k$ mărimi derivate într-o formulă ce reprezintă o anumită lege fizică, se pot realiza $n - k$ complexe adimensionale (denumite *criterii*) sub formă de produse la anumite puteri, care determină o anumită formă sub care poate fi scrisă formula respectivă. Aceasta reprezintă *legea de bază a analizei dimensionale care este denumită legea produselor*.

Această lege a analizei dimensionale dă posibilitatea de a se deduce o anumită lege fizică atunci cînd se cunosc mărimile fizice care intervin în legea respectivă.

Folosirea ei este extrem de convenabilă atunci cînd

$$n - k = 1; \quad (2.20)$$

n fiind numărul total de mărimi care intră în legea fizică și k numărul mărimilor fundamentale așa cum s-a arătat înainte. În această situație

numărul criteriilor adimensionale care intră în formulă este egal cu $n - k = 1$, astfel încît notînd acest criteriu cu Π , formula este de forma

$$\Pi = \text{const}, \quad (2.21)$$

constanta fiind determinată experimental, iar criteriul Π determinat pe baza analizei dimensionale în forma arătată înainte, astfel încît el să nu aibă dimensiuni.

De exemplu, folosind analiza dimensională se va determina legea gazelor perfecte, în care mărimile conținute sînt: presiunea $\left(p = \frac{F}{A}\right)$, volumul (V) , masa (m) , constanta caracteristică a gazului perfect $\left(R = \frac{W}{m\theta}\right)$ și temperatura absolută (T) .

Dimensiunile acestor mărimi sînt

$$[p] = \frac{[F]}{[A]} = \frac{L^1 M^1 T^{-2} \Theta^0 I^0 I'^0}{L^2 M^0 T^0 \Theta^0 I^0 I'^0} = L^{-1} M^1 T^{-2} \Theta^0 I^0 I'^0 = L^{-1} M T^{-2}; \quad (2.22)$$

$$[V] = L^3 M^0 T^0 \Theta^0 I^0 I'^0 = L^3; \quad (2.23)$$

$$[m] = L^0 M^1 T^0 \Theta^0 I^0 I'^0 = M; \quad (2.24)$$

$$[R] = \frac{[W]}{[m][\theta]} = \frac{L^2 M^1 T^{-2} \Theta^0 I^0 I'^0}{(L^0 M^1 T^0 \Theta^0 I^0 I'^0)(L^0 M^0 T^1 \Theta^{-1} I^0 I'^0)} = \\ = L^2 M^0 T^{-2} \Theta^{-1} I^0 I'^0 = L^2 T^{-2} \Theta^{-1}; \quad (2.25)$$

$$T = L^0 M^0 T^1 \Theta^{-1} I^0 I'^0 = \Theta. \quad (2.26)$$

Din relațiile (2.22) — (2.26) se vede că numărul mărimilor fundamentale (în partea dreaptă a ecuațiilor) este $k = 4: L, M, T$ și Θ .

Numărul total al mărimilor fiind $n = 5$ rezultă că $n = 5 - 4 = 1$, deci formula care reprezintă legea fizică are un singur termen adimensional, fiind de forma (2.21).

Pentru determinarea criteriului se folosește analiza dimensională ținîndu-se seama de (2.22) — (2.26).

$$[\Pi] = [p]^\alpha [V]^\beta [M]^\gamma [R]^\delta [T]^\varepsilon = \\ = L^{-\alpha} M^{\alpha+\beta+\gamma} T^{-2\alpha+\beta+\varepsilon} \Theta^{-\delta+\varepsilon} = \\ = L^{-\alpha+3\beta+2\delta} M^{\alpha+\gamma} T^{-2\alpha-2\delta} \Theta^{-\delta+\varepsilon}, \quad (2.27)$$

din care Π fiind adimensional (criteriu), rezultă că puterile dimensiunilor din partea din dreapta a relației (2.27) sînt nule

$$\begin{cases} -\alpha + 3\beta + 2\delta = 0 \\ \alpha + \gamma = 0 \\ -2\alpha - 2\delta = 0 \\ -\delta + \varepsilon = 0 \end{cases} \quad (2.28)$$

de unde din rezolvarea sistemului, la alegerea lui α egal cu unitatea, rezultă

$$\alpha = 1, \beta = 1, \gamma = -1, \delta = -1, \varepsilon = -1. \quad (2.29)$$

Revenind la relația lui II se va scrie

$$\Pi = p'V'M^{-1}R^{-1}T^{-1} = \frac{pV}{MRT} = \text{const}, \quad (2.30)$$

determinându-se constanta pe cale experimentală.

În cazul acestei legi denumită și legea Mendeleev-Clapeyron, constanta este egală cu unitatea și astfel rezultă binecunoscuta lege a gazelor perfecte

$$pV = MRT, \quad (2.31)$$

sau încă:

$$pV_0 = RT. \quad (2.32)$$

De observat că în fizică m , masa are obișnuit ca unitate de măsură molul, astfel încât volumul specific determinat de relația (2.32)

$V_0 = \frac{V}{M}$ cum și constanta caracteristică R sînt raportate la 1 mol.

O altă aplicație directă a analizei dimensionale în fizică este stabilirea legăturii dintre unitățile de măsură în același sistem și în diferite sisteme de unități de măsură.

Astfel, conform axiomelor analizei dimensionale, scriind că mărirea fizică A este independentă de sistemul de unități de măsură

$$A = n_1 a_1, \quad (2.33)$$

$$A = n_2 a_2, \quad (2.34)$$

rezultă prin identificare

$$a_2 = \frac{n_1}{n_2} a_1, \text{ sau } n_2 = n_1 \frac{a_1}{a_2}, \quad (2.35)$$

relație aplicabilă în același sistem de unități de măsură sau în sisteme diferite.

Ca exemplu se va urmări legătura dintre unitățile de măsură pentru energie în sistemul SI și sistemul MKfS, respectiv dintre J (Joule) și kgfm (kilogram forță metru).

Folosind dimensiunile fundamentale L, M, T, Θ, I, I' și L, F, T, Θ, I, I' , vom scrie

$$[W] = L^2 M^1 T^{-2} \Theta^0 I^0 I'^0 = L^2 M T^{-2}, \quad (2.36)$$

$$[W] = L^1 F^1 T^0 \Theta^0 I^0 I'^0 = L F. \quad (2.37)$$

Din aceasta folosind definiția pentru 1 J, ca fiind lucrul mecanic efectuat de o forță de 1 N (Newton), pe o distanță de 1 m în direcția și sensul ei

$$1 \text{ J} = 1 \text{ kg} \cdot \text{m}^2 \text{ s}^{-2} = 1 \text{ Nm} \quad (2.38)$$

și definiția pentru 1 kgf, ca fiind forța cu care acționează gravitația asupra unei mase de 1 kg considerându-se accelerația căderii libere normală, $g_n = 9,81 \text{ m} \cdot \text{s}^{-2}$

$$1 \text{ kgf} = m \cdot g_n = 9,81 \text{ kg} \cdot \text{m} \cdot \text{s}^{-2} = 9,81 \text{ N}, \quad (2.39)$$

rezultă

$$1 \text{ kgfm} = 1 \text{ kgf} \times 1 \text{ m} = 9,81 \text{ Nm} = 9,81 \text{ J}, \quad (2.40)$$

respectiv

$$1 \text{ J} = \frac{1}{9,81} \text{ kgfm}. \quad (2.41)$$

Tot ca aplicație directă a analizei dimensionale este verificarea calitativă a corectitudinii formulelor, care reprezintă legi fizice. Astfel, dacă o astfel de formulă nu are termenii echidimensionali, ea nu este corectă, reciproca nefiind valabilă totdeauna și anume nu este suficient ca o formulă care reprezintă o lege fizică să aibă termenii echidimensionali pentru a fi corectă.

În încheiere este de menționat că deși analiza dimensională, dă posibilitatea de a deduce foarte simplu legi ale anumitor fenomene fizice, fără a recurge la operații matematice complicate, în acest domeniu ea poate duce la concluzii greșite dacă nu se ține seama de următoarele:

- omisiuni în alegerea mărimilor fizice determinante, falsifică rezultatele;
- mărimile echidimensionale pot fi determinate cu greu în aplicarea analizei dimensionale;
- mărimile adimensionale, ies de sub controlul analizei dimensionale;
- mărimile introduse, care nu apar în fenomenul urmărit, falsifică rezultatele.

Ținând seama de aceasta și de faptul că în cazul în care numărul criteriilor este mare analiza dimensională nu dă rezultate, în fizică se preferă, aplicarea unor metode mult mai complicate atât în ceea ce privește fundamentarea cit și aplicarea practică, anume metodele similitudinii și analogiilor.

§ 2.3. Sistemul SI și trecerea de la un sistem de unități la altul

Sistemul de unități cel mai des folosit în fizică era sistemul CGS. Însă în 1960, cea de a 11-a Conferință Generală de Măsuri și Greutăți a adoptat Sistemul Internațional de unități de măsură SI care, prin H.C.M. nr. 550 din 30.VIII.1961, a fost adoptat și la noi (STAS 737-62). Drept urmare, toate celelalte sisteme de unități de măsură vor trebui să dispară, termenele limită de folosire fiind stabilite prin instrucțiuni ale Direcției Generale pentru Metrologie, Standarde și Invenții.

Unitățile fundamentale ale sistemului SI au fost menționate anterior (metrul, kilogramul, secunda, amperul, gradul Kelvin și candela). Unitățile multipli și submultipli ai unităților sistemului SI se notează cu ajutorul prefixelor date în tabela 2.1.

În fizică întâlnim foarte des mărimi avînd valori extrem de mici, cum sînt de exemplu lungimile de undă ale radiațiilor luminoase și Röntgen, masele atomilor și moleculelor etc. Pentru a măsura aceste mărimi avînd valori atît de mici, sînt necesare unități submultipli foarte mici pentru care se folosesc de exemplu prefixele *mano* și *pico* (vezi tabela 2.3). Totuși aceste prefixe nu se folosesc prea des, deoarece au mai fost introduse cîteva unități speciale, cu denumiri speciale, care au fost adoptate pe plan internațional și anume:

a) Pentru măsurarea lungimilor foarte mici se folosesc unitățile menționate în tabela 2.3.

T a b e l a 2.3. Unități pentru măsurarea lungimilor mici

Denumirea	Simbol	Valoarea în metri
Micron	μ	10^{-6}
Nanometru (Milimicron)	nm ($m\mu$)	10^{-9}
Ångström	Å	10^{-10}
Picometru (Micromicron)	pm ($\mu\mu$)	10^{-12}
Unitate X	X	10^{-13}

b) Pentru măsurarea maselor foarte mici se folosește microgramul (10^{-6} g) care se mai numește gamma și se notează cu simbolul γ . De aici s-a ajuns la alte două unități derivate: miligamma ($m\gamma$), uneori $\gamma\gamma$, = 10^{-9} g) și microgamma ($\mu\gamma$, uneori $\gamma\gamma\gamma$, = 10^{-12} g).

Foarte răspîdit este și un alt fel de scriere a valorilor mărimilor foarte mici; astfel de valori se scriu în unitățile fundamentale ale sistemului SI, înmulțite cu factorul 10 la o putere negativă corespunzătoare. Astfel, în loc de 1 Å se scrie 10^{-10} m; masa atomului de hidrogen se scrie $1,673 \cdot 10^{-27}$ kg; constanta lui Plank, h se scrie $6,62 \cdot 10^{-34}$ J.s etc.

Acest fel de scriere se folosește și în cazul mărimilor cu valori foarte mari, mărimi întâlnite adesea în fizică. În acest caz intervine factorul 10 la o putere pozitivă corespunzătoare. Astfel, pentru viteza luminii în vid se ia valoarea aproximativă $3 \cdot 10^8$ m/s; numărul de molecule dintr-un centimetru cub de gaz, în condiții normale, se ia egal cu $2,687 \cdot 10^{19}$ etc.

Mai înainte am menționat că la 4 °C, o masă de apă egală cu 1 kg are un volum de 1000,028 cm³. De aici rezultă că la 4 °C masa de apă aflată într-un volum de 1000 cm³ = 1 dm³ este mai mică decît 1 kg: ea se ia egală cu 0,999972 kg. Deoarece volumul de un litru este volumul ocupat de 1 kg de apă la 4 °C, rezultă că un litru nu este riguros egal cu 1000 cm³ = 1 dm³, așa cum se consideră de obicei, ci este de

$1000,028 \text{ cm}^3 = 1,000028 \text{ dm}^3$. Tot astfel la 4°C , masa apei dintr-un volum de 1 cm^3 nu este riguros egală cu 1 g , ci cu $0,999972 \text{ g}$. Diferența dintre litru și decimetru cub (sau dintre gram și masa unui centimetru cub de apă la 4°C) este atât de mică încît nu prezintă importanță în lucrările de laborator obișnuite, însă la măsurări foarte precise, de exemplu în cazul în care eroarea relativă a rezultatului nu trebuie să depășească $0,01\%$, această diferență trebuie luată în considerare.

Sistemul SI se folosește în toate domeniile (inclusiv în fizică). Uneori, însă, trebuie să recurgem și la alte sisteme, sau trebuie să introducem alte unități. La o astfel de trecere de la un sistem de unități la altul se aplică reguli speciale, care pot fi explicate în modul următor. Formula dimensională a unei anumite mărimi fizice derivate A , poate fi scrisă în general astfel:

$$[A] = L^\alpha M^\beta T^\gamma \Theta^\delta I^\varepsilon I'^\eta \quad (2.42)$$

unde L, M, T, Θ, I, I' (lungimea, masa, timpul, temperatura, intensitatea de curent electric, intensitatea luminoasă) sînt considerate unități fundamentale ale sistemului dat, iar exponenții $\alpha, \beta, \gamma, \delta, \varepsilon$ și η sînt numere întregi sau fracționare, pozitive sau negative.

Orice altă mărime A_1 , omogenă cu A , are aceeași dimensiune, adică aceleași puteri $\alpha, \beta, \gamma, \delta, \varepsilon$ și η în partea dreaptă a expresiei (2.42). Notînd raportul dintre A_1 și A cu litera n , se poate scrie

$$A_1 = nA = n(L^\alpha M^\beta T^\gamma \Theta^\delta I^\varepsilon I'^\eta).$$

În această expresie se poate considera mărimea A ca unitate de măsură a mărimii A_1 , iar n — rezultatul numeric al unei astfel de măsurări.

Să presupunem că în locul unităților fundamentale de mai înainte L, M, Θ, I și I' , introducem unități fundamentale noi $L_1, M_1, T_1, \Theta_1, I_1$ și I'_1 , raportul lor față de unitățile anterioare îl vom nota respectiv cu x, y, z, u, v și w adică

$$\frac{L_1}{L} = x, \quad \frac{M_1}{M} = y, \quad \frac{T_1}{T} = z, \quad \frac{\Theta_1}{\Theta} = u, \quad \frac{I_1}{I} = v, \quad \frac{I'_1}{I'} = w. \quad (2.43)$$

Evident că unitatea anterioară (A) de măsură a mărimii A_1 va fi înlocuită printr-o nouă unitate (A') și, respectiv, rezultatul anterior n al măsurărilor printr-un nou rezultat n' .

Deoarece unitatea nouă A' servește la măsurarea aceleiași mărimi A_1 și se obține în urma trecerii la noile unități $L_1, M_1, T_1, \Theta_1, I_1$ și I'_1 , putem scrie

$$(A') = L_1^\alpha M_1^\beta T_1^\gamma \Theta_1^\delta I_1^\varepsilon I'_1{}^\eta.$$

De aici, pe baza ecuațiilor (2.42) și (2.43), rezultă

$$A' = x^\alpha y^\beta z^\gamma u^\delta v^\varepsilon w^\eta (L^\alpha M^\beta T^\gamma \Theta^\delta I^\varepsilon I'^\eta) = x^\alpha y^\beta z^\gamma u^\delta v^\varepsilon w^\eta (A). \quad (2.44)$$

Astfel, trecînd la noile unități fundamentale ale sistemului, noua unitate a unei mărimi derivate oarecare este egală cu unitatea veche, înmulțită cu expresia dimensională a mărimii date, în care în locul

unităților fundamentale ale sistemului trebuie introduse raporturile noilor unități fundamentale față de cele vechi.

Tot astfel, pe baza ecuațiilor (2.35) și (2.44), rezultă

$$\frac{n'}{n} = \frac{A}{A'} = \frac{A}{x^\alpha y^\beta z^\gamma u^\delta v^\varepsilon w^\eta} = \frac{1}{x^\alpha y^\beta z^\gamma u^\delta v^\varepsilon w^\eta},$$

de unde se obține

$$n' = \frac{n}{x^\alpha y^\beta z^\gamma u^\delta v^\varepsilon w^\eta}, \quad (2.45)$$

adică trecînd la noi unități fundamentale ale sistemului, rezultatul măsurării unei mărimi derivate oarecare cu noua unitate, este egal cu rezultatul măsurărilor ei cu unitatea veche, împărțit la expresia dimensională a mărimii date, în care în locul unităților fundamentale ale sistemului trebuie să se pună raportul noilor unități fundamentale față de cele vechi.

Aceste reguli pot fi, desigur, aplicate și la trecerea de la un sistem de unități la altul, deoarece o astfel de trecere poate fi considerată ca o înlocuire într-un sistem al unităților fundamentale vechi prin unități noi, luate din celălalt sistem.

Să considerăm câteva exemple.

Exemplul 2.1. Să se găsească raportul dintre unitatea de forță în sistemul MTS folosit înainte (stenă) și unitatea de forță din sistemul SI newton. Vom considera această problemă ca o substituție a unităților fundamentale ale sistemului SI prin noile unități (metru, tonă, secundă), luate din sistemul MTS.

Se calculează rapoartele unităților fundamentale ale celor două sisteme, adică valorile x, y și z din ecuațiile (2.43), x și z fiind egale evident, cu unitatea, deoarece unitatea de lungime și respectiv de timp în ambele sisteme coincid

$$x = \frac{1 \text{ m}}{1 \text{ m}} = 1, \quad y = \frac{1 \text{ t}}{1 \text{ kg}} = 10^3, \quad z = \frac{1 \text{ s}}{1 \text{ s}} = 1.$$

Pe baza ecuației (2.44), presupunînd că

$$A' = 1 \text{ sn și } A = 1 \text{ N}$$

și aplicînd formula (2.4), se obține

$$1 \text{ sn} = 1^1 \cdot 10^3 \cdot 1^{-2} \text{ N sau } 1 \text{ sn} = 10^3 \text{ N}.$$

Această relație trebuie folosită, conform formulei (2.45), în cazurile cînd rezultatul unei măsurări, dat în stene, trebuie recalculat în newtoni sau invers.

Exemplul 2.2. Să se găsească raportul dintre unitatea de lucru mecanic din sistemul MKfS (kilogram forță metru) și unitatea de lucru mecanic din sistemul SI (Joule). Deoarece unitatea de lungime și respectiv de timp în ambele sisteme este aceeași, adică $x = 1$ și

respectiv $z = 1$, problema aceasta poate fi considerată ca înlocuirea unității fundamentale din sistemul SI, kilogram, prin unitatea nouă, kilogramforță-secundă la pătrat pe metru (egală cu 9,81 kg).

Să determinăm valoarea lui y

$$y = \frac{9,81 \text{ kg}}{1 \text{ kg}} = 9,81.$$

Pe baza ecuației (2.44), punind în ea

$$A' = 1 \text{ kgf} \cdot \text{m} \text{ și } A = 1 \text{ J}$$

și aplicind formula (2.6) se obține

$$1 \text{ kgf} \cdot \text{m} = 1^2 \cdot 9,81 \cdot 1^{-2} \text{ J} = 9,81 \text{ J}.$$

Exemplul 2.3. Să se găsească raportul dintre unitățile de presiune în sistemul MKfS și SI. Presiunea se definește ca forța raportată la unitatea de suprafață,

$$p = \frac{F}{S}.$$

De aici se obțin dimensiunile presiunii în sistemul SI

$$[p] = \frac{[F]}{[S]} = \text{L}^{-1} \text{MT}^{-2}.$$

Unitatea de presiune a acestui sistem este $\text{N} \cdot \text{m}^{-2}$; unitatea de presiune în sistemul MKfS, este $\text{kgf} \cdot \text{m}^{-2}$. Problema pusă poate fi considerată ca substituția unității fundamentale a sistemului SI kilogram, prin noua unitate kilogram forță-secundă la pătrat pe metru; raportul acestor unități a fost calculat mai înainte. De aceea, punind în ecuația (2.45),

$$A' = 1 \text{ kgf} \cdot \text{m}^{-2} \text{ și } A = 1 \text{ N} \cdot \text{m}^{-2}$$

și ținind seama de formula (2.44), obținem

$$1 \text{ kgf} \cdot \text{m}^{-2} = 1^{-1} \cdot 9,81 \cdot 1^{-2} \text{ N} \cdot \text{m}^{-2} = 9,81 \text{ N} \cdot \text{m}^{-2}.$$

§ 2.4. Mărimi mecanice și acustice, dimensiunile și unitățile de măsură

În tabela 2.4 sînt date denumirile mărimilor fundamentale mecanice și acustice, notațiile lor și formulele de definiție, dimensiunile mărimilor mecanice în sistemele SI, CGS și MKfS și ale celor acustice în sistemele SI și CGS, precum și unitățile de măsură ale mărimilor în sistemul SI.

T a b e l a 2.4. Mărimi și unități mecanice și acustice

Denumirea	Notății și formule	Dimensiuni		Unități în sistemul SI
		în sistemele SI și CGS	în sistemul MKfS	
Lungime	l	L	L	m
Spațiu (drum)	s	L	L	m
Deplasare unghiulară	φ	Dimensiunea zero		rad
Masă	m	M	$L^{-1}FT^2$	kg
Timp	t	T	T	s
Suprafață	$A, S = l^2$	L^2	L^2	m^2
Volum	$V = l^3$	L^3	L^3	m^3
Viteză ¹⁾	$v = \frac{s}{t}$	LT^{-1}	LT^{-1}	m/s
Viteză unghiulară	$\omega = \frac{\varphi}{t}$	T^{-1}	T^{-1}	rad/s
Accelerație	$a = \frac{v}{t}$	LT^{-2}	LT^{-2}	m/s^2
Accelerație unghiulară	$\alpha = \frac{\omega}{t}$	T^{-2}	T^{-2}	rad/s ²
Moment de inerție	$J = \Sigma m_i r_i^2$	L^2M	LFT^2	kg·m ²
Forță ²⁾	$F = ma$	LMT^{-2}	F	N(newton)
Momentul unei forțe	$M = Fl$	L^2MT^{-2}	LF	N·m
Presiune ³⁾	$p = \frac{F}{S}$	$L^{-1}MT^{-2}$	$L^{-2}F$	N/m ²
Lucru mecanic ⁴⁾	$L = F \cdot l$	L^2MT^{-2}	LF	J(joule)
Energie	$W = \frac{mv^2}{2}$	L^2MT^{-2}	LF	J
Putere ⁵⁾	$P = \frac{W}{t}$	L^2MT^{-3}	LFT^{-1}	W(watt)
Densitate	$\rho = \frac{m}{v}$	$L^{-3}M$	$L^{-4}FT^2$	kg/m ³
Volum specific	$v = \frac{V}{m}$	L^3M^{-1}	$L^4F^{-1}T^{-2}$	m ³ /kg
Greutate (în vid)	$G = mg$	LMT^{-2}	F	N
Greutate specifică	$\gamma = \frac{G}{V}$	$L^{-2}MT^{-2}$	$L^{-3}F$	N/m ³

Tabela 2.4. (continuare)

Denumirea	Notății și formule	Dimensiuni		Unități în sistemul SI
		în sistemele SI și CGS	în sistemul MKfS	
Efort unitar normal tensiune normală	$\sigma = \frac{F_n}{S}$	$L^{-1}MT^{-2}$	$L^{-2}F$	N/m^2
Efort unitar tangențial (tensiune tangențială)	$\tau = \frac{F_t}{S}$	$L^{-1}MT^{-2}$	$L^{-2}F$	N/m^2
Coeficient de întindere (alungire)	$\alpha = \frac{1}{\sigma} \frac{\Delta l}{l}$	$LM^{-1}T^2$	L^2F^{-1}	m^2/N
Coeficient de compresiune (contrafecție) transversală	$\beta = \frac{1}{\sigma} \frac{\Delta d}{d}$	$LM^{-1}T^2$	L^2F^{-1}	m^2/N
Coeficientul lui Poisson	$\mu = \frac{\beta}{\alpha}$	dimensiunea zero		
Modul de elasticitate (modulul lui Young)	$E = \frac{1}{\alpha}$	$L^{-1}MT^{-2}$	$L^{-2}F$	N/m^2
Modul de elasticitate transversal	$G = \frac{\tau}{\varphi}$	$L^{-1}MT^{-2}$	$L^{-2}F$	N/m^2
Frecvența oscilațiilor acustice	$\nu, f = \frac{n}{t} = \frac{1}{T}$	T^{-1}		Hz(hertz)
Perioada oscilațiilor	$T = \frac{t}{n} = \frac{1}{f}$	T		s
Densitate de energie acustică	$E = \frac{W}{V}$	$L^{-1}MT^{-2}$		J/m^3
Presiune acustică	$p = \frac{F}{S}$	$L^{-1}MT^{-2}$		N/m^2
Intensitatea acustică	$I = \frac{W}{St}$	MT^{-3}		W/m^2

Note la tabela 2.4. 1) Viteza v se exprimă în practică în diferite unități, de exemplu în cm/s, m/s, m/min, km/h etc. La trecerea de la unele unități la altele putem folosi următoarele relații (aproximative):

$$\begin{aligned}
 1 \text{ cm/s} &= 0,01 \text{ m/s} = 0,6 \text{ m/min} = 0,036 \text{ km/h}, \\
 1 \text{ m/s} &= 60 \text{ m/min} = 3,6 \text{ km/h} = 100 \text{ cm/s}, \\
 1 \text{ m/min} &= 0,06 \text{ km/h} = 1,67 \text{ cm/s} = 0,0167 \text{ m/s}, \\
 1 \text{ km/h} &= 27,78 \text{ cm/s} = 0,2778 \text{ m/s} = 16,67 \text{ m/min}.
 \end{aligned}$$

Viteza unghiulară ω se exprimă de asemenea în diferite unități, de exemplu în radiani pe secundă, grade pe secundă, rotații pe minut etc.

Pentru trecerea de la unele unități la altele se pot folosi următoarele relații aproximative:

$$1 \text{ rad/s} = 57^{\circ},296/\text{s} = 9,5493 \text{ rot/min},$$

$$1^{\circ}/\text{s} = 0,01745 \text{ rad/s} = 0,1667 \text{ rot/min},$$

$$1 \text{ rot/min} = 6^{\circ}/\text{s} = 0,1047 \text{ rad/s}.$$

2) Unitățile de forță cele mai des întâlnite sînt: newtonul (N) în sistemul SI, dina (dyn) (în sistemul CGS) și kilogramulforță (kgf) (în sistemul MKfS). Pentru trecerea de la o unitate de forță la alta, se pot folosi următoarele relații (aproximative):

$$1 \text{ dyn} = 10^{-5} \text{ N} = 1,02 \cdot 10^{-6} \text{ kgf},$$

$$1 \text{ N} = 0,102 \text{ kgf} = 10^5 \text{ dyn},$$

$$1 \text{ kgf} = 9,81 \cdot 10^5 \text{ dyn} = 9,81 \text{ N}.$$

3) Presiunea se măsoară în diferite unități: N/m^2 (în sistemul SI), atmosfere fizice (atm), atmosferice tehnice (at), bari, barii (barye) (în sistemul CGS), tori (torr) (sau mm Hg) și, mai rar, piezi (pz). În barometria meteorologică este des utilizat milibarul (cu simbolul prescurtat mb). Între aceste unități există următoarele relații aproximative:

$$1 \text{ N}/\text{m}^2 = 10^{-5} \text{ bar} = 10 \text{ barye} = 1,019 \cdot 10^{-5} \text{ at} = 0,987 \cdot 10^{-5} \text{ atm} = 0,0075 \text{ torr},$$

$$1 \text{ barye} = 1 \mu\text{bar} = 1 \text{ dyn}/\text{cm}^2 = 0,1 \text{ N}/\text{m}^2 = 1,019 \cdot 10^{-6} \text{ at} = 0,987 \cdot 10^{-6} \text{ at} = 0,00075 \text{ torr},$$

$$1 \text{ bar} = 10^5 \text{ N}/\text{m}^2 = 10 \text{ N}/\text{cm}^2 = 10^6 \text{ barye} = 1,019 \text{ at} = 0,987 \text{ atm} = 750 \text{ torr},$$

$$1 \text{ atm} = 760 \text{ torr (sau mm Hg)} = 101\,325 \text{ N}/\text{m}^2 = 1,01325 \text{ bar} = 0,96784 \text{ at},$$

$$1 \text{ at} = 1 \text{ kgf}/\text{cm}^2 = 98066,5 \text{ N}/\text{m}^2 = 0,980665 \text{ bar} = 1,0332 \text{ atm} = 785,23 \text{ torr},$$

$$1 \text{ torr} = 1,31579 \cdot 10^{-3} \text{ atm} = 1,27347 \cdot 10^{-3} \text{ at} = 133,322 \text{ N}/\text{m}^2 = 1333,22 \mu\text{bar},$$

$$1 \text{ pz} = 1 \text{ sn}/\text{m}^2 = 10^3 \text{ N}/\text{m}^3 = 10^{-2} \text{ bar} = 102 \text{ kgf}/\text{m}^2 = 1,02 \cdot 10^{-2} \text{ at} = 9,87 \cdot 10^{-3} \text{ atm} = 7,5 \text{ torr}.$$

4) Unitățile de lucru mecanic și energie sînt: joule — J — (în sistemul SI). erg (în sistemul CGS) și kilogramforță-metru (în sistemul MKFS). Deoarece și căldura este o formă de energie (energie calorică), ea se exprimă în jouli (prin intermediul echivalentului mecanic al caloriei J) sau în calorii.

$$J = \frac{1 \text{ cal}}{4,1855} = 4,1855$$

deci $1 \text{ cal} = 4,1855 \text{ J}$.

O altă unitate de energie, des utilizată, este kilowattora (kWh). Toate aceste unități sînt legate între ele prin relațiile aproximative:

$$1 \text{ erg} = 10^{-7} \text{ J} = 1,02 \cdot 10^{-8} \text{ kgf} \cdot \text{m} = 2,39 \cdot 10^{-8} \text{ cal},$$

$$1 \text{ J} = 0,102 \text{ kgf} \cdot \text{m} = 0,239 \text{ cal} = 10^7 \text{ erg},$$

$$1 \text{ kgf} \cdot \text{m} = 2,34 \text{ cal} = 9,81 \cdot 10^7 \text{ erg} = 9,81 \text{ J},$$

$$1 \text{ cal} = 4,1855 \cdot 10^7 \text{ erg} = 4,1855 \text{ J} = 0,427 \text{ kgf} \cdot \text{m},$$

$$1 \text{ kWh} = 3,6 \cdot 10^6 \text{ J} = 3,672 \cdot 10^5 \text{ kgf} \cdot \text{m} = 3,6 \cdot 10^{13} \text{ erg}.$$

5) Unitățile de putere utilizate sînt: watt (W) (în sistemul SI) erg/s (în sistemul CGS și kgf · m/s (în sistemul MKFS); în afară de acestea se mai utilizează unitatea numită cal putere (CP). Unitățile de putere sînt legate între ele prin următoarele relații:

$$1 \text{ erg/s} = 10^{-7} \text{ W} = 1,02 \cdot 10^{-8} \text{ kgf} \cdot \text{m} = 1,36 \cdot 10^{-10} \text{ CP},$$

$$1 \text{ W} = 0,102 \text{ kgf} \cdot \text{m/s} = 1,36 \cdot 10^{-3} \text{ CP} = 10^7 \text{ erg/s},$$

$$1 \text{ kgf} \cdot \text{m/s} = 1,33 \cdot 10^{-2} \text{ CP},$$

$$1 \text{ CP} = 75 \text{ kgf} \cdot \text{m/s} = 735,499 \text{ W} = 735,499 \cdot 10^7 \text{ erg/s}.$$

6) Măsurarea nivelului intensității sonore, L_I , se face într-o scară logaritmică, iar unitatea de măsură este belul (b), stabilită pentru logaritmul zecimal al raportului intensităților I și I_0 a două sunete: $\lg(I/I_0)$. Așadar, două sunete diferă după intensitate cu 1,2,3,...beli, dacă intensităților lor I și I_0 sînt în rapoartele $1/10$, $1/10^2$, $1/10^3$,... În practică însă se utilizează mai mult unitatea.

§ 2.5. Mărimi moleculare și termice, dimensiunile și unitățile de măsură

În tabela 2.5 sînt date denumirile mărimilor fundamentale moleculare și termice, notațiile și formulele lor de definiție, dimensiunile mărimilor în sistemele SI și CGS, precum și unitățile de măsură în sistemul SI.

T a b e l a 2.5

Denumirea	Notății și formule	Dimensiunile în sistemele SI și CGS	Unități în sistemul SI
Viscozitate (sau coeficientul de frecare internă)	$\eta = \tau : \frac{dv}{dl}$	$L^{-1}MT^{-1}$	$N \cdot s/m^2$
Coeficient de tensiune super- ficială	$\sigma = \frac{F}{l} = \frac{L}{l^2}$	MT^{-2}	N/m (sau eventual kg/s^2)
Coeficient de difuzie	$D = \frac{M}{At \frac{\Delta \rho}{\Delta l}}$	L^2T^{-1}	m^2/s
Temperatură	T, Θ	Θ	$^{\circ}K$
Cantitatea de căldură	$Q = W$	L^2MT^{-2}	J
Coeficient de dilatare liniară	$\alpha = \frac{\Delta l}{l \Delta \theta}$	Θ^{-1}	$^{\circ}K^{-1}$
Coeficient de dilatare în volum	$\gamma = \frac{\Delta V}{V \Delta \theta}$	Θ^{-1}	$^{\circ}K^{-1}$
Capacitate calorică	$C = \frac{Q}{\Delta \theta}$	$L^2MT^{-2}\Theta^{-1}$	$J/^{\circ}K$
Căldură specifică (capacitate calorică specifică)	$c = \frac{Q}{m \Delta \theta}$	$L^2T^{-2}\Theta^{-1}$	$J/kg \cdot ^{\circ}K$
Căldură latentă specifică de topire	$l_t = \frac{Q}{m}$	L^2T^{-2}	J/kg
Căldură latentă specifică de vaporizare (fierbere)	$l_v = \frac{Q}{m}$	L^2T^{-2}	J/kg
Coeficient de conductibilitate termică (conductivitate ter- mică)	$\lambda = \frac{\Phi_t}{A} : \frac{d\theta}{dl}$	$LMT^{-3}\Theta^{-1}$	$W/m \cdot ^{\circ}K$
Entropie	$S = \int \frac{dQ}{T}$	$L^2MT^{-2}\Theta^{-1}$	$J/^{\circ}K$
Entropie specifică	$s = \frac{S}{m}$	$L^2T^{-2}\Theta^{-1}$	$J/kg \cdot ^{\circ}K$
Energie internă (potențial ter- modinamic)	$U = C_V T + U_0$	L^2MT^{-2}	J

T a b e l a 2.5 (continuare)

Denumirea	Notații și formule	Dimensiunile în sistemele SI și CGS	Unități în sistemul SI
Gradient de temperatură	$\frac{d\theta}{dl}, \frac{d\theta}{dn}$	$L^{-1}\Theta$	$^{\circ}\text{K/m}$
Flux termic	$\Phi_t = \frac{dQ}{dt}$	L^2MT^{-3}	W
Densitate de flux termic	$q = \frac{d\Phi_t}{dA}$	MT^{-3}	W/m^2
Coefficient de cedare termică (Coefficients de transfer termic de suprafață)	$\alpha = \frac{q}{\Delta\theta}$	$MT^{-3}\Theta^{-1}$	$\text{W/m}^2 \cdot ^{\circ}\text{K}$
Coefficient total de transfer termic	$K = \frac{q}{\Delta\theta}$	$MT^{-3}\Theta^{-1}$	$\text{W/m}^2 \cdot ^{\circ}\text{K}$

Observație. Mult timp, pentru măsurarea cantității de căldură (energie calorice) Q , s-a folosit unitatea numită calorie, definită ca fiind cantitatea de căldură necesară unei mase de 1 g apă pură pentru a-și ridica temperatura cu 1°C . Această definiție s-a complicat ulterior datorită în special dependenței căldurii specifice a apei de temperatură (în intervalul 0°C — 100°C căldura specifică a apei are un minim evident în apropierea temperaturii de 30°C). Din această cauză valoarea caloriei și raportul ei față de joule s-a modificat de câteva ori, deoarece la definirea caloriei s-au folosit diferite temperaturi inițiale ale apei (0°C , 4°C , 15°C etc.). Până la urmă caloria a fost definită în felul următor: cantitatea de căldură necesară unei mase de 1 g de apă pură pentru a-și ridica temperatura de la $19,5^{\circ}\text{C}$ la $20,5^{\circ}\text{C}$ sub presiunea de $101\,325\text{ N/m}^2$ ($= 1\text{ atm}$).

§ 2.6. Mărimi electrice și magnetice, dimensiunile și unitățile lor de măsură

În tabelele 2.6 și 2.7 sînt date cîteva mărimi electrice și magnetice, denumirile și notațiile lor, formulele de definiție ale mărimilor și unitățile lor în sistemul CGS și anume pentru mărimile electrice în sistemul electrostatic (CGS_{ϵ_0}), bazat pe legea lui Coulomb și sistemul electromagnetice (CGS_{μ_0}), bazat pe legea Biot-Savart. Relația dintre unitățile în sistemele CGS_{μ_0} și CGS_{ϵ_0} se stabilește pe baza teoriei electromagnetice a luminii, după care raportul dintre unitățile de intensitate a curentului în cele două sisteme este egal cu $3 \cdot 10^{10}\text{ cm/s}$.

T a b e l a 2.6. Sistemul $\text{CGS}\epsilon_0$

Mărimi	Notații și formule	Unități
Cantitatea de electricitate	$Q = \sqrt{F \cdot l^2}$	Franklin Fr
Densitatea superficială de sarcini	$\sigma = \frac{Q}{S}$	Fr/cm ²
Intensitatea câmpului electric	$E = \frac{F}{Q}$	dyn/Fr
Potențial	$U = \frac{L}{Q}$	u.CGS ϵ_0 de potențial
Capacitate	$C = \frac{Q}{U}$	cm · μ_0
Intensitatea curentului	$I = \frac{Q}{t}$	Fr/s
Rezistență electrică	$R = \frac{U}{I}$	u.CGS ϵ_0 de rezistență

T a b e l a 2.7. Sistemul $\text{CGS}\mu_0$

Mărimi	Notații și formule	Unități
Cantitatea de electricitate	$Q = It$	u. CGS μ_0 de sarcină
Potențial	$U = IR$	u. CGS μ_0 de potențial
Capacitate	$C = \frac{Q}{U}$	u. CGS μ_0 de capacitate
Intensitatea curentului	$I = \frac{rH}{2}$	u. CGS μ_0 de intensitate
Rezistență electrică	$R = \frac{U}{I}$	u. CGS μ_0 de rezistență
Inductanță	$L = \frac{U}{I/t}$	cm
Intensitatea câmpului magnetic	$H = \frac{2I}{r}$	Oersted Oe
Inducție magnetică	$B = \mu H$	Gauss Gs

În tabela 2.8 sînt cuprinse datele pentru aceleași mărimi electrice și magnetice, însă în sistemul SI.

În sistemul SI pentru forma raționalizată a ecuațiilor cîmpului electromagnetic, ϵ_0 și μ_0 se iau egale cu: $\epsilon_0 = \frac{1}{4\pi \cdot c^2} 10^7 \text{ F/m}$ și $\mu_0 = 4\pi \cdot 10^{-7} \text{ H/m}$, unde c este valoarea numerică a vitezei luminii în vid, exprimată în m/s.

T a b e l a 2.8. Sistemul SI

Mărimi	Relații de definiție	Dimensiuni	Unități	Relații de transformare
Intensitatea curentului	$\frac{F}{l} = 2\mu_0 \frac{I_1 I_2}{d}$	I	Amper A	$1 \text{ A} = 10^{-1} \text{ u. CGS} \mu_0 = 3 \cdot 10^9 \text{ Fr/s}$
Tensiune electrică	$U = \frac{P}{I}$	$L^2 M T^{-3} I^{-1}$	Volt V	$1 \text{ V} = 10^8 \text{ u. CGS} \mu_0 = \frac{1}{300} \text{ u. CGS} \epsilon_0$
Intensitatea cîmpului electric	$E = \frac{F}{Q}$	$L M T^{-3} I^{-1}$	V/m	$1 \text{ V} = 10^8 \text{ u. CGS} \mu_0 = \frac{1}{300} \text{ u. CGS} \epsilon_0$
Rezistență electrică	$R = \frac{U}{I}$	$L^2 M T^{-3} I^{-2}$	Ohm Ω	$1 \Omega = 10^9 \text{ u. CGS} \mu_0 = \frac{1}{9} \cdot 10^{-11} \text{ u. CGS} \epsilon_0$
Capacitate	$C = \frac{Q}{U}$	$L^{-2} M^{-1} T^4 I^2$	Farad F	$1 \text{ F} = 10^{-9} \text{ u. CGS} \mu_0 = 9 \cdot 10^{11} \text{ u. CGS} \epsilon_0$
Inductanță	$L = \frac{\Phi}{I}$	$L^2 M T^{-2} I^{-2}$	Henry H	$1 \text{ H} = 10^9 \text{ cm} \mu_0$
Intensitatea cîmpului magnetic	$H = \frac{2I}{r}$	$L^{-1} I$	Milioersted mOe	$1 \text{ mOe} = 10^{-3} \text{ Oe}$
Flux magnetic	$E = - \frac{d\Phi}{dt}$	$L^2 M T^{-2} I^{-1}$	Weber Wb	$1 \text{ Wb} = 10^8 \text{ Mx}$ [Maxwellul (Mx) este unitatea CGS μ_0]
Inducția magnetică	$B = \frac{\Phi}{A}$	$M T^{-2} I^{-1}$	Tesla T	$1 \text{ T} = 1 \text{ Wb/m}^2 = 10^4 \text{ Gs}$

§ 2.7. Mărimi fotometrice și unitățile lor de măsură

Mărimea fotometrică aleasă ca fundamentală este intensitatea luminoasă **I**. (În analiza dimensională am notat-o cu I' pentru a o deosebi de intensitatea curentului electric care se notează cu I). Unitatea ei fundamentală de măsură este candela. Celelalte mărimi fotometrice se află într-o anumită relație cu intensitatea luminoasă. În tabela 2.9 sînt date denumirile mărimilor fotometrice fundamentale,

T a b e l a 2.9

Denumirea	Notatii și formule	Dimensiunile în sistemul SI	Denumirile notațiilor și definițiile unităților
Intensitatea luminoasă	I	I	Candela (cd) este intensitatea luminoasă emisă în direcție normală, la temperatura de solidificare a platinei și presiunea atmosferică normală de către suprafața unui radiator integral (corp negru) cu aria de $1/600000 \text{ m}^2$ (STAS 737-62)
Flux luminos	$\Phi = I\omega$	I	Lumenul (lm) este fluxul luminos emis, în unitatea de unghi solid (steradian), de către o sursă punctiformă și uniformă avînd intensitatea de o candelă
Iluminare ¹⁾	$E = \frac{\Phi}{S}$	$L^{-2}I$	Luxul (lx) este iluminarea unei suprafețe care primește un flux luminos de un lumen, uniform repartizat pe o suprafață de 1 m^2
Strălucire ²⁾	$B = \frac{I}{S}$	$L^{-2}I$	Candela pe metru pătrat (cd/m^2) este strălucirea uniformă a unei surse luminoase plane, de 1 m^2 , a cărei intensitate luminoasă, în direcție normală pe plan, este de 1 cd
Radianță ³⁾ (Radierea luminoasă)	$R = \frac{\Phi}{S}$	L^2I	Radianța de 1 lux (lx) este radianța uniformă a unei suprafețe care emite un flux de 1 lm pe 1 m^2
Cantitatea ⁴⁾ de lumină	$Q = \Phi \cdot T$	TI	Lumenul-secundă ($\text{lm} \cdot \text{s}$) este cantitatea de lumină corespunzătoare unui flux luminos de 1 lm în timp de 1 s
Cantitate de iluminare ⁵⁾	$L = E \cdot t$	$L^{-2}TI$	Luxul-secundă ($\text{lx} \cdot \text{s}$) este cantitatea produsă de o iluminare de 1 lx în timp de 1 s.

notațiile și formulele lor de definiție, unitățile lor de măsură în sistemul SI și definițiile adoptate în prezent ale unităților respective.

Note la tabela 2.9. 1) Pentru măsurarea iluminării E se mai folosește și unitatea denumită phot (ph) (în sistemul CGS), precum și un submultiplu al ei, miliphotul

$$1 \text{ ph} = \frac{1 \text{ lm}}{1 \text{ cm}^2} = 10^4 \text{ lx},$$

$$1 \text{ mph} = 10^{-3} \text{ ph} = 10 \text{ lx}.$$

2) Pentru măsurarea strălucirii B se mai folosește unitatea denumită stilb (sb) (în sistemul CGS), precum și unitățile denumite apostilb (asb), lambert (La) și mililambert (mLa)

$$1 \text{ sb} = \frac{1 \text{ cd}}{1 \text{ cm}^2} = 10^4 \text{ cd/m}^2,$$

$$1 \text{ asb} = \frac{1}{\pi} \text{ cd/m}^2 = \frac{1}{\pi \cdot 10^4} \text{ sb},$$

$$1 \text{ La} = \frac{1}{\pi} \text{ sb} = \frac{10^4}{\pi} \text{ cd/m}^2 = 10^4 \text{ asb},$$

$$1 \text{ mLa} = 10^{-3} \text{ La} = \frac{10}{\pi} \text{ cd/m}^2 = \frac{1}{\pi \cdot 10^3} \text{ sb} = 10 \text{ asb}.$$

3) Pentru măsurarea radianței R se mai folosește photul și miliphotul (mph)

$$1 \text{ ph} = 10^4 \text{ lx} = 10^3 \text{ mph}.$$

4) Pentru măsurarea cantității de lumină Q se mai folosește unitatea lumen-oră (lm · h)

$$1 \text{ lm} \cdot \text{h} = 3\,600 \text{ lm} \cdot \text{s}.$$

5) Pentru măsurarea cantității de iluminare se mai folosește unitatea phot-secundă

$$1 \text{ ph} \cdot \text{s} = 10^4 \text{ lx} \cdot \text{s}.$$

Note la tabela 2.10¹⁾. Deoarece în fizica atomică și nucleară se întâlnesc mase foarte mici, pentru măsurarea masei este foarte des utilizată unitatea atomică de masă (amu)¹⁾. O unitate atomică de masă este egală cu 1/16 din masa nuclidului ^{16}O .

$$1 \text{ amu} = 1,65979 \cdot 10^{-27} \text{ kg} = 931 \text{ MeV} = 1,49 \cdot 10^{-10} \text{ J}.$$

¹⁾ Atomic mass united.

§ 2.8. Mărimi și unități în fizica atomică și nucleară

T a b e l a 2.10

Denumirea mărimii	Notății și formule	Definiții	Dimensiuni în sistemele SI și CGS	Unități în sistemul SI
Masa de repaus a unei particule elementare ¹⁾	m_0	Masa pe care o are par- ticula elementară în- tr-un sistem de refe- rință, față de care ea se găsește în repaus în acel moment În funcție de particula elementară la care se referă simbolul, acesta va avea indicii după cum urmează: m_p pentru proton, m_n pentru neutron, m_e pentru electron etc.	M	kg
Energia de re- paus a unei par- ticule elemen- tare ²⁾	w_0	Energia corespunzătoare masei de repaus m_0 : $w_0 = m_0 \cdot c^2$ c este viteza undelor electromagnetice în vid	L^2MT^{-2}	J
Sarcina elemen- tară ³⁾	e	Valoarea absolută a sar- cinii electronului sau protonului	TI	C
Spinul unei parti- cule elementare	s	Valoarea maximă ex- primată în unități $\frac{h}{2\pi} = \hbar$ a proiecției momentului cinetic propriu al particulei elementare pe o direcție fixă; h este constanta lui Planck (vezi STAS (2848-51), iar \hbar este constanta raționalizată a lui Planck	Număr pur	

T a b e l a 2.10 (continuare)

Denumirea mărimii	Notății și formule	Definiții	Dimensiuni în sistemele SI și CGS	Unități în sistemul SI
Spinul nuclear	I	Valoarea maximă exprimată în unități $\hbar/2\pi = \hbar$ a proiecției momentului cinetic propriu al nucleului pe o direcție fixă	Număr pur	
Moment magnetic nuclear		Proiecția vectorului momentului magnetic al nucleului pe direcția momentului lui cinetic	$L^2 I$	$A \cdot m^2$
Intensitatea de particule	J	Numărul de particule care traversează un element de suprafață perpendicular pe direcția fluxului raportat la acest element de suprafață și la durata traversării	$L^{-2} T^{-1}$	$m^{-2} \cdot s^{-1}$
Secțiunea eficace ⁵⁾	σ	Numărul de procese de un anumit tip pe unitatea de timp pentru o particulă țintă raportat la intensitatea de particule incidente	L^2	m^2
Secțiune eficace macroscopică	Σ	Produsul secțiunii eficace σ prin numărul N de particule țintă pe unitatea de volum	L^{-1}	m^{-1}
Parcurs	R	Distanța medie pe care o particulă o străbate într-un mediu pînă la oprire	L	m
Parcurs masic	R_m	Produsul dintre parcursul R și densitatea ρ a mediului respectiv	$L^{-2} M$	kg/m^2

T a b e l a 2.10 (continuare)

Denumirea mărimii	Notații și formule	Definiții	Dimensiuni în sistemele SI și CGS	Unități în sistemul SI
Pierdere liniară de energie	S	$S = - \frac{dE}{dx}$ <p>E este energia cinetică a particulei, x este distanța străbătută de particulă pe traiectorie</p>	LMT^{-2}	J/m
Ionizare liniară	N_e	Raportul dintre numărul de perechi de ioni ΔN produși pe distanța Δx și această distanță Δx	L^{-1}	m^{-1}
Distanța de înjumătățire	$d_{1/2} = \frac{\ln 2}{\mu}$	Distanța în mediul atenuant pînă la care intensitatea fascicului se reduce la jumătate	L	m
Distanța de înjumătățire masică	$D_{1/2}$	Produsul dintre distanța de înjumătățire și densitatea ρ a mediului respectiv	L^{-2}M	kg/m^2
Coeficient de atenuare liniar	μ_l	Inversul distanței la care intensitatea fascicului care traversează un mediu scade pînă la $1/e$. Acest coeficient se folosește în cazul atenuării exponențiale	L^{-1}	m^{-1}
Coeficient de atenuare masic	μ_m	Raportul dintre coeficientul de atenuare liniar și densitatea ρ a mediului	L^2M^{-1}	m^2/kg
Constanta de dezintegrare	λ	Probabilitatea de dezintegrare a unei particule elementare sau a unui nucleu raportată la unitatea de timp	T^{-1}	s^{-1}

Tabela 2.10 (continuare)

Denumirea mărimii	Notatii și formule	Definiții	Dimensiuni în sistemele SI și CGS	Unități în sistemul SI
Viața medie	$\tau = \frac{1}{\lambda}$	Intervalul de timp în decursul căruia numărul de nuclee N_0 scade în medie la N_0/e e este baza logaritmiilor naturali	T	s
Timp de înjumătățire	$T_{1/2}$	Intervalul de timp în decursul căruia se dezintegrează în medie jumătate din numărul particulelor instabile respective	T	s
Activitatea unei surse ²⁾ (se mai numește și viteză de dezintegrare)	A	$A = -\frac{dN}{dt}$ N este numărul de nuclei radioactivi la momentul t	T^{-1}	s^{-1}
Activitate specifică	A_s	Raportul dintre activitatea unei surse radioactive și masa acestei surse	$M^{-1}T^{-1}$	$s^{-1} \cdot kg^{-1}$

2) Unitatea cea mai frecvent folosită pentru măsurarea energiei (în fizica atomică și nucleară) este electronvoltul (eV). El se definește ca fiind energia pe care o câștigă un electron care străbate o diferență de potențial de 1 V. Pe lângă electronvolt se folosesc și multiplii lui: kiloelectronvoltul (keV), megaelectronvoltul (MeV) și gigaelectronvoltul (GeV)

$$1 \text{ eV} = 1,60206 \cdot 10^{-19} \text{ J} = 1,07 \cdot 10^{-9} \text{ amu},$$

$$1 \text{ keV} = 10^3 \text{ eV},$$

$$1 \text{ MeV} = 10^6 \text{ eV},$$

$$1 \text{ GeV} = 10^9 \text{ eV},$$

$$1 \text{ J} = 6,7 \cdot 10^9 \text{ amu} = 6,25 \cdot 10^{18} \text{ eV}.$$

3) Pentru măsurarea sarcinii electrice se folosește mult unitatea e (egală cu sarcina electronului sau a protonului luată în valoare absolută) numită sarcină elementară

$$1 e = \frac{F}{N} = 1,60206 \cdot 10^{-19} \text{ C},$$

unde F este constanta lui Faraday, iar N este numărul lui Avogadro.

4) Pentru măsurarea momentelor magnetice sînt foarte mult folosiți magnetonul Bohr (μ_B) și magnetonul nuclear (μ_N)

$$1 \mu_B = 5,05038 \cdot 10^{-27} \text{ A} \cdot \text{m}^2$$

$$1 \mu_N = 0,92731 \cdot 10^{-13} \text{ A} \cdot \text{m}^2.$$

5) Pentru măsurarea secțiunilor eficace se folosește unitatea numită barn (b)

$$1 \text{ b} = 10^{-28} \text{ m}^2.$$

6) Unitatea cea mai des folosită este curie-ul (c). Un curie este cantitatea dintr-o substanță radioactivă în care au loc în fiecare secundă $3,7 \cdot 10^{10}$ procese de dezintegrare. O altă unitate, puțin folosită este rutherfordul (Rd). Pentru măsurarea radioactivității fluidelor se folosesc uneori unitățile eman și Mach

$$1 \text{ c} = 3,7 \cdot 10^{10} \text{ s}^{-1},$$

$$1 \text{ Rd} = 10^6 \text{ s}^{-1} = 2,7 \cdot 10^{-5} \text{ c},$$

$$1 \text{ eman} = 10^{-10} \text{ c/l} = 0,2748 \text{ unități Mach},$$

$$1 \text{ unitate Mach} = 3,64 \cdot 10^{-10} \text{ c/l} = 3,64 \text{ eman}.$$

§ 2.9. Constante fizice care se întilnese freevent

T a b e l a 2.11.

	Notăție	Valoarea numerică
Zero absolut de temperatură	0 °K	-273,16 °C
Lungimea de undă a liniei galbene a Na	—	5893 Å
Lungimea de undă a liniei roșii a Cd	—	6438,5 Å
Sarcina specifică a electronului	e/m	$1,7589 \cdot 10^{11} \text{ C/kg}$
Potențialul de ionizare al hidrogenului	—	$13,527 = 2,16 \cdot 10^{-18} \text{ J}$

Tabela 2.11 (continuare)

	Notăție	Valoarea numerică
Coeficientul de dilatare termică a gazelor la presiune constantă	C_p	$1/273 \cdot 16^\circ \text{K}^{-1} = 0,00366^\circ \text{K}^{-1}$
Masa atomului de hidrogen	m_H	$1,6734 \cdot 10^{-27} \text{ kg}$
Masa neutronului	m_n	$1,67470 \cdot 10^{-27} \text{ kg} = 1,008984 \text{ amu}$
Masa protonului	m_p	$1,67239 \cdot 10^{-27} \text{ kg} = 1,007597 \text{ amu}$
Echivalentul mecanic al caloriei	J	$4,1855 \text{ J/cal}$
Volumul unui mol (moleculă-gram) de gaz perfect în condiții normale	V_0	$22,4207 \text{ l/mol} = 2,24207 \cdot 10^{-2} \text{ m}^3/\text{mol}$
Densitatea apei la 4°C	—	$0,999973 \cdot 10^3 \text{ kg/m}^3$
Densitatea mercurului la 0°C	—	$13,5951 \cdot 10^3 \text{ kg/m}^3$
Densitatea aerului uscat în condiții normale		$1,293 \text{ kg/m}^3$
Constanta lui Boltzman	$k = \frac{R}{N}$	$1,3804 \cdot 10^{-23} \text{ J/}^\circ \text{K}$
Constanta lui Wien		$0,28978 \cdot 10^{-2} \text{ m} \cdot ^\circ \text{K}$
Constanta gazelor perfecte	R	$8,317 \cdot 10^7 \text{ J} \cdot \text{mol}^{-1} \cdot ^\circ \text{K}$
Constanta gravitației	κ	$6,67 \cdot 10^{-11} \text{ N} \cdot \text{m}^2/\text{kg}^2$
Constanta lui Planck	h	$6,624 \cdot 10^{-34} \text{ J} \cdot \text{s}$
Constanta lui Rydberg pentru hidrogen	R_∞	$1,097373 \cdot 10^7 \text{ m}^{-1}$
Constanta lui Stephan-Boltzman	$\sigma = \frac{2\pi^5 k^4}{15h^3 c^2}$	$5,693 \cdot 10^{-8} \text{ W/m}^2 \cdot ^\circ \text{K}^4$
Raza primei orbite a atomului de hidrogen		$0,528 \cdot 10^{-10} \text{ m}$
Viteza sunetului în aer în condiții normale		$331,4 \text{ m/s}$
Viteza luminii în vid	c	$2,997925 \cdot 10^8 \text{ m/s}$
Viteza electronului cu energia de 1 eV		$5,945 \cdot 10^3 \text{ m/s}$
Accelerația gravitației (normală)	g_n	$9,80665 \text{ m/s}^2$
Numărul lui Avogadro	N	$6,023 \cdot 10^{23} \text{ mol}^{-1}$
Numărul lui Loschmidt	$L_0 = \frac{N}{V_0}$	$2,6872 \cdot 10^{25} \text{ m}^{-3}$
Numărul lui Faraday (scara chimică)	F	$9,6494 \cdot 10^4 \text{ C/mol}$

T a b e l a 2.11 (continuare)

	Notăție	Valoarea numerică
Numărul lui Faraday (scara fizică)		$9,6521 \cdot 10^4$ C/mol
Unele mărimi geofizice și astronomice		
Raza ecuatorului globului pământesc		6378,3 km
Semiaxa polilor globului pământesc		6356,8 km
Densitatea medie a Pământului		$5,517 \cdot 10^3$ kg/m ³
Densitatea medie a Pământului la suprafață		2,65 kg/m ³
Distanța medie de la Pământ la Soare		$1,497 \cdot 10^{11}$ m
Distanța medie de la Pământ la Lună		$3,844 \cdot 10^8$ m
		60,3 raze terestre

2.2

Prelucrarea rezultatelor măsurărilor (elemente de teoria erorilor)

§ 2.10. Erori sistematice și întâmplătoare

Orice măsurare poate fi făcută, după cum se știe, numai cu o anumită aproximație; cu alte cuvinte, precizia măsurărilor este întotdeauna limitată și rezultatele măsurărilor efectuate oricât de exact, conțin totdeauna erori.

Toate erorile măsurărilor se împart în două categorii: erori sistematice și erori întâmplătoare.

1. Erorile sistematice, în majoritatea cazurilor apar din cauza impreciziei indicațiilor aparatelor, din cauza caracterului greșit al metodei de măsurare, sau, în sfârșit, din cauza vreunui factor exterior, însă cu acțiune unilaterală. Astfel, rezultatele măsurării temperaturii cu un termometru, la care punctul de zero este deplasat, vor fi sistematic incorecte atâta timp cât în rezultatele măsurărilor nu se va introduce corecția respectivă; tot astfel, încălzirea neuniformă a balansorului unui cântar, de exemplu, cu razele soarelui sau prin căldura unui radiator, va provoca o eroare sistematică la cântărire. Observarea și eliminarea unei erori sistematice la măsurări este o problemă foarte

complicată. Aceasta se realizează în urma unui studiu atent al aparatelor prin verificarea și corectarea lor și, în sfârșit, dacă este necesar, prin introducerea corecțiilor respective în rezultatele măsurărilor. În cele ce urmează vom presupune că erorile sistematice sînt complet excluse la măsurări.

2. **Erorile întîmplătoare**, sînt acele erori, care apar inevitabil la observarea indicațiilor unui aparat și la înregistrarea acestora; erorile nu urmează o lege constantă, deoarece la fiecare măsurare pot apare în aceeași măsură erori întîmplătoare, ce măresc valorile mărimilor măsurate, cît și erori, ce le micșorează. Din această cauză, pentru erorile întîmplătoare trebuie folosite legile stabilite de teoria probabilităților în legătură cu repetarea multiplă a așa-numitelor *fenomene întîmplătoare*. Este, desigur, imposibilă eliminarea la măsurări a erorilor întîmplătoare, însă teoria probabilităților a elaborat metode, care permit micșorarea influenței acestor erori asupra rezultatului definitiv al măsurărilor. Elementele teoriei erorilor întîmplătoare pot fi expuse în modul următor.

Dacă repetăm de n ori măsurarea unei anumite mărimi și dacă obținem pentru ea n valori, $a_1, a_2, a_3, \dots, a_n$, se poate admite că valoarea medie aritmetică a tuturor valorilor obținute, adică valoarea

$$A = \frac{a_1 + a_2 + a_3 + \dots + a_n}{n} = \frac{\sum_{i=1}^n a_i}{n} \quad (2.46)$$

trebuie să corespundă aproximativ valorii exacte a mărimii măsurate.

Acest „postulat al mediei aritmetice“, introdus de Gauss pe baza teoriei probabilităților, reprezintă numai situația cea mai probabilă, care însă devine cu atît mai sigură, cu cît numărul n este mai mare, adică cu cît s-au efectuat mai multe măsurări. De aici rezultă, în primul rînd, că fiecare măsurare fizică trebuie repetată de cîteva ori și, în al doilea rînd, că la un număr suficient de mare de măsurări valoarea cea mai probabilă a mărimii măsurate este determinată de media aritmetică a tuturor valorilor obținute la diferite măsurări.

§ 2.11. Erori absolute și erori relative

Diferențele dintre valoarea medie A a mărimii măsurate și valorile ei obținute la diferitele măsurări, adică valorile

$$A - a_1 = \varepsilon_1, A - a_2 = \varepsilon_2, A - a_3 = \varepsilon_3, \dots, A - a_n = \varepsilon_n,$$

se numesc de obicei (deși nu prea exact) *erori absolute* ale diferitelor măsurări. Evident, erorile absolute ε_i ($i = 1, 2, 3, \dots, n$) ale diferitelor măsurări pot fi și pozitive și negative.

Rapoartele dintre erorile absolute ale diferitelor măsurări și valorile respective $a_1, a_2, a_3, \dots, a_n$, adică rapoartele

$$\frac{\varepsilon_1}{a_1}, \frac{\varepsilon_2}{a_2}, \frac{\varepsilon_3}{a_3}, \dots, \frac{\varepsilon_n}{a_n},$$

se numesc *erori relative* ale diferitelor măsurări, adică

$$\delta_1 = \frac{\varepsilon_1}{a_1}, \quad \delta_2 = \frac{\varepsilon_2}{a_2}, \quad \delta_3 = \frac{\varepsilon_3}{a_3}, \dots, \delta_n = \frac{\varepsilon_n}{a_n}.$$

Tot astfel, raportul dintre eroarea absolută ε_A a rezultatului definitiv al măsurărilor și valoarea sa medie A se numește *eroarea relativă a rezultatului*

$$\delta_A = \frac{\varepsilon_A}{A}. \quad (2.47)$$

Erorile relative se exprimă de obicei în procente.

Erorile absolute nu depind de dimensiunile mărimii măsurate, adică sînt determinate numai de precizia măsurărilor, în timp ce în expresia erorilor relative, de exemplu în formula (2.47), intervine mărimea măsurată A , adică la o *aceeași precizie a măsurărilor eroarea lor relativă în diversele cazuri poate fi diferită*. Astfel, de exemplu, la măsurarea grosimii unor plăci cu un micrometru, a cărui precizie este de $\pm 0,01$ mm, eroarea absolută la toate măsurările va fi aceeași, și anume: nu mai mare ca $\pm 0,01$ mm, dar eroarea relativă a măsurărilor a două plăci cu grosimea de 1 mm și respectiv de 1 cm, va fi, conform formulei (2.47), complet diferită; în primul caz ea nu va fi mai mare de $\pm 1\%$, iar în al doilea caz nu va fi mai mare de $\pm 0,1\%$. După cum se vede, erorile relative calculate dau posibilitatea să se evalueze foarte intuitiv precizia măsurărilor și de aceea la toate măsurările se obișnuiește să se calculeze eroarea relativă a rezultatelor.

§ 2.12. Erorile rezultatului măsurărilor. Eroarea medie pătratică, eroarea probabilă și eroarea medie

Pentru a găsi eroarea relativă a rezultatului unor măsurări, adică mărimile δ_A din formula (2.47), trebuie să determinăm eroarea absolută ε_A . Pentru această mărime se introduc în teoria erorilor întîmplătoare trei formule diferite; ele dau expresiile a trei erori diferite ε_A , care pot fi folosite pentru caracterizarea preciziei rezultatelor măsurării. Aceste erori sînt următoarele: *eroarea medie pătratică* σ_A , *eroarea probabilă* r_A și *eroarea medie* η_A . De obicei, se calculează eroarea medie pătratică σ_A a rezultatului măsurărilor, sau eroarea probabilă r_A ; a treia eroare η_A se folosește mult mai rar.

Pentru eroarea medie pătratică σ_A teoria erorilor întîmplătoare conduce la expresia

$$\sigma_A = \pm \sqrt{\frac{\sum_{i=1}^n \varepsilon_i^2}{n(n-1)}}, \quad (2.48)$$

adică pentru calculul erorii medii pătratice a unui rezultat trebuie să scoatem rădăcina pătrată din citul obținut prin împărțirea sumei pătratelor erorilor absolute a tuturor măsurărilor la expresia $n(n-1)$,

unde n reprezintă, ca și înainte, numărul de măsurări. Este indicat să se determine erorile rezultatului (absolute și relative), folosind formula (2.48), însă aceste calcule sînt uneori foarte laborioase.

Toate erorile măsurărilor sînt, evident, cuprinse între valorile maxime pozitive și negative ale lui σ_A luate în valoare absolută, iar erorile întîmplătoare mari într-o direcție sau în alta sînt mai puțin probabile decît erorile mici, adică trebuie să se întîlnească mai rar. De aceea, există motive de a introduce în formula (2.48) un coeficient mai mic decît 1; acest coeficient, calculat pe baza teoriei probabilităților, este de 0,6745, sau aproximativ $2/3$. De aici, pentru eroarea probabilă r_A a rezultatului, se obține expresia

$$r_A = \pm 0,6745 \sqrt{\frac{\sum_{i=1}^n (\varepsilon_i^2)}{n(n-1)}}. \quad (2.49)$$

În formulele (2.48) și (2.49) se introduc două semne, deoarece ambele semne sînt egal posibile, adică valoarea exactă a mărimii măsurate poate fi și mai mare, și mai mică (este egal de probabil) decît valoarea determinată prin formula (2.46). Ea poate să se deosebească de această valoare prin valoarea σ_A , însă probabil, nu diferă mai mult decît cu r_A . Din formulele (2.48) și (2.49) se vede că dacă n crește, eroarea rezultatului scade proporțional cu rădăcina pătrată din $n(n-1)$, adică la un număr suficient de mare de măsurări eroarea rezultatului poate fi foarte mică.

Așadar, pe baza formulelor (2.46) și (2.49), putem scrie valoarea definitivă a mărimii măsurate

$$A = \frac{\sum_{i=1}^n a_i}{n} \pm 0,6745 \sqrt{\frac{\sum_{i=1}^n \varepsilon_i^2}{n(n-1)}}. \quad (2.50)$$

Primul termen din partea dreaptă a acestei expresii este valoarea cea mai probabilă a mărimii măsurate, iar al doilea termen eroarea probabilă.

Pentru familiarizarea în practică cu astfel de calcule, vom analiza următorul exemplu.

S-a măsurat rezistența electrică R a unei bobine. Măsurările au fost repetate de zece ori; rezultatele lor, exprimate în ohmi, sînt 6,270; 6,2777; 6,271; 6,273; 6,276; 6,272; 6,278; 6,275; 6,277; 6,274.

Din formula (2.46) găsim valoarea medie a rezultatului măsurărilor

$$R = \frac{\sum_{i=1}^{10} R_i}{n} = 6,274(3) \Omega.$$

De aici se obțin erorile absolute ε_R ale tuturor măsurărilor și se calculează pătratele lor ε_R^2 . Rezultatele sînt date în tabela 2.12.

T a b e l a 2.12. Erorile absolute ale măsurărilor și pătratele lor

ε_R	+0,004	-0,003	+0,003	+0,001	-0,002
ε_R^2	$16 \cdot 10^{-6}$	$9 \cdot 10^{-6}$	$9 \cdot 10^{-6}$	$1 \cdot 10^{-6}$	$4 \cdot 10^{-6}$
ε_R	+0,002	-0,004	-0,001	-0,003	0,000
ε_R^2	$4 \cdot 10^{-6}$	$16 \cdot 10^{-6}$	$1 \cdot 10^{-6}$	$9 \cdot 10^{-6}$	0

Din tabelă găsim suma pătratelor tuturor erorilor

$$\sum \varepsilon_R^2 = 0,000069.$$

Pe baza formulelor (2.48) și (2.49) se calculează eroarea medie pătratică și eroarea probabilă a rezultatului

$$\sigma_R = \pm \sqrt{\frac{0,000069}{10 \cdot 9}} = \pm 0,0009,$$

$$r_R = \pm 0,6745 \cdot 0,0009 = \pm 0,0006.$$

Rezultatul definitiv al măsurărilor poate fi scris astfel:

$$R = (6,274 \pm 0,0006) \Omega.$$

Primul termen din partea dreaptă a acestei egalități este valoarea probabilă maximă a rezistenței R a bobinei, iar al doilea eroarea probabilă a măsurărilor sale.

Dacă în locul erorii probabile r_R se introduce eroarea medie pătratică σ_R , atunci același rezultat poate fi scris sub forma

$$R = (6,274 \pm 0,001) \Omega,$$

unde valoarea erorii medii pătratice este rotunjită pînă la zecimala a treia.

§ 2.13. Determinarea erorilor funcțiilor după erorile argumentelor

Se întîmplă uneori să se măsoare o anumită mărime în mod direct; astfel de măsurări se întîlnesc numai în cazurile cele mai simple, la măsurarea lungimilor, la determinarea greutății corpurilor cu cîntare obișnuite, la măsurarea intervalelor de timp. În majoritatea cazurilor, însă, trebuie să măsurăm în mod direct nu mărimea căutată, ci alte mărimi, legate de ea prin relații matematice cunoscute (formule),

care sînt determinate de legile fenomenului dat și care dau posibilitatea ca din rezultatele măsurărilor directe să se calculeze mărimea căutată, fără a recurge la măsurarea ei directă. În asemenea cazuri se constată că eroarea valorii obținute a mărimii căutate depinde nu numai de erorile comise la măsurările directe, ci și de felul formulei matematice, care leagă mărimea căutată de mărimile măsurate direct. La studiul acestor probleme s-a dovedit foarte indicată folosirea metodelor calculului diferențial, considerînd mărimea căutată ca o funcție, iar mărimile măsurate direct ca argumentele ei; felul dependenței funcționale este determinat de formula care leagă aceste mărimi.

Vom admite la început că măsurarea unei anumite mărimi A , (măsurarea care nu se poate efectua direct), se înlocuiește prin măsurarea altei mărimi x , legată de prima printr-o anumită relație

$$A = f(x). \quad (2.51)$$

Se presupune că la măsurarea mărimii x eroarea medie absolută a rezultatului este de $\pm dx$. Această eroare, la calculul valorii A pe baza formulei (2.51), dă o eroare absolută egală cu $\pm dA$. Deci

$$A + dA = f(x + dx).$$

Pe baza definiției generale a diferențialei se obține

$$dA = \frac{df(x)}{dx} dx. \quad (2.52)$$

Pe baza formulelor (2.47) și (2.51) eroarea relativă E în determinarea lui A , este

$$E = \frac{dA}{A} = \frac{\frac{df(x)}{dx} dx}{f(x)} = \frac{df(x)}{f(x)}.$$

Partea dreaptă a acestei ecuații este diferențiala logaritmului natural al lui $f(x)$

$$E = \frac{dA}{A} = d \ln f(x), \quad (2.53)$$

adică *eroarea relativă a funcției* este egală cu diferențiala logaritmului natural al acestei funcții.

Dacă pentru determinarea unei mărimi A trebuie să se efectueze măsurările citorva mărimi, să zicem două, x_1 și x_2 , legate de mărimea A tot printr-o relație dată, atunci, în mod analog, se poate scrie

$$A = f(x_1, x_2). \quad (2.54)$$

Erorile absolute comise la măsurarea lui x_1 și x_2 le vom nota cu dx_1 și dx_2 . Fiecare dintre aceste erori determină o eroare parțială

absolută la determinarea lui A ; aceste erori parțiale absolute se notează cu dA_{x_1} și dA_{x_2} . Evident, pentru a găsi pe $\frac{\partial A}{\partial x_1}$ trebuie să aplicăm formula (2.52), considerînd că x_2 este constant, iar pentru a găsi pe $\frac{\partial A}{\partial x_2}$ trebuie să aplicăm din nou aceeași formulă, considerînd pe x_1 constant; cu alte cuvinte, pentru determinarea lui $d_{x_1}A$ și $d_{x_2}A$ trebuie să găsim derivatele parțiale ale funcției (2.54) în raport cu x_1 și x_2 ; se obțin

$$d_{x_1}A = \frac{\partial f(x_1, x_2)}{\partial x_1} dx_1, \quad d_{x_2}A = \frac{\partial f(x_1, x_2)}{\partial x_2} dx_2.$$

Să presupunem că are loc cazul cel mai nefavorabil, și anume că eroarea absolută dA a rezultatului definitiv este egală cu suma valorilor absolute ale erorilor parțiale. Cu alte cuvinte, calculăm valoarea maximă posibilă a erorii absolute dA a rezultatului. Se obține

$$dA = |dx_1A| + |dx_2A| = \left| \frac{\partial f(x_1, x_2)}{\partial x_1} dx_1 \right| + \left| \frac{\partial f(x_1, x_2)}{\partial x_2} dx_2 \right|. \quad (2.55)$$

Conform formulei (2.47), pentru calculul valorii maxime posibile a erorii relative a rezultatului, se împart ambele părți ale acestei ecuații cu A și, avînd în vedere formula (2.52), se găsește

$$\frac{dA}{A} = \left| \frac{\partial f(x_1, x_2)}{\partial x_1} \frac{dx_1}{f(x_1, x_2)} \right| + \left| \frac{\partial f(x_1, x_2)}{\partial x_2} \frac{dx_2}{f(x_1, x_2)} \right|.$$

Partea dreaptă a acestei expresii este, evident, egală cu diferențiala totală a logaritmului natural al funcției (2.52), în care s-a luat suma valorilor absolute a tuturor termenilor

$$\frac{dA}{A} = d \ln f(x_1, x_2). \quad (2.56)$$

Aceleași considerații pot fi făcute și în cazul cînd determinarea unei mărimi cere măsurarea nu a altor două, ci a cîtorva mărimi, adică atunci cînd mărimea A este o funcție de cîteva variabile independente

$$A = f(x_1, x_2, \dots, x_n).$$

Se obțin formule analoge cu (2.55) și (2.56). De aici rezultă concluzia că la determinarea unei mărimi, care cere măsurarea altor cîtorva mărimi.

1) *valoarea maximă a erorii absolute* a rezultatului este egală cu diferențiala totală a funcției, care determină dependența mărimii date de mărimile măsurate, iar la calculul diferențialei trebuie să se

ia suma valorilor absolute ale tuturor derivatelor parțiale (toate erorile parțiale se adună);

2) *valoarea maximă a erorii relative* a rezultatului este egală cu diferențiala totală a logaritmului natural al funcției, care determină dependența mărimii date de mărimile măsurate, iar la calculul diferențialei trebuie să se ia suma valorilor absolute a diferențialelor tuturor termenilor logaritmului (toate erorile parțiale se adună).

§ 2.14. Exemple de calcul al erorilor rezultatelor măsurărilor

1. Accelerația gravitației se determină prin metoda pendulului. Din formula perioadei micilor oscilații ale pendulului

$$T = 2\pi \sqrt{\frac{l}{g}}.$$

Se obține formula pentru calculul lui g

$$g = 4\pi^2 \frac{l}{T^2}. \quad (2.57)$$

Măsurarea mărimilor, care intervin în partea dreaptă a formulei (2.57), a dat următoarele rezultate:

1. Lungimea l a pendulului, măsurată cu o precizie pînă la 0,1 mm, este egală cu 50,02 cm; astfel, erorile de măsurare a lungimii sînt: cea absolută, Δl egală cu $\pm 0,1$ mm = $\pm 0,0001$ m și cea relativă $\Delta l/l$ determinată pe baza formulei (2.47), este $\pm 0,0002 = \pm 0,02$ %.

2. Perioada oscilațiilor mici, măsurată cu o precizie pînă la 10^{-4} s, este egală cu 1,4196 s; așadar, erorile de măsurare a perioadei sînt: cea absolută de $\pm 10^{-4}$ s, iar cea relativă $\Delta t/t$ de $\pm 0,00014 = \pm 0,014$ %.

Se cere să se calculeze valoarea maximă:

a) a erorii absolute și

b) a erorii relative în determinarea lui g .

a) Pentru calculul erorilor parțiale la determinarea lui g , produse de erorile la măsurarea separată a lui l și T , se calculează derivatele parțiale ale funcției (2.57) în raport cu l și t

$$d_l g = \frac{\partial \left(4\pi^2 \frac{l}{T^2} \right)}{\partial l} dl = \frac{4\pi^2}{T^2} dl \text{ și } d_T g = \frac{\partial \left(4\pi^2 \frac{l}{T^2} \right)}{\partial T} dT = -\frac{8\pi^2 l}{T^3} dT.$$

De aici, conform formulei (2.55), se ia suma mărimilor absolute ale diferențialelor parțiale, se obține:

$$dg = \frac{4\pi^2}{T^2} dl + 8 \frac{\pi^2 l}{T^3} dT.$$

Înlocuind în această expresie valorile l și dl (sau Δl), T și dT (sau ΔT), se obține

$$\begin{aligned}\Delta g &= \frac{4\pi^2}{1,42^2 \text{ s}^2} \cdot 0,0001 \text{ m} + 8 \frac{\pi^2 \cdot 0,5002 \text{ m}}{1,42^3 \text{ s}^3} \cdot 10^{-4} \text{ s} = \\ &= 0,00197 \frac{\text{m}}{\text{s}^2} + 0,00277 \frac{\text{m}}{\text{s}^2},\end{aligned}$$

adică valoarea maximă a erorii absolute la determinarea lui g cu aparatele date este aproximativ egală cu

$$\Delta g = \pm 0,0047 \text{ m/s}^2.$$

b) Să calculăm logaritmul natural al expresiei (2.57)

$$\ln g = \ln 4 + 2 \ln \pi + \ln l - 2 \ln T;$$

luăm în partea dreaptă suma valorilor absolute ale termenilor, și găsim diferențiala acestei expresii

$$d \ln g = d \ln l + 2 d \ln T.$$

Efectuind diferențierea, obținem

$$\frac{dg}{g} = \frac{dl}{l} \pm 2 \frac{dT}{T}.$$

Introducând în această expresie valorile erorilor relative la determinarea lui l și T , obținem valoarea maximă a erorii relative la determinarea lui g cu aparatele date

$$\frac{\Delta g}{g} = \pm 0,00048,$$

sau aproximativ

$$\frac{\Delta g}{g} = \pm 0,05 \, \%.$$

Toate calculele din acest exemplu au fost efectuate conform teoriei expuse mai înainte; totuși, în practică ele pot fi efectuate mai simplu, deoarece determinând una din erori (absolută sau relativă), cealaltă poate fi găsită direct din formula (2.47), dacă valoarea mărimii căutate este deja determinată, chiar și aproximativ. Astfel, în acest exemplu, împărțind valoarea obținută pentru eroarea absolută $\pm 0,0047 \text{ m/s}^2$ la valoarea medie a lui g (adică $9,80 \text{ m/s}^2$), obținem direct valoarea erorii relative.

Mai departe trebuie îndreptată atenția asupra faptului că, deși eroarea relativă la măsurarea lui T ($0,014\%$) este mai mică decât eroarea relativă la măsurarea lui l ($0,02\%$), influența primei erori asupra mărimii erorii rezultatului este mare; aceasta se explică prin faptul că în formula (2.57) T intervine la puterea a doua și deci eroarea se dublează în rezultatul final.

II. Coeficientul de frecare internă al unui lichid η se determină prin metoda tubului capilar; pentru calculul lui η , din rezultatele măsurărilor se folosește formula lui Poiseuille

$$\eta = \frac{\pi p r^4 t}{8 l V} \quad (2.58)$$

unde p este presiunea sub care se află lichidul, r raza capilarului, l lungimea sa și t timpul, în care se scurge volumul V de lichid.

Valorile acestor mărimi și erorile măsurărilor lor, după cum a arătat un studiu preliminar al aparatelor sînt următoarele (tabela 2.13):

T a b e l a 2.13. Erorile absolute și erorile relative ale măsurărilor

Mărimea măsurată	Valoarea aproximativă	Eroarea absolută a măsurării	Eroarea relativă
p	20 cm Hg	$\pm 0,1$ mm Hg	$\pm 0,0005$
r	0,001 m	$\pm 0,0001$ m	$\pm 0,01$
l	0,1 m	$\pm 0,0001$ m	$\pm 0,001$
t	25 s	$\pm 0,1$ s	$\pm 0,004$
V	$5 \cdot 10^{-6}$ m ³	$\pm 10^{-9}$ m ³	$\pm 0,0002$

După aceste date trebuia să calculăm eroarea relativă la determinarea lui η . Să logaritmăm formula (2.58)

$$\ln \eta = \ln \pi + \ln p + 4 \ln r + \ln t - \ln l - \ln V$$

și să diferențiem această expresie

$$d \ln \eta = d \ln p + 4 d \ln r + d \ln t - d \ln l - d \ln V.$$

Executînd diferențierea și luînd în partea dreaptă suma valorilor absolute, ale tuturor termenilor (toate erorile se adună), obținem

$$\frac{d\eta}{\eta} = \frac{dp}{p} + 4 \frac{dr}{r} + \frac{dt}{t} + \frac{dl}{l} + \frac{dV}{V}.$$

Înlocuind în partea dreaptă a acestei expresii erorile relative obținute mai sus pentru toate măsurările, rezultă:

$$\frac{\Delta \eta}{\eta} = \pm 0,0005 + 4 \cdot 0,01 + 0,004 + 0,001 + 0,0002,$$

adică eroarea relativă la determinarea lui η este

$$\frac{\Delta \eta}{\eta} = \pm 0,0457,$$

sau aproximativ

$$\frac{\Delta \eta}{\eta} = \pm 4,6\%.$$

După cum vedem, în cazul dat, influența mai mare asupra erorii rezultatului are eroarea la măsurarea razei r a capilarului, în primul rând deoarece eroarea relativă la măsurarea sa este mai mare decât celelalte erori și, în al doilea rând, pentru că în formula (2.58) r intervine la puterea a patra, adică eroarea măsurării lui r în rezultatul final crește de patru ori. De aici rezultă că dacă dorim să mărim precizia determinării coeficientului de frecare internă prin această metodă, trebuie mai întâi să micșorăm eroarea la măsurarea lui r , adică să efectuăm măsurarea razei capilarului cu un grad de precizie cât mai mare.

§ 2.15. Determinarea condițiilor celor mai favorabile pentru măsurări

Prin aceleași metode ale calculului diferențial se reușește să se rezolve, deși nu totdeauna, problema găsirii condițiilor celor mai favorabile pentru măsurări.

Condițiile cele mai favorabile pentru măsurări vor fi, evident, acelea pentru care eroarea rezultatului este minimă. De aici rezultă că din punct de vedere matematic problema se reduce la găsirea condițiilor de minim ale expresiilor (2.53) în cazul cel mai simplu și (2.56) într-un caz mai complex. Pentru aceasta trebuie să folosim regulile generale din calculul diferențial, pentru găsirea minimelor funcțiilor de una sau mai multe variabile, după cum urmează:

1. În primul caz trebuie să găsim derivata expresiei (2.52) în raport cu x și s-o egalăm cu zero, determinind de aici valoarea respectivă pentru x ; să presupunem că ea este a . Luăm derivata a doua a funcției (2.52) în raport cu x și în expresia ei să înlocuim pe x cu valoarea a ; dacă pentru $x = a$ derivata a doua este pozitivă, funcția (2.52) pentru $x = a$ prezintă un minim.

2. În al doilea caz trebuie să găsim derivatele parțiale de ordinul întâi ale expresiei (2.56) după toate variabilele independente și din ecuațiile obținute, prin anularea acestor derivate, să determinăm valorile tuturor variabilelor. Condițiile suplimentare ale minimului cer din nou determinarea semnului derivatelor parțiale de ordinul doi pentru valorile găsite ale variabilelor.

Determinarea condițiilor celor mai favorabile pentru măsurări nu dă totdeauna un rezultat pozitiv, deoarece nu toate funcțiile au un minim. În anumite cazuri, însă, determinarea condițiilor de minim ale erorii, adică determinarea condițiilor celor mai favorabile pentru măsurări poate fi făcută foarte simplu.

Exemplu. La determinarea rezistenței conductorilor prin metoda punții cu fir rezistența R_x se calculează cu formula

$$R_x = R_0 \frac{l_1}{l_2}, \quad (2.59)$$

unde R_0 este etalonul de rezistență, iar l_1 și l_2 sînt lungimile celor două părți ale firului punții, în care el este împărțit prin contactul

mobil, atunci când se obține devierea zero a galvanometrului. Să determinăm poziția optimă a contactului mobil (adică lungimea relativă l_1 și l_2), pentru care eroarea măsurărilor este minimă.

Lungimea întregului conductor de măsurat o vom considera constantă, notind cu l . Evident,

$$l_1 + l_2 = l$$

și formula (2.59) poate fi scrisă sub forma

$$R_x = R_0 \frac{l_1}{l - l_1}.$$

Aplicînd logaritmi naturali acestei expresii

$$\ln R_x = \ln R_0 + \ln l_1 - \ln (l - l_1).$$

Să calculăm diferențiala acestei expresii, luînd în prima parte suma valorilor absolute ale tuturor termenilor, adică să găsim, conform (2.53), valoarea erorii relative a măsurărilor

$$\frac{dR_x}{R_x} = \left(\frac{1}{l_1} + \frac{1}{l - l_1} \right) dl.$$

Această expresie va avea un minim atunci, cînd coeficientul lui dl va fi minim; să-l notăm cu Z , adică să punem

$$Z = \frac{1}{l_1} + \frac{1}{l - l_1}. \quad (2.60)$$

Să calculăm prima și a doua derivată a lui Z în raport cu l_1

$$\frac{dZ}{dl_1} = \frac{1}{(l - l_1)^2} - \frac{1}{l_1^2}, \quad \frac{d^2Z}{dl_1^2} = \frac{2}{(l - l_1)^3} + \frac{2}{l_1^3}.$$

Pentru toate valorile posibile l_1 , derivata a doua este pozitivă, deoarece l_1 este totdeauna mai mic decît l . De aceea, funcția (2.60) are un minim pentru o valoare a lui l_1 , care se obține, dacă egalăm cu zero prima derivată; așadar,

$$\frac{1}{(l - l_1)^2} - \frac{1}{l_1^2} = 0,$$

de unde obținem

$$l_1 = \frac{l}{2}, \quad (2.61)$$

adică condițiile cele mai bune de măsurare vor fi realizate în cazul în care contactul mobil se află la mijlocul ($l_1 = l_2 = l/2$) conductorului de măsurat. Conform formulei (2.59), pentru aceasta este necesar ca etalonul R_0 și rezistența măsurată R_x să fie aproximativ de același ordin de mărime.

2.3

Tabele fizice

§ 2.16. Proprietățile generale ale corpurilor

Tabela 2.14. Masele atomice relative (greutățile atomice) ale elementelor chimice

În tabelă sînt date: denumirile elementelor chimice în ordine alfabetică, simbolurile lor, numerele de ordine și masele atomice relative după datele din 1960.

Parantezele drepte indică elementele obținute în mod artificial; pentru ele este dată masa atomică relativă a izotopului cu perioada de înjumătățire cea mai mare.

Tabela 2.14

Denumirea	Simbol	Numărul de ordine Z	Masa atomică relativă M_A	Denumirea	Simbol	Numărul de ordine Z	Masa atomică relativă M_A
Actiniu	Ac	89	[227]	Cositor			
Aluminiu	Al	13	26,9815	(Staniu)	Sn	50	118,69
Americiu	Am	95	[243]	Crom	Cr	24	51,996
Argint	Ag	47	107,870	Cupru	Cu	29	63,54
Argon	Ar	18	39,948	Curium	Cm	96	[247]
Arsen	As	33	74,9216	Dysprosiu	Dy	66	162,50
Astatinu	At	85	[210]	Einsteinu	Es	99	[254]
Aur	Au	79	196,967	Erbu	Er	68	167,26
Azot	N	7	14,0067	Europiu	Eu	63	151,96
Bariu	Ba	56	137,34	Fermiu	Fm	100	[253]
Beriliu				Fier	Fe	26	55,847
(Gluciniu)	Be	4	9,0122	Fluor	F	9	18,9984
Berkeliu	Bk	97	[249]	Fosfor	P	15	30,9738
Bismut	Bi	83	208,980	Franciu	Fr	87	[223]
Bor	B	5	10,811	Gadoliniu	Gd	64	157,25
Brom	Br	35	79,909	Galiu	Ga	31	69,72
Cadmiu	Cd	48	112,40	Germaniu	Ge	32	72,59
Calcium	Ca	20	40,08	Hafniu	Hf	72	178,49
Californiu	Cf	98	[251]	Helu	He	2	4,0026
Carbon	C	6	12,01115	Hidrogen	H	1	1,00797
Ceriu	Ce	58	140,12	Holmiu	Ho	67	164,930
Cesiu	Cs	55	132,905	Indiu	In	49	114,82
Clor	Cl	17	35,453	Iod	I	53	126,9044
Cobalt	Co	27	58,9332	Iridiu	Ir	77	192,2

T a b e l a 2.14 (continuare)

Denumirea	Sim-bol	Numărul de ordine Z	Masa atomică relativă M_A	Denumirea	Sim-bol	Numărul de ordine Z	Masa atomică relativă M_A
Kripton	Kr	36	83,80	Radon	Rn	86	[222]
Lantan	La	57	138,91	Reniu	Re	75	186,2
Lawrenciu	Lw	103	[255]	Rhodi	Rh	45	102,905
Litiu	Li	3	6,939	Rubidiu	Rb	37	85,47
Lutețiu	Lu	71	174,97	Rutheniu ²⁾	Ru	44	101,07
(Cassiopeium)				Samariu	Sm	62	150,35
Magneziu	Mg	12	24,312	Scandiu	Sc	21	44,956
Mangan	Mn	25	54,9380	Siliciu	Si	14	28,086
Mendeleeviu	Md	101	[256]	Seleniu	Se	34	78,96
Mercur	Hg	80	200,59	Sodiu	Na	11	22,9898
(Hidrargir)				(Natriu)			
Molibden	Mo	42	95,94	Stronțiu	Sr	38	87,62
Neon	Ne	10	20,183	Stibiu	Sb	51	121,75
Neptuniu	Np	93	[237]	(Antimoniu)			
Neodin	Nd	60	144,24	Sulf	S	16	32,064
Nichel	Ni	28	58,71	Taliu	Tl	81	204,37
Niobiu	Nb	41	92,906	Tantal	Ta	73	180,948
(Columbin)				Telur	Te	52	127,60
Nobelium	No	102	[255]	Terbiu	Tb	65	158,924
Oxigen	O	8	15,9994	Tehnetiu	Tc	43	[99]
Osmiu	Os	76	190,2	Titan	Ti	22	47,90
Paladiu	Pd	46	106,4	Toriu	Th	90	232,038
Platină	Pt	78	195,09	Tuliu	Tu	69	168,934
Plutoni	Pu	94	[242]	Uranu	U	92	238,03
Plumb	Pb	82	207,19	Vanadiu	V	23	50,942
Poloni	Po	84	[210]	Xenon	Xe	54	131,30
Potasiu	K	19	39,102	Yterbiu	Yb	70	173,04
(Kaliu)				Ytriu	Y	39	88,905
Praseodim	Pr	59	140,907	Zinc	Zn	30	65,37
Prometiu	Pm	61	[145]	Zirconiu	Zr	40	91,22
Protactiniu	Pa	91	[231]	Wolfram	W	74	183,85
Radiu	Ra	88	[226]	(Tungsten)			

Note la tabela 2.14. 1) Masele atomice relative erau date înainte în așa-numita *scară chimică*, în care masa atomică relativă a oxigenului era luată riguros egală cu 16. În fizică, în special la studiul fenomenelor nucleare, se folosea așa-numita *scară fizică*, (v. tabela 2.10) în care se considera riguros egală cu 16 masa atomică relativă a izotopului oxigenului ^{16}O . Oxigenul natural are trei izotopi stabili (vezi tabela 2.15) a căror pondere în condiții naturale rămâne perfect constantă și anume

$$^{16}\text{O}(99,76\%), \quad ^{17}\text{O}(0,04\%) \text{ și } ^{18}\text{O}(0,20\%).$$

Așadar, unitatea atomică de masă (amu) în scara fizică este ceva mai mică decât aceeași unitate în scara chimică; raportul lor este

$$\frac{\text{amu în scara fizică}}{\text{amu în scara chimică}} = 1,000278.$$

amu în scara fizică

Datorită acestui fapt, valorile numerice în scara chimică ale maselor atomice relative, precum și valorile diferitelor mărimi care depind de ele, diferă puțin de valorile aceluiași mărimi în scara fizică. Astfel, masa atomică relativă a hidrogenului, în scara chimică era egală cu 1,00800, iar în scara fizică cu 1,00828; masa atomică relativă a oxigenului natural, riguros egală cu 16 în scara chimică, era în scara fizică egală cu 16,004448 etc.

Astăzi, însă, în urma deciziei luate de Uniunea Internațională de Chimie pură și aplicată, la conferința din 1961, masele atomice relative ale elementelor au fost recalculate pe baza considerentului că masa atomică relativă a izotopului ^{12}C este riguros egală cu 12.

2) *Ruthenia* este denumirea latină a Rusiei. Ruteniul a fost descoperit de profesorul K.K.Klaus (1796—1864) de la Universitatea din Kazan, în reziduurile de la prelucrarea platinei de Ural.

T a b e l a 2.15. Sistemul periodic al elementelor

Esența legii periodice, stabilită de D.I. Mendeleev, a fost definită foarte bine de autor însuși: „Proprietățile chimice și fizice ale combinațiilor de elemente sînt într-o dependență periodică de valorile masei atomice relative a elementelor“. D.I. Mendeleev și-a susținut în mod foarte convingător și explicit afirmația sa, arătînd că dacă elementele chimice sînt ordonate după valorile crescînde ale maselor atomice relative, atunci, în timp ce în tot acest șir valorile maselor atomice relative variază numai într-un singur sens, proprietățile elementelor variază periodic; cu alte cuvinte, întregul șir de elemente poate fi împărțit în anumite intervale, în limitele cărora proprietățile elementelor prezintă o periodicitate clară. Pe baza acestui fapt, Mendeleev a compus primul tabel periodic al elementelor, în care acestea au fost împărțite în opt grupe, astfel încît elementele cu proprietăți comune au fost ordonate unul sub celălalt pe verticală. Mai tîrziu, la aceste opt grupe a fost adăugată încă o grupă, grupa zero a gazelor inerte.

Pe baza acestei periodicități, Mendeleev a tras o serie de concluzii importante; astfel în tabelul periodic el a lăsat o serie de locuri libere corespunzătoare (conform concluziilor sale) unor elemente încă nedescoperite în vremea sa. De asemenea el a mai tras concluzia că valoarea masei atomice relative a unui element poate fi corectată „cunoscînd analogii lui“. Aceste concluzii au fost confirmate mai tîrziu într-un mod strălucit.

În timpurile noastre în sistemul periodic al lui Mendeleev a fost făcută o modificare esențială, ceea ce a permis explicarea cauzelor periodicității proprietăților elementelor, cauze care înainte rămăseseră neclarificate.

	GRUPELE				
	I	II	III	IV	V
1	1 H				
K	1				
2	3 Li	4 Be	5 B	6 C	7 N
K,L	2,1	—,2	—,3	—,4	—,5
3	11 Na	12 Mg	13 Al	14 Si	15 P
K,L,M	2,8,1	—,—,2	—,—,3	—,—,4	—,—,5
4	19 K	20 Ca	21 Sc	22 Ti	23 V
	2,8,8,1	—,—,8,2	—,—,9,2	—,—,10,2	—,—,11,2
	29 Cu	30 Zn	31 Ga	32 Ge	33 As
K,L,M,N	2,8,18,1	—,—,—,2	—,—,—,3	—,—,—,4	—,—,—,5
5	37 Rb	38 Sr	39 Y	40 Zr	41 Nb
	2,8,18,8,1	—,—,—,8,2	—,—,—,9,2	—,—,—,10,2	—,—,—,12,1
	47 Ag	48 Cd	49 In	50 Sn	51 Sb
K,L,M,N,O	2,8,18,18,1	—,—,—,—,2	—,—,—,—,3	—,—,—,—,4	—,—,—,—,5
6	55 Cs	56 Ba	57 La 58...71	72 Hf	73 Ta
	2,8,18,18,8,1	—,—,—,—,8,2	—,—,—,—,9,2	2,8,18,32,10,2	—,—,—,—,11,2
	79 Au	80 Hg	81 Tl	82 Pb	83 Bi
K,L,M,N,O,P	2,8,18,32,18,1	—,—,—,—,—,2	—,—,—,—,—,3	—,—,—,—,—,4	—,—,—,—,—,5
7	87 Fr	88 Ra	89 Ac 90...103		
K,L,M,N,O,P,Q	2,8,18,32,18,8,1	—,—,—,—,—,8,2	—,—,—,—,—,9,2		

6 Lantanide	58 Ce	59 Pr	60 Nd	61 Pm	62 Sm	63 Eu	64 Gd
	2,8,18,19,9,2	—,—,—,20,9,2	—,—,—,21,9,2	—,—,—,22,9,2	—,—,—,23,9,2	—,—,—,24,9,2	—,—,—,25,9,2

7 Actinide	90 Th	91 Pa	92 U	93 Np	94 Pu	95 Am	96 Cm
	2,8,18,32,18,10,2	—,—,—,—,20,9,2	—,—,—,—,21,9,2	—,—,—,—,22,9,2	—,—,—,—,23,9,2	—,—,—,—,24,9,2	—,—,—,—,25,9,2

Tabela 215

ELEMENTELOR					
VI	VII		VIII		0
					2 He
					2
8 O	9 F				10 Ne
-,6	-,7				2,8
16 S	17 Cl				18 Ar
-, -,6	-, -,7				2,8,8
24 Cr	25 Mn	26 Fe	27 Co	28 Ni	
-, -,13,1	-, -,13,2	-, -,14,2	-, -,15,2	-, -,16,2	
34 Se	35 Br				36 Kr
-, -, -,6	-, -, -,7				2,8,18,8
42 Mo	43 Tc	44 Ru	45 Rh	46 Pd	
-, -, -,13,1	-, -, -,14,1	-, -, -,15,1	-, -, -,16,1	-, -, -,18,18,0	
52 Te	53 J				54 Xe
-, -, -, -,6	-, -, -, -,7				2,8,18,18,8
74 W	75 Re	76 Os	77 Ir	78 Pt	
-, -, -, -,12,2	-, -, -, -,13,2	-, -, -, -,14,2	-, -, -, -,15,2	-, -, -, -,17,1	
84 Po	85 At				86 Rn
-, -, -, -, -,6	-, -, -, -, -,7				2,8,18,32,18,8

88 Td	89 Dy	87 Ho	88 Er	89 Tu	70 Yb	71 Lu
-, -, -,26,9,2	-, -, -,27,9,2	-, -, -,28,9,2	-, -, -,29,9,2	-, -, -,30,9,2	-, -, -,31,9,2	-, -, -,32,9,2

97 Bh	99 Cf	99 Es	100 Fm	101 Md	102 No	103 Lw
-, -, -, -,28,9,2	-, -, -, -,27,9,2	-, -, -, -,28,9,2	-, -, -, -,29,9,2	-, -, -, -,30,9,2	-, -, -, -,31,9,2	-, -, -, -,32,9,2

Inițial periodicitatea proprietăților a fost pusă de Mendeleev în corespondență cu masa atomică relativă a elementelor. Din studiul structurii și proprietăților interne ale elementelor, știm în prezent că periodicitatea proprietăților chimice ale elementelor nu depinde de masele lor atomice relative, ci de numărul de ordine din tabelă. Acesta este egal cu numărul de sarcini elementare pozitive (protoni) ale nucleului și cu numărul electronilor atomului respectiv în stare neutră din punct de vedere electric. În atom electronii sînt distribuiți pe anumite pături, al căror număr crește cu creșterea numărului de ordine; atomii grei pot avea chiar pînă la șapte pături; aceste pături se notează cu literele *K, L, M, N, O, P* și *Q* (vezi tabela 2.15). Numărul maxim de electroni, care pot exista pe fiecare dintre aceste pături, este cunoscut. Se știe de asemenea că formarea tuturor păturilor are loc după o aceeași schemă. În consecință, se constată că structura păturilor periferice se repetă periodic la formarea lor, așa cum se vede din tabela 2.15, iar structura păturilor periferice ale atomului determină proprietățile chimice și unele proprietăți fizice ale elementelor cum, ar fi conductibilitatea electrică, potențialul de ionizare, spectrul optic etc. Așadar, periodicitatea în proprietățile elementelor chimice se explică prin periodicitatea în structura păturilor electronice periferice din atomi. Date mai detaliate despre păturile electronice atomice sînt indicate în capitolul „Structura atomului”.

În tabela 2.15 sînt date simbolurile chimice și numerele de ordine ale elementelor și, în afară de aceasta, sînt indicate păturile lor electronice și numărul de electroni de pe fiecare pătură. În legătură cu aceste date, trebuie făcute următoarele mențiuni:

1. Masele atomice relative ale elementelor și denumirile lor sînt date în tabelele 2.14 și 2.16. Anumite denumiri speciale ale elementelor precum și simbolurile lor, adoptate în alte țări, sînt indicate în tabela 2.17.

2. Nomenclatura generală a păturilor electronice ale atomului este schematizată în desenul din dreapta, jos al tablei 2.15; păturile electronice, care se referă la diferite rînduri ale tablei, sînt indicate pentru fiecare dintre aceste rînduri în prima coloană. Numărul de electroni din fiecare pătură în parte este dat numai pentru primul și ultimul reprezentant al rîndului; pentru celelalte elemente sînt indicate numai numerele de electroni de pe una, două sau trei pături periferice, unde aceste numere variază, iar numerele de electroni din păturile interioare, care rămîn neschimbate, sînt indicate prin liniuțe.

Elementele chimice pot fi împărțite în diferite grupe, avînd componente care manifestă proprietăți comune. Astfel de împărțiri pot fi foarte diferite în funcție de proprietățile care stau la baza lor. În legătură cu aceste probleme, se pot spune aici următoarele:

1. În ceea ce privește starea de agregare a elementelor trebuie menționat că în condițiile obișnuite de temperatură și presiune:

a) elementele azot (N), argon (Ar), hidrogen (H), heliu (He), oxigen (O), kripton (K), xenon (Xe), neon (Ne) și radon (Rn) se află în stare gazoasă;

b) elementele brom (Br) și mercur (Hg) se află în stare lichidă;

c) toate celelalte elemente sînt în stare solidă.

2. Grupele principale, în care se împart în mod obișnuit elementele chimice, sînt *grupa metalelor* — foarte cuprinzătoare și *grupa metaloizilor* — mult mai mică; această grupă mai este denumită în ultimul timp și *grupa nemetalelor*. Această împărțire se bazează pe deosebirea netă dintre unele proprietăți fizice și chimice, pe care le prezintă reprezentanții acestor grupe. Totuși, trebuie menționat că există un număr mic de elemente, care după unele proprietăți fac parte din metale, iar după altele din metaloizi, formînd un fel de grupă intermediară. Deși nu este posibilă stabilirea unei limite precise între aceste două grupe, totuși împărțirea elementelor în metale și nemetale este destul de justificată în practică.

Metale se consideră elementele, care au o conductibilitate termică bună, o conductibilitate electrică bună, au un potențial de ionizare coborît, o structură cristalină simplă și încă alte cîteva proprietăți. Din punct de vedere chimic, metalele prezintă proprietăți electrochimice comune, capacitatea de a substitui hidrogenul în acizi cu formarea sărurilor etc. Metalele mai au și alte proprietăți fizice: au o anumită culoare și luciu, au maleabilitate și ductibilitate.

Pe baza acestor proprietăți, din metale fac parte elementele: actiniu (Ac), aluminiu (Al), argint (Ag), aur (Au), bariu (Ba), beriliu (Be), bismut (Bi), cadmiu (Cd), calciu (Ca), ceriu (Ce), cesiu (Cs), cobalt (Co), cositor (Sn), crom (Cr), cupru (Cu), dysproziu (Dy), erbiu (Er), europiu (Eu), fier (Fe), gadoliniu (Gd), galiu (Ga), germaniu (Ge), hafniu (Hf), holmiu (Ho), iudin (Iu), iridiu (Ir), lantan (La), litiu (Li), lutențiu (Lu), magneziu (Mg), mercur (Hg), molibden (Mo), natriu (Na), neodim (Nd), nichel (Ni), niobiu (Nb), osmiu (Os), paladiu (Pd), platină (Pt), plumb (Pb), poloniu (Po), potasiu (K), praezodim (Pr), protactiniu (Pa), radiu (Ra), reniu (Re), rhodiu (Rh), rubidiu (Rb), ruteniu (Ru), samariu (Sm), scandiu (Sc), stronțiu (Sr), stibiu (Sb), taliu (Tl), tantal (Ta), terbiu (Tb), titan (Ti), toriu (Th), tulin (Tu), uraniu (U), vanadiu (V), yterbiu (Yb), ytriu (Y), zinc (Zn), zirconiu (Zr), wolfram (W).

În afară de aceasta, din metale mai fac parte:

a) dintre elementele descoperite recent — technetiul (Te), prometițiu (Pm) și franciu (Fr) — precum și elementele transuraniene neptuniu (Np), plutoniu (Pu), americium (Am), curium (Cm), berkelium (Bk), californiu (Cf), einsteiniu (En), fermiu (Fm), mendeleviu (Mv), nobeliu (No) și lawrenciu (Lw);

b) manganul (Mn) și arsenul (As), prin proprietățile lor fizice.

Dintre metaloizi fac parte: azotul (N), borul (B), bromul (Br), carbonul (C), clorul (Cl), fosforul (P), fluorul (F), iodul (I), oxigenul (O), seleniul (Se), siliciul (Si), sulful (S), telurul (Te).

În afară de acestea, metaloid mai este și astatiniul (At); în ceea ce privește hidrogenul (H) prin proprietățile sale fizice este și el un metaloid.

O grupă specială o constituie *gazele nobile*: argon (Ar), heliu (He), kripton (Kr), neon (Ne), radon (Rn) și xenon (Xe) care nu formează combinații chimice stabile.

De asemenea o grupă deosebită formează elementele radioactive natural.

Din grupa metalelor se separă grupe mai mici în funcție de anumite proprietăți comune. Astfel, este grupa elementelor *pământurilor rare*: din această grupă, în afară de lantanide, mai fac parte scandiul și ytriul. Așadar, în această grupă intră următoarele metale: ceriu, dysprosium, europiu, erbiu, gadoliniu, holmiu, lantan, lutețiu, neodim, praseodim, prometi, samariu, scandiu, terbiu, tuliu, ytterbiu, ytriu.

Toate aceste elemente au proprietăți chimice foarte apropiate, ceea ce constituie o consecință directă a identității aproape totale în structura păturilor lor electronice periferice (vezi tabela 2.15).

De asemenea, pe baza proprietăților chimice comune mai deosebim grupele:

a) metalele alcaline, din care fac parte: litiul, sodiul, potasiul, rubidiul, cesiul și franciul;

b) metalele alcalino-pămîntoase, din care fac parte: bariul, calciul, radiul și stronțitul.

Platina împreună cu iridiul, osmiul, paladiul, rhodiul și ruteniul formează grupa metalelor platinice.

Metalele foarte stabile din punct de vedere chimic și care aproape că nu sînt oxidabile chiar și la temperaturi înalte, formează grupa metalelor nobile; din ea fac parte: aurul, iridiul, paladiul, platina, rhodiul și argintul.

După proprietățile magnetice se separă grupa elementelor feromagnetice, din care fac parte: fierul, cobaltul și nichelul, iar din elementele rare gadoliniul.

Metalele se împart de asemenea în ușoare și grele considerînd ca limită convențională densitatea de circa $3,5-4,0 \text{ g/cm}^3$. Din metalele ușoare fac parte: aluminiul, bariul, beriliul, potasiul, calciul, litiul, magneziul, sodiul, stronțitul și cesiul.

Tot convențional metalele se împart în ușor fuzibile și greu fuzibile; din această ultimă categorie fac parte metalele cu temperatura de topire mai mare de $800-1000^\circ\text{C}$.

În tehnică metalele se împart în metale *negre* și *colorate*. Metalele negre sînt fierul și aliajele lui; celelalte metale sînt colorate, însă dintre acestea se exclude grupa pământurilor rare și grupa metalelor nobile.

Printre elementele chimice o grupă specială o formează elementele radioactive, ai căror atomi au proprietatea de a se dezintegra spontan. Astfel de proprietăți au:

1. Unele elemente naturale, care sînt situate în special la sfîrșitul tabelii periodice pînă la uraniu inclusiv. (tabela 2.15, grupa „Actinide”); dintre celelalte elemente naturale numai cinci prezintă urme slabe, dar sigure, de radioactivitate.

2. Elementele chimice nestabile și izotopii care au fost obținuți în prezent prin diferite reacții nucleare; dintre aceste elemente nestabile și izotopi nestabili menționăm:

a) grupa elementelor artificiale cu numărul de ordine mai mare decît cel al uraniului, adică situată în sistemul periodic dincolo de uraniu; aceste elemente au fost denumite elemente trans-uraniene;

b) o grupă mare de izotopi radioactivi (artificiali), care au în prezent aplicații foarte numeroase.

T a b e l a 2.16. Elementele chimice în ordinea numerelor atomice (Z)

În tabela 2.16, în afară de numărul de ordine al elementelor, de simbolul, de denumirea și de masa lor atomică relativă mai sînt date și indicații istorice scurte: cine și cînd a descoperit elementul respectiv. Datele din tabelă marchează în special anii cînd elementele au fost obținute sub formă pură, adică în stare metalică sau liberă, și nu sub formă de combinații chimice; se dă de asemenea numele savanțului care a obținut elementul respectiv pentru prima dată. Indicații suplimentare în legătură cu aceste probleme sînt date, pentru cîteva elemente, în notele la tabelă. Prescurtarea din tabelă „c.d.a.” înseamnă „cunoscut din antichitate”, iar celelalte prescurtări sînt ușor de înțeles.

T a b e l a 2.16

Numărul de ordine Z	Simbolul	Denumirea	Masa atomică relativă M_A	Cine l-a descoperit	Anul descoperirii
1	H	Hidrogen	1,00797 \pm \pm 0,00001	Cavendish	1766
2	He	Heliu ¹⁾	4,0026	Ramsay și Clive	1895
3	Li	Litiu	6,939	Arfvedson	1817
4	Be	Beriliu	9,0122	Wöhler și Bussy	1828
5	B	Bor	10,811 \pm \pm 0,003	Gay-Lussac și Thenard	1808
6	C	Carbon	12,01115 \pm \pm 0,00005	c.d.a.	—
7	N	Azot	14,0067	D. Rutherford	1772
8	O	Oxigen	15,9994 \pm \pm 0,0001	Pristley și Scheele	1774
9	F	Fluor ²⁾	18,9984	Moissan	1886
		Neon			
10	Ne	Sodiu	20,183	Ramsay și Travers	1898
11	Na	(Natriu)	22,9898	Davy	1807
12	Mg	Magneziu ³⁾	24,312	Liebig și Bussy	1831
13	Al	Aluminiu	26,9815	Wöhler	1827
14	Si	Siliciu	28,086 \pm \pm 0,001	Berzelius	1823
15	P	Fosfor	30,9738	Brand	1669
16	S	Sulf	32,064 \pm \pm 0,003	c.d.a.	—
17	Cl	Clor	35,453	Scheele	1774
18	Ar	Argon	39,948	Rayleigh și Ramsay	1894

T a b e l a 2.16 (continuare)

Numărul de ordine Z	Simbolul	Denumirea	Masa atomică relativă M_A	Cine l-a descoperit	Anul descoperirii
19	K	Potasiu (Kaliu)	39,102	Davy	1807
20	Ca	Çalcium	40,08	Davy (Berzelius)	1808
21	Sc	Scandium	44,956	Nilson	1879
22	Ti	Titan ⁴)	47,90	Gregor	1791
23	V	Vanadium	50,942	Sefström	1830
24	Cr	Crom	51,996	Vauquelin	1797
25	Mn	Mangan	54,9380	Gahn	1774
26	Fe	Fier	55,847	c.d.a.	—
27	Co	Cobalt	58,9332	Brandt	1735
28	Ni	Nichel	58,71	Cronstedt	1751
29	Cu	Cupru	63,54	c.d.a.	—
30	Zn	Zinc	65,37	Markgraf	1746
31	Ga	Galiu	69,72	Lecoq de Boisbaudran	1875
32	Ge	Germaniu	72,59	Winkler	1886
33	As	Arsen ⁵)	74,9216	Albert cel Mare	sec. XIII
34	Se	Seleniu	78,96	Berzelius	1817
35	Br	Brom	79,909	Ballard	1826
36	Kr	Kripton	83,80	Ramsay și Travers	1898
37	Rb	Rubidiu	85,47	Bunsen și Kirchhoff	1861
38	Sr	Stronțiu	87,62	Davy	1808
39	Y	Ytriu	88,905	Wöhler	1828
40	Zr	Zirconiu	91,22	Berzelius	1824
41	Ni	Niobiu ⁶)	92,906	Rose	1844
42	Mo	Molibden	95,94	Hjelm	1782
43	Tc	Technetiu	[99]	Perrier și Segrè	1937
44	Ru	Ruteniu	101,07	Claus	1844
45	Rh	Rhodium	102,905	Wollaston	1803
46	Pd	Paladiu	106,4	Wollaston	1803
47	Ag	Argent	107,870	c.d.a.	—
48	Cd	Cadmium	112,40	Hermann și Stromberg	1817
49	In	Indiu	114,82	Reich și Richter	1863
50	Sn	Cositor (Staniu)	118,69	c.d.a.	—
51	Sb	Stibiu (Antimoniu)	121,75	B. Valentin	sec. XV

T a b e l a 2.16 (continuare)

Numărul de ordine Z	Simbolul	Denumirea	Masa atomică relativă M_A	Cine l-a descoperit	Anul descoperirii
52	Te	Telur	127,60	Riechenstein	1782
53	J	Iod	126,9044	Courtois	1811
54	Xe	Xenon	181,30	Ramsay și Travers	1898
55	Cs	Cesiu	132,905	Bunsen și Kirchhoff	1860
56	Ba	Bariu	137,34	Davy	1808
57	La	Lantan	138,91	Mosander	1839
58	Ce	Ceriu ⁷⁾	140,12	Hildebrandt și Norton	1875
59	Pr	Praseodiu	140,907	Weisbach	1885
60	Nd	Neodim ⁸⁾	144,24	Weisbach	1885
61	Pm	Prometiu	[145]	Marinsky și Glendemin	1947
62	Sm	Samariu	150,35	Lecoq de Boisbaudran	1879
63	Eu	Europiu	151,96	Demarcay	1896
64	Gd	Gadolinu	157,25	Marignac și Lecoq de Boisbaudran	1880
65	Tb	Terbiu	158,924	Mosander	1843
66	Dy	Dysprosiu	162,50	Lecoq de Boisbaudran	1886
67	Ho	Holmiu	164,930	Cleve	1880
68	Er	Erbiu	167,26	Mosander	1843
69	Tu	Tuliu	168,934	Cleve	1879
70	Yb	Yterbiu	173,04	Marignac	1878
71	Lu	Lutețiu	174,97	Urbain	1908
72	Hf	Hafniu	178,49	Coster și Hevesy	1923
73	Ta	Tantal	180,948	Ekeberg	1802
74	W	Wolfram	183,85	d'Elhuyar	1783
75	Re	Reniu	186,2	Noddack și Tacke	1925
76	Os	Osmiu	190,2	Tennant	1803
77	Ir	Iridiu	192,2	Tennant	1804
78	Pt	Platină ⁹⁾	195,09	menționat din sec. XVI	
79	Au	Aur	196,967	c.d.a.	—
80	Hg	Mercur (Hidrargir)	200,59	menționat din sec. III î.e.n.	
81	Tl	Taliu	204,37	Crookes	1861
82	Pb	Plumb	207,19	menționat de Plinius	
83	Bi	Bismut	208,980	menționat de V. Valentin din sec. XV	
84	Po	Poloniu	[210]	M. Curie	1898

T a b e l a 2.16 (continuare)

Numărul de ordine Z	Simbolul	Denumirea	Masa atomică relativă M_A	Cine l-a descoperit	Anul descoperirii
85	At	Astatiniu	[210]	Curzon și Mackenzie	1940
86	Rn	Radon	[222]	Dorn	1900
87	Fr	Franciu	[223]	M. Perey	1939
88	Ra	Radiu	[226]	M. Curie	1898
89	Ac	Actiniu	[227]	Debierne	1902
90	Th	Thoriu	232,038	Berzelius	1828
91	Pa	Protactiniu	[231]	Meitner și Hahn	1918
92	U	Uranu ¹⁰⁾	238,03	Klaproth	1789
93	Np	Neptuniu	[237]	Mac Millan și Abelson	1940
94	Pu ³	Plutoniu	[242]	Seaborg, Seggre ș.a.	1940
95	Am	Americiu	[243]	Seaborg, James, Ghiorso	1944
96	Cm	Curium	[247]	Seaborg, James, Ghiorso	1944
97	Bk	Berkeliu	[249]	Seaborg și Thompson	1949
98	Cf	Californiu	[251]	Seaborg, Thompson ș.a.	1950
99	Es	Einsteiniu	[254]	A. Ghiorso ș.a.	1954
100	Fm	Fermiu	[253]	Studier ș.a.	1954
101	Md	Mendeleeviu	[256]	Ghiorso ș.a.	1955
102	No	Nobeliu	[255]	?	1957-1958
103	Lw	Lawrenciu	[255]	Ghiorso ș.a.	1961

Note la tabela 2.16. 1) *Janssen* și, independent de el, *Lockyer* în 1868 au observat în spectrul Soarelui linii necunoscute pînă atunci; elementul nou căruia îi aparțin aceste linii a fost denumit *heliu*, deoarece se presupus că el se află numai în Soare. După 27 ani, *Ramsay* și *Clive* au observat aceleași linii în spectrul unei gaze noi, obținut de ei la analiza minereului cleveit; denumirea de heliu pentru acest element a fost păstrată. 2) Încă la sfîrșitul secolului al XVIII-lea se știa că atunci cînd acidul sulfuric acționează asupra fluorinei se degajă un acid special, care dizolvă sticla. În anul 1810 *Ampère* a arătat că acest acid se aseamănă cu acidul clorhidric și este o combinație între hidrogen și un element necunoscut pe care l-a numit fluor. Sub formă pură, fluorul a putut fi obținut de *Moissan* abia în 1886. 3) Oxidul de magneziu a fost cunoscut de mult. El a fost studiat de *Black* încă din 1775. *Davy*, în 1803, a încercat să obțină magneziu metalic,

însă nu a reușit să obțină metalul sub formă pură. 4) Bioxidul de titan a fost obținut în laborator încă la sfârșitul secolului al XVIII-lea. Berzelius a obținut titanul, însă nu perfect pur. Titan metalic mai pur a fost obținut de *Gregor*, iar apoi de *Moissan*. 5) Combinațiile sulfurice ale arsenului au fost cunoscute încă din antichitate. 6) La începutul secolului al XIX-lea s-a obținut un amestec de niobiu și tantal, care era considerat ca un element nou; el a fost denumit columbiu. În America și Anglia niobiul poartă până în prezent denumirea de columbiu. 7) Sub formă de oxid, ceriul a fost obținut în 1803. 8) Timp îndelungat amestecul de praseodim și neodim a fost considerat element separat, denumit *didu* (Di). 9) Platina a fost descrisă în 1750; până în 1810 singurul loc, unde se găsea platina, era Columbia. După aceea, platina a fost găsită și în alte locuri, inclusiv în regiunea Uralului, care până în prezent este sursa cea mai bogată de platină. 10) Bioxidul de uraniu, obținut pentru prima dată în 1789, a fost considerat la început ca un element nou. Uraniul metalic a fost obținut pentru prima dată în 1842, iar proprietățile sale radioactive au fost descoperite abia în 1896.

T a b e l a 2.17. Proprietățile generale ale elementelor chimice și ale unor combinații anorganice

În tabelă, în afară de denumirile și formulele chimice ale combinațiilor anorganice, mai sînt date:

- a) masa moleculară (greutatea moleculară) (M);
- b) starea fizică în condiții de temperatură și presiune obișnuite (stare solidă, lichidă sau gazoasă s., l. sau g.);
- c) pentru corpurile solide și lichide densitatea este exprimată în grame pe centimetru cub (la 20°C), iar pentru gaze în grame pe litru (în condiții normale, adică la 0°C și la presiunea de 760 mm Hg; dacă valoarea densității este dată la alte temperaturi, aceasta se menționează în paranteză);
- d) temperatura de topire (θ_f) și fierbere (θ_f) în grade Celsius;
- e) solubilitatea în apă la 20°C ; dacă solubilitatea este dată pentru alte temperaturi, aceasta se menționează.

Datele numerice sînt date cu aproximație și anume:

1. Valorile densității au precizia pînă la a doua sau prima zecimală; valorile mai exacte pentru densitatea unor corpuri sînt date în tabelele 2.29, 2.30 etc.

2. Temperaturile de topire și fierbere sînt date cu o precizie pînă la $\pm 1^{\circ}\text{C}$ (uneori pînă la $\pm 0,1^{\circ}\text{C}$); valori mai exacte pentru temperaturile de topire și fierbere ale unor substanțe sînt date în tabelele 2.64 și 2.65.

3. Solubilitatea în apă pentru multe substanțe este dată de un număr care arată: pentru corpuri solide și lichide — cîte grame, iar pentru gaze — cîți mililitri trebuie dizolvați în 100 cm^3 de apă pentru a obține o soluție saturată la 20°C ; dacă datele se referă la o altă temperatură, aceasta este indicată între paranteze. Dacă în literatură nu

Tabela 2.17 (continuare)

Denumirea	Formula	Masa moleculară	Starea fizică	Densitatea	Temperatura de topire	Temperatura de fierbere	Solubilitatea în apă (20 °C)
Trioxid de bismut	Bi_2O_3	466,0	s	8,2—8,9	820	1890(?)	insol.
Bromură de bismut	BiBr_3	448,75	s	5,7	218	453	se desc.
Clorură de bismut	BiCl_3	315,37	s	4,75	230	447	se desc.
Bor B	—	10,82	s	2,3	2100	2550	insol.
Oxid de bor ⁷⁾	B_2O_3	69,64	s	1,84	aprox. 570	—	se desc.
Carbură de bor	B_4C	55,29	s	2,5	2450	>3500	insol.
Clorură de bor	BCl_3	117,19	l	1,43	-107	12,5	se desc.
Acid boric	H_3BO_3	61,84	s	1,44	se desc. >70	—	5
Brom Br	Br_2	159,83	l	3,1	-7,2	58,8	3,6
Cadmium Cd	—	112,41	s	8,65	320,9	766	insol.
Oxid de cadmiu	CdO	128,41	s	7,0	100	132	g. sol.
Azotat de cadmiu	$\text{Cd}(\text{NO}_3)_2 \cdot 4\text{H}_2\text{O}$	308,49	s	2,46	se desc. 900	—	75
Sulfat de cadmiu	CdSO_4	208,48	s	4,7	1000	—	insol.
Carbonat de cadmiu	CdCO_3	172,42	s	4,26	se desc.	—	95
Bromură de cadmiu	CdBr_2	272,24	s	5,2	567	963	140
Clorură de cadmiu	CdCl_2	183,32	s	4,05	568	960	desc.a.
Calciu Ca	—	40,08	s	1,55	850	1440	se desc.
Oxid de calciu	CaO	56,08	s	3,4	2572	2850	0,16
Hidroxid de calciu	$\text{Ca}(\text{OH})_2$	74,10	s	2,3	se desh.	—	341 (29°)
Azotat de calciu	$\text{Ca}(\text{NO}_3)_2$	164,10	s	2,36	561	—	0,2
Sulfat de calciu ⁸⁾	CaSO_4	136,15	s	aprox. 3,0	—	—	125 (0°)
Bromură de calciu	CaBr_2	199,91	s	3,35	765	806—812	74
Clorură de calciu	CaCl_2	110,99	s	2,3	772	>1600	se desc.
Carbură de calciu ⁹⁾	CaC_2	64,10	s	2,22	aprox. 2000	—	insol.
Carbon C	—	12,011	s	2,3	subl. aprox. 4000	—	2,3 ml
Oxid de carbon	CO	28,01	g	1,25 g/l	-207	-192	

Bioxid de carbon	CO_2	44,01	g	1,97 g/l	—	subl. —78,5	87,8 ml
Sulfură de carbon	CS_2	76,14	l	1,29	-111	46,3	0,22 (22°)
Tetraclorură de carbon	CCl_4	153,84	l	1,59	-23	76,8	g. sol.
Oxiclorură de carbon (fosgen)	COCl_2	98,92	g	1,39 (l)	-104	8,3	se desc.
Ceriu Ce	—	140,13	s	6,9	804	1400	insol.
Oxid de ceriu	Ce_2O_3	328,26	s	6,9—7,0	1692(?)	—	insol.
Bioxid de ceriu	CeO_2	172,13	s	7,3	1950	—	insol.
Sulfat de ceriu	$\text{Ce}_2(\text{SO}_4)_3$	568,46	s	3,91	—	—	10 (0°)
Clorură de ceriu	CeCl_3	246,50	s	3,92	848	se desc.	u. sol.
Cesiu Cs	—	132,91	s	1,9	29,7	690	desc. a.
Hidroxid de cesiu	CsOH	149,92	s	3,68	272	—	396 (15°)
Azotat de cesiu	CsNO_3	194,92	s	3,69	414	se desc.	14,9 (10°)
Sulfat de cesiu	Cs_2SO_4	361,89	s	4,24	1010	—	167 (0°)
Clorură de cesiu	CsCl	168,87	s	3,97	646	subl. 1290	185,7
Carbonat de cesiu	Cs_2CO_3	325,83	s	—	se desc. 610	—	260,5 (15°)
Clor Cl	—	35,457	g	3,21 g/l	-101	-34,1	226
Oxid de clor	Cl_2O	86,91	g	3,89 g/l	-20	subl. 3,8	200 ml
Bioxid de clor	ClO_2	67,46	g	3,09 g/l	-59	subl. aprox. 100	2000 ml (4°)
Cobalt Co	—	58,94	s	8,7	1492	3000	insol.
Oxid de cobalt	Co_2O_3	165,88	s	5,18	se desc. 895	—	insol.
Azotat de cobalt	$\text{Co}(\text{NO}_3)_2 \cdot 6\text{H}_2\text{O}$	291,05	s	1,87	se desh. 55	—	134 (0°)
Sulfat de cobalt	CoSO_4	155,01	s	3,71	989	—	36,2
Clorură de cobalt	CoCl_2	129,85	s	3,36	subl.	—	u. sol.
Crom Cr	—	52,01	s	7,1	1800	2300	insol.
Oxid de crom	Cr_2O_3	152,02	s	5,21	1990	—	insol.
Trioxid de crom (anhidridă cromică)	—	—	—	—	—	—	—
Azotat de crom	CrO_3	100,01	s	2,70	196	se desc.	166 (15°)
Oxiclorură de crom (clorură de cromil)	$\text{Cr}(\text{NO}_3)_3 \cdot 9\text{H}_2\text{O}$	400,18	s	—	37	se des. 125,5	sol.
	CrO_2Cl_2	154,92	l	1,91	-96,5	117	se desc.

T a b e l a 2.17 (continuare)

Denumirea	Formula	Masa moleculară	Starea fizică	Densitatea	Temperatura de topire	Temperatura de fierbere	Solubilitatea în apă (20 °C)
Cupru Cu	—	163,54	s	8,9	1083	2582	insol.
Oxid (protoxid) de cupru	Cu_2O	43,08	s	6,0	1235	se desc. 1800	insol.
Oxid de cupru	CuO	279,54	s	6,4	se desc. 1026	—	insol.
Azotat de cupru	$\text{Cu}(\text{NO}_3)_2 \cdot 3\text{H}_2\text{O}$	141,60	s	2,05	114,5	se desc.	u. sol.
Sulfat de cupru	CuSO_4	259,61	s	3,6	200	se desc. 650	14,3 (0°)
Sulfat de cupru (hidr.)	$\text{CuSO}_4 \cdot 5\text{H}_2\text{O}$	49,69	s	2,28	se desh.	—	20,7 (se desh.)
Clorură cuproasă	CuCl	199,00	s	3,53	422	1366	g. sol.
Clorură cuprică	CuCl_2	34,45	s	3,05	498	se desc. 993	70,6(0°)
Dysprosiu Dy	—	162,46	—	—	—	—	—
Oxid de dysprosiu	Dy_2O_3	372,92	s	7,81	—	—	—
Clorură de dysprosiu	DyCl_3	268,83	s	3,67	680	—	sol.
Erbiu Er	—	167,2	s	4,8	—	—	—
Oxid de erbiu	Er_2O_3	382,40	s	8,64	—	—	g. sol.
Sulfat de erbiu	$\text{Er}_2(\text{SO}_4)_3 \cdot 8\text{H}_2\text{O}$	766,73	s	3,2	se desh. 400	—	16
Europiu Eu	—	152,00	s	—	—	—	insol.
Oxid de europiu	Eu_2O_3	352,00	s	aprox. 7,0	—	—	—
Clorură de europiu	EuCl_3	258,37	s	—	623	—	—
Fier Fe	—	55,85	s	7,9	1535	2800	insol.
Protoxid de fier	FeO	71,85	s	5,7	1420	—	insol.
Oxid de fier	Fe_2O_3	159,70	s	5,24	1565	—	insol.
Oxid feroferic ¹⁰⁾	Fe_3O_4	231,55	s	5,1 — 5,4	1538 se desc.	—	insol.
Azotat feric	$\text{Fe}(\text{NO}_3)_3 \cdot 9\text{H}_2\text{O}$	404,02	s	1,68	47,2	se desc.	sol.
Sulfat feric	$\text{Fe}_2(\text{SO}_4)_3 \cdot 9\text{H}_2\text{O}$	562,04	s	2,1	se desh.	—	440
Clorură feroasă	FeCl_2	126,76	s	2,98	670	se desc.	64,4(10°)
Clorură ferică	FeCl_3	162,22	s	2,8	282	315	92
Sulfură feroasă	FeS	87,92	s	4,8	1193	se desc.	g. sol.

Bisulfură feroasă (pirită)	119,98	s	4,9	1171	se desc.	g. sol. insol.
Carbură de fier	179,56	s	7,4	1837	—	g. sol.
Fosfor P	30,975	s	1,82	44,1	282	se desc.
Pentoxid de fosfor	141,96	s	2,39	563	—	se desc.
Tribromură de fosfor	270,73	l	2,85	—40	172,9	se desc.
Triclorură de fosfor	137,35	l	1,57	—111,8	73,5	se desc.
Pentaclorură de fosfor	208,27	s	2,1	—	subl. 162	se desc.
Hidrogen fosforat	34,00	g	1,53 g/l	—135,5	—87,4	26 ml(17°)
Fluor F	19,00	g	1,70 g/l	—223	—187,9	desc.a.
Oxid de fluor	54,00	g.inst.	1,9 (—224)	—223,8	—144,8	se desc.
Gadoliniu Gd	156,9	s	—	—	—	—
Oxid de gadolinu	361,80	s	7,41	—	—	g. sol.
Azotat de gadolinu	433,00	s	2,4	93	—	u. sol.
Sulfat de gadolinu	746,13	s	3,01	—	—	sol.
Galiu Ga	69,72	s	5,9	29,8	2100	insol.
Oxid de galiu	187,44	s	5,9	1900	—	insol.
Clorură de galiu	176,09	s	2,47	78	205	u. sol.
Germaniu Ge	72,60	s	5,35	958,5	2700	insol.
Bioxid de germaniu	104,60	s	aprox. 5,0	1115	—	0,45
Tetraclorură de germaniu	214,43	l	1,88	—49,5	83,0	se desc.
Hafniu Hf	178,6	s	13,3	aprox. 2000	>3200	insol.
Bioxid de hafniu	210,60	s	9,7	2810	—	insol.
Carbură de hafniu	190,61	s	—	3887	—268,9	aprox. 1 ml
Heliu He	4,003	g	0,18 g/l	—272,2	—252,8	1,8 ml
Hidrogen H	2,016	g	0,09 g/l	—259,2	—	—
Apă	18,02	l	1,00	0	100	—
Apă grea ¹¹⁾	20,03	l	1,11	3,82	101,42	∞
Peroxid (apă oxigenată)	34,02	l	1,46	—1,7	152,1	∞
Acid bromhidric	80,92	g	3,5 g/l	—88,5	—67,0	aprox. 200 g
Acid iohidric	127,92	g	5,65 g/l	—50,8	—35,4	42,5 ml (10°)
Acid fluorhidric	20,01	g(l)	0,92 g/l	—92,3	19,2	∞

T a b e l a 2.17 (continuare)

Denumirea	Formula	Masa moleculară	Starea fizică	Densitatea	Temperatura de topire	Temperatura de fierbere	Solubilitatea în apă (20 °C)
Acid clorhidric	HCl	36,47	g	1,64 g/l	-112	-83,7	72,1
Acid azotic ⁽¹²⁾	HNO ₃	63,02	l	1,53	-41,3	se desc. 86	∞
Acid sulfuric	H ₂ SO ₄	98,08	l	1,83	10,5	se desc. 338	∞
Hidrogen sulfurat	H ₂ S	34,08	g	1,54 g/l	-82,9	-61,8	aprox. 250 ml
Holmiu Ho	—	164,94	s	—	—	—	—
Indiu In	—	114,76	s	7,3	156,4	2100	insol.
Bromură de indiu	InBr	194,68	s	4,96	220	662	se desc.
Clorură de indiu	InCl	150,22	s	4,19	225	550	se desc.
Iod J⁽¹³⁾	J ₂	253,82	s	4,93	113,5	184,4	0,029
Monobromură de iod	JBr	206,83	s	4,4	42	se desc. 59	se desc.
Monoclorură de iod	JCl	162,37	s	3,2	25	se desc. 97	se desc.
Iridiu Ir	—	192,2	s	22,4	2443	4350	insol.
Triclorură de iridiu	IrCl ₃	298,57	s	5,3	se desc. 763	—	insol.
Tetrabromură de iridiu	IrBr ₄	512,76	s	—	se desc.	—	sol., insol.
Kripton Kr	—	83,80	g	—	-157	-153,2	6,3 ml
Lantan La	—	138,92	s	6,15	920	1800	desc. a.
Oxid de lantan	La ₂ O ₃	325,84	s	6,5	> 2000	4200	g. sol.
Azotat de lantan	La(NO ₃) ₃ ·6H ₂ O	433,04	s	—	40	se desc. 126	151 (25°)
Sulfat de lantan	La ₂ (SO ₄) ₃	566,04	s	3,6	se desc.	—	3
Clorură de lantan	LaCl ₃	245,29	s	3,84	872	—	u. sol.
Litiu Li	—	6,94	s	0,53	186	1380	desc. a.
Hidroxid de litiu	LiOH	23,95	s	1,43	450	se desc.	12,7(0°)
Azotat de litiu	LiNO ₃	68,95	s	2,38	261	—	u. sol.
Sulfat de litiu	Li ₂ SO ₄	109,95	s	2,22	860	—	26(0°)
Clorură de litiu	LiCl	42,40	s	2,07	613	1353	u. sol.
Lutețiu Lu	—	174,99	s	—	—	—	—
Clorură de lutețiu	LuCl ₃	281,36	—	3,98	892	—	—

Magneziu Mg	—	24,32	s	1,7	650	1100	desc.a.
Oxid de magneziu	MgO	140,32	s	3,65	2800	—	g. sol.
Sulfat de magneziu	MgSO ₄	20,39	s	2,66	se desc. 1124	—	26(0°)
Carbonat de magneziu ¹⁴⁾	MgCO ₃	84,33	s	3,04	se desc. 350	—	g. sol.
Clorură de magneziu	MgCl ₂	95,23	s	2,33	708	1412	54,3
Mangan Mn	—	54,94	s	7,4	1260	2150	se desc.
Oxid de mangan	MnO	70,94	s	5,2	1650	—	insol.
Bioxid de mangan	MnO ₂	186,94	s	5,03	se desc. > 535	—	insol.
Sulfat de mangan	MnSO ₄	151,01	s	3,25	700	se desc. 850	64
Carbonat de mangan	MnCO ₃	114,95	s	3,1	se desc.	—	g. sol.
Clorură de mangan	MnCl ₂	25,85	s	2,98	650	1190	62(10°)
Mercur Hg	—	200,61	l	13,55	—38,87	356,58	insol.
Oxid de mercur	HgO	216,61	s	11,14	se desc. 500	—	g. sol.
Azotat mercuric	Hg(NO ₃) ₂ · 1/2H ₂ O	333,63	s	4,39	79	se desc.	u. sol.
Sulfat mercurous	Hg ₂ SO ₄	497,29	s	7,56	se desc.	—	0,06(25°)
Clorură mercurioasă (calomel)	Hg ₂ Cl ₂	472,14	s	7,15	subl. 400	—	g. sol.
Clorură mercurică	HgCl ₂	271,52	s	5,42	275	301	6,5
(sublimat corosiv)	—	—	—	—	—	—	—
Sulfură mercurică	HgS	232,68	s	8,10	subl. 583,5	—	g. sol.
Molibden Mo	—	195,95	s	10,2	2625	4800	insol.
Trioxid de molibden	MoO ₃	143,95	s	4,6	795	subl.	0,1
Carbură de molibden	MoC	207,96	s	8,8	2692	—	insol.
Pentaclorură de molibden	MoCl ₅	73,24	s	2,93	194	268	se desc.
Neodim Nd	—	144,27	s	7,05	1024	—	se desc.
Oxid de neodim	Nd ₂ O ₃	336,54	s	7,24	—	—	g. sol.
Clorură de neodim	NdCl ₃	250,643	s	4,13	784	—	aprox. 100
Neon Ne	—	20,18	g	0,90 g/l	—248,7	—246,1	aprox. 1,0 ml
Nichel Ni	—	58,69	s	8,9	1453	2800	insol.
Protoxid de nichel	NiO	74,69	s	7,45	1990	—	insol.

Tabela 2.17 (continuare)

Denumirea	Formula	Masa moleculară	Starea fizică	Densitatea	Temperatura de topire	Temperatura de fierbere	Solubilitatea în apă (20°C)
Oxid de nichel	Ni_2O_3	165,38	s	4,83	se desc. 600	—	insol.
Azotat de nichel (crist.)	$\text{Ni}(\text{NO}_3)_2 \cdot 6\text{H}_2\text{O}$	290,80	s	2,05	56,7	—	238,5 (0°)
Sulfat de nichel	NiSO_4	154,76	s	3,68	se desc. 840	—	29,3 (0°)
Sulfat de nichel (crist.)	$\text{NiSO}_4 \cdot 7\text{H}_2\text{O}$	280,87	s	1,9	se desh.	—	75,6 (15°)
Clorură de nichel	NiCl_2	129,60	s	3,55	subl.	—	64,2
Tetracarbonil de nichel	$\text{Ni}(\text{CO})_4$	170,73	l	1,32	-25	43	g. sol.
Niobiu Nb	—	92,91	s	8,6	2415	3300	insol.
Pentoxid de niobiu	Nb_2O_5	265,82	s	4,47	1520	—	insol.
Pentaclorură de niobiu	NbCl_5	270,20	s	2,75	194	240,5	se desc.
Carbură de niobiu	NbC	104,91	s	7,82	aprox. 3900	—	insol.
Paladiu Pd	—	106,7	s	11,9	1552	3560	insol.
Platină Pt	—	195,23	s	21,45	1769	4000	insol.
Clorură de platină	PtCl_4	337,06	s	—	se desc. 370	—	u. sol. se desc.
Plumb Pb	—	207,21	s	11,3	327,3	1750	insol.
Oxid de plumb	PbO	223,21	s	9,53	888	—	g. sol.
Oxid (protoxid) de plumb (miniu)	Pb_3O_4	685,63	s	9,1	se desc. 500	—	insol.
Bioxid de plumb	PbO_2	239,21	s	9,38	se desc. 290	—	insol.
Azotat de plumb	$\text{Pb}(\text{NO}_3)_2$	331,23	s	4,53	se desc. 357	—	56,5
Sulfat de plumb	PbSO_4	303,28	s	6,2	se desc. 1000	—	g. sol.
Clorură de plumb	PbCl_2	278,12	s	5,85	501	950	0,99
Carbonat de plumb	PbCO_3	267,22	s	6,6	se desc. 315	—	g. sol.
Poloniu Po	—	210	s	—	1785	—	—
Potasiu K	—	39,10	s	0,86	63	760	desc. a.
Hidroxid de potasiu	KOH	56,11	s	2,04	360	1320	110

Azotat de potasiu	KNO_3	101,11	s	2,1	334	se desc. 400	31,6
Sulfat de potasiu	K_2SO_4	174,27	s	2,7	1076	—	12(25°)
Carbonat de potasiu	K_2CO_3	138,21	s	2,4	891	se desc.	112
Bicarbonat de potasiu	KHCO_3	100,12	s	2,2	se desc. >100	—	32
Bromură de potasiu	KBr	119,02	s	2,75	730	1380	65,2
Clorură de potasiu	KCl	74,56	s	1,98	776	subl. 1500	34,7
Praseodim Pr	—	140,92	s	6,6	932	—	se desc.
Osmiu Os	—	190,2	s	22,5	2700	4400	insol.
Tetraoxid de osmiu	OsO_4	254,20	s	4,9	39,5	130	aprox. 6
Oxygen O	O_2	32	g	1,43 g/l	-218,8	-182,970	3,1 ml
Ozon	O_3	48	g	2,14 g/l	-251	-112	49 ml (0°)
Radiu Ra	—	226,05	s	5	700	1140	desc. a.
Bromură de radium	RaBr_2	385,88	s	5,79	728	—	sol.
Clorură de radium	RaCl_2	296,96	s	4,91	1000	—	sol.
Radon Rn	—	222	g	9,73 g/l	-71	-62	23,8 ml
Reniu Re	—	186,31	s	20,5	3167	—	—
Heptoxid de reniu	Re_2O_7	484,62	s	8,2	aprox. 220	subl. 450	u. sol.
Rhodium Rh	—	102,91	s	12,4	1960	3960	insol.
Trioxid de rhodium	Rh_2O_3	253,82	s	—	se desc. aprox. 1100	—	insol.
Rubidiu Rb	—	85,48	s	1,53	38,8	679	desc. a.
Peroxid de rubidiu	RbO_2	117,48	s	3,05	280	—	se desc.
Azotat de rubidiu	RbNO_3	147,49	s	3,11	313	—	34,8
Sulfat de rubidiu	Rb_2SO_4	267,03	s	3,61	1060	—	42,4(10°)
Carbonat de rubidiu	Rb_2CO_3	230,97	s	—	837	se desc. 740	450
Clorură de rubidiu	RbCl	120,94	s	2,76	715	1390	91,2
Ruteniu Ru	—	101,1	s	12,2	2450	4110	insol.
Tetroxid de ruteniu	RuO_4	165,70	s	3,29	25,5	se desc. 100	2,0
Triclorură de ruteniu	RuCl_3	208,07	s	3,11	se desc. >500	—	insol.

T a b e l a 2.17 (continuară)

Denumirea	Formula	Masa moleculară	Starea fizică	Densitatea	Temperatura de topire	Temperatura de fierbere	Solubilitatea în apă (20°C)
Taliu Tl	—	204,39	s	11,85	304	1457	insol.
Oxid de taliu	Tl ₂ O ₃	456,78	s	10,19	717	se desc. 875	insol.
Azotat de taliu	TlNO ₃	266,40	s	5,56	206	430	9,6
Sulfat de taliu	Tl ₂ SO ₄	504,85	s	6,77	632	se desc.	4,9
Carbonat de taliu	Tl ₂ CO ₃	468,79	s	7,11	273	—	4(15°)
Clorură de taliu	TlCl	239,85	s	7,00	430	720	0,32
Tantal Ta	—	180,95	s	16,6	3000	>4100	insol.
Pentoxid de tantal	Ta ₂ O ₅	441,90	s	8,73	1470 se desc.	—	insol.
Pentaclorură de tantal	TaCl ₅	358,24	s	3,68	221	242	se desc.
Carbură de tantal	TaC	192,96	s	14,65	3880	5500	insol.
Telur Te	—	127,61	s	6,24	452	1007	insol.
Bioxid de telur	TeO ₂	159,61	s	5,7—5,9	subl. 450	—	g. sol.
Biclorur de telur	TeCl ₂	198,52	s	7,05	209	327	se desc.
Terbiu Tb	—	158,93	s	—	1450	—	—
Clorură de terbiu	TbCl ₃	265,30	s	4,35	588	—	sol.
Titan Ti	—	47,90	s	4,5	1660	>3000	insol.
Bioxid de titan	TiO ₂	79,90	s	3,8—4,2	se desc. 1640	—	insol.
Tetrabromură de titan	TiBr ₄	367,56	s	2,6	39	230	se desc.
Tetraclorură de titan	TiCl ₄	189,73	l	1,73	—30	136,4	se desc.
Carbură de titan	TiC	59,91	s	4,93	3140	4300	insol.
Thoriu Th	—	232,05	s	11,5	1840	3500	insol.
Bioxid de thoriu	ThO ₂	264,05	s	9,69	>2800	4400	insol.
Clorură de thoriu	ThCl ₄	373,88	s	4,59	subl. 820	se desc. 1100	u. sol.
Carbură de thoriu	ThC ₂	256,07	s	8,96	2773	5000	se desc.
Tuliu Tu	—	168,94	s	—	—	3500	insol.
Uraniu U	—	238,07	s	18,7	1132	—	insol.
Bioxid de uraniu	UO ₂	270,07	s	10,5	2176	—	insol.

Trioxid de uraniu	UO_3	286,07	s	5,92	se desc.	—	insol.
Tetraclorură de uraniu	UCl_4	379,90	s	4,73	subl.	—	u. sol.
Carbură de uraniu	UC_2	262,09	s	11,3	2260	4100	se desc.
Azotat de uraniu	$\text{UO}_2(\text{NO}_3)_2 \cdot 6\text{H}_2\text{O}$	502,18	s	2,8	59	118	170(0°)
Clorură de uranil	UO_2Cl_2	340,98	s	—	se desc.	—	320(18°)
Vanadiu V	—	50,95	s	5,96	1730	aprox. 3000	insol.
Trioxid de vanadin	V_2O_3	149,90	s	4,87	1970	—	g. sol.
Pentoxid de vanadiu	V_2O_5	181,90	s	3,35	690	se desc. 1750	0,8
Carbură de vanadiu	VC	62,96	s	5,77	2810	3900	insol.
Xenon Xe	—	131,3	g	5,85 g/l	—112	—108,1	12,3 ml
Yterbiu Yb	—	173,04	s	—	824	1800	desc.a.
Ytriu Y	—	88,92	s	5,5	1490	4100	se desc.
Zinc Zn	—	65,38	s	7,1	419,5	907	insol.
Oxid de zinc	ZnO	81,38	s	5,6	subl. 1800	—	g. sol.
Hidroxid de zinc	$\text{Zn}(\text{OH})_2$	99,40	s	3,05	subl. 125	—	g. sol.
Azotat de zinc	$\text{Zn}(\text{NO}_3)_2 \cdot 6\text{H}_2\text{O}$	297,49	s	2,07	36,4	se desh.	184,3
Sulfat de zinc	$\text{ZnSO}_4 \cdot 7\text{H}_2\text{O}$	287,56	s	1,97	se desh. 280	—	96,5
Carbonat de zinc	ZnCO_3	125,39	s	4,4	se desc. 300	—	g. sol.
Clorură de zinc	ZnCl_2	136,29	s	2,9	262	732	432(25°)
Zirconiu Zr	—	91,22	s	6,4	1860	>2900	insol.
Bioxid de zirconiu	ZrO_2	123,22	s	5,7	aprox. 3000	—	insol.
Azotat de zirconiu	$\text{Zr}(\text{NO}_3)_4 \cdot 5\text{H}_2\text{O}$	429,33	s	—	se desc. 100	—	sol.
Sulfat de zirconiu	$\text{Zr}(\text{SO}_4)_2 \cdot 4\text{H}_2\text{O}$	355,41	s	—	se desh.	—	u. sol.
Tetraclorură de zirconiu	ZrCl_4	233,05	s	2,8	subl. 300	—	se desc.
Carbură de zirconiu	ZrC	103,23	s	6,73	3540	5100	insol.
Wolfram W	—	183,92	s	19,3	3380	aprox. 6000	insol.
Bioxid de wolfram	WO_2	215,92	s	12,1	aprox. 4600	—	insol.
Trioxid de wolfram	WO_3	231,92	s	7,2	1473	—	insol.
Carbură de wolfram	WC	195,93	s	15,7	2770	aprox. 6000	insol.
Bicarbonat de wolfram	W_2C	379,85	s	17,15	2860	aprox. 6000	insol.
Hexaclorură de wolfram	WCl_6	396,66	s	3,52	275	347	se desc.

Tabela 2.17 (continuare)

Denumirea	Formula	Masa moleculară	Starea fizică	Densitatea	Temperatura de topire	Temperatura de fierbere	Solubilitatea în apă (20°C)
Cîteva combinații metaloorganice							
Trimetil-aluminiiu	$\text{Al}(\text{CH}_3)_3$	72,07	l	—	0	130	desc. a.
Eter borometilic	$\text{B}(\text{OCH}_3)_3$	103,92	l	0,915	-29	68,7	se desc.
Eter boroetilic	$\text{B}(\text{OC}_2\text{H}_5)_3$	146,01	l	0,8746	—	117,4	se desc.
Trimetil-bor	$\text{B}(\text{CH}_3)_3$	55,92	g	1,9108 ^{g/l}	-161,5	-20,2	g. sol.
Trietil-bor	$\text{B}(\text{C}_2\text{H}_5)_3$	98,01	l	0,6961	-92,9	—	insol.
Trimetil-bismut	$\text{Bi}(\text{CH}_3)_3$	254,10	l	2,300	—	110	insol.
Trietil-bismut	$\text{Bi}(\text{C}_2\text{H}_5)_3$	296,18	l	1,82	—	107	insol.
Trietil-galiu	$\text{Ga}(\text{C}_2\text{H}_5)_3$	156,90	l	1,0576	-82,3	142,6	se desc.
Tetrametil-germaniu	$\text{Ge}(\text{CH}_3)_4$	132,74	l	1,006	-3	138-40	—
Tetraetil-germaniu	$\text{Ge}(\text{C}_2\text{H}_5)_4$	188,84	l	1,198	-90	162,5	se desc.
Bromură de trimetil-germaniu	$\text{Ge}(\text{CH}_3)_3\text{Br}$	197,62	l	1,544	-25	113,7	se desc.
Trimetil-indiu	$\text{In}(\text{CH}_3)_3$	159,86	s	1,568	89,0-8	subl.	se desc.
Diamil-cadmiiu	$\text{Cd}(\text{C}_5\text{H}_{11})_2$	254,69	l	1,2210	-115	121,5	—
Dibutil-cadmiiu	$\text{Cd}(\text{C}_4\text{H}_9)_2$	226,64	l	1,3056	-48	103,5	se desc.
Dimetil-cadmiiu	$\text{Cd}(\text{CH}_3)_2$	142,46	l	1,9846	-4,5	105,5	se desc.
Dietil-cadmiiu	$\text{Cd}(\text{C}_2\text{H}_5)_2$	170,53	l	1,6564	-21	64	se desc.
Tetrametil-silan	$\text{Si}(\text{CH}_3)_4$	88,20	l	0,651	—	26,5	—
Trimetil-stibiū	$\text{Sb}(\text{CH}_3)_3$	166,86	l	1,526	—	80,6	g. sol.
Trifenil-stibiū	$\text{Sb}(\text{C}_6\text{H}_5)_3$	353,06	s	1,4343	46-53	>230	insol.
Trietil-stibiū	$\text{Sb}(\text{C}_2\text{H}_5)_3$	208,94	l	1,324	<-20	159,5	insol.
Dimetil-zinc	$\text{Zn}(\text{C}_2\text{H}_3)_2$	95,45	l	1,386	-42,2	46	se desc.
Dietil-zinc	$\text{Zn}(\text{C}_2\text{H}_5)_2$	123,50	l	1,182	—	118	se desc.

Note la tabela 2-17.

1) În stare naturală — corindon (tabela 2.19). 2) Arsenul este cunoscut sub trei forme alotropice: a) galben sau arsen α ; b) negru sau arsen β ; c) cenușiu sau arsen γ . Forma cea mai stabilă este arsenul γ , un corp cristalin cu luciu metalic, care la 610°C și presiune normală se volatilizează fără a mai trece prin

faza lichidă. 3) În medicină este cunoscut sub denumirea de gaz ilariant, datorită efectului său anestezic la inhalare. 4) Sau N_2O_4 cu masa moleculară 92,02. 5) Temperaturile de topire ale argintului și aurului sînt egale cu $960,8^\circ C$, respectiv $1063^\circ C$, și sînt luate ca puncte fundamentale ale scării internaționale de temperatură (tabela 2.58). 6) Bariul descompune apa cu degajare de hidrogen. În afară de bariu, aceeași proprietate o mai au elementele: potasiu, calciu, lantan, litiu, sodiu, radium, rubidiu, stronțiu, fluor și cesiu; magneziul și uraniul descompun și ele apa, însă foarte încet. 7) Este dată temperatura de topire a anhidridei de bor obișnuită (sticloasă); temperatura de topire a B_2O_3 cristalin este de $294^\circ C$. 8) Ipsosul (tabela 2.19) constă în special din sulfat de calciu hidratat $CaSO_4 \cdot 2H_2O$. 9) Carbură de calciu, CaC_2 , este descompusă de apă cu degajare de acetilenă C_2H_2 (acetilena se obține chiar pe baza acestei reacții). 10) În condiții naturale oxidul fero-feric Fe_3O_4 (mai precis $FeO \cdot Fe_2O_3$) se întilnește sub formă de magnetită (tabela 2.19). 11) Izotopul greu al hidrogenului, *deuteriul*, în afară de notația obișnuită 2H , se mai notează cu simbolul D. Masa atomică a deuteriului este 2,01473. 12) Densitatea acidului azotic și dependența sa de concentrație sînt date în tabela 2.34. 13) Iodul este foarte volatil la temperatura camerei; prin încălzire se evaporă, formînd vapori violeti. 14) În natură carbonatul de magneziu ($MgCO_3$) se întilnește sub formă de magnezită (tabela 2.19). 15) Bioxidul de siliciu SiO_2 sau silica se întilnește în natură sub formă de cuarț (tabela 2.19). 16) Cositorul metalic obișnuit se numește cositor alb sau cositor β . El poate fi ușor forjat, vălțuit (foița de cositor sau staniol). Însă la temperatura de aproximativ $13^\circ C$ și în condițiile unei răcirii puternice în prealabil (pînă la -20 sau $-30^\circ C$), cositorul alb devine cenușiu sau cositor α , sub formă de pulbere; densitatea este $\sim 6,75 \text{ g/cm}^3$. 17) Bioxidul de stibiu se întilnește în natură sub două forme cu o singură compoziție, însă cu structură cristalină diferită: senarmontită și valentinită. 18) Sulfur este cunoscut sub trei forme alotropice: a) sulfurul rhombic cu densitatea de $2,07 \text{ g/cm}^3$; b) sulfurul monoclinic cu densitatea de $1,96 \text{ g/cm}^3$; c) sulfurul amorf (plastic), care prezintă două modifi cații.

Tabela 2.18. Proprietățile generale ale unor combinații organice

În tabela 2.18, în afară de denumirile combinațiilor și formulelor lor chimice, sînt indicate: 1) starea fizică a combinațiilor în condiții normale (solidă, lichidă, gazoasă); 2) masa moleculară; 3) densitatea, exprimată pentru corpurile solide și lichide în grame pe centimetru cub, iar pentru gaze în grame pe litru; 4) temperaturile de topire și fierbere în grade Celsius; 5) solubilitatea în apă.

În legătură cu aceste date trebuie menționate următoarele:

a) Densitatea pentru combinațiile solide și lichide este dată pentru temperatura de $20^\circ C$; densitatea combinațiilor gazoase este dată pentru condiții normale, adică pentru temperatura de $0^\circ C$ și presiune

nea de 760 mm Hg. Valorile densității sînt date cu aproximație pînă la a doua zecimală; dacă temperatura diferă cu mult de 20 °C, ea este dată între paranteze.

b) Temperaturile de topire și fierbere sînt date de asemenea aproximativ, precizia nedepășind 0,1° C. Dacă la încălzire combinația se descompune, se evaporă, sau explodează, aceasta este menționat prin prescurtările corespunzătoare: se desc., se ev. și expl. Dacă punctul de fierbere este dat la o presiune diferită de cea normală, aceasta este indicată în mm Hg.

c) Solubilitatea în apă este dată la o temperatură medie a camerei și anume: pentru combinațiile solide și lichide prin numărul de grame care se dizolvă în 100 cm³ de apă, iar pentru combinațiile gazoase prin numărul de milimetri care se dizolvă în 100 cm³ de apă. Pentru combinațiile foarte puțin solubile în apă la temperatura dată, sînt introduse notațiile: nesolubil (n) și greu solubil (g.s.) Dacă combinația, dizolvîndu-se în apă, o descompune chimic, acest proces este menționat cu prescurtarea desc.

Unele indicații suplimentare pentru diferite combinații sînt date în notele la tabelă. Combinațiile sînt date în tabelă în ordinea alfabetică, după denumirile lor.

T a b e l a 2.18

Denumirea	Formula	Masa moleculară	Starea fizică	Densitatea	Temperatura de topire	Temperatura de fierbere	Solubilitatea în apă
Acetaldehida	CH ₃ CHO	44,05	l	0,78	- 121	20,8	∞
Acetilenă	CH≡CH	26,04	g	1,17g/l	- 81,5	—	100 ml (18°)
Acetonă	CH ₃ COCH ₃	58,08	l	0,79	- 95	56,5	∞
Acid acetic	CH ₃ COOH	60,05	s(l)	1,05	16,7	118,0	∞
Acid citric	C ₆ H ₄ (OH)(CO ₂ H) ₃	192,13	s	1,54	153	se desc.	u.s.
Acid galic	(HO) ₃ C ₆ H ₂ COOH	170,13	s	1,69	220	se desc.	1,16
Acid formic	HCO ₂ H	46,03	l	1,22	8,4	100,5	∞
Acid oleic	C ₁₇ H ₃₃ CO ₂ H	282,48	l	0,898	16	286	n.
Acid oxalic	COOH-COOH	90,04	l	1,65	189,5	se ev.	9,5 (15°)
Acid picric	C ₆ H ₂ OH(NO ₂) ₃	299,12	s	1,76	122,5	expl. 300	1,8
Acid salicilic	HO-C ₆ H ₄ -CO ₂ H	138,13	s	1,44	159	se ev.	0,18
Acid succinic	CO ₂ H(CH ₂) ₂ CO ₂ H	118,09	s	1,56	185	235 se ev.	6,8
Acroleină	CH ₂ =CHCHO	56,06	l	0,84	- 87,7	52,5	40

Alcool alilic	$\text{CH}_2=\text{CHCH}_2\text{OH}$	58,08	l	0,855	-129	96	∞
Alcool amilic (izo-)	$(\text{CH}_2)_4\text{CH}(\text{CH}_2)_2\text{OH}$	88,16	l	0,812	-117,2	130,5	2,6
Alcool butilic (izo-)	$(\text{CH}_3)_2\text{CHCH}_2\text{OH}$	74,12	l	0,80	-108	108,4	9,5
Alcool etilic	$\text{C}_2\text{H}_5\text{OH}$	46,07	l	0,79	-117	78,5	∞
Alcool metilic	CH_3OH	32,04	l	0,79	-93,9	64,6	∞
Alcool propilic (normal)	$\text{CH}_3\text{CH}_2\text{CH}_2\cdot\text{OH}$	60,09	l	0,80	-127	97,4	∞
Aldehidă formică	HCHO	30,03	g	0,81 (-20°)	-92	21	s.
Alizarină	$\text{C}_6\text{H}_4(\text{CO})_2\text{C}_6\text{H}_2=$ $=(\text{OH})_2$	240,21 (162,15) ^x	s	-	290	430	g.s.
Amidon	$(\text{C}_6\text{H}_{10}\text{O}_5)_x$	102,09	s	1,50	se ev.	139,5	g.s.
Anhidridă acetică	$(\text{CH}_3\text{CO})_2\text{O}$	148,12	l	1,08	-73,0	se ev.	se ev.
Anhidridă ftalică	$\text{C}_6\text{H}_4(\text{CO})_2\text{O}$	93,13	s	1,53	131,6	184	g.s.
Anilină	$\text{C}_6\text{H}_5\text{NH}_2$	108,14	l	1,02	-6,2	155	3,4
Anisol	$\text{C}_6\text{H}_5\text{OCH}_3$	178,23	l	0,993	-37,5	350	n.
Antracen	$\text{C}_{14}\text{H}_{10}$	182,23	s	1,24	217	293	n.
Azobenzol	$\text{C}_6\text{H}_5\text{N}=\text{NC}_6\text{H}_5$	106,13	s	1,20	68	179,5	n.
Benzaldehidă	$\text{C}_6\text{H}_5\text{COH}$	78,12	l	1,05	-26	80,1	0,33
Benzen	C_6H_6	252,77	l	0,88	5,5	149,5	0,08
Bromoform	CHBr_3	187,88	l	2,89	8	38,4	0,3
Bromură de etil	$\text{CH}_3\text{CH}_2\text{Br}$	108,99	l	1,455	-125,5	131,6	0,91
Bromură de etilen	$\text{BrCH}_2\text{CH}_2\text{Br}$	58,12	l	2,1785	9,97 (10)	0,5	0,43 (30°)
Butan (n)	$\text{CH}_3(\text{CH}_2)_2\text{CH}_3$	152,24	g	0,6 (l.)	-138,4	204 se ev.	aprox. 10 ml
Camfor (camfor-d)	$\text{C}_{10}\text{H}_{16}\text{O}$	129,16	s	0,99	176	238,0	0,1
Chinoleină	$\text{C}_6\text{H}_4\text{N}=\text{CHCH}=\text{CH}$	165,42	s	1,09	-15,0	96,2 se	6
Cloralhidrat	$\text{CCl}_3\text{CH}(\text{HO})_2$	112,56	l	1,91	51,7	desc.	470 (17°)
Clorbenzen	$\text{C}_6\text{H}_5\text{Cl}$	119,39	l	1,11	-45	132	0,05
Cloroform	CHCl_3	164,39	l	1,50 (15°)	-63,5	61,0	1,0 (15°)
Cloropierin	CCl_3NO_2	64,52	l(g)	1,65	64	112	n.
Clorură de etil	$\text{CH}_3\text{CH}_2\text{Cl}$	98,97	l	0,92 (0°)	-142,5	12,5	0,57 (20°)
Clorură de etilen	$\text{ClCH}_2\text{CH}_2\text{Cl}$		l	1,26	-42,0	83,7	0,87

Tabela 2.18 (continuare)

Denumirea	Formula	Masa moleculară	Starea fizică	Densitatea	Temperatura de topire	Temperatura de fierbere	Solubilitatea în apă
Clorură de metil	CH_3Cl	50,49	g l	2,31 g/l	- 93	- 24,1	400 ml
Clorură de metilen	CH_2Cl_2	84,94	g l	1,33	- 96,8	40	s.
Clorură de vinil	$\text{CH}_2=\text{CHCl}$	62,50	g s	0,92 (l)	- 159,7	- 13,9	g.s.
Dextrină	$(\text{C}_6\text{H}_{10}\text{O}_5)_x$	(162,15) ^x	s	1,04	se desc.	-	s.
Diacetil	$\text{CH}_3\text{COCOCH}_3$	86,09	l	0,99	-	88	25 (15°)
Difenil	$(\text{C}_6\text{H}_5)_2$	154,21	s	1,18 (0°)	69-71	255	n.
Dinitrobenzen (orto-)	$\text{C}_6\text{H}_4(\text{NO}_2)_2$	168,12	s	1,56	118	aprox. 317	g.s.
Divinil ¹⁾	$\text{CH}_2=\text{CH}-\text{CH}=\text{CH}_2$	54,09	s	0,65 (l)	- 108,9	- 3,5	n.
Etan	CH_3CH_3	30,07	g g	1,36 g/l	- 183,3	- 88,6	4,7 ml
Eter etilic	$(\text{C}_2\text{H}_5)_2\text{O}$	74,12	g l	0,71	- 116,3	34,6	7,5
Eter metilic	CH_3OCH_3	46,07	g l	2,1 g/l	- 138,5	- 23,6	3 700 ml
Etilacetat	$\text{CH}_3\text{CO}_2\text{C}_2\text{H}_5$	88,10	g l	0,907 (15°)	- 83,6	77,15	8,6
Etilamină	$\text{CH}_3\text{CH}_2\text{NH}_2$	45,08	l	0,706 (0°)	- 80,6	16,6	∞
Etilbenzen	$\text{C}_6\text{H}_5\text{CH}_2\text{CH}_3$	106,17	l	0,867	- 93,9	136,1	g.s.
Etilen	$\text{CH}_2=\text{CH}_2$	28,06	g	1,25 g/l	- 169,2	- 103,7	25,6 ml. (0°)
Etilenoxid	$(\text{CH}_2)_2\text{O}$	44,05	l (g)	0,88 (7°)	- 111,3	10,7	∞
Fenantren	$\text{C}_{14}\text{H}_{10}$	178,23	s	1,17	100	340,2	n.
Fenol ²⁾	$\text{C}_6\text{H}_5\text{OH}$	94,12	s	1,07	41,0	181,7	6,7 (16°)
Fenolfaleină	$\text{C}_{20}\text{H}_{14}\text{O}_4$	318,33	s	1,30	261	-	0,018
Fluoresceină	$\text{C}_{20}\text{H}_{12}\text{O}_5$	332,32	s	-	aprox. 315	se desc.	g.s.
Fructoză ³⁾	$\text{C}_6\text{H}_{12}\text{O}_6$	180,17	s	1,60	aprox. 103	se desc.	u.s.
Furfural	$\text{C}_4\text{H}_3\text{OCHO}$	96,08	l	1,16	- 36,5	161,7	8,3
Glicerină ⁴⁾	$\text{CHOH}(\text{CH}_2\text{OH})_2$	92,09	l	1,26	20,0	290 se desc	∞
Glicol (etil-glicol)	$\text{CH}_2\text{OH}-\text{CH}_2\text{OH}$	62,07	l	1,12	- 15,6	197,3	∞
Glucoză (glucoză-d ⁵⁾)	$\text{CH}_2\text{OH}(\text{CHOH})_4\text{CHO}$	180,17	s	1,54	142	se desc.	83 (17,5°)
Hexaclorbenzen	C_6Cl_6	284,81	s	2,04	aprox. 230	326	n.
Hydrochinonă	$\text{C}_6\text{H}_4(\text{OH})_2$	110,12	s	1,36	170,5	286,2	6,0

Iodoform	CHI_3	393,78	s	4,01	119 se desc. aprox. -110	210 expl. 72,2	g.s. 0,4
Iodură de etil	$\text{CH}_3\text{CH}_2\text{I}$	155,98	l	1,913	-120	32,6	n.
Izopren	$\text{CH}_2=\text{CH}(\text{CH}_3)=\text{CH}_2$	68,12	l	0,68	se desc. 130°	se desc.	u.s.
Lactoză ⁽⁶⁾	$\text{C}_{12}\text{H}_{22}\text{O}_{11} \cdot \text{H}_2\text{O}$	360,33	s	1,52	se desc. 100	-161,5	108 (25°)
Maltoză ⁽⁷⁾	$\text{C}_{12}\text{H}_{22}\text{O}_{11} \cdot \text{H}_2\text{O}$	360,33	s	1,54	-182,5	-	9 ml
Metan	CH_4	16,04	g	0,72 g/l	se desc. 260	-	s.
Metol	$(\text{HOC})_2\text{C}_6\text{H}_4\text{NHCH}_3 \cdot \text{H}_2\text{SO}_4$	344,39	s	-	-	-	-
Naftalină	C_{10}H_8	128,17	s	1,14	80,2	218	g.s.
Naftol (α)	$\text{C}_{10}\text{H}_7\text{OH}$	144,17	s	1,224 (4°)	95	280	g.s.
Naftol (β)	$\text{C}_{10}\text{H}_7\text{OH}$	144,17	s	1,217 (4°)	122	286	g.s.
Nitrobenzen	$\text{C}_6\text{H}_5\text{NO}_2$	123,12	l	1,20	5,9	210,9	0,19
Nitrofenol (orto-)	$\text{O}_2\text{NC}_6\text{H}_4\text{OH}$	139,12	s	1,66	45	214,5	0,21
Nitroglicerină	$\text{C}_3\text{H}_5(\text{ONO}_2)_3$	227,09	l	1,60	(2,9); 13,2	expl. 260	0,18
Nitrotoluen (orto-)	$\text{C}_6\text{H}_4(\text{CH}_3)\text{NO}_2$	137,14	l	1,16	aprox. -4	222,3	g.s.
Paraldehidă	$(\text{CH}_3\text{CHO})_3$	132,17	l	0,99	12,6	128	12 (13°)
Pentan (normal)	$\text{CH}_3(\text{CH}_2)_3\text{CH}_3$	72,15	l	0,63	-130	36,1	0,04
Piridină	$\text{C}_5\text{H}_5\text{N}$	79,10	l	0,98	-42	115,3	∞
Propanol	$\text{C}_3\text{H}_7(\text{OH})_3$	126,12	s	1,45	aprox. 133	309	aprox. 62
Propan	$\text{CH}_3\text{CH}_2\text{CH}_3$	44,09	g	2,01 g/l	-187,7	-42,1	6,5 ml (18°)
Propilen	$\text{CH}_3\text{CH}=\text{CH}_2$	42,08	g	1,94 g/l	-185,3	-47,7	44,6 ml
Rezorecină	$\text{C}_6\text{H}_4(\text{OH})_2$	110,12	s	1,28	111	276,5	aprox. 220
Stirol ⁽⁸⁾	$\text{C}_6\text{H}_5\text{CH}=\text{CH}_2$	104,15	l	0,91	-30,6	145,2 se desc.	g.s.
Sulfură de carbon	CS_2	76,14	l	1,29 (0°)	-111	46,3	0,22 (22°)
Tetraclorură de carbon	CCl_4	153,84	l	1,59 (5°)	-22,8	76,8	0,08
Toluen	$\text{C}_6\text{H}_5\text{CH}_3$	92,14	l	0,87	-95,0	110,6	0,05
Triclorbenzen	$\text{C}_6\text{H}_3\text{Cl}_3$	181,47	s (l)	1,57 (10°)	17	213	n.
Xilol (orto-)	$\text{C}_6\text{H}_4(\text{CH}_3)_2$	106,17	l	0,88	-25,2	144,4	n.
Zaharoză ⁽⁹⁾	$\text{C}_{12}\text{H}_{22}\text{O}_{11}$	342,31	s	1,59 (15°)	184 se desc.	-	179 (0°)

Note la tabela 2.18. 1) Divinilul este produsul inițial de bază în producția cauciucului sintetic. 2) Soluția de fenol în apă se numește acid fenic. 3) Se mai numește levuloză sau zahăr de fructe. 4) Glicerina pură rezistă la o răcire de scurtă durată până la -40°C și nu se solidifică. La o răcire mai slabă, însă mai îndelungată (de exemplu până la temperatura de 0°C), glicerina se cristalizează; cristalele se topesc la temperatura de 20°C . 5) Glucozele sînt reprezentate în număr mare de diferite substanțe zaharoase; glucoza-d se mai numește dextroză. 6) Lactoza se mai numește și zahăr de lapte. 7) În mod obișnuit se obține sub formă de melasă și se mai numește maltoză. 8) Se folosește pe scară largă la fabricarea maselor plastice. 9) Sau zahăr din sfeclă, din trestie de zahăr.

T a b e l a 2.19. Proprietățile generale ale unor minerale

În tabela 2.19 sînt enumerate unele minerale, pentru care, în afară de denumirile și formulele chimice ale componentei principale mai sînt date: sistemul cristalin (conform terminologiei adoptate), valorile aproximative ale durtății în scara pînă la 10 (vezi și tabela 2.42 a) și valorile densității în grame pe centimetru cub. În afară de aceasta, se dau indicațiile generale admise în mineralogie în ceea ce privește forma exterioară a cristalului, culoarea și luciul lui; datorită variației culorii la diferitele probe, variație observată des pentru un același cristal, culoarea este dată numai aproximativ, în special pentru varietățile cele mai răspîndite.

În tabela 2.19 sînt adoptate următoarele prescurtări:

Pentru sistemul cristalin:

trcl. — triclinic;
mnc. — monoclinic;
romb. — rombic (sau ortotrimetric);
trg. — trigonal;
tetr. — tetragonal;
hex. — hexagonal;
cub. — cubic (sau izometric);

Pentru luciul:

d. — ca diamantul;
mt. — metalic;
smt. — semimetalic;
r. — rășinos;
st. — sticlos;
șt. — șters;
n, l. — nu lucește.

Pentru culoare:

al. — alb;	g.d. — galben des.;	d. — deschis;
br. — brun;	v. — verde	gr. — gri;
f.c. — fără culoare;	v.d. — verde des.;	albas. — albastru;
bl. — bleu;	r. — roșu;	albas. d. — albastru des.;
bl.d. — bleu deschis;	m. — maron;	înch. — închis;
g. — galben;	tr. — transparent;	n. — negru.

T a b e l a 2.19

Denumire	Formula	Sistem cristalin	Duritate	Densitate	Culoare, luciu
Anhidrit	CaSO_4	romb.	3,0-3,5	2,8-3,0	gri, bleu; st.
Antimonit (Stibină)	Sb_2S_3	romb.	2,0-2,5	4,5-4,6	albust. d. gri; mt.
Aragonit	CaCO_3	romb.	3,5-4,0	2,9-3,0	alb, v. d; st.
Arsenopirită	FeAsS	mnc.	5,5-6,0	5,9-6,2	alb, gri; mt.
Auripigment	As_2S_3	mnc.	1,5-2,0	3,4-3,5	g; st.
Azurită	$2\text{BaCO}_3 \cdot \text{Cu}(\text{OH})_2$	mnc.	3,6-4,0	3,7-3,9	albust. în-albast. st.
Barit ¹⁾	BaSO_4	romb.	2,5-3,0	4,3-4,7	alb, br. r; st.
Peril	$\text{Be}_3\text{Al}_2(\text{SiO}_3)_6$	hex.	7,5-8,0	2,6-2,9	v, g, albast; st
Bismutină	Bi_2S_3	romb.	2,0-2,5	6,4-6,6	alb, gri; mt
Bișofit	$\text{MgCl}_2 \cdot 6\text{H}_2\text{O}$	mnc.	1,5-2,0	4,5-1,6	alb, f, c.; st
Braunită	Mn_2O_3	tetr.	6,0-6,5	4,7-5,0	br, n, gri; smt.
Brookit	TiO_2	romb.	5,5-6,0	3,9-4,1	br, g, r; st.
Calcit ²⁾	CaCO_3	trg.	3,0	2,6-2,8	alb, tr; st.
Calcopirită	CuFeS_2	tetr.	3,5-4,0	4,1-4,3	g; mt
Calcosină	Cu_2S	romb.	2,5-3,0	5,5-5,8	gr; mt.
Castorită	SnO_2	tetr.	6,0-7,0	6,8-7,1	br, n, r, gri; d.
Ceruzit	PbCO_3	romb.	3,0-3,5	6,46-6,57	f.c., alb, gri; d.
Cianit (disten)	Al_2SiO_5	trg.	4,5-7,0	3,56-3,67	albast, v, d, alb, st.
Cinabru	HgS	trg.	2,0-2,5	8,0-8,2	r, gri, n; d.
Cleveit ³⁾	UO_2	cub.	5,0-6,0	6,6-10,0	n; r
Cobaltină	CoAsS	cub.	5,5-6,0	6,1-6,3	alb, r, d; mt.
Corindon ⁴⁾	Al_2O_3	trg.	9,0	3,95-4,10	gri, g, albst., r.; d.
Crisoberil	BeAl_2O_4	romb.	8,5	3,5-3,84	v, g; st.
Cromit	$\text{FeO} \cdot \text{Cr}_2\text{O}_3$	cub.	5,5-7,5	4,0-4,8	n, r; mt.
Cuarț ⁵⁾	SiO_2	trg.	7,0	2,59-2,66	tr, g, br, v, d; st.
Diamant	C	cub.	10	3,4-3,5	f, c., g. br.; d.
Diapso ⁹⁾	$\text{Al}_2\text{O}_3 \cdot \text{H}_2\text{O}$	romb.	6,5-7,0	3,3-3,5	br, g-d; st.

Tabela 2.19 (continuare)

Denumire	Formula	Sistem cristalin	Duritate	Densitate	Culoare, luciu
Diopsid (piroxen)	$\text{CaMg}(\text{Si}_2\text{O}_6)$	mnc.	5,5-6,0	3,3-3,4	alb, v, gri; st.
Delomit	$\text{CaCO}_3 \cdot \text{MgCO}_3$	trg.	3,5-4,0	2,8-3,0	br, alb; st.
Enstatit	$\text{Mg}_2(\text{Si}_2\text{O}_6)$	romb.	5,0-6,0	3,1-3,2	alb, gri, v, d; st.
Fenactit	Be_2SiO_4	trg.	7,5-8,0	2,96-3,0	f. c., br-r, r; st.
Fluorit ⁷⁾	CaF_2	cub.	4,0	3,1-3,2	tr v. bleu; st.
Gadolinit	$\text{Y}_2\text{FeBe}_2\text{Si}_2\text{O}_{10}$	mnc.	6,6-7,0	4,0-4,3	v, d, n, br; st.
Galenit	PbS	cub.	2,5-3,0	7,4-7,6	gri; mt
Gips	$\text{CaSO}_4 \cdot 2\text{H}_2\text{O}$	mnc.	1,5-2,0	2,2-2,4	alb, gri, g-d; n. l.
Gaulberit	$\text{Na}_2\text{SO}_4 \cdot \text{CaSO}_4$	mnc.	2,5-3,0	2,7-2,9	tr, alb, g-d; st.
Grafit	C	hex.	1,0-2,0	2,0-2,3	n; smt.
Hematit	Fe_2O_3	trg.	5,5-6,5	4,9-5,3	n, r; mt
Hubnerit	MnWO_4	mnc.	4,5-5,5	7,2-7,5	n, r-m; mt
Ilmenit ⁸⁾	FeTiO_3	trg.	5,0-6,0	4,5-5,0	n; mt
Limonit ⁸⁾	$2\text{Fe}_2\text{O}_3 \cdot 3\text{H}_2\text{O}$	—	5,0-5,5	3,3-4,0	inch-br, g; m,
Magnetit	$\text{FeO} \cdot \text{Fe}_2\text{O}_3$	cub.	5,5-6,5	5,0-5,2	n; mt
Magnezit	MgCO_3	trg.	3,5-4,5	2,9-3,1	alb, g, d; st.
Malahit	$\text{CuCO}_3 \cdot \text{Cu}(\text{OH})_2$	mnc.	3,4-4,0	3,9-4,1	v; st
Mică	$\text{KAl}_3(\text{OH F})_2$	mnc.	2,0-3,0	2,7-2,9	tr, g; st
Molibdenit	MoS_2	hex.	1,0-1,5	4,7-4,8	gri; mt
Monazit ⁹⁾	$(\text{Ce} \dots) \text{PO}_4$	mnc.	5,0-5,5	4,9-5,3	r-br, g; st.
Olivină	$(\text{Mg, Fe})_2\text{SiO}_4$	romb.	6,5-7,0	3,0-3,3	v, g; st.
Opal	$\text{SiO}_2 \cdot n\text{H}_2\text{O}$	—	5,5-6,5	1,9-2,5	alb, g, d, bl; st.
Petzită	$(\text{Ag, Au})_2\text{Te}$	cub.	2,5-3,0	8,7-9,2	gri; mt.
Pirită	FeS_2	cub.	6,0-6,5	4,9-5,2	g; mt.
Pirotină	FeS	hex.	3,5-4,5	4,5-4,7	g; mt.
Realgar	AsS	mnc.	1,5-2,0	3,4-3,6	r; st.
Rutil ¹⁰⁾	TiO_2	tetr.	6,0-6,5	4,2-4,3	r, g, n; mt.

cuart al frecvenței), în mecanică pentru măsurarea presiunilor instantanee; c) dubla refracție a razelor în cuarț și activitatea sa optică; d) cuarțul este foarte transparent pentru radiațiile ultraviolete (aproximativ pînă la 1850 Å), și datorită acestui fapt pentru studiul spectrelor instrumentelor optice de cuarț (lentile, prisme) sînt cele mai bune. 6) Diasporul intră în compoziția bauxitei, care este materia primă pentru obținerea aluminiului metalic. 7) Fluoritul servește la prepararea acidului fluorhidric și a fluorurilor. 8) Limonitul este un minereu de fier foarte răspîndit. 9) Monazitul conține deseori cantități mici de toriu și de aceea este radioactiv. 10) Bioxidul de titan (minereul rutil) este astăzi obiectul unei atenții mari, datorită proprietăților sale electrice deosebite. 11) Haloidit sau sare gemă se găsește în natură nu numai în stare solidă, ci și sub formă de soluție în apa unor izvoare sărate și a unor lacuri sărate, în apa mărilor, oceanelor. Haloiditul în cristale optic pure este transparent pentru radiațiile infraroșii (pînă la 16–17 micrometri) și de aceea, la cercetările în acest domeniu al spectrului, se folosesc deseori prisme și lentile din sare gemă, ale cărei cristale complet transparente, de dimensiuni mari, nu sînt o raritate (vezi nota 12). 12) În domeniul spectrului infraroșu silvina este mai transparentă decît galitul (pînă la 20 μ) (vezi nota 11), însă cristalele, optic transparente de silvină, de dimensiuni mari se întîlesc rar. 13) În spinel, magneziul este deseori substituit prin fier sau mangan, iar aluminiul prin fier sau crom.

T a b e l a 2.20 a, b, c. Compoziția și temperaturile de înghețare ale apei mării

Conținutul de sare în apa mării se definește de obicei prin salinitatea S . Din punct de vedere cantitativ, S se exprimă prin numărul total de grame de toate sărurile conținute în 1 000 g apă de mare; cu alte cuvinte, salinitatea apei mării poate fi considerată ca fiind suma concentrațiilor tuturor sărurilor raportată la 1 000 g soluție; datorită acestui fapt, S se exprimă de obicei în ‰.

Valoarea medie a salinității apei mării se consideră egală cu 35‰ ($S_m = 35‰$); aceasta înseamnă că 1 kg de apă de mare conține, în medie, 35 g de săruri dizolvate. Sărurile conținute în apa mării în cantități apreciabile sînt menționate în tabela 2.20 a, unde se dau: denumirile și formulele sărurilor, concentrația lor (în ‰) în apa mării de salinitate medie, procentajul fiecărei sări în raport cu cantitatea totală de sare. Trebuie menționat că în timp ce cifrele din coloana a doua a tabelului și suma lor în S în condiții naturale prezintă variații mari, cifrele din coloana a treia, adică conținutul în procente, rămîne practic constant.

În afară de sărurile indicate în tabela 2.20 a, în apa mării s-a mai observat un număr mare de alte elemente chimice, care se găsesc aici în cantități foarte mici¹⁾, cuprinse între 10^{-4} pînă la 10^{-140} ‰. Astfel, s-a observat prezența sigură a fluorului, siliciului, rubidiului, aluminiului, litiului, iodului și a multor altor elemente. În afară de acestea, în apa mării există gaze dizolvate (provenite în cea mai mare parte din atmosferă) și diferite combinații organice (produse de lumea

vegetală și animală a mării). Concentrația combinațiilor organice este foarte mică și este supusă unor oscilații intense între limitele 2—15 mg/l de apă. În ceea ce privește gazele dizolvate în apa mării, conținutul lor poate varia și el în mod apreciabil, așa cum se vede din tabela 2.20 b, unde este dată concentrația diferitelor gaze în apa mării, exprimată în cm³/l.

Salinitatea apei mării influențează asupra celorlalte proprietăți ale ei, de exemplu, asupra densității, temperaturii de înghețare, coeficientului de refracție a luminii, conductibilității electrice etc. Astfel, densitatea apei mării, la salinitatea de 35‰ și temperatura de 0 °C este egală cu 1,02812. Tot astfel, coeficientul de refracție D al liniei sodiului la 18 °C variază de la 1,33308 la 1,34077 cu creșterea salinității de la 0 la 40‰; pe aceasta se bazează metoda refractometrică de măsurare a salinității. Dependența salinității apei mării de temperatura sa de înghețare în °C) este dată în tabela 2.20 c.

T a b e l a 2.20 a. Conținutul sărurilor principale în apa mării

Denumirea și formula chimică	Conținutul în 1 kg	%
Clorura de sodiu NaCl	27,213	77,758
Clorura de magneziu MgCl ₂	3,807	10,878
Sulfat de magneziu MgSO ₄	1,658	4,737
Sulfat de calciu CaSO ₄	1,260	3,600
Sulfat de potasiu K ₂ SO ₄	0,863	2,465
Bromură de magneziu MgBr ₂	0,076	0,217
Carbonat de calciu și urme de alte săruri	0,123	0,345
Total	$S = 35‰$	100%

T a b e l a 2.20 b. Conținutul de gaze în apa mării

Substanța	Concentrația (cmc/l)	Substanța	Concentrația (cmc/l)
Oxygen ²⁾	0—8,5	Argon	0,2—0,4
Azot	8,4—14,5	Heliu și neon	aprox. 0,00017
Bioxid de carbon ³⁾	34—56	Hidrogen sulfurat ⁴⁾	0—22

 T a b e l a 2.20 c. Temperatura de înghețare a apei mării la diferite valori S

$S‰$	0	$S‰$	0	$S‰$	0	$S‰$	0	$S‰$	0
2	-0,108	10	-0,534	18	-0,965	26	-1,405	34	-1,853
4	-0,214	12	-0,640	20	-1,074	28	-1,516	36	-1,967
6	-0,320	14	-0,748	22	-1,184	30	-1,627	38	-2,081
8	-0,427	16	-0,856	24	-1,294	32	-1,740	40	-2,196

Note la tabelele 2.20 a, b, c. 1) La concentrații foarte mici ale sărurilor dizolvate în apa mării, aceste săruri, inclusiv cele date în tabela 2.20 a, trebuie să fie complet disociate; datorită acestui fapt, determinând compoziția apei mării, ne limităm deseori la enumerarea elementelor conținute în ea și indicăm concentrația fiecăreia. 2) Trebuie atrasă atenția asupra faptului că procentul de oxigen, raportat la procentul de azot din apa mării, poate fi mult mai mare decât în aer. 3) Aici este dată întreaga cantitate de bioxid de carbon, atât sub formă liberă (CO_2) cât și sub forma de radicali acizi. 4) Concentrația hidrogenului sulfurat, care se dizolvă bine în apă, poate depăși uneori limita superioară dată în tabelă ($22 \text{ cm}^3/\text{l}$); un exemplu îl constituie zona de mare adâncime din Marea Neagră, unde concentrația de hidrogen sulfurat atinge $42 \text{ cm}^3/\text{l}$.

Tabela 2.21. Părțile componente ale aerului

Aerul din troposferă, adică partea inferioară a atmosferei terestre, cu o grosime în medie de circa 14 km, este un amestec mecanic complex, care, în afară de substanțe în stare gazoasă, conține apă în toate cele trei stări de agregare, și corpuri solide înfine în suspensie. Această parte a atmosferei, alcătuită din corpuri solide, constă dintr-o cantitate de particule foarte variate: particule de praf de origine terestră și cosmică, particule de fum, de anumite săruri chimice, precum și microparticule de natură biologică. Această cantitate de particule suspendate în aer este supusă unor oscilații mari, care depind mult de condițiile locale. De asemenea, și conținutul de apă în aer este supus unor oscilații mari (apă sub formă lichidă, vapori și cristale de gheață); aceste oscilații se datoresc multor cauze: anotimpurile, starea timpului, condiții climaterice generale, condiții climaterice locale etc.

Dintre substanțele gazoase care intră în compunerea atmosferei, se cunosc mai mult de zece: azot, oxigen, argon, bioxid de carbon, neon, heliu, kripton, xenon, hidrogen, ozon etc. Trebuie menționat că predomină în mod categoric trei gaze: azotul, oxigenul și argonul: aceste trei gaze formează împreună peste 99,95% din aer (ca volum), pentru celelalte gaze rămânând mai puțin de 0,05%. Compoziția aerului uscat (în procente de volum) a fost adoptată ca standard internațional în anul 1947; cifrele corespunzătoare sînt date în coloana a patra a tabelului, iar în coloana a cincea este dată presiunea parțială a gazelor în mm Hg, calculată teoretic. În privința acestor date, trebuie menționat că compoziția aerului rămîne constantă practic pentru toate înălțimile, în limitele troposferei. Scurte mențiuni în legătură cu această problemă pentru cîteva gaze sînt date în note.

În afară de gazele menționate, în aer există și amoniac ($2 \cdot 10^{-6}\%$) și emanații radioactive ($6 \cdot 10^{-18}\%$).

Dincolo de limitele stratosferei (pînă la înălțimi de circa 30 km) se observă o reducere neînsemnată cu înălțimea, a gazelor mai grele. Astfel conținutul în oxigen la înălțimi, pînă la 18 km mai rămîne normal (20,95%), dar la înălțimea de 28—29 km el este de 20,39%;

același lucru se observă, pare-se, și pentru bioxidul de carbon. Totuși, aceste modificări sînt mult mai mici decît cele așteptate pe baza teoriei separării naturale a amestecului de gaze în cîmpul gravitațional, presupunînd că acest proces are loc în perfectă liniște fără nici un amestec mecanic (vînt, curenți verticali). Aceste rezultate ne permit să tragem concluzia că la înălțimi pînă la 30 km există procese aerodinamice, care încetinesc separarea gazelor, deși nu o opresc complet.

T a b e l a 2.21

Gazul	Simbolul	Masa moleculară	% după volum	Presiunea parțială [mm Hg]
Argon	Ar	39,944	0,93	7,07
Azot	N ₂	28,016	78,09	593,4
Bioxid de carbon ¹⁾	CO ₂	44,010	0,03	0,23
Heliu	He	4,003	$5,24 \cdot 10^{-4}$	$3,8 \cdot 10^{-3}$
Hidrogen ²⁾	H ₂	2,016	$5,0 \cdot 10^{-5}$	$3,8 \cdot 10^{-4}$
Kripton	Kr	83,80	$1,0 \cdot 10^{-4}$	$8,4 \cdot 10^{-4}$
Neon	Ne	20,183	$1,8 \cdot 10^{-3}$	0,014
Oxigen	O ₂	32,000	20,95	159,2
Ozon ³⁾	O ₃	48,000	$1,0 \cdot 10^{-6}$	$1,5 \cdot 10^{-5}$
Xenon	Xe	131,3	$8,0 \cdot 10^{-6}$	$6,1 \cdot 10^{-5}$

Masa moleculară medie a aerului uscat este de 28,966.

Note la tabela 2.21. 1) Conținutul de bioxid de carbon în aer prezintă o variație zilnică remarcabilă, crescînd noaptea, ceea ce se explică prin proprietatea plantelor de a absorbi bioxidul de carbon, numai la lumină. 2) Conținutul de hidrogen în pături inferioare ale aerului nu este suficient de precis determinat, dar el nu poate depăși cifrele indicate în tabelă. 3) Conținutul de ozon în aer prezintă o variație anuală remarcabilă, maximul observîndu-se toamna.

T a b e l a 2.22. Unii parametri ai atmosferei internaționale standard

Variația presiunii aerului în raport cu înălțimea se determină teoretic prin formula barometrică. Presupunînd că temperatura aerului rămîne constantă în toate punctele, adică în cazul așa-numitei atmosfere izometrice, formula barometrică se scrie de obicei sub forma:

$$P_h = p_0 e^{-\frac{gh}{RT}}. \quad (2.62)$$

Aici p_h și p_0 reprezintă presiunea aerului la înălțimea h și la nivelul mării unde h se ia egal cu zero; g este accelerația gravitației la înălțimea h (tabela 2.22); R și T — respectiv constanta gazelor aerului și temperatura sa absolută pentru atmosfera izotermică.

Formula barometrică ne permite să calculăm: 1) diferența de înălțime dintre două puncte de pe suprafața pământului, măsurind în punctele respective simultan presiunea și temperatura (nivelare barometrică) și 2) presiunea la o anumită înălțime h pe baza presiunii date la o altă înălțime h_1 ; operația obișnuită de acest gen este călătoria presiunii p_0 la nivelul mării din presiunea p_h la înălțimea h (raportarea indicațiilor barometrului la nivelul mării; în particular, pe hărțile sinoptice sînt date indicațiile barometrului raportate la nivelul mării).

În realitate, condițiile izometrice nu există în atmosferă, iar temperatura acesteia scade în general cu înălțimea. De aceea, în calcule ar trebui să se țină seama de gradientul vertical al temperaturii. Deoarece mărirea sa prezintă oscilații mari, în special în părțile inferioare ale aerului, pe baza unui acord internațional s-a admis atmosfera standard internațională; temperatura ei la nivelul mării se consideră constantă și egală cu 15°C , temperatura la orice înălțime mai mare de 11 km se ia de asemenea constantă și egală cu $-56,5^\circ\text{C}$, iar pentru înălțimile intermediare dintre nivelul mării și 11 km, se ia gradientul vertical constant al temperaturii, egal cu $-6,5^\circ\text{C}$ la 1 km înălțime. Pentru atmosfera standard se pot calcula teoretic la orice înălțime valorile tuturor parametrilor principali: presiune, temperatură, densitate, coeficient cinematic de viscozitate etc. Rezultatele unor astfel de calcule sînt date în tabela 2.22, unde se pot găsi:

- 1) înălțimea h față de nivelul mării, exprimată în metri;
- 2) presiunea barometrică p_h exprimată în mm Hg și $\text{H/m}^2 \cdot 10^3$;
- 3) raportul presiunilor p_h/p_0 ;
- 4) temperatura atmosferei în $^\circ\text{C}$;
- 5) densitatea sa ρ_h , exprimată în kg/m^3 .

Aceste date sînt indicate:

1. pentru înălțimi de la 0 la 2 000 m la intervale de 100 m;
2. pentru înălțimi de la 2 000 la 5 000 m la intervale de 200 m;
- 3) pentru înălțimi de la 5 000 la 8 000 m la intervale de 500 m.

La calculul valorilor numerice ale parametrilor atmosferei standard s-a considerat:

- 1) presiunea barometrică a aerului la nivelul mării ($h = 0$) $p_0 = 760 \text{ mm Hg} = 1\,013,25 \text{ kilobarye}$ ($= 1,01325 \text{ bar}$) (la temperatura mercurului egală cu 0°C și greutatea specifică egală cu $0,0135951 \text{ kg/cm}^3$);
- 2) temperatura aerului la nivelul mării $t_0 = 15^\circ\text{C}$;
- 3) gradientul de temperatură al aerului $\alpha = 0,0065^\circ/\text{m}$;
- 4) densitatea aerului la nivelul mării $\rho_0 = 0,124966 \text{ kg} \cdot \text{s}^2/\text{m}^4$;
- 5) accelerația normală a căderii libere $g_n = 9,80665 \text{ m/s}^2$.

Se presupune că greutatea specifică a aerului la nivelul mării este $\gamma = 1,2255 \text{ kg/m}^3$ (la $t = 15^\circ$); umiditatea relativă a aerului este de 0%.

Tabela 2.22 *

$h[m]$	p_h		p_h/p_0	t [°C]	$\rho_h[kg/m^3]$
	[mm Hg]	[N/m ² ·10 ²]			
0	760,00	1 013,25	1,00000	15,00	1,22595
100	751,03	1 001,29	0,98820	14,35	1,21418
200	742,14	989,44	0,97650	13,70	1,20349
300	733,34	977,71	0,96492	13,05	1,19093
400	724,63	966,09	0,95346	12,40	1,17955
500	716,00	954,58	0,94210	11,75	1,16808
600	707,45	943,19	0,93085	11,10	1,15680
700	698,99	931,90	0,91972	10,45	1,14561
800	690,60	920,73	0,90869	9,80	1,13443
900	682,30	909,66	0,89776	9,15	1,12344
1 000	674,08	898,70	0,88695	8,50	1,11245
1 100	665,94	887,85	0,87624	7,85	1,10156
1 200	657,88	877,10	0,86563	7,20	1,09077
1 300	649,90	866,46	0,85513	6,55	1,07998
1 400	642,00	855,93	0,84474	5,90	1,06939
1 500	634,17	845,50	0,83444	5,25	1,05879
1 600	626,43	835,17	0,82425	4,60	1,04830
1 700	618,76	824,94	0,81415	3,95	1,03790
1 800	611,17	814,82	0,80416	3,30	1,02760
1 900	603,65	804,79	0,79427	2,65	1,01730
2 000	596,20	794,87	0,78448	2,00	1,00719
2 200	581,54	775,32	0,76518	0,70	0,98708
2 400	567,17	756,16	0,74628	-0,60	0,967266
2 600	553,09	737,39	0,72775	-1,90	0,947774
2 800	539,29	719,00	0,70959	-3,20	0,928585
3 000	525,77	700,98	0,69181	-4,50	0,909691
3 200	512,53	683,32	0,67439	-5,80	0,891101
3 400	499,56	666,03	0,65732	-7,10	0,872796
3 600	486,86	649,09	0,64061	-8,40	0,854785
3 800	474,42	632,51	0,62424	-9,70	0,837048
4 000	462,24	616,27	0,60821	-11,00	0,819606
4 200	450,31	600,37	0,59252	-12,30	0,802438
4 400	438,64	584,80	0,57716	-13,60	0,785555
4 600	427,21	569,56	0,56211	-14,90	0,768937
4 800	416,02	554,65	0,54739	-16,20	0,752594
5 000	405,07	540,05	0,53299	-17,50	0,736505
5 500	378,71	504,91	0,49831	-20,75	0,697462
6 000	353,76	471,65	0,46548	-24,00	0,660017
6 500	330,16	440,18	0,43443	-27,25	0,624132
7 000	307,85	410,44	0,40507	-30,50	0,589758
7 500	286,78	382,34	0,37734	-33,75	0,556845
8 000	266,89	355,83	0,35117	-37,00	0,525365

Note la tabela 2.22. 1) Unitatea pentru măsurarea presiunii, milibarul, care s-a folosit în trecut, stă la baza standardului, din care au

foșt scoase cifrele tabelii; s-a luat $1 \text{ mbar} = 10^3 \text{ dyn/cm}^2$. Pentru transformarea în newton pe metru pătrat valorile presiunilor exprimate în milibari trebuie împărțite la 10^2 .

Tabela 2.23. a, b, c. Accelerația căderii libere

Accelerația căderii libere g depinde, după cum se știe, de latitudinea geografică a locului și de înălțimea sa h deasupra nivelului mării. Dependența lui g de latitudinea geografică este determinată de formula lui Helmert¹⁾:

$$g_{\varphi} = 978,030 (1 + 0,005302 \sin^2 \varphi - 0,00007 \sin^2 2\varphi), \quad (2.63)$$

unde g_{φ} este valoarea accelerației căderii libere la nivelul mării și latitudinea geografică φ , exprimată în centimetri pe secundă la pătrat.

În tabela 2.23 a sînt date valorile lui g pentru diferite latitudini la intervale de 1° , calculate pe baza formulei lui Helmert cu o precizie pînă la zecimala a treia²⁾. În coloana a treia a tabelii sînt date diferențele dintre două valori consecutive ale lui g , din tabelă, ceea ce este necesar la calculul valorilor g pentru latitudinile geografice intermediare.

Tabela 2.23 a

φ	$g \text{ [cm.s}^{-2}\text{]}$	Diferența	φ	$g \text{ [cm.s}^{-2}\text{]}$	Diferența
0°	978,030		22°	978,754	
1	032	2	23	818	64
2	036	4	24	884	66
3	044	8	25	952	68
4	055	11	26	979,022	70
5	069	14	27	094	72
6	086	17	28	168	74
7	107	21	29	244	76
8	130	23	30	321	77
9	156	26	31	400	79
10	186	30	32	481	81
11	218	32	33	562	81
12	253	35	34	646	84
13	291	38	35	730	84
14	332	41	36	815	85
15	376	44	37	902	87
16	422	46	38	989	87
17	471	49	39	980,077	88
18	523	52	40	166	89
19	577	54	41	255	89
20	634	57	42	345	90
21	693	59	43	435	90
22	754	61	44	525	90

Tabela 2.23 a (continuare)

φ	g [cm · s ⁻²]	Diferența	φ	g [cm · s ⁻²]	Diferența
44°	980,525	91	67°	982,420	65
45	616	91	68	485	61
46	706	91	69	546	60
47	797	90	70	606	57
48	887	90	71	663	55
49	977	89	72	718	52
50	981,066	89	73	770	50
51	155	89	74	820	46
52	244	87	75	866	45
53	331	87	76	911	41
54	418	85	77	952	38
55	503	85	78	990	36
56	588	84	79	983,026	32
57	672	82	80	058	30
58	754	81	81	088	27
59	835	79	82	115	23
60	914	78	83	138	21
61	992	76	84	159	17
62	982,068	74	85	176	14
63	142	73	86	190	11
64	215	70	87	201	8
65	285	69	88	209	5
66	354	66	89	214	2
67	420		90	216	

Note la tabela 2.23 a. 1) Formula lui Helmert a fost propusă încă din 1901, și ea nu și-a pierdut valabilitatea nici până astăzi, fiind relativ simplă. În 1930, la congresul geofizic internațional, s-a adoptat o formulă nouă:

$$g_{\varphi} = 978,049 (1 + 0,0052884 \sin^2 \varphi - 0,0000059 \sin^2 2\varphi).$$

Din această formulă rezultă pentru g valori ceva mai mari (cu 1 până la 2 sutimi) decât valorile rezultate din formula lui Helmert. 2) Unitatea de măsură a lui g în sistemul CGS, egală cu 1 cm/s² se numește foarte des gal. Valorile lui g din tabelă, exprimate în cm/s², sînt date de obicei până la zecimala a treia, adică cu o precizie de un miligal.

Valoarea accelerației căderii libere la înălțimea h deasupra nivelului mării este determinată după formula aproximativă

$$g_h = g_0 - 0,0003036 h, \quad (2.64)$$

unde g_0 este accelerația gravitației la nivelul mării; h trebuie exprimat în metri.

Tabela 2.24 (continuare)

Apă	Mercur	Apă	Mercur	Apă	Mercur	Apă	Mercur
191	14,05	200	14,71	650	47,81	1100	80,91
192	14,12	250	18,39	700	51,49	1150	84,59
193	14,20	300	22,07	750	55,17	1200	88,26
194	14,27	350	25,74	800	58,84	1250	91,94
195	14,34	400	29,42	850	62,52	1300	96,52
196	14,42	450	33,10	900	66,20	1350	99,30
197	14,49	500	36,78	950	69,88	1400	102,98
198	14,56	550	40,45	1000	73,55	1500	110,33
199	14,64	600	44,13	1050	77,23		

Tabela 2.25. Raportarea indicațiilor barometrului la 0°C

Corecțiile barometrului pentru temperatură se calculează cu formula

$$H_0 = H_t[1 - (\beta - \alpha)t], \quad (2.65)$$

unde H_0 este înălțimea barometrului raportată la 0°C, H_t înălțimea barometrului calculată direct, β și α sînt coeficienții de dilatare a mercurului și respectiv alamei sau sticlei (materialul scalei barometrului), iar t temperatura barometrului.

Pentru toate temperaturile de peste 0°C corecțiile sînt negative; pentru toate temperaturile sub 0°C corecțiile sînt aceleași în valoare absolută, însă pozitive. La calculul corecțiilor s-a considerat că $\beta = 0,000182^\circ\text{C}^{-1}$, α (alamă) = $0,000019^\circ\text{C}^{-1}$ și α (sticlă) = $= 0,000008^\circ\text{C}^{-1}$.

În tabelă sînt date valorile corecțiilor $H_t \cdot t (\beta - \alpha)$ exprimate în milimetri pentru scara de alamă a barometrului. Pentru scara de sticlă corecțiile din tabele trebuie mărite cu

$$H_t \cdot t(0,000019 - 0,000008) = 0,000011 H_t \cdot t.$$

Pentru indicații ale barometrului apropiate de presiunea atmosferică normală mărimea aceasta poate fi considerată egală în medie cu $0,008 t$ [mm].

Tabela 2.25

t°	Înălțimea H [mm Hg] indicată de barometru											0,008 t
	680	690	700	710	720	730	740	750	760	770	780	
1	0,11	0,11	0,11	0,12	0,12	0,12	0,12	0,12	0,12	0,13	0,13	0,01
2	0,22	0,22	0,23	0,23	0,23	0,24	0,24	0,24	0,25	0,25	0,25	0,02
3	0,33	0,34	0,34	0,35	0,35	0,36	0,36	0,37	0,37	0,38	0,38	0,02
4	0,44	0,45	0,46	0,46	0,47	0,48	0,48	0,49	0,50	0,50	0,51	0,03
5	0,55	0,56	0,57	0,58	0,59	0,59	0,60	0,61	0,62	0,63	0,64	0,04
6	0,67	0,67	0,68	0,69	0,70	0,71	0,72	0,73	0,74	0,75	0,76	0,05
7	0,79	0,79	0,80	0,81	0,82	0,83	0,84	0,86	0,87	0,88	0,89	0,06
8	0,89	0,90	0,91	0,93	0,94	0,95	0,96	0,98	0,99	1,00	1,02	0,06
9	1,00	1,01	1,03	1,04	1,06	1,07	1,09	1,10	1,11	1,13	1,14	0,07
10	1,11	1,12	1,14	1,16	1,17	1,19	1,21	1,22	1,24	1,26	1,27	0,08
11	1,22	1,24	1,26	1,27	1,29	1,31	1,33	1,34	1,36	1,38	1,40	1,09

T a b e l a 2.25 (continuare)

t°	Înălțimea H [mm Hg] indicată de barometru											0,0034
	680	690	700	710	720	730	740	750	760	770	780	
12	1,33	1,35	1,37	1,39	1,41	1,43	1,45	1,47	1,49	1,51	1,53	0,10
13	1,44	1,46	1,48	1,50	1,53	1,55	1,57	1,59	1,61	1,63	1,65	0,10
14	1,55	1,57	1,60	1,62	1,64	1,67	1,69	1,71	1,73	1,76	1,78	0,11
15	1,66	1,69	1,71	1,74	1,76	1,78	1,81	1,83	1,86	1,88	1,91	0,12
16	1,77	1,80	1,83	1,85	1,88	1,90	1,93	1,96	1,98	2,01	2,01	0,13
17	1,88	1,91	1,94	1,97	2,00	2,02	2,05	2,08	2,11	2,13	2,16	0,14
18	2,00	2,02	2,05	2,08	2,11	2,14	2,17	2,20	2,23	2,26	2,29	0,14
19	2,11	2,14	2,17	2,20	2,23	2,26	2,29	2,32	2,35	2,38	2,42	0,14
20	2,22	2,25	2,28	2,31	2,35	2,38	2,41	2,45	2,48	2,51	2,54	0,16
21	2,33	2,36	2,40	2,43	2,46	2,50	2,53	2,57	2,60	2,64	2,67	0,17
22	2,44	2,47	2,51	2,55	2,58	2,62	2,65	2,69	2,73	2,76	2,80	0,18
23	2,55	2,59	2,62	2,66	2,70	2,74	2,77	2,81	2,85	2,89	2,92	0,18
24	2,66	2,70	2,74	2,78	2,82	2,86	2,89	2,93	2,97	3,01	3,05	0,19
25	2,77	2,81	2,85	2,89	2,93	2,97	3,02	3,06	3,10	3,14	3,18	0,20
26	2,88	2,92	2,97	3,01	3,05	3,09	3,14	3,18	3,22	3,26	3,31	0,21
27	2,99	3,04	3,08	3,12	3,17	3,21	3,26	3,30	3,34	3,39	3,43	0,22
28	3,10	3,15	3,19	3,24	3,29	3,33	3,38	3,42	3,47	3,51	3,56	0,22
29	3,21	3,26	3,31	3,36	3,40	3,45	3,50	3,55	3,59	3,64	3,69	0,23
30	3,33	3,37	3,42	3,47	3,52	3,57	3,62	3,67	3,72	3,77	3,81	0,24
31	3,44	3,49	3,54	3,59	3,64	3,69	3,74	3,79	3,84	3,89	3,94	0,25
32	3,55	3,60	3,65	3,70	3,76	3,81	3,86	3,91	3,96	4,02	4,07	0,26
33	3,66	3,71	3,77	3,82	3,87	3,98	3,98	4,03	4,09	4,14	4,20	0,27
34	3,77	3,82	3,88	3,93	3,99	4,05	4,10	4,16	4,21	4,27	4,32	0,27
35	3,88	3,94	3,99	4,05	4,11	4,16	4,22	4,28	4,34	4,39	4,45	0,28

T a b e l a 2.26. Corecția indicațiilor barometrului pentru depresiunea capilară a mercurului

Cifrele din tabelă arată cu câți milimetri coboară mijlocul meniscului de mercur datorită depresiunii capilare în tuburi de diferite diametre și la diferite înălțimi ale meniscului de mercur.

Mercurul este la 20°C ; coeficientul lui de tensiune superficială este de 450 dyn/cm; accelerația gravitației se consideră normală.

T a b e l a 2.26

Dia- metrul tubului [mm]	Înălțimea meniscului de mercur [mm]								
	0,2	0,4	0,6	0,8	1,0	1,2	1,4	1,6	1,8
7	0,18	0,35	0,51	0,66	0,79	0,91	1,01	1,08	1,14
8	0,13	0,25	0,37	0,48	0,58	0,67	0,74	0,81	0,85
9	0,09	0,18	0,27	0,35	0,43	0,50	0,56	0,61	0,65
10	0,07	0,14	0,20	0,26	0,32	0,37	0,42	0,46	0,49
11	0,05	0,10	0,15	0,20	0,24	0,28	0,32	0,35	0,38
12	0,04	0,08	0,12	0,15	0,18	0,22	0,25	0,27	0,29
13	0,03	0,06	0,09	0,12	0,14	0,17	0,19	0,21	0,23
14	0,02	0,05	0,07	0,09	0,11	0,13	0,15	0,16	0,18

Tabela 2.27. Raportarea greutății corpului la greutatea lui în vid

Greutatea G a corpului în vid se calculează din rezultatele cântăririi directe pe baza formulei

$$G = P + P \delta \left(\frac{1}{\gamma_1} - \frac{1}{\gamma_2} \right). \quad (2.66)$$

unde P este greutatea corpului în aer, δ greutatea specifică a aerului, γ_1 greutatea specifică a corpului cântărit și γ_2 greutatea specifică a materialului greutăților. În tabela 2.27 sînt date valorile mărimii $K \cdot 10^5$, unde K rezultă din formula

$$K = \delta \left(\frac{1}{\gamma_1} - \frac{1}{\gamma_2} \right). \quad (2.67)$$

Corecția este dată pentru greutatea de alamă la diferite valori γ_1 : de la 0,7 pînă la 20 gf/cm³. Mărimea K este calculată pentru greutatea de 1 gf; la calculul lui K s-a considerat că greutatea specifică a aerului este $\delta = 0,0012$ gf/cm³, iar greutatea specifică a alamei este $\gamma_2 = 8,4$ gf/cm³.

Pentru corpuri cu greutatea specifică mai mică decît 8,4 gf/cm³ (greutatea specifică a alamei) corecția este pozitivă, iar pentru corpurile cu greutatea specifică mai mare de 8,4 gf/cm³, corecția este negativă.

Tabela 2.27

γ_1	$10^5 \cdot K$	γ_1	$10^5 \cdot K$	γ_1	$10^5 \cdot K$	γ_1	$10^5 \cdot K$	γ_1	$10^5 \cdot K$
0,7	157	1,5	066	2,4	036	5,0	010	9	001
0,8	136	1,6	61	2,6	32	5,5	07(5)	10	2
0,9	119	1,7	56	2,8	29	6,0	6	12	4
1,0	106	1,8	52	3,0	26	6,5	4	14	6
1,1	095	1,9	49	3,5	20	7,0	3	16	7
1,2	086	2,0	46	4,0	16	7,5	2	18	8
1,3	078	2,2	40	4,5	12	8,0	+1	20	8
1,4	071								

Tabelele 2.28 a și b. Raportarea volumului de gaz la 0°C și 760 mm Hg

Volumul V_0 al unui gaz la 0°C și la presiunea de 760 mm Hg și densitatea ρ_0 în aceleași condiții sînt determinate după formulele

$$V_0 = \frac{V_t}{1 + \alpha_p t} \frac{H}{760}, \quad (2.68)$$

$$\rho_0 = \rho_t (1 + \alpha_p t) \frac{760}{H} \quad (2.69)$$

unde t este temperatura gazului, H este presiunea sa exprimată în mm Hg, V_t și ρ_t sînt volumul și respectiv densitatea gazului la temperatura t [°C] și la presiunea H [mm Hg], iar α_p este coeficientul de dilatare a gazului la presiunea constantă.

Aceste formule au fost deduse în ipoteza că gazele se supun legilor Boyle-Mariotte și Gay-Lussac. În tabele sînt date valorile mărimilor $1 + \alpha_p t$ în intervalul de temperaturi de la 0 la 124 °C (tabela 2.28 a) și $H/760$ în intervalul de presiuni de la 700 la 849 mm Hg (tabela 2.28 b). Pentru aceste calcule s-a considerat că coeficientul de dilatare al gazelor la presiune constantă este $\alpha = 0,00367$ °C⁻¹.

T a b e l a 2.28 a

t [°C]	$1 + \alpha_p t$	t [°C]	$1 + \alpha_p t$	t [°C]	$1 + \alpha_p t$	t [°C]	$1 + \alpha_p t$	t [°C]	$1 + \alpha_p t$
0	1,0000	25	1,0917	50	1,1835	75	1,2752	100	1,3670
1	1,0037	26	1,0954	51	1,1872	76	1,2789	101	1,3707
2	1,0073	27	1,0991	52	1,1908	77	1,2826	102	1,3743
3	1,0110	28	1,1028	53	1,1945	78	1,2863	103	1,3780
4	1,0147	29	1,1064	54	1,1982	79	1,2899	104	1,3817
5	1,0183	30	1,1101	55	1,2018	80	1,2936	105	1,3853
6	1,0220	31	1,1138	56	1,2055	81	1,2973	106	1,3890
7	1,0257	32	1,1174	57	1,2092	82	1,3009	107	1,3927
8	1,0294	33	1,1211	58	1,2129	83	1,3046	108	1,3964
9	1,0330	34	1,1248	59	1,2165	84	1,3083	109	1,4000
10	1,0367	35	1,1284	60	1,2202	85	1,3119	110	1,4037
11	1,0404	36	1,1321	61	1,2239	86	1,3156	111	1,4074
12	1,0440	37	1,1358	62	1,2275	87	1,3193	112	1,4110
13	1,0477	38	1,1395	63	1,2312	88	1,3230	113	1,4147
14	1,0514	39	1,1431	64	1,2349	89	1,3266	114	1,4184
15	1,0550	40	1,1468	65	1,2385	90	1,3303	115	1,4220
16	1,0587	41	1,1505	66	1,2422	91	1,3340	116	1,4257
17	1,0624	42	1,1541	67	1,2459	92	1,3376	117	1,4294
18	1,0661	43	1,1578	68	1,2496	93	1,3413	118	1,4331
19	1,0697	44	1,1615	69	1,2532	94	1,3450	119	1,4367
20	1,0734	45	1,1651	70	1,2569	95	1,3486	120	1,4404
21	1,0771	46	1,1688	71	1,2606	96	1,3523	121	1,4441
22	1,0807	47	1,1725	72	1,2642	97	1,3560	122	1,4477
23	1,0844	48	1,1762	73	1,2679	98	1,3597	123	1,4514
24	1,0881	49	1,1798	74	1,2716	99	1,3633	124	1,4551

Tabela 2.28 b

$\frac{H}{[\text{mmHg}]}$	$\frac{H}{760}$	$\frac{H}{[\text{mmHg}]}$	$\frac{H}{760}$	$\frac{H}{[\text{mmHg}]}$	$\frac{H}{760}$	$\frac{H}{[\text{mmHg}]}$	$\frac{H}{760}$	$\frac{H}{[\text{mmHg}]}$	$\frac{H}{760}$
700	0,9211	730	0,9605	760	1,0000	790	1,0395	820	1,0790
701	0,9224	731	0,9618	761	1,0013	791	1,0408	821	1,0803
702	0,9237	732	0,9632	762	1,0026	792	1,0421	822	1,0816
703	0,9250	733	0,9645	763	1,0039	793	1,0434	823	1,0829
704	0,9263	734	0,9658	764	1,0053	794	1,0447	824	1,0842
705	0,9276	735	0,9671	765	1,0066	795	1,0461	825	1,0855
706	0,9289	736	0,9684	766	1,0079	796	1,0474	826	1,0868
707	0,9303	737	0,9697	767	1,0092	797	1,0487	827	1,0882
708	0,9316	738	0,9711	768	1,0105	798	1,0500	828	1,0895
709	0,9329	739	0,9724	769	1,0118	799	1,0513	829	1,0908
710	0,9342	740	0,9737	770	1,0132	800	1,0526	830	1,0921
711	0,9355	741	0,9750	771	1,0145	801	1,0540	831	1,0934
712	0,9368	742	0,9763	772	1,0158	802	1,0553	832	1,0947
713	0,9382	743	0,9776	773	1,0171	803	1,0566	833	1,0961
714	0,9395	744	0,9789	774	1,0184	804	1,0579	834	1,0974
715	0,9408	745	0,9803	775	1,0197	805	1,0592	835	1,0987
716	0,9421	746	0,9816	776	1,0211	806	1,0605	836	1,1000
717	0,9434	747	0,9829	777	1,0224	807	1,0618	837	1,1013
718	0,9447	748	0,9842	778	1,0237	808	1,0632	838	1,1026
719	0,9461	749	0,9855	779	1,0250	809	1,0645	839	1,1040
720	0,9474	750	0,9868	780	1,0263	810	1,0658	840	1,1053
721	0,9487	751	0,9882	781	1,0276	811	1,0671	841	1,1066
722	0,9500	752	0,9895	782	1,0290	812	1,0684	842	1,1079
723	0,9513	753	0,9908	783	1,0303	813	1,0697	843	1,1092
724	0,9526	754	0,9921	784	1,0316	814	1,0711	844	1,1105
725	0,9539	755	0,9934	785	1,0329	815	1,0724	845	1,1118
726	0,9553	756	0,9947	786	1,0342	816	1,0737	846	1,1132
727	0,9566	757	0,9961	787	1,0355	817	1,0750	847	1,1145
728	0,9579	758	0,9974	788	1,0368	818	1,0763	848	1,1158
729	0,9592	759	0,9987	789	1,0382	819	1,0776	849	1,1171

Notă la tabelele 2.28 a și b. Considerînd, la calcule, că $\alpha_p = 0,00367^\circ\text{C}^{-1}$, se obțin rezultate corecte, dar riguros vorbind numai pentru un gaz ideal. Pentru gaze reale sînt necesare corecțiile respective, deoarece coeficienții termici ai gazelor diferă de valorile adoptate pentru α_p . Totuși, aceste corecții pentru majoritatea gazelor, ca hidrogenul, heliul, azotul, aerul etc., modifică a șasea sau (uneori) a cincea zecimală; primele patru zecimale date în tabelă își păstrează valoarea. Numai pentru gazele grele (bioxid de sulf, ozon, clor etc.) corecțiile pot modifica zecimala a patra.

Tabela 2.29. Densitatea gazelor la 0°C și 760 mm Hg

În tabela 2.29 sînt date densitatea gazelor uscate la 0°C și 760 mm Hg, exprimată în g/l, și densitatea relativă a gazelor în raport cu aerul, $\rho_r = \rho/\rho_{\text{aer}}$, calculată în ipoteza că aerul și gazele se află în aceleași condiții de presiune și temperatură.

La calcularea densităților gazelor, densitatea apei fără impurități, la 4 °C, este considerată egală cu 1 000 g/cm³. Pentru a obține densitatea gazelor în sistemul CGS, adică în g/cm³, valorile lui ρ din tabelă trebuie împărțite la 1 000.

T a b e l a 2.29

Gazul	Formula	Masa moleculară	(g/l)	$\rho_r = \rho / \rho_{\text{aer}}$
Acetilenă	C ₂ H ₂	26,038	1,1747	0,907
Acid bromhidric	HBr	80,92	3,6445	2,8189
Acid cianhidric	HCN	27,027	0,901	0,697
Acid clorhidric	HCl	36,47	1,6392	1,2678
Acid fluorhidric	HF	20,01	0,921	0,7123
Acid iodhidric	HJ	127,92	5,7891	4,4776
Aer (fără CO ₂)	—	28,97	1,293	1
Amoniac	NH ₃	17,032	0,77140	0,596
Argon	Ar	39,944	1,78364	1,380
Azot	N ₂	28,016	1,25049	0,967
Bioxid de carbon	CO ₂	44,011	1,977	1,529
Bioxid de clor	ClO ₂	67,46	3,09	2,39
Bioxid de sulf	SO ₂	64,066	2,92655	2,264
Butan (izo)	C ₄ H ₁₀	58,125	2,7032	2,090
Cianură	C ₂ N ₂	52,038	2,335	1,798
Clor	Cl ₂	70,914	3,214	2,485
Clorură de metil	CH ₃ Cl	50,49	2,3076	1,7848
Etan	C ₂ H ₆	30,07	0,356	1,049
Etilenă	C ₂ H ₄	28,054	1,26035	0,975
Fluor	F ₂	38,00	1,696	1,312
Heliu	He	4,003	0,17846	0,138
Hydrogen	H ₂	2,016	0,089882	0,0695
Hydrogen arsenios	AsH ₃	77,93	2,484	2,695
Hydrogen fosforat	PH ₃	34,00	1,5294	1,1829
Hydrogen sulfurat	H ₂ S	34,082	1,538	1,198
Hidrură de seleniu	H ₂ Se	80,98	3,670	2,839
Hidrură de siliciu	SiH ₄	32,12	1,44	1,114
Hidrură de stibiu	SbH ₃	124,78	5,30	4,10
Hidrură de telur	H ₂ Te	129,63	5,81	4,49
Kripton	Kr	83,80	3,743	2,89
Metan	CH ₄	16,043	0,71682	0,554
Metilamină	CH ₃ NH ₂	31,06	1,396	1,080
Neon	Ne	20,183	0,89990	0,696
Oxid de azot	NO	30,008	1,340	1,037
Oxid de carbon	CO	28,011	1,250	0,967
Oxigen	O ₂	32,000	1,42896	1,105
Propan	(CH ₃) ₂ CH ₂	44,09	2,0096	1,554
Protoxid de azot	N ₂ O	44,016	1,9775	1,530
Radon	Rn	222,00	9,96	7,703
Tetrafluorură de siliciu	SiF ₄	169,92	4,684	3,623
Trimetilamină	(CH ₃) ₃ N	59,11	2,580	1,996
Xenon	Xe	131,3	5,851	4,525

Tabela 2.30. Densitatea aerului uscat la diferite temperaturi

Densitatea ρ_t a aerului la temperatura t se calculează din formula

$$\rho_t = \rho_0 \frac{H}{(1 + \alpha_p t) \cdot 760} \quad (2.70)$$

unde ρ_0 este densitatea aerului la temperatura 0°C și presiunea de 760 mm Hg, H este presiunea aerului la temperatura t [$^\circ\text{C}$], exprimată de asemenea în mm Hg, iar α_p este coeficientul de dilatare al aerului la presiune constantă.

În tabela 2.30 sînt date valorile mărimii $\rho_t \cdot 10^3$ determinate din formula (2.70) în intervalul de temperaturi de la 0°C pînă la 35°C și în intervalul de presiuni de la 700 la 780 mm Hg, pentru aerul uscat și cu conținut de bioxid de carbon mai mic de 0,04% în volum. Pentru calcule s-a considerat că densitatea aerului la 0°C și 760 mm Hg este $\rho_0 = 0,0012932 \text{ g/cm}^3$, iar coeficientul de dilatare al aerului la presiune constantă este $\alpha_p = 0,00367 \text{ }^\circ\text{C}^{-1}$.

Tabela 2.30

t [$^\circ\text{C}$]	H [mm Hg]								
	700	710	720	730	740	750	760	770	780
0	0,1191	0,1208	0,1225	0,1242	0,1259	0,1276	0,1293	0,1310	0,1327
1	1187	1204	1221	1238	1255	1272	1288	1305	1322
2	1182	1199	1216	1233	1250	1267	1284	1300	1318
3	1178	1195	1212	1229	1245	1262	1279	1296	1313
4	1174	1191	1207	1224	1241	1258	1274	1291	1308
5	1170	1186	1203	1220	1236	1253	1270	1287	1303
6	1165	1182	1199	1215	1232	1249	1265	1282	1299
7	1161	1178	1194	1211	1228	1244	1261	1277	1294
8	1157	1174	1190	1207	1223	1240	1256	1273	1289
9	1153	1169	1186	1202	1219	1235	1252	1268	1285
10	1149	1165	1182	1198	1215	1231	1247	1264	1280
11	1145	1161	1178	1194	1210	1227	1243	1259	1276
12	1141	1157	1173	1190	1206	1222	1239	1255	1271
13	1137	1153	1169	1186	1202	1218	1234	1251	1267
14	1133	1149	1165	1181	1198	1214	1230	1246	1262
15	1129	1145	1161	1177	1193	1210	1226	1242	1258
16	1125	1141	1157	1173	1189	1205	1221	1238	1254
17	1121	1137	1153	1169	1185	1201	1217	1233	1249
18	1117	1133	1149	1165	1181	1197	1213	1229	1245
19	1113	1129	1145	1161	1177	1193	1209	1225	1241
20	1110	1126	1141	1157	1173	1189	1205	1221	1236
21	1106	1122	1137	1153	1169	1185	1201	1216	1232
22	1102	1118	1134	1149	1165	1181	1197	1212	1228
23	1098	1114	1130	1145	1161	1177	1193	1208	1224

T a b e l a 2.30 (continuare)

$t[^\circ\text{C}]$	H [mm Hg]								
	700	710	720	730	740	750	760	770	780
24	0,1095	0,1110	0,1126	0,1142	0,1157	0,1173	0,1189	0,1204	0,1220
25	1091	1107	1122	1138	1153	1169	1185	1200	1216
26	1087	1103	1118	1134	1149	1165	1181	1196	1212
27	1084	1099	1115	1130	1146	1161	1177	1192	1208
28	1080	1096	1111	1126	1142	1157	1173	1188	1204
29	1077	1092	1107	1123	1138	1153	1169	1184	1200
30	1073	1088	1104	1119	1134	1150	1165	1180	1196
31	1069	1085	1100	1115	1130	1146	1161	1176	1192
32	1065	1081	1096	1112	1126	1142	1157	1172	1188
33	1062	1077	1093	1108	1122	1138	1153	1168	1184
34	1058	1073	1089	1104	1117	1134	1149	1164	1180
35	1054	1069	1085	1001	1112	1130	1145	1160	1176

T a b e l a 2.31. Densitatea corpurilor lichide și solide

Valorile densității ρ sînt date în g/cm^3 și se referă la temperatura medie a camerei de $15-20^\circ\text{C}$. La calculul densităților corpurilor s-a considerat că densitatea apei fără impurități la 4°C este de $1,0000 \text{ g/cm}^3$.

T a b e l a 2.31 a

	$\rho[\text{g/cm}^3]$		$\rho[\text{g/cm}^3]$
Acetonă	0,792	Apă grea	1,1053
Acid acetic	1,049	Argint	10,50
Agat	2,5 — 2,7	Aur	19,32
Alabastru	2,7 — 2,8	Azbest	2,2 — 3,2
Alamă	8,5 — 8,7	Bariu	3,5
Alamă topită	8,4 — 8,6	Benzen	0,879
Alaun (aluminu-amo- niu)	1,64	Benzină	0,7 — 0,8
Alaun potasiu	1,75	Beriliu	1,82
Alcool amilic	0,815	Bismut	9,80
Alcool etilic	0,789	Borax	1,7 — 1,8
Alcool metilic	0,791	Brom	3,14
Aliaj Wood ¹⁾	9,7	Bronz (Cu, Al)	7,6 — 7,8
Alpaca ²⁾	8,4 — 8,7	Bronz (Cu, Sn)	8,5 — 8,9
Aluminu	2,70	Cadmiu	8,65
Aluminu laminat	2,6 — 2,7	Calcit	2,6 — 2,8
Aluminu turnat	2,56	Calciu	1,55
Anilină	1,03	Camfor	0,99
Apă de mare	1,03	Caolină	2,4 — 2,6
		Carbon	

Tabela 2.31 a (continuare)

	ρ [g/cm ³]		ρ [g/cm ³]
Carbon diamant	3,4 — 3,5	mesteacăn	0,6 — 0,8
Carbon grafit	2,3 — 2,7	molid	0,4 — 0,7
Cărbune (de lemn)	0,2 — 0,4	pin	1,1 — 1,3
Cauciuc natural	0,92 — 0,93	stejar	0,7 — 1,0
Ceară	0,87 — 0,99	Magneziu	1,74
Celuloid	1,4	Malahit	3,9 — 4,1
Chilimbar	1,05 — 1,09	Mangan	7,4
Cloroform	1,498	Manganin ⁶⁾	8,5
Cobalt	8,7	Marmoră	2,6 — 2,8
Colofoni	1,07 — 1,1	Mercur	13,55
Constantan ³⁾	8,9	Mică	2,7 — 2,9
Corindon	3,9 — 4,1	Molibden	10,2
Cositor	7,29	Naftalină	1,15
Cretă	1,9 — 2,6	Nichel	8,9
Crom	6,8 — 7,2	Nichelină ⁷⁾	8,5
Cromel ⁴⁾	8,24	Nicrom ⁸⁾	8,1 — 8,4
Cuarț	2,5 — 2,8	Nitrobenzen	1,21
Cupru	8,92	Nitroglicerină	1,60
Cupru laminat	8,8 — 8,9	Os	1,8 — 2,0
Cupru topit	8,6 — 8,8	Oțel	7,7 — 7,9
Diamant	3,4 — 3,5	Paladiu	11,9
Duraluminu	2,7 — 2,9	Parafină	0,87 — 0,92
Ebonită	1,2	Permaloi ⁹⁾	8,6
Feldspat	2,5 — 2,7	Petrol	0,73 — 0,94
Fier	7,9	Petrol lampant	0,80 — 0,82
Fier armko	7,86	Piatră ponce	0,4 — 0,9
Fier laminat	7,6 — 7,8	Platină	21,45
Fildeș	2,0	Platină ¹⁰⁾	8,2
Fluorină	3,0 — 3,2	Plumb	11,34
Fontă	7,0 — 7,8	Plută	0,22 — 0,26
Fosfor alb	1,82	Porțelan	2,2 — 2,5
Fosfor roșu	2,20	Potasiu	0,86
Gheață (0° C)	0,89 — 0,92	Rabbit	7,1 — 9,5
Glicerină deshidratată	1,2604	Radiu	5
Granit	2,5 — 2,8	Rodiu	12,4
Gumigut	1,20	Rubidiu	1,53
Hiposulfit	1,73	Sare de bucătărie	2,16
Hirtie de scris	0,7 — 1,1	Sare gemă	2,1 — 2,2
Invar ⁵⁾	8,0	Siliciu	v. cuarț
Ipsos calcinat	2,7 — 2,8	Silitră am	1,73
Ipsos cristalin	2,2 — 2,4	Silitră pat	2,11
Lemn uscat:		Silitră sod	2,26
bameu	0,4	Spat de Islanda	2,71
guaiar	1,1 — 1,4	Spat greu	4,3 — 4,6
lemn negru, frasin	0,6 — 0,8	Smirghel	aprox. 4,0

T a b e l a 2.31 a (continuare)

	ρ [g/cm ³]		ρ [g/cm ³]
Sodiu	0,97	Toluen	0,867
Stibiu	6,62	Turmalină	2,9 — 3,2
Sticlă (cristal)	2,9 — 3,0	Țipirig	1,5 — 1,6
Sticlă de geam	2,4 — 2,6	Uranu	18,7
Sticlă flint	2,9 — 5,9	Vanadiu	6,02
Stronțiu	2,6	Wolfram	19,3
Sulf monoclinic	1,96	Xilen (orto)	0,88
Sulf rhombic	2,07	Zahăr (rafinat)	1,6
Sulfură de carbon	1,263	Zinc	7,1
Talc	2,7 — 2,8	Zinc laminat	7,1 — 7,2
Tantal	16,6	Zinc topit	6,9 — 7,0
Terebentină	0,86 — 0,87		

Note la tabela 2.31 a. 1) Aliajul cu compoziția 63,8% Fe + 36% Ni + 0,2% C. 2) Aliajul cu compoziția 60% Cu + 40% Ni; uneori se mai adaugă o cantitate mică (1,50%) de aluminiu în detrimentul cuprului. 3) Aliaj cu compoziția 84% Cu + 12% Mn + 4% Ni. 4) Aliaj cu compoziția 65% Cu + 20% Zn + 15% Ni. 5) După compoziție și proprietăți este apropiat de alpaca (argentan); uneori i se adaugă o cantitate mică de fier și mangan. 6) Aliaj cu compoziția 61% Ni + 23% Fe + 16% Cr; se folosesc și aliaje cu compoziția 80% Ni + 20% Cr. 7) Aliaj cu compoziția 78,5% + 21,5% Fe. 8) Aliaj cu compoziția 46% Ni + 54% Fe; se folosește în tehnica vidului ca înlocuitor de platină. 9) Face parte din aliajele ușor fuzibile și are compoziția 25% Pb + 12,5% Sn + 50% Bi + 12,5% Cd; temperatura de topire este de aproximativ 60,5 °C. 10) Aliaj cu compoziția 90% Ni + 9,5 % Cr.

T a b e l a 2.31 b. Densitatea unor lichide grele

	Lichidul	Densitatea [g/cm ³]
1.	Tetrabrommetan (se dizolvă în tetraclorură de carbon și benzen):	2,964 la 20 °C
2.	Iodură de metilen (se dizolvă de aceleași lichide)	3,325 la 20 °C
3.	Lichidul lui Clerioci (soluții apoase ale unor combinații organice a taliului)	până la 4,9

Tabela 2.31 c

Aluminii-cupru		Aur-argint		Cupru-zinc	
Al[%] ρ [g/cm ³]		Ag[%] ρ [g/cm ³]		Zn[%] ρ [g/cm ³]	
0	8,92	0	19,32	0	8,92
0,10	8,90	8,4	18,041	19,8	8,459
1,06	8,78	12,0	17,540	52,4	8,149
2,10	8,62	21,5	16,354	53,5	8,143
2,99	8,47	35,4	14,870	61,4	7,976
4,06	8,31	52,2	13,432	63,7	7,951
5,07	8,18	68,7	12,257	65,4	7,904
5,76	8,07	76,7	11,760	67,1	7,873
6,73	7,95	100,0	10,50	68,4	7,833
7,35	7,85			76,4	7,714
8,12	7,78			85,0	7,595
8,67	7,69			87,9	7,481
9,38	7,61			94,1	7,311
9,90	7,56			100,0	7,1
10,78	7,45				
11,73	7,35				
13,02	7,23				
Aur-cupru		Cupru-cositor		Cositor-cadmiu	
Cu[%] ρ [g/cm ³]		Sn[%] ρ [g/cm ³]		Sn[%] ρ [g/cm ³]	
0	19,32	0	8,92	0	8,65
1,99	18,839	3,8	8,79	14,7	8,432
3,12	18,581	5,6	8,78	20,6	8,336
4,17	18,356	7,4	8,76	34,1	8,139
5,16	18,117	9,0	8,76	50,8	7,904
6,15	17,934	10,7	8,80	67,5	7,690
6,80	17,791	12,3	8,81	80,6	7,849
7,92	17,568	13,8	8,83	86,2	7,494
9,95	17,165	25,0	8,87		
11,95	16,806	28,0	8,903		
12,86	16,483	39,2	8,980		
		42,0	8,791		
		50,0	8,760		
		56,0	8,357		
		59,0	8,210		
		70,3	7,972		
		78,4	7,726		
		80,0	7,735		
		100,0	7,29		
				Cositor plumb	
				Sn[%] ρ [g/cm ³]	
				0	11,34
				8,5	10,815
				12,3	10,590
				21,8	10,080
				35,9	9,460
				52,8	8,779
				69,2	8,188
				77,0	7,927
				100,0	7,29

T a b e l a 2.31 c (continuare)

Unele aliaje separate	ρ [g/cm ³]
94 Al, 4 Cu, 0,5 Mg (+ 1% impurități)	2,96
90 Al, 10 Mg (mangal)	2,50
70 Al, 30 Mg (idem)	2,0
53 Bi, 40 Pb, 7 Sn (punct de topire în jurul lui 96° C)	10,56
95,5 Cu, 4,3 Sn, 0,2 P (bronz fosforos)	8,91
79,7 Cu, 10 Sn, 9,5 Sb, 0,8 P (idem)	8,8
59 Cu, 30 Zn, 11 Ni (argint german)	8,34
26,3 Cu, 36,9 Zn, 36,8 Ni (idem)	8,30
90 Cu, 10 Zn (bronz pentru tunuri)	8,78

T a b e l a 2.32. a și b. Densitatea și volumul specific al apei la diferite temperaturi

Densitatea ρ a unui corp și volumul său specific v sînt legate prin relația $v = V/m = 1/\rho$, unde m este masa corpului, iar V volumul lui. La calculul densității și volumului specific al apei în intervalul de temperaturi de la 0° C—35° C s-a considerat că densitatea apei la 4° C este $\rho = 1,00000$ g/cm³, iar volumul specific al apei la 4° C este $v = 1,00000$ cm³/g.

În tabela 2.32 a sînt date valorile densității și volumului specific al apei în intervalul de temperaturi de la 0° C la 35° C.

În tabela 2.32 b sînt date cu mai multă precizie valorile densității apei în intervalul de temperaturi de la 16° C la 24° C la intervale de 0,1° C.

T a b e l a 2.32 a

t [°C]	ρ [g/cm ³]	v [cm ³ /g]	t [°C]	ρ [g/cm ³]	v [cm ³ /g]	t [°C]	ρ [g/cm ³]	v [cm ³ /g]
0	0,99987	1,00013	12	0,99952	1,00048	24	0,99732	1,00268(5)
1	993	007	13	940	060	25	707	294
2	997	003	14	927	073	26	681	320
3	999	001	15	913	087	27	654	347
4	1,00000	1,00000	16	897	103	28	626	375(5)
5	0,99999	001	17	880	120	29	597	405
6	997	003	18	862	138	30	567	435
7	993	007	19	843	157	31	537	465(5)
8	988	012	20	823	177	32	505	497
9	981	019	21	202	198(5)	33	473	530
10	973	027	22	779(5)	221	34	440	563
11	963	037	23	756	224	35	406	598

Tabela 2.32 b

$t[^\circ\text{C}]$	$\rho[\text{g/cm}^3]$	$t[^\circ\text{C}]$	$\rho[\text{g/cm}^3]$	$t[^\circ\text{C}]$	$\rho[\text{g/cm}^3]$	$t[^\circ\text{C}]$	$\rho[\text{g/cm}^3]$
16,0	0,998970	18,0	0,998623	20,0	0,998232	22,0	0,997799
1	998954	1	998604	1	998211	1	997776
2	998937	2	998586	2	998191	2	997753
3	998921	3	998567	3	998170	3	997730
4	998904	4	998548	4	998149	4	997707
5	998888	5	998529	5	998128	5	997684
6	998871	6	998510	6	998107	6	997661
7	998854	7	998491	7	998085	7	997637
8	998836	8	998472	8	998064	8	997614
9	998819	9	998453	9	998043	9	997591
17,0	0,998802	19,0	0,998433	21,0	0,998021	23,0	0,997567
1	998785	1	998413	1	997999	1	997543
2	998767	2	998394	2	997977	2	997520
3	998749	3	998374	3	997956	3	997496
4	998732	4	998354	4	997934	4	997472
5	998714	5	998334	5	997911	5	997448
6	998696	6	998314	6	997889	6	997424
7	998678	7	998293	7	997867	7	997399
8	998660	8	998273	8	997844	8	997375
9	998641	9	998253	9	997822	9	997351

Tabela 2.33. Densitatea și volumul specific al mercurului la intervalul de temperaturi de la 0°C pînă la 100°C

Valorile densității mercurului (tabela 2.33 a) sînt date în g/cm^3 cu o precizie pînă la $0,0001 \text{ g/cm}^3$. Pentru calcule s-a considerat că densitatea apei fără impurități la 4°C este egală cu $1,00000 \text{ g/cm}^3$, iar densitatea mercurului la 0°C este egală cu $13,5955 \text{ g/cm}^3$.

Valorile volumului specific al mercurului (tabela 2.33 b) sînt date în unități convenționale cu o precizie pînă la $0,0001$ față de volumul său specific la 0°C , care a fost luat egal cu $1,0000$.

Tabela 2.33 a

° (grade decimale)	Grade									
	0°C	1°	2°	3°	4°	5°	6°	7°	8°	9°C
0	13,5955	5930	5905	5880	5856	5831	5806	5782	5757	5732
10	5708	5683	5658	5634	5609	5584	5560	5535	5511	5486
20	5461	5437	5412	5388	5363	5339	5314	5290	5265	5241
30	5216	5191	5167	5142	5118	5094	5069	5045	5020	4996
40	4971	4947	4922	4898	4873	4849	4825	4800	4776	4751
50	4727	4703	4678	4654	4630	4605	4581	4557	4532	4508
60	4484	4459	4435	4411	4386	4362	4338	4314	4289	4265
70	4241	4217	4192	4168	4144	4120	4095	4071	4047	4023
80	3999	3975	3950	3926	3902	3878	3854	3830	3806	3781
90	3757	3733	3709	3685	3661	3637	3613	3589	3565	3541
100	3516	3492	—	—	—	—	—	—	—	—

Tabela 2.33 b

0	1,0000	0002	0004	0005(5)	0007	0009	0011	0013	0014(5)	0016
10	0018	0020	0022	0024	0025(5)	0027	0029	0031	0033	0035
20	0036	0038	0040	0042	0044	0045(5)	0048	0049	0051	0053
30	0055	0056	0058	0060	0062	0064	0066	0067	0069	0071
40	0073	0075	0076(5)	0078	0080	0082	0084	0086	0087(5)	0089
50	0091	0093	0095	0097	0098	0100	0102	0104	0106	0107(5)
60	0109	0111	0113	0115	0117	0118(5)	0120	0122	0124	0126
70	0128	0129(5)	0131	0133	0135	0137	0139	0140(5)	0142	0144
80	0146	0148	0150	0151(5)	0153	0155	0157	0159	0161	0162
90	0164	0166	0168	0170	0172	0173	0175	0177	0179	0181
100	0183	0184	—	—	—	—	—	—	—	—

T a b e l a 2.34. Densitatea unor soluții apoase de săruri și acizi, la 15°C

Concentrația C a unei soluții este exprimată în procente, care determină cantitatea, în grame, din corpul respectiv, conținută în 100 g soluție. Se consideră că la dizolvare corpurile sînt deshidratate. Valorile densității, în g/cm^3 , sînt interpolate pentru numere procentuale întregi cu o precizie pînă la $0,0001 \text{ g/cm}^3$, densitatea apei fără impurități la 4°C și 15°C fiind $\rho_4 = 1,00000 \text{ g/cm}^3$, respectiv $\rho_{15} = 0,99913 \text{ g/cm}^3$.

Soluția	Concentrația C [%]												
	2	4	6	8	10	15	20	25	30	35	40	45	
Acid acetic ($\text{C}_2\text{H}_4\text{O}_2$)	1,0033	0069	0106	0142	0176	0262	0343	0420	0493	0573	0622	0730	
Acid azotic (HNO_3)	1,0105	0219	0334	0450	0565	0874	1191	1505	1870	2188	2509	3157	
Acid clorhidric (HCl)	1,0093	0193	0292	0292	0491	0748	0999	1261	1519	1779	2047	—	
AlCl_3	1,0135	0279	0425	0574	0724	1071	1526	1958	2414	2749	3399	—	
BaCl_2	1,0174	0357	0547	0744	0940	1477	2048	2431	—	—	—	—	
CaCl_2	1,0161	0332	0505	0682	0858	1326	1810	2328	2868	3431	4016	—	
CuSO_4	1,0185	0412	0642	0870	1098	1738	—	—	—	—	—	—	
KCl	1,0121	0251	0332	0515	0648	0993	1349	—	—	—	—	—	
K_2CO_3	1,0174	0356	0541	0730	0917	1409	1910	2547	3011	3576	4170	5428	
KNO_3	1,0119	0248	0377	0510	0624	0988	1348	—	—	—	—	—	
KOH	1,0175	0359	0544	0730	0918	1396	1884	2387	2905	3440	3991	5143	
LiCl	1,0112	0231	0343	0452	0574	0362	1164	1483	1807	2163	2543	—	
MgSO_4	1,0197	0402	0613	0828	1042	1513	2208	2825	—	—	—	—	
MnCl_2	1,0182	0363	0545	0716	0896	1378	1875	2435	3045	3705	4411	—	
NaCl	1,0137	0282	0429	0577	0726	1105	1497	1904	—	—	—	—	
Na_2CO_3	1,0201	0410	0621	0833	1045	—	—	—	—	—	—	—	
NaOH	1,0219	0443	0666	0889	1111	1665	2219	2771	3312	3838	4343	5303	
Na_2SO_4	1,0173	0355	0540	0727	0917	—	—	—	—	—	—	—	
NH_4Cl	1,0054	0117	0179	0239	0299	0441	0583	0720	—	—	—	—	
$(\text{NH}_4)_2\text{SO}_4$	1,0099	0214	0328	0443	0558	0844	1130	1434	1724	2004	2284	2890	
$\text{Pb}(\text{CH}_3\text{CO}_2)_2$	1,0145	0296	0447	0598	0761	1190	1652	2148	2655	3275	3869	—	

Tabela 2.35
Densitatea soluțiilor apoase de acid sulfuric în intervalul de temperaturi de la 0 °C până la 40 °C
 Concentrația C a soluțiilor de acid sulfuric este exprimată în procente, care determină numărul de grame de acid sulfuric conținute în 100 g soluție. Valorile densității sînt exprimate în g/cm³ și sînt interpolate pentru numere procentuale întregi cu o precizie pînă la 0,0001 g/cm³. Densitatea apei fără impurități la 4° C este considerată egală cu 1,00000 g/cm³.

C [%]	Temperatura							
	0 °C	5 °C	10 °C	15 °C	20 °C	25 °C	30 °C	40 °C
0	0,9999	1,0000	0,9997	0,9991	0,9982	0,9971	0,9957	0,9922
1	0,9975	1,0073	1,0069	1,0061	1,0051	1,0038	1,0022	0,9986
2	1,0147	1,0144	1,0138	1,0129	1,0118	1,0104	1,0087	1,0050
3	1,0219	1,0214	1,0206	1,0197	1,0184	1,0169	1,0152	1,0113
4	1,0291	1,0284	1,0275	1,0264	1,0250	1,0234	1,0216	1,0176
5	1,0364	1,0358	1,0344	1,0332	1,0317	1,0300	1,0271	1,0240
6	1,0437	1,0426	1,0414	1,0400	1,0384	1,0367	1,0347	1,0305
7	1,0511	1,0498	1,0485	1,0469	1,0453	1,0434	1,0414	1,0371
8	1,0585	1,0571	1,0556	1,0539	1,0522	1,0502	1,0482	1,0437
9	1,0660	1,0644	1,0628	1,0610	1,0591	1,0571	1,0549	1,0503
10	1,0735	1,0718	1,0700	1,0681	1,0661	1,0640	1,0617	1,0570
11	1,0810	1,0792	1,0773	1,0753	1,0731	1,0709	1,0686	1,0637
12	1,0886	1,0866	1,0846	1,0825	1,0803	1,0780	1,0756	1,0705
13	1,0962	1,0942	1,0920	1,0898	1,0874	1,0851	1,0826	1,0774
14	1,1039	1,1017	1,0994	1,0971	1,0947	1,0922	1,0897	1,0844

Tabela 2.35 (continuaré)

C [%]	Temperatura							
	0 °C	5 °	10 °	15 °	20 °	25 °	30 °	40 °C
15	1,1116	1,1093	1,1069	1,1045	1,1020	1,0994	1,0968	1,0914
16	1,1194	1,1170	1,1145	1,1120	1,1094	1,1067	1,1040	1,0985
17	1,1272	1,1247	1,1221	1,1195	1,1168	1,1141	1,1113	1,1057
18	1,1351	1,1325	1,1298	1,1270	1,1243	1,1215	1,1187	1,1129
19	1,1430	1,1403	1,1375	1,1347	1,1318	1,1290	1,1261	1,1202
20	1,1510	1,1481	1,1453	1,1424	1,1394	1,1365	1,1335	1,1275
22	1,1670	1,1640	1,1609	1,1579	1,1548	1,1517	1,1486	1,1424
24	1,1832	1,1800	1,1768	1,1736	1,1704	1,1672	1,1640	1,1576
26	1,1996	1,1962	1,1929	1,1896	1,1863	1,1829	1,1796	1,1730
28	1,2161	1,2126	1,2091	1,2057	1,2023	1,1989	1,1955	1,1887
30	1,2326	1,2291	1,2255	1,2220	1,2185	1,2150	1,2115	1,2046
32	1,2493	1,2457	1,2421	1,2385	1,2349	1,2314	1,2278	1,2207
34	1,2661	1,2625	1,2588	1,2552	1,2515	1,2479	1,2443	1,2371
36	1,2831	1,2794	1,2757	1,2720	1,2684	1,2647	1,2610	1,2538
38	1,3004	1,2966	1,2929	1,2891	1,2854	1,2817	1,2780	1,2707
40	1,3179	1,3141	1,3103	1,3065	1,3028	1,2991	1,2953	1,2879
42	1,3357	1,3318	1,3280	1,3242	1,3204	1,3167	1,3129	1,3055
44	1,3538	1,3500	1,3461	1,3423	1,3384	1,3346	1,3309	1,3234
46	1,3724	1,3685	1,3646	1,3607	1,3569	1,3530	1,3492	1,3417
48	1,3915	1,3875	1,3836	1,3796	1,3757	1,3719	1,3680	1,3604
50	1,4110	1,4070	1,4030	1,3990	1,3951	1,3911	1,3872	1,3795
55	1,4618	1,4577	1,4535	1,4494	1,4453	1,4412	1,4372	1,4293
60	1,4154	1,5111	1,5067	1,5024	1,4982	1,4940	1,4898	1,4816

Densitatea soluțiilor apoase de alcool etilic la 15 °C

La dizolvarea alcoolului etilic în apă se observă o micșorare apreciabilă a volumului soluției în comparație cu volumul celor două lichide înainte de amestec. Micșorarea volumului se intensifică cu creșterea concentrației alcoolului, iar la concentrația de 45,88% atinge un maxim de 4,12% din volumul inițial al ambelor lichide.

În tabelă concentrația C a soluțiilor de alcool etilic este exprimată în procente, care exprimă numărul de grame de alcool etilic fără apă, conținute în 100 g soluție. Valorile densității sînt exprimate în g/cm^3 cu o precizie pînă la $0,00001 \text{ g/cm}^3$. Densitatea apei, fără impurități, la 4°C este $1,00000 \text{ g/cm}^3$.

Tabela 2.36

C [%]	Densitatea	C [%]	Densitatea	C [%]	Densitatea
1	0,99725	31	0,95525	61	0,89296
2	99544	32	95360	62	89064
3	99368	33	95190	63	88832
4	99198	34	95016	64	88599
5	99034	35	94838	65	88366
6	98877	36	94656	66	88132
7	98726	37	94470	67	87898
8	98581	38	94281	68	87662
9	98443	39	94087	69	87426
10	98308	40	93891	70	87189
11	98177	41	93692	71	86952
12	98050	42	93489	72	86714
13	97925	43	93284	73	86475
14	97803	44	93076	74	86235
15	97683	45	92866	75	85995
16	97563	46	92654	76	85754
17	97443	47	92439	77	85512
18	97324	48	92223	78	85268
19	97203	49	92005	79	85024
20	97080	50	91785	80	84779
21	96956	51	91565	81	84533
22	96829	52	91342	82	84285
23	96699	53	91118	83	84035
24	96566	54	90893	84	83784
25	96429	55	90667	85	83532
26	96290	56	90441	86	83277
27	96145	57	90214	87	83019
28	95997	58	89985	88	82760
29	95844	59	89756	89	82497
30	95687	60	89526	90	82233

T a b e l a 2.36 (continuare)

C [%]	Densitatea	C [%]	Densitatea	C [%]	Densitatea
91	0,81965	96	0,80564		
92	81692	97	80269		
93	81417	98	79971		
94	81137	99	79665		
95	80853	100	79356		

**Densitatea soluțiilor apoase de zahăr în intervalul
de temperaturi de la 10 la 50 °C**

Concentrația C a soluției este exprimată în procente, care determină numărul de grame de zahăr pur conținute în 100 g soluție. Valorile densității sînt exprimate în g/cm^3 și sînt interpolate pentru numere procentuale întregi cu o precizie pînă la $0,000001 \text{ g/cm}^3$, densitatea apei fără impurități la 4°C fiind de $1,00000 \text{ g/cm}^3$.

T a b e l a 2.37

C [%]	Temperatura						
	10 °C	15°	20°	25°	30°	40°	50 °C
0	0,99973	0,99913	0,99823	0,99707	0,99567	0,99232	0,98813
1	1,00365	1,00301	1,00212	0,00093	0,99952	0,99615	0,99197
2	1,00760	1,00693	1,00602	1,00481	1,00340	1,00001	1,99575
3	1,01157	1,01087	1,00993	1,00872	1,00731	1,00387	0,99958
4	1,01557	1,01484	1,01388	1,01266	1,01124	1,00777	1,00346
5	1,01960	1,01884	1,01785	1,01661	1,01518	1,01169	1,00735
6	1,02366	1,02287	1,02186	1,02060	1,01916	1,01563	1,01127
7	1,02774	1,02692	1,02588	1,02461	1,02316	1,01960	1,01521
8	1,03185	1,03100	1,02994	1,02864	1,02717	1,02359	1,01918
9	1,03599	1,03512	1,03403	1,03271	1,03122	1,02761	1,02319
10	1,04016	1,03925	1,03814	1,03679	1,03530	1,03165	1,02198
11	1,04437	1,04343	1,04229	1,04092	1,03940	1,03573	1,03126
12	1,04859	1,04762	1,04646	1,04507	1,04353	1,03982	1,03533
13	1,05286	1,05186	1,05066	1,04925	1,04770	1,04395	1,03943
14	1,05714	1,05612	1,05490	1,05346	1,05189	1,04809	1,04356

T a b e l a 2.37 (continuare)

C [°]	Temperatura						
	10 °C	15°	20°	25°	30°	40°	
15	1,06146	1,06041	1,05917	1,05772	1,05612	1,05229	1,04772
16	1,06581	1,06473	1,06346	1,06198	1,06035	1,05650	1,05191
17	1,07020	1,06909	1,06779	1,06629	1,06464	1,06074	1,05614
18	1,07461	1,07347	1,07215	1,07062	1,06896	1,06502	1,06038
19	1,07906	1,07789	1,07654	1,07499	1,07329	1,06933	1,06467
20	1,08353	1,08233	1,08096	1,07940	1,07767	1,07366	1,06898
22	1,09260	1,09134	1,08990	1,08830	1,08652	1,08244	1,07771
24	1,10178	1,10046	1,09897	1,09731	1,09550	1,09135	1,08657
26	1,11110	1,10972	1,10818	1,10647	1,10461	1,10039	1,09557
28	1,12056	1,11911	1,11751	1,11575	1,11386	1,10957	1,10470
30	1,13014	1,12863	1,12698	1,12517	1,12324	1,11888	1,11398
32	1,13988	1,13831	1,13660	1,13474	1,13276	1,12834	1,12340
34	1,14975	1,14811	1,14634	1,14443	1,14241	1,13794	1,13295
36	1,15976	1,15806	1,15624	1,15427	1,15221	1,14768	1,14265
38	1,16990	1,16814	1,16627	1,16425	1,16214	1,15756	1,15249
40	1,18020	1,17837	1,17645	1,17439	1,17214	1,16759	1,16248
42	1,19063	1,18875	1,18677	1,18468	1,18248	1,17777	1,17215
44	1,20121	1,19927	1,19725	1,19512	1,19287	1,18809	1,18290
46	1,21194	1,20994	1,20787	1,20570	1,02341	1,19856	1,19334
48	1,22281	1,22076	1,21864	1,21644	1,21411	1,20919	1,20392
50	1,23382	1,23173	1,22957	1,22732	1,22495	1,21996	1,21465
55	1,26203	1,25981	1,25753	1,25516	1,25271	1,24756	1,24211
60	1,29117	1,28884	1,28646	1,28399	1,28144	1,27615	1,27058

T a b e l a 2.38

Scări areometrice

Areometrele moderne au o scară cu diviziuni, care arată direct valorile numerice ale densității lichidelor, exprimate în g/cm³ (așa numitele densimetre). La areometrele speciale, destinate cercetărilor

diferitelor soluții, pe scară este deseori indicat direct conținutul procentual al corpului dizolvat, sau concentrația soluției (alcoolometre, zaharometre etc.). Indicațiile tuturor acestor areometre trebuie să primească la măsurări corecția de temperatură, dacă aceasta din urmă diferă sensibil de temperatura la care a fost gradată scara areometrului (de obicei la 20 °C); mărimea corecției este dată la fiecare aparat.

La areometrele de alt tip, care au fost folosite în trecut pe scară foarte largă și care nu și-au pierdut importanța nici astăzi, se folosesc diferite scări arbitrare, nefondate științific. Cifrele de pe aceste scări dau valorile numerice ale densității lichidelor în unități pur convenționale, numite grade. Pentru a trece de la grade la valori de densități, exprimate în g/cm³, există formule corespunzătoare, iar corecția de temperatură este aceeași ca mai sus. Dintr-un număr foarte mare de areometre diferite de acest tip, se redau mai departe datele pentru șase areometre, care sînt mai răspîndite. Formula de trecere la densități exprimate în g/cm³, în cazul general, de forma

$$\rho_t = \frac{a}{b \pm n} \quad (2.71)$$

Aici ρ este densitatea lichidului, exprimată în g/cm³, iar t temperatura de gradare a areometrului, la care el dă indicații corecte; n este cifra ce se citește direct la areometru, iar a și b sînt cei doi parametri ai areometrului, care la un areometru de tip dat rămîn constante. Semnul plus (+) corespunde cazului unui lichid mai puțin dens decît apa, iar semnul minus (−) corespunde cazului unui lichid mai dens decît apa.

În cele ce urmează se consideră numai cazul al doilea, adică al lichidului mai dens decît apa; astfel

$$\rho_t = \frac{a}{b - n} \quad (2.72)$$

$$n = b - \frac{a}{\rho_t} \quad (2.73)$$

În tabele sînt următoarele date pentru acest caz:

1. În tabela 2.38 a: denumirea areometrelor și notațiile scărilor lor, temperatura de gradare t , și valorile parametrilor a și b ¹⁾.

2. În tabela 2.38 b: comparația indicațiilor acestor areometre față de °Bé (Baumé rațional), care este cel mai important; scara sa este împărțită în intervale de 4° și în afară de aceasta este dat punctul de 66°, care pe această scară corespunde densității acidului azotic concentrat și este un punct fundamental.

3. În tabela 2.38 c: relațiile dintre valorile densității ρ , exprimată în g/cm³, și gradele areometrului Baumé °Bé (n) rațional cu o precizie pînă la a patra zecimală.

4. În tabela 2.38 d: rapoartele inverse dintre gradele areometrului Baumé rațional și valorile densității ρ , exprimată în g/cm³, cu o precizie pînă la 0,01 g/cm³; densitatea apei, fără impurități, la 4 °C este 1,0000 g/cm³.

T a b e l a 2.38 a

Denumirea și notația	t°	a și b
Baumé rațional ($^{\circ}\text{Bé}$)	15°C	$a = b = 144,3$
Baumé vechi ($^{\circ}\text{Bé}_v$)	$17,5^{\circ}\text{C}$	$a = b = 146,78$
Baumé american ($^{\circ}\text{Bé}_{am}$)	$60^{\circ}\text{F}^2)$	$a = b = 145$
Balling ($^{\circ}\text{Bl}$)	$17,5^{\circ}\text{C}$	$a = b = 200$
Stoppani ($^{\circ}\text{St}$)	$12,5^{\circ}\text{R}^3)$	$a = b = 106$
Tweddle ($^{\circ}\text{Tw}$)	$60^{\circ}\text{F}^4)$	$a = b = 200$

T a b e l a 2.38 b

$^{\circ}\text{Bé}$	$^{\circ}\text{Bé}_v$	$^{\circ}\text{Bé}_{am}$	$^{\circ}\text{Bl}$	$^{\circ}\text{St}$	$^{\circ}\text{Tw}$
0 $^{\circ}$	0,05	0,00	0,07	0,01	0,01
4	4,12	4,02	5,61	4,61	5,72
8	8,19	8,04	11,15	9,22	11,75
12	12,25	12,06	16,70	13,82	18,91
16	16,32	16,08	22,24	18,42	24,96
20	20,39	20,10	27,78	23,02	32,20
24	24,46	24,12	33,32	27,62	39,91
28	28,52	28,14	38,86	32,22	48,17
32	32,59	32,16	44,41	36,82	57,01
36	36,66	36,17	49,95	41,42	66,50
40	40,73	40,19	55,49	46,02	76,82
44	44,79	44,21	61,03	50,63	87,75
48	48,86	48,23	66,58	55,23	99,71
52	52,93	52,25	72,12	59,83	112,70
56	56,99	56,27	77,66	64,43	128,00
60	61,06	60,29	83,20	69,03	142,37
64	65,13	64,31	88,74	73,63	159,43
66	67,16	66,32	91,51	75,93	168,61
68	69,20	68,32	94,29	78,23	178,27

Note la tabelele 2.38 a și b. 1) Parametrii a și b în general pot fi diferiți. După cum se vede din ultimele formule, pentru $a = b$ densitatea de 1 g/cm^3 trebuie să fie notată pe scara areometrului cu cifra $^{\circ}0$, ceea ce se referă la toate cele șase areometre menționate în tabela

2.38 a. 2) $60^{\circ}\text{F} = 15 \frac{5}{9}^{\circ}\text{C} \approx 15,56^{\circ}\text{C}$; 3) $12,5^{\circ}\text{R} = 15,625^{\circ}\text{C}$;

4) Vezi nota 2).

Tabela 2.38 c

$^{\circ}\text{Bé [n]}$	$[\text{g/cm}^3]$	Bé [n]	$[\text{g/cm}^3]$	$^{\circ}\text{Bé [n]}$	$[\text{g/cm}^3]$	Bé [n]	$[\text{g/cm}^3]$
0	1,0000	17	1,1335	34	1,3083	51	1,5466
1	1,0070	18	1,1425	35	1,3202	52	1,5634
2	1,0141	19	1,1516	36	1,3324	53	1,5805
3	1,0212	20	1,1609	37	1,3448	54	1,5980
4	1,0285	21	1,1703	38	1,3575	55	1,6159
5	1,0359	22	1,1799	39	1,3704	56	1,6342
6	1,0434	23	1,1896	40	1,3835	57	1,6529
7	1,0510	24	1,1995	41	1,3969	58	1,6721
8	1,0587	25	1,2096	42	1,4106	59	1,6917
9	1,0665	26	1,2198	43	1,4245	60	1,7117
10	1,0745	27	1,2302	44	1,4387	61	1,7323
11	1,0825	29	1,2408	45	1,4532	62	1,7533
12	1,0907	29	1,2515	46	1,4680	63	1,7749
13	1,0990	30	1,2625	47	1,4830	64	1,7970
14	1,1074	31	1,2737	48	1,4984	65	1,8197
15	1,1160	32	1,2850	49	1,5142	66	1,8429
16	1,1247	33	1,2965	50	1,5302	67	1,8668

Tabela 2.38 d

$[\text{g/cm}^3]$	$^{\circ}\text{Bé}$	$[\text{g/cm}^3]$	$^{\circ}\text{Bé}$	$[\text{g/cm}^3]$	$^{\circ}\text{Bé}$
1,00	0,126	1,22	26,125	1,47	46,223
1,01	1,553	1,23	27,085	1,49	47,539
1,02	2,953	1,24	28,031	1,51	48,820
1,03	4,325	1,25	28,961	1,53	50,069
1,04	5,671	1,26	29,876	1,55	51,285
1,05	6,991	1,27	30,777	1,57	52,469
1,06	8,287	1,28	31,664	1,59	53,625
1,07	9,558	1,29	32,537	1,61	54,751
1,08	10,805	1,30	33,397	1,63	55,850
1,09	12,030	1,31	34,243	1,65	56,922
1,10	13,233	1,32	35,077	1,67	57,968
1,11	14,413	1,33	35,899	1,69	58,990
1,12	15,573	1,34	36,708	1,71	59,988
1,13	16,712	1,35	37,504	1,73	60,962
1,14	17,832	1,36	38,290	1,75	61,915
1,15	18,931	1,37	39,063	1,77	62,846
1,16	20,012	1,38	39,826	1,79	63,756
1,17	21,074	1,39	40,578	1,80	64,203
1,18	22,119	1,40	41,318	1,81	64,646
1,19	23,145	1,41	42,049	1,82	65,084
1,20	24,155	1,43	43,479	1,83	65,517
1,21	25,148	1,45	44,869	1,84	65,944

T a b e l a 2. 39. Proprietățile elastice ale metalelor

Proprietățile elastice ale metalelor, precum și rezistența lor (duri-tatea), depind în mare măsură de puritatea metalului, de structura lui, de prelucrarea mecanică și termică etc. De aceea, aici se dau numai valorile medii.

Între modulul de elasticitate la întindere (modulul lui Young) E și modulul de forfecare N există relația (în limitele aplicabilității legii lui Hooke)

$$N = \frac{E}{2(1 + \mu)},$$

unde μ este coeficientul lui Poisson, a cărui mărime pentru diferite materiale solide este cuprinsă aproximativ între limitele 0,3 și 0,5.

În tabelă sînt date, pentru unele metale, valorile medii la tempe-ratura camerei ale următoarelor mărimi: modulul de elasticitate la întindere E , modulul de forfecare N , limita de rezistență la întindere (rezistența la rupere) σ_B și coeficientul lui Poisson μ (mărime adimen-sională).

	E [kg/mm ²]	N [kg/mm ²]	σ_B [kg/mm ²]	μ
Alamă ¹⁾	8000—10000	2700—3700	10—20	0,34—0,40
Alpaca ²⁾	11000	4000	—	0,37
Aluminiu	6300—7500	2300—2700	6—11	0,34
Argint	7000—8000	2500—2900	28—29	0,37
Aur	7000—8500	2600—3900	—	0,41
Bismut	3200	1200—1400	—	0,33
Bronz ³⁾	10600	4400	20—38	0,31
Constantan ⁴⁾	16600	6200	32	0,33
Cositor	4000—5400	1700	1,7—2,5	0,33
Crom	24000—25000	—	49	—
Cupru	10000—12000	4000—4800	20—30	0,3—0,4
Duraluminiu	aprox. 7000	aprox. 2750	40—50	—
Fier forjat	20000—22000	8000—8300	40—60	0,28
Fontă	7500—8500	2900—3500	10—12	0,25
Fontă forjabilă	10500	4000	20	0,26
Invar ⁵⁾	14000	5600	78	—
Iridiu	5300	—	—	—
Manganin	12600	4700	—	0,33
Nichel	20000—22000	7500	50	0,30
Oțel pentru scule	21000—22000	8000—8500	50—160	—
Oțel special	22000—24000	8500—8800	50—160	—
Paladiu	10000—14000	4000—5000	—	0,39
Platină	16000—17500	6000—7200	24—34	0,38
Plumb	1500—1700	550—600	1,2—2,1	0,45
Tantal	19000	—	93	—
Zinc	8000—10000	3000—4000	13—20	0,3
Wolfram	35500	13300	420	0,27

Note la tabela 2.39. 1) Compoziția aproximativă a alamei: 66% Cu + 34% Zn. 2) Aliaj cu compoziția: 84% Cu + 12% Mn + 4% Ni. 2) Compoziția aproximativă a bronzului: 91% Cu + 6% Sn + 3% Zn. 4) Compoziția aliajului: 60% Cu + 40% Ni. 5) Aliaj de nichel-fier, conținând în medie 35—37% nichel.

T a b e l a 2 . 40. Proprietățile elastice ale corpurilor nemetalice

În tabelă sînt date pentru unele corpuri nemetalice valorile aproximative ale modulului de elasticitate la întindere E ; ale rezistenței la rupere σ_B ; aceste mărimi sînt exprimate în kgf/cm² și se referă la temperatura medie a camerei.

	E [kgf/cm ²]	σ_B [kgf/cm ²]		E [kgf/cm ²]	σ_B [kgf/cm ²]
Catgut ¹⁾	$0,3 \cdot 10^5$	$4,2 \cdot 10^3$	flint	$5,5 \cdot 10^5$	$0,7 \cdot 10^3$
Cuarț	$6,8 \cdot 10^5$	—	organică ⁷⁾	$0,3 \cdot 10^5$	$0,4 \cdot 10^3$
Cauciuc ²⁾	$0,4 \cdot 10^5$	—	Gheață (la -2°C)	$0,3 \cdot 10^5$	aprox. 40
Fire:			Lemn ⁵⁾ :		
de cuarț	$5,2 \cdot 10^5$	$9 \cdot 10^3$	bambus	$2 \cdot 10^5$	$2,2 \cdot 10^3$
de mătase ³⁾	$0,6 \cdot 10^5$	$2,6 \cdot 10^3$	mesteacăn	$1,5 \cdot 10^5$	$0,7 \cdot 10^3$
de pînză de păianjen ⁴⁾	$0,3 \cdot 10^5$	$1,8 \cdot 10^3$	stejar, fag	$1,6 \cdot 10^5$	$0,8 \cdot 10^3$
Marmură	$2,6 \cdot 10^5$	$9 \cdot 10^3$	de fier ⁶⁾	$2,4 \cdot 10^5$	$2,2 \cdot 10^3$
Sticlă:					
crown	$7,2 \cdot 10^5$	$0,7 \cdot 10^3$	pin, molid	$0,9 \cdot 10^5$	$0,5 \cdot 10^3$

Note la tabela 2.40. 1) Coardă pentru instrumente cu arcuș și rachete de tenis; în medicină nervură (fibră) sau „catgut”. 2) Cauciuc vulcanizat moale. 3) Se micșorează rapid o dată cu creșterea sarcinii. 4) Prezintă o obosire elastică evidentă. 5) De-a lungul fibrelor. 6) Parrotia persica. 7) Produs de polimerizare a eterului metilic cu acid metacrilic, denumit de asemenea acrilat, (mai precis polimetilmetacrilat).

T a b e l a 2 . 41. Duritatea corpurilor

Duritatea H a diferitelor corpuri se determină de obicei prin presare în condiții standard pe suprafața unei probe cu o sferă de oțel bine călită (metoda Brinel). Măsurînd apăsarea în kgf și suprafața

amprentei obținute pe corp datorită sferei în mm^2 , se calculează apoi valoarea medie a apăsării specifice a sferei pe corp în kgf/mm^2 , care este valoarea numerică a durității corpului după Brinel H_B (numărul de durate), adică

$$H_B = \frac{P}{S}, \quad (2.74)$$

unde P este apăsarea sferei în kgf , iar S suprafața amprentei în mm^2 ; aceasta din urmă este desigur egală cu suprafața segmentului de sferă de înălțime h și diametru d , care sînt egale cu adîncimea amprentei și cu diametrul ei pe suprafața probei. Așadar se poate scrie

$$S = \pi r h = \pi D \frac{D - \sqrt{D^2 - d^2}}{2}, \quad (2.75)$$

unde D, d și h sînt respectiv diametrul sferei de oțel, diametrul amprentei și adîncimea ei; toate aceste mărimi sînt exprimate în mm .

Mărimea apăsării P se alege în funcție de duritatea corpului studiat și de diametrul sferei (diametrii obișnuiți 10,5 și 2,5 mm). Se folosește de obicei apăsarea egală numeric (în kgf) astfel: pentru corpuri foarte dure (oțel, fontă) 30 D^2 , pentru corpuri mai puțin dure (cupru, bronz) 10 D^2 și pentru metale moi (aluminiiu, aur) 2,5 D^2 . Presiunea la încercări trebuie mărită lin, fără salturi brusce, iar proba se ține sub sarcina maximă timp de 30 secunde.

În tabelă sînt date pentru unele metale valorile durității după Brinel, exprimate în kgf/mm^2 .

T a b e l a 2.41

	H_B [kgf/mm^2]		H_B [kgf/mm^2]
Alamă	95—140	Cupru electrolitic	28—30
Aluminiiu laminat	pînă la 39	Cupru electrolitic	pînă la 80
Aluminiiu moale	16—26	Fier forjat	60—80
Argent	20—25	Fontă	aprox. 160
Argent forjat	pînă la 30	Fontă dură	pînă la 200
Aur	15—20	Iridiu	170
Aur forjat	19—25	Magneziu	25—29
Bismut	9—10	Mangan	20
Cadmiu	21—24	Molibden	150—200
Calciu	30—42	Nichel laminat	110—300
Cobalt	aprox. 100	Nichel topit	90—110
Cositor	5—6	Oțel călit	pînă la 600
Crom	70—130	Oțel forjat	120—200

Tabela 2.41

	H_B [kg/mm ²]		B_B [kg/mm ²]
Paladiu	45—50	Sodiu	0,07—0,08
Platină dură	pînă la 60	Stibiu	30
Platină recoaptă	24—26	Zinc dur	pînă la 20
Plumb	4,0—4,2	Zinc moale	8—10
Potasiu	0,04	Wolfraam	350

Tabela 2.42 a și b. Scara decimală de duritate

Duritatea corpurilor, în special a minereurilor se evaluează deseori conform unei scări complet convențională decimală care se numește de obicei scara Mohs. Ca etaloane de duritate în această scară sînt următoarele 10 minereuri (tabela 2.42 a).

Tabela 2.42 a

	Duritatea		Duritatea
Talc	1	Feldspat	6
Ipsos (sau sare gemă)	2	Cuarț	7
Calcit	3	Topaz	8
Fluorină	4	Corindon	9
Apatită	5	Diamant	10

Aceste minereuri sînt alese astfel, încît fiecare etalon produce pe suprafața celui precedent o zgirietură. Aceași metodă, producerea de zgirieturi, servește și la determinarea durității altor minereuri și corpuri, deoarece se poate stabili întotdeauna că corpul studiat corespunde, în ceea ce privește duritatea, unuia din etaloane sau se află în intervalul dintre două etaloane vecine. Aceasta dă posibilitatea de a aprecia aproximativ duritatea corpurilor studiate, prin cifrele respective. Asemenea definiție a durității este, evident, foarte imprecisă și total convențională; cu toate acestea, ea este des folosită în practică, datorită simplității sale.

În tabela 2.42 b sînt date valorile aproximative ale durității unor elemente chimice după scara convențională decimală.

Tabela 2.42 b

	Duritatea		Duritatea
Aluminiu	pînă la 2,9	Cadmiu	2,0
Argint	2,7	Cobalt	5,5
Aur	2,5	Cositor	1,8
Bismut	2,5	Crom	9,0
Bor	9,5	Cupru	3,0

Tabela 2.42 b (continuare)

	Duritatea		Duritatea
Diamant	10,0	Paladiu	4,8
Fier	aprox. 4,5	Platină	4,3
Iridiu	6,5	Plumb	1,5
Litiu	0,6	Potasiu	0,5
Magneziu	2,0	Siliciu	7,0
Mangan	5,0	Sodiu	0,4
Nichel	5,8	Zinc	2,5

§ 2.17 Acustica

Tabelele 2.43 a și b. Viteza sunetului în aer

În tabela 2.43 a, este dată viteza sunetului v în aer pentru intervalul de temperaturi de la -150 la $1\,000$ °C. Valorile lui v sînt date cu o precizie pînă la 1 m/s, iar pentru temperaturile 0 °C și 20 °C cu o precizie pînă la $0,1$ m/s. Corecția pentru temperatură se poate calcula aproximativ după formula

$$v_t = v_0 \sqrt{1 + \alpha t}, \quad (2.76)$$

unde v_t și v_0 reprezintă viteza sunetului la temperatura t [°C] și respectiv la 0 °C; $\alpha = 0,00367$ °C⁻¹ este coeficientul de dilatare al aerului la presiune constantă.

Tabela 2.43 a

t [°C]	v [m/s]	t [°C]	v [m/s]	t [°C]	v [m/s]	t [°C]	v [m/s]
-150,0	216	-10,9	326	100	386	700	621
-106,2	253	0	331,5	300	478	750	632
-45,6	305	20,0	342,4	500	552	1 000	700

O dată cu mărirea presiunii în aer viteza sunetului crește, precum se vede din tabela 2.43 b, unde sînt date valorile v în aer la 0 °C.

Tabela 2.43 b

p [atm]	1	25	50	100
v [m/s]	331,5	332,0	334,7	350,6

T a b e l a 2. 44. Viteza sunetului în vapori și în gaze

Valorile vitezei v a sunetului sînt exprimate în m/s și sînt date cu o precizie pînă la 1 m/s, iar pentru anumite gaze pînă la 0,1 m/s. În tabelă este dată de asemenea temperatura t , la care se referă aceste valori. Corecția de temperatură poate fi calculată aproximativ după formula

$$v_t = v_0 \sqrt{1 + \alpha t}, \quad (2.77)$$

unde v_t și v_0 sînt vitezele sunetului în gazul dat la temperaturile t [°C] respectiv 0 °C; α este coeficientul de dilatare al gazului la presiune constantă, egal cu 0,00367 °C⁻¹.

Substanța	t [°C]	v [m/s]	Substanța	t [°C]	v [m/s]
Acetilenă	0	327	Gaz de iluminat	13,6	442
Argon	0	319,0	Heliu	0	970
Argon	300	446	Hidrogen	0	1 270
Argon	600	551	Metan	0	430
Argon	1 000	665	Metan	300	587
Azot	0	333,6	Oxid de azot	0	333,9
Azot	300	487	Oxid de carbon	0	337,6
Azot	600	599	Oxigen	0	317,5
Azot	1 000	720	Oxigen	21	328
Bioxid de carbon	0	260,3	Oxigen	-182,0	173
Bioxid de carbon	100	300	Vapori de apă saturați	0	401
Bioxid de carbon	300	369	Vapori de apă saturați	110	413
Clor	0	206	Vapori de apă saturați	130	424
Etan	10	308	Vapori de benzen	80	208
Etan	50	327	Vapori de brom	0	135

Tabelă 2. 45. Viteza sunetului în lichide

Valorile vitezei v ale sunetului sînt exprimate în m/s și sînt date cu o precizie de circa 10 m/s. În tabelă este dată de asemenea temperatura în °C, la care se referă aceste valori.

Lichidul	t [°C]	v [m/s]	Lichidul	t [°C]	v [m/s]
Acid clorhidric	15,5	1 520	Benzină	17	1 170
Alcool etilic 95%	12,5	1 241	Cloroform	15	983
Alcool etilic 95%	20,5	1 213	Eter etilic	0	1 150
Alcool etilic absolut	8,4	1 231	Eter etilic	15	1 032
Alcool etilic absolut	23,0	1 177	Petrol	7,4	1 390
Amoniac (soluție apoasă)	16	1 660	Petrol	15	1 330
Apă	13	1 440	Soluție de NaCl 10%	15	1 470
Apă	19	1 460	Soluție de NaCl 15%	15	1 530
Apă	31	1 500	Soluție de NaCl 20%	15	1 650
Apă de mare	15	1 500	Soluție de Na_2CO_3 concentrată	22,2	1 590

Tabelă 2. 46. Viteza sunetului în corpuri solide

În corpurile solide oscilațiile sonore pot fi longitudinale și transversale. În acest din urmă caz viteza de propagare a oscilațiilor este determinată de formula aproximativă

$$v = \sqrt{\frac{N}{D}}$$

unde N și D sînt respectiv modulul de forfecare al corpului solid și densitatea lui. În tabelă valorile vitezei v a sunetului sînt exprimate în m/s și sînt date cu o precizie de circa 10 m/s. În tabelă este dată de asemenea temperatura t , la care se referă aceste valori; acolo unde temperatura nu este indicată, valorile corespund temperaturii camerei.

	t [°C]	v [m/s]		t [°C]	v [m/s]
Alamă	18	3 360	Argint	100	2 640
Alpaca	18	3 600	Argint dur	10	2 730
Aluminiu	18	5 100	Argint moale	15—20	2 600
Argilă (uscată)	8	1 650	Aur dur	10	2 110
Ardezie	—	4 540	Aur moale	15—20	1 740

T a b e l a 2. 48. Coeficienții de absorbție ai sunetului

Coeficienții de absorbție ai sunetului se referă la tonul de frecvență 512 Hz și sint calculați la 1 m² de suprafață. La calculul mărimii și absorbției posibile a sunetului, mărimea suprafeței absorbante, exprimată în m², trebuie înmulțită cu un coeficient corespunzător.

Mediul absorbant	Coeficientul de absorbție	Mediul absorbant	Coeficientul de absorbție
Beton	0,015	Pinză (48 g/m ²)	0,019
Cortină	0,23	Pisla de lină	0,55
Covor	0,20	Idem. acoperită cu vopsea	0,25—0,45
Covor gros	0,29	Placaj din pin tare	0,061—0,1
Găurile zidului	0,25—0,70	Plută de 2,5 cm grosime	0,16
Insulit de 1,3 cm gros	0,31	Sticlă de grosime obișnuită	0,027
Linoleum pe suport solid	0,030	Tencuială pe rețea de sîrmă	0,033
Marmură	0,010	Tencuială pe șipei de lemn	0,033
Orificiile canalelor de încălzire și ventilație	0,50	Tencuială pe zid de cărămidă	0,025
Picturi în ulei cu rame	0,28	Zid de cărămidă	0,032

T a b e l a 2. 49. Coeficienții de izolare fonică

Coeficientul de izolare fonică σ se definește ca raportul dintre intensitatea I_1 a sunetului care cade pe un obstacol și intensitatea I_2 a sunetului care trece prin el. Coeficienții σ se exprimă de obicei în decibeli, adică se consideră că

$$\sigma = 10 \lg \frac{I_1}{I_2}. \quad (2.78)$$

Tipul despărțitorilor	σ [db]	Tipul despărțitorilor	σ [db]
Aluminiu 0,6 mm	16	Fereastră cu sticlă de 6,4 mm, ramă simplă	30
Despărțitori de lemn în camere tencuite	30—50	Idem, cu ramă dublă și interspații de 24 cm	46
Despărțitori din 17 strate de diferite materiale	75	Lemn tencuit 12,3 mm	28
Despărțitori duble cu interspații cu aer	40—70	Oțel 2 mm	33
Duraluminiu 0,6 mm	15	Perete de beton tencuit de 110 mm	42

Tabela 2.49 (continuare)

Tipul despărțiturilor	σ [db]	Tipul despărțiturilor	σ [db]
Perete de cărămidă ten-cuit 200 mm	48	Ușă de lemn cu placaj de mesteacăn	22
Idem, 100 mm	44	Ușă de lemn 45 mm din 6 plăci de 12,7 mm dublă cu interspații de 11,5 mm	43
Placaj 3 straturi 3,2 mm	19	Ușă de stejar 45 mm, bine potrivită	25
Placaj 3 straturi 6,4 mm	21	Idem, mai puțin potrivită	20
Plafone	43—64		
Plumb 1,5 mm	30		
Idem, 3,2 mm	32		

§ 2.18. Fenomene moleculare și căldură

Tabelele 2.50 a și b. Coeficienții de frecare internă (viscozitate) ai gazelor și vaporilor

În tabele sînt date valorile coeficienților de frecare internă (viscozitate) η pentru unele gaze și vapori la diferite temperaturi, care sînt specificate (tabela 2.50 a), și valorile lui η pentru aer în intervalul de temperaturi de la 0 °C la 1 000 °C (tabela 2.50 b).

Tabela 2.50 a

	t [°C]	$\eta \cdot 10^6$ [g/cm·s]		t [°C]	$\eta \cdot 10^6$ [g/cm·s]
Aer	0	172	Metan	17	109
Idem	16	181	Oxid de azot	0	179
Idem	21,6	184	Oxid de carbon	0	166
Argon	23	221	Idem	15	174
Azot	0	167	Oxygen	0	192
Idem	15	174	Idem	14,2	197
Idem	23	177	Idem	23,0	204
Bioxid de carbon	0	137	Propan	0	75
Idem	15	144	Protoxid de azot	0	137
Idem	23	147	Idem	15	144
Bioxid de sulf	0	117	Idem	23	150
Idem	14,0	122	Vapori de apă	0	87
Idem	17,7	124	Idem	100	123
Cianură	17	99	Vapori de benzen	14,2	70
Clor	20	132	Idem	100	94
Etan	23	93	Vapori de cloroform	14,2	99
Heliu	0	186	Vapori de eter etilic	14,2	72
Idem	23	198	Vapori de sulfură de carbon	14,2	96
Hidrogen	0	84	Vapori de mercur	0	162
Idem	28,1	89	Idem	300	532
Hidrogen sulfurat	17	125			

T a b e l a 250 b

$t[^\circ\text{C}]$	$\eta \cdot 10^7$ [g/cm · s]	$t[^\circ\text{C}]$	$\eta \cdot 10^7$ [g/cm · s]	$t[^\circ\text{C}]$	$\eta \cdot 10^7$ [g/cm · s]
0	1 719	350	3 063	700	4 162
50	1 926	400	3 245	750	4 301
100	2 124	450	3 413	800	4 432
150	2 319	500	3 570	850	4 560
200	2 512	550	3 720	900	4 688
250	2 704	600	3 868	950	4 812
300	2 886	650	4 017	1 000	4 933

T a b e l e l e 251 a și b. Coeficienții de frecare internă (viscozitate) ai lichidelor

Coeficientul de frecare internă sau de viscozitate (termenii sînt sinonimi) se calculează cu formula

$$F = \eta S \frac{\Delta v}{\Delta x},$$

unde F este forța de frecare internă, S suprafața și $\Delta v/\Delta x$ gradientul vitezei în direcția perpendiculară pe direcția mișcării. Dimensiunile lui η în sistemul SI sînt $\text{L}^{-1}\text{MT}^{-1}$; unitatea de viscozitate în sistemul CGS este poise, viscozitatea apei la 20°C este aproape egală cu 0,01 poise sau 1 centipoise. Observațiile au arătat că coeficienții de viscozitate ai lichidelor depind în foarte mare măsură de temperatură. Ca regulă generală s-a constatat că viscozitatea lichidelor scade rapid cu creșterea temperaturii. Aproape pentru toate lichidele neasociate servește foarte bine formula lui Bacinski

$$\eta = \frac{a}{v - \omega},$$

unde v este volumul specific al lichidului, care este în funcție de temperatură și presiune, iar mărimile a și ω sînt doi parametri, dintre care ω corespunde aproximativ constantei b din ecuația lui Van der Waals.

În tablele sînt date valorile coeficienților de frecare internă (viscozitate) pentru apă fără impurități și pentru soluții apoase de alcool etilic și zahăr în intervalul de temperaturi de la 0°C la 80°C [concentrația soluțiilor este dată în procente de greutate (tabela 251 a)], precum și valorile coeficientului η pentru unele lichide la diferite temperaturi, care sînt menționate (tabela 251 b). Valorile lui η sînt exprimate în g/cm · s.

Tabela 2.51 a

$t[^\circ\text{C}]$	$\eta \cdot 100 \text{ [g/cm} \cdot \text{s]}$							
	Apă	Soluție de alcool etilic				Soluție de zahăr		
		20%	40%	60%	80%	20%	40%	60%
0	1,788	5,319	7,14	5,75	3,690	3,804	14,77	238
5	1,515	4,065	5,59	4,63	3,125	3,154	11,56	156
10	1,306	3,165	4,39	3,77	2,710	2,652	9,794	109,8
15	1,140	2,618	3,53	3,14	2,309	2,267	7,468	74,6
20	1,004	2,183	2,91	2,67	2,008	1,960	6,200	56,5
25	0,894	1,815	2,35	2,24	1,784	1,704	5,187	43,86
30	0,801	1,553	2,02	1,93	1,531	1,504	4,382	33,78
35	0,720	1,332	1,72	1,66	1,355	1,331	3,762	26,52
40	0,653	1,160	1,482	1,447	1,203	1,193	3,249	21,28
45	0,595	1,015	1,289	1,271	1,081	1,070	2,847	17,18
50	0,549	0,907	1,132	1,127	0,968	0,970	2,497	14,01
55	0,507	0,814	0,998	0,997	0,867	0,884	2,219	11,67
60	0,470	0,736	0,893	0,902	0,789	0,808	1,982	9,83
65	0,435	0,666	0,802	0,806	0,711	0,742	1,778	8,34
70	0,406	0,608	0,727	0,729	0,650	0,685	1,608	7,15
75	0,379	0,559	0,663	0,663	0,600	0,635	1,462	6,20
80	0,356	0,505	0,601	0,604	—	0,590	1,334	5,40

Tabela 2.51 b

	$t[^\circ\text{C}]$	$\eta \text{ [g/cm} \cdot \text{s]}$		$t[^\circ\text{C}]$	$\eta \text{ [g/cm} \cdot \text{s]}$
Acetonă	25	0,0032	Alcool metilic	19,91	0,0061
Acid acetic (concentrat)	15	0,0132	Idem	25	0,0055
Idem	25	0,0112	Amilacetat	8,97	0,0103
Acid azotic (concentrat)	10	0,0177	Idem	19,91	0,0087
Idem	20	0,0091	Anilină	10	0,0655
Idem	40	0,0070	Idem	20	0,0440
Acid sulfuric (concentrat)	10	0,352	Idem	30	0,0316
Idem	20	0,242	Apă	15	0,0114
Idem	40	0,131	Benzen	15	0,0070
Alcool amilic	25	0,0448	Idem	20	0,0065
Alcool etilic	10	0,0147	Idem	25	0,0060
Idem	20	0,0120	Brom	12,6	0,0107
Idem	30	0,0100	Idem	19,1	0,0100
Alcool metilic	8,92	0,0071	Idem	32,0	0,0089
			Cloroform	8,10	0,0064
			Idem	19,19	0,0058
			Idem	25	0,0054

T a b e l a 2.51 b (continuare)

	$t(^{\circ}\text{C})$	η [g/cm · s]		$t(^{\circ}\text{C})$	η [g/cm · s]
Eter etilic	18	0,0024	Sulfură de carbon	19,91	0,0038
Idem	25	0,0022	Idem	25	0,0035
Fenol	30	0,0700	Terebentină	20	0,0149
Idem	50	0,0320	Idem	40	0,0107
Glicerină			Toluen	8,86	0,0067
(0,8% apă)	18	13,93	Idem	19,91	0,0058
Idem	30	5,71	Idem	25	0,0055
Mercur	10,40	0,0162	Ulei de măsline	20	0,808
Idem	18,00	0,0158	Idem	30	0,557
Idem	31,15	0,0150	Ulei de ricin	17,5	12,25
Nitrobenzen	10	0,0251	Idem	35	3,12
Idem	20	0,201	Xilol (meta)	12	0,0079
Idem	30	0,0168	Idem	19,91	0,0064
Sulfură de carbon	8,92	0,0041			

T a b e l a 2.52. Frecarea internă (viscozitatea)
în corpuri solide

Frecarea internă în corpurile solide nu este cercetată suficient și rezultatele numerice stabilesc adeseori numai ordinul de mărime al mărimilor măsurate. În tabelă sînt date valorile aproximative ale coeficientului de viscozitate η pentru unele corpuri solide la temperaturile specificate. Valorile sînt exprimate în g/cm · s.

	$t(^{\circ}\text{C})$	η [g/cm · s]		$t(^{\circ}\text{C})$	η [g/cm · s]
Aluminiu	9	$7,5 \cdot 10^{15}$	Gheață	0	$15-10 \cdot 10^{12}$
Ceară roșie	19	$1,1 \cdot 10^{11}$	Idem	-14	$8,5 \cdot 10^{12}$
Colofoniu	15	$3,0 \cdot 10^{16}$	Plumb	9	$0,47 \cdot 10^{15}$
Idem	20	$6,0 \cdot 10^{15}$	Sticlă	420	$4 \cdot 10^{12}$
Cositor	9	$2,4 \cdot 10^{15}$	Idem	710	$4,5 \cdot 10^{10}$

Tabela 2.53. Difuzia gazelor și vaporilor

Coeficientul de autodifuzie al gazelor D' , calculat teoretic, este aproximativ egal cu $D' = 1/3 \bar{u} \cdot \bar{\lambda}$, unde \bar{u} și $\bar{\lambda}$ înseamnă viteza medie și respectiv drumul liber mijlociu al moleculelor gazului. Dacă are loc difuzia reciprocă a două gaze diferite, coeficientul de difuzie D se determină cu ajutorul expresiei

$$D = \frac{n_1 D' + n_2 D''}{n_1 + n_2},$$

unde D' și D'' sînt coeficienții de autodifuzie al primului și respectiv al celui de al doilea gaz, iar n_1 și n_2 sînt concentrațiile lor. Această formulă a fost dedusă în ipoteza că difuzia are loc în mod staționar, adică concentrația totală a ambelor gaze rămîne constantă ($n_1 + n_2 = \text{const}$). În aceste condiții coeficientul de difuzie al primului gaz în al doilea (D_{12}) este egal cu coeficientul de difuzie al celui de al doilea gaz în primul (D_{21}), adică $D_{12} = D_{21} = D$.

În tabelă se presupune că gazul (vapori) se difuzează în spațiul ocupat de celălalt gaz (vapori); ambele corpuri se află în condiții constante de presiune și temperatură (aceasta din urmă este indicată în tabelă). Valorile coeficienților de difuzie D sînt date în cm^2/s .

Gaze	$t[^\circ\text{C}]$	D	Vapori	$t[^\circ\text{C}]$	D
Aer-oxigen	0	0,18	Acid acetic-aer	0	0,11
Aer-sulfură de carbon	0	0,09	Acid acetic-bioxid de carbon	0	0,07
Aer-vapori de apă	0	0,222	Acid acetic-hidrogen	0	0,40
Aer-vapori de apă	15	0,26	Alcool amilic-aer	0	0,06
Argon-heliu	15	0,70	Alcool amilic-bioxid de carbon	0	0,04
Benzen-aer	0	0,14	Alcool amilic-hidrogen	0	0,23
Benzen-hidrogen	0	0,29	Alcool etilic-aer	0	0,10
Benzen-metan	0	0,15	Alcool etilic-bioxid de carbon	0	0,07
Benzen-oxigen	0	0,18	Alcool etilic-hidrogen	0	0,37
Bioxid de carbon-hidrogen	0	0,54			

Tabela 2.53 (Continuare)

Gaze	$t[^\circ\text{C}]$	D	Vapori	$t[^\circ\text{C}]$	D
Bioxid de carbon-hidrogen	18	0,60	Alcool metilic-aer	0	0,13
Bioxid de carbon-vapori de apă	18	0,15	Alcool metilic-bioxid de carbon	0	0,08
Hidrogen-aer	0	0,64	Alcool metilic-hidrogen	0	0,50
Hidrogen-azot	12,5	0,73	Alcool metilic-metan	0	0,15
Hidrogen-bioxid de carbon	0	0,54	Alcool metilic-oxid de carbon	0	0,13
Hidrogen-etilen	0	0,48	Alcool metilic-oxigen	0	0,18
Hidrogen-metan	0	0,62	Sulfură de carbon-aer	0	0,09
Hidrogen-oxid de carbon	0	0,64	Sulfură de carbon-bioxid de carbon	0	0,06
Hidrogen-oxigen	0	0,69	Sulfură de carbon-hidrogen	0	0,36
Hidrogen-oxigen	14	0,77	Vapori de apă-bioxid de carbon	0	0,13
Oxid de carbon-etilen	0	0,11	Vapori de apă-hidrogen	0	0,69
Oxigen-azot	0	0,18			
Idem	12,5	0,20			

Tabela 2.54. Viteza, lungimea parcursului liber, numărul de ciocniri și dimensiunile moleculelor de gaz

Unele din formulele teoriei cinetice a gazelor, care servesc pentru calculul vitezei medii de mișcare a moleculelor, a drumului liber mijlociu dintre două ciocniri consecutive și a diametrului moleculelor sînt date mai departe; în ele s-au introdus următoarele notații: ρ este densitatea gazului în condiții normale (0°C și 760 mm Hg), p — presiunea gazului în atmosfere ($1\text{ atmosferă} = 1,01325 \cdot 10^6\text{ dyn/cm}^2$), T — temperatura absolută, R — constanta gazelor perfecte, b — constanta din ecuația Van der Waals, η și λ sînt coeficienții de viscozitate, respectiv conductibilitate termică, ai gazului (în $\text{g/cm}\cdot\text{s}$ și respectiv în calorii pe $\text{cm}\cdot\text{s}\cdot^\circ\text{C}$), c_p — căldura specifică a gazului la presiune constantă, m — masa unei molecule de gaz (în g), σ — diametrul moleculei (în cm), n_0 — numărul de molecule dintr-un centimetru cub de gaz în condiții

normale (numărul lui Loschmidt), \bar{u} viteză pătratică medie a moleculelor, adică rădăcina pătrată din media aritmetică a pătratelor vitezelor tuturor moleculelor (în cm/s), \bar{v} — viteză medie a moleculelor, adică media aritmetică a vitezelor tuturor moleculelor (în cm/s), l drumul liber mijlociu al moleculelor (în cm), ν numărul mediu de ciocniri al moleculelor în unitatea de timp (în s⁻¹).

Formulele fundamentale pentru calcule sînt

$$1. \quad \bar{u} = \sqrt{\frac{3RT}{n_0 m}} = \sqrt{\frac{3p}{n_0 m}} = \sqrt{\frac{3p}{\rho}}$$

$$2. \quad \bar{v} = \frac{\sqrt{2}}{\sqrt{6\pi}} \bar{u} = 0,921 \bar{u}$$

$$3. \quad l = \frac{\eta}{0,31 \rho \bar{v}} = \frac{2,02}{\sqrt{p \rho}}, \quad \nu = \frac{\bar{v}}{l}$$

4. Cele mai complicate calcule apar la determinarea lui σ ; pentru aceste calculări se folosesc trei formule fundamentale

$$a) \text{ din coeficientul de viscozitate } \sigma_\eta = \sqrt{\frac{0,0912 \rho \bar{u}}{n_0 \eta}};$$

$$b) \text{ din coeficientul de conductibilitate termică } \sigma_\kappa = \sqrt{\frac{0,146 \rho \bar{u} c_p}{n_0 \lambda}};$$

$$c) \text{ din ecuația Van der Waals } \sigma_b = \sqrt{\frac{3b}{2\pi n_0}}.$$

În tabelă sînt date rezultatele acestor calcule pentru unele gaze; sînt date valorile mărimilor: \bar{u} (la 0°C) l , ν și σ ; pentru ultima mărime sînt date rezultatele calculelor folosindu-se toate trei metodele.

Tabela 2.54

	\bar{u} [cm/s]	l [cm]	ν [s ⁻¹]	σ_η [cm]	σ_κ [cm]	σ_b [cm]
Argon	4,1	10,1	4,0	3,5	—	3,0
Azot	$4,9 \cdot 10^4$	$9,4 \cdot 10^{-6}$	$5,0 \cdot 10^9$	$3,7 \cdot 10^{-8}$	$3,5 \cdot 10^{-3}$	$3,6 \cdot 10^{-8}$
Bioxid de carbon	3,9	6,1	6,0	4,4	4,6	3,5
Heliu	13,1	28,1	4,3	2,3	—	2,4
Hidrogen	18,4	17,8	10,0	2,6	2,5	2,4
Oxigen	4,6	10,2	4,4	3,6	3,3	—
Oxid de carbon	4,9	9,4	4,7	3,7	3,5	—

Tabelele 2.55 a și b. Tensiunea superficială a lichidelor

Valorile coeficientului σ al tensiunii superficiale a lichidelor sînt exprimate în dyn/cm și sînt date față de aer, bioxid de carbon sau vaporii aceluiași lichid, ceea ce este notat prin simbolurile a , CO_2 și v . Pentru corpurile lichide la temperaturi obișnuite, valorile sînt date în intervalul de temperaturi medii de cameră, care se specifică (tabela 2.55 a). Pentru apă sînt date valorile exprimate în aceleași unități, pentru intervalul de temperaturi de la 0° la 80°C în raport cu aerul uscat (tabela 2.55 b).

Tabela 2.55 a

	$t[^\circ\text{C}]$	σ [dyn/cm]		$t[^\circ\text{C}]$	σ [dyn/cm]
Acetonă (v)	16,8	23,3	Cositor (CO_2)	253	526,1
Acid acetic (v)	20	23,5	Eter etilic (v)	20	15,5
Acid azotic (70%)			Idem	30	15,3
(a)	20	59,4	Fenol (v)	54,8	36,5
Acid sulfuric			Glicerină		
(85%) (a)	18	57,6	($D=1,23 \text{ g/cm}^3$)	15,5	64,3
Alcool etilic (v)	20	22,75	Mercur (v)	15	487,0
Alcool etilic (v)	40	20,2	Mercur (a)	18	481,2
Alcool metilic (v)	20	23,0	Mercur (a)	20	471,6
Alcool propilic (v)	16,4	23,8	Mercur (v)	40	468,2
Amilacetat (v)	14,4	24,5	Nitrobenzen (v)	13,6	42,7
Anilină (v)	19,5	40,8	Sulfură de carbon (a)	0	32,2
Anilină (a)	12,5	44,7	Sulfură de carbon (v)	19,4	33,6
Anilină (a)	17,5	44,1	Sulfură de carbon (v)	25,0	29,8
Apă (a)	15	73,26	Terebentină (a)	18	26,8
Benzen (v)	11,2	29,2	Terebentină (a)	20	26,7
Benzen (a)	12,5	29,9	Toluen (a)	12,5	29,1
Benzen (a)	17,5	29,2	Toluen (a)	17,5	28,5
Bismut (CO_2)	750	346	Toluen (a)	27,1	26,7
Brom (a)	13,0	44,1	Ulei de ricin (a)	18,0	33,1
Cloroform (v)	10,2	27,6	Ulei de măsline	18,0	32,0
Cloroform (v)	45,5	23,0	Xilol (meta) (v)	20,1	28,9

Tabela 2.55 b

$t[^\circ\text{C}]$	σ [dyn/cm]	$t[^\circ\text{C}]$	σ [dyn/cm]	$t[^\circ\text{C}]$	σ [dyn/cm]
0	75,49	23	72,08	40	69,54
5	74,75	24	71,93	45	68,6
10	74,01	25	71,78	50	67,8
12	73,70	26	71,63	55	66,9
14	73,41	28	71,33	60	66,0
16	73,11	30	71,03	65	65,1
18	72,82	32	70,74	70	64,2
20	72,53	34	70,44	75	63,3
21	72,37	36	70,14	80	62,3
22	72,22	38	69,85		

T a b e l a 2.56 a. Solubilitatea sărurilor anorganice

În tabela 2.56 este dată concentrația soluțiilor saturate ale unei serii de săruri în apă la temperaturile de 20°C și 100°C. Concentrațiile se dau în raport cu numărul de grame de sare, care se dizolvă în 100 g apă. Se presupune că sărurile sînt uscate; dacă este posibilă formarea de hidrați, în tabelă este indicată cantitatea de apă de cristalizare, însă solubilitatea este dată în ipoteza sării uscate. Dacă temperatura nu corespunde cu cele două temperaturi menționate, ea este dată în tabelă separat. În afară de aceasta, în tabelă este dată masa moleculară aproximativă M a sării (de asemenea în stare uscată).

T a b e l a 2.56

Substanța	M	20 °C	100 °C	Observații
Azotat de argint	169,9	222	952	
Azotat de bariu	261,4	9,2	34,2	
Azotat de cadmiu	101,1	31,7	246	
Azotat de potasiu	119,0	65,8	105	
Bicarbonat de sodiu	142,0	19,4	42,5	hidrat 10 H ₂ O
Bicromat de potasiu	174,3	11,1	24,1	
Bromură de potasiu	294,2	13	104	
Carbonat de calciu	111,0	59,5	159	hidrat 6 H ₂ O
Carbonat de sodiu	58,4	36,0	39,1	
Clorură de amoniu	53,5	37,5	77,3	
Clorură de bariu	208,3	35,7	58,8	hidrat 2 H ₂ O
Clorură de calciu	109,9	34,2	30,0	hidrat H ₂ O
Clorură de litiu	120,4	26	73,8	hidrat 7 H ₂ O
Clorură de magneziu	151,0	64	35	hidrat 5 H ₂ O
Clorură de potasiu	100,1	0,002	0,002/75°	
Clorură de sodiu	154,8	38	77	hidrat 7 H ₂ O
Clorură de stronțiu	158,5	53,0	100,8	hidrat 6 H ₂ O
Clorură de zinc	136,3	368	615	
Sulfat de amoniu	132,1	75,4	103,3	
Sulfat de cadmiu	208,5	77,0	58,4	
Sulfat de cupru	84,0	9,6	16,4/60°	
Sulfat de litiu	42,4	78,5	127,5	hidrat H ₂ O
Sulfat de magneziu	95,2	54,5	72,7	hidrat 6 H ₂ O
Sulfat de mangan	159,6	20,7	75,4	hidrat 5 H ₂ O
Sulfat de nichel	331,2	52,2	127	
Sulfat de potasiu	74,6	34,0	56,7	
Sulfat de sodiu	106,0	21,5	45,5	hidrat 10 H ₂ O
Sulfat de zinc	161,4	54,4	80	hidrat 7 H ₂ O

T a b e l a 2.57. Difuzia soluțiilor apoase

Soluția difuzează în apă pură. Valorile coeficientului D de difuzie sînt exprimate în centimetri pătrați pe zile. Concentrația este exprimată pentru electroliți în echivalenți-gram la litru de soluție, pentru neelectroliți în moli. Temperatura $t[^\circ\text{C}]$ este dată în tabelă.

T a b e l a 2.57

Substanța	t[°C]	Canti- tatea	D [cm²/zi]	Substanța	t[°C]	Cant.- tatea	D [cm²/zi]	
Acid azotic	12	0,55	1,91	Brom	12	0,1	0,8	
	19,5	0,10	2,07	Bromură de	10	2,3	0,80	
		0,90	2,26	litium		4,4	0,90	
		3,90	2,46					
Acid clorhi- dric	12	0,50	2,07	Bromură de	10	1,0	1,13	
	19,2	1,0	2,09	Bromură de	10	2,9	0,86	
		0,10	2,21	sodiu	10	3,0	0,60	
		0,90	2,63	Carbonat de	10	2,4	0,39	
Acid sulfuric	12	3,20	3,89	Carbonat de	10	0,33	0,65	
	18	1,0	1,12	sodiu	8	2,4	0,66	
		0,35	1,32	Clorură de ba- riu	9	1,5	0,72	
		0,85	1,34		10	0,27	0,68	
Alcool etilic	11	2,85	1,60			2,0	0,68	
		4,85	1,90	Clorură de	10	1,5	0,46	
		0,05	0,73	calciu	10	1,5	0,43	
		0,25	0,69		18	0,10	0,951	
Amoniac	12	0,75	0,62			1,0	0,920	
	4	3,75	0,45	Clorură de		4,2	0,956	
Azotat de ar- gint	12	1,0	1,42	cobalt	17,5	0,02	1,36	
		3,55	0,06	Clorură de	18,0	0,9	1,52	
		0,02	1,03	cupru	1,0	1,330		
	Azotat de plumb	12	0,10	0,98	Clorură de	3,6	1,338	
0,90			0,88	litium	12	1,0	0,90	
3,9			0,53		15	0,02	0,94	
Azotat de potasiu		12	0,22	0,71	Clorură de		0,1	0,94
	0,82		0,66	potasiu		0,9	0,97	
	0,02		1,28			3,9	1,02	
	Azotat de so- diu	17,6	0,3	1,26	Clorură de			
1,4			1,10	sodiu				
0,6			0,90					
		10,5	3,0	0,76				
	5,0		5,0	0,83				
	13		0,6	0,90				
		6,0	0,77					

Tabela 2.57 (continuare)

Substanța	$t[^\circ\text{C}]$	Cantitatea	D [cm ² /zi]	Substanța	$t[^\circ\text{C}]$	Cantitatea	D [cm ² /zi]
Glicerină	10,14	0,125 0,875 1,75	0,356 0,342 0,300	Sulfat de sodiu	10	1,4	0,66
Sulfat de cadmiu	19,0	2,0	0,246	Sulfat de zinc	10,4	1,29	0,49
Sulfat de cupru					19,5	0,025	0,50
Sulfat de potasiu	17	0,10	0,39	Zahăr de trestie	12	0,55	0,36
		0,50	0,29			2,95	0,33
		1,95	0,23			0,5	0,28
Sulfat de potasiu	19,6	0,02	1,01		18,5	1,0	0,25
		0,28	0,86			0,30	0,31
		0,95	0,79			0,97	0,24
						1,97	0,43

T a b e l a 2. 58. **Punctele principale ale scării Celsius de temperaturi și alte scări de temperaturi**

Scara Celsius de temperaturi are ca puncte fundamentale, la presiunea atmosferică de 760 mm Hg, temperaturile echilibrului de fază dintre:

- 1) fazele solidă și lichidă ale apei (punctul de înghețare) adică 0°C ;
- 2) fazele lichidă și gazoasă ale apei (punctul de evaporare), adică 100°C .

Gradul scării Celsius se notează cu $^\circ\text{C}$, iar temperatura se notează cu t .

Comitetul internațional de măsuri și greutate a stabilit pentru această scară încă patru puncte primare cu valori fixe de temperatură, care au fost definite de asemenea ca temperaturi ale echilibrului de fază la presiunea atmosferică de 760 mm Hg între:

- 1) fazele lichidă și gazoasă ale oxigenului (punctul oxigenului) $-182,970^\circ\text{C}$;
- 2) fazele lichidă și gazoasă ale sulfului (punctul sulfului) $444,60^\circ\text{C}$;
- 3) fazele solidă și lichidă ale argintului (punctul argintului) $960,8^\circ\text{C}$;
- 4) fazele solidă și lichidă ale aurului (punctul aurului) 1063°C .

La aceeași conferință, temperatura punctului triplu a fost adoptată pentru această scară la $+0,0100^\circ\text{C}$.

Pentru interpolarea temperaturilor dintre punctele fundamentale se folosesc:

- a) între limitele de la -190 la 660°C — termometrul cu rezistență de platină;
- b) între limitele de la 660 la 1063°C termocuplul normal platină — aliaj platină-rodiiu.
- c) peste 1063°C pirometru optic.

În afară de scara Celsius, în cercetările științifice își găsește aplicație largă scara absolută termodinamică de temperaturi, sau scara Kelvin, ale cărei grade se notează cu $^{\circ}\text{K}$. A zecea conferință generală de măsuri și greutate din anul 1954 a hotărât să definească această scară cu ajutorul punctului triplu al apei ca punct de reper fundamental, atribuindu-i valoarea de $273,16^{\circ}\text{K}$. Gradele scării absolute și ale scării centigrade sînt egale ca mărime, însă punctul 0 al scării Kelvin este temperatura 0 absolut. Pornind de la definiția scării termodinamice absolute și de la valoarea temperaturii punctului triplu în scara Celsius, considerată ca $0,0100^{\circ}\text{C}$ găsim diferența dintre valorile temperaturii unei stări oarecare în cele două scări; ea este, evident

$$273,16^{\circ} - 0,01^{\circ} = 273,15^{\circ}.$$

De aici temperatura punctului de înghețare (0°C) în scara absolută este

$$T = 0^{\circ}\text{C} + 273,15^{\circ} = 273,15^{\circ}\text{K},$$

iar temperatura 0 absolut în scara Celsius este

$$0^{\circ}\text{C} - 273,15^{\circ} = -273,15^{\circ}\text{C}.$$

Așadar, trecerea de la scara Celsius la cea absolută și invers se face după formulele

$$n^{\circ}\text{C} = (n + 273,15)^{\circ}\text{K} \quad (2.79)$$

$$n^{\circ}\text{K} = (n - 273,15)^{\circ}\text{C}. \quad (2.80)$$

Analiza critică a surselor de erori posibile în scara Celsius de temperaturi a arătat că acestea pot fi condiționate atât de reproducerea practică a punctelor fundamentale ale scării, cît și de măsurările lor, iar aceste erori cresc cînd se trece spre temperaturile înalte. Mărimile erorilor posibile produse de o cauză sau de alta sînt date în tabela 2.58.

T a b e l a 2.58

Temperatura în grade Celsius	-182,97	0	100	300	444,60	960,8	1063	2000
La reproducerea în grade Celsius	$\pm 0,003$	$\pm 0,0001$	$\pm 0,001$	$\pm 0,002$	$\pm 0,005$	$\pm 0,1$	$\pm 0,1$	± 3
La măsurarea în grade Celsius	$\pm 0,02$	0	0	$\pm 0,1$	$\pm 0,15$	$\pm 0,5$	± 1	± 6

În afară de aceste două scări de temperaturi, în anumite țări se folosesc și alte scări de temperatură, dintre care răspîndirea cea mai largă o au scara Fahrenheit, gradele ei notîndu-se cu $^{\circ}\text{F}$, și scara Réaumur, ale cărei grade se notează cu $^{\circ}\text{R}$.

În scara Fahrenheit punctul de 0°C corespunde la 32°F , iar 100°C corespund la 212°F . Așadar $1^{\circ}\text{C} = 9/5^{\circ}\text{C}$.

În scara Réaumur 0°R coincide cu 0°C , însă punctul de 100°C corespunde la 80°R . Astfel, $1^{\circ}\text{C} = 4/5^{\circ}\text{R}$ și $1^{\circ}\text{R} = 5/4^{\circ}\text{C}$.

Formulele pentru trecerea de la scările Fahrenheit și Réaumur la scara Celsius și invers sînt, deci, de forma

$$n^{\circ}\text{C} = \left(\frac{9}{5}n + 32\right)^{\circ}\text{F} = \frac{4}{5}n^{\circ}\text{R}, \quad (2.81)$$

$$n^{\circ}\text{F} = \frac{5}{9}(n - 32)^{\circ}\text{C} = \frac{4}{9}(n - 32)^{\circ}\text{R}, \quad (2.82)$$

$$n^{\circ}\text{R} = \frac{5}{4}^{\circ}\text{C} = \left(\frac{9}{4}n + 32\right)^{\circ}\text{F}. \quad (2.83)$$

Există tabele numerice de trecere de la temperatura unei scări la temperatura alteia.

Notă la tabela 2.58. 1. Valoarea temperaturii de 0 absolut se ia deseori aproximativ egală cu -273°C .

T a b e l a 2.59. Coeficienții termici de dilatare ai corpurilor solide

În tabelă sînt date valorile medii ale coeficienților liniari de dilatare ai corpurilor solide, pentru intervalul de temperaturi indicat în tabelă; dacă se dă o temperatură, valoarea din tabelă, α , poate fi folosită la temperaturi, care diferă de cea indicată în medie cu $\pm 10^{\circ}\text{C}$. Coeficientul de dilatare în volum β al corpurilor solide este egal cu valoarea triplă a coeficientului liniar respectiv.

T a b e l a 2.59

	$t[^{\circ}\text{C}]$	$\alpha \cdot 10^4 [^{\circ}\text{C}^{-1}]$
Alamă (62% Cu, 38% Zn)	10–16	0,189
Alpaca	0–100	0,184
Aluminiiu	0–100	0,238
Argint	0–100	0,197
Aur	17–100	0,143
Bismut	17–100	0,135
Bronz (84% Cu, 9% Zn, 6% Sn)	20	0,180
Bronz-aluminiiu (95% Cu, 5% Al)	20–99	0,142
Cadmiu	18–43	0,247
Caolină	15–1000	0,053
Cărămidă	—	0,009

T a b e l a 2.59 (continuare)

	$t[^\circ\text{C}]$	$\alpha \cdot 10^4 [^\circ\text{C}^{-1}]$
Cărbune diamant	50	0,013
Cărbune grafit	50	0,008
Celuloid	20—40	0,074
Clorură de potasiu	0—25	0,028
Clorură de sodiu	0—25	0,042
Cobalt	40	0,127
Constantan (60% Cu, 40% Ni)	0—16	0,122
Crom	0—100	0,084
Cuarț cu axa	40	0,078
Cuarț \perp pe axă	40	0,141
Cuarț topit	0—80	0,004
Cupru-Molibden	18	0,167
Ebonită	17—25	0,077
Fier moale	0—100	0,114
Fluorit	40	0,019
Gheață	-10—0	0,507
Invar (36,1% Ni)	17—100	0,009
Ipsos cristalin	12—25	0,025
Iridiu	17—100	0,066
Lemn de aceracee \perp	2—34	0,048
Lemn de aceracee	2—34	0,006
Lemn de fag, straturi \perp	2—34	0,026
Lemn de fag, straturi	2—34	0,006
Lemn de stejar, straturi \perp	2—34	0,054
Lemn de stejar, straturi	2—34	0,005
Lemn roșu \perp	2—34	0,040
Lemn roșu	2—34	0,004
Lemn roșu de pin straturi \perp	2—34	0,034
Lemn roșu de pin, straturi	2—34	0,005
Magnaliu (85% Al, 14,1% Mg)	12—39	0,238
Magneziu	0—100	0,260
Manganin (84% Cu, 4% Ni, 12% Mn)	18	0,181
Marmură albă	15—100	0,014
Molibden	25—100	0,052
Nichel	0—100	0,130
Nicrom	18	0,123
Oțel (1,5% C)	0—100	0,105
Platină	0,6—21,5	0,089
Plumb	17—100	0,293
Porțelan	0—100	0,03 aprox.
Potasiu	0—50	0,083
Siliciu	3—18	0,025
Sodiu	0—50	0,072
Spat de Islanda cu axa	40	0,026
Spat de Islanda \perp pe axă	40	0,005
Staniu	18—100	0,270

T a b e l a 2.59 (continuare)

	$t[^\circ\text{C}]$	$\alpha \cdot 10^4 [^\circ\text{C}^{-1}]$
Stibiu	17—100	0,109
Sticlă crom	0—100	0,009 aprox.
Sticlă flint	0—100	0,007 aprox.
Sulf rrombic	13—50	0,641
Wolfram	0—100	0,045

T a b e l a 2.60. Coeficienții termici de dilatare ai lichidelor

În tabelă sînt date valorile coeficienților de dilatare în volum β ai lichidelor la temperatura de 20°C ; aceleași valori ale lui β pot fi folosite la temperaturi, care diferă de 20°C în medie cu $\pm 10^\circ\text{C}$.

T a b e l a 2.60

	$\beta \cdot 10^4 [^\circ\text{C}^{-1}]$		$\beta \cdot 10^4 [^\circ\text{C}^{-1}]$
Acetonă	0,148	Pentan (normal)	0,160
Acid acetic deshidratat	107	Petrol	aprox. 0,09
Acid azotic 25%	058	Petrol lampant	
Acid azotic 50%	091	($D = 0,8467$)	095
Acid sulfuric 96%	055	Soluție CaCl_2 5,8%	025
Alcool amilic	092	Soluție CaCl_2	
Alcool etilic	110	40,9%	046
Alcool metilic	125	Soluție KCl 2,5%	023
Alcool propilic	096	Soluție KCl 24,3%	035
Anilină	085	Soluție NaCl 6,1%	030
Apă ¹⁾	207	Soluție NaCl 20,6%	041
Benzen	124	Sulfură de carbon	121
Brom	111	Terebentină	aprox. 0,095
Cloroform	127	Toluen	109
Eter etilic	165	Xilen (meta)	099
Glicerină	051	Xilen (orto)	097
Mercur ²⁾	0181	Xilen (para)	101

Note la tabela 2.60. 1) Vezi tabela 2.61. 2) Vezi tabela 2.62.

T a b e l a 2.61. Dilatarea termică a apei

Dilatarea în volum a apei, în intervalul de temperaturi de la 0 la 5°C , nu urmează legea generală a dilatării termice a corpurilor, deoarece la 4°C (mai precis la $3,98^\circ\text{C}$) apa are volumul specific mi-

nim, adică densitate maximă¹⁾. O cercetare foarte atentă a densității apei, în funcție de temperatură, a dus la o serie de formule, în care volumul apei este reprezentat ca funcție de temperatură. Formulele care dau rezultatele cele mai precise sînt date în tabelă.

Pentru intervalul de temperaturi dintre 0 și 5 °C aceste formule dau valori foarte apropiate de valorile reale ale densității apei.

T a b e l a 2.61

Intervalul de temperaturi [°C]	Formule
-10 ÷ 4	$v_t = v_0(1 - 6,4807 \cdot 10^{-5} t + 8,6697 \cdot 10^{-6} t^2 - 2,6211 \cdot 10^{-7} t^3) \quad (2.84)$
0 ÷ 33	$v_t = v_0(1 - 6,4268 \cdot 10^{-5} t + 8,50526 \cdot 10^{-6} t^2 - 6,78977 \cdot 10^{-8} t^3 + 4,01209 \cdot 10^{-10} t^4) \quad (2.85)$
0 ÷ 80	$v_t = v_0(1 - 5,3255 \cdot 10^{-5} t + 7,61532 \cdot 10^{-6} t^2 - 4,37217 \cdot 10^{-8} t^3 + 1,64322 \cdot 10^{-10} t^4) \quad (2.86)$

Notă la tabela 2.61. ¹⁾ Aici trebuie făcută următoarea observație: a) temperatura densității maxime a apei, 4 °C, corespunde la presiunea atmosferică normală; cînd presiunea crește (sensibil), temperatura densității maxime a apei scade apreciabil și astfel la 41,3 atmosfere, ea este de 3,3 °C; b) temperatura densității maxime a apei grele D₂O, care după toate proprietățile sale diferă sensibil de H₂O (tabela 2.17), se ia de 11,6 °C (la o presiune de o atmosferă).

T a b e l a 2.62. Dilatarea termică a mercurului

În tabelă sînt date dependența coeficientului de dilatare în volum β_t a mercurului, de temperatură, pentru intervalele menționate.

T a b e l a 2.62

Autorul	Intervalul de temperaturi [°C]	Formula
Mendeleev	0 ÷ 100	$\beta_t = 1,801 \cdot 10^{-4} + 0,2 \cdot 10^{-7} t \quad (2.87)$
Recknagel	0 ÷ 100	$\beta_t = 1,8018 \cdot 10^{-4} + 0,94 \cdot 10^{-8} t + 0,5 \cdot 10^{-10} t^2 \quad (2.88)$
Chappuis	-20 ÷ 100	$\beta_t = 1,815405 \cdot 10^{-4} + 0,195130 \cdot 10^{-8} t + 1,00917 \cdot 10^{-10} t^2 - 2,0386 \cdot 10^{-13} t^3 \quad (2.89)$

Tabelele 2.63 a și b. Coeficienții termici de dilatare și presiune ai gazelor

Coeficientul termic de dilatare α_p al gazelor la presiune constantă se determină după formula

$$\alpha_p = \frac{V_t - V_0}{V_0 t} \quad (2.90)$$

unde V_t și V_0 sînt volumele gazului la $t^\circ\text{C}$, respectiv la 0°C . În tabela 2.63 a sînt date valorile medii ale lui α_p pentru intervalul de temperaturi $0 - 100^\circ\text{C}$ în ipoteza că presiunea gazului rămîne constantă și egală cu cea normală.

Coeficientul termic de presiune al gazelor la volum constant α_V se determină după formula

$$\alpha_V = \frac{p_t - p_0}{p_0 t} \quad (2.91)$$

unde p_t și p_0 sînt presiunile gazului la temperaturile $t^\circ\text{C}$ și 0°C . În tabela 2.63 a sînt date valorile medii ale lui α_V pentru intervalul de temperaturi $0 - 100^\circ\text{C}$, în ipoteza că $p_0 = 1\,000\text{ mm Hg}$.

Pentru un gaz ideal, α_p și α_V sînt egale ($\alpha_p = \alpha_V$).

Tabela 2.63 a

	$\alpha_p \cdot 10^6$ [$^\circ\text{C}^{-1}$]	$\alpha_V \cdot 10^6$ [$^\circ\text{C}^{-1}$]		$\alpha_p \cdot 10^6$ [$^\circ\text{C}^{-1}$]	$\alpha_V \cdot 10^6$ [$^\circ\text{C}^{-1}$]
Azot	3 674	3 672	Amoniac	3 804	3 770
Hidrogen	3 661	3 663	Oxigen	3 665	3 674
Aer (fără CO_2)	3 671	3 674	Oxid de carbon	3 669	3 667
Heliu	3 658	3 660	Bioxid de carbon	3 741	3 726
Protoxid de oxigen	3 719	3 676			

Cercetările au arătat totodată că valorile lui α_p și α_V depind de presiunea inițială p a gazului; rezultatele acestor cercetări sînt date în tabela 2.63 b.

Tabela 2.63 b

	p (atm)	α_p	p [cm Hg]	α_V
Hidrogen	200	0,00332	0,0077	0,003328
	400	0,00295	0,025	0,003623
	600	0,00261	0,47	0,003656
	800	0,00242	100,0	0,0036626

T a b e l a 2.63 b (continuare)

	p (atm)	α_p	$[p \text{ cm Hg}]$	α_v
Oxygen	200	0,00534	0,007	0,004161
	400	0,00459	0,25	0,003984
	600	0,00357	0,51	0,003831
	800	0,00288	1,9	0,0036683
	1 000	0,00241	18,5	0,003690
Bioxid de carbon	51,8 (cm Hg)	0,0037073	51,8	0,0036981
	99,8	0,0037410	99,8	0,0037262
	137,7	0,0037703	100,0	0,0037248

T a b e l e l e 2.64 a și b. Punctele de topire
și fierbere ale corpurilor

În tabela 2.64 a, sînt date temperaturile de topire t_t și cele de fierbere t_f la presiunea atmosferică de 760 mm Hg pentru corpuri pure, adică fără impurități; temperaturile t_t și t_f sînt exprimate în grade Celsius. Corecția pentru punctul de fierbere, ținînd seama de presiunea atmosferică, este dată în tabela 2.66.

În tabela 2.64 b, sînt date temperaturile de topire a gheții la diferite presiuni, p , exprimate în kgf/cm^2 .

T a b e l a 2.64 a

	t_t [°C]	t_f [°C]		t_t [°C]	t_f [°C]
Acetonă	-94,3	56,2	Cadmiu	320,9	766
Acid acetic (deshidratat)	16,6	118,1	Calciu	850	1440
Acid bromhidric	-88	-67,1	Camfor	176	204
Acid clorhidric	-112	-84	Clor	-223	-187,9
Alcool etilic	-117	78,5	Cloroform	-63,5	-61,0
Alcool metilic	-93,9	64,1	Clorură de potasiu (KCl)	776	1417
Aluminiu	660,1	2330	Clorură de sodiu (NaCl)	804	1413
Anilină	-6,2	184,3	Cobalt	1492	3000
Argent	960,8	2193	Crom	1800	2300
Argon	-189,2	-185,9	Cuarț topit	1725	2230 (2590)
Aur	1063	2660	Cupru	1083	2582
Azot	-209,86	-195,81	Etan	-183,3	-88,6
Bariu	704	1600	Eter etilic	-116,0	34,6
Benzen	5,54	80,2	Etilen	-169,2	-103,7
Bismut	271,3	1420	Fier	1535	2800
Bor	2100	2550	Fluor	-101	-34,1
Brom	-7,2	58,8	Glicerină	18,6	290
Bromoform	6,5	149,5	Heliu	-271,4 ¹⁾	-268,9
			Hidrogen	-259,2	-252,8

T a b e l a 2.64 a (continuare)

	$t_l [^{\circ}\text{C}]$	$t_f [^{\circ}\text{C}]$		$t_l [^{\circ}\text{C}]$	$t_f [^{\circ}\text{C}]$
Kripton	-157	-153,2	Platină	1769	4000
Litiu	186	1380	Plumb	327,3	1750
Magneziu	650	1100	Potasiu	63	760
Mangan	1260	2150	Protoxid de		
Mercur	-38,87	356,58	azot	-102,4	-89,5
Metan	-182,5	-161,5	Radiu	700	1140
Molibden	2625	4800	Sodiu	97,7	883
Naftalină	80,1	217,7	Staniu	231,9	2337
Neon	-248,7	-246,1	Stibiu	630,5	1440
Nichel	1453	2800	Stronțiu	770	1360
Nitrobenzen	5,9	210,9	Sulf	112,8	444,600 ²⁾
Oxid de azot	-163,6	-151,8	Toluen	-95,0	110,6
Oxid de carbon	-207	-192	Xenon	-112	-108,1
Oxigen	-218,8	-182,970 ²⁾	Xilol (meta)	-47,7	139,0
Ozon (O ₃)	251,4	-111,5	Wolfram	3380	6000
Parafină	-38,56	350-430	Zinc	419,5	907
Pentan (normal)	-129,7	36,15	Zirconiu	1860	2900

Note la tabela 2.64 a. 1) La presiunea de 30 atmosfere. 2) Punctul inițial de reper al scării Celsius de temperatură, v. tabela 2(.58). 3) Vezi nota 2).

T a b e l a 2.64 b

$p [\text{kgf/cm}^2]$	1	336	615	890	1155	1410	1625	1835	2042	2200
$t_l [^{\circ}\text{C}]$	0,0	-2,5	-5,0	-7,5	-10,0	-12,5	-15,0	-17,5	-20,0	-22,1

T a b e l a 2.65. Punctul de fierbere al apei la diferite presiuni

În tabelă sînt date valorile punctului de fierbere t_f al apei în intervalul de presiuni H de la 680 la 800 mm Hg din mm în mm. Pentru presiuni intermediare față de presiunile din tabelă, punctul de fierbere al apei poate fi calculat prin interpolare liniară.

T a b e l a 2.65

H [mm Hg]	$t_f [^{\circ}\text{C}]$	H [mm Hg]	$t_f [^{\circ}\text{C}]$	H [mm Hg]	$t_f [^{\circ}\text{C}]$	H [mm Hg]	$t_f [^{\circ}\text{C}]$
680	96,916	684	97,077	688	97,237	692	97,397
681	956	685	117	689	277	693	437
682	996	686	157	690	317	694	477
683	97,037	687	197	691	357	695	516

T a b e l a 2.65 (continuare)

H [mm Hg]	t_f [°C]	H [mm Hg]	t_f [°C]	H [mm Hg]	t_f [°C]	H [mm Hg]	t_f [°C]
696	97,556	722	98,571	748	99,555	774	100,511
697	596	723	609	749	593	775	547
698	635	724	648	750	630	776	584
699	675	725	686	751	667	777	620
700	714	726	724	752	704	778	656
701	754	727	762	753	741	779	692
702	793	728	801	754	778	780	728
703	832	729	839	755	815	781	764
704	872	730	877	756	852	782	800
705	911	731	915	757	889	783	836
706	950	732	953	758	926	784	872
707	989	733	991	759	963	785	908
708	98,028	734	99,029	760	100,000	786	944
709	067	735	067	761	037	787	980
710	106	736	105	762	073	788	101,016
711	145	737	142	763	140	789	051
712	184	738	180	764	147	790	087
713	223	739	218	765	184	791	122
714	262	740	255	766	220	792	158
715	301	741	293	767	257	793	194
716	339	742	331	768	293	794	229
717	378	743	368	769	330	795	265
718	417	744	406	770	366	796	300
719	455	745	443	771	402	797	335
720	494	746	481	772	439	798	371
721	532	747	518	773	475	799	406
						800	441

T a b e l a 2.66. Dependența de presiune a punctului de fierbere al lichidelor

Dacă indicația barometrului nu iese din limitele oscilațiilor obișnuite ale presiunii atmosferice, punctul de fierbere al apei la presiunea H poate fi determinat după formula

$$t_f = t_0 [1 + c(H - 760)], \quad (2.92)$$

unde t_0 este punctul de fierbere al lichidului la presiunea atmosferică de 760 mm Hg, iar c un coeficient diferit pentru diferitele lichide; valoarea lui este dată în tabelă.

T a b e l a 2.66

	$c \cdot 10^6$		$c \cdot 10^6$
Acid acetic	112	Alcool metilic	103
Acetonă	117	Alcool propilic	095
Apă	101	Alcool etilic	097
Alcool amilic	097	Anilină	112

T a b e l a 2.66 (continuare)

	$c \cdot 10^3$		$c \cdot 10^3$
Benzen	122	Sulfură de carbon	129
Cloroform	024	Terebentină	131
Eter etilic	129	Toluen	117
Fenol	094	Xilol (meta-)	128
Mercur	120	Xilol (orto-)	118
Pentan (normal)	130	Xilol (para-)	136

T a b e l a 2.67. Presiunea și densitatea vaporilor de apă saturați, în intervalul de temperaturi de la 20 pînă la 100°C

În tabelă, pentru intervalul menționat de temperaturi sînt date:
 1) presiunea p a vaporilor de apă saturați, exprimată în mm Hg;
 2) densitatea ρ a vaporilor de apă saturați, exprimată în g/m³.

T a b e l a 2.67

t [°C]	p [mm Hg]	ρ [g/m ³]	t [°C]	p [mm Hg]	ρ [g/m ³]	t [°C]	p [mm Hg]	ρ [g/m ³]
-20	0,772	0,88	15	12,78	12,8	35	42,175	39,6
-18	0,935	1,05	16	13,634	13,6	36	44,563	41,7
-16	1,128	1,27	17	14,530	14,5	37	47,067	44,0
-14	1,357	1,51	18	15,477	15,4	38	49,692	46,2
-12	1,627	1,80	19	16,477	16,3	39	52,442	48,6
-10	1,946	2,14	20	17,535	17,3	40	55,324	51,2
-8	2,321	2,54	21	18,650	18,3	45	71,88	65,6
-6	2,761	2,99	22	19,827	19,4	50	92,51	83,2
-4	3,276	3,51	23	21,068	20,6	55	118,04	104,6
-2	3,879	4,13	24	22,377	21,8	60	149,38	130,5
0	4,579	4,84	25	23,756	23,0	65	187,54	161,5
2	5,294	5,60	26	25,209	24,4	70	233,71	198,4
4	6,101	6,40	27	26,739	25,8	75	289,13	242,1
6	7,013	7,3	28	28,349	27,2	80	355,12	293,8
8	8,045	8,3	29	30,043	28,7	85	433,62	354,1
10	9,209	9,4	30	31,824	30,3	90	525,76	424,1
11	9,844	10,0	31	33,695	32,0	95	633,90	505,0
12	10,518	10,7	32	35,663	33,8	100	760,00	598,0
13	11,231	11,4	33	37,729	35,6	110	1074,26	827,0
14	11,987	12,1	34	39,898	37,6	120	1489,14	1122,0

T a b e l a 2.68. Tabelă psihrometrică

La determinarea umidității aerului cu psihrometrul aspirator se folosește formula

$$E = E_1 - 0,00066B (t - t_1) [1 + 0,00115 (t - t_1)], \quad (2.93)$$

unde E este presiunea vaporilor de apă, care se află în aer, a căror temperatură se determină cu ajutorul unui termometru uscat, E_1 este presiunea vaporilor de apă, care satură aerul la aceeași temperatură t , iar t_1 este temperatura termometrului umed, atunci când atinge starea staționară.

În tabelă sînt date valorile umidității relative a aerului, în procente, în funcție de indicațiile termometrului uscat (t [°C]) și diferențele dintre indicațiile termometrului uscat și cele ale termometrului umed ($t - t_1$) [°C] în intervalul de temperaturi de la 0 la 20 °C, la presiunea de 760 mm Hg.

T a b e l a 2.63

t (indicațiile termometrului uscat în °C)	$t_0 - t_1$ (diferența dintre indicațiile termometrului uscat și cele ale termometrului umed, în °C)										
	0	1	2	3	4	5	6	7	8	9	10
0	100	81	63	45	28	11					
1	100	83	65	48	32	16					
2	100	84	68	51	35	20					
3	100	84	69	54	39	24	10				
4	100	85	70	56	42	28	14				
5	100	86	72	58	45	32	19	6			
6	100	86	73	60	47	35	23	10			
7	100	87	74	61	49	37	26	14			
8	100	87	75	63	51	40	29	18	7		
9	100	88	76	64	53	42	31	21	11		
10	100	88	76	65	54	44	34	24	14	5	
11	100	88	77	66	56	46	36	26	17	8	
12	100	89	78	68	57	48	38	29	20	11	
13	100	89	79	69	59	49	40	31	23	14	6
14	100	89	79	70	60	51	42	34	25	17	9
15	100	90	80	71	61	52	44	36	27	20	12
16	100	90	81	71	62	54	46	37	30	22	15
17	100	90	81	72	64	55	47	39	32	24	17
18	100	91	82	73	65	56	49	41	34	27	20
19	100	91	82	74	65	58	50	43	35	29	22
20	100	91	83	74	66	59	51	44	37	30	24
21	100	91	83	75	67	60	52	46	39	32	26
22	100	92	83	76	68	61	54	47	40	34	28
23	100	92	84	76	69	61	55	48	42	36	30
24	100	92	84	77	69	62	56	49	43	37	31
25	100	92	84	77	70	63	57	50	44	38	33
26	100	92	85	78	71	64	58	51	46	40	34
27	100	92	85	78	71	65	59	52	47	41	36
28	100	93	85	78	72	65	59	53	48	42	37
29	100	93	86	79	72	66	60	54	49	43	38
30	100	93	86	79	73	67	61	55	50	44	39

Tabelele 2.69 a și b. Presiunea vaporilor saturanți ai lichidelor la diferite temperaturi

În tabela 2.69 a sînt date valorile presiunii p a vaporilor saturanți ai lichidelor, exprimate în mm Hg la diferite temperaturi. Pentru temperaturi intermediare față de temperaturile date în tabelă, presiunea vaporilor saturanți poate fi calculată aproximativ prin interpolare liniară.

Tabela 2.69 a

Lichidele	t [°C]	p [mm Hg]	Lichidele	t [°C]	p [mm Hg]
Acetonă	40	420,15	Benzen	80	751,86
	50	620,86		80,3	760,0
	60	860,48		90	1012,75
Acid acetic	100	417,1	Cloroform	40	366
	110	580,8		51	541
	120	794,0		60	731
Alcool etilic	51,5	235		61,0	760,0
	61	353		70,2	1010
	68	509	Mercur	350	669,77
Alcool metilic	77	740		354	720,56
	78,5	760,0		356	741,11
	56,5	500		356,58	760,0
Anilină	60,5	600		358	774,45
	64,1	700		360	802,62
	65,8	760,0	Pentan	20	420,2
	182	713,75		30	610,9
	183	732,65		40	873
	183,9	760,0	Toluen	99,4	550
	184	751,9		102,5	600
	185	771,5		105,3	650
Benzen	50	271,37		107,8	700
	60	390,10		107,8	700
	70	547,42		110,6	760,0

În tabela 2.69 b sînt date cu mai multă precizie valorile presiunii vaporilor de mercur, în mm Hg, în intervalul de temperaturi de la -38 °C la 46 °C.

Tabela 2.69 b

t [°C]	p [mm Hg]	t [°C]	p [mm Hg]	t [°C]	p [mm Hg]	t [°C]	p [mm Hg]
-38	$1,45 \cdot 10^{-6}$	-28	$6,30 \cdot 10^{-6}$	-18	$23,2 \cdot 10^{-6}$	-8	$76,2 \cdot 10^{-6}$
-36	$1,97 \cdot 10^{-6}$	-26	$8,28 \cdot 10^{-6}$	-16	$29,8 \cdot 10^{-6}$	-6	$95,4 \cdot 10^{-6}$
-34	$2,66 \cdot 10^{-6}$	-24	$10,8 \cdot 10^{-6}$	-14	$38,0 \cdot 10^{-6}$	-4	$119,0 \cdot 10^{-6}$
-32	$3,59 \cdot 10^{-6}$	-22	$14,0 \cdot 10^{-6}$	-12	$48,1 \cdot 10^{-6}$	-2	$149,0 \cdot 10^{-6}$
-30	$4,78 \cdot 10^{-6}$	-20	$18,1 \cdot 10^{-6}$	-10	$60,6 \cdot 10^{-6}$	0	$185,0 \cdot 10^{-6}$

T a b e l a 2.69 b (continuare)

$t [^{\circ}\text{C}]$	$p [\text{mm Hg}]$	$t [^{\circ}\text{C}]$	$p [\text{mm Hg}]$	$t [^{\circ}\text{C}]$	$p [\text{mm Hg}]$	$t [^{\circ}\text{C}]$	$p [\text{mm Hg}]$
0	0,000185	12	0,000588	24	0,001691	36	0,004471
2	0,000228	14	0,000706	26	0,002000	38	0,005219
4	0,000276	16	0,000846	28	0,002359	40	0,006079
6	0,000335	18	0,001009	30	0,002777	42	0,007067
8	0,000406	20	0,001201	32	0,003261	44	0,008200
10	0,000490	22	0,001426	34	0,003823	46	0,009497

T a b e l a 2.70. Datele critice

În tabelă sînt date: temperatura critică t_{cr} în grade Celsius și presiunea critică p_{cr} exprimată în atmosfere fizice.

T a b e l a 2.70

	$t_{cr} [^{\circ}\text{C}]$	$p_{cr} [\text{atm}]$		$t_{cr} [^{\circ}\text{C}]$	$p_{cr} [\text{atm}]$
Acetonă	235,0	47,0	Azot	-147,1	33,5
Acid acetic	321,6	57,2	Benzen	285,5	47,7
Acid bromhidric	90	84	Bioxid de carbon	31,1	73,0
Acid cianhidric	183,5	50	Brom	302	131
Acid clorhidric	51,4	81,55	Brom-benzen	397	44,6
Acid iodhidric	151	82	Butan (izo)	134	36
Acid propionic	339,5	53,0	Butan (normal)	152,8	37,5
Aer	-140,7	37,2	Cian	126,6	58,2
Alcooli:			Clor	144,0	76,1
— butilic (izo)	265	48	Clor-benzen	359	44,6
— butilic (normal)	287	48,4	Cloroform	262,5	54,9
— etilic	243,6	62,8	Clorură de etil	187,2	51,72
— metilic	240	78,58	Clorură de metil	143,1	65,8
— propilic (izo)	235	53	Crezol (meta)	-432	45,0
— propilic (normal)	263,7	49,95	Crezol (orto)	422	49,4
Amoniac	-228,65	26,86	Crezol (para)	426	50,8
Anilină	425,6	52,3	Etan	32,3	48,8
Anisol	369	41,3	Eter etilic	193,8	35,7
Apă	374,1	217,5	Etilamină	183,2	55,5
Apă grea	371,5	218	Etilen	9,5	50,7
Argon	-122,4	47,996	Fenol	419,2	60,5
			Fluor	-129	55
			Fluorură de metil	44,9	62,0
			Fosgen	181,7	56,0

T a b e l a 2.70 (continuare)

	t_{cr} [°C]	p_{cr} [atm]		t_{cr} [°C]	p_{cr} [atm]
Fosfină	51	64	Pentan (normal)	197,2	33,04
Heliu	-267,9	2,26	Propan	95,6	43
Hidrazină	380	145	Propilen	92,3	45,0
Hidrogen	-239,92	12,80	Protoxid de		
leniat	138	88	azot	36,48	71,7
Hidrogen si-			Radon	104	62
liciat	-3,5	48	Sulf gazos	157,2	77,7
Hidrogen sul-			Sulfat de car-		
furat	100,4	88,9	bon	105	61
Kripton	-63,7	54,9	Sulfură de car		
Mercur	1550	200	bon	273	76
Metan	-82,1	45,8	Tetraclorură		
Naftalină	468,2	39,2	de carbon	283,15	44,98
Neon	-228	26,86	Tetraclorură		
Oxid de azot	-92,9	64,6	de germaniu	277	38
Oxid de car-			Tetraclorură		
bon	-140,2	34,53	de siliciu	-1,5	50
Oxygen	-118,8	49,7	Toluen	320,6	41,6
Pentan (izo)	187,8	32,8	Xenon	16,7	58,22
			Xilol (meta)	345,6	35,8

T a b e l a 2.71. Conductibilitatea termică
a corpurilor solide

Pentru majoritatea metalelor pure, conductibilitatea termică scade cu creșterea temperaturii, iar pentru aliaje și corpuri slab conducătoare de căldură, se observă de obicei situația inversă. Dacă notăm cu λ , σ și T coeficientul de conductibilitate termică, conductibilitatea electrică specifică și respectiv temperatura absolută, atunci pentru metale pure raportul $\lambda/\sigma T$ rămâne aproximativ constant (vezi tabela 2.91).

În tabelă sînt date valorile coeficientului de conductibilitate termică λ pentru unele metale și corpuri solide nemetalice, exprimate în cal/cm·s·°C; sînt date de asemenea temperaturile la care s-au efectuat măsurările.

T a b e l a 2.71

	t [°C]	λ		t [°C]	λ
Alamă ¹⁾	18	0,26	Asbest (carton)	500	0,0004
Aliaj Wood	10-20	0,03	Aur	18	0,70
Alpaca ²⁾	18	0,06	Bismut	0	0,018
Aluminiu	20	0,48	Bismut	18	0,019
Argint	18	0,99	Bronz ³⁾	18	0,14

T a b e l a 2.71 (continuare)

	$t [^{\circ}\text{C}]$	λ		$t [^{\circ}\text{C}]$	λ
Cadmiu	18	0,22	Marmură	0	0,007
Cărbune (grafit)	7	0,012	Mică ^a)	50	0,0018
Cărbune pentru arc	50	0,015	Molibden	17	0,35
Cărbune pulbere	30	0,0003	Nichel	18	0,14
Ceară	20	0,0001	Oțel (1,5% C)	0	0,11
Celuloid	8	0,0003	Parafină	17	0,0005
Cobalt	30	0,16	Platină	0	0,167
Constantan ⁴)	18	0,054	Platină	17	0,165
Cositor	18	0,16	Plumb	0	0,084
Cuarț cristalin			Plumb	18	0,083
cu axa	0	0,030	Plută	30	0,0007
Cuarț cristalin			Porțelan	20	0,0025
față de axă	0	0,016	Sare gemă	30	0,015
Cuarț topit	0	0,003	Sodiu	20	0,32
Cupru	0	0,920	Spat de Islanda		
Cupru	18	0,916	față de axă	8,5	0,009
Ebonită	25	0,0004	Spat de Islanda ⊥		
Fier moale	18	0,14	față de axă	8,5	0,007
Gheață	0	0,0055	Staniu	18	0,16
Ipsos artificial	0	0,003	Stibiu	0	0,044
Iridiu	17	0,14	Sticlă crom	12,5	0,0016
Lemn de pin	20	0,0004	Sticlă de oglindă	12,5	0,0018
Lemn de stejar	15	0,0006	Sticlă flint	12,5	0,0025
Magneziu	0	0,37	Sulf rhombic	0	0,0006
Manganin ⁵)	18	0,053	Wolfram	0	0,38
			Wolfram	18	0,35

Note la tabela 2.71. 1) Compoziția: 70% Cu + 30% Zn. 2) 63% Cu + 15% Ni + 22% Zn. 3) Compoziția: 85% Cu + 6% Sn + 9% Zn. 4) Compoziția 60% Cu + 40% Ni. 5) Compoziția: 84% Cu + 12% Mn + 4% Ni. 6) În direcția perpendiculară la planul de clivaj.

T a b e l a 2.72. Conductibilitatea termică a lichidelor

Valorile aproximative ale coeficienților conductibilității termice a unor lichide sînt exprimate în cal/cm·s·°C. Cifrele din tabelă dau valorile mărimii $\lambda \cdot 10^2$; sînt indicate de asemenea temperaturile la care s-au făcut măsurările.

T a b e l a 2.72

	$t [^{\circ}\text{C}]$	$\lambda \cdot 10^2$		$t [^{\circ}\text{C}]$	$\lambda \cdot 10^2$
Acetonă	0	0,043	Acid clorhidric		
Acid acetic	12	047	12,5%	32	126
Acid acetic	25	043	Acid clorhidric 25%	32	115

T a b e l a 2.72 (continuare)

	$t [^{\circ}\text{C}]$	$\lambda \cdot 10^2$		$t [^{\circ}\text{C}]$	$\lambda \cdot 10^2$
Acid sulfuric 30%	32	0,124	Glicerină	20	0,068
Acid sulfuric 60%	32	105	Nitrobenzen	12,5	038
Apă	4,1	129	Pentan (normal)	14	029
Apă	20	142	Petrol lampant	13	035
Apă	80	154	Soluții: NH_3 26%	18	119
Apă	90	160	CaCl ₂ 15%	32	138
Alcool amilic	12	033	KCl 20%	32	133
Alcool amilic	33	027	NaCl 10%	32	148
Alcool etilic	12	042	Sulfură de carbon	0	039
Alcool etilic	33	035	Sulfură de carbon	14	034
Alcool metilic	12	047	Terebentină	12	026
Alcool metilic	32	040	Tetraclorură de car-		
Anilină	12	041	bon	23	028
Benzen	12	033	Toluen	0	035
Cloroform	12	029	Toluen	14,5	034
Eter etilic	14,9	032	Xilol (meta)	0	0,034
Glicerină	12	0,067			

T a b e l a 2.73. Conductibilitatea termică a gazelor

Conductibilitatea termică λ a gazelor, așa cum rezultă din considerațiile teoretice, trebuie să crească cu creșterea temperaturii. În tabelă sînt date valorile conductibilității termice a unor gaze, calculate teoretic (valorile lui λ la temperaturile de 273,1°K; 293,1°K și 298,1°K au fost determinate experimental). Valorile lui λ sînt exprimate în cal/cm·s·°K (în tabelă sînt date valorile mărimii $\lambda \cdot 10^5$); temperaturile sînt date după scara absolută.

T a b e l a 2.73

$T [^{\circ}\text{K}]$	$\lambda \cdot 10^5$								
	O ₂	CO	He	H ₂	CH ₄	NO	CO ₂	N ₂ O	Aer
100	2,16	2,09	17,51	16,25	2,54	—	—	—	2,20
150	3,29	3,15	22,73	23,54	3,86	3,21	—	—	3,32
200	4,37	4,17	27,56	30,64	5,22	4,24	2,27	2,33	4,36
250	5,38	5,11	32,00	37,09	6,64	5,23	3,08	3,19	5,27
273,1	5,84	5,52	33,90	39,65	7,34	5,67	3,48	3,62	5,66
293,1	6,22	5,88	35,48	41,64	7,96	6,06	3,85	4,01	—
298,1	6,31	5,96	35,86	42,10	8,12	6,15	3,95	4,11	—
300	6,35	6,00	36,00	42,27	8,19	6,19	3,98	4,15	6,10
310	6,55	6,18	36,74	43,19	8,52	6,38	4,17	4,35	6,26
320	6,75	6,35	37,46	44,11	8,86	6,57	4,37	4,56	6,42
330	6,95	6,53	38,15	45,02	9,22	6,76	4,57	4,77	6,58
350	7,38	6,88	39,44	46,85	9,98	7,13	4,99	5,21	6,90
380	8,03	7,43	41,17	49,60	11,22	7,69	5,63	5,86	7,39

Tabela 2.74. Căldurile specifice ale corpurilor solide și lichide

În tabelă sint date valorile aproximative ale căldurii specifice c pentru o serie de corpuri solide și lichide, medii pentru intervalele de temperaturi indicate în tabelă, precum și valorile căldurii specifice c pentru unele corpuri la temperaturi joase. Toate valorile lui c sint exprimate în cal/g·°C.

Tabela 2.74

	t [°C]	c		t [°C]	c
Acetonă	3—23	0,52	Constantan	0	098
Acid acetic	1—8	62	Crom	18—100	111
Acid azotic			Cuarț cristalin	0—100	19
3,4%	20	96	Cuarț topit	0—100	18
Acid azotic 12,3%	20	87	Cupru	18—100	093
Acid azotic			Cupru	—250	0035
58,3%	21—52	65	Fier	18—100	11
Acid clorhidric			Fier	—182,7	05
5,4%	20—50	95	Gheață	—20	48
Acid clorhidric			Gheață	—10	53
16,8%	18	55	Glicerină	15—50	58
Acid sulfuric			Granit	12—100	aprox. 0,19
5,2%	5—22	96	Iridiu	0—100	03
Acid sulfuric			Magneziu	17—100	25
50%	5—22	59	Mangan	20—100	12
Acid sulfuric			Marmură albă	0—100	21
85%	0	39	Molibden	20—100	065
Alamă	20—100	09	Nichel	15—100	11
Alcool amilic	17—96	64	Nitrobenzen	0—30	339
Alcool etilic	12—30	60	Oțel (1,25% C)	10—13	12
Alcool metilic	15—20	57	Paladiu	0—100	054
Aluminiu	16—100	21	Pentan	0	51
Aluminiu	—240	009	Petrol lampant	18—99	aprox. 0,50
Anilină	12—50	515	Platină	0—100	032
Argint	15—100	05	Plumb	18—100	031
Aur	0—100	03	Porțelan	15—950	26
Benzen	6—60	41	Potasiu	0—50	19
Bismut	17—100	031	Potasiu, clorur-		
Bismut	—186	020	ră	16—99	16
Brom	—13,1	088	Rodiu	10—97	058
Bronz	14—98	09	Rubidiu	20—35	079
Cadmiu	0—100	06	Siliciu	0—99	17
Carbon			Sodiu	0—20	29
— diamant	0—20	112	Sodiu, clorură	17—99	0,21
— diamant	—185	0025	Carbon sulfură	0—30	0,24
— grafit	20—85	174			
— cărbune					
amorf	26—76	0,168			

T a b e l a 2.74 (continuare)

	$t [^{\circ}\text{C}]$	c		$t [^{\circ}\text{C}]$	c
Soluții:			Stibină	17—100	0,050
KCl 25%	18	0,828	Sulf rombic	0—32	166
KCl 50%	18	904	Tantal	20	036
KCl 100%	18	948	Toluen	0	386
NaCl 25%	18	880	Wolfram	20—100	034
NaCl 50%	18	931	Xilol (meta)	30	38
NaCl 100%	18	962	Zinc	0	91
Staniu	18—100	0,058	Zinc	-201	057
Sticlă	10—50	16—20	Zinc	-233	0,027

T a b e l a 2.75. Căldura specifică a apei
și a mercurului

În tabelă sînt date: căldura specifică a apei $c_{\text{H}_2\text{O}}$ în intervalul de temperaturi de la 0 la 100°C și căldura specifică a mercurului c_{Hg} în intervalul de temperaturi de la 0 la 250°C . Toate valorile sînt exprimate în $\text{cal/g}\cdot^{\circ}\text{C}$. Căldura specifică a apei la 20°C a fost considerată $1,0000 \text{ cal/g}\cdot^{\circ}\text{C}$.

T a b e l a 2.75

$t [^{\circ}\text{C}]$	$c_{\text{H}_2\text{O}}$	$t [^{\circ}\text{C}]$	$c_{\text{H}_2\text{O}}$	$t [^{\circ}\text{C}]$	c_{Hg}
0	1,0094	50	0,9987	0	0,0334
5	0054	55	9992	20	332
10	0027	60	1,0000	40	331
15	0011	65	0008	60	330
20	1,0000	70	0016	80	329
25	0,9992	75	0024	100	328
30	9987	80	0033	140	326
35	9983	85	0043	160	325
40	9982	90	0053	200	324
45	9983	100	0074	260	323

unde Y înseamnă magnetizarea unui gram de corp, iar H este intensitatea cimpului exterior de magnetizare.

Sînt date separat valorile lui χ pentru elemente (tabela 2.78 a) și pentru unele combinații organice și anorganice (tabela 2.78 b). Corpurile solide sînt presupuse în stare izotropă. Temperaturile t sînt date în $^{\circ}\text{C}$.

T a b e l a 2.78 a

	$t[^{\circ}\text{C}]$	$\chi \cdot 10^6$		$t[^{\circ}\text{C}]$	$\chi \cdot 10^6$
Aluminii	18	+0,65	Magneziu lichid	700	+0,55
Argint	16	-0,20	Mangan	22	+9,9
Argon	18	-0,48	Mercur	18	-0,19
Aur	18	-0,15	Mercur solid	-80	-0,15
Aur	-256,6	-0,13	Molibden	18	+0,04
Azot	18	-0,34	Neon	18	-0,33
Bariu	20	+0,91	Oxigen	20	+106,2
Bismut	18	-1,38	Oxigen lichid	-195	+259,6
Bismut	260	-1,02	Oxigen solid	-240	+60
Cadmiu	18	-0,18	Paladiu	18	+5,4
Caleiu	20	+1,10	Paladiu	200	+4,6
Carbon			Paladiu	750	+2,6
diamant	18	-0,49	Paladiu	1230	+1,7
Carbon			Platină	18	1,10
diamant	400	-0,51	Platină	250	+0,66
Carbon			Platină	700	+0,45
diamant	1200	-0,56	Platină	1220	+0,30
Carbon grafit	20	-3,5	Plumb	16	-0,11
Carbon grafit	-170	-6,0	Plumb lichid	330	-0,08
Carbon grafit	600	-2,0	Potasiu	20	+0,52
Carbon grafit	1000	-1,3	Siliciu	20	-0,13
Clor lichid	-60	-0,57	Sodiu	18	+0,51
Crom	18	+3,6	Staniu cenușiu	18	-0,35
Crom	1100	+4,2	Staniu lichid	400	-0,036
Cupru	18	-0,085	Staniu	18	+0,025
Erbiu	18	+22	Stibiu	16	-0,87
Fosfor alb	20	-0,90	Stibiu lichid	800	-0,49
Helii	18	-0,47	Sulf lichid	113	-0,49
Hidrogen	18	-1,98	Sulf lichid	220	-0,49
Iridiu	25	+0,14	Sulf rombic	18	-0,49
Iridiu	200	+0,17	Tantal	18	+0,87
Iridiu	450	+0,20	Tantal	820	+0,77
Iridiu	850	+0,26	Wolfram	16	+0,28
Iridiu	1150	+0,31	Zinc	18	-0,157
Litiu	16	+0,50	Zinc lichid	450	-0,09
Magneziu	18	+0,55			

T a b e l a 2.78 b

	$t(^{\circ}\text{C})$	$\chi \cdot 10^6$		$t(^{\circ}\text{C})$	$\chi \cdot 10^6$
Acetonă	15	-0,58	Fier, sulfat	19	+74,2
Acid acetic	20	-0,53	Gadolinu, clorură	18	+91
Acid azotic	22	-0,467	Gadolinu, oxid	20	+130,1
Acid clorhidric	22	-0,66	Glicerină	20	-0,54
Acid sulfuric	22	-0,44	Magneziu, bromură	20	-0,57
Aer	20	+24,2	Magneziu, clorură	12	-0,58
Alcool butilic	—	-0,74	Mangan, clorură	24	107,0
Alcool etilic	19	0,174	Mangan, sulfat	24	88,5
Alcool metilic	-3	-0,65	Nichel, bromură	18	+19,0
Aluminu, sulfat	18	-0,48	Nichel, clorură	24	+44,7
Aluminu, clorură	19	-0,60	Nichel, protoxid	—	+48,3
Amoniac (gaz)	16	-1,1	Nichel, sulfat	15,9	+26,7
Apă	10	-0,72	Parafină	20	aprox.
Bariu, clorură	15	-0,41			-0,5
Bariu, sulfat	—	-0,306	Păcură	15—20	aprox.
Benzen	16,8	-0,71			-0,8
Beriliu, benzen	17	-0,60	Plumb, bromură	20	-0,28
Bismut, bromură	19	-0,33	Plumb, clorură	15	-0,32
Bismut, iodură	20	-0,49	Plumb, iodură	19	-0,33
Carbon, bioxid	18	-0,42	Potasiu, bromură	—	-0,377
Cloroform	15	-0,49	Potasiu, clorură	20	-0,52
Cobalt, clorură	25	+90,5	Potasiu, ferocianură	21	+7,08
Cobalt, iodură	18	+32,0	Potasiu, perman-ganat	21	0,175
Cobalt, sulfat	22	59,6	Sodiu, clorură	18	-0,50
Crom, clorură	19	+44,3	Sodiu, sulfat	16	-0,86
Crom, sulfat	21	+29,5	Staniu, biclorură	—	-0,34
Crom, trioxid	17	+0,51	Sticlă crom	—	-0,90
Cuarț	20	-0,49	Sticlă flint grea	—	-1,2
Ebonită	20	+0,6	Stibiu, tricolorură	15	-0,36
Eter etilic	20	-0,77	Stibiu, trioxid	14	-0,19
Etil, acetat	6	-0,607	Șelac	—	-0,30
Etilen	20	-1,6	Zinc, bromură	19	-0,40
Etilen, clorură	—	-0,602	Zinc, clorură	22	-0,47
Fier, bromat	18	+48	Zinc, sulfat	—	-0,48
Fier, clorat	20	+86,2			
Fier, clorură	17	+101,2			
Fier, oxid	20	189,1			

T a b e l a 2.79. Permeabilitatea magnetică a corpurilor feromagnetice

Permeabilitatea magnetică μ a corpurilor feromagnetice se definește prin relația

$$\mu = B/H, \quad (2.96)$$

unde B reprezintă inducția magnetică în corp, iar H intensitatea cimpului magnetic exterior. În tabelă sînt date valorile lui B și μ la variația lui H de la 1 la 6 000 Oe pentru: 1. fier electrolitic, nichel, cobalt și aliajul lui Geisler (75,5% Cu + 14,25% Mn + 10,15% Al).

T a b e l a 2.79

H	Fe		Ni		Co		Aliajul lui Geisler	
	B	μ	B	μ	B	μ	B	μ
1,0	5 800	5 800	650	650	—	—	—	—
1,5	7 500	5 000	1 350	900	—	—	—	—
2,5	9 200	3 680	2 800	1 120	210	84	120	48
5,0	11 000	2 200	4 330	865	570	114	400	80
10	12 300	1 230	4 940	494	1 700	170	720	72
20	13 450	673	5 400	270	3 400	170	1 070	54
50	14 850	297	5 850	117	5 960	119	1 540	31
100	16 000	160	6 200	62	7 840	78	1 970	20
150	16 860	112	6 400	43	9 000	60	2 250	15
300	18 400	61,3	6 700	22	—	—	2 800	9,3
500	19 200	38,4	6 910	14	—	—	3 120	6,2
1 000	20 000	20,0	7 370	7,4	—	—	3 670	3,7
2 000	21 060	10,5	8 400	4,2	—	—	4 710	2,4
3 000	22 100	7,4	9 380	3,1	—	—	5 750	1,9
4 000	23 130	5,8	1 040	2,6	—	—	6 780	1,7
5 000	24 120	4,8	—	—	—	—	7 790	1,6
6 000	25 130	4,2	—	—	—	—	8 790	1,5

T a b e l a 2. 80. Permeabilitatea relativă a fierului și oțelului în cîmpuri slabe

Valorile permeabilității magnetice μ sînt date la variația lui H între 0,01 și 0,2 Oe pentru: fier electrolitic, care nu a fost recopt, oțel de dinam nerecopt, recopt o dată și recopt de două ori.

T a b e l a 2.80

H	μ			
	fier nerecopt	Oțel		
		nerecopt	recopt o dată	recopt de două ori
0,01	300	413	522	351
0,03	420	437	586	433
0,05	560	463	650	540
0,10	975	532	786	872
0,15	1 500	590	912	1 390
0,20	2 100	638	1 040	3 030

T a b e l a 2.81. Magnetizarea la saturație
în funcție de temperatură

În tabelă este dată magnetizarea specifică I a corpurilor feromagnetice în stare de saturație la diferite temperaturi. Valorile I sînt date pentru: fier electrolitic; cobalt, nichel și magnetită Fe_3O_4 . Temperaturile sînt date în tabelă în $^{\circ}\text{C}$.

T a b e l a 2.81

Fe		Co		Ni		Fe_3O_4	
$t[^{\circ}\text{C}]$		$t[^{\circ}\text{C}]$	i	$t[^{\circ}\text{C}]$	I	$t[^{\circ}\text{C}]$	I
-188	221	-188	168	20	54,6	-253	99
- 78	219	17	166	79	52,6	- 79	97
16	216	205	161	128	50,4	17	93
105	213	324	157	173	47,7	116	88
181	210	362	156	216	44,3	216	81
265	206	437	153	257	39,3	316	72
337	201	470	151	278	37,0	409	61
426	192	510	149	316	29,6	497	46
499	184	614	143	334	24,4	540	33
526	179	641	141	341	21,4	557	26
562	173	693	137	347	18,8	568	18
603	162	748	132	353	15,6	573	13
630	155	803	125	358	12,0	578	0
656	144	844	120	362	9,4		
682	131	918	109	365	7,3		
700	120	971	99	369	5,6		
747	84	1 016	88	373	4,4		
751	75	1 068	72	376	3,6		
759	62	1 090	62	380	3,0		
761	59	1 133	32	388	2,2		
769	40	1 144	21	395	1,7		
772	24	1 149	18	406	1,7		

T a b e l a 2.82. Punctul de transformare magnetică
(punctul Curie)

În tabelă sînt date valorile aproximative ale temperaturii (punctului) de transformare magnetică pentru elementele feromagnetice principale: fier, cobalt și nichel, precum și pentru unele aliaje și combinații chimice ale acestora.

T a b e l a 2.82

	Punctul Curie $t(^{\circ}\text{C})$		Punctul Curie $t(^{\circ}\text{C})$
Fier silicios (4,3%Si)	690	Fier	770 ± 10
Cobalt Co	$1\,180 \pm 20$	Aliaje	
Nichel Ni	355 ± 5	70% Fe + 30% Ni	aprox. 70
Magnetită Fe_3O_4	572 ± 7	49% Fe + 49% Co	980
Carbură de fier		+2% V	
Fe C (cementit)	212	70% Ni + 30% Cu	10–100
Gadolinium	16	Aliajul lui Geisler	
Aliaje		61% Cu + 26% Mn +	
22% Fe + 78% Ni	550	+13% Al	330
50% Fe + 50% Ni	420		

T a b e l a 2.83. Componenta orizontală
a magnetismului terestru

Valorile componenteii orizontale H a magnetismului terestru sînt date în sistemul CGS μ_0 pentru latitudinile nordice în intervalul de la 45° la 55° .

T a b e l a 2.83

Latitudinea nordică (în grade)	Longitudinea estică după meridianul Greenwich (în grade)										
	2	4	6	8	10	12	14	16	18	20	22
45	0,215	0,216	0,217	0,218	0,219	0,220	0,221	0,222	0,223	0,225	0,226
46	0,210	0,211	0,212	0,212	0,213	0,214	0,215	0,216	0,217	0,219	0,221
47	0,205	0,206	0,206	0,207	0,209	0,209	0,210	0,211	0,213	0,214	0,216
48	0,201	0,202	0,202	0,203	0,204	0,205	0,206	0,207	0,209	0,210	0,211
49	0,197	0,198	0,198	0,199	0,200	0,201	0,202	0,203	0,204	0,205	0,207
50	0,192	0,193	0,193	0,194	0,195	0,196	0,197	0,198	0,199	0,201	0,203
51	0,187	0,188	0,188	0,189	0,190	0,191	0,192	0,193	0,194	0,195	0,197
52	0,183	0,184	0,184	0,185	0,186	0,187	0,188	0,189	0,190	0,191	0,192
53	0,180	0,181	0,181	0,182	0,183	0,183	0,184	0,185	0,186	0,186	0,187
54	0,176	0,177	0,177	0,178	0,178	0,179	0,180	0,182	0,183	0,183	0,183
55	0,172	0,173	0,173	0,174	0,175	0,175	0,176	0,176	0,177	0,178	0,179

T a b e l a 2.84. Constanta dielectrică
(permitivitatea relativă) a corpurilor solide, lichide și gazoase

În tabelă sînt date valorile constantei dielectrice (permeabilității dielectrice) ϵ a unor corpuri solide, lichide și gazoase pentru cîmpuri electrice constante sau pentru frecvențe joase, cînd lungimea de undă poate fi considerată practic infinit de mare. Corpurile gazoase se

**Tabela 2.85 a și b. Tensiunile electromotoare
ale elementelor galvanice**

Etalonul tensiunii electromotoare se consideră în prezent tensiunea electromotoare a unui element galvanic de cadmiu (element Weston), care se formează după schema: catod-cadmiu metalic Cd (sub forma unui amalgam de 12% mercur); electrolit — soluție apoasă saturată de sulfat de cadmiu CdSO_4 ; anod—mercur metalic Hg; depolarizator Hg_2SO_4 .

Tensiunea electromotoare a unui element normal de cadmiu, care la 20 °C se ia egală cu 1,01830 V, are un coeficient de temperatură mic, dar totuși apreciabil. Dependența tensiunii electromotoare a elementului de cadmiu de temperatură este dată în tabela 2.85 a.

Tabela 2.85 a

$t[^\circ\text{C}]$	T.e.m.[V]	$t[^\circ\text{C}]$	T/e.m.[V]	$t[^\circ\text{C}]$	T.e.m.[V]
0	1,01911	15	1,01850	30	1,01789
5	1,01891	20	1,01830	35	1,01769
10	1,01871	25	1,01810	40	1,01748

Ca surse locale de curent se folosesc acumulatorii și unele elemente galvanice. Se cunosc în prezent trei tipuri de acumulatori.

1. Acumulatorii cu plumb: catodul — plumb, electrolitul — soluția apoasă de acid sulfuric H_2SO_4 (densitatea 1,2—1,3 g/cm³), anodul-peroxid de plumb Pb_2O_5 ; tensiunea electromotoare: maximă la încărcare pînă la 2,6 V, în stare de lucru 2,5 pînă la 2,0 V; nu trebuie admisă scăderea tensiunii electromotoare sub 1,8 V.

2. Acumulatorii cu fier-nichel: catodul-fier; electrolitul soluție de 20% KOH; anodul — Ni_2O_3 ; tensiunea electromotoare: la încărcare pînă la 1,8 V, la funcționarea acumulatorului scade treptat; descărcarea pînă la 1,1—1,0 V (și mai jos) este suportată de acumulator fără deteriorări.

3. Acumulatorii cu cadmiu-nichel: catodul — cadmiu în amestec cu fierul; electrolitul — soluție de 20% KOH; anodul — $\text{Ni}(\text{OH})_3$; tensiunea electromotoare este aceeași ca la acumulatorul fier-nichel.

Unele elemente galvanice folosite în prezent sînt date în tabela 2.85 b, separat elementele cu un electrolit și separat elementele cu doi electroliti. În tabelă sînt date: schemele elementelor (catod-anod-electrolit), valorile aproximative ale tensiunii electromotoare (în V) la 18°C; este menționat de asemenea numele savantului care a propus elementul respectiv. Dacă în element se folosește depolarizator, atunci acesta este menționat; sînt introduse prescurtările: dp — depolarizator; v.p. — vas poros.

T a b e l a 2.85 b

	Catod	Anod	Electrolit	E(V)
Elemente cu un singur electrolit				
Volta	Zn	Cu	Soluție H_2SO_4	~1,0
Grenet ¹⁾	Zn	C	H_2SO_4 dp $K_2Cr_2O_7$	~2,0
Delarive	Zn	Pt	H_2SO_4 v.p., dp PbO_3	~2,4
Clerck ²⁾	Zn	Hg	saturată $ZnSO_4$, dp. Hg_2SO_4	1,433
Leclanché ³⁾	Zn	C	NH_4Cl , dp. MnO_2	~1,5
Elemente cu doi electroliti				
Botton	Zn	C	Soluție $ZnCl_2$, v.p., soluție HCl	~3,0
Bunsen	Zn	C	H_2SO_4 , v.p., HNO_3	~1,9
d'Arsonval	Zn	C	$ZnSO_4$, v.p., soluție $CuSO_4$	~2,7
Danielle	Zn	Cu	$ZnSO_4$, v.p., soluție $CuSO_4$	1,09
Poggendorf	Zn	C	H_2SO_4 , v.p., soluție $K_2Cr_2O_7$	~2,0
Fleming ⁴⁾	Zn	C	$ZnSO_4$, v.p., soluție $CuSO_4$	1,07

Note la tabela 2.85 b. ¹⁾ Zincul în elementul Grenet se amalgamează de obicei; se recurge deseori la această operație și la alte elemente. ²⁾ Elementul Clerck a fost folosit timp îndelungat ca element normal, însă mai tirziu s-a dat prioritate elementului cu cadmiu, Weston, care are un coeficient de temperatură al tensiunii electromotoare mult mai mic. ³⁾ Așa-numitele elemente uscate, care se folosesc pe scară foarte largă, sînt în majoritate elemente Leclanché, în care spațiul dintre electrozi se umple cu o masă neutră poroasă (rumeguș de lemn, ipsos, nisip), înmuiată în electrolit Leclanché adică într-o soluție de țipirig. ⁴⁾ Elementul Fleming, care diferă de elementul Danielle numai prin densitatea foarte constantă a ambilor electroliti, a fost un timp considerat element normal, datorită tensiunii electromotoare foarte constante.

T a b e l e l e 2.86 a, b, c și d. Tensiuni termoelectromotoare

În tabela 2.86 a sînt date valorile tensiunii termoelectromotoare E ale unei serii de metale în raport cu platina, pentru diferența de temperaturi de $100^\circ C$. Se presupune că o sudură a termocuplului (platină-metal) se află la $0^\circ C$, iar cealaltă ramură la $100^\circ C$. Semnul pozitiv înseamnă că prin sudura care se află la $0^\circ C$ curentul trece de la metal la platină. Metalele sînt ordonate după valorile descrescătoare ale tensiunii termoelectromotoare; aceste valori sînt exprimate în milivolți. Deosebirile posibile la datele pentru unele metale se explică prin variația probelor cercetate.

În tabela 2.86 b sînt date valorile tensiunii electromotoare a termocuplului normal Le Chatelier și ale termocuplului Rh — PtRh. Valorile mai exacte ale tensiunii electromotoare a termocuplului

normal Le Chatelier Pt-Pt 10% Rh în intervalul de temperaturi 0—1700 °C sînt date în tabela 2.86 c.

În tabela 2.86 d sînt date valorile tensiunii electromotoare ale unor termocupluri de lucru.

T a b e l a 2.86 a

Metalul termocu- plului platină- metal	$E[\text{mV}]$	Metalul termocu- plului platină- metal	$E[\text{mV}]$	Metalul termocu- plului platină- metal	$E[\text{mV}]$
Bismut \perp pe axă	-5,2	Cărbune el.	+0,30	Argint	+0,79
Bismut \parallel cu axa	-7,7	Tantal	+0,34	Cupru	+0,77
Copel ¹⁾	-4,0	Tantal	+0,51	Cupru	+0,75
Constantan	-3,43	Aluminiiu	+0,40	Iridiu	+0,68
Constantan	-3,47	Aluminiiu	+0,41	Iridiu	+0,65
Cobalt	-1,69	Staniu	+0,44	Aur	+0,78
Nichel	-1,50	Staniu	+0,42	Aur	+0,80
Nichel	-1,52	Magneziu	+0,40	Potasiu	+0,86
Potasiu	-0,94	Magneziu	+0,43	Potasiu	+0,95
Potasiu	-0,83	Plumb	+0,44	Wolfram	+0,90
Paladiu	-0,28	Plumb	+0,46	Wolfram	+0,79
Paladiu	-0,30	Cesiu	+0,50	Molibden	+1,31
Paladiu	-0,32	Iridiu	+0,65	Molibden	+1,22
Sodiu	-0,21	Iridiu	+0,68	Litiu	+1,39
Sodiu	-0,25	Rodiu	+0,65	Fier moale	+1,89
Rubidiu	-0,19	Taliu	+0,59	Fier dur	+1,87
Mercur	-0,07	Manganin	+0,57	Nicrom	+2,20
Platină	0	Manganin	+0,82	Stibiu	+4,86
Grafit	+0,22	Zinc	+0,60	Siliciu	+44,8
Cărbune el.	+0,25	Zinc	+0,79	Sulfură de telur	+50
		Argint	+0,74		

T a b e l a 2.86 b

$t[^\circ\text{C}]$	Termocuplul Le Chatelier Pt-PtRh		Termocuplul Rh-PtRh		$t[^\circ\text{C}]$	Termocuplul Le Chatelier Pt-PtRh		Termocuplul Rh-PtRh	
	$E[\text{mV}]$	$\frac{dE}{dt} \left[\frac{\mu\text{V}}{^\circ\text{C}} \right]$	$E[\text{mV}]$	$\frac{dE}{dt} \left[\frac{\mu\text{V}}{^\circ\text{C}} \right]$		$E[\text{mV}]$	$\frac{dE}{dt} \left[\frac{\mu\text{V}}{^\circ\text{C}} \right]$	$E[\text{mV}]$	$\frac{dE}{dt} \left[\frac{\mu\text{V}}{^\circ\text{C}} \right]$
0	0,00	6,5	0,00	0,1	400	2,26	9,3	0,57	2,8
20	0,11		—		500	4,23	9,7	0,95	3,8
100	0,65		0,001		600	5,24	10,1	1,40	4,5
200	1,44	7,9	0,12	1,2	700	6,27	10,3	1,96	5,6
300	2,33	8,9	0,29	1,7	800	7,34	10,7	2,62	6,6

T a b e l a 2.86 b (continuare)

t °C	Termocuplul Le Chatelier Pt-PtRh		Termocuplul Rh-PtRh		t [°C]	Termocuplul Le Chatelier Pt-PtRh		Termocuplul Rh-PtRh	
	E [mV]	$\frac{dE}{dt} \left[\frac{\mu V}{^{\circ}C} \right]$	E [mV]	$\frac{dE}{dt} \left[\frac{\mu V}{^{\circ}C} \right]$		E [mV]	$\frac{dE}{dt} \left[\frac{\mu V}{^{\circ}C} \right]$	E [mV]	$\frac{dE}{dt} \left[\frac{\mu V}{^{\circ}C} \right]$
900	8,47	11,3	3,37	7,5	1 350	—	12,1	—	11,2
1 000	9,61	11,4	4,21	8,4	1 400	14 36	—	8,39	—
1 100	10,77	11,6	5,16	9,5	1 500	15,56	12,0	9,55	11,4
1 200	11,96	11,9	6,22	10,6	1 600	16,73	11,7	—	—
1 300	13,15	11,9	7,27	10,5					

Termocuplul normal Le Chatelier (Pt-Pt 10% Rh) a fost recomandat de Comitetul electrotehnic internațional ca aparat de bază pentru măsurarea exactă a temperaturilor înalte (pînă la 1 500 °C). Totuși, fiind un aparat foarte scump, termocuplul normal nu se folosește de obicei la măsurări, ci este utilizat în special pentru verificarea indicațiilor termocuplurilor de lucru, care se folosesc pentru măsurări directe.

În tabelă, temperaturile sînt date în grade Celsius, tensiunile electromotoare în microvolți. Sudura rece se presupune la 0 °C.

T a b e l a 2.86 c

t [°C]	0	20	40	60	80	100
0	0	112	233	363	499	642
100	642	791	945	1 104	1 268	1 435
200	1 435	1 605	1 778	1 954	2 133	2 314
300	2 314	2 498	2 683	2 871	3 059	3 249
400	3 249	3 440	3 633	3 827	4 023	4 220
500	4 220	4 419	4 619	4 820	5 022	5 226
600	5 226	5 432	5 638	5 846	6 055	6 265
700	6 265	6 477	6 691	6 906	7 122	7 339
800	7 339	7 558	7 778	7 999	8 222	8 446
900	8 446	8 672	8 900	9 129	9 359	9 591
1 000	9 591	9 823	10 055	10 289	10 523	10 757
1 100	10 757	10 993	11 229	11 467	11 706	11 946
1 200	11 946	12 187	12 428	12 670	12 912	13 155
1 300	13 155	13 399	13 642	13 886	14 128	14 371
1 400	14 371	14 613	14 885	15 097	15 339	15 580
1 500	15 580	15 820	16 060	16 298	16 534	16 770
1 600	16 770	17 004	17 236	17 466	17 695	17 922

T a b e l a 2.86 d. Unele termocupluri de lucru
(În sudura principală curentul trece de la conductorul 1 la conductorul 2).

$t(^{\circ}\text{C})$	Constantan-Cu		Constantan-Ag		Constantan-Fe		Nichel-cărbune		Nichel-aliaj Cr-Ni		Constantan-aliaj Cr-Ni	
	E (mV)	$\left[\frac{Q_0}{\Delta T}\right] \frac{m}{\Delta p}$	E (mV)	$\left[\frac{Q_0}{\Delta T}\right] \frac{m}{\Delta p}$	E (mV)	$\left[\frac{Q_0}{\Delta T}\right] \frac{m}{\Delta p}$	E (mV)	$\left[\frac{Q_0}{\Delta T}\right] \frac{m}{\Delta p}$	E (mV)	$\left[\frac{Q_0}{\Delta T}\right] \frac{m}{\Delta p}$	E (mV)	$\left[\frac{Q_0}{\Delta T}\right] \frac{m}{\Delta p}$
— 200	5,46	21,4	—	—	7,50	31,0	—	—	—	—	—	—
— 100	— 3,32	33,2	—	—	— 4,40	44,0	—	—	—	—	—	—
0	0,0	—	0,0	—	0,0	—	—	—	—	—	0,0	56,2
20	0,76	41	0,78	44,2	5,15	51,5	0,82	22,0	0,82	40,6	1,25	64,2
100	4,1	47	4,12	42,2	10,48	53,5	1,76	24,1	4,07	40,5	5,62	70,1
200	8,8	53	8,84	52,6	15,77	52,9	4,17	23,7	8,12	41,0	11,08	73,9
300	14,1	58	14,10	56,7	20,96	51,9	6,54	18,4	12,22	41,0	19,09	77,0
400	19,9	64	19,77	60,2	26,12	51,6	8,38	19,0	16,32	43,0	26,48	80,7
500	26,3	—	25,79	63,6	31,47	53,5	10,28	22,2	20,62	42,5	34,18	87,7
600	—	—	32,15	—	37,15	56,8	12,50	27,9	24,87	42,5	41,95	87,7
700	—	—	—	—	43,25	61,0	15,29	30,1	29,12	40,0	50,02	87,7
800	—	—	—	—	49,26	61,1	18,30	35,0	33,12	41,5	57,94	78,2
900	—	—	—	—	—	—	21,80	38,3	37,27	41,8	65,76	—
1 000	—	—	—	—	—	—	25,63	41,6	41,45	41,7	—	—
1 100	—	—	—	—	—	—	29,79	45,6	45,62	—	—	—
1 200	—	—	—	—	—	—	34,35	49,77	49,77	41,5	—	—

Notă la tabela 2.86. ¹⁾ Aliajul de cupru și nichel are compoziția 56,5% Cu + 43,5% Ni.

Tabelele 2.87 a și b. Rezistența specifică (rezistivitatea) a corpurilor solide

În tabele sînt date valorile rezistenței specifice ρ a unor metale (tabela 2.87 a) și a unor izolatori (tabela 2.87 b) la temperatura de $18-20^\circ\text{C}$, exprimate în ohmi $\cdot\text{cm}$. Mărima ρ pentru metale depinde foarte mult de impurități. În tabelă sînt date valorile lui ρ pentru metale chimic pure. Valorile lui ρ pentru izolatori sînt date aproximativ. Metalele și izolatorii sînt aranjate în tabelă în ordinea valorilor crescătoare ale lui ρ .

Tabela 2.87 a

	$10^4 \rho$ [$\Omega \cdot \text{cm}$]		$10^4 \rho$ [$\Omega \cdot \text{cm}$]		$10^4 \rho$ [$\Omega \cdot \text{cm}$]
Argent	0,016	Nichel	0,070	Argentan	0,42
Cupru	0,017	Cadmiu	0,076	Nichelină	0,33
Aur	0,023	Alamă	0,08	Manganin	0,43
Aluminiu	0,029	Cobalt	0,097	Constantan	0,49
Duraluminu	0,0335	Fier	0,10	Aliajul lui Wood ²⁾	0,52(0°)
Magneziu	0,044	Paladiu	0,107	Osmiu	0,602
Calciu	0,046	Platină	0,110	Aliajul lui Rose ⁴⁾	0,64(0°)
Sodiu	0,047	Staniu	0,113	Cromel	0,70 —
Mangan	0,05	Crom	0,131		— 1,10
Iridiu	0,063	Tantal	0,146	Invar	0,81
Wolfram	0,053	Bronz ¹⁾	0,18	Mercur	0,958
Molibden	0,054	Toriu	0,18	Nicrom ⁵⁾	1,10
Rodiu	0,047	Plumb	0,208	Bismut	1,19
Zinc	0,061	Platină ²⁾	0,45	Fecral ⁶⁾	1,20
Potasiu	0,066	Stibiu	0,405	Grafit	8,0

Tabele 2.87 b

	ρ [$\Omega \cdot \text{cm}$]		ρ [$\Omega \cdot \text{cm}$]		[$\Omega \cdot \text{cm}$]
Azbest	10^8	Sticlă cu sodiu	10^{12}	Șelac	10^{16}
Ardezie	10^8	Sticlă pirex	10^{14}	Colofoniu	10^{16}
Lemn uscat	10^{10}	Cuarț cu axa	10^{14}	Cuarț cu axa \perp	$3 \cdot 10^{16}$
Marmură	10^{10}	Cuarț topit	$2 \cdot 10^{14}$	Sulf	10^{17}
Celuloid	$2 \cdot 10^{10}$	Mică	10^{15}	Polistiren	10^{17}
Bachelită	10^{11}	Micanit	10^{15}	Ebonită	10^{18}
Getinax	$5 \cdot 10^{11}$	Porțelan	$2 \cdot 10^{15}$	Parafină	$3 \cdot 10^{18}$
Diamant	10^{12}	Ceară roșie	$5 \cdot 10^{15}$	Chihlimbar	10^{19}

Note la tabelele 2.87. ¹⁾ Aliaj cu 88 % Cu + 12 % Sn. ²⁾ Aliaj cu compoziția: 62 % Cu + 15 % Ni + 22 % Zn. ³⁾ Aliaj cu compoziția: 50 % Bi + 25 % Pb + 12,5 % Sn + 12,5 % Cd. ⁴⁾ Aliaj cu compoziția: 50 % Bi + 27,1 % Pb + 22,9 % Sn. ⁵⁾ Aliaj Ni și Cr în compoziția: 80 % Ni + 20 % Cr; idem aliaj cu compoziția: 67,5 % Ni + 15 % Cr + 16 % Fe + 1,5 % Mn. ⁶⁾ Aliaj cu compoziția: 78 % Fe + 17 % Cr + 5 % Al.

**Tabela 2.88. Coeficientul termic de rezistență
al metalelor pure și aliajelor**

Dependența rezistenței R a metalelor de temperatură se determină pe baza formulei

$$R_t = R_0 (1 + \alpha t) \quad (2.97)$$

Tabela 2.88

	$t[^\circ\text{C}]$	α [$^\circ\text{C}^{-1}$]		$t[^\circ\text{C}]$	α [$^\circ\text{C}^{-1}$]
<i>Metale pure:</i>			Sodiu	18	44
Aluminiiu	18—100	0,0038	Staniu	20	42
Argint	0—100	36	Stibiu	18	36
Aur	0—100	34—25	Stronțiu	18	38
Bismut	18	40	Tantal	0—100	35
Cadmiu	18—100	42	Wolfram	0—170	51
Calciu	18	33	Zinc	20	37
Cobalt	0—160	66	<i>Aliaje</i>		
Cupru	18	43	Alamă ⁵⁾	15	0,0010
Fier	45	62	Idem ⁶⁾	15	0,0020
Indiu	18	47	Aliajul lui Rose	0	0,0020
Iridiu	18	39	Aliajul lui Wood	20	0,0037
Litiu	18	47	Aliajul CuMn ⁷⁾	—	0,00022
Litiu	230	52	Aliajul PtIr ⁸⁾	0	0,0008
Magneziu	18	39	Aliajul PtRh ⁹⁾	0	0,00013
Mercur	0—25	09	Alpaca	18	0,0003
Molibden	0—110	43	Bronz ²⁾	20	0,0005
Nichel	0—100	62	Bronz pe bază de aluminiiu ³⁾	—	0,00102
Osmiu	18	42	Idem ⁴⁾	—	0,00320
Paladiu	18—100	37	Constantan	25	0,00002
Platină	0—100	38	Manganin ¹⁾	18	0,00001
Plumb	18	0,0042	Nicrom	20	0,0004
Potasiu	18	51	Platinii	0	0,003
Rodiu	18	44			

Note la tabela 2.88. 1) Majoritatea probelor de constantan și manganin în domeniul temperaturilor camerei, au practic un coeficient termic de rezistență nul. Pentru unele probe ale acestor aliaje coeficientul de temperatură avea o valoare, care se află dincolo de limitele preciziei măsurărilor (a șasea zecimală). Totuși, această valoare infimă a lui α pentru constantan și manganin se observă numai în domeniul temperaturilor medii; la trecerea la temperaturi mai ridicate valoarea sa crește sensibil. Astfel, la 500°C , valoarea lui α pentru constantan devine 0,000027, iar pentru manganin 0,00011. 2) Aliaj cu compoziția: 88% Cu + 12% Sn. 3) Aliaj cu compoziția: 97 % Cu + + 3 % Al. 4) Aliaj cu compoziția: 90 % Cu + 10 % Al. 5) Aliaj cu compoziția: 60 % Cu + 40 % Zn. 6) Aliaj cu compoziția: 66 % Cu + + 34 % Al. 7) Aliaj cu compoziția: 96,5 % Cu + 3,5 % Mn. 8) Aliaj cu compoziția: 80% Pt + 20% Ir. 9) Aliaj cu compoziția: 90% Pt + + 10 % Rh.

unde R_t și R_0 sînt rezistența metalului la temperaturile t respectiv 0°C și α este coeficientul termic al rezistenței, care pentru metale pure are valori apropiate de $0,00367^\circ\text{C}^{-1}$, iar pentru aliaje are o valoare cu totul diferită.

În tabelă sînt date valorile lui α pentru unele metale și aliaje și sînt indicate temperaturile $t(^\circ\text{C})$, cărora le corespund aceste valori.

Tabelele 2.89 a și b. Rezistența metalelor pure la temperaturi joase

În tabela 2.89 a sînt date valorile rezistenței specifice (în $\Omega \cdot \text{cm}$) a unor metale pure la temperaturi joase (0°C). În tabela 2.89 b este dat raportul R_T/R_0 al rezistențelor metalelor pure la temperaturile T și 273°K .

Tabela 2.89 a

	$t[^\circ\text{C}]$	$10^4 \rho$ [$\Omega \cdot \text{cm}$]		$t[^\circ\text{C}]$	$10^4 \rho$ [$\Omega \cdot \text{cm}$]
Argint	-258,6	0,00009	Fier	-252,7	0,00011
Aur	-252,8	0,00018	Mercur	-183,5	0,0697
Bismut	-200	0,348	Platină	-265	0,0010
Cupru	-258,6	0,00014	Plumb	-252,9	0,00009

Tabela 2.89 b

	$T[^\circ\text{K}]$	R_T/R_0		$T[^\circ\text{K}]$	R_T/R_0
Aluminiu	77,7	1,008	Molibden	77,8	0,1370
	20,4	0,0075		20,4	0,0448
Argint	78,8	0,1974	Nichel	78,8	0,0919
	20,4	0,0100		20,4	0,0066
Aur	78,8	0,2189	Platină	91,4	0,2500
	20,4	0,0060		20,4	0,0061
Bismut	77,8	0,3255	Plumb	73,1	0,2321
	20,4	0,0810		20,5	0,0301
Crom	80,0	0,1340	Staniu	79,0	0,2098
	20,6	0,0533		20,4	0,0116
Cupru	81,6	0,1440	Stibiu	77,7	0,2041
	20,4	0,0008		20,4	0,0319
Fier	78,2	0,0741	Zinc	83,7	0,2351
	20,4	0,0076		20,4	0,0087
Mercur	90,1	0,2851	Wolfram	78,2	0,1478
	20,4	0,4900		20,4	0,0317

T a b e l a 2.90. Dependența rezistenței metalelor de presiune

Variația ΔR a rezistenței metalelor din cauza presiunii poate fi reprezentată prin formula

$$\Delta R = R (Ap + Bp^2), \quad (2.98)$$

unde R este rezistența metalului la presiune normală, p — presiunea, iar A și B coeficienți constanți, diferiți pentru diferite metale. De exemplu, pentru mangan și crom s-a găsit:

T a b e l a 2.90

Metalul	Formula
Mangan Crom	$7,012 \cdot 10^{-6} p + 5,63 \cdot 10^{-11} p^2$ $5,8 \cdot 10^{-7} p$ (pentru crom $B = 0$)

T a b e l a 2.91. Raportul dintre conductivitatea termică și conductivitatea electrică a metalelor

În tabelă sînt date valorile mărimii $\lambda/\sigma T = \text{const.}$ (tabela 2.71) unde λ este conductibilitatea termică, exprimată în $\text{W/cm} \cdot ^\circ\text{K}^{-1}$, σ este conductibilitatea electrică, exprimată în $\Omega^{-1} \cdot \text{cm}^{-1}$, iar T este temperatura absolută, ale cărei valori sînt date în tabelă separat.

T a b e l a 2.91

	$T [^\circ\text{K}]$	$(\lambda/\sigma T) 10^8$		$T [^\circ\text{K}]$	$(\lambda/\sigma T) 10^8$
Aluminiu	291,2	2,18	Mercur	196,2	2,55
	373,2	2,27		86,2	2,65
Argint	273,2	2,31	Nichel	373,2	2,28
	373,2	2,37	Platină	273,2	2,51
Aur	273,2	2,35		373,9	2,60
	373,8	2,40	Plumb	273,2	2,47
Bismut	291,2	3,31		373,2	2,56
	373,2	2,89	Staniu	291,2	2,52
Cupru	273,2	2,23		373,2	2,49
	374,8	2,23	Stibiu	273,2	2,83
Fier	273,2	2,47		90,0	3,03
Magneziu	273,2	2,47	Zinc	293,2	2,56
				83,2	2,04

T a b e l a 2.92. Rezistența specifică a electroliților

În tabela 2.92 a sînt date valorile rezistenței specifice a electroliților în $\Omega \cdot \text{cm}$ la temperatura de 18°C . Concentrația c a soluțiilor este dată în %, care determină numărul de grame de sare deshidratată sau de acid în 100 g soluție.

T a b e l a 2.92 a

c [%]	NH_4Cl	NaCl	ZnSO_4	CuSO_4	KOH	NaOH	H_2SO_4
5	10,9	14,9	52,4	52,9	5,8	5,1	4,8
10	5,6	8,3	31,2	31,3	3,2	3,2	2,6
15	3,9	6,1	24,1	23,8	2,4	2,9	1,8
20	3,0	5,1	21,3	—	2,0	3,0	1,5
25	2,5	4,7	20,8	—	1,9	3,7	1,4

În tabela 2.92 b sînt date valorile conductibilității electrice specifice a soluțiilor apoase de KCl și NaCl la diferite temperaturi (în limitele $10-30^\circ \text{C}$), exprimate în $\Omega^{-1} \text{cm}^{-1}$. Soluțiile KCl sînt luate: normală, 1/10 normală și 1/100 normală; soluțiile de clorură de sodiu se presupun saturate la toate temperaturile indicate în tabelă.

T a b e l a 2.92 b

Soluția	10°C	15°C	20°C	25°C	30°C
KCl norm.	0,08319	0,09252	0,10207	0,11180	—
KCl 1/10 n	0,00933	0,01048	0,01167	0,01288	0,1412
KCl 1/100 n	0,001020	0,001147	0,001278	0,001413	0,003036
NaCl	0,1779	0,2014	0,2259	0,2513	0,2774

T a b e l a 2. 93. Echivalenți electrochimici

În tabelă sint date: cantitatea de metal în miligrame și volumul de gaz detonant în cm^3 , care se degajă la un curent de 1 amper în timp de o secundă, 1 minut și o oră.

T a b e l a 2.93

	Ag [mg]	Cu [mg]	H ₂ [mg]	Gaz detonant [cm ³]
În timp de 1 secundă	1,118 ¹⁾	0,3294	0,01036	0,1740
În timp de 1 minut	67,08	19,76	0,6215	10,44
În timp de 1 oră	4 025	1 186	37,29	626

Nota la tabela 2.93. 1) Conferința internațională din anul 1908 de la Londra a pus echivalentul electrochimic al argintului la baza definiției adoptate atunci pentru amperul internațional, și anume, determinându-l drept curent de mărime constantă, care separă în voltmetru dintr-o soluție apoasă de azotat de argint, într-o secundă, 1,11800 miligrame argint (amper internațional). În prezent s-a confirmat o altă definiție a amperului (§ 2.4).

T a b e l a 2. 94. Mobilitatea ionilor în apă

În electrochimie, mobilitatea u a ionilor se numește produsul dintre numărul lui Faraday și așa-numita viteză absolută v a ionilor în soluții, care se exprimă în $\text{cm}^2/\text{V}\cdot\text{s}$ și corespunde mobilităților ionilor în gaze (v. tabela 2.95). Așadar, putem scrie

$$u_a = v_a F \text{ și } u_c = v_c F, \quad (2.99)$$

unde u_a și u_c sînt mobilitățile anionilor și cationilor; v_a și v_c sînt vitezele lor absolute; F — numărul lui Faraday.

Din aceste formule găsim că mobilitatea ionilor în soluție se exprimă în $\text{cm}^2/\Omega\cdot\text{echivalent}\cdot\text{gram}$. În tabelă sint date valorile mobilității unor ioni în soluții apoase la 18°C pentru concentrații c foarte slabe, ale căror valori în echivalenți-gram la 1 litru este menționată.

T a b e l a 2.94

c	Mobilitatea [$\text{cm}^2/\text{echivalent}\cdot\text{gram}\cdot\Omega$]							
	K	Na	Li	Cs	Ag	Cl	J	Br
0,0001	64,1	43,2	33,2	67,4	53,7	64,9	65,6	67,0
0,0002	64,0	43,0	33,0	67,2	53,4	64,8	65,5	66,8
0,0005	63,7	42,8	32,8	66,9	53,1	64,4	65,3	66,5
0,001	63,3	42,4	32,5	66,6	52,8	64,0	64,9	66,1
0,002	62,8	42,0	32,1	66,0	52,2	63,5	64,4	65,5
0,005	61,8	41,3	31,5	64,9	51,3	62,5	63,5	64,4
0,01	60,7	40,5	30,8	63,7	50,2	61,5	62,7	63,7
0,02	59,5	39,5	30,0	62,0	49,0	60,2	61,6	62,4
0,05	57,2	37,9	28,8	60,0	46,0	57,9	60,1	60,6
0,1	55,1	36,4	27,5	58,0	44,0	55,8	58,8	59,1

T a b e l a 2. 95. Mobilitatea ionilor în gaze

La mișcarea ionilor în gaze sub acțiunea unui câmp electric constant valoarea medie \bar{u} a vitezei lor în direcția liniilor de forță ale câmpului este proporțională cu intensitatea sa E , adică se poate scrie

$$\bar{u} = KE. \quad (2.100)$$

Coefficientul de proporționalitate $K = \bar{u}/E$ se numește mobilitatea ionilor în gaze; se obișnuiește ca u să se exprime în cm/s, iar E în v/cm. Așadar, K se exprimă în cm²/V·s, adică corespunde mărimii, care în electrochimie se numește viteza absolută de mișcare a ionilor în electroliți (tabela 2.94).

În tabelă sînt date vitezele de mișcare \bar{u} ale ionilor de gaz, pozitivi și negativi pentru unele gaze, măsurate în cm/s. Intensitatea câmpului se presupune egală cu 1 V/cm, presiunea gazului corespunde celei normale, temperatura este de 18 pînă la 20 °C. Este dată și valoarea aproximativă a masei moleculare M a gazelor.

T a b e l a 2.95

	M	K^+	K^-		M	K^+	K^-
Aer	29	1,38	1,87	Hidrogen	2	6,70	7,95
Amoniac	17	0,74	0,80	Oxid de carbon	28	1,1	1,4
Azot	28	1,27	1,84	Oxigen	32	1,32	1,83
Benzen	78	0,18	0,21	Protoxid de azot	44	0,82	0,90
Bioxid de carbon	44	0,84	1,05				
Helium	4	5,09	6,31				

§ 2.20. Optica

T a b e l a 2.96 Strălucirea unor surse de lumină

În tabelă sînt date valorile aproximative ale strălucirii unor surse de lumină, exprimate în stilbi (sb).

T a b e l a 2.96

Sursa de lumină	Strălucirea [sb]	Sursa de lumină	Strălucirea [sb]
Luminare de parafină	0,5	Lămpi de luminescență	0,53—0,66
Luminare Gefner	0,7	Arc electric	8 000—18 000
Luminare din spermanțet	1,0	Idem, de putere mare	pînă la 100 000
Flacăra de acetilenă	10,8	Surse naturale de lumină	
Lampă cu incandescență:		Soare cu cer senin:	
cu filament de cărbune	50—55	la zenit	165 000
cu filament de wolfram	1 200	la orizont	350
Idem, de proiecție	2 500	Cer fără nori	0,8
Știft Nernst (2,3 W/sb)	260	Cer înnoțat	0,1
		Luna	0,25

Tabelele 2.97 a și b. Linii intense de emisie

În tabelele sunt date pentru partea vizibilă a spectrului:
 1) lungimile de undă λ ale liniilor spectrale intense, ale unor elemente în angströmi ($1 \text{ \AA} = 10^{-8} \text{ cm}$) (tabela 2.97 a); 2) liniile din spectrul neonului, exprimate în metri (tabela 2.97 b); în această tabelă sunt indicate de asemenea, aproximativ, culoarea și strălucirea relativă a liniilor.

Tabela 2.97a

Element	$\lambda(\text{\AA})$	Element	$\lambda(\text{\AA})$	Element	$\lambda(\text{\AA})$	Element	$\lambda(\text{\AA})$
Ag-Argint	4055,26	Cs-Cesiu	4555,35	He-Heliu	4026,189	Li-Litiu	4132,29
	4210,94		4593,18		4471,482		4602,86
	4212,68		5844,7		4713,144		4971,99
	4668,48		6212,87		4921,930		6103,64
	5209,07		6586,51		5015,680		6240,1
	5465,49		6723,28		5875,625		6707,846
Ba-Bariu	5471,55		6870,45		6678,150	Mg-Magneziu	4481,33
			6973,29		7065,70		5167,34
			7228,53		7281,35		5172,70
	4554,04	Cu-Cupru		Hg-Mercur	4046,56		5183,62
	4934,09		4022,66		4347,50		5528,46
	5535,55		4062,70		4358,343	Na-Sodiu	4668,60
Ca-Calciu	5777,66		4530,82		4398,62		4982,84
	6141,72		4586,95		4487,48		5149,09
	6496,90		4651,13		4825,62		5153,64
	6595,32		4704,70		5460,742		5688,22
	7059,96		5105,543		5769,598		5889,965
	7120,31		5153,251	K-Potasiu	5790,659		5895,932
Cd-Cadmium	7280,27		5218,202		6100,36	Ra-Radiu	6154,23
	4226,73	H-Hidrogen	5700,24		7301,68		6160,76
	4454,78		5782,159				4340,64
	4585,87		6920,06		4044,14		5660,81
	6439,07		7570,09		4047,20		6200,30
	7148,15				5339,67		6446,20
Cd-Cadmium	7203,17		4101,737	Rb-Rubidiu	5359,52	Sn-Staniu	4511,30
	7326,15		4340,429		5782,60		4524,74
	4678,16		4340,497		5801,96		5631,68
	4799,92		4861,280		6911,30		5970,30
	5085,822		4861,358		6938,98		6037,70
	6099,18		6562,711		7664,91	Tl-Taliu	6149,67
Cd-Cadmium	6438,470		6562,847		7698,98		6462,36
							4737,05
							5109,47
							5152,14
							5350,46
Cd-Cadmium							5527,90
							5949,04
							6549,77
							6713,69
						Zn-Zinc	4057,71
							4680,198
							4722,164
							4810,535
							5181,99
							6362,35

T a b e l a 2.97 b

Liniiile din spectrul neonului	Strălucirea relativă	λ [m μ]	Liniiile din spectrul neonului	Strălucirea relativă	λ [m μ]
Roșu strălucitor	10	640,2	Verde	6	540,0
Roșu deschis	10	614,3	Verde	8	533,0
Roșu-Oranj	5	594,5	Verde	5	503,1
Galben	20	585,3	Albastru-verde	8	484,9
Verde deschis	4	576,5			

T a b e l a 2.98. Lungimile de undă ale unor linii Fraunhofer

În tabelă sînt date valorile lungimilor de undă ale liniilor principale Fraunhofer ale spectrului solar, exprimate în angströmi, notația lor și elementul căruia aparțin.

T a b e l a 2.98

λ [Å]	Notație	Element	λ [Å]	Notație	Element
7620,5			5167	b_4	Fier-(magneziu) ¹⁾
7594,1	A	Oxigen	4957,6	c	Fier
6869,9	B	Oxigen	4861,37	F	Hidrogen
6562,8	C	Hidrogen	4668	d	Fier
6278,1	α	Oxigen	4383,6	e	Fier
5895,93	D_1	Sodiu	4340,4	G'	Hidrogen
5889,97	D_2	Sodiu	4325,8	—	Fier
5875,62	D_3	Heliu	4307,9	G	Fier (calciu) ²⁾
5269,56	E	Fier	4226,7	g	Calciu
5183,62	b_1	Magneziu	4101,8	h	Hidrogen
5172,7	b_2	Magneziu	3968,4	H	Calciu
5169,0	b_3	Fier	3933,6	K	Calciu

Note la tabela 2.98 1). Liniile apropiate: 5167,49 (Fe) și 5167,34 (Mg). 2) Liniile apropiate: 4307,91 (Fe) și 4307,74 (Ca).

T a b e l a 2.99. Benzile de absorbție ale bioxidului de carbon și vaporilor de apă în partea infraroșie a spectrului

În tabelă este dată valoarea maximelor benzilor de absorbție din infraroșu ale bioxidului de carbon și vaporilor de apă în partea infraroșie a spectrului (până la 15 μ); toate valorile lungimilor de undă sînt exprimate în microni.

T a b e l a 2.99

Bioxid de carbon	2,71 (slab)		4,27 (tare)		14,7 (tare)	
Vapori de apă	0,944	2,898	3,402	7,44	8,73	11,24
	1,128	2,948	3,463	7,58	8,99	11,47
	1,157	2,997	4,98	7,75	9,30	11,66
	1,367	3,028	5,04	7,88	9,50	11,89
	1,411	3,070	5,18	8,04	9,74	12,42
	1,480	3,112	5,24	8,17	9,98	12,82
	1,843	3,194	6,42	8,23	10,30	13,34
	1,870	3,245	6,49	8,36	10,66	13,62
	1,904	3,295	6,56	8,42	10,80	14,32
	1,985	3,340	6,61	8,51	10,94	14,98

T a b e l a 2.100. Absorbția radiațiilor infraroșii de către cuarț

Absorbția radiațiilor luminoase la incidență normală pe un strat absorbant este determinată de formula

$$I = I_0 e^{-kx}, \quad (2.101)$$

unde I_0 și I sînt valorile intensității radiațiilor, atunci cînd cad asupra corpului și respectiv după trecerea prin el; x este grosimea stratului absorbant, iar k coeficientul de absorbție, care se calculează de obicei pentru plăci de 1 cm grosime.

În tabelă sînt date valorile lui k pentru o radiație obișnuită din intervalul spectral de la 2,72 la 4,50 μ ; pentru radiații cu lungimea de undă mai mare decît 6 μ , cuarțul poate fi considerat practic ne-transparent.

T a b e l a 2.100

λ [μ]	2,72	2,83	2,95	3,07	3,17	3,38	3,67	3,82	3,96	4,12	4,50
k	0,20	0,47	0,57	0,31	0,20	0,15	1,26	1,61	2,04	3,41	7,30

T a b e l a 2.101. Reflexia luminii de către metale

Coeficientul de reflexie r al razelor luminoase la incidența normală pe o suprafață de oglindă este dat de formula

$$r = I/I_0, \quad (2.102)$$

unde I_0 și I sînt intensitățile razelor incidente și reflectate.

În tabelă sînt date valorile r , exprimate în procente pentru unele lungimi de undă în partea vizibilă a spectrului; lungimile de undă se exprimă în milimicroni.

T a b e l a 2.101

λ [m μ]	Aliaj lucios	Oțel	Ni	Cu	Pt	Au	Ag
420	83,3	51,9	56,6	32,7	51,8	29,3	86,6
450	83,4	54,4	59,4	37,0	54,7	33,1	90,5
500	83,3	54,8	60,8	43,7	58,4	47,0	91,3
550	82,7	54,9	62,6	47,7	61,1	74,0	92,7
600	83,0	55,4	64,9	71,8	64,2	84,4	93,6
650	82,7	56,4	66,6	80,0	66,5	88,9	94,7
700	83,3	57,6	68,8	83,1	69,0	92,3	95,4

T a b e l a 2.102. Indicii de refracție ai cristalelor

În tabelă sînt date valorile indicilor de refracție ai unor cristale la 18 °C pentru radiațiile din partea vizibilă a spectrului, ale căror lungimi de undă se referă la linii spectrale determinate. Elementele, cărora le aparțin aceste linii, sînt menționate; sînt indicate de asemenea valorile aproximative ale lungimilor de undă λ ale acestor linii în angströmi; valorile mai exacte ale lungimilor lor de undă sînt date în tabela 2.97.

T a b e l a 2.102

λ [Å]	Spat de Islanda		Fluorină	Sare gemă	Silvină
	Raza ordinară	Raza extraordinară			
6708 (Li, roșu)	1,6537	1,4843	1,4323	1,5400	1,4866
6563 (H, roșu)	6544	4846	4325	5407	4872
6438 (Cd, roșu)	6550	4847	4327	5412	4877
5893 (Na, galben)	6584	4864	4339	5443	4904
5461 (Hg, verde)	6616	4879	4350	5475	4931
5086 (Cd, verde)	6653	4895	4362	5509	4961
4861 (H, verde)	6678	4907	4371	5534	4983
4800 (Cd, albastru)	6686	4911	4379	5541	4990
4047 (Hg, violet)	6813	4969	4415	5665	5097

T a b e l a 2.103. Indicii de refracție ai sticlei

În tabelă sînt date valorile indicilor de refracție ai liniilor C , D și F (tabela 2.98), ale căror lungimi de undă sînt aproximativ egale cu: 0,6563 μ , 0,5893 μ și 0,4861 μ (tabela 2.98).

T a b e l a 2.103

	Notația	n_C	n_D	n_F
Cron borosilicat	516/641	1,5139	1,5163	1,5220
Cron	518/589	1,5155	1,5181	1,5243
Silex ușor	548/459	1,5445	1,5480	1,5565
Barit cron	659/560	1,5658	1,5688	1,5759
Barit cron	572/576	1,5697	1,5726	1,5796
Silex ușor	575/413	1,5709	1,5749	1,5848
Silex de barit ușor	579/539	1,5763	1,5795	1,5871
Cron greu	589/612	1,5862	1,5891	1,5959
Cron greu	612/586	1,6095	1,6126	1,6200
Flint	512/369	1,6081	1,6129	1,6247
Flint	617/365	1,6120	1,6169	1,6290
Flint	619/363	1,6150	1,6199	1,6321
Flint	624/359	1,6192	1,6242	1,6366
Flint de barit greu	626/391	1,6213	1,6259	1,6379
Flint greu	647/339	1,6421	1,6475	1,6612
Flint greu	672/322	1,6666	1,6725	1,6874
Flint greu	755/275	1,7473	1,7550	1,7747

T a b e l a 2.104. Indicii de refracție ai cuarțului pentru partea vizibilă a spectrului

În tabelă sînt date valorile indicilor de refracție ai razelor ordinare (n_o) și extraordinară (n_e) pentru intervalul spectral de aproximativ 0,4—0,7 μ .

T a b e l a 2.104

$\lambda[\mu]$	n_o	n_e	Cuarț topit	$\lambda[\mu]$	n_o	n_e	Cuarț topit
0,404656	1,557356	1,56671	1,46968	0,533852	1,546799	1,555996	1,46067
0,434047	1,553963	1,563405	1,46690	0,546072	1,546174	1,555350	1,46013
0,435834	1,553790	1,563225	1,46675	0,58929	1,544246	1,553355	1,45845
0,467815	1,551027	1,560368	1,46435	0,643874	1,542288	1,551332	1,45674
0,479991	1,550118	1,559428	1,46355	0,656278	1,541899	1,550929	1,45640
0,486133	1,549683	1,558979	1,46318	0,706520	1,540488	1,549472	1,45517
0,508582	1,548229	1,557475	1,46191				

**T a b e l e l e 2.105 a și b. Indicii de refracție
ai lichidelor**

În tabela 2.105 a sînt date valorile indicilor de refracție n ai lichidelor pentru raza cu lungimea de undă aproximativ egală cu 0,5893 μ (linia galbenă a sodiului); temperatura lichidului, la care s-au efectuat măsurările lui n , este menționată.

În tabela 2.105 b sînt date valorile indicilor de refracție n ai soluțiilor apoase de zahăr (la 20°C) în funcție de concentrația c a soluției (c indică procentul în greutate al zahărului în soluție).

T a b e l a 2.105 a

Lichidul	$t[^\circ\text{C}]$	n	Lichidul	$t[^\circ\text{C}]$	n
Acetat etilic	18	1,37216	Clorură de metilen	24	1,4237
Acetonă	19,4	1,35886	Diacetil	18	1,39331
Acid	20	1,37137	Eter etilic	20	1,3538
Alcool alilic	20	1,41345	Etil benzen	20	1,4959
Alcool amilic	13	1,414	Furfural	20	1,52608
Alcool butilic	20	1,39931	Glicerină	20	1,4730
Alcool etilic	18,2	1,36242	Iodură de etil	20	1,5168
Alcool metilic	14,5	1,33118	Nitrobenzen	20	1,55291
Alcool propilic			Nitrotoluen		
(n)	20	1,38543	(orto)	20,4	1,54739
Aldehidă acetică	20	1,3316	Paraaldehidă	20	1,40486
Anilină	20	1,5863	Pentan (izo)	20	1,3537
Anisol	22	1,5150	Pentan (n)	20	1,3575
Benzen	20	1,50112	Sulfură de carbon	18	1,62950
Bromoform	19	1,5980	Tetraclorură de carbon	15	1,45305
Bromură de etil	20	1,42386	Toluen	20	1,49693
Bromură de etilen	20	1,53789	Xilol (meta)	20	1,49722
Clorbenzen	20	1,52479	Xilol (orto)	20	1,50545
Cloroform	18	1,44643	Xilol (para)	20	1,49582
Clorpicrină	23	1,46075			

T a b e l a 2.105 b

$c[\%]$	n	$c[\%]$	n	$c[\%]$	n	$c[\%]$	n
0	1,330	10	1,3479	35	1,3802	60	1,4418
2	1,3359	15	1,3557	40	1,3997	65	1,4532
4	1,3388	20	1,3639	45	1,4096	70	1,4651
6	1,3418	25	1,3723	50	1,4200	75	1,4774
8	1,3448	30	1,3811	55	1,4307	80	1,4901

T a b e l a 2.106. Indicii de refracție ai apei

În tabelă sînt date valorile indicilor de refracție n ai apei la temperatura de 20 °C în intervalul aproximativ de lungimi de undă 0,3—1 μ .

T a b e l a 2.106

$\lambda[\mu]$	n	$\lambda[\mu]$	n	$\lambda[\mu]$	n
0,3082	1,3567	0,4861	1,3371	0,6562	1,3311
0,3611	1,3474	0,5460	1,3345	0,7682	1,3289
0,4341	1,3403	0,5893	1,3330	1,028	1,3245

T a b e l a 2.107. Indicii de refracție ai gazelor

În tabelă sînt date valorile indicilor de refracție n ai gazelor în condiții normale pentru linia D a cărei lungime de undă este aproximativ egală cu 0,5893 μ .

T a b e l a 2.107

Gazul	n	Gazul	n
Aer	1,000292	Hidrogen	1,000132
Amoniac	1,000379	Hidrogen sulfurat	1,000641
Argon	1,000281	Neon	1,000067
Azot	1,000298	Oxid de carbon	1,000334
Bioxid de carbon	1,000451	Oxigen	1,000271
Clor	1,000768	Sulf gazeos	1,000686
Etilen	1,000719	Vapori de apă	1,000255
Heliu	1,000035		

T a b e l a 2.108. Rotația planului de polarizare în soluții

În tabelă sînt date valorile rotației specifice $[\alpha]$ a planului de polarizare al razelor polarizate liniar în soluțiile unor substanțe organice. Valorile lui $[\alpha]$ sînt determinate pe baza relației.

$$[\alpha] = \alpha/bc, \quad (2.103)$$

unde α este unghiul de rotație al planului de polarizare în soluția dată; b este grosimea stratului de soluție, exprimată în dm; iar c este concentrația, adică numărul de grame de corp dizolvat în 100 cm³ soluție. Valorile lui $[\alpha]$ din tabelă se referă la temperatura medie a camerei.

T a b e l a 2.108

Soluția și concentrația ei	$\lambda[\mu]$	$[\alpha]^\circ$	Soluția și concentrația ei	$\lambda[\mu]$	$[\alpha]^\circ$
Glucoză + apă $c = 5,5$	0,447	96,62	Acid tartric + apă $c = 28,62$	0,275	-296,8
	0,479	83,88		0,300	-166,0
	0,508	73,61		0,350	- 16,8
	0,535	65,35		0,400	- 6,0
	0,598	52,76		0,450	+ 6,6
	0,656	41,89		0,500	+ 7,5
Zahăr de trestie + apă $c = 26$				0,550	+ 8,4
				0,589	+ 9,82
	0,4047	452,8	Camfor + alcool etilic $c = 34,70$		
	0,4208	139,9		0,334	612,5
	0,4358	128,8		0,350	378,3
	0,4678	109,9		0,400	158,6
	0,4800	103,05		0,450	109,8
	0,5086	91,43		0,500	81,7
	0,5209	86,80		0,550	62,0
	0,5780	69,36		0,589	52,4
	0,6438	55,70			
	0,6708	50,45			

T a b e l a 2.109. Rotația planului de polarizare
în cuarț

În tabelă sînt date valorile unghiului de rotație al planului de polarizare la trecerea razelor de diferite lungimi de undă printr-o placă de cuarț în direcția paralelă cu axa sa optică. Grosimea plăcii se consideră egală cu 1 mm, iar lungimea de undă a razelor este exprimată în microni.

T a b e l a 2.109

$\lambda[\mu]$	α	$\lambda[\mu]$	α	$\lambda[\mu]$	α	$\lambda[\mu]$	α
0,1854	370,9	0,2174	226,91	0,3726	58,89	0,6563	17,32
0,1857	368,6	0,2194	220,7	0,4047	48,93	0,6708	16,54
0,1862	356,6	0,2571	143,3	0,4359	41,54	1,040	6,69
0,1930	325,31	0,2747	121,1	0,4916	31,98	1,450	3,41
0,1935	322,76	0,3286	78,58	0,5086	29,72	1,770	2,28
0,1990	295,65	0,3441	70,59	0,5895	21,72	2,140	1,55

T a b e l a 2.110. Rotația magnetică a planului
de polarizare

Rotația magnetică a planului de polarizare se observă la toate corpurile introduse în cîmp magnetic, dacă prin ele trece o rază pola-

rizată liniar în direcție paralelă cu liniile de forță magnetice. Mărimia rotației magnetice χ a planului de polarizare este dată de expresia

$$\chi = clH, \quad (2.104)$$

unde l și H reprezintă drumul razei luminoase în corp și respectiv intensitatea cîmpului magnetic; c este un coeficient de proporționalitate, care se numește „rotația magnetică specifică”, sau constanta lui Verdet. Mărimile l și H se măsoară în cm și respectiv în oerstezi, iar χ și c se dau de obicei în minute de arc.

În tabelă sînt date valorile lui c pentru cîteva corpuri solide și lichide la temperaturile specificate; raza luminoasă are lungimea de undă egală cu 0,5893 μ (raza galbenă a sodiului).

T a b e l a 2.110

	$t[^\circ\text{C}]$	c		$t[^\circ\text{C}]$	c
Acid acetic	21,0	0,7976	Bromură de etil	19,7	1,395
Acid fluorhidric	20,8	0,7990	Clorură de etil	5,0	1,035
Alcool etilic	16,8	0,8637	Cuarț cu axa \perp	20	0,0166
Alcool izoamilic	19,9	0,9888	Iodură de etil	18,1	2,251
Alcool propilic	15,6	0,9139	Sticlă: crown	18	0,0161
Apă	20	0,013	flint greu	18	0,0888
Benzen	15	2,062	Sulfură de carbon	0	0,0435

§ 2.21. Structura atomului și procesele nucleare

T a b e l a 2.111. Spectrul hidrogenului

Spectrul hidrogenului se calculează după formula lui Bohr

$$\nu = R \left(\frac{1}{m^2} - \frac{1}{n^2} \right).$$

Pentru $m = 1$ și $n = 2, 3$ și 4 avem trei linii ale seriei Lyman; pentru $m = 2$ și $n = 3, 4, 5, \dots$ avem peste 30 linii ale seriei Balmer; pentru $m = 3$ și $n = 4, 5, 6, \dots, 10$ avem 8 linii ale seriei Paschen; pentru $m = 4$ și $n = 6$ avem o linie a seriei Pfund. În tabelă sînt date lungimile de undă ale liniilor spectrului hidrogenului, obținute experimental (λ_{exp}) și valorile teoretice respective (λ_{teor}). Pentru seriile Lyman, Balmer și Paschen lungimile de undă ale liniilor sînt date în angströmi [\AA], iar pentru seriile Brackett și Pfund în microni [μ].

T a b e l a 2.111

Seria	n	λ_{exp}	λ_{teor}
Lyman $\nu = R \left(\frac{1}{1^2} - \frac{1}{n^2} \right)$ (anul 1906)	2	1 215,7	1 216,68
	3	1 026,0	1 025,73
	4	972,7	972,54
Balmer $\nu = R \left(\frac{1}{2^2} - \frac{1}{n^2} \right)$ (anul 1885)	3	6 562,8473	6 562,793
	4	6 562,7110	
		4 861,3578	4 861,327
		4 861,2800	
	5	4 340,497	4 340,466
		4 340,429	
	6	4 101,7346	4 101,738
	7	3 970,0740	3 970,075
	8	3 889,0575	3 889,052
Paschen $\nu = R \left(\frac{1}{3^2} - \frac{1}{n^2} \right)$ (anul 1908)	9	3 835,397	3 835,387
	10	3 797,910	3 797,900
	4	18 751,3	18 751,1
	5	12 817,6	12 818,1
	6	1,09	10 938,1
	7	10 049,8	10 049,4
	8	9 546,2	9 546,0
	9	9 929,7	9 229,1
	10	9 015,3	9 014,9
Brackett $\nu = R \left(\frac{1}{4^2} - \frac{1}{n^2} \right)$ (anul 1922)	11	8 863,4	8 862,9
	5	4,05	4,051
	6	2,63	2,625
Pfund $\nu = R \left(\frac{1}{5^2} - \frac{1}{n^2} \right)$ (anul 1924)	6	7,40	7,458

T a b e l a 2.112. Distribuția electronilor în atomi

Starea energetică și distribuția electronilor în păturile atomice sînt determinate de patru numere, care se numesc *numere cuantice*, și se notează de obicei cu n , l , s și j ; numerele cuantice sînt discontinue sau discrete, adică pot lua numai valori discrete, întregi sau semi-întregi.

În ceea ce privește numerele cuantice n , l , s , și j trebuie avut în vedere și următoarele:

1. Numărul cuantic n se numește *număr cuantic principal*: el este același pentru toți electronii, care intră în componența unei

aceleiași pături electronice; cu alte cuvinte, fiecărei pături electronice a atomului îi corespunde o anumită valoare a numărului cuantic principal, și anume, pentru păturile electronice K, L, M, N, O, P și Q numerele cuantice principale sînt egale respectiv cu: 1, 2, 3, 4, 5, 6 și 7. În cazul unui atom cu un singur electron (atomul de hidrogen), numărul cuantic principal determină orbita electronică și totodată energia atomului în stare staționară.

2. Numărul cuantic l se numește număr cuantic *orbital* și determină momentul cinetic al electronului produs de rotația sa în jurul nucleului atomic. Acest număr cuantic poate lua valorile: 0, 1, 2, 3, ... și se notează în general prin simbolurile s, p, d, f, \dots Electronii, care au același număr cuantic orbital, formează o subgrupă sau se mai spune că se află pe același subnivel energetic.

3. Numărul cuantic s se numește deseori număr cuantic *de spin*, deoarece el determină momentul cinetic al electronului datorit rotației sale proprii (momentul de spin).

4. Numărul cuantic j se numește număr cuantic *al momentului cinetic total* sau număr cuantic *intern* și este determinat de suma vectorilor l și s .

Distribuția electronilor în păturile atomice este guvernată de asemenea de anumite legi generale, dintre care trebuie să menționăm:

1. *Principiul Pauli*, în conformitate cu care în atom nu pot exista doi electroni cu aceleași valori ale tuturor celor patru numere cuantice, adică, doi electroni dintr-un același atom trebuie să difere prin valoarea cel puțin a unui număr cuantic.

2. *Principiul energetic*, în conformitate cu care în starea fundamentală a atomului toți electronii săi trebuie să se afle la nivele energetice cele mai joase.

3. *Principiul numărului de electroni în pături*, în conformitate cu care numărul limită de electroni dintr-o pătură nu poate depăși $2n^2$, unde n este numărul cuantic principal al păturii date. Dacă numărul de electroni dintr-o anumită pătură atinge valoarea limită, pătura este umplută și în celelalte elemente începe formarea unei noi pături electronice.

În conformitate cu ceea ce s-a spus, în tabela 2.112 a, sînt date: 1) notațiile în litere ale păturilor electronice; 2) valorile respective ale numerelor cuantice principal și orbital; 3) simbolurile subgrupelelor; 4) numărul maxim de electroni calculat teoretic atît din subgrupe, cît și din pături. Trebuie menționat că în păturile K, L și M numărul de electroni și distribuția lor pe subgrupe determinate experimental sînt în perfectă concordanță cu teoria, însă în păturile următoare se observă abateri însemnate: numărul de electroni în subgrupa f atinge valoarea limită abia în pătura N , în pătura următoare el se micșorează, iar apoi dispare întreaga subgrupă f , așa cum se poate vedea din tabela 2.112 b.

În tabela 2.112 b sînt date numărul electronilor în pături și distribuția lor în subgrupe pentru toate elementele chimice, printre care și transuranice. Datele numerice ale acestor tabele au fost determinate prin cercetări spectroscopice amănunțite.

Tabela 2.112 b (continuare)

Z	Elementul	K		L		M		N				O				P			Q
		0	0 1	0	0 1	0	0 1 2	0	0 1	2	3	0	0 1	2	3	0	0 1	2	
	A șasea perioadă																		
66	Dy	2	2 6	2	2 6	2	2 6 10	2	2 6	10	9	2	2 6	1		2			
67	Ho	2	2 6	2	2 6	2	2 6 10	2	2 6	10	10	2	2 6	1		2			
68	Er	2	2 6	2	2 6	2	2 6 10	2	2 6	10	11	2	2 6	1		2			
69	Tu	2	2 6	2	2 6	2	2 6 10	2	2 6	10	12	2	2 6	1		2			
70	Yb	2	2 6	2	2 6	2	2 6 10	2	2 6	10	13	2	2 6	1		2			
71	Lu	2	2 6	2	2 6	2	2 6 10	2	2 6	10	14	2	2 6	1		2			
72	Hf	2	2 6	2	2 6	2	2 6 10	2	2 6	10	14	2	2 6	2		2			
73	Ta	2	2 6	2	2 6	2	2 6 10	2	2 6	10	14	2	2 6	3		2			
74	W	2	2 6	2	2 6	2	2 6 10	2	2 6	10	14	2	2 6	4		2			
75	Re	2	2 6	2	2 6	2	2 6 10	2	2 6	10	14	2	2 6	5		2			
76	Os	2	2 6	2	2 6	2	2 6 10	2	2 6	10	14	2	2 6	6		2			
77	Ir	2	2 6	2	2 6	2	2 6 10	2	2 6	10	14	2	2 6	7		2			
78	Pt	2	2 6	2	2 6	2	2 6 10	2	2 6	10	14	2	2 6	8		2			
79	Au	2	2 6	2	2 6	2	2 6 10	2	2 6	10	14	2	2 6	10		1			
80	Hg	2	2 6	2	2 6	2	2 6 10	2	2 6	10	14	2	2 6	10		2			
81	Tl	2	2 6	2	2 6	2	2 6 10	2	2 6	10	14	2	2 6	10		2	1		
82	Pb	2	2 6	2	2 6	2	2 6 10	2	2 6	10	14	2	2 6	10		2	2		
83	Bi	2	2 6	2	2 6	2	2 6 10	2	2 6	10	14	2	2 6	10		2	3		
84	Po	2	2 6	2	2 6	2	2 6 10	2	2 6	10	14	2	2 6	10		2	4		
85	At	2	2 6	2	2 6	2	2 6 10	2	2 6	10	14	2	2 6	10		2	5		
86	Rn	2	2 6	2	2 6	2	2 6 10	2	2 6	10	14	2	2 6	10		2	6		
	A șaptea perioadă																		
87	Fr	2	2 6	2	2 6	2	2 6 10	2	2 6	10	14	2	2 6	10		2	6		1
88	Ra	2	2 6	2	2 6	2	2 6 10	2	2 6	10	14	2	2 6	10		2	6		2
89	Ac	2	2 6	2	2 6	2	2 6 10	2	2 6	10	14	2	2 6	10		2	6	1	2
90	Th	2	2 6	2	2 6	2	2 6 10	2	2 6	10	14	2	2 6	10	1	2	6	1	2
91	Pa	2	2 6	2	2 6	2	2 6 10	2	2 6	10	14	2	2 6	10	2	2	6	1	2
92	U	2	2 6	2	2 6	2	2 6 10	2	2 6	10	14	2	2 6	10	3	3	6	1	2
93	Np	2	2 6	2	2 6	2	2 6 10	2	2 6	10	14	2	2 6	10	4	2	6	1	2
94	Pu	2	2 6	2	2 6	2	2 6 10	2	2 6	10	14	2	2 6	10	5	2	6	1	2
95	Am	2	2 6	2	2 6	2	2 6 10	2	2 6	10	14	2	2 6	10	6	2	6	1	2
96	Cm	2	2 6	2	2 6	2	2 6 10	2	2 6	10	14	2	2 6	10	7	2	6	1	2
97	Bk	2	2 6	2	2 6	2	2 6 10	2	2 6	10	14	2	2 6	10	8	2	6	1	2
98	Cf	2	2 6	2	2 6	2	2 6 10	2	2 6	10	14	2	2 6	10	8	2	6	2	2
99	Es	2	2 6	2	2 6	2	2 6 10	2	2 6	10	14	2	2 6	10	8	2	6	3	2
100	Fm	2	2 6	2	2 6	2	2 6 10	2	2 6	10	14	2	2 6	10	8	2	6	4	2
101	Mv	2	2 6	2	2 6	2	2 6 10	2	2 6	10	14	2	2 6	10	8	2	6	5	2
102	No	2	2 6	2	2 6	2	2 6 10	2	2 6	10	14	2	2 6	10	8	2	6	6	2
103	Lw	2	2 6	2	2 6	2	2 6 10	2	2 6	10	14	2	2 6	10	8	2	6	7	2

T a b e l a 2.113. Potențiale de ionizare ale elementelor

În tabelă sint date valorile primelor potențiale de ionizare ale unor elemente, exprimate în electronvolți; sint date de asemenea numerele de ordine și simbolurile elementelor.

T a b e l a 2.113

Nr. de ord.		Potențialul de ionizare	Nr. de ord.		Potențialul de ionizare	Nr. de ord.		Potențialul de ionizare	Nr. de ord.		Potențialul de ionizare
1	H	13,54	14	Si	8,15	34	Se	9,75	53	J	10,44
2	He	24,56	16	S	10,31	36	Kr	13,94	54	Xe	12,13
3	Li	5,39	18	Ar	15,71	37	Rb	4,18	55	Cs	3,88
4	Be	9,32	19	K	4,32	38	Sr	5,69	56	Ba	5,21
5	B	8,30	20	Ca	6,11	42	Mo	7,18	57	La	5,61
6	C	11,27	24	Cr	6,76	44	Ru	7,50	74	W	7,98
7	N	14,52	25	Mn	7,40	45	Rh	7,70	78	Pt	8,96
8	O	13,56	26	Fe	7,90	46	Pd	8,33	79	Au	9,19
10	Ne	21,48	27	Co	7,81	47	Ag	7,57	80	Hg	10,39
11	Na	5,14	28	Ni	7,63	48	Cd	8,99	82	Pb	7,38
12	Mg	7,64	29	Cu	7,70	50	Sn	7,32	83	Bi	7,25
13	Al	5,98	30	Zn	9,38	51	Sb	8,53	88	Ra	5,25

T a b e l a 2.114. Emisia termoelectronică

În tabelă sint date valorile constantelor A și b din ecuația pentru densitatea j a curentului termoelectronic

$$j = AT^2 e^{-b/T}; \quad (2.105)$$

unde T este temperatura absolută. Dacă j se măsoară în A/cm^2 , A se măsoară în $A/cm^2 \cdot ^\circ K^2$.

T a b e l a 2.114

Substanța	A	b	Substanța	A	b
Wolfram	60—100	$5,24 \cdot 10^4$	Nichel	$1,38 \cdot 10^3$	$5,84 \cdot 10^4$
Molibden	60	$5,15 \cdot 10^4$	Fier	—	$5,53 \cdot 10^4$
	55	$4,82 \cdot 10^4$	Cupru	65	$5,02 \cdot 10^4$
Tantal	60,2	$4,72 \cdot 10^4$	Argiat	60,2	$4,70 \cdot 10^4$
	37,2	$4,76 \cdot 10^4$	Aur	40	$5,00 \cdot 10^4$
Paladiu	60	$5,80 \cdot 10^4$	Cesiu	1,62	$2,10 \cdot 10^4$
	60—70	$3,89 \cdot 10^4$	Calciu	60	$2,60 \cdot 10^4$
Platină	$1,7 \cdot 10^4$	$7,25 \cdot 10^4$	CaO	—	$2,05 \cdot 10^4$
Zirconiu	330	$4,79 \cdot 10^4$	SrO	—	$1,47 \cdot 10^4$
Hafniu	14,5	$4,10 \cdot 10^4$	BaO	—	$1,15 \cdot 10^4$
Niobiu	57	$4,60 \cdot 10^4$	MgO	—	$1,18 \cdot 10^4$

Tabelele 2. 115 a și b. Radiațiile Röntgen

În tabela 2.115 a sînt date pentru unele elemente, lungimile de undă ale liniilor α_1 și α_2 ale radiației caracteristice Röntgen din seria cea mai dură K . Conform legii lui Mosley, lungimile de undă ale liniilor radiației caracteristice scad cu creșterea numărului de ordine al elementelor. Valorile lui λ sînt date în unități \AA , iar pentru elemente sînt date numerele de ordine Z și simbolurile chimice.

Atenuarea radiației Röntgen în diferitele corpuri se supune legii generale, exprimată prin formula

$$I = I_0 e^{-\mu d}, \quad (2.106)$$

unde I_0 și I sînt intensitatea radiației Röntgen înainte și respectiv după trecerea prin stratul atenuator; d este grosimea stratului, iar μ este coeficientul de atenuare. Cîtu dintre μ și densitatea ρ a corpului atenuator, adică μ/ρ , se numește coeficientul masic de atenuare a radiației Röntgen și se notează de obicei cu $\bar{\mu}$. În tabela 2.115 b sînt date: 1) valorile coeficientului masic de atenuare $\bar{\mu}$ al radiației Röntgen pentru unele corpuri de duritate diferită; 2) grosimea stratului $d_{1/2}$ al acestor corpuri în cm, care produce atenuarea radiației pînă la jumătate din intensitatea inițială. Duritatea radiației este determinată în tabelă prin lungimea lor de undă λ , măsurată în \AA .

Tabela 2.115 a

Z	Ele- mentul	λ		Z	Ele- mentul	λ	
		α_1	α_2			α_1	α_2
12	Mg	9869,0		42	Mo	712,1	707,8
13	Al	8320,5		47	Ag	562,7	558,3
19	K	3737,1	3733,7	51	Sb	473,9	469,3
20	Ca	3355,0	3351,7	56	Ba	389,0	384,4
22	Ti	2746,8	2743,2	57	La	374,7	370,0
23	V	2502,1	2498,3	73	Ta	219,7	214,9
24	Cr	2288,9	2285,0	74	W	213,4	208,6
25	Mn	2101,5	2097,5	77	Ir	195,5	190,6
26	Fe	1936,0	1932,1	78	Pt	190,0	182,2
27	Co	1789,2	1785,3	79	Au	184,8	185,1
28	Ni	1658,3	1654,4	83	Bi	165,2	160,4
29	Cu	1541,2	1537,4	92	U	130,7	125,6

T a b e l a 2.115 b

λ [Å]	Aer		Apă		Aluminiu		Cupru		Fosfor	
	$\bar{\mu}$	$d_{1/2}$	$\bar{\mu}$	$d_{1/2}$	$\bar{\mu}$	$d_{1/2}$	$\bar{\mu}$	$d_{1/2}$	$\bar{\mu}$	$d_{1/2}$
0,1			0,16	4,3	0,16	1,6	0,36	0,21	3,8	0,016
0,2			0,18	3,9	0,28	0,92	1,5	0,051	4,9	0,013
0,3			0,29	2,4	0,47	0,55	4,3	0,018	14	0,0044
0,4			0,44	1,6	1,1	0,23	9,8	0,0078	31	0,0020
0,5	0,48	1 120	0,66	1,1	2,0	0,13	19	0,0040	54	0,0011
0,6	0,75	720	1,0	0,69	3,4	0,076	32	0,0024	90	0,0007
0,7	1,3	410	1,5	0,46	5,1	0,050	48	0,0016	139	0,0004
0,8	1,6	340	2,1	0,33	7,4	0,035	70	0,0011		
0,9	2,1	260	2,8	0,25	11	0,023	98	0,0008		
1,0	2,6	210	3,8	0,18	15	0,017	131	0,0006		
1,5	8,7	62	12	0,058	46	0,006	49	0,0016		
2,0	21	26	18	0,025	102	0,002	108	0,0007		
2,5	39	14	51	0,014	194	0,001	198	0,0004		

T a b e l e l e 2.116 a, b și c. Seriile radioactive ale uraniului, radiului, actiniului și toriului

Legea fundamentală a dezintegrării radioactive este dată de formula

$$N = N_0 e^{-\lambda t}, \quad (2.107)$$

unde N_0 și N reprezintă numărul inițial de atomi al substanței radioactive și respectiv numărul de atomi la momentul t , iar λ este un coeficient constant pentru substanța respectivă, care se numește constanta de dezintegrare. În afară de constanta de dezintegrare λ , dezintegrarea radioactivă se caracterizează foarte des prin perioada de înjumătățire $T_{1/2}$, adică prin intervalul de timp, în care s-au dezintegrat jumătate din numărul inițial de atomi. Această perioadă $T_{1/2}$, legată de constanta de dezintegrare prin relația $T_{1/2} = 0,693/\lambda$, variază pentru corpurile radioactive în limite foarte largi; datorită acestui fapt, ea se măsoară de obicei în diferite unități de timp, adică în ani, zile, ore, minute și secunde.

În tabelele 2.116 a, b și c sînt date pentru seria uraniu-radiului, actiniului și toriului, în afară de denumire, simbolul chimic, numărul de ordine Z și numărul de masă A al tuturor verigilor dezintegrării, încă: 1) perioadele lor de înjumătățire $T_{1/2}$; 2) tipul radiației respective; 3) lungimea parcursului radiației alfa (l_α) în aer în condiții normale; 4) energia radiației alfa E_α măsurată în MeV.

Seria uraniu-radiu

T a b e l a 2.116 a

Denumirea	Simbolul	Z	A	$T_{1/2}$	Radiația	t_α [cm]	E_α [MeV]
Uraniu I	UI	92	238	$4,49 \cdot 10^9$ a	α	2,653	4,18
Uraniu X_1	UX ₁	90	234	24,1 d	β	—	—
Uraniu X_2	UX ₂	91	234	1,14 min	β	—	—
Uraniu Z	UZ	91	234	6,7 h	β	—	—
Uraniu II	UII	92	234	$2,52 \cdot 10^5$ a	α	3,211	4,78
Ioniu	—	90	230	$8,3 \cdot 10^4$ a	α	3,176	4,682
Radiu	Ra	88	226	1590 a	α	3,30	4,791
Radon ¹⁾	Rn	86	222	3,82 d	α	4,051	5,4860
Radiu A	RaA	84	218	3,05 min	α	4,657	5,9981
Radiu B	RaB	82	214	26,8 min	β	—	—
Astatiniu ²⁾	At	85	218	1,5—2s	α	—	6,57
Radiu C	RaC	83	214	19,7 min	β	—	5,5048
Radon 218 ³⁾	²¹⁸ Rn	86	218	$1,9 \cdot 10^{-2}$ s	α	—	7,12
Radiu C'	RaC'	84	214	$1,55 \cdot 10^{-4}$ s	α	6,907	7,6802
Radiu C''	RaC''	81	210	1,32 min	β	—	—
Radiu D	RaD	82	210	22 a	β	—	—
Radiu E	RaE	83	210	5,0 d	β	—	—
Poloniu	Po	84	206	140 d	α	3,842	5,2984
Taliu	²⁰⁶ Tl	81	206	4,23 min	β	—	—
Radiu G	RaG	82	206	Stabil	—	—	—

Note la tabela 2.116 a. 1) Înainte se numea emanație de radiu; această denumire folosindu-se uneori și astăzi; 2) izotopul 218 al astatiniului; 3) este conținut în radon într-o proporție de cca. 0,1%;

Seria actiniului

T a b e l a 2.116 b

Denumirea	Simbolul	Z	A	$T_{1/2}$	Radiația	t_α [cm]	E_α [MeV]
Actinouraniu	AcU	92	235	$7,13 \cdot 10^8$ a	α	3,02	4,52
Uranu Y	UY	90	231	25,51 h	β	—	—
Protactiniu	Pa	91	231	$3,2 \cdot 10^4$ a	α	3,51	5,05
Actiniu	Ac	89	227	21,7 a	α, β	3,46	4,95
Radioactiniu	RdAc	90	223	18,9 d	α	4,71	6,03
Franciu ¹⁾	Fr	87	223	21 min	β	—	—
Actiniu	AcX	88	223	11,4 d	α	4,32	5,72
Actinon ²⁾	An	86	219	3,92 s	α	5,69	6,82
Actiniu A	AcA	84	215	$1,83 \cdot 10^{-3}$ s	α, β	6,46	7,37
Actiniu B	AcB	82	211	36,1 min	β	—	—
Astatiniu ³⁾	At	85	215	$\approx 10^{-1}$ s	α	—	8,00
Actiniu C	AcC	83	211	2,16 min	α, β	5,43	6,62
Actiniu C'	AcC'	84	211	$\approx 5 \cdot 10^{-3}$ s	α	6,55	7,43
Actiniu C''	AcC''	81	207	4,76 min	β	—	—
Actiniu D	AcD	82	207	Stabil	—	—	—

Note la tabela 2.116 b. 1) Se mai numește actiniu K; este conținut în radioactiniu în proporție de cca. 1,2%. 2) S-a numit înainte emanație de actiniu. 3) Izotopul 215 al astatiniului.

Seria toriului

T a b e l a 2.116 c

Denumirea	Simbolul	Z	A	$T_{1/2}$	Radiația	l_{α} [cm]	E_{α} [MeV]
Toriu	Th	90	232	$1,39 \cdot 10^{10}$ a	α	2,70	4,20
Mezotoriu 1	MsTh ₁	88	228	6,7 a	β	—	—
Mezotoriu 2	MsTh ₂	89	228	6,13 h	β	—	—
Radiotoriu	RdTh	90	228	1,90 a	α	3,98	5,42
Toriu X	ThX	88	224	3,64 d	α	4,28	5,68
Toron ¹⁾	Tn	86	220	54,5 s	α	4,00	6,28
Toriu A	ThA	84	216	0,16 s	α, β	5,64	6,77
Toriu B	ThB	82	212	10,6 h	β	—	—
Astatiniu ²⁾	At	85	216	$3 \cdot 10^{-4}$ s	α	—	7,79
Toriu C	ThC	83	212	60,5 min	α, β	4,73	6,05
Toriu C'	ThC'	84	212	$2,2 \cdot 10^{-7}$ s	α	8,57	8,78
Toriu C''	ThC''	81	208	3,1 min	β	—	—
Toriu D	ThD	82	208	Stabil		—	—

Note la tabela 2.116 c. 1) Înainte se numea emanație de toriu; 2) Izotopul 216 al astatiniului.

T a b e l a 2.117. Radioactivitatea naturală
a altor elemente

Studiul sistematic al tuturor elementelor sistemului periodic al lui D.I. Mendeleev a arătat că în afară de elementele care formează familiile radioactive, mai există cinci elemente care manifestă o radioactivitate foarte slabă, dar fără îndoială naturală. S-a constatat în toate cazurile că, dintre izotopii acestor elemente, numai unul singur prezintă proprietăți radioactive naturale, iar ceilalți izotopi sînt stabili.

Aceste elemente radioactive naturale sînt menționate în tabele, unde se dau:

- 1) denumirea lor și numărul de ordine Z;
- 2) numărul de masă A și simbolul izotopului radioactiv natural;
- 3) perioada sa de înjumătățire $T_{1/2}$;
- 4) felul radiațiilor.

Valorile lui $T_{1/2}$ trebuie considerate ca foarte aproximative.

Tabela 2.117

Elementul	Z	A	Notăția	$T_{1/2}$	Radiația
Potasiu	19	40	^{40}K	$13,1 \cdot 10^8 \text{ a}$	β
Rubidiu	37	87	^{87}Rb	$6,0 \cdot 10^{10} \text{ a}$	β
Samariu	62	152	^{152}Sm	$3,4 \cdot 10^{11} \text{ a}$	α
Lutețiu	71	176	^{176}Lu	$2,4 \cdot 10^{10} \text{ a}$	β
Reniu	75	187	^{187}Re	$4 \cdot 10^{12} \text{ a}$	β

Tabela 2.118 a și b. Dezintegrarea radonului și a precipitatului său activ

Legea fundamentală a dezintegrării radioactive, determinată prin formula (2.107), poate fi verificată experimental, observându-se: 1) dezintegrarea emanației de radu (radon) și 2) dezintegrarea radiului A , B și C , care formează așa-numitul precipitat activ al radonului. În tabele sînt date:

1. În tabela 2.118 a valorile mărimii $e^{-\lambda t}$ pentru radon în intervale de timp t (pînă la 30 zile); cantitatea inițială de radon, considerată convențional ca unitate; constanta de dezintegrare a radonului λ , considerată egală cu $2,098 \cdot 10^{-6} \text{ s}^{-1}$.

2. În tabela 2.118 b valorile $e^{-\lambda_1 t}$, $e^{-\lambda_2 t}$ și $e^{-\lambda_3 t}$ pentru RaA , RaB și RaC , ale căror cantități inițiale sînt considerate de asemenea convențional egale cu unitatea, iar constantele lor de dezintegrare sînt luate egale cu: $\lambda_1 (\text{RaA}) = 3,79 \cdot 10^{-3} \text{ s}^{-1}$, $\lambda_2 (\text{RaA}) = 4,31 \cdot 10^{-4} \text{ s}^{-1}$ și $\lambda_3 (\text{RaC}) = 5,86 \cdot 10^{-4} \text{ s}^{-1}$.

Tabela 2.118 a

t	$e^{-\lambda t}$	t	$e^{-\lambda t}$	t	$e^{-\lambda t}$
0 h	1,0000	12 h	0,9134	1 d	0,8343
1 "	0,9925	13 "	0,9064	2 "	0,6960
2 "	0,9850	14 "	0,8997	3 "	0,5806
3 "	0,9776	15 "	0,8929	4 "	0,4844
4 "	0,9703	16 "	0,8861	5 "	0,4041
5 "	0,9629	17 "	0,8795	6 "	0,3371
6 "	0,9557	18 "	0,8729	7 "	0,2812
7 "	0,9485	19 "	0,8662	8 "	0,2346
8 "	0,9414	20 "	0,8597	9 "	0,1957
9 "	0,9343	21 "	0,8533	10 "	0,1633
10 "	0,9273	22 "	0,8468	11 "	0,1362
11 "	0,9203	23 "	0,8405	12 "	0,1136

T a b e l a 2.118 a (continuare)

t	$e^{-\lambda t}$	t	$e^{-\lambda t}$	t	$e^{-\lambda t}$
13 d	0,09481	19 d	0,03196	25 d	0,01078
14 „	0,07910	20 „	0,02667	26 „	0,00899
15 „	0,06599	21 „	0,02225	27 „	0,00750
16 „	0,05505	22 „	0,01856	28 „	0,00626
17 „	0,04592	23 „	0,01548	29 „	0,00522
18 „	0,03831	24 „	0,01292	30 „	0,00435

T a b e l a 2.118 b

t [min]	$e^{-\lambda_1 t}$ (RaA)	$e^{-\lambda_2 t}$ (RaB)	$e^{-\lambda_3 t}$ (RaC)	t [min]	$e^{-\lambda_1 t}$ (RaA)	$e^{-\lambda_2 t}$ (RaB)	$e^{-\lambda_3 t}$ (RaC)
0	1,0000	1,0000	1,0000	35	0,0004	0,4129	0,3002
3	0,5057	0,9254	0,8998	40	0,0001	0,3554	0,2448
5	0,3208	0,8787	0,8387	50	—	0,2744	0,1722
10	0,1033	0,7721	0,7034	60	—	0,2119	0,1211
15	0,0331	0,6784	0,5899	90	—	0,0975	0,0421
20	0,0106	0,5961	0,4948	120	—	0,0449	0,0147
25	0,0034	0,5238	0,4149	150	—	0,0207	0,0051
30	0,0011	0,4603	0,3480	180	—	0,0095	0,0018

T a b e l a 2.119. Secțiunile eficace ale unor nuclee
pentru neutroni

La studiul unor procese de interacțiune, cum ar fi împrăștierea elastică și neelastică, captura etc., se lucrează cu *secțiunea eficace* σ , care este definită ca secțiunea pe care ar avea-o un nucleu cînd o particulă, considerată punctiformă, îndreptată asupra lui ar provoca o reacție nucleară. Tipul de reacție diferă de la nucleu la nucleu. Astfel, pentru nucleele diferitelor elemente, la interacțiunea lor cu neutronii, se definesc secțiunile de captură σ_c , de împrăștiere σ_i etc. Suma acestor mărimi se numește de obicei *secțiunea totală* σ_t a nucleului considerat.

În tabele sînt date secțiunile eficace ale nucleelelor unor elemente la interacțiunea lor cu neutronii; 1) rapizi, (n. r. energia 3–10 MeV) și 2) termici (n.t. energia $\leq 0,025$ eV). Pentru neutronii rapizi sînt date secțiunile eficace totale σ_t , pentru cei termici—secțiunile de împrăștiere σ_i și de captură σ_c ; pentru neutronii termici $\sigma_t = \sigma_i + \sigma_c$. Toate valorile sînt date în barni și sînt calculate ca medii ale rezultatelor diferiților autori.

T a b e l a 2.119

Ele- ment	N.r. σ_i	N.t.		Ele- ment	N.r. σ_i	N.t.	
		σ_i	σ_c			σ_i	σ_c
¹ H	0,9	38 (H ₂)	0,33	²⁴ Cr	3	4	2,9
¹ D	1,0	7	0,0066	²⁵ Mn	3,0	2,1	13,3
² He	1,4	0,8	~ 0	²⁶ Fe	3,0	11,4	2,53
³ Li	1,5	1,2	71	²⁷ Co	3,2	6	36
⁴ Be	1,7	7,5	0,010	²⁸ Ni	3,2	17,5	4,6
⁵ B	1,4	4,4	755	²⁹ Cu	3,2	7,8	3,7
⁶ C	1,3	5	0,003	³⁰ Zn	3,5	4	1,1
⁷ N	1,4	11	1,88 < 0,0002	³⁸ Sr	4,9-3,7	10	1,2
⁸ O	1,3	4,2		⁴⁷ Ag	4,3	6	62
¹¹ Na	2,4	5,4	0,51	⁴⁸ Cd	4,3	7	2600
¹² Mg	1,6	3,6	0,06	⁵⁰ Sn	4,4	5	0,6
¹³ Al	1,7	1,4	0,23	⁵¹ Sb	4,3	4,1	5,0
¹⁶ S	2,0	1,2	0,49	⁵² Te	4,4	4,4	4,5
¹⁹ K	~ 2,4	2,0	2,0	⁷⁴ W	4,9	6	19
²⁰ Ca	~ 2,3	3,0	0,43	²³⁵ U	1,3	—	687

T a b e l a 2. 120. Proprietățile nucleare ale elementelor
și izotopilor lor stabili

În tabelă sînt enumerate elementele și izotopii lor stabili și sînt specificate cîteva proprietăți ale nucleelor lor, și anume, în afară de numărul de ordine Z și de simbolurile elementelor și izotopilor lor (coloana a doua și ultima a tabelii), mai sînt date: 1) numărul de masă A ; 2) numărul de neutroni din nucleu N ; 3) conținutul procentual al izotopilor în starea naturală a elementului; 4) valoarea spinului s , exprimată în unități $\hbar = \hbar/2\pi$; 5) valorile momentului magnetic μ al nucleului, exprimate în magnetoni nucleari. Dintre elementele nestabile, în tabelă sînt date numai elementele radioactive naturale cu perioadă de înjumătățire foarte mare; sînt enumerate de asemenea și elementele transuraniene.

T a b e l a 2.120

Z	Simbolul	A	N	Conținutul %	s	μ	Izotopii (stabili)
0	n	1	1	—	$1/2$	- 1,9130	¹ H
1	H	1	0	99,98 (5)	$1/2$	+ 2,7927	¹ H
	D	2	1	0,01 (5)	1	+ 0,8574	² H

T a b e l a 2.120 (continuare)

Z	Simbolul	A	N	Conținutul %	s	μ	Izotopii (stabili)
2	He	3 4	1 2	$1,3 \cdot 10^{-4}$ ≈ 100	$\frac{1}{2}$ 0	(-)2,1275 —	^3He ^4He
3	Li	6 7	3 4	7,30 92,70	1 $\frac{3}{2}$	+ 0,8213 + 3,2561	^6Li ^7Li
4	Be	9	5	100	$\frac{1}{2}$	(-)1,1774	^9Be
5	B	10 11	5 6	18,83 81,17	3 $\frac{3}{2}$	+ 1,8008 + 2,6884	^{10}B ^{11}B
6	C	12 13	6 7	98,892 1,108	0 $\frac{1}{2}$	— + 0,7023	^{12}C ^{13}C
7	N	14 15	7 8	99,65 0,35	1 $\frac{1}{2}$	+ 0,40370 — 0,2831	^{14}N ^{15}N
8	O	16 17 18	8 9 10	99,759 0,037 0,204	0 $\frac{1}{2}, \frac{3}{2}$ —	— — —	^{16}O ^{17}O ^{18}O
9	F	19	10	100	$\frac{1}{2}$	+ 2,6289	^{19}F
10	Ne	20 21 22	10 11 12	90,92 0,257 8,823	— ($\frac{3}{2}$) —	— (negativ) —	^{20}Ne ^{21}Ne ^{22}Ne
11	Na	23	12	100	$\frac{3}{2}$	+ 2,2174	^{23}Na
12	Mg	24 25 26	12 13 14	79,98 10,05 10,97	— $\frac{5}{2}$ —	— (-0,97) —	^{24}Mg ^{25}Mg ^{26}Mg
13	Al	27	14	100	$\frac{5}{2}$	+ 3,6412	^{27}Al
14	Si	28 29 30	14 15 16	92,28 4,67 3,05	0 $\frac{1}{2}$ 0	— — —	^{28}Si ^{29}Si ^{30}Si
15	P	31	16	100	$\frac{1}{2}$	+ 1,1316	^{31}P

T a b e l a 2.120 (continuare)

Z	Simbolul	A	N	Conținutul %	s	μ	Izotopii (stabili)
16	S	32	16	95,018	0	—	³² S
		33	17	0,750	³ / ₂	(0,632)	³³ S
		34	18	4,215	0	—	³⁴ S
		36	20	0,017	0	—	³⁶ S
17	Cl	35	18	75,4	³ / ₂	+ 0,8210	³⁵ Cl
		37	20	24,6	³ / ₂	+ 0,6833	³⁷ Cl
18	Ar	36	18	0,337	—	—	³⁶ Ar
		38	20	0,063	—	—	³⁸ Ar
		40	22	99,600	—	—	⁴⁰ Ar
19	K	39	20	93,08	³ / ₂	+ 0,3915	³⁹ K
		40	21	0,0119	4	— 1,290	⁴⁰ K
		41	22	6,9081	³ / ₂	+ 0,215	⁴¹ K
20	Ca	40	20	96,92	—	—	⁴⁰ Ca
		42	22	0,64	—	—	⁴² Ca
		43	23	0,129	—	—	⁴³ Ca
		44	24	2,13	—	—	⁴⁴ Ca
		46	26	0,003	—	—	⁴⁶ Ca
		48	28	0,178	—	—	⁴⁸ Ca
21	Sc	45	24	100	⁷ / ₂	+ 4,7563	⁴⁵ Sc
22	Ti	46	24	7,95	—	—	⁴⁶ Ti
		47	25	7,75	—	—	⁴⁷ Ti
		48	26	73,45	—	—	⁴⁸ Ti
		49	27	5,51	—	—	⁴⁹ Ti
		50	28	5,34	—	—	⁵⁰ Ti
23	V	50	27	0,23	—	—	⁵⁰ V
		51	28	99,77	(⁷ / ₂)	+ 5,1481	⁵¹ V
24	Cr	50	26	4,31	—	—	⁵⁰ Cr
		52	28	83,76	—	—	⁵² Cr
		53	29	9,55	—	—	⁵³ Cr
		54	30	2,38	—	—	⁵⁴ Cr
25	Mn	55	30	100	⁵ / ₂	+ 3,4680	⁵⁵ Mn

T a b e l a 2.120 (continuare)

Z	Simbolul	A	N	Conținutul %	s	μ	Izotopii (stabili)
26	Fe	54	28	5,81	—	—	⁵⁴ Fe
		56	30	91,64	—	—	⁵⁶ Fe
		57	31	2,21	—	$\mu \approx 0$	⁵⁷ Fe
		58	32	0,34	—	—	⁵⁸ Fe
27	Co	59	32	100	$7/2$	+ 4,6485	⁵⁹ Co
28	Ni	58	30	67,77	—	—	⁵⁸ Ni
		60	32	26,16	—	—	⁶⁰ Ni
		61	33	1,25	—	$\mu \leq 0,25$	⁶¹ Ni
		62	34	3,66	—	—	⁶² Ni
		64	36	1,16	—	—	⁶⁴ Ni
29	Cu	63	34	68,94	$3/2$	+ 2,2259	⁶³ Cu
		65	36	31,06	$3/2$	+ 2,3843	⁶⁵ Cu
30	Zn	64	34	48,80	—	—	⁶⁴ Zn
		66	36	27,81	—	—	⁶⁶ Zn
		67	37	4,07	$5/2$	+ 0,9	⁶⁷ Zn
		68	38	18,61	—	—	⁶⁸ Zn
		70	40	0,62	—	—	⁷⁰ Zn
31	Ga	69	38	60,16	$3/2$	+ 2,0165	⁶⁹ Ga
		71	40	39,84	$3/2$	+ 2,5611	⁷¹ Ga
32	Ge	70	38	20,65	0	—	⁷⁰ Ge
		72	40	27,43	0	—	⁷² Ge
		73	41	7,86	$9/2$	—	⁷³ Ge
		74	42	36,34	0	—	⁷⁴ Ge
		76	44	7,72	0	—	⁷⁶ Ge
33	As	75	42	100	$3/2$	+ 1,5	⁷⁵ As
34	Se	74	40	0,87	—	—	⁷⁴ Se
		76	42	9,02	—	—	⁷⁶ Se
		77	43	7,58	$1/2$	—	⁷⁷ Se
		78	44	23,52	—	—	⁷⁸ Se
		80	46	49,82	0	—	⁸⁰ Se
		82	48	9,19	—	—	⁸² Se
35	Br	79	44	50,53	$3/2$	+ 2,1059	⁷⁹ Br
		81	46	49,47	$3/2$	+ 2,2702	⁸¹ Br

căroră, pentru determinarea factorilor λ_1 și λ_2 , li se adaugă ecuațiile suprafețelor. Rezultanta $\vec{R} = \vec{R}_1 + \vec{R}_2$ se numește *reacțiunea liniei date*: ea este normală la această linie.

§ 3.32. Momentul unei forțe

Măsura acțiunii mecanice, care ia în considerare poziția forței față de un punct dat și care se exprimă prin produsul vectorial dintre raza vectoare a punctului de aplicare a forței și vectorul acestei forțe, se numește *momentul forței* față de punctul dat. Momentul se reprezintă printr-un vector aplicat în punctul dat, (fig. 3.45)

$$\vec{M}_O(\vec{P}_A) = \vec{OA} \times \vec{P} = \vec{r} \times \vec{P}. \quad (3.98)$$

Modulul vectorului moment se măsoară prin unitățile de măsură [forță] \times [lungimea] = kgf·m și se exprimă prin produsul dintre modulul forței \vec{P} și distanța de la punctul O pînă la suportul forței, numită *brațul forței* față de centrul dat

$$|\vec{M}_O| = |\vec{P}| \cdot h. \quad (3.99)$$

Triunghiul OAB cu vîrfurile în punctul O și cu baza reprezentată de vectorul forță, se numește *triunghi de moment*. Fără a lua în considerare dimensiunile

$$|\vec{M}_O(\vec{P}_A)| = 2\Delta OAB. \quad (3.100)$$

Dacă produsul vectorial $\vec{r} \times \vec{P}$ se construiește după convenția triedrului drept, vectorul moment se orientează normal pe planul triunghiului de moment, în acea parte a lui din care vectorul forță indică o rotire în jurul punctului O în sens invers mersului acelor ceasornicului. La construirea produsului vectorial $\vec{r} \times \vec{P}$ după convenția unui sistem stîng, sensul vectorului moment se schimbă în cel opus. Dacă planul triunghiului de moment se observă dintr-o parte aleasă arbitrar, atunci modulului momentului i se aplică semnul pozitiv sau negativ în funcție de sensul în care este îndreptat vectorul moment: anume, mărirea momentului se consideră pozitivă dacă vectorul moment este îndreptat în acea parte, de unde se observă planul triunghiului de moment, și negativă în caz contrar. Într-un sistem drept, mărirea momentului se consideră pozitivă, dacă direcția vectorului forță indică o rotație în jurul punctului O în sens invers mersului acelor ceasornicului, și negativă în caz contrar. Dacă linia de acțiune a forței trece prin punctul O , modulul momentului este egal cu zero. Dacă punctul în raport cu care se calculează momentul este (x_0, y_0, z_0) , vectorul moment se exprimă în funcție de coordonatele (x, y, z) ale

punctului de aplicație și de proiecțiile X, Y, Z ale forței \vec{P}_A pe axă, prin următoarea formulă:

$$\vec{M}_O(\vec{P}_A) = \begin{vmatrix} \vec{i} & \vec{j} & \vec{k} \\ x - x_0 & y - y_0 & z - z_0 \\ X & Y & Z \end{vmatrix}. \quad (3.101)$$

La schimbarea polului din punctul O în punctul O' , vectorul moment se transformă după formula

$$\vec{M}_{O'}(\vec{P}_A) = \vec{M}_O(\vec{P}_A) + \vec{OO'} \times \vec{P}. \quad (3.102)$$

De aici rezultă că

$$\text{pr}_{OO'} \vec{M}_O(\vec{P}_A) = \text{pr}_{OO'} \vec{M}_{O'}(\vec{P}_A), \quad (3.103)$$

adică proiecțiile vectorului momentului față de doi poli pe axa care leagă acești poli, sînt egale între ele. Mărimea scalară, egală cu proiecția pe o axă dată a vectorului momentului unei forțe în raport cu un punct arbitrar de pe aceeași axă, se numește *momentul forței în raport cu această axă*. Dacă axa Δ trece prin punctul $c(x_0, y_0, z_0)$ și are versorul \vec{e} , care formează cu axele de coordonate unghiurile α, β, γ , momentul forței \vec{P}_A cu proiecțiile X, Y, Z , aplicată în punctul $A(x, y, z)$, se exprimă analitic cu formula

$$M_\Delta(\vec{P}_A) = [\vec{M}_C(\vec{P}_A)\vec{e}] = \begin{vmatrix} x - x_0 & y - y_0 & z - z_0 \\ X & Y & Z \\ \cos \alpha & \cos \beta & \cos \gamma \end{vmatrix}. \quad (3.104)$$

În particular, momentele unei forțe în raport cu axele de coordonate se exprimă cu formulele

$$\left. \begin{aligned} M_x &= \begin{vmatrix} y & z \\ Y & Z \end{vmatrix} = yZ - zY, & M_y &= \begin{vmatrix} z & x \\ Z & X \end{vmatrix} = zX - xZ, \\ M_z &= \begin{vmatrix} x & y \\ X & Y \end{vmatrix} = xY - yX. \end{aligned} \right\} \quad (3.105)$$

Momentul unei forțe în raport cu o axă este egal cu zero, dacă vectorul forță este situat în același plan cu axa, adică o intersectează sau este paralel cu ea. Dacă forța \vec{P} este așezată în planul xOy și este aplicată în punctul $A(x, y, 0)$, atunci $M_x = M_y = 0$, $M_z = xY - yX$. Întrucît în acest caz $M_z = \pm |\vec{M}_O(\vec{P}_A)|$, atunci scalarul momentului forței

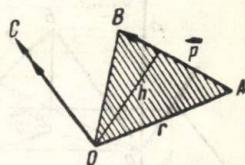


Fig. 3.45.

$M_O(\vec{P}_A)$ în raport cu originea coordonatelor se exprimă cu aceeași formulă

$$M_O(\vec{P}_A) = xY - yX. \quad (3.106)$$

Momentul forței \vec{P}_A în raport cu axa Δ (fig. 3.46) se poate deduce direct, proiectînd vectorul forței \vec{P} pe planul (II), perpendicular pe axa Δ și calculînd mărimea algebrică

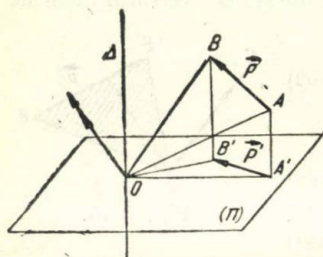


Fig. 3.46.

a momentului acestei proiecții \vec{P}' în jurul punctului de intersecție a planului de proiecție cu axa Δ

$$M_{\Delta}(\vec{P}_A) = M_O(\vec{P}'_A)$$

Dacă în punctul A sînt aplicate n forțe $\vec{P}_1, \vec{P}_2, \dots, \vec{P}_n$, suma momentelor lor față de un punct comun O se exprimă cu formula

$$\sum_{k=1}^n \vec{M}_O(\vec{P}_k) = \vec{OA} \times \sum_{k=1}^n \vec{P}_k. \quad (3.107)$$

Dacă forțele $\vec{P}_1, \vec{P}_2, \dots, \vec{P}_n$ au o rezultantă \vec{R} , această formulă exprimă *teorema lui Varignon*: suma momentelor forțelor, aplicate într-un punct, este egală cu momentul rezultantei

$$\sum_{k=1}^n \vec{M}_O(\vec{P}_k) = \vec{M}_O(\vec{R}_A). \quad (3.108)$$

Dacă însă forțele $\vec{P}_1, \vec{P}_2, \dots, \vec{P}_n$ sînt în echilibru, atunci

$$\sum_{k=1}^n \vec{P}_k = 0 \text{ și formula (3.107) ia forma}$$

$$\sum_{k=1}^n \vec{M}_O(\vec{P}_k) = 0. \quad (3.109)$$

Proiectînd ambii membri ai formulelor (3.108) și (3.109) pe o axă arbitrară Δ , atunci pentru momentele în raport cu o axă ale unui sistem de forțe concurente se obțin formulele

$$\sum_{k=1}^n M_{\Delta}(\vec{P}_k) = M_{\Delta}(\vec{R}_A), \quad (3.108')$$

$$\sum_{k=1}^n M_{\Delta}(\vec{P}_k) = 0. \quad (3.109')$$

3.5

Teoria geometrică a staticii rigidului

§ 3.33. Proprietățile forțelor exterioare aplicate unui rigid

În mecanică fiecare corp se studiază ca un ansamblu de puncte materiale. Dacă distanțele dintre orice puncte materiale ale corpului rămân neschimbate la orice acțiuni mecanice, corpul se numește *perfect rigid* sau, mai scurt, *rigid*. Forțele care măsoară acțiunea altor corpuri asupra punctelor corpului dat se numesc *forțe exterioare*, aplicate corpului dat. Un ansamblu de forțe exterioare, care, fiind aplicat unui corp rigid nu schimbă starea mecanică a corpului este prin definiție un *sistem de forțe în echilibru*. În particular, un *sistem în echilibru*, fiind aplicat unui corp rigid, care se găsește în stare de repaus, nu schimbă această stare a corpului.

În toate problemele mecanicii corpului rigid, acestuia i se pot adăuga orice sisteme de forțe exterioare în echilibru. Ansamblul forțelor, care, fiind adăugat unui sistem dat de forțe, compun împreună cu el un sistem de forțe în echilibru, se numește *sistem de echilibrare* al sistemului dat. Două sisteme de forțe, care pot fi echilibrate prin adăugarea aceluiași sistem de forțe, se numesc *sisteme echivalente*. În toate problemele de mecanică a corpului rigid, un sistem dat de forțe se poate înlocui cu un sistem, care îi este echivalent. Faptul că sistemul de forțe $(\vec{P}_1, \vec{P}_2, \dots, \vec{P}_n)$ este echilibrat, se notează: $(\vec{P}_1, \vec{P}_2, \dots, \vec{P}_n) \sim 0$ și despre un astfel de sistem se spune că este echivalent cu zero. Dacă sistemele de forțe $(\vec{P}_1, \vec{P}_2, \dots, \vec{P}_n)$ și $(\vec{Q}_1, \vec{Q}_2, \dots, \vec{Q}_m)$ sînt echivalente, acest fapt se notează astfel:

$$(\vec{P}_1, \vec{P}_2, \dots, \vec{P}_n) \sim (\vec{Q}_1, \vec{Q}_2, \dots, \vec{Q}_m).$$

Dacă în două puncte ale unui rigid sînt aplicate, pe aceeași dreaptă, două forțe egale în modul și opuse ca sens, ele se echilibrează pe acel corp și invers, dacă două forțe se echilibrează reciproc pe un corp rigid, ele au module egale și sînt îndreptate, în sensuri opuse, pe aceeași dreaptă. Din această proprietate rezultă că o forță dată este echivalentă cu o altă forță al cărei vector este egal cu vectorul forței date, iar punctul ei de aplicație este deplasat într-un punct oarecare pe linia de acțiune a forței date. De aceea, în statica geometrică a corpului solid vectorul unei forțe exterioare nu se consideră aplicat într-un punct anumit, ci ca alunecînd pe o dreaptă dată. Dacă o forță dată \vec{R} este rezultantă a sistemului de forțe $(\vec{P}_1, \vec{P}_2, \dots, \vec{P}_n)$, aplicate în același punct A , atunci ea este echivalentă cu acest sistem: $\vec{R}_A \sim (\vec{P}_1, \vec{P}_2, \dots, \vec{P}_n)$. Dacă sistemul dat $(\vec{P}_1, \vec{P}_2, \dots, \vec{P}_n)$ se transformă în sis-

temul ($\vec{Q}_1, \vec{Q}_2, \dots, \vec{Q}_m$) cu ajutorul deplasării forțelor pe liniile de acțiune, prin adunarea și descompunerea forțelor aplicate într-un punct, prin adăugarea și înlăturarea unor sisteme echilibrate de forțe, atunci sistemul dat și cel obținut vor fi echivalente între ele.

Dacă acțiunea corpului *II* (fig. 3.47) asupra corpului *I* se măsoară prin forța \vec{P}_A , atunci acțiunea corpului *I* asupra corpului *II* se măsoară prin forța \vec{Q}_B , care are aceeași valoare cu forța \vec{P}_A și este îndreptată după aceeași dreaptă *AB* ca și această

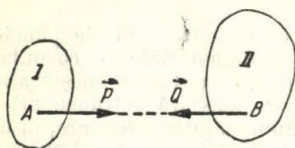


Fig. 3.47.

forță, însă în sens opus. În aceasta constă *legea egalității acțiunii și reacțiunii*.

Dacă din condițiile problemei, un corp rigid trebuie să se rezeme pe alte corpuri rigide sau trebuie să fie legat de ele prin fire întinse, atunci un astfel de corp nu este liber, iar limitările care împiedică mișcarea acestui corp, provocate de alte corpuri, se numesc

legături. Forțele, care măsoară acțiunea asupra unui corp supus la legături din partea acelor corpuri care realizează legăturile impuse, se numesc *reacțiunile legăturilor*.

Reacțiunea unui fir este îndreptată dinspre corp în lungul firului. Reacțiunea unei suprafețe de reazim este îndreptată dinspre suprafață în acea parte, unde se găsește corpul. Dacă reacțiunea unei suprafețe de sprijin este îndreptată obligator pe normala la suprafață în punctul de sprijin, suprafața se numește *netedă*. În caz contrar, reacțiunea \vec{R}_A (fig. 3.48) se descompune într-o componentă \vec{N}_A după normala la suprafață și o componentă \vec{F}_A perpendiculară pe ea.

Componenta \vec{N}_A se numește *reacțiune normală a suprafeței*. Componenta \vec{F}_A măsoară reacțiunea la o alunecare posibilă a corpului pe suprafața de reazim și se numește *forță de frecare de alunecare*. Raportul dintre mărimea forței de frecare de alunecare și mărimea forței de reacțiune normală, atunci când corpul este în mișcare, se numește

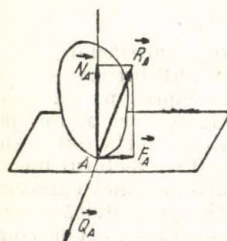


Fig. 3.48.

coeficient de frecare de alunecare. Raportul dintre mărimea forței de frecare maxime și mărimea reacțiunii normale, în cazul când corpul este în repaus, se numește *coeficient de frecare statică*. Coeficientul de frecare static este mai mare decât coeficientul de frecare de alunecare. Unghiul de deviere maximă a reacțiunii suprafeței de sprijin de la normală, a cărei tangentă trigonometrică este egală cu coeficientul de frecare statică, se numește *unghi de frecare*, iar conul cu vîrf în punctul de contact al corpului

cu suprafața de sprijin, ale cărei generatoare indică abaterile maxime ale reacțiunilor de la normala suprafeței de sprijin, se numește *con de frecare*. Dacă punctul material trebuie să rămînă pe o supra-

față rugoasă sub acțiunea unei forțe date \vec{P} , atunci pentru echilibrul punctului este necesar și suficient ca vectorul \vec{P} să fie cuprins în interiorul conului de frecare, sau în cazul limită să fie situat pe o generatoare a lui.

§ 3.34. Forțe concurente

Sistemul de forțe exterioare ($\vec{P}_1, \vec{P}_2, \dots, \vec{P}_n$), aplicate în diferite puncte ale unui același rigid, se numește *sistem de forțe concurente*, dacă liniile de acțiune ale acestor forțe se intersectează într-un punct C .

Sistemul de forțe concurente este echivalent cu o singură forță \vec{R}_C , al cărei vector este egal cu suma vectorilor tuturor forțelor sistemului, iar linia de acțiune trece prin punctul de concurență:

$$(\vec{P}_1, \vec{P}_2, \vec{P}_3, \dots, \vec{P}_n) \propto \vec{R}_C; \vec{R} = \sum_{k=1}^n \vec{P}_k. \text{ În particular, dacă } \vec{R} = 0,$$

sistemul de forțe concurente este echivalent cu zero, adică este în echilibru.

Criteriul geometric de echilibru al unui sistem de forțe concurente este închiderea *poligonului de forțe*, compus din vectorii acestor forțe, iar analitic condițiile de echilibru se exprimă prin egalarea cu zero a sumelor proiecțiilor forțelor date pe trei axe, nesituate în același plan:

$$\sum_{k=1}^n P_{kx} = 0, \sum_{k=1}^n P_{ky} = 0, \sum_{k=1}^n P_{kz} = 0, \text{ adică prin aceleași ecuații (3.95), care exprimau condițiile de echilibru ale forțelor într-un punct.}$$

Dacă sistemul de forțe ($\vec{P}_1, \vec{P}_2, \dots, \vec{P}_n$) concurente în punctul C este echilibrat de o singură forță \vec{Q}_A , atunci linia de acțiune a acestei forțe trece prin punctul de concurență C al sistemului dat, iar vectorul ei este $\vec{Q} = - \sum_{k=1}^n \vec{P}_k$. În particular dacă

două forțe concurente sînt echilibrate de o a treia, toate cele trei forțe sînt situate în același plan și formează un sistem convergent.

Exemplu. Un arc cu trei articulații (fig. 3.49, a), compus din două părți, legate prin articulația C , este fixat pe două articulații fixe A și B și se găsește sub acțiunea sarcinii \vec{P}_D , al cărei vector este situat în același plan cu articulațiile A, B, C . Să se găsească reacțiunile \vec{S}_A și \vec{Q}_B ale articulațiilor A și B . Deoarece

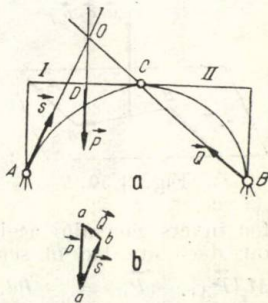


Fig. 3.49.

jumătatea neîncărcată a arcului se găsește sub acțiunea doar a două reacțiuni în punctele B și C , atunci $\vec{Q}_B \parallel \vec{BC}$. Deoarece forțele \vec{P}_D și \vec{Q}_B sînt concurente în punctul O , atunci $\vec{S}_A \parallel \vec{AO}$. Vectorii \vec{S} și \vec{Q} se obțin din triunghiul de forțe dab (fig. 3.49, b), în care $da \parallel \vec{P}$, $ab \parallel \vec{AO}$, $bd \parallel \vec{BO}$.

§ 3.35. Cupluri de forțe

Se numește *cuplu de forțe* un sistem de două forțe exterioare, ale căror module sînt egale între ele, liniile de acțiune paralele, iar sensurile opuse. Distanța dintre liniile de acțiune a forțelor cuplului se numește *braț*.

Produsul dintre modulul forțelor cuplului și braț se numește *modulul momentului cuplului*. Un cuplu de forțe, al cărui modul este P și care sînt aplicate în punctele A și B , se notează $(\vec{P}_A, -\vec{P}_B)$. Dacă brațul este egal cu d , momentul are modulul Pd . Suma vectorilor momentelor forțelor cuplului în jurul oricărui centru este aceeași și se exprimă cu formula

$$\vec{M}_O(\vec{P}_A) + \vec{M}_O(-\vec{P}_B) = \vec{BA} \times \vec{P} = \vec{M}_B(\vec{P}_A).$$

Vectorul liber (fig. 3.50) egal cu suma momentelor forțelor cuplului în jurul unui centru arbitrar, se numește *momentul cuplului* și se notează $\vec{M}(\vec{P}_A, -\vec{P}_B)$, astfel că

$$\vec{M}(\vec{P}_A, -\vec{P}_B) = \vec{BA} \times \vec{P}. \quad (3.110)$$

Momentul cuplului are modulul $|\vec{M}(\vec{P}_A, -\vec{P}_B)| = Pd$ și este îndreptat perpendicular pe planul cuplului în aceeași parte a lui ca și vectorul moment $\vec{M}_B(\vec{P}_A)$. Prin urmare, în cazul convenției triedrului drept pentru produsul vectorial, momentul cuplului este îndreptat dinspre plan în acea parte, de la care cuplul se observă ca rotindu-și brațul în sens invers mersului acelor ceasornicului.

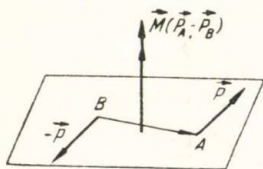


Fig. 3.50.

Atunci cînd planul cuplului este observat dintr-o parte aleasă arbitrar, momentului cuplului i se atribuie semnul pozitiv sau negativ după felul cum cuplul pare că-și rotește brațul: dacă rotația are loc în sens mersului acelor ceasornicului, $M(\vec{P}_A, -\vec{P}_B) = +Pd$, iar dacă are loc în sensul mersului acelor ceasornicului, atunci $M(\vec{P}_A, -\vec{P}_B) = -Pd$. Momentul unui cuplu servește ca măsură a acțiunii mecanice a acestui cuplu asupra corpului căruia îi este aplicat.

Două cupluri, care au același moment, sînt echivalente și invers, dacă două cupluri sînt echivalente, momentele lor sînt egale între ele. În particular, dacă două cupluri sînt situate într-un plan sau în plane paralele, atunci pentru echivalența lor este necesar și suficient ca scalarii momentelor lor să fie egali. Orice sistem de cupluri, aplicate unui corp, este echivalent cu un cuplu unic, al cărui vector de moment este egal cu suma momentelor acestor cupluri:

$$\sum_{k=1}^n (\vec{P}_k, -\vec{P}_k) \propto (\vec{R}_A, -\vec{R}_B) \text{ și } \vec{M}(\vec{R}_A, -\vec{R}_B) = \sum_{k=1}^n \vec{M}(\vec{P}_k, -\vec{P}_k).$$

În particular, un sistem plan de cupluri este echivalent cu un cuplu unic în același plan și mărimea algebrică a momentului său este egală cu suma algebrică a scalarilor momentelor cuplurilor date. *Condiția necesară și suficientă ca un sistem de cupluri să fie în echilibru este ca suma momentelor lor să fie egală cu zero.* În particular, un sistem plan de cupluri este în echilibru atunci și numai atunci, cînd suma algebrică a scalarilor momentelor acestor cupluri este egală cu zero. Cuplul nu poate fi echivalent cu o forță și nu poate fi echilibrat cu o singură forță. Cu ajutorul unui cuplu, forța \vec{P}_A poate fi deplasată, fără a-i schimba vectorul \vec{P} , din punctul A în orice punct B , adăugînd cuplul $(\vec{P}_A, -\vec{P}_B)$ de moment $\vec{M}(\vec{P}_A, -\vec{P}_B) = \vec{M}_B(\vec{P}_A)$, adică $\vec{P}_A \propto \vec{P}_B$, $(\vec{P}_A, -\vec{P}_B)$. Această operație se numește *transportul paralel al forței*.

Exemplu. Un arc cu trei articulații, A , B și C (fig. 3.51) se găsește sub acțiunea cuplului $(\vec{P}, -\vec{P})$, aplicat unei jumătăți în planul articulațiilor A , B , C . Să se găsească reacțiunile \vec{S}_A și \vec{Q}_B .

Întrucît aceste reacțiuni trebuie să formeze un cuplu, care să echilibreze sarcina dată, $M(\vec{Q}_B, \vec{S}_A) + M(\vec{P}, -\vec{P}) = 0$. Deoarece $\vec{Q}_B \parallel BC$, atunci $\vec{S}_A \parallel BC$ și $S = Q = \frac{|M(\vec{P}, -\vec{P})|}{h}$, unde h este distanța de

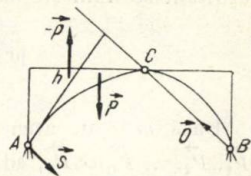


Fig. 3.51.

§ 3.36. Reducerea unui sistem de forțe într-un punct dat

Orice sistem de forțe exterioare (P_1, P_2, \dots, P_n) , aplicat unui corp rigid, se poate transforma într-un sistem cu care este echivalent, constînd dintr-o forță aplicată unui punct dinainte dat O și dintr-un cuplu

$$(\vec{P}_1, \vec{P}_2, \dots, \vec{P}_n) \propto \vec{R}_0, \quad (\vec{Q}_A, -\vec{Q}_B). \quad (3.114)$$

Vectorul \vec{R} al forței este egal cu suma vectorilor forțelor date

$$\vec{R} = \sum_{k=1}^n \vec{P}_k. \quad (3.112)$$

El se numește *vectorul rezultat al sistemului de forțe*. Vectorul rezultat nu depinde de alegerea centrului O de reducere. Vectorul \vec{M}_O al momentului cuplului $(\vec{Q}_A, -\vec{Q}_B)$ este egal cu suma momentelor forțelor date în jurul centrului de reducere ales

$$\vec{M}_O = \sum_{k=1}^n \vec{M}_O(\vec{P}_k). \quad (3.113)$$

El se numește *vectorul moment rezultat al sistemului de forțe*. Momentul rezultat depinde în general de alegerea centrului de reducere, iar vectorii \vec{M}_O și $\vec{M}_{O'}$ sînt legați între ei cu formula

$$\vec{M}_O = \vec{M}_{O'} + \vec{OO'} \times \vec{R}. \quad (3.114)$$

Transformarea ulterioară a sistemului depinde de valoarea rezultantei \vec{R} . Dacă $\vec{R} = 0$, atunci și $\vec{M}_O = \vec{M}_{O'}$, adică momentul rezultat nu depinde în acest caz de alegerea centrului de reducere și sistemul, după reducere, se transformă într-un singur cuplu, al cărui vector de moment este egal cu valoarea constantă a momentului rezultat. Dacă această valoare este zero, sistemul este în echilibru.

Dacă $\vec{R} \neq 0$ (fig. 3.52), atunci proiectînd pe suportul vectorului rezultat formula (3.114), se obține: $\text{pr}_{\vec{R}} \vec{M}_O = \text{pr}_{\vec{R}} \vec{M}_{O'}$. Mărima constantă m a proiecției momentului rezultat pe direcția vectorului rezultat se numește *momentul rezultat minim al sistemului de forțe*

$$\text{pr}_{\vec{R}} \vec{M}_O = m = \frac{(\vec{M}_O \cdot \vec{R})}{|\vec{R}|}. \quad (3.115)$$

Dacă $m = 0$, atunci sau $\vec{M}_O = 0$, sau $\vec{M}_O \perp \vec{R}$. În primul caz $(\vec{P}_1, \vec{P}_2, \dots, \vec{P}_n) \sim \vec{R}_0$, adică sistemul este echivalent cu forța rezultantă, a cărei linie de acțiune trece prin centrul O de reducere. În al doilea caz (fig. 3.53) cuplul poate fi luat în forma $(-\vec{R}_O, \vec{R}_C)$, unde $OC \perp \vec{R}$,

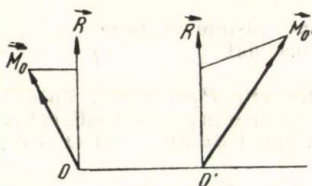


Fig. 3.52.

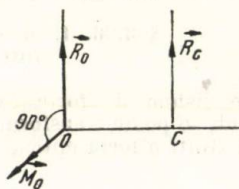


Fig. 3.53.

$\vec{M}_O, OC = \frac{|\vec{M}_O|}{|\vec{R}|}$ și atunci $(\vec{P}_1, \vec{P}_2, \dots, \vec{P}_n) \sim \vec{R}_C$, adică sistemul

este din nou echivalent cu o forță rezultantă unică \vec{R}_C . În acest caz

$$\vec{M}_O(\vec{R}_C) = \sum_{k=1}^n \vec{M}_O(\vec{P}_k).$$

Dacă $m \neq 0$ (fig. 3.54), atunci descompunând \vec{M}_O în componentele \vec{m} și \vec{n} astfel ca $\vec{m} \parallel \vec{R}$ și $\vec{n} \perp \vec{R}$. înlocuim cuplul ce are momentul \vec{M}_O , prin două cupluri, $(-\vec{R}_O, \vec{R}_C)$ cu momentul \vec{n} , avînd $OC \perp \vec{R}$, \vec{M}_O ,

$OC = \frac{|\vec{n}|}{|\vec{R}|}$, și $(\vec{T}_D, -\vec{T}_C)$ cu momentul \vec{m} , și atunci $(\vec{P}_1, \vec{P}_2, \dots,$

$\dots, \vec{P}_n) \sim \vec{R}_C, (\vec{T}_D, -\vec{T}_C).$

Momentul rezultat \vec{M}_C are la reducerea în centrul C un vector egal cu momentul \vec{m} : $\vec{M}_C = \vec{m}$. Mărima algebrică a acestei componente este egală cu cel mai mic moment m al sistemului dat. Sistemul redus — $\vec{R}_C, (\vec{T}_D, -\vec{T}_C)$, compus dintr-o forță și un cuplu al cărui plan este perpendicular pe vectorul forței, se numește *torsor minimal* sau *dinamă*. Raportul dintre vectorul \vec{m} al momentului cuplului torsorului minimal și vectorul \vec{R} al forței sale se numește *parametrul torsorului minimal*.

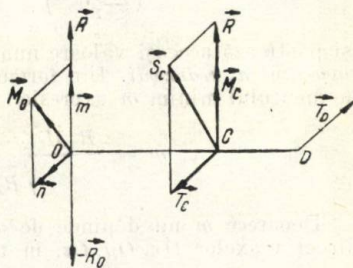


Fig. 3.54.

Adunînd forțele \vec{R}_C și $-\vec{T}_C$ în rezultanta \vec{S}_C , se obține: $(\vec{P}_1, \vec{P}_2, \dots$

$\dots, \vec{P}_n) \sim \vec{S}_C, \vec{T}_D$ astfel că vectorii \vec{S}_C și \vec{T}_D nu se intersectează.

Prin urmare, rezultatele reducerii sistemului se pot așeza într-o tabelă

$\vec{R} \neq 0$ } Torsor minimal sau două
 $m \neq 0$ } forțe care nu se intersec-
 tează,

$\vec{R} = 0$ }
 $\vec{M} \neq 0$ } un cuplu,

$\vec{R} \neq 0$ }
 $m = 0$ } forță rezultantă,

$\vec{R} = 0$ }
 $\vec{M} = 0$ } sistem în echilibru (echi-
 valent cu zero).

§ 3.37. Invarianții reducerii

Dacă sistemul de forțe ($\vec{P}_1, \vec{P}_2, \dots, \vec{P}_n$) este redus la centrul O , considerat ca origine a axelor de coordonate Ox, Oy, Oz , atunci vectorul rezultatant \vec{R} și momentul rezultatant \vec{M}_O se exprimă prin proiecțiile X_k, Y_k, Z_k ale forțelor \vec{P}_k și prin coordonatele x_k, y_k, z_k ale punctelor lor de aplicație cu ajutorul formulelor

$$\left. \begin{aligned} R_x &= \sum_{k=1}^n X_k, \quad R_y = \sum_{k=1}^n Y_k, \quad R_z = \sum_{k=1}^n Z_k, \\ M_{Ox} &= \sum_{k=1}^n (y_k Z_k - z_k Y_k), \quad M_{Oy} = \sum_{k=1}^n (z_k X_k - x_k Z_k), \\ M_{Oz} &= \sum_{k=1}^n (x_k Y_k - y_k X_k). \end{aligned} \right\} \quad (3.116)$$

Deoarece $|\vec{R}|$ nu depinde de alegerea centrului O , în toate sistemele de axe expresia

$$I_1 = \left(\sum_{k=1}^n X_k \right)^2 + \left(\sum_{k=1}^n Y_k \right)^2 + \left(\sum_{k=1}^n Z_k \right)^2 \quad (3.117)$$

își păstrează aceeași valoare numerică și de aceea se numește *primul invariant al reducerii*. Din formula (3.115) se obține pentru scalarul momentului minim m expresia

$$m = \frac{R_x M_{Ox} + R_y M_{Oy} + R_z M_{Oz}}{\sqrt{R_x^2 + R_y^2 + R_z^2}}.$$

Deoarece m nu depinde de alegerea centrului de reducere și de direcția axelor Ox, Oy, Oz , în toate cazurile expresia

$$I_2 = R_x M_{Ox} + R_y M_{Oy} + R_z M_{Oz} \quad (3.118)$$

își păstrează aceeași valoare numerică și de aceea se numește *al doilea invariant al reducerii*. Dacă $I_1 = 0$, atunci și $I_2 = 0$ și sistemul se reduce la un cuplu sau este echilibrat. Dacă $I_1 \neq 0$, iar $I_2 = 0$, sistemul se reduce la o forță rezultatantă. Dacă $I_1 \neq 0$ și $I_2 \neq 0$, sistemul se reduce la o dinamă.

§ 3.38. Axa centrală

Dacă rezultatanta $\vec{R} \neq 0$ și momentul minim $m \neq 0$, există o dreaptă, față de punctele căreia momentul rezultatant al sistemului de forțe dat este paralel cu vectorul rezultatant al acestui sistem.

Această dreaptă se numește *axa centrală a sistemului de forțe*. În orice sistem de axe $Oxyz$, ea este determinată de ecuațiile

$$\begin{aligned} \frac{M_{Ox} - (yR_z - zR_y)}{R_x} &= \frac{M_{Oy} - (zR_x - xR_z)}{R_y} = \\ &= \frac{M_{Oz} - (xR_y - yR_x)}{R_z} \end{aligned} \quad (3.119)$$

Vectorul forță al acelei diname, care este echivalentă cu sistemul de forțe dat, este îndreptat după axa centrală. Prin axă centrală a unui sistem, echivalent cu o forță rezultantă \vec{R}_C , se înțelege linia de acțiune a acestei forțe. Ecuațiile de proiecții ale liniei de acțiune a forței rezultante pe planele de coordonate se exprimă cu formulele

$$yR_z - zR_y = M_{Ox}, \quad zR_x - xR_z = M_{Oy}, \quad xR_y - yR_x = M_{Oz}. \quad (3.120)$$

§ 3.39. Condițiile necesare de echilibru ale unui rigid

Dacă sub acțiunea unui sistem $(\vec{P}_1, \vec{P}_2, \dots, \vec{P}_n)$ de forțe exterioare un rigid se găsește în echilibru, acest sistem trebuie să fie în echilibru, adică pentru el $\vec{R} = 0$ și $\vec{M}_O = 0$. În proiecții pe axele Ox , Oy , Oz aceste condiții dau șase ecuații de echilibru

$$\left. \begin{aligned} \sum_{k=1}^n P_{kx} &= 0, \quad \sum_{k=1}^n P_{ky} = 0, \quad \sum_{k=1}^n P_{kz} = 0, \\ \sum_{k=1}^n M_{Ox}(\vec{P}_k) &= \sum_{k=1}^n (y_k P_{kz} - z_k P_{ky}) = 0, \\ \sum_{k=1}^n M_{Oy}(\vec{P}_k) &= \sum_{k=1}^n (z_k P_{kx} - x_k P_{kz}) = 0, \\ \sum_{k=1}^n M_{Oz}(\vec{P}_k) &= \sum_{k=1}^n (x_k P_{ky} - y_k P_{kx}) = 0, \end{aligned} \right\} \quad (3.124)$$

adică în cazul echilibrului unui corp rigid sub acțiunea unui sistem de forțe exterioare, suma proiecțiilor tuturor forțelor aplicate corpului pe fiecare axă de coordonate și suma momentelor acestor forțe în raport cu fiecare axă de coordonate sînt egale cu zero. În cazul corpului supus la legături, în aceste ecuații intervin atît forțele date, cît și reacțiunile legăturilor, care apar.

Pentru un rigid cu un punct fix O , condițiile de echilibru sînt reprezentate de ecuațiile

$$\left. \begin{aligned} \sum_{k=1}^n M_{Ox}(\vec{F}_k) &= 0, \quad \sum_{k=1}^n M_{Oy}(\vec{F}_k) = 0, \\ \sum_{k=1}^n M_{Oz}(\vec{F}_k) &= 0, \end{aligned} \right\} \quad (3.122)$$

unde \vec{F}_k sînt forțele date.

Exemplu. O ușă de greutate P , care se rotește în jurul unei axe verticale AB , este fixată jos într-un lagăr axial A și sus în lagărul B ; ea se află în repaus sub acțiunea forței \vec{Q}_D , aplicată normal pe planul ușii în punctul D , și al unei forțe orizontale necunoscute \vec{T}_C , aplicată în punctul C al cărei suport formează cu latura AC un unghi de 45° . Să se determine scalarul T al forței \vec{T}_C și reacțiunile \vec{S}_A și \vec{R}_B (fig. 3.55).

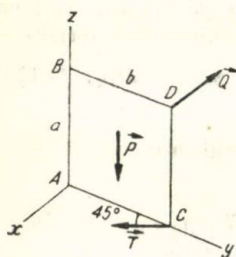


Fig. 3.55.

Luind AB drept axă Oz și AC drept axă Oy , compunem tabela proiecțiilor și momentelor forțelor

	x	y	z	M_{Ox}	M_{Oy}	M_{Oz}
\vec{P}	0	0	$-P$	$-\frac{bP}{2}$	0	0
\vec{Q}	$-Q$	0	0	0	$-aQ$	bQ
\vec{T}	$T\frac{\sqrt{2}}{2}$	$-T\frac{\sqrt{2}}{2}$	0	0	0	$-\frac{b\sqrt{2}}{2}T$
\vec{S}_A	S_x	S_y	S_z	0	0	0
\vec{R}_B	R_x	R_y	0	$-aR_y$	aR_x	0

De aici rezultă ecuațiile de echilibru

$$\begin{aligned} S_x + R_x - Q + T\frac{\sqrt{2}}{2} &= 0, \quad S_y + R_y - T\frac{\sqrt{2}}{2} = 0, \quad -P + S_z = 0, \\ -aR_y - \frac{bP}{2} &= 0, \quad aR_x - aQ = 0, \quad bQ - \frac{b\sqrt{2}}{2}T = 0. \end{aligned}$$

Prin urmare

$$T = Q\sqrt{2}, \quad R_x = Q, \quad R_y = -\frac{Pb}{2a}, \quad S_y = Q + \frac{Pb}{2a}, \quad S_z = P.$$

Pentru un rigid cu două puncte fixe O și O' , condiția de echilibru este

$$\sum_{k=1}^n M_{Oo'}(\vec{F}_k) = 0, \quad (3.123)$$

unde \vec{F}_k sînt forțele date. Considerînd dreapta OO' drept axă Oz , pentru determinarea reacțiunilor \vec{N}_o și $\vec{N}_{o'}$ ale punctelor fixe O și O' obținem ecuațiile

$$\left. \begin{aligned} \sum_{k=1}^n F_{kx} + N_x + N'_x &= 0, \quad \sum_{k=1}^n F_{ky} + N_y + N'_y = 0, \\ \sum_{k=1}^n F_{kz} + N_z + N'_z &= 0, \quad \sum_{k=1}^n M_{Ox}(\vec{F}_k) - hN'_y = 0, \\ \sum_{k=1}^n M_{Oy}(\vec{F}_k) + hN'_x &= 0, \end{aligned} \right\} \quad (3.124)$$

unde $h = OO'$. Aceste ecuații determină componentele transversale la axa OO' și ale lui $\vec{N}_x, \vec{N}_y, \vec{N}'_x, \vec{N}'_y$ și suma $\vec{N}_z + \vec{N}'_z$ ale componentelor longitudinale.

§ 3.40 Sistemul plan de forțe

Dacă suporturile tuturor forțelor exterioare, aplicate unui rigid se găsesc în același plan, sistemul se numește *plan*. Suportul rezultantei lui, \vec{R} este situată în același plan, iar momentul resultant \vec{M}_O calculat în raport cu un punct O din acest plan este perpendicular pe plan. Din acest motiv, pentru un sistem plan momentul resultant minim $m = 0$ și acest sistem plan nu se poate reduce la o dinamă, ci este echivalent cu o forță unică \vec{R} , dacă $\vec{R} \neq 0$, sau cu un cuplu, dacă $\vec{R} = 0$ și $\vec{M}_O \neq 0$ sau, în sfîrșit, este în echilibru dacă $\vec{R} = 0$ și $\vec{M}_O = 0$. Dacă se ia ca plan xOy , planul forțelor, condițiile de echilibru ale unui sistem plan se exprimă prin trei ecuații

$$\sum_{k=1}^n P_{kx} = 0, \quad \sum_{k=1}^n P_{ky} = 0, \quad \sum_{k=1}^n M_O(\vec{P}_k) = 0. \quad (3.125)$$

Exemplu. Un arc cu trei articulații, A , B și C se găsește sub acțiunea sarcinilor \vec{P}_1 și \vec{P}_2 . Să se găsească reacțiunile \vec{S}_A și \vec{Q}_B (fig. 3.56). Ecuațiile de echilibru ale arcului, considerat ca un singur corp, sînt

$$P_{1x} + P_{2x} + S_x + Q_x = 0,$$

$$P_{1y} + P_{2y} + S_y + Q_y = 0.$$

$$M_A(\vec{P}_1) + M_A(\vec{P}_2) + (a_1 + a_2) Q_y = 0.$$

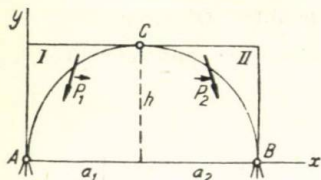


Fig. 3.56.

Ele conțin patru necunoscute. A patra ecuație dă condiția de echilibru a jumătății din stînga a arcului

$$M_C(\vec{P}_1) - a_1 S_y + h S_x = 0.$$

În locul acestor trei ecuații se pot folosi, independent de alegerea axelor, trei ecuații de momente. Astfel, pentru ca un sistem plan de forțe să fie în echilibru este necesar și suficient să fie nule sumele algebrice ale momentelor forțelor în raport cu trei puncte din planul lor nesituate pe aceeași dreaptă.

§ 3.41. Metoda grafică de reducere a unui sistem plan de forțe

Pentru reducerea grafică a unui sistem plan de forțe ($\vec{P}_1, \vec{P}_2, \vec{P}_3, \dots, \vec{P}_n$), se construiește înainte de toate *poligonul forțelor* (fig. 3.57), adică linia frîntă $a_1 a_2 \dots b$, ale cărei laturi sînt echipolente cu vectorii forțe ai sistemului dat. Virful acestui poligon se leagă prin razele (1), (2), (3), ..., $(n+1)$ cu un pol arbitrar O din planul forțelor. După aceasta, dintr-un punct arbitrar K se construiește linia frîntă $KB_1 B_2 \dots B_n L$ (fig. 3.58), ale cărei vîrfuri intermediare $B_1 B_2 \dots B_n$ se

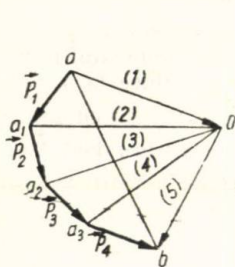


Fig. 3.57.

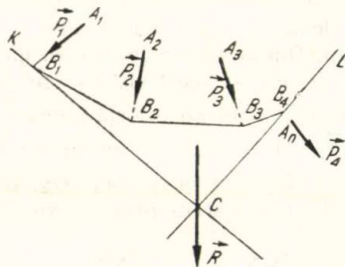


Fig. 3.58.

află pe suporturile forțelor sistemului dat, laturile fiind paralele cu razele polare ale poligonului de forțe, care se reazăimă pe laturile corespunzătoare forței examinate. Această linie frântă $KB_1B_2...B_nL$ se numește *poligonul lui Varignon* sau *poligonul funicular*.

Sînt posibile trei cazuri.

1) Dacă poligonul forțelor nu este închis (fig. 3.57), vectorul \vec{ab} , care îl închide, reprezintă vectorul rezultat \vec{R} al sistemului și sistemul este echivalent cu o forță unică \vec{R}_G care trece prin punctul C de intersecție a laturilor extreme ale poligonului lui Varignon (fig. 3.58).

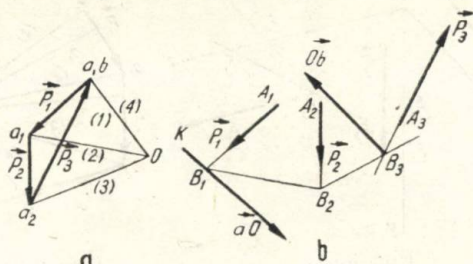


Fig. 3.59.

2) Dacă poligonul forțelor este închis (fig. 3.59, a), prima și ultima rază se confundă, iar laturile extreme ale poligonului lui Varignon sînt paralele între ele. Vectorul rezultat $\vec{R} = 0$ și sistemul este echivalent cu un cuplu de forțe (fig. 3.59, b), ale cărui forțe sînt îndreptate după laturile extreme ale poligonului lui Varignon și se reprezintă printr-o rază polară dublă, orientată în sensuri opuse: $\vec{P}_1, \vec{P}_2, \dots, \vec{P}_n \sim (a\vec{O}_{B_1}, \vec{O}b_{B_3})$.

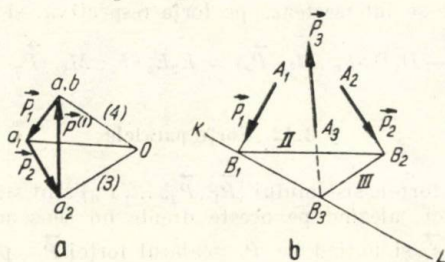


Fig. 3.60.

3) Dacă avem $\vec{R} = 0$ (fig. 3.60, a) și laturile extreme ale poligonului lui Varignon sînt situate pe aceeași dreaptă (fig. 3.60, b), el se numește *închis* și sistemul plan de forțe este în acest caz în echilibru.

Figura compusă din poligonul forțelor și din razele sale se numește *conjugată* cu figura compusă din poligonul lui Varignon și din liniile de acțiune ale forțelor sistemului dat în sensul că pentru fiecare dreaptă din prima figură există o dreaptă paralelă cu a doua, iar unui triunghi din prima figură (de exemplu ΔaOa_1), îi corespunde pe a doua un punct B_1 , în care se intersectează dreptele paralele cu laturile triunghiului primei figuri. Prin schimbarea punctului O se schimbă razele poligonului de forță și laturile poligonului lui Varignon.

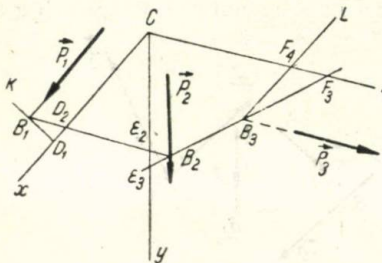


Fig. 3.61.

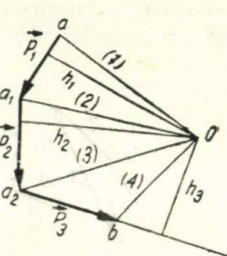


Fig. 3.62.

În același timp, laturile omoloage a două poligoane Varignon, construite pentru punctele O și O' , se intersectează pe o dreaptă paralelă cu OO' . Cu ajutorul poligonului lui Varignon se pot determina grafic momentele forțelor unui sistem plan față de un punct C . Pentru aceasta, prin punctul C se duc drepte, paralele cu forțele (fig. 3.61), iar din punctul O se coboară perpendiculare pe laturile poligonului forțelor (fig. 3.62). Pe dreptele duse prin C paralele cu forțele se înseamnă segmentele delimitate pe ele de către laturile poligonului Varignon, care se intersectează pe forța respectivă, și se obține

$$M_C(\vec{P}_1) = -D_1D_2 \cdot h_1; M_C(\vec{P}_2) = E_2E_3 \cdot h_2; M_C(\vec{P}_3) = F_3F_4 \cdot h_3.$$

§ 3.42. Forțe paralele

Dacă toate forțele sistemului ($\vec{P}_1, \vec{P}_2, \dots, \vec{P}_n$) sînt situate pe drepte paralele, atunci, alegînd pe aceste drepte un sens anumit, indicat prin versorul \vec{e} , și notînd cu P_k scalarul forței \vec{P}_k , pentru vectorul rezultant \vec{R} al sistemului și pentru momentul rezultant \vec{M}_O obținem formulele

$$\vec{R} = \vec{e} \sum_{k=1}^n P_k, \quad \vec{M}_O = \sum_{k=1}^n P_k \vec{r}_k \times \vec{e},$$

unde \vec{r}_k sînt razele vectoriale ale punctelor de aplicație ale forțelor față de centrul O . Vectorul

$$\vec{S}_O = \sum_{k=1}^n P_k \vec{r}_k \quad (3.126)$$

se numește *vectorul momentului static al sistemului de forțe paralele* față de punctul O , iar proiecțiile pe axele, Ox , Oy , Oz , adică

$$S_x = \sum_{k=1}^n P_k x_k, \quad S_y = \sum_{k=1}^n P_k y_k, \quad S_z = \sum_{k=1}^n P_k z_k, \quad (3.127)$$

se numesc *momentele statice în raport cu planele yOz , zOx și xOy respectiv*. Momentul resultant \vec{M}_O se exprimă în funcție de cel static \vec{S}_O cu formula

$$\vec{M}_O = \vec{S}_O \times \vec{e}, \quad (3.128)$$

Dacă se deplasează punctul O în O' , astfel că $\vec{OO'} = \vec{\rho}$, momentul static se schimbă după formula

$$\vec{S}_O = \vec{S}_{O'} + \vec{\rho} \sum_{k=1}^n P_k. \quad (3.129)$$

Dacă $\sum_{k=1}^n P_k \neq 0$, atunci $\vec{R} \perp \vec{M}_O$ și de aceea un sistem de forțe

paralele nu se poate reduce la o dinamică. În cazul cînd $\sum_{k=1}^n P_k \neq 0$, există un centru C , în care momentul static este egal cu zero. Acest centru se numește *centrul forțelor paralele*. Poziția lui față de originea arbitrară O este determinată de raza vectorială

$$\vec{\rho} = \frac{\vec{S}_O}{\sum_{k=1}^n P_k} = \frac{\sum_{k=1}^n P_k \vec{r}_k}{\sum_{k=1}^n P_k}, \quad (3.130)$$

iar coordonatele sînt date de formulele

$$y_G = \frac{\sum_{k=1}^n P_k x_k}{\sum_{k=1}^n P_k}, \quad y_C = \frac{\sum_{k=1}^n P_k y_k}{\sum_{k=1}^n P_k}, \quad z_G = \frac{\sum_{k=1}^n P_k z_k}{\sum_{k=1}^n P_k}. \quad (3.131)$$

Poziția centrului sistemului de forțe paralele nu depinde de direcția forțelor, ci numai de mărimile lor și de punctele de aplicație. Momen-

tul rezultat $\vec{M}_C = 0$ și de aceea pentru $\sum_{k=1}^n P_k \neq 0$ sistemul de

forțe paralele este echivalent cu rezultanta \vec{R}_C , a cărei linie de acțiune trece prin centrul sistemului: $(\vec{P}_1, \vec{P}_2, \dots, \vec{P}_n) \propto \vec{R}_C$. În cazul a două forțe îndreptate în același sens, centrul împarte interior segmentul, care unește punctele lor de aplicație, în părți, invers proporționale cu modulele forțelor, și exterior în cazul forțelor îndreptate în sensuri opuse.

Dacă $\sum_{k=1}^n P_k = 0$, momentul static și cel rezultat nu depind de alegerea centrului sistemului și sistemul este echivalent cu un cuplu (pentru $\vec{M}_O \neq 0$) sau este în echilibru (pentru $\vec{M}_O = 0$).

Ultima condiție este satisfăcută pentru $\vec{S}_O = 0$ și atunci ecuațiile de echilibru au forma

$$\left. \begin{aligned} \sum_{k=1}^n P_k = 0, \quad \sum_{k=1}^n P_k x_k = 0, \quad \sum_{k=1}^n P_k y_k = 0, \quad \sum_{k=1}^n P_k z_k = 0. \end{aligned} \right\} \quad (3.132)$$

Sistemul de forțe paralele rămâne în echilibru când se schimbă direcția forțelor și echilibrul se numește *indiferent* (sau *astatic*). Condiția $\vec{M}_O = 0$ este satisfăcută și pentru $\vec{S}_O \parallel \vec{e}$ și atunci ecuațiile de echilibru au forma

$$\sum_{k=1}^n P_k = 0, \quad \frac{\sum_{k=1}^n P_k x_k}{\cos \alpha} = \frac{\sum_{k=1}^n P_k y_k}{\cos \beta} = \frac{\sum_{k=1}^n P_k z_k}{\cos \gamma}, \quad (3.133)$$

unde α, β, γ , sînt unghiurile cu axele dreptelor pe care sînt situate forțele paralele. Acest echilibru nu se menține la schimbarea direcției forțelor.

§ 3.43. Centrul de greutate

În problemele tehnice, forțele care reprezintă greutatea punctelor materiale ale unui corp rigid se pot considera paralele și în acest caz centrul acestor forțe paralele se numește *centrul de greutate al corpului*. Poziția centrului de greutate al corpului față de corp nu depinde de orientarea corpului față de pămînt. Pentru determinarea centrului de greutate al unui corp continuu, care umple volumul V , se descompune volumul în particule infinit mici ΔV_k . Dacă mărimea greutății particulei ΔV_k este ΔP_k , limita raportului $\frac{\Delta P_k}{\Delta V_k}$, atunci când ΔV_k se reduce la un punct $M(x, y, z)$, se numește *greutate specifică* a

corpului în punctul dat M : $\lim_{\Delta V_k \rightarrow M} \frac{\Delta P_k}{\Delta V_k} = \gamma(x, y, z)$. În puncte diferite, greutatea specifică are, în general, valori diferite. Dacă ea este, însă, constantă, corpul se numește *omogen*. Greutatea totală P a corpului se exprimă în funcție de greutatea specifică dată $\gamma(x, y, z)$ cu formula

$$P = \lim_{\Delta V_k \rightarrow 0} \sum_{k=1}^n P_k = \iiint_{(V)} \gamma(x, y, z) dx dy dz. \quad (3.134)$$

Formulele generale (3.131) pentru coordonatele centrului forțelor paralele, capătă, în cazul centrului de greutate, forma

$$\left. \begin{aligned} x_C &= \frac{\iiint_{(V)} \gamma(x, y, z) x dx dy dz}{\iiint_{(V)} \gamma(x, y, z) dx dy dz}, \\ y_C &= \frac{\iiint_{(V)} \gamma(x, y, z) y dx dy dz}{\iiint_{(V)} \gamma(x, y, z) dx dy dz}, \\ z_C &= \frac{\iiint_{(V)} \gamma(x, y, z) z dx dy dz}{\iiint_{(V)} \gamma(x, y, z) dx dy dz}, \end{aligned} \right\} \quad (3.135)$$

iar în cazul corpului omogen

$$\left. \begin{aligned} x_C &= \frac{\iiint_{(V)} x dx dy dz}{\iiint_{(V)} dx dy dz}, & y_C &= \frac{\iiint_{(V)} y dx dy dz}{\iiint_{(V)} dx dy dz}, \\ z_C &= \frac{\iiint_{(V)} z dx dy dz}{\iiint_{(V)} dx dy dz}. \end{aligned} \right\} \quad (3.135')$$

Centrul de greutate al corpului omogen se numește uneori *centrul volumului* acelui corp. Dacă un corp omogen are un plan, o axă sau un centru de simetrie geometrică, centrul lui de greutate este situat

în planul, pe axa sau în centrul de simetrie. Dacă un corp omogen are forma unui strat de grosime infinit mică h , limitat de suprafața S , de arie A , atunci, împărțind suprafața în elemente infinit mici $\Delta\sigma_k$, pentru coordonatele centrului de greutate se obțin formulele

$$x_G = \frac{\iint_{(S)} x d\sigma}{A}, \quad y_G = \frac{\iint_{(S)} y d\sigma}{A}, \quad z_G = \frac{\iint_{(S)} z d\sigma}{A}. \quad (3.136)$$

Dacă suprafața S este un trapez plan curbiliniu, limitat de curba $y = f(x)$ și de dreptele $x = a$ și $x = b$, centrul ei de greutate este determinat de coordonatele

$$x_G = \frac{\int_a^b x f(x) dx}{\int_a^b f(x) dx}, \quad y_G = \frac{\int_a^b f^2(x) dx}{2 \int_a^b f(x) dx}. \quad (3.136')$$

Acest punct C se numește *centrul de greutate al suprafeței*.

Dacă un corp omogen are forma unei linii infinit subțiri L cu secțiunea transversală σ , atunci, împărțind linia în părți infinit mici ΔL_k , pentru coordonatele centrului de greutate se obțin formulele

$$x_G = \frac{\int_L x dS}{L}, \quad y_G = \frac{\int_L y dS}{L}, \quad z_G = \frac{\int_L z dS}{L}. \quad (3.137)$$

Acest punct C se numește *centrul de greutate al liniei*.

Dacă un corp, o suprafață sau o linie sînt împărțite în n părți, ale căror dimensiuni și poziții ale centrelor de greutate sînt cunoscute, atunci coordonatele centrului de greutate al corpului, suprafeței sau liniei se determină cu următoarele formule:

$$\left. \begin{aligned} &\text{pentru corp} \\ &x_G = \frac{\sum_{k=1}^n x_k V_k}{V}, \quad y_G = \frac{\sum_{k=1}^n y_k V_k}{V}, \quad z_G = \frac{\sum_{k=1}^n z_k V_k}{V} \\ &\text{pentru suprafață} \\ &x_G = \frac{\sum_{k=1}^n x_k A_k}{A}, \quad y_G = \frac{\sum_{k=1}^n y_k A_k}{A}, \quad z_G = \frac{\sum_{k=1}^n z_k A_k}{A} \\ &\text{pentru linie} \\ &x_G = \frac{\sum_{k=1}^n x_k L_k}{L}, \quad y_G = \frac{\sum_{k=1}^n y_k L_k}{L}, \quad z_G = \frac{\sum_{k=1}^n z_k L_k}{L} \end{aligned} \right\} \quad (3.138)$$

unde x_k, y_k, z_k sînt coordonatele centrelor de greutate ale părții respective.

Dacă un corp cu volumul V are golurile $V_k (k = 1, 2, \dots, n)$, ale căror centre de greutate au coordonatele x_k, y_k, z_k , iar volumul $V' = V - V_1 - V_2 - \dots - V_n$ are centrul de greutate în punctul $C' (x', y', z')$, atunci centrul de greutate al volumului V are coordonatele

$$\left. \begin{aligned} x_C &= \frac{V'x' - \sum_{k=1}^n V_k x_k}{V}, & y_C &= \frac{V'y' - \sum_{k=1}^n V_k y_k}{V}, \\ z_C &= \frac{V'z' - \sum_{k=1}^n V_k z_k}{V}. \end{aligned} \right\} \quad (3.139)$$

Pentru centrele de greutate ale curbei plane și ale suprafeței plane există teoremele Papp-Guldin.

1) Dacă o curbă plană se rotește cu un unghi oarecare în jurul unei axe oarecare, situată în planul curbei și care nu intersectează curba, atunci aria suprafeței de revoluție, descrisă de curbă în timpul acestei rotații, este egală cu lungimea curbei, înmulțită cu lungimea drumului descris de centrul ei de greutate.

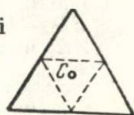
2) Dacă o curbă plană închisă se rotește cu un unghi oarecare în jurul unei axe situate în același plan cu ea și care nu-i intersectează conturul, atunci volumul corpului de rotație, descris de figură în timpul acestei rotații, este egal cu suprafața, înmulțită cu lungimea drumului descris de centrul ei de greutate.

Centrul de greutate al unor linii

1) Segmentul rectiliniu AB .

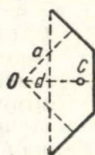
Mijlocul C al segmentului
 $AC = CB$.

2) Perimetrul unui
riunghi.



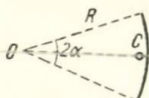
Centrul C al cercului înscris în triunghiul, ale cărui vîrfuri sînt situate pe mijloacele laturilor triunghiului dat.

3) Perimetrul unei
linii frînte regulate de
lungime L , de coardă d
și de apotemă a .



C este situat pe perpendiculara coborîtă din centrul O pe coardă la distanța $OC = \frac{ad}{L}$.

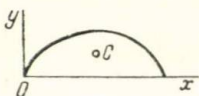
4) Un arc de cerc de rază R cu unghiul la centru 2α



C este situat pe bisectoarea unghiului la centru la distanța $OC = R \frac{\sin \alpha}{\alpha}$ de la centrul O al arcului. Pentru un semicerc

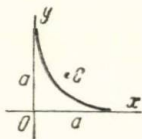
$$OC = \frac{2R}{\pi} \approx \frac{7}{11} R.$$

5) Un arc de cicloidă
 $x = a(t - \sin t)$, $y = a(1 - \cos t)$



$$x_C = \pi a, \quad y_C = \frac{4}{3} a.$$

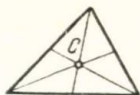
6) Un sfert de astroidă $x^{2/3} + y^{2/3} = a^{2/3}$, situat în primul cadran



$$x_C = y_C = \frac{2}{5} a.$$

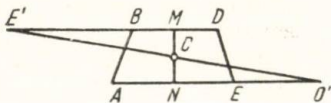
Centrul de greutate al unor suprafețe

1) Suprafața unui triunghi



Punctul C de intersecție al medianelor.

2) Suprafața unui trapez



Pe dreapta MN , care leagă jumătățile bazelor $AE = a$, $BD = b$, la distanța h_a de baza AE , unde

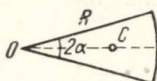
$$h_a = \frac{1}{3} h \frac{a + 2b}{a + b},$$

h fiind înălțimea trapezului. Centrul C de greutate al trapezului se poate obține construind $BE' = a$, $ED' = b$; la intersecția dreptelor MN și $E'D'$ se află punctul C .

3) Un paralelogram

Punctul de intersecție al diagonalelor.

4) Un sector de cerc de rază R cu unghiul la centru 2α

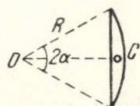


Pe bisectoarea unghiului la centru la distanța $OC = \frac{2}{3} R = \frac{\sin \alpha}{\alpha}$ de centrul O al cercului.

Pentru semicerc

$$OC = \frac{4R}{3\pi} \approx \frac{14}{33} R.$$

5) Un segment de cerc de rază R cu unghiul la centru 2α

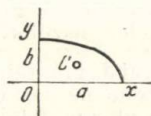


Pe bisectoarea unghiului la centru la distanța

$$OC = \frac{2}{3} R \frac{\sin^3 \alpha}{\alpha - \sin \alpha \cos \alpha}$$

de centrul O al cercului.

6) Suprafața unui sfert din elipsă $\frac{x^2}{a^2} + \frac{y^2}{b^2} = 1$



$$x_C = \frac{4a}{3\pi}, y_C = \frac{4b}{3\pi}.$$

7) Suprafața cicloidei $x = a(t - \sin t)$, $y = a(1 - \cos t)$

$$x_C = \pi a, y_C = \frac{5}{6} a.$$

8) Suprafața unui sfert din astroida

$$x^{2/3} + y^{2/3} = a^{2/3}$$

$$x_C = y_C = \frac{256}{315} \frac{a}{\pi}.$$

9) Suprafața laterală a unei prisme drepte

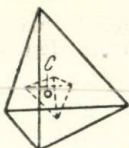
Centrul de greutate al suprafeței coincide cu centrul de greutate al perimetrului secțiunii mijlocii, perpendicular pe muchii.

10) Suprafața laterală a piramidei.



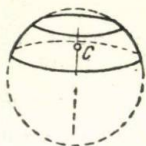
Centrul de greutate al suprafeței coincide cu centrul de greutate al perimetrului secțiunii, duse perpendicular pe înălțime, la distanța de o treime din înălțime, de la bază.

- 11) Suprafața totală a tetraedrului



Centrul de greutate al suprafeței este situat în centrul sferei înscrise într-un tetraedru, ale cărui virfuri se găsesc în centrele de greutate ale fețelor tetraedrului dat.

- 12) Centrul de greutate al unei zone sferice



În mijlocul săgeții zonei, adică pe perpendiculara coborită pe bazele zonei din centrul sferei, la mijlocul segmentului cuprins între bazele zonei.

Centrul de greutate al unor volume

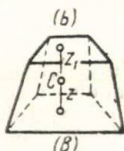
- 1) Paralelipipedul
- 2) Prisma și cilindrul
- 3) Piramida și conul

Punctul de intersecție al diagonalelor.

Mijlocul segmentului, care leagă centrele de greutate ale suprafețelor bazelor.

Centrul de greutate al volumului coincide cu centrul de greutate al suprafeței secțiunii, duse paralel cu baza la distanța de o pătrime, din înălțime, de la bază. Centrul de greutate al tetraedrului este situat la intersecția dreptelor, care unesc virfurile cu centrele de greutate ale fețelor opuse.

- 4) Un trunchi de piramidă cu aria bazei mari B și a bazei mici b

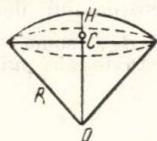


Centrul de greutate este situat pe segmentul de dreaptă, care unește centrele de greutate ale suprafețelor bazelor și îl împarte în raportul

$$\frac{z}{z_1} = \frac{B + 3b + 2\sqrt{AB}}{b + 3B + 2\sqrt{AB}},$$

unde z este distanța de la C la baza mare iar z_1 distanța de la C la baza mică,

5) Un sector sferic de rază R și înălțime H



Centrul de greutate este situat pe axa de simetrie (înălțime) la distanța

$$OC = \frac{3}{4} \left(R - \frac{H}{2} \right)$$

de centrul O al sferei. În cazul unei emisfere $OC = \frac{3}{8} R$.

6) Un segment de sferă de rază R , înălțime H și raza bazei a

Centrul de greutate este situat pe axa de simetrie (înălțime) la distanța

$$OC = \frac{\pi a^4}{V},$$

de centrul sferei, unde V este volumul segmentului

$$V = \frac{2}{3} \pi R^2 H - \frac{1}{3} \pi a^2 \sqrt{R^2 - a^2}.$$

§ 3.44. Echilibrul unui corp greu, rezemat pe un plan orizontal neted

Dacă un corp se reazemă cu punctele A_1, A_2, \dots, A_n , pe o suprafață, atunci poligonul convex, care are ca vîrfuri unele puncte de reazem și care conține în interior pe celelalte, se numește *poligon de susținere*. Când corpul este în echilibru, proiecția centrului său de greutate trebuie să cadă în interiorul poligonului de reazem, sau — la limită — pe perimetrul lui. Dacă unui corp, care se reazemă pe o suprafață orizontală (fig. 3.63) i se aplică, în afară de greutatea P , și forța Q , situată în același plan cu P și care tinde să răstoarne corpul în jurul muchiei AA , atunci pentru echilibru trebuie să fie satisfăcută condiția $|M_{AA}(\vec{P})| > |M_{AA}(\vec{Q})|$ sau, notînd brațele forțelor \vec{P} și \vec{Q} cu p și q , trebuie să avem $Pp > Qq$. Produsul Pp se numește *moment de stabilitate*, iar produsul Qq — *moment de răsturnare*.

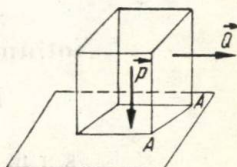


Fig. 3.63.

§ 3.45. Virialul

Se numește *virial* față de punctul O al sistemului de forțe $\vec{P}_1, \vec{P}_2, \dots, \vec{P}_n$, aplicate corpului în punctele A_k , suma produselor scalare dintre vectorii forțelor și razele vectoare ale punctelor lor de aplicație

$$V_O = \sum_{k=1}^n \vec{P}_k \cdot \vec{OA}_k. \quad (3.140)$$

O dată cu deplasarea polului O în punctul O' , virialul se schimbă după formula

$$V_O = V_{O'} + \vec{OO'} \cdot \sum_{k=1}^n \vec{P}_k. \quad (3.141)$$

Dacă \vec{P}_k formează un sistem paralel, avînd centrul C , atunci $V_C = 0$.

Pentru un sistem cu axă centrală pe această axă se poate găsi un astfel de punct C , față de care virialul se anulează. Acest punct se numește *centrul sistemului*.

C. Dinamica

Dinamica este partea mecanicii generale, în care se studiază mișcarea mecanică ținînd seama de forțele aplicate corpurilor în mișcare.

3.6

Noțiunile de bază ale dinamicii
punctului material

§ 3.46. Sisteme inerțiale de referință

Sistemul de referință, față de care orice punct material, căruia nu i se aplică forțe sau care se află sub acțiunea unor forțe în echilibru, execută o mișcare rectilinie uniformă, se numește *inerțial*. Cu o precizie suficientă pentru tehnică se poate lua drept sistem de referință inerțial, un sistem de referință legat de stelele fixe, adică

avînd originea în centrul de greutate al sistemului solar (care se găsește aproape de centrul de greutate al soarelui) și axele îndreptate spre trei stele fixe.

§ 3.47. Masa punctului material

La mișcarea sub acțiunea unei forțe a unui punct material față de un sistem de referință inerțial, vectorul acestei forțe este proporțional cu vectorul accelerației al punctului în mișcare

$$\vec{P} = m\vec{a}. \quad (3.142)$$

Factorul pozitiv m , care, pentru punctul dat, păstrează o valoare constantă, se ia ca măsură a masei inerte a punctului și în mecanică se numește simplu *masa punctului*. Unitatea de măsură a masei în sistemul MKS este:

$$[m] = \frac{[\text{forță}]}{[\text{accelerație}]} = \frac{\text{kgf} \cdot \text{s}^2}{\text{m}}. \quad (3.143)$$

Deoarece raportul dintre greutatea P a punctului și accelerația g în căderea liberă rămîne constant atunci cînd ele variază cu schimbarea locului, valoarea numerică a masei inerte se exprimă prin greutatea P cu formula

$$m = \frac{P}{g}. \quad (3.144)$$

Mărimea $g[\text{m/s}^2]$ are valorile

Leningrad	(latitudinea	59°57')	—9,8193
Moscova	(55°45')	—9,8156
Sverdlovsk	(56°48')	—9,8162
Harkov	(50°0')	—9,8102
Odesa	(46°29')	—9,8077
Tbilisi	(40°43')	—9,8018
Greenwich	(51°28')	—9,8120
Paris	(48°50')	—9,8096
Berlin	(52°23')	—9,8130
București	(44°25')	—9,8067.

§ 3.48. Principiul independenței acțiunii forțelor

Dacă forțele $\vec{P}_1, \vec{P}_2, \dots, \vec{P}_n$ fiecare în parte imprimă unui punct material accelerațiile $\vec{a}_1, \vec{a}_2, \dots, \vec{a}_n$ față de sistemul inerțial de referință, atunci sub acțiunea simultană a acestor forțe asupra aceluiași

În cazul mișcării plane, utilizarea coordonatelor polare ρ și φ conduce la ecuația

$$m \left[\frac{d^2 \rho}{dt^2} - \rho \left(\frac{d\varphi}{dt} \right)^2 \right] = P_\rho, \quad m \frac{1}{\rho} \frac{d}{dt} \left(\rho^2 \frac{d\varphi}{dt} \right) = P_\varphi. \quad (3.152)$$

În sfârșit, se poate proiecta egalitatea de bază $\vec{m}\ddot{\vec{a}} = \vec{P}$ pe axele triedrului intrinsec, construit în punctul traiectoriei, corespunzător unui moment dat t adică pe tangentă, normală și binormală în acest caz ecuațiile diferențiale intrinseci iau forma

$$m \frac{dv}{dt} = P_\tau, \quad m \frac{v^2}{\rho} = P_\nu, \quad 0 = P_\beta \quad (3.153)$$

unde ρ este raza de curbură, iar P_τ , P_ν , P_β sînt proiecțiile forței \vec{P} pe tangentă, pe normala principală și respectiv pe binormala la traiectorie.

§ 3.51. Mișcarea unui punct material greu

Dacă se consideră Pămîntul ca sistem inerțial și axa Oz dirijată vertical în sus, ecuațiile de mișcare ale unui punct material acționat numai de greutatea \vec{P} vor fi

$$\frac{d^2 x}{dt^2} = 0, \quad \frac{d^2 y}{dt^2} = 0, \quad \frac{d^2 z}{dt^2} = -g.$$

Dacă datele inițiale au forma

$$t_0 = 0, \quad x_0 = y_0 = z_0 = 0, \quad v_{0x} = 0, \quad v_{0y} = v_0 \cos \alpha, \quad v_{0z} = v_0 \sin \alpha, \quad (3.154)$$

mișcarea are loc într-un plan vertical după ecuațiile $y = v_0 t \cos \alpha$.
 $z = v_0 t \sin \alpha - \frac{gt^2}{2}.$ (3.155)

Traietoria este situată pe parabola

$$z = y \operatorname{tg} \alpha - \frac{gy^2}{2 v_0^2 \cos^2 \alpha}. \quad (3.156)$$

Bătăia L , adică distanța de la poziția inițială pînă la locul căderii pe pămînt se exprimă cu formula

$$L = \frac{v_0^2 \sin 2\alpha}{g}. \quad (3.157)$$

Atunci cînd se ia în considerare rezistența aerului, luîndu-se orientată în sens opus vitezei și proporțională cu ea, ecuațiile diferențiale iau forma

$$\frac{d^2 x}{dt^2} = -k \frac{dx}{dt}, \quad \frac{d^2 y}{dt^2} = -k \frac{dy}{dt}, \quad \frac{d^2 z}{dt^2} = -g - k \frac{dz}{dt}, \quad (3.158)$$

unde rezistența \vec{N} se exprimă cu formula $\vec{N} = -\lambda \vec{v}$ și $k = \frac{\lambda g}{P}$, unde P este greutatea punctului.

Cu datele inițiale anterioare (3.154) mișcarea are loc în planul vertical yOz după ecuațiile

$$y = \frac{v_0 \cos \alpha}{k} (1 - e^{-kt}), \quad z = -\frac{gt}{k} + \left(\frac{v_0 \sin \alpha}{k} + \frac{g}{k^2} \right) (1 - e^{-kt}) \quad (3.159)$$

Traectoria este situată pe o curbă, care are asimptota $y = \frac{v_0 \cos \alpha}{k}$. Dacă se consideră că rezistența aerului este proporțională cu pătratul vitezei, adică $N = cv^2$, atunci cu aceleași date inițiale (3.154) și pentru $\alpha \leq 15^\circ$, ecuația aproximativă a traectoriei are forma

$$z = y \operatorname{tg} \alpha - \frac{g}{4c^2 u_0^3} (e^{2\lambda cx} - 2cx - 1),$$

unde $\lambda = 1,017$ și $u_0 = \lambda v_0 \cos \alpha$.

§ 3.52. Forțe centrale

Forța \vec{P} se numește *centrală*, dacă linia ei de acțiune trece printr-un punct fix al sistemului inerțial de referință. Mișcarea unui punct sub acțiunea unei forțe centrale are loc pe o curbă plană, al cărei plan trece prin centrul forței. Luând acest plan ca plan de coordonate și utilizând coordonatele polare (ρ, φ) , ecuațiile de mișcare ale punctului se obțin conform formulei (3.152), în forma

$$m \left[\frac{d^2 \rho}{dt^2} - \rho \left(\frac{d\varphi}{dt} \right)^2 \right] = P, \quad \frac{d}{dt} \left(\rho^2 \frac{d\varphi}{dt} \right) = 0.$$

unde P este proiecția forței centrale \vec{P} pe raza vectoare polară. De aici

$$\rho^2 \frac{d\varphi}{dt} = C. \quad (3.160)$$

Deoarece după formula (3.28) $\rho^2 \frac{d\varphi}{dt} = 2 \frac{dA}{dt}$ este dublul vitezei areolare (sectoriale) a punctului, rezultă că în cazul unei mișcări sub acțiunea unei forțe centrale viteza areolară (sectorială) față de centrul forței rămâne constantă. Dacă ecuația traectoriei în coordonate polare are forma $u = \frac{1}{\rho} = f(\varphi)$, atunci viteza v și forța P se determină în funcție de constanta C cu formulele lui Binet

$$v^2 = C^2 \left[u^2 + \left(\frac{du}{d\varphi} \right)^2 \right], \quad P = -C^2 m u^2 \left[u + \frac{d^2 u}{d\varphi^2} \right]. \quad (3.161)$$

§ 3.53. Căderea liberă a unui punct ținându-se seama de rotația Pământului

Dacă drept axe de coordonate se iau verticala Oz (orientată pozitiv către centrul Pământului), tangenta Ox la meridian (orientată pozitiv spre nord), și tangenta Oy la paralelă (orientată pozitiv spre est), atunci ecuațiile diferențiale de mișcare ale căderii libere a punctului față de aceste axe vor avea forma

$$\left. \begin{aligned} \frac{d^2x}{dt^2} &= -2\omega \sin \varphi \frac{dy}{dt}, & \frac{d^2y}{dt^2} &= 2\omega \left(\sin \varphi \frac{dx}{dt} + \cos \varphi \frac{dz}{dt} \right), \\ \frac{d^2z}{dt^2} &= g - 2\omega \cos \varphi \frac{dy}{dt}, \end{aligned} \right\} \quad (3.162)$$

unde ω este viteza unghiulară de rotație a Pământului în jurul axei polilor, iar φ este latitudinea considerată constantă; accelerația g este legată de greutatea statică P și de masa m a punctului prin egalitatea $P = mg$. Pentru datele inițiale $t_0 = 0$, $x_0 = y_0 = z_0 = v_{0x} = v_{0y} = v_{0z} = 0$, soluțiile aproximative ale ecuațiilor (3.162) (cu o precizie pînă la termeni de ordinul ω^2) au forma

$$x = 0, \quad y = \frac{g \cos \varphi}{3} t^3, \quad z = \frac{gt^2}{2}. \quad (3.163)$$

Prin urmare, un punct în cădere se depărtează de verticală spre est. La căderea de la înălțimea h , devierea pe suprafața Pământului are mărimea

$$\Delta = \frac{g \omega \cos \varphi}{3} \left(\frac{2h}{g} \right)^{3/2}. \quad (3.164)$$

§ 3.54. Mișcarea rectilinie a punctului material

Mișcarea rectilinie a punctului are loc sub acțiunea unei forțe de direcție constantă și în cazul unei viteze inițiale egală cu zero sau paralelă, cu linia de acțiune a forței.

Dacă dreapta pe care are loc mișcarea rectilinie, se ia ca axă Ox , ecuația diferențială de mișcare sub acțiunea forței P are forma

$$m \frac{d^2x}{dt^2} = f \left(t, x, \frac{dx}{dt} \right). \quad (3.165)$$

unde

$$f \left(t, x, \frac{dx}{dt} \right) = P_x.$$

Ecuția (3.165) se poate înlocui cu două ecuații diferențiale de ordinul întâi

$$m \frac{dv}{dt} = f(t, x, v), \quad \frac{dx}{dt} = v \quad (3.166)$$

cu datele inițiale t_0, x_0, v_0 .

§ 3.55. Căderea pe verticală a unui punct material greu sub acțiunea rezistenței aerului proporțională cu pătratul vitezei

Dacă rezistența $N = \lambda v^2$, atunci în funcție de datele inițiale $t_0 = x_0 = v_0 = 0$ și de greutatea P a punctului avem

$$v = \alpha \operatorname{th}(\alpha kt), \quad x = \frac{1}{k} \ln \operatorname{ch}(\alpha kt), \quad (3.167)$$

unde

$$\alpha^2 = \frac{mg}{\lambda} = \frac{P}{\lambda}, \quad k = \frac{\lambda g}{P}.$$

§ 3.56. Oscilațiile rectilinii ale unui punct sub acțiunea unei forțe pozitionale

Forța, care depinde numai de poziția punctului, se numește *forță pozițională*. La mișcarea rectilinie pe axa Ox , proiecția unei forțe pozitionale se exprimă cu formula $P_x = f(x)$. Pentru datele inițiale t_0, x_0, v_0 , viteza v se determină cu formula

$$v^2 = v_0^2 + \frac{2}{m} \int_{x_0}^x f(x) dx. \quad (3.168)$$

Mișcarea are loc pe un segment situat pe axa Ox , pe care funcția

$$\psi(x) = v_0^2 + \frac{2}{m} \int_{x_0}^x f(x) dx \quad (3.169)$$

este nenegativă: $\psi(x) \geq 0$. Dacă ecuația $\psi(x) = 0$ are două rădăcini simple, x_1 și x_2 , între care este situată abscisa inițială x_0 , astfel că $\psi(x_1) = \psi(x_2) = 0$, $\psi'_1(x_1) > 0$, $\psi'_2(x_2) < 0$, atunci mișcarea este o oscilație pe segmentul $x_1 \leq x \leq x_2$ cu perioada

$$T = 2 \int_{x_1}^{x_2} \frac{dx}{\sqrt{\psi(x)}}. \quad (3.170)$$

Pentru $v_0 < 0$, primul moment t_1 , în care punctul atinge capătul intervalului de oscilații și are o viteză egală cu zero, este determinat de formula $t_1 = t_0 + \int_{x_1}^{x_0} \frac{dx}{\sqrt{\psi(x)}}$; următoarele momente, în care $v = 0$, sînt legate unul de altul prin relația $t_n = t_{n-1} + \frac{1}{2} T$.

§ 3.57. Oscilațiile armonice ale punctului

Dacă forța P se exprimă cu formula

$$P_x = -cx, \quad (3.171)$$

adică dacă vectorul \vec{P} este îndreptat spre centrul O și ca modul este proporțional cu abaterea punctului în mișcare de la acest centru, atunci formula (3.169) dă

$$\psi(x) = k^2(a^2 - x^2), \quad (3.172)$$

unde

$$k^2 = \frac{c}{m} \quad (3.173)$$

și

$$x_0^2 + k^2 v_0^2 = k^2 a^2. \quad (3.174)$$

Mișcarea are loc în intervalul $-a \leq x \leq a$ și are perioada de oscilație

$$T = \frac{2\pi}{k}. \quad (3.175)$$

Deoarece perioada nu depinde de datele inițiale, aceste oscilații se numesc *izocrone*, adică cu aceeași perioadă; ecuația diferențială a oscilațiilor, pe baza formulelor (3.171) și (3.173), ia forma

$$\frac{d^2x}{dt^2} + k^2x = 0. \quad (3.176)$$

Soluția ei, pentru datele inițiale $t_0 = 0$, x_0 , v_0 , are forma

$$x = a \sin(kt + \alpha), \quad (3.177)$$

unde a se determină cu formula (3.174), iar unghiul α cu una din formulele

$$\sin \alpha = \frac{x_0}{a}, \quad \cos \alpha = \frac{v_0}{ka}, \quad \operatorname{tg} \alpha = \frac{kx_0}{v_0}. \quad (3.178)$$

Lungimea a se numește *amplitudinea oscilației*, iar unghiul $kt + \alpha$ *faza oscilației*. Oscilațiile, care au loc după legea (3.177), se numesc *armonice*. Dacă, în afară de forța \vec{P} cu proiecția $P_x = -cx$, se aplică

punctului o forță constantă cu proiecția Q pe aceeași axă Ox , ecuația diferențială a oscilațiilor are forma

$$\frac{d^2x}{dt^2} + k^2x = \frac{Q}{m}. \quad (3.179)$$

Substituția $x = x' + \frac{Q}{k^2m}$ reduce această ecuație la $\frac{d^2x'}{dt^2} + k^2x' = 0$.

Prin urmare, $x' = a' \sin(kt + \alpha')$, unde $a'^2 = \frac{x_0'^2}{k^2} + v_0^2$, $\sin \alpha' = \frac{x_0'}{a}$, $\cos \alpha' = \frac{v_0}{ka'}$. Prin urmare, oscilațiile rămân armonice cu aceeași perioadă $T = \frac{2\pi}{k}$, deși a fost adăugată o forță constantă, însă *centrul oscilației* se deplasează în punctul, în care $P + Q = 0$, adică în punctul de echilibru posibil sub acțiunea celor două forțe.

§ 3.58. Oscilații amortizate

Dacă asupra unui punct, în afară de forța \vec{P} cu proiecția $P_x = -cx$, acționează și o rezistență orientată în sens opus vitezei și în modul proporțională cu aceasta, adică o forță \vec{N} cu proiecția $N_x = -\lambda \frac{dx}{dt}$, iar punctul execută o mișcare rectilinie, atunci ecuația diferențială a mișcării are forma

$$\frac{d^2x}{dt^2} + 2n \frac{dx}{dt} + k^2x = 0 \quad (3.180)$$

unde k se determină cu formula (3.173) și

$$2n = \frac{\lambda}{m}. \quad (3.181)$$

Pentru

$$k^2 - n^2 = \omega^2 > 0 \quad (3.182)$$

și pentru datele inițiale $t_0 = 0$, x_0 , v_0 , soluția acestei ecuații are forma

$$x = be^{-nt} \sin(\omega t + \beta), \quad (3.183)$$

unde

$$b = \sqrt{x_0^2 + \frac{(v_0 + nx_0)^2}{\omega^2}}, \quad \cotg \beta = \frac{v_0 + nx_0}{\omega x_0}. \quad (3.184)$$

Mișcarea are caracter oscilatoriu.

Viteza se anulează în momentele t , care se obțin din ecuația

$$\operatorname{tg}(\omega t + \beta) = \frac{\omega}{n}. \quad (3.185)$$

Prin urmare, aceste momente formează o progresie aritmetică cu rația

$$\frac{1}{2} T = \frac{\pi}{\omega}, \quad (3.186)$$

iar abaterile respective ale punctului de la origine, în care forța $P = 0$, formează o progresie geometrică cu rația

$$\eta = e^{-\frac{n\pi}{\omega}}. \quad (3.187)$$

Mărimea $\frac{n\pi}{\omega}$ se numește *decrementul logaritmic* al oscilației.

§ 3.59. Oscilațiile amortizate cu frecare constantă (Coulomb)

Dacă asupra unui punct de greutate Q acționează, în afară de forța \vec{P} cu proiecția $P_x = -cx$, încă o forță de frecare, orientată în sens opus vitezei și avînd mărimea constantă fQ , mișcarea rămîne oscilatorie cu aceeași perioadă $T = \frac{2\pi}{k}$, ca și în cazul absenței frecării, însă devierile maxime de la originea coordonatelor, în care forța $P = 0$, se micșorează în valoare absolută după o progresie aritmetică cu cantitatea $2 \frac{fg}{k^2}$ pentru o semiperioadă. Dacă poziția inițială are abscisa x_0 , atunci abscisele ulterioare ale devierilor maxime se determină cu formula

$$x_n = (-1)^n \left(x_0 - \frac{2nfg}{k^2} \right). \quad (3.188)$$

Pentru un anumit n , mărimea $|x_n| < \frac{f_1 g}{k^2}$, unde f_1 este coeficientul de frecare în repaus ($f_1 > f$). Pentru acest n , mărimea $|\vec{P}_n| = c|x_n| < \frac{cf_1 g}{k^2}$. Prin urmare, $|\vec{P}_n| < f_2 Q$ și din acest motiv la momentul t_n mișcarea punctului încetează. Pentru acest motiv, segmentul de lungime $\frac{2f_1 g}{k^2}$ cu centrul în origine se numește *zonă moartă*. Oscilațiile punctului sînt *amortizate*.

§ 3.60. Mișcarea unui punct pe o curbă netedă dată

Dacă un punct material, ca urmare a interacțiunii cu alte corpuri, este reținut pe o curbă, definită matematic în raport cu un sistem de referință inerțial, însă se poate deplasa pe această curbă, atunci forța, care măsoară acțiunea asupra punctului exercitată de corpurile care-l rețin pe curba dată, se numește *reacțiunea dinamică* a acestei curbe. Dacă se aplică punctului o forță dată \vec{F} , legea fundamentală a dinamicii pentru mișcarea pe curba dată, ia forma

$$m\vec{a} = \vec{F} + \vec{N}, \quad (3.189)$$

unde \vec{N} este reacțiunea dinamică a curbei, care nu se cunoaște dinainte. Dacă din datele fizice suplimentare ale problemei se știe că \vec{N} este îndreptată normal pe curba dată, această curbă se numește *dinamic netedă*. Determinând poziția punctului pe curba dată prin lungimea s a arcului și proiectînd ecuația vectorială (3.189) pe tangenta la curba dată, obținem ecuația diferențială a mișcării pe curba dată în forma

$$m \frac{d^2s}{dt^2} = F_\tau = f\left(t, s, \frac{ds}{dt}\right), \quad (3.190)$$

unde F_τ este proiecția forței date \vec{F} pe tangenta, orientată în sensul crescător al arcelor. Dacă ecuația (3.190) este integrată, vectorul \vec{N} al reacțiunii dinamice, situat în planul normal la curba dată, se determină pentru momentul t prin proiecțiile sale N_ν și N_β pe normala principală și respectiv pe binormala la curbă, cu formulele

$$N_\nu = \frac{mv^2}{\rho} - F_\nu, \quad N_\beta + F_\beta = 0 \quad (3.191)$$

unde ρ este raza de curbură în punctul corespunzător al curbei, iar F_ν și F_β sînt proiecțiile forței date pe normala principală și respectiv pe binormală în același punct al curbei. Dacă curba dată este plană și forța dată \vec{F} este situată în același plan, reacțiunea \vec{N} este îndreptată după normala principală și se determină cu prima din formulele (3.191).

Dacă curba este dată prin ecuațiile carteziene $f_1(x, y, z) = 0$ și $f_2(x, y, z) = 0$, ecuațiile cinematice ale mișcării se pot determina din ecuațiile

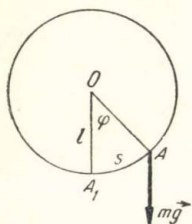
$$\left. \begin{aligned} m \frac{d^2x}{dt^2} &= F_x + \lambda_1 \frac{\partial f_1}{\partial x} + \lambda_2 \frac{\partial f_2}{\partial x} = 0 \\ m \frac{d^2y}{dt^2} &= F_y + \lambda_1 \frac{\partial f_1}{\partial y} + \lambda_2 \frac{\partial f_2}{\partial y} \\ m \frac{d^2z}{dt^2} &= F_z + \lambda_1 \frac{\partial f_1}{\partial z} + \lambda_2 \frac{\partial f_2}{\partial z} \end{aligned} \right\} \quad (3.192)$$

care împreună cu ecuațiile curbei determină cele cinci funcții necunoscute $x, y, z, \lambda_1, \lambda_2$ de variabila independentă t .

§ 3.61. Pendulul matematic circular

Un punct material, obligat să se miște într-un plan vertical pe un cerc dat, neted, (fig. 3.64) sub acțiunea greutateii, se numește *pendul matematic circular*. Raza l a cercului se numește *lungimea pendulului circular* (fig. 3.64). Poziția pendulului se determină cu ajutorul unghiului φ , format de raza lui cu verticala descendentă astfel că unghiul socotit în sensul invers mersului acelor ceasornicului se consideră pozitiv, iar în sensul acelor ceasornicului — negativ. Unghiul φ se determină din ecuația diferențială

$$\frac{d^2\varphi}{dt^2} = -\frac{g}{l} \sin \varphi, \quad (3.193)$$



pentru datele inițiale $t_0 = \varphi_0 = 0$, $l \left(\frac{d\varphi}{dt} \right) = v_0$. Viteza v este în acest caz dată de formula

$$v^2 = v_0^2 - 4gl \sin^2 \frac{\varphi}{2}. \quad (3.194)$$

În cazul cînd $v_0^2 > 4gl$, pendulul efectuează rotații complete. Pentru $v_0^2 < 4gl$ se poate găsi un unghi γ astfel că

$$v_0^2 = 4gl \cdot \sin^2 \frac{\gamma}{2}. \quad (3.195)$$

În acest caz

$$v^2 = 4gl \left(\sin^2 \frac{\gamma}{2} - \sin^2 \frac{\varphi}{2} \right) \quad (3.196)$$

și mișcarea pendulului este o oscilație pe arcul $-\gamma \leq \varphi \leq \gamma$. Perioada mișcării se determină cu formulele

$$\begin{aligned} T &= \sqrt{\frac{l}{g}} \int_{-\gamma}^{+\gamma} \frac{d\varphi}{\sqrt{\sin^2 \frac{\gamma}{2} - \sin^2 \frac{\varphi}{2}}} = \\ &= 2 \sqrt{\frac{l}{g}} \int_0^{+\gamma} \frac{d\varphi}{\sqrt{\sin^2 \frac{\gamma}{2} - \sin^2 \frac{\varphi}{2}}}. \end{aligned} \quad (3.197)$$

Înlocuirea $\sin \frac{\gamma}{2} \sin \psi = \sin \frac{\varphi}{2}$ dă

$$T = 4 \sqrt{\frac{l}{g}} \int_0^{\pi/2} \frac{d\psi}{\sqrt{1 - \sin^2 \frac{\gamma}{2} \cdot \sin^2 \psi}}. \quad (3.198)$$

Integrala obținută se numește *integrală eliptică completă de speța întâia* și se notează

$$K = \int_0^{\pi/2} \frac{d\psi}{\sqrt{1 - \sin^2 \frac{\gamma}{2} \sin^2 \psi}}, \quad (3.199)$$

astfel că

$$T = 4 \sqrt{\frac{l}{g}} K. \quad (3.200)$$

Valorile lui K depind de γ , astfel că oscilațiile pendulului nu sint izocrone. Valorile lui K se pot lua din tabelă:

γ	K	γ	K
0°	1,5708	60°	1,6258
5°	1,5715	90°	1,8541
10°	1,5738	120°	2,1565
20°	1,5828	150°	2,7681
40°	1,6200	180°	∞

Formula aproximativă pentru K , pentru valori mici ale lui γ , are forma

$$K \approx \frac{\pi}{2} + \frac{\pi}{8} \sin^2 \frac{\gamma}{2}. \quad (3.201)$$

Pentru valori foarte mici ale lui γ se admite că $\sin \frac{\gamma}{2} = \frac{\gamma}{2}$ și atunci

$$T = 2\pi \sqrt{\frac{l}{g}} \left(1 + \frac{\gamma^2}{16} \right). \quad (3.202)$$

Dacă γ este atât de mic, încît termenul $\frac{\gamma^2}{16}$ se poate neglija, atunci

$$T = 2\pi \sqrt{\frac{l}{g}}. \quad (3.203)$$

Deoarece formula aceasta nu conține pe γ , oscilațiile mici ale pendulului se pot considera izocrone. Valorile termenului $1 + \frac{\gamma^2}{16}$ se pot lua din tabela următoare

γ	$1 + \gamma^2/16$	γ	$1 + \gamma^2/16$
5°	1,0005	40°	1,0304
10°	1,0019	60°	1,0684
20°	1,0076	90°	1,1539

Însăși ecuația diferențială (3.143) pentru oscilații mici poate fi înlocuită cu una aproximativă

$$\frac{d^2\varphi}{dt^2} + \frac{g}{l}\varphi = 0 \quad (3.204)$$

care are forma ecuației oscilațiilor armonice (3.176) pentru $k^2 = \frac{g}{l}$.

Reacțiunea cercului este îndreptată după rază și are valoarea algebrică N , considerînd pozitiv sensul spre centru

$$N = \frac{mv^2}{l} + mg \cos \varphi = \frac{mv_0^2}{l} - 4mg \sin^2 \frac{\varphi}{2} + mg \cos \varphi. \quad (3.205)$$

Pentru $\varphi < \frac{\pi}{2}$, adică pe semicercul de jos, N este evident pozitivă, reacțiunea este îndreptată spre centru și pendulul se poate realiza cu ajutorul unui fir, care fixează punctul mobil de centrul cercului. Pentru ca reacțiunea cercului să fie în toate punctele îndreptată spre centru, trebuie ca $v_0^2 > 5gl$.

§ 3.62. Mișcarea relativă a unui punct material pe o curbă netedă mobilă dată

Dacă sistemul de referință S execută o mișcare de transport dată față de sistemul de referință S' , iar punctul material se mișcă pe o curbă C' , legată de sistemul de referință S' și totodată apare o reacțiune dinamică \vec{N} , normală pe curba C' , atunci mișcarea relativă a punctului sub acțiunea unei forțe date \vec{F} este determinată de ecuația

$$m \frac{d^2 s'}{dt^2} = F_\tau + \Phi_{tr,\tau}, \quad (3.206)$$

unde s' este arcul pe curba C' , iar F_τ și $\Phi_{tr,\tau}$ sînt proiecțiile pe tangenta la curba C' a forței date și a forței fictive complementare de transport.

Poziția de echilibru relativ se obține din ecuația

$$F_\tau + \Phi_{tr,\tau} = 0, \quad (3.207)$$

dacă ea nu conține explicit timpul t . Dacă mișcarea de transport este o rotație uniformă cu viteza unghiulară ω în jurul unei axe verticale Oy , curba dată fiind situată în planul xOy , și dacă curba are ecuația $y = f(x)$, iar forța dată este greutatea punctului, atunci ecuația de echilibru relativ are forma $\omega^2 x = gf'(x)$. Pentru $f(x) = \frac{\omega^2 x^2}{2g}$ punctul se găsește în echilibrul relativ în toate punctele curbei date.

§ 3.63. Mișcarea unui punct pe o suprafață netedă dată

Dacă, cu ajutorul unor corpuri punctul material este menținut pe o suprafață (II) definită matematic în raport cu un sistem de referință inerțial, însă se poate mișca pe această suprafață, forța \vec{N} , care măsoară acțiunea exercitată asupra punctului de corpurile care-l rețin pe suprafața dată, se numește *reacțiune dinamică a suprafeței*.

Dacă se aplică punctului o forță dată \vec{F} , ecuația fundamentală a dinamicii, are forma $m\vec{a} = \vec{F} + \vec{N}$. Dacă reacțiunea \vec{N} este normală la suprafața dată (II), această suprafață se numește *dinamic netedă*. Dacă ecuația suprafeței este $f(x, y, z) = 0$ și cosinusurile directoare ale normalei sînt date de formulele

$$\left. \begin{aligned} \cos \alpha &= \frac{\frac{\partial f}{\partial x}}{\sqrt{\left(\frac{\partial f}{\partial x}\right)^2 + \left(\frac{\partial f}{\partial y}\right)^2 + \left(\frac{\partial f}{\partial z}\right)^2}}, \\ \cos \beta &= \frac{\frac{\partial f}{\partial y}}{\sqrt{\left(\frac{\partial f}{\partial x}\right)^2 + \left(\frac{\partial f}{\partial y}\right)^2 + \left(\frac{\partial f}{\partial z}\right)^2}}, \\ \cos \gamma &= \frac{\frac{\partial f}{\partial z}}{\sqrt{\left(\frac{\partial f}{\partial x}\right)^2 + \left(\frac{\partial f}{\partial y}\right)^2 + \left(\frac{\partial f}{\partial z}\right)^2}}, \end{aligned} \right\} \quad (3.208)$$

ecuațiile diferențiale de mișcare ale punctului pe suprafață au forma

$$\begin{aligned} m \frac{d^2 x}{dt^2} &= F_x + N \cos \alpha, & m \frac{d^2 y}{dt^2} &= F_y + N \cos \beta, \\ m \frac{d^2 z}{dt^2} &= F_z + N \cos \gamma, \end{aligned} \quad (3.209)$$

unde N este mărimea algebrică a proiecției reacțiunii pe direcția normalei, determinată de formulele (3.208). Aceste ecuații, împreună cu ecuația suprafeței, determină cele patru funcții de timpul t necunoscute: x, y, z, N . Dacă traiectoria și viteza punctului au fost găsite, mărimea N se determină cu formula

$$N = \frac{mv^2}{\rho} \cos \varphi - F_n, \quad (3.210)$$

unde ρ este raza de curbură a traiectoriei, φ unghiul format de normala principală la traiectorie cu normala la suprafață și F_n proiecția forței date pe normala la suprafață, determinată de formula (3.208). Forța $\vec{Q} = -\vec{N}$ se numește *presiunea punctului* pe suprafața dată. Această forță este îndreptată după normala la suprafață și are proiecția pe normală

$$Q = F_n - \frac{mv^2}{\rho} \cos \varphi. \quad (3.211)$$

Dacă suprafața dată este suprafața unui corp rigid oarecare, atunci în momentul în care $Q = 0$, punctul poate părăsi suprafața.

Dacă nu există o forță dată, adică punctul se mișcă pe suprafață numai sub acțiunea forței \vec{N} , se spune că punctul se mișcă pe suprafață în virtutea inerției. În acest caz, proiectînd ecuația de bază $m\vec{a} = \vec{N}$ pe tangenta la traiectorie, se obține $\frac{dv}{dt} = 0$, adică $v = \text{const}$, iar punctul se mișcă uniform. În acest caz $\vec{a} = \vec{a}_v$ și din acest motiv normala principală la traiectorie coincide cu normala la suprafață deci traiectoria este o *geodezică* a suprafeței date. În cazul sferei, o astfel de linie este arcul unui cerc mare.

§ 3.64. Pendulul sferic

Un punct, care se mișcă pe suprafața unei sfere netede sub acțiunea greutății, se numește *pendul sferic*. Mișcarea pendulului sferic de lungime l , egală cu raza sferei date, se determină (fig. 3.65) în coordonate cilindrice z , θ , φ cu sensul pozitiv al axei z vertical în jos. În acest caz ecuațiile de mișcare ale pendulului sferic au forma

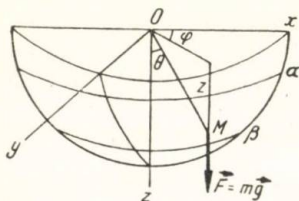


Fig. 3.65.

$$\begin{aligned} \frac{d\varphi}{dt} \sin^2 \theta &= a, \\ \left(\frac{d\theta}{dt}\right)^2 + \left(\frac{d\varphi}{dt}\right)^2 \sin^2 \theta - \frac{2g}{l} \cos \theta &= 2h, \\ l^2 \left(\frac{dz}{dt}\right)^2 &= F(z), \end{aligned} \quad (3.212)$$

unde a și h sînt constante care se determină din condițiile inițiale θ_0 , $\left(\frac{d\theta}{dt}\right)_0$, $\left(\frac{d\varphi}{dt}\right)_0$, iar

$$F(z) = 2(l^2 - z^2)(hl^2 + gz) - a^2 l^4. \quad (3.213)$$

Ecuația $F(z) = 0$ are trei rădăcini reale α , β , γ , situate în intervalele: $-\infty < \gamma < -l$, $0 < \beta < z_0$, $z_0 < \alpha < l$, unde z_0 este valoarea

rea inițială a lui z . În acest caz, în intervalul $\beta \leq z \leq \alpha$ mărimea $F(z) \geq 0$, de aceea mișcarea punctului are loc în zona sferică dintre cercurile paralele $\theta_1 = \arccos \frac{\beta}{l}$ și $\theta_2 = \arccos \frac{\alpha}{l}$, numite *cercuri limită*. Dacă $\alpha = \beta$, cercurile limită se confundă și mișcarea punctului are loc uniform pe un cerc într-un plan orizontal și însăși punctul se numește *pendul conic*. Un pendul conic se poate realiza cu ajutorul unei sfere grele, atârnată de un fir, dacă firul se deviază de la verticală cu unghiul θ_0 și se imprimă sferei o viteză v_0 , perpendiculară pe planul dus prin verticală și fir și egală ca mărime cu $v_0 =$

$$= \sin \theta_0 \sqrt{\frac{gl}{\cos \theta_0}}.$$

3.7

Dinamica generală a sistemelor

§ 3.65. Sisteme mecanice. Forțe interioare

Un ansamblu de puncte materiale, care interacționează unul cu celălalt după legea egalității acțiunii și reacțiunii, se numește *sistem mecanic*. Legea egalității acțiunii și reacțiunii constă în faptul că forțele, care măsoară interacțiunea a două particule ale unui sistem mecanic, sînt situate pe aceeași dreaptă în sensuri opuse și sînt egale ca modul. Dacă forța de acțiune din partea particulei A_j asupra particulei A_i a aceluiasi sistem se notează cu \vec{F}_{ij} iar forța de acțiune asupra particulei A_j din partea particulei A_i — cu \vec{F}_{ji} atunci $\vec{F}_{ij} + \vec{F}_{ji} = 0$. De aici rezultă că suma vectorilor tuturor forțelor interioare ale sistemului, adică a forțelor, cu care punctele sale interacționează, este totdeauna egală cu zero

$$\sum_{i,j} \vec{F}_{ij} = 0. \quad (3.214)$$

La fel, construind vectorii momentelor $\vec{M}_O(\vec{F}_{ij})$ ale forțelor interioare în raport cu orice punct O , se obține că suma geometrică a vectorilor momente este egală cu zero

$$\sum_{i,j} \vec{M}_O(\vec{F}_{ij}) = 0. \quad (3.215)$$

§ 3.66. Centrul de inerție

Suma maselor particulelor materiale ale unui sistem mecanic se numește *masa sistemului*

$$\sum_i m_i = m. \quad (3.216)$$

Prin greutatea P a unui sistem, se înțelege suma greutății particulelor, care compun acest sistem

$$P = \sum_i P_i. \quad (3.217)$$

Masa sistemului se exprimă cu formula

$$m = \frac{P}{g}. \quad (3.218)$$

Sensul fizic al masei corpului constă în aceea că, în cazul mișcării de translație a corpului, masa reprezintă o măsură a inerției sale. Suma produselor dintre razele vectoare ale particulelor sistemului față de originea O și masele acestor particule se numește *vectorul moment static al sistemului față de centrul dat O*

$$\vec{S}_O = \sum_i m_i \vec{r}_i. \quad (3.219)$$

Punctul C , definit de vectorul de poziție

$$\vec{r}_C = \frac{\vec{S}_O}{m} = \frac{\sum_i m_i \vec{r}_i}{m}, \quad (3.220)$$

se numește *centru de inerție al sistemului sau centru de masă al punctelor*. Poziția centrului de inerție este determinată complet de configurația particulelor care compun sistemul și nu depinde de alegerea centrului O . Față de axele Ox , Oy , Oz centrul de inerție se determină, în funcție de coordonatele x_i , y_i , z_i ale unui punct oarecare al sistemului, cu formulele

$$x_C = \frac{\sum_i m_i x_i}{m}, \quad y_C = \frac{\sum_i m_i y_i}{m}, \quad z_C = \frac{\sum_i m_i z_i}{m}. \quad (3.221)$$

În cazul unui corp rigid centrul de inerție coincide cu centrul de greutate și de aceea și pentru orice alt sistem centrul de inerție se numește în mod convențional *centru de greutate*.

În mișcarea unui sistem față de un sistem de referință (S), cu centrul O , raza vectorie \vec{r}_G este variabilă și extremitatea ei descrie o curbă numită *hodograful razei vectorie*. Derivata $\frac{d\vec{r}_G}{dt}$ are expresia

$$\frac{d\vec{r}_G}{dt} = \frac{\sum_i m_i \frac{d\vec{r}_i}{dt}}{m}. \quad (3.222)$$

Această derivată se numește *vectorul viteză* \vec{v}_G al centrului de inerție și poate fi considerată ca viteza unui punct imaginar, care se mișcă pe hodograful vectorului. Viteza aceasta poate fi exprimată în funcție de vitezele \vec{v}_i ale punctelor sistemului cu formula

$$\vec{v}_G = \frac{\sum_i m_i \vec{v}_i}{m} \quad (3.223)$$

Derivata $\frac{d\vec{v}_G}{dt}$ se numește *vectoru accelerației* al centrului de inerție C ; ea poate fi considerată ca vectorul accelerație \vec{a}_G al unui punct imaginar, care se mișcă pe hodograful vectorului \vec{r}_G cu viteza \vec{v}_G și poate fi exprimată cu formula

$$\vec{a}_G = \frac{\sum_i m_i \vec{a}_i}{m}, \quad (3.224)$$

unde \vec{a} sînt accelerațiile punctelor sistemului.

§ 3.67. Teorema mișcării centrului de inerție

Legea fundamentală a dinamicii pentru punctele A_i ale sistemului ia forma $m_i \vec{a}_i = \vec{P}_i^{(e)} + \sum_j \vec{F}_{ij}$, unde $\vec{P}_i^{(e)}$ este forța xte ioară aplicată acestui punct. Însumînd aceste egalități pentru toate punctele sistemului și ținînd seama de formulele (3.224) și (3.214), se obține egalitatea

$$m \vec{a}_G = \sum_i \vec{P}_i^{(e)}, \quad (3.225)$$

numită *ecuația de mișcare a centrului de inerție a sistemului*. Ea indică faptul că centrul de inerție al sistemului se mișcă așa cum s-ar mișca un punct material liber fictiv a cărui masă este egală cu masa sistemului și căruia i se aplică o forță care are vectorul egal cu suma vectorilor tuturor forțelor exterioare aplicate punctelor sistemului. Prin urmare, forțele interioare nu exercită nici o influență asupra mișcării centrului de inerție al sistemului. În particular, în absența forțelor exterioare, sau dacă $\sum_i \vec{P}_i^{(e)} = 0$, atunci $\vec{a}_C = 0$, adică centrul de inerție al sistemului se mișcă rectiliniu și uniform față de un sistem de referință inerțial S , și de aceea, luându-l ca origine a unui sistem de referință relativ S' în mișcare de translație, se obține un sistem de referință inerțial nou. Un astfel de caz are loc cu mare precizie pentru sistemul solar, dacă axele sistemului mobil S' se îndreaptă spre trei stele fixe.

§ 3.68. Impulsul

Se numește *impuls* al unei particule materiale de masă m , care se mișcă cu viteza \vec{v} , vectorul \vec{H} , egal cu produsul dintre masa particulei și vectorul viteză

$$\vec{H} = m\vec{v}. \quad (3.226)$$

Modulul vectorului impuls se măsoară în unitățile

$$[\vec{H}] = \text{kgf} \cdot \text{s}. \quad (3.227)$$

Proiecțiile acestui vector pe axele sistemului de referință se exprimă cu formulele

$$H_x = m \frac{dx}{dt}, \quad H_y = m \frac{dy}{dt}, \quad H_z = m \frac{dz}{dt}. \quad (3.228)$$

Vectorul \vec{H} al impulsului este legat de vectorul \vec{P} al rezultantei forțelor aplicate punctului mobil, prin ecuația

$$\frac{d\vec{H}}{dt} = \vec{P}. \quad (3.229)$$

Dacă vectorul \vec{P} se consideră variabil, depinzând de timp, $\vec{P} = \vec{P}(t)$, pentru calculul variației impulsului în intervalul de timp (t_A, t_B) acest interval se împarte în părți infinit mici Δt_k , introducând între momentele t_A și t_B momentele intermediare $t_A = t_1 < t_2 < t_3 < \dots < t_n < t_{n+1} = t_B$ și se calculează limita sumei $\lim_{\Delta t \rightarrow 0} \sum_{k=1}^n \vec{P}(t_k) \Delta t_k$.

Această limită se numește *integrala geometrică* a vectorului $\vec{P}(t)$ și se notează cu simbolul

$$\int_{t_A}^{t_B} \vec{P}(t) dt = \lim_{\Delta t \rightarrow 0} \sum_{k=1}^n \vec{P}(t_k) \Delta t_k. \quad (3.320)$$

Formula *variației impulsului* unui punct are forma

$$m\vec{v}(t_B) - m\vec{v}(t_A) = \int_{t_A}^{t_B} \vec{P}(t) dt; \quad (3.231)$$

proiectînd pe axele sistemului de referință, se obține

$$\left. \begin{aligned} mv_x(t_B) - mv_x(t_A) &= \int_{t_A}^{t_B} P_x(t) dt, \\ mv_y(t_B) - mv_y(t_A) &= \int_{t_A}^{t_B} P_y(t) dt, \\ mv_z(t_B) - mv_z(t_A) &= \int_{t_A}^{t_B} P_z(t) dt. \end{aligned} \right\} \quad (3.232)$$

Impulsul unui sistem este vectorul liber \vec{H} , egal cu suma vectorilor \vec{H}_i ai impulsurilor tuturor punctelor sistemului în momentul dat

$$\vec{H} = \sum_i \vec{H}_i = \sum m_i \vec{v}_i. \quad (3.233)$$

Acest vector \vec{H} poate fi privit ca impulsul unui punct fictiv cu masa m egală cu suma maselor punctelor sistemului și care se mișcă cu viteza v_G a centrului de inerție al sistemului. Fizic, vectorul \vec{H} este măsura mișcării mecanice, care caracterizează posibilitatea ei de a se transmite de asemenea sub formă de mișcare mecanică de la unele particule materiale la altele. Impulsul unui sistem este legat de forțele aplicate punctelor acestui sistem prin ecuația

$$\frac{d\vec{H}}{dt} = \sum_i \vec{P}_i^{(e)}, \quad (3.234)$$

iar variația impulsului pentru intervalul dat (t_A, t_B) de timp se exprimă cu formula

$$\vec{H}(t_B) - \vec{H}(t_A) = \sum_i \int_{t_A}^{t_B} \vec{P}_i^{(e)} dt = \int_{t_A}^{t_B} \sum_i \vec{P}_i^{(e)} dt. \quad (3.235)$$

Prin urmare, forțele interioare nu exercită influență asupra variației impulsului sistemului. În cazul

$$\sum_i \vec{P}_i^{(e)} = 0. \quad (3.236)$$

pentru toate momentele de timp se obține $\vec{H} = \text{const}$, adică impulsul unui astfel de sistem se conservă.

§ 3.69. Ecuația lui Meșcerski pentru mișcarea de translație a unei rachete

Masa rachetei, egală cu suma maselor corpului ei și a combustibilului inclus în ea în momentul dat, este o funcție de timp $m(t)$. Dacă viteza de scurgere a gazelor, care se formează ca rezultat al arderii combustibilului, este \vec{c} în raport cu corpul rachetei, atunci viteza \vec{v} a mișcării de translație a rachetei se determină din ecuația

$$m(t) \frac{d\vec{v}}{dt} = \vec{P}^{(e)} + \frac{dm}{dt} \vec{c}, \quad (3.237)$$

unde $\vec{P}^{(e)}$ este suma vectorilor forțelor exterioare aplicate rachetei. Vectorul

$$\vec{R} = \frac{dm}{dt} \vec{c} \quad (3.238)$$

este îndreptat în sens opus vectorului \vec{c} , deoarece $\frac{dm}{dt} < 0$ și se numește *forța de reacție* a proiectilului rachetei. În absența forțelor exterioare în cazul mișcării rectilinii a rachetei și al unei viteze constante c de scurgere a combustibilului, viteza rachetei, pentru datele inițiale $t_0 = 0$, $v_0 = 0$, se determină la momentul t cu formula

$$v(t) = c \ln \frac{m_0}{m(t)},$$

unde m_0 este masa inițială, adică $m_0 = m(0)$.

§ 3.70. Momentul cinetic al unui punct material

Produsul vectorial dintre raza vectorie \vec{r} a punctului mobil și vectorul impuls se numește *vectorul moment cinetic al punctului material în raport cu originea razei vectorie* a punctului

$$\vec{K}_0 = \vec{r} \times m\vec{v}. \quad (3.239)$$

Vectorul moment cinetic se măsoară în unitățile: $[\vec{K}] = \text{kgf.m.s.}$. Analitic, în raport cu axele $Ox Oy Oz$ vectorul moment cinetic se exprimă cu formula

$$\vec{K}_0 = \begin{vmatrix} \vec{i} & \vec{j} & \vec{k} \\ x & y & z \\ m \frac{dx}{dt} & m \frac{dy}{dt} & m \frac{dz}{dt} \end{vmatrix}. \quad (3.240)$$

Proiecțiile K_x, K_y, K_z ale vectorului moment se numesc *momente cinetice axiale* și se exprimă cu formulele

$$\left. \begin{aligned} K_x &= \begin{vmatrix} y & z \\ m \frac{dy}{dt} & m \frac{dz}{dt} \end{vmatrix} = m \left(y \frac{dz}{dt} - z \frac{dy}{dt} \right) \\ K_y &= \begin{vmatrix} z & x \\ m \frac{dz}{dt} & m \frac{dx}{dt} \end{vmatrix} = m \left(z \frac{dx}{dt} - x \frac{dz}{dt} \right), \\ K_z &= \begin{vmatrix} x & y \\ m \frac{dx}{dt} & m \frac{dy}{dt} \end{vmatrix} = m \left(x \frac{dy}{dt} - y \frac{dx}{dt} \right). \end{aligned} \right\} \quad (3.241)$$

Aceste proiecții se pot scrie sub forma

$$K_x = 2m \frac{dA_x}{d}, \quad K_y = 2m \frac{dA_y}{d}, \quad K_z = 2m \frac{dA_z}{d} \quad (3.242)$$

unde $\frac{dA_x}{d}, \frac{dA_y}{d}, \frac{dA_z}{d}$ sînt viteze areolare (sectoriale), față de originea O , ale proiecțiilor punctului în mișcările lor respectiv pe planele de coordonate yOz, zOx, xOy .

Momentul cinetic al unui punct în raport cu originea unui sistem de referință inerțial este legat de vectorul \vec{P} al rezultantei forțelor care îi sînt aplicate, prin formula

$$\frac{d\vec{K}_0}{dt} = \vec{M}_O(\vec{P}). \quad (3.243)$$

Proiectată pe axele Ox, Oy, Oz această formulă dă

$$\frac{dK_x}{dt} = M_{Ox}(\vec{P}), \quad \frac{dK_y}{dt} = M_{Oy}(\vec{P}); \quad \frac{dK_z}{dt} = M_{Oz}(\vec{P}). \quad (3.244)$$

În cazul unei forțe centrale avem $\vec{M}_O(\vec{P}) = 0$ și ca urmare $\vec{K}_O = \text{const.}$ Traectoria punctului este situată în acest caz într-un plan perpendicular pe vectorul constant \vec{K}_O , iar mișcarea are loc în acest plan, după formula lui Binet (§ 3.52).

§ 3 71. Momentul cinetic al unui sistem

Se numește *moment cinetic* al unui sistem mecanic \vec{K}_O în raport cu un punct O , suma vectorilor momentelor cinetice în jurul aceleiași origini, ale tuturor punctelor sistemului

$$\vec{K}_O = \sum_i \vec{K}_i = \sum_i \vec{r}_i \times m_i \vec{v}_i. \quad (3.245)$$

Proiecțiile vectorului \vec{K}_O pe axele Ox, Oy, Oz , proiecții numite *momente cinetice axiale*, se determină cu formulele

$$\left. \begin{aligned} K_x &= \sum_i m_i \left(y_i \frac{dz_i}{dt} - z_i \frac{dy_i}{dt} \right), \\ K_y &= \sum_i m_i \left(z_i \frac{dx_i}{dt} - x_i \frac{dz_i}{dt} \right), \\ K_z &= \sum_i m_i \left(x_i \frac{dy_i}{dt} - y_i \frac{dx_i}{dt} \right). \end{aligned} \right\} \quad (3.246)$$

Dacă, în afară de sistemul de referință inerțial S , se introduce încă un sistem de referință mobil S' , a cărui origine O' coincide cu centrul C de inerție al sistemului mecanic și care are față de sistemul de referință inerțial S o translație, atunci momentul cinetic \vec{K}_O în mișcarea absolută va fi legat de momentul cinetic \vec{K}'_C în mișcarea relativă prin formula

$$\vec{K}_O = \vec{K}'_C + \vec{r}_C \times m \vec{v}_C, \quad (3.247)$$

unde

$$\vec{K}'_C = \sum_i \vec{r}'_i \times m_i \vec{v}'_i. \quad (3.248)$$

Momentul cinetic \vec{K}_O , în jurul originii sistemului de referință inerțial, este legat de forțele aplicate în punctul sistemului prin formula

$$\frac{d\vec{K}_O}{dt} = \sum_i \vec{M}_O(\vec{P}_i^{(e)}), \quad (3.249)$$

adică forțele interioare nu au nici o influență asupra variației momentului cinetic absolut.

Dacă derivata $\frac{d\vec{K}_O}{dt}$ este considerată ca viteza unui punct L , situat

la extremitatea vectorului \vec{K}_O , atunci, făcând abstracție de dimensiunile acestei viteze, formula (3.249) se poate scrie sub forma

$$\vec{v}_L = \sum_i \vec{M}_O(\vec{P}_i^{(e)}) \quad (3.250)$$

și în această formă ea exprimă *regula lui Resal*: viteza extremității vectorului momentului cinetic în jurul originii unui sistem de referință inerțial este egală cu suma vectorilor momentelor forțelor exterioare aplicate punctelor sistemului, în jurul aceluiași centru. Pentru momentul cinetic \vec{K}_C în mișcarea relativă a sistemului în jurul centrului său de inerție, adică în mișcarea față de sistemul S' de referință, a cărui origine coincide cu centrul C de inerție și care posedă o mișcare de translație față de sistemul inerțial, există relația

$$\frac{d\vec{K}_C'}{dt} = \sum_i \vec{M}_C(\vec{P}_i^{(e)}), \quad (3.251)$$

adică teorema despre momentul cinetic în această mișcare relativă are aceeași formă ca și în cea din mișcarea absolută. Proiectate pe axele Ox, Oy, Oz sau Ox', Oy', Oz' formulele (3.249) și (3.251) iau forma

$$\left. \begin{aligned} \frac{dK_x}{dt} &= \sum_i M_{Ox}(\vec{P}_i^{(e)}), & \frac{dK_y}{dt} &= \sum_i M_{Oy}(\vec{P}_i^{(e)}), \\ \frac{dK_z}{dt} &= \sum_i M_{Oz}(\vec{P}_i^{(e)}), \end{aligned} \right\} \quad (3.252)$$

$$\left. \begin{aligned} \frac{dK_{x'}}{dt} &= \sum_i M_{Cx'}(\vec{P}_i^{(e)}), & \frac{dK_{y'}}{dt} &= \sum_i M_{Cy'}(\vec{P}_i^{(e)}), \\ \frac{dK_{z'}}{dt} &= \sum_i M_{Cz'}(\vec{P}_i^{(e)}). \end{aligned} \right\} \quad (3.253)$$

Dacă suma momentelor forțelor exterioare în jurul unei axe oarecare a sistemului S sau a sistemului S' rămîne tot timpul egală cu zero, de exemplu $\sum_i M_{Ox}(\vec{P}_i^{(e)}) = 0$ sau $\sum_i M_{Cx'}(\vec{P}_i^{(e)}) = 0$, atunci respectiv $K_x = \text{const}$, $K_{x'} = \text{const}$ sau $\sum_i m_i \frac{dS_{ix}}{dt} = \text{const}$ și

$\sum_i m_i \frac{dS'_{ix'}}{dt} = \text{const}$, adică rămîne constantă suma produselor maselor cu vitezele sectoriale ale proiecțiilor pe planul perpendicular pe acea axă în jurul căreia este egală cu zero suma momentelor forțelor exterioare.

Dacă $\sum_i M_O(\vec{P}_i^{(e)}) = 0$ sau $\sum_i M_C(\vec{P}_i^{(e)}) = 0$, proprietatea indicată are loc pentru orice plan, care trece prin O respectiv prin C . În acest caz $\vec{K}_O = \text{const}$ sau $\vec{K}_C = \text{const}$. Prin urmare, planele (Π) sau (Π') , perpendiculare pe vectorii \vec{K}_O sau \vec{K}_C , păstrează în spațiu o direcție constantă. Suma produselor dintre masele punctelor sistemului și vitezele areolare (în jurul originii O respectiv C) ale proiecțiilor acestor puncte pe planele (Π_O) sau (Π_C) care trec prin punctele O sau C , are cea mai mare valoare constantă, dacă planele sînt perpendiculare respectiv pe \vec{K}_O sau \vec{K}_C .

§ 3.72. Lucrul mecanic elementar al unei forțe

Produsul scalar dintre vectorul forță \vec{F} , aplicat unui punct în mișcare și vectorul viteză \vec{v} al acestui punct, înmulțit cu elementul dt de timp, se numește *lucrul mecanic elementar* al forței \vec{F} în intervalul de timp dt considerat

$$dL = \vec{F} \cdot \vec{v} dt. \quad (3.254)$$

Lucrul mecanic elementar este un număr algebric, măsurat în unitățile $[dL] = \text{N.m}$. Lucrul mecanic elementar, în funcție de proiecțiile forței \vec{F} pe axele sistemului de referință față de care se consideră viteza \vec{v} , se exprimă cu formula

$$dL = F_x dx + F_y dy + F_z dz, \quad (3.255)$$

unde diferențialele coordonatelor sînt calculate pentru aceeași valoare a diferențialei dt a timpului, ca și lucrul mecanic elementar. Lucrul mecanic elementar, în funcție de diferențiala ds a arcului traiectoriei și de unghiul α , format de vectorul \vec{F} cu tangenta, orientată în sensul crescător al arcelor, se poate exprima cu formula

$$dL = |\vec{F}| \cdot ds \cdot \cos \alpha = F_\tau ds, \quad (3.256)$$

unde F_τ este proiecția forței pe tangenta la traiectorie. Dacă forța este rezultanta forțelor $\vec{F}_k (k = 1, 2, \dots, n)$, aplicate în același punct, atunci

$$dL(\vec{F}) = \sum_{k=1}^n dL(\vec{F}_k), \quad (3.257)$$

adică lucrul mecanic elementar al rezultantei este egal cu suma lucrurilor mecanice elementare ale componentelor.

§ 3.73. Cîmp de forțe

Dacă forța \vec{F} este o forță de poziție, adică este determinată exclusiv de poziția punctului, atunci în formula (3.256) lucrul mecanic elementar se poate calcula independent de procesul mișcării, în funcție de deplasarea arbitrară ds a punctului din acea poziție, pentru care a fost luată valoarea forței \vec{F} . Dacă în urma acțiunii unor corpuri o parte din spațiu se găsește într-o astfel de stare că în fiecare punct al lui apare o forță, aplicată unei particule materiale care se găsește în acel punct și care depinde doar de poziția acestui punct și eventual de momentul t considerat, însă nu și de viteza punctului, atunci acea parte a spațiului se numește *cîmp de forțe*. Cîmpul de forțe, ale cărui forțe nu depind de timp, se numește *staționar*.

Pentru un cîmp staționar, proiecțiile F_x, F_y, F_z ale forțelor cîmpului sînt funcții doar de coordonatele x, y, z ale punctului de aplicație și formula (3.256) a lucrului mecanic elementar capătă forma

$$dL = X(x, y, z) dx + Y(x, y, z) dy + Z(x, y, z) dz, \quad (3.258)$$

unde

$$X = F_x, \quad Y = F_y, \quad Z = F_z.$$

Dacă membrul drept al formulei (3.258) este, din punct de vedere matematic, diferențiala totală exactă a unei funcții de coordonate, $U(x, y, z)$, adică dacă

$$X(x, y, z) dx + Y(x, y, z) dy + Z(x, y, z) dz = dU(x, y, z), \quad (3.259)$$

cîmpul de forțe se numește *potențial*, iar funcția $U(x, y, z)$ este *funcția de forță*. În cazul cîmpului potențial, proiecțiile F_x, F_y, F_z ale forței se exprimă prin funcția de forță cu formulele

$$F_x = \frac{\partial U}{\partial x}, \quad F_y = \frac{\partial U}{\partial y}, \quad F_z = \frac{\partial U}{\partial z}. \quad (3.260)$$

Criteriul matematic de a recunoaște dacă un cîmp de forțe este un cîmp potențial constă în satisfacerea identică a egalităților

$$\frac{\partial Y}{\partial x} = \frac{\partial X}{\partial y}, \quad \frac{\partial Z}{\partial y} = \frac{\partial Y}{\partial z}, \quad \frac{\partial X}{\partial z} = \frac{\partial Z}{\partial x}. \quad (3.261)$$

Exemple de cîmpuri potențiale de forțe:

1. *Cimpul forței gravitaționale.* Dacă axa Oz este orientată vertical în sus, atunci $X = Y = 0$, $Z = -P$; $dL = -P dz = d(-Pz)$, adică pentru forța gravitațională, funcția de forță se exprimă, în raport cu axele menționate, cu formula

$$U = -Pz. \quad (3.262)$$

2. *Cimpul unei forțe centrale,* a cărei mărime depinde doar de distanța de la punctul de aplicație pînă la centrul forței. Dacă proiecția P_r a forței pe raza vectoară \vec{r} se exprimă cu formula

$$P_r = f(r), \quad (3.263)$$

atunci

$$X = f(r) \cdot \frac{x}{r}, \quad Y = f(r) \cdot \frac{y}{r}, \quad Z = f(r) \cdot \frac{z}{r}, \quad (3.264)$$

$$dL = \frac{f(r)}{r} (x dx + y dy + z dz) = f(r) dr, \quad (3.265)$$

$$U = \int f(r) dr. \quad (3.266)$$

Pentru forța elastică $f(r) = -cr$ și de aceea

$$U = -\frac{cr^2}{2}. \quad (3.267)$$

Pentru forța de atracție newtoniană $F(r) = -\frac{\mu}{r^2}$, unde μ este un coeficient constant,

$$U = \frac{\mu}{r}. \quad (3.268)$$

§ 3.74. Energia cinetică a unui punct material

Se numește *energie cinetică a unui punct* de masă m , care se mișcă cu viteza v , jumătatea produsului dintre masă și pătratul vitezei

$$E_c = \frac{mv^2}{2}. \quad (3.269)$$

Energia cinetică este întotdeauna pozitivă și are dimensiunea $[E_c] = \text{N} \cdot \text{m}$, adică în aceleași unități ca și momentul unei forțe și lucrul mecanic elementar.

Dacă în procesul mișcării unui punct față de un sistem de referință inerțial energia cinetică se consideră ca o funcție de timp, atunci ea este legată de rezultanta \vec{P} a forțelor aplicate punctului cu formula

$$d\left(\frac{mv^2}{2}\right) = dL(\vec{P}) = \vec{P} \cdot \vec{v} dt, \quad (3.270)$$

adică diferențiala energiei cinetice este egală cu lucrul mecanic elementar al rezultantei forțelor aplicate punctului. Deci, variația energiei cinetice pentru intervalul de timp dat (t_1 , t_2) se exprimă cu formula

$$\frac{mv_2^2}{2} - \frac{mv_1^2}{2} = \int_{t_1}^{t_2} \vec{P} \cdot \vec{v} dt. \quad (3.271)$$

Produsul scalar dintre vectorul forță și vectorul viteză a punctului de aplicație se numește *puterea* acelei forțe

$$\vec{P} \cdot \vec{v} = W(\vec{P}). \quad (3.272)$$

Puterea este o mărime scalară cu dimensiunea $[W] = \frac{N \cdot m}{s} = W$ (vezi tabela 2.4).

Integrala în raport cu timpul a puterii forței \vec{P} se numește *lucrul mecanic total* al acelei forțe pentru intervalul de timp (t_1 , t_2) considerat

$$\int_{t_1}^{t_2} \vec{P} \cdot \vec{v} dt = L(\vec{P}) \Big|_{t_1}^{t_2}. \quad (3.273)$$

Egalitatea (3.271) se poate scrie sub forma

$$\frac{mv_2^2}{2} - \frac{mv_1^2}{2} = L(\vec{P}) \Big|_{t_1}^{t_2}, \quad (3.274)$$

adică variația energiei cinetice a punctului în intervalul de timp dat este egală cu lucrul mecanic total, pentru același interval, al rezultantei forțelor aplicate aceluși punct. În cazul unui câmp de forțe staționar, lucrul mecanic total în intervalul de timp (t_1 , t_2), în decursul căruia punctul a trecut din poziția M_1 în poziția M_2 pe o traiectorie oarecare, se poate reprezenta prin integrala curbilinie

$$L(\vec{P}) \Big|_{t_1}^{t_2} = \int_{\widehat{M_1 M_2}} X(x, y, z) dx + Y(x, y, z) dy + Z(x, y, z) dz, \quad (3.275)$$

sau prin integrala pe arcul $M_1 M_2$

$$L(\vec{P}) \Big|_{t_1}^{t_2} = \int_{s_1}^{s_2} P(s) \cdot \cos \alpha(s) \cdot ds. \quad (3.276)$$

dacă mărimea forței P și unghiul ei α cu tangenta la traiectorie se exprimă prin valoarea arcului. Integrala din formula (3.276) se numește *lucrul mecanic total al forței câmpului* pe arc $M_1 M_2$ dat

$$L(\vec{P}) \Big|_{M_1}^{M_2} = \int_{s_1}^{s_2} P(s) \cdot \cos \alpha(s) ds. \quad (3.277)$$

Formula variației energiei cinetice a punctului în mișcarea într-un câmp de forțe are forma

$$\frac{mv_2^2}{2} - \frac{mv_1^2}{2} = L(\vec{P}) \Big|_{M_1}^{M_2}. \quad (3.278)$$

Dacă câmpul de forțe este un câmp potențial $U(x, y, z)$, atunci

$$\int_{M_1 M_2} Xdx + Ydy + Zdz = \int_{M_1 M_2} dU = U(x_2, y_2, z_2) - U(x_1, y_1, z_1) \quad (3.279)$$

și lucrul mecanic al forței \vec{P} a câmpului potențial, la deplasarea punctului din poziția $M_1(x_1, y_1, z_1)$ în poziția $M_2(x_2, y_2, z_2)$, se exprimă cu formula

$$L(\vec{P}) \Big|_{M_1}^{M_2} = U(x_2, y_2, z_2) - U(x_1, y_1, z_1), \quad (3.280)$$

adică acest lucru mecanic este egal cu diferența valorilor funcției de forțe între pozițiile finală și inițială ale punctului. Formula variației energiei cinetice a unui punct în mișcarea sa sub acțiunea unei forțe într-un câmp potențial, are forma

$$\frac{mv_2^2}{2} - \frac{mv_1^2}{2} = U(x_2, y_2, z_2) - U(x_1, y_1, z_1). \quad (3.281)$$

Funcția de coordonate, care diferă de funcția de forțe prin semn, adică funcția

$$\Pi(x, y, z) = -U(x, y, z) \quad (3.282)$$

se numește *funcție potențială*, iar valoarea ei reprezintă *energia potențială* a punctului în locul dat al câmpului. Formula (3.281) conduce la egalitatea

$$\frac{mv^2}{2} + \Pi(x, y, z) = h, \quad (3.283)$$

unde mărimea h rămâne constantă în tot decursul mișcării. Suma energiilor cinetice și potențială ale unui punct se numește *energia lui mecanică*

$$\frac{mv^2}{2} + \Pi(x, y, z) = E. \quad (3.284)$$

Egalitatea

$$E = h \quad (3.285)$$

exprimă *legea conservării energiei mecanice* a unui punct în mișcarea lui sub acțiunea unei forțe într-un câmp potențial. Suprafețele determinate în câmpul potențial de ecuația

$$\Pi(x, y, z) = C, \quad (3.286)$$

pentru diferite valori ale constantei C se numesc *suprafețe echipotențiale* sau *suprafețe de nivel*. Prin fiecare punct al câmpului trece numai o suprafață de nivel, determinată de ecuația

$$\Pi(x, y, z) = \Pi(x_1, y_1, z_1) = C_1. \quad (3.287)$$

Vectorul forță într-un câmp potențial este îndreptat după normala la suprafața de nivel, care trece prin punctul $M_1(x_1, y_1, z_1)$ și anume în acea parte, în care energia potențială descrește. Pentru câmpul gravitațional, suprafețele de nivel sînt, local, plane orizontale. În cazul unei axe Oz verticale, orientată în sus, energia potențială în câmpul forței gravitaționale P se exprimă cu formula

$$\Pi(x, y, z) = Pz. \quad (3.288)$$

Pentru o forță elastică, $\vec{P} = -c\vec{r}$,

$$\Pi(x, y, z) = \frac{c(x^2 + y^2 + z^2)}{2} = \frac{cr^2}{2} \quad (3.289)$$

și suprafețele de nivel sînt sfere concentrice cu centrul forței elastice.

§ 3.75. Energia cinetică a unui sistem

Suma energiilor cinetice ale punctelor unui sistem material se numește *energia cinetică a sistemului*

$$\sum_i \frac{m_i v_i^2}{2} = E_c. \quad (3.290)$$

Sensul fizic al energiei cinetice constă în aceea, că ea caracterizează capacitatea mișcării mecanice de a se transforma în alt gen de mișcare, de exemplu în căldură. Pentru calculul energiei cinetice a unui sistem se descompune mișcarea aceluși sistem într-o mișcare de transport (de translație) a unui sistem de axe cu originea în centrul de inerție și într-o mișcare relativă față de acest sistem de axe. În acest caz energia cinetică E_c față de axele absolute se exprimă în funcție

de energia cinetică E'_c a mișcării relative cu ajutorul formulei lui König

$$E_c = \frac{mv_C^2}{2} + E'_c, \quad (3.291)$$

unde m este masa sistemului, iar \vec{v}_C este viteza absolută a centrului de inerție.

În procesul mișcării energia cinetică este legată de forțele P_i , aplicate punctelor sistemului, prin formula

$$dE_c = \sum_i dL(\vec{P}_i), \quad (3.292)$$

adică diferențiala energiei cinetice a sistemului este egală cu suma lucrurilor mecanice elementare ale tuturor forțelor aplicate în punctele sistemului. Forțele \vec{P}_i aplicate în punctele sistemului, se împart sau în *exterioare* $\vec{P}_i^{(e)}$ și *interioare* \vec{F}_{ij} , sau în forțe date \vec{F}_i (determinate de starea cinematică a mișcării punctelor sistemului) și reacțiuni \vec{R}_i , care apar datorită acțiunii unor corpuri asupra punctelor sistemului și care produc limitări geometrice sau cinematice asupra mișcării sistemului, denumite *legături*. Față de o asemenea împărțire a forțelor, formula (3.292) se folosește sau în forma

$$dE_c = \sum_i dL(\vec{P}_i^{(e)}) + \sum_{i,j} dL(\vec{F}_{ij}), \quad (3.293)$$

sau în forma

$$dE_c = \sum_i dL(\vec{F}_i) + \sum_i dL(\vec{R}_i). \quad (3.294)$$

Dacă din proprietățile fizice ale legăturilor rezultă că suma lucrurilor mecanice ale reacțiunilor lor rămâne egală cu zero în tot timpul mișcării sistemului, legăturile se numesc *ideale*. În cazul legăturilor ideale, formula (3.294) devine

$$dE_c = \sum_i dL(\vec{F}_i). \quad (3.295)$$

Cele mai importante exemple de legături ideale, impuse unor corpuri rigide, care compun sistemul dat, sînt: fixarea unuia sau a două puncte ale corpului, legarea unor corpuri prin articulații, legarea unor corpuri prin fire flexibile inextensibile, obligarea corpurilor de a aluneca pe suprafețe absolut netede, rigide, fixe, rostogolirea unor corpuri fără alunecare pe suprafețe fixe, alunecarea corpurilor unul pe altul pe suprafețe absolut netede, rostogolirea unui corp pe altul fără alunecare.

Energia cinetică E'_c a mișcării relative a unui sistem față de axe în mișcarea de translație, cu originea în centrul de inerție, este legată

de forțele aplicate punctelor sistemului cu o formulă analogă formulei (3.292)

$$dE'_c = \sum_i dL'(\vec{P}_i), \quad (3.296)$$

unde $dL'(\vec{P}_i)$ sînt lucrurile mecanice elementare ale forțelor \vec{P}_i cu viteza relativă \vec{v}_i , adică:

$$dL'(\vec{P}_i) = \vec{P}_i \cdot \vec{v}_i dt. \quad (3.297)$$

Dacă forțele \vec{P}_i sînt de poziție, adică depind numai de pozițiile punctelor sistemului, suma lucrurilor mecanice elementare se exprimă cu formula

$$\sum_i dL(\vec{P}_i) = \sum_i (X_i dx_i + Y_i dy_i + Z_i dz_i), \quad (3.298)$$

unde funcțiile X_i, Y_i, Z_i depind, în general, de coordonatele tuturor punctelor sistemului. În cazul cînd membrul din dreapta al formulei (3.298) este o diferențială totală exactă a unei funcții U de coordonatele punctelor sistemului, atunci

$$\sum_i dL(\vec{P}_i) = dU. \quad (3.299)$$

Această funcție U se numește *funcție de forțe*, iar funcția $\Pi = -U$ este *funcția potențială a sistemului*. Din punct de vedere fizic funcția Π este energia potențială a sistemului și se exprimă prin lucrul mecanic al forțelor cîmpului la deplasarea acestui sistem din poziția finală în cea inițială.

Proiecțiile forței \vec{P}_i pe axele sistemului fundamental de referință se exprimă în funcție de U sau de Π cu formulele

$$X_i = \frac{\partial U}{\partial x_i} = -\frac{\partial \Pi}{\partial x_i}, \quad Y_i = \frac{\partial U}{\partial y_i} = -\frac{\partial \Pi}{\partial y_i}, \quad Z_i = \frac{\partial U}{\partial z_i} = -\frac{\partial \Pi}{\partial z_i}.$$

În cazul existenței unei funcții de forță, formula (3.292) ia forma

$$dE_c = dU = -d\Pi. \quad (3.300)$$

De aici rezultă că în cazul mișcării unui sistem sub acțiunea unor forțe, care admit o funcție de forță, în decursul mișcării se conservă mărimea $E_c - U$ sau $E_c + \Pi$ adică

$$E_c - U = E_c + \Pi = h, \quad (3.301)$$

unde h este o constantă. Suma $E_c + \Pi = E$ a energiilor cinetică și potențială se numește *energia mecanică a sistemului* iar ecuația (3.301) exprimă *legea conservării energiei mecanice a sistemului* în mișcarea lui sub acțiunea unor forțe care admit o funcție de forță.

Dacă densitatea γ este constantă, ea se scoate de sub semnul integrală. Integralele care rămân se numesc *momente geometrice de inerție*; înmulțindu-le cu densitatea, adică cu $\frac{m}{V}$, se obțin momentele de inerție ale masei corpului.

Momentul de inerție J_O în raport cu un punct arbitrar O este legat de momentul de inerție J_C în raport cu centrul de inerție al sistemului prin formula

$$J_O = J_C + md^2, \quad (3.311)$$

unde $d = OC$. Momentul de inerție J_Δ în raport cu axa Δ este legat de momentul de inerție $J_{\Delta'}$ în raport cu axa Δ' , dusă prin centrul de inerție C al sistemului, paralel cu axa Δ , prin formula

$$J_\Delta = J_{\Delta'} + md^2, \quad (3.312)$$

unde d este distanța dintre axele Δ și Δ' . Momentul de inerție $J_{(\Pi)}$ în raport cu planul (Π) este legat de momentul de inerție $J_{(\Pi_C)}$ în raport cu planul (Π_C) , dus prin centrul de inerție C al sistemului paralel cu planul (Π) , cu formula

$$J_{(\Pi)} = J_{(\Pi_C)} + md^2, \quad (3.313)$$

unde d este distanța dintre planele (Π) și (Π_C) . Cel mai important rol îl joacă momentele de inerție axiale. În cazul unui corp omogen de rotație, format prin rotirea unui arc AB în jurul unei axe (fig. 3.66), ecuația arcului avînd forma $\rho = f(z)$, momentul de inerție J_z în raport cu axa de rotație Oz se exprimă prin formula

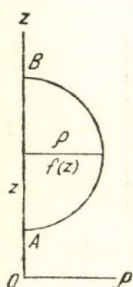


Fig. 3.66.

$$J_z = \frac{m}{2} \frac{\int_{z_A}^{z_B} f^4(z) dz}{\int_{z_A}^{z_B} f^2(z) dz}, \quad (3.314)$$

iar momentele de inerție în raport cu axele Ox și Oy , perpendiculare pe axa de rotație, prin formulele

$$J_x = J_y = \frac{1}{2} J_z + m \frac{\int_{z_A}^{z_B} f^2(z) z^2 dz}{\int_{z_A}^{z_B} f^2(z) dz}, \quad (3.315)$$

Aceste momente de inerție în raport cu axe perpendiculare pe axa de rotație se numesc uneori *momente de inerție ecuatoriale*.

§ 3.78. Elipsoidul și tensorul momentelor de inerție

Momentul de inerție în raport cu axa Δ (fig. 3.67) care trece prin originea coordonatelor și formează cu axele de coordonate unghiurile α, β, γ , se determină cu formula

$$J_{\Delta} = J_x \cos^2 \alpha + J_y \cos^2 \beta + J_z \cos^2 \gamma - 2 J_{yz} \cos \beta \cos \gamma - \\ - 2 J_{zx} \cos \gamma \cos \alpha - 2 J_{xy} \cos \alpha \cos \beta, \quad (3.316)$$

unde coeficienții J_{yz}, J_{zx}, J_{xy} se determină cu formulele

$$J_{yz} = \sum_i m_i y_i z_i, \quad J_{zx} = \sum_i m_i z_i x_i, \quad J_{xy} = \sum_i m_i x_i y_i. \quad (3.317)$$

Acești coeficienți au aceleași dimensiuni, ca și momentele de inerție, însă pot fi pozitivi sau negativi și se numesc *produse de inerție* sau *momente centrifugale de inerție*, în raport cu axele date Ox, Oy, Oz .

Dacă pe axa Δ se ia, la o anumită scară, segmentul $OP = \frac{1}{\sqrt{J_{\Delta}}}$, coordonatele x, y, z ale punctului P satisfac ecuația

$$J_x \cdot x^2 + J_y \cdot y^2 + J_z \cdot z^2 - 2J_{xy}xy - 2J_{yz}yz - 2J_{zx}zx = 1. \quad (3.318)$$

Această ecuație determină un elipsoid cu centrul în punctul O , numit *elipsoidul de inerție* al corpului în punctul dat O . Deoarece momentul de inerție J_{Δ} în jurul axei Δ se poate calcula direct cu formula:

$$J_{\Delta} = \sum_i m_i \rho_i^2$$

fără ajutorul axelor Ox, Oy, Oz elipsoidul de inerție este imaginea geometrică a unei anumite mărimi fizice, care caracterizează distribuția maselor punctelor corpului în raport cu punctul dat O . Această mărime se numește *tensorul momentelor de inerție* (*tensorul de inerție*) al corpului în punctul dat. Analitic, în coordonatele rectangulare x, y, z , tensorul se caracterizează prin coeficienții ecuației elipsoidului de inerție, care se așază într-o tabelă și se numesc *componentele tensorului momentelor de inerție* pe axele date Ox, Oy, Oz

$$\begin{pmatrix} J_x - J_{xy} - J_{xz} \\ - J_{yx} \quad J_y - J_{yz} \\ - J_{zx} - J_{zy} \quad J_z \end{pmatrix}. \quad (3.319)$$

Dacă drept axe Ox, Oy, Oz , se iau axele de simetrie ale elipsoidului de inerție, ecuația lui ia forma

$$Ax^2 + By^2 + Cz^2 = 1 \quad (3.320)$$

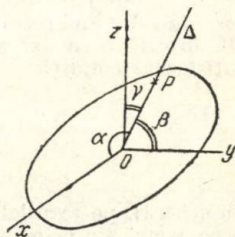


Fig. 3.67.

unde coeficienții A , B , C vor indica momentele de inerție față de axele de simetrie ale elipsoidului de inerție; aceste axe de simetrie se numesc *axe principale de inerție ale corpului* în punctul dat O , iar momentele respective de inerție *momente principale de inerție* în același punct. În raport cu axele principale tabela componentelor tensorului momentelor de inerție ia forma

$$\begin{pmatrix} A & 0 & 0 \\ 0 & B & 0 \\ 0 & 0 & C \end{pmatrix}, \quad (3.324)$$

astfel că față de aceste axe produsele de inerție sînt egale cu zero. Invers, dacă două produse de inerție sînt egale cu zero, atunci aceea axă, ale cărei coordonate intră în aceste produse, este axă principală pentru originea coordonatelor. De exemplu, pentru $J_{xz} = J_{yz} = 0$, principală va fi axa Oz . Dacă se schimbă originea, din O în O' pe axa Oz , păstrînd direcția axelor, produsele de inerție se schimbă după formulele

$$J_{xz} = J_{x'z'} + mhxc, \quad J_{yz} = J_{y'z'} + mhy c, \quad (3.322)$$

unde $h = OO'$, iar x_C și y_C sînt coordonatele centrului de greutate al corpului. De aici rezultă că pentru ca pe o axă să se găsească un punct O' , în care aceea axă să fie axă principală de inerție, trebuie să fie satisfăcută condiția

$$\frac{J_{xz}}{\sum_i m_i x_i} = \frac{J_{yz}}{\sum_i m_i y_i}. \quad (3.323)$$

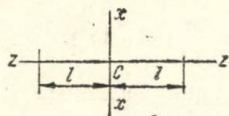
În general, pe axa dată nu se găsește un astfel de punct, pentru care aceea axă să fie principală.

Dacă axa este principală pentru două puncte ale ei, atunci ea trece prin centrul de greutate al corpului și va fi axă principală în toate punctele ei. Invers, o axă principală în centrul de greutate, va fi principală în toate punctele ei. Axele principale, care trec prin centrul de greutate al corpului, se numesc *axe principale centrale de inerție*.

Deoarece, în general, elipsoidul de inerție are trei axe de simetrie perpendiculare una pe alta, atunci în punctul dat există, de asemenea, trei axe principale și ele sînt perpendiculare una pe alta. Dacă elipsoidul de inerție este un elipsoid de rotație, atunci una din axele principale va fi axa de rotație a acestui elipsoid, iar toate axele perpendiculare pe ea în centrul elipsoidului vor fi de asemenea principale; momentele de inerție în raport cu fiecare din aceste axe vor fi egale între ele. Dacă corpul posedă o axă de simetrie, ea va fi axă principală în toate punctele ei. Dacă corpul este o placă infinit subțire, atunci în fiecare punct al lui, una din axele principale de inerție va fi perpendiculară pe planul lui.

Tabela momentelor principale centrale de inerție.

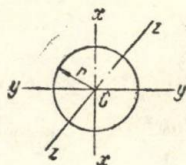
1) Bară dreaptă



$$J_x = \frac{4}{12} ml^2$$

$$i_x = 0,2866 l, J_z = 0.$$

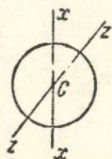
2) Inel circular



$$J_z = mr^2, i_z = r,$$

$$J_x = \frac{mr^2}{2}, i_x = 0,7071 r.$$

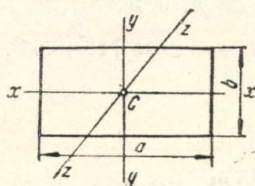
3) Disc circular



$$J_z = \frac{mr^2}{2}, i_z = 0,7071 r.$$

$$J_x = \frac{mr^2}{4}, i_x = 0,5 r.$$

4) Dreptunghi

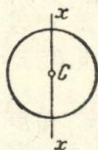


$$J_x = \frac{mb^3}{12}, i_x = \frac{b\sqrt{3}}{6}, J_y = \frac{ma^3}{12},$$

$$i_y = \frac{a\sqrt{3}}{6}, J_z = \frac{m}{12} (a^2 + b^2),$$

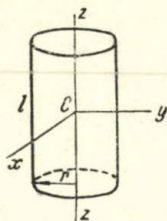
$$i_z = \sqrt{a^2 + b^2} \frac{\sqrt{3}}{6} \left(\frac{\sqrt{3}}{6} \approx 0,2886 \right),$$

5) Suprafața sferei



$$J_x = \frac{2mr^2}{3}, i_x = 0,8165 r.$$

6) Suprafața cilindrului circular



$$J_z = mr^2, i_z = r,$$

$$J_x = \frac{m}{12} (l^2 + 6r^2),$$

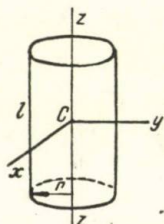
$$i_x = 0,2886 \sqrt{l^2 + 6r^2}$$

7) Volumul sferei



$$J_x = \frac{2mr^2}{5}, i_x = 0,6325 r.$$

8) Volumul cilindrului circular



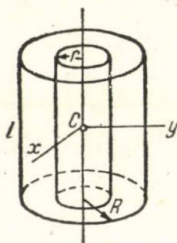
$$J_z = \frac{mr^2}{2},$$

$$J_x = \frac{m}{12} (l^2 + 3r^2),$$

$$i_z = 0,7071r,$$

$$i_x = 0,2886 \sqrt{l^2 + 3r^2}.$$

9) Strat cilindric



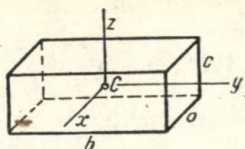
$$J_z = \frac{m}{2} (R^2 + r^2),$$

$$i_z = 0,7071 \sqrt{R^2 + r^2},$$

$$J_x = \frac{m}{12} [l^2 + 3(R^2 + r^2)],$$

$$i_x = 0,2886 \sqrt{l^2 + 3(R^2 + r^2)}.$$

10) Paralelipiped dreptunghic



$$J_x = \frac{m}{12} (b^2 + c^2),$$

$$i_x = 0,2886 \sqrt{b^2 + c^2},$$

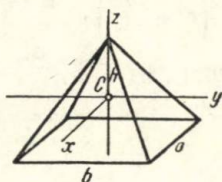
$$J_y = \frac{m}{12} (c^2 + a^2),$$

$$i_y = 0,2886 \sqrt{c^2 + a^2},$$

$$J_z = \frac{m}{12} (a^2 + b^2),$$

$$i_z = 0,2886 \sqrt{a^2 + b^2}.$$

11) Piramidă cu baza un dreptunghi



$$J_z = \frac{m}{20} (a^2 + b^2),$$

$$i_z = 0,2236 \sqrt{a^2 + b^2},$$

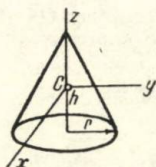
$$J_x = \frac{m}{20} \left(\frac{3}{4} h^2 + b^2 \right),$$

$$i_x = 0,2236 \sqrt{\frac{3}{4} h^2 + b^2},$$

$$J_y = \frac{m}{20} \left(\frac{3}{4} h^2 + a^2 \right),$$

$$i_y = 0,2236 \sqrt{\frac{3}{4} h^2 + a^2}.$$

12) Con circular drept

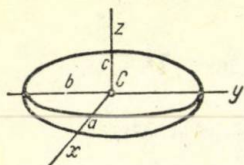


$$J_z = \frac{3}{10} m r^2, \quad i_z = 0,5477 r,$$

$$J_x = \frac{3m}{20} \left(r^2 + \frac{h^2}{4} \right),$$

$$i_x = 0,3873 \sqrt{r^2 + \frac{h^2}{4}}.$$

13) Elipsoid cu trei axe



$$J_z = \frac{m}{5} (a^2 + b^2),$$

$$i_z = 0,4472 \sqrt{a^2 + b^2},$$

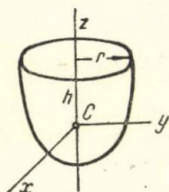
$$J_x = \frac{m}{5} (b^2 + c^2),$$

$$i_x = 0,4472 \sqrt{b^2 + c^2},$$

$$J_y = \frac{m}{5} (c^2 + a^2),$$

$$i_y = 0,4472 \sqrt{c^2 + a^2}.$$

14) Paraboloid de rotație

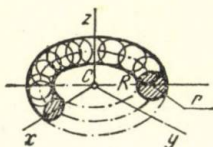


$$J_z = \frac{mr^2}{5}, \quad i_z = 0,5773r,$$

$$J_x = \frac{m}{6} \left(r^2 + \frac{h^2}{3} \right),$$

$$i_x = 0,7071 \sqrt{3r^2 + h^2}.$$

15) Tor



$$J_z = m \left(R^2 + \frac{3r^2}{4} \right),$$

$$i_z = 0,5 \sqrt{4R^2 + 3r^2},$$

$$J_x = m \left(\frac{R^2}{2} + \frac{5r^2}{8} \right),$$

$$i_x = 0,7071 \sqrt{R^2 + 1,25 r^2}.$$

§ 3.79. Momentul cinetic al unui rigid

Dacă un rigid se rotește în jurul unei axe instantanee OK (fig. 3.68) cu viteza unghiulară ω , momentul cinetic are expresia

$$\begin{aligned} \vec{K}_O &= \sum_i \vec{r}_i \times m_i \vec{v}_i = \sum_i \vec{r}_i \times m_i (\vec{\omega} \times \vec{r}_i) = \\ &= \vec{\omega} \times \sum_i m_i r_i^2 - \sum_i (\vec{\omega} \cdot \vec{r}_i) m_i \vec{r}_i. \end{aligned} \quad (3.324)$$

De aici proiecțiile K_x , K_y , K_z pe axele arbitrare Ox , Oy , Oz se exprimă cu formulele

$$\left. \begin{aligned} K_x &= J_{xx}\omega_x - J_{xy}\omega_y - J_{xz}\omega_z, \\ K_y &= -J_{yx}\omega_x + J_{yy}\omega_y - J_{yz}\omega_z, \\ K_z &= -J_{zx}\omega_x - J_{zy}\omega_y + J_{zz}\omega_z. \end{aligned} \right\} \quad (3.325)$$

Aceste proiecții se obțin prin înmulțirea coloanelor din tabela componentelor tensorului de inerție (3.319) respectiv cu proiecțiile ω_x , ω_y , ω_z ale vectorului viteză unghiulară și prin însumarea produselor astfel obținute. Dacă, în particular, drept axă de rotație se alege axa Oz , atunci proiecțiile momentului cinetic se exprimă prin mărimea algebrică ω a vitezei unghiulare cu formulele

$$\left. \begin{aligned} K_x &= -J_{xz}\omega, \\ K_y &= -J_{yz}\omega, \\ K_z &= J_z\omega. \end{aligned} \right\} \quad (3.326)$$

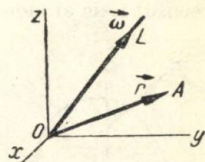


Fig. 3.68.

Dacă se alege drept axe Ox , Oy , Oz , axele principale de inerție din punctul O , formulele (3.325) iau forma

$$K_x = A\omega_x, \quad K_y = B\omega_y, \quad K_z = C\omega_z, \quad (3.327)$$

unde A , B , C sînt momentele principale de inerție.

În cazul general, descompunînd mișcarea corpului într-o mișcare de transport de translație cu viteza v_C a centrului C de inerție și într-o mișcare relativă de rotație în jurul axei instantanee CL , atunci conform formulei (3.247), se obține

$$\vec{K}_O = \vec{r}_C \times m\vec{v} + \vec{\omega} \sum_i m_i r_i^2 - \sum_i m_i (\vec{\omega} \cdot \vec{r}_i) \vec{r}_i. \quad (3.328)$$

§ 3.80. Ecuația diferențială a mișcării de rotație a unui rigid în jurul unei axe fixe

La rotația unui rigid în jurul unei axe fixe OO' (fig. 3.69) forțele exterioare sînt forțele date F_i și reacțiunile \vec{R} și \vec{R}' ale punctelor fixate. De aceea, formula (3.249) pentru derivata $\frac{d\vec{K}_O}{dt}$ a momentului cinetic, ia forma

$$\frac{d\vec{K}_O}{dt} = \sum_i \vec{M}_O(\vec{F}_i) + \vec{M}_O(\vec{R}'),$$

de unde, pentru proiecția pe axa de rotație OO' , se obține ecuația

$$\frac{dK_{OO'}}{dt} = \sum_i M_{OO'}(\vec{F}_i). \quad (3.329)$$

Luind OO' drept axă Oz , se obține $K_{OO'} = J_z \omega$ și deoarece $J_z = \text{const}$, rezultă ecuația

$$J_z \frac{d\omega}{dt} = \sum_i M_z(\vec{F}_i), \quad (3.330)$$

sau

$$J_z \varepsilon = \sum_i M_z(\vec{F}_i), \quad (3.331)$$

unde ε este accelerația unghiulară a corpului. Această ecuație arată sensul fizic al momentului de inerție J , ca fiind măsura inerției corpului la mișcarea de rotație în jurul unei axe date. Dacă poziția corpului este determinată de unghiul φ de rotație în jurul axei Oz , față de un plan fix xOz , atunci $\sum_i M_z(\vec{F}_i)$ se exprimă sub forma unei funcții date de mărimile $t, \varphi, \omega = \frac{d\varphi}{dt}$, care caracterizează starea cinematică a punctelor de aplicație ale forțelor date, iar ecuația (3.328) ia forma

$$J \frac{d^2\varphi}{dt^2} = f\left(t, \varphi, \frac{d\varphi}{dt}\right), \quad (3.332)$$

care ca formă este, identică cu ecuația (3.190) de mișcare a unui punct pe o curbă netedă dată.

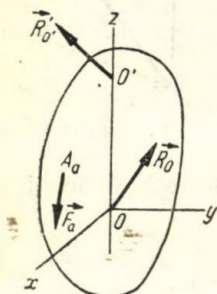


Fig. 3.69.

§ 3.81. Reacțiunile în punctele fixe ale axei unui corp în rotație

În mișcarea de rotație a unui corp în jurul unei axe, în punctele fixe ale ei O și O' , apar reacțiunile dinamice \vec{R} și \vec{R}' (fig. 3.69). Proiecțiile acestor reacțiuni pe un sistem oarecare de axe, Ox, Oy, Oz , imobile sau solidare cu rigidul, cu condiția ca axa Oz să coincidă cu axa de rotație, se determină din ecuațiile

$$\left. \begin{aligned} \sum_i F_{ix} + R_x + R'_x &= -m y_G \cdot \varepsilon - m x_G \cdot \omega^2, \\ \sum_i F_{iy} + R_y + R'_y &= m x_G \varepsilon - m y_G \cdot \omega^2, \\ \sum_i F_{iz} + R_z + R'_z &= 0, \\ \sum_i M_{Ox}(\vec{F}_i) - h R'_y &= -J_{xz} \varepsilon + J_{yz} \omega^2, \\ \sum_i M_{Oy}(\vec{F}_i) + h R'_x &= -J_{yz} \varepsilon - J_{xz} \omega^2, \end{aligned} \right\} \quad (3.333)$$

unde h este distanța OO' , iar x_C și y_C sînt coordonatele centrului de greutate al corpului. Din aceste ecuații se determină complet proiecțiile, R'_x, R'_y, R_x, R_y și suma proiecțiilor $R_z + R'_z$. Proiecțiile R_x, R_y, R'_x, R'_y , se descompun mai ușor în două părți, punînd $R_x = S_x + N_x, R_y = S_y + N_y, R'_x = S'_x + N'_x, R'_y = S'_y + N'_y$ și alegînd, pentru a satisface ecuația (3.333), astfel termenii, ca S_x, S'_x, S_y, S'_y să depindă numai de forțele date F_i iar componentele N_x, N'_x, N_y, N'_y , să depindă numai de viteza unghiulară ω și de accelerația unghiulară ϵ . Se obțin atunci ecuațiile

$$\left. \begin{aligned} \sum_i F_{ix} + S_x + S'_x &= 0, \quad \sum_i F_{iy} + S_y + S'_y = 0, \\ \sum_i M_{Ox}(\vec{F}_i) - hS'_y &= 0, \quad \sum_i M_{Oy}(\vec{F}_i) + hS'_x = 0, \end{aligned} \right\} \quad (3.334)$$

$$\left. \begin{aligned} N_x + N'_x &= -my_C \cdot \epsilon - mx_C \omega^2, \quad N_y + N'_y = mx_C \cdot \epsilon - my_C \cdot \omega^2 \\ -hN'_y &= -J_{xz} \epsilon + J_{yz} \omega^2, \quad hN'_x = -J_{yz} \epsilon - J_{xz} \omega^2. \end{aligned} \right\} \quad (3.335)$$

Dacă se consideră că $N_z = N'_z = 0$, atunci reacțiunile \vec{R} și \vec{R}' se pot reprezenta sub forma $\vec{R} = \vec{S} + \vec{N}$, $\vec{R}' = \vec{S}' + \vec{N}'$. Componentele \vec{S} și \vec{S}' , care depind direct numai de forțele date \vec{F}_i sînt egale cu reacțiunile care ar apare dacă rigidul nu s-ar roti, iar componentele \vec{N} și \vec{N}' , care depind numai de viteza unghiulară ω și de accelerația unghiulară ϵ reprezintă forțele cu care au variat reacțiunile statice din cauza mișcării. Dacă se introduce accelerația a_C a centrului de greutate al corpului, componentele \vec{N} și \vec{N}' se determină cu formulele

$$\left. \begin{aligned} N_x &= ma_{Cx} + \frac{1}{h} (J_{yz} \epsilon + J_{xz} \omega^2), \\ N_y &= ma_{Cy} - \frac{1}{h} (J_{xz} \epsilon - J_{yz} \omega^2), \\ N'_x &= -\frac{1}{h} (J_{yz} \epsilon + J_{xz} \omega^2), \\ N'_y &= \frac{1}{h} (J_{xz} \epsilon - J_{yz} \omega^2). \end{aligned} \right\} \quad (3.336)$$

Componentele \vec{N} și \vec{N}' se anulează amîndouă atunci și numai atunci, cînd axa de rotație este una din axele principale centrale de inerție, adică atunci cînd $x_C = y_C = 0, J_{xz} = J_{yz} = 0$. Dacă centrul de greutate al corpului este situat pe axa de rotație, însă această axă

nu este o axă principală de inerție, atunci $\vec{N} + \vec{N}' = 0$, adică aceste componente formează un cuplu. Momentul acestui cuplu este

$$M(\vec{N}, \vec{N}') = \sqrt{J_{xz}^2 + J_{yz}^2} \cdot \sqrt{\omega^4 + \varepsilon^2}. \quad (3.337)$$

Dacă lipsesc forțele date \vec{F}_i , iar axa de rotație este centrală și principală, reacțiunile \vec{R} și \vec{R}' sînt egale cu zero și de aceea axa poate să nu fie fixată, iar corpul adus în momentul inițial în rotație în jurul unei axe centrale principale și apoi lăsat liber, va păstra starea de rotație uniformă în jurul acestei axe ca și cum ar fi axă fixă. Din acest motiv, axele centrale principale se numesc *axele de rotație libere ale corpului*. În problemele tehnice se cere de obicei determinarea nu a reacțiunilor \vec{R} și \vec{R}' ale punctelor fixate, ci a presiunilor \vec{Q} și \vec{Q}' exercitate în aceste puncte asupra axei punctelor care se rotesc. Aceste presiuni \vec{Q} și \vec{Q}' se determină prin intermediul reacțiunilor \vec{R} și \vec{R}' , în virtutea legii egalității acțiunii și reacțiunii cu formula $\vec{Q} = -\vec{R}$, $\vec{Q}' = -\vec{R}'$.

§ 3.82. Pendulul fizic

Se numește *pendul fizic* un corp solid greu care se rotește în jurul unei axe fixe orizontale sub acțiunea greutății proprii.

Alegînd drept plan xOy (fig. 3.70) un plan vertical, în care se mișcă centrul de greutate C al corpului și definind poziția pendulului prin unghiul φ , format de raza OC corespunzătoare centrului de greutate cu verticala Ox în jos, se obține ecuația de rotație a pendulului în forma

$$J_z \frac{d^2\varphi}{dt^2} = -mg\xi \cdot \sin \varphi, \quad (3.338)$$

unde $\xi = OC$ este raza cercului pe care se mișcă centrul de greutate, iar m este masa pendulului. Dacă ecuației (3.338) i se dă forma

$$\frac{d^2\varphi}{dt^2} = -\frac{g}{l} \sin \varphi, \text{ unde } l = \frac{J_z}{m\xi}, \quad (3.339)$$

ea devine identică cu ecuația (3.193) a mișcării pendulului matematic circular. Din acest motiv, lungimea l , determinată de formula (3.339), se numește *lungime redusă a pendulului fizic* sau lungimea pendulului matematic sincron, adică a pendulului matematic avînd aceeași perioadă de oscilație.

Deoarece $J_{Oz} = J_{OC} + m\xi^2$, unde J_{OC} este momentul de inerție în raport cu axa centrală, paralelă cu axa de rotație, atunci $l = \frac{J_{OC}}{m\xi} + \xi$,

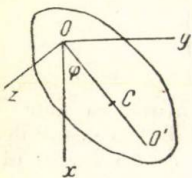


Fig. 3.70.

adică $l > \xi$. Punctul O' , situat pe raza de rotație a centrului de greutate la distanța l de axa de rotație, se numește *centru de oscilație*, iar dreapta Oz' , care trece prin centrul de oscilație paralel cu axa de rotație se numește *axa de oscilație*. Distanța $\xi' = O'C$ de la axa de oscilație până la centrul de greutate se determină cu formula $\xi\xi' = \frac{J_{OC}}{m}$, din care rezultă că dacă axa de osci-

lație se transformă în axă de rotație, noua axă de oscilație va fi vechea axă de rotație. Dacă pendulul este simetric față de planul xOy , în care se mișcă centrul de greutate C , reacțiunile punctelor fixate ale axei se reduc la o rezultantă \vec{R} , aplicată în punctul O și având proiecțiile

$$R_x = -\omega^2 m x_C - \varepsilon m y_C - mg, \quad R_y = -\omega^2 m y_C + \varepsilon m x_C,$$

unde x_C și y_C sînt coordonatele centrului de greutate, iar ω și ε sînt respectiv viteza unghiulară și accelerația unghiulară a pendulului.

§ 3.83. Oscilații de torsiune

Un corp, atârnat de un punct fix cu un fir prins de corp în centrul de greutate, execută după răsucirea firului, o rotație în jurul unei axe verticale fixe, sub acțiunea forțelor elastice din fir. Momentul acestor forțe, atunci cînd firul a fost răsucit cu unghiul φ , este egal cu $-c\varphi$, unde c este un coeficient care depinde de materialul firului. Ecuația de rotație capătă forma

$$J \frac{d^2\varphi}{dt^2} + c\varphi = 0, \quad (3.340)$$

unde J este momentul de inerție în raport cu axa centrală, care coincide cu firul.

Deoarece ecuația (3.340) are forma ecuației (3.176) a oscilațiilor armonice pentru $k^2 = \frac{c}{J}$, mișcarea de rotație obținută a corpului se numește *oscilație de torsiune*. Perioada ei este

$$T = 2\pi \sqrt{\frac{J}{c}}. \quad (3.341)$$

Oscilațiile de torsiune pot fi utilizate pentru determinarea experimentală a momentului de inerție în raport cu axa în jurul căreia au loc aceste oscilații. Pentru aceasta, se determină experimental perioada T_0 a oscilațiilor de torsiune pentru un corp etalon, cu momentul de inerție cunoscut J_0 , astfel că $T_0 = 2\pi \sqrt{\frac{J_0}{c}}$. Eliminînd din această formulă și din formula (3.341) coeficientul c , se obține

$$J = J_0 \frac{T^2}{T_0^2}. \quad (3.342)$$

§ 3.84. Mișcarea plană a unui rigid

Dacă un corp se mișcă paralel cu un plan fix xOy , poziția lui este determinată de coordonatele x_C, y_C ale proiecțiilor centrului de greutate pe acest plan și de unghiul φ de rotație în jurul axei Cz' , care trece prin centrul de greutate și este perpendiculară pe planul xOy . Proiectind ecuația (3.225) de mișcare a centrului de greutate pe axele Ox și Oy rezultă ecuațiile

$$m \frac{d^2 x_C}{dt^2} = \sum_i P_{ix}^{(e)}, \quad m \frac{d^2 y_C}{dt^2} = \sum_i P_{iy}^{(e)}, \quad (3.343)$$

unde m este masa corpului, iar $P_i^{(e)}$ sînt forțele exterioare aplicate.

Ecuația (3.252) care exprimă teorema momentului cinetic în mișcarea relativă față de Cz' capătă forma

$$J_{Cz'} \frac{d^2 \varphi}{dt^2} = \sum_i M_{Cz'}(\vec{P}_i^{(e)}). \quad (3.344)$$

Dacă primii membri conțin numai forțele date \vec{F}_i ecuațiile (3.343) și (3.344) capătă forma

$$\left. \begin{aligned} m \frac{d^2 x_C}{dt^2} &= f_1 \left(t, x_C, y_C, \varphi, \frac{dx_C}{dt}, \frac{dy_C}{dt}, \frac{d\varphi}{dt} \right), \\ m \frac{d^2 y_C}{dt^2} &= f_2 \left(t, x_C, y_C, \varphi, \frac{dx_C}{dt}, \frac{dy_C}{dt}, \frac{d\varphi}{dt} \right), \\ J_{Cz'} \frac{d^2 \varphi}{dt^2} &= f_3 \left(t, x_C, y_C, \varphi, \frac{dx_C}{dt}, \frac{dy_C}{dt}, \frac{d\varphi}{dt} \right), \end{aligned} \right\} \quad (3.345)$$

unde f_1, f_2 și f_3 sînt funcții cunoscute de argumentele lor, iar ecuațiile (3.345), atunci cînd sînt date condițiile inițiale $t_0, x_C^{(0)}, y_C^{(0)}, \varphi^{(0)}, \left(\frac{dx_C}{dt}\right)_0, \left(\frac{dy_C}{dt}\right)_0, \left(\frac{d\varphi}{dt}\right)_0$, determină complet cinematica mișcării corpului. Însă, în general, în ecuațiile (3.343) și (3.344) intră reacțiuni exterioare necunoscute și atunci pentru rezolvarea problemei sînt necesare condiții suplimentare, care caracterizează legăturile.

§ 3.85. Lucrul mecanic elementar al forțelor aplicate în punctele unui rigid

Dacă mișcarea rigidului este caracterizată de viteza \vec{v}_0 a polului O , arbitrar ales în corp, și de viteza unghiulară $\vec{\omega}$, suma lucrurilor mecanice elementare ale forțelor \vec{P}_i , aplicate în punctele corpului, se exprimă cu formula

$$\sum_i dL(\vec{P}_i) = \vec{v}_0 \cdot \left(\sum_i \vec{P}_i \right) dt + \vec{\omega} \cdot \sum_i \vec{M}_O(\vec{P}_i) dt. \quad (3.346)$$

Dacă prin \vec{P}_i se notează forțele interioare, adică $\vec{P}_i = \sum_j \vec{F}_{ij}$, atunci conform formulelor (3.214) și (3.215)

$$\sum_i \vec{P}_i = \sum_{i,j} \vec{F}_{ij} = 0, \quad \sum_i \vec{M}_O(\vec{P}_i) = \sum_{i,j} \vec{M}_O(\vec{F}_{ij}) = 0$$

și în consecință

$$\sum_{i,j} dL(\vec{F}_{ij}) = 0. \quad (3.347)$$

adică suma lucrurilor mecanice elementare ale tuturor forțelor interioare dintr-un corp solid este totdeauna egală cu zero. Dacă $\vec{P}_i^{(e)}$ sînt forțe exterioare care au rezultanta \vec{P}_O aplicată în punctul O , formula (3.346) devine

$$\sum_i dL(\vec{P}_i^{(e)}) = \vec{v}_O \cdot \vec{P}_O dt = dL(\vec{P}_O), \quad (3.348)$$

adică în cazul existenței unei rezultante pentru sistemul forțelor exterioare, suma lucrurilor mecanice elementare este egală cu lucrul mecanic elementar al rezultantei. Dacă sistemul forțelor exterioare $\vec{P}_i^{(e)}$ este echivalent cu un cuplu, $(\vec{P}_1^{(e)}, \dots, \vec{P}_n^{(e)}) \sim (\vec{P}, -\vec{P})$, formula (3.346) dă

$$\sum_i dL(\vec{P}_i^{(e)}) = dL(\vec{P}, -\vec{P}) = \vec{\omega} \cdot \vec{M}(\vec{P}, -\vec{P}) dt. \quad (3.349)$$

Deoarece $\vec{\omega} \cdot \vec{M}(\vec{P}, -\vec{P}) dt = M_\omega(\vec{P}, -\vec{P}) d\varphi$, unde $d\varphi = \omega dt$ indică un unghi infinit mic de rotație a corpului în jurul axei vectorului $\vec{\omega}$ în intervalul infinit mic de timp dt , atunci formula pentru lucrul mecanic al cuplului capătă forma

$$dL(\vec{P}, -\vec{P}) = M_\omega(\vec{P}, -\vec{P}) d\varphi. \quad (3.350)$$

Dacă sistemul forțelor exterioare $P_i^{(e)}$ este în echilibru, din formula (3.346) rezultă că $\sum_i dL(\vec{P}_i^{(e)}) = 0$, adică suma lucrurilor mecanice ale unui sistem de forțe exterioare în echilibru, acționînd asupra corpului dat, este egală cu zero. La rotația corpului în jurul axei fixe OO' , formula (3.346) devine

$$\sum_i dL(\vec{P}_i^{(e)}) = \vec{\omega} \cdot \sum_i \vec{M}_O(P_i^{(e)}) dt. \quad (3.351)$$

Deoarece $\vec{\omega} \cdot \sum_i \vec{M}_O(\vec{P}_i^{(e)}) = \vec{\omega} \cdot \sum_i M_{OO'}(\vec{P}_i^{(e)})$, adică în cazul rotației unui rigid în jurul unei axe avem

$$\sum_i dL(\vec{P}_i^{(e)}) = \sum_i M_{OO'}(\vec{P}_i^{(e)}) \omega dt,$$

de unde puterea N a unui sistem de forțe aplicate unui rigid care se rotește în jurul unei axe, se exprimă cu formula

$$N = \sum_i M_{OO'}(\vec{P}_i^{(e)}) \omega. \quad (3.352)$$

§ 3.86. Energia cinetică a unui rigid

Dacă corpul are o mișcare de translație cu viteza \vec{v} , energia cinetică se exprimă în funcție de masa m a corpului cu formula

$$E_c = \frac{mv^2}{2}. \quad (3.353)$$

La rotație în jurul axei fixe sau instantanee Δ , cu viteza unghiulară ω , energia cinetică se exprimă în funcție de momentul de inerție cu formula

$$E_c = J_{\Delta} \frac{\omega^2}{2}. \quad (3.354)$$

Dacă punctul O se ia ca origine a sistemului de axe $Oxyz$, energia cinetică se exprimă prin proiecțiile vitezei unghiulare și componentele tensorului de inerție pe aceste axe cu formulele

$$E_c = \frac{1}{2} [J_x \omega_x^2 + J_y \omega_y^2 + J_z \omega_z^2 - 2J_{yz} \cos \beta \cos \gamma - 2J_{zx} \cos \gamma \cos \alpha - 2J_{xy} \cos \alpha \cos \beta] \quad (3.355)$$

În particular, dacă drept axe Ox , Oy , Oz se iau axele principale de inerție, formula ia forma

$$E_c = \frac{1}{2} [A\omega_x^2 + B\omega_y^2 + C\omega_z^2]. \quad (3.356)$$

Dacă poziția corpului se determină cu unghiurile lui Euler ψ, φ, θ , atunci energia cinetică se exprimă, pe baza relațiilor (3.55), prin intermediul derivatelor $\dot{\psi}, \dot{\varphi}, \dot{\theta}$ cu formula

$$E_c = \frac{1}{2} [A (\sin \varphi \sin \theta \cdot \dot{\psi} + \cos \varphi \cdot \dot{\theta})^2 + B (\cos \varphi \sin \theta \cdot \dot{\psi} - \sin \varphi \cdot \dot{\theta})^2 + C (\cos \theta \cdot \dot{\psi} + \dot{\varphi})^2], \quad (3.357)$$

unde drept axe Ox, Oy, Oz , sînt luate axele principale de inerție, legate de corp. Dacă axa Oz este axă de simetrie dinamică, adică $B = A$ formula (3.357) ia forma

$$E_c = \frac{1}{2} [C \dot{\varphi}^2 + A (\dot{\psi}^2 + \dot{\theta}^2) + (C - A) \cos^2 \theta \cdot \dot{\psi}^2 + 2C \cos \theta \cdot \dot{\psi} \dot{\varphi}]. \quad (3.358)$$

În cazul unui rigid liber, energia lui cinetică în funcție de masa m , de viteza \vec{v}_C a centrului de greutate, de viteza unghiulară instantanee ω și de momentul de inerție J_ω în raport cu axa care trece prin centrul de greutate și care este paralelă cu vectorul $\vec{\omega}$, se exprimă folosind formula lui König

$$E_c = \frac{1}{2} m v_C^2 + \frac{1}{2} J_\omega \omega^2. \quad (3.359)$$

Deoarece pentru un corp rigid suma lucrurilor mecanice elementare ale forțelor interioare este egală cu zero, atunci formula (3.292), pentru diferențiala dE_c a energiei cinetice, în cazul unui rigid ia forma

$$dE_c = \sum_i dL(\vec{P}_i^{(e)}), \quad (3.360)$$

adică variația energiei cinetice a unui rigid depinde numai de forțele exterioare, care-i sînt aplicate.

§ 3.87. Ecuațiile dinamice ale lui Euler pentru rotația unui rigid în jurul unui punct fix

Dacă un rigid se rotește în jurul unui punct fix O și dacă se alege acest punct drept origine a sistemului de axe $Oxyz$, solidare cu rigidul, atunci din formula (3.249), care exprimă regula lui Resal, se obțin următoarele relații între proiecțiile K_x, K_y, K_z ale momentului cinetic al corpului, proiecțiile $\omega_x, \omega_y, \omega_z$ ale vitezei sale un-

ghiulare și momentele $M_{Ox}(\vec{F}_i)$, $M_{Oy}(\vec{F}_i)$, $M_{Oz}(\vec{F}_i)$ ale forțelor date în raport cu aceste axe

$$\left. \begin{aligned} \frac{dK_x}{dt} + \omega_y K_z - \omega_z K_y &= \sum_i M_{Ox}(\vec{F}_i), \\ \frac{dK_y}{dt} + \omega_z K_x - \omega_x K_z &= \sum_i M_{Oy}(\vec{F}_i), \\ \frac{dK_z}{dt} + \omega_x K_y - \omega_y K_x &= \sum_i M_{Oz}(\vec{F}_i). \end{aligned} \right\} \quad (3.361)$$

Dacă, în particular, se iau drept axe Ox , Oy , Oz axele principale de inerție ale corpului, pe baza formulelor (3.324), aceste ecuații iau forma

$$\left. \begin{aligned} A \frac{d\omega_x}{dt} + (C - B) \omega_y \omega_z &= \sum_i M_{Ox}(\vec{F}_i), \\ B \frac{d\omega_y}{dt} + (A - C) \omega_z \omega_x &= \sum_i M_{Oy}(\vec{F}_i), \\ C \frac{d\omega_z}{dt} + (B - A) \omega_x \omega_y &= \sum_i M_{Oz}(\vec{F}_i). \end{aligned} \right\} \quad (3.362)$$

și se numesc *ecuațiile dinamice ale lui Euler*.

Membrii din dreapta ai acestor ecuații, în general, depind explicit de timpul t , de poziția corpului, determinată de unghiurile lui Euler ψ , θ , φ și de proiecțiile ω_x , ω_y , ω_z ale vitezei unghiulare. De aceea, dacă la aceste ecuații dinamice se adaugă cele trei formule (3.55), adică ecuațiile

$$\left. \begin{aligned} \omega_x &= \dot{\psi} \sin \theta \cos \varphi + \dot{\theta} \cos \varphi, \quad \omega_y = \dot{\psi} \cos \theta \sin \varphi - \dot{\theta} \sin \varphi, \\ \omega_z &= \dot{\psi} \cos \theta + \dot{\varphi}, \end{aligned} \right\} \quad (3.363)$$

atunci ecuațiile (3.362) și (3.363) formează un sistem de șase ecuații diferențiale de ordinul întâi cu șase funcții necunoscute ψ , φ , θ , ω_x , ω_y , ω_z . Prin urmare, atunci cînd sînt date poziția inițială a corpului și viteza unghiulară inițială, ele determină complet mișcarea corpului în jurul punctului fix sub acțiunea forțelor date.

§ 3.88. Ecuațiile de mișcare ale unui rigid liber

În cazul general, mișcarea unui rigid liber se poate determina, dacă se cunosc, mișcarea centrului său de greutate și rotația corpului în jurul acestui centru, în raport cu un sistem de axe, avînd o mișcare de translație și originea în centrul de greutate. Ultima mișcare se determină cu ecuațiile (3.362) și (3.363), dacă se consideră că originea axelor coincide cu centrul de greutate al corpului. În locul determinării directe a mișcării centrului de greutate în raport cu axele fixe, se utilizează ecuațiile care determină proiecțiile v_x, v_y, v_z , ale

vitezei centrului de greutate pe axele Ox, Oy, Oz legate de corp. Aceste ecuații au forma

$$\left. \begin{aligned} \frac{dv_x}{dt} + \omega_y v_z - \omega_z v_y &= \frac{\sum_i F_{ix}}{m}, \\ \frac{dv_y}{dt} + \omega_z v_x - \omega_x v_z &= \frac{\sum_i F_{iy}}{m}, \\ \frac{dv_z}{dt} + \omega_x v_y - \omega_y v_x &= \frac{\sum_i F_{iz}}{m}, \end{aligned} \right\} \quad (3.364)$$

unde m este masa corpului.

§ 3.89. Giroscopul

Un corp care se rotește în jurul unui punct fix O , se numește *giroscop*, dacă elipsoidul de inerție în acest punct este un elipsoid de rotație. Axa de rotație a acestui elipsoid se numește *axa giroscopului*. Dacă drept axă Oz a sistemului $Oxyz$, invariabil legat de corp, se ia axa giroscopului; momentele principale de inerție J_x și J_y vor fi egale între ele $J_x = J_y = A$. Din acest motiv pentru giroscop a treia ecuație dinamică a lui Euler (3.362) ia forma

$$C \frac{d\omega_z}{dt} = \sum_i M_{Oz}(\vec{F}_i). \quad (3.365)$$

Un exemplu de giroscop este un corp material simetric, care se rotește în jurul unuia din punctele axei de simetrie. La rotația giroscopului, axa Oz , a lui, vectorul $\vec{\omega}$ al vitezei unghiulare și vectorul \vec{K}_O al momentului cinetic sînt totdeauna situați în același plan.

Dacă suma momentelor forțelor date, în raport cu centrul de rotație, este egală cu zero, giroscopul se numește *echilibrat*. În acest caz, conform *regulii lui Resal* [formula (3.249)], vectorul \vec{K}_O al momentului cinetic rămîne constant. Axa Oz a giroscopului formează un unghi constant cu direcția fixă a momentului cinetic. Dacă direcția momentului cinetic \vec{K}_O se ia drept axă fixă Oz_1 , atunci unghiul θ de nutație păstrează mărimea constantă θ_0 . Vectorul $\vec{\omega}$ rămîne în permanență în planul xOz_1 și se rotește împreună cu el în jurul axei Oz_1 cu viteza unghiulară de precesie $\dot{\psi}$ dată de formula

$$\dot{\psi} = \frac{K}{A}. \quad (3.366)$$

Vectorul $\vec{\omega}$ al vitezei unghiulare se descompune în componentele ω_1 și ω_2 , îndreptate după axele Oz_1 și Oz și avînd mărimile algebrice

$$\omega_1 = \dot{\psi} = \frac{K}{A}, \quad \omega_2 = \frac{K(A-C)}{AC} \cos \theta_0. \quad (3.367)$$

Prin urmare, rotația unui giroscop echilibrat poate fi privită ca rezultatul compunerii rotației sale relative în jurul axei proprii cu viteza unghiulară constantă ω_2 și a rotației de transport a acestei axe în jurul direcției fixe a momentului cinetic, cu viteza unghiulară constantă ω_1 .

§ 3.90. Precesia regulată a giroscopului

Rotația giroscopului se numește *precesie regulată*, dacă ea se compune dintr-o rotație uniformă relativă în jurul axei proprii Oz cu viteza unghiulară constantă ω_2 și din rotația uniformă de transport a acestei axe în jurul unei axe fixe arbitrare Oz_1 cu viteza unghiulară constantă ω_1 . În acest caz momentul cinetic \vec{K}_O rămîne fix în planul zOz_1 și se rotește împreună cu el în jurul axei fixe Oz_1 cu viteza unghiulară constantă ω_1 . La precesia regulată suma momentelor forțelor exterioare în jurul punctului fix este, în general, diferită de zero și se exprimă cu formula

$$\sum_i M_O(\vec{F}_i) = C(\vec{\omega}_1 \times \vec{\omega}_2) \left(1 + \frac{C-A}{C} \frac{\omega_1 \cos \theta_0}{\omega_2} \right). \quad (3.368)$$

Acest moment rotitor este îndreptat după o dreaptă, perpendiculară pe planul zOz_1 , în care sînt situate axele Oz și Oz_1 de rotație proprie (relativă) și de precesie (de transport) ale giroscopului. Pentru $\theta = 90^\circ$ formula (3.368) ia forma

$$\sum_i \vec{M}_O(\vec{F}_i) = C\vec{\omega}_1 \times \vec{\omega}_2. \quad (3.369)$$

Dacă viteza unghiulară ω_2 a rotației proprii este sensibil mai mare decît viteza unghiulară ω_1 a mișcării de precesie, formula (3.368) ia forma aproximativă $\sum_i \vec{M}_O(\vec{F}_i) \approx C\vec{\omega}_1 \times \vec{\omega}_2$. Această ultimă formulă stă la baza teoriei aproximative a giroscopului, în care se admite că în timpul rotației giroscopului momentul cinetic \vec{K}_O rămîne îndreptat după axa Oz . Dacă precesia regulată a giroscopului se realizează tehnic prin rotația unor lagăre în care este fixată axa lui proprie Oz , iar centrul de rotație coincide cu centrul de rotație al giroscopului, forțele exterioare care dau momentul în jurul punctului fix, sînt reacțiunile din lagăre. Din acest motiv, suma momentelor forțelor de presiune ale giroscopului în rotație, asupra lagărelor în

care este fixată axa lui, se exprimă, în virtutea legii egalității acțiunii și reacțiunii, prin formula

$$C (\vec{\omega}_2 \times \vec{\omega}_1) \left(1 + \frac{C-A}{C} \frac{\omega_1}{\omega_2} \cos \theta_0 \right). \quad (3.370)$$

Acest vector se numește *momentul giroscopic*.

3.9

Statica analitică

Statica analitică este o parte a staticii, în care se studiază condițiile de echilibru ale sistemelor mecanice prin *metoda deplasărilor virtuale*.

§ 3.91. Legături și deplasări virtuale

Un sistem de puncte materiale, ale căror poziții și mișcări sînt supuse unor iimitări-geometrice sau cinematice date dinainte și independente de condițiile inițiale și de forțele exterioare date, este un *sistem supus la legături*. Aceste limitări impuse sistemului și care-l fac neliber, se numesc *legături*. Pozițiile punctelor sistemului, permise de legăturile impuse, se numesc *posibile*. Orice deplasare a unui punct dintr-o poziție posibilă dată într-o altă poziție posibilă, admisă în același moment de legături se numește *virtuală*, dacă ea se examinează numai geometric, independent de forțele aplicate punctului și de starea sa cinetică. O variație infinit mică a razei vectoriale \vec{r}_i a unui punct într-o deplasare virtuală se notează cu $\delta \vec{r}_i$. Dacă se consideră că această variație are loc în decursul unui interval infinit mic de timp δt și se admite că pentru $\delta \vec{r}_i \rightarrow 0$ și $\delta t \rightarrow 0$, atunci vectorul

$$\vec{u}_i = \lim_{\delta t \rightarrow 0} \frac{\delta \vec{r}_i}{\delta t} \quad (3.371)$$

se numește *viteza virtuală a punctului* în poziția considerată. Proiecțiile δx_i , δy_i , δz_i ale vectorului $\delta \vec{r}_i$ sînt deplasările virtuale pe axele de coordonate ale sistemului de referință fundamental și se numesc *variații virtuale* ale coordonatelor punctului. Proiecțiile u_{ix} , u_{iy} , u_{iz} ale vitezei virtuale pe aceleași axe se exprimă cu formulele

$$u_{ix} = \lim_{\delta t \rightarrow 0} \frac{\delta x_i}{\delta t}, \quad u_{iy} = \lim_{\delta t \rightarrow 0} \frac{\delta y_i}{\delta t}, \quad u_{iz} = \lim_{\delta t \rightarrow 0} \frac{\delta z_i}{\delta t}.$$

Pentru simplificare, de obicei, în aceste formule nu se mai folosește semnul limită ci se scrie direct $\vec{u}_i = \frac{\delta \vec{r}_i}{\delta t}$.

În cazul cel mai simplu, cînd legăturile impun limitări numai pozițiilor punctelor nu și vitezelor lor la momentul t dat, legăturile se exprimă prin ecuații de forma

$$f_j(t, x_1, y_1, z_1, \dots, x_n, y_n, z_n) = 0 \quad (j = 1, 2, \dots, s) \quad (3.372)$$

dacă sistemul conține n puncte; în acest caz, $s \leq 3n$. Un astfel de sistem se numește *olonom*.

O variație virtuală infinit mică a coordonatelor unui sistem olonom este legată prin s ecuații de forma

$$\sum_{i=1}^n \left(\frac{\partial f_j}{\partial x_i} \delta x_i + \frac{\partial f_j}{\partial y_i} \delta y_i + \frac{\partial f_j}{\partial z_i} \delta z_i \right) = 0 \quad (j = 1, 2, \dots, s), \quad (3.373)$$

care sînt o consecință a ecuației (3.372). Dacă sistemului i se impun legături cinematice independente, atunci între variațiile virtuale ale coordonatelor punctelor sistemului pot exista condiții de forma

$$\sum_{i=1}^n (a_{ji} \delta x_i + b_{ji} \delta y_i + c_{ji} \delta z_i) = 0 \quad (j = 1, 2, \dots, n), \quad (3.374)$$

unde coeficienții a_{ji} , b_{ji} , c_{ji} sînt funcții de timpul t și de coordonatele $x_1, y_1, z_1, \dots, x_n, y_n, z_n$. În acest caz ecuațiile (3.374) nu sînt consecințe ale ecuațiilor (3.372) și nu pot fi înlocuite prin ecuații finite de același fel. În acest caz legăturile cinematice, impuse sistemului, se zic *neintegrabile*, iar sistemul — *neolonom*.

Dacă în decursul timpului legăturile nu-și schimbă caracterul geometric și cinematic, ele se numesc *staționare* sau *scleronome*, iar în caz contrar — *nestaționare* sau *reonome*. În cazul legăturilor scleronome, ecuațiile (3.372) și (3.374) nu conțin explicit argumentul t .

§ 3.92. Coordonatele generalizate ale unui sistem

În multe cazuri pe baza legăturilor geometrice, care îi sînt impuse, razele vectoare ale punctelor sistemului pot fi exprimate la fiecare moment t printr-un număr finit n de variabile independente q_1, q_2, \dots, q_n cu formulele

$$\vec{r}_i = \vec{r}_i(t, q_1, q_2, \dots, q_n), \quad (3.375)$$

astfel încît pentru orice valori ale acestor variabile se obțin poziții ale punctelor sistemului, care în momentul respectiv t sînt admise de legături. Aceste mărimi independente între ele q_1, q_2, \dots, q_n , care determină complet și univoc pozițiile posibile ale sistemului într-un moment de timp arbitrar ales, se numesc *coordanate generalizate ale*

sistemului sau parametrilor independenți ai lui Lagrange. Formula (3.375) și formulele corespunzătoare pentru coordonatele punctelor sistemului

$$\left. \begin{aligned} x_i &= x_i(t, q_1, q_2, \dots, q_n), & y_i &= y_i(t, q_1, q_2, \dots, q_n), \\ z_i &= z_i(t, q_1, q_2, \dots, q_n) \end{aligned} \right\} \quad (3.376)$$

se numesc *ecuațiile sistemului*.

Dacă se aleg anumite valori pentru coordonatele generalizate, iar apoi li se dau creșteri infinit mici $\delta q_1, \delta q_2, \dots, \delta q_n$, se obțin variații virtuale ale razelor vectoare și ale coordonatelor punctelor sistemului, determinate de formulele

$$\left. \begin{aligned} \vec{r}_i &= \sum_{k=1}^n \frac{\partial \vec{r}_i}{\partial q_k} \delta q_k, & \delta x_i &= \sum_{k=1}^n \frac{\partial x_i}{\partial q_k} \delta q_k, \\ \delta y_i &= \sum_{k=1}^n \frac{\partial y_i}{\partial q_k} \delta q_k, & \delta z_i &= \sum_{k=1}^n \frac{\partial z_i}{\partial q_k} \delta q_k. \end{aligned} \right\} \quad (3.377)$$

Dacă sistemul este olonom, atunci creșterilor δq_k ale coordonatelor generalizate nu li se impun nici un fel de limitări și ele se pot alege complet arbitrar. Dacă sistemul este neolonom adică dacă sînt valabile ecuațiile (3.374), atunci între creșterile δq_k ale coordonatelor generalizate vor exista s ecuații de forma

$$B_{1j}(t, q_1, \dots, q_n) \delta q_1 + B_{2j}(t, q_1, \dots, q_n) \delta q_2 + \dots + B_{nj}(t, q_1, q_2, \dots, q_n) \delta q_n = 0 \quad (j = 1, 2, \dots, s) \quad (3.378)$$

și anume astfel încît ele nu pot fi înlocuite cu ecuații finite de forma $\varphi_j(t, q_1, q_2, \dots, q_n) = 0$. Prin urmare, în acest caz nu pot fi alese arbitrar toate cele n creșteri $\delta q_1, \delta q_2, \dots, \delta q_n$ ale coordonatelor generalizate. Arbitrare vor fi numai $n - s$, iar celelalte s se vor determina din ecuațiile (3.378). Numărul de creșteri independente între ele ale coordonatelor generalizate ale sistemului se numește *numărul gradelor sale de libertate*. Pentru un sistem olonom, numărul gradelor de libertate, pentru deplasările infinit mici este egal cu numărul coordonatelor sale generalizate, iar pentru un sistem neolonom el este mai mic cu numărul de ecuații neintegrabile (3.378) dintre creșterile coordonatelor generalizate.

Drept exemple de coordonate generalizate servesc: unghiul φ de rotație al unui corp cu o axă fixă; unghiurile lui Euler ψ, θ, φ , pentru un corp cu un punct fix; coordonatele x_0, y_0, z_0 ale unui pol arbitrar ales într-un corp liber și unghiurile lui Euler ψ, θ, φ formate de axele duse în corp prin acest pol și axele care trec prin același pol și sînt orientate paralel cu axele Ox, Oy, Oz ale sistemului fundamental de referință. În toate aceste exemple corpul reprezintă un sistem olonom, respectiv cu 1, 3 și 6 grade de libertate. Un exemplu de sistem neolonom este o sferă obligată să se rostogolească fără alunecare pe un plan fix dat. Poziția sferei față de plan se determină prin cinci parametri independenți: coordonatele x_C, y_C ale centrului ei

și unghiurile lui Euler ψ , θ , φ formate de axele duse în sferă prin centrul ei și axele duse prin același centru paralel cu axele Ox , Oy , Oz ale sistemului fundamental de referință.

Condiția de rostogolire fără alunecare se exprimă prin două ecuații neintegrabile

$$\delta x_C + R(\cos\psi \sin\theta\delta\varphi - \sin\psi\delta\theta) = 0,$$

$$\delta y_C + R(\sin\psi \sin\theta\delta\varphi + \cos\psi\delta\theta) = 0,$$

unde R este raza sferei. Prin urmare, numărul de grade de libertate pentru deplasările infinit mici este în cazul dat $5-2=3$.

§ 3.93. Lucrul mecanic virtual și forțele generalizate

Să presupunem că în punctele A_i ale unui sistem sînt aplicate forțele \vec{P}_i . Dacă se aleg deplasări virtuale infinit mici determinate de variațiile virtuale $\delta\vec{r}_i$ ale razelor vectoare ale punctelor sistemului, sau de vitezele virtuale corespunzătoare legate de variațiile virtuale ale razelor vectoare prin formula $\vec{u}_i = \frac{\delta\vec{r}_i}{\delta t}$, atunci produsul scalar dintre vectorul forță \vec{P}_i și vectorul $\delta\vec{r}_i$ al deplasării virtuale a punctului de aplicație a forței se numește lucrul mecanic virtual al acestei forțe și se notează cu

$$\delta L(\vec{P}_i) = \vec{P}_i \cdot \delta\vec{r}_i = \vec{P}_i \cdot \vec{u}_i \delta t. \quad (3.379)$$

Formal, lucrul mecanic virtual posedă toate proprietățile unui lucru mecanic elementar dL . În particular, lucrul mecanic elementar se exprimă analitic cu formula

$$\delta L(\vec{P}_i) = P_{ix}\delta x_i + P_{iy}\delta y_i + P_{iz}\delta z_i. \quad (3.380)$$

Dacă sînt date ecuațiile (3.375) ale sistemului în coordonate generalizate q_1, q_2, \dots, q_n , atunci lucrul mecanic elementar se exprimă cu formula

$$\begin{aligned} \delta L(\vec{P}_i) &= \sum_{k=1}^n \left(\vec{P}_i \cdot \frac{\partial \vec{r}_i}{\partial q_k} \right) \delta q_k = \\ &= \sum_{k=1}^n \left(P_{ix} \frac{\partial x_i}{\partial q_k} + P_{iy} \frac{\partial y_i}{\partial q_k} + P_{iz} \frac{\partial z_i}{\partial q_k} \right) \delta q_k. \end{aligned} \quad (3.381)$$

Suma lucrurilor mecanice elementare ale forțelor \vec{P}_i , aplicate punctelor sistemului se exprimă prin formula

$$\begin{aligned} \sum_i \delta L(\vec{P}_i) = & \delta q_1 \sum_i \vec{P}_i \cdot \frac{\partial \vec{r}_i}{\partial q_1} + \\ & + \delta q_2 \sum_i \vec{P}_i \cdot \frac{\partial \vec{r}_i}{\partial q_2} + \dots + \delta q_n \sum_i \vec{P}_i \cdot \frac{\partial \vec{r}_i}{\partial q_n}. \end{aligned} \quad (3.382)$$

Suma produselor scalare dintre forțele aplicate punctelor sistemului și derivatele parțiale ale razei vectoare a punctului de aplicație în raport cu o anumită coordonată generalizată se numește *forța generalizată respectivă*.

Forțele generalizate Q_1, Q_2, \dots, Q_n se exprimă cu formulele

$$Q_k = \sum_i \vec{P}_i \cdot \frac{\partial \vec{r}_i}{\partial q_k} = \sum_i \left(P_{ix} \frac{\partial x_i}{\partial q_k} + P_{iy} \frac{\partial y_i}{\partial q_k} + P_{iz} \frac{\partial z_i}{\partial q_k} \right). \quad (3.383)$$

Suma lucrurilor mecanice virtuale ale forțelor aplicate se exprimă în funcție de forțele generalizate cu ajutorul formulei

$$\sum_i \delta L(\vec{P}_i) = Q_1 \delta q_1 + Q_2 \delta q_2 + \dots + Q_n \delta q_n. \quad (3.384)$$

Dacă în particular se consideră o creștere a unei singure coordonate generalizate, de exemplu se pune $\delta q_1 \neq 0, \delta q_2 = \delta q_3 = \dots = \delta q_n = 0$, atunci pentru Q_1 se obține formula

$$Q_1 = \frac{\sum_i \delta L_1(\vec{P}_i)}{\delta q_1},$$

adică forța generalizată se determină ca raportul dintre suma lucrurilor mecanice virtuale ale forței aplicate punctului sistemului atunci cînd variază numai o singură coordonată generalizată, și mărimea creșterii acestei coordonate. Prin urmare, dimensiunile forței generalizate depind de dimensiunile coordonatei generalizate corespunzătoare

și se exprimă cu formula $[Q] = \frac{[\delta L]}{[q]}$.

Pentru un corp care se rotește în jurul unei axe fixe OO' , atunci cînd drept coordonată generalizată se alege unghiul de rotație al corpului, forța generalizată este suma momentelor în raport cu axa de rotație OO' , ale forțelor aplicate corpului.

§ 3.94. Funcția de forță generalizată

Dacă forțele \vec{P} , aplicate punctelor sistemului, depind numai de timpul t și de poziția punctelor, forțele generalizate apar ca funcții oarecare de timpul t și de coordonatele generalizate ale sistemului

$$Q_k = Q_k(t, q_1, q_2, \dots, q_n). \quad (3.385)$$

Dacă în acest caz formula (3.384) pentru suma lucrurilor mecanice virtuale este o diferențială totală exactă față de coordonatele generalizate ale unei funcții $U(t, q_1, q_2, \dots, q_n)$, care depinde în general și de timp, adică

$$Q_1(t, q_1, q_2, \dots, q_n) \delta q_1 + Q_2(t, q_1, \dots, q_n) \delta q_2 + \dots + Q_n(t, q_1, \dots, q_n) \delta q_n = dU \quad (3.386)$$

atunci această funcție se numește *funcție de forță generalizată* pentru sistemul de forțe \vec{P} . Din formula (3.386) rezultă că în cazul cînd există funcția de forță generalizată, forțele generalizate se exprimă prin derivatele parțiale ale acestei funcții față de coordonatele generalizate corespunzătoare, adică

$$Q_k = \frac{\partial U}{\partial q_k}. \quad (3.387)$$

Dacă forțele \vec{P}_i au la fiecare moment o funcție de forță obișnuită U , care depinde de t și de coordonatele punctelor de aplicație $U = U(t, \dots, x_i, y_i, z_i, \dots)$, funcția generalizată se obține prin înlocuirea în funcția U a coordonatelor x_i, y_i, z_i cu expresiile lor după formulele (3.376) din ecuațiile sistemului. Dacă forțele \vec{P}_i nu depind de timp și legăturile sînt staționare, funcția de forță generalizată conține numai coordonatele generalizate q_1, q_2, \dots, q_n . Prin analogie cu energia potențială, funcția

$$\Pi = -U \quad (3.388)$$

se numește *energia potențială a sistemului* în cîmpul de forțe dat.

§ 3.95. Legături ideale și principii deplasărilor virtuale

Dacă suma lucrurilor mecanice virtuale ale reacțiunilor \vec{R}_i ale legăturilor este egală cu zero pentru orice forțe date F_i , aplicate punctelor sistemului, și pentru orice stare cinematică a sistemului legăturile se numesc *virtual ideale*, sau mai scurt, *ideale* sau *perfecte*. Dacă sub acțiunea unor forțe date, care depind doar de poziția punctelor de aplicație sistemul cu legături ideale se găsește în stare de repaus, atunci pentru orice deplasare virtuală a sistemului din poziția de echilibru, suma lucrurilor mecanice virtuale ale acestor

forțe, este egală cu zero. Ivers, dacă într-o anumită poziție a sistemului se constată că suma lucrurilor mecanice virtuale ale forțelor aplicate este egală cu zero pentru orice deplasare virtuală a sistemului din această poziție, atunci sistemul, fiind așezat în această poziție, cu viteze inițiale egale cu zero, va rămâne în stare de repaus. În aceasta constă *principiul vitezelor virtuale* sau *principiul deplasărilor virtuale*. El se exprimă prin formulele

$$\sum_i \delta L(\vec{F}_i) = 0, \quad (3.389)$$

sau

$$\sum_i \vec{F}_i \cdot \vec{u}_i = 0 \quad (3.390)$$

unde \vec{u}_i sînt vectorii vitezei virtuale.

În formă analitică, raportate la axele de coordonate, ecuațiile (3.389) și (3.390) iau forma

$$\sum_i (F_{ix}\delta x_i + F_{iy}\delta y_i + F_{iz}\delta z_i) = 0. \quad (3.391)$$

Această ecuație trebuie să fie satisfăcută pentru toate valorile creșterilor virtuale ale coordonatelor, care satisfac ecuațiile (3.373) și (3.374).

§ 3.96. Multiplicatorii lui Lagrange

Dacă numărul de puncte ale sistemului este egal cu n și toate ecuațiile legăturilor sînt finite, adică au forma

$$f_j(x_1, y_1, z_1, \dots, x_n, y_n, z_n) = 0, \quad (j = 1, 2, \dots, n), \quad (3.392)$$

atunci ecuația (3.391) se înlocuiește cu sistemul de ecuații

$$\left. \begin{aligned} P_{kx} + \sum_{j=1}^s \lambda_j \frac{\partial f_j}{\partial x_k} &= 0, \quad P_{ky} + \sum_{j=1}^s \lambda_j \frac{\partial f_j}{\partial y_k} = 0, \\ P_{kz} + \sum_{j=1}^s \lambda_j \frac{\partial f_j}{\partial z_k} &= 0, \quad (k = 1, 2, \dots, n), \end{aligned} \right\} \quad (3.393)$$

care împreună cu ecuațiile (3.392) formează un sistem de $3n + s$ ecuații din care se determină cele $3n$ coordonate ale punctelor sistemului în poziția de echilibru și cei s multiplicatori λ_j .

§ 3.97 Ecuatiile de echilibru ale unui sistem oloonom în coordonate generalizate

În cazul cînd forțele date \vec{P}_i depind doar de poziția punctelor de aplicație, ecuația de echilibru (3.389) a sistemului în coordonate generalizate q_1, q_2, \dots, q_n ia forma

$$Q_1(q_1, q_2, \dots, q_n) \delta q_1 + Q_2(q_1, q_2, \dots, q_n) \delta q_2 + \dots \\ \dots + Q_n(q_1, q_2, \dots, q_n) \delta q_n = 0. \quad (3.394)$$

Dacă sistemul este oloonom, creșterile $\delta q_1, \delta q_2, \dots, \delta q_n$ sînt complet arbitrare și ecuația (3.394) se descompune în n ecuații

$$Q_k(q_1, q_2, \dots, q_n) = 0 \quad (k = 1, 2, \dots, n), \quad (3.395)$$

adică în poziția de echilibru a unui sistem oloonom aflat sub acțiunea unor forțe date, toate forțele generalizate trebuie să fie egale cu zero. Dacă există o funcție de forță generalizată $U(q_1, q_2, \dots, q_n)$, adică

$Q_k = \frac{\partial U}{\partial q_k}$, ecuațiile de echilibru (3.395) iau forma

$$\frac{\partial U}{\partial q_k} = 0, \quad (3.396)$$

adică coincid cu condițiile necesare de extrem ale funcției de forță generalizate. Dacă, în particular, forțele date \vec{P} sînt greutatea punctelor sistemului, adică $\vec{P}_i = m_i \vec{g}$, funcția de forță obișnuită, pentru cazul cînd axa Oz este îndreptată vertical în sus, are forma $U = - \sum_i P_i z_i = - P z_C$, unde z_C este coordonata centrului de greutate

al sistemului. Prin urmare, ecuația de echilibru $dU = 0$ ia forma $dz_C = 0$, iar aceasta înseamnă că la un sistem de legături ideale aflat numai sub acțiunea forțelor de greutate, în poziția de echilibru, centrul de greutate ocupă poziția cea mai de jos sau cea mai de sus. În aceasta constă *principiul lui Torricelli*.

Exemplu. Barele omogene AB și BC de greutate P și lungime $2a$ fiecare sînt articulate în punctul B . Capătul A este fixat în planul vertical cu o articulație imobilă, iar capătului C îi este aplicată

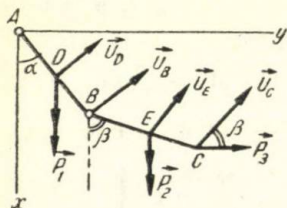


Fig. 3.71.

o forță orizontală $\frac{P}{2}$. Să se determine unghiurile α și β pentru poziția de echilibru (fig. 3.71).

Sistemul are două grade de libertate. Coordonatele generalizate sînt

$$q_1 = \alpha \text{ și } q_2 = \beta.$$

Pentru calcularea forței generalizate Q_1 se dă o variație unghiului α , păstrînd neschimbat unghiul β . Atunci bara BC are o mișcare de translație și

$$Q_1 = \frac{\vec{P}_1 \cdot \vec{u}_D \delta t + \vec{P}_2 \cdot \vec{u}_B \delta t + \vec{P}_3 \cdot \vec{u}_B \delta t}{\delta \alpha} = -Pa \sin \alpha - P \cdot 2a \sin \alpha + Pa \sin \alpha,$$

deoarece $u_D = a \frac{\delta \alpha}{\delta t}$, $u_B = 2a \frac{\delta \alpha}{\delta t}$. Pentru calculul lui Q_2 se dă o variație unghiului β , păstrînd neschimbat unghiul α . Bara AB rămîne atunci imobilă, iar bara BC se rotește în jurul articulației B și

$$Q_2 = \frac{\vec{P}_2 \cdot \vec{u}_E \delta t + \vec{P}_3 \cdot \vec{u}_C \delta t}{\delta \beta} = -Pa \sin \beta + Pa \cos \beta.$$

Prin urmare, ecuațiile de echilibru $Q_1 = 0$ și $Q_2 = 0$ dau $\operatorname{tg} \alpha = \frac{1}{3}$, $\operatorname{tg} \beta = 1$.

3.10

Principiul lui d'Alembert

§ 3.98. Forța de inerție

Dacă o particulă materială de masă m , sub acțiunea unor corpuri, care acționează asupra ei, capătă accelerația \vec{a} față de sistemul inerțial, atunci, pe baza principiului egalității acțiunii și reacțiunii, suma vectorilor forțelor, care măsoară acțiunea particulei în mișcare asupra corpurilor ce-i imprimă accelerația, se reprezintă prin vectorul

$$\vec{\Phi} = -m\vec{a}. \quad (3.397)$$

Acest vector se numește *forța de inerție* a punctului în mișcare. El este un vector liber, dar dacă se consideră aplicat particulei în mișcare, el poate fi considerat ca o forță fictivă, adică inexistentă fizic și se numește, în acest caz, *forța de inerție a lui d'Alembert*. Cu vectorul forță de inerție în mod formal se pot efectua toate operațiile matematice, care se efectuează asupra vectorilor forțelor fizice. Astfel, proiecțiile forței de inerție pe axele unui sistem fundamental de referință inerțial se exprimă cu formulele

$$\Phi_x = -m \frac{d^2x}{dt^2}, \quad \Phi_y = -m \frac{d^2y}{dt^2}, \quad \Phi_z = -m \frac{d^2z}{dt^2}. \quad (3.398)$$

Dacă vectorul $\vec{\Phi}$ se descompune în componente îndreptate după normala principală și după tangenta la traiectoria punctului în mișcare, aceste componente se exprimă, prin versorii \vec{v} și $\vec{\tau}$ ai normalei principale și ai tangentei, cu formulele

$$\vec{\Phi}_v = -\frac{mv^2}{\rho}\vec{v}, \quad \vec{\Phi}_\tau = -m\frac{dv}{dt}\vec{\tau}, \quad (3.399)$$

unde v este scalarul vitezei, iar ρ raza de curbura a traiectoriei.

Prima componentă $\vec{\Phi}_v$ este dirijată în sens opus accelerației normale \vec{a}_v și se numește *forța de inerție normală a lui d'Alembert*; a doua componentă $\vec{\Phi}_\tau$ este îndreptată în sens opus accelerației tangențiale \vec{a}_τ și se numește *forța de inerție tangențială a lui d'Alembert*. Dacă punctul este supus unei legături atunci componenta forței de inerție normală la legătură este una din componentele forței de presiune a punctului asupra legăturii și se numește *forță centrifugă*. Forța centrifugă este o forță fizică reală, aplicată corpului, care realizează legătura impusă punctului în mișcare.

La mișcarea unui rigid, sistemul forțelor fictive de inerție ale lui d'Alembert aplicate particulelor sale, se supune formal tuturor legilor staticii geometrice, care se referă la sistemele de forțe exterioare, aplicate unui rigid, adică se reduce la un vector rezultant \vec{R} și la un moment rezultant \vec{M}_O . Vectorul rezultant \vec{R} al forțelor de inerție se exprimă totdeauna cu formula

$$\vec{R} = \sum_i \vec{\Phi}_i = - \sum_i m_i \vec{a}_i = -m \vec{a}_C, \quad (3.400)$$

unde a_C este accelerația centrului de greutate al corpului. Dacă corpul se rotește în jurul axei Oz cu viteza unghiulară ω și cu accelerația unghiulară ϵ , proiecția momentului rezultant M_O al forțelor de inerție în raport cu originea O se exprimă cu formulele

$$M_{Ox} = \epsilon J_{xz} - \omega^2 J_{yz}, \quad M_{Oy} = \epsilon J_{yz} + \omega^2 J_{xz}, \quad M_{Oz} = -\epsilon J_z, \quad (3.401)$$

unde J_z este momentul de inerție în raport cu axa de rotație, iar J_{xz} și J_{yz} sînt produsele de inerție. În cazul unei rotații uniforme $\epsilon = 0$ și forțele de inerție se reduc la componentele lor normale, îndreptate după razele cercurilor pe care se mișcă punctele, iar momentul rezultant al forțelor centrifuge are componentele.

$$M_{Ox} = -\omega^2 J_{yz}, \quad M_{Oy} = \omega^2 J_{xz}, \quad M_{Oz} = 0. \quad (3.401')$$

Din acest motiv, aici produsele de inerție se numesc și *momente centrifuge de inerție*. Dacă corpul este o placă plană, care se rotește în planul ei în jurul centrului O , sistemul plan de forțe de inerție se reduce la o rezultantă, al cărei vector se determină după formula (3.400) prin valoarea $m\vec{a}_C$, iar linia de acțiune intersectează raza de

rotație $OC = a$ a centrului de greutate în punctul O' , astfel că $OO' = \frac{J_0}{ma}$, adică în centrul de oscilație al plăcii, privită ca un pendul fizic cu axa de rotație trecând prin centrul O .

§ 3.99. Metoda cinetostatică

La mișcarea unui sistem, în orice moment vectorii forțelor active date \vec{F}_i , aplicate punctelor A_i ale sistemului, cei ai forțelor de reacțiune \vec{R}_i , care apar datorită legăturilor impuse sistemului în acel moment, precum și cei ai forțelor de inerție construite cu ajutorul accelerațiilor \vec{a}_i sînt legați prin relația

$$\vec{F}_i + \vec{R}_i + \vec{\Phi}_i = 0. \quad (3.402)$$

Deoarece ecuația aceasta coincide formal cu condiția de echilibrare a forțelor aplicate punctului A_i , ea poate fi interpretată în modul următor. Dacă se așază sistemul în aceea poziție, prin care el trece la momentul dat t , în mișcarea reală, și dacă se impun sistemului în mod staționar acele legături care sînt impuse în acel moment sistemului în mișcare și dacă se aplică punctelor sale forțe constante, egale cu valorile vectorilor \vec{F}_i , \vec{R}_i , $\vec{\Phi}_i$ ai forțelor date, ai reacțiunilor și ai forțelor de inerție, care corespund momentului considerat, atunci, în această poziție, pentru condițiile fictive indicate, sistemul rămîne în stare de repaus. Invers, dacă se presupune că în poziția examinată sistemul se găsește în stare de repaus și dacă se aplică punctelor sale forțele date \vec{F}_i și $\vec{\Phi}_i$, iar sistemul este supus acelor legături, care sînt impuse la momentul dat sistemul real în mișcare, atunci reacțiunile \vec{R}_i calculate după regulile staticii, vor fi egale cu acele valori ale reacțiunilor dinamice, care corespund momentului t ales. Ca o consecință, din ecuațiile (3.402) decurge afirmația, că în orice moment ansamblul vectorilor \vec{F}_i , \vec{R}_i , $\vec{\Phi}_i$ (ei reprezintă forțele date, reacțiunile și forțele de inerție, aplicate punctelor sistemului în mișcare) trebuie să satisfacă toate ecuațiile matematice, satisfăcute de vectorii forțelor în cazul echilibrului sistemului în aceea poziție, prin care trece sistemul real în mișcare în momentul ales și în prezența acelor legături, care îi sînt impuse în momentul considerat. Deoarece în configurația de repaus a oricărui sistem mecanic impulsul \vec{H} și momentul său cinetic \vec{K}_0 sînt identic egale cu zero, din ecuațiile (3.255) și (3.248) rezultă că în starea de repaus a sistemului, forțele exterioare satisfac ecuațiile

$$\sum_i \vec{P}_i^{(e)} = 0 \quad \text{și} \quad \sum_i M_O(\vec{P}_i^{(e)}), \quad (3.403)$$

iar în mișcare, la orice moment, între forțele exterioare reale $\vec{P}_i^{(e)}$ și forțele de inerție $\vec{\Phi}_i$ trebuie să existe relațiile

$$\left. \begin{aligned} \sum_i \vec{P}_i^{(e)} + \sum_i \vec{\Phi}_i &= 0, \\ \sum_i \vec{M}_O(\vec{P}_i^{(e)}) + \sum_i \vec{M}_O(\vec{\Phi}_i) &= 0. \end{aligned} \right\} \quad (3.404)$$

Dacă printre ecuațiile (3.404) există unele care nu conțin reacțiunile legăturilor, atunci din examinarea echilibrului fictiv sub acțiunea forțelor date \vec{F}_i și a forțelor de inerție $\vec{\Phi}_i$ se obțin ecuații, care leagă forțele date \vec{F}_i de accelerațiile \vec{a}_i ale punctelor sistemului, adică se obțin *ecuațiile de mișcare ale sistemului* sub acțiunea unor forțe date \vec{F}_i . O astfel de metodă pentru obținerea ecuațiilor de mișcare ale unui sistem supus la legături poartă numele de *metodă cinetostatică* și se folosește mult în teoria mecanismelor (ea se expune în partea de teoria mecanismelor și mașinilor).

§ 3.100. Ecuația generală de mișcare a unui sistem cu legături ideale

Dacă legăturile impuse unui sistem sînt ideale, atunci echilibrului fictiv sub acțiunea forțelor date \vec{F}_i și a forțelor de inerție $\vec{\Phi}_i$ se poate aplica principiul deplasărilor virtuale și în acest caz ecuațiile (3.389) și (3.391) dau egalitățile

$$\sum_i \delta L(\vec{F}_i) + \sum_i \delta L(\vec{\Phi}_i) = 0 \quad (3.405)$$

și

$$\sum_i \left[\left(F_{ix} - m_i \frac{d^2 x_i}{dt^2} \right) \delta x_i + \left(F_{iy} - m_i \frac{d^2 y_i}{dt^2} \right) \delta y_i + \left(F_{iz} - m_i \frac{d^2 z_i}{dt^2} \right) \delta z_i \right]. \quad (3.406)$$

Ecuația (3.406) se numește *ecuația generală Lagrange — d'Alembert pentru mișcarea unui sistem cu legături ideale*. Ea trebuie să fie satisfăcută pentru toate valorile deplasărilor virtuale δx_i , δy_i , δz_i ale coordonatelor punctelor sistemului, satisfăcînd ecuațiile (3.373) și (3.374) care exprimă legăturile finite și cele neintegrabile, impuse sistemului.

3.11

Ecuatiile diferențiale de mișcare
ale sistemelor olonome

§ 3.101. Ecuatiile lui Lagrange de speța întâia

Dacă toate legăturile impuse sistemului, care constă dintr-un număr finit de puncte, se exprimă prin ecuațiile finite

$$f_j(t, x_1, y_1, z_1, \dots, x_n, y_n, z_n) = 0 \quad (j = 1, 2, \dots, s)$$

atunci ecuația generală a dinamicii (3.406), ca și ecuația generală a staticii analitice (3.391), se înlocuiește prin sistemul de $3n$ ecuații

$$\left. \begin{aligned} m_k \frac{d^2 x_k}{dt^2} &= F_{kx} + \sum_{j=1}^s \lambda_j \frac{\partial f_j}{\partial x_k}, \\ m_k \frac{d^2 y_k}{dt^2} &= F_{ky} + \sum_{j=1}^s \lambda_j \frac{\partial f_j}{\partial y_k}, \\ m_k \frac{d^2 z_k}{dt^2} &= F_{kz} + \sum_{j=1}^s \lambda_j \frac{\partial f_j}{\partial z_k} \quad (k = 1, 2, \dots, n), \end{aligned} \right\} \quad (3.407)$$

care, împreună cu cele s ecuații de legături

$$f_j(t, x_1, y_1, z_1, \dots, x_n, y_n, z_n) = 0$$

și cu datele inițiale, determină cele $3n$ coordonate x_k, y_k, z_k ale punctelor în mișcare și cei s factori λ_j , ca funcții de timp. Dacă acest sistem de ecuații este integrat, proiecțiile reacțiunii \vec{R}_k , aplicate punctului A_i al sistemului, se determină pentru momentul dat cu formulele

$$R_{kx} = \sum_{j=1}^s \lambda_j \frac{\partial f_j}{\partial x_k}, \quad R_{ky} = \sum_{j=1}^s \lambda_j \frac{\partial f_j}{\partial y_k}, \quad R_{kz} = \sum_{j=1}^s \lambda_j \frac{\partial f_j}{\partial z_k}. \quad (3.408)$$

§ 3.102. Viteze generalizate

Dacă un sistem olonom este dat prin ecuațiile (3.375)

$$\vec{r}_i = \vec{r}_i(t, q_1, q_2, \dots, q_n),$$

sau — în proiecții pe axele de coordonate — prin ecuațiile (3.376) și dacă se găsește într-o stare de mișcare determinată, atunci coordo-

natele generalizate q_1, q_2, \dots, q_n sînt funcții determinate de timp. Prin urmare, dacă \vec{r}_i este considerată ca o funcție compusă de o singură variabilă independentă, atunci pentru derivata geometrică $\frac{d\vec{r}_i}{dt}$ a razei vectoare se obține expresia

$$\frac{d\vec{r}_i}{dt} = \frac{\partial \vec{r}_i}{\partial t} + \sum_{k=1}^n \frac{\partial \vec{r}_i}{\partial q_k} \frac{dq_k}{dt}. \quad (3.409)$$

Derivatele în raport cu timpul ale coordonatelor generalizate ale punctelor unui sistem olonom în mișcare se numesc *viteze generalizate* și se notează cu \dot{q}_k , adică

$$\dot{q}_k = \frac{dq_k}{dt} \quad (k = 1, 2, \dots, n). \quad (3.410)$$

Din formula (3.410), pentru vectorul viteză reală \vec{v}_i al unui punct al unui sistem în mișcare, se obține expresia

$$\vec{v}_i = \frac{\partial \vec{r}_i}{\partial t} + \sum_{k=1}^n \frac{\partial \vec{r}_i}{\partial q_k} \dot{q}_k, \quad (3.411)$$

iar pentru proiecțiile acestui vector pe axe

$$\left. \begin{aligned} v_{ix} &= \frac{\partial x_i}{\partial t} + \sum_{k=1}^n \frac{\partial x_i}{\partial q_k} \dot{q}_k, \\ v_{iy} &= \frac{\partial y_i}{\partial t} + \sum_{k=1}^n \frac{\partial y_i}{\partial q_k} \dot{q}_k, \\ v_{iz} &= \frac{\partial z_i}{\partial t} + \sum_{k=1}^n \frac{\partial z_i}{\partial q_k} \dot{q}_k. \end{aligned} \right\} \quad (3.412)$$

De aici pentru creșterile reale infinit mici dx_i, dy_i, dz_i ale coordonatelor punctelor sistemului se obțin formulele

$$\left. \begin{aligned} dx_i &= \frac{\partial x_i}{\partial t} dt + \sum_{k=1}^n \frac{\partial x_i}{\partial q_k} dq_k, \\ dy_i &= \frac{\partial y_i}{\partial t} dt + \sum_{k=1}^n \frac{\partial y_i}{\partial q_k} dq_k, \\ dz_i &= \frac{\partial z_i}{\partial t} dt + \sum_{k=1}^n \frac{\partial z_i}{\partial q_k} dq_k. \end{aligned} \right\} \quad (3.413)$$

Aceste formule arată că, în general, $dx_i \neq \delta x_i$, $dy_i \neq \delta y_i$, $dz_i \neq \delta z_i$, adică deplasările reale ale punctelor sistemului în decursul intervalului de timp infinit mic de la momentul dat t pînă la momentul infinit apropiat $t + dt$ nu fac parte din deplasările virtuale imaginate, posibile în același moment t . Însă dacă legăturile sînt staționare atunci $\frac{\partial x_i}{\partial t} = \frac{\partial y_i}{\partial t} = \frac{\partial z_i}{\partial t} = 0$ și alegînd $\delta q_k = dq_k$, se obține $dx_i = \delta x_i$,

$dy_i = \delta y_i$, $dz_i = \delta z_i$, adică în cazul legăturilor staționare deplasările reale infinit mici ale punctelor sistemului se găsesc printre deplasările virtuale. De aici rezultă că legăturile virtuale ideale sînt ideale și la mișcarea reală a sistemului, deoarece suma lucrurilor mecanice elementare reale ale reacțiunilor este

$$\sum_i dL(\vec{R}_i) = \sum_i \delta L(\vec{R}_i) = 0.$$

În cazul general al legăturilor virtuale reonome ideale, ele nu vor fi efectiv ideale, deoarece

$$\sum_i \delta L(\vec{R}_i) \neq \sum_i dL(\vec{R}_i) \neq 0.$$

§ 3.103. Energia cinetică în funcție de vitezele generalizate

Pe baza formulei (3.411) energia cinetică a unui punct al sistemului se exprimă cu formula

$$\begin{aligned} \frac{m_i v_i^2}{2} &= \frac{m_i}{2} (\vec{v}_i \cdot \vec{v}_i) = \frac{m_i}{2} \cdot \frac{\partial \vec{r}_i}{\partial t} \cdot \frac{\partial \vec{r}_i}{\partial t} + m_i \left(\frac{\partial \vec{r}_i}{\partial t} \cdot \sum_{k=1}^n \frac{\partial \vec{r}_i}{\partial q_k} \cdot \dot{q}_k \right) + \\ &\quad \frac{m_i}{2} \sum_{k,j}^{1,\dots,n} \left(\frac{\partial \vec{r}_i}{\partial q_k} \cdot \frac{\partial \vec{r}_i}{\partial q_j} \right) \dot{q}_k \dot{q}_j. \end{aligned} \quad (3.414)$$

Prin urmare, însumînd pentru toate punctele sistemului, pentru energia lui cinetică se obține formula

$$E_c = E_{c0} + E_{c1} + E_{c2}, \quad (3.415)$$

unde

$$E_{c0} = \frac{1}{2} \sum_i m_i \left(\frac{\partial \vec{r}_i}{\partial t} \right)^2 \quad (3.416)$$

$$E_{c1} = \sum_{k=1}^n \left(\sum_i m_i \frac{\partial \vec{r}_i}{\partial t} \cdot \frac{\partial \vec{r}_i}{\partial q_k} \right) \dot{q}_k, \quad (3.417)$$

$$E_{c2} = \frac{1}{2} \sum_{k,j}^{1,\dots,n} \left(\sum_i m_i \frac{\partial \vec{r}_i}{\partial q_k} \cdot \frac{\partial \vec{r}_i}{\partial q_j} \right) \dot{q}_k \dot{q}_j. \quad (3.418)$$

Dacă se fac notațiile

$$\sum_i m_i \frac{\partial \vec{r}_i}{\partial t} \cdot \frac{\partial \vec{r}_i}{\partial q_k} = B_k(t, q_1, q_2, \dots, q_n), \quad (3.419)$$

$$\sum_i m_i \frac{\partial \vec{r}_i}{\partial q_k} \cdot \frac{\partial \vec{r}_i}{\partial q_j} = A_{kj}(t, q_1, q_2, \dots, q_n), \quad (3.420)$$

atunci

$$E_{c1} = \sum_{k=1}^n B_k(t, q_1, q_2, \dots, q_n) \dot{q}_k,$$

$$E_{c2} = \frac{1}{2} \sum_{k,j}^{1, \dots, n} A_{kj}(t, q_1, q_2, \dots, q_n) \dot{q}_k \dot{q}_j. \quad (3.421)$$

Prin urmare, formula (3.415) dă energia cinetică ca sumă a trei expresii E_{c0} , E_{c1} , E_{c2} , dintre care prima, E_{c0} , depinde numai de timpul t și de coordonatele generalizate, a doua, E_{c1} , este o formă liniară în funcție de vitezele generalizate \dot{q}_k cu coeficienți care depind de timp și de coordonatele generalizate, iar a treia, E_{c2} , este o formă pătratică în funcție de vitezele generalizate, cu coeficienți care depind de timp și de coordonatele generalizate. În cazul legăturilor staționare $E_{c0} = E_{c1} = 0$, și formula pentru E_c capătă forma

$$E_c = E_{c2} = \frac{1}{2} \sum_{k,j}^{1, \dots, n} A_{kj}(q_1, q_2, \dots, q_n) \dot{q}_k \dot{q}_j, \quad (3.422)$$

adică în acest caz energia cinetică se prezintă sub o formă pătratică în funcție de vitezele generalizate, cu coeficienți care depind numai de coordonatele generalizate.

§ 3.104. Lucrul mecanic virtual al forțelor de inerție

Dacă în formula

$$\sum_i \delta L(\vec{\Phi}_i) = \sum_i \delta L(-m_i \vec{a}_i) = \sum_i \delta L\left(-\frac{d(m_i \vec{v}_i)}{dt}\right)$$

în locul vitezei \vec{v}_i se introduce expresia ei din formula (3.411), atunci suma lucrurilor mecanice virtuale ale forțelor de inerție, în funcție de expresia pentru energia cinetică din formula (3.415), are forma următoare

$$\sum_i \delta L(\vec{\Phi}_i) = \sum_{k=1}^n \frac{\partial E_c}{\partial q_k} - \frac{d}{dt} \left(\frac{\partial E_c}{\partial \dot{q}_k} \right) \delta q_k. \quad (3.423)$$

La calcularea derivatei $\frac{d}{dt} \left(\frac{\partial E_c}{\partial \dot{q}_k} \right)$ expresia $\frac{\partial E_c}{\partial \dot{q}_k}$ trebuie privită ca o funcție compusă de variabila t , care depinde de argumentele $t, q_1, \dots, q_n, \dot{q}_1, \dots, \dot{q}_n$, astfel că în rezultat intră și derivatele \dot{q}_k ale vitezelor generalizate în raport cu timpul, adică derivatele de ordinul al doilea al coordonatelor generalizate în raport cu timpul.

§ 3.105. Ecuatiile lui Lagrange de speța a doua

Dacă formula (3.423) pentru $\sum_i \delta L(\vec{\Phi}_i)$ se introduce în ecuația generală a dinamicii (3.405), atunci această ecuație generală capătă forma

$$\sum_{k=1}^n \left[Q_k + \frac{\partial E_c}{\partial q_k} - \frac{d}{dt} \left(\frac{\partial E_c}{\partial \dot{q}_k} \right) \right] \delta q_k = 0 \quad (3.424)$$

și pe urmă, ca și ecuația generală (3.394) a staticii, se descompune în n ecuații

$$\frac{d}{dt} \left(\frac{\partial E_c}{\partial \dot{q}_k} \right) - \frac{\partial E_c}{\partial q_k} = Q_k \quad (k = 1, 2, \dots, n). \quad (3.425)$$

Aici Q_k sînt forțele generalizate, calculate după formula (3.383) în funcție de forțele date \vec{F}_i . Deoarece vectorii \vec{F}_i sînt exprimați în funcție de timpul t , de coordonatele punctelor sistemului și de vectorii vitezelor punctelor de aplicație, atunci cu ajutorul formulei (3.376) și (3.411) forțele generalizate Q_k se vor prezenta ca funcții de argumentele $t, q_1, \dots, q_n, \dot{q}_1, \dots, \dot{q}_n$, adică

$$Q_k = Q_k(t, q_1, q_2, \dots, q_n, \dot{q}_1, \dot{q}_2, \dots, \dot{q}_n). \quad (3.426)$$

Deoarece membrii din partea stîngă din formulele (3.425) sînt expresii care depind de $t, q_1, \dots, q_n, \dot{q}_1, \dots, \dot{q}_n$, sistemul de ecuații (3.425) este din punct de vedere matematic un sistem de n ecuații diferențiale de ordinul al doilea cu o singură variabilă independentă t și cu funcțiile necunoscute q_1, q_2, \dots, q_n . Aceste ecuații diferențiale (3.425) se numesc *ecuațiile lui Lagrange de speța a doua* pentru mișcarea unui sistem oloonom cu n grade de libertate sub acțiunea forțelor date \vec{F}_i . Dacă sînt date pozițiile inițiale și vitezele inițiale ale punctelor sistemului, admise de legăturile care îi sînt impuse, atunci aceasta înseamnă că pentru valoarea inițială t_0 a timpului sînt date valorile $q_k^{(0)}$ și $\dot{q}_k^{(0)}$ ale coordonatelor generalizate și ale vitezelor generalizate și în acest caz, aceste date inițiale determină soluțiile ecuațiilor diferențiale (3.425) și deci mișcarea sistemului care corespunde condițiilor fizice inițiale.

Dacă forțele date \vec{F}_i admit o funcție de forță generalizată $U(t, q_1, \dots, q_n)$, determinată de formula (3.386), adică $Q_k = \frac{\partial U}{\partial q_k}$, atunci ecuația lui Lagrange (3.425) poate fi scrisă sub forma

$$\frac{d}{dt} \left(\frac{\partial E_c}{\partial \dot{q}_k} \right) = \frac{\partial (E_c + U)}{\partial q_k} \quad (k = 1, 2, \dots, n). \quad (3.427)$$

Suma $E_c + U = E - \Pi$, unde Π este, conform formulei (3.388), energia potențială a sistemului și se numește potențial lagrangian sau citic al sistemului și se notează

$$L = T - \Pi. \quad (3.428)$$

Din punct de vedere matematic, Π se prezintă ca o funcție de argumentele

$$t, q_1, q_2, \dots, q_n,$$

deoarece forțele \vec{F}_i , care admit funcția de forță generalizată, depind numai de timpul t și de poziția punctelor sistemului, însă nu de vitezele lor; de aici

$$\frac{\partial L}{\partial \dot{q}_k} = \frac{\partial E_c}{\partial \dot{q}_k}. \quad (3.429)$$

Prin urmare, din punct de vedere formal ecuațiile (3.427) se pot scrie astfel:

$$\frac{d}{dt} \left(\frac{\partial L}{\partial \dot{q}_k} \right) = \frac{\partial L}{\partial q_k} \quad (k = 1, 2, \dots, n). \quad (3.430)$$

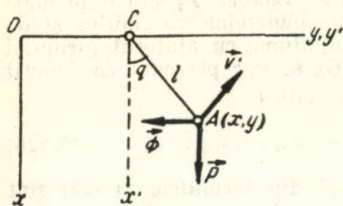


Fig. 3.72.

Exemplu. Să se scrie ecuația lui Lagrange pentru mișcarea pendulului matematic de lungime l , al cărui punct de susținere C se mișcă pe o axă orizontală Oy după o lege dată. Legea de mișcare a punctului C este dată de formula $OC = f(t)$. Luând drept coordonată generalizată q unghiul format de firul pendulului cu verticala (fig. 3.72), se obține

$$x = l \cos q, \quad y = f(t) + l \sin q.$$

De aici

$$v_x = \frac{dx}{dt} = -l \sin q \cdot \dot{q}, \quad v_y = \frac{dy}{dt} = f'(t) + l \cos q \cdot \dot{q},$$

$$E_c = \frac{m}{2} [l^2 \dot{q}^2 + 2lf'(t) \cos q \cdot \dot{q} + f'^2(t)],$$

$$\frac{\partial E_c}{\partial \dot{q}} = ml^2 \dot{q} + mlf'(t) \cos q, \quad \frac{\partial E_c}{\partial q} = -mlf'(t) \sin q \cdot \dot{q}.$$

Forța generalizată este

$$Q = mg \frac{\partial x}{\partial q} = -mgl \sin q.$$

De aici se obține ecuația lui Lagrange

$$\ddot{q} + \frac{g}{l} \sin q = -\frac{f''(t)}{l} \cos q.$$

Aceeași ecuație se obține dacă se studiază mișcarea relativă a pendulului în raport cu axele $x'Cy'$, introducând forța de transport a lui Coriolis $\vec{\Phi}$. Deoarece $\vec{\Phi} \parallel Cy$ și $\Phi_y = -mf''(t)$, ecuația mișcării relative, după formula (3.206), este

$$ml\ddot{q} = -mg \sin q - mf''(t) \cos q,$$

adică

$$\ddot{q} + \frac{g}{l} \sin q = -\frac{f''(t)}{l} \cos q.$$

§ 3.106. Integrala energiei

Dacă expresia potențialului L din formula (3.429) nu conține explicit argumentul t , adică dacă

$$L = L(q_1, q_2, \dots, q_n, \dot{q}_1, \dot{q}_2, \dots, \dot{q}_n), \quad (3.431)$$

atunci ecuațiile lui Lagrange (3.430) admit o integrală primă sub forma egalității

$$\sum_{k=1}^n \frac{\partial L}{\partial \dot{q}_k} \dot{q}_k - L = h, \quad (3.432)$$

unde h este o mărime constantă, care păstrează aceeași valoare în tot decursul mișcării. Acest caz, în care potențialul cinetic nu depinde de timp în mod explicit, are loc numai pentru legături staționare. În acest caz, energia cinetică E_c dată de formula (3.421) este o funcție omogenă în raport cu vitezele generalizate \dot{q}_k și din acest motiv

$$\sum_{k=1}^n \frac{\partial L}{\partial \dot{q}_k} \dot{q}_k = \sum_{k=1}^n \frac{\partial E_c}{\partial \dot{q}_k} \dot{q}_k = 2E_c$$

și formula (3.432) ia forma

$$E_c + \Pi = h, \quad (3.433)$$

adică exprimă legea de conservare a energiei mecanice totale.

§ 3.107 Impulsuri generalizate

Derivatele potențialului cinetic în raport cu vitezele generalizate se numesc *impulsuri generalizate* și se notează cu p_k , astfel că

$$p_k = \frac{\partial L}{\partial \dot{q}_k} = \frac{\partial E_c}{\partial \dot{q}_k} \quad (k = 1, 2, \dots, n). \quad (3.434)$$

Dacă o coordonată generalizată oarecare q_j nu intervine explicit în expresia potențialului cinetic, adică $\frac{\partial L}{\partial q_j} = 0$, atunci această coordonată generalizată se numește *ciclică*, iar impulsul generalizat corespunzător ei $p_j = \frac{\partial L}{\partial \dot{q}_j}$ este *ciclic*. Pentru coordonatele generalizate ciclice q_j , ecuațiile lui Lagrange (3.430) conduc la egalitățile

$$\frac{\partial L}{\partial \dot{q}_j} = \alpha_j, \quad (3.435)$$

unde α_j sînt constante. Aceste egalități se numesc *integralele ciclice ale ecuațiilor lui Lagrange*. Ele pot fi scrise sub forma

$$p_j = \alpha_j, \quad (3.436)$$

adică impulsurile generalizate ciclice rămîn constante în decursul întregii mișcări. De exemplu, la mișcarea într-un plan a unui punct liber sub acțiunea unei forțe centrale a cărei mărime depinde numai de distanța de la punct la centrul forței luînd drept coordonate generalizate coordonatele polare ρ și φ , se obține

$$E_c = \frac{m}{2} (\dot{\rho}^2 + \rho^2 \dot{\varphi}^2), \quad \Pi = f(\rho), \quad L = \frac{m}{2} (\dot{\rho}^2 + \rho^2 \dot{\varphi}^2) - f(\rho)$$

și deci coordonata φ este ciclică; impulsul ciclic este $p_\varphi = m \rho^2 \dot{\varphi}$ și integrala ciclică (3.436) ia forma $\rho^2 \frac{d\varphi}{dt} = \text{const}$, ceea ce, conform formulei (3.160), exprimă faptul că viteza sectorială față de centrul forței rămîne constantă.

§ 3.108. Ecuații canonice

Formulele (3.434), care determină impulsurile generalizate pe baza formulelor (3.421), reprezintă un sistem de ecuații liniare în raport cu vitezele generalizate \dot{q}_k care se pot exprima, din aceste ecuații, în funcție de $t, q_1, q_2, \dots, q_n, p_1, p_2, \dots, p_n$. Dacă aceste expresii se introduc în formula

$$\sum_{k=1}^n p_k \dot{q}_k - L(t, q_1, \dots, q_n, \dot{q}_1, \dots, \dot{q}_n),$$

atunci funcția obținută

$$H(t, q_1, \dots, q_n, p_1, \dots, p_n) = \sum_{k=1}^n p_k \dot{q}_k - L(t, q_1, \dots, q_n, \dot{q}_1, \dots, \dot{q}_n) \quad (3.437)$$

se numește *funcția caracteristică a lui Hamilton*. Dacă legăturile sînt staționare, pe baza formulei (3.433) funcția H exprimă *energia mecanică totală a sistemului*. Cu ajutorul funcției caracteristice, sistemul (3.430) de ecuații ale lui Lagrange se poate înlocui prin sistemul de $2n$ ecuații diferențiale

$$\frac{dq_k}{dt} = \frac{\partial H}{\partial p_k}, \quad \frac{dp_k}{dt} = - \frac{\partial H}{\partial q_k} \quad (k = 1, 2, \dots, n). \quad (3.438)$$

Aceste ecuații se numesc *ecuații canonice de mișcare ale sistemului omonom* sub acțiunea unor forțe care admit o funcție de forță generalizată. În cazul legăturilor staționare, sistemul (3.438) are integrala

$$H(q_1, \dots, q_n, p_1, \dots, p_n) = h, \quad (3.439)$$

care exprimă *legea de conservare a energiei mecanice*.

3.12

Micile oscilații ale sistemelor

§ 3.109. Echilibrul stabil

Poziția de echilibru a unui sistem supus unor legături staționare și care se găsește sub acțiunea unor forțe date, se numește *echilibru stabil*, dacă pentru o variație arbitrară suficient de mică a coordonatelor punctelor sale și pentru viteze arbitrare suficient de mici, imprimare acestor puncte, sistemul se va mișca rămînînd tot timpul în vecinătatea poziției de echilibru.

Să presupunem că poziția de echilibru este determinată de valori nule ale coordonatelor generalizate q_k , iar valorile inițiale ale coordonatelor și vitezelor generalizate sînt egale cu $q_k^{(0)}$ și $\dot{q}_k^{(0)}$. Poziția de echilibru este stabilă dacă, fiind date dinainte mărimile ε și ε_1 pozitive și suficient de mici, se pot indica numere pozitive η și η_1 , depinzînd de ε și ε_1 , astfel încît atunci cînd sînt satisfăcute condițiile $q_k^{(0)} < \eta, \dot{q}_k^{(0)} < \eta_1$ ($k = 1, 2, \dots, n$) în tot decursul timpului mișcării vor fi satisfăcute egalitățile $|q_k| < \varepsilon, |\dot{q}_k| < \varepsilon_1$ ($k = 1, 2, \dots, n$).

Dacă sistemul se găsește sub acțiunea forțelor date \vec{F}_i care admit o funcție de forță generalizată și, prin urmare, admit energia potențială $\Pi(q_1, \dots, q_n)$, atunci condiția suficientă de stabilitate a echilibrului este dată de *teorema Lejeune-Dirichlet*: dacă în poziția de echilibru a sistemului energia sa potențială are un minim, această poziție de echilibru este stabilă. Dacă forțele date \vec{F}_i sînt greutatea punctelor sistemului, atunci energia potențială atinge minimumul, cînd centrul de greutate al sistemului ocupă cea mai joasă poziție din toate pozițiile posibile. Pentru utilizarea teoremei lui Dirichlet este esențial ca energia potențială $\Pi(q_1, \dots, q_n)$ să depindă de toate coordonatele generalizate q_k . Mișcările, pe care sistemul le execută după o deviere suficient de mică de la poziția de echilibru stabil și pentru viteze inițiale suficient de mici, se numesc *oscilații mici ale sistemului în jurul poziției de echilibru stabil*.

§ 3.110. Expresiile aproximative ale energiilor cinetică și potențială în cazul micilor oscilații

Dacă poziția de echilibru stabil se obține pentru valori nule ale coordonatelor generalizate, atunci în formula pentru energia cinetică la legături staționare, $E_c = \frac{1}{2} \sum_{k,j}^{1, \dots, n} A_{kj} (q_1, \dots, q_n) \dot{q}_k \cdot \dot{q}_j$, și anume în expresiile A_{kj} ale coeficienților, în locul argumentelor variabile q_k , care rămîn mici în valoare absolută, se pot introduce valori nule și atunci, notînd

$$A_{kj}(0, \dots, 0) = a_{kj}, \quad (3.440)$$

pentru energia cinetică se obține formula aproximativă

$$E_c = \frac{1}{2} \sum_{k,j}^{1, \dots, n} a_{kj} \cdot \dot{q}_k \dot{q}_j, \quad (3.441)$$

adică la oscilații mici energia cinetică se poate exprima printr-o formă pătratică cu coeficienți constanți omogenă în raport cu vitezele generalizate. Formula pentru energia potențială $\Pi(q_1, \dots, q_n)$ se poate descompune în serie MacLaurin, adică

$$\Pi(q_1, \dots, q_n) = \Pi(0, \dots, 0) + \sum_{k=1}^n \left(\frac{\partial E_c}{\partial q_k} \right)_0 q_k + \frac{1}{2} \sum_{k,j}^{1, \dots, n} \left(\frac{\partial^2 \Pi}{\partial q_k \partial q_j} \right)_0 q_k q_j + \dots$$

În poziția de echilibru $\left(\frac{\partial \Pi}{\partial q_k} \right) = 0$. Prin urmare, notînd

$$\left(\frac{\partial^2 \Pi}{\partial q_k \partial q_j} \right)_0 = c_{kj}, \quad (3.442)$$

pentru energia potențială se obține formula aproximativă

$$\Pi(q_1, \dots, q_n) = \Pi(0, \dots, 0) + \frac{1}{2} \sum_{k,j}^{1, \dots, n} c_{kj} q_k q_j. \quad (3.443)$$

Coeficienții constanți a_{kj} din formula (3.440) se numesc *coeficienți cuasiinertiali*, iar coeficienții c_{kj} din formula (3.443) — *coeficienți cuasielastici ai sistemului* la oscilațiile lui mici în cimpul de forțe dat. Ei depind de alegerea coordonatelor generalizate.

Dacă, în afară de forțele cimpului, care crează energia potențială Π , nu sînt aplicate alte forțe punctelor sistemului care execută oscilații mici în jurul pozițiilor de echilibru stabil, atunci pe baza formulelor aproximative (3.441) și (3.442) *ecuațiile lui Lagrange* (3.430) iau forma

$$a_{k1}\ddot{q}_1 + a_{k2}\ddot{q}_2 + \dots + a_{kn}\ddot{q}_n + c_{k1}q_1 + c_{k2}q_2 + \dots + c_{kn}q_n = 0. \quad (3.444)$$

Prin urmare, *teoria matematică a oscilațiilor mici libere*, adică numai în prezența forțelor date ale cimpului, constă în integrarea și studierea sistemului (3.444) de ecuații diferențiale liniare omogene cu coeficienți constanți.

§ 3.111. Micile oscilații libere ale unui sistem cu un singur grad de libertate

În cazul unui singur grad de libertate, ecuațiile sistemului (3.376) iau forma

$$x_i = x_i(q), \quad y_i = y_i(q), \quad z_i = z_i(q). \quad (3.445)$$

Aceste ecuații sînt în același timp ecuațiile parametrice ale traiectoriilor punctelor sistemului. Dacă echilibrul are loc pentru $q = 0$, atunci coordonatele punctelor vor fi

$$x_i^{(0)} = x_i(0), \quad y_i^{(0)} = y_i(0), \quad z_i^{(0)} = z_i(0). \quad (3.446)$$

În cazul oscilațiilor mici, ecuațiile aproximative ale traiectoriei sînt $x_i = x_i^{(0)} + x_i'(0)q$, $y_i = y_i^{(0)} + y_i'(0)q$, $z_i = z_i^{(0)} + z_i'(0)q$. (3.447)

Prin urmare, oscilațiile mici ale punctelor unui sistem cu un singur grad de libertate sînt aproximativ rectilinii și au loc pe dreptele Δ_i , tangente la traiectoriile exacte în pozițiile de echilibru. Abaterea s_i a punctului A_i de la poziția sa de echilibru $A_i^{(0)}$ se exprimă cu formula

$$s_i = \sqrt{x_i'^2(0) + y_i'^2(0) + z_i'^2(0)}q, \quad (3.448)$$

prin urmare, formula aproximativă (3.441) pentru energia cinetică ia forma

$$E_c = \frac{\dot{q}^2}{2} \sum_i m_i [x_i'^2(0) + y_i'^2(0) + z_i'^2(0)]. \quad (3.449)$$

De aici coeficientul inerțial a al sistemului se exprimă cu formula

$$a = \sum_i m_i [x_i'^2(0) + y_i'^2(0) + z_i'^2(0)]. \quad (3.450)$$

Formula aproximativă (3.442) pentru energia potențială capătă forma

$$\Pi = \Pi(0) + \frac{cq^2}{2}. \quad (3.451)$$

Condiția suficientă de minim a lui $\Pi(0)$ este inegalitatea $\Pi''(0) > 0$, adică $c > 0$. Sistemul (3.444) de ecuații diferențiale se reduce la o singură ecuație

$$a\ddot{q} + cq = 0. \quad (3.452)$$

Sensul ei fizic constă în aceea că ea este echivalentă cu egalitatea $\frac{a\dot{q}^2}{2} + \frac{cq^2}{2} = \text{const}$, sau $F_c + \Pi = \text{const}$, adică ecuația exprimă *legea de conservare a energiei mecanice*. Notînd

$$\frac{c}{a} = k^2, \quad (3.453)$$

se obține ecuația $\ddot{q} + k^2q = 0$. Soluția ei generală are forma

$$q = h \sin (kt + \theta), \quad (3.454)$$

unde h și θ sînt constante arbitrare. De aici se deduce pentru abaterea s_i formula

$$s_i = h_i \sin (kt + \theta),$$

unde

$$h_i = h \sqrt{x_i'^2(0) + y_i'^2(0) + z_i'^2(0)}. \quad (3.455)$$

Prin urmare, în cazul micilor oscilații ale sistemului cu un singur grad de libertate, punctele sale execută aproximativ mici oscilații armonice rectilinii cu centrul în poziția de echilibru; amplitudinile h_i ale oscilațiilor diferitelor puncte sînt diferite, însă faza $kt + \theta$ este aceeași la toate punctele. Perioada oscilației

$$T = \frac{2\pi}{k} = 2\pi \sqrt{\frac{a}{c}} \quad (3.456)$$

este aceeași pentru toate punctele și tot sistemul se întoarce periodic în poziția de echilibru. Perioada $\frac{2\pi}{k}$ se numește *perioada proprie a sistemului*, iar k pulsația oscilațiilor proprii ale sistemului. Ea are un sens fizic și din acest motiv raportul $\frac{a}{c}$ nu depinde de alegerea coordonatei generalizate.

§ 3.112. Micile oscilații libere ale unui sistem cu două grade de libertate

În cazul a două coordonate generalizate \dot{q}_1 și q_2 , formulele (3.441) și (3.443) iau forma

$$E_c = \frac{1}{2} (a_{11}\dot{q}_1^2 + 2a_{12}\dot{q}_1\dot{q}_2 + a_{22}\dot{q}_2^2),$$

$$\Pi = \Pi(0,0) + \frac{1}{2} (c_{11}q_1^2 + 2c_{12}q_1q_2 + c_{22}q_2^2).$$

Condiția suficientă de minimum a lui $\Pi(0,0)$ sînt inegalitățile

$$c_{11} > 0, \quad c_{22} > 0, \quad c_{11}c_{22} - c_{12}^2 > 0. \quad (3.457)$$

Ecuatiile (3.444) iau forma

$$\left. \begin{aligned} a_{11}\ddot{q}_1 + a_{12}\ddot{q}_2 + c_{11}q_1 + c_{12}q_2 &= 0, \\ a_{21}\ddot{q}_1 + a_{22}\ddot{q}_2 + c_{21}q_1 + c_{22}q_2 &= 0, \end{aligned} \right\} \quad (3.458)$$

unde $a_{21} = a_{12}$, $c_{21} = c_{12}$. Pentru rezolvarea lor trebuie scrisă așa numita *ecuație de frecvență*

$$\Delta(k^2) = \begin{vmatrix} c_{11} - k^2a_{11} & c_{12} - k^2a_{12} \\ c_{21} - k^2a_{21} & c_{22} - k^2a_{22} \end{vmatrix} = 0, \quad (3.459)$$

Ea are două rădăcini pozitive k_1^2 și k_2^2 , situate între limitele

$$0 \leq k_1^2 \leq \frac{c_{11}}{a_{11}}, \quad \frac{c_{22}}{a_{22}} < k_2^2 < \infty, \quad (3.460)$$

dacă $\frac{c_{11}}{a_{11}} < \frac{c_{22}}{a_{22}}$. Dacă $k_1^2 \neq k_2^2$, atunci fiecărei rădăcini a ecuației (3.460) îi corespunde o oscilație proprie, numită *fundamentală*. La prima oscilație fundamentală, coordonatele generalizate q_1 și q_2 se exprimă cu formulele

$$\left. \begin{aligned} q_1^{(1)} &= C_1^{(1)}(c_{22} - k_1^2a_{22}) \sin(k_1t + \theta_1), \\ q_2^{(1)} &= -C_1^{(1)}(c_{12} - k_1^2a_{12}) \sin(k_1t + \theta_1), \end{aligned} \right\} \quad (3.461)$$

unde $C_1^{(1)}$ și θ_1 sînt constante arbitrare.

Pentru a doua oscilație fundamentală, în mod analog

$$\left. \begin{aligned} q_1^{(2)} &= C_2^{(2)}(c_{22} - k_2^2a_{22}) \sin(k_2t + \theta_2), \\ q_2^{(2)} &= -C_2^{(2)}(c_{12} - k_2^2a_{12}) \sin(k_2t + \theta_2). \end{aligned} \right\} \quad (3.462)$$

Soluția generală a sistemului (3.456) are forma

$$q_1 = q_1^{(1)} + q_1^{(2)}, \quad q_2 = q_2^{(1)} + q_2^{(2)}. \quad (3.463)$$

În cazul oscilațiilor mici, traiectoriile punctelor unui sistem cu două grade de libertate sînt aproximativ curbe plane (așa numitele *figuri Lissajou*).

Ecuția de frecvențe (3.459) are rădăcini egale, dacă

$$\frac{c_{11}}{a_{11}} = \frac{c_{12}}{a_{12}} = \frac{c_{22}}{a_{22}}. \quad (3.464)$$

Dacă valoarea comună a rapoartelor (3.464) se notează cu k^2 , atunci acest k^2 va fi rădăcină dublă a ecuației de frecvențe (3.459). În acest caz soluția generală a sistemului (3.458) este dată de formulele

$$q_1 = C_1 \sin(kt + \theta_1), \quad q_2 = C_2 \sin(kt + \theta_2). \quad (3.465)$$

Traietoriile punctelor sistemului sînt aproximativ elipse.

§ 3.113. Oscilațiile amortizate ale unui sistem cu un singur grad de libertate

Dacă în afară de forțele \vec{F}_i ale câmpului, asupra punctelor sistemului acționează forțe de rezistență \vec{N}_i , proporționale cu vitezele punctelor, adică dacă

$$\vec{N}_i = -\lambda_i \vec{v}_i, \quad (3.466)$$

atunci prezența acestor forțe de rezistență micșorează abaterile punctelor și din acest motiv mișcarea sistemului, după devierea din poziția de echilibru stabil, în câmpul de forțe rămîne ca o oscilație mică, iar energia cinetică și cea potențială se exprimă cu formulele

$E_c = \frac{a\dot{q}^2}{2}$, $\Pi = \Pi(0) + \frac{cq^2}{2}$. Forța generalizată Q , produsă de forțele de rezistență, conform formulei (3.383) este

$$Q = \sum_i (-\lambda_i \vec{v}_i) \cdot \frac{\partial \vec{r}_i}{\partial q} = -\sum_i \lambda_i \left(\frac{\partial \vec{r}_i}{\partial q} \right)^2 \dot{q} = -\dot{q} \sum_i \lambda_i [x_i'^2(q) + y_i'^2(q) + z_i'^2(q)]. \quad (3.467)$$

Pentru oscilații mici se poate pune aproximativ

$$\sum_i [x_i'^2(q) + y_i'^2(q) + z_i'^2(q)] \approx \sum_i \lambda_i [x_i'^2(0) + y_i'^2(0) + z_i'^2(0)] = \lambda. \quad (3.468)$$

Prin urmare

$$Q = -\lambda \dot{q} \quad (3.469)$$

și ecuația lui Lagrange capătă forma

$$a\ddot{q} + c\dot{q} = -\lambda \dot{q}. \quad (3.470)$$

Sensul ei fizic constă în aceea că

$$\frac{d(E_c + \Pi)}{dt} = -\lambda \dot{q}^2 < 0 \quad (3.471)$$

și din acest motiv energia mecanică a sistemului în prezența forțelor de rezistență descrește. Funcția

$$\Phi = -\frac{\lambda \dot{q}^2}{2} \quad (3.472)$$

se numește *funcția disipativă a lui Rayleigh*. Ea caracterizează viteza de descreștere a energiei mecanice a sistemului. Notind

$$\frac{c}{a} = k^2, \quad \frac{\lambda}{a} = 2n, \quad (3.473)$$

ecuației (3.470) i se dă forma

$$\ddot{q} + 2n\dot{q} + k^2q = 0. \quad (3.474)$$

Dacă $k^2 - n^2 > 0$, soluția generală a ecuației (3.474) are forma

$$q = he^{-nt} \sin(\sqrt{k^2 - n^2} t + \theta), \quad (3.475)$$

unde constantele h și θ se determină în funcție de datele inițiale q_0 și \dot{q}_0 cu formulele

$$h = \sqrt{q_0^2 + \frac{(\dot{q}_0 + nq_0)^2}{k^2 - n^2}}, \quad \operatorname{tg} \theta = \frac{q_0 \sqrt{k^2 - n^2}}{\dot{q}_0 + nq_0}.$$

Abaterile s_i ale punctelor sistemului de la poziția de echilibru, date de expresia (3.448), se exprimă cu formula

$$s_i = h_i e^{-nt} \sin(\sqrt{k^2 - n^2} t + \theta), \quad (3.476)$$

unde h_i se determină cu formula (3.455). Prin urmare, punctele execută oscilații cu perioada

$$T = \frac{2\pi}{\sqrt{k^2 - n^2}}. \quad (3.477)$$

Valorile absolute ale abaterilor maxime consecutive ale punctelor de la poziția de echilibru formează o progresie geometrică descrescătoare cu rația

$$e^{-\frac{nT}{2}} = e^{-\frac{n\pi}{\sqrt{k^2 - n^2}}}. \quad (3.478)$$

Valoarea logaritmului natural al raportului dintre valorile absolute a două abateri maxime, consecutive, adică $\frac{n\pi}{\sqrt{k^2 - n^2}}$ se numește *decrement logaritmice al oscilațiilor*. Dacă $n^2 - k^2 > 0$, atunci soluția generală a ecuației (3.473) devine

$$q = e^{-nt} (C_1 \operatorname{ch} \sqrt{n^2 - k^2} t + C_2 \operatorname{sh} \sqrt{n^2 - k^2} t). \quad (3.479)$$

Constantele C_1 și C_2 , în funcție de datele inițiale q_0 și \dot{q}_0 , se determină cu formulele

$$C_1 = q_0, C_2 = \frac{\dot{q}_0 + nq_0}{\sqrt{n^2 - k^2}}. \quad (3.480)$$

Mișcarea nu posedă caracter oscilatoriu și se numește *aperiodică*. Pentru valori mari ale lui t se poate considera că

$$q \approx \frac{1}{2} (C_1 + C_2) e^{-(n - \sqrt{n^2 - k^2})t} \quad (3.481)$$

și din acest motiv $\lim_{t \rightarrow \infty} q = 0$ și sistemul se apropie asimptotic de poziția de echilibru.

§ 3.114. Oscilațiile forțate în cazul unei rezistențe

Dacă asupra sistemului, pe lângă forțele \vec{F}_i ale câmpului, acționează și cele de rezistență $\vec{N}_i = -\lambda_i \vec{v}_i$ și alte forțe, date ca funcții de timp și care produc forța generalizată $Q(t)$, iar sistemul continuă să execute mici oscilații în jurul poziției de echilibru în câmpul forțelor \vec{F}_i , atunci ecuația aproximativă a lui Lagrange ia forma

$$a\ddot{q} + \lambda\dot{q} + cq = Q(t), \quad (3.482)$$

unde, ca și înainte, energia cinetică se exprimă cu formula $E_c = \frac{a\dot{q}^2}{2}$,

energia potențială cu formula $\Pi = \frac{cq^2}{2}$, iar forța generalizată de rezistență cu formula $Q = -\lambda\dot{q}$.

Dacă conform notațiilor (3.473) ecuația (3.482) este scrisă în forma $\ddot{q} + 2n\dot{q} + k^2q = \frac{Q(t)}{a}$, atunci soluția ei pentru datele inițiale $t_0 = 0, q_0, \dot{q}_0$ are forma pentru $k > n$

$$q = \left[q_0 \cos \sqrt{k^2 - n^2} t + \frac{\dot{q}_0 + nq_0}{\sqrt{k^2 - n^2}} \sin \sqrt{k^2 - n^2} t \right] e^{-nt} + \frac{1}{a\sqrt{k^2 - n^2}} \int_0^t Q(\xi) e^{-n(t-\xi)} \sin [\sqrt{k^2 - n^2} (t - \xi)] d\xi; \quad (3.483)$$

pentru $n > k$

$$q = \left[q_0 \operatorname{ch} \sqrt{n^2 - k^2} t + \frac{\dot{q}_0 + nq_0}{\sqrt{k^2 - n^2}} \operatorname{sh} \sqrt{n^2 - k^2} t \right] e^{-nt} + \\ + \frac{1}{a \sqrt{n^2 - k^2}} \int_0^t Q(\xi) e^{-n(t-\xi)} \operatorname{sh} [\sqrt{n^2 - k^2} (t - \xi)] d\xi; \quad (3.484)$$

pentru $k = n$

$$q = [q_0 + (\dot{q}_0 + nq_0)t] e^{-nt} + \frac{1}{a} \int_0^t Q(\xi) e^{-n(t-\xi)} (t - \xi) d\xi. \quad (3.485)$$

În aceste formule primii termeni reprezintă oscilații amortizate, care se obțin fără forța generalizată suplimentară $Q(t)$. Ultimii termeni, care conțin integrala, reprezintă așa numitele *oscilații forțate*. Deoarece practic oscilațiile amortizate scad repede, după un interval oarecare de timp toată mișcarea sistemului se reduce la oscilații forțate.

Cel mai important este cazul unei forțe generalizate armonice, care se exprimă cu formula.

$$Q = H \sin (pt + \delta).$$

În acest caz, pentru datele inițiale $t = 0$, q_0 , \dot{q}_0 și pentru $k > n$, soluția ecuației (3.482) devine

$$q = e^{-nt} \left[q_0 \cos \sqrt{k^2 - n^2} t + \right. \\ + \frac{\dot{q}_0 + nq_0}{\sqrt{k^2 - n^2}} \sin \sqrt{k^2 - n^2} t \left. \right] - e^{-nt} \left[\sin (\delta - \varepsilon) \cos \sqrt{k^2 - n^2} t + \right. \\ + \frac{p \cos (\delta - \varepsilon) + n \sin (\delta - \varepsilon)}{\sqrt{k^2 - n^2}} \sin \sqrt{k^2 - n^2} t \left. \right] + \\ + A \sin (pt + \delta - \varepsilon), \quad (3.486)$$

unde

$$A = \frac{H}{a \sqrt{(k^2 - p^2)^2 + 4n^2 p^2}}, \quad (3.487)$$

$$\cos \varepsilon = \frac{k^2 - p^2}{\sqrt{(k^2 - p^2)^2 + 4n^2 p^2}}, \quad \sin \varepsilon = \frac{2np}{\sqrt{(k^2 - p^2)^2 + 4n^2 p^2}}. \quad (3.488)$$

Primii doi termeni din formula (3.486) reprezintă oscilații amortizate, iar oscilațiile determinate de ultimul termen $A \sin(pt + \delta - \varepsilon)$ sînt forțate. Acestea sînt oscilații armonice cu amplitudinea A și faza $pt + \delta - \varepsilon$. Perioada lor $T = \frac{2\pi}{p}$ coincide cu perioada forțelor Q , determinate de formula (3.486), iar faza $pt + \delta - \varepsilon$ este deplasată față de faza $pt + \delta$ cu unghiul ε . Dacă sistemul ar fi fost deviat de la poziția de echilibru în cîmpul de forțe \vec{F}_i de către o forță generalizată constantă de mărime H și dacă s-ar găsi într-o stare de repaus, atunci coordonata generalizată în noua poziție de repaus ar avea valoarea $A_0 = \frac{H}{ak^2}$. Raportul dintre amplitudinea A a oscilațiilor forțate în prezența forței generalizate $Q = H \sin(pt + \delta)$ și abaterea statică A_0 se numește *coeficient de dinamicitate*

$$\frac{A}{A_0} = \lambda = \frac{k^2}{\sqrt{(k^2 - p^2)^2 + 4n^2 p^2}},$$

sau

$$\lambda = \frac{1}{\sqrt{\left[1 - \left(\frac{p}{k}\right)^2\right]^2 + 4\left(\frac{n}{k}\right)^2 \left(\frac{p}{k}\right)^2}}. \quad (3.489)$$

Notînd

$$\frac{p}{k} = z, \quad \frac{n}{k} = \delta, \quad (3.490)$$

formulei pentru coeficientul de dinamicitate i se dă forma

$$\lambda = \frac{1}{\sqrt{(1 - z^2)^2 + 4\delta^2 z^2}}. \quad (3.491)$$

Pentru δ constant, acest coeficient λ atinge valoarea maximă atunci cînd $z = \sqrt{1 - 2\delta^2}$, dacă $\delta < \frac{1}{2} \approx 0,707$, adică dacă $n \leq 0,707k$.

Valoarea maximă este $\lambda_{max} = \frac{1}{2\delta\sqrt{1 - \delta^2}}$. Atunci cînd frecvența k a oscilațiilor libere coincide cu frecvența p a forței generalizate de excitație Q , adică pentru $z = 1$, λ are valoarea

$$\lambda_r = \frac{1}{2\delta}. \quad (3.492)$$

Acest caz se numește *rezonanță*. Când frecvența p coincide cu frecvența $\sqrt{k^2 - n^2}$ a oscilațiilor amortizate, adică când $z = \sqrt{1 - \delta^2}$, λ capătă valoarea

$$\lambda^* = \frac{1}{2\delta \sqrt{1 - \frac{3}{4} \delta^2}}. \quad (3.493)$$

Pentru o rezistență mică, λ_r și λ^* sînt foarte apropiate de λ_{max} , cum se vede din tabela următoare (extrasă din cursul de mecanică teoretică de D. G. Loițianski și A. I. Lurie, vol. II, p. 467).

δ	$z_m = \sqrt{1 - 2\delta^2}$	λ_{max}	λ_r	λ^*
0,05	0,9975	10,013	10,000	10,010
0,10	0,9899	5,025	5,000	5,019
0,15	0,9772	3,371	3,333	3,362
0,20	0,9695	2,552	2,500	2,538
0,25	0,9357	2,065	2,000	2,049
0,30	0,9055	1,747	1,667	1,726
0,40	0,8246	1,366	1,250	1,333
0,50	0,7071	1,155	1,000	1,102
$\frac{1}{\sqrt{2}} \approx 0,707$	0,000	1,000	0,707	0,894

Decalajul ε al fazei oscilațiilor forțate se determină conform expresiei (3.488) cu formula

$$\operatorname{tg} \varepsilon = \frac{2z\delta}{1 - z^2}. \quad (3.494)$$

Valorile coeficientului de dinamicitate λ și ale decalajului ε al fazei, exprimat în grade, pentru câteva valori ale lui δ sînt date în tabela ce urmează (extrasă din cursul de mecanică teoretică a lui L. G. Loițianski și A. I. Lurie, vol. II, p. 468). Pentru $\delta = 0$, ε este o funcție discontinuă de z , egală cu zero pentru $z < 1$ și egală cu π pentru $z > 1$. Tabela arată că pentru valori ale lui z suficient de depărtate de valoarea 1, adică în domeniul de frecvențe ale forței generalizate, care frecvențe sînt suficient de depărtate de valoarea de rezonanță k , coeficientul de dinamicitate λ variază puțin cu variația lui δ și în acest caz influența forțelor de rezistență asupra valorii amplitudinii A a oscilațiilor forțate poate să nu fie luată în seamă.

ε	$\delta = 0,0$			$\delta = 0,05$			$\delta = 0,10$			$\delta = 0,15$			$\delta = 0,20$			$\delta = 0,25$		
	λ	λ	ε^0	λ	λ	ε^0	λ	λ	ε^0	λ	λ	ε^0	λ	λ	ε^0	λ	λ	ε^0
0,00	1,00	1,00	0,0	1,00	1,00	0,0	1,00	1,00	0,0	1,00	1,00	0,0	1,00	1,00	0,0	1,00	1,00	0,0
0,10	1,01	1,01	0,6	1,01	1,3	1,01	1,3	1,01	1,9	1,01	1,9	1,01	2,5	1,01	2,9	1,01	2,9	1,01
0,20	1,04	1,04	1,2	1,04	2,4	1,04	2,4	1,04	3,6	1,04	3,6	1,04	4,7	1,04	5,9	1,04	5,9	1,04
0,30	1,10	1,10	1,9	1,10	3,7	1,10	3,7	1,10	5,6	1,09	7,5	1,09	7,5	1,09	9,4	1,09	9,4	1,09
0,40	1,19	1,19	2,8	1,18	5,4	1,18	5,4	1,18	8,1	1,17	10,8	1,16	13,4	1,16	13,4	1,16	13,4	1,16
0,50	1,33	1,33	3,8	1,32	7,6	1,30	11,3	1,29	15,0	1,26	18,5	1,26	22,2	1,26	25,2	1,26	28,8	1,26
0,60	1,56	1,55	5,3	1,54	10,6	1,50	15,7	1,46	20,6	1,41	25,2	1,41	30,1	1,41	34,5	1,41	39,4	1,41
0,70	1,96	1,94	7,8	1,89	15,4	1,82	22,4	1,72	28,8	1,62	34,5	1,62	40,6	1,62	46,6	1,62	52,6	1,62
0,75	2,28	2,25	9,7	2,16	18,9	2,03	27,2	1,88	34,4	1,72	40,6	1,72	46,6	1,72	52,6	1,72	58,6	1,72
0,80	2,78	2,71	12,5	2,53	23,9	2,31	33,7	2,08	41,7	1,86	48,0	1,86	54,3	1,86	60,6	1,86	66,9	1,86
0,85	3,60	3,44	17,0	3,07	31,4	2,65	42,5	2,28	50,8	1,98	56,8	1,98	62,2	1,98	67,2	1,98	72,7	1,98
0,90	5,26	4,76	25,3	3,82	43,5	3,03	55,0	2,46	62,2	2,05	67,2	2,05	72,7	2,05	77,2	2,05	82,2	2,05
0,925	6,95	5,85	32,7	4,27	52,2	3,20	62,5	2,52	68,7	2,07	72,7	2,07	77,2	2,07	81,2	2,07	85,2	2,07
0,95	10,26	7,33	44,1	4,67	62,7	3,30	71,0	2,55	75,5	2,06	78,3	2,06	82,2	2,06	86,2	2,06	90,0	2,06
0,975	20,50	9,16	63,4	4,98	75,9	3,36	80,5	2,55	82,9	2,04	84,2	2,04	87,2	2,04	90,0	2,04	92,0	2,04
1,000	∞	10,00	90,0	5,00	90,0	3,33	90,0	2,50	90,0	2,00	90,0	2,00	90,0	2,00	90,0	2,00	90,0	2,00
1,025	19,76	8,73	116,5	4,73	104,0	3,20	99,4	2,42	97,1	1,94	95,6	1,94	97,1	1,94	98,6	1,94	100,0	1,94
1,05	9,76	6,80	134,8	4,28	116,5	3,02	108,3	2,31	103,9	1,87	101,1	1,87	103,9	1,87	106,2	1,87	108,3	1,87
1,075	6,45	5,31	145,3	3,77	125,8	2,80	115,7	2,19	109,8	1,79	106,2	1,79	109,8	1,79	112,9	1,79	115,7	1,79
1,10	4,76	4,22	152,3	3,29	133,7	2,55	122,3	2,05	115,5	1,70	110,8	1,70	115,5	1,70	119,3	1,70	122,3	1,70
1,15	3,11	2,94	160,3	2,53	144,8	2,17	133,0	1,78	125,4	1,52	119,3	1,52	125,4	1,52	129,3	1,52	133,0	1,52
1,20	2,27	2,19	164,8	1,99	151,4	1,76	140,6	1,54	132,5	1,36	126,3	1,36	132,5	1,36	136,7	1,36	140,6	1,36
1,25	1,78	1,74	167,4	1,63	156,0	1,48	146,3	1,33	138,2	1,19	132,0	1,19	138,2	1,19	142,0	1,19	146,3	1,19
1,30	1,45	1,42	169,3	1,36	159,4	1,26	150,5	1,16	143,0	1,06	136,7	1,06	143,0	1,06	147,0	1,06	150,5	1,06
1,40	1,04	1,03	171,8	1,00	163,9	0,96	156,4	0,90	149,7	0,84	143,8	0,84	149,7	0,84	153,8	0,84	156,4	0,84
1,50	0,80	0,80	173,2	0,77	166,5	0,75	160,2	0,72	154,3	0,69	149,0	0,69	154,3	0,69	157,0	0,69	160,2	0,69
1,75	0,49	0,48	175,1	0,48	171,5	0,47	166,7	0,45	161,3	0,45	157,0	0,45	161,3	0,45	161,6	0,45	166,7	0,45
2,00	0,33	0,33	176,2	0,33	172,4	0,33	168,7	0,32	165,0	0,32	161,6	0,32	165,0	0,32	166,6	0,32	172,4	0,32
2,50	0,19	0,19	177,2	0,19	174,5	0,19	171,9	0,19	169,2	0,18	166,6	0,18	169,2	0,18	170,0	0,18	174,5	0,18
3,00	0,125	0,125	177,8	0,125	175,7	0,123	173,5	0,123	171,5	0,123	169,5	0,123	171,5	0,123	172,3	0,123	175,7	0,123
4,00	0,067	0,067	178,5	0,067	177,0	0,066	175,5	0,065	174,0	0,065	172,3	0,065	174,0	0,065	174,0	0,065	177,0	0,065
5,00	0,042	0,042	178,9	0,042	177,6	0,042	176,4	0,042	175,3	0,042	174,0	0,042	175,3	0,042	174,0	0,042	177,6	0,042

§ 3.115. Oscilații forțate fără rezistență

Dacă rezistența lipsește, ecuația (3.482) ia forma

$$a\ddot{q} + cq = Q(t), \quad (3.495)$$

iar soluția ei (3.483) pentru valorile inițiale q_0 și \dot{q}_0 este dată de formula

$$q = q_0 \cos kt + \frac{\dot{q}_0}{k} \sin kt + \frac{k}{ca} \int_0^t Q(\xi) \sin k(t - \xi) d\xi, \quad (3.496)$$

unde, ca și înainte, $k^2 = \frac{c}{a}$. Pentru valorile inițiale $q_0 = \dot{q}_0 = 0$ și pentru $Q(0) = 0$ oscilațiile forțate se determină cu formula

$$q = \frac{Q(t)}{ca} - \frac{1}{ca} \int_0^t Q'(\xi) \cos k(t - \xi) d\xi. \quad (3.497)$$

În cazul forței armonice generalizate $Q = H \sin(pt + \delta)$, pentru $k \neq p$ formula (3.486) devine

$$q = q_0 \cos kt + \frac{\dot{q}_0}{k} \sin kt - \frac{H}{a(k^2 - p^2)} (\sin \delta \cos kt + \frac{p}{k} \cos \delta \sin kt) + \frac{H}{a(k^2 - p^2)} \sin(pt + \delta). \quad (3.498)$$

Ultimul termen reprezintă oscilații armonice forțate cu amplitudinea $A = \left| \frac{H}{a(k^2 - p^2)} \right|$. Dacă $k > p$, atunci $pt + \delta$ a acestor oscilații coincide cu faza forței Q . Dacă, însă, $k < p$, oscilațiile forțate se exprimă cu formula

$$Q = A \sin(pt + \delta + \pi),$$

adică faza lor este înaintea fazei forței Q cu π . În cazul rezonanței, adică pentru $p = q$, formula (3.486) se înlocuiește cu următoarea:

$$q = q_0 \cos kt + \frac{\dot{q}_0}{k} \sin kt + \frac{H}{2ak^2} [\cos \delta \sin kt - kt \cos(kt + \delta)]. \quad (3.499)$$

Termenul $-\frac{H}{2ak} t \cos(kt + \delta)$ determină așa numitele *oscilații forțate divergente*, deoarece, pentru valori mari ale lui t el poate deveni, teoretic, oricât de mare, însă fizic aceasta nu înseamnă că la mișcarea sistemului parametrul q obține efectiv asemenea valori, deoarece la o abatere însemnată a sistemului nu se mai poate utiliza forma aproximativă a ecuației lui Lagrange.

În cazul în care forța generalizată $Q(t)$ este o funcție periodică de timp cu perioada $T = \frac{2\pi}{p}$, ea poate fi în general reprezentată printr-o serie trigonometrică de forma

$$Q(t) = \frac{1}{2} a_0 + \sum_{s=1}^{\infty} H_s \sin(spt + \delta_s). \quad (3.500)$$

Pentru $a_0 = 0$, notînd $\frac{H_s}{a} = h_s$ soluția ecuației (3.495) se obține în forma

$$q = q_0 \cos kt + \frac{\dot{q}_0}{k} \sin kt - \sum_{s=0}^{\infty} \frac{h_s}{k^2 - s^2 p^2} \left(\sin \delta_s \cos kt + \right. \\ \left. + \frac{p}{k} \cos \delta_s \sin kt \right) + \sum_{s=1}^{\infty} \frac{h_s}{k^2 - s^2 p^2} \sin (spt + \delta_s), \quad (3.501)$$

dacă $k \neq np$ ($n = 1, 2, \dots$).

Ultima sumă reprezintă o oscilație forțată, care se obține prin suprapunerea seriei de oscilații armonice. Pentru $k = np$ are loc rezonanța de ordinul n , căreia îi corespunde oscilația divergentă, determinată de formula

$$q = -\frac{h_n t}{2k} \cos (kt + \delta_n)$$

3.13

Ciocniri

§ 3.116. Percuții

Se numește ciocnire interacțiunea de scurtă durată a unor corpuri, interacțiune care produce într-un interval de timp foarte mic o variație foarte mare a vitezelor punctelor corpurilor. Forța care acționează în decursul ciocnirii și care are o mărime atît de mare încît variația impulsului pentru intervalul de timp foarte mic al ciocnirii are o mărime finită, se numește *forță de ciocnire*. Teoria matematică a ciocnirilor constă în faptul că se neglijează deplasările punctelor în timpul ciocnirii, iar variația impulsului în timpul ciocnirii se consideră ca un vector aplicat punctului în acea poziție, pe care o păstrează în decursul ciocnirii. O astfel de variație de impuls se numește *percuție*. Dacă intervalul de timp, în decursul căruia are loc ciocnirea, este limitat de momentele t și $t + \tau$, unde τ este foarte mic, percuția se determină în funcție de forța de ciocnire \vec{F} cu ajutorul formulei

$$\vec{S} = \int_t^{t+\tau} \vec{F} dt. \quad (3.502)$$

Invers, valoarea medie a forței de ciocnire se determină cu formula

$$\vec{F}_m = \frac{\vec{S}}{\tau}. \quad (3.503)$$

Dacă în afară de forța de percuție, asupra punctului mai acționează și alte forțe de mărime finită, ele pot fi neglijate în studiul ciocnirii și formula (3.232), pentru variația impulsului unui punct la ciocnire, ia forma

$$\vec{mv}(t + \tau) - \vec{mv}(t) = \vec{S}. \quad (3.504)$$

Vectorii $\vec{v}(t)$ și $\vec{v}(t + \tau)$ se aplică în același punct geometric, corespunzător poziției punctului material în timpul ciocnirii, și se numesc *viteza punctului material înainte de ciocnire și respectiv după ciocnire*. Dacă este vorba de un sistem material, în general o variație bruscă a vitezei unor puncte trebuie să fie urmată de o variație de asemenea bruscă a vitezelor altor puncte, adică în general toate punctele sistemului suferă simultan ciocniri. Forțele de ciocnire pot fi în acest caz atât exterioare cât și interioare, și atât date, cât și reacțiuni ale legăturilor. În mod corespunzător percuțiile pot fi exterioare și interioare, date și de reacțiune. Conform proprietății forțelor interioare, suma percuțiilor interioare este totdeauna egală cu zero și formula (3.326), pentru variația impulsului sistemului în timpul ciocnirii, ia forma

$$\vec{H}(t + \tau) - \vec{H}(t) = \sum_i \vec{S}_i^{(e)}, \quad (3.505)$$

unde $\vec{S}_i^{(e)}$ este percuția exterioară, aplicată punctului A_i al sistemului. Pentru variația vitezei \vec{v}_C a centrului de inerție al sistemului avem formula

$$m\vec{v}_C(t + \tau) - m\vec{v}_C(t) = \sum_i \vec{S}_i^{(e)}, \quad (3.506)$$

unde m este masa sistemului. În absența percuțiilor exterioare impulsul sistemului și viteza centrului său de inerție nu variază.

Deoarece raza vectorie \vec{r} a unui punct se consideră neschimbată în timpul ciocnirii, formula (3.504) pentru variația momentului cinetic devine în cazul ciocnirii

$$\vec{r} \times m\vec{v}(t + \tau) - \vec{r} \times m\vec{v}(t) = \vec{r} \times \vec{S}. \quad (3.507)$$

Produsul vectorial $\vec{r} \times \vec{S}$ se numește *momentul percuției* în raport cu originea razei vectorie, și se notează cu $\vec{M}_O(\vec{S})$. Acest moment se exprimă în funcție de forța \vec{F} de ciocnire cu ajutorul formulei

$$\vec{M}_O(\vec{S}) = \vec{r} \times \vec{S} = \int_t^{t+\tau} \vec{r} \times \vec{F} dt. \quad (3.508)$$

De aici, pentru suma momentelor impulsurilor interioare instantanee se obține formula

$$\sum_i \vec{r}_i \times \vec{S}_i^{(i)} = \int_t^{t+\tau} \vec{M}_O(\vec{F}_i^{(i)}) dt = 0. \quad (3.509)$$

Prin urmare, pentru variația momentului cinetic al sistemului la ciocnire avem formula

$$\vec{K}_O(t + \tau) - \vec{K}_O(t) = \sum_i \vec{r} \times \vec{S}_i^{(e)} = \sum_i \vec{M}_O(\vec{S}_i^{(e)}). \quad (3.510)$$

Pentru momentele cinetice axiale în cazul ciocnirii avem formula

$$K_x(t + \tau) - K_x(t) = \sum_i M_x(\vec{S}_i^{(e)}), \quad (3.511)$$

unde $M_x(\vec{S}_i^{(e)})$ este proiecția pe axa Ox a momentului percuției exterioare. Lucrul mecanic al forței de ciocnire în timpul ciocnirii are mărime finită și se exprimă cu formula lui Kelvin

$$L = \vec{S} \cdot \frac{\vec{v}(t + \tau) + \vec{v}(t)}{2}. \quad (3.512)$$

§ 3.117. Ciocnirea unui punct cu o suprafață netedă fixă

Dacă o particulă se ciocnește de o suprafață netedă, avînd înainte de ciocnire viteza $\vec{v}(t) = \vec{v}_1$, aceasta făcînd cu normala la suprafață unghiul α , și dacă punctul după ciocnire se îndepărtează de suprafață cu viteza $\vec{v}(t + \tau) = \vec{v}_2$ care formează cu normala unghiul β , atunci percuția \vec{S} este îndreptată după normală la suprafață. Proiecțiile vitezelor \vec{v}_1 și \vec{v}_2 pe tangenta la suprafață sînt egale între ele, iar valorile absolute ale proiecțiilor lor pe normală se găsesc într-un raport constant care depinde doar de materialul particulei și al suprafeței

$$\frac{|v_{2n}|}{|v_{1n}|} = k. \quad (3.513)$$

Acest coeficient k are valori cuprinse între limitele $0 < k < 1$ și se numește *coeficient de restituire*. Pentru unele materiale k este sau foarte mic, sau foarte apropiat de unitate. În primul caz se consideră teoretic $k = 0$ și ciocnirea se numește *plastică*; în al doilea caz se

consideră $k = 1$ și ciocnirea se numește *perfect elastică*. Unghiurile α și β satisfac condiția

$$\frac{\operatorname{tg} \alpha}{\operatorname{tg} \beta} = k. \quad (3.514)$$

Percuția, în funcție de viteza \vec{v}_1 înainte de ciocnire și unghiul de incidență α , poate fi determinată cu formula

$$\vec{S} = m\vec{v}_1 (1 + k) \cos \alpha, \quad (3.515)$$

unde m este masa punctului.

§ 3.118. Ciocnirea normală centrală a două corpuri

Dacă două corpuri cu masele m și m' au o mișcare de translație cu vitezele paralele \vec{v}_1 și \vec{v}_1' și la un anumit moment ajung în contact unul cu altul într-un punct situat pe aceeași dreaptă cu centrele de greutate C și C' ale corpurilor, dreapta fiind paralelă cu vitezele \vec{v}_1 și \vec{v}_1' , și normală la suprafețele în contact, această ciocnire a corpurilor se numește *ciocnire normală centrală*. În punctul de contact al corpurilor apar reacțiuni de ciocnire. Mișcarea corpurilor după ciocnire rămâne de translație, iar vitezele lor \vec{v}_2 și \vec{v}_2' sînt îndreptate după aceeași dreaptă ca și înainte de ciocnire, însă își modifică mărimea. Vitezele relative $\vec{v}_2 - \vec{v}_2'$ și $\vec{v}_1 - \vec{v}_1'$ sînt supuse legii lui Newton

$$\vec{v}_2 - \vec{v}_2' = -k(\vec{v}_1 - \vec{v}_1'), \quad (3.516)$$

unde k este coeficientul de restituire. Proiecțiile v_1 , v_1' , v_2 , v_2' ale vitezelor corpurilor înainte și după ciocnire pe dreapta C_1C_2 , care unește centrele de greutate ale corpurilor, sînt legate prin ecuațiile

$$v_2 = \frac{(m - km')v_1 + m'(1 + k)v_1'}{m + m'}, \quad v_2' = \frac{(m' - km)v_1' + m(1 + k)v_1}{m + m'}. \quad (3.517)$$

Percuția \vec{S} aplicată corpului de masă m are mărimea scalară

$$S = (1 + k) \frac{mm'}{m + m'} (v_1' - v_1). \quad (3.518)$$

Deoarece în acest caz nu există forțe exterioare de ciocnire, viteza \vec{v}_G a centrului de inerție al întregului sistem nu se modifică în timpul ciocnirii și se determină cu formula

$$\vec{v}_G = \frac{m\vec{v}_1 + m'\vec{v}_1'}{m + m'} = \frac{m\vec{v}_2 + m'\vec{v}_2'}{m + m'}. \quad (3.519)$$

Vitezele după ciocnire, în funcție de proiecția c a vitezei \vec{v}_C pe dreapta C_1C_2 , se exprimă cu formulele

$$\left. \begin{aligned} v_2 &= c + k(c - v_1), \\ v'_2 &= c + k(c - v'_1). \end{aligned} \right\} \quad (3.520)$$

Pentru cazul $k = 0$, numit *ciocnire perfect plastică*, formulele devin

$$\vec{v}_2 = \vec{v}'_2 = \vec{v}_C, \quad (3.521)$$

adică după ciocnire corpurile se mișcă ca un singur corp rigid. Pentru cazul $k = 1$, numit *ciocnire perfect elastică*, formulele capătă forma

$$v_2 = \frac{(m - m')v_1 + 2m'v'_1}{m + m'}, \quad v'_2 = \frac{(m' - m)v'_1 + 2mv_1}{m + m'}. \quad (3.522)$$

§ 3.119. Acțiunea unei ciocniri asupra unui corp care se rotește în jurul unei axe fixe

Din cauza ciocnirii aplicate unui corp care se rotește în jurul unei axe fixe O_1O_2 , se schimbă brusc viteza unghiulară și apar reacțiuni de ciocnire în punctele fixate ale axei.

Variația $\omega_2 - \omega_1$ a valorii algebrice a vitezei unghiulare se determină prin percuțiile exterioare date $\vec{S}_k^{(e)}$ cu formula

$$J_{O_1O_2}(\omega_2 - \omega_1) = \sum_{k=1}^n M_{O_1O_2}(\vec{S}_k^{(e)}). \quad (3.523)$$

Dacă axa de rotație se ia drept axă Oz , cotele punctelor fixate O_1 și O_2 se notează cu z_1 și z_2 și dacă se aplică corpului în punctul $M(s, 0, 0)$ o percuție dată \vec{S} , atunci percuțiile de reacțiune S_1 și S_2 , care apar în punctele fixe, se determină din ecuațiile

$$\left. \begin{aligned} -my_C(\omega_2 - \omega_1) &= S_x + S_{1x} + S_{2x}, \\ mx_C(\omega_2 - \omega_1) &= S_y + S_{1y} + S_{2y}, \\ 0 &= S_z + S_{1z} + S_{2z}, \\ J_{xz}(\omega_2 - \omega_1) &= z_1S_{1y} + z_2S_{2y}, \\ J_{yz}(\omega_2 - \omega_1) &= sS_z - z_1S_{1x} - z_2S_{2x}, \end{aligned} \right\} \quad (3.524)$$

unde x_C, y_C sînt coordonatele centrului de greutate al corpului, J_{xz} și J_{yz} sînt produsele de inerție. De aici rezultă că percuțiile de reacțiune vor fi egale cu zero, adică axa nu va suporta ciocniri, numai

în următoarele condiții: percuția dată \vec{S} trebuie să fie îndreptată normal pe axa de rotație și pe planul dus prin axa de rotație și prin centrul de greutate al corpului; axa de rotație trebuie să fie axa

principală de inerție în punctul ei de intersecție cu planul dus perpendicular pe axa de rotație prin punctul de aplicație al percuției date \vec{S} și, în sfârșit, poziția punctului de aplicație a impulsului instantaneu dat trebuie să fie determinată de distanța

$$s = \frac{J_z}{mx_G}. \quad (3.525)$$

Punctul M corespunzător cazului când nu au loc percuții de reacțiune, se numește *centru de ciocnire* sau centrul percuțiilor. În cazul când corpul în rotație este o placă plană subțire și axa de rotație este situată în planul acestei plăci, pentru ca să nu apară percuții de reacțiune, percuția dată trebuie să fie normală pe planul plăcii și aplicată în centrul de oscilație corespunzător axei de rotație.

§ 3.120. Variația energiei cinetice la ciocnire datorită introducerii unor legături ideale de durată

Uneori cauza ciocnirii este faptul că sistemului i se impun în momentul ciocnirii legături noi care se păstrează în mișcare după ciocnire; asemenea *legături* se numesc *de durată*. Dacă nu există alte impulsuri instantanee, în afară de cele de reacțiune, care apar din cauza impunerii legăturilor de durată, și dacă legăturile impuse sînt ideale pentru mișcarea după ciocnire, are loc o pierdere de energie cinetică a sistemului, exprimată cu formula lui Carnot)

$$E_{c1} - E_{c2} = \sum_i \frac{m_i u_i^2}{2}, \quad (3.526)$$

în care E_{c1} și E_{c2} sînt energiile cinetice înainte și după ciocnire, iar u_i este așa numita *viteză pierdută*, adică diferența dintre vitezele punctului, înainte și după ciocnire

$$\vec{u}_i = \vec{v}_i(t) - \vec{v}_i(t + \tau).$$

§ 3.121. Variația energiei cinetice la ciocnirea directă centrală a corpurilor

Dacă două corpuri de mase m și m' se ciocnesc normal și central cu coeficientul de restituire k , atunci pierderea de energie cinetică se determină în funcție de vitezele v_1 și v'_1 înainte de ciocnire cu formula

$$E_{c1} - E_{c2} = \frac{1 - k^2}{2} \frac{mm'}{m + m'} (v_1 - v'_1)^2, \quad (3.527)$$

iar în funcție de vitezele v_2 și v'_2 după ciocnire, cu formula

$$E_{c1} - E_{c2} = \frac{1 - k^2}{2k^2} \frac{mm'}{m + m'} (v_2 - v'_2)^2. \quad (3.528)$$

Prin analogie cu formula lui Carnot, pierderea de energie se poate exprima cu formula

$$E_{c1} - E_{c2} = \frac{1 - k}{1 + k} \left[\frac{m}{2} (v_1 - v_2)^2 + \frac{m'}{2} (v'_1 - v'_2)^2 \right]. \quad (3.529)$$

În cazul ciocnirii perfect elastice $k = 1$ și $E_{c1} = E_{c2}$, adică nu are loc pierderea de energie cinetică. La ciocnire perfect plastică, $k = 0$ și pierderea de energie cinetică (adică trecerea ei în alte forme) este maximă

$$E_{c1} - E_{c2} = \frac{m}{2} (v_1 - v_2)^2 + \frac{m'}{2} (v'_1 - v'_2)^2. \quad (3.530)$$



Exhibition in 1911

at the University of Chicago

Rezistența materialelor

4

Notatii

- A — suprafața secțiunii transversale.
 A_x, B_x, C_x, D_x — funcțiile hiperbolo-circulare pentru grinzi pe teren elastic.
 B — bimoment [$\text{kgf} \cdot \text{cm}^2$].
 b — lățimea secțiunii transversale.
 C — rigiditatea sistemului [$\text{kgf} \cdot \text{cm}^2$].
 C_c — coeficient de siguranță față de limita de curgere.
 C_s — coeficient de siguranță (sau stabilitate).
 c_c — coeficient de supraîncărcare pentru o sarcină constantă.
 c_r — coeficient de siguranță față de rezistența la rupere.
 c_t — coeficient de supraîncărcare pentru o sarcină variabilă.
 c_v — rigiditatea reazimului [kgf/cm].
 c_φ — rigiditatea încastrării [$\text{kgf} \cdot \text{cm}$].
 \bar{D}_σ — tensorul (tensiunii) deviator.
 d — diametrul bulonului, nitului.
 E — modulul de elasticitate (al lui Young) [kgf/cm^2].
 E_t — modulul tangent [kgf/cm^2].
 El — rigiditatea grinzii la încovoiere [$\text{kgf} \cdot \text{cm}^2$].
 f — săgeața la încovoiere, deplasarea.
 G — modul de elasticitate transversal [kgf/cm^2], greutatea corpului [kgf].
 g — accelerația gravitației.
 H — forța de întindere în fir; împingerea unui arc.
 h — înălțimea secțiunii transversale; înălțimea cordoului de sudură (cateta).
 I_d — momentul fictiv de inerție al secțiunii la răsucire [cm^4].
 I_p — momentul de inerție polar al suprafeței secțiunii [cm^4].
 I_x, I_y — momentele de inerție axiale ale secțiunii față de axele Oz, Oy [cm^4].

- σ_v — amplitudinea tensiunii.
 $\sigma_x, \sigma_y, \sigma_z$ — tensiunile normale pe elemente de suprafață perpendiculare pe axele Ox, Oy, Oz .
 σ_v — tensiunea normală pe un element de suprafață cu normala v .
 $\sigma_1, \sigma_2, \sigma_3$ — tensiunile principale.
 $\sigma_I, \sigma_{II}, \sigma_{III}$ — invariantii tensorului tensiunilor.
 τ — tensiunea tangențială [kgf/cm^2].
 τ_a — rezistența tangențială admisibilă.
 $\tau_i = \tau_{oct}$ — tensiunea tangențială octaedrică, intensitatea tensiunii tangențiale.
 τ_{xy} — tensiunea tangențială îndreptată după axa Ox , pe un element de suprafață perpendicular pe axa Oy .
 τ_v — tensiunea tangențială pe un element de suprafață cu normala v .
 $\tau_{12}, \tau_{23}, \tau_{31}$ — cele mai mari tensiuni tangențiale.

4.1

Noțiuni generale asupra tensiunilor și deformațiilor

§ 4.1 Starea de tensiune

Dacă în jurul unui punct oarecare (x, y, z) al corpului se consideră un paralelipiped dreptunghic infinit mic (fig. 4.1), atunci acțiunea elementelor vecine ale corpului trebuie reprezentată printr-un sistem de nouă componente ale tensiunii: trei tensiuni normale σ și șase tangențiale τ , formînd împreună *tensorul*

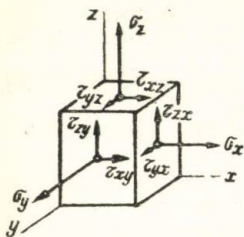


Fig. 4.1.

$$T_{\sigma} = \begin{Bmatrix} \sigma_x & \tau_{xy} & \tau_{xz} \\ \tau_{yx} & \sigma_y & \tau_{yz} \\ \tau_{zx} & \tau_{zy} & \sigma_z \end{Bmatrix}. \quad (4.1)$$

Dimensiunile tensiunii sînt forța împărțită la suprafață, și se măsoară în kgf/cm^2 .

Problema determinării componentelor tensorului este static nedeterminată (nouă necunoscute, față de șase ecuații de echilibru). Tensorul (4.1) este simetric, deoarece tensiunile tangențiale sînt supuse legii dualității

$$\tau_{xy} = \tau_{yx}, \quad \tau_{xz} = \tau_{zx}, \quad \tau_{yz} = \tau_{zy}, \quad (4.2)$$

pentru a cărei demonstrare se folosesc ecuațiile de echilibru

$$\sum M_x = 0, \quad \sum M_y = 0 \quad \text{și} \quad \sum M_z = 0.$$

Celelalte trei ecuații, $\sum X = 0$, $\sum Y = 0$ și $\sum Z = 0$, conduc la stabilirea legăturii dintre componentele tensiunii și forțele masice (greutatea paralelipipedului și forțele de inerție ale lui).

Între componentele tensorului (4.1) există diferite relații invariante, dintre care se citează

$$\left. \begin{aligned} \sigma_I &= \sigma_x + \sigma_y + \sigma_z = \sigma_1 + \sigma_2 + \sigma_3 = \sigma_0 = \text{const}, \\ \sigma_{II} &= \sigma_x \sigma_y + \sigma_y \sigma_z + \sigma_z \sigma_x - \tau_{xy}^2 - \tau_{yz}^2 - \tau_{zx}^2 = \\ &= \sigma_1 \sigma_2 + \sigma_2 \sigma_3 + \sigma_3 \sigma_1 = \text{const}, \\ \sigma_{III} &= \sigma_x \sigma_y \sigma_z + 2\tau_{xy}\tau_{yz}\tau_{zx} - \sigma_x \tau_{yz}^2 - \sigma_y \tau_{zx}^2 - \\ &- \sigma_z \tau_{xy}^2 = \sigma_1 \sigma_2 \sigma_3 = \text{const}. \end{aligned} \right\} \quad (4.3)$$

Aici σ_0 este *tensiunea deformației de volum*, iar $\sigma_1 > \sigma_2 > \sigma_3$ sînt *tensiunile principale*, care satisfac ecuația

$$\sigma^3 - \sigma^2 \sigma_I + \sigma \sigma_{II} - \sigma_{III} = 0, \quad (4.4)$$

care se obține din condiția ca pe suprafețele de acționare ale tensiunilor principale σ , tensiunile tangențiale τ să fie nule. *Tensiunile tangențiale maxime sînt*

$$\begin{aligned} \tau_{12} &= 0,5 (\sigma_1 - \sigma_2), \quad \tau_{23} = 0,5 (\sigma_2 - \sigma_3), \\ \tau_{13} &= 0,5 (\sigma_1 - \sigma_3). \end{aligned} \quad (4.5)$$

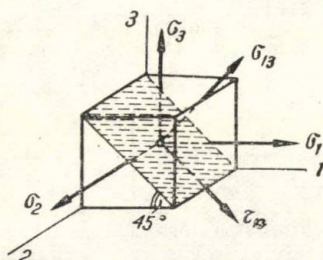


Fig. 4.2.

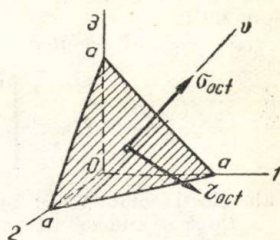


Fig. 4.3.

Ele au loc pe elementele de suprafață înclinată față de suprafețele principale (1-2, 2-3, 1-3) cu $\pm 45^\circ$; dintre tensiunile tangențiale, cele mai mari sînt τ_{13} . În afară de tensiunile (4.5), pe aceleași elemente de suprafață acționează tensiunile normale

$$\sigma_{12} = 0,5 (\sigma_1 + \sigma_2), \quad \sigma_{23} = 0,5 (\sigma_2 + \sigma_3), \quad \sigma_{13} = 0,5 (\sigma_1 + \sigma_3). \quad (4.6)$$

În fig. 4.2. sînt indicate direcțiile tensiunilor τ_{13} și σ_{13} .

Pe așa-numitele *suprafețe octaedrice*, egal înclinate față de cele trei plane principale (2) (fig. 4.3), acționează tensiunea normală medie

$$\sigma_{oct} = \sigma_m = \sigma_0 : 3 = (\sigma_1 + \sigma_2 + \sigma_3) : 3 \quad (4.7)$$

și tensiunea tangențială octaedrică

$$\begin{aligned}\tau_{oct} = \tau_i &= \frac{1}{3} \sqrt{(\sigma_1 - \sigma_2)^2 + (\sigma_2 - \sigma_3)^2 + (\sigma_1 - \sigma_3)^2} = \\ &= \frac{1}{3} \sqrt{(\sigma_x - \sigma_y)^2 + (\sigma_y - \sigma_z)^2 + (\sigma_z - \sigma_x)^2 + 6(\tau_{xy}^2 + \tau_{yz}^2 + \tau_{xz}^2)} = \\ &= \frac{2}{3} \sqrt{\tau_{12}^2 + \tau_{23}^2 + \tau_{13}^2}.\end{aligned}\quad (4.8)$$

Se numește *intensitate a tensiunii*, σ_i , tensiunea redusă (sau de calcul), determinată prin teoria energiei de schimbare a formei; σ_i este legată de τ_i prin formula

$$\sigma_i = \frac{3}{\sqrt{2}} \tau_i. \quad (4.9)$$

Tensorul tensiunii (4.1) poate fi descompus în componente:

a) *tensorul de volum* (sau sferic)

$$T_{\sigma}^0 = \begin{Bmatrix} \sigma_m & 0 & 0 \\ 0 & \sigma_m & 0 \\ 0 & 0 & \sigma_m \end{Bmatrix}, \quad (4.10)$$

ale cărui componente produc numai schimbarea volumului paralelipipedului;

b) *tensorul deviator*

$$T_{\sigma}^{\varphi} = D_{\sigma} = \begin{Bmatrix} \sigma_x - \sigma_m & \tau_{xy} & \tau_{xz} \\ \tau_{yx} & \sigma_y - \sigma_m & \tau_{yz} \\ \tau_{zx} & \tau_{zy} & \sigma_z - \sigma_m \end{Bmatrix}, \quad (4.11)$$

ale cărui componente produc numai schimbarea formei.

Dacă se cunoaște tensorul (4.1) și se cere să se găsească tensiunea normală σ_v și cea tangențială τ_v pe un *element de suprafață înclinat*, ale cărui cosinusi directori față de axele Ox , Oy , Oz sînt l , m și n (iar $l^2 + m^2 + n^2 = 1$), se utilizează formulele

$$\sigma_v = \sigma_x l^2 + \sigma_y m^2 + \sigma_z n^2 + 2(\tau_{xy} lm + \tau_{yz} mn + \tau_{zx} nl), \quad (4.12)$$

$$\tau_v = \sqrt{p^2 - \sigma_v^2}, \quad (4.13)$$

$$p^2 = p_{xv}^2 + p_{yv}^2 + p_{zv}^2, \quad (4.14)$$

$$\left. \begin{aligned} p_{xv} &= \sigma_x l + \tau_{xy} m + \tau_{xz} n, \\ p_{yv} &= \tau_{yx} l + \sigma_y m + \tau_{yz} n, \\ p_{zv} &= \tau_{zx} l + \tau_{zy} m + \sigma_z n. \end{aligned} \right\} \quad (4.15)$$

Cosinusurile directe ale primului plan principal se găsesc, rezolvind sistemul format din (4.14) și două ecuații din grupa (4.15), înlocuind

$$p = \sigma_1, p_{xy} = \sigma_1 l, p_{yz} = \sigma_1 m, p_{zx} = \sigma_1 n.$$

Pentru problema plană, când tensiunile acționează numai în planul xOy , în toate formulele precedente se admite că

$$\sigma_z = \tau_{zx} = \tau_{zy} = 0, \quad n = 0.$$

(prin urmare, $l^2 + m^2 = 1$); una din cele trei tensiuni principale este nulă (admitem că $\sigma_3 = 0$); atunci, din (4.4) se găsește

$$\sigma_{13} = \frac{\sigma_x + \sigma_y}{2} \pm \sqrt{\left(\frac{\sigma_x - \sigma_y}{2}\right)^2 + \tau_{xy}^2}. \quad (4.16)$$

Înclinarea lui $\sigma_1 = \sigma_{\max}$ față de axa Ox este determinată de unghiul α , iar

$$\operatorname{tg} 2\alpha = \frac{2\tau_{xy}}{\sigma_x - \sigma_y}, \quad \operatorname{tg} \alpha = -\frac{\tau_{xy}}{\sigma_{\max} - \sigma_y} = -\frac{\tau_{xy}}{\sigma_x - \sigma_{\min}}. \quad (4.16')$$

§ 4.2. Deformații

Deformația unui paralelipiped dreptunghic infinit mic (fig. 4.1) se reprezintă prin cele șase componente ale tensorului deformațiilor

$$T_\epsilon = \begin{Bmatrix} \epsilon_x & 0,5\gamma_{xy} & 0,5\gamma_{xz} \\ 0,5\gamma_{yx} & \epsilon_y & 0,5\gamma_{yz} \\ 0,5\gamma_{zx} & 0,5\gamma_{zy} & \epsilon_z \end{Bmatrix}, \quad (4.17)$$

în care ϵ sînt alungirile specifice (fig. 4.4, a), iar γ sînt alunecările specifice (fig. 4.4, b). Tensorul (4.17), ca și (4.1), este simetric, deoarece $\gamma_{xy} = \gamma_{yx}$, $\gamma_{yz} = \gamma_{zy}$, și $\gamma_{zx} = \gamma_{xz}$.

Invarianții tensorului deformațiilor se construiesc analog cu (4.3)

$$\left. \begin{aligned} \epsilon_I &= \epsilon_x + \epsilon_y + \epsilon_z = \epsilon_v; \\ \epsilon_{II} &= \epsilon_x\epsilon_y + \epsilon_y\epsilon_z + \epsilon_z\epsilon_x - 0,25(\gamma_{xy}^2 + \gamma_{yz}^2 + \gamma_{zx}^2) = \epsilon_1\epsilon_2 + \epsilon_2\epsilon_3 + \epsilon_3\epsilon_1; \\ \epsilon_{III} &= \epsilon_x\epsilon_y\epsilon_z + 0,25\gamma_{xy}\gamma_{yz}\gamma_{zx} - 0,25(\epsilon_x\gamma_{yz}^2 + \epsilon_y\gamma_{zx}^2 + \epsilon_z\gamma_{xy}^2) = \epsilon_1\epsilon_2\epsilon_3. \end{aligned} \right\} \quad (4.18)$$

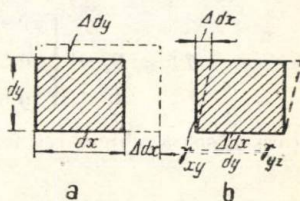


Fig. 4.4.

Aici ϵ_v este deformația volumică specifică, $\epsilon_1 > \epsilon_2 > \epsilon_3$ sînt alungirile specifice principale, determinate din ecuația

$$\epsilon^3 - \epsilon^2\epsilon_I + \epsilon\epsilon_{II} - \epsilon_{III} = 0. \quad (4.19)$$

Fetele unui cub, ale cărui muchii sînt orientate pe direcțiile ϵ_1 , ϵ_2 și ϵ_3 , nu suferă deformații unghiulare. *Lunecările maxime* se determină cu formulele

$$\gamma_{12} = \epsilon_1 - \epsilon_2, \quad \gamma_{23} = \epsilon_2 - \epsilon_3, \quad \gamma_{13} = \epsilon_1 - \epsilon_3 \quad (4.20)$$

și ele au loc pe elementele de suprafață, care se obțin prin rotația cu $\pm 45^\circ$ a două din cele trei perechi de fețe ale cubului direcțiilor principale, păstrînd fixă o a treia pereche.

În direcția normală la suprafața octaedrică, *alungirea specifică* octaedrică este

$$\epsilon_{oct} = \epsilon_m = \epsilon_0 : 3 = (\epsilon_1 + \epsilon_2 + \epsilon_3) : 3, \quad (4.21)$$

iar lunecarea, numită *lunecare octaedrică*, este

$$\begin{aligned} \gamma_{oct} = \gamma_i &= \frac{2}{3} \sqrt{(\epsilon_1 - \epsilon_2)^2 + (\epsilon_2 - \epsilon_3)^2 + (\epsilon_1 - \epsilon_3)^2} = \\ &= \frac{2}{3} \sqrt{(\epsilon_x - \epsilon_y)^2 + (\epsilon_y - \epsilon_z)^2 + (\epsilon_z - \epsilon_x)^2 + 1,5 (\gamma_{xy}^2 + \gamma_{yz}^2 + \gamma_{zx}^2)}. \end{aligned} \quad (4.22)$$

Intensitatea deformației ϵ_i este proporțională cu γ_i

$$\epsilon_i = \gamma_i / \sqrt{2}. \quad (4.23)$$

Tensorul deformației (4.17) poate fi descompus în componente

a) *tensorul de volum* (sau sferic)

$$T^0 = \begin{Bmatrix} \epsilon_m & 0 & 0 \\ 0 & \epsilon_m & 0 \\ 0 & 0 & \epsilon_m \end{Bmatrix}, \quad (4.24)$$

care măsoară *deformația izotropă* (schimbarea uniformă a volumului);

b) *tensorul deviator*

$$T_i^{\varphi} = D_i = \begin{Bmatrix} \epsilon_x - \epsilon_m & 0,5\gamma_{xy} & 0,5\gamma_{xz} \\ 0,5\gamma_{yx} & \epsilon_y - \epsilon_m & 0,5\gamma_{yz} \\ 0,5\gamma_{zx} & 0,5\gamma_{zy} & \epsilon_z - \epsilon_m \end{Bmatrix} \quad (4.25)$$

care măsoară schimbarea formei paralelipipedului.

§ 4.3. Legea lui Hooke

Ne vom limita la un corp elastic izotrop, care are două *module de elasticitate*, E și G (tabela 4.1), legate între ele prin *coeficientul lui Poisson* μ .

$$E = 2G(1 + \mu). \quad (4.26)$$

T a b e l a 4.1. Modulele E și G (kg/cm^2) și coeficientul lui Poisson μ

Materiale	$E \cdot 10^6$	$G \cdot 10^5$	μ	
Oțel	1,9–2,2	7,8–8,2	0,25–0,35	Valorile mai mari
Cabluri de oțel	1,3–1,8	—	—	
Fontă (compresiune)	0,8–1,2	2,9–4	0,18–0,25	
Cupru	0,8–1,1*)	3,1–3,8	0,33	*) pentru cupru roșu
Alamă	1	3,6	0,36	
Bronz	0,9–1,2	3,2–4	0,32–0,4	
Aluminiu	0,65–0,75**)	2,5–2,7	0,33	***) pentru duraluminiu
Zinc laminat	0,85	3,2	0,31	
Celuloid	0,018	0,65	0,40	
Cauciuc	0,0001	0,005	0,46	
Sticlă	0,55–0,7	2,2–2,8	0,25	
Gheață	0,05–0,1	0,25–0,5	0,45	
Beton	0,15–0,4***)	0,7–1,7	0,1–0,15	***) cu marca mai mare de 400
Granit, marmură	0,35–0,5	1,5–1,9	0,2–0,3	
Zidărie de piatră (compresiune)	0,03–0,1	0,14–0,44	0,1–0,15	
Calcar dens	0,35	1,5	0,2	
Gresie	0,2	0,85	0,2	
Cărbune	0,05–0,08	0,22–0,36	0,12	
Lemn în lungul fibrelor	0,08–0,15****)	—	—	****) pentru roci rigide
Plută	0,00006	—	0	
Curea	0,005–0,02	—	—	

Cea mai simplă formă a legii lui Hooke generalizate este

$$\gamma_{xy} = \tau_{xy} : G, \quad \gamma_{yz} = \tau_{yz} : G, \quad \gamma_{zx} = \tau_{zx} : G, \quad (4.27)$$

$$\left. \begin{aligned} \varepsilon_x &= \frac{\sigma_x - \mu(\sigma_y + \sigma_z)}{E}, & \varepsilon_y &= \frac{\sigma_y - \mu(\sigma_z + \sigma_x)}{E}, \\ \varepsilon_z &= \frac{\sigma_z - \mu(\sigma_x + \sigma_y)}{E}, \end{aligned} \right\} \quad (4.28)$$

sau, exprimind tensiunile prin deformații

$$\tau_{xy} = G\gamma_{xy}, \quad \tau_{yz} = G\gamma_{yz}, \quad \tau_{zx} = G\gamma_{zx}, \quad (4.29)$$

$$\left. \begin{aligned} \sigma_x &= 2G \left(\frac{3\mu}{1-2\mu} \varepsilon_m + \varepsilon_x \right) = \lambda \varepsilon_v + 2m\varepsilon_x, \\ \sigma_y &= \lambda \varepsilon_v + 2m\varepsilon_y, \quad \sigma_z = \lambda \varepsilon_v + 2m\varepsilon_z, \end{aligned} \right\} \quad (4.30)$$

unde ε_v este deformația volumică iar λ și m constantele lui Lamé

$$\lambda = 2G \frac{\mu}{1-2\mu} = E \frac{\mu}{(1+\mu)(1-2\mu)}, \quad m = G. \quad (4.31)$$

Din (4.30), prin adunare, se obține legea elasticității volumului:

$$\sigma_0 = 3\sigma_m = E_0\varepsilon_0, \quad \sigma_m = E_0\varepsilon_m \quad (4.32)$$

unde modulul de elasticitate cubic este

$$E_0 = 3\lambda + 2m = \frac{E}{1-2\mu} \quad (4.33)$$

și este cuprins între limitele E (pentru $\mu = 0$) până la ∞ (pentru $\mu = 0,5$).

Din (4.30), prin scădere, se obține o altă formă a legii elasticității

$$\left. \begin{aligned} \sigma_x - \sigma_y &= 2G(\varepsilon_x - \varepsilon_y), \quad \sigma_y - \sigma_z = 2G(\varepsilon_y - \varepsilon_z), \\ \sigma_z - \sigma_x &= 2G(\varepsilon_z - \varepsilon_x); \end{aligned} \right\} \quad (4.34)$$

dacă se consideră și (4.32), se găsește

$$\left. \begin{aligned} \sigma_x - \sigma_m &= 2G(\varepsilon_x - \varepsilon_m), \quad \sigma_y - \sigma_m = 2G(\varepsilon_y - \varepsilon_m), \\ \sigma_z - \sigma_m &= 2G(\varepsilon_z - \varepsilon_m). \end{aligned} \right\} \quad (4.35)$$

Legea lui Hooke se scrie, sub formă tensorială, astfel:

a) legea de variație a volumului [vezi (4.10), (4.24)]

$$T_\sigma^0 = E_0 T_\varepsilon^0; \quad (4.36)$$

aici fiecare componentă a tensorului din partea stângă este, conform (4.32), de E_0 ori mai mare decât componenta respectivă a tensorului din partea dreaptă;

b) *legea de variație a formei* [vezi (4.11), (4.25)]:

$$D_{\sigma} = 2GD_{\varepsilon}. \quad (4.37)$$

Fiecare componentă a tensorului din partea stângă este de $2G$ ori mai mare decât componenta respectivă a tensorului din dreapta.

Luând în considerare formulele (4.9) și (4.23) legea de variație a formei poate fi prezentată, de asemenea în forma

$$\sigma_i = E\varepsilon_i \quad \text{sau} \quad \tau_i = G\gamma_i, \quad (4.38)$$

unde în acest caz, în formula (4.26), se admite că $\mu = 0,5$ și

$$G = E : 3. \quad (4.39)$$

Împărțind fiecare termen din (4.37) la a doua expresie (4.38), se obține o egalitate între *tensorii directori ai tensiunilor* \bar{D}_{σ} și *tensorii directori ai deformațiilor* \bar{D}_{ε}

$$\bar{D}_{\sigma} = \bar{D}_{\varepsilon},$$

care constituie o altă formă de scriere a legii de variație a formei.

§ 4.4. Teoriile de rezistență

Pentru evaluarea rezistenței unui element al corpului care se găsește într-o stare de tensiune compusă, se folosesc diferite formule de calcul, stabilite în funcție de criteriul de rezistență admis. *Efortul unitar echivalent* σ_{ech} se poate admite ca o fracțiune din *limita de curgere* (σ_c) sau din *rezistența de rupere* (σ_r)

$$\sigma_{ech} \leq \frac{\sigma_c}{c_c} = \sigma_a, \quad \sigma_{ech} \leq \frac{\sigma_r}{c_r} = \sigma_a, \quad (4.40)$$

unde c este *coeficientul de siguranță*, iar σ_a este *rezistența admisibilă* la întindere simplă; în teoriile simple, σ_{ech} se exprimă în funcție de tensiunile principale $\sigma_1 > \sigma_2 > \sigma_3$ astfel:

a) După *teoria tensiunilor normale maxime*

$$\sigma_{echI} = \sigma_1 \leq \sigma_a. \quad (4.41)$$

Teoria aceasta aproape că nu se utilizează, din cauza nesiguranței ei.

b) După *teoria deformației maxime*

$$\left. \begin{aligned} \sigma_{echII} &= \sigma_1 - \mu (\sigma_2 + \sigma_3) \leq \sigma_a, \\ \sigma_{echII} &= [\sigma_3 - \mu (\sigma_2 + \sigma_1)] \leq \sigma_a. \end{aligned} \right\} \quad (4.42)$$

Teoria aceasta se folosește uneori la calculul pieselor din materiale casante sau la ruperea casantă a materialelor plastice.

c) După *teoria tensiunii tangențiale maxime*

$$\sigma_{echIII} = \sigma_1 - \sigma_3 \leq \sigma_a. \quad (4.43)$$

Teoria aceasta se utilizează la calculul pieselor din materiale plastice; ea dă, de obicei, cele mai mari dimensiuni pentru piesele calculate.

d) După *teoria energiei potențiale de deformare*

$$\sigma_{echIV} = \sqrt{\sigma_1^2 + \sigma_2^2 + \sigma_3^2 - 2\mu(\sigma_1\sigma_2 + \sigma_2\sigma_3 + \sigma_3\sigma_1)} \leq \sigma_a. \quad (4.44)$$

e) După *teoria energiei de schimbare a formei* [sau a tensiunilor tangențiale octaedrice (4.8)]:

$$\sigma_{echV} = \frac{1}{\sqrt{2}} \sqrt{(\sigma_1 - \sigma_2)^2 + (\sigma_2 - \sigma_3)^2 + (\sigma_1 - \sigma_3)^2} \leq \sigma_a. \quad (4.45)$$

Ultimele două teorii sînt de preferat, față de celelalte, în cazul materialelor plastice; σ_{echIV} se utilizează uneori, cînd $\sigma_m > 0$; mai des, și fără această restricție, se utilizează σ_{echV} , care este în acord cu datele experimentale.

Există teorii de rezistență, la baza cărora stă nu un singur criteriu, ci două (sau mai multe) de naturi diferite; ele se numesc, uneori, *teorii generalizate (combinat)*. În aceste teorii stările de tensiune, caracterizate prin tensiunile σ_{C1} și τ_{C1} (sau σ_{C2} și τ_{C2}), se consideră admisibile, din punct de vedere al rezistenței, dacă punctele respective ale graficului din fig. 4.5 (C_1 și C_2) sînt situate sub curba limită $C'A C'B$.

f) După *teoria de rezistență a lui Mohr*, curba limită se înlocuiește uneori cu o dreaptă și drept coordonate ale punctelor C' și C'' se iau respectiv (pentru suprafețe cu alunecări maxime)

$$\sigma_1 = \tau_1 = 0,5 \sigma_{ac}, \quad \sigma_2 = \tau_2 = 0,5 \sigma_{at}, \quad (4.46)$$

unde σ_{ac} și σ_{at} sînt rezistențele admisibile la compresiune și la întindere; în acest caz condiția de rezistență ia forma

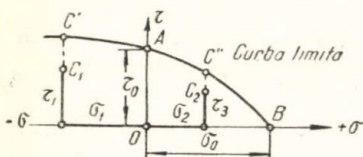


Fig. 4.5.

$$\frac{\sigma}{\sigma_0} + \frac{\tau}{\tau_0} = 1, \quad (4.47)$$

unde σ (+ sau -), τ (totdeauna +) sînt tensiunile, care acționează, iar

$$\sigma_0 = \frac{\sigma_{ac} \cdot \sigma_{at}}{\sigma_{ac} - \sigma_{at}}, \quad \tau_0 = \frac{\sigma_{ac} \cdot \sigma_{at}}{\sigma_{ac} + \sigma_{at}}. \quad (4.48)$$

g) După *teoria de rezistență a lui I.N. Mirotubov* (anul 1953)

$$\frac{\sigma_{oct}}{\sigma_{a oct}} + \frac{\tau_{oct}}{\tau_{a oct}} = 1; \quad (4.49)$$

la numărător sînt tensiunile octaedrice care acționează, (4.7) și (4.8); la numitor sînt rezistențele admisibile octaedrice care acționează, (4.7) și (4.8); la numitor sînt rezistențele admisibile octaedrice, care se exprimă, în funcție de σ_0 și τ_0 (v. 4.48) în modul următor:

$$\sigma_{a\text{ oct}} = \frac{2}{3} \sigma_0, \quad \tau_{a\text{ oct}} = \frac{\sqrt{8}}{3} \tau_0. \quad (4.50)$$

În acest caz linia limită $C'AC''B$ (vezi fig. 4.5) se transformă într-o dreaptă. Cînd $\sigma_{ac} = \sigma_{at}$ formula (4.49) se transformă în (4.45).

h) După teoria de rezistență a lui P.P. Balandin

$$\frac{\sigma_{oct}}{\sigma_{a\text{ oct}}} + \sqrt{\left(\frac{\sigma_{oct}}{\sigma_{a\text{ oct}}}\right)^2 + k^2 \left(\frac{\tau_{oct}}{\tau_{a\text{ oct}}}\right)^2} = 1. \quad (4.51)$$

Aici notațiile sînt aceleași ca la teoria de la punctul g), cu $k = 2 \frac{\sigma_{ac} \sigma_{at}}{\sigma_{ac} + \sigma_{at}}$; cînd $\sigma_{ac} = \sigma_{at}$, teoria de la punctul g) este echivalentă cu teoria de la punctul e).

§ 4.5. Concentrarea tensiunilor și rezistența la oboseală

Atunci cînd într-o bară întinsă există găuri (fig. 4.6), tensiunea maximă σ_{max} se determină cu formula

$$\sigma_{max} = \alpha_k \sigma_0, \quad (4.52)$$

unde $\sigma_0 = N : 2b\delta$ este tensiunea nominală; α_k este coeficientul de concentrare, care depinde de dimensiunea găurii t și de raza de curbura ρ

$$\alpha_k \approx 1 + 2 \sqrt{\frac{t}{\rho}}. \quad (4.53)$$

Formula (4.53) este corectă dacă $b \gg t$; în caz contrar, α_k crește, iar la variația lui t : $b = \lambda$ de la 0 pînă la 0,5 și pentru $t = \rho$ trebuie luat

$$\alpha_k \approx 3 (1 + 1,7 \lambda^2). \quad (4.54)$$

În cazul unor gîtuiri adînci (fig. 4.7) formula (4.52) rămîne valabilă. Se ia $\sigma_0 = N : 2a\delta$, iar coeficientul de concentrare este

$$\alpha_k \approx 1 + 0,4 \frac{a}{\rho} - 0,006 \frac{a^2}{\rho^2}. \quad (4.55)$$

Dacă se execută o racordare pentru trecerea lină de la o grosime la alta (fig. 4.8) și dacă $t : \rho > 1$

$$\alpha_k \approx 1,6 + 0,08 \frac{t}{\rho} \left(1 + 0,08 \frac{a}{\rho}\right). \quad (4.55')$$

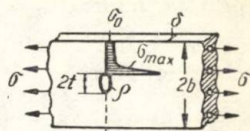


Fig. 4.6.

Coeficienții α_k din formulele (4.52 ... 4.55') sînt teoretici; coeficienții efectivi (reali), β_k se determină cu formula

$$\beta_k = 1 + q(\alpha_k - 1), \quad (4.56)$$

unde q este *coeficientul de sensibilitate al materialului*, cuprins între limitele 0 și 1; pentru oțeluri $q \approx 0,5 \dots 0,8$; valorile mai mari se referă la oțeluri foarte rezistente și cu granulație mică; pentru metale neferoase, q este mai apropiat de 0,5.

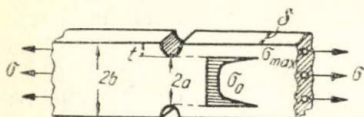


Fig. 4.7.

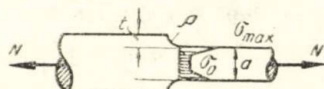


Fig. 4.8.

La *încovoiere*, coeficientul α_k dat de formula (4.55) trebuie micșorat cu aproximativ 20%. La *torsiune* valorile din formula (4.55) se reduc cu 25%. (Relații mai detaliate se găsesc în indicatoare speciale).

Acțiunea *sarcinilor variabile* repetată de multe ori, aduce după sine reducerea sensibilă a caracteristicilor de rezistență; această reducere depinde de coeficientul de asimetrie al solicitării ciclice (fig. 4.9).

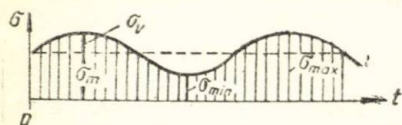


Fig. 4.9.

$$R = \frac{\sigma_{\min}}{\sigma_{\max}}. \quad (4.57)$$

Cea mai periculoasă este solicitarea simetrică, cu $R = -1$. În acest caz *rezistența la oboseală*, σ_{-1} , determinată pentru

epruveta încercată la încovoiere, este

$$\sigma_{-1} \approx 0,4 \sigma_r,$$

pentru întindere

$$\sigma_{-1t} \approx 0,28 \sigma_r,$$

pentru răsucire

$$\tau_{-1} \approx 0,22 \sigma_r,$$

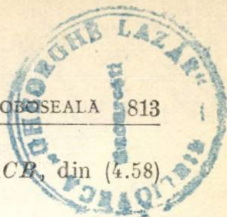
unde σ_r este rezistența statică la rupere (vezi capitolul 4.2) corespunzătoare la $R = +1$.

Pentru valorile intermediare ale lui R , între $+1$ și -1 , limita de oboseală se determină cu ajutorul unui grafic special (fig. 4.10) ca ordonata punctului oarecare C

$$\sigma_R = \sigma_m + \sigma_v, \quad (4.58)$$

unde tensiunea medie σ_m a ciclului și amplitudinea σ_v a ciclului sînt respectiv egale cu (fig. 4.9)

$$\sigma_m = 0,5 (\sigma_{\max} + \sigma_{\min}), \quad \sigma_v = 0,5 (\sigma_{\max} - \sigma_{\min}). \quad (4.59)$$



La schematizarea printr-o linie dreaptă a curbei ACB , din (4.58) se găsește că

$$\sigma_R = \sigma_{-1} + \sigma_m \left(1 - \frac{\sigma_{-1}}{\sigma_r}\right), \quad \sigma_v = \sigma_{-1} \left(1 - \frac{\sigma_m}{\sigma_r}\right). \quad (4.60)$$

În ipoteza unei curbe parabolice, se obține

$$\sigma_v = \sigma_{-1} \left(1 - \frac{\sigma_m^2}{\sigma_r^2}\right). \quad (4.61)$$

Trecerea la rezistența admisibilă se efectuează în acest caz prin împărțirea ordonatelor extreme ale graficului, reprezentat în fig. 4.10, astfel: ordonata inițială se împarte la coeficientul de siguranță c și la coeficientul de concentrare β_k iar ordonata finală (σ_r) se împarte de obicei numai la c . Atunci rezistența admisibilă a ciclului cu coeficient R poate fi reprezentată în funcție de rezistența admisibilă statică $\sigma_a = \sigma_r : c_1$ prin relația

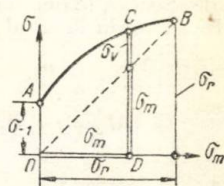


Fig. 4.10.

$$\sigma_{aR} = \sigma_a \cdot \varphi_R, \quad (4.62)$$

unde coeficientul de reducere al rezistenței admisibile este

$$\varphi_R = \frac{1 + \frac{\sigma_v}{\sigma_m}}{1 + \frac{\sigma_v}{\sigma_m} \cdot \frac{\sigma_a}{\sigma_{-1a}}} \quad (4.63)$$

și depinde de rezistența admisibilă la ciclu simetric

$$\sigma_{-1a} = \sigma_{-1} : c \cdot \beta_k.$$

La o viteză mare de încărcare a epruvetei, care depășește pe cea atinsă de obicei în laboratoarele de încercări mecanice (v. § 4.8) de zeci și sute de mii de ori, se observă un fenomen de creștere a caracteristicilor mecanice. Una din formulele propuse este

$$\sigma_1 = \sigma_0 + m \lg \frac{v_1}{v_0}. \quad (4.64)$$

Aici σ_1 și σ_0 sînt caracteristicile, care corespund vitezelor v_1 și v_0 ; m este un coeficient experimental, care pentru oțeluri cu rezistența de rupere $\sigma_r < 110 \text{ kgf/mm}^2$ se recomandă (orientativ) să fie: $m = 1,5 \dots 2,5 \text{ kgf/mm}^2$ pentru determinarea rezistenței de rupere; $m = 2,5 \dots 4 \text{ kgf/mm}^2$ pentru determinarea limitei de elasticitate.

Oțelurile care au $\sigma_r > 110 \text{ kgf/mm}^2$ nu manifestă creșterea caracteristicilor mecanice cu viteza de încercare.

§ 4.6. Forțe interioare în bare și plăci

În cazul general al barei încărcate spațial (fig. 4.11), într-o secțiune oarecare $I-I$ se manifestă acțiunea a șase componente ale forței interioare: forța axială N_x , două forțe tăietoare, T_y și T_z , două momente încovoietoare M_y și M_z și un moment de răsucire M_x . Toate componentele se determină prin *metoda secțiunilor* cu ajutorul celor șase ecuații ale staticii, în funcție de forțele exterioare situate de o parte a secțiunii. De exemplu în cazul indicat în fig. 4.11

$$N_x = P_2, \quad T_y = -P_3, \quad T_z = P_1, \quad M_y = -P_1x,$$

$$M_z = -P_2(a-b) + P_3x, \quad M_x = -P_1a.$$

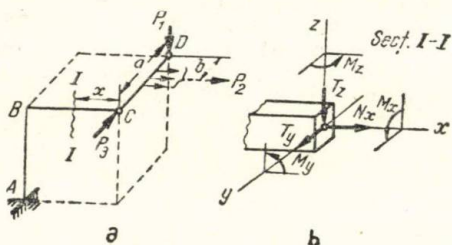


Fig. 4.11.

(Semnele pentru secțiunea $I-I$ sînt în conformitate cu sensurile pozitive de pe figura 4.11, b). Forțele se măsoară în kgf, momentele în kgf·cm.

Componentele forțelor interioare dintr-o placă (în secțiunea perpendiculară pe axa Ox) sînt indicate în fig. 4.12; se admite ca mărimile lor să fie raportate la unitatea dimensiunii respective (hașurată), de aceea forțele au unitatea de măsură kgf/cm iar momentele kgf·cm/cm, adică kgf. În fig. 4.12 sînt indicate: N_x , T_x și M_x (forța axială, forța tăietoare și momentul încovoietor) care solicită o fișie unitate a plăcii de-a lungul axei Oy ; N_{yx} și M_{yx} sînt forța tăietoare paralelă cu Oy și respectiv momentul de răsucire care acționează asupra aceleiași fișii.

În mod analog (tot prin metoda secțiunilor) se pun în evidență forțele interioare care acționează perpendicular pe axa Oy ; ele vor fi N_y , T_y , M_y , N_{xy} și M_{xy} .

Bibliografie. 1. Беляев Н. М., Сопротивление материалов, Гостехиздат, 1958. 2. Филоненко-Бородич М. М., Курс сопротивления материалов, Гостехиздат, 1955.

4.2

Întinderea și compresiunea barelor

§ 4.7. Formule fundamentale

La întinderea centrică a barei (fig. 4.13) de către o forță axială N , într-o secțiune oarecare $I-I$ tensiunea normală σ determinată de formula

$$\sigma = N/F, \quad (4.65)$$

trebuie să satisfacă condiția de rezistență

$$\frac{N}{A} \leq \sigma_a \quad (4.66)$$

unde A este aria secțiunii transversale.

Formulele (4.65) și (4.66) rămân valabile și în cazul compresiunii; trebuie precizată numai mărimea lui σ_a (vezi capitolul 4.7). În cazul acțiunii locale a forței (strivire, fenomene de contact), tensiunile în punctul de contact și în apropierea lui nu se consideră uniform distribuite (vezi capitolul 9 din cartea *Беляев Н. М., Сопротивление материалов, 1958*). O porțiune oarecare din bară (fig. 4.13), de lungime l , își schimbă dimensiunile sale în modul următor: alungirea Δl și alungirea specifică ε sînt

$$\Delta l = \frac{Nl}{EA}, \quad \varepsilon = \frac{\Delta l}{l}, \quad (4.67)$$

unde E este modulul de elasticitate (vezi tabela 4.1); deformația transversală totală Δa și cea relativă ε_1 sînt

$$\Delta a = a_1 - a, \quad \varepsilon_1 = \frac{\Delta a}{a} = -\mu\varepsilon, \quad (4.68)$$

unde μ este coeficientul lui Poisson (tabela 4.1). Dacă N sau A (sau ambele) sînt variabile în lungul barei, atunci

$$\Delta l = \int_0^l \frac{N_x dx}{EA_x}. \quad (4.69)$$

Legea lui Hooke la întindere și compresiune este

$$\sigma = E\varepsilon. \quad (4.70)$$

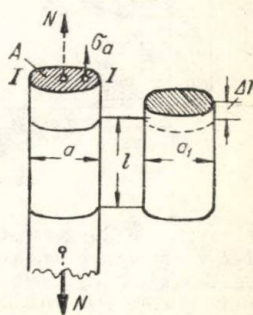


Fig. 4.13.

§ 4.8. Curba caracteristică de întindere. Caracteristicii mecanice

Făcînd încercarea la întindere cu viteză mică (de ordinul 0,01% pe secundă) a unei epruvete din oțel cu conținut redus de carbon, aparatul indicator al mașinii de încercat înregistrează o diagramă de forma celei din fig. 4.14, unde pe ordonată se măsoară tensiunile normale ($\sigma = N/A$), A fiind aria inițială a secțiunii, iar pe abscisă alungirile specifice ($\varepsilon = \Delta l/l$). Fiecare material are curba caracte-

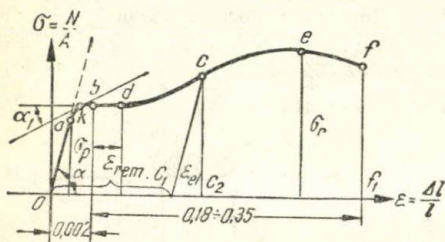


Fig. 4.14.

ristică proprie de întindere, mai mult sau mai puțin diferită de cea indicată în fig. 4.14. Anumite ordonate caracteristice ale diagramei au următoarele numiri: rezistența de rupere σ_r cea mai mare tensiune la care începe să se formeze o gîtuire (sau se rupe epruveta, dacă este din material casant); *limita de curgere* σ_c tensiunea la care

epruveta se lungeste fără creșterea sarcinii; dacă nu se observă un

palier de curgere bd , alungirea specifică corespunzătoare lui σ_c se ia

egală cu 0,2%; *limita de proporționalitate* σ_p cea mai mare tensiune

pînă la care este valabilă legea lui Hooke; ea diferă puțin de limita

de elasticitate σ_e — cea mai mare tensiune, pînă la care există numai

deformații elastice (ea se definește de obicei prin deformația

remanentă corespunzătoare, de exemplu pentru oțel 0,02%).

În prima porțiune a diagramei (dreapta Oa) coeficientul unghiular

$\tan \alpha = \text{const}$, la scara diagramei, dă mărirea modulusului de elasticitate

$E = \text{const}$. Pe celelalte porțiuni modulul de elasticitate variabil

poate fi evaluat în mod analog; de exemplu, pentru punctul k , avem $\tan \alpha_1 =$

$E_1 = \frac{d\sigma}{d\varepsilon}$. Uneori este convenabil să se

utilizeze nu *modulul de elasticitate* E_1 dat

de *tangentă*, ci *modulul secant* (fig. 4.15)

$E' = \tan \alpha' = \sigma/\varepsilon$, întrucît modulul de elasticitate este $E = (\sigma + \Delta\sigma) : \varepsilon$, atunci împărțind E' prin E , se găsește

$\sigma : \varepsilon = E' = E(1 - \omega)$, $\omega = \frac{\Delta\sigma}{\sigma + \Delta\sigma}$. (4.71)

Caracteristicile mecanice ale unor materiale sînt indicate în tabela

4.2. Dacă procesul de încărcare al barei se oprește (punctul c în fig. 4.14)

și epruveta este descărcată, graficul descărcării va fi de obicei dreapta

cc_1 paralelă cu dreapta Oa ; în acest caz $Oc_1 = \varepsilon_{rem}$ este *deformația*

remanentă, iar $c_1c_2 = \varepsilon_{el}$ este *deformația elastică*.

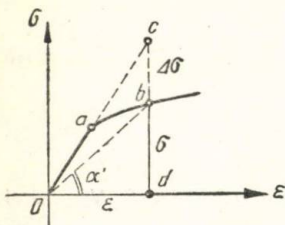


Fig. 4.15.

poate fi evaluat în mod analog; de exemplu, pentru punctul k , avem $\tan \alpha_1 =$

$$E_1 = \frac{d\sigma}{d\varepsilon}. \text{ Uneori este convenabil să se}$$

utilizeze nu *modulul de elasticitate* E_1 dat

de *tangentă*, ci *modulul secant* (fig. 4.15)

$E' = \tan \alpha' = \sigma/\varepsilon$, întrucît modulul de elasticitate este $E = (\sigma + \Delta\sigma) : \varepsilon$, atunci împărțind E' prin E , se găsește

$\sigma : \varepsilon = E' = E(1 - \omega)$, $\omega = \frac{\Delta\sigma}{\sigma + \Delta\sigma}$. (4.71)

Caracteristicile mecanice ale unor materiale sînt indicate în tabela

4.2. Dacă procesul de încărcare al barei se oprește (punctul c în fig. 4.14)

și epruveta este descărcată, graficul descărcării va fi de obicei dreapta

cc_1 paralelă cu dreapta Oa ; în acest caz $Oc_1 = \varepsilon_{rem}$ este *deformația*

remanentă, iar $c_1c_2 = \varepsilon_{el}$ este *deformația elastică*.

Tabela 4.2 Caracteristicile mecanice ale unor materiale la $t = 20^{\circ}\text{C}$

Materiale	Limite [kgf/mm ²]			% alungiri la rupere	Felul solicitării de încercare
	de proporționalitate	de curgere	rezistența de rupere		
Oțel 3	19—21	23	38—45	21	Oricare
Oțel 30	22—24	28	48—60	22	Oricare
Oțel 50	30—32	34	63—80	16	Oricare
Oțel de arc pentru cabluri	70—90	90—120	120—170	16	Oricare
Fontă cenușie	3,5—4,5	—	12—21	0,25	Întindere
Fontă cenușie	10—15	—	50—100	—	Compresiune
Cupru în foi	5	7	21	50	Întindere
Alamă	5—9	7—12	20—35	20—40	Întindere
Bronz	—	—	—	—	Întindere
Duraluminu	18—20	24	37	—	Oricare
Celuloid	—	—	5—7	—	Întindere
Cauciuc	0,2—0,4	—	0,4—0,9	—	Compresiune
Sticlă ¹⁾	4—10	—	8—20	—	Compresiune
Granit ¹⁾	3—10	—	4—24	—	Compresiune
Gresie ¹⁾	2—8	—	4—20	—	Compresiune
Zidărie de piatră	0,2—0,6	—	0,35—2	—	Compresiune
Beton ¹⁾	0,25—2,5	—	0,50—5	—	Compresiune
Pin în lungul fibrelor	2,5	—	4	—	Compresiune
idem	3	—	8	—	Întindere

¹⁾ La întindere, limitele sînt de 8—12 ori mai mici.

Repetarea încărcării epruvetei după descărcare, are loc pe dreapta c_1c , după care se parcurge apoi curba cef ; cu alte cuvinte, are loc o întărire (o creștere a calităților elastice). În legătură cu fenomenul de hysterezis la încărcări repetate, a se consulta literatura.

Suprafața elementară de sub curba caracteristică, $\sigma d\varepsilon$, determină mărimea *lucrului mecanic elementar*; în limitele elastice (dreapta Oa) lucrul mecanic de deformare pe unitatea de volum, W_1 , corespunzător deformăției de la 0 până la ε , este

$$W_1 = \frac{\sigma\varepsilon}{2} = \frac{\sigma^2}{2E} = \frac{E\varepsilon^2}{2}. \quad (4.72)$$

Lucrul mecanic de deformare al întregii bare de lungime l , cînd N și A sînt constante, este

$$W = \int_0^l \frac{\sigma^2}{2E} A dl = \frac{N^2 l}{2EA}. \quad (4.73)$$

Energia specifică, cheltuită pentru deformarea corpului pînă la rupere este

$$W_{1r} = \eta \sigma_r \varepsilon_r, \quad (4.74)$$

unde *coeficientul de plenitudine al diagramei*, η , este cuprins între limitele 0,75 ... 0,90.

În tabela 4.3. sînt date valorile mărimilor care caracterizează unele materiale din punct de vedere al cantității energiei potențiale, pe care o pot recepționa pe unitate de greutate la deformarea lor pînă la limitele elastice.

Radiațiile radioactive au asupra metalelor o acțiune asemănătoare cu întărirea. La metale, la anumite doze de radiații rezistența crește, iar plasticitatea scade.

T a b e l a 4.3. Lucrul mecanic elastic pe unitatea de greutate

Materialul	Greutatea specifică γ [gf/cm ³]	Limita de proporționalitate σ_p [kgt/mm ²]	Lucrul mecanic specific W_1 [kgt·cm/cm ³]	$W_1 : \gamma$ [kgt·cm/kg]
Oțel 3	7,8	21	1	140
Oțel de arc	7,8	80	15	1950
Aluminiu	2,5	20	2,9	1140
Pin	0,8	2,5	0,30	390
Cauciuc	0,95	0,4	8	8400

Variația caracteristicilor mecanice ale materialelor cu creșterea temperaturii este redată în tabela 4.4.; datele sînt orientative, deoarece de obicei la $t > 250^\circ$ starea de tensiune și de deformare nu este stabilă, ci are loc o variație cu timpul.

T a b e l a 4.4. Caracteristici mecanice la temperaturi ridicate
[kgf/mm²]

Materiale	$t = 20^\circ\text{C}$			$t = 250^\circ\text{C}$			$t = 750^\circ\text{C}$		
	$E : 100$	σ_c	σ_r	$E : 100$	σ_c	σ_r	$E : 100$	σ_c	σ_r
Oțel 3	205	22	42	200	18	45	130	12	28
Oțel refractar	215	40	65	210	42	68	150	30	40
Duraluminu	7,4	24	37	7	20	32	3	8	12
Cupru	10	7	21	8	5	15	2	2	6

§ 4.9. Rezistențe admisibile. Coeficient de siguranță¹⁾. Metode de calcul

Se deosebesc următoarele metode de calcul: a) după rezistențele admisibile; b) după capacitatea portantă; c) după starea limită.

Rezistențele admisibile σ_a și τ_a pot fi calculate după următoarele formule:

pentru sarcini statice

$$\sigma_a = \frac{\sigma_r}{c_r \alpha_k} \text{ sau } \sigma_a = \frac{\sigma_c}{c_c \alpha_k}, \quad (4.75)$$

unde c și α_k sînt respectiv coeficienții de siguranță și de concentrare a tensiunilor (vezi § 4.5); în cazul materialelor plastice, $\alpha_k \approx 1$; pentru sarcini variabile ciclice [vezi § 4.4. formula (4.62)]

$$\sigma_{ar} = \sigma_a \cdot \varphi, \quad (4.76)$$

¹⁾ Vezi capitolul IX al lucrării «Основы современных методов расчета на прочность в машиностроении» sub red., С.Д. Пономарюв, 1952; capitolul XIII din «Курс сопротивления материалов» vol. 1, 2 sub red. М.М. Филоненко — Бородич, 1955—1956.

unde σ_a se determină cu formula (4.75), pentru $\alpha_k = 1$; coeficientul de reducere este

$$\varphi = \frac{1 + \frac{\sigma_v}{\sigma_m}}{1 + \frac{\sigma_v}{\sigma_m} \cdot \frac{\sigma_c}{\sigma'_{-1}}}, \quad (4.77)$$

unde σ'_{-1} este rezistența la oboseală corectată

$$\sigma'_{-1} = \frac{\sigma_{-1}}{\beta \cdot \varepsilon} \quad (4.78)$$

în care β_k este coeficientul efectiv de concentrare (vezi § 4.5), iar ε este un coeficient care ține seama de următorii factori: de dimensiunile piesei — ε_d (factor de scară), de starea suprafeței — ε_s , de prezența coroziunii — ε_{cor} și de alți factori ε_{al} ; ε se determină cu formula

$$\varepsilon = \varepsilon_d \cdot \varepsilon_s \cdot \varepsilon_{cor} \cdot \varepsilon_{al}. \quad (4.79)$$

Valori orientative ale coeficienților ε pot fi calculate, utilizând expresiile (4.80) ... (4.82)

$$\frac{1}{\varepsilon_d} \approx 1 - \frac{d - 10}{2d_0 - 20}, \quad (4.80)$$

unde d este diametrul piesei [mm] $10 \leq d \leq d_0$, iar $d_0 = 200$ mm pentru oțeluri-carbon fără concentrări de tensiuni; $d_0 = 100$ mm pentru oțeluri aliate cu concentratori; $d_0 = 30$ mm pentru oțeluri aliate cu concentratori puternici;

$$\frac{1}{\varepsilon_s} = a - \frac{\sigma_r - 30}{100} (b - a), \quad (4.81)$$

unde σ_r este rezistența de rupere (kgf/mm²); coeficienții a și b se iau din tabela 4.5; în aceeași tabelă sînt redați coeficienții a_1 și b_1 pentru formula

$$1/\varepsilon_s \varepsilon_{cor} = a_1 - \frac{\sigma_r - 30}{100} (b_1 - a_1). \quad (4.82)$$

Valorile fără paranteze se referă la coroziunea în apă dulce, iar cele din paranteze la coroziunea în apă de mare.

T a b e l a 4.5. Coeficienții a , a_1 și b , b_1 pentru formulele (4.81)–(4.82).

	Șlefuire	Lustruire	Strunjire	Rabotare	Neprelucrat
a	1	1,1	0,97	0,92	0,82
b	1	1,15	0,80	0,52	0,30
a_1	—	—	—	—	0,64 (0,48)
b_1	—	—	—	—	0,18 (0,16)

Coeficienții de siguranță (c_r sau c_c) sînt stabiliți fie de normele de proiectare, fie din condițiile generale de lucru și de cerințele tehnico-economice ale construcției; trebuie luate în considerație eventuala supraîncărcare, stabilitatea proprietăților materialului, abaterile de la schema de calcul, durata de funcționare a construcției.

Coeficienții c_c sînt situați între limitele 1,4 ... 2,5; coeficienții c_r între limitele 2 ... 10 în funcție de material, de construcție și de condițiile de lucru. În cazul acțiunii dinamice a sarcinilor, aceste mărimi se reduc suplimentar cu așa numitul *coeficient dinamic* (capitolul 4.11).

În tabelele 4.6 ... 4.19 se dau unele indicațiuni din standarde.

Calculul după capacitatea portantă (sau, *după stadiul de rupere*) se reduce la utilizarea relației dintre forța admisibilă P_a (sau momentul admisibil M_a) și forța P_r (sau momentul M_r) corespunzătoare stadiului de rupere, sub forma

$$P_a \cdot c = P_r, \quad (4.83)$$

$$M_a \cdot c = M_r \quad (4.84)$$

unde c este coeficientul de siguranță.

În cazul unui sistem static determinat, forța (sau momentul de rupere) se găsește din condiția, ca o secțiune (sau o bară) să treacă în stadiul de rupere; în cazul unui sistem de n ori static nedeterminat, este necesar ca stadiul de rupere să se realizeze în $(n + 1)$ secțiuni (sau bare). În cazul cel mai simplu (la el ne limităm aici) trecerea secțiunii în stadiul de rupere este însoțită de apariția în întreaga secțiune a tensiunilor σ_c (sau τ_c) (vezi tabela 4.2) sau σ_r (τ_r).

Valorile orientative ale coeficienților c pentru unele materiale sînt indicate în tabelele 4.15 și 4.16. În lipsa unor date normate pentru c , acesta se determină aproximativ după formula (4.75).

Rezistențe admisibile la materiale


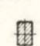




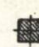

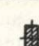

Felul rezistenței

Materialul	Caracteristicile materialului		Tracțiune σ_{at} [$\frac{kgf}{cm^2}$]			Compresiune σ_{ac} [$\frac{kgf}{cm^2}$]		Presiuni pe suprafețe care nu alunecă [$\frac{kgf}{cm^2}$]			
	Rezistența de rupere σ_r [$\frac{kgf}{cm^2}$]	Alungirea la rupere δ [%]	Solicitare statică			I	II	I	II	III	
			$\sigma = \frac{\sigma_r}{\alpha_a}$	σ_a	III	Solicitare pulsatoare σ_a	Solicitare simetrică σ_a	Solicitare statică σ_a	Solicitare pulsatoare σ_a	Solicitare statică p	Solicitare pulsatoare p
Oțel de rezistență mică	3 500—5 000	25—15	4—8	900—1 500	600—1 000	300—500	900—1 500	600—1 000	800—1 000	530—670	270—330
Oțel (O.L. 60)	5 000—7 000	20—10	4	1 200—1 800	800—1 200	400—600	1 200—1 800	800—1 200	1 000—1 500	700—1 000	350—500
Oțel călit									1 500—1 800	900—1 200	400—600
Oțel de arc, călit											
Oțel cu nichel	4 500—6 000	20—10	4—3	1 200—1 800	800—1 200	400—600	1 200—1 800	800—1 200	1 000—1 500	700—1 000	350—500
Oțel turnat	3 600—6 000	20—10	6—5	600—1 200	400—800	200—400	900—1 500	600—1 000	800—1 000	530—670	270—330
Fontă brută	2 500—3 500 la lăcăvelare										
			5—4,5	300—350	200—250	100—120	900—1 000	600—650			
Fontă prelucrată	1 550—1 750								700—800	470—530	230—270
Aramă laminată	2 000—2 700	35—25	5—4	400—540	270—360	130—180	400—540	270—360	350—500	230—330	120—170
Plumb									20—50		
Aliaje de aluminiu	900—1 200	5	10—8	100—120	70—80	30—40					
Bronz cu Sn, turnat	2 000—2 500	20—5	6—5	400—500	270—330	130—170	400—500	270—330	300—400	200—270	100—130
Bronz fosforos	3 000—4 500	25—10	6—5	600—900	400—600	200—300	600—900	400—600	500—750	330—500	170—250
Alamă laminată	2 000—3 000	30—20	5	400—600	270—400	130—200	400—600	270—400	300—450	270—300	130—150

Tabela 4.2

din construcția mașinilor

admisibile

Încovoiere σ_d [$\frac{\text{kgf}}{\text{cm}^2}$]				Forfecare τ_d [$\frac{\text{kgf}}{\text{cm}^2}$]			Răsucire τ_d [$\frac{\text{kgf}}{\text{cm}^2}$]				
I Solicitare statică		II Solicitare pulsatoare	III Solicitare simetrică	I Solicitare statică	II Solicitare pulsatoare	III Solicitare simetrică	I Solicitare statică	II Solicitare pulsatoare	III Solicitare simetrică		
$c = \frac{\sigma_r}{\sigma_d}$	σ_d	σ_d	σ_d	$c = \frac{\tau_r}{\tau_d}$	τ_d	τ_d	$c = \frac{\tau_r}{\tau_d}$	τ_d	τ_d		
	900—1 500	600—1 000	300—500	4—3	720—1 200	480—800	240—400		600—1 200	400—800	200—400
	1 200—1 800	800—1 200	400—600	4	960—1 440	640—960	320—480		900—1 440	600—960	300—480
	7 500	5 000							6 000	4 000	
	1 200—1 800	800—1 200	400—600	4	960—1 440	640—960	320—480		900—1 440	600—960	300—480
	900—1 200	600—800	300—400	4—3,5	720—950	480—640	240—320		600—800	400—520	200—260
	400—600	310—400	150—200	300—360	200—230	100—120					
6											
	370—480	250—320	120—160					270—350	180—230	90—120	
7,5											
	310—490	210—270	100—130					220—290	150—190	70—100	
9											
	500—720	370—480	190—240					380—500	250—320	130—160	
5											
	460—600	310—400	150—200					420—500	280—370	40—100	
6											
	400—510	270—340	130—170								
7											
	400—540	270—360	130—180								
	150—200	100—130	50—70								
	400—500	270—330	130—170						300—400	200—270	100—130
	600—900	400—600	200—300		450—700	300—470	150—230		450—700	300—470	150—230
	400—600	270—400	130—200		320—480	210—330	110—160		320—480	210—330	110—160

T a b e l a 4.7. Rezistențele admisibile pentru elemente de construcție din OL 38 și OL 52¹⁾

Elemente de construcții	Felul solicitării sau al rezistenței	$\sigma_a^{2)}$	OL 38		OL 52	
		σ_{at}	Rezistențe admisibile [kgf/cm²]		σ_a sau τ_a [kgf/cm²]	
		sau τ_a	Ipoteza de încărcare			
		τ_{at}	I	II	I	II
Civile și industriale	Întindere	1	1 400	1 600	2 100	2 400
	σ_{at}					
	Compresiune	1	1 400	1 600	2 100	2 400
	σ_{ac}					
Civile și industriale	Încovoiere	1	1 400	1 600	2 100	2 400
	σ_{a1}					
	Alunecare	0,8	1 120	1 280	1 680	1 920
	τ_a					
Buloane pentru ancoraj și tiranți	Alunecare în inimă	0,6	840	960	1 260	1 440
	τ_i					
	Întindere					
	σ_{at}		1 000	1 200	1 500	1 700
De solidarizare (plăcuțe, zăbreleuțe) ³⁾	Intindere					
	σ_{at}					
	Compresiune	0,8	1 120	1 280		
	σ_{ac}					
Piese de reazem	Încovoiere					
	σ_i					
	Presiunea în punctul sau pe linia de contact		6 500	7 500	1 680	1 920
Din șine vechi de cale ferată			1 200	1 200	9 750	11 250

¹⁾ Ipoteza I de încărcare corespunde acțiunii simultane, celei mai defavorabile, datorită sarcinilor fundamentale: sarcini permanente, sarcini utile inclusiv greutatea zăpezii, sarcini accesorii. Ipoteza II de încărcare corespunde acțiunii celei mai defavorabile din ipoteza I plus sarcinile accidentale (presiunea vântului, variații de temperatură etc.).

²⁾ σ_a este una din valorile σ_{ac} , σ_{at} , σ_{ai} pentru elementul solicitat.

³⁾ La flambajul barelor compuse cînd $e > h$, în care e este distanța dintre centrele de greutate ale elementelor și h înălțimea secțiunii.

T a b e l a 4.8. Rezistențele admisibile pentru mijloace de îmbinare ale pieselor de oțel¹⁾

Felul îmbinării	Mijloace de îmbinare	Felul solicitării	Sim- bolul	$\frac{\sigma_a}{\sigma_t}$	σ_a sau τ_a kgf/cm ²		Caracte- ristici
				sau τ_a	Ipoteza de încărcare		
					I	II	
Îmbinări nituite	Nituri de rezis- tență	Forfecare	τ_a	0,8	1 120	1 280	Nituri din OL 34
		Presiune pe gaură	σ_{ag}	2	2 800	3 200	
		Întindere în tijă	σ_{at}	0,3	420	480	
Îmbinări cu șuru- buri (buloa- ne)	Șuruburi pășuite	Forfecare	τ_a	0,8	1 120	1 280	Șuruburi din OL 38
		Presiune pe gaură	σ_{ag}	2	2 800	3 200	
		Întindere în tijă	σ_{at}	—	1 000	1 100	
	Șuruburi brute	Forfecare	τ_a	0,7	980	1 120	
		Presiune pe gaură	σ_{ag}	—	1 600	1 800	
		Întindere în tijă	σ_{at}	—	1 000	1 100	
	Buloane pentru ancoraj și ti- ranți	Întindere	σ_{at}	—	1 000	1 200	
Îmbinări sudate	Felul sudurii	Natura rezistențelor		$\frac{\sigma_{as}}{\sigma_a}$	σ_{as} kgf/cm ²		Piese din OL 38
	Sudură cap la cap ²⁾	Întindere		0,80	1 120	1 280	
		Compresiune		1,00	1 400	1 600	
		Încovoiere		0,85	1 190	1 360	
		Forfecare		0,65	910	1 040	
	De colț	Orice fel de rezis- tență		0,65	910	1 040	

Observație. Rezistențele admisibile pentru sudurile peste cap se reduc cu 25%.

1) Ipoteza I de încărcare corespunde acțiunii simultane, celei mai defavorabile, datorită sarcinilor fundamentale: sarcini permanente, sarcini utile inclusiv greutatea zăpezii, sarcini accesorii.

Ipoteza II de încărcare corespunde acțiunii celei mai defavorabile din ipoteza I plus sarcinile accidentale (presiunea vântului, variații de temperatură etc.).

2) Numită și „cusătură în capete“.

Tabela 4.9. Construcții de lemn. Rezistențe admisibile pentru brad

Nr. curent	Rezistențe admisibile	Simbolul	Rezistențe admisibile [kgf/cm ²]	
			Construcții definitive	Construcții provizorii auxiliare
1	Încovoiere	σ_{ai}	100	120
2	Întindere în lungul fibrelor	σ_{at}	70	85
3	Compresiune în lungul fibrelor ..	σ_{ac}	100	120
4	Strivire în lungul fibrelor (fig. 1) ..	σ_{as}	100	120
5	Compresiune normal pe fibre	$\sigma_{ac\perp}$	15	18
6	Strivire normal pe fibre ($\sigma_{as\perp}$): — cînd $0 < a < h$ sau $a < 10$ cm (fig. 2 și 3)	$\sigma'_{as\perp}$	15	18
	— în chertări laterale (fig. 6)			
	— cînd $a \geq h$ sau $a \geq 10$ cm (fig. 4 și 5)			
	— la îmbinări cu pene, avînd fibrele normal pe fibrele elementelor îmbinate (fig. 7)	$\sigma''_{as\perp}$	25	30
	— în chertări frontale (fig. 8)			
	— pe suprafețele de reazem ale construcțiilor de lemn (fig. 9) ..			
7	Strivire sub șaibe (rondele), pentru unghiuri de strivire între 60 și 90° cu direcția fibrelor	σ_{ar}	35	40
8	Forfecare în lungul fibrelor, provenind din încovoiere	τ_{at}	20	24
9	Forfecare (valoarea medie): a) la îmbinări cu praguri, cu respectarea condiției ca lungimea de forfecare luată în calcul (fig. 10) $l_{forf} \leq 10 h_p$ sau $2h$..	τ_a	10	12
	b) la pene prismatice în planul fibrelor: — în lungul fibrelor (fig. 11) ..			
	— transversal fibrelor (fig. 7) ..	τ'_a	10	12
10	Forfecare (valoarea medie) în lungul fibrelor la chertări laterale, cu respectarea condiției ca lungimea de forfecare în calcul (fig. 13) $l_{forf} \leq 5b$: — la unghiul de îmbinare a pieselor $\alpha < 30^\circ$	$\tau_{a\alpha}$	5	6
	— la unghiul de îmbinare a pieselor $\alpha \geq 30^\circ$	$\tau'_{a\alpha}$	3	4
11	Forfecare în plan normal pe fibre (valoarea medie) (fig. 12)	$\tau_{a\perp}$	45	55



Fig. 1

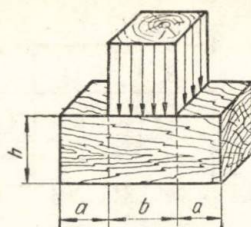


Fig. 2

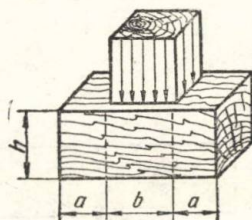


Fig. 3

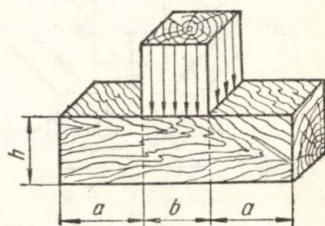


Fig. 4

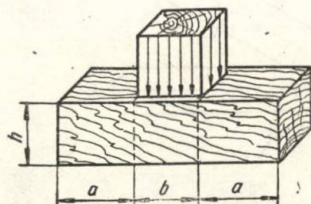


Fig. 5

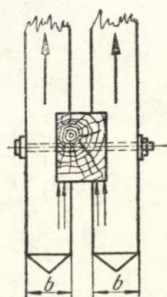


Fig. 6

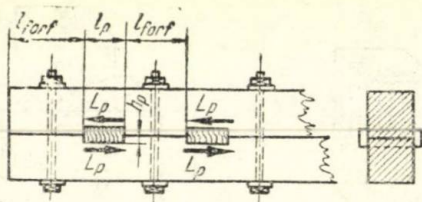


Fig. 7

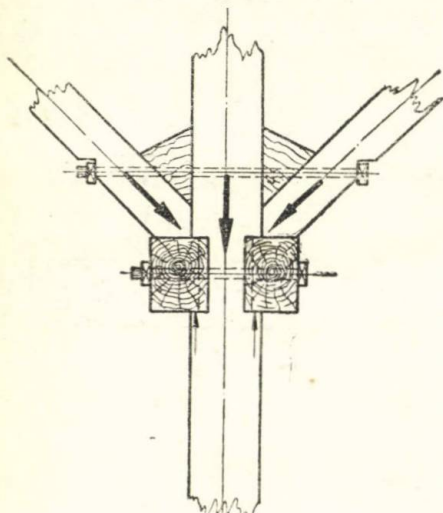


Fig. 8

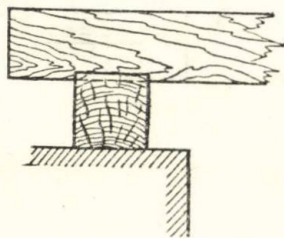


Fig. 9

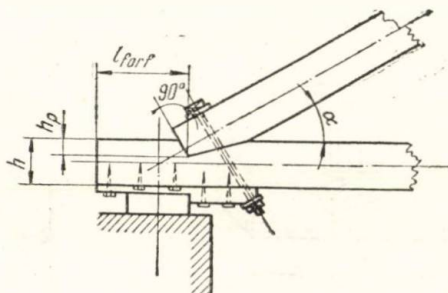


Fig. 10

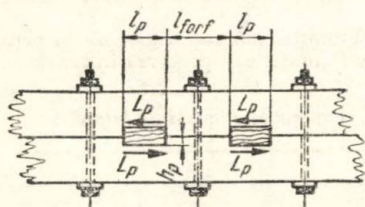


Fig. 11

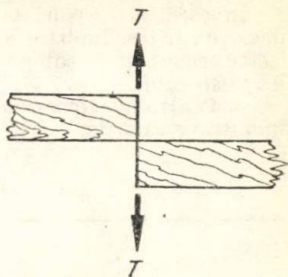


Fig. 12

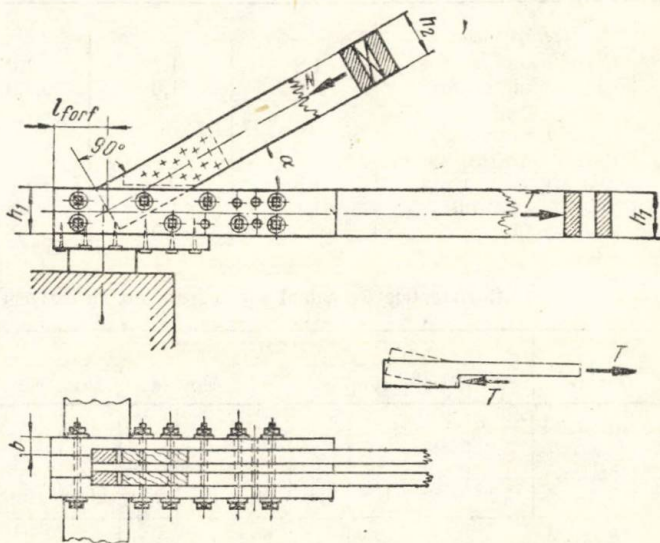


Fig. 13

Observație. — Încadrarea construcțiilor în permanente, provizorii și auxiliare, se face conform STAS 856-49.

— Rezistențele admisibile de mai sus se vor lua la dimensionarea elementelor atunci cînd materialul din care se execută corespunde categoriei în care sînt încadrate elementele conform STAS 857-49.

În cazul cînd elementul este încadrat într-o categorie superioară calității efectiv folosite a materialului, rezistențele admisibile respective se vor reduce cu 15%.

În asemenea cazuri se recomandă ca în prealabil să se studieze dacă printr-o schimbare a dispoziției constructive nu se poate realiza o concordanță între categoria în care este încadrat elementul și materialul disponibil.

— Pentru alte specii de lemn, rezistențele admisibile se obțin prin înmulțirea valorilor din tabela 1 cu coeficienții α respectivi din tabela 2.

T a b e l a 4.10. Coeficientul α pentru alte specii de lemn

Nr. curent	Specia lemnului	Coeficientul α		
		Întindere, încovoiere, compresiune și strivire în lungul fibrelor	Compresiune și strivire normal pe fibre	Forfecare
	<i>Rășinoase</i>			
1	Larice	1,2	1,2	1,0
2	Pin, molid, brad	1,0	1,0	1,0
	<i>Foioase</i>			
3	Gorun, gîrniță, salcîm, stejar	1,3	2,0	1,6
4	Fag, frasin, ulm	1,1	1,6	1,3
5	Anin, plop	0,8	1,0	0,8

T a b e l a 4.11. Rezistențele de calcul ale betoanelor, în kgf/cm² ¹⁾

Natura solicitării	Marca betonului									
	90	110	140	170	200	250	300	400	500	600
Compresiune axială (rezistență prizmatică) R_{pr}	72	88	108	125	145	175	200	260	310	350
Întindere axială sau rezistență principală de întindere R_t	10	11	13	15	17	20	23	27	31	35
Compresiune din încovoiere R_i	90	110	135	155	180	220	250	325	390	440

¹⁾ Valorile din această tabelă se micșorează cu 25% pentru betoanele din cimenturi portland supuse la acțiunea îndelungată a temperaturilor cuprinse între 100°C și 250°C. Pentru temperaturi mai mari de 250°C rezistențele de calcul se aleg după criteriile speciale.

T a b e l a 4.12. Rezistențe de rupere a zidărilor

Felul zidăriei	Rezistența de rupere	Rezistența de rupere, kgf/cm²					Cînd înălțimea rîndului este mai mare de 50 cm și marca portalului cel puțin 10
		Marca mortarului					
		103¹)	50	25	10	4	
Cărămidă sau blocuri cu înălțimea pînă la 15 cm	300	65	55	50	45	35	
	200	55	45	35	30	27	
	150	45	35	30	25	23	
	125	40	33	28	23	20	
	100	35	30	25	20	18	
	75	30	25	22	18	15	
	50	—	20	18	14	11	
	35	—	16	14	11	9	
	25	—		10	9	7	
Blocuri de beton sau piatră naturală	1 000	240	220	210	190	170	420
	700	180	165	160	140	130	315
	500	140	120	115	105	95	245
	300	90	85	80	75	65	165
	200	70	65	60	55	50	120
	150	63	53	48	43	38	95
	125	58	46	42	38	34	80
	100	45	40	35	33	30	65
	75	38	32	31	27	24	50
	50	30	25	23	20	18	35
	35	—	20	19	17	15	27
	25	—	16	15	13	11	18
Blocuri de beton cu goluri	100	40	34	32	27	25	
	75	32	28	25	22	20	
	50	25	22	20	17	15	
	35	—	18	16	14	12	
	25	—	14	13	11	10	

T a b e l a 4.12. (continuare)

Felul zidăriei	Rezistența de rupere	Rezistența de rupere, kgf/cm ²					Cînd înălțimea rîndului este mai mare de 50 cm și marca mortarului cel puțin 10
		Marca mortarului					
		100 ¹	50	25	10	4	
Piatră brută	1 000	50	35	25	15	10	
	700	42	30	19	13,5	8,5	
	500	35	25	17	12	7	
	300	26	20	14,5	10	6	
	200	22	17	13	9	5,5	
	150	18,5	14,5	11,5	8	5	
	100	15	12	10	7	4,5	
	75	12	10,5	9	6	4	
	50	—	9	7,5	5,5	4	

¹⁾ Pentru mortăturile de ciment fără plastifiant (var) rezistențele de rupere din tabelă se reduc cu 15%.

T a b e l a 4.13. Rezistențele admisibile pentru beton la podurile de beton armat, în kgf/cm²

Natura solicitării	Marca betonului					
	140	170	200	250	300	350
Compresiune axială	$\frac{53}{40}$	$\frac{62}{50}$	$\frac{72}{60}$	$\frac{87}{70}$	$\frac{100}{80}$	$\frac{112}{90}$
Compresiune din încovoiere	$\frac{65}{50}$	$\frac{75}{60}$	$\frac{90}{70}$	$\frac{110}{85}$	$\frac{125}{100}$	$\frac{140}{115}$
Efort unitar principal de întindere, cînd barele ridicate și etrierii se prevăd constructiv	$\frac{5}{4,5}$	$\frac{6}{5,2}$	$\frac{7}{5,7}$	$\frac{8}{6,7}$	$\frac{9}{7,5}$	$\frac{10}{8,3}$
Efort unitar principal de întindere limită, cînd barele ridicate și etrierii intră în calcule	$\frac{13}{12}$	$\frac{15}{14}$	$\frac{17}{16}$	$\frac{20}{18}$	$\frac{22}{20}$	$\frac{25}{22}$

Notă. Numerele de sus corespund pentru podurile de șosea, iar cele de jos pentru podurile de cale ferată.

T a b e l a 4.14. Presiuni admisibile în kgf/cm² pentru terenul de fundație (STAS 3503-52)

Nr. crt.	Denumirea materialului din terenul de fundație	Sarcini definite conform STAS 503-49			Observații
		Sarcini fundamentale	Sarcini fundamentale + accidentale	Sarcini fundamentale + accidentale + extraordinare	
I. Roci stîncoase					
1	Stîncă în formă de masiv compact fără crăpături sau goluri carstice	1/7 din rezistența rocii la compresiune în stare saturată	1/6 din rezistența la compresiune în stare saturată	1/5 din rezistența la compresiune în stare saturată	Presiunea admisibilă în cazul fundării pe roci stîncoase nu variază cu adîncimea de fundare și dimensiunile în plan ale fundațiilor
2	Stîncă crăpată constînd din blocuri nelegate, asemenea unei zidării uscate	între 15...6 în funcție de rezistența rocii la compresiune și de dimensiunile fragmentelor	între 18...7, în funcție de rezistența rocii la compresiune și de dimensiunile fragmentelor	între 21...9, în funcție de rezistența rocii la compresiune și de dimensiunile fragmentelor	
II. Roci marnoase, argiloase și nisipoase consolidate					
3	Marne, marne argiloase și argile marnoase compacte, tari	7,5 ... 2,5	9,0 ... 3,0	10,0 ... 3,5	Presiunea admisibilă pe marne, argile marnoase, argile șistificate, șisturi și nisipuri cimentate se va stabili între limitele prescrise în funcție de rezistența la compresiune a materialului.
4	Argile șistificate, argile șistoase și șisturi, argile cusilice și nisipuri cimentate	6,0 ... 4,0	7,0 ... 5,0	8,5 ... 5,5	Valoarea presiunii admisibile nu variază cu adîncimea de fundare și dimensiunile fundațiilor.

T a b e l a 4.14 (continuare)

III. Bolovănișuri, pietrișuri

Nr. crt.	Denumirea materialului din terenul de fundație	Sarcini definite conform STAS 503-49			Observații
		Sarcini fundamentale	Sarcini fundamentale + accidentale	Sarcini fundamentale + extraordinare	
5	Bolovănișuri cu interspațiile umplute cu nisip și pietriș	6,0	7,0	8,5	Presiunile admisibile pentru bolovănișuri și pietrișuri cu interspațiile umplute cu pământuri argiloase se aleg în funcție de starea de consistență a umpluturii
6	Blocuri cu interspațiile umplute cu pământuri argiloase	4 ... 2,5	5,0 ... 3,0	5,5 ... 3,5	
7	Pietrișuri curate	5,0	6,0	7,0	
8	Pietrișuri cu nisip	4,0	5,0	6,0	
9	Pietrișuri cu nisip argilos	3 ... 2,0	4,0 ... 3,0	5,0 ... 4,0	

IV. Pământuri nisipoase

IV. Pământuri nisipoase

	Compac-te	Cu în-desare mij-locie	Com-pacte	Cu în-desare mij-locie	Com-pacte	Cu în-desare mij-locie
10	Nisip mare	4,5	3,5	5,5	4,0	6,5
11	Nisip mijlociu	3,5	2,5	4,0	3,0	5,0
12	Nisip fin { umed foarte umed și saturat	3,0	2,5	3,5	2,5	4,5
		2,5	1,5	3,0	1,8	3,5
13	Nisip fin prăfos { usc umed foarte umed și sa- turat	2,5	2,0	3,0	2,5	4,0
		2,0	1,5	2,5	2,0	3,0
		1,5	1,0	1,8	1,2	2,0

Pentru umpluturile de nisip pilonat sau vibrat umed, în strate de 0,15...0,20 cm, se vor lua valorile corespunzătoare coloanei „cu îndesare mijlocie”. În cazul fundării pe nisipuri fine prăfoase, în apă, se va specifica pe planul săpăturilor pentru fundații măsurile luate pentru a împiedica antrenarea materialului prin epuismen-te.

V. Pământuri argiloase

14	Nisipuri argiloase sau praf argilos cu porozitatea: $n = 33\%$ $n = 41\%$	3,0	2,5	3,5	3,0	4,0	3,0
		2,5	1,5	3,0	1,8	3,3	2,0
15	Argilă nisipoasă sau argilă prăfoasă cu porozitatea: $n = 33\%$ $n = 41\%$ $n = 50\%$	3,0 2,5 2,0	2,5	3,5	3,0	4,0	3,3
			1,8	3,0	2,0	3,3	2,2
			1,0	2,5	1,2	3,0	1,3
16	Argile cu porozitatea $n = 37\%$ $n = 44\%$ $n = 52\%$	5,0 3,0 2,5	3,0	6,0	3,5	7,0	4,0
			2,0	3,5	2,5	4,0	2,8
			1,0	3,0	1,1	3,3	1,3

Presiunea admisibilă pe pământurile argiloase se obține prin interpolare în funcție de valoarea indicelui de consistență (I_c) și apoi prin interpolare în raport cu porozitatea pământului (n).

Pentru pământurile argiloase tari ($I_c \geq 1$) presiunea admisibilă se va alege după cum urmează:

- a) pentru nisipuri argiloase sau prafuri argiloase valorile corespunzătoare lui $I_c = 1$;
b) pentru argile nisipoase și argile, valorile din coloana $I_c = 1$ majorate cu 20%.

Observație. Datele din această tabelă sînt valabile pentru o adâncime de fundare $h \geq 2m$. Pentru $h = 0$ se consideră o presiune admisibilă egală cu jumătate din valoarea corespunzătoare din tabelă, iar pentru $0 < h < 2$ se interpolează liniar între valorile corespunzătoare pentru $h = 0$ și pentru $h \geq 2$ (din tabelă).

T a b e l a 4.15. Coeficienții de siguranță ai zidărilor la calculul după stadiul de rupere

Solicitarea și felul zidăriei	Ipotezele de calcul		
	Sarcini fundamentale	Sarcini fundamentale și accidentale	Sarcini fundamentale, accidentale și extraordinare
1. La calculul zidăriei la rezistența la rupere, în pereți, stâlpi, arce și bolți cu o secțiune mai mare decât 0,30 m ² :			
— din cărămidă și piatră naturală brută	2,5	2,3	1,9
— din blocuri de beton și piatră naturală cu forme regulate și blocuri de lut	2,8	2,5	2,1
— din blocuri ceramice cu goluri	3,0	2,7	2,3
2. La calculul de fisurare	1,2	1,1	—
3. La calculul stabilității la răsturnare și alunecare	1,5	1,4	1,2

T a b e l a 4.16. Coeficienții de siguranță pentru elementele din beton armat la calculul după stadiul de rupere

Combinarea sarcinilor	Raportul $\frac{Q_u}{Q_g}$	Cauzele ruperii		
		Betonul ajunge la limita de rezistență prin compresiune sau armătura ajunge la limita de curgere		Betonul ajunge la limita de rezistență prin întindere (eforturi principale de întindere)
		În stâlpi, reazeme și arce	În restul elementelor de construcție	
		c	c	c ₁
a) Sarcini fundamentale	Pină la 2	2,0 (1,85)	1,8	2,2
	Peste 2	2,2 (2,0)	2,0	2,4
b) Sarcini fundamentale + sarcini accidentale	Pină la 2	1,8	1,6	2,0
	Peste 2	2,0	1,8	2,2
c) Sarcinile de la b), inclusiv sarcini extraordinare	Pentru orice raport	1,6	1,5	1,8

*Stările limită ale construcției*¹⁾ sînt acelea, după care nu mai este posibilă o exploatare normală; astfel se deosebesc trei stări limită:

1) *capacitatea portantă* (rezistență, stabilitate și rezistență la oboseală);

2) *dezvoltarea unor deformații foarte mari;*

3) *formarea de fisuri și stricăciuni.*

Formula de calcul după prima stare limită are forma

$$N_{calc} \leq N_{lim}, \quad (4.85)$$

unde N_{calc} este *efortul de calcul* (forța sau momentul), care se calculează în funcție de sarcini; el este un efort total ce se exprimă în funcție de încărcările permanente N_p și utilă N_u , și de coeficienții de supraîncărcare c_p și c_u adică

$$N_{calc} = N_p \cdot c_p + N_u \cdot c_u \quad (4.86)$$

(mărimile c_p și c_u sînt indicate în tabela 4.17);

N_{lim} este *rezistența limită* a materialului și construcției, determinată cu metodele rezistenței materialelor, ținînd seama de:

a) particularitățile construcției evaluate cu *coeficienți speciali de condiții de lucru m* (tabela 4.17);

b) reducerea posibilă a rezistenței de calcul R_{calc} a materialului față de cea din norme R^n , ca urmare a neuniformității probabile a materialului; în acest caz,

$$R_{calc} = R^n \cdot k_n, \quad (4.87)$$

$$N_{lim} = A m R^n k_n, \quad (4.88)$$

unde k_n este *coeficientul de neuniformitate*, care se ia între limitele 0,85 ... 1,0; A este *caracteristica geometrică* a secțiunii (în cazul cînd N este o forță, A se exprimă în cm; în cazul cînd efortul este un moment M , caracteristica A se exprimă în cm³). Valorile lui R_{calc} pentru unele materiale sînt indicate în tabela 4.18.

Tabela 4.17. Coeficienți de supraîncărcare orientativi c și coeficienții condițiilor de lucru m

Natura supraîncărcării și a condițiilor de lucru	c_p	c_u	m
Sarcină permanentă	1—1,2	—	—
Zăpadă	—	1,4	—
Vînt	—	1,2—1,5	—
Sarcină utilă	—	1,2—1,4	—
Solicitare la întindere	—	—	0,8—1
Solicitare la compresie	—	—	0,6—0,9
Solicitare la forfecare, despicare	—	—	0,8—1
Solicitare la încovoiere	—	—	0,9—1

¹⁾ Din anul 1956 s-a început folosirea acestui fel de calcul la proiectările de construcții din U.R.S.S.

T a b e l a 4.18. Rezistențe de calcul R_{calc} (formula 4.87)

Materiale și rezistența	[kgf/mm ²]
Oțel 2, Oțel 3 — întindere, compresiune, încovoiere	20—21
Oțel 2, Oțel 3 — tăiere	12—13
Oțel 2, Oțel 3 — strivirea capătului	30—32
Pin — încovoiere, compresiune, strivire, în lungul fibrelor	1,3
Pin — întindere	1
Pin — despicare	0,12
Pin — compresiune și strivire transversal pe fibră	0,18
Zidărie de cărămidă, cu marca cărămizii și a mortarului 100	0,18
Idem, 75	0,14
Beton în beton armat — compresiune axială	0,65—0,9—1,25
Beton în beton armat — încovoiere	0,75—1,05—1,4
Beton în beton armat — întindere axială	0,04
Armătura în beton armat {OL. 3	21
{OL. 5	24

Observații:

1. Datele pentru beton se referă la mărcile sale respective 140, 200, 300.

2. Oțelurile OL 2 și OL 3 din GOST corespund aproximativ oțelurilor românești, respectiv OL 34 și OL 38 (vezi STAS R-4400-54).

Calculul după a doua stare limită cere îndeplinirea condiției

$$\Delta_{calc} \leq [f], \quad (4.89)$$

unde Δ_{calc} este deplasarea efectivă a construcției (săgeată, rotire) cauzată de sarcina normală, iar $[f]$ este deplasarea admisă de normele de calcul (tabela 4.19).

T a b e l a 4.19. Săgețile maxime ale elementelor supuse la încovoiere

Denumirea elementelor	Săgețile limită în fracțiuni din deschiderea l
Grinzi de rulare:	
a) pentru poduri rulante manuale	1/500
b) pentru poduri rulante electrice	1/600
Elementele planșeelor intermediare cu intradosul plan:	
— pentru $l < 7$ m	1/200
— pentru $l \geq 7$ m	1/300
Elementele planșeelor intermediare și ale scărilor cu intradosul nervurat:	
— pentru $l < 5$ m	1/200
— pentru $5 \text{ m} \leq l < 7 \text{ m}$	1/300
— pentru $l \geq 7 \text{ m}$	1/400

T a b e l a 4.19 (continuare)

Denumirea elementelor	Săgețile limită în fracțiuni din deschiderea l
Elementele planșeelor de acoperiș ale clădirilor industriale:	
— pentru $l < 7$ m	1/200
— pentru $l \geq 7$ m	1/300
Grinzi din planșee care suportă zidării, săgeata datorită sarcinilor permanente și utile	$< 1/500$
Grinzi din planșee care nu suportă ziduri, dar pot suporta suprasarcini, săgeata datorită numai sarcinilor permanente și utile este	$< 1/500$
În cazul unei suprasarcini săgeata datorită numai acesteia trebuie să fie	$< 1/500$

Calculul după a treia stare limită se efectuează după indicațiile speciale pentru acele construcții (de exemplu din beton armat) și în acele condiții, când fisurările și stricăciunile nu periclitează rezistența și stabilitatea.

§ 4.10. Luarea în considerare a greutății proprii

O bară de secțiune variabilă A_x întinsă (comprimată) centric de forță P , are la distanța x de punctul O (fig. 4.16) tensiunea σ_x și alungirea Δx

$$\sigma_x = \frac{P + G_x}{A_x}, \quad (4.90)$$

$$\Delta x = \int_0^x \frac{P + G_x}{EA_x} dx. \quad (4.91)$$

În cazul cînd $G_x = Ax\gamma$, unde γ este greutatea specifică, iar $A_x = A = \text{const}$ (prismă), rezultă

$$\sigma_x = \frac{P}{A} + x\gamma, \quad (4.92)$$

$$\Delta x = \frac{Px}{EA} + \frac{x^2\gamma}{2E}. \quad (4.93)$$

În cazul $\sigma_x = \sigma = \text{const}$ (bară de egală rezistență) și $A_0 = P : \sigma$, se obține

$$A_x = A_0 e^{\gamma x / \sigma} \quad (4.94)$$

$$\Delta x = \frac{\sigma}{E} x. \quad (4.95)$$

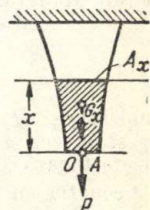


Fig. 4.16.

Fir flexibil cu reazeme la același nivel (fig. 4.17). Pentru sarcina uniform distribuită q [kgf/cm], pentru deschiderea l și pentru săgeata f , se obțin următoarele expresii ale reacțiunilor R și H , a tensiunii σ și a lungimii s a firului pe curbă

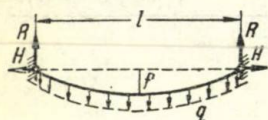


Fig. 4.17.

$$R = 0,5ql, \quad H = \frac{ql^2}{8f}, \quad \sigma = \frac{\gamma l^2}{8f}, \quad (4.96)$$

$$s = l \left(1 + \frac{8}{3} \frac{f^2}{l^2} \right) \text{ sau}$$

$$s = l \left(1 + \frac{16}{3} \frac{f^2}{l^2} \right)^{1/2}, \quad (4.97)$$

unde $\gamma = \frac{q}{A}$, A fiind aria secțiunii firului.

T a b e l a 4.20. Deschiderea l [m] a firului, funcție de raportul l/f și tensiunea σ [kgf/mm²] la $\gamma = 8 \text{ t/m}^3$

σ [kgf/mm ²]	$l : f$		
	1 000	100	50
100	100	1 000	2 000
10	10	100	200

Observații. 1. Funcția ce dă pe l este liniară.

2. Pentru $\gamma_1 \neq 8 \text{ t/m}^3$, lungimea l_1 se găsește cu ajutorul lungimii l din tabelă, după formula $l_1 = l \frac{8}{\gamma_1}$. Alungirea firului (se ia în considerare atunci când σ și l sînt mari) este

$$\Delta s \approx \frac{\Delta \sigma l}{E} = \frac{H_1 - H_0}{EA} l, \quad (4.98)$$

unde H_0 și H_1 sînt forțele de întindere orizontale la sarcina inițială q_0 și la cea finală q_1 . În cazul general (orice încărcare) calculul se efectuează după formulele:

ecuația curbei firului

$$y = M : H_1, \quad (4.99)$$

lungimea curbei

$$s_1 = l + \frac{1}{2H_1^2} \int_0^l T_1^2 dx + \frac{\Delta \sigma \cdot l}{E}, \quad (4.100)$$

unde M și T_1 sînt respectiv momentul încovoietor și forța tăietoare a barei simplu rezemate echivalente, la sarcina dată; forța H_1 se găsește din condiția $s_1 = s$, unde s se ia din formula (4.97).

§ 4.11. Probleme static nedeterminate

A. La calculul prin *metoda rezistențelor admisibile* se scriu ecuațiile de echilibru și condițiile de compatibilitate a deplasărilor; numărul acestora din urmă este egal cu gradul de nedeterminare statică. Se cere (fig. 4.18) secțiunea A a unei bare verticale, atunci cînd sarcina la macara este $P = 13$ tf, iar $\sigma_a = 16$ kgf/mm².

Bara AB a sistemului se presupune absolut rigidă. Sistemul este simplu static nedeterminat; folosim ecuațiile:

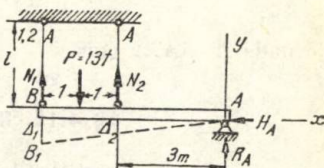


Fig. 4.18.

a) ecuația de echilibru

$$\sum M_A = 0 \quad \text{sau} \quad N_1 \cdot 5 + N_2 \cdot 3 = 13 \cdot 4;$$

b) de deplasări (în urma rotirii barei AB în poziția AB_1)

$$\Delta_2 : \Delta_1 = 3 : 5 \quad \text{sau} \quad \frac{N_2 l}{EA} \cdot \frac{E \cdot 1,2 A}{N_1 l} = 0,6.$$

Rezolvînd aceste ecuații, găsim: $N_1 = 8$ tf, $N_2 = 4$ tf.

Din ecuațiile de proiecții $\sum X = 0$ și $\sum Y = 0$, găsim $H_A = 0$; $R_A = 1$ tf. Secțiunea necesară se găsește din condiția:

$$1,2 A = \frac{N_1}{\sigma_a} = \frac{8000}{1600} = 5 \text{ cm}^2 \quad \text{sau} \quad A = 4,17 \text{ cm}^2.$$

B. Calculul după *metoda la rupere*, se face în următoarea ordine:

a) sarcina care lucrează P se amplifică spre a obține mărimea sarcinii de rupere, $P \cdot c$, prin înmulțirea cu coeficientul de siguranță c ;

b) se consideră atingerea stării de rupere (aici curgere) în bara $n + 1$, unde n este gradul de nedeterminare statică. În cazul din fig. 4.18, avem: $N_{1c} = 1,2 A c$; $N_{2c} = A \sigma_c$. Din ecuația de momente $\sum M_A = 0$, avem:

$$13 c \cdot 4 = N_{1c} \cdot 5 + N_{2c} \cdot 3$$

de unde, admitînd

$$\frac{\sigma_c}{c} = \sigma_a = 1600 \text{ kgf/cm}^2$$

se obține $A = 3,61 \text{ cm}^2$.

C. Pentru același sistem (fig. 4.18) se poate efectua un calcul la *starea limită*. În acest caz să admitem că toată sarcina P se compune din sarcina permanentă $P_{cp} = 3$ tf și sarcina utilă $P_u = 10$ tf; să considerăm coeficienții de supraîncărcare $C_p = 1,1$ și $C_u = 1,3$; afară de aceasta, pentru Ol.3 rezistența standardizată este $R = \sigma_c = 24$ kgf/mm², iar coeficienții condițiilor de lucru m și de neomogenitate k sînt egali cu $m = k = 0,91$. Atunci, pentru efortul $N_1 = 8$ tf, determinat din calculul sistemului static nedeterminat, avem:

$$N_1 \frac{3}{13} C_p + N_1 \frac{10}{13} C_u \leq 1,2 A \cdot \sigma_T km,$$

de unde $A = 4,22$ cm².

§ 4.12. Efectul temperaturii

Sub acțiunea variațiilor temperaturii în sistemele static determinate au loc deformații libere ale barelor, fără a se produce tensiuni. Dacă $t = \text{const}$ este creșterea temperaturii pe toată lungimea l a barei, atunci alungirea ei Δl_t este:

$$\Delta l_t = \alpha l \Delta t, \quad (4.101)$$

unde α este coeficientul de dilatare termică liniară, ale cărui valori, pentru unele materiale, sînt indicate în tabelă:

Materialul	Oțel-beton	Duralu-miniu	Alamă, bronz	Cupru	Piomb, zinc, staniu	Porțelan
$\alpha \cdot 10^6$	12	22	18	16	28	3

Într-un sistem static nedeterminat, dacă deformațiile produse de variația temperaturii sînt parțial împiedicate, alungirea barei cu $A = \text{const}$ este

$$\Delta l = \frac{Nl}{EA} + \alpha l \Delta t \quad (4.102)$$

iar tensiunea este, ca de obicei, $\sigma = N : A$. Considerăm că la sistemul din fig. 4.18, avînd $A_1 = 1,2 A$ și $A_2 = A$, bara din dreapta a suferit o încălzire suplimentară cu 40°C; în acest caz $P = 0$, $E = 2 \cdot 10^6$ kgf/cm²; $\alpha = 13 \cdot 10^{-6}$. Ecuațiile de echilibru ($\sum M_A = 0$) și de deplasări (§ 4.11, a) devin:

- a) $5 N_1 + 3 N_2 = 0$, sau $\sigma_1 = -0,5 \sigma_2$
 b) $\Delta_2 = 0,6 \Delta_1$, sau cu ajutorul relației (4.102)

$$\frac{\sigma_2}{E} + \alpha \Delta t = \frac{\sigma_1}{E}.$$

Rezolvîndu-le, găsim: $\sigma_2 = -800$ kgf/cm² și $\sigma_1 = 400$ kgf/cm².

§ 4.13. Tensiuni și deformății pe direcții înclinate

La întinderea după o singură direcție (fig. 4.19)

$$\sigma_\alpha = \sigma \cos^2 \alpha, \quad \tau_\alpha = \sigma \sin \alpha' \cos \alpha; \quad (4.103)$$

$$\left. \begin{aligned} \varepsilon_\alpha &= \varepsilon_x \cos^2 \alpha + \varepsilon_y \sin^2 \alpha \\ \gamma_\alpha &= (\varepsilon_x - \varepsilon_y) \sin \alpha \cos \alpha \end{aligned} \right\} \quad (4.104)$$

unde

$$\varepsilon_y = -\mu \varepsilon_x; \quad \varepsilon_x = \sigma : E. \quad (4.105)$$

La întindere pe două direcții (fig. 4.20)

$$\sigma_\alpha = \sigma_x \cos^2 \alpha + \sigma_y \sin^2 \alpha, \quad \tau_\alpha = (\sigma_x - \sigma_y) \sin \alpha \cos \alpha. \quad (4.106)$$

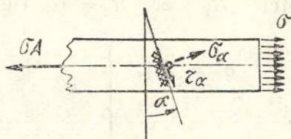


Fig. 4.19.

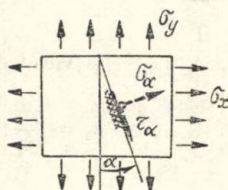


Fig. 4.20.

Formulele (4.104) își păstrează valabilitatea; în acest caz

$$\varepsilon_x = \frac{\sigma_x - \mu \sigma_y}{E}, \quad \varepsilon_y = \frac{\sigma_y - \mu \sigma_x}{E}; \quad (4.107)$$

iar lucrul mecanic specific este

$$W_1 = \frac{1}{2} (\sigma_x \varepsilon_x + \sigma_y \varepsilon_y) = \frac{1}{2E} (\sigma_x^2 + \sigma_y^2 - 2\mu \sigma_x \sigma_y). \quad (4.108)$$

§ 4.14. Învélitori subțiri de rotație

Într-un punct arbitrar A (fig. 4.21) razele principale de curbura sînt: R_1 — pentru curba meridiană, $r = f(x)$ și R_2 — pentru cercul paralel, unde $R_2 = r : \cos \alpha$, iar r este raza cercului paralel în planul perpendicular pe axa de rotație x . În cazul acțiunii unei presiuni interioare p , normală la suprafața învelitorii, condițiile de echilibru (ecuația lui Laplace) sînt:

$$\left. \begin{aligned} \frac{\sigma_1}{R_1} + \frac{\sigma_2}{R_2} &= \frac{p}{\delta}, \\ \sigma_1 &= \frac{p R_2}{2\delta}. \end{aligned} \right\} \quad (4.109)$$

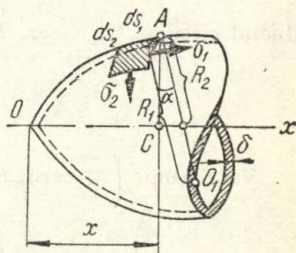
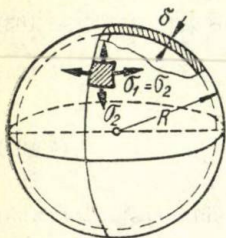


Fig. 4.21.

Deformațiile relative ale elementului $ds_1 ds_2$ se determină cu formulele (4.97); variația razei R_2 este:

$$\Delta R_2 = R_2 \varepsilon_2 = R_2 \frac{\sigma_2 - \mu \sigma_1}{E}. \quad (4.110)$$



a

Vasul sferic ($R_1 = R_2 = R$) (fig. 4.21, a):

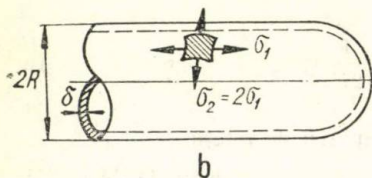
$$\sigma_1 = \sigma_2 = \frac{pR}{2\delta},$$

$$\Delta R = \frac{pR^2(1 - \mu)}{2E\delta}. \quad (4.111)$$

Fig. 4.21.

Vasul cilindric ($R_1 = \infty$, $R_2 = R$) (fig. 4.21, b):

$$\left. \begin{aligned} \sigma_1 &= \frac{pR}{2\delta}; & \sigma_2 &= 2\sigma_1, \\ \Delta R &= \frac{pR^2}{2E\delta} (2 - \mu). \end{aligned} \right\} \quad (4.112)$$



b

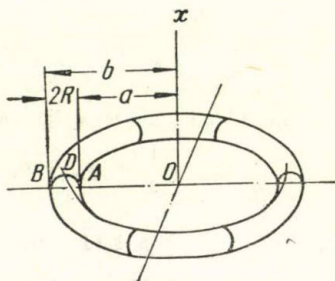


Fig. 4.21.

Inelul circular ($R_1 = \infty$, $R_2 = R$):

$$\sigma_1 = 0, \quad \sigma_2 = \frac{pR}{\delta}, \quad \Delta R = \frac{pR^2}{E\delta}. \quad (4.113)$$

Vasul conic ($R_1 = \infty$, $R_2 = r: \cos \alpha = \frac{x \operatorname{tg} \alpha}{\cos \alpha}$) (fig. 4.21, c):

$$\sigma_1 = \frac{pR_2}{2\delta}; \quad \sigma_2 = 2\sigma_1. \quad (4.114)$$

Torul este un vas obținut prin rotația unui inel circular de rază R (fig. 4.21, d) în jurul axei x ($R_1 = R = \text{const}$, $R_2 = -a$ pentru punctul A ; $R_2 = b$ pentru punctul B):

$$\sigma_2 = \frac{pR}{2\delta}; \quad \sigma_{1B} = \frac{pR}{\delta} \left(1 - \frac{R}{2b}\right); \quad \sigma_{1A} = \frac{pR}{\delta} \left(1 + \frac{R}{2a}\right). \quad (4.115)$$

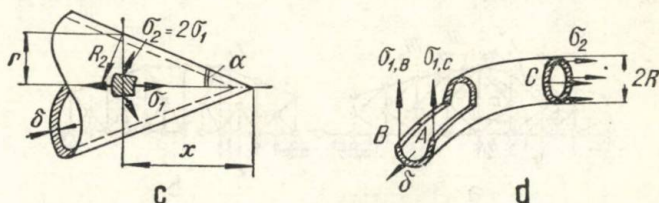


Fig. 4.21

În punctul D , care este așezat la distanța $a + R$ de axa x , $R_2 = \infty$; prin urmare, din ecuația (4.109) rezultă $\sigma_{1D} = \frac{pR}{\delta}$.

§ 4.15. Grinzi cu zăbrele¹⁾

Cea mai simplă schemă de calcul pentru grinzi cu zăbrele este sistemul de *bare articulate*, format din bare drepte, încărcat numai în noduri. Barele grinzii cu zăbrele suportă eforturi de întindere, sau de compresiune.

Aici se examinează bazele calculului doar pentru câteva tipuri simple de grinzi cu zăbrele. În fig. 4.22 se arată grinzi cu tălpi paralele:

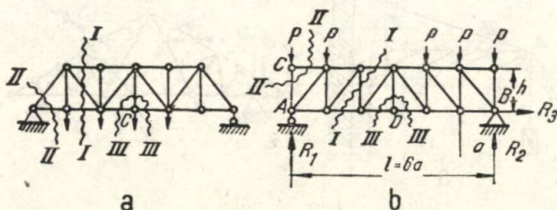


Fig. 4.22.

¹⁾ Vezi capitolul 4 în cartea «Основы строительной механики стержневых систем» И. М. Рабинович, 1956.

a — sistem triunghiular, b — sistem dreptunghiular. În fig. 4.23 sînt grinzi cu zăbrele cu talpă poligonală: a — sistem K ; b — compusă. În fig. 4.24: a — grindă cu zăbrele de macara, b — fermă de acoperiș.

Grinda cu zăbrele trebuie să fie geometric nedeformabilă și să satisfacă cerința indispensabilă în acest scop; numărul de bare interioare este egal cu dublul numărului de noduri minus trei. De exemplu, în grinda din fig. 4.22, a sînt 12 noduri, deci 21 de bare; în grinda

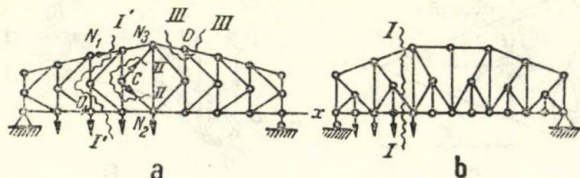


Fig. 4.23.

din fig. 4.24, a sînt 11 noduri, deci 19 bare (tirantul AB este bara exterioră).

Pentru determinarea pe cale analitică a eforturilor se folosește metoda secțiunilor; se recomandă ca secțiunile să fie făcute așa cum se indică în fig. 4.22—4.24.

La izolarea nodurilor (secțiunile $II-II$, $III-III$ și $IV-IV$ în toate schemele) se încearcă a se realiza fie ca secțiunea să treacă numai prin două bare și atunci, deoarece pentru forțele concurente se folosesc două ecuații statice, necunoscutele se pot găsi; fie să se realizeze ca, atunci cînd se secționează un număr mai mare de bare, eforturile în barele suplimentare să fie găsite în prealabil.

Să examinăm, de exemplu, schema din fig. 4.24, b ; din secțiunea $II-II$, prin tăierea nodului F , se găsesc eforturile în două bare FD și FK ; în nodul D converg trei bare, dar printre ele este FD ; prin urmare, acum din secțiunea $III-III$ se pot găsi eforturile în cele-

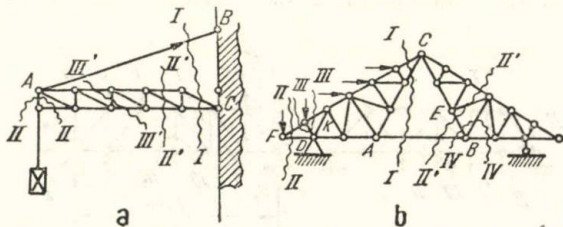


Fig. 4.24.

alte două bare; în nodul F converg patru bare; aceasta înseamnă că problema poate fi rezolvată, dacă se vor găsi în prealabil eforturile, să spunem, în barele AB (din secțiunea $I-I$) și BE (din secțiunea $II'-II'$).

Secțiunile *III—III* în schema din fig. 4.22, *a* și *b* sînt caracteristice prin faptul că, din trei bare prezente într-un nod, două sînt în prelungire; în acest caz, efortul în bara a treia se găsește ușor prin proiectarea tuturor forțelor pe o axă perpendiculară pe primele două bare.

În metoda izolării nodurilor, atunci cînd la fiecare nod succesiv secționat există doar două eforturi noi necunoscute, iar celelalte au fost în prealabil găsite, este posibil ca erorile să se acumuleze. Se recomandă atunci determinarea independentă a eforturilor în fiecare bară separat. Foarte des se reușește a se realiza aceasta, folosind nu izolarea nodurilor, ci secționări de tipul *I—I* arătate în schemele din fig. 4.22—4.24.

Secțiunea *I—I* prin trei bare, ale căror axe nu se întretaie în același punct, permite utilizarea a trei ecuații statice; cele mai comode sînt ecuațiile de momente față de punctele de intersecție ale unei perechi de bare (*punctele lui Ritter*); dacă două bare oarecare sînt paralele (ca în cazul fermelor din fig. 4.22, *a* și *b*), punctul lui Ritter se depărtează la infinit și se utilizează ecuațiile de proiecție pe axa perpendiculară pe barele paralele.

Fie de determinat eforturile în barele grinzii cu zăbrele cu tălpi paralele, din fig. 4.22, *b*. Reacțiunile din reazeme vor fi: $R_1 = 2,33 P$, $R_2 = 2,67 P$, $R_3 = 0$. Izolînd cu ajutorul secțiunii *II—II* nodul *C* (fig. 4.25, *a*), presupunînd că eforturile necunoscute, N_1 și N_2 sînt de întindere și proiectînd forțele, pe axele *Ox* și *Oy*, obținem: $N_1 = 0$; $N_2 = -P$ (compresiune). Secționînd grinda (secțiunea *I—I*) și înlăturînd partea ei dreaptă, vom admite din nou că eforturile necunoscute N_3 , N_4 și N_5 sînt întinderi (fig. 4.25, *b*). Pentru determinarea lui N_3 (punctul lui Ritter este la infinit), scriem ecuația de proiecții $\Sigma Y = 0 = 2,33 P - 2 P - N_3$, de unde $N_3 = 0,33 P$. Pentru eforturile N_4 și N_5 , punctele lui Ritter vor fi respectiv O_4 și O_5 . Din ecuația $\Sigma M_{O_4} = 0$ avem:

$$2,33 P \cdot 2a - 2 P \cdot 1,5a + N_4 h = 0.$$

de unde $N_4 = -1,66 P a/h$ (compresiune). Deoarece punctul O_5 este așezat pe aceeași verticală cu punctul O_4 , obținem $N_5 = -N_4$ (întin-

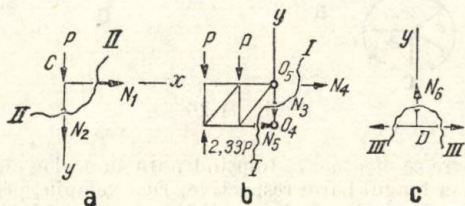


Fig. 4.25.

dere). Pentru determinarea efortului în montantul central al fermei, separăm nodul *D* prin secțiunea *III—III* (fig. 4.25, *c*). Din condiția $\Sigma Y = 0$ găsim $N_6 = 0$. În mod analog se determină eforturile în

zînd și reacțiunile din reazime): ab, bc, cd, de, ea , care formează un poligon închis. După aceea, se taie nod după nod (într-o asemenea ordine ca în nodul dat să nu fie mai mult decît două necunoscute și pentru fiecare nod se termină construirea poligonului de forțe închis).

Pentru sistemul din fig. 4.26 s-a admis următoarea ordine de izolare a nodurilor: I, II, III, IV . Pentru nodul I în planul forțelor se obține triunghiul $abb11a$; pentru nodul II — poligonul $1bbcc221$ și a.m.d.

Eforturile de compresie sînt notate punctat, eforturile de întindere prin linii continue.

Bibliografie

1. Vezi capitolul 4.1.
2. Рабинович И. М., Основы строительной механики стержневых систем, Стройздат, 1956.
3. Справочник машиностроителя, т. 3, Машгиз, 1955.

4.3

Forfecare

§ 4.16. Formule generale

Tensiunile tangențiale τ produse de acțiunea forțelor tăietoare T asupra unui element mic de bară Δs (fig. 4.27) se determină aproximativ în ipoteza că ele sînt uniform distribuite pe suprafața secțiunii transversale

$$\tau = \frac{T}{A} \quad (4.116)$$

unde $T = P$; formula se utilizează în calculul de forfecare al șuruburilor, niturilor, cusăturilor sudate, îmbinărilor.

Sub limita de elasticitate, lunecarea specifică este

$$\gamma = \frac{\delta \Delta S}{\Delta S} \quad (4.117)$$

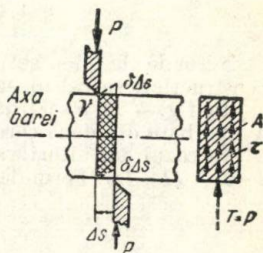


Fig. 4.27.

Legea lui Hooke pentru forfecare este:

$$\tau = G\gamma, \quad (4.118)$$

unde modulul de elasticitate transversal G (kgf/cm^2) este legat de modulul de E prin relația

$$G = \frac{E}{2(1 + \mu)} \quad (4.119)$$

μ fiind coeficientul lui Poisson (vezi § 4.3., capitolul 4.1 și tabela 4.1).
Energia de deformare pe unitatea de volum este:

$$W_1 = \frac{\tau^2}{2G} = \frac{\tau\gamma}{2}. \quad (4.120)$$

Formulele (4.116)–(4.120) corespund solicitării de forfecare pură (fig. 4.28, a), cînd un element infinit este supus numai acțiunii unor eforturi unitare tangențiale indicate în fig. 4.28, a. Pe fețe înclinate cu 45° față de cele din fig. 4.28, a, indicate în fig. 4.28, b, au loc tensiunile principale normale $\sigma_{max} = \tau$ și $\sigma_{min} = -\tau$.

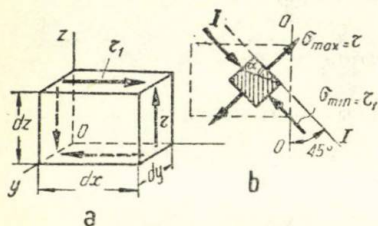


Fig. 4.28.

Pentru un element de suprafață înclinat cu unghiurile α față de $I-I$ respectiv $\alpha_1 = \alpha + 45^\circ$ față de $\theta-\theta$, obținem:

$$\sigma_{\alpha_1} = \tau \sin 2\alpha_1; \quad (4.121)$$

$$\tau_{\alpha_1} = -\tau \cos 2\alpha_1;$$

$$\varepsilon_{\alpha_1} = \varepsilon \sin 2\alpha_1; \quad \gamma_{\alpha_1} = -2\varepsilon \cos \alpha_1. \quad (4.122)$$

unde

$$\varepsilon = \frac{\tau(1 + \mu)}{E}.$$

§ 4.17. Îmbinări prin nituire

Niturile (la fel și șuruburile) care asigură fixarea barelor de nodul construcției, se calculează la forfecare și strivire.

În fig. 4.29, a se arată fixarea de grinda B cu ajutorul guseului K a unei bare din două corniere, întinsă cu forța $N = 12,3$ tf.

În cazul dat niturile cu două secțiuni de forfecare (după planurile $I-I$ și $II-II$). Formula de calcul este:

$$T = N = \frac{\pi d^2}{4} kn\tau_a \quad (4.123)$$

d este diametrul niturilor; n — numărul lor; k — numărul de secțiuni de forfecare ale nitului. Dîndu-se rezistența admisibilă $\tau = 1000$ kgf/cm² și diametrul $d = 1,4$ cm, cu $k = 2$, găsim forța capabilă

pentru un singur nit $R_1 = \frac{\pi d^2}{4} k\tau_a = 3080$ kgf; prin urmare sînt

necesare $n = N; R_1 \approx 4$ nituri. Cele două corniere 60·40·6, au, conform STAS 425-49, secțiunea brută $A_b = 11,36$ cm², iar din cauza găurilor de nit, rămîne $A = 11,36 - 2 \cdot 0,6 \cdot 1,4 = 9,68$ cm². Efortul unitar este $\sigma = N : A = 1260$ kgf/cm².

Se admite, în mod convențional, o distribuție uniformă de tensiuni de strivire pe fiecare nit, pe suprafața $d\delta$, unde δ este grosimea guseului. Formula de calcul la strivire este

$$N = d\delta n\sigma_{as}. \quad (4.124)$$

Luind $\sigma_{as} = 2\sigma_a = 2800 \text{ kgf/cm}^2$, rezultă:

$$\delta = \frac{N}{dn\sigma_{as}} = 0,8 \text{ cm.}$$

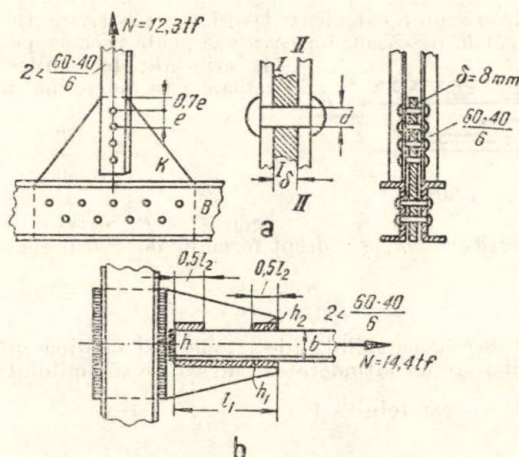


Fig. 4.29.

Distanța între nituri (pasul e) se stabilește din condiția ca tensiunile τ pe suprafața probabilă de rupere $(e-d)\delta$ să nu depășească pe τ_a , adică $(e-d)\delta\tau_n = N$, de unde $e \approx 5,2 \text{ cm}$; de obicei, se ia $e \geq 3,5d = 4,9 \text{ cm}$.

§ 4.18. Îmbinări prin sudură

Calculul îmbinării unei bare la nodul construcției, prin sudură (fig. 4.29, b), se face luind în considerație rezistența la forfecare a cusăturilor sudate, care au rezistența admisibilă τ_{as}

$$T = N = \tau_{as} \cdot 0,7k(h_1l_1 + h_2l_2 + hl) \quad (4.125)$$

unde k este numărul de corniere, din care este formată bara; h_1 și h_2 sînt grosimile cusăturilor laterale (cea continuă de lungime l_1 și cea întreruptă de lungime totală l_2); h este grosimea cusăturii frontale; de obicei $h_2l_2 \approx 0,3 h_1l_1$.

Fie $N = 14,4 \text{ t}$, $h_1 = h_2 = h = 4 \text{ mm}$; se iau $2 L 60 \cdot 40 \cdot 6$; $\tau_{as} = 900 \text{ kgf/cm}^2$; prin urmare, $b = 6 \text{ cm}$. Din formula (4.125) găsim $l_1 + l_2 = 26 \text{ cm}$; apoi $l_1 = 20 \text{ cm}$ și $l_2 = 6 \text{ cm}$. În practică, la dimensiunile obținute pentru l_1 și l_2 se adaugă câte $0,5-1,0 \text{ cm}$. Uneori nu se face cusătura frontală; atunci în formula (4.125) dispăre ultimul termen din paranteză.

§ 4.19. Îmbinări în lemn

Îmbinările în lemn se calculează la forfecare și strivire. De exemplu, în cazul indicat în fig. 4.30, forfecarea se poate produce pe suprafața de arie ab ; tensiunile corespunzătoare t se determină cu formula:

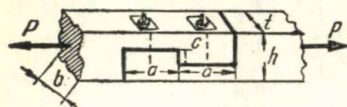


Fig. 4.30.

$$\tau = \frac{T}{ab} \quad (4.126)$$

unde $T = P$. Strivirea are loc pe suprafața verticală ab , și drept formulă de calcul servește:

$$\sigma_s = \frac{N}{cb} \quad (4.127)$$

unde $N = P$. Secțiunea slăbită [de lățime b și înălțime $0,5(h - c)$] suportă o solicitare de întindere excentrică (vezi capitolul 4.8).

Bibliografie. Vezi capitolul 4.1.

4.4

Răsucire

§ 4.20. Formule pentru calculul diferitelor profile

Pentru un cilindru circular (plin sau gol), încastrat la un capăt și suportînd la celălalt capăt acțiunea momentului de răsucire $M_x = M_t$ (fig. 4.31), tensiunile tangențiale τ , în limitele elastice, se determină cu formulele

$$\left. \begin{aligned} \tau_p &= \frac{M_t}{I_p} \rho \\ \tau &= \frac{M_k}{W_p} \end{aligned} \right\} \quad (4.128)$$

unde $I_p = 0,5\pi R^4$ este momentul de inerție polar al secțiunii transversale a barei, iar $W_p = 0,5\pi R^3$ este modulul de rezistență polar; pentru cilindrul gol, avînd raza interioară R_1 rezultă în mod corespunzător:

$$I_p = 0,5\pi R^4(1 - c^4). \quad W_p = 0,5\pi R^3(1 - c^4). \quad (4.129)$$

unde $c = R_1 : R$; pentru $c = 0$, se obțin caracteristicile cilindrului plin; în cazul unui inel foarte subțire

$$I_p = 2\pi R^3\delta; \quad W_p = 2\pi R^2\delta, \quad (4.130)$$

unde δ este grosimea inelului.

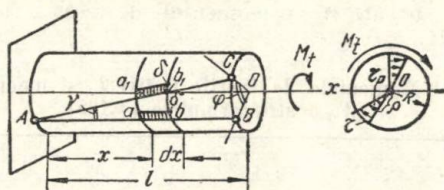


Fig. 4.31.

Unghiul de răsucire pe unitatea de lungime, numit răsucire specifică θ și unghiul de alunecare specifică γ_p la distanța ρ de punctul O sînt legate prin relațiile

$$\theta = \frac{d\varphi}{dx} = \frac{M_t}{GI_p}, \quad \gamma_p = \theta \cdot \rho. \quad (4.131)$$

Unghiul de răsucire pe lungimea x este

$$\varphi = \frac{M_t x}{GI_p}. \quad (4.132)$$

Dacă M_t variază în lungul barei, atunci φ se obține prin integrarea expresiei (4.131); *legea lui Hooke* este (4.133). Tensiunile principale acționează pe suprafețele înclinate față de secțiunile transversale cu $\pm 45^\circ$ (fig. 4.32) și ele sînt

$$\sigma_{max} = \tau, \quad \sigma_{min} = -\tau. \quad (4.134)$$

Pe suprafețele înclinate în raport cu secțiunile longitudinale cu un unghi α tensiunile se determină cu formulele:

$$\sigma_\alpha = -\tau \sin 2\alpha, \quad \tau_\alpha = \tau \cos 2\alpha. \quad (4.135)$$

Energia specifică la răsucire este

$$W_1 = \frac{\tau_p^2}{2G} = \frac{M_t^2 \rho^2}{2GI_p^2} \quad (4.136)$$

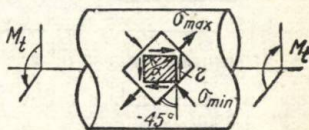


Fig. 4.32.

unde ρ este distanța de la centrul cilindrului. Energia potențială pentru un element de lungime dx este

$$dW = \frac{M_l^2 dx}{2GI_p} \quad (4.137)$$

Pentru bare de secțiune necirculară formulele tensiunilor maxime τ și ale unghiurilor de răsucire $d\varphi$, în limitele elastice, au forma

$$\tau = M_l = W_d; \quad d\varphi = \frac{M_l dx}{GI_d} \quad (4.138)$$

Modulele de rezistență W_d și momentele de inerție fictive I_d se iau din tabela 4.21.

Tabela 4.21 Momentele de inerție fictive I_d și modulul de rezistență W_d pentru formulele (4.138)

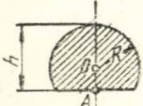

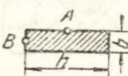
Forma secțiunii	I_d	W_d	Poziția unde se calculează
Segment de cerc 	$\left(1,3 \frac{h}{R} - 1\right) R^4$ $h > 0,25 R$	$\frac{\left(1,3 \frac{h}{R} - 1\right) R^3}{0,15 \frac{h}{R} + 0,7}$	Punctul A
Elipsă 	$\pi \frac{b^4 n^3 (1 - c^4)}{1 + n^2}$ $c = a_1 : a = b_1 : b$ $n = a : b = a_1 : b_1$ sau $c = 0$	$\pi \frac{b^3 n}{2} (1 - c^4)$	Punctul A
Dreptunghi îngust 	$\frac{m - 0,63}{3} b^4$ $m = h : b > 4$	$\frac{m - 0,63}{3} b^3$	Punctul A
Dreptunghi (aceeași schemă). Coeficienții α , β și γ , vezi tabela 4.22.	$\beta h b^3$	$\alpha h b^2$	Punctul A; pentru punctul B $\tau_1 = \tau_Y$

Tabela 4.21 (continuare)

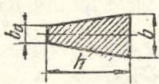
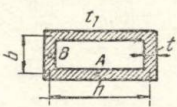
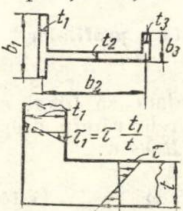
Forma secțiunii	I_d	W_d	Poziția unde se calculează
Triunghi echilateral cu latura a .	$0,0216 a^4$	$0,05 a^3$	La mijloacele laturilor
Trapez alungit  $c = b_0 : b; h \geq 4b$	$\frac{hb^3}{12}(1+c) \times$ $\times (1+c)^2 -$ $- 0,1b^4(1+c^4)$	$J_k : b$	Pe laturile neparalele, mai aproape de b .
Hexagon regulat cu latura b .	$1,04 b^4$	$0,97 b^3$	La mijloacele laturilor
Octogon regulat cu latura b .	$3,67 b^4$	$2,6 b^3$	La mijloacele laturilor.
Cutie 	$\frac{2F_k^2}{h + \frac{b}{t_1} + \frac{b}{t}}$ $F_k = bh$	$2F_k t$ $2F_k t_1$	Punctul B Punctul A
Profile deschise cu pereți subțiri 	$\frac{a}{3}(b_1 t_1^3 + b_2 t_2^3 +$ $+ b_3 t_3^3 + \dots)$ $\alpha_{<} = 1,0$ $\alpha_I = 1,12$ $\alpha_U = 1,20$	$I_d : t$	Pentru latura de grosime t .

Tabela 4.22. Coeficienții α , β și γ pentru dreptunghi
(vezi tabela 4.21)

$b:h$	1	1,5	2	3	4	6	10	∞
α	0,208	0,231	0,246	0,267	0,282	0,299	0,313	1/3
β	0,141	0,196	0,229	0,263	0,281	0,299	0,313	1/3
γ	1	0,859	0,795	0,753	0,745	0,743	0,742	0,742

Rezistențele admisibile τ_a se bazează pe folosirea uneia sau alteia din teoriile de rezistență, ținând seama și de efectele de oboseală, de concentrarea tensiunilor (mai detaliat vezi § 4.9). Plecînd de la

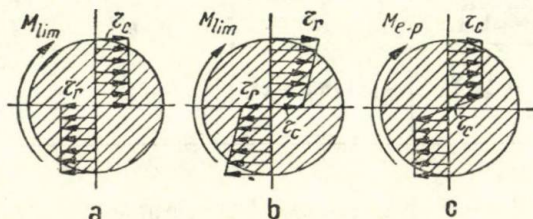


Fig. 4.33.

teoriile II, III și V (vezi § 4.4.) valorile lui τ_a sînt respectiv $\frac{\sigma_a}{1 + \mu}$; $0,5 \sigma_a$ și $0,58 \sigma_a$. Diagramele tensiunilor pentru bara de secțiune circulară la starea de rupere au forma indicată în fig. 4.33, *a* material ideal plastic, *b*) cu întărire. În fig. 4.33, *c* este dată diagrama pentru starea elasto-plastică. Legătura între M_{lim} și τ : pentru *a*):

$$M_{lim} = \tau_c \frac{2\pi R^3}{3}$$

pentru *b*)

$$M_{lim} = \tau_c \frac{\pi R^3}{6} \left(1 + 3 \frac{\tau_r}{\tau_c} \right). \quad (4.139)$$

§ 4.21. Răsucirea pură și răsucirea împiedicată a profilelor subțiri deschise

În cazul răsucirii *pure*, secțiunile barei se deplanează liber, din cauza acțiunii momentelor de răsucire; generatoarele rămîn drepte (fig. 4.34); deplanarea u a unui punct oarecare B este:

$$u = -\gamma y = -\frac{d\varphi}{dx} yz = -\theta \omega = -\varphi' \omega \quad (4.140)$$

unde: $\omega = yz$ este așa-numita *coordonată sectorială* a punctului B (vezi capitolul 4.5). Tensiunile τ și deformațiile de răsucire pură φ se determină cu formulele (4.138) § 4.20 (vezi ultimul rînd din tabela 4.21). În secțiunile transversale nu există tensiuni normale.

Răsucirea *împiedicată* (fig. 4.35) este însoțită de o încovoiere a generatoarelor, care are loc fie ca urmare a imposibilității deplănării libere pentru o secțiune oarecare, fie din cauza variației sarcinii sau a secțiunilor barei; ecuația diferențială a răsucirii este

$$M_x = GI_d \varphi' - EI_\omega \varphi''' \quad \text{sau} \quad m = M'_x = GI_d \varphi'' - EI_\omega \varphi^{IV}. \quad (4.141)$$

Primii termeni din partea dreaptă iau în considerare efectul de răsucire liberă, la care tensiunile $\bar{\tau}$ se determină cu formula (4.138); ten-

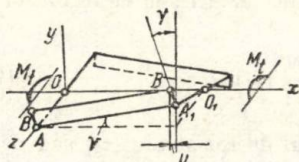


Fig. 4.34.

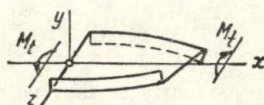


Fig. 4.35.

siunile secundare $\bar{\tau}$ depind de termenul al doilea $M_\omega = -EI_\omega \varphi'''$ și se calculează după formula

$$\bar{\tau} = \frac{M_\omega}{tI_\omega} S_\omega^0 \quad (4.142)$$

unde: $I_\omega = \int_A \omega^2 dA$ este momentul de inerție sectorial, iar

$S_\omega^0 = \int_{A_{ob}} \omega dA$ este momentul static sectorial al porțiunii din suprafața secțiunii (vezi capitolul 4.5); $m = \frac{dM_x}{dx}$.

La răsucirea împiedicată apar tensiuni normale suplimentare

$$\sigma_\omega = \frac{B \cdot \omega}{I_\omega}; \quad B = EI_\omega \varphi'' \quad (4.143)$$

unde, după Vlasov¹⁾, B este bimomentul. Integrala ecuației (4.141) cu $k = \sqrt{GI_d : EI_\omega}$, are forma:

$$\begin{aligned} \varphi = \varphi_0 + \frac{\varphi'_0}{k} \operatorname{sh} kx + \frac{B_0}{EI_\omega k^2} (\operatorname{ch} kx - 1) + \frac{M_{x0}}{EI_\omega k^3} (kx - \operatorname{sh} kx) + \\ + \frac{m_0}{EI_\omega k^4} \left(\frac{k^2 x^2}{2!} - \operatorname{ch} kx + 1 \right) + \dots; \end{aligned} \quad (4.144)$$

¹⁾ Власов В.З., Тонкостенные упругие стрелы, Физматгиз, 1958.

unde $\varphi_0, \varphi'_0, B_0, M_{x0}, m_0$ sînt parametrii inițiali (la $x = 0$). Pentru k foarte mic (pereți foarte subțiri), ecuația (4.144) ia forma simplificată

$$\varphi = \varphi_0 + \varphi'_0 x + \frac{1}{EI_\omega} \left(\frac{B_0 x^2}{2} - \frac{M_{x0} x^3}{6} - \frac{m_0 x^4}{24} + \dots \right) \quad (4.145)$$

§ 4.22. Calculul unui arbore la răsucire

Diagrame M_t

La un arbore care transmite o putere N , CP, cu turația n rot/min, momentul de răsucire este

$$M_t = 2,25 \frac{N}{\pi n} [\text{t} \cdot \text{m}]. \quad (4.146)$$

Dimensionarea se face pe criteriul de rezistență (τ_a) sau de rigiditate (φ_a), utilizînd formulele din § 4.20. În prealabil se construiesc diagramele lui M_t pentru punerea în evidență a momentelor de calcul; ordonata în fiecare secțiune a diagramei este egală cu rezultanta momentelor de răsucire exterioare, care acționează într-o parte a acestei secțiuni. În fig. 4.36 este redată diagrama pentru două cazuri de acționare. În cazul *a*, momentul M_0 al roții motoare transmite axului o putere $N_0 = 534$ CP, la o turație $n = 960$ rot/min. El se distribuie la diversele roți în următoarele rapoarte: $M_a : M_b : M_c = 0,2 : 0,3 : 0,5$. După formula (4.146), $M_0 = 2,25 \times$

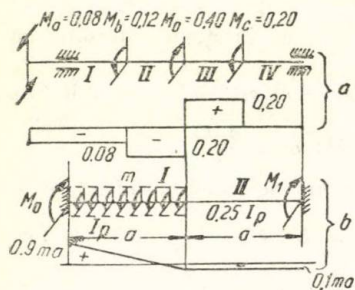


Fig. 4.36.

$\times \frac{534}{3,14 \cdot 960} = 0,4 \text{ tm}$; respectiv $M_a = 0,08 \text{ t} \cdot \text{m}$; $M_b = 0,12 \text{ t} \cdot \text{m}$; $M_c = 0,20 \text{ t} \cdot \text{m}$. Pe diagramă, s-au notat cu semnul + rezultantele momentelor exterioare, care se rotesc, față de normala exterioră (a secțiunii transversale) invers mersului acelor ceasornicului. Momentul de calcul este $M_{max} = 0,2 \text{ t} \cdot \text{m}$. Luînd $\tau_a = 475 \text{ kgf/cm}^2$, calculul de rezistență

dă raza $R = \sqrt[3]{2M : \pi \tau_a} = 3 \text{ cm}$;

din calculul de rigiditate luînd $\varphi_a = 0,6^\circ/\text{m}$, sau $0,0103 \text{ 1/m}$ și la $G = 8 \cdot 10^5 \text{ kgf/cm}^2$, se obține.

$$R = \sqrt[4]{2Ml / \varphi_a G} = 3,5 \text{ cm}.$$

Se ia $d = 2R = 7 \text{ cm}$.

În cazul *b*, pe porțiunea *I*, $M_I = M_0 - mx$, unde $0 \leq x \leq a$; pe

porțiunea II, $M_{II} = M_0 - ma$. Pentru determinarea momentelor de reacțiune M_0 și M_1 se scrie ecuația de deformații

$$\int_0^a \frac{M_I dx}{GI_p} + \frac{M_{II} a}{G 0,25 I_p} = 0,$$

de unde $M_0 = 0,9 ma$; $M_1 = 0,1 ma$.

Bibliografie

1. Vezi capitolul 4.1.
2. В л а с о в В. З. Тонкостенные упругие стрелки, Физматгиз, 1958.
3. Т и м о ш е н к о С. П., Устойчивость упругих систем, Гостехиздат, 1955.

4.5

Încovoiere

§ 4.23. Formule de bază

Tensiunile normale, la încovoierea pură, în secțiunea transversală a unei bare drepte sînt (fig. 4.37):

$$\left. \begin{aligned} \sigma(y) &= \frac{M}{I_z} y, \\ \sigma &= \frac{M}{W_z}, \end{aligned} \right\} \quad (4.147)$$

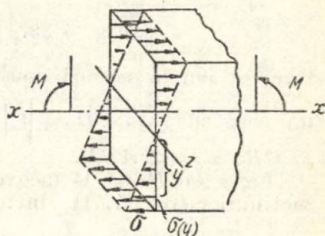


Fig. 4.37.

unde M este momentul încovoiător, egal cu momentul (față de axa Oz) forțelor exterioare, așezate pe o parte a secțiunii date (tabela 4.28), I_z și W_z sînt respectiv momentul de inerție al suprafeței secțiunii barei față de axa neutră Oz (tabela (4.23, 4.27) și modulul de rezistență al aceleiași suprafețe; y este distanța de la axa Oz pînă la punctul curent unde se măsoară tensiunea $\sigma(y)$.

Tensiunea tangențială, după formula lui Juravski (fig. 4.38) este

$$\tau = \frac{TS}{bI_z} \quad (4.148)$$

unde T este forța tăietoare, egală cu suma proiecțiilor, pe perpendiculara la axa neutră, a forțelor exterioare, situate de o parte a secțiunii (tabela 4.28); b este lățimea secțiunii la nivelul unde se măsoară τ ; $S = \int_{A_1} y dA$, este momentul static al părții de secțiune A_1 (situată sub linia pe care se măsoară τ), calculat față de axa Oz . Tensiunile principale (vezi formula (4.16)) sînt:

$$\sigma_{\max/\min} = \frac{\sigma(y)}{2} \pm \frac{1}{2} \sqrt{\sigma^2(y) + 4\tau^2}. \quad (4.149)$$

Tensiunea σ_{\max} este înclinată față de direcția axei Ox (fig. 4.39) cu unghiul α (luat pozitiv în sens opus mersului acelor ceasornicului) dat de formulele:

$$\operatorname{tg} 2\alpha = -\frac{2\tau}{\sigma(y)} \text{ sau } \operatorname{tg} \alpha = -\frac{\tau}{\sigma_{\max}} = \frac{\tau}{\sigma_{\min}} \quad (4.150)$$

σ_{\min} este perpendiculară pe σ_{\max} . În locul formulelor (4.149) și (4.150) se poate utiliza *cercul lui Mohr* (fig. 4.40), care se construiește în felul următor: se ia $OK = \sigma(y)$ și $KD = \tau$ (dacă au valori nega-

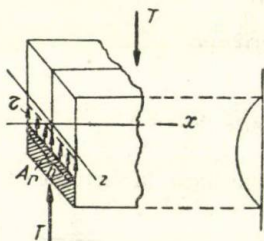


Fig. 4.38.

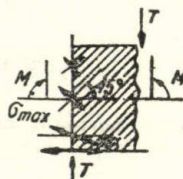


Fig. 4.39.

tive, se iau în sensuri opuse); din punctul $C(OC = CK)$ se duce un cerc cu raza $CD = \sqrt{\left(\frac{\sigma(y)}{2}\right)^2 + \tau^2}$, atunci $\sigma_{\max} = OA$; $\sigma_{\min} = OB$; $\alpha = \angle ABD$.

Legea lui Hooke la încovoiere, curbura $1/\rho$ și unghiul de rotație al secțiunilor (fig. 4.41) sînt:

$$\sigma(y) = E\varepsilon(y) = E \frac{y}{\rho}. \quad (4.151)$$

$$\frac{1}{\rho} = \frac{M}{EI_z}, \quad d\varphi = \frac{M dx}{EI_z}. \quad (4.152)$$

Energia potențială de deformare la încovoiere pentru un element de volum și pentru o bară avînd variație continuă a lui M și I_z , sînt:

$$dW = \frac{M^2 dx}{2EI_z}; \quad W = \int_0^l \frac{M^2 dx}{2EI_z}; \quad (4.153)$$

energia de deformare specifică este

$$W_1 = \frac{dW}{Adx} = \frac{\sigma^2}{2E}. \quad (4.154)$$

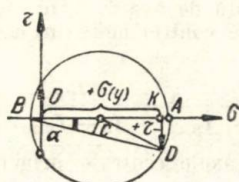


Fig. 4.40.

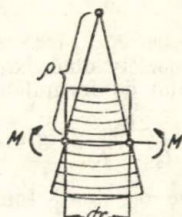


Fig. 4.41.

§ 4.24. Caracteristici geometrice ale secțiunilor

Momentele statice S_z și S_y ale suprafeței A a secțiunii transversale (fig. 4.42) sînt:

$$S_z = S_A y dA = A \cdot d; \quad S_y = \int_A z dA = A \cdot c. \quad (4.155)$$

unde c și d sînt coordonatele centrului de greutate al suprafeței. Momentele de inerție $[cm^4]$ axiale I_z , I_y și cel centrifugal I_{zy} sînt:

$$\left. \begin{aligned} I_z &= \int_A y^2 dA = I_{z_0} + d^2 A = i_{z_0}^2 A \\ I_y &= \int_A z^2 dA = I_{y_0} + c^2 A = i_{y_0}^2 A \\ I_{zy} &= \int_A zy dA = I_{z_0 y_0} + c \cdot d A \end{aligned} \right\} \quad (4.156)$$

Razele de inerție sînt: i_z și i_y ; Cz_0 și Cy_0 sînt axele centrale.

Momentul de inerție polar I_p este egal cu suma celor axiale I_z și I_y avînd polul în origina coordonatelor. La o rotire cu unghiul α a axelor de coordonate zy , momentele de inerție devin:

$$\left. \begin{aligned} I_{z_1} &= I_z \cos^2 \alpha + I_y \sin^2 \alpha - I_{zy} \sin 2\alpha; \\ I_{y_1} &= I_z \sin^2 \alpha + I_y \cos^2 \alpha + I_{zy} \sin 2\alpha, \end{aligned} \right\} \quad (4.157)$$

$$I_{z_1 y_1} = \frac{I_z - I_y}{2} \sin 2\alpha + I_{zy} \cos 2\alpha = -0,5 \frac{dI_{z_1}}{d\alpha}. \quad (4.158)$$

Momentele de inerție principale, corespunzătoare originii coordonatelor în punctul O , sînt:

$$\frac{I_{\max}}{\min} = \frac{I_z + I_y}{2} \pm \sqrt{\left(\frac{I_z - I_y}{2}\right)^2 + I_{zy}^2}. \quad (4.159)$$

Axa pentru I_{\max} este înclinată, față de axa Oz (fig. 4.42), cu unghiul α pozitiv cînd axa Oz se rotește contrar mersului acelor ceasornicului dat de formulele

$$\operatorname{tg} 2\alpha = -\frac{2I_{zy}}{I_z - I_y}; \quad \operatorname{tg} \alpha = -\frac{I_{zy}}{I_{\max} - I_y} = -\frac{I_{zy}}{I_z - I_{\min}}. \quad (4.160)$$

Modulele de rezistență [cm^3] față de axele centrale principale ale secțiunii sînt:

$$W_z = I_z/y_{\max}; \quad W_y = I_y/z_{\max}. \quad (4.161)$$

Pentru profile cu pereți subțiri (fig. 4.43) se introduc în plus, caracteristicile sectoriale: *coordonata sectorială* ω [cm^2], *momentul*

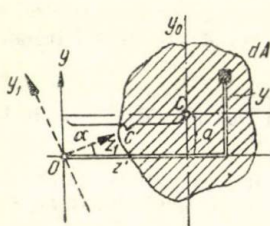


Fig. 4.42.

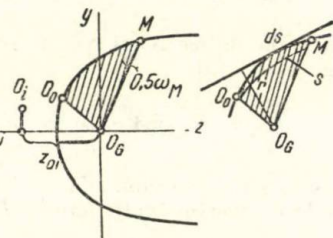


Fig. 4.43.

static sectorial al suprafeței S_ω [cm^4], *momentele statice liniare — sectoriale* $S_{\omega z}$ și $S_{\omega y}$ (cm^5) și *momentul de inerție sectorial* I_ω (cm^6) ale suprafeței A :

$$\left. \begin{aligned} \omega &= \int_0^S r \, ds, \quad S_\omega = \int_A \omega \, dA, \quad S_{\omega z} = \int_A \omega y \, dA, \\ S_{\omega y} &= \int_A \omega z \, dA, \quad I_\omega = \int_A \omega^2 \, dA. \end{aligned} \right\} \quad (4.162)$$

Cele mai simple formule de calcul se obțin, utilizînd, pe lîngă centrul de greutate (care servește drept pol pentru calculul coordonatelor ω), punctul sectorial de zero principal O_0 (avînd coordonata sectorială ω_0) și centrul de încovoiere O_t (cu coordonatele z_{0i} și y_{0i}):

$$\omega_0 = S_{\omega 1} : A; \quad z_{0i} = -S_{\omega z} / I_z; \quad y_{0i} = S_{\omega y} / I_y, \quad (4.163)$$

unde: y , z , ω , precum și I_z și I_y sînt coordonate și momente de inerție față de axele centrale principale, avînd polul în centrul de

greutate O_G ; S_{ω_1} este momentul static sectorial față de o origine oarecare. Se pot scrie următoarele relații:

$$\left. \begin{aligned} S_{\omega_1} &= S_{\omega} + \omega_0 A, \quad S_{z\omega_1} = S_{z\omega}, \quad S_{y\omega_1} = S_{y\omega} \\ I_{\omega} &= \int_A \omega^2 dA = \int_A \omega \omega_1 dA, \quad I_{\omega_1} = I_{\omega} + \omega_0^2 A. \end{aligned} \right\} \quad (4.164)$$

unde ω este coordonata sectorială față de centrul de greutate. Dacă polul coordonatei ω se mută din centrul de greutate în punctul de coordonatele $z = a_1$ și $y = a_2$ (fig. 4.43), atunci

$$\left. \begin{aligned} S_{z\omega_1} &= S_{z\omega} + a_1 I_z, \\ S_{y\omega_1} &= S_{y\omega} - a_2 I_y \end{aligned} \right\} \quad (4.165)$$

Pentru profilele deschise, la utilizarea formulelor (4.161) – (4.164) se folosește metoda grafo-analitică de integrare. În fig. 4.44 sînt

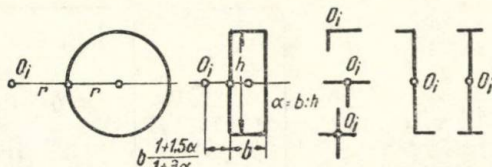


Fig. 4.44.

date diagramele de variație a coordonatelor ω , y și z pentru un profil U de grosime constantă t , cu laturile b și h , avînd suprafața $A = t(2b + h)$ și coordonata centrului de greutate (punctul O : $c = S_{y_1} : A = b^2 t : A = b^2(2b + h)$; $S_{\omega} = 0$ (suprafața diagramei ω); prin urmare, punctul sectorial principal este așezat pe axa Oz ; $S_{y\omega} = 0$, deoarece diagramele lui ω și z sînt reciproc ortogonale; deci, $y_{0i} = 0$; înmulțirea diagramei ω și y prin metoda Vereșciaghin (capitolul 4.9) determină

$$S_{z\omega} = \frac{b^2 h^2 t (h + 3b)}{3(2b + h)}$$

$$\text{și } I_z = \frac{th^2}{12} (h + 6b);$$

de aceea

$$z_{0i} = -4b^2 \frac{h + 3b}{(2b + h)(h + 6b)}.$$

În fig. 4.45 sînt indicate centrele de încovoiere O_i pentru cîteva profile.

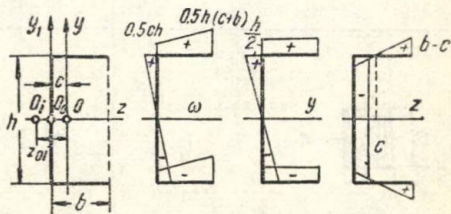


Fig. 4.45.

§ 4.25. Formule ale momentelor de inerție și modulelor de rezistență

T a b e l a 4.23. Momente de inerție și module de rezistență axiale

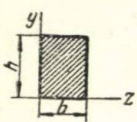
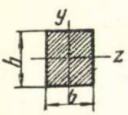
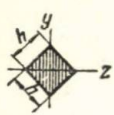
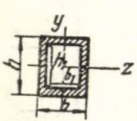
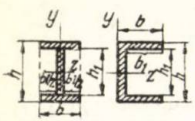
Forma secțiunii	I_z	I_y	I_{zy}	W_z
	$\frac{bh^3}{3}$	$\frac{hb^3}{3}$	$\frac{b^3h^2}{4}$	—
	$\frac{hb^3}{12}$	$\frac{hb^3}{12}$	0	$\frac{bh^2}{6}$
	$\frac{h^4}{12}$	$\frac{h^4}{12}$	0	$\frac{h^2\sqrt{2}}{12}$
	$\frac{bh^3}{12}(1-\beta c^3)$ $\beta = b_1 : b$ $c = h_1 : h$	$\frac{hb^3}{12}(1-c\beta^3)$	0	$\frac{bh^2}{6}(1-\beta c^3)$
	$\frac{bh^3}{12}(1-\beta c^3)$ $c = h_1 : h$ $\beta = b_1 : b$	$\frac{hb^3}{12}[1-c\beta(3-3\beta+\beta^2)]$	0	$\frac{bh^2}{6}(1-\beta c^3)$

Tabela 4.23 (continuare)

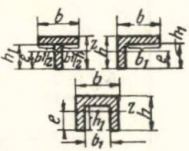
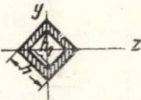
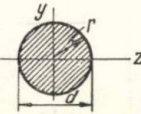
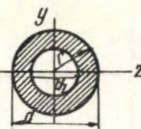
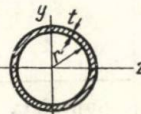
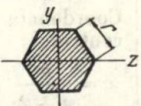
Forma secțiunii	I_z	I_y	I_{zy}	W_z
	$\frac{bh^3}{12} [(1-\beta c^2)^2 - 4\beta c(1-c)^2]$ $\beta = b_1 : b$ $c = h_1 : h$	<p>Coordonata centrului</p> $e = \frac{h}{2} \frac{1-\beta c^2}{1-\beta c}$	—	$I_z : e$
	$\frac{h^4}{12} (1-c^4)$	$\frac{h^4}{12} (1-c^4)$	0	$\frac{h^3}{12} \sqrt{2} (1-c^4)$
	$\frac{\pi d^4}{64} = \frac{\pi r^4}{4}$		0	$\frac{\pi d^3}{32} = \frac{\pi r^3}{4}$
	$\frac{\pi d^4}{64} (1-c^4) = \frac{\pi r^4}{4} (1-c^4)$ $c = d_1 : d$		0	$\frac{\pi d^3}{32} (1-c^4)$
	$\pi r^3 t$ $t \ll r$	$\pi r^3 t$	0	$\pi r^2 t$
	$\frac{5\sqrt{3}}{16} r^4$	$\frac{5\sqrt{3}}{16} r^4$	0	$\frac{5}{8} r^3$

Tabela 4.23 (continuare)

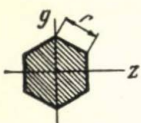
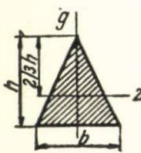
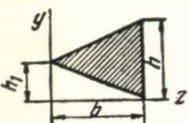
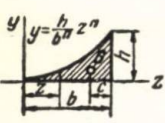
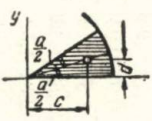
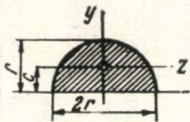
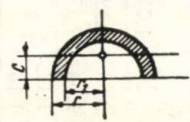
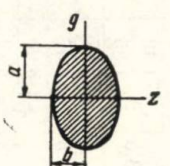
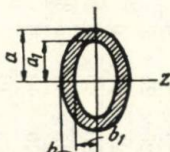
Forma secțiunii	I_z	I_y	I_{zy}	W_z
	$\frac{5\sqrt{3}}{16} r^4$	$\frac{5\sqrt{3}}{16} r^4$	0	$\frac{5\sqrt{3}}{16} r^3$
<p>Poligon regulat înscris într-un cerc de rază R; A este suprafața poligonului</p>	$\approx A \frac{R^2}{4}$	$\frac{AR^2}{4}$	0	$\frac{AR}{4}$
	$\frac{bh^3}{36}$	$\frac{hb^3}{48}$	0	$\frac{bh^2}{24}$
	$\frac{bh^3}{12} (1 + c_1 + c_1^2)$ $c_1 = h_1 : h$	$\frac{hb^3}{4}$	$\frac{h^2b^2}{12} (1,5 + c_1)$	—
	$\frac{bh^3}{3} (1 + 3n)$	$\frac{hb^3}{n + 3}$	$\frac{h^2b^2}{4(n + 1)}$	<p>Suprafața $A = \frac{bh}{n+1}$ Coordonata centrului $c = \frac{b}{n+2}$</p>

Tabela 4.23 (continuare)

Forma secțiunii	I_z	I_y	I_{zy}	W_z
	$\frac{r^4}{8} (\alpha - 0,5 \sin 2\alpha)$	$\frac{r^4}{8} (\alpha + 0,5 \sin 2\alpha)$	$\frac{r^4}{8} \sin^2 \alpha$	Coordonatele centrului: $c = \frac{2}{3} \frac{r \sin \alpha}{\alpha}$ $d = \frac{2r}{3} \frac{1 - \cos \alpha}{\alpha}$
	$r^4 \left(\frac{\pi}{8} - \frac{8}{9\pi} \right) = 0,11 r^4$	$\frac{\pi r^4}{8}$	0 Coordonata centrului $c = 0,425 r$	$0,191 r^3$
	$0,11 r^4 (1 - e^4)$ $e = r_1 : r$	$\frac{\pi r^4}{8} (1 - e^4)$	0 Coordonata centrului $c = 0,425 r \times \frac{1 + e + e^2}{1 + e}$	$I_z : (r - c)$
	$\frac{\pi a^3 b}{4}$	$\frac{\pi a b^3}{4}$	0	$\frac{\pi a^2 b}{4}$
	$\frac{\pi a^3 b}{4} (1 - \beta \alpha^3)$ $\alpha = a_1 : a$ $\beta = b_1 : b$	$\frac{\pi a b^3}{4} (1 - \beta^3 \alpha)$	0	$\frac{\pi a^2 b}{4} (1 - \beta \alpha^3)$

T a b e l a 4.23, a. Oțel cornier cu aripi egale

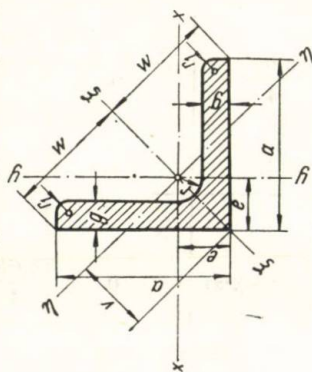
Dimensiuni, greutate, valori statice¹⁾ I = Momentul de inerție W = Modulul de rezistență $i = \sqrt{\frac{I}{S}}$ = Raza de girațieraportate la axa de încovoiere
respectivă

Fig. 4.23 a

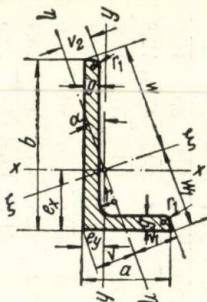
Denumire	Dimensiuni [mm]				Secțiune S [cm ²]	Greu- tate G [kgf/m]	Distanța axelor [cm]			Pentru axa de încovoiere								
	a	g	r	r_1			e	w	v	$x - x = y - y$		$\xi - \xi$		$\eta - \eta$				
										I_x [cm ⁴]	W_x [cm ³]	i_x [cm]	I_ξ [cm ⁴]	W_ξ [cm ³]	I_η [cm ⁴]	W_η [cm ³]	i_η [cm]	
L																		
$20 \times 20 \times 3$	20	3	3,5	2	1,12	0,88	0,60	1,41	1,85	0,39	0,28	0,59	0,62	0,44	0,74	0,15	0,18	0,37
$20 \times 20 \times 4$		4			1,45	1,14	0,64		1,90	0,48	0,35	0,58	0,77	0,55	0,73	0,19	0,21	0,36
$25 \times 25 \times 3$		3	3,5	2	1,42	1,12	0,73		1,03	0,79	0,45	0,75	1,27	0,72	0,95	0,31	0,30	0,47
$25 \times 25 \times 4$	25	4			1,85	1,45	0,76	1,77	1,08	1,01	0,58	0,74	1	0,91	0,93	0,40	0,37	0,47
$30 \times 30 \times 4$	30	4	5	2,5	2,27	1,78	0,89	2,12	1,24	1,81	0,86	0,89	2,85	1,34	1,12	0,76	0,61	0,58
$35 \times 35 \times 4$	35	4	5	2,5	2,67	2,10	1,00	2,47	1,41	2,96	1,18	1,05	4,68	1,89	1,33	1,24	0,88	0,68
$40 \times 40 \times 4$	40	4	6	3	3,08	2,42	1,12	2,83	1,58	4,48	1,56	1,21	7,09	2,51	1,52	1,86	1,18	0,78
$40 \times 40 \times 5$		5			3,79	2,97	1,16		1,64	5,43	1,91	1,20	8,64	3,05	1,51	2,22	1,35	0,77

45 × 45 × 5	45	5	7	3,5	4,30	3,38	1,28	3,18	1,81	7,83	2,43	1,35	12,4	3,90	1,70	3,25	1,80	0,87
50 × 50 × 5	5	5			4,80	3,77	1,40		1,98	11,0	3,05	1,51	17,4	4,92	1,90	4,59	2,32	0,98
50 × 50 × 6	50	6	7	3,5	5,69	4,47	1,45	3,54	2,04	12,8	3,61	1,50	20,4	5,76	1,89	5,24	2,57	0,96
50 × 50 × 7	7	7			6,56	5,15	1,49		2,11	14,6	4,15	1,49	23,1	6,53	1,88	6,02	2,85	0,96
60 × 60 × 6	6	6			6,91	5,42	1,69		2,39	22,8	5,29	1,82	36,1	8,51	2,29	9,43	3,95	1,17
60 × 60 × 8	60	8	8	4	9,03	7,09	1,77	4,24	2,50	29,1	6,88	1,80	46,1	10,9	2,26	12,1	4,84	1,16
60 × 60 × 10	10	10			11,1	8,69	1,85		2,62	34,9	8,41	1,78	55,1	13,0	2,23	14,6	5,57	1,15
70 × 70 × 7	70	7			9,40	7,38	1,97		2,79	42,4	8,43	2,12	67,1	13,6	2,67	17,6	6,31	1,37
70 × 70 × 9	9	9	4,5		11,9	9,34	2,05	4,95	2,90	52,6	10,6	2,10	83,1	16,8	2,64	22,0	7,59	1,36
80 × 80 × 8	80	8	10	5	12,3	9,66	2,26	5,66	3,20	72,3	12,6	2,42	115	20,3	3,06	29,6	9,25	1,55
80 × 80 × 10	10	10			15,1	11,9	2,34		3,31	87,5	15,5	2,41	139	24,6	3,03	35,9	10,9	1,54
90 × 90 × 9	90	9	11	5,5	15,5	12,2	2,54	6,36	3,59	116	18,0	2,74	184	28,9	3,45	47,8	13,3	1,76
90 × 90 × 11	11	11			18,7	14,7	2,62		3,70	138	21,6	2,72	218	34,3	3,41	57,1	15,4	1,75
100 × 100 × 10	100	10			19,2	15,1	2,82		3,99	177	24,7	3,04	280	39,6	3,82	73,3	18,4	1,95
100 × 100 × 12	12	12	6		22,7	17,8	2,90	7,07	4,10	207	29,2	3,02	328	46,4	3,80	86,2	21,0	1,95
100 × 100 × 14	14	14			26,2	20,6	2,98		4,21	235	33,5	3,00	372	52,6	3,77	98,3	23,4	1,94
120 × 120 × 11	11	11			25,4	19,9	3,36		4,75	341	39,5	3,66	541	63,7	4,62	140	29,5	2,35
120 × 120 × 13	13	13	6,5		29,7	23,3	3,44	8,49	4,86	394	46,0	3,64	625	73,6	4,59	162	33,3	2,34
130 × 130 × 12	12	12			30,0	23,6	3,64		5,15	472	50,4	3,97	750	81,6	5,00	194	37,7	2,54
130 × 130 × 14	14	14	7		34,7	27,2	3,72	9,19	5,26	540	58,2	3,94	857	93,3	4,97	223	42,4	2,53
130 × 130 × 16	16	16			39,3	30,9	3,80		5,37	605	65,8	3,92	969	104	4,94	251	46,7	2,52
150 × 150 × 14	14	14			40,3	31,6	4,21	10,6	5,95	845	78,2	4,58	1340	126	5,77	347	58,3	2,94
150 × 150 × 16	16	16	8		45,7	35,9	4,29		6,07	949	88,7	4,56	1510	142	5,74	391	64,4	2,93

Greutatea teoretică este calculată cu greutatea specifică 7,85 kgf/dm³.

¹⁾ Nu sînt cuprinse în prezentul standard profilele speciale pentru construcții navale.

T a b e l a 4.23, b. Oțel cornier

Dimensiuni, greutate, valori statice¹⁾

Denumire L	Dimensiuni [mm]					Secțiune S [cm ²]	Greutate G [kgf/m]	Distanța axelor [cm]				
	a	b	g	r	r ₁			e _x	e _y	w	w ₁	v
40 × 60 × 5			5			4,79	3,76	1,96	0,97	4,08	3,01	1,68
40 × 60 × 6	40	60	6	6	3	5,68	4,46	2,00	1,01	4,06	3,02	1,72
40 × 60 × 7			7			6,55	5,14	2,04	1,05	4,04	3,03	1,77
50 × 65 × 7			7			7,60	5,97	2,07	1,39	4,50	3,62	2,19
50 × 65 × 9	50	65	9	6,5	3,5	9,58	7,52	2,15	1,41	4,48	3,63	2,28
65 × 80 × 6			6			8,41	6,60	2,39	1,65	5,61	4,63	2,69
65 × 80 × 8	65	80	8	8	4	11,0	8,66	2,47	1,73	5,59	4,65	2,79
65 × 80 × 10			10			13,6	10,7	2,55	1,81	5,56	4,68	2,90
75 × 100 × 7			7			11,9	9,32	3,06	1,83	6,96	5,42	3,10
75 × 100 × 9	75	100	9	10	5	15,1	11,8	3,15	1,91	6,91	5,45	3,22
75 × 100 × 11			11			18,2	14,3	3,23	1,99	6,87	5,49	3,32
80 × 120 × 8			8			15,6	12,2	3,83	1,87	8,23	5,99	3,27
80 × 120 × 10	80	120	10	11	5,5	19,1	15,0	3,92	1,95	8,18	6,03	3,37
80 × 120 × 12			12			22,7	17,8	4,00	2,03	8,14	6,06	3,46
100 × 150 × 10			10			24,2	19,0	4,80	2,34	10,3	7,50	4,10
100 × 150 × 12	100	150	12	13	6,5	28,7	22,6	4,89	2,42	10,2	7,53	4,19
100 × 150 × 14			14			33,2	26,1	4,97	2,50	10,2	7,56	4,28

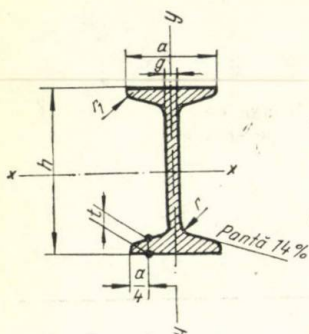
Greutatea teoretică este calculată cu greutatea specifică 7,85 kgf/dm³.¹⁾ Nu sînt cuprinse profilele speciale pentru construcții navale.

cu aripi neegale

$$\left. \begin{aligned}
 I &= \text{Momentul de inerție} \\
 W &= \text{Modulul de rezistență} \\
 i &= \sqrt{\frac{I}{S}} = \text{Raza de girație}
 \end{aligned} \right\} \text{raportate la axa de} \\
 \text{încovoiere respectivă}$$

		Poziția axei $\eta-\eta$ $\text{tg } x$	Pentru axa de încovoiere									
			$x-x$			$y-y$			$\xi-\xi$		$\eta-\eta$	
v_1	v_2		I_x [cm ⁴]	W_x [cm ³]	i_x [cm]	I_y [cm ⁴]	W_y [cm ³]	i_y [cm]	I_ξ [cm ⁴]	i_ξ [cm]	I_η [cm ⁴]	i_η [cm]
2,09	1,10	0,437	17,2	4,25	1,89	6,11	2,02	1,13	19,8	2,03	3,50	0,86
2,08	1,12	0,433	20,1	5,03	1,88	7,12	2,38	1,12	23,1	2,02	4,12	0,85
2,07	1,14	0,429	23,0	5,79	1,87	8,07	2,74	1,11	26,3	2,00	4,73	0,85
2,37	1,52	0,574	31,0	6,99	2,02	15,8	4,31	1,44	38,4	2,25	8,37	1,05
2,36	1,57	0,567	38,2	8,77	2,00	19,4	6,39	1,42	47,0	2,22	10,5	1,05
2,94	2,01	0,649	52,8	9,41	2,51	31,2	6,44	1,93	68,5	2,85	15,6	1,36
2,94	2,05	0,645	68,1	12,3	2,49	40,1	8,41	1,91	88,0	2,82	20,3	1,36
2,95	2,11	0,640	82,2	15,1	2,46	48,3	10,3	1,89	106	2,79	24,8	1,35
3,61	2,18	0,553	118	17,0	3,15	56,9	10,0	2,19	145	3,49	30,1	1,59
3,63	2,22	0,549	148	21,5	3,13	71,0	12,7	2,17	181	3,47	37,8	1,59
3,65	2,27	0,545	176	25,9	3,11	84,0	15,3	2,15	214	3,44	45,4	1,58
4,20	2,16	0,441	226	27,6	3,82	80,8	13,2	2,29	261	4,10	45,8	1,72
4,19	2,19	0,438	276	34,1	3,80	98,1	16,2	2,27	318	4,07	56,1	1,71
4,18	2,25	0,433	323	40,4	3,77	114	19,1	2,25	371	4,04	66,1	1,71
5,25	2,68	0,442	552	54,1	4,78	198	25,8	2,86	637	5,13	112	2,15
5,24	2,73	0,439	650	64,2	4,76	232	30,6	2,84	749	5,10	132	2,15
5,23	2,77	0,435	744	74,1	4,73	264	35,2	2,82	856	5,07	152	2,14

T a b e l a 4.23 c. Oțel I
Dimensiuni, greutatea, valori statice¹⁾



I = Momentul de inerție

W = Modulul de rezistență

$i = \sqrt{\frac{I}{S}} = \text{Raza de girație}$

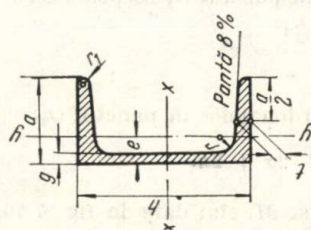
raportate la
axa de încovoiere respectivă

Denumirea I	Dimensiuni [mm]					Secțiunea S [cm ²]	Greutatea G [kgf/m]	Pentru axa de incovoiere					
	h	a	t	$g=r$	r_1			$X-X$			$Y-Y$		
								I_x [cm ⁴]	W_x [cm ³]	i_x [cm]	I_y [cm ⁴]	W_y [cm ³]	i_y [cm]
8	80	42	5,9	3,9	2,3	7,58	5,95	77,8	19,5	3,20	6,29	3,00	0,91
10	100	50	6,8	4,5	2,7	10,6	8,32	171	34,2	4,01	12,2	4,88	1,07
12	120	58	7,7	5,1	3,1	14,2	11,2	328	54,7	4,81	21,5	7,41	1,23
14	140	66	8,6	5,7	3,4	18,3	14,4	573	81,9	5,61	35,2	10,7	1,40
16	160	74	9,5	6,3	3,8	22,8	17,9	935	117	6,40	54,7	14,8	1,55
18	180	82	10,4	6,9	4,1	27,9	21,9	1450	161	7,20	81,3	19,8	1,71
20	200	90	11,3	7,5	4,5	33,5	26,3	2140	214	8,00	117	26,0	1,87
22	220	98	12,2	8,1	4,9	39,6	31,1	3060	278	8,80	162	33,1	2,02
24	240	106	13,1	8,7	5,2	46,1	36,2	4250	354	9,59	221	41,7	2,20
26	260	113	14,1	9,4	5,6	53,4	41,9	5740	442	10,4	288	51,0	2,32
28	280	119	15,2	10,1	6,1	61,1	48,0	7590	542	11,1	364	61,2	2,45
30	300	125	16,2	10,8	6,5	69,1	54,2	9800	653	11,9	451	72,2	2,56
32	320	131	17,3	11,5	6,9	77,8	61,1	12510	782	12,7	555	84,7	2,67
36	360	143	19,5	13,0	7,8	97,1	76,2	19610	1090	14,2	818	114	2,90
40	400	155	21,6	14,4	8,6	118	92,6	29210	1460	15,7	1160	149	3,73

¹⁾ Greutatea teoretică este calculată cu greutatea specifică 7,85 kgf/dm³

Nu sînt cuprinse profilele speciale pentru construcții navale.

T a b e l a 4.23, d. Oțel U
 Dimensiuni, greutate și valori statice¹⁾
 Dimensiuni în mm



I = Momentul de inerție
 W = Modulul de rezistență
 $i = \sqrt{\frac{I}{S}}$ = Raza de girație

raportate la axa de în-
 covoire respectivă

Denumirea U	Dimensiunile [mm]					Sectiunea S [cm ²]	Greutatea G [kgf/m]	Pentru axa de incoavire						e [cm]
	h	a	g	$t=r$	r_1			X-X			Y-Y			
								I_x [cm ⁴]	W_x [cm ³]	i_x [cm]	I_y [cm ⁴]	W_y [cm ³]	i_y [cm]	
6 ^{1/2}	65	42	5,5	7,5	4	9,03	7,09	57,5	17,7	2,52	14,1	5,07	1,25	1,42
8	80	45	6	8	4	11,0	8,64	106	26,5	3,10	19,4	6,36	1,33	1,45
10	100	50	6	8,5	4,5	13,5	10,6	206	41,2	3,91	29,3	8,49	1,47	1,55
12	120	55	7	9	4,5	17,0	13,4	364	60,7	4,62	43,2	11,1	1,59	1,60
14	140	60	7	10	5	20,4	16,0	605	86,4	5,45	62,7	14,8	1,75	1,75
16	160	65	7,5	10,5	5,5	24,0	18,8	925	116	6,21	85,3	18,3	1,89	1,84
18	180	70	8	11	5,5	28,0	22,0	1350	150	6,95	114	22,4	2,02	1,92
20	200	75	8,5	11,5	6	32,2	25,3	1910	191	7,70	148	27,0	2,14	2,01
22	220	80	9	12,5	6,5	37,4	29,4	2690	245	8,48	197	33,6	2,30	2,14
24	240	85	9,5	13	6,5	42,3	33,2	3600	300	9,22	248	39,6	2,42	2,23
26	260	90	10	14	7	48,3	37,9	4820	371	9,99	317	47,7	2,56	2,36
30	300	100	10	16	8	58,8	46,2	8030	535	11,7	495	67,8	2,90	2,70

Greutatea teoretică este calculată luînd ca bază greutatea specifică a oțelului de 7,85 kgf/dm³.

¹⁾ Nu sînt cuprinse profilele speciale pentru construcții navale și pentru vagoane.

§ 4.26. Ecuații generale pentru bare drepte. Diagrame

Intensitatea sarcinii transversale q (tm/), forța tăietoare T (t) și momentul încovoietor M (t·m) sînt legate între ele prin relațiile (fig. 4.46):

$$\left. \begin{aligned} q &= \frac{dT}{dx}, & T &= \frac{dM}{dx} \\ T + m &= \frac{dM}{dx} \end{aligned} \right\} \quad (4.166)$$

$$\left. \begin{aligned} M &= \int_0^x (T + m) dx + C_1 \\ T &= \int_0^x q dx + C_2 \end{aligned} \right\} \quad (4.167)$$

unde m este intensitatea momentului distribuit; C_1 și C_2 sînt parametrii inițiali. Semnurile pozitive pentru q , m , T și M sînt definite în fig. 4.46. Ecuațiile generale pentru T și M sînt:

$$\left. \begin{aligned} T &= T_0 + q_0 x + q'_0 \frac{x^2}{2!} + q''_0 \frac{x^3}{3!} + \dots \\ M &= M_0 + (T_0 + m_0) x + (q_0 + m'_0) \frac{x^2}{2!} + (q'_0 + m''_0) \frac{x^3}{3!} + \dots \end{aligned} \right\} \quad (4.168)$$

Cu indicele 0 sînt notați parametrii inițiali ai funcției și ai derivatelor ei. Pentru prima porțiune a barei în consolă din fig. 4.46, atunci cînd originea coordonatelor este în punctul O_1 se poate scrie:

$$T_I = 2x; \quad M_I = 2 \frac{x^2}{2} = x^2;$$

pentru a doua porțiune, cu originea coordonatelor în punctul O_2 :

$$T_{II} = 2; \quad M_{II} = 1 + 2x + x^2.$$

Graficele acestor funcții (diagramele T și M) sînt date în fig. 4.46, b și c.

Ecuațiile diferențiale ale fibrei medii deformate (la valori mici ale săgeților v) sînt:

$$\frac{1}{\rho} = \frac{M}{EI} = \frac{d^2 v}{dx^2}. \quad (4.169)$$

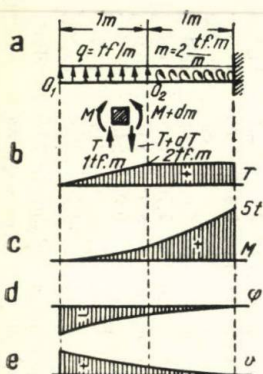


Fig. 4.46.

Curbura $1/\rho$, unghiul de rotire al tangentei φ și săgeata v sînt legate prin relațiile

$$\frac{1}{\rho} = \frac{d\varphi}{dx}; \quad \varphi = \frac{dv}{dx}; \quad v = \int_0^x \varphi dx + D_1; \quad \varphi = \int_0^x \frac{1}{\rho} dx + D_2. \quad (4.170)$$

Ecuatiile generale pentru φ și v , cînd $EI = \text{const}$, sînt:

$$\left. \begin{aligned} \varphi &= \varphi_0 + \frac{1}{EI} (M_0 x + (T_0 + m_0) \frac{x^2}{2!} + (q_0 + m'_0) \frac{x^3}{3!} + \\ &\quad + (q' + m'') \frac{x^4}{4!} + \dots; \\ v &= v_0 + \varphi_0 x + \frac{1}{EI} \left[M_0 \frac{x^2}{2!} + (T_0 + m_0) \frac{x^3}{3!} + \right. \\ &\quad \left. + (q_0 + m'_0) \frac{x^4}{4!} + (q'_0 + m''_0) \frac{x^5}{5!} + \dots \right] \end{aligned} \right\} \quad (4.171)$$

Dacă sarcinile au discontinuități, se utilizează principiul suprapunerii efectelor sau se deplasează originea coordonatelor în punctul de discontinuitate. În fig. 4.46, păstrînd pentru a doua porțiune originea coordonatelor în punctul O_1 , rezultă:

$$\begin{aligned} \varphi_{II} &= \varphi_0 + \frac{1}{EI} \left[2 \frac{x^3}{6} - 2 \frac{(x-1)^3}{6} + 2 \frac{(x-1)^2}{2} \right] \\ v_{II} &= v_0 + \varphi_0 x + \frac{1}{EI} \left[2 \frac{x^4}{24} - 2 \frac{(x-1)^4}{24} + 2 \frac{(x-1)^3}{6} \right]. \end{aligned}$$

Folosind condiția: la $x = 2$, $\varphi = 0$ și $v = 0$, obținem:

$$\varphi_0 = -\frac{10}{3EI}; \quad v_0 = \frac{61}{12EI}.$$

Diagramele φ și v sînt indicate în fig. 4.46, d și e .

Tabela 4.24. Diagrama T și M . Valori maxime ale unghiurilor φ și săgeților v

1. Consolă cu forță concentrată în capăt.

Reacțiunile în reazem sînt:

$$R = P; \quad M_R = Pl; \quad T(x) = -P;$$

$$M(x) = -Px; \quad M_{\max} = -Pl;$$

$$\varphi = \frac{Pl^2}{2EI}, \quad v = \frac{Pl^3}{3EI}.$$

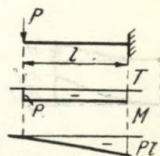
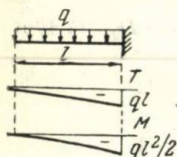


Tabela 4.24 (continuare)

2. Idem cu sarcină uniform distribuită:

Reacțiunea în reazim: $R = ql$; $M_R = \frac{ql^2}{2}$;

$$T(x) = -qx; \quad M(x) = -\frac{qx^2}{2};$$

$$M_{max} = -\frac{ql^2}{2}; \quad \varphi = \frac{ql^3}{6EI}; \quad v = \frac{ql^4}{8EI}.$$

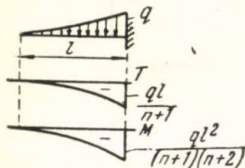
3. Idem încărcată cu moment distribuit:



$$R = 0; \quad M_R = -ml;$$

$$T = 0; \quad M = mx;$$

$$\varphi = \frac{ml^2}{2EI}; \quad v = \frac{ml^3}{3EI}.$$

4. Idem, cu o sarcină parabolică $q(x) = -\frac{q}{l^n} x^n$; $n \geq 0$;

$$R = \frac{ql}{n+1}; \quad M_R = \frac{ql^2}{(n+1)(n+2)};$$

$$Q(x) = -\frac{qx^{n+1}}{l^n(n+1)};$$

$$M(x) = -\frac{qx^{n+2}}{l^n(n+1)(n+2)};$$

$$\varphi = \frac{ql^3}{(n+1)(n+2)(n+3)EI};$$

$$v = \frac{ql^4}{(n+1)(n+2)(n+4)EI}.$$

5. Idem încărcată cu momente variind după legea $m(x) = m \frac{x^n}{l^n}$;

$$R = 0; \quad M_R = -\frac{ml}{n+1}; \quad Q = 0; \quad M(x) = \frac{mx^{n+1}}{l^n(n+1)};$$

$$\varphi = \frac{ml^2}{(n+1)(n+2)EI}; \quad v = \frac{ml^3}{(n+1)(n+3)EI}.$$

Tabela 4.24 (continuare)

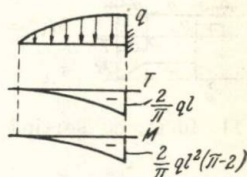
6. Idem, cu o sarcină sinusoidală $q(x) = -q \sin \frac{\pi x}{2l}$;

$$R = \frac{2}{\pi} ql; \quad M_R = \frac{2ql^2}{\pi} \left(1 - \frac{2}{\pi}\right);$$

$$Q(x) = -\frac{2ql}{\pi} \left(1 - \cos \frac{\pi x}{l}\right);$$

$$M(x) = -\frac{2ql}{\pi} \left(x - \frac{2l}{\pi} \sin \frac{\pi x}{2l}\right);$$

$$\varphi = \frac{ql^3}{\pi EI}; \quad v = \frac{ql^4}{\pi EI} \left(\frac{2}{3} - \frac{8}{\pi^3}\right).$$

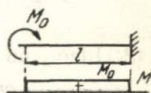


7. Idem, cu un moment concentrat:

$$R = 0; \quad M_R = -M_0;$$

$$T = 0; \quad M(x) = M_0;$$

$$\varphi = \frac{M_0 l}{EI}; \quad v = \frac{M_0 l^2}{2EI}.$$

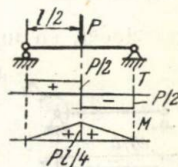


8. Grindă simplă rezemată cu o sarcină la mijloc:

$$R_A = R_B = \frac{P}{2};$$

$$T_1(x) = \frac{P}{2}; \quad M_1(x) = \frac{P}{2}x; \quad M_{max} = -\frac{Pl}{4};$$

$$\varphi = \frac{Pl^2}{16EI}; \quad v = \frac{Pl^3}{48EI}.$$



9. Idem, cu sarcină într-un punct oarecare:

$$\text{Reacțiunea în reazim: } R_A = \frac{Pb}{l};$$

$$R_B = \frac{Pa}{l};$$

$$T_I = R_A; \quad T_{II} = -R_B;$$

$$M_I = R_A x; \quad M_{max} = \frac{Pab}{l};$$

$$\varphi_A = \frac{Pab(b+l)}{6EI}; \quad v|_{x=a} = \frac{Pa^2b^2}{3EI}.$$

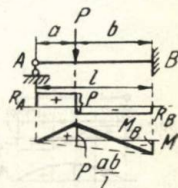
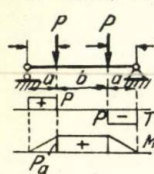


Tabela 4.24 (continuare)

10. Idem, cu două sarcini dispuse simetric:



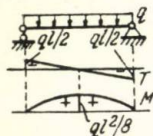
$$R_A = R_B = P;$$

$$T_I = P; \quad T_{II} = 0;$$

$$M_I = Px; \quad M_{II} = Pa = M_{max};$$

$$\varphi_A = \frac{Pa(a+b)}{2EI}; \quad v_{max} = \frac{Pa}{24EI} (8a^2 + 12ab + 3b^2).$$

11. Idem, cu sarcină uniform distribuită:



$$R_A = R_B = \frac{ql}{2};$$

$$T(x) = R_A - qx; \quad M(x) = R_A x - \frac{qx^2}{2}; \quad M_{max} = \frac{ql^2}{8};$$

$$\varphi = \frac{ql^3}{24EI}; \quad v = \frac{5ql^4}{384EI}.$$

12. Idem, cu moment uniform distribuit:

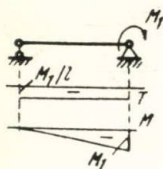


$$R_A = -R_B = -m;$$

$$T(x) = -m; \quad M(x) = 0;$$

$$\varphi = v = 0 = \text{const.}$$

13. Idem, cu un moment concentrat aplicat la extremitate:



$$R_A = -R_B = -\frac{M_1}{l};$$

$$T(x) = -\frac{M_1}{l}; \quad M(x) = -\frac{M_1}{l} x;$$

$$\varphi_A = \frac{M_1 l}{6EI}; \quad \varphi_B = \frac{M_1 l}{3EI}; \quad v \Big|_{x=\frac{l}{2}} = \frac{M_1 l^2}{16EI}.$$

14. Idem, cu sarcină distribuită pe o porțiune, așezată simetric:



$$R_A = R_B = \frac{qb}{2}; \quad T_I = R_A; \quad M_I = R_A x;$$

$$M_{max} = \frac{qb}{8} (4a + b);$$

$$\varphi = \frac{qb^3}{24EI} \left(1 + 6 \frac{a}{b} + 6 \frac{a^2}{b^2} \right);$$

$$v = \frac{5qb^4}{384EI} \left(1 + 8 \frac{a}{b} + 19,2 \frac{a^2}{b^2} + 12,8 \frac{a^3}{b^3} \right).$$

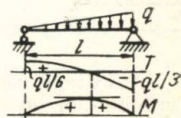
Tabela 4.24 (continuare)

15. Idem, cu sarcină triunghiulară $q = -\frac{q}{l}x$:

$$R_A = \frac{ql}{6}; R_B = 2R_A;$$

$$T(x) = \frac{ql}{2} \left(\frac{1}{3} - \frac{x^2}{l^2} \right); M(x) = \frac{qlx}{6} \left(1 - \frac{x^2}{l^2} \right);$$

$$M_{max} = \frac{ql^2}{9\sqrt{3}}; v \Big|_{x=\frac{l}{2}} = \frac{2,5ql^4}{384EI}.$$



16. Idem, cu sarcină parabolică $q(x) = -q \frac{x^n}{l^n}$:

$$R_A = \frac{ql}{(n+1)(n+2)}; R_B = R_A(n+1);$$

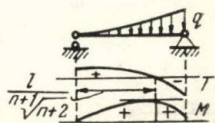
$$T(x) = R_A - \frac{qx^{n+1}}{l^n(n+1)};$$

$$M(x) = R_Ax - \frac{qx^{n+2}}{l^n(n+1)(n+2)};$$

$$M_{max} = \frac{ql^2}{(n+2)^2 \sqrt[n+1]{n+2}};$$

$$\varphi_A = \frac{ql^3(n+6)}{6(n+2)(n+3)(n+4)EI};$$

$$\varphi_B = \frac{ql^3}{3(n+2)(n+4)EI}.$$



17. Idem, cu sarcină sinusoidală $q(x) = -q \sin \frac{\pi x}{l}$:

$$R_A = R_B = \frac{ql}{\pi};$$

$$T(x) = \frac{ql}{\pi} \cos \frac{\pi x}{l}; M(x) = \frac{ql^2}{\pi^2} \sin \frac{\pi x}{l};$$

$$M_{max} = \frac{ql^2}{\pi^2}; \varphi = \frac{ql^3}{\pi^3 EI}; v = \frac{ql^4}{\pi^4 EI}.$$

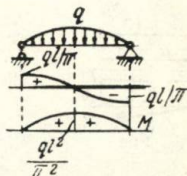
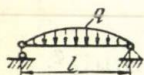


Tabela 4.24 (continuare)

18. Idem, cu sarcină parabolică simetrică: $q(x) = -q + q \frac{x^n}{l^n}$:



$$R_A = R_B = ql \frac{n}{n+1}.$$

Aspectul diagramelor T și M este același ca în cazul 17. Cu originea coordonatelor în centru, rezultă:

$$T(x) = -qx + \frac{qx^{n+1}}{l^n(n+1)};$$

$$M(x) = M_0 - \frac{qx^2}{2} + \frac{qx^{n+2}}{l^n(n+1)(n+2)};$$

$$M_0 = M_{max} = \frac{ql^2 n(n+3)}{2(n+1)(n+2)}.$$

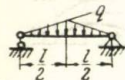
19. Idem, cu o sarcină triunghiulară simetrică. Forma diagramelor T și M este aceeași, ca în cazul 17:

$$R_A = R_B = \frac{ql}{4}; \quad T_1(x) = \frac{ql}{4} \left(1 - 4 \frac{x^2}{l^2} \right);$$

$$M_1(x) = \frac{qlx}{4} \left(1 - \frac{4}{3} \frac{x^2}{l^2} \right);$$

$$M_{max} = \frac{ql^2}{12};$$

$$\varphi_A = \varphi_B = \frac{5ql^3}{192EI}; \quad v = \frac{ql^4}{120EI}.$$



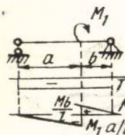
20. Idem, cu un moment concentrat într-un punct oarecare:

$$R_A = -R_B = -\frac{M_1}{l};$$

$$T(x) = -\frac{M_1}{l}; \quad M_1(x) = -\frac{M_1}{l} x;$$

$$\varphi_A = \frac{M_1}{6EI} (a^2 + 2ab - 2b^2);$$

$$v \Big|_{x=\frac{l}{2}} = \frac{M_1}{16EI} (a^2 + 2ab - 3b^2).$$



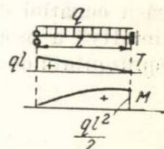
21. Grindă cu reazim mobil și glisieră. Reacțiunea din stînga:

$$R = ql; \text{ cea din dreapta: } M_R = ql;$$

$$M_R = -\frac{ql^2}{2};$$

$$T(x) = R_A - qx; \quad M(x) = qlx - \frac{qx^2}{2};$$

$$\varphi = \frac{ql^3}{3EI}; \quad v = \frac{5ql^4}{24EI}.$$



§ 4.27. Grinzi de secțiune variabilă

Ecuațiile generale ale unghiurilor φ și săgeților v pentru bare cu secțiune variabilă în trepte (fig. 4.47) sînt:

$$\begin{aligned} \varphi = & \varphi_0 + \frac{1}{EI} \left\{ M_0 x + T_0 \frac{x^2}{2!} + \right. \\ & + q_0 \frac{x^3}{3!} + \dots \left(\frac{k}{k_1} - 1 \right) \left[M_A(x - \right. \\ & - a) + T_A \frac{(x - a)^2}{2!} + \dots \left. \right] + \\ & + \left(\frac{k}{k_2} - \frac{k}{k_1} \right) \left[M_B(x - b) + T_B \frac{(x - b)^2}{2!} + \dots \right] + \dots \left. \right\}, \quad (4.172) \end{aligned}$$

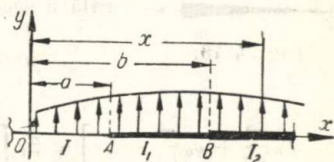


Fig. 4.47.

unde $k = EI$; $k_1 = EI_1$; $k_2 = EI_2 \dots$;

$$\begin{aligned} v = & v_0 + \varphi_0 x + \frac{1}{EI} \left\{ \frac{M_0 x^2}{2!} + \frac{T_0 x^3}{3!} + \frac{q_0 x^4}{4!} + \dots \right. \\ & + \left(\frac{k}{k_1} - 1 \right) \left[\frac{M_A(x - a)^2}{2!} + \frac{T_A(x - a)^3}{3!} + \frac{q_A(x - a)^4}{4!} + \dots \right] + \\ & + \left(\frac{k}{k_2} - \frac{k}{k_1} \right) \cdot \left[\frac{M_B(x - b)^2}{2!} + \frac{T_B(x - b)^3}{3!} + \dots \right] + \\ & + \frac{k}{k_1} \left[\frac{M_1 x^2}{2!} + \frac{P_1 x^3}{3!} + \frac{q_1 x^4}{4!} + \dots \right] + \dots \left. \right\}. \quad (4.173) \end{aligned}$$

Aici, M_0 , T_0 , q_0 , ... sînt parametrii inițiali; M_A , T_A , q_A ... sînt valorile în punctul de trecere de la prima la cea de a doua porțiune; M_B , T_B ... aceleași, la trecerea de la porțiunea 2 la 3; dacă pe porțiunea

a doua există o sarcină suplimentară, ea se ia în considerare, cum este indicat în ultimul rînd.

Dacă bara are secțiunea continuu-variabilă și integrarea de două ori a ecuației diferențiale este complicată, se face o rezolvare aproximativă a problemei; dacă variația momentului de inerție poate fi reprezentată de formulele (fig. 4.48).

$$\left. \begin{aligned} F(x) &= \frac{I}{I_x} = \beta_0 + \beta_1 x + \beta_2 x^2, \quad \beta_0 = F_0, \\ \beta_1 &= \frac{4F_c - 3F_a - F_b}{b}, \quad \beta_2 = 2 \frac{F_a + F_b - 2F_c}{b^2} \end{aligned} \right\} \quad (4.174)$$

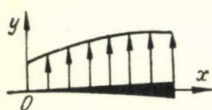


Fig. 4.48.

(unde b este lungimea porțiunii; F_a , F_b și F_c sînt valorile lui $F(x)$ în origine, la extremitatea și în mijlocul porțiunii), atunci ecuația generală a săgeții va fi)¹⁾

$$\begin{aligned} v &= v_0 + \varphi_0 x + \frac{I}{EI} \left\{ \beta_0 \left[M_0 \frac{x^2}{2!} + \right. \right. \\ &+ T_0 \frac{x^3}{3!} + q_0 \frac{x^4}{4!} + \dots \left. \right] + \beta_1 \left[M_0 \frac{x^3}{3!} + 2T_0 \frac{x^4}{4!} + 2q_0 \frac{x^5}{5!} + \dots \right] + \\ &+ \beta_2 \left[2M_0 \frac{x^4}{4!} + 6T_0 \frac{x^5}{5!} + 12q_0 \frac{x^6}{6!} + 20q_0' \frac{x^7}{7!} + \dots \right] + \dots \left. \right\}. \end{aligned} \quad (4.175)$$

Utilizînd metoda grafo-analitică a lui Mohr se procedează astfel: a) se construiește diagrama curburii barei $\left(\frac{1}{\rho} = \frac{M(x)}{EI(x)} \right)$, numită și dia-

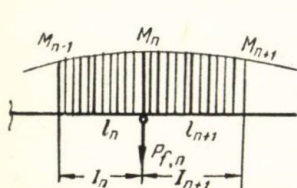


Fig. 4.49.

grama sarcinii fictive $\left(q_f = \frac{1}{\rho} \right)$ b) unghiul φ se calculează ca fiind forța tăietoare fictivă (T_b); c) săgeata v este momentul încovoietor fictiv (M_f). Înlocuirea (după criteriul de egalitate a momentelor) sarcinii distribuite q_f prin una concentrată P_f se face după formula (fig. 4.49).

$$\begin{aligned} P_{f,n} &= c_1 l'_n (c_2 M_{n-1} + M_n) + \\ &+ c_1 l'_{n+1} (M_n + c_2 M_{n+1}). \end{aligned} \quad (4.176)$$

¹⁾ Vezi N. K. Snitko, V.I.T. nr. 1, 1938.

unde $l' = l$; EI — este lungimea redusă; coeficienții c se iau în funcție de forma diagramei curbării:

$$\left. \begin{array}{ll} \text{pentru linie frântă} & c_1 = 0,333, \quad c_2 = 0,5; \\ \text{pentru parabola de gradul II} & = 0,417, \quad = 0,2; \\ \text{pentru sinusoidă cu 6 porțiuni} & = 0,340, \quad = 0,506; \\ \text{pentru sinusoidă cu 4 porțiuni} & = 0,348, \quad = 0,515. \end{array} \right\} \quad (4.177)$$

Pentru determinarea lui T_f și M_f , sarcina fictivă se aplică unei grinzi fictive, avînd următoarele moduri de rezemare: la grinda reală simplu rezemată la capete, cea fictivă este de asemenea simplu rezemată; la grinda *reală* în consolă, capătul liber se schimbă în încastrare, iar încastrarea se transformă într-un capăt liber.

Se va determina săgeata grinzii din fig. 4.50, în locul de aplicare a forței concentrate. Alegînd originea coordonatelor în reazimul din stînga și punînd condiția $v = 0$ la $x = 5a$, din ecuația (4.172), cu $k = EI$, $k_1 = 2EI$, $k_2 = 4EI$, se găsește unghiul de rotire φ_0

$$\begin{aligned} \varphi_0 \cdot 5a + \frac{1}{k} \left\{ \frac{2}{5} P \frac{(5a)^3}{6} - \frac{1}{2} \frac{2}{5} P \frac{(4a)^3}{6} - \frac{1}{4} \frac{2}{5} P \frac{(3a)^3}{6} - \right. \\ \left. - \frac{1}{4} P \frac{(2a)^3}{6} - \frac{1}{4} \frac{3P}{5} \frac{a^3}{6} - \frac{1}{2} \frac{2}{5} Pa \frac{(4a)^2}{5} - \frac{1}{4} \frac{2}{5} P2a \frac{(3a)^2}{2} + \right. \\ \left. + \frac{1}{4} \frac{3}{5} Pa \frac{a^2}{2} \right\} = 0, \end{aligned}$$

de unde: $\varphi_0 = - \frac{89}{150k} Pa^2$. Pentru $x = 3a$, găsim, în mod analog,

săgeata $v = - \frac{229}{300k} Pa^3$. Dacă problema se rezolvă grafo-analitic, atunci, din formula (4.176), sarcinile fictive în punctele de discontinuitate a grinzii sînt:

$$\begin{aligned} P_{f1} &= \frac{Pa^2}{30k} \cdot 8; \quad P_{f2} = \frac{Pa^2}{30k} \cdot 8,5; \\ P_{f3} &= \frac{Pa^2}{30k} \cdot 7,75 \quad \text{și} \quad P_{f4} = \frac{Pa^2}{30k} \cdot 6. \end{aligned}$$

Reacțiunea sarcinii fictive în reazimul din stînga este $R_{Af} = - \frac{79}{150k} Pa^2$; după adăugarea lui $P_{f0} = - Pa^2/15k$, se obține rezultatul anterior; săgeata, pentru $x = 3a$, coincide cu cea obținută analitic:

$$v = - R_{Af} \cdot 3a + P_{f1} \cdot 2a + P_{f2} \cdot a.$$

Dacă, la aceeași sarcină, se ia o variație a momentului de inerție conform relației (4.174), admițind, de exemplu, că pe lungimea $b = 3a$ (în stînga forței P) $F_a = 1 : 0,8I = 1,25$; $F_c = I : 2I = 0,5$ și $F_b = I : 4I = 0,25$, atunci $\beta_0 = 1,25$; $\beta_1 = -2 : 3a$; $\beta_2 = 1 : 9a^2$. Atunci, din condiția $v = 0$, pentru $x = 5a$, găsim, din ecuația (4.175)

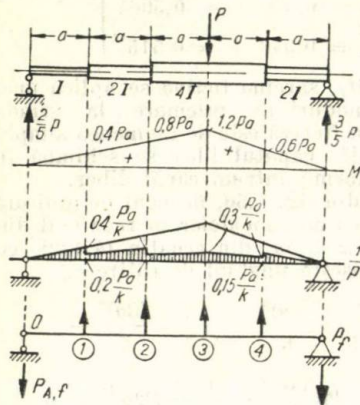


Fig. 4.50.

$\varphi_0 = -\frac{15,1}{30k} Pa^2$, iar dînd lui x valoarea $3a$, obținem:

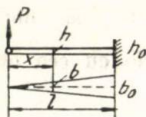
$$\begin{aligned} v &= -\frac{15,1}{30k} Pa^2 3a + \\ &+ \frac{1}{k} \left[1,25 \cdot 0,4 P \frac{(3a)^3}{6} - \right. \\ &- \frac{2}{3a} 2 \cdot 0,4 P \frac{(3a)^4}{24} + \\ &\left. + \frac{1}{9a^2} 6 \cdot 0,4 P \frac{(3a)^5}{130} \right] = \\ &= -\frac{156}{300k} Pa^3. \end{aligned}$$

adică, grinda aceasta este mai rigidă decît grinda în trepte din fig. 4.50.

T a b e l a 4. 25. Grinzi de egală rezistență la încovoiere

Dimensiunile secțiunii se aleg în baza condiției $\sigma = M(x) : W(x) = \text{const.}$ în toate secțiunile; în locul în care $M(x) = 0$, secțiunea nu poate fi totuși nulă, căci ea trebuie să asigure preluarea tensiunilor τ .

1. Bară în consolă, de înălțime constantă h , de lățime variabilă $b = b_0 \frac{x}{l}$:



$$M(x) = Px; \quad W(x) = b_0 \frac{h^2}{6} \cdot \frac{x}{l}; \quad I = \frac{b_0 h^3}{12};$$

$$\varphi_0 = -\frac{Pl^2}{EI}; \quad v_0 = \frac{Pl^3}{2EI}.$$

2. Aceeași, de lățime constantă b și de înălțime variabilă

$$h = h_0 \sqrt{\frac{x}{l}};$$

$$M(x) = Px; \quad W(x) = \frac{bh_0^2}{6} \frac{x}{l}; \quad I = \frac{bh_0^3}{12};$$

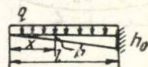
$$\varphi_0 = -\frac{2Pl^2}{EI}; \quad v_0 = \frac{2}{3} \frac{Pl^3}{EI}.$$



3. Aceeași, de lățime constantă b , de înălțime variabilă $h = h_0 \frac{x}{l}$:

$$M(x) = \frac{qx^2}{2}; \quad W(x) = \frac{bh_0^2}{6l^2} x^2; \quad I = \frac{bh_0^3}{12};$$

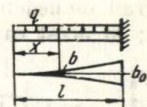
$$v_0 = \frac{ql^4}{2EI}.$$



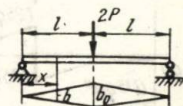
4. Aceeași, de înălțime constantă h și de lățime variabilă $b = b_0 \frac{x^2}{l^2}$:

$$M(x) = \frac{qx^2}{2}; \quad W(x) = \frac{b_0 h^2}{6l^2} x^2; \quad I = \frac{b_0 h^3}{12};$$

$$\varphi_0 = -\frac{ql^3}{2EI}; \quad v_0 = \frac{ql^4}{4EI}.$$

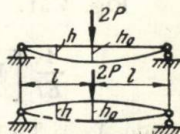


5. Grindă simplă, desenele de înălțime constantă h , de lățime variabilă $b = b_0 \frac{x}{l}$. Se mențin formulele de la cazul 1.

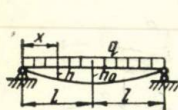


6. Aceeași, de lățime constantă b , de înălțime variabilă $h = h_0 \sqrt{\frac{x}{l}}$.

Se mențin formulele cazului 2.



7. Aceeași, de lățime constantă b , de înălțime variabilă $h = \frac{h_0}{l} \sqrt{2lx - x^2}$:

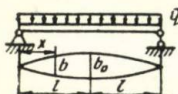


$$M(x) = \frac{q}{2} (2lx - x^2); \quad W(x) = \frac{bh_0^2}{6l^2} (2lx - x^2);$$

$$I = \frac{bh_0^3}{12}; \quad v_l = -\frac{ql^4}{2EI}.$$

8. Aceeași, de înălțime constantă h , de lățime variabilă

$$b = b_0 \frac{2lx - x^2}{l^2};$$



$$M(x) = \frac{q}{2} (2lx - x^2); \quad W(x) = \frac{b_0 h^2}{6l^2} (2lx - x^2);$$

$$I = \frac{b_0 h^3}{12}; \quad \varphi_0 = -\frac{ql^3}{2EI}; \quad v_l = -\frac{ql^4}{4EI}.$$

§ 4.28. Grinzi static nedeterminate

Gradul de nedeterminare statică este egală cu numărul de legături suplimentare în reazime, adică, în plan, egal cu numărul necunoscutelor, minus trei. *Metoda parametrilor inițiali* este comodă pentru un grad de nedeterminare, nu prea mare (de obicei nu mai mare decât trei); în acest caz, se utilizează ecuațiile generale (§ 4.26) pentru

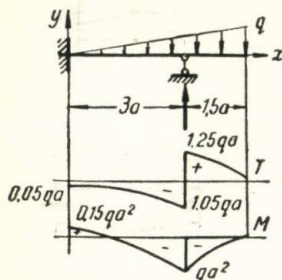


Fig. 4.51.

unghiurile φ și săgețile v , satisfăcând condițiilor de fixare. Drept exemplu, vom examina grinda din fig. 4.51 din $EI = \text{const.}$, adică o problemă simplu static nedeterminată. Admițând drept necunoscută suplimentară reacțiunea necunoscută X_1 în reazimul din dreapta, avem parametrii inițiali (pentru reazimul din stînga): $v_0 = \varphi_0 = 0$; $M_0 = X_1 \cdot 3a - 6,75 qa^2$; $T_0 = -X_1 + 2,25 qa$; $q_0 = 0$; $q'_0 = -q$; $4,5 a$.

Utilizînd condiția $v = 0$, pentru $x = 3a$, rezultă:

$$\frac{1}{EI} \left[M_0 \frac{9a^2}{2} + T_0 \frac{27a^3}{6} + q'_0 \frac{243 a^5}{120} \right] = 0.$$

de unde $X_1 = 2,3 qa$; $M_0 = 0,15 qa^2$; $T_0 = -0,05 qa$.

Metoda forțelor se folosește, pentru grinzi continue, sub forma ecuației celor trei momente (fig. 4.52).

$$M_0 l'_1 + 2M_1 (l'_1 + l'_2) + M_2 l'_2 = - \frac{6 \Omega_1 a_1}{l_1 EI_1} - \frac{6 \Omega_2 b_2}{l_2 EI_2} \quad (4.178)$$

unde l_1 și l_2 sînt lungimile a două deschideri vecine:

$l'_1 = l_1 : EI_1$; $l'_2 = l_2 : EI_2$; M_0 ; M_1 și M_2 sînt momentele pe reazimele 0, 1 și 2; Ω_1 și Ω_2 sînt suprafețele diagramelor de momente (M^0), datorită sarcinii de

pe aceste deschideri, considerate ca grinzi simple rezemate; a_1 și b_2 sînt coordonatele centrelor de greutate ale acestor diagrame.

Pentru grinda din fig. 4.53 — dublu static nedeterminată este necesară scrierea a două ecuații. În acest scop, în stînga încastrării se adaugă un reazem — 1, respectiv o deschidere de lungime $l_0 = 0$; prima ecuație cuprinde deschiderile l_0 și l_1 ; a doua — deschiderile l_1 și l_2 . Admitem că $EI = \text{const.}$ și egal cu 1. Pentru calculul lui Ω se construiesc diagramele M^0 (fig. 4.53, a) pentru grinzi simple rezemate:

$$\Omega_1 = \frac{2}{3} l_1 \cdot 13,5 = 54;$$

$$a_1 = b_1 = 3m;$$

$$\Omega_2 = 16; a_2 = b_2 = 2m.$$

Prima ecuație (cu $M_{-1} = 0$):

$$2 M_0 \cdot 6 + M_1 \cdot 6 = - 6 \cdot \frac{54}{6} \cdot 3.$$

A doua ecuație (cu $M_2 = -1,5$) este:

$$M_0 \cdot 6 + 2M_1 \cdot 10 + M_2 \cdot 4 = - 6 \cdot \frac{54}{6} \cdot 3 - 6 \cdot \frac{16}{4} \cdot 2.$$

Rezolvarea ecuațiilor dă $M_0 = -9,81 \text{ t} \cdot \text{m}$; $M_1 = -7,25 \text{ t} \cdot \text{m}$. Diagrama M este arătată în fig. 4.53, b.

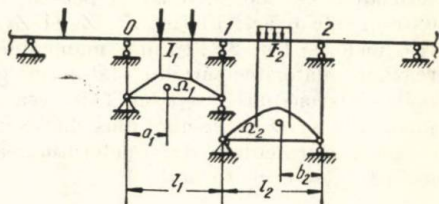


Fig. 4.52.

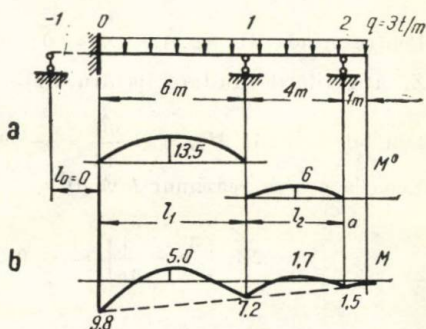


Fig. 4.53.

Metoda deplasărilor oferă uneori avantaje față de metoda forțelor; ecuația canonică pentru deschiderile $l_1 - l_2$ are forma ecuației celor trei unghiuri (fig. 4.52):

$$Z_0 i_1 + 2Z_1 (i_1 + i_2) + Z_2 i_2 = -0,5 (M_{10}^0 + M_{12}^0), \quad (4.179)$$

unde rigiditatea unitară i este egală cu $EI: l$ pentru deschideri intermediare și cu $0,75 EI: l$ pentru cea extremă, dacă reazimul extrem este o articulație; Z_0, Z_1 și Z_2 sînt unghiurile de rotire în reazimele 0, 1 și 2; M^0 sînt momentele de încastrare perfectă din reazime, datorite sarcinii date, în grinzile încastrate la reazimele intermediare, separate din cea continuă (vezi tabela 4.26); momentul se ia cu semnul plus dacă sarcina rotește nodul 1 în sensul acelor ceasornicului. După determinarea lui Z , momentele în grinda dată se găsesc cu formula

$$M_{12} = M_{12}^0 + 2i_2 (2Z_1 + Z_2). \quad (4.180)$$

Pentru grinda din fig. 4.53, $Z_0 = 0$; singura necunoscută este unghiul Z_1 . Rigiditățile unitare (pentru $EI = 1$) sînt: $i_1 = \frac{1}{6}$ și $i_2 = \frac{3}{16}$.

Din tabela 4.26, $M_{10}^0 = -\frac{ql_1^2}{12} = -9$; $M_{12}^0 = \frac{ql_2^2}{8} - \frac{qa^2}{4} = 5,25$.

Ecuația pentru reazimul 1 va fi:

$$2Z_1 \left(\frac{1}{6} + \frac{3}{16} \right) = -0,5 (-9 + 5,25),$$

de unde $Z_1 = 2,63$.

Determinînd momentele cu ecuația (4.180), obținem diagrama din fig. 4.53.b. *Metoda de calcul fără rezolvarea ecuațiilor canonice* constă în utilizarea formulei generale a momentului din reazim, care pentru un reazim oarecare 1 al deschiderii 1-2 are forma:

$$M_{12} = M_{12}^0 - M_1 \mu_{12} - M_2 \cdot 0,5 \mu_{21}. \quad (4.181)$$

unde M^0 sînt momentele inițiale, ca și în metoda deplasărilor (din tabela 4.26); μ sînt coeficienții de distribuție ai momentelor neechilibrate:

$$\mu_{12} = i_{12} : \Sigma_1 i; \quad \mu_{21} = i_{12} : \Sigma_2 i; \quad (4.182)$$

M_1 și M_2 sînt momentele de calcul din noduri pentru reazimele 1 și 2. Expresiile suficient de exacte ale momentelor, cit și ale coeficienților α și μ' , care intră în ele, au forma:

$$M_1 = (1 + \alpha_1) \left(1 - \frac{\mu'_{21}}{4} \right) \left[M_1^0 - M_0^0 \frac{\mu'_{01}}{2} + M_{-1}^0 \frac{\mu'_{-10} \mu'_{01}}{4} - \dots \right] \quad (4.183)$$

$$M_2 = (1 + \alpha_2) \left(1 - \mu'_{12} \right) \left[M_2^0 - M_3^0 \frac{\mu'_{32}}{2} + M_4^0 \frac{\mu'_{43} \mu'_{32}}{4} - \dots \right]$$

$$\alpha_{bar\bar{a}} = \alpha_{12} = \frac{\mu_{12} \mu_{21}}{4 - \mu_{12} \mu_{21}};$$

$$\alpha_{nod} = \alpha_1 = \alpha_{10} + \alpha_{12} = \sum_1 \alpha_{bar\bar{a}}; \alpha_{1-12} = \alpha_{10}; \quad (4.184)$$

$$\mu'_{12} = \mu_{12} (1 + \alpha_{1-12}); \mu'_{21} = \mu_{21} (1 + \alpha_{2-12}); \quad (4.185)$$

unde M^0 sînt momentele inițiale din noduri ($M_1^0 = M_{10}^0 + M_{12}^0$) coeficienții α se calculează numai pentru deschiderile intermediare ale grinzii, iar μ — pentru nodurile intermediare. La grinda din fig. 4.53, $\alpha = 0$ și calculul după formula (4.181) este elementar; deoarece există numai un singur nod intermediar (1), avem, după formula (4.182):

$$\mu_{10} = \frac{1}{6} : \left(\frac{1}{6} + \frac{3}{16} \right) = 0,472;$$

$$\mu_{12} = \frac{3}{16} : \left(\frac{1}{6} + \frac{3}{16} \right) = 0,528.$$

Momentul inițial din nod, $M_1^0 = M_{10}^0 + M_{12}^0 = -9 + 5,25 = 3,75$ este după (4.183) egal cu cel de calcul M_1 ; de aceea, din (4.181) rezultă:

$$M_{12} = 5,25 - (-3,75) \cdot 0,528 = 7,25 \text{ t} \cdot \text{m}.$$

La bare cu trei deschideri (fig. 54) calculăm momentul M_{23} pentru

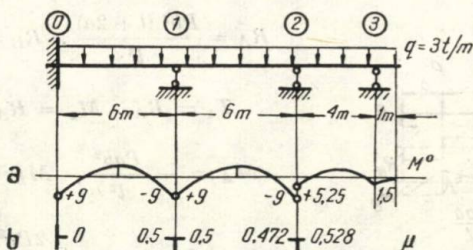


Fig. 4.54.

$EI = \text{const.}$ În fig. 4.54, a este dată diagrama momentelor inițiale M^0 , iar pe fig. 4.54, b — mărimile μ , determinate din (4.182). Utilizând formulele (4.184) și (4.185), găsim:

$$\alpha_{12} = \frac{0,5 \cdot 0,472}{4 - 0,5 \cdot 0,472} = 0,063, \quad M_2 = 1,063 (1 - 0) (-3,75) = -4, \quad M_3 = 0.$$

$$\text{Din (4.181) obținem } M_{23} = M_{23}^0 - M_2 \cdot \mu_{23} = 5,25 - (-4) \cdot 0,528 = 7,36 \text{ tf} \cdot \text{m}.$$

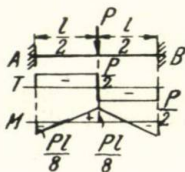
La calculul lui M_{21} trebuie recalculat M_2 după prima formulă (4.183).

$$M_2 = 1,063 \left(1 - \frac{0,5}{4} \right) (-3,75) = -3,5 \text{ tf} \cdot \text{m}; \quad M_1 = 0$$

$$M_{21} = -9 + 3,5 \cdot 0,472 = -7,36 \text{ tf} \cdot \text{m}.$$

Tabela 4.26. Diagrama T , M și săgețile v pentru o zonă de grinzi

1. Grindă încastrată la capete, cu sarcină concentrată la mijloc

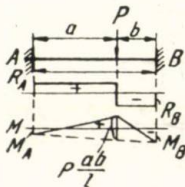


$$R_A = R_B = \frac{P}{2}, \quad T_1 = R_A;$$

$$M_1 = R_A x \frac{Pl}{8};$$

$$v_{\max} = \frac{Pl^3}{192 EI}.$$

2. Aceeași, cu sarcină aplicată într-un punct oarecare



$$R_A = \frac{Pb^2(l+2a)}{l^3}, \quad R_B = \frac{Pa^2(l+2b)}{l^3},$$

$$T_1 = R_A, \quad M_1 = R_A x - M_A,$$

$$M_A = -\frac{Pab^2}{l^2}, \quad M_B = -\frac{Pa^2b}{l^2},$$

$$v \Big|_{x=a} = \frac{2Pa^3b^2}{3EI(l+2a)^2}.$$

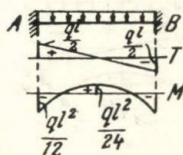
3. Aceeași, cu sarcină uniform distribuită

$$R_A = R_B = \frac{ql}{2}, \quad T(x) = \frac{ql}{2} - qx,$$

$$M(x) = -\frac{ql^2}{12} + \frac{ql}{2}x - \frac{qx^2}{2};$$

$$M_A = M_B = -\frac{ql^2}{12}, \quad M_{l/2} = \frac{ql^2}{24},$$

$$v = \frac{ql^4}{384 EI}.$$

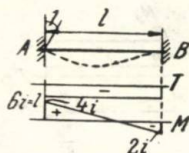


4. Aceeași, cu încastrarea din stînga rotită cu $\varphi = 1$

$$R_A = -R_B = -\frac{6i}{l}, \quad i = EI:l,$$

$$T(x) = -6i:l, \quad M(x) = M_A - 6\frac{i}{l}x,$$

$$M_A = 4i, \quad M_B = -2i.$$

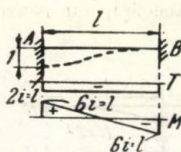


5. Aceeași, cu deplasarea încastrării din stînga cu $v = 1$

$$R_A = -R_B = -\frac{12i}{l^2},$$

$$T(x) = -\frac{12i}{l^2}x, \quad M(x) = M_A - \frac{12i}{l^2}x^2;$$

$$M_A = 6i:l, \quad M_B = -6i:l.$$

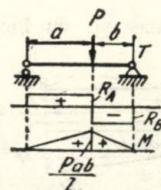


6. Grindă încastrată la un capăt și simplu rezemată la celălalt încărcată cu o forță P

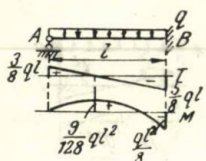
$$R_A = \frac{Pb^2(2l+a)}{2l^3}, \quad T_1 = R_A,$$

$$M_1 = R_A x, \quad M_{max} = \frac{Pab^2(2l+a)}{2l^3},$$

$$M_B = -\frac{Pab(l+a)}{2l^2}.$$



7. Aceeași, cu sarcină uniform distribuită



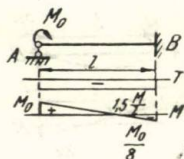
$$R_A = \frac{3}{8} ql, \quad R_B = \frac{5}{8} ql,$$

$$T(x) = R_A - qx, \quad M(x) = R_A x - \frac{qx^2}{2},$$

$$M_{max} = \frac{9}{128} ql^2, \quad M_B = -\frac{ql^2}{8},$$

$$v_{max} = \frac{0,0054 ql^4}{EI}.$$

8. Aceeași, cu cuplu concentrat pe necesarul din stînga



$$R_A = -R_B = -1,5 \frac{M_0}{l},$$

$$T(x) = -1,5 \frac{M_0}{l},$$

$$M(x) = M_0 - \frac{1,5 M_0}{l} x,$$

$$M_A = M_0, \quad M_B = -\frac{M_0}{2}.$$

9. Aceeași, cu reazemul simplu deplasat cu $v = 1$

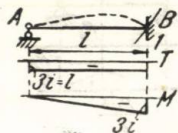


$$R_A = -R_B = -\frac{3i}{l^2}, \quad i = EI:l;$$

$$T(x) = -\frac{3i}{l^2}, \quad M(x) = -\frac{3i}{l^2} x,$$

$$M_B = -3 \frac{i}{l}.$$

10. Aceeași, cu încastrarea rotită cu $\varphi = 1$



$$R_A = -R_B = -\frac{3i}{l}, \quad T(x) = -\frac{3i}{l},$$

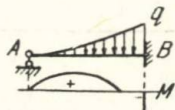
$$M(x) = -\frac{3i}{l} x, \quad M_B = -3i.$$

11. Aceeași, încărcată cu o sarcină parabolică $q(x) = -\frac{q}{l^n} x^n$,
 $n \geq 0$

$$R_A = \frac{3ql}{(n+1)(n+2)(n+4)},$$

$$R_B = R_A \frac{2n+5}{3},$$

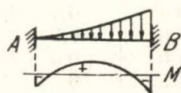
$$M_B = -\frac{ql^2}{(n+2)(n+4)}.$$



12. Bară încastrată la amindouă capetele, încărcată cu o sarcină parabolică, ca în schema II

$$M_B = -\frac{q^2}{(n+3)(n+4)},$$

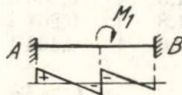
$$M_A = -\frac{2ql^2}{(n+2)(n+3)(n+4)}.$$



13. Aceeași, încărcată pe deschiderea cu un cuplu concentrat, într-un punct la distanța a de la reazimul stîng și b , la cel drept, deschiderea l .

$$M_A = -\frac{M_1 b}{l^2} (2a - b);$$

$$M_B = -\frac{M_1 a}{l^2} (2b - a).$$



14. Grindă cu sarcina ca în schema 13, încastrată la un capăt și simplu rezemată la celălalt

$$M_B = -\frac{M_1}{2l^2} (b^2 + 2ab - 2a^2).$$

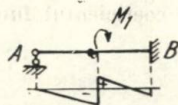


Tabela 4.27. Coeficienții pentru calculul lui T și M în grinzi continue cu deschideri egale, încărcate cu sarcini uniform distribuite, una constantă $g(k_g)$ și una variabilă $p(k_p)$

x/l	Forțe tăietoare			Momente		
	Efectul g	Efectul p		Efectul g	Efectul p	
		T_{max}	T_{min}		M_{max}	M_{min}

Două deschideri

0	+0,375	0,438	-0,063	0	0	0
0,4	-0,025	0,136	-0,161	+0,070	0,095	-0,025
0,8	-0,425	0,012	-0,437	-0,02	0,03	-0,05
1,0	-0,625	0	-0,625	-0,125	0	-0,125

Trei deschideri

0	0,4	0,45	-0,05	0	0,	0
0,4	0	0,15	-0,15	0,08	0,10	-0,02
0,8	-0,4	0,028	-0,428	0	0,04	-0,04
1,0	-0,6	0,017	-0,617	-0,1	0,017	-0,117
1,0	+0,5	0,583	-0,083	-0,1	0,017	-0,117
1,5	0	0,198	-0,198	+0,025	0,075	-0,05

Patru deschideri

0	0,393	0,446	-0,054	0	0	0
0,4	-0,007	0,146	-0,153	0,077	0,099	-0,021
0,8	-0,407	0,025	-0,432	-0,006	0,037	-0,043
1,0	-0,607	0,013	-0,621	-0,107	0,013	-0,121
1,0	0,536	0,603	-0,067	-0,107	0,013	-0,121
1,3	0,236	0,341	-0,115	+0,009	0,057	-0,048
1,8	-0,264	0,122	-0,387	0,001	0,042	-0,040
2,0	-0,464	0,107	-0,571	-0,071	0,036	-0,107

$$T = k_g \cdot gl + k_p \cdot pl; \quad M = k_g \cdot gl^2 + k_p \cdot pl^2.$$

§ 4.29. Grinzi pe teren elastic

Ecuția diferențială, bazată pe ipoteza relației liniare între săgeata grinzii v și reacțiunea q a terenului [$q = -kv$, unde k (kgf/cm²) este coeficientul fundației] are forma

$$\frac{d^4 v}{dx^4} = -4\beta^4 v + p. \quad (4.186)$$

Soluția ei, pentru sarcina exterioară $p = 0$, este:

$$v = e^{\beta x}(A \cos \beta x + B \sin \beta x) + e^{-\beta x}(A_1 \cos \beta x + B_1 \sin \beta x). \quad (4.187)$$

$$\beta = \sqrt[4]{\frac{k}{4D}}; \quad D = EI.$$

Constantele A , B , A_1 și B_1 se determină, în funcție de următoarele condiții inițiale: săgeata v_0 , unghiul φ_0 , momentul M_0 și forța tăietoare T_0 , prin relațiile

$$A = \frac{v_0}{2} + \frac{\varphi_0}{4\beta} - \frac{T_0}{8D\beta^3}; \quad B = \frac{\varphi_0}{4\beta} + \frac{M_0}{4D\beta^2} + \frac{T_0}{8D\beta^3}, \quad (4.188)$$

$$A_1 = \frac{v_0}{2} - \frac{\varphi_0}{4\beta} + \frac{T_0}{8D\beta^3}; \quad B_1 = \frac{\varphi_0}{4\beta} - \frac{M_0}{4D\beta^2} + \frac{T_0}{8D\beta^3} \quad (4.189)$$

Pentru *grinzi lungi* ($\beta x > 5$) se consideră că $A = B = 0$, și problema se rezolvă simplu. De exemplu (fig. 4.55), pentru o grindă semiinfinită, la capătul căreia sînt aplicate M_0 și T_0 , găsim, din (4.188):

$$v_0 = \frac{M_0}{2D\beta^2} + \frac{T_0}{2D\beta^3}; \quad \varphi_0 = -\frac{M_0}{D\beta} - \frac{T_0}{2D\beta^2}.$$

Din (4.189) obținem acum: $B_1 = -\frac{M_0}{2D\beta^2}$; $A_1 = \frac{M_0}{2D\beta^2} + \frac{T_0}{2D\beta^3}$.

Diagramele se construiesc cu ajutorul relației (4.187), în care se lasă numai al doilea termen.

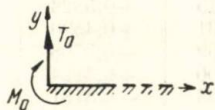


Fig. 4.55.

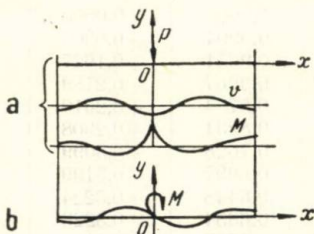


Fig. 4.56.

În tabela 4.28 sînt indicate valorile funcțiilor, care intră în formula (4.187) și în cele care derivă din ea:

$$\left. \begin{aligned} \eta_1 &= e^{-\beta x} \cos \beta x = -0,5 \frac{d\eta_2}{\beta dx}; \quad \eta_2 = e^{-\beta x} (\cos \beta x - \\ &- \sin \beta x) = \frac{d\eta_3}{\beta dx}; \quad \eta_3 = e^{-\beta x} \sin \beta x = -0,5 \frac{d\eta_4}{\beta dx}; \\ \eta_4 &= e^{-\beta x} (\cos \beta x + \sin \beta x) = -\frac{d\eta_1}{\beta dx} \end{aligned} \right\} \quad (4.190)$$

T a b e l a 4.28. (continuare)

βx	β_4	η_3	η_2	η_1	ηx
6,2	0,00185	-0,00017	0,00219	+0,00202	6,2
2 π	0,00187	-0,0000	0,00187	+0,00187	6,283
6,3	0,00187	+0,00003	0,00181	+0,00184	6,3
6,4	0,00184	+0,00019	0,00146	+0,00165	6,4
6,5	0,00179	+0,00032	0,00115	+0,00147	6,5
6,6	0,00172	+0,00042	0,00087	+0,00129	6,6
6,7	0,00162	+0,00050	0,00063	+0,00113	6,7
6,8	0,00152	+0,00055	0,00042	+0,00097	6,8
6,9	0,00141	+0,00058	0,00024	+0,00082	6,9
7,0	0,00129	+0,00060	0,00009	+0,00069	7,0
9/4 π	0,00120	+0,00060	0,00000	+0,00060	7,069

Ecuatia generală a săgeților, pentru grinzi lungi, are forma:

$$v = v_0 \frac{\eta_1}{2} - \varphi_0 \frac{\eta_2}{4\beta} - \frac{M_0}{D} \frac{\eta_3}{4\beta^2} + \frac{T_0}{D} \frac{\eta_4}{8\beta^3}. \quad (4.191)$$

În cazul general și pentru grinzi cu $\beta x < 5$, înlocuind expresiile (4.188) și (4.189) în (4.187), se obține ecuația generală a săgeților

$$v = v_0 A_x + \varphi_0 \frac{B_x}{\beta} + \frac{M_0}{D} \frac{C_x}{\beta^2} + \frac{T_0}{D} \frac{D_x}{\beta^3}, \quad (4.192)$$

T a b e l a 4.29. Funcții hiperbolo-circulare

$$A_x = \operatorname{ch} \beta \cos \beta x; \quad B_x = \frac{1}{2} (\operatorname{ch} \beta x \sin \beta x + \operatorname{sh} \beta x \cos \beta x);$$

$$C_x = \frac{1}{2} \operatorname{sh} \beta x \sin \beta x; \quad D_x = \frac{1}{4} (\operatorname{ch} \beta x \sin \beta x - \operatorname{sh} \beta x \cos \beta x)$$

βx	A_x	B_x	C_x	D_x
0,00	1,0000	0,0000	0,0000	0,00000
0,02	1,0000	0,0200	0,0002	0,00000
0,04	1,0000	0,0400	0,0008	0,00001
0,05	1,0000	0,0500	0,0012	0,00003
0,06	1,0000	0,0600	0,0018	0,00005
0,08	1,0000	0,0800	0,0032	0,0001
0,10	1,0000	0,1000	0,0050	0,00017
0,20	0,9997	0,2000	0,0200	0,00135

T a b e l a 4.29 (continuare)

βx	A_x	B_x	C_x	D_x
0,30	0,9987	0,2999	0,0450	0,0045
0,40	0,9957	0,3996	0,0800	0,0107
0,50	0,9895	0,4989	0,1249	0,0208
0,60	0,9784	0,5974	0,1797	0,0360
0,70	0,9600	0,6944	0,2443	0,0571
0,80	0,9318	0,7891	0,3185	0,0851
0,90	0,8931	0,8803	0,4020	0,1211
1,0	0,8337	0,9667	0,4945	0,1659
1,1	0,7568	1,0464	0,5951	0,2203
1,2	0,6561	1,1173	0,7034	0,2851
1,3	0,5272	1,1767	0,8182	0,3612
1,4	0,3656	1,2216	0,9383	0,4490
1,5	0,1664	1,2485	1,0619	0,5490
$\frac{1}{2}\pi$	0,0000	1,2546	1,1506	0,6273
1,6	— 0,0753	1,2535	1,1872	0,6614
1,7	— 0,3644	1,2319	1,3118	0,7864
1,8	— 0,7060	1,1788	1,4326	0,9237
1,9	— 1,1049	1,0888	1,5463	1,0727
2,0	— 1,5656	0,9557	1,6489	1,2325
2,1	— 2,0923	0,7735	1,7358	1,4019
2,2	— 2,6882	0,5351	1,8018	1,5790
2,3	— 3,3562	0,2334	1,8407	1,7614
2,4	— 4,0976	— 0,1386	1,8461	1,9460
2,5	— 4,9128	— 0,5885	1,8104	2,1292
2,6	— 5,8003	— 1,1236	1,7255	2,3065
2,7	— 6,7565	— 1,7509	1,5826	2,4724
2,8	— 7,7759	— 2,4770	1,3721	2,6208
2,9	— 8,8471	— 3,3079	1,0837	2,7443
3,0	— 9,9669	— 4,2484	0,7068	2,8346
3,1	— 11,1119	— 5,3022	0,2303	2,8823
π	— 11,5919	— 5,7743	0,0000	2,8872
3,2	— 12,2656	— 6,4710	— 0,3574	2,8769
3,3	— 13,4048	— 7,7549	— 1,0678	2,8067
3,4	— 14,5008	— 9,1506	— 1,9121	2,6589
3,5	— 15,5198	— 10,6524	— 2,9014	2,4195
3,6	— 16,4218	— 12,2507	— 4,0458	2,0735
3,7	— 17,1622	— 13,9315	— 5,3543	1,6048
3,8	— 17,6875	— 15,6760	— 6,8343	0,9969
3,9	— 17,9387	— 17,4598	— 8,4909	0,2321
4,0	— 17,8498	— 19,2523	— 10,3265	— 0,7073
4,1	— 17,3472	— 21,0160	— 12,3404	— 1,8392
4,2	— 16,3505	— 22,7054	— 14,5273	— 3,1812
4,3	— 14,7722	— 24,2668	— 16,8773	— 4,7501

T a b e l a 4.29 (continuare)

βx	A_x	B_x	C_x	D_x
4,4	-12,5180	-25,6372	-19,3742	- 6,5615
4,5	- 9,4890	-26,7446	-21,9959	- 8,6290
4,6	- 5,5791	-27,5056	-24,7116	-10,9638
4,7	- 0,6812	-27,8274	-27,4823	-13,5731
$\frac{3}{2}\pi$	0,0000	-27,8317	-27,8272	-13,9158
4,8	5,3164	-27,6051	-30,2589	-16,4604
4,9	12,5239	-26,7238	-32,9814	-19,6232
5,0	21,0504	-25,0564	-35,5774	-23,0525
5,1	30,9997	-22,4660	-37,9618	-26,7317
5,2	42,4661	-18,8057	-40,0350	-30,6346
5,3	55,5317	-13,9201	-41,6825	-34,7245
5,4	70,2637	- 7,6440	-42,7726	-38,9524
5,5	86,7044	0,1900	-43,1592	-43,2557
5,6	104,8687	9,7543	-42,6774	-47,5558
5,7	124,7352	21,2199	-41,1453	-51,7562
5,8	146,2448	34,7564	-38,3639	-55,7428
5,9	169,2837	50,5203	-34,1198	-59,3804
6,0	193,6813	68,6577	-28,2116	-62,5106
6,1	219,2004	89,2946	-20,3042	-64,9518
6,2	245,5231	112,5249	-10,2356	-66,4981
2π	267,7468	133,8724	0,0000	-66,9362
6,3	272,2487	138,4120	2,2885	-66,9174

în care intervin funcțiile hiperbolei circulare

$$\left. \begin{aligned}
 A_x &= \operatorname{ch} \beta x \cdot \cos \beta x = \frac{1}{\beta} \frac{dB_x}{dx}; \\
 B_x &= 0,5 (\operatorname{ch} \beta x \cdot \sin \beta x + \cos \beta x \cdot \operatorname{sh} \beta x) = \frac{1}{\beta} \frac{dC_x}{dx}; \\
 C_x &= 0,5 \operatorname{sh} \beta x \cdot \sin \beta x = \frac{1}{\beta} \frac{dD_x}{dx}; \\
 D_x &= 0,25 (\operatorname{ch} \beta x \cdot \sin \beta x - \cos \beta x \cdot \operatorname{sh} \beta x) = \\
 &= - \frac{1}{4\beta} \frac{dA_x}{dx}.
 \end{aligned} \right\} \quad (4.193)$$

Valorile lor numerice sînt indicate în tabela 4.29.

Derivînd succesiv relația (4.191), se obțin ecuațiile pentru φ , M și T .

§ 4.30. Cadre plane simple

Gradul de nedeterminare este luat de numărul de legături suplimentare în reazime și de întregul numărului de contururi închise; cînd există articulații, gradul de nedeterminare scade cu numărul de articulații simple. Cădrul din fig. 4.57, care are două legături suplimentare în reazime, un contur închis și o singură articulație, este de patru ori static nedeterminat.

În metoda forțelor, ecuația canonică de ordin k pentru necunoscutele suplimentare X_1, X_2, \dots, X_n , în cazul unui sistem de n ori static nedeterminat, are forma:

$$X_1\delta_{k1} + X_2\delta_{k2} + X_3\delta_{k3} + \dots + X_k\delta_{kk} + \dots + X_n\delta_{kn} + \Delta_{kp} = 0 \quad (k = 1, 2, \dots, n). \quad (4.194)$$

Coeficienții δ și Δ (deplasările) pentru sistemul de bază, se iau din tabele, se calculează conform §§ 4.26–4.29 sau cu formula lui Mohr:

$$\Delta_{km} = \sum \int \frac{M_k M_m ds}{EI}; \quad (4.195) \quad \text{Fig. 4.57.}$$

Influența forțelor N și T asupra deplasărilor se neglijează, de obicei. Integrala lui Mohr, pentru bare drepte de rigiditate constantă, se determină, după Vereșciaghin, astfel:

$$\frac{1}{EI} \int M_k M_m ds = \frac{1}{EI} \Omega \cdot y_0, \quad (4.196)$$

unde: Ω este suprafața uneia din diagramele de momente (de orice contur), iar y_0 este ordonata celeilalte (numai rectilinie) măsurată în dreptul centrului de greutate al primei. În fig. 4.58 sînt reprezentate trei diagrame, din a căror combinație după Vereșciaghin, se obține:

$$I \times II \dots \frac{l}{6EI} (2aa_1 + 2bb_1 + ab_1 + a_1b);$$

$$I \times III \dots \frac{l \cdot c}{12EI} (3b_1 + a_1).$$

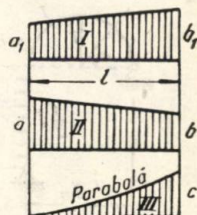


Fig. 4.58.

Aceste formule sînt aplicabile atît pentru diagrame de formă triunghiulară, cît și dreptunghiulară; diagramele trapezoidale se transformă în triunghiulare, dacă se pun unele ordonate egale cu zero. Atunci cînd ordonatele a și b sînt egale, diagramele sînt dreptunghiulare. Să examinăm cadrul din fig. 4.59, simplu static nedeterminat. Diagramele de momente produse de $X_1 = 1$ și de sarcina exterioară $q = 2 \text{ t/m}$ sînt date în fig. 4.59. Ecuația canonică este:

$$X_1\delta_{11} + \Delta_{1p} = 0.$$

Coeficienții r și R (reacțiunile în sistemul de bază) se iau din tabelele § 4.26 și 4.28.

Să calculăm cadrul din fig. 4.60, avînd o singură deformare necunoscută — unghiul de rotire Z_1 al nodului intermediar 1. Pentru rezolvarea ecuației canonice $Z_1 r_{11} + R_{1p} = 0$, se construiesc diagrame de moment pentru sistemul de bază, obținut prin înlocuirea unei încăstrări în nodul 1; se folosesc datele din tabela 4.26 pentru grinzi încăstrate la ambele capete (pentru deschiderile 0—1 și 1—2) și la unul singur (deschiderea 1—3); M_p este diagrama datorită sarcinii exterioare; M_1 este diagrama datorită rotirii cu unghiul $Z_1 = 1$, în nodul 1; momentul în acest nod, datorit lui $Z_1 = 1$, adică r_{11} este egal cu suma momentelor din barele, care converg în nodul 1, adică $r_{11} = 4 + 3 + 3 = 10$; momentul datorit sarcinii în același nod este $R_{1p} = -9 + 6 = -3$. Prin urmare, $Z_1 = \frac{3}{10}$; diagrama finală M se construiește prin compu-

Fig. 4.60.

neria diagramei M_p și a diagramei M_1 multiplicată cu 0,3.

Metoda ecuației generale, descrisă în § 4.28, rămîne valabilă și pentru cadrele, care nu au deplasări ale nodurilor. Să examinăm calculul cadrului din fig. 4.61, a. Rigiditățile pe diferite porțiuni ale barelor ($i = EI : l$) sînt înscrise în ceruțele în fig. 4.61, b și tot acolo, lângă noduri, sînt scrise coeficienții de distribuție μ (de exemplu $\mu_{23} = 0,75$; $(0,75 \cdot 2 + 1) = 0,3$). Coeficienții α se calculează pentru barele 1—2 și 2—3:

$$\alpha_{12} = \frac{0,4^2}{4 - 0,4^2} = 0,042; \quad \alpha_{23} = \frac{0,3^2}{4 - 0,3^2} = 0,023.$$

În fig. 4.61, c este redată diagrama inițială M^0 , din care avem: $M_1^0 = 0$; $M_2^0 = +16 - 9 = 7$; $M_3^0 = -16 + 4,5 = -11,5$. Pentru determinarea lui M_{23} , se calculează M_2 și M_3 cu formula (4.183)

$$M_2 = (1 + \alpha_2) (1 - \mu'_{32}) M_2^0 = 6,9 \text{ t} \cdot \text{m};$$

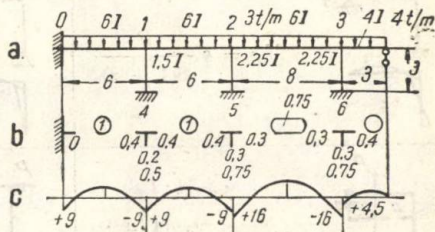
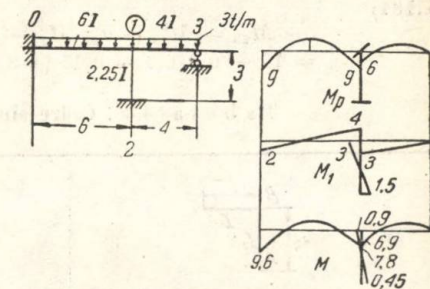


Fig. 4.61.

unde

$$\alpha_2 = 0,042 + 0,023; \mu'_{32} = \mu_{23};$$

În mod analog

$$M_3 = (1 + \alpha_3) (1 - \mu'_{23}) M_3^0 = -8,12 \text{ t} \cdot \text{m};$$

unde $\alpha_3 = 0,023$; $\mu'_{23} = \mu_{23}(1 + \alpha_{2-23}) = 0,313$. Acum, din formula (4.181)

$$M_{23} = M_{23}^0 - \mu_{23} \cdot M_2 - 0,5 \mu_{32} \cdot M_3 = \\ = 16 - 0,3 \cdot 6,9 - 0,15 (-8,12) = 15,13 \text{ t} \cdot \text{m}.$$

T a b e l a 4.30. Cadre simple $\left(\alpha = \frac{Ih}{I_1 l}\right)$

$\gamma = b : l$ $M_B = P \frac{\alpha \gamma (1 + \gamma)}{2(1 + \alpha)}$	$M_B = M_C = \\ = P \frac{ab}{l} \frac{3}{2(3 + 2\alpha)}$
$M_B = q \frac{l^2}{8(1 + \alpha)}$	$M_B = M_C = \\ = q \frac{l^2}{4(3 + 2\alpha)}$
$\gamma = b : l$ $M_B = P \frac{2\alpha \gamma (1 + \gamma)}{4 + 3\alpha}$ $M_A = 0,5 M_B$	$M_B = M_i = P \frac{h}{2}$
$M_B = q \frac{l^2}{2(4 + 3\alpha)}$ $M_A = 0,5 M_B$	$M_B = M_C = \\ = q \frac{l^2}{6(2 + \alpha)}$ $M_A = M_D = 0,5 M_B$

Rapoartele focare (cele de momente k_x și cele unghiulare $k_x^<$) la grinzi și cadre de orice complexitate, se determină în mod convenabil cu formulele:

$$k_x = 2 + \frac{6ix}{\sum_{-x} i(4 - \mu)}; \quad k_x^< = 2 + \frac{\sum_{-x} i(4 - \mu)}{2i_x}. \quad (4.198)$$

De exemplu, pentru deschiderea 1-2 a cadrului din fig. 4.61, raportul focal din stînga este egal cu:

$$k_{12} = 2 + \frac{6i_{12}}{i_{23}(4 - \mu_{23}) + i_{25}(4 - \mu_{25})} = 3,08.$$

§ 4.31. Bare curbe

Atunci cînd bara are axa în formă de arc de cerc și sarcina este aplicată în planul ei, cum este indicat în fig. 4.62, ecuațiile generale pentru deplasarea radială v și tangențială u , unghiurile de rotire φ momentul incovoietor M , forța tăietoare T și cea normală N au forma (funcție de parametrii inițiali):

$$\begin{aligned} EIV &= EIV_0 \cos \alpha + EI \sin \alpha (u_0 + \varphi_0 R) + \\ &+ M_0 R^2 (1 - \cos \alpha) + T_0 \frac{R^2}{2} (\sin \alpha - \alpha \cos \alpha) + \\ &+ \frac{R^3}{2} (2 - 2 \cos \alpha - \alpha \sin \alpha) (N_0 - q_{r0} R) + \\ &+ q_{t0} \frac{R^4}{2} (\alpha \cos \alpha + 2\alpha - 3 \sin \alpha) = - \frac{du}{d\alpha} EI; \quad (4.199) \end{aligned}$$

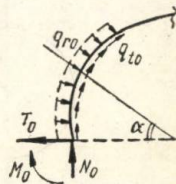


Fig. 4.62.

$$\begin{aligned} EIu &= EIu_0 \cos \alpha - EIV_0 \sin \alpha - EI\varphi_0 R (1 - \cos \alpha) + \\ &+ M_0 R^2 (-\alpha + \sin \alpha) + \frac{T_0 R^3}{2} (2 \cos \alpha - 2 + \\ &+ \alpha \sin \alpha) + \frac{R^3}{2} (-2\alpha + 3 \sin \alpha - \alpha \cos \alpha) (N_0 - q_{r0} R) + \\ &+ q_{t0} \frac{R^4}{2} (4 - 4 \cos \alpha - \alpha \sin \alpha - \alpha^2); \quad (4.200) \end{aligned}$$

$$\begin{aligned} EI\varphi &= EI\varphi_0 + M_0 R \alpha + T_0 R^2 (1 - \cos \alpha) + R^2 (\alpha - \sin \alpha) (N_0 - q_{r0} R) + \\ &+ q_{t0} R^3 \left(\frac{\alpha^2}{2} + \cos \alpha - 1 \right) = \frac{1}{R} \left(-u + \frac{dv}{d\alpha} \right) EI; \quad (4.201) \end{aligned}$$

$$M = M_0 + T_0 R \sin \alpha + R (1 - \cos \alpha) (N_0 - q_{r0} R) + q_{l0} R^2 (\alpha - \sin \alpha); \quad (4.202)$$

$$T = \frac{dM}{R d\alpha} = T_0 \cos \alpha + \sin \alpha (N_0 - q_{r0} R) + q_{l0} R (1 - \cos \alpha); \quad (4.203)$$

$$N = N_0 \cos \alpha - T_0 \sin \alpha + q_{r0} R (1 - \cos \alpha) + q_{l0} R \sin \alpha = \frac{dT}{d\alpha} + q_{r0} R. \quad (4.204)$$

Se va studia deformația inelului din fig. 4.63; alegînd originea coordonatelor în punctul O , avem:

$$u_0 = \varphi_0 = N_0 = 0;$$

$$T_0 = \frac{P}{2}; M_0 = ?$$

Utilizăm condiția: $\varphi = u = 0$ pentru $\alpha = \frac{\pi}{2}$; din (4.201) găsim



Fig. 4.63.

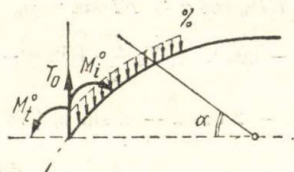


Fig. 4.64.

$$M_0 R \frac{\pi}{2} + \frac{P}{2} R^2 = 0, \text{ de unde } M_0 = -\frac{PR}{\pi}, \text{ și apoi din (4.200):}$$

$$EI v_0 = -\frac{PR^3}{4\pi} \left(4 - \frac{\pi^2}{2} \right).$$

La o sarcină perpendiculară pe planul axei barei (fig. 4.64) ecuațiile generale ale săgeților w , ale unghiurilor de rotire Ψ și de răsucire θ , ale momentelor de încovoiere M_i și celui de răsucire M_t și a forței tăietoare T (funcție de parametrii inițiali), cu notația $k = EI : GI_d$, au forma:

$$EI w = w_0 EI + EI \varphi_0 R \sin \alpha + EI \theta_0 R (1 - \cos \alpha) + \frac{M_i^0 R^2}{2} [\alpha \sin \alpha (1 + k) - 2k (1 - \cos \alpha)] -$$

$$\begin{aligned}
& -\frac{M_i^0 R^2}{2} (\sin \alpha - \alpha \cos \alpha) (1 + k) + \frac{T_0 R^3}{2} \times \\
& \times [(\sin \alpha - \alpha \cos \alpha) (1 + k) + 2k (\sin \alpha - \alpha)] - \\
& - \frac{q_0 R^4}{2} [(2 - 2 \cos \alpha - \alpha \sin \alpha) + k(4 - 4 \cos \alpha - \alpha \sin \alpha - \alpha^2)]; \quad (4.205)
\end{aligned}$$

$$\begin{aligned}
EI\psi &= EI\psi_0 \cos \alpha + EI\theta^0 \sin \alpha + \frac{M_i^0 R}{2} [2 \sin \alpha + \\
& + (1 + k) (\alpha \cos \alpha - \sin \alpha)] - \frac{M_l^0 R}{2} (1 + k) \alpha \sin \alpha + \\
& + \frac{T_0 R^2}{2} [(1 + k) \alpha \sin \alpha + 2k (\cos \alpha - 1)] + \frac{q_0 R^3}{2} \times \\
& \times [-\sin \alpha + \alpha \cos \alpha + k(\alpha \cos \alpha + 2\alpha - 3 \sin \alpha)] = \frac{dw}{R d\alpha} EI; \quad (4.206)
\end{aligned}$$

$$\begin{aligned}
EI\theta &= -EI\psi_0 \sin \alpha + EI\theta^0 \cos \alpha - \frac{M_i^0 R}{2} \times \\
& \times (1 + k) \alpha \sin \alpha - \frac{M_l^0 R}{2} [\alpha \cos \alpha + \sin \alpha + \\
& + k(\alpha \cos \alpha + \sin \alpha)] + \frac{T_0 R^2}{2} [(\alpha \cos \alpha - \sin \alpha) \times \\
& \times (1 + k)] - \frac{q_0 R^3}{2} [(\alpha \sin \alpha - 2 + 2 \cos \alpha) (1 + k)] = \\
& = \frac{d^2 w}{d\alpha^2} \frac{1}{R} EI - M_i R; \quad (4.207)
\end{aligned}$$

$$\begin{aligned}
M_i &= M_i^0 \cos \alpha - M_l^0 \sin \alpha + T_0 R \sin \alpha - \\
& - q_0 R^2 (1 - \cos \alpha) = \frac{dM_t}{d\alpha}; \quad (4.208)
\end{aligned}$$

$$\begin{aligned}
M_t &= M_i^0 \sin \alpha + M_l^0 \cos \alpha + T_0 R (1 - \cos \alpha) - q_0 R^2 (\alpha - \sin \alpha) = \\
& = -\frac{dM_i}{d\alpha} + T_0 R - q_0 R^2 \alpha; \quad (4.209)
\end{aligned}$$

$$T = T_0 - q_0 R \alpha. \quad (4.210)$$

Tabela 4.31. Eforturi în inele

	$M_0 = P \frac{R}{\pi} \cdot M_\alpha = PR \left(\frac{1}{\pi} - 0,5 \sin \alpha \right).$ $v_0 = \frac{P \cdot R^3}{8\pi EI} (8 - \pi^2).$
	$M_0 = \frac{qR^2}{4} \cdot M_\alpha = \frac{qR^2}{4} (1 - 2 \sin^2 \alpha).$
	$q = \frac{P}{4R}, N_0 = \frac{4qR}{\pi}.$ $M_0 = \frac{qR^2}{\pi} \left(6 - \frac{\pi^2}{2} \right).$
	$N_0 = 0,5 P, M_0 = 0, b = \frac{P}{2R}.$ $T_0 = \frac{P}{2} \left(1 - \frac{2}{\pi} \right).$
	$q = \frac{P}{\pi R}, N_0 = 0,5 P, M_0 = 0,$ $T_0 = \frac{P}{\pi}.$

§ 4.32. Calculul grinzilor, solicitate la încovoiere

A. Calculul în *regim elastic* se execută cu ajutorul condițiilor de rezistență și rigiditate (vezi § 4.23):

$$\sigma = \frac{M_{\max}}{W} \leq \sigma_a; \sigma_{\max} = \frac{\sigma}{2} + \sqrt{\frac{\sigma^2}{4} + \tau^2} \leq \sigma_a \quad (4.211)$$

$$v_{\max} = \frac{M_{\max} l^2}{EI} k = \frac{\sigma}{E} \frac{l^2}{y_{\max}} k \leq mv_a \quad (4.212)$$

unde σ_a este rezistența admisibilă (vezi capitolul 4.2); y_{\max} este distanța de la fibra neutră pînă la cea extremă în secțiunea transversală; k este un coeficient determinat din expresiile săgeților (§§ 4.26—4.30); v_a este săgeata admisibilă, care, conform normelor de proiectare, este cuprinsă între limitele $\frac{l}{200} \div \frac{l}{1\,500}$.

B. Calculul de rezistență după stadiul de rupere se efectuează folosind formula (vezi capitolul 4.2)

$$M_r = C \cdot M_{max} = \sigma_r \cdot W_p \quad (4.213)$$

unde C este coeficientul de siguranță; σ_r este egal sau cu σ_c — pentru un material ideal plastic, sau cu σ_r — pentru un material cu pro-



Fig. 4.65.

prietăți de consolidare (fig. 4.67). Modulul plastic de rezistență W_p pentru un corp ideal plastic este legat de modulul elastic de rigiditate W cu formula (fig. 4.65):

$$W_p = W \eta = S_c + S_t \quad (4.214)$$

unde S_c și S_t sînt momentele statice față de axa neutră a suprafețelor secțiunii zonelor întinse și comprimate; valorile lui W și η se indică în tabela 4.32.

Mărimea M_{max} pentru formulele (4.213) se determină în grinzile static determinate prin calculul obișnuit (§§ 4.26—4.30); în grinzile static nedeterminate M_{max} se găsesc cu ajutorul egalării momentelor de rupere; în limitele fiecărei deschideri de calcul a grinzii continue trebuie să fie trei locuri unde ele se formează — trei articulații „plastice” (în deschiderea extremă cu un reazim articulat — două articulații „plastice”) în reazime și în deschidere.

Tabela 4.32. Valorile W_p și coeficientul η pentru formula (4.214)

Forma secțiunii	W_p	η
Cerc	$1,33 r^3$	1,7
Inel cu $c = r_1 : r$	$1,33 r^3(1 - c^3)$	$1,7 \frac{1 + c + c^2}{(1 + c)(1 + c^2)}$
Dreptunghi	$bh^2/4$	1,5
Profile dublu T, U, cutie	$\frac{bh^2}{4} (1 - \beta c^2)$	$1,5 \frac{1 - \beta c^2}{1 - \beta c^3}$
cu $\beta = b_1 : b$; $c = h_1 : h$		
Profil dublu T laminat	$(1,15 - 1,17) W$	1,15 — 1,17

În fig. 4.66 sînt indicate două cazuri de egalare a momentelor; în cazul *a*, din condițiile de echilibru între sarcina exterioară la rupere qc și momentele interioare din articulațiile plastice 1 și 2, se obține $\frac{ql^2}{8} c = 2M_r$, de unde $M_r = \frac{ql^2}{16} c$. Analog pentru cazul *b*

$$\frac{Pl}{4} c = 1,5 M_r.$$

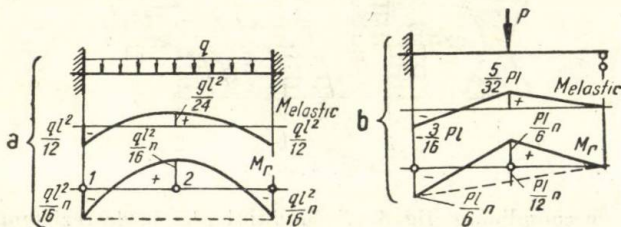


Fig. 4.66.

Pentru un material plastic cu consolidare (epura în fig. 4.65, *b*) formula (4.213) are forma

$$M_r = M_{max} \cdot c = \sigma_r \cdot W \cdot \eta_1, \quad \eta_1 = 1 + \frac{\sigma_c}{\sigma_r} (\eta - 1) \quad (4.215)$$

unde η se ia din tabelul 4.32. În cazul unei secțiuni dreptunghiulare și la $\sigma_c : \sigma_r = 0,5$ avem $\eta_1 = 1 + 0,5 \cdot 0,5 = 1,25$. Legătura tensiunilor $\sigma > \sigma_c$ cu momentul $M > M_p = \sigma_c W \eta$ și curbura $\frac{1}{\rho}$ se determină cu formulele

$$\sigma - \sigma_c = \frac{M - M_p}{I} y, \quad \frac{1}{\rho} = \frac{M - M_p}{E_1 I}. \quad (4.216)$$

Modulul de consolidare este $E_1 = \tan \alpha_1$ (fig. 4.67), unde:

α_1 este unghiul de înclinare a lui AB față de axa ε .

B. Dacă diagrama $\sigma - \varepsilon$ este admisă ca în fig. 4.67, în zona de deformății elasto-plastice

$$\sigma = E\varepsilon(1 - \omega) = E'\varepsilon = \frac{Ey}{\rho} k_1; \quad (4.217)$$

$$\omega = \left(1 - \frac{E_1}{E}\right) \left(1 - \frac{\varepsilon_c}{\varepsilon}\right) = \left(1 - \frac{E_1}{E}\right) \left(1 - \frac{y_c}{y}\right) = 1 - k_1 \quad (4.218)$$

unde $\frac{1}{\rho}$ este curbura grinzii: $E = \operatorname{tg} \alpha$; $E_1 = \operatorname{tg} \alpha_1$, $1 - \frac{E_1}{E} = \lambda$; y și y_c — vezi în fig. 4.65, c; $\omega = \Delta \sigma : (\sigma + \Delta \sigma)$. (fig. 4.67); k_1 și ω variază între limitele 0 și 1. Curbura grinzii în aceeași regiune este

$$\frac{1}{\rho} = \frac{M}{EI k_2} = \frac{\sigma_c}{E y_c};$$

$$k_2 = 1 - \lambda \frac{I_p - y_c S_p}{I} \quad (4.219)$$

unde k variază între 0 și 1, I_p și S_p sînt respectiv momentul de inerție și momentul static al părții din suprafața secțiunii, în care au loc deformații plastice. Din (4.218), notînd $I : W \cdot y_c = y_{max} : y_c = \omega$ și $\sigma_c = M_c : W$, se obține:

$$M = M_c k_0; \quad k_0 = k \cdot k_2 \quad (4.220)$$

Din (4.216) — (4.219) se găsește:

$$\sigma = \sigma_c \frac{y}{y_c} k_1; \quad \sigma_{max} = \sigma_c k_1 k. \quad (4.221)$$

Pentru o bară de secțiune dreptunghiulară

$$\left. \begin{aligned} k_0 &= M : M_c = \frac{E_1}{E} k + \lambda \left(1,5 - \frac{0,5}{k^2} \right)^1; \\ S_p &= \frac{bh^2}{4} \left(1 - \frac{1}{k^2} \right); \quad I_p = \frac{bh^3}{12} \left(1 - \frac{1}{k^3} \right). \end{aligned} \right\} \quad (4.222)$$

În cazul unei grinzi de secțiune dreptunghiulară $b = h = 1$ cm cu $E_1 : E = 0,05$ și $\sigma_c = 3,3$ tf/cm² care suportă secțiunea unui moment $M = 2 M_c$; să determinăm y_c și σ_{max} .

Din (4.222), deoarece $k_0 = 2$, găsim:

$$2 = 0,05 k + 0,95 \left(1,5 - \frac{0,5}{k^2} \right)$$

de unde $k = 11,6$; prin urmare $y_c = y_{max}$: $11,6 = 0,043 h$.

Cu $y = \frac{h}{2}$, găsim din (4.217) $k = 0,132$ și din (4.220)

$$\sigma_{max} = 3,3 \cdot 11,6 \cdot 0,132 = 5,05 \text{ tf/cm}^2.$$

¹⁾ Pentru o bară de secțiune circulară paranteza termenului al doilea din dreapta se înlocuiește cu $\left(2 - \frac{1}{k^2} \right) \cdot \frac{8}{3\pi}$.

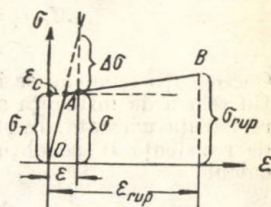


Fig. 4.67.

Dacă σ_{max} se determină, ca pentru un corp perfect plastic din formulele (4.216) cu $M_p = 1,5 M_c$ obținem $\sigma_{max} = 1,5 \sigma_c = 4,95 \text{ tf/cm}^2$ (diferența este de 2% față de cazul precedent).

D. Pentru calculul grinzilor după *prima stare limită* (§ 4.9) în analogie cu formulele (4.85)–(4.88) se utilizează formulele:

$$M_{calc} = M_p c_p + M_u c_u \leq M_{lim}; \quad (4.223)$$

$$M_{lim} = m \cdot W \cdot R_i K_n. \quad (4.224)$$

Coeficienții c , m , k_n se iau după datele § 4.9, momentele M_p și M_u țin seama de influența sarcinii permanente și a celei utile: R_i este rezistența normată. Împărțind egalitatea (4.223) cu c și cu modulul de rezistență W se obține formula pentru efortul unitar normal de calcul

$$\sigma = \frac{M_p \frac{c_p}{c_u} + M_u}{W} \leq R_i \frac{m}{c_u} k_n \quad (4.224 a)$$

în partea dreaptă, este efortul unitar, care trebuie comparat cu rezistența admisibilă.

Bibliografie: vezi capitolul 4.1.

4.6.

Plăci

§ 4.33. Plăci dreptunghiulare

Relațiile diferențiale de bază (fig. 4.68) (vezi capitolul 4.1 § 4.5) sînt:

$$\left. \begin{aligned} q &= \frac{\partial T_x}{\partial x} + \frac{\partial T_y}{\partial y} = \frac{\partial^2 M_x}{\partial x^2} + 2 \frac{\partial^2 M_{xy}}{\partial x \partial y} + \frac{\partial^2 M_y}{\partial y^2}, \\ T_x &= \frac{\partial M_x}{\partial x} + \frac{\partial M_{xy}}{\partial y}; \quad T_y = \frac{\partial M_y}{\partial y} + \frac{\partial M_{yx}}{\partial x}; \end{aligned} \right\} \quad (4.225)$$

$$\left. \begin{aligned} M_x &= D \left(\frac{\partial^2 w}{\partial x^2} + \mu \frac{\partial^2 w}{\partial y^2} \right), \quad D = \frac{EI}{1 - \mu^2}, \\ M_y &= D \left(\frac{\partial^2 w}{\partial y^2} + \mu \frac{\partial^2 w}{\partial x^2} \right), \quad I = \frac{1 \cdot h^3}{12}, \\ M_{xy} &= D (1 - \mu) \frac{\partial^2 w}{\partial x \partial y}, \end{aligned} \right\} \quad (4.226)$$

unde D este rigiditatea la încovoiere a plăcii; μ este coeficientul lui Poisson; h este grosimea plăcii; w este săgeata plăcii.

Unitățile de măsură sînt: q — kg/cm²; T — kg/cm; M — kg.

Ecuția Navier — Sophie Germain este:

$$q = D \left(\frac{\partial^4 w}{\partial x^4} + 2 \frac{\partial^4 w}{\partial x^2 \partial y^2} + \frac{\partial^4 w}{\partial y^4} \right). \quad (4.227)$$

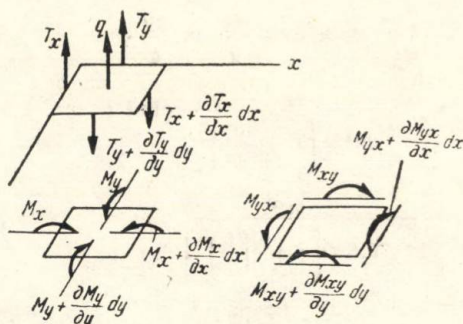


Fig. 4.68.

Tensiunile (fig. 4.69) se determină cu formulele:

$$\left. \begin{aligned} \sigma_x &= \frac{M_x}{I} z, \quad \sigma_y = \frac{M_y}{I} z, \quad \tau_{xy} = \tau_{yx} = \frac{M_{xy}}{I} z. \\ \tau_{zx} &= \frac{T_x S}{I}, \quad \tau_{zy} = \frac{T_y S}{I}, \end{aligned} \right\} \quad (4.228)$$

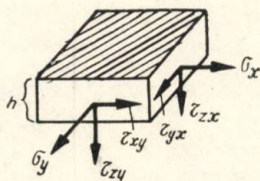


Fig. 4.69.

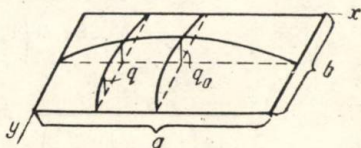


Fig. 4.70.

unde S este momentul static al părții de secțiune care alunecă [vezi formula (4.148) a lui Juravski]. Cazuri particulare:

a) Sarcină sinusoidală (fig. 4.70) pe o placă simplu rezemată pe contur:

$$q = q_0 \sin \frac{\pi x}{a} \sin \frac{\pi y}{b},$$

Săgeata este

$$w = - \frac{q_0 a^4 b^4}{D \pi^4 (a^2 + b^2)^2} \sin \frac{\pi x}{a} \sin \frac{\pi y}{b}.$$

b) Sarcină uniform distribuită, margini simplu rezemate:

$$\left. \begin{aligned} w &\approx c \sin \frac{\pi x}{a} \sin \frac{\pi y}{b} \\ c &= - \frac{q_0 a^4}{2\pi^3 D \left(1 + \frac{a^2}{b^2}\right)^2} \text{ cînd } b : a \leq 2,5 \\ c &= - \frac{q_0 a^4}{76,8 D \left[1 + 2\left(\frac{a}{b}\right)^3\right]} \text{ cînd } b : a > 2,5, \end{aligned} \right\} \quad (4.229)$$

unde: $c = w_{\max}$; momentele calculate după relația (4.226) sînt aici majorate în medie cu 10%; mai precis:

$$M_{\max} = M_x = \frac{0,125 q a^2}{1 + 1,6 \frac{a^2}{b^2}}; \quad M_y = M_x \frac{\mu + \frac{a^2}{b^2}}{1 + \mu \frac{a^2}{b^2}}. \quad (4.230)$$

c) Aceeași, cu marginile încastrate

$$\left. \begin{aligned} w_{\max} &\approx - \frac{q a^4}{384 D \left(1 + \frac{a^5}{b^5}\right)}, \\ M_{\min} &\approx - \frac{q a^2}{12 \left(1 + 0,62 \frac{a^4}{b^4}\right)}, \quad M_{\max} \approx \frac{q a^2}{24 \left(1 + 0,8 \frac{a^4}{b^4}\right)} \end{aligned} \right\}. \quad (4.231)$$

d) Aceeași, încastrată în lungul laturilor b ; momentul de încastrare este:

$$M_{\min} = - \frac{q a^2}{12 \left(1 + 0,2 \frac{a^4}{b^4}\right)}. \quad (4.232)$$

e) Aceeași, placă pătrată, rezemată în colțuri

$$w_{\max} = -\frac{qa^4}{38D}; \quad M_{\max} = 0,411 qa^2. \quad (4.233)$$

f) Forță concentrată în mijloc, contur simplu rezemat (fig. 4.71) ($a \leq b$)

$$\left. \begin{aligned} w_{\max} = - \\ = -\frac{Pa^2}{D 59 \left(1 + 0,46 \frac{a^4}{b^4}\right)}, \\ M_{\max} = c \frac{P}{6} \text{ (cind } a = b). \end{aligned} \right\} \quad (4.234)$$

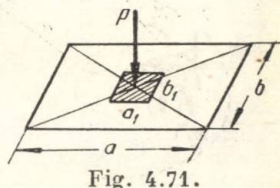


Fig. 4.71.

unde c se ia din tabela 4.33.

T a b e l a 4.33. Coeficientul c pentru formula (4.234)

$b_1:b$ $a_1:a$	0	0,1	0,2	0,4	0,8	1,0
0	∞	1,93	1,51	1,08	0,67	0,55
0,1	2,27	1,70	1,39	1,02	0,65	0,53
0,2	1,85	1,52	1,28	1,97	0,62	0,50
0,4	1,39	1,22	1,07	0,85	0,55	0,46
0,8	0,93	0,84	0,76	0,62	0,42	0,34
1,0	0,76	0,69	0,63	0,52	0,35	0,29

g) Aceeași, margini încastrate ($a \leq b$)

$$w = -\frac{Pa^2}{D 136 \left(1 + 0,31 \frac{a^4}{b^4}\right)}; \quad M_{\min} = -\frac{P}{5,4 \left(1 + 0,46 \frac{a^2}{b^2}\right)} \quad (4.235)$$

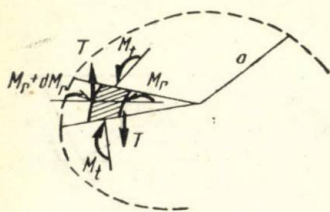
h) Tensiunea în placa simplu rezemată σ_r și în placa încastrată σ_i datorită diferenței de temperatură t între fețele paralele cu planul median, este

$$\sigma_l = E \frac{\alpha t}{2}; \quad \sigma_i = E \frac{\alpha t}{2(1 - \mu)} \quad (4.236)$$

unde α este coeficientul de dilatare termică liniară.

§ 4.34 Plăci circulare și eliptice

Pentru o sarcină simetrică, relațiile între momentul radial M_r , cel tangențial M_t și forța tăietoare T (fig. 4.72), de asemenea între săgeata w și unghiul de rotire φ , au forma



$$\left. \begin{aligned} T_r &= M_t - M_r - r \frac{dM_r}{dr} \\ M_r &= D \left(\frac{d\varphi}{dr} + \mu \frac{\varphi}{r} \right) \\ M_t &= D \left(\frac{\varphi}{r} + \mu \frac{d\varphi}{dr} \right) \end{aligned} \right\} \quad (4.237)$$

Fig. 4.72.

$$\left. \begin{aligned} \varphi &= \frac{dw}{dr}; \\ \frac{d^2\varphi}{dr^2} + \frac{1}{r} \frac{d\varphi}{dr} - \frac{\varphi}{r^2} &= -\frac{T}{D^2} \end{aligned} \right\} \quad (4.238)$$

Integrala generală a ecuației diferențiale (4.238) este:

$$\varphi = Ar + \frac{B}{r} + \varphi_0, \quad (4.239)$$

unde: A și B sînt constante; φ_0 este o soluție particulară ecuațiilor generale, funcție de parametrii inițiali, se pot scrie în forma:

$$\left. \begin{aligned} w &= w_0 + \frac{Mr_0}{2! D (1 + \mu)} r^2 - \frac{2T_0}{3 \cdot 3! D} r^3 - \left(\frac{dT}{dr} \right)_0 \frac{3}{4 \cdot 4! D} r^4 - \\ &\quad - \left(\frac{d^2T}{dr^2} \right)_0 \frac{4}{5 \cdot 5!} r^5 - \dots \\ \varphi &= \frac{Mr_0}{D (1 + \mu)} r - \frac{2T_0}{3 \cdot 2! D} r^2 - \left(\frac{dT}{dr} \right)_0 \frac{3}{4 \cdot 3! D} r^3 - \\ &\quad - \left(\frac{d^2T}{dr^2} \right)_0 \frac{4}{5 \cdot 4! D} r^4 - \dots; \\ \frac{d\varphi}{dr} &= -\frac{2T_0}{3D} r - \left(\frac{dT}{dr} \right)_0 \frac{3}{4 \cdot 2! D} r^2 - \left(\frac{d^2T}{dr^2} \right)_0 \frac{4}{5 \cdot 3! D} r^3 - \dots \end{aligned} \right\} \quad (4.240)$$

Cazuri particulare:

a) placă eliptică, încastrată pe margini și cu o sarcină uniform distribuită (a și b sînt semiaxele):

$$w = - \frac{qa^4b^4}{24D \left(a^4 + \frac{2}{3}a^2b^2 + b^4 \right)} \left(\frac{x^2}{a^2} + \frac{y^2}{b^2} - 1 \right)^2 \quad (4.241)$$

(originea coordonatelor este în centrul plăcii).

b) placă circulară de rază a , simplu rezemată

$$\left. \begin{aligned} w &= - \frac{q}{64D} \left[(a^2 - r^2)^2 + \frac{4a^2(a^2 - r^2)}{1 + \mu} \right], \\ \varphi &= \frac{qa^3}{12D(1 - \mu^2)} \text{ (pe contur),} \\ \max M_r &= \max M_t = \frac{qa^2}{16} (3 + \mu) \text{ (în centru);} \end{aligned} \right\} \quad (4.242)$$

în cazul încastrării conturului, al doilea termen din paranteză, în expresia lui w , dispăre, iar momentele vor fi:

$$\left. \begin{aligned} \max M_r &= \max M_t = \frac{qa^2}{16} (1 + \mu) \text{ (în centru),} \\ \min M_r &= - \frac{qa^2}{8}, \quad \min M_t = - \mu \frac{qa^2}{8}. \end{aligned} \right\} \quad (4.243)$$

c) aceeași, sub acțiunea unui moment M distribuit pe contur:

$$\left. \begin{aligned} w &= - \frac{M}{2D(1 + \mu)} (a^2 - r^2), \\ \varphi &= \frac{Ma}{D(1 + \mu)} \text{ (pe contur).} \end{aligned} \right\} \quad (4.244)$$

d) aceeași, sub acțiunea unei forțe concentrate (în centru):

$$\left. \begin{aligned} w &= \frac{P}{8\pi D} \left[\frac{3 + \mu}{1 + \mu} \left(\frac{a^2 - r^2}{2} \right) + r^2 \ln \frac{r}{a} \right] \\ \varphi &= \frac{P \cdot a}{4\pi D(1 + \mu)} \text{ (pe contur),} \\ M_r &= \frac{(1 + \mu)P}{4} \ln \frac{a}{r}. \end{aligned} \right\} \quad (4.245)$$

Dacă conturul este încastrat, în expresia lui w dispăre termenul $(3 + \mu) : (1 + \mu)$, iar momentul este

$$M_r = \frac{P}{4\pi} \left[(1 + \mu) \ln \frac{a}{r} - 1 \right]; \quad M_t = \frac{P}{4\pi} \left[(1 + \mu) \ln \frac{a}{r} - \mu \right]. \quad (4.246)$$

e) placă circulară subțire, încastrată pe contur; săgețile mari w_0 se găsesc din ecuația

$$w_0 \left(1 + 0,58 \frac{w_0^2}{h^2} \right) = \frac{qa^4}{64D}; \quad (4.247)$$

în cazul unei membrane se înlătură 1 din paranteză, iar tensiunile maxime din centru σ_0 și pe contur σ_a sînt

$$\sigma_0 = 0,42 \sqrt[3]{E \left(\frac{qa}{h} \right)^2}, \quad \sigma_a = 0,78 \sigma_0; \quad (4.248)$$

pentru membrana pătrată, de latură $2a$:

$$w_0 = 0,8 a \sqrt[3]{\frac{qa}{Eh}}; \quad \sigma_0 = 0,4 \sqrt[3]{E \left(\frac{qa}{h} \right)^2}. \quad (4.249)$$

f) placă (modul de elasticitate E , grosime h , rază a) pe teren elastic (modul de elasticitate E_0 , coeficient de fundație k), avînd parametrul $\frac{E_0 a^3}{Eh^3} > 3$, sub acțiunea unei forțe concentrate P :

$$\left. \begin{aligned} w_p &= \frac{P}{8\sqrt{Dk}}, \quad D = \frac{Ek^3}{12(1 - \mu^2)} \\ k &\approx \frac{0,65 E_0}{h} \sqrt[3]{\frac{E_0}{E}} \end{aligned} \right\} \quad (4.250)$$

g) aceeași, cu o sarcină continuă q , distribuită pe o suprafață mică de rază r :

$$w_q = \frac{16(1 - \mu_0^2)qr}{3\pi E_0}. \quad (4.251)$$

Bibliografie

1. Бубнов И. Г. Труды по теории пластин, Гостехиздат, 1953.
2. Попкович П. Ф., Строительная механика корабля, ч. 2, Судпромгиз, 1941.
3. Тимошенко. С. П., Пластинки и оболочки. Гостехиздат, 1948.
4. Справочник машиностроения, т. 3, гл. V, Машгиз, 1955.

4.7

Stabilitate elastică

§ 4.35. Ecuații generale pentru bare drepte

Ecuația diferențială a fibrei medii deformate a unei bare solicitată la încovoiere și la compresiune cu o forță N (fig. 4.73) este:

$$\frac{d^2v}{dx^2} = \frac{M}{EI} - \alpha^2 (v - v_0), \quad (4.252)$$

unde

$$M = M_0 + T_0 x + q_0 \frac{x^2}{2} + \dots;$$

$$\alpha^2 = N : EI. \quad (4.253)$$

Soluțiile generale ale ecuației, când $EI = \text{const}$, sînt:

Fig. 4.73.

$$v = v_0 + \frac{\varphi_0}{\alpha} \sin \alpha x + \frac{M_0}{EI \alpha^2} (1 - \cos \alpha x) + \frac{T_0}{EI \alpha^3} (\alpha x - \sin \alpha x) + \frac{q_0}{EI \alpha^4} \left(\frac{\alpha^2 x^2}{2!} - 1 + \cos \alpha x \right) + \dots; \quad (4.254)$$

$$\varphi = \varphi_0 \cos \alpha x + \frac{M_0}{EI \alpha} \sin \alpha x + \frac{T_0}{EI \alpha^2} (1 - \cos \alpha x) + \frac{q_0}{EI \alpha^3} (\alpha x - \sin \alpha x) + \dots; \quad (4.255)$$

$$M = M_0 \cos \alpha x + \frac{T_0}{\alpha} \sin \alpha x + \frac{q_0}{\alpha^2} (1 - \cos \alpha x) -$$

$$- \varphi_0 EI \alpha \sin \alpha x + \dots \quad (4.256)$$

În cazul când $N = N_{cr}$ și dacă nu există sarcini transversale, formulele (4.252) – (4.256) duc la expresia forței critice de flambaj; pentru cele patru cazuri uzuale de flambaj (ale lui Euler), notate în fig. 4.74, expresia forței critice este:

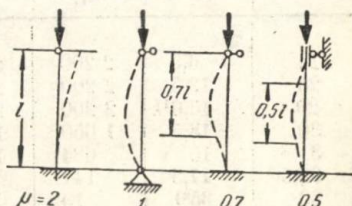


Fig. 4.74.

$$N_{cr} = \frac{\pi^2 EI}{(\mu l)^2}; \quad \mu = \frac{\pi}{\alpha l} = \frac{\pi}{\nu}. \quad (4.257)$$

Valorile coeficientului μ sînt date în fig. 4.74.

Tensiunile critice, în domeniul flambajului elastic sînt (după Euler):

$$\sigma_{cr} = \frac{N_{cr}}{A} = \frac{\pi^2 E}{\lambda^2} \leq \sigma_p; \quad \lambda = \frac{\mu l}{i} \quad (4.258)$$

unde: λ este coeficientul de sveltetă; $i = \sqrt{I:A}$ este raza minimă de inerție a secțiunii; σ_p este limita de proporționalitate. Formula (4.258) este valabilă pentru

$$\lambda \geq \lambda_e = \pi \sqrt{E:\sigma_p}. \quad (4.259)$$

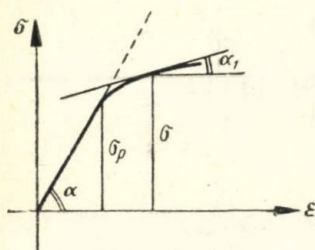


Fig. 4.75.

Pentru $\lambda < \lambda_e$ tensiunea critică este deasupra limitei de proporționalitate

$$\left. \begin{aligned} \sigma_{cr} &= \frac{\pi^2 T}{\lambda^2}; \\ T &= \frac{4 E E_1}{(\sqrt{E} + \sqrt{E_1})^2}, \end{aligned} \right\} \quad (4.260)$$

unde $E = \operatorname{tg} \alpha$ și $E_1 = \operatorname{tg} \alpha_1$ (fig. 4.75); expresia lui T (după Engesser Iasinski) este valabilă pentru secțiuni dreptunghiulare și este suficient de precisă pentru alte forme de secțiuni. Uneori (după Shanley) se ia $T = E_1$.

Valorile lui E_1 și T , pentru două materiale, sînt date în tabela 4.34.

T a b e l a 4.34. Modulele E_1 și T (tf/cm²)

σ [kgf/mm ²]	Oțel SHL-1			Duraluminu		
	ε	E_1	T	ε	E_1	T
14	6,3	2 200	2 200	20 ¹⁾	700	700
28	12,5	2 200	2 200	70 ²⁾	105	218
29	13,0 ¹⁾	2 200	2 200	79	88	187
30	13,5	1 650	1 900	81	70	155
31,6	15	684	1 125	120	42	105
32,5	17,5	147	369	145	36	95
33	35 ²⁾	19	88	180	33	88
42	52	19	88	1 000 ³⁾	10	35
66	1 800 ³⁾	19	88	—	—	—

Observație. ε este majorat de 10^4 ori, 1) ε_p ; 2) ε_c ; 3) ε_l .

În lipsa datelor asupra lui T și E_1 se utilizează formula lui Tetmayer-Iasinski

$$\sigma_{cr} = a - b\lambda; \quad a \approx (1,0 \dots 1,4) \sigma_c; \quad b = \frac{a - \sigma_p}{\lambda_p} \quad (4.261)$$

unde λ_p este dat de formula (4.259); σ_c și σ_p sînt limitele de curgere și de proporționalitate. Mărimile a și b pentru unele materiale (kgf/mm²) sînt:

	Oțel 3	Oțel 50	SHL-1	Pin
a	34	60	37	2,93
b	0,15	0,30	0,1	0,02

Pentru fontă se utilizează uneori formula

$$\sigma_{cr} = 7\,800 - 120\lambda + 0,5\lambda^2. \quad (4.262)$$

Dimensionarea barelor comprimate se face cu formula:

$$\sigma = \frac{N}{A} \leq \sigma_a \varphi \quad (4.263)$$

unde σ_a este rezistența admisibilă la compresiune, pentru $\lambda = 0$; φ se ia din tabela 4.35. Coeficientul de siguranță se determină cu formula

$$c = \frac{\sigma_{cr}}{\sigma} = \frac{\sigma_{cr}}{\varphi \cdot \sigma_a}. \quad (4.264)$$

Să se determine secțiunea pătrată a unui stîlp de lemn, de lungime $l = 4$ m, articulat la capete, luînd $\sigma_a = 125$ kgf/cm², pentru $P = 25$ tf. Din formula (4.263) găsim $A = 200 : \varphi$. Luînd o valoare arbitrară $\varphi = 0,55$, găsim $A = 364$ cm², iar latura pătratului $a = 19$ cm; în acest caz $i = \sqrt{I:A} = \frac{a}{\sqrt{12}} = 5,5$ cm; prin urmare,

sveltețea este $\lambda = \frac{l}{i} = 73$ și din tabela 4.35, prin interpolare, se află $\varphi_k = 0,57$. Abaterea valorii calculate φ_k de la cea inițială, φ mai mică decît 5 %, este admisibilă; de aceea, luăm secțiunea $a^2 = 19^2 = 361$ cm²; $\sigma_a \varphi = 125 \cdot 0,57 = 71$ kgf/cm²; $\sigma = P : A = 69$ kgf/cm²; pentru lemn, după (4.259) $\lambda_p = 100$; de aceea, tensiunea critică după (4.261), este $\sigma_{cr} = 293 - 2 \cdot 73 = 147$ kgf/cm²; coeficientul de siguranță este $c = 147 : 69 = 2,13$.

Condițiile de pierdere a stabilității, pentru cîteva cazuri de fixare la capete și de încărcare, sînt date în tabela 4.36.

T a b e l a 4.35. Valorile coeficientului de flambaj φ

λ	Oțel OL 38	Fontă	Lemn de brad	Oțel OL 52
0	1,000	1,000	1,000	1,000
20	1,000	0,910	0,970	1,000
30	0,953	0,810	0,930	0,939
40	0,907	0,690	0,870	0,879
50	0,862	0,570	0,800	0,820
60	0,817	0,440	0,710	0,760
70	0,771	0,340	0,610	0,695
80	0,723	0,260	0,480	0,620
90	0,672	0,200	0,380	0,507
100	0,610	0,160	0,300	0,411
110	0,510	—	0,250	0,339
120	0,428	—	0,220	0,285
130	0,365	—	0,180	0,243
140	0,314	—	0,160	0,409
150	0,274	—	0,140	0,183
160	0,240	—	—	0,160
170	0,213	—	—	0,142
180	0,190	—	—	0,127
190	0,170	—	—	0,113
200	0,154	—	—	0,102
210	0,140	—	—	0,093
220	0,127	—	—	0,085
230	0,116	—	—	0,077
240	0,107	—	—	0,071
250	0,098	—	—	0,065

T a b e l a 4.36. Condițiile de pierdere a stabilității

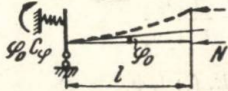
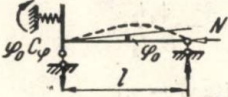
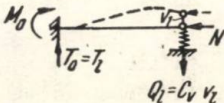
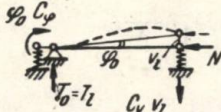
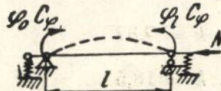
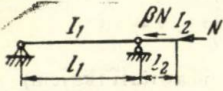
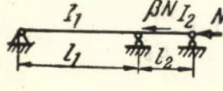
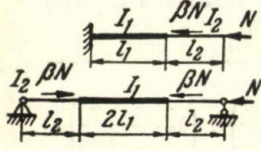
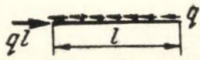
Forma de pierdere a stabilității	Condiția
	$\operatorname{tg} v = \frac{C_{\varphi} l}{EI v}, \quad v = \alpha l$ <p>C_{φ} — rigiditatea încastrării (kg/cm)</p>
	$\operatorname{tg} v = \frac{v}{1 + \frac{EI v^2}{C_{\varphi} l}}$
	$\operatorname{tg} v = v \left(1 - \frac{\alpha^2 EI}{C_v l} \right)$ <p>C_v — rigiditatea reazimului (kg/cm)</p>
	$\frac{EI}{C_v l^3} = \left(\bar{a}_0 + \frac{\psi}{3} \right) : \left(\bar{a}_0 v^2 - \frac{v}{\operatorname{tg} v} \right),$ <p>$\bar{a}_0 = \frac{EI}{C_{\varphi} l}, \quad \psi - \text{cm, cazul 7 mai departe}$</p>
	$\frac{\psi}{3} \frac{EI}{l} \left(\frac{1}{C_{\varphi_0}} + \frac{1}{C_{\varphi_l}} \right) +$ $+ \left(\frac{EI}{l} \right)^2 \frac{1}{C_{\varphi_0} C_{\varphi_l}} + \frac{\chi}{12} = 0,$ $\chi = \frac{12 \left(2 \operatorname{tg} \frac{v}{2} - v \right)}{v^3}$

Tabela 4.36 (continuare)

Forma de pierdere a stabilității	Condiția
	$\operatorname{tg} v = \frac{C_1 l_2}{E_2 I_2 v_2}$ $C_1 = 3E_1 I_1: l_1 \psi_1$
	$\frac{\psi_1 l_1}{E_1 I_1} = - \frac{\psi_2 l_2}{E_2 I_2}$ $\psi_1 = \frac{3(\operatorname{tg} v_1 - v_1)}{v_1^2 \operatorname{tg} v_1}$
	$\operatorname{tg} v_1 \operatorname{tg} v_2 = \frac{E_1 I_1 \alpha_1}{E_2 I_2 \alpha_2}$ $v_1 = \alpha_1 l_1 = \sqrt{\frac{N(1 + \beta)}{E_1 I_1}} l_1,$ $v_2 = \alpha_2 l_2 = \sqrt{\frac{N}{E_2 I_2}} l_2$
	<p> $(ql)_{cr} = k \frac{EI}{l^2}$; pentru modurile de rezemare din fig. 4.74. </p> <p>Cazul 1. $k = 7,87$</p> <p>Cazul 2. $k = 18,5$</p> <p>Cazul 3. $k = 52,5$</p> <p>Cazul 4. $k = 73,6$</p>

Fie (cazul 1) $C_\varphi = \frac{3EI}{l}$, atunci $\operatorname{tg} \nu = \frac{3}{\nu}$; din tabelele de funcții trigonometrice, găsim $\nu = 1,192$ și din formula (4.257) $\mu = \pi : \nu = 2,63$, din (4.257), $N_{cr} = 1,42 \frac{EI}{l^2}$. În cazul 8, luăm $l_1 = 2l_2 = l$,

$$I_1 = 2I_2 = I, \beta = 1; \text{ atunci } \nu_1 = l \sqrt{\frac{2N}{EI}}, \nu_2 = 0,5 \nu_1, \alpha_1 = \alpha_2,$$

$$\operatorname{tg} \nu_1 \operatorname{tg} 0,5 \nu_1 = 2;$$

din tabelele de funcții trigonometrice, $\nu_1 = 1,23$; prin urmare

$$N_{cr} = 0,75 \frac{EI}{l^2}.$$

§ 4.36. Bare de secțiune variabilă

Pentru unele bare cu secțiune variabilă în trepte, vezi tabela 4.36. În cazul general, este avantajoasă utilizarea metodei grafo-analitice (§ 4.27). Admitem că se cere expresia lui N_{cr} (fig. 4.76) pentru o bară cu moment de inerție venind continuu, după legea

$$I_x = I_0 \left(1 + 0,2 \frac{x}{l} + 0,2 \frac{x^2}{l^2} \right).$$

Forma de pierdere a stabilității este indicată în fig. 4.76, *a*, iar în fig. 4.78, *b* este dată diagrama sarcinii fictive și a săgeților; deci forța critică este

$$N_{cr} = \frac{EI_1}{-v_1}. \quad (4.265)$$

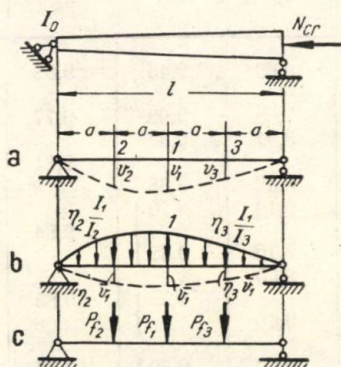


Fig. 4.76.

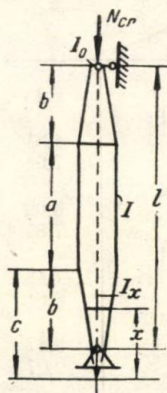


Fig. 4.77.

unde I_1 și \bar{v}_1 sînt momentul de inerție și săgeata în punctul caracteristic, care posedă indicele 1. Trecerea la sarcinile fictive concentrate (fig. 4.76, c) după formula (4.176) dă:

$$P_{f2} = 0,087 l (2,166 \eta_2 + 0,515); P_{f1} = 0,087 l (2 + 0,558 \eta_2 + 0,470 \eta_3) \quad P_{f3} = 0,087 l (0,515 + 1,822 \eta_3).$$

Săgețile, calculate ca momente ale sarcinii fictive sînt:

$$\bar{v}_2 = \eta_2 \bar{v}_1 = 0,087 \frac{l^2}{4} (1,515 + 1,902 \eta_2 + 0,691 \eta_3),$$

$$\bar{v}_1 = 0,087 \frac{l^2}{4} (2,515 + 1,638 \eta_2 + 1,382 \eta_3),$$

$$\bar{v}_3 = \eta_3 \bar{v}_1 = 0,087 \frac{l^2}{4} (1,515 + 0,820 \eta_2 + 1,601 \eta_3).$$

De aici, $\eta_2 = 0,723$, $\eta_3 = 0,691$. Prin urmare,

$$N_{cr} = \frac{11,36 EI_0}{l^2} \text{ și } \bar{v}_1 = 0,1012 l^2.$$

Pentru stîlpul din fig. 4.77 forța critică este

$$N_{cr} = k \frac{EI}{l^2}; \quad I_x = I_0 \left(\frac{x}{c} \right)^m \quad (4.266)$$

unde k este un coeficient ce depinde de variația lui I_x și este indicat în tabela 4.37, după A.N. Dinnik, pentru $m = 1$ și $m = 4$.

T a b e l a 4.37. Coeficientul k din formula (4.266).

$a : l$	0	0,2	0,4	0,6	0,8	m
0,1	6,48	7,58	8,63	9,46	9,82	1
	4,81	6,11	7,68	9,08	9,77	4
	7,01	7,99	8,91	9,63		1
0,2	6,02	7,90	8,42	9,38		4
	7,87	8,59	9,19	9,70		1
0,4	7,48	8,33	9,10	9,62	9,84	4
	8,61	9,12	9,55			1
0,6	8,47	9,01	9,45	9,75	9,85	4
	9,27	9,54				1
0,8	9,23	9,49	9,69	9,82	9,86	4

§ 4.37. Bare compuse și bare pe reazeme elastice

Forța critică a unui stîlp din zăbrele (fig. 4.78) se determină cu formula:

$$N_{cr} = \psi N_0; \quad 1 : \psi = 1 + \frac{\pi^2 I_y}{l^2} \left[\frac{1}{A_1 \sin \alpha \cdot \cos^2 \alpha} + \frac{1}{A_2 \operatorname{tg} \alpha} \right] \quad (4.267)$$

unde: N_0 este forța critică fără considerarea legăturilor; A_1 și A_2 sint ariile secțiunii diagonale și a unui montant, I_y este momentul

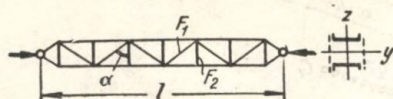


Fig. 4.78.

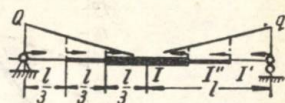


Fig. 4.79.

de inerție al secțiunii barelor. Coeficientul de zveltețe ideal (de calcul) se determină cu formula:

$$\left. \begin{aligned} \lambda &= \sqrt{\lambda_0^2 + \lambda_1^2} \\ \lambda_0 &= l : i_y; \quad \lambda_1 = a : i_1 \end{aligned} \right\} \quad (4.268)$$

unde i_y și i_1 sint respectiv razele de inerție ale barei pe toată lungimea ei de pe distanța între două solidarizări. Forța critică a barei (fig. 4.79), corespunzînd acțiunii unei sacini de compresiune descrescînd liniar spre mijlocul deschiderii, în cazul unui moment de inerție variabil în trepte (*problema lui Iasinski*) se determină după formula:

$$N_{cr} = \frac{ql}{2} = k \frac{EI}{l^2} \quad (4.269)$$

unde k se ia din a doua coloană a tabelului 4.38, iar

$$\alpha = I' : I \text{ și } 1 + \alpha = 2I'' : I.$$

Tabelă 4.38. Coeficienții k pentru formula (4.269)

α	k	Talpa comprimată a fermei pentru		
		6 panouri	12 panouri	16 panouri
1	5,12	3,58	4,22	4,41
0,8	4,94	3,42	—	—
0,6	4,78	3,24	—	—
0,4	4,53	3,00	—	—
0,2	4,12	2,59	—	—

Dacă talpa comprimată a fermei unui pod are un număr intermediar de panouri, atunci mărimea k trebuie luată din coloanele următoare ale tabelului 4.38. Influența reacțiunii elastice a montanților și a diagonalelor este favorabilă, forța critică crescând și mărimea lui k trebuie căutată în graficul din fig. 4.80, unde β este coeficientul de tasare (kg/cm^2), egal cu reacțiunea elastică a montanților și dia-

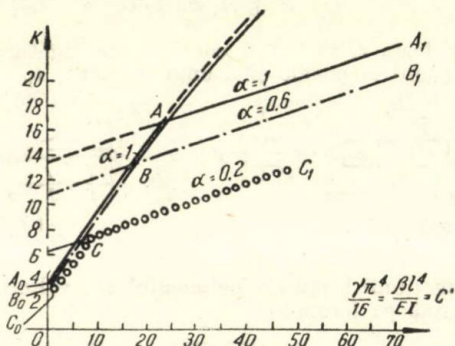


Fig. 4.80.

gonalelor din nod, împărțită cu lungimea panoului. Ecuațiile curbelor din fig. 4.80 se aproximează cu drepte și sînt:

$$\left. \begin{aligned} A_0 A : k &= 3,58 + 0,52 \, c \\ A A_1 : k &= 13,32 + 0,135 \, c \\ C_0 C : k &= 2,59 + 0,63 \, c \\ C C_1 : k &= 6,15 + 0,14 \, c \end{aligned} \right\} \quad (4.270)$$

Punctele A , B și C determină trecerea de la umflarea după o singură semiundă la cea după două semiunde, care este uneori mai periculoasă.

Pentru o grindă rezemată fix la capete, de secțiune constantă și de lungime l , așezată pe un teren elastic (cu coeficientul de tasare β) și comprimată cu o forță constantă, N_{cr} se determină cu formula (4.269)

$$k = \pi^2 \left(n^2 + \frac{c}{\pi^4 n^2} \right) \approx \pi^2 + 1,93 \sqrt{c}, \quad c = \frac{\beta l^4}{EI}; \quad (4.271)$$

dacă grinda nu are reazime la extremități, atunci pentru $P_{cr} > P_e$ și $P_{cr} < P_e$ avem respectiv

$$k \approx 1,07 \sqrt{c} \quad \text{și} \quad k \approx \sqrt{8 \cdot 10^{-6} c^2 + c} \quad (4.272)$$

unde $P_e = \pi^2 EI : l^2$.

În cazul cînd grinda nu este așezată pe un mediu continuu, ci pe reazime elastice, distanțate cu $a = \text{const}$, se pot utiliza formulele (4.271) și (4.272), înlocuind coeficientul reazimului elastic c cu βa .

§ 4.38. Inele și arce

Pentru inele circulare și arce de secțiune constantă, ecuația diferențială care duce la stabilirea sarcinii critice și integrala ei au forma (fig. 4.62):

$$\left. \begin{aligned} \frac{d^2 v}{d\alpha^2} + n^2 v &= \frac{MR^2}{EI}, \quad n^2 = 1 + \frac{NR^2}{EI}, \\ M &= M_0 + T_0 R \sin \alpha + N_0 R (1 - \cos \alpha) + q_r^0 R^2 (\cos \alpha - 1); \end{aligned} \right\} \quad (4.273)$$

$$\begin{aligned} v &= v_0 \cos n\alpha + \frac{\varphi_0 R + u_0}{n} \sin n\alpha + \frac{a}{n^2} (1 - \cos n\alpha) + \\ &+ \frac{b \left(\sin \alpha - \frac{1}{n} \sin n\alpha \right)}{n^2 - 1} + \frac{c (\cos \alpha - \cos n\alpha)}{n^2 - 1}; \end{aligned} \quad (4.274)$$

$$\begin{aligned} a &= \frac{R^2}{EI} (M_0 + N_0 R - q_r^0 R^2), \quad b = \frac{R^3}{EI} T_0, \\ c &= \frac{R^3}{EI} (-N_0 + q_r^0 R). \end{aligned} \quad (4.275)$$

Pentru arcul cu două articulații (fig. 4.81), luînd originea coordonatelor în punctul O , avem $v_0 = u_0 = M_0 = 0$; din condiția $v = 0$ pentru $\alpha = \beta$ din (4.274) găsim:

$$\frac{\varphi_0 R}{n} \sin n\beta = 0,$$

de unde $n\beta = \pi$, iar din (4.273) obținem formula forței critice:

$$N_{cr} = \left(\frac{\pi^2}{\beta^2} - 1 \right) \frac{EI}{R^2}; \quad (4.276)$$

pentru $\beta = \pi$ obținem N_{cr} pentru inel:

$$N_{cr} = \frac{3EI}{R^2} = qR. \quad (4.277)$$

Pentru un arc fără articulații

$$N_{cr} = qR = k \frac{EI}{R^2}, \quad k = \frac{6,38}{\alpha \sin 0,25\alpha \left(1,066 + 0,283 \frac{\sin 0,75\alpha}{\sin \alpha} \right)}. \quad (4.278)$$

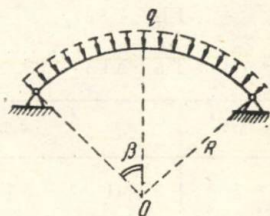


Fig. 4.81.

Pentru un arc parabolic cu două articulații, intensitatea sarcinii uniform distribuite pe deschiderea l este $q_{cr} = EI \cdot k : l^3$, unde pentru săgeata f și $a = 0,5l$, avem:

$$k \approx \frac{32 \pi^2 (f : a)}{\left(1 + \frac{7}{3} \frac{f^2}{a^2}\right)^{3/2} + \left(1 + 1,118 \frac{f^2}{a^2}\right) \left(1 + \frac{1}{3} \frac{f^2}{a^2}\right)^{1/2}} \quad (4.279)$$

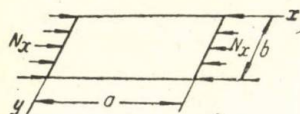
Pentru un arc parabolic, fără articulații (cu aceleași notații, ca și pentru arcul cu două articulații):

$$k \approx \frac{183\sqrt{l} (6 + 7,03 l)}{(1 + 2,29 l) \left[\left(1 + \frac{7}{3} l\right)^{1/2} (1,35 + 1,1 l) + \left(1 + \frac{1}{3} l\right)^{1/2} (2 + 0,58 l) \right]} \quad (4.280)$$

unde $l = \frac{f^2}{a^2}$.

§ 4.39. Plăci și învelitori

Forța critică pentru placa dreptunghiulară, simplu rezemată pe contur, comprimată în lungul axei Ox (fig. 4.82) este:



$$N_x = \frac{\pi^2 D}{b^2} k = \frac{\pi^2 D}{a^2} k_1. \quad (4.281)$$

Fig. 4.82.

Valorile coeficientului k sînt date în tabela 4.39; D este rigiditatea $D = Eh^3 : 12 (1 - \mu^2)$ unde h este grosimea plăcii.

T a b e l a 4.39. Coeficienții k din formula (4.281)

a/b	0,4	0,6	0,8	1,0	1,41	2
k	8,41	5,14	4,2	4,0	4,47	4,0

La placa comprimată de-a lungul ambelor axe Ox și Oy , $N_{cr} = N_x m^2 + N_y n^2$

$$N_{cr} = \pi^2 D a^2 \left(\frac{m^2}{a^2} + \frac{n^2}{b^2} \right)^2; \quad (4.282)$$

pentru $a = b$, $N_x = N_y = N_{cr}$

$$N_{cr} = 2 \frac{\pi^2 D}{a^2}. \quad (4.283)$$

Compresiunea axială a unui cilindru cu pereți subțiri poate provoca pierderea stabilității; forța critică este:

a) la flambajul în ansamblu

$$N_{cr} = \frac{\pi^2 EI}{(\mu l)^2} = \frac{\pi^3 E h a^3}{(\mu l)^2}; \quad (4.284)$$

b) la flambajul local al peretelui

$$N_{cr} = \alpha \frac{E h^2}{a \sqrt{3(1 - \mu^2)}}. \quad (4.285)$$

unde valorile coeficientului α , determinate experimental, sînt cuprinse între limitele: 0,3 — 0,6; h este grosimea peretelui; a este raza cilindrului.

4.8

Solicitări compuse

§ 4.40. Incovoiere oblică și compresiune excentrică

Formula tensiunii normale în secțiunea transversală, la încovoiere oblică (fig. 4.83) este:

$$\sigma = \frac{M_z}{I_z} y + \frac{M_y}{I_y} z; \quad \left. \begin{array}{l} M_z = M \cos \alpha; \\ M_y = M \sin \alpha. \end{array} \right\} \quad (4.286)$$

Aici I_z și I_y sînt momentele centrale principale de inerție ale secțiunii transversale. Direcțiile axelor Oz și Oy se aleg astfel ca în primul cadran momentele M_z și M_y să producă tensiuni de întindere, care se iau cu semnul plus. Poziția axei neutre este dată de unghiul

$$\operatorname{tg} \varphi = \operatorname{tg} \alpha \frac{I_z}{I_y}. \quad (4.287)$$

În cazul secțiunii dreptunghiulare, calculul tensiunii maxime se poate reduce la utilizarea formulei (fig. 4.83):

$$W_z = \frac{M}{\sigma_a} (\cos \alpha + c \sin \alpha) \quad (4.288)$$

unde: W_z este cel mai mare modul de rezistență; $c = W_z : W_y$; pentru dreptunghi $c = h : b$ (latura b este paralelă cu axa Oz); pentru secțiunea în dublu T ($W_z > W_y$), $c \approx 6 \div 15$; pentru profile U ,

$c \approx 4 \div 11$. Secțiunile de formă regulată (cerc,inel, poligoane regulate) nu suferă încovoiere oblică, deoarece au $I_z = I_y$. În cazul întinderii sau compresiunii excentrice (fig. 4.84) tensiunea normală din secțiunea transversală, atunci cînd aceasta nu este cu pereți subțiri are expresia:

$$\sigma = \frac{N}{A} + \frac{M_z}{I_z} y + \frac{M_y}{I_y} z. \quad (4.289)$$

Regula semnelor, pentru componentele tensiunii, datorite momentelor, este aceeași, ca și în fig. 4.83; primul termen din (4.289) se ia

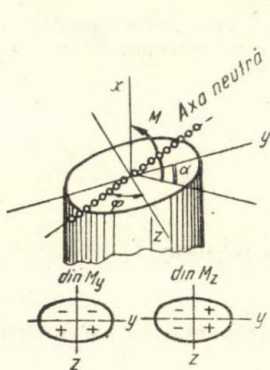


Fig. 4.83.

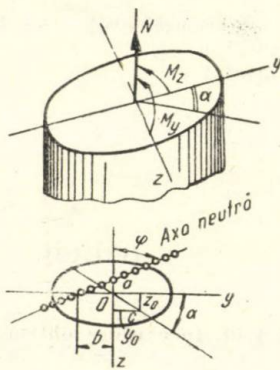


Fig. 4.84.

cu plus, dacă N este forță de întindere. Momentele M_z și M_y se obțin ca rezultat al reducerii forței N în centrul de greutate al secțiunii (punctul O); coordonatele punctului de aplicare al forței N (fig. 4.84) sînt:

$$z_0 = \frac{M_y}{N}, \quad y_0 = \frac{M_z}{N}. \quad (4.290)$$

Poziția axei neutre se determină prin intersecțiile ei cu axele de coordonate, a și b , după ecuațiile:

$$az_0 = -i_y^2, \quad by_0 = -i_z^2, \quad (4.291)$$

unde i_y și i_z sînt razele de inerție ale secțiunii transversale; în acest caz rămîne valabilă formula (4.287) pentru $\tan \varphi$.

Se numește *simbure central* zona secțiunii, care posedă proprietatea că atunci cînd forța N se aplică în interiorul lui, ea produce în toată secțiunea tensiuni de același semn dacă punctul de aplicare al forței (z_0, y_0) se deplasează pe conturul simburelui central, atunci axa neutră va fi tangență la conturul secțiunii; dacă punctul de

aplicație este așezat în exteriorul simbului, axa neutră intersectează secțiunea transversală.

Simbul central al cercului are diametrul $\alpha/4$; la un inel subțire, diametrul lui este $\alpha/2$; la dreptunghi are dimensiunile din fig. 4.85. În cazul când forța excentrică N este aplicată pe una din axele principale, având de ex. $z_0 = 0$ atunci formula (4.289) devine

$$\sigma = \frac{N}{W_z} (y_0 - b), \quad W_z = \frac{I_z}{y}, \quad y_0 = \frac{M_z}{N}, \quad b = -\frac{i_z^2}{y} \quad (4.292)$$

unde y este coordonata punctului, în care se calculează σ .

În fig. 4.86 este reprezentată o bară de secțiune circulară $d = 4$ cm), supusă acțiunii excentrice a forței P_1 într-un plan vertical

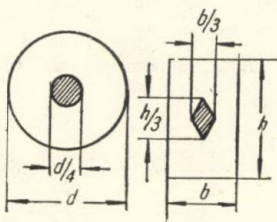


Fig. 4.85.

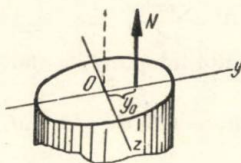


Fig. 4.86.

și încovoierii de către forța P_2 într-un plan orizontal. Pentru determinarea tensiunii din mijlocul deschiderii după formula (4.289), s-au construit diagramele de momente în planele orizontal (M_h) și vertical (M_v). Deoarece $I_z = I_y$, se poate determina momentul rezultant $M = \sqrt{3\,000^2 + 4\,000^2} = 5\,000$ kg·cm. Prin urmare

$$\sigma_{max} = \frac{N}{A} \pm \frac{M}{W} = \frac{1\,000}{12,56} \pm \frac{5\,000}{6,28},$$

$$\sigma_{max} = 840 \text{ kgf/cm}^2.$$

Formulele (4.289) și (4.292) se modifică în cazul barelor foarte zvelte ($\lambda > 50$; vezi capitolul 4.7). Din cauza acțiunii comune a forței N , aplicată cu excentricitatea e , și a momentului datorit sarcinii transversale M_0 , momentul încovoietor de calcul M_{calc} , se determină cu formula

$$M_{calc} = M_0 + Ne + \frac{Nv_0}{1 \pm \beta}. \quad (4.293)$$

unde v_0 este săgeata în secțiunea de calcul, $\beta = N : N_{cr}$. Se ia $+$ β în cazul întinderii și $-$ β în cazul compresiunii. Mai precis, calculul trebuie efectuat folosind ecuațiile generale (4.254) — (4.256).

Pentru luarea în considerare a influenței pereților subțiri (vezi § 4.21), în partea dreaptă a formulei (4.289) trebuie adăugat un al patrulea termen, care introduce acțiunea bimomentului B și care se determină cu formula (4.143): $\frac{B}{I_{\omega}} \cdot \omega$

§ 4.41. Răsucire cu încovoiere

Pentru o bară de secțiune circulară, formula de calcul este:

$$\sigma_{ech} = \frac{M_{ech}}{W} \leq \sigma_a \quad (4.294)$$

unde $W = \frac{\pi r^3}{4}$, iar M_{ech} se determină, în funcție de teoria de rezistență adoptată, astfel:

$$M_I = 0,5 M_i + 0,5 M_{III}; \quad M_{II} = \frac{1 - \mu}{2} M_i + \frac{1 + \mu}{2} M_{III};$$

$$M_{III} = \sqrt{M_i^2 + M_t^2}; \quad M_V = \sqrt{M_i^2 + 0,75 M_t^2} \quad (4.295)$$

unde M_i și M_t sînt momentele de încovoiere și răsucire în secțiunea periculoasă; indicii arată I — teoria σ_{max} ; II — teoria ε_{max} ; III — teoria τ_{max} ; V — teoria τ_{oct} . Pentru secțiuni de formă oarecare:

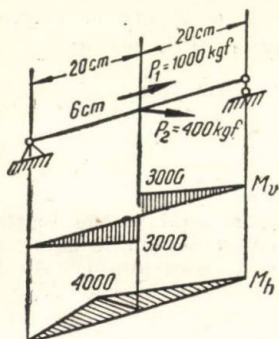


Fig. 4.87.

$$\left. \begin{aligned} \sigma_I &= 0,5 \sigma_i + 0,5 \sigma_{III}, \\ \sigma_{II} &= \frac{1 - \mu}{2} \sigma_i + \frac{1 + \mu}{2} \sigma_{III}, \\ \sigma_{III} &= \sqrt{\sigma_i^2 + 4\tau_i^2} \\ \sigma_V &= \sqrt{\sigma_i^2 + 3\tau_i^2}. \end{aligned} \right\} \quad (4.296)$$

Aici σ_i și τ_i sînt tensiunea normală de încovoiere și tensiunea tangențială de răsucire în punctul periculos. De obicei se utilizează formulele M_V , σ_V . În cazul răsucirii cu întindere, se utilizează

formulele (4.296) înlocuind pe σ_i prin $\sigma = \frac{N}{A}$. Se va calcula secțiunea circulară a unui arbore cotit, supus acțiunii a două forțe de 50 kgf,

aplicate în capetele bielei, a cărui poziție de calcul este dată în fig. 4.87. $\sigma_a = 280 \text{ kgf/cm}^2$. Momentul de calcul este:

$$M_V = \sqrt{500^2 + 0,75 \cdot 300^2} = 563 \text{ kg} \cdot \text{cm}.$$

Din formula (4.294), $W = 2 \text{ cm}^3$ și $R = 1,35 \text{ cm}$.

Bibliografie. Vezi capitolul 4.1.

4.9

Arcuri

§ 4.42. Arcul elicoidal

Diametrul firului arcului ($d = 2r$), comprimat cu forța P , se găsește cu formula:

$$d \geq \sqrt[3]{\frac{5PR}{\tau_a}} \quad (4.297)$$

unde R este raza de înfășurare; se poate face o verificare a tensiunii τ , cu relația:

$$\tau = \frac{2PR}{\pi r^3} \left(1 + \frac{r}{2R} \right) \leq \tau_a. \quad (4.298)$$

Săgeata arcului cu n spire este:

$$f = \frac{4PR^3n}{Gr^4}. \quad (4.299)$$

§ 4.43. Arcul conic

Diametrul firului arcului se determină cu formula (4.297), unde R este raza maximă a conului, săgeata este

$$f = \frac{P(R^2 + R_1^2)(R + R_1)n}{Gr^4}, \quad (4.300)$$

unde R_1 este raza minimă a conului. Formula (4.300) este riguros valabilă numai pentru un arc cu pas constant.

Pentru arcuri cu unghi de înclinare constant săgeata f , obținută din relația (4.300), trebuie înmulțită cu $\frac{2}{3} \cdot \frac{1+c+c^2}{1+c^2}$ unde $c = R_1 : R_2$.

Bibliografie.

1. Расчеты на прочность в машиностроении, под ред. С. Д. Пономарева, т. 1, гл. XIII, Машгиз, 1956.

4.10

Vase cu pereți groși

§ 4.44. Calcule în regim elastic

În cazul acțiunii unei sarcini axiale simetrice asupra unui cilindru, tensiunea tangențială normală σ_t și cea radială σ_r (fig. 4.88), se determină cu formula

$$\sigma_{t/r} = \frac{P_a - P_b \beta^2}{\beta^2 - 1} \pm \frac{(P_a - P_b) b^2}{r^2 (\beta^2 - 1)}; \quad (4.301)$$

P_b și P_a sînt presiunile exterioară și interioară; $\beta = \frac{b}{a}$ tensiunea axială normală într-un vas cu funduri este:

$$\sigma_z = \frac{P_a - P_b \beta^2}{\beta^2 - 1}, \quad \beta = \frac{b}{a}. \quad (4.302)$$

În cazul cilindrului cu pereți subțiri, $\frac{a}{b} > 0,9$ formulele se simplifică:

$$\sigma_t = 2\sigma_z = \frac{P_a - P_b}{\delta} a, \quad (4.303)$$

unde: $\delta = (b - a)$ este grosimea peretelui.

Deplasarea radială a unui punct situat la distanța r de centru este:

$$u = \frac{r}{E(\beta^2 - 1)} \left[(1 - \mu)(P_a - P_b \beta^2) + (1 + \mu) \frac{(P_a - P_b) b^2}{r^2} \right] - \frac{\mu \delta_z \cdot r}{E}. \quad (4.304)$$

La calculul de rezistență al tubului care suportă o presiune interioară, se utilizează următoarele formule, deduse pe baza uneia din teoriile de rezistență

II (ϵ_{max}), III (τ_{max}) sau V (τ_{oct}):

$$\sigma_{ech}^{II} = P_a \frac{1,3 \beta^2 + 0,4}{\beta^2 - 1}, \quad \sigma_{ech}^{III} = P_a \frac{2 \beta^2}{\beta^2 - 1},$$

$$\sigma_{ech}^V = P_a \frac{\beta^2 \sqrt{3}}{\beta^2 - 1}. \quad (4.305)$$

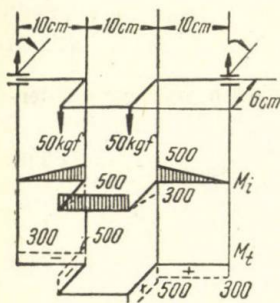


Fig. 4.88.

Pentru tubul format din doi cilindri (tub fretat) dacă inițial diferența razelor cilindrilor la suprafața de contact era $b_1 - a = \Delta$ (fig. 4.89), presiunea de fretaj este

$$p = \frac{E \cdot \Delta}{2b_1} \frac{(\beta_1^2 - 1)(\beta^2 - 1)}{(\beta_1^2 \beta^2 - 1)}, \quad (4.306)$$

unde $\beta = b/a$; $\beta_1 = b_1/a_1$; pentru a stabili tensiunile după determinarea lui p , fiecare cilindru se calculează cu formula (4.301): cilindrul exterior la acțiunea lui $p_a = p$, cel interior pentru $p_b = p$.

Pentru vasul sferic cu pereți groși:

$$\left. \begin{aligned} \sigma_t &= A + B, \\ \sigma_r &= A - 2B, \\ A &= \frac{p_a - p_b \beta^3}{\beta^3 - 1} \\ B &= \frac{(p_a - p_b) b^3}{2r^3 (\beta^3 - 1)}. \end{aligned} \right\} \quad (4.307)$$

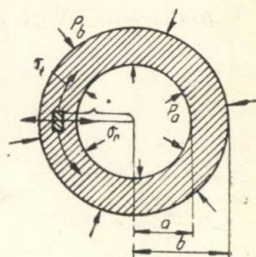


Fig. 4.89.

Deplasarea radială este

$$u = \frac{r}{E(\beta^3 - 1)} \left[(1 - 2\mu)(p_a - p_b \beta^3) + (1 + \mu) \frac{(p_a - p_b) b^3}{r^2} \right]. \quad (4.308)$$

Pentru sfera cu pereți subțiri

$$\sigma_t = \frac{p_a - p_b}{2\delta} a. \quad (4.309)$$

§ 4.45. Calcule în stadiul plastic și elasto-plastic

Atunci cînd cilindrul trece, pe toată grosimea sa, în stadiul plastic, tensiunile normale tangențială σ_t și radială σ_r sînt:

$$\left. \begin{aligned} \sigma_t &= k\sigma_c + \sigma_r, \\ \sigma_r &= -p_a + k\sigma_c \ln \frac{r}{a} = -p_b + k\sigma_c \ln \frac{b}{r}, \end{aligned} \right\} \quad (4.310)$$

unde σ_c este limita de curgere, $k = 1$ pentru teoria a III-a de rezistență și $k = 1,15$ pentru teoria a V-a. Dacă acționează numai o presiune interioară p_a ($p_b = 0$), presiunea limită este:

$$p_a, p^l = k\sigma_c \ln \beta. \quad (4.311)$$

Dacă trece în stare plastică numai o grosime c a cilindrului, unde $a < c < b$, atunci presiunea între zona elastică și cea plastică se găsește cu formula (fig. 4.90):

$$q = \sigma_c \cdot \frac{\beta_c^2 - 1}{2 \beta_c^2}; \quad \beta_c = \frac{b}{c} \quad (4.312)$$

unde: σ_c este limita de curgere; după determinarea lui q , zona exterioară (cea elastică) se calculează cu relația (4.301), iar cea interioară (plastică) — cu relația (4.310).

Bibliografia. Vezi capitolul 4.1.

4.11

Solicitări dinamice

§ 4.46. Oscilațiile sistemelor cu un singur grad de libertate

Ecuția diferențială a oscilațiilor mici fără amortizare și integrala ei sînt:

$$v'' + \omega^2 v = \frac{P(t)}{m}; \quad (4.313)$$

$$v = \frac{1}{m\omega} \int_0^t P(t_1) \cdot \sin \omega(t - t_1) dt_1 = v_0 \cos \omega t + \frac{v'_0}{\omega} \sin \omega t + \\ + \frac{P(0)}{m\omega^2} (1 - \cos \omega t) + \frac{P'(0)}{m\omega^3} (\omega t - \sin \omega t) + \dots \quad (4.314)$$

unde: v_0 , v'_0 , $P(0)$, $P'(0)$, ... sînt parametrii inițiali: deplasarea, viteza, forța exterioară și derivata ei. Pulsația oscilațiilor și perioada T sînt legate prin formula:

$$\omega = \frac{2\pi}{T} = \sqrt{\frac{c}{m}} = \sqrt{\frac{g}{v_{st}^{(P)}}} = 2\pi f, \quad (4.315)$$

unde $c = \frac{1}{\delta}$ este constanta elastică a sistemului (forța care produce o deplasare unitară) și m masa oscilantă; $v_{st}^{(P)}$ este deplasarea statică a sistemului, datorită greutateii $P=mg$; f este frecvența oscilației, în Hz.

Soluția (4.314) poate fi scrisă și sub forma:¹⁾

$$v = \frac{1}{\omega^2 m} \left\{ \left[P(f) - \frac{P''(t)}{\omega^2} + \frac{P^{(IV)}(t)}{\omega^4} - \dots \right] - \dots - \sin \omega t \left[P'(0) - \frac{P'''(0)}{\omega^3} + \dots \right] - \dots - \cos \omega t \left[P(0) - \frac{P''(0)}{\omega^2} + \dots \right] \right\} \quad (4.316)$$

În care n-au mai fost considerați primii doi termeni ai expresiei (4.314). Pentru unele cazuri particulare de acțiune a sarcinii $P(t)$ coeficienții dinamici β sînt indicați în tabela 4.40. În cazul unui impuls puternic la care sarcina scade după fig. 4.91, coeficientul dinamic se găsește cu formula

$$\left. \begin{aligned} \beta_{din} &= \alpha \left(1 - \frac{t}{\tau} \right) + A \cos \omega t + (B + D) \sin \omega t, \\ A &= 0,5 \frac{S}{P} \omega^2 \Delta \tau - \alpha, \quad B = \frac{\alpha}{\omega \tau}, \\ D &= \frac{S}{P} \omega, \quad S = P \Delta \tau. \end{aligned} \right\} \quad (4.317)$$

Maximul lui β_{din} are loc pentru

$$\omega t_{cr} = \arccos \frac{B+D}{R} + \arccos \frac{B}{R},$$

unde

$$R = \sqrt{A^2 + (B+D)^2}.$$

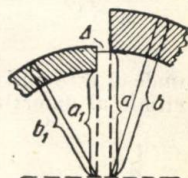


Fig. 4.90.

Pentru cazul oscilațiilor mici de torsiune, formulele (4.313)–(4.316) rămân valabile făcînd următoarele substituiri: masa m prin momentul de inerție masic I_Δ , constanta elastică $c = \frac{P}{v_{st}^{(P)}}$ prin cea de răsucire $c_1 = \frac{M}{\varphi_{st}^{(M)}}$, depla-

¹⁾ Charbonnier. Mémorial de l'artillerie française, t.III.1924.

sarea liniară v prin cea unghiulară φ , forța exterioară $P(t)$ prin cuplul exterior $M(t)$. În cazul prezenței unor forțe de amortizare proporționale cu viteza mișcării, coeficientul dinamic este

$$\beta = \frac{1}{\sqrt{\left(1 - \frac{\theta^2}{\omega^2}\right)^2 + \frac{\lambda^2 \theta^2}{\pi^2 \omega^2}}}, \quad (4.318)$$

T a b e l a 4.40. Coeficienții dinamici β

Ecuția $P(t)$	Formula lui β
Impulsul $P\Delta t$	$\beta_{max} = \omega\Delta t = 2\pi \frac{\Delta t}{T}, \Delta t \ll T$
$P = \text{const}$	$(1 - \cos \omega t)_{max} = 2$
$tP'(0)$	$1 - \frac{\sin \omega t}{\omega t}$
$P \cos \theta t,$ $T_1 \theta = 2\pi$	$\frac{\cos \theta t - \cos \omega t}{1 - \frac{\theta^2}{\omega^2}},$ pentru $\theta = \omega$ $\beta_{max} = \frac{\omega t}{2}$
$P \sin \theta t,$ $T_1 \theta = 2\pi$	$\frac{\sin \theta t - \frac{\theta}{\omega} \sin \omega t}{1 - \frac{\theta^2}{\omega^2}},$ pentru $\theta = \omega$ $\beta_{max} = \frac{\omega t}{2}$

unde θ este pulsația forței perturbatoare; λ este decrementul logaritmic al amortizării, egal cu 0,05–0,6 pentru poduri de cale ferată și construcții din beton armat, cu 0,02–0,30 pentru poduri de autostrăzi și construcții din lemn. Înlocuirea masei distribuite $\int_0^l q dx$ prin o masă concentrată, de greutate P_{red} se poate efectua cu formula:

$$P_{red} = \frac{\int_0^l q v_x^2 dx}{v_a^2}, \quad (4.319)$$

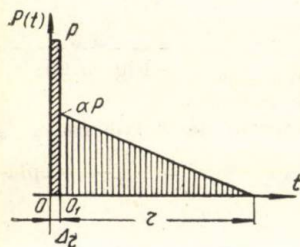


Fig. 4.91.

tuind aproximativ un sistem cu două grade de libertate. Masele concentrate în punctele de împărțire folosind formula (4.176), vor fi:

$$m_1 = 0,283 q_0 l$$

$$m_2 = \frac{0,348 q_0 l}{2} (2 \cdot 1,75 + 0,36 \cdot 1 + 0,36 \cdot 2,67) = 0,84 q_0 l.$$

$$m_3 = 0,572 q_0 l.$$

Schema de calcul este indicată în fig. 4.94, a, unde $\frac{m_2}{m_1} = 2,96$; momentele corespunzătoare sînt:

$$M_2 = 1 \cdot 0,5 l;$$

$$M_3 = 1 \cdot l + 2,96 z_2 \cdot 0,5 l,$$

iar sarcinile fictive (fig. 4.94, b) $q_{f2} = \frac{M_2}{2,5 EI_1}$, $q_{f3} = \frac{M_3}{5,33 EI_1}$.

Trecerea la forțele fictive concentrate după formula (4.176) dă (fig. 4.94, c):

$$P_{f3} = 0,174 l (q_{f3} + 0,36 q_{f2}) = \frac{0,174 l^2}{EI_1} (0,260 + 0,278 z_2)$$

$$P_{f2} = \frac{0,174 l^2}{EI_1} (0,467 + 0,1 z_2).$$

Săgețile sînt:

$$\bar{v}_2 = \frac{0,174 l^3}{EI_1} (0,130 + 0,139 z_2),$$

$$\bar{v}_1 = \frac{0,174 l^3}{EI_1} (0,493 + 0,328 z_2).$$

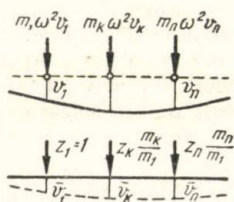


Fig. 4.93.

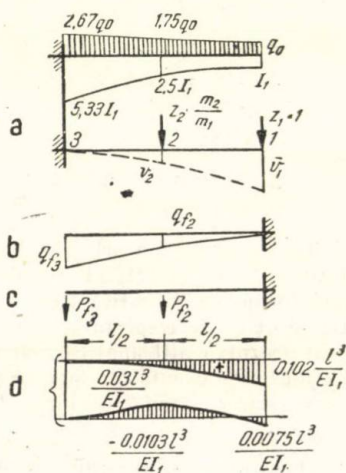


Fig. 4.94.

Utilizînd relația (4.321), găsim $z_2 = \bar{v}_2 : \bar{v}_1$; pentru primele două forme de oscilații rezultă: $z'_2 = 0,29$; $z''_2 = -1,37$; după ordonatele \bar{v}_1 și \bar{v}_2 s-a desenat prima și a doua formă de oscilație (fig. 4.94, d). Pulsațiile calculate cu relația (4.321) sînt:

$$\omega_1 = \frac{5,9}{l^2} \sqrt{\frac{gEI_1}{q_0}}; \quad \omega_2 = \frac{21,7}{l^2} \sqrt{\frac{gEI_1}{q_0}}.$$

O aproximație mai bună s-ar fi obținut prin divizarea grinzii în trei-patru porțiuni, cu respectarea aceleiași succesiuni a operațiilor.

§ 4.48. Solicitări prin șoc

Coefficientul dinamic, la ciocnirea unei greutăți P cu un sistem elastic (a cărui greutate, redusă în locul ciocnirii, este G_{red}) este:

$$\beta_{din} = 1 - \cos \omega t + \frac{v_0}{\omega y_{st}^{(P)}} \sin \omega t. \quad (4.323)$$

Maximul acestui coeficient, pentru $\operatorname{tg} \omega t = -\frac{v_0}{\omega y_{st}^{(P)}}$

$$\beta_{max} = 1 + \sqrt{1 + \frac{2h}{y_{st}^{(P+G_{red})}}}, \quad (4.324)$$

unde h este înălțimea de cădere; dacă nu este dată înălțimea de cădere, ci viteza v' a șocului între greutatea P și sistem, atunci $2h$ se înlocuiește cu $\frac{(v')^2}{g}$. Mărima G_{red} se ia din formula (4.319). Dacă

greutatea P nu cade din afară pe sistem, ci se mișcă împreună cu el, iar mișcarea într-o secțiune oarecare a sistemului se oprește brusc (de exemplu, frinarea cablului unui ascensor la mișcarea lui în jos), atunci

$$\beta_{max} = \sqrt{\frac{(v')^2}{gy_{st}^{(P+G_{red})}}} \quad (4.325)$$

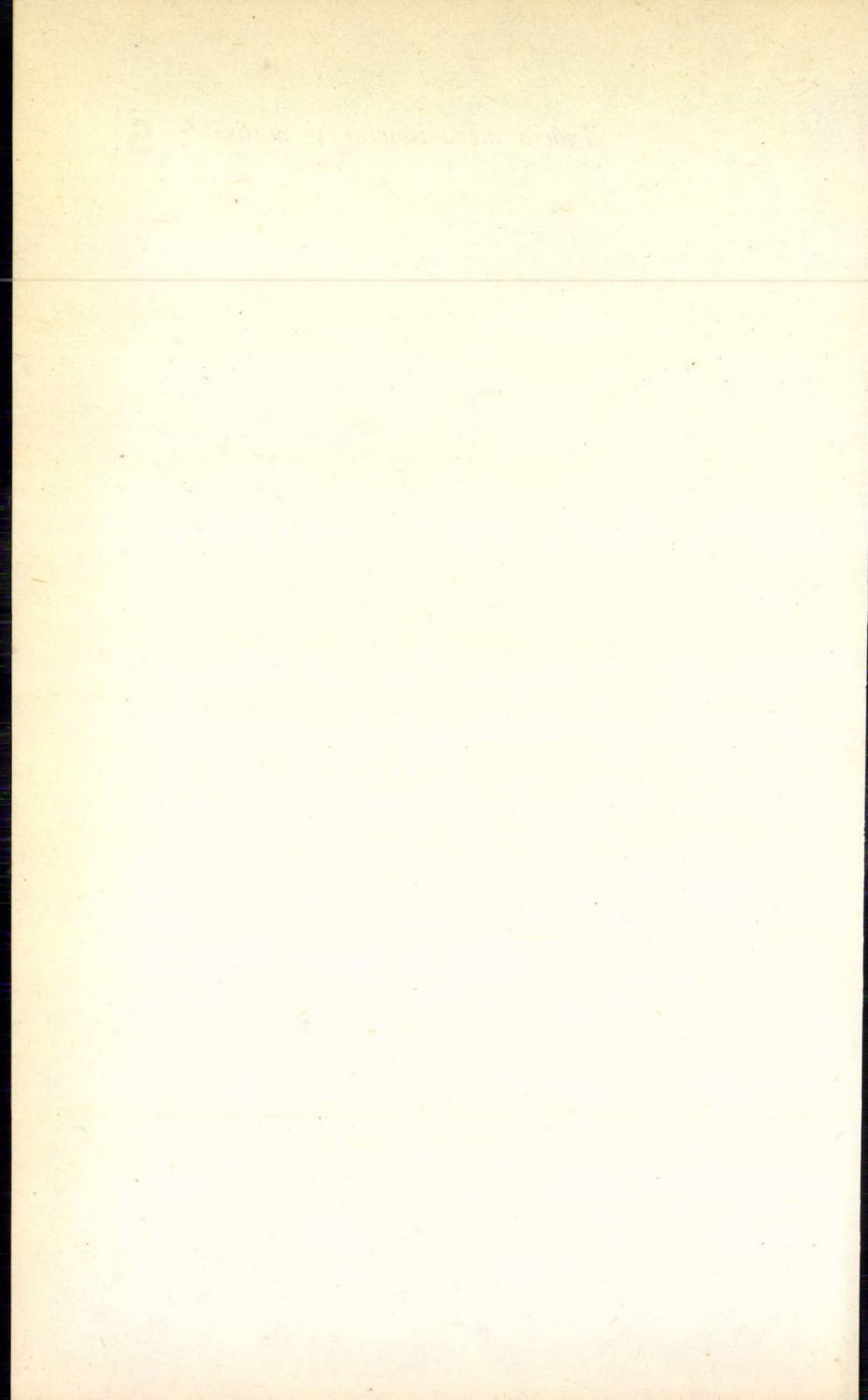
Coeficientul dinamic la răsucirea prin șoc este

$$\beta_{max} = \frac{\varphi'}{\omega \varphi_{st}^{(M + M_{red})}} \quad (4.326)$$

unde ω este pulsația mișcării de rotație, φ unghiul de rotație
și $\varphi' = \frac{d\varphi}{dt}$.

Bibliografie.

1. Vezi capitolul 4.1.
2. Тимошенко С. П., Теория колебаний в инженерном деле, Физматгиз, 1959.



Notatii

- A — distanța între centrele roților [mm].
- A_{ex} — suprafața în exces a diagramei forțelor (a momentelor forțelor) motoare și de rezistență [mm²].
- A_c — distanța dintre centrele frezei și roții în tăiere [mm].
- A_0 — distanța dintre centrele roților tăiate fără deplasarea conturului inițial [mm].
- A_{0c} — distanța dintre centrele frezei și roții tăiate fără deplasarea frezei [mm].
- a_B — accelerația punctului B [m/s²].
- a_B^n — accelerația normală a punctului B [m/s²].
- a_B^t — accelerația tangențială a punctului B [m/s²].
- $a_{BB_i}^c$ — accelerația Coriolis în mișcarea punctului B față de punctul B_i [m/s²].
- $a_{BB_i}^r$ — accelerația relativă a punctului B față de punctul B_i [m/s²].
- C — coeficientul care se ia pe baza tabeli 5.3, la determinarea viscozității absolute [kgf·s·°C³/m²].
- C_{km} — cosinusul unghiului dintre direcțiile k și m .
- c — coeficientul rostului radial în angrenarea dințată; coeficientul unghiular al dreptei, care înlocuiește porțiunea de funcționare a caracteristicii mecanice a electromotorului asincron [kgf·m·s].
- D — diametrul cuzinetului lagărului [mm].
- d — diametrul fusului arborelui [mm].
- d_c — diametrul cilindrului de divizare al melcului [mm].
- E — energia cinetică [kgf·m].
- E_t — viscozitatea după Engler la temperatura de ungere t° .
- e — baza logaritmilor naturali; excentricitatea mecanismului cu camă cu tachet în mișcare de translație și cu o rolă la extremitate [mm].
- \vec{e}_i — versorul vectorului \vec{l}_i .

- \vec{e}_i — derivata întâi a versorului \vec{e}_i în raport cu timpul.
 $\ddot{\vec{e}}_i$ — derivata a doua a versorului \vec{e}_i în raport cu timpul.
 \vec{e}_i — versorul obținut prin rotirea cu 90° a versorului \vec{e}_i în sens pozitiv.
 \vec{e}_i — versorul obținut prin rotirea cu 90° a versorului \vec{e}_i sau cu 180° a versorului \vec{e}_i , în sens pozitiv.
 F — forța de frecare [kgf].
 F_{km} — forța de frecare a elementului k față de elementul m [kgf].
 f — coeficientul de înălțime al capului dintelui.
 h_i — brațul forței P_i [m].
 h_0 — rostul minim dintre fus și cuzinet în condițiile frecării hidrodinamice (μ).
 I_v — momentul de inerție al volantului [kgf·m·s²].
 I_r — momentul de inerție al masei reduse (momentul de inerție redus) [kgf·m·s²].
 I_x — momentul de inerție al masei elementului față de axa Ox [kgf·m·s²].
 I_{xy} — momentul centrifugal de inerție al masei elementului față de axele Ox și Oy [kgf·m·s²].
 $\vec{i}, \vec{j}, \vec{k}$ — versorii axelor Ox, Oy, Oz în sistemul spațial de coordonate.
 i_c — raportul de transmitere de la freză la roata tăiată.
 i_{km} — raportul de transmitere de la elementul k la elementul m .
 i_{km}^H — raportul de transmitere de la roata k la roata m față de roata directoare H a mecanismului planetar.
 k — numărul real de sateliți ai mecanismului planetar; coeficient de siguranță la determinarea momentului unui motor; coeficient de siguranță la cuplaje în transmisiile de fricțiune; coeficient de transmisie a căldurii de la metal la aer [kgf·m/m²·°C]; brațul frecării de rostogolire [cm]; raportul dintre unghiul de rotire al manivelei unui patru-later articulat la cursa de ducere a balansierului și unghiul de rotire al manivelei la cursa de înapoiere a balansierului; numărul de începuturi ale filetelui melcului; numărul de fusuri ale elementului conducător al mecanismului cu cruce de Malta.
 k_0 — numărul teoretic de sateliți ai mecanismului planetar în condiția de asamblare și fără considerarea condiției de vecinătate.
 k_1 — numărul de sateliți ai mecanismului planetar, determinat în condiția de vecinătate.
 L — distanța dintre centrele de rotație ale camei și tachtetului oscilant [mm].
 l — lungimea tachtetului oscilant al mecanismului cu came; lungimea fusului arborelui [mm].

l_{AB}	— dimensiunea naturală a elementului AB [m].
l_i	— dimensiunea naturală a elementului i [m].
$\vec{l}_k \cdot \vec{l}_m$	— produsul scalar al vectorilor \vec{l}_k și \vec{l}_m .
$\vec{l}_k \times \vec{l}_m$	— produsul vectorial al vectorilor \vec{l}_k și \vec{l}_m .
$\dot{\vec{l}}_i$	— derivata întâi, a vectorului \vec{l}_i în raport cu timpul.
$\ddot{\vec{l}}_i$	— derivata a doua a vectorului \vec{l}_i în raport cu timpul.
M	— numărul de grade de mobilitate ale lanțului cinematic.
M_m	— momentul forței motoare [kgf·m].
$M_{m \text{ med}}$	— momentul motor mediu în intervalul de timp dat, sau de unghi de rotație al elementului redus [kgf·m].
M_{ik}	— momentul cuplului de inerție aplicat elementului k [kgf·m].
M_n	— moment motor nominal [kgf·m].
M_r	— momentul forței reduse [kgf·m].
M_{ru}	— momentul forțelor reduse datorit rezistențelor utile [kgf·m].
$M_{r \text{ med}}$	— momentul mediu al forțelor reduse datorit rezistențelor utile pentru intervalul de timp dat sau de unghiul de rotire al elementului de reducere [kgf·m].
M_f	— momentul forțelor reduse de frecare [kgf·m].
M_e	— moment de echilibrare [kgf·m].
M_F	— momentul forței de frecare [kgf·m].
M_k	— momentul forței aplicate elementului k [kgf·m].
M_k^i	— momentul ideal (în absența frecării) aplicat elementului k al mecanismului cu roți dințate [kgf·m].
M_{km}	— momentul forțelor de frecare în cupla de rotație km [kgf·m].
M_0	— momentul convențional determinat la înlocuirea porțiunii de funcționare a caracteristicii mecanice a electromotorului asincron [kgf·m].
M_x, M_y, M_z	— proiecțiile vectorului momentului M pe axele Ox, Oy, Oz ale sistemului de coordonate.
m	— masa elementului [kgf·s ² /m]; modulul unui angrenaj [mm].
m_r	— masa redusă [kgf·s ² /m].
m_{ck}	— masa contragreutății fixate pe un element [kgf·s ² /m].
m_{med}	— modulul mediu al unui angrenaj conic măsurat pe cercul inițial mediu al roții dințate conice [mm].
m_a	— modulul axial de angrenare a roții cu dinți înclinați [mm].
m_i	— masa elementului i [kgf·s ² /m].
m_n	— modul de angrenare în planul normal pe flancul dintelui roții cu dinți înclinați, a melcului și a roții melcate [mm].
m_f	— modul de angrenare în planul frontal al roții cu dinți înclinați [mm].

n	— numărul de rotații ale elementului într-un minut; numărul de laturi mobile ale unui poligon vectorial plan închis.
P_m	— forță motoare [kgf].
P_{iX}	— forța de inerție a unui punct material X [kgf].
P_i^n, P_i^t	— forțele de inerție, normală (centrifugă) și tangențială [kgf].
P_r	— forța redusă [kgf].
P_{rp}	— forța de rezistență utilă (productivă) [kgf].
P_r	— forța de rezistență [kgf].
P_e	— forța de echilibrare [kgf].
P_{km}	— forța de acționare a elementului k asupra elementului m .
$P_{km}^x, P_{km}^y, P_{km}^z$	— proiecțiile vectorului forței \vec{P}_{km} pe axele Ox, Oy, Oz ale sistemului fix de coordonate.
p	— încărcare specifică [kgf/cm ²]; pasul de angrenare măsurat pe cercul de divizare [mm].
P_b	— pasul de angrenare măsurat pe cercul de bază (mm).
$P_p P_a$	— pasul de angrenare măsurat pe cercul aflat în planul axial al roții cu dinți înclinați [mm].
P_n	— pasul de angrenare măsurat pe cercul aflat în planul normal pe flancul dinților roții cu dinți înclinați, a melcului și a roții înclinate [mm].
P_f	— pasul de angrenare măsurat pe cercul aflat în planul frontal al roții cu dinți înclinați [mm].
Q	— efortul circular al melcului, efortul axial al roții melcate [kgf].
q	— numărul de module în cilindrul divizor al melcului.
R_{ef}	— raza cercului exterior al frezei [mm].
R_{eK}	— raza cercului exterior al roții dințate k [mm].
R_0	— valoarea minimă a razei vectoriale a profilului teoretic al camei [mm].
R_{ik}	— raza cercului interior al roții dințate k [mm].
R_i	— valoarea curentă a razei vectoriale a profilului teoretic al camei [mm].
R'_i	— valoarea curentă a razei vectoriale a profilului de funcționare al camei [mm].
r_{dm}	— raza cercului de divizare al frezei [mm].
r_{dk}	— raza cercului de divizare al roții k [mm].
r_{ck}	— raza cercului pe care se fixează masa m_{ck} a contragreutății [mm].
r_{0k}	— raza cercului de bază al roții k [mm].
r_{med}	— raza medie a filetelui elicoidal [mm].
r_k	— raza cercului primitiv al roții k [mm].
r_{km}	— raza fusului cuplei de rotație km [mm].
r_{0k}	— raza cercului de bază al roții dințate conice k pe suprafața sferică [mm].
r'_r	— raza cercului de rostogolire al roții conice k pe suprafața sferică [mm].

S_1	— tensiunea în părțile conducătoare a cablului sau a curelei [kgf].
S_2	— tensiunea în partea condusă a cablului sau a curelei [kgf].
s	— spațiul parcurs de punctul de reducere [m]; diferența dintre diametrele cuzinetului și fusului [μ].
S_d	— grosimea dintelui pe cercul de divizare al roții dințate [mm].
S_0	— grosimea dintelui pe cercul de bază al roții dințate [mm].
S_i	— valoarea curentă a spațiului parcurs de tachmentul mecanismului cu camă [mm].
S_k	— coordonata centrului de greutate al elementului k [mm].
T	— intervalul de timp necesar unei rotații complete a elementului conducător al mecanismului cu cruce de Malta.
t	— temperatura uleiului de ungere [$^{\circ}\text{C}$].
t_m	— intervalul de timp al mișcării crucii mecanismului de Malta [s].
t_r	— intervalul de timp de repaos al crucii mecanismului cu cruce de Malta [s].
t_0	— temperatura mediului ambiant [$^{\circ}\text{C}$].
\vec{v}_r	— viteza punctului de reducere [m/s].
\vec{v}_B	— viteza punctului B [m/s].
\vec{v}_{BB_i}	— viteza relativă a punctului B față de punctul B_i care în momentul considerat coincide cu punctul B [m/s].
W_m	— lucrul mecanic al forței motoare [kgf·m].
W_{ex}	— lucrul mecanic în exces în timpul unui ciclu din mișcarea staționară la elementele reduse [kgf·m].
W_R	— lucrul mecanic al forțelor de rezistență [kgf·m].
X	— numărul de tăieturi în crucea mecanismului de Malta.
$ \vec{X} $	— modulul vectorului \vec{X} .
X_i, Y_i, Z_i	— proiecțiile vectorului \vec{l}_i pe axele Ox, Oy, Oz ale sistemului spațial de coordonate.
$ x $	— modulul mărimii algebrice x .
\vec{x}_m	— vectorul amplitudinii neechilibrării dinamice a elementelor în rotație.
x_m, y_m, z_m	— proiecțiile versorului \vec{e}_m pe axele Ox, Oy, Oz ale sistemului spațial de coordonate.
$\dot{x}_m, \dot{y}_m, \dot{z}_m$	— derivatele întii în raport cu timpul, ale versorului \vec{e}_m pe axele Ox, Oy, Oz ale unui sistem spațial de coordonate.

- $\bar{x}_m, \bar{y}_m, \bar{z}_m$ — derivatele de ordinul al doilea în raport cu timpul, ale proiecțiilor versorului \vec{e}_m pe axele Ox, Oy, Oz ale unui sistem spațial de coordonate.
- $y(x)$ — mărimea variabilă y , care variază în funcție de x .
- z_f — numărul de dinți la freză.
- z_{lim} — numărul minim limită de dinți al roții dințate la care este posibilă angrenarea în evolvantă.
- z_f — numărul fictiv de dinți la roata cu dinți oblici.
- z_k — numărul de dinți al roții dințate k .
- α — unghiul de angrenare în secțiunea axială a șurubului melc sau a roții melcate [rad, grd]; unghiul de angrenare [rad, grd]; unghiul de înfășurare a cilindrului de către cablu sau al șabei de către curea [rad, grd].
- α_i — valoarea curentă a unghiului de înclinare al razei vectoare a profilului teoretic al camei sau a profilului de lucru al camei [rad, grd].
- $\alpha_i, \beta_i, \gamma_i$ — unghiurile de înclinare ale vectorului \vec{l}_i față de axele Ox, Oy, Oz ale sistemului spațial de coordonate [rad, grd].
- α_m — unghiul de angrenare al mașinii [rad, grd].
- α_n — unghiul de angrenare în secțiunea normală a filetului unui melc sau a dintelui unei roți melcate [rad, grd].
- α_r — unghiul dintre vectorul \vec{P}_r al forței reduse și vectorul \vec{v}_r al vitezei punctului de reducere [rad, grd].
- α_0 — unghiul de angrenare al angrenajului inițial [rad, grd].
- β — unghiul de înclinare a dintelui unei roți cu dinți oblici [rad, grd]; unghiul de ridicare a filetului melcului [rad, grd].
- γ — greutatea specifică a lichidului de ungere [g/cm³].
- Δ — gradul total de neregularitate al regulatorului.
- Δx — creșterea mărimii x sau corecția introdusă pentru reducerea părții din stînga a ecuației la zero (unitatea de măsură a lui x).
- δ — diametrul cercului, pe care se deplasează fusul în condițiile frecării hidrodinamice [mm]; gradul de neuniformitate a mișcării elementului de reducere.
- δ_r — gradul de neuniformitate a regulatorului.
- δ_i — abaterea părții din stînga a ecuației de la zero.
- δ_m — jumătatea unghiului de la virful conului primitiv al roții m [rad, grd].
- ε — gradul de insensibilitate al regulatorului.
- ε — gradul de acoperire al angrenării; accelerația unghiulară [s⁻²].
- ε_s — gradul de acoperire al angrenării cu dinți oblici.
- η — coeficientul de viscozitate absolută a lichidului [kgf · s/m², poise]; randamentul mecanismului.

- η_{H1} — randamentul transmiterii puterii de la axul planetar H la roata 1 a mecanismului planetar.
 η_{km} — randamentul mecanismului cu roți dințate la transmiterea puterii de la roata k la roata m .
 μ_{1H} — randamentul transmiterii puterii de la roata 1 la axul planetar H al mecanismului planetar.
 θ — unghiul egal cu involuta unghiului α [rad, grd].
 δ — unghiul de presiune a forței [rad, grd].
 λ — unghiul între două fuse vecine ale elementului conducător al mecanismului cu cruce de Malta [rad, grd].
 μ — coeficientul de frecare de alunecare.
 μ_h — coeficientul de frecare hidrodinamică.
 η_0 — coeficient convențional al frecării de alunecare a lagărului de rostogolire, raportat la suprafața fusului arborelui.
 μ' — coeficient convențional al frecării de alunecare la suprafața penei.
 ξ — coeficientul de deplasare al conturului inițial.
 ρ — raza de curbură a curbei [mm].
 ρ_i — valoarea curentă a razei de curbură a profilului teoretic al camei [mm].
 ρ_k — raza desfășurării conului suplimentar al roții conice k [mm].
 ρ — valoarea curentă a razei de curbură a profilului de lucru al camei [mm].
 σ_k — unghiul de înclinare al vectorului forței \vec{P}_k față de axa Ox a sistemului fix de coordonate [rad, grd].
 φ — unghiul de rotație al elementului de reducere [rad, grd];
 unghiul de frecare de alunecare [rad, grd].
 φ_i — unghiul de înclinare a laturii i a poligonului vectorial plan închis față de axa Ox a sistemului fix de coordonate [rad, grd];
 φ_1 — unghiul de rotație al elementului director al mecanismului cu cruce de Malta într-o perioadă a mișcării crucii [rad, grd].
 φ_2 — unghiul de rotație a crucii mecanismului de Malta în timpul perioadei sale de mișcare [rad, grd].
 φ_{1i} — valoarea curentă a unghiului de rotație a camei [rad, grd].
 φ_{2i} — valoarea curentă a unghiului de rotație a tachtetului oscilant al mecanismului cu camă [rad, grd].
 φ' — unghiul convențional de frecare a suprafeței penei [rad, grd].
 φ'_2 — derivata întâi a unghiului φ_k în raport cu unghiul φ_1 .
 φ'' — derivata a doua a unghiului φ_k în raport cu unghiul φ_1 .
 ψ — coeficientul de pierdere al mecanismului; rostul relativ dintre fus și cuzinet.
 ψ_H — coeficientul de pierdere al mecanismului planetar în mișcarea inversă față de roata conducătoare H .
 χ — deplasarea absolută a conturului inițial [mm].
 ω — viteza unghiulară [s^{-1}].
 ω_n — viteza unghiulară nominală [s^{-1}].
 ω_r — viteza unghiulară a regulatorului [s^{-1}].
 ω_{med} — viteza unghiulară medie [s^{-1}].
 ω_{km} — viteza unghiulară relativă a elementelor k și m [s^{-1}].

5.1

Structura mecanismelor

§ 5.1. Mecanism. Cuple cinematice. Lanț cinematic

Mecanismul este un sistem realizat artificial din elemente materiale legate între ele în scopul realizării unei mișcări determinate. Piesa este partea separată indivizibilă a mecanismului. Elementul este constituit dintr-una sau mai multe piese rigid legate.

Cupla cinematică este o asamblare mobilă de două elemente care se găsesc în contact direct. În cupla inferioară, contactul se realizează pe o suprafață, în cupla superioară de-a lungul unei linii sau într-un punct.

Poziția elementului în spațiu se determină prin șase parametri numiți *parametri de poziție* al elementului și anume: prin cele trei coordonate ale unui punct oarecare al elementului și prin cele trei unghiuri ale lui Euler, sau prin trei coordonate ale unui punct oarecare al elementului, prin două unghiuri de înclinare, față de axele sistemului rectangular de coordonate, ale dreptei legate de element și trecind printr-un punct dat și prin unghiul de rotație al elementului față de acea dreaptă. Un element al cuplei cinematice condiționează, în sistemul altui element, unii dintre parametri indicați. În

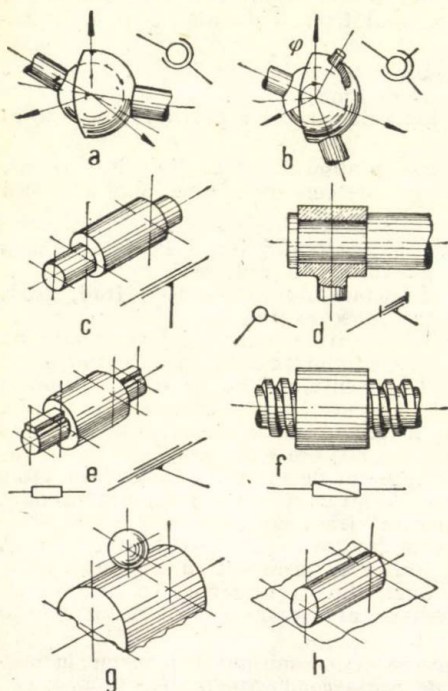


Fig. 5.1.

fig. 5.1 sînt arătate unele cuple cinematice spațiale mai des utilizate a) sferică, b) sferică cu deget, c) cilindrică, d) de rotație, e) de translație, f) elicoidală, g) cu contact într-un punct, h) cu contactul după o dreaptă.

În cupla cinematică, asamblarea (legarea) a două elemente în mișcare asigură invariabilitatea parametrilor de poziție ai unui element față de sistemul de referință al celuilalt (fig. 5.1).

Lanțul cinematic este un sistem de elemente, legate între ele prin cuple cinematice (fig. 5.2...5.4). Batiul este elementul unei cuple cinematice care se consideră ca fix.

Lanțul cinematic apare legat prin condiția contactului direct al elementelor care intră în cuple cinematice. Numărul de condiții de legătură impuse unui lanț cinematic considerat în ansamblul său este egal în general cu suma condițiilor de legătură ale tuturor cuplelor sale cinematice. Formula structurală generală a lanțului cinematic este

$$M = 6n - 5c - 4c_4 - 3c_3 - 2c_2 - c_1; \quad (5.1)$$

unde M este numărul parametrilor de poziție nelegați (independenți) ai lanțului cinematic (numărul gradelor de libertate), n numărul de elemente mobile, iar c_i ($i = 1, 2, 3, 4, 5$) numărul de cuple cinematice cu i condiții de legătură.

În cazuri particulare, anumite combinații de cuple cinematice impun legături suplimentare și ca urmare a acestui fapt este necesară deseori utilizarea unor formule de formă specială [1], dintre care se



Fig. 5.2.

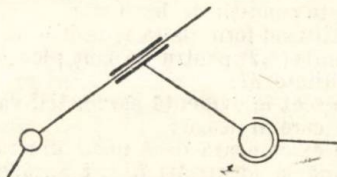


Fig. 5.3.

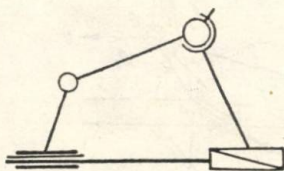


Fig. 5.4.

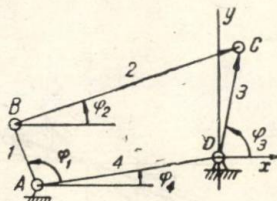


Fig. 5.5.

indică doar formula pentru lanțuri cinematice plane, ale căror elemente se pot mișca numai paralel cu un plan

$$M = 3n - 2c_2 - c_4. \quad (5.2)$$

Pentru determinarea pozițiilor elementelor unui lanț cinematic este indicată folosirea schemei reprezentată printr-un poligon în

vederea determinării expresiilor matematice, care leagă parametrii de poziție ai laturilor poligonului. Asemenea relații de bază sînt *ecuațiile de închidere* ale diferitelor contururi, care compun poligonul. Considerînd laturile poligonului ca vectori, acestora li se dau direcții și, ca atare, pentru o latură care iese dintr-un punct fix este recomandabil să se indice o direcție aleasă astfel, încît originea vectorului să coincidă cu punctul fix. Înconjurînd fiecare contur al schemei într-un sens arbitrar ales, se compun ecuațiile de închidere, în care vectorii, îndreptați în sens invers sensului de înconjurare, obțin semnul minus (-). În afara ecuațiilor de închidere, trebuie compuse relațiile care leagă parametrii de poziție ale diferitelor cuple cinematice. Numărul total de ecuații și relații compuse în acest mod determină numărul de condiții, care leagă schema cinematică.

Dacă se calculează numărul total de parametri variabili de poziție ai laturilor poligonului și se scade din el numărul de condiții de legătură, se obține numărul de grade de mobilitate ale lanțului cinematic dat. După o cercetare de acest fel vor fi pregătite relațiile necesare pentru rezolvarea problemelor de analiză cinematică ale lanțului dat.

Metoda generală de studiu prealabil a lanțului cinematic dat este următoarea:

1) se determină numărul de elemente mobile și de cuple cinematice cu diferite condiții de legătură;

2) utilizînd formula (5.1) pentru un lanț spațial de formă generală sau formula (5.2) pentru un lanț plan, se determină numărul gradelor de mobilitate M ;

3) se scot în evidență parametrii variabili de poziție și se compun relațiile care îi leagă;

4) se examinează dacă unele din relațiile puse în evidență nu se transformă în identități (fig. 5.5...5.9).

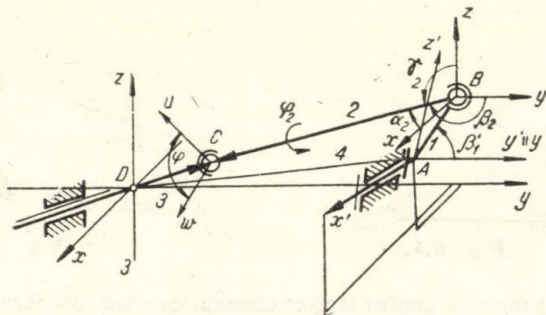


Fig. 5.6.

În fiecare lanț cinematic, utilizat ca mecanism, totdeauna avem $M \geq 1$ (cel mai des $M = 1$). Dacă M parametri variabili se leagă de la început prin dependențe de timp stabilite, se poate obține miș-

Mecanismul plan de orice complexitate este compus din două elemente, unul fix numit *batiu* și unul mobil numit *conducător*, cu legea de mișcare dată, la care se adaugă grupele asurice, compuse fiecare dintr-un număr par de elemente în asamblarea (legarea) cărora intră cuple cinematice cu cinci condiții de legătură fiecare (c_5), iar numărul de cuple trebuie să fie egal cu o dată și jumătate numărul de elemente ($c_5 = \frac{3n}{2}$). Cea mai simplă grupă denumită cu două antrenoare (brațe, biele) este compusă din două elemente și trei cuple cinematice ($c_5 = 3$) (dioda). Prin legarea unei grupe cu două antrenoare (brațe, biele) la un element conducător și la un batiu, se obține un mecanism cu patru elemente, a cărui schemă are un singur contur vectorial închis, legat printr-o singură ecuație vectorială de închidere (fig. 5.11).

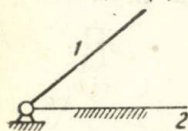


Fig. 5.10.

Metoda suprapunerii, utilizată de Assur pentru formarea mecanismelor plane prin legarea la un mecanism cu patru elemente a unui al doilea grup cu două antrenoare, permite obținerea mecanismului cu șase elemente, a cărui schemă este compusă din două contururi închise (fig. 5.12).

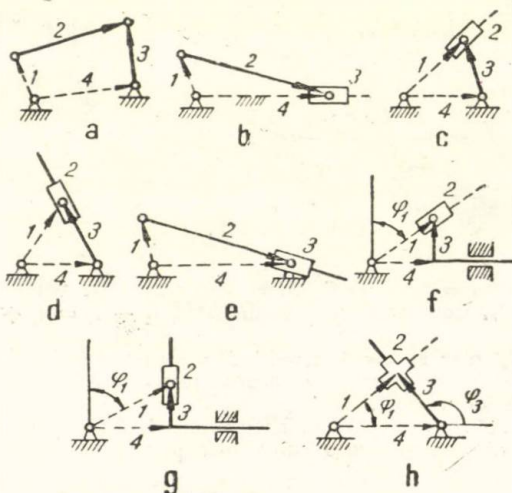


Fig. 5.11.

Prin adăugarea la un mecanism cu șase elemente a încă unui grup cu două antrenoare se obține un mecanism cu opt elemente (fig. 5.13) și așa mai departe.

Rezolvarea problemelor de analiză cinematică a mecanismelor indicate se efectuează cu ajutorul ecuațiilor de închidere în ordine

Ecuția (5.4) se rezolvă prin înmulțirea scalară o dată cu versorul \vec{j} și a doua oară cu versorul \vec{i} .

3. Fig. 5.19. Dându-se valorile lui φ_1, l_1 și l_4 să se determine φ_3 și l_3 . Prin metoda numerică avem ecuația

$$l_1 \vec{e}_1 = l_4 \vec{i} + l_3 \vec{e}_3, \quad (5.5)$$

care după izolarea lui $l_3 \vec{e}_3$ se rezolvă prin ridicarea la pătrat, scalar. Unghiul φ_3 se determină fie prin înmulțirea scalară a lui (5.5) cu versorul \vec{i} , fie cu versorul \vec{j} .

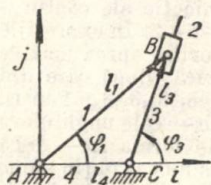


Fig. 5.19.

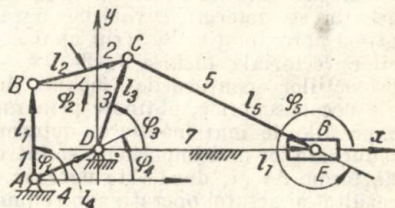


Fig. 5.20.

4. Fig. 5.20. Dându-se valorile lui $\varphi_1, \varphi_4, l_1, l_2, l_3, l_4$ și l_5 să se determine $\varphi_2, \varphi_3, \varphi_5$ și l_7 .

Pentru început trebuie rezolvat patrulaterul $ABCD$, după care se rezolvă triunghiul $DCED$.

Dacă schema mecanismului constă din câteva poligoane care se rezolvă simultan, atunci prin metoda grafică se utilizează fie metoda locurilor geometrice fie metoda șabloanelor. Prin metoda numerică se utilizează metoda corecțiilor liniare.

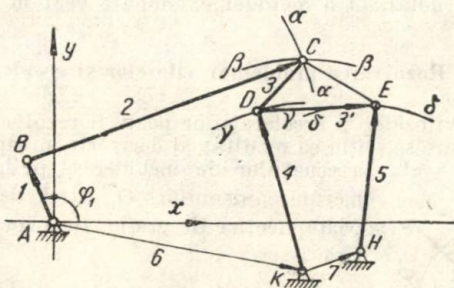


Fig. 5.21.

5. Fig. 5.21. Dându-se unghiul φ_1 , lungimile tuturor laturilor și unghiurile de înclinare ale laturilor 6 și 7 să se determine unghiurile de înclinare ale laturilor BC, CD, KD și HE ($\delta_1, \delta_2, \delta_3$ și δ_4).

Metoda locurilor geometrice. Se desfac elementele în dreptul articulației 2—3. Se desenează traiectoria relativă a punctului C care este un arc de cerc în B și rază BC . Se desenează apoi traiectoria relativă $\beta - \beta$ a punctului C , de pe elementul 3, care aparține patrulaterului $KDEH$.

Intersecția celor două traiectorii determină poziția adevărată a punctului C și cu aceasta se determină poziția tuturor elementelor.

Metoda șabloanelor. Din hirtie groasă se taie un șablon care reprezintă triunghiul DCE . Pozițiile punctelor C, D și E se pot determina dacă se așază șablonul cu virfurile sale în arcele de cerc $\alpha - \alpha, \gamma - \gamma$ și $\delta - \delta$, cu centrele în B respectiv K și H .

Metoda analitică. La început problema se rezolvă grafic; prin aceasta se determină valorile parametrilor căutați ($\delta_1, \delta_2, \delta_3, \delta_4$) în prima aproximație. Se scriu apoi ecuațiile de proiecție ale contururilor vectoriale închise 1—2—3—4—6 și 4—3'—5—7. În expresiile proiecțiilor contururile închise înlocuiesc valorile aproximative ale necunoscutelor, obținute prin metoda geometrică, după care din expresiile de mai înainte se determină mărimile $\delta_1, \delta_2, \delta_3, \delta_4$. Pentru reducerea lor mai importantă se introduc corecțiile — cele unghiulare de forma $\Delta\delta$ și, dacă este necesar, cele liniare de forma Δl — și ca rezultat al acestei operații sub semnele cosinus și sinus se obțin sume de forma $(\delta + \Delta\delta)$, iar în locul lui l se obține $(l + \Delta l)$. Din ecuațiile obținute în modul indicat se determină valorile corecțiilor amintite, reprezentând în prealabil mărimile $\cos(\delta + \Delta\delta)$ și $\sin(\delta + \Delta\delta)$ în modul următor:

$$\cos(\delta + \Delta\delta) \approx \cos \delta - \sin \delta \Delta\delta, \quad \sin(\delta + \Delta\delta) \approx \sin \delta + \cos \delta \Delta\delta. \quad (5.6)$$

După descompunerea cosinusului și sinusului sumelor prin metoda indicată, ecuațiile trigonometrice se transformă în ecuații algebrice liniare, a căror rezolvare nu prezintă dificultăți. Prin aplicarea repetată a metodei indicate, problema pozițiilor elementelor mecanismului poate fi rezolvată cu orice grad de precizie dinainte dat.

Expunerea detaliată a metodei examinate vezi în [6].

§ 5.4. Rezolvarea problemei vitezelor și accelerațiilor

Problema vitezelor și accelerațiilor poate fi rezolvată cu ajutorul unor ecuații care se obțin ca rezultat al derivării în raport cu timpul a ecuațiilor de închidere a poligoanelor schemei mecanismului. O astfel de rezolvare se poate efectua fie grafic, fie prin metoda analitică.

Derivata în raport cu timpul a versorului \vec{e} . Versorul \vec{e} se reprezintă astfel (fig. 5.22):

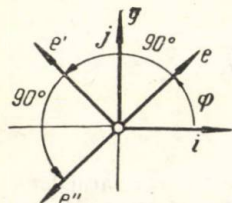


Fig. 5.22.

$$\vec{e} = \vec{i} \cos \varphi + \vec{j} \sin \varphi. \quad (5.7)$$

Derivata întâi în raport cu timpul este

$$\frac{d\vec{e}}{dt} = (-\vec{i} \sin \varphi + \vec{j} \cos \varphi) \omega = \omega \vec{e}', \quad (5.8)$$

unde $\omega = \frac{d\varphi}{dt}$ este viteza unghiulară a versorului \vec{e} , iar \vec{e}' este un

versor obținut prin rotirea versorului \vec{e} cu 90° în sens pozitiv.

Derivata a doua în raport cu timpul este

$$\frac{d^2\vec{e}}{dt^2} = (-\vec{i} \cos \varphi - \vec{j} \sin \varphi) \omega^2 + (-\vec{i} \sin \varphi + \vec{j} \cos \varphi) \varepsilon = \omega^2 \vec{e}'' + \varepsilon \vec{e}', \quad (5.9)$$

unde \vec{e}'' este un versor obținut prin rotirea versorului \vec{e}' în sens pozitiv cu 90° sau printr-o rotație analogă a versorului \vec{e} cu 180° , iar $\varepsilon = \frac{d\omega}{dt}$ este accelerația unghiulară a versorului \vec{e} .

Exemple. 1. Dându-se valorile parametrilor variabili și constanți ai schemei mecanismului (fig. 5.23, a), viteza unghiulară ω_1 și accelerația ε_1 ale elementului 1, să se determine legile de mișcare ale tuturor elementelor conduse.

Ecuatiile de închidere ale poligoanelor $ABCD$ și $DCED$ sint

$$\vec{l}_1 \vec{e}_1 + \vec{l}_2 \vec{e}_2 = \vec{l}_4 \vec{e}_4 + \vec{l}_3 \vec{e}_3, \quad \vec{l}_3 \vec{e}_3 + \vec{l}_5 \vec{e}_5 = \vec{l}_7 \vec{i}. \quad (5.10)$$

Ca rezultat al derivării în raport cu timpul a ultimelor ecuații obținem

$$\vec{l}_1 \omega_1 \vec{e}_1' + \vec{l}_2 \omega_2 \vec{e}_2' = \vec{l}_3 \omega_3 \vec{e}_3', \quad \vec{v}_B + \vec{v}_{CB} = \vec{v}_C, \quad (5.11)$$

$$\vec{l}_3 \omega_3 \vec{e}_3' + \vec{l}_5 \omega_5 \vec{e}_5' = \vec{l}_7 \vec{i}', \quad \vec{v}_C + \vec{v}_{EC} = \vec{v}_E, \quad (5.12)$$

unde ω_2, ω_3 și ω_5 sint vitezele unghiulare ale elementelor 2, 3 și 5, \vec{e}_1', \vec{e}_2' și \vec{e}_3' versorii vitezelor liniare, \vec{v}_B al vitezei absolute al punctului B, \vec{v}_{CB} al vitezei relative a punctului C față de punctul B, \vec{v}_C al vitezei absolute a punctului C, \vec{e}_5' versorul vitezei liniare a punctului E dată de punctul C, \vec{l}_7 viteza variației lungimii vectorului \vec{l}_7 care determină viteza punctului E.

Metoda grafică de rezolvare a problemei propuse prevede construirea planului vitezelor (fig. 5.23, b). Rezolvarea trebuie condusă în următoarea ordine: 1) se determină mărimea $\vec{l}_1 \omega_1$ a vectorului \vec{v}_B ; 2) se dă scara $k_v \left[\frac{\text{m/s}}{\text{mm}} \right]$ a planului vitezelor și se determină lungimea segmentului Pb , după care se execută construcția lui; 3) în conformitate cu direcțiile versorilor \vec{e}_2' și \vec{e}_3' se duc dreptele $bc \perp BC$ și $pc \perp DC$,

la intersecția cărora se obține punctul c , care determină poziția vîrfurilor vectorilor \overrightarrow{bc} și \overrightarrow{pc} ai vitezelor \vec{v}_{CB} și \vec{v}_C ; 4) în conformitate cu liniile de acțiune ale versorilor \vec{e}_5 și \vec{i} se duc dreptele $ce \perp CE$ și $pe \parallel DE$, al căror punct de intersecție determină poziția vîrfurilor vectorilor \overrightarrow{ce} și \overrightarrow{pe} ai vitezelor \vec{v}_{EC} și \vec{v}_E .

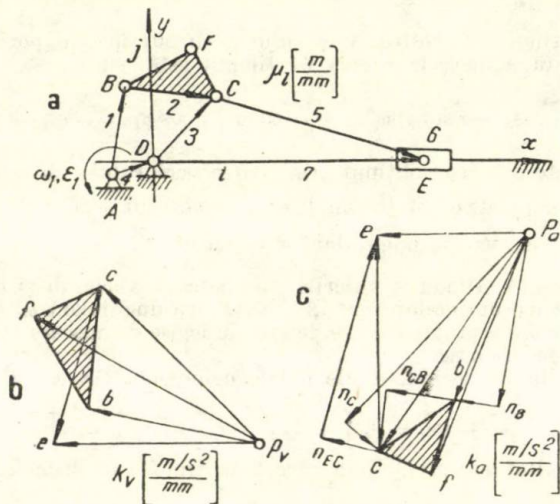


Fig. 5.23.

În cazul metodei analitice, pentru determinarea mărimii ω_2 trebuie înmulțită scalar ecuația (5.11) cu versorul \vec{e}_3 , datorită cărui fapt termenul din partea dreaptă se anulează și se obține o ecuație liniară cu o singură necunoscută ω_2 . Mărimea ω_3 se determină prin înmulțirea scalară a ecuației (5.11) cu versorul \vec{e}_3 .

Pentru rezolvarea problemei accelerațiilor, derivăm în raport cu timpul ecuațiile (5.11) și (5.12).

Avem

$$\left. \begin{aligned} l_1 \omega_1^2 \vec{e}_1 + l_1 \varepsilon_1 \vec{e}_1 + l_2 \omega_2^2 \vec{e}_2 + l_2 \varepsilon_2 \vec{e}_1 &= l_3 \omega_3^2 \vec{e}_3 + l_3 \varepsilon_3 \vec{e}_3, \\ \vec{a}_B^n + \vec{a}_B^t + \vec{a}_{CB}^n + \vec{a}_{CB}^t &= \vec{a}_C^n + \vec{a}_C^t, \end{aligned} \right\} (5.13)$$

$$\left. \begin{aligned} l_3 \omega_3^2 \vec{e}_3 + l_3 \varepsilon_3 \vec{e}_3 + l_5 \omega_5^2 \vec{e}_5 &= \vec{l}_7 \vec{i}, \\ \vec{a}_C^n + \vec{a}_C^t + \vec{a}_{EC}^n + \vec{a}_{EC}^t &= \vec{a}_E, \end{aligned} \right\} (5.14)$$

unde versorii \vec{e}_1, \vec{e}_2 și \vec{e}_3 determină direcțiile vectorilor \vec{a}_B, \vec{a}_C și \vec{a}_E ai accelerațiilor normale a punctului B , a punctului C față de B și a punctului C , \vec{e}_2, \vec{e}_3 și \vec{e}_5 sunt accelerațiile unghiulare ale elementelor 2, 3 și 5, versorii \vec{e}_1, \vec{e}_2 și \vec{e}_3 determină liniile de acțiune ale vectorilor \vec{a}_B, \vec{a}_C și \vec{a}_E ai accelerațiilor tangențiale a punctului B , a punctului C față de punctul B și a punctului C , versorii \vec{e}_5 și \vec{i} stabilesc direcția vectorului accelerației normale \vec{a}_E și respectiv direcția accelerației absolute \vec{a}_E , versorul \vec{e}_5 este direcția vectorului \vec{a}_E al accelerației tangențiale a punctului E față de punctul C .

Scara $k_a \left[\frac{\text{m/s}^2}{\text{mm}} \right]$ a planului accelerațiilor (fig. 5.23,c) se calculează din mărimea $l_1 \omega_1^2$ și din lungimea aleasă a segmentului $P_0 n_B$. După calculul mărimilor accelerațiilor normale se execută construirea planului accelerațiilor conform ecuațiilor (5.13) și (5.14).

Prin metoda analitică, folosind aceleași ecuații, se pot determina mărimile $\epsilon_2, \epsilon_3, \epsilon_5$ și \vec{l}_7 . Pentru determinarea lui ϵ_2 trebuie înmulțită scalar ecuația (5.13) cu versorul \vec{e}_2 ; iar pentru determinarea lui ϵ_3 cu versorul \vec{e}_3 ; pentru determinarea lui ϵ_5 și \vec{l}_7 trebuie efectuată succesiv înmulțirea scalară a ecuației (5.14) cu versorii \vec{j} respectiv \vec{e}_5 .

Proprietatea de asemănare directă a planelor vitezelor și accelerațiilor cu planul figurii în mișcare directă a elementului. Poligoanele formate de vectorii vitezelor și accelerațiilor relative ale unor puncte din planul elementului sînt direct asemenea figurii în mișcare a elementului respectiv. Prin asemănare directă se înțelege succesiunea analogă a virfurilor la înconjurare în același sens a perimetrelor lor. Proprietatea de asemănare se utilizează la determinarea grafică a vitezei și accelerației oricărui punct din planul elementului respectiv folosind planele de viteze și accelerații. În fig. 5.23 este indicat cum se determină viteza \vec{v}_F și accelerația \vec{a}_F ale punctului F care aparține elementului 2. Aici triunghiurile BFC și bfc sînt direct asemenea, parcurgerea punctelor BFC respectiv bfc se face în același sens cu ambele plane (sensul acelor de ceasornic).

2. Dîndu-se parametrii constanți și variabili ai schemei mecanismului (fig. 5.24,a), viteza unghiulară ω_1 și accelerația unghiulară ϵ_1 ale elementului 1, să se determine viteza unghiulară ω_3 și accelerația unghiulară ϵ_3 ale elementului 3.

Ecuatia de închidere este

$$l_1 \vec{e}_1 = l_4 \vec{j} + l_3 \vec{e}_3. \quad (5.15)$$

Ecuatia vitezelor este

$$l_1 \omega_1 \vec{e}_1 = l_3 \omega_3 \vec{e}_3, \quad \vec{v}_B = \vec{v}_{BB_3} + \vec{v}_{B_3}, \quad \} \quad (5.16)$$

unde $\vec{v}_{BB_3} = \dot{l}_3 \vec{e}_3$ este viteza relativă a punctului B , aparținând gîsierei 2, față de punctul B_3 , din planul elementului care în momentul considerat coincide cu 3 punctul B , iar $\vec{v}_{B_3} = l_3 \omega_3 \vec{e}_3'$ este viteza absolută a punctului B .

Direcțiile vectorilor vitezelor se stabilesc prin direcțiile versorilor, care intră în ecuația (5.16). Planul vitezelor mecanismului examinat este reprezentat în fig. 5.24. b.

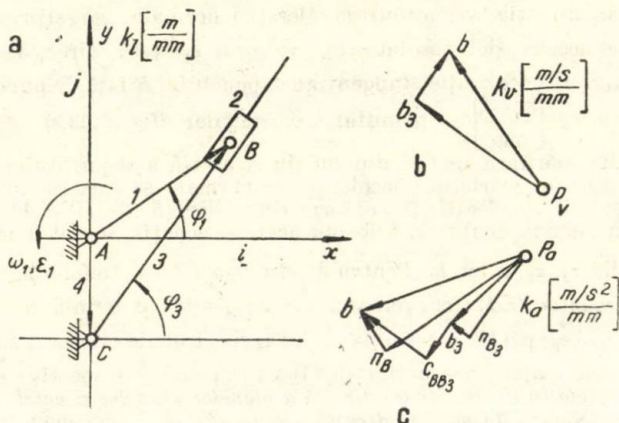


Fig. 5.24.

În cazul metodei analitice, (5.16) trebuie înmulțită scalar la început cu versorul \vec{e}_3' , prin aceasta determinîndu-se viteza unghiulară și pe urmă cu versorul \vec{e}_3 , ceea ce dă posibilitatea determinării vitezei \vec{v}_{BB_3} .

Ecuațiile accelerațiilor sînt

$$\left. \begin{aligned} l\omega_1^{2''} \vec{e}_1 + l_1 \varepsilon_1' \vec{e}_1 &= \ddot{l}_3 \vec{e}_3 + 2\dot{l}_3 \omega_3 \vec{e}_3' + l_3 \omega_3^{2''} \vec{e}_3 + l_3 \varepsilon_3' \vec{e}_3 \\ \vec{a}_{AB}^n + \vec{a}_{AB}^t &= \vec{a}_{BB_3}^r + \vec{a}_{BB_3}^c + \vec{a}_{B_3}^n + \vec{a}_{B_3}^t \end{aligned} \right\} \quad (5.17)$$

unde $\vec{a}_{BB_3}^r = \ddot{l}_3 \vec{e}_3$ este accelerația relativă a punctului B față de punctul B_3 , iar $\vec{a}_{BB_3}^c = 2\dot{l}_3 \omega_3 \vec{e}_3'$ este accelerația Coriolis a punctului B , al cărei vector este situat perpendicular pe CB și este îndreptat conform semnelor lui \dot{l}_3 și ω_3 . În cazul dat direcția vectorului $\vec{a}_{BB_3}^c$ se stabilește prin rotația pozitivă a versorului \vec{e}_3' cu 90° , deoarece \dot{l}_3 și ω_3 sînt pozitive. Ghidîndu-ne după planul vitezelor, direcția vectorului accelerației Coriolis poate fi stabilită prin rotirea cu 90° a vecto-

rului vitezei relative a glisierii față de culisă (fig. 5.24, *b* vectorul $\vec{b}_3\vec{b}$) în sensul de rotație ω_3 a culisei. Direcția vectorului lui $\vec{a}_{B_3}^n$ și linia de acțiune a vectorului $\vec{a}_{B_3}^l$ sînt determinate de versorii \vec{e}_3 și \vec{e}_3' .

După calculul mărimilor $\vec{a}_{BB_3}^c$ și $\vec{a}_{B_3}^n$ se poate construi planul accelerațiilor (fig. 5.24, *c*). Construcția trebuie efectuată astfel ca vîrfurile vectorului $\vec{a}_{BB_3}^c$ să coincidă cu vîrfurile vectorului \vec{a}_B , iar vectorul $\vec{a}_{B_3}^n$ să pornească din P_a (polul accelerațiilor).

Rezolvarea scalară a ecuației (5.17) se poate efectua prin înmulțirea scalară a acesteia consecutiv cu versorii \vec{e}_3 și \vec{e}_3' , permițînd astfel determinarea mărimilor necunoscute ε_3 și $\dot{\varepsilon}_3$.

3. Dîndu-se parametrii constanți și variabili ai schemei mecanismului (fig. 5.25), și viteza unghiulară constantă ω_1 a elementului 1, să se determine viteza \vec{v}_E și accelerația \vec{a}_E ale punctului E .

În cazul examinat poligoanele schemei pot fi rezolvate numai simultan.

Ecuațiile de închidere ale poligoanelor $ABCD$ și $DCEFAD$ sînt

$$l_1 \vec{e}_1 - l_{CB} \vec{e}_3 - l_4 \vec{e}_4 - l_5 \vec{e}_5 = 0, \quad (5.18)$$

$$l_4 \vec{e}_4 + l_{CE} \vec{e}_3 - l_7 \vec{j} - l_6 \vec{i} + l_5 \vec{e}_5 = 0. \quad (5.19)$$

Ecuațiile vitezelor sînt

$$\left. \begin{aligned} l_1 \omega_1 \vec{e}_1 - \dot{l}_{CB} \vec{e}_3 - l_{CB} \omega_3 \vec{e}_3' - l_4 \omega_4 \vec{e}_4' &= 0, \\ \vec{v}_B - \vec{v}_{BB_3} - \vec{v}_{B_3C} - \vec{v}_C &= 0, \end{aligned} \right\} \quad (5.20)$$

$$\left. \begin{aligned} l_4 \omega_4 \vec{e}_4' + l_{CE} \omega_3 \vec{e}_3' - \dot{l}_6 \vec{i} &= 0, \\ \vec{v}_C + \vec{v}_{EC} - \vec{v}_E &= 0. \end{aligned} \right\} \quad (5.21)$$

În ecuațiile de mai înainte avem următoarele necunoscute: \dot{l}_{CB} , ω_3 , ω_4 și \dot{l}_6 , în fiecare din aceste ecuații fiind cîte trei necunoscute, de aceea rezolvarea directă, prin metoda grafică, a problemei examinate nu este posibilă.

Pentru rezolvare folosim metoda punctelor singulare ale lui Assur. În ecuația (5.18) înlocuim vectorul $l_{CB} \vec{e}_3$ prin doi vectori componenți $l_{BS} \vec{e}_3$ și $l_{CS} \vec{e}_4$ (fig. 5.25). Avem

$$l_{CB} \vec{e}_3 = l_{BS} \vec{e}_3 + l_{CS} \vec{e}_4. \quad (5.22)$$

Considerînd că punctul S aparține elementului 3, derivăm în raport cu timpul ultima egalitate. Avem

$$\dot{l}_{CB} \vec{e}_3 + l_{CB} \omega_3 \vec{e}_3' = l_{BS} \omega_3 \vec{e}_3' + l_{CS} \omega_3 \vec{e}_4' = -l_{BS} \omega_3 \vec{e}_3 + l_{GS} \omega_3 \vec{e}_4. \quad (5.23)$$

Acum ecuația (5.20) poate fi înlocuită cu următoarea:

$$\left. \begin{aligned} l_1 \omega_1 \vec{e}_1' + l_{BS} \omega_3 \vec{e}_3' - (l_4 \omega_4 + l_{GS} \omega_3) \vec{e}_4' &= 0, \\ \vec{v}_B + \vec{v}_{SB} &= \vec{v}_C + \vec{v}_{SC} = \vec{v}_S, \end{aligned} \right\} \quad (5.24)$$

adică astfel se poate determina viteza \vec{v}_S a punctului S , care aparține elementului 3.

După aceasta se determină viteza \vec{v}_E a punctului E pe baza ecuației

$$\vec{v}_E = \vec{v}_S + \vec{v}_{ES}. \quad (5.25)$$

Mai departe se pot determina mărimile vitezelor celorlalte puncte ale mecanismului studiat.

Pentru determinarea accelerațiilor derivăm în raport cu timpul ecuațiile (5.20) și (5.21). Avem

$$\left. \begin{aligned} l_1 \omega_1^2 \vec{e}_1'' - \ddot{l}_{CB} \vec{e}_3 - 2\dot{l}_{CB} \omega_3 \vec{e}_3' - l_{CB} \omega_3^2 \vec{e}_3'' - l_{CB} \varepsilon_3 \vec{e}_3' - l_4 \omega_4^2 \vec{e}_4'' - l_4 \varepsilon_4 \vec{e}_4' &= 0, \\ \vec{a}_B^n - \vec{a}_{BB_3}^r - \vec{a}_{BB_3}^c - \vec{a}_{B_3C}^n - \vec{a}_{B_3C}^t - \vec{a}_G^n - \vec{a}_C^t &= 0, \end{aligned} \right\} \quad (5.26)$$

$$\left. \begin{aligned} l_4 \omega_4^2 \vec{e}_4'' + l_4 \varepsilon_4 \vec{e}_4' + l_{CE} \omega_3^2 \vec{e}_3'' + l_{CE} \varepsilon_3 \vec{e}_3' - \ddot{l}_6 \vec{t} &= 0, \\ \vec{a}_G^n + \vec{a}_C^t + \vec{a}_{EG}^n + \vec{a}_{EG}^t - \vec{a}_E &= 0. \end{aligned} \right\} \quad (5.27)$$

Utilizînd metoda punctelor singulare, derivăm în raport cu timpul ecuația (5.23). Avem

$$\begin{aligned} \ddot{l}_{CB} \vec{e}_3 + 2\dot{l}_{CB} \omega_3 \vec{e}_3' + l_{CB} \omega_3^2 \vec{e}_3'' + l_{CB} \varepsilon_3 \vec{e}_3' &= \\ = -l_{BS} \omega_3^2 \vec{e}_3' - l_{BS} \varepsilon_3 \vec{e}_3 + l_{CS} \omega_3^2 \vec{e}_4' + l_{CS} \varepsilon_3 \vec{e}_4'. \end{aligned} \quad (5.28)$$

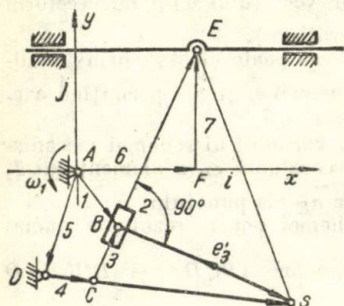


Fig. 5.25.

Acum ecuația (5.26) poate fi scrisă astfel:

$$\left. \begin{aligned} l_1 \omega_1^2 \vec{e}_1'' + l_{BS} \omega_3^2 \vec{e}_3'' + l_{BS} \varepsilon_3 \vec{e}_3 - (l_4 \omega_4^2 - l_{CS} \omega_3^2) \vec{e}_4'' - \\ - (l_4 \varepsilon_4 - l_{CS} \varepsilon_3) \vec{e}_4' = 0 \\ \vec{a}_B + \vec{a}_{SB}^n + \vec{a}_{SB}^t = (\overline{a_G^n + a_{SG}^n}) + (\overline{a_G^t + a_{SG}^t}). \end{aligned} \right\} \quad (5.29)$$

Ca și mai înainte, ultima ecuație poate fi folosită pentru determinarea accelerației punctului S și apoi rezolvarea în continuare a problemei se face la fel ca la cea precedentă.

Rezolvarea aceleiași probleme prin metoda analitică se poate realiza prin înmulțirea scalară a ecuațiilor (5.20), (5.26) și (5.21), (5.27) respectiv cu versorii \vec{e}_3 și \vec{j} , după care se obțin cîte două ecuații algebrice liniare cu necunoscutele ω_3 și ω_4 și respectiv cu ε_3 și ε_4 .

5.3

Studiul cinematic al mecanismelor cu roți cu fricțiune și dințate

§ 5.5. Mecanisme obișnuite cu roți cu fricțiune și dințate [1]

Legea fundamentală a angrenării. Normala nn dusă prin punctul de tangență a două elemente în contact împarte linia centrelor în părți invers proporționale cu vitezele lor unghiulare. Punctul P , care împarte linia centrelor în părți invers proporționale cu vitezele unghiulare ale elementelor, se numește *centru instantaneu de rotație corespunzător mișcării relative a elementelor*. Locurile geometrice α, α_1 și α_2, α_2 ale centrelor instantanee de rotație corespunzătoare mișcării relative a elementelor, care sînt centroidele mișcării relative, se numesc *curbe primitive* (fig. 5.26).

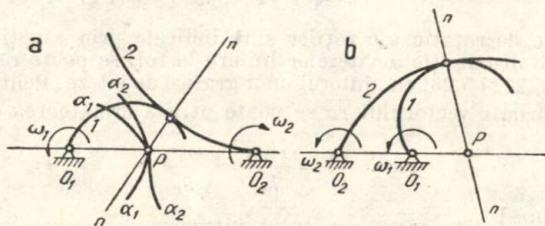


Fig. 5.26.

Raportul i_{km} al vitezelor unghiulare ω_k și ω_m ale elementelor k și m se numește *raport de transmitere*. Avem

$$\vec{i}_{km} = \frac{\omega_k}{\omega_m} \text{ sau } \vec{i}_{mk} = \frac{\omega_m}{\omega_k}. \quad (5.30)$$

Consecință a legii fundamentale a angrenării. Dacă normalele duse prin punctele consecutive de contact a două elemente trec prin același punct al liniei centrelor, atunci raportul de transmitere rămâne constant. De această proprietate se bucură mecanismele dințate, compuse din roți circulare. Curbele primitive în acest caz sînt cercuri care se numesc de asemenea *primitive* (fig. 5.27).

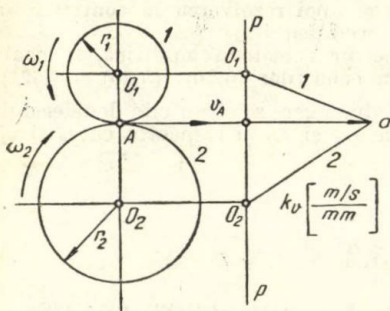


Fig. 5.27.

Mecanismele care satisfac consecința de mai înainte se utilizează sau sub forma unor discuri rotunde în contact (transmisii prin frecare), sau sub forma de roți dințate (angrenaje). Mecanismul obișnuit de fricțiune sau dințat, *într-o singură treaptă*, se numește *mechanism cu roți*

în contact, cu două axe fixe (fig. 5.27...5.29).

Rapoartele de transmitere ale mecanismelor dințate și cu fricțiune. Notății convenționale: r_k este raza cercului primitiv al roții k , iar z_k este numărul de dinți al roții k .

Fig. 5.27. $i_{12} = \frac{\omega_1}{\omega_2} = -\frac{r_2}{r_1} = -\frac{z_2}{z_1}, \quad v_A = p_a \cdot k_v.$

Fig. 5.28. $i_{12} = \frac{\omega_1}{\omega_2} = \frac{r_2}{r_1} = \frac{z_2}{z_1}.$

Fig. 5.29. $i_{12} = \frac{\omega_1}{\omega_2} = \frac{r_2}{r_1} = \frac{z_2}{z_1} = \frac{\sin \delta_2}{\sin \delta_1}.$

Sensurile de rotație ale roților sînt indicate prin săgeți.

Legea de distribuție a vitezelor liniare la roți se poate reprezenta grafic (fig. 5.27 și 5.28) cu ajutorul unor grafice de viteze. Pentru determinarea mărimii vectorului $\overline{p_a}$ se poate utiliza următoarea egalitate

$$p_a = \frac{v_A}{k_v} = \frac{\omega_1 r_1}{k_v} = \frac{\omega_2 r_2}{k_v}, \quad (5.31)$$

unde $k_v \left[\frac{\text{m/s}}{\text{mm}} \right]$ este scara graficului vitezelor.

Mecanisme cu roți dințate obișnuite cu mai multe trepte. Se numește *mecanism obișnuit cu mai multe trepte* un mecanism care posedă mai multe axe fixe de rotație. Se numește *treaptă a mecanismului* o parte a lui, dispusă între două axe fixe cât mai apropiate. Raportul de transmitere al unui mecanism cu mai multe trepte este egal cu produsul

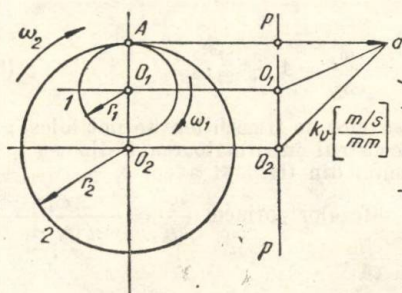


Fig. 5.28.

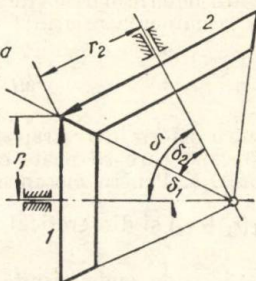


Fig. 5.29.

rapoartelor de transmitere ale treptelor sale. În fig. 5.30 este indicată schema unei transmisii dințate cu două trepte. Tot acolo sînt reprezentate graficele vitezelor liniare ale roților. Mecanismul din fig. 5.30 la care axele geometrice ale roților 1 și 3 sînt confundate, se numește *monoaxial sau coaxial*. Mecanismul cu roți dințate a cărui roată condusă se rotește mai încet decît cea conducătoare, se numește *reductor*. Pentru mecanismul din fig. 5.30 avem

$$i_{13} = i_{12} \cdot i_{23} = - \frac{r_2}{r_1} \cdot \frac{r_3}{r_{2'}} = - \frac{z_2}{z_1} \cdot \frac{z_3}{z_{2'}}$$

§ 5.6. Mecanisme diferențiale și planetare

Mecanismul cu roți cu fricțiune sau dințate, care posedă axe și role cu axe în mișcare de rotație, se numește *diferențial*. Dacă una din roțile centrale ale acestui mecanism este fixă, atunci el se numește *planetar* (fig. 5.31). Raportul de transmitere al mecanismului planetar este

$$i_{1H} = 1 - i_{13}^H, \quad (5.32)$$

unde i_{1H} este raportul de transmitere de la elementul 1 la axul brațului portsatelit H , iar i_{13}^H este raportul de transmitere de la roata 1 la roata 3 cînd axul brațului portsatelit H este considerat fix.

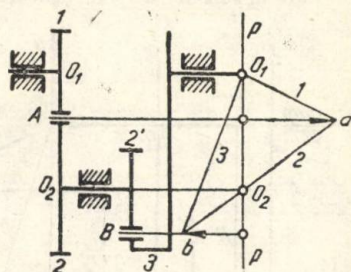


Fig. 5.30.

Pentru mecanismul din fig. 5.31 avem

$$i_{1H} = 1 - i_{12}^H \cdot i_{23}^H = 1 + \frac{z_2 z_3}{z_1 z_2'}.$$

Pentru determinarea vitezei unghiulare ω_2 a satelitului 2 se poate utiliza următoarea relație:

$$i_{2H} = \frac{\omega_2}{\omega_H} = 1 - i_{23}^H. \quad (5.33)$$

Pentru determinarea rapoartelor de transmitere se pot folosi graficul vitezelor care se poate construi în următoarea ordine: pa, O_1a, O_2a, pb, O_1b . Pentru mecanismul din fig. 5.31 avem $v_1 = \omega_1 r_1$, $v_H = \omega_H (r_1 + r_2)$ și din graficul vitezelor obținem $\frac{v_1}{v_H} = \frac{\omega_1 r_1}{\omega_H (r_1 + r_2)} = \frac{r_2 + r_2'}{r_2'}$, de unde rezultă că

$$i_{1H} = \frac{\omega_1}{\omega_H} = \frac{(r_1 + r_2)(r_2 + r_2')}{r_1 r_2'}.$$

În mod corespunzător pentru i_{2H} avem $\frac{v_2}{v_H} = \frac{\omega_2 (r_2 + r_2')}{\omega_H (r_1 + r_2)} = \frac{r_2 + r_2'}{r_2'}$.

Graficele vitezelor arată că vitezele unghiulare ω_2 și ω_H sînt îndreptate în sensuri diferite și de aceea semnul raportului de transmitere trebuie să fie negativ.

$$\text{Avem } i_{2H} = - \frac{r_1 + r_2}{r_2'}.$$

Pentru precizarea mișcării mecanismului diferențial, în care toate elementele au posibilitatea de a se roti, trebuie să fie date vitezele unghiulare a două din trei elemente.

Raportul între ω_1, ω_3 și ω_H este

$$i_{13}^H = \frac{\omega_1 - \omega_H}{\omega_3 - \omega_H}. \quad (5.34)$$

Mecanismele planetare și cel diferențial examinate sînt cu o singură

treaptă, deoarece au numai cîte două axe fixe. Pentru mărirea raportului de transmitere, la un mecanism cu o singură treaptă se pot lega una sau cîteva trepte ale mecanismului obișnuit sau planetar.

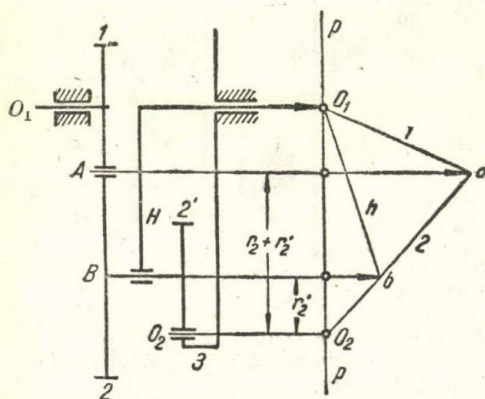


Fig. 5.31.

Mecanism diferențial închis. Un astfel de mecanism la care din trei elemente mobile două sînt legate printr-o legătură suplimentară care stabilește între ele un anumit raport de transmisie.

Să examinăm ca exemplu un mecanism de trolu, a cărui schemă este reprezentată în fig. 5.32. Se dă $z_1 = 24$, $z_2 = 52$, $z_{2'} = 21$,

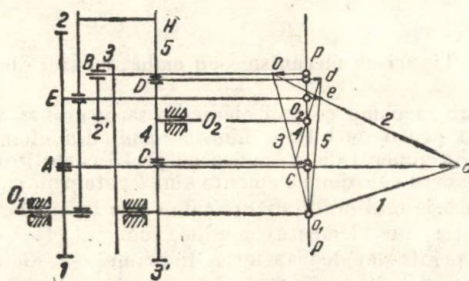


Fig. 5.32.

$z_3 = 78$, $z_{3'} = 18$, $z_4 = 30$, $z_5 = 78$. Se cere determinarea raportului de transmitere i_{15} .

Pentru rezolvare se scriu următoarele ecuații:

$$i_{13}^H = \frac{\omega_1 - \omega_H}{\omega_3 - \omega_H}, \quad i_{35} = i_{34} i_{45} = -\frac{z_5}{z_{3'}}.$$

Împărțim numărătorul și numitorul primei din egalitățile arătate cu ω_5 . Avem

$$i_{13}^H = \frac{\frac{\omega_1}{\omega_5} - 1}{\frac{\omega_3}{\omega_5} - 1} = \frac{i_{15} - 1}{i_{35} - 1},$$

de unde $i_{15} = i_{13}^H (i_{35} - 1) + 1$, sau

$$i_{15} = i_{12}^H i_{23}^H (i_{34} i_{45} - 1) + 1 = -\frac{z_2 z_3}{z_1 z_{2'}} \left(-\frac{z_4 z_5}{z_3 z_4} - 1 \right) + 1.$$

După înlocuirea cu valorile numerice obținem

$$i_{15} = -\frac{52 \cdot 78}{24 \cdot 21} \left(-\frac{78}{18} - 1 \right) + 1 = 43,8.$$

5.4

Studiul cinematic al mecanismelor plane cu camă și al mecanismelor de Malta [1, 7, 10, 12]

§ 5.7. Tipuri de mecanisme cu camă, cu trei elemente

Mecanismul cu camă cu trei elemente se compune din elementul conducător cu profil curbiliniu numit *camă*, din elementul condus numit *tachet* (în general de asemenea cu profil curbiliniu) și dintr-un element fix de care cele două elemente sînt legate prin cuple inferioare (fig. 5.33). În cele mai multe cazuri cama este legată la bază printr-o cuplă de rotație, iar elementul condus, tachetul, fie printr-o cuplă de rotație, fie printr-una de translație. În primul caz, elementul condus se numește *tachet oscilant*, în al doilea — *tachet*.

În mecanismele cu role se deosebește *profilul practic* sau propriu-zis al camei, pe care se rostogolește rola, și cel *teoretic* (fig. 5.33, a), echidistant față de profilul practic și trecînd prin centrul de rotație al rolei. Profilul practic se poate construi după cel teoretic ca înfășurătoare a diferitelor poziții ale rolei.

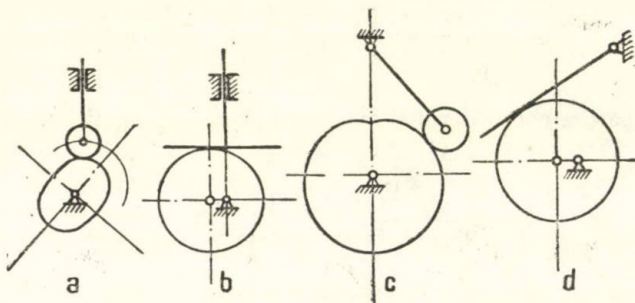


Fig. 5.33.

Raza vectoare a profilului camei se dă de obicei într-o tabelă de valori a mărimii ei și a valorii unghiului de înclinare față de o direcție determinată, rigid legată de camă.

Pentru studiul cinematic al unui mecanism cu camă este necesară cunoașterea poziției și mărimii razei de curbură pentru fiecare punct al profilului camei. Grafic raza de curbură se poate determina prin construirea unui cerc ce trece prin trei puncte date. Profilul camei se

împarte în porțiuni mici, pe fiecare din ele se înseamnă trei puncte prin care se duc cercuri.

Pentru rezolvarea numerică a aceleiași probleme se poate folosi metoda următoare: se dă profilul camei din tabela de valori a razei vectoare ρ în funcție de unghiul de înclinare α al razei vectoare față de o direcție dată aleasă anterior și rigid legată de camă. Alegând trei puncte i, k și m , situate aproape unul de altul, se determină poziția centrului O_k al cercului care trece prin ele (fig. 5.34). Notind coordonatele punctelor prin x și y afectați de indicii respectivi, avem următorul sistem de ecuații:

$$\left. \begin{aligned} (x_i - x_{Ok})^2 + (y_i - y_{Ok})^2 &= r_k^2, \\ (x_k - x_{Ok})^2 + (y_k - y_{Ok})^2 &= r_k^2, \\ (x_m - x_{Ok})^2 + (y_m - y_{Ok})^2 &= r_k^2. \end{aligned} \right\} \quad (5.35)$$

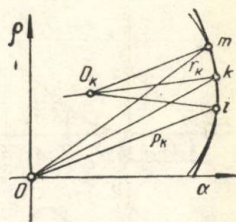


Fig. 5.34.

Analog se determină poziția centrelor de curbura și a celorlalte puncte ale profilului camei.

§ 5.8. Studiul cinematic al mecanismelor cu came

Metoda derivării grafice. Se construiește mai întâi diagrama deplasării tachelului (elementul condus) în funcție de unghiul de rotație al camei sau de timp. Se derivează apoi în raport cu timpul mărimile care reprezentate grafic au dus la diagrama de mai înainte; mărimile derivate ne dau diagrama de variație a vitezei elementului condus (tachelul) în funcție de timp; a doua derivare permite obținerea diagramei de variație a accelerației în funcție de timp.

Exemplu. Se cere construirea diagramelor $s = s(t)$, $v = v(t)$ și $a = a(t)$ pentru elementul 2 al mecanismului cu camă (fig. 5.35), în cazul când cama se rotește cu o viteză unghiulară constantă ω_1 .

Deplasările elementului 2 se pot determina prin metoda inversării mișcării, care constă în faptul că întregului sistem examinat i se imprimă o mișcare cu viteza unghiulară $-\omega_1$ și din această cauză cama rămâne imobilă, iar tachelul 2, prin mișcarea suplimentară, se rotește și ocupă față de camă aceleași poziții relative, care se obțin ca rezultat

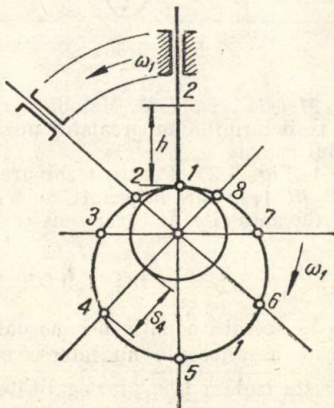


Fig. 5.35.

al mișcării reale (fig. 5.35). Desenul executat în fig. 5.35 permite construirea la scara k_s [m/mm] a diagramei $s = s(t)$ (fig. 5.36, a) și cu ajutorul ei se poate construi diagrama $v = v(t)$. În acest scop este utilă folosirea metodei secantelor. Pentru a determina derivata întâia într-un punct oarecare A (fig. 5.36, a), trebuie luate de o parte și alta

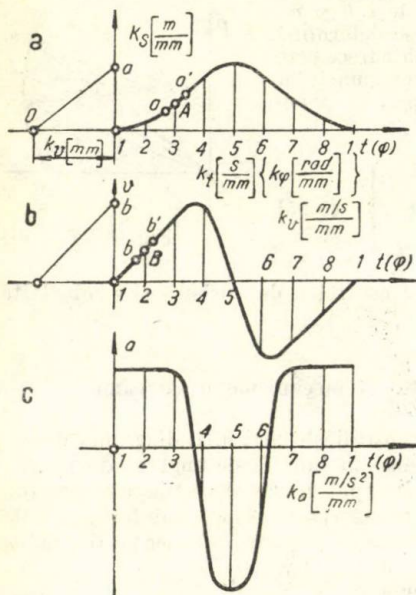


Fig. 5.36.

Metoda vectorială. Metoda vectorială poate fi folosită numai după ce se determină în prealabil pozițiile centrelor de curbură ale profilului camei.

1. Fig. 5.37. Pentru rezolvare se poate utiliza poligonul vectorial AO_hBCA , în care latura AC determină poziția căutată a elementului 2.

Cu notațiile al căror sens rezultă din cele de mai înainte, avem

$$l_1 \vec{e}_1 + l_1' \vec{e}_1' - l_2 \vec{e}_2 - l_2' \vec{e}_2' = 0. \quad (5.37)$$

În această ecuație necunoscute sînt l_2 și versorul \vec{e}_1 . A doua din aceste necunoscute nu interesează, de aceea o eliminăm și pentru aceasta izolăm $l_1 \vec{e}_1$, iar egalitatea astfel obținută se ridică la pătrat. Prin transformări corespunzătoare se obține o ecuație de gradul al doilea cu necunoscuta l_2 .

a punctului mici segmente egale Aa și Aa' astfel ca arcul aa' să fie ca formă, apropiat de o dreaptă. După aceea, prin punctele a și a' se duce o dreaptă. Tangenta unghiului de înclinare a acestei drepte cu axa absciselor este proporțională cu valoarea primei derivate în punctul A . Alegînd pe axa absciselor punctul O la distanța k [mm], ducem prin el o dreaptă paralelă cu dreapta aa' . Segmentul $1 - a$ poate fi considerat ca ordonata vitezei tachetului 2 la scara

$$k_v = \frac{k_s}{k \cdot k_t} \left[\frac{\text{m/s}}{\text{mm}} \right]. \quad (5.36)$$

După ce obținem prin metoda descrisă câteva ordinate, se poate construi diagrama $v = v(t)$, reprezentată în fig. 5.36, b.

Diagrama $a = a(t)$ (fig. 5.36, c) poate fi construită în mod analog după diagrama $v = v(t)$.

2. Fig. 5.38. Ecuația de închidere are forma

$$l_1 \vec{e}_1 + l_1 \vec{j} - l_2 \vec{i} - l_2 \vec{j} = 0. \quad (5.38)$$

Pentru determinarea necunoscutei l_2 , care dă poziția elementului 2, se înmulțește ecuația 5.38 scalar cu versorul \vec{j} .

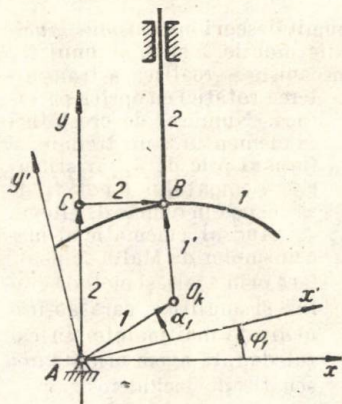


Fig. 5.37.

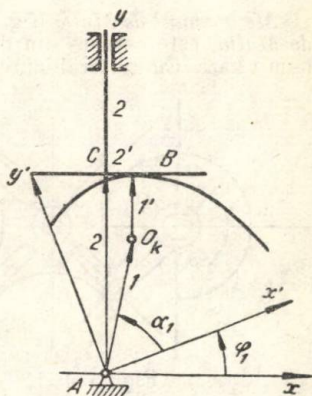


Fig. 5.38.

Fig. 5.39. Utilizăm următoarea ecuație de închidere a poligonului vectorial $AO_k O_m CA$

$$l_1 \vec{e}_1 + l_1 \vec{e}_1' - l_2 \vec{e}_2 - l_3 \vec{e}_3 = 0. \quad (5.39)$$

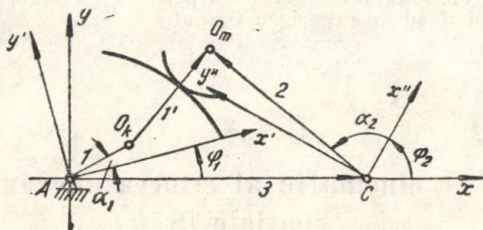


Fig. 5.39.

Pentru determinarea necunoscutei φ_2 izolăm al doilea termen din partea stângă a ecuației (5.39), după aceea se ridică ecuația obținută la pătrat scalar.

Prin metode analoge se pot determina pozițiile și ale altor mecanisme cu camă.

Problema vitezelor și accelerațiilor poate fi rezolvată prin derivarea în raport cu timpul a ecuațiilor corespunzătoare de închidere. Cu ajutorul lor sau se pot construi planele vitezelor și accelerațiilor, sau aceste ecuații se pot rezolva prin metode numerice.

§ 5.9. Mecanisme cu cruce de Malta (mecanisme de Malta)

Mecanismul de Malta (fig. 5.40), denumit deseori *mecanismul crucii de Malta*, este compus din două elemente mobile 1 și 2, și unul fix numit bază. Cu ajutorul unui astfel de mecanism se realizează transmiterea rotației cu opriri periodice. Numărul de creștături în elementul 2 nu trebuie să fie mai mic de 3, iar știfturile elementului 1 pot fi de asemenea în număr de câteva.

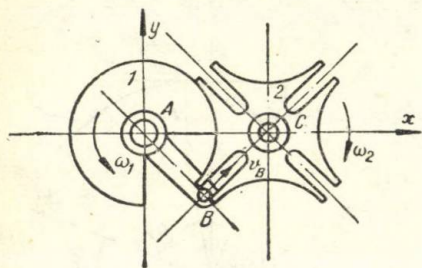


Fig. 5.40.

Studiul cinematic al mecanismelor de Malta se poate face prin aceleași metode grafice și analitice, care au fost utilizate mai înainte. În cazul de față avem următoarea ecuație de închidere

$$l_{AB} \vec{e}_{AB} - l_{CB} \vec{e}_{CB} - l_{AC} \vec{i} = 0, \quad (5.40)$$

care după izolarea termenului al doilea se rezolvă prin ridicarea la pătrat, ceea ce permite determinarea lui l_{CB} . După aceasta mărimea φ_{CB} poate fi determinată prin înmulțirea scalară a lui (5.40) cu versorul \vec{i} sau cu \vec{j} .

Problema vitezelor și accelerațiilor poate fi rezolvată prin diferențierea ecuației (5.40) în raport cu timpul.

5.5

Studiul cinematic al cîtorva mecanisme spațiale [8]

§ 5.10. Relațiile de bază din geometria analitică (fig. 5.41)

$$\begin{aligned} \vec{l}_i &= l_i \vec{e}_i = l_i (\vec{i}x_i + \vec{j}y_i + \vec{k}z_i) = \vec{i}X_i + \vec{j}Y_i + \vec{k}Z_i = \\ &= l_i (\vec{i} \cos \alpha_i + \vec{j} \cos \beta_i + \vec{k} \cos \gamma_i) \end{aligned} \quad (5.41)$$

unde

\vec{l}_i este un vector, l_i și \vec{e}_i valoarea sa algebrică și versorul său, \vec{i}, \vec{j} și \vec{k} versorii axelor de coordonate, x_i, y_i, z_i proiecțiile versorului \vec{e}_i pe axele de coordonate, X_i, Y_i, Z_i proiecțiile vectorului \vec{l}_i pe axele de coordonate, $\alpha_i, \beta_i, \gamma_i$ unghiurile de înclinare ale vectorului \vec{l}_i față de axele de coordonate.

$$X_i^2 + Y_i^2 + Z_i^2 = l_i^2, \quad x_i^2 + y_i^2 + z_i^2 = 1. \quad (5.42)$$

$$\vec{i} \cdot \vec{i} = \vec{j} \cdot \vec{j} = \vec{k} \cdot \vec{k} = 1, \quad \vec{i} \cdot \vec{j} = \vec{i} \cdot \vec{k} = \vec{j} \cdot \vec{k} = 0. \quad (5.43)$$

$$\cos \alpha_i = \vec{e}_i \cdot \vec{i}, \quad \cos \beta_i = \vec{e}_i \cdot \vec{j}, \quad \cos \gamma_i = \vec{e}_i \cdot \vec{k}, \quad (5.44)$$

$$\cos(\vec{e}_p, \vec{e}_q) = \vec{e}_p \cdot \vec{e}_q = x_p x_q + y_p y_q + z_p z_q. \quad (5.45)$$

$$\vec{e}_l \sin(\vec{e}_p, \vec{e}_q) = \vec{e}_p \cdot \vec{e}_q = \begin{vmatrix} \vec{i} & \vec{j} & \vec{k} \\ x_p & y_p & z_p \\ x_q & y_q & z_q \end{vmatrix}, \quad (5.46)$$

unde \vec{e}_l este un versor perpendicular pe versorii \vec{e}_p și \vec{e}_q . Determinantul se dezvoltă după elementele primului rând

$$\left. \begin{aligned} \vec{i} \times \vec{i} = \vec{j} \times \vec{j} = \vec{k} \times \vec{k} = 0, \quad \vec{i} \times \vec{j} = -\vec{j} \times \vec{i} = \vec{k}, \\ \vec{j} \times \vec{k} = -\vec{k} \times \vec{j} = \vec{i}, \quad \vec{i} \times \vec{k} = -\vec{k} \times \vec{i} = -\vec{j}. \end{aligned} \right\} \quad (5.47)$$

Direcția vectorului \vec{l} în sistemul $Oxyz$ este dată de versorul

$$\vec{e} = \vec{i}x + \vec{j}y + \vec{k}z \quad (5.48)$$

și în alt sistem $O'x'y'z'$ — în mod analog, de versorul

$$\vec{e} = \vec{i}'x' + \vec{j}'y' + \vec{k}'z', \quad (5.49)$$

unde cu semnul ' (prim) sînt notați versorii axelor celui de al doilea sistem de coordonate și proiecțiile versorului în acest sistem.

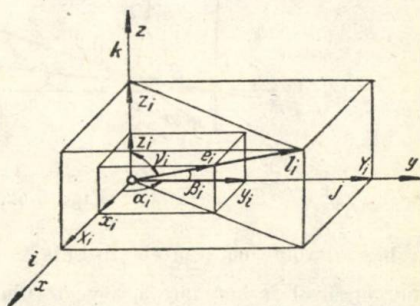


Fig. 5.41.

Legătura între proiecțiile versorilor în diferitele sisteme de coordonate este

$$\left. \begin{aligned} x &= x' \vec{i}' \cdot \vec{i} + y' \vec{j}' \cdot \vec{i} + z' \vec{k}' \cdot \vec{i}, \\ y &= x' \vec{i}' \cdot \vec{j} + y' \vec{j}' \cdot \vec{j} + z' \vec{k}' \cdot \vec{j}, \\ z &= x' \vec{i}' \cdot \vec{k} + y' \vec{j}' \cdot \vec{k} + z' \vec{k}' \cdot \vec{k}, \end{aligned} \right\} \quad (5.50)$$

$$\left. \begin{aligned} x' &= x \vec{i} \cdot \vec{i}' + y \vec{j} \cdot \vec{i}' + z \vec{k} \cdot \vec{i}', \\ y' &= x \vec{i} \cdot \vec{j}' + y \vec{j} \cdot \vec{j}' + z \vec{k} \cdot \vec{j}', \\ z' &= x \vec{i} \cdot \vec{k}' + y \vec{j} \cdot \vec{k}' + z \vec{k} \cdot \vec{k}'. \end{aligned} \right\} \quad (5.51)$$

Derivind a doua egalitate (5.42) în raport cu un argument oarecare, de exemplu în raport cu timpul, se obține

$$\vec{e}_i \cdot \dot{\vec{e}}_i = x_i \cdot \dot{x}_i + y_i \cdot \dot{y}_i + z_i \cdot \dot{z}_i = 0, \quad (5.52)$$

unde cu puncte sînt notate primele derivate în raport cu timpul. A doua derivare în raport cu timpul dă

$$\ddot{\vec{e}}_i \cdot \vec{e}_i + \dot{\vec{e}}_i \cdot \dot{\vec{e}}_i = \dot{x}_i^2 + \dot{y}_i^2 + \dot{z}_i^2 + x_i \ddot{x}_i + y_i \ddot{y}_i + z_i \ddot{z}_i = 0. \quad (5.53)$$

§ 5.11. Mecanismul bielă-manivelă

În poligonul $OABCO$ (fig. 5.42) următorii parametri sînt constanți l_1, l_2, l_4 , unghiurile α_3, β_3 și γ_3 de înclinare a barei 3, unghiurile α_4, β_4 și γ_4 de înclinare a bazei (în fig. 5.42 nu sînt indicate). Pentru rezolvarea

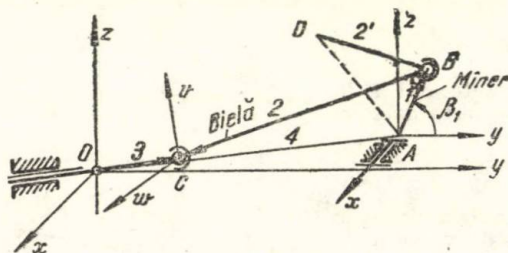


Fig. 5.42.

problemei toate constantele trebuie să fie date. Parametrii variabili sînt: unghiul de înclinare β_1 a vectorului \vec{l}_1 față de axa Ay , unghiurile α_2, β_2 și γ_2 de înclinare a vectorului \vec{l}_2 față de axele de coordonate,

valoarea algebrică a vectorului \vec{l}_3 . Parametrii indicați sînt legați atît prin ecuația de închidere a poligonului $OABCO$

$$l_4 \vec{e}_4 + l_1 \vec{e}_1 + l_2 \vec{e}_2 = l_3 \vec{e}_3, \quad (5.54)$$

care poate fi desfăcută în trei ecuații de proiecții pe axele de coordonate, cit și prin egalitatea

$$\vec{e}_2 \cdot \vec{e}_2 = x_2^2 + y_2^2 + z_2^2 = 1, \quad (5.55)$$

unde \vec{e}_2 , x_2 , y_2 , z_2 sînt versorul vectorului \vec{l}_2 și proiecțiile versorului pe axele de coordonate.

Dacă unul din parametrii variabili, de exemplu β_1 este dat, problema determinării poziției elementelor poate fi rezolvată. Pentru rezolvare ridicăm ecuația (5.54) la pătrat după care se poate determina necunoscuta l_3 . În sfîrșit, unghiurile α_2 , β_2 și γ_2 se pot determina cu ajutorul ecuației (5.54). Rezolvarea problemei vitezelor se efectuează prin derivarea în raport cu timpul a ecuațiilor (5.54) și (5.55). În acest caz avem

$$l_1 \dot{\vec{e}}_1 + l_2 \dot{\vec{e}}_2 = \dot{l}_3 \vec{e}_3, \quad (5.56)$$

$$\vec{e}_2 \cdot \dot{\vec{e}}_2 = x_2 \dot{x}_2 + y_2 \dot{y}_2 + z_2 \dot{z}_2 = 0. \quad (5.57)$$

În ecuația (5.56) necunoscute sînt mărimile $\dot{\vec{e}}_2$ și \dot{l}_3 , ultima fiind viteza glisierii. Pentru determinarea lui \dot{l}_3 se înmulțește scalar ecuația (5.56) cu versorul \vec{e}_2 .

Avem

$$l_1 \vec{e}_1 \cdot \vec{e}_2 + l_2 \dot{\vec{e}}_2 \cdot \vec{e}_2 = \dot{l}_3 \vec{e}_3 \cdot \vec{e}_2. \quad (5.58)$$

Deoarece (fig. 5.42)

$$\vec{e}_1 = \vec{j} \cos \beta_1 + \vec{k} \sin \beta_1, \quad (5.59)$$

atunci derivînd-o în raport cu timpul, obținem

$$\dot{\vec{e}}_1 = \omega_1 (-\vec{j} \sin \beta_1 + \vec{k} \cos \beta_1), \quad (5.60)$$

unde ω_1 este viteza unghiulară dată a elementului I, considerată constantă.

$$\begin{aligned} \dot{\vec{e}}_1 \cdot \vec{e}_2 &= (-\vec{j} \sin \beta_1 + \vec{k} \cos \beta_1)(\vec{i} x_2 + \vec{j} y_2 + \vec{k} z_2) \omega_1 = \\ &= (-y_2 \sin \beta_1 + z_2 \cos \beta_1) \omega_1, \end{aligned} \quad (5.61)$$

$$\vec{e}_3 \cdot \dot{\vec{e}}_2 = x_3 \dot{x}_2 + y_3 \dot{y}_2 + z_3 \dot{z}_2. \quad (5.62)$$

Mărimea \dot{l}_3 a vitezei glisierii se poate determina acum din relația

$$\dot{l}_3 = l_1 \frac{\dot{e}_1 \cdot e_2}{e_3 \cdot e_2}, \quad (5.63)$$

după ce din ecuația (5.56) se determină direct derivata \dot{e}_2 a versorului e_2 . Proiecțiile derivatei se obțin după proiectarea acestei ecuații pe cele trei axe de coordonate.

Pentru rezolvarea problemei accelerațiilor, derivăm ecuațiile (5.56) și (5.57) în raport cu timpul. Avem:

$$l_1 \ddot{e}_1 + l_2 \ddot{e}_2 = \ddot{l}_3 e_3, \quad (5.64)$$

$$\dot{e}_2 \cdot \dot{e}_2 + e_2 \cdot \ddot{e}_2 = \dot{x}_2^2 + \dot{y}_2^2 + \dot{z}_2^2 + x_2 \ddot{x}_2 + y_2 \ddot{y}_2 + z_2 \ddot{z}_2 = 0. \quad (5.65)$$

Pentru rezolvarea lui (5.64) se înmulțește această ecuație scalar cu versorul e_2 . În acest caz obținem

$$l_1 \dot{e}_1 \cdot \dot{e}_2 - l_2 \dot{e}_2 \cdot \dot{e}_2 = \ddot{l}_3 e_3 \cdot e_2. \quad (5.66)$$

Produsele scalare ale versorilor care intră în (5.66), se calculează la fel ca și în cazul problemei vitezelor.

Accelerația \ddot{l}_3 a glisierii se obține pe baza lui (5.64) în forma următoare

$$\ddot{l}_3 = l_1 \frac{\dot{e}_2 \cdot \dot{e}_1}{e_3 \cdot e_2} - l_2 \frac{\dot{e}_2 \cdot \dot{e}_2}{e_3 \cdot e_2}. \quad (5.67)$$

Proiecțiile derivatei a doua \ddot{e}_2 a versorului e_2 se pot obține prin proiectarea ecuației (5.64) pe cele trei axe de coordonate.

Pentru determinarea legii de mișcare spațială a bieiei 2 (fig. 5.42) este necesar să se indice date suplimentare, care se stabilesc de către cupla cinematică sferică cu bolț (cep). În fig. 5.42 este indicată legătura formată de biela 2 cu bara 3, care intră una cu alta în forma unei cuple sferice cu bolț. Aici, bolțul u este legat rigid pe glisiera 3, iar axa Cw , perpendiculară pe planul canalului în care se mișcă bolțul, este rigid legată de biela 2. Axa u trebuie dată în sistemul elementului 3, iar axa Cw în sistemul bieiei 2. Conform fig. 5.42, bara 3, care este legată cu batiul printr-o cuplă de translație, nu are posibilitatea de a se roti în jurul axului propriu și ca urmare bolțul u poate efectua numai o mișcare de translație rectilinie.

Introducem următoarele notații pentru cosinusurile unghiurilor: 1) cosinusul unghiului dintre u și Oz se notează cu c_{u2} . 2) cosinusul unghiului dintre u și OC se notează cu c_{u3} . 3) între w și u cosinusul este egal cu zero, 4) între w și BC cosinusul se notează cu c_{u2} .

Utilizând ecuația (5.45), se poate scrie

$$\vec{e}_u \cdot \vec{k} = c_{uz}, \quad \vec{e}_u \cdot \vec{e}_3 = c_{u3}, \quad \vec{e}_u \cdot \vec{e}_u = 1, \quad (5.68)$$

sau sub formă de ecuații de proiecții pot fi reprezentate astfel

$$z_u = c_{uz}, \quad x_3 x_u + y_3 y_u + z_3 z_u = c_{u3}, \quad x_u^2 + y_u^2 + z_u^2 = 1. \quad (5.69)$$

Din ultimele ecuații se determină mărimile x_u , y_u și z_u ale proiecțiilor versorului \vec{e}_u .

Pentru determinarea versorului \vec{e}_w se pot folosi următoarele ecuații

$$\vec{e}_u \cdot \vec{e}_w = 0, \quad \vec{e}_2 \cdot \vec{e}_w = c_{w2}, \quad \vec{e}_w \cdot \vec{e}_w = 1, \quad (5.70)$$

care se pot scrie sub formă de ecuații de proiecții analog cu cele anterioare.

Acum avem posibilitatea de a trece la determinarea poziției oricărui punct D (fig. 5.42) dat în sistemul bielei 2 de lungime l_2 a segmentului BD și de unghiurile lui de înclinație față de axele BC și w . Notînd cosinusurile unghiurilor indicate prin $c_{2'2}$ și $c_{2'w}$, utilizăm pentru determinarea versorului \vec{e}_2 următoarele ecuații:

$$\vec{e}_2 \cdot \vec{e}_2 = c_{2'2}, \quad \vec{e}_2 \cdot \vec{e}_w = c_{2'w}, \quad \vec{e}_2 \cdot \vec{e}_2 = 1, \quad (5.71)$$

care se rezolvă la fel ca și cele precedente.

În sfîrșit, din ecuația de închidere a triunghiului $ABDA$ se poate determina raza vectoare a punctului D , care stabilește poziția lui.

Determinarea vitezei și accelerației punctului D se obține prin derivarea succesivă în raport cu timpul a ecuațiilor examinate.

§ 5.12. Mecanismul manivelă-balansier

Fig. 5.43. Parametrii constanți sînt: $l_1, l_2, l_3, l_4, \alpha_4, \beta_4, \gamma_4$, unghiurile $\alpha_{x'}, \beta_{x'}, \gamma_{x'}$, de înclinare a axei Ax' de rotație a manivelei 1 față de axele de coordonate ale sistemului $Oxyz$, unghiurile $\alpha_x, \beta_x, \gamma_x$ de înclinare a axei de rotație a balansierului 3, față de axele aceluiași sistem de coordonate (aici $\alpha_x = 0^\circ$, $\beta_x = \gamma_x = 90^\circ$). Parametrii variabili sînt $\beta'_1, \alpha_2, \beta_2, \gamma_2$ și β_3 . Vom considera parametrul β'_1 dat. Necunoscute sînt unghiurile $\alpha_2, \beta_2, \gamma_2$ și unghiul β_3 . Pentru rezolvare scriem ecuația de închidere a poligonului $ABCD$.

$$l_1 \vec{e}_1 + l_2 \vec{e}_2 - l_3 \vec{e}_3 + l_4 \vec{e}_4 = 0. \quad (5.72)$$

În sistemul $Ax'y'z'$ versorul \vec{e}_1 se exprimă astfel

$$\vec{e}_1 = \vec{i}' \cdot 0 + \vec{j}' y'_1 + \vec{k}' z'_1, \quad (5.73)$$

unde: \vec{i}' , \vec{j}' și \vec{k}' sînt versorii axelor de coordonate ale sistemului $Ax'y'z'$, care se exprimă în modul următor:

$$\vec{i}' = \vec{i} \cos \alpha_{x'} + \vec{k} \sin \alpha_{x'}, \vec{j}' = \vec{j}, \vec{k}' = -\vec{i} \sin \alpha_{x'} + \vec{k} \cos \alpha_{x'}. \quad (5.74)$$

În sistemul de bază versorii \vec{e}_1 și \vec{e}_3 pot fi exprimați astfel

$$\vec{e}_1 = -\vec{i} \sin \alpha_{x'} \sin \beta'_1 + \vec{j} \cos \beta'_1 + \vec{k} \cos \alpha_{x'}, \cos \beta'_1, \quad (5.75)$$

$$\vec{e}_3 = \vec{j} \cos \beta_3 + \vec{k} \sin \beta_3. \quad (5.76)$$

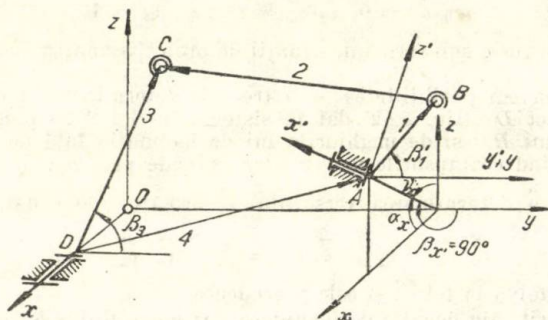


Fig. 5.43.

Pentru determinarea versorului necunoscut \vec{e}_3 , după izolarea termenului $l_2 \vec{e}_3$, ecuația (5.72) trebuie ridicată la pătrat. Ca rezultat al unor transformări cunoscute se obține o ecuație, din care se determină unghiul căutat β_3 . Prin calcule ulterioare se determină mărimile α_2 , β_2 și γ_2 din ecuația (5.72).

Rezolvarea problemei vitezelor și accelerațiilor se efectuează după derivarea în raport cu timpul a ecuațiilor indicate mai înainte. Soluția ecuațiilor obținute prin metoda indicată se găsește prin metodele expuse în paragraful anterior.

Determinarea legii de mișcare a bieiei este analogă cu cea descrisă pentru cazul mecanismului bielă-manivelă. Deoarece prin metodele expuse se pot obține vitezele și accelerațiile oricăror puncte ale mecanismului, se poate stabili legea de mișcare și a unor elemente suplimentare, legate de mecanismul examinat. Prin urmare, prin metodele descrise se pot rezolva problemele studiului cinematic al mecanismelor spațiale complexe.

5.6

Teoria angrenării roților dințate [1, 4, 5]

§ 5.13. Construirea unui profil conjugat
cu un profil dat

Condiția pe care trebuie să o satisfacă profilele dinților unui angrenaj cu raport de transmitere constant este: normala comună, dusă prin punctul de contact la profilele a doi dinți (în orice poziție a lor) trebuie să treacă prin același punct de pe linia centrelor (*polul de angrenare*, sau centrul instantaneu în mișcarea relativă a elementelor). Locul geometric al centrelor instantanee ale mișcării relative este *cercul de rulare*.

Problemă. Dându-se profilul dintelui unei roți să se construiască profilul conjugat al dintelui celeilalte roți (satisfăcând condiția de mai înainte):

Rezolvare. 1) Determinarea poziției polului de angrenare (fig. 5.44). Sînt date A , i_{12} , și forma profilului 1—2. Pentru determinarea lui r_1 și r_2 avem

$$\frac{r_2}{r_1} = i_{12}, r_1 + r_2 = A. \quad (5.77)$$

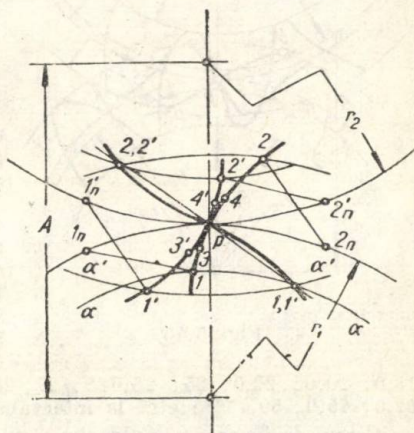


Fig. 5.44

2) Determinarea formei profilului conjugat. Luînd pe profilul dat punctul 1, determinăm poziția punctului $1'$ al profilului conjugat căutat, în care 1 și $1'$ intră în contact (în angrenare). Punctele care intră în contact se numesc *conjugate*. Ducem normala $1-1_n$ în punctul 1. Deoarece normalele $1-1_n$ și $1'-1'_n$ în momentul cînd punctele intră în contact trebuie să treacă prin P_2 atunci locul de întîlnire al lui 1 cu $1'$ se găsește la intersecția arcului $\alpha - \alpha$ și a arcului descris din polul P cu raza $1-1_n$. Extremitatea $1'_n$ a normalei $1'-1'_n$ a punctului căutat în poziția inițială se găsește la o distanță PI'_n măsurată pe cercul primitiv de rază r_2 egală cu distanța PI'_n pe cercul primitiv de rază r_1 . Însăși punctul $1'$ este așezat la intersecția arcului $\alpha' - \alpha'$ cu arcul dus din punctul $1'_n$ ca centru și cu raza $1'_n-1'$, egală cu 1_n-1 .

În același mod se determină și pozițiile punctelor căutate $2', 3', 4'$ ș.a.m.d. Înfășurind cu o curbă continuă toate punctele găsite, obținem forma profilului conjugat căutat $1'-2'$.

Parametrii de bază ai unui angrenaj. Dimensiunile profilurilor sînt practic limitate ca număr și de aceea elementele, numite *roți dințate*, se prevăd cu cîteva profiluri (*dinți*) care permit menținerea rotației continue.

Pasul angrenării dințate (pasul circular) este distanța dintre două puncte analoge ale două profiluri vecine (*dinți*) măsurată pe un cerc oarecare (fig. 5.45). Avem

$$\left. \begin{aligned} z p &= 2 \pi R \\ R &= \frac{p \cdot z}{2 \pi} = \frac{z}{2} m \end{aligned} \right\} (5.78)$$

unde raportul dintre mărimea pasului și numărul π se numește *modulul angrenării*.

Mărimi standardizate ale modulelor (STAS 822-51). Module în mm: 0,3; 0,35; 0,4; 0,45; 0,6; 0,7; 0,8; 0,9; 1,00; 1,25; 1,50; 1,75; 2,00; 2,25; 2,50; 3,00; 3,50; 4,00; 4,50; 5,00; 5,5; 6,0; 6,5; 7,0; 8,0; 9,0; 10,0; 11,0; 12,0; 14,0; 16,0;

18,0; 20,0; 22,0; 25; 26,0**; 27; 28,0**; 30,0; 33,0; 36,0; 39,0; 42,0; 45,0; 50,0***; etc. la intervalul de 5 mm.

Cercul de divizare este cercul a cărui rază r_d este egală cu jumătatea produsului dintre numărul de dinți și mărimea modulului standardizat

$$r_d = \frac{z}{2} m. \quad (5.79)$$

Locul geometric al punctelor de contact a două profiluri de dinți se numește *linia de angrenare* (linia aPb în fig. 5.45). *Arcul de angrenare* este arcul cu care se rotește roata de către o pereche de dinți în contact (arcul mm' în fig. 5.45). *Gradul de acoperire* ϵ este raportul dintre arcul de angrenare și pasul de angrenare.

§ 5.14. Angrenarea în evolventă

Evolventa unui cerc (fig. 5.46) este curba descrisă de un punct al unei drepte care se rostogolește fără alunecare pe un cerc denumit *cerc de bază*. Dreapta care se rostogolește se numește *dreaptă genera-*

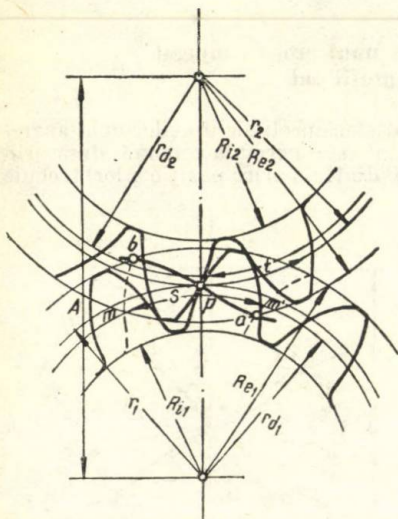


Fig. 5.45.

toare. Forma evolventei depinde exclusiv de mărimea razei cercului de bază. Evolventa este o curbă limitată dintr-o parte. Punctul inițial este punctul M_0 așezat pe cercul de bază (fig. 5.46). Raza de curbură ρ a evolventei în punctul M este segmentul AM de la punctul de tangență A pînă la punctul M . Arcul M_0A al cercului de bază este egal cu raza de curbură AM . Evolventele aceluiași cerc de bază sînt echidistante.

Relațiile de bază care caracterizează o evolventă sînt (fig. 5.46)

$$\begin{aligned} \operatorname{tg} \alpha &= \frac{AM}{r_0} = \frac{M_0A}{r_0} = \\ &= \theta + \alpha; \operatorname{inv} \alpha = \\ &= \theta = \operatorname{tg} \alpha - \alpha, \quad (5.80) \end{aligned}$$

unde unghiul θ se numește *involuta unghiului* α ($\operatorname{inv} \alpha$). Involuta este funcție de evolventa a cărei tabelă de valori este dată mai departe.

Mărimea razei-vectoare R a evolventei se determină în funcție de unghiul dat α și de raza cercului de bază în modul următor

$$R = \frac{r_0}{\cos \alpha}. \quad (5.81)$$

Linia de angrenare a evolventei este tangenta comună nn la cele două cercuri de bază (fig. 5.47). Lungimea de angrenare în evolventă

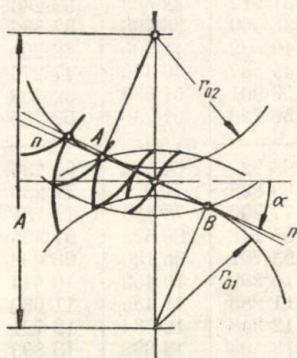


Fig. 5.47.

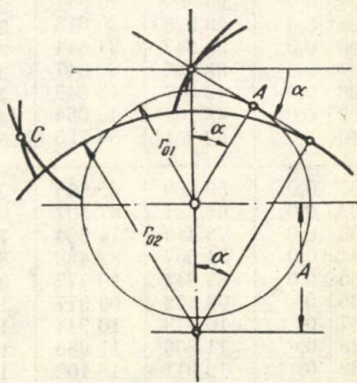


Fig. 5.48.

T a b e l a 5.1. Valorile lui $\theta = \operatorname{inv} \alpha$.

α°	Ordinea	0°	10	20	30	40	50
1	0,000	00 177	00 281	00 420	00 598	00 821	01 092
2	0,000	01 418	01 804	02 253	02 771	03 364	04 035
3	0,000	04 790	05 634	06 573	07 610	08 751	10 000
4	0,000	11 364	12 847	14 453	16 189	18 059	20 067
5	0,000	22 220	24 522	26 978	29 594	32 394	35 324
6	0,00	03 845	04 175	04 524	04 892	05 280	05 687
7	0,00	06 115	06 564	07 035	07 528	08 044	08 582
8	0,00	09 145	09 732	10 343	10 980	11 643	12 332
9	0,00	13 048	13 792	14 563	15 363	16 193	17 051
10	0,00	17 941	18 860	19 812	20 795	21 810	22 859
11	0,00	23 941	25 057	26 208	27 394	28 616	29 875
12	0,00	31 171	32 504	33 875	35 285	36 735	38 224
13	0,00	39 754	41 325	42 938	44 593	46 291	48 033
14	0,00	49 819	51 650	53 526	55 448	57 417	59 434
15	0,00	61 498	63 611	65 773	67 985	70 248	79 561
16	0,0	07 493	07 735	07 982	08 234	08 492	08 756
17	0,0	09 025	09 299	09 580	09 866	10 158	10 456
18	0,0	10 760	11 071	11 387	11 709	12 038	11 373
19	0,0	12 715	13 063	13 418	13 779	14 148	14 523
20	0,0	14 904	15 293	15 689	16 092	16 502	16 920
21	0,0	17 345	17 777	18 217	18 665	19 120	19 583
22	0,0	20 054	20 533	21 019	21 514	22 018	22 529
23	0,0	23 048	23 577	24 114	24 660	25 214	25 778
24	0,0	26 350	26 931	27 521	28 121	28 729	29 348
25	0,0	29 975	30 613	31 260	31 917	32 583	33 260
26	0,0	33 947	34 644	35 352	36 069	36 798	37 537
27	0,0	38 287	39 047	39 819	40 602	41 395	42 201
28	0,0	43 017	43 845	44 685	45 537	46 400	47 276
29	0,0	48 164	49 064	49 976	50 901	51 838	52 788
30	0,0	53 751	54 728	55 717	56 720	57 736	58 765
31	0,0	59 809	60 865	61 937	63 022	64 122	65 236
32	0,0	66 364	67 507	68 665	69 838	71 026	72 230
33	0,0	73 449	74 684	75 934	77 200	78 483	79 781
34	0,0	81 097	82 428	83 777	85 142	86 525	87 925
35	0,0	89 342	90 777	92 230	93 701	95 190	96 698
36	0,	09 822	09 977	10 133	10 292	10 452	10 614
37	0,	10 778	10 944	11 113	11 283	11 455	11 630
38	0,	11 806	11 985	12 165	12 348	12 534	12 721
39	0,	12 911	13 102	13 297	13 493	13 692	13 893
40	0,	14 097	14 303	14 511	14 722	14 936	15 152

Tabela 5.1 (continuare)

α°	Ordinea	0°	10	20	30	40	50
41	0,	15 370	15 591	15 815	16 041	16 270	16 502
42	0,	16 737	16 974	17 214	17 457	17 702	17 951
43	0,	18 202	18 457	18 714	18 975	19 238	19 505
44	0,	19 774	20 047	20 323	20 603	20 885	21 171
45	0,	21 460	21 753	22 049	22 348	22 651	22 958
46	0,	23 268	23 582	23 899	24 220	24 545	24 874
47	0,	25 206	25 543	25 883	26 228	26 576	26 929
48	0,	27 285	27 646	28 012	28 381	28 755	29 133
49	0,	29 516	29 903	30 295	30 691	31 092	31 498

este limitată. Limitele ei sînt punctele *A* și *B*. Dincolo de aceste limite angrenarea este posibilă, dar ea nu satisface legea de bază: normala comună nu trece prin polul de angrenare. Punctele *A* și *B* sînt picioarele perpendicularelor coborîte din centrele cercurilor de bază pe linia de angrenare. Cercurile duse prin punctele *A* și *B* taie pe profile punctele limită ale porțiunilor de evolventă, care satisfac legea fundamentală.

Unghiul de angrenare este unghiul de înclinare al liniei de angrenare în evolventă față de perpendiculara la linia centrelor. Distanța *A* dintre centre se poate determina în funcție de valorile date ale lui r_{01} și r_{02} și a unghiului de angrenare. Avem

$$A = \frac{r_{01} + r_{02}}{\cos \alpha}. \quad (5.82)$$

Angrenarea examinată mai înainte se numește *exterioară*. Angrenarea interioară se obține atunci cînd o roată este așezată în interiorul alteia (fig. 5.48). Linia de angrenare în cazul angrenării interioare a roților are numai un singur punct limită (punctul *A* în fig. 5.48). În dreapta punctului indicat angrenarea este imposibilă. În cazul diferenței mici între r_{01} și r_{02} este posibilă intersecția evolventelor chiar pe porțiunea de funcționare a liniei de angrenare (poziția *C* în fig. 5.48). Acest fenomen se numește *interferență* (subțiere).

Distanța dintre centre este

$$A = \frac{r_{02} - r_{01}}{\cos \alpha}. \quad (5.83)$$

Dacă raza cercului de bază a unei roți se mărește, raza de curbură a evolventei corespunzătoare acestui cerc de bază va crește și, la limită, atît cercul de bază cît și evolventa se transformă în drepte.

§ 5.15. Angrenarea cremalierii cu roata dințată

Cremaliera, după a cărei schemă se execută scula de tăiat dinți, este o placă dreaptă cu dinți trapezoidali (fig. 5.49). Unghiul α_0 de înclinare a feței laterale a trapezului este egal, conform standardelor sovietice, cu 20° . Partea dintelui dispusă deasupra liniei mediane mm sau dreapta de modul, se numește *cap*, iar porțiunea așezată dedesubt — *picioar*.

Înălțimea porțiunii drepte a profilului capului, exprimată în module, se determină prin produsul dintre modul și *coeficientul de înălțime* f , egal cu 1 pentru un dinte normal și cu 0,8 pentru unul scurtat. Înălțimea porțiunii rectilinii a profilului picioarului se execută de aceeași înălțime. Înălțimea părților rotunjite ale capului și picioarului dintelui este egală cu cm , unde $c = 0,25$ pentru un dinte normal și $c = 0,3$ pentru un dinte scurtat.

Mărimile pasurilor cremalierii la distanțe diferite de dreapta modulelor (liniei mediane) sînt egale, însă grosimea dintelui și lățimea depresiunii sînt în general diferite și numai la nivelul dreptei modulelor (liniei mediane) aceste dimensiuni sînt egale.

Forma profilului dintelui roții, conjugat cu profilul dat al dintelui cremalierii, depinde de poziția lor relativă. În fig. 5.50 sînt indicate pozițiile relative posibile ale cremalierii și roții.

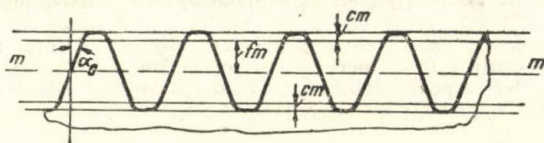


Fig. 5.49.

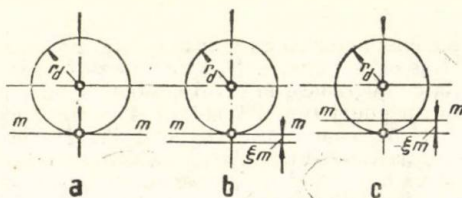


Fig. 5.50.

Deplasarea profilului inițial al cremalierii este deplasarea dreptei modulelor (liniei mediane) față de tangenta la cercul de divizare al roții (fig. 5.50). Coeficientul de deplasare ξ este deplasarea exprimată în module; deplasarea absolută χ este deplasarea în mm. Avem

$$\xi = \frac{\chi}{m}. \quad (5.84)$$

Angrenarea profilului inițial al cremalierii cu o roată pentru $\xi = 0$. În fig. 5.51 este indicat un profil inițial în forma unei drepte înclinată cu capetele rotunjite. Se cere să se determine forma profilului dintelui roții.

Pentru rezolvare folosim metoda expusă în § 5.13. punctul I al profilului inițial se alege în mijlocul vîrfului acestuia. Normala în acest punct este perpendiculară pe dreapta modulelor (linia mediană) mm , în punctul I_n astfel că la mișcarea profilului inițial această normală se deplasează paralel cu linia OP și în momentul tangentei punctelor I și I_1 al profilului dat și inițial ea coincide cu linia CP (I_n ajunge în P). Pentru găsirea poziției punctului căutat I_1 se ia pe arcul de cerc de rază OP o lungime PI_2 egală cu PI_n , măsurată pe dreapta modulelor (linia mediană). Din punctul I_2 astfel obținut cu o rază egală cu normala $I-I_n$ se intersectează cercul de rază OC ; această intersecție determină poziția punctului căutat I_1 . Determinarea poziției altor puncte $2_1, 3_1, 4_1 \dots$ se face analog.

În fig. 5.51, pentru $\xi = 0$, raportul dimensiunilor profilului inițial al roții și al cremalierii sînt astfel alese încît punctul extrem al liniei de angrenare în evolventă coincide cu punctul A . Dincolo de punctul A angrenarea în evolventă este imposibilă. În cazul dat avem relația limită între dimensiunile roții și ale profilului inițial, la care este încă posibilă angrenarea în evolventă.

Numărul minim de dinți z_{min} , la care este încă posibilă angrenarea în evolventă este egal cu

$$z_{min} = \frac{2f}{\sin^2 \alpha_0} \quad (5.85)$$

Pentru $\alpha_0 = 20^\circ$ și $f = 1$ avem

$$z_{min} = 17. \quad (5.86)$$

Raza cercului interior este egală cu

$$R_i = m \frac{z - f - c}{2} \quad (5.87)$$

Raza cercului exterior R_e se obține prin prelucrarea la strung și nu depinde de profilul inițial.

În fig. 5.52 este arătată o roată cu un număr mic de dinți. Traectoria extremității porțiunii rectilinii a profilului inițial al cremalierii intersectează linia PA de angrenare în stînga punctului A (punctul a în fig. 5.52). Porțiunea DD' a părții rectilinii a profilului inițial nu participă la formarea profilului în evolventă. În acest caz porțiunea de profil care nu este evolventă, are piciorul dintelui subțire și o parte a profilului în formă de evolventă este tăiată. În ase-

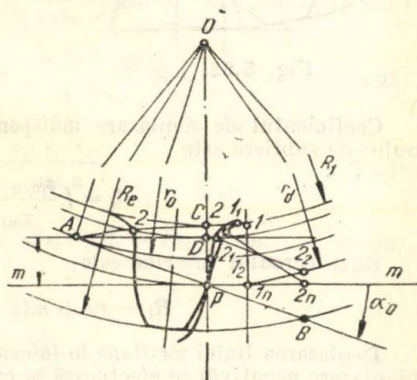


Fig. 5.51.

Freza este o roată cu dinți, aceștia posedând margini tăietoare. Parametrii de bază ai frezei sint (fig. 5.55, a)

$$R_{ed} = m \left(\frac{z_f}{2} + f + c \right). \quad (5.99)$$

Grosimea dintelui frezei pe cercul de divizare este

$$s_d = \frac{\pi m}{2}. \quad (5.100)$$

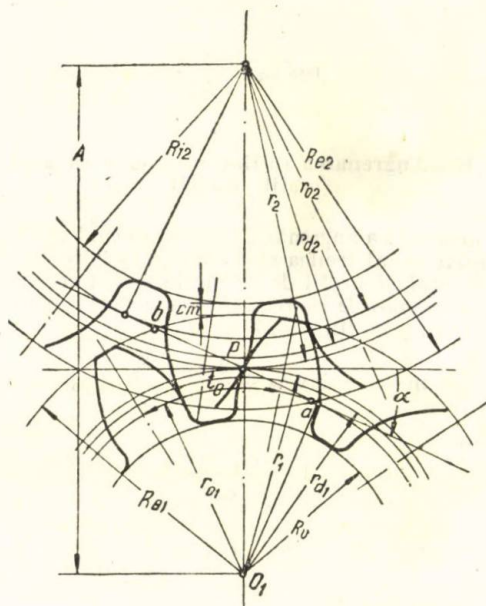


Fig. 5.54.

Numărul minim de dinți ai roții la tăierea ei fără deplasarea frezei (numărul z_f de dinți ai frezei este mai mare decît numărul z de dinți ai roții) este

$$z_{min} = \frac{2(z_f + 2f) \sin(\alpha_{ed} - \alpha_0)}{\sin 2\alpha_0}, \quad (5.101)$$

unde

$$\alpha_{ed} = \arccos \frac{z_f \cos \alpha_0}{z_f + 2f}. \quad (5.102)$$

Pentru $\alpha_0 = 20^\circ$ și $f = 1$

$$z_{\min} = 3,11(z_f + 2) \sin(\alpha_{ed} - 20^\circ). \quad (5.103)$$

Atunci cînd numărul de dinți ai roții este mai mic decît z_{\min} , se execută frezarea cu deplasarea frezei. Distanța A_m între centre la mașină la frezarea cu deplasare (fig. 5.55, b) este

$$A_m = A_0 \frac{\cos \alpha_0}{\cos \alpha_m}, \quad (5.104)$$

unde unghiul de angrenare α_m al mașinii se determină din egalitatea

$$\alpha_m = \arctg \frac{\sin \alpha_{ed}}{\cos \alpha_{ed} + \frac{z \cos \alpha_0}{z_f + 2f}}. \quad (5.105)$$

Grosimea s_d a dintelui pe cercul de divizare al roții este

$$s_d = m [0,5\pi + (z_f + z)(\operatorname{inv} \alpha_e - \operatorname{inv} \alpha_0)]. \quad (5.106)$$

În fig. 5.56 este arătată angrenarea interioară a două roți cu toți parametrii ei fundamentali. Pentru o asemenea angrenare, unghiul de angrenare la montaj este

$$\operatorname{inv} \alpha = \operatorname{inv} \alpha_0 - \frac{2(\xi_2 - \xi_1)}{z_2 - z_1} \operatorname{tg} \alpha_0, \quad (5.107)$$

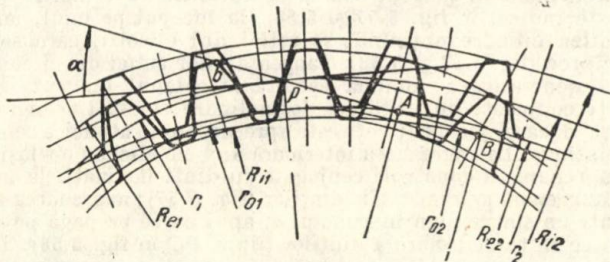


Fig. 5.56.

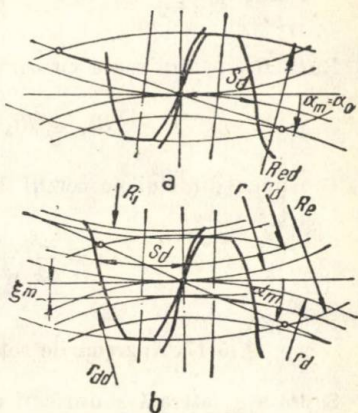


Fig. 5.55.

distanța dintre centre este

$$A = A_0 \frac{\cos \alpha_0}{\cos \alpha}, \quad (5.108)$$

unde A_0 este distanța dintre centre pentru $\xi = 0$.

Razele R_{i_2} și R_{e_2} pentru roata cu dinți interiori sînt

$$R_{i_2} = m \left(\frac{z}{2} + f + \xi + c \right), \quad R_{e_2} = A + R_{i_1} + cm. \quad (5.109)$$

Raza R_{e_1} pentru roata cu dinți exteriori este

$$R_{e_1} = R_{i_2} - A - cm. \quad (5.110)$$

Grosimea dintelui pe cercul de divizare este

$$s_d = \frac{\pi m}{2} - 2m \xi \operatorname{tg} \alpha_0. \quad (5.111)$$

§ 5.17. Angrenările roților cu dinți înclinați

Suprafața laterală a dintelui unei roți cu dinți înclinați se formează ca înfășurată a dreptei AA (fig. 5.57), legată cu planul dintelui care se rostologolește pe cilindrul de bază. Suprafața laterală a dintelui se obține curbata. Această suprafață se numește *elicoïd desfășurabil*. Suprafața acestui elicoïd se intersectează cu orice suprafață cilindrică care are aceeași axă ca și roata, după o elice. Unghiul β_0 dintre tangenta la elicea dintelui pe cilindrul de bază și axul roții se numește *unghiul de înclinare al dintelui pe cilindrul de bază*.

Suprafețele conjugate a două roți cu dinți oblici se formează prin rostogolirea planului tangent comun la doi cilindri de bază Q_1 și Q_2 (Q_2 nu este indicat în fig. 5.57 și 5.58), la început pe unul, iar apoi pe al doilea cilindru obținîndu-se astfel doi elicoizi, care se înfășoară reciproc (fig. 5.57 și 5.58). Tangența unor astfel de elicoizi are loc după generatoarea comună așezată în planul tangent comun. Două roți conjugate au unghiuri de înclinare egale. La angrenarea exterioară dacă elicea unei roți este spre dreapta, atunci a celeilalte este spre stînga. La angrenarea interioară ambele elice au același sens.

La angrenarea a două roți conjugate cu dinți înclinați, la început intră în angrenare extremitățile dinților (fig. 5.57); angrenarea începe numai într-un singur plan în punctul a , apoi ea se propagă pe o lungime din ce în ce mai mare a dinților (linia PC în fig. 5.58). Ieșirea din angrenare se face treptat, astfel că dinții ies din angrenare cu celelalte extremități ale lor în punctul b' .

Parametrii roții cu dinți înclinați (fig. 5.59). *Pasul normal* p_n și *modulul normal* m_n se măsoară în secțiunea normală. *Pasul* p_f și *modulul* m_f măsurate în planul frontal (perpendicular pe axa roții), se numesc *frontali* sau *aparenți*. În sfârșit, în planul axei roții se măsoară *pasul axial* p_a și *modulul axial* m_a . Legătura dintre parametrii de mai înainte este dată de următoarele relații

$$m_f = \frac{m_n}{\cos \beta}, \quad m_a = \frac{m_n}{\sin \beta}. \quad (5.112)$$

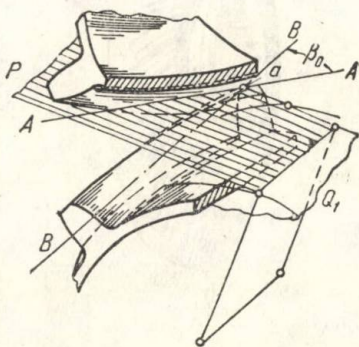


Fig. 5.57.

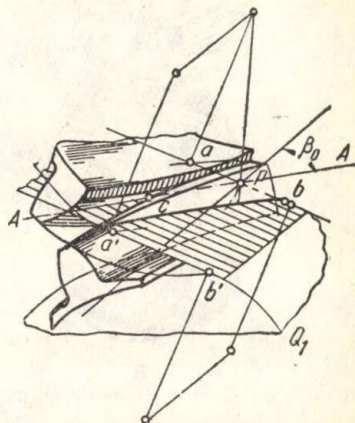


Fig. 5.58.

Raza cercului de divizare este

$$r_d = \frac{z}{2} m_f = \frac{m_n z}{2 \cos \beta d}. \quad (5.113)$$

Înălțimile capului și piciorului dintelui se stabilesc în funcție de modulul din secțiunea normală.

Gradul de acoperire este egal cu

$$\epsilon_f = \epsilon + \frac{b \operatorname{tg} \beta}{p_f}, \quad (5.114)$$

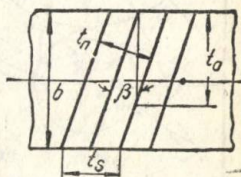


Fig. 5.59.

unde ϵ_f este gradul de acoperire al angrenării cu dinți înclinați, iar ϵ este gradul de acoperire al profilurilor dinților în planul frontal.

§ 5.17 a. Angrenarea dințată a lui M.L. Novikov

În angrenarea dințată a lui M.L. Novikov, contactul geometric are loc într-un punct. În timpul mișcării roților punctul de contact se deplasează pe linia de angrenare, care este paralelă cu axele roților. Dinții roților de transmisie au forma unui elicoid cu profilurile late-

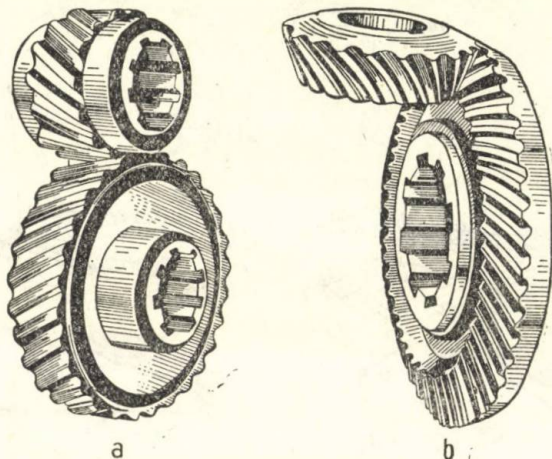


Fig. 5.60.

rale din planurile perpendiculare pe axele roților, în forma unor arce de cerc. Angrenarea se poate efectua la roți ale căror axe sînt paralele, concurente sau încrucișate (neparalele și neconcurente). În fig. 5.60, *a*

este indicat modul general de angrenare a roților cu axe paralele, iar în fig. 5.60, *b*—cu axe roților curente.

Razele r_1 și r_2 ale cercurilor de rulare ale roților (fig. 5.61) se calculează cu (5.77).

Dinții sînt convecși pe o roată și concavi pe cealaltă. Unul din parametrii de bază ai angrenării este mărimea deplasării liniei de angrenare față de axa instantanee de rotație relativă P . În funcție de mărimea puterii transmise trebuie luat

$$l = (0,05 \div 0,20) r_1. \quad (5.115)$$

Razele profilurilor de lucru sînt

$$\rho_1 = l; \quad \rho_2 = l(1 + k_2), \quad (k_2 = 0,03 \div 0,10). \quad (5.116)$$

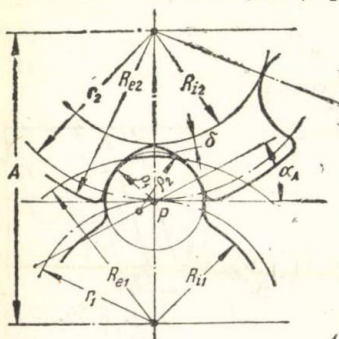


Fig. 5.61.

Raza cercului exterior al roții cu dinți convecși este

$$R_{e1} = r_1 + (1 - k_e)l; \quad (k_e = 0,1 \div 0,2).$$

Arcele profilelor de lucru ale dinților convecși se duc de la cercul de rulare pînă la cercul exterior. Centrul unei jumătăți a profilului de lucru al dintelui concav se așază pe o parte a unghiului α de presiune, la o distanță de punctul P egală cu

$$\rho_2 - \rho_1 = (0,03 \div 0,10) \rho_1,$$

unde ρ_2 este raza profilului de lucru al dintelui concav. A doua jumătate a profilului de lucru al dintelui concav este simetrică cu prima.

Unghiul de presiune trebuie luat egal cu $\alpha_p = 25 \div 30^\circ$.

Raza cercului exterior al roții cu dinți concavi este

$$R_{e2} = r_2 + h, \quad h = (0,1 \div 0,2) l.$$

Raza cercului interior al roții cu dinți convecși este

$$R_{i1} = r_1 - h - \delta,$$

unde δ este rostul radial, aproximativ egal cu $\delta = lk_e$.

Raza cercului interior al roții cu dinți concavi este

$$R_{i2} = A - R_e - \delta.$$

În teoria angrenării a lui Novikov se introduce noțiunea de *acoperire auxiliară*, al cărei grad de acoperire se ia egal cu

$$\varepsilon A = b/p_a \geq 1,2,$$

unde b este lărgimea înconjurării, iar p_a este pasul axial. Pasul elicei dintelui se recomandă a se lua în limitele $\beta = 10^\circ \div 30^\circ$.

Dinții roților Novikov au o însemnată rezistență și stabilitate la uzură. Încărcarea pe care o suportă este de două-trei ori mai mare decît cea pe care o suportă dinții roților cu angrenare în evolventă de dimensiuni egale cu roțile lui Novikov. Datorită acestui fapt mecanismele cu roți Novikov încep să fie larg utilizate în practică.

§ 5.18. Angrenarea dințată conică

Angrenarea conică se utilizează în cazul cînd axele roților sînt concurente. Din punct de vedere teoretic, angrenarea conică este o angrenare sferică, adică profilurile dinților ei trebuie să fie dispuse pe o suprafață sferică, de rază OA (fig. 5.62). Conurile primitive ale unei astfel de angrenări taie segmentele sferice, ale căror baze sînt tangente în punctul A . Dacă măsurătorile se fac numai pe această suprafață sferică, bazele segmentelor sferice trebuie determinate prin razele sferice r'_1 și r'_2 .

Astfel de baze se numesc *cercuri primitive*, care sînt totodată bazele conurilor primitive, al căror vîrf comun este așezat în punctul O .

Pentru construirea profilurilor sferice ale dinților trebuie dus cercul OA sub unghiul sferic de 90° față de arcul $O'_1 O'_2$, se duce pe sfera de rază OA arcul AB care face cu tangenta la cercul OA unghiul sferic de angrenare α . Coborînd din punctele O'_1 și O'_2 perpendiculare sferice pe acest din urmă arc (în fig. 5.62 este reprezentată numai o

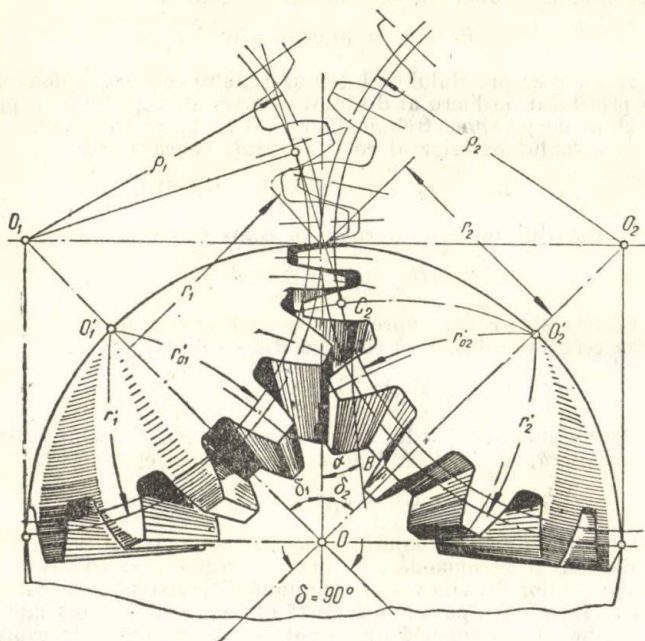


Fig. 5.62.

perpendiculară $O'_2 C_2$), se descriu apoi cercurile de bază, ale căror raze sferice sînt egale cu r'_{O_1} și r'_{O_2} . Pe aceste cercuri trebuie rostogolit fără alunecare arcul AB pentru a obține profilurile dinților, care au forma de evolvente sferice. Dacă toate punctele profilurilor construite se unesc cu centrul O , vor fi obținuți dinți cu secțiuni care se micșorează treptat spre vîrfurile O . În practică se recomandă executarea lungimii dintelui egală aproximativ cu $1/3$ din lungimea generatoarei OA .

Pentru calculul la rezistență al dinților, roțile conice se înlocuiesc cu roți convenționale cilindrice. Profilurile dinților fiecărei roți se așază pe zone sferice (fig. 5.62). Zonele sferice se înlocuiesc cu zone conice tangente la ele, cu vîrfurile în O_1 și O_2 . Aceste conuri numite

complementare, se desfășoară pe un plan, pe care se construiesc apoi profilurile dinților. Razele desfășurărilor conurilor complementare se pot determina cu formulele

$$\rho_1 = \frac{r_1}{\cos \delta_1}, \quad \rho_2 = \frac{r_2}{\cos \delta_2}. \quad (5.117)$$

§ 5.19. Angrenajul cu șurub melc și roată melcată

Acest angrenaj se folosește în majoritatea cazurilor pentru roți cu axele încrucișate sub unghiuri de 90° și la mari rapoarte de transmitere. În acest caz unul din elemente are forma unei elice numită *melc* (șurub melc), iar al doilea are forma unei roți cu dinți înclinați, numită *roată melcată* (fig. 5.63). Șurubul melc este un cilindru cu filet trapezoidal. Legătura între parametrii de bază ai șurubului melc — diametrul d_1 al cilindrului primitiv, pasul s al filetului și unghiul β de înclinare a filetului pe același cilindru — se stabilește cu relația următoare:

$$s = \pi d_1 \operatorname{tg} \beta. \quad (5.118)$$

Legătura între pasul elicei și pasul filetului cu mai multe începuturi este

$$s = kp, \quad (5.119)$$

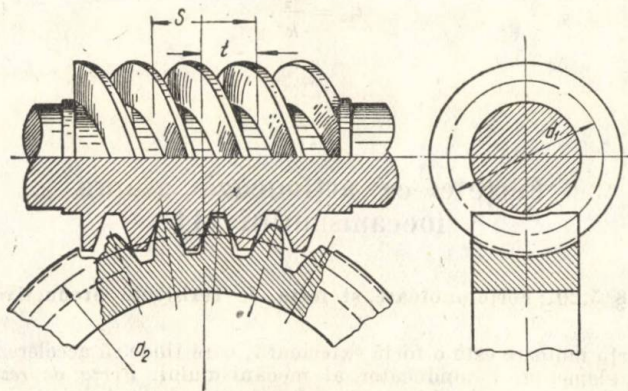


Fig. 5.63.

unde k este numărul de începuturi al elicei, iar p este pasul elicei cu mai multe începuturi.

Suprafața laterală a profilului șurubului melc (elicei) se descrie sau pe o suprafață *Arhimede*, sau pe una în *evolventă elicoidală*. Suprafața elicoidală a lui Arhimede se obține dacă drepte care o generează

i se pune condiția ca în orice poziție să intersecteze axa cilindrului. În acest caz intersecția planului perpendicular pe axa cilindrului dă spirala lui Arhimede. Dacă dreapta indicată va fi tot timpul tangentă la o elice, se formează o suprafață evolventă elicoidală. Intersecția unei astfel de suprafețe cu un plan perpendicular pe axa cilindrului dă evolventa unui cerc.

Pentru filetul unui șurub melc sînt trei suprafețe fundamentale cilindrice.

1) Suprafața modulului standardizat, numită suprafață *divizoare*. Pentru modulul dat pasul filetului este $p = \pi m$, iar diametrul cilindrului de divizare este

$$d_{d1} = \frac{kt}{\pi \operatorname{tg} \beta} = \frac{km}{\operatorname{tg} \beta} = qm \quad (q = 8 \div 13). \quad (5.120)$$

2) diametrul cilindrului exterior și

3) diametrul cilindrului interior al șurubului melc, care se determină analog cu cilindrii respectivi ai unei roți cu dinți drepți.

Diametrul cercului de divizare al roții melcate este

$$d_{d2} = z_2 m (z_2 - \text{numărul dinților roții}). \quad (5.121)$$

Înălțimea dintelui roții melcate se execută la fel ca și a unei roți dințate obișnuite. Raportul de transmitere al angrenajului șurub melc — roată melcată este

$$i_{12} = \frac{z_2}{k}. \quad (5.122)$$

5.7

Forțele ce acționează asupra mecanismului [1]

§ 5.20. Forțe motoare și forțe de rezistență productivă

Forța motoare este o forță exterioară, care tinde să accelereze mișcarea elementului conducător al mecanismului. *Forța de rezistență* este o forță, care tinde să încetinească mișcarea elementului conducător. *Forța de rezistență productivă (forță de rezistență utilă)* este o forță exterioară, care apare la executarea procesului tehnologic și pentru a cărei învingere se cheltuiește un lucru mecanic necesar pentru producerea de fabricate, pentru deplasarea corpurilor sau pentru schimbarea stării unor corpuri lichide sau gazoase.

Motorul este o mașină în care o formă sau alta a energiei se transformă în energie mecanică, aceasta efectuînd lucrul mecanic necesar.

Mașina de lucru sau unealta este o mașină, cu ajutorul căreia se produce schimbarea proprietăților, a stării, a formei și a poziției materialului de prelucrat sau a fabricatului. *Mecanismul executant* este o instalație destinată producerii numai a mișcărilor utile (aparate de măsură și control, aparate pentru deplasarea unor organe dintr-o poziție în alta, instalații de calcul și de rezolvare, ceasornice etc.).

Caracteristica mecanică a motorului sau a mașinii de lucru este funcția care leagă parametrul de forță de unul sau de mai mulți parametri cinematici (spațiu, viteză, accelerație, timp).

Caracteristica mecanică la mecanismul cu greutatea este forța invariabilă, care acționează; la mecanismul cu arc — legătura liniară crescătoare între forță și deplasarea acesteia. Caracteristicile mecanice ale electromagnetelor sînt dependente mai complicate ale forței de spațiu sau ale momentului unui cuplu de forțe de unghiul de rotire.

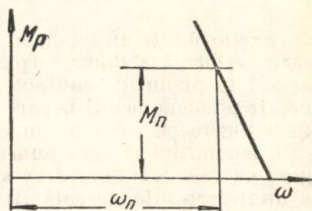


Fig. 5.64.

Fig. 5.64. Caracteristica mecanică a electromotorului de curent continuu cu excitația în paralel (M_n este cuplul nominal la viteza unghiulară nominală ω_n).

Fig. 5.65. Caracteristica mecanică a electromotorului de curent continuu cu excitație în serie.

Fig. 5.66. Caracteristica mecanică a motorului asincron de curent trifazic (ω_s este viteza unghiulară sincronă sau viteza unghiulară a mersului ideal în gol, M_n este cuplul nominal la viteza unghiulară

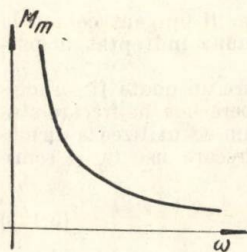


Fig. 5.65.

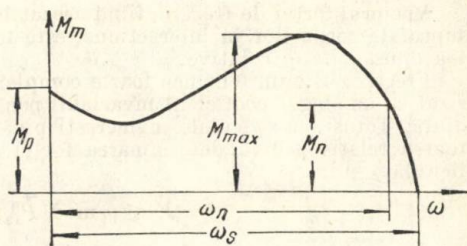


Fig. 5.66.

nominală ω_n , M_{max} este cuplul maxim sau de răsturnare, M_p este cuplul inițial la pornire).

Din punct de vedere al proprietăților mecanice, mașinile se împart în cinci grupe: 1) forțele utile sînt constante (mașini de ridicat, laminare, strunguri, mașini de fabricat hîrtie și altele), 2) rezistențele depind de viteză (ventilatoare, aspiratoare de fum, pompe centrifuge, centrifuge, elice și altele), 3) forțele de rezistență utilă depind de

parcurs (compresoare cu piston și pompe, foarfeci pentru tăierea metalelor, vagoane basculante, ascensoare de mină, benzi rulante, prese cu manivele și altele), 4) forțele de rezistență utilă depind de parcurs și viteze (mașini de transportat rapide), 5) forțele de rezistență depind de timp (spărgătoare de pietre, mori sferice, mașini de frământat cocă și altele).

§ 5.21. Frecarea

Frecarea este un fenomen, la care apare forța de rezistență la deplasarea relativă a două corpuri în contact (vectorul acestei forțe este așezat în planul de contact al corpurilor respective). *Frecarea de alunecare* este fenomenul la care aceleași puncte ale unui corp trec succesiv în atingere cu diferite puncte ale altui corp. *Frecarea de rostogolire* este fenomenul la care punctele succesive ale unui corp intră în atingere cu punctele succesive ale altui corp [axa instantanee de rotație a unui corp față de celălalt trece prin punctul (punctele) de contact al unuia din corpurile indicate]. *Frecarea de pivot* este fenomenul la care punctele așezate în planul de tangență a două corpuri descriu cercuri concentrice cu centrul așezat pe axa de pivotare.

Frecarea curată apare pe suprafețele curățate de pojghițe adsorbite sau de compuși chimici. *Frecarea uscată* apare în absența ungerii și a impurităților între suprafețe. *Frecarea limită* se obține atunci când suprafețele sînt despărțite printr-un strat de lubrifiant de grosime neînsemnată (nu mai mare de 0,1 microni). *Frecarea lichidă* este un fenomen, la care suprafețele sînt complet separate printr-un strat de lubrifiant. *Frecarea semiuscată* este o frecare mixtă, în același timp uscată și limită. *Frecarea semilichidă* este în același timp lichidă și limită sau lichidă și uscată.

Vectorul forței de frecare, fiind așezat în planul tangent comun la suprafața corpurilor în interacțiune, este totdeauna îndreptat în partea opusă vitezei relative.

Frecarea este un fenomen foarte complex, care nu poate fi caracterizat cu un singur coeficient invariabil pentru perechea în frecare studiată. Totuși, în calculele ingineresti pînă acum se utilizează următoarea relație pentru determinarea forței de frecare uscată și semilichidă

$$F \leq \mu \text{ mod } \vec{P}_{12}^n, \quad (5.123)$$

unde F este forța de frecare, \vec{P}_{12}^n forța normală care apasă elementul 1 pe elementul 2, μ coeficientul de frecare (fig. 5.67).

Valorile coeficientului μ sînt nu numai foarte deosebite pentru diferite combinații de materiale, care se freacă, ci ele depind într-o măsură însemnată de starea suprafețelor, care se freacă (gradul de rugozitate, suprafețe curate sau unse, durata contactului fix prealabil și altele). Pentru a deplasa un corp fix din loc este necesară o forță mai mare decît cea necesară pentru menținerea mișcării rectilinii uniforme.

Unghiul de frecare este unghiul ϕ de înclinare a rezultantei forțelor de reacțiune față de normală (fig. 5.67). *Conul de frecare* este locul

geometric al pozițiilor posibile ale vectorului-rezultantei forțelor de reacțiune.

Legătura dintre φ și μ este

$$\operatorname{tg} \varphi = \mu. \quad (5.124)$$

Dacă corpul 1 se găsește sub acțiunea a câtorva forțe, care se reduc la o rezultantă P_{12} (fig. 5.68), atunci pentru $\alpha > \varphi$ se observă o

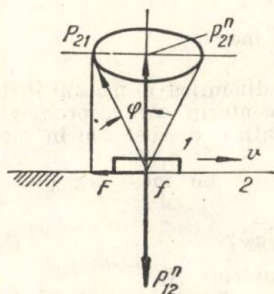


Fig. 5.67.

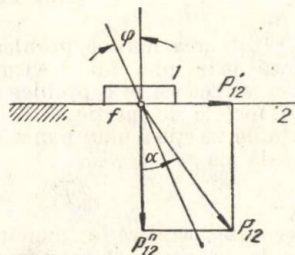


Fig. 5.68.

mișcare accelerată, pentru $\alpha = \varphi$ — o mișcare uniformă, iar pentru $\alpha < \varphi$ — o mișcare încetinită. În ultimul caz suprafața se numește de *autofrinare*.

La frecarea lichidă suprafețele în frecare sînt complet separate printr-un strat de lubrifian. În acest caz se obține fenomenul de alunecare a unei suprafețe de lichid față de cealaltă. Condiția necesară a frecării lichide este: aderența lichidului de suprafețele în frecare trebuie să fie mai mare decît aderența straturilor de lichid între ele. Pentru metale se utilizează ca lubrifian uleiurile vegetale și animale. *Coeficientul de frecare lichidă* este în general o funcție de viteză relativă de alunecare, de presiunea specifică pe suprafețele în frecare și de *viscozitatea absolută* a lichidului.

Unitatea absolută de viscozitate, poise-ul (η [kgf·s/m²]), este viscozitatea la care, pentru deplasarea suprafeței de 1 m² cu viteza de 1 m/s față de o altă suprafață separată de prima printr-un strat de lichid este necesară o forță egală cu 1 kgf.

Condițiile necesare pentru înlocuirea frecării semilichide cu una lichidă sînt: a) lichidul, care ocupă spațiul dintre suprafețele care alunecă, trebuie să se păstreze în acest spațiu; b) presiunea interioară în lubrifian trebuie să echilibreze sarcina exterioară (de natura unei forțe), care apasă una pe alta suprafețele care alunecă; c) lichidul trebuie să separe complet suprafețele care alunecă; d) grosimea stratului de lichid între suprafețele care alunecă trebuie să fie mai mare decît suma înălțimilor părților celor mai ieșite în afară ale suprafețelor rugoase care alunecă.

Forța de frecare la rostogolire se determină cu formula

$$F_K = \frac{k}{R} P_n, \quad (5.125)$$

unde k (cm) este brațul frecării de rostogolire, R raza corpului rotund care se rostogolește, P_n forța normală ce apasă corpul care se rostogolește pe suprafață.

§ 5.22. Forțe de inerție

La rezolvarea multor probleme de dinamică a mecanismelor se utilizează principiul lui d'Alembert, conform căruia problema de dinamică se reduce la o problemă de statică, dacă se iau în considerare și forțele de inerție.

Forța de inerție a unui punct material X de masă m_X (kgf·s²/m) este egală cu

$$\vec{P}_{iX} = -m_X \vec{a}_X, \quad (5.126)$$

unde \vec{a}_X este accelerația punctului material X .

Forțele de inerție în mișcarea plan-paralelă a unui element, care are planul de simetrie paralel mișcării, se reduc la un vector rezultatant \vec{P}_i și la un moment rezultatant \vec{M}_i egale cu

$$\vec{P}_i = -m \vec{a}_s, \quad M_i = -\varepsilon J_s, \quad (5.127)$$

unde m este masa elementului, \vec{a}_s accelerația centrului său de greutate, ε accelerația unghiulară a elementului, J_s (kg·m·s²) momentul de inerție al elementului față de axa care trece prin centrul lui de greutate.

În mișcarea de translație a elementului $\varepsilon = 0$, de aceea și $M_i = 0$. În mișcarea de rotație (fig. 5.69) avem

$$\vec{P}_i = \vec{P}_i^n + \vec{P}_i^t = -m \vec{a}_s^n - m \vec{a}_s^t, \quad (5.128)$$

unde \vec{P}_i^n este forța normală (centrifugă) de inerție; \vec{P}_i^t forța tangențială de inerție; \vec{a}_s^n și \vec{a}_s^t sînt componentele normală și tangențială a accelerației \vec{a}_s a centrului de greutate al elementului.

Momentul rezultatant se determină în acest caz cu a doua relație (5.127). În cazul reducerii la o singură forță (5.128), \vec{P}_i trece prin centrul de oscilație K , așezat la o distanță de centrul de rotație dată de

$$l_{OK} = l_{OS} + \frac{J_s}{m l_{OS}}. \quad (5.129)$$

Cînd elementul nu posedă un plan de simetrie, paralel mișcării, vectorul rezultatant și momentul rezultatant al forțelor de inerție ale punctelor materiale pot fi de asemenea determinate, însă pentru aceasta

trebuie date mărimile momentelor centrifugale de inerție ale mase-
lor elementului.

Dacă forțele de inerție ale punctelor materiale ale elementului
sînt reduse la punctul O (fig. 5.70), avem
vectorul rezultatant

$$\vec{P}_i = -m\vec{a}_s, \quad (5.130)$$

momentul rezultatant

$$\vec{M}_i = \vec{i}(-\omega^2 J_{yz} + \varepsilon J_{xz}) + \vec{j}(\omega^2 J_{xz} + \varepsilon J_{yz}) - \vec{k}\varepsilon J_z, \quad (5.131)$$

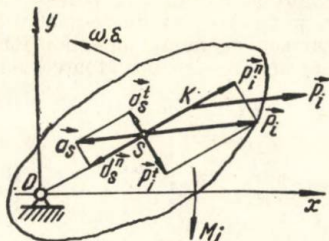


Fig. 5.69.

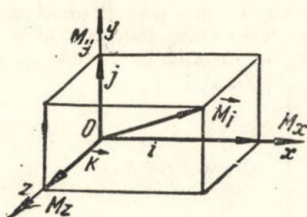


Fig. 5.70.

unde J_{xz} și J_{yz} sînt momentele centrifugale de inerție ale elemen-
tului în raport cu axele Ox , Oz și Oy , Oz , iar J_z momentul de inerție
față de axa Oz .

Dacă determinarea momentelor centrifugale de inerție ale elemen-
tului este dificilă, atunci pentru evaluarea aproximativă a forțelor
de inerție se poate împărți în mod convențional elementul în părți
separate, care posedă planuri de simetrie, iar pentru fiecare din ele
trebuie determinat vectorul rezultatant și momentul rezultatant, după
care se pot apoi reduce la o singură forță și la un singur cuplu.

5.8

Studiul mișcării unui agregat de mașină [1]

§ 5.23. Reducerea forțelor și maselor

La studiul mișcării unui agregat este necesară rezolvarea următo-
relor probleme de bază: 1) determinarea legilor de mișcare a elemen-
telor mecanismului după legile date de variație a forțelor exterioare
aplicate mecanismului; 2) determinarea mărimii momentului de
inerție al volantului destinat limitării oscilațiilor periodice ale vitezei

mișcării staționare a mecanismului; 3) determinarea parametrilor de bază ai schemei de reglare a oscilațiilor neperiodice ale vitezelor elementelor, care apar ca rezultat al condițiilor variabile de lucru ale agregatului.

Toate problemele indicate se rezolvă prin metoda reducerii tuturor forțelor aplicate mecanismului și a tuturor maselor elementelor la un singur element — la elementul de reducere. Prin aceasta problema dinamicii unui sistem complex se înlocuiește cu problema mișcării unui singur element al său.

Forța redusă este o forță convențională, aplicată unui punct ales al elementului numit *punct de reducere* și căreia i se pune condiția ca lucrul ei mecanic elementar sau puterea ei să fie respectiv egale cu suma lucrului mecanic elementar sau cu suma puterilor forțelor date. Mărimea forței reduse se poate deduce din următoarea relație:

$$P_{red} - \frac{\sum_{i=1}^{i=n} P_i v_i \cos \alpha_i + \sum_{i=1}^{i=n} M_i \omega_i}{v_{red} \cos \alpha_{red}} = 0; \quad (5.132)$$

unde $i = 1, 2, \dots, n$ sînt numerele elementelor mecanismului, α_i este unghiul între vectorii forței \vec{P}_i și al vitezei \vec{v}_i a punctului de aplicare a forței \vec{P}_i , M_i și ω_i sînt momentul cuplului de forțe aplicate elementului i și viteza unghiulară a elementului, α_r este unghiul între vectorul forței reduse \vec{P}_{red} și al vitezei \vec{v}_r a punctului de reducere în care este aplicată forța \vec{P}_{red} . Semnele termenilor primei sume sînt determinate de semnele cosinusurilor, iar semnele termenilor celei de a doua sume se obțin pozitive, dacă M_i și ω_i sînt de același sens, dacă sînt de sensuri contrare, semnele trebuie luate negative.

Dacă forțele se reduc la un element în rotație (manivelă) atunci pentru determinarea momentului M_{red} al forței reduse se poate utiliza următoarea relație:

$$M_{red} - \frac{P_{red} v_{red} \cos \alpha_{red}}{\omega_{red}} = 0, \quad (5.133)$$

unde ω_{red} este viteza unghiulară a elementului de reducere.

Forța de echilibrare \vec{P}_e este forța aplicată elementului de reducere și care învinge rezistența forțelor aplicate mecanismului. Lucrul mecanic elementar al forței de echilibrare este egal cu suma lucrului mecanic elementar al forțelor aplicate mecanismului, $\vec{P}_e = -\vec{P}_{red}$.

Momentul de echilibrare M_e este momentul forței de echilibrare.

Teorema lui Jukovski. Dacă toate forțele care sînt aplicate mecanismului, inclusiv forțele de inerție și cea de echilibrare, se mută paralel cu ele însăși în punctele omoloage ale planului vitezelor rotit

cu 90° suma momentelor tuturor acestor forțe astfel plasate față de polul planului va fi egală cu zero, adică

$$\sum_{i=1}^{i=n} P_i h_i = 0 \quad (i = 1, 2, \dots, n), \quad (5.134)$$

unde: h_i este lungimea perpendiculararei coborîte din polul planului pe linia de acțiune a forței \vec{P}_i ; planul rotit al vitezelor este figura planului obișnuit al vitezelor, rotită în orice sens cu 90° . Din ecuația (5.134), în care intră și forța de echilibrare necunoscută, se poate determina mărimea acesteia.

Masa redusă m_{red} este masa convențională, concentrată în elementul de reducere, a cărei energie cinetică este egală cu suma energiilor cinetice ale maselor elementelor mecanismului:

$$m_{red} = \frac{\sum_{i=1}^{i=n} m_i v_{Si}^2 + \sum_{i=1}^{i=n} J_i \omega_i^2}{v_{red}^2} \quad (i = 1, 2, \dots, n) \quad (5.135)$$

În cazul cînd elementul de reducere are mișcare de rotație, momentul de inerție al masei sale este egal cu:

$$J_{red} = \frac{m_{red} v_{red}^2}{\omega_{red}^2}. \quad (5.136)$$

§ 5.24. Ecuația diferențială de mișcare a elementului de reducere

Ecuația generală diferențială de mișcare a elementului de reducere este

$$M_m d\varphi + M_r d\varphi = dE \quad \text{sau} \quad P_m ds + P_r ds = dE, \quad (5.137)$$

unde M_m și P_m sînt momentul motor redus, respectiv forța motoare redusă, φ și s unghiul de rotație al elementului, respectiv drumul punctului de reducere, M_r și P_r momentul rezistent redus, respectiv forța rezistentă redusă, E energia cinetică a momentelor de inerție reduse și a maselor reduse. Toate mărimile care intră în (5.137) sînt algebrice și ele pot fi atît pozitive cît și negative.

Se disting mișcarea staționară sau permanentă și mișcarea nestaționară sau nepermanentă a agregatului mașinii. În cazul mișcării staționare, parametrii cinematici și cei dinamici ai agregatului variază după legi periodice. Tot după o lege periodică variază și viteza elementului de reducere. Perioada de variație a parametrilor cinematici și dinamici se numește deseori ciclu.

Deoarece în timpul mișcării permanente parametrii cinematici cît și cei dinamici de la sfîrșitul ciclului sînt egali cu cei de la începutul

ciclului, atunci în acest interval de timp variația energiei cinetice este egală cu zero și de aceea

$$\int_{2\pi k}^{2\pi m} M_m d\varphi + \int_{2\pi k}^{2\pi m} M_c d\varphi = 0, \quad (5.138)$$

unde k și m sînt numere întregi, iar $2\pi (m - k)$ determină mărimea unghiului de rotație a elementului de reducere, corespunzător unui ciclu.

Dacă elementului de reducere i se aplică, în afara forțelor de rezistență utilă și forțe de frecare, atunci

$$M_r = M_{ru} + M_{rf}, \quad (5.139)$$

unde M_{ru} este momentul redus al forțelor de rezistență utilă, iar M_{rf} este momentul redus al forțelor de frecare.

Conform celor de mai înainte se poate scrie

$$W_m + W_{ru} + W_{rf} = 0, \quad (5.140)$$

unde

$$W_m = \int_{2\pi k}^{2\pi m} M_m d\varphi; W_{ru} = \int_{2\pi k}^{2\pi m} M_{ru} d\varphi; W_{rf} = \int_{2\pi k}^{2\pi m} M_{rf} d\varphi. \quad (5.141)$$

Randamentul agregatului mașinii și coeficientul de pierderi sînt

$$\eta = \frac{W_{ru}}{W_m}, \quad \psi = \frac{W_{rf}}{W_m} = 1 - \eta. \quad (5.142)$$

Regimul nestaționar de lucru al unui agregat se caracterizează prin variația neperiodică a parametrilor cinematici și dinamici.

Rezolvarea ecuațiilor diferențiale (5.137). Problemele de bază în legătură cu mișcarea unui agregat conform cu condițiile date sînt:

- 1) $M_m = M_m(\varphi)$, $M_r = M_r(\varphi)$, $J_{red} = J_{red}(\varphi)$,
- 2) $M_m = M_m(\omega)$, $M_r = M_r(\varphi)$, $J_{red} = J_{red}(\varphi)$,
- 3) $M_m = M_m(\omega)$, $M_r = M_r(\omega)$, $J_r = \text{const}$,
- 4) $M_m = M_m(\omega)$, $M_r = M_r(t)$, $J_{red} = \text{const}$.

Conform cu datele problemei, la rezolvare se cere determinarea legilor de variație a vitezei unghiulare (*caracteristica de viteze*) a elementului de reducere în funcție sau de unghiul ei de rotație, sau în funcție de timp și, afară de aceasta, este necesar de asemenea să se determine *caracteristica de încărcare* a motorului [$M_m = M_m(\varphi)$ sau $M_m = M_m(t)$]. În majoritatea cazurilor datele inițiale sînt puse la dispoziție sub formă de diagrame.

Problemele 1 și 2 se pot rezolva pe baza condițiilor inițiale date în următoarea ordine generală. În intervalul dintre φ_1 și φ_k se admite

o creștere $\Delta E = E_k - E_i$ a energiei cinetice. Pe baza relației (5.137) rezultă

$$\Delta E = E_k - E_i = \int_{\varphi_i}^{\varphi_k} (M_m + M_r) d\varphi. \quad (5.143)$$

Pentru ω_k în poziția k avem

$$\omega_k = \sqrt{\frac{2E_k}{I_{red}(\varphi_k)}}. \quad (5.144)$$

Rezolvînd problema propusă, se poate obține la sfîrșit funcția $\omega = \omega(\varphi)$. Dacă funcția inițială a momentului a fost dată sub forma $M_m = M_m(\omega)$, se poate acum determina legea variației sale în funcție de φ .

În cazul cînd se cere obținerea funcției $\omega = \omega(t)$ trebuie utilizată ecuația

$$t_k - t_i = \int_{\varphi_i}^{\varphi_k} \frac{1}{\omega} d\varphi. \quad (5.145)$$

Pentru rezolvarea acestei ecuații este necesară obținerea în prealabil a relației $\frac{1}{\omega} = f(\varphi)$ din $\omega = \omega(\varphi)$. Rezolvînd ecuația (5.145), obținem $\varphi = \varphi(t)$ și apoi, avînd $\omega = \omega(\varphi)$, se determină și $\omega = \omega(t)$.

Determinarea lui ΔE cu ajutorul egalității (5.143). Se reprezintă (5.143) în următoarea formă:

$$\begin{aligned} \Delta E = E_k - E_i &= (M_{mmed} + M_{rmed})(\varphi_k - \varphi_i) = \\ &= M_{mmed} \Delta\varphi + M_{rmed} \Delta\varphi. \end{aligned} \quad (5.146)$$

Dacă se dă $M_m = M_m(\varphi)$, $M_r = M_r(\varphi)$ și $I_{red} = I_{red}(\varphi)$, atunci în intervalul dintre φ_i și φ_k se pot determina M_{mmed} și M_{rmed} din diagramele date (fig. 5.71), apoi din (5.146) se determină mărimea E_k și mai departe ω_k .

Dacă se dă $M_m = M_m(\omega)$, $M_r = M_r(\varphi)$ și $I_{red} = I_{red}(\varphi)$, atunci determinarea lui M_{mmed} în intervalul dintre φ_i și φ_k se face admitînd unele ipoteze simplificatoare, după cum urmează:

A. Dacă în intervalul dintre φ_i și φ_k se presupune că $M_{mmed} = M_m(\omega_i)$, $M_{rmed} = M_r(\varphi_i)$, E_k poate fi calculat din (5.146). Metoda propusă dă rezultate cu atît mai precise, cu cît intervalul dintre φ_i și φ_k este mai mic.

B. Se consideră că în intervalul dintre φ_i și φ_k , M_m variază în funcție de φ după o lege liniară: $M_m = M_{mi} + c\varphi$, unde c este un coeficient unghiular. În acest caz pentru M_{mmed} avem

$$M_{mmed} = \frac{M_{mk} + M_{mi}}{2} = \frac{M_{mi} + \Delta M_m + M_{mi}}{2} = M_{mi} + \frac{\Delta M_m}{2}, \quad (5.147)$$

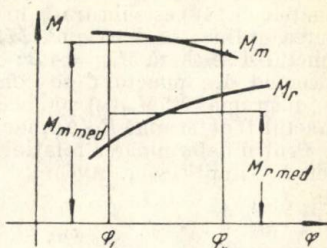


Fig. 5.71.

unde M este creșterea totală a momentului motor în intervalul de la φ_i la φ_k .

Acum egalitatea (5.146) poate fi pusă sub următoarea formă

$$\frac{E_k}{\Delta\varphi} = \left(\frac{E_i}{\Delta\varphi} + M_{mi} + M_{rmed} \right) + \frac{\Delta M_m}{2} \quad (5.148)$$

În egalitatea scrisă, partea stîngă este funcția $\frac{E_k}{\Delta\varphi} = \frac{I_k \omega^2}{2\Delta\varphi} = f(\omega)$; în partea dreaptă expresia din paranteze este o mărime constantă, iar ultimul termen — o funcție de ω dată de relația $0,5M_m = f_1(\omega)$.

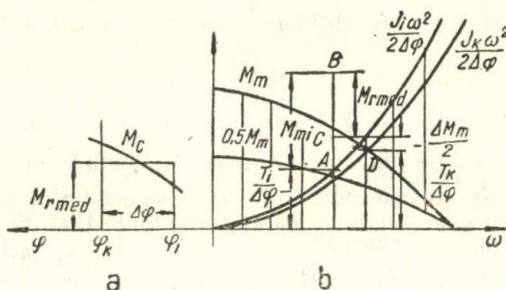


Fig. 5.72.

Prin urmare, am obținut o ecuație în care variabilele E_k și ΔM_m sînt funcții (diferite) ale aceluiași parametru ω . Rezolvarea grafică a ecuației (5.148) este ilustrată în fig. 5.72. Construcția se face în următoarea ordine: se determină M_{rmed} (fig. 5.72, a), apoi $E_k/\Delta\varphi$; de la punctul A se așază $M_{mi} = AB$; de la punctul B se așază $M_{rmed} = BC$. Începînd din punctul C se construiește curba echidistantă CD, față de diagrama $0,5M_m(\omega)$ pînă la intersecția ei cu diagrama $E_k/\Delta\varphi$. Punctul D determină $E_k/\Delta\varphi$, iar ω_k se stabilește din diagrama fig. 5.72.

Pentru determinarea relației $\omega = \omega(t)$ se poate utiliza următoarea metodă simplificată. Avem

$$\omega_{ik} \approx \frac{\Delta\varphi}{\Delta t} = \frac{\varphi_k - \varphi_i}{t_k - t_i},$$

unde ω_{ik} este valoarea medie a lui ω în intervalul dintre φ_i și φ_k . Obținem

$$t_k = t_i + \frac{\varphi_k - \varphi_i}{\omega_{ik}}. \quad (5.149)$$

Determinînd intervalele de timp pentru toată porțiunea de variație a unghiului φ cercetată se poate construi diagrama $\omega = \omega(t)$.

Pentru rezolvarea problemelor 3 și 4, utilizăm ecuația obținută din (5.137)

$$M_m + M_r = I_{red} \frac{d\omega}{dt}. \quad (5.150)$$

Se dă $M_m = M_m(\omega)$, $M_{u_2} = M_{u_2}(\omega)$ și $J_{red} = \text{const.}$ Avem următoarea soluție:

$$t_k - t_i = I_{red} \int_{\omega_i}^{\omega_k} \frac{d\omega}{M_m(\omega) + M_r(\omega)}. \quad (5.151)$$

Se dau $M_m = M_m(\omega)$, $M_r = M_r(t)$, $I_{red} = \text{const.}$ Problema se rezolvă analog cu cea examinată la punctul B. În cazul dat, în locul lui (5.148) avem

$$\frac{I_{red}\omega_k}{\Delta t} = \left(\frac{I_{red}\omega_i}{\Delta t} + M_{mi} + M_{rmed} \right) + 0,5\Delta M_m, \quad (5.152)$$

unde Δt este intervalul de timp dintre t_i și t_k , iar celelalte mărimi sînt analoge cu cele examinate mai înainte. În cazul dat, după rezolvarea ecuației (5.152) pentru toate porțiunile de abscisă, se poate construi imediat diagrama $\omega = \omega(t)$.

§ 5.25. Limitarea oscilațiilor periodice ale vitezei agregatului

Gradul de neuniformitate δ al mișcării staționare a unui agregat este o mărime care caracterizează oscilațiile vitezei unghiulare ale elementului de reducere

$$\delta = \frac{\omega_{max} - \omega_{min}}{\omega_{med}}, \quad (5.153)$$

unde ω_{max} și ω_{min} sînt valorile extreme ale vitezei unghiulare în timpul unui ciclu din mișcarea staționară, iar ω_{med} este valoarea medie a vitezei unghiulare în același timp, care se determină din formula

$$\omega_{med} = \frac{\omega_{max} + \omega_{min}}{2}. \quad (5.154)$$

Limitarea oscilațiilor periodice ale vitezei se realizează cu ajutorul unei mase suplimentare adăugată elementului de reducere. Masa suplimentară este o roată numită volant, așezată pe arborele elementului de reducere.

La mișcarea staționară și la valori mici ale lui δ se consideră de obicei că momentul motor M_m este aproximativ constant. În acest

caz problema determinării momentului de inerție al volantului se rezolvă astfel.

A. Din diagrama dată $M_r = M_r(\varphi)$ (fig. 5.73) se determină mărimea M_m pe baza următoarei egalități:

$$M_m = \frac{1}{2\pi k} \int_0^{2\pi k} M_r(\varphi) d\varphi = \frac{1}{2\pi k} k_M \cdot k_\varphi S, \quad (5.155)$$

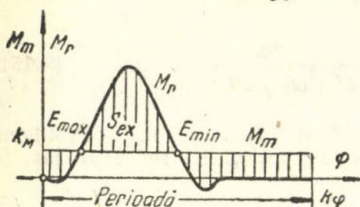


Fig. 5.73.

unde S este suprafața diagramei $M_r(\varphi)$ pentru ciclul $2\pi k$; k_M și k_φ sînt scări.

B. Se determină cel mai mare lucru mecanic în exces

$$W_{ex} = S_{ex} k_M k_\varphi, \quad (5.156)$$

adică diferența lucrului mecanic al forțelor motoare și al forțelor

de rezistență (sau invers) între două poziții vecine ale elementului de reducere, pentru care avem $M_m = M_r$.

C. Se calculează mărimea momentului de inerție I_v al volantului care asigură pe δ dat

$$I_v = \frac{W_{ex}}{\delta \omega_{med}^2} = \frac{k_M k_\varphi \cdot S_{ex}}{\delta \omega_{med}^2}. \quad (5.157)$$

În calculul de mai înainte nu este luată în considerare masa redusă a elementelor mecanismului, care, comparativ cu masa volantului este în general mică.

Pentru determinarea lui I_v la un agregat cu motor electric, al cărui moment este funcție de viteza unghiulară a rotorului, se examinează două cazuri, după cum urmează.

1. Momentul rezistent este egal cu $M_r = M_r(\varphi)$, iar momentul de inerție redus I_{red} al elementelor mecanismului este aproximativ egal cu zero.

Se presupune că în agregat intră un motor asincron, a cărui caracteristică mecanică este reprezentată în fig. 5.74. Se înlocuiește porțiunea de funcționare a caracteristicii cu dreapta AB , care trece prin punctul de moment nominal M_n . Avem

$$M_m = M_0 - c \cdot \omega, \quad (5.158)$$

unde M_0 este mărimea momentului convențional, care se obține, dacă dreapta dată se prelungește pînă la intersecția cu axa ordonatelor, iar c este coeficientul unghiular al acestei drepte, dat de expresia

$$c = \frac{M_0}{\omega_r}. \quad (5.159)$$

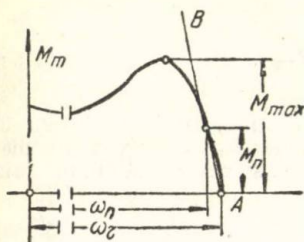


Fig. 5.74.

Mărirea M_n a momentului motor se determină din

$$M_n = k M_{r \text{ med}} \quad (k = 1,15 \div 1,25). \quad (5.160)$$

Dacă momentul rezistent M_r variază conform cu fig. 5.75 (diagramă caracteristică pentru mașinile percutante, cu momentul M_r mare pentru unghiul φ_r la funcționarea de regim și cu M_g mic pentru unghiul φ_g de mers în gol), atunci pentru ω_{\max} și ω_{\min} dați, ghidându-ne după partea din diagramă, care stabilește momentul la funcționarea de regim, obținem următoarea mărime a lui I_v [1]:

$$I_v = \frac{c^2 \varphi_p}{c(\omega_{\max} - \omega_{\min}) + M'_0 \ln \frac{M'_0 - c\omega_{\max}}{M'_0 - c\omega_{\min}}}, \quad (5.161)$$

unde $M'_0 = M_0 - M_r$.

Deoarece puterea motorului a fost aleasă cu o oarecare aproximație, amplitudinea oscilațiilor ω va fi evident ceva mai mică decât cea dată.

În cazurile cînd diagrama $M_r = M_r(\varphi)$ reprezintă o curbă cu variație lentă, iar diagrama $M_m = M_m(\omega)$ este de asemenea curbilinie, atunci pentru determinarea lui I_v se poate folosi următoarea metodă aproximativă.

Pentru valorile extreme ale lui ω , egale cu ω_{\max} și ω_{\min} , accelerația unghiulară a elementului de reducere este egală cu zero și de aceea

$$M_m + M_r = I_v \frac{d\omega}{dt} = 0,$$

de unde $M_m = -M_r$. Aceasta permite determinarea pozițiilor elementului de reducere, în care ω atinge valorile extreme (fig. 5.76).

Se presupune că M_m variază în funcție de φ după o lege liniară. În acest caz lucrul mecanic în exces se exprimă prin suprafața hașurată

în fig. 5.76 și $I_v = \frac{W_{ex}}{\delta \omega_m^2}$.

În scopul verificării rezultatului se determină E_{\max} și E_{\min} :

$$E_{\max} = I_v \frac{\omega_{\max}^2}{2} \text{ și } E_{\min} = I_v \frac{\omega_{\min}^2}{2}$$

și se utilizează ecuația (5.148)

$$I_v \frac{\omega_i^2}{2\Delta\varphi} + M_{mi} + M_{rm} + \frac{\Delta M_m}{2} = I_k \frac{\omega_k^2}{2\Delta\varphi}.$$

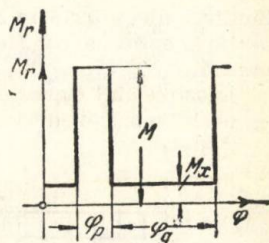


Fig. 5.75.

Se consideră (fig. 5.76) că punctul A corespunde valorilor $I_v \frac{\omega_i^2}{2\Delta\varphi}$ și $M_{m \max}$. Deoarece se va utiliza o porțiune mică a parabolei $I_v \frac{\omega^2}{2\Delta\varphi} (\omega)$, în această porțiune ea poate fi considerată ca dreaptă. Pentru intervalele $\Delta_1\varphi$ și $\Delta\varphi$ sînt construite două curbe diferite, a doua serie de puncte este obținută în conformitate cu mărimile

$$I_v \frac{\omega_{\max}^2}{2\Delta_1\varphi} \text{ și } I_v \frac{\omega_{\max}^2}{2\Delta\varphi}.$$

Pentru $\omega = \omega_{\max}$ starea energetică a agregatului se caracterizează prin punctul 1. Cu ajutorul ecuației de mai înainte se efectuează următoarea construcție: M_{mi} este segmentul 1-2; M_{rm} = segmentul 2-3; $0,5\Delta M_m$ — porțiunea de curbă 3-4, echidistantă curbei $0,5M_m = 0,5M_m(\omega)$, pînă la intersecția cu curba $A-1$. Punctul 4 caracterizează starea energetică a agregatului în poziția 1. Deoarece următorul interval este egal cu $\Delta\varphi$, trebuie trecut pe curba $A-1$. Construcțiile ulterioare se execută în mod analog. Rezultatul final arată că aproximația făcută mai înainte s-a dovedit suficient de precisă.

Deoarece sînt cunoscute valorile lui ω în toate pozițiile cercetate, se poate construi diagrama mai precisă $M_m = M_m(\varphi)$. Fig. 5.76

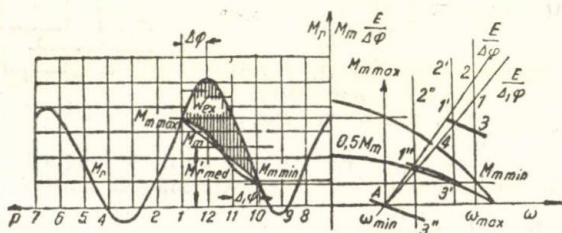


Fig. 5.76.

arată că suprafețele în exces, limitate jos de o dreaptă și de curba $M_m(\varphi)$ sînt apropiate ca mărime una de alta.

2. $M_r = M_r(t)$ și $I_{red} = 0$. Să se determine I_v pentru ω_{\max} și ω_{\min} dați.

Pentru mașini percutante avem diagrama reprezentată în fig. 5.77. În acest caz motorul se alege conform egalității (5.160) și pentru porțiunea de funcționare a caracteristicii sale se folosește ecua-

ția (5.158). Momentul de inerție I_v al volantului se determină din formula [1]

$$I_v = \frac{c t_p}{\ln \frac{M'_0 - c \omega_{\max}}{M'_0 - c \omega_{\min}}}, \quad (5.162)$$

unde $M'_0 = M_0 - M_p$.

În cazul curbelor date $M_m = M_m(\omega)$ și $M_r = M_r(t)$ de formă generală trebuie utilizată ecuația (5.152).

Momentul de inerție al volantului se determină în același mod ca și în cazul precedent (fig. 5.78). Succesiunea construcțiilor necesare este următoarea: a) pe diagrama $M_r = M_r(t)$ se înseamnă punctele $M_{m \min}$ și $M_{m \max}$ care se unesc cu o linie dreaptă; b) se calculează mărimea $S_{ex} k_I k_t$, c) se calculează momentul de inerție I_v cu formula

$$I_v = \frac{S_{ex} k_I k_t}{\omega_{\max} - \omega_{\min}}. \quad (5.163)$$

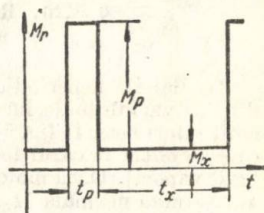


Fig. 5.77.

d) Se verifică cu formula (5.152) rezultatul obținut, în care scop se calculează mărimile $\frac{I_v(\omega_{\max} - \omega_{\min})}{\Delta t}$ pentru $\Delta_1 t$, $\Delta_2 t$ și $\Delta_3 t$ (în partea dreaptă a diagramei sînt construite dreptele $I_v \omega / \Delta t$ pentru cele

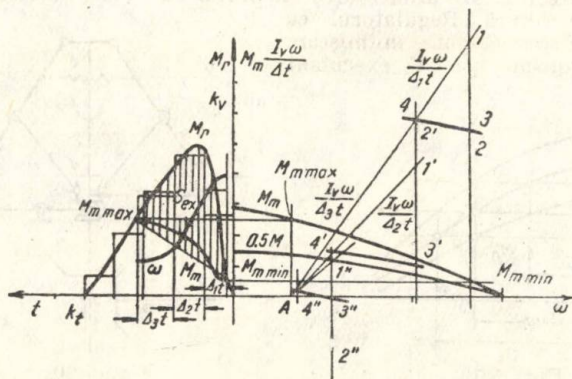


Fig. 5.78.

trei valori indicate ale lui Δt); e) utilizînd ecuația (5.152), așezăm de la punctul 1 segmentul 1-2, corespunzător ordonatei $M_{r \text{ med}}$ pentru intervalul 1-2, după aceea segmentul 2-3, corespunzător ordonatei

diagramei $M_m = M_m(\omega)$ și apoi segmentul 3—4, echidistant față de curba $0,5M_m = 0,5M_m(\omega)$.

Următorului interval îi corespunde dreapta $I_p\omega/\Delta_2 t$, de aceea trebuie făcută trecerea pe această dreaptă (segmentul 4—I) și după aceasta construcțiile se execută analog. În cazul dat punctul 4" nu a coincis cu punctul A. Totuși diferența obținută este neînsemnată și ea ne dă o mare siguranță; de aceea nu este cazul să se facă recalcularea. Pentru ilustrare în fig. 5.78 sînt construite curbele $M_m = M_m(t)$ și $\omega = \omega(t)$.

§ 5.26. Reglarea oscilațiilor neperiodice ale vitezei agregatului

Oscilațiile neperiodice ale vitezei agregatului au loc în cazul condițiilor variabile de lucru, de exemplu ca rezultat al schimbării sarcinii exterioare. În fig. 5.79 sînt arătate pentru motor trei caracteristici care se obțin în cazul folosirii a trei cantități diferite de agent motor (gaz, vapori). Dacă motorul funcționează după caracteristica I, atunci la o sarcină normală M_r , arborele său se rotește cu viteza nominală ω_n . La variația momentului rezistent pînă la M'_r , viteza unghiulară se micșorează pînă la ω_1 , iar pînă la M''_r , ω se mărește pînă la ω_2 . Pentru înlăturarea oscilațiilor vitezei, motorul se trece automat la funcționarea după o altă caracteristică, de exemplu după II sau III. Instalațiile, care mențin în timpul funcționării motorului viteza lui nominală, se numesc *reglatoare*.

Regulatorul cu acțiune directă acționează direct asupra mecanismului care reglează alimentarea motorului cu agentul motor în cantitatea necesară. Regulatorul cu acțiune indirectă pune în mișcare un mecanism special executant

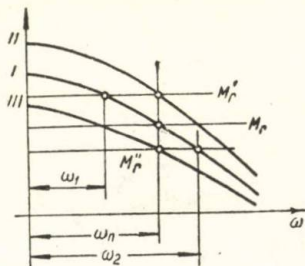


Fig. 5.79.

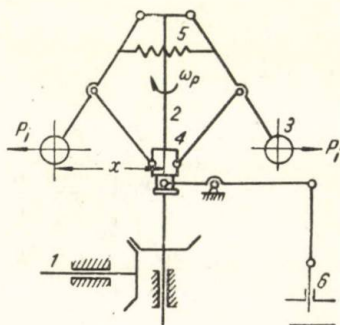


Fig. 5.80.

(servomotor), care comandă organul de reglare. În fig. 5.80 este indicată schema unui regulator centrifug cu acțiune directă.

După cum indică fig. 5.80, unei viteze unghiulare a arborelui 1 al motorului îi corespunde o viteză unghiulară anumită ω_r a regula-

torului. Greutățile bilelor 3, ale manșonului 4 și ale tuturor elementelor mobile, legate de axul 2 al regulatorului, precum și tensiunea arcului 5 tind să mențină manșonul 4 în poziția inferioară, iar sertarul 6 — în poziția limită superioară. Pe de altă parte, forțele centrifuge P ale greutateților tind să ridice mufa și să coboare sertarul 6. Funcționarea regulatorului trebuie să fie stabilă; raportul între forțele arătate mai sus trebuie să fie astfel încât la diferite viteze unghiulare, atât poziția manșonului 4 cât și a sertarului 6 să se păstreze stabile. Această condiție va fi respectată dacă forțele centrifuge dezvoltate de manșon precum și cele ale greutateților celor două bile vor fi egale cu forțele de greutate reduse ale elementelor și cu forța de tensiune în arc. În fig. 5.81 este indicată caracteristica unui regulator, reprezentată prin diagrama $P_r = P_r(x)$ a forțelor de greutate ale elementelor și a tensiunii din arc reduse la centrele greutateților unde x este distanța centrului de greutate 3 pînă la axa regulatorului. În aceeași figură sînt indicate diagramele forțelor de inerție reduse ale greutateților la diferite viteze unghiulare ale regulatorului. Caracteristica examinată este stabilă, deoarece la variații întîmplătoare ale poziției greutateților regulatorul tinde să se întoarcă în poziția anterioară.

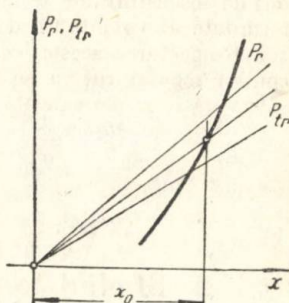


Fig. 5.81.

La regulatorul cu acțiune directă, pentru diferite sarcini exterioare se stabilesc diferite viteze unghiulare ale arborelui motorului și regulatorului. Gradul de neregularitate al funcționării unui regulator este

$$\delta_{reg} = \frac{\omega_{max} - \omega_{min}}{\omega_{med}}, \text{ unde } \omega_{med} = \frac{\omega_{max} + \omega_{min}}{2}. \quad (5.164)$$

Aici ω_{max} și ω_{min} sînt vitezele unghiulare extreme ale regulatorului, care se stabilesc la mersul în gol și la sarcina totală; ω_{med} este viteza unghiulară medie ce se definește prin viteza unghiulară nominală a motorului.

Datorită frecării în cuplurile cinematice ale regulatorului, la variația vitezei unghiulare manșonul 4 începe să se miște numai în momentul cînd forțele centrifuge ale greutateților înving forțele de frecare; regulatorul răspunde deci la variațiile vitezei cu oarecare întîrziere, care este caracterizată ca așa-numita *insensibilitate*.

Gradul de insensibilitate este

$$\epsilon = \frac{\omega''_{reg} - \omega'_{reg}}{\omega_{reg}}, \quad (5.165)$$

unde ω_{reg} este viteza unghiulară a regulatorului, stabilită în condițiile date, iar ω''_{reg} și ω'_{reg} sînt vitezele unghiulare la care începe

mișcarea manșonului la micșorarea și respectiv la creșterea sarcinii exterioare.

Gradul total de neregularitate Δ al funcționării unui regulator este

$$\Delta = \delta_{reg} + \epsilon. \quad (5.166)$$

Atunci cînd agregatul este prevăzut cu regulator și cu volant, gradul de insensibilitate trebuie să fie mai mare decît gradul de neuniformitate al volantului, determinat de oscilațiile periodice ale vitezei. Respectarea acestei condiții este indispensabilă, deoarece în caz contrar regulatorul va reacționa la variațiile periodice ale vitezei și se va găsi în permanență într-o mișcare de oscilație.

5.9

Studiul forțelor în mecanisme [1]

§ 5.27. Cuple cinematice

Studiul forțelor în mecanisme se reduce la determinarea reacțiunilor care apar în cuplele cinematice datorită acțiunii forțelor exterioare, a forțelor de inerție și a forțelor de greutate ale elementelor. Deoarece forțele de frecare în cuplele cinematice influențează într-o oarecare măsură reacțiunile, ele trebuie, în general, luate în considerare.

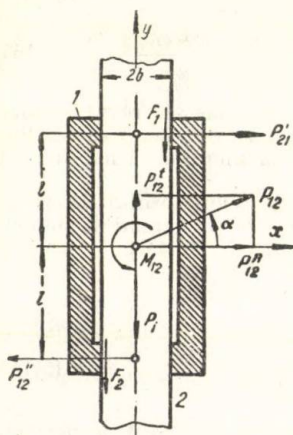


Fig. 5.82.

Cupla de translație. Ipotezele admise: 1) mărimile suprafețelor de reazem ale glisierii sînt mici în comparație cu lungimea ei (fig. 5.82); 2) pe suprafețele de reazem presiunea este repartizată uniform; 3) forțele și lungimile brațelor lor de pîrghie sînt mărimi algebrice și pot fi atît pozitive cît și negative (același lucru se referă și la vectorii forțelor și ai brațelor de pîrghie); 4) semnul brațului de pîrghie al momentului forței se consideră negativ dacă brațul este îndreptat spre partea negativă a axei de coordonate.

La rezolvarea problemei propuse toate forțele aplicate elementului se vor transpune spre centrul glisierii, ceea ce permite obținerea unui singur vector rezultant și a unui singur moment rezultant,

care se vor nota respectiv cu \vec{P}_{12} și \vec{M}_{12} (fig. 5.82), unde indicele 12 simbolizează acțiunea elementului 1 asupra elementului 2.

Presupunem că glisiera se mișcă în sus. Atunci, considerînd forțele de frecare F_1 și F_2 egale

$$F_1 = \mu |\vec{P}'_{21}|, F_2 = \mu |\vec{P}''_{21}| \quad (5.167)$$

și îndreptate în sens opus vitezei relative, se pot compune ecuațiile pentru determinarea reacțiunilor \vec{P}'_{21} și \vec{P}''_{21}

$$\left. \begin{aligned} P'_{21} + P_{12} \cos \alpha + P''_{21} &= 0, \\ P'_{21} l + \mu b |P'_{21}| + M_{12} + P''_{21} l + \mu b |P''_{21}| &= 0, \\ P_{12} \sin \alpha + \mu |P'_{21}| + \mu |P''_{21}| + P_i &= 0, \end{aligned} \right\} \quad (5.168)$$

unde P_i este forța de inerție căutată a glisierii 1.

Sistemul de ecuații (5.168) este neliniar din cauză că în el intră unele mărimi cu semnele modulului și de aceea el poate fi rezolvat doar aproximativ. În prima aproximație, considerînd forțele de frecare egale cu zero, se determină P'_{21} și P''_{21} și apoi din ecuația (5.167) se determină mărimile F_1 și F_2 . În a doua aproximație, în sistemul de ecuații (5.168) se introduc mărimile F_1 și F_2 obținute și se determină din nou P'_{21} și P''_{21} și așa mai departe.

Dacă sensul mișcării glisierii este cunoscut dinainte, sistemul de ecuații (5.168) poate fi rezolvat imediat, deoarece în acest caz sensurile forțelor de frecare sînt de asemenea cunoscute. În fig. 5.83 este

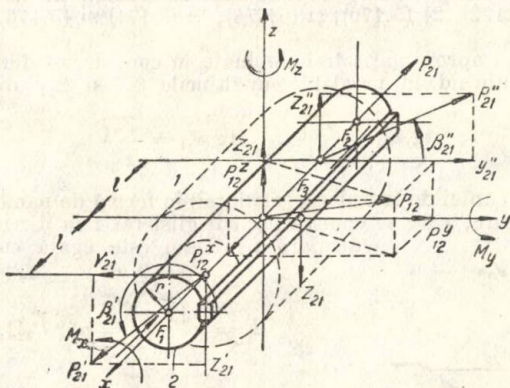


Fig. 5.83.

indicat cazul general de încărcare a unei cuple de translație. Se dă $\vec{P}_{12}(P^x_{12}, P^y_{12}, P^z_{12})$, $\vec{M}_{12}(M_x, M_y, M_z)$, r , l și f . Se cere să se determine $\vec{P}'_{21}(Y'_{21}, Z'_{21})$, $\vec{P}''_{21}(Y''_{21}, Z''_{21})$, reacțiunea Z_{21} , forțele de frecare F_1 , F_2 , F_3 și forța de inerție P_i , dacă glisiera se mișcă în sensul pozitiv față de axa x .

Compunem ecuațiile de proiecție ale forțelor și momentelor

$$P_{12}^x + F_1 + F_2 + F_3 + P_i = 0, \quad (5.169)$$

$$P_{12}^y + Y_{21}' + Y_{21}'' = 0, \quad (5.170)$$

$$P_{12}^z + Z_{21}' + Z_{21}'' = 0, \quad (5.171)$$

$$M_x + Z_{21}''r = 0, \quad (5.172)$$

$$M_y + Z_{21}'l + Z_{21}''l + F_1r \sin \beta_{21}' + F_2r \sin \beta_{21}'' = 0, \quad (5.173)$$

$$M_z + Y_{21}'l + Y_{21}''l + F_1r \cos \beta_{21}' + F_2r \cos \beta_{21}'' + F_3r = 0, \quad (5.174)$$

unde

$$F_1 = \mu |\vec{P}_{21}'|, \quad F_2 = \mu |\vec{P}_{21}''|, \quad F_3 = \mu |\vec{Z}_{21}|, \quad (5.175)$$

$$P_{21}' = \sqrt{Y_{21}'^2 + Z_{21}'^2}, \quad P_{21}'' = \sqrt{Y_{21}''^2 + Z_{21}''^2}. \quad (5.176)$$

În prima aproximație, considerînd forțele de frecare egale cu zero, sistemul de ecuații indicat mai înainte se rezolvă în ordinea următoare: 1) (5.172), 2) (5.170), și (5.174), 3) (5.171) și (5.173), 4) (5.175) și 5) (5.169).

În a doua aproximație trebuie luate în considerare forțele de frecare, determinînd în prealabil unghiurile β_{21}' și β_{21}'' din relațiile

$$\operatorname{tg} \beta_{21}' = \frac{Z_{21}'}{Y_{21}'}, \quad \operatorname{tg} \beta_{21}'' = \frac{Z_{21}''}{Y_{21}''}. \quad (5.177)$$

În cazul cuplei de translație (glisierii) în formă de pană (fig. 5.84), forța de frecare, care se opune mișcării glisierii 1 în direcția perpendiculară pe desen este egală cu

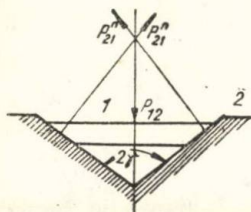


Fig. 5.84.

$$F = \mu \frac{|\vec{P}_{12}|}{\sin \gamma} = \mu' |\vec{P}_{12}|, \quad (5.178)$$

unde μ' este coeficientul convențional de frecare a glisierii în formă de pană.

Cupla de rotație. În cazul general, la reducerea forțelor care acționează asupra axului cuplei de rotație (fig. 5.85), se obțin: o

forță \vec{P}_{12} ($P_{12}^x, P_{12}^y, P_{12}^z$) și un moment \vec{M}_{12} (M_x, M_y, M_z). Sub acțiunea forțelor indicate apar reacțiunile, ale căror proiecții sînt indicate în

fig. 5.85. Afară de aceasta apar momente de frecare ale căror expresii sînt

$$\left. \begin{aligned} M'_F &= \mu r |\vec{P}_{21}|; M''_F = \mu r |\vec{P}_{21}'|, \\ M_F &= \frac{2}{3} \mu \frac{r^3 - r_1^3}{r^2 - r_1^2} |\vec{Y}_{21}|, \end{aligned} \right\} \quad (5.179)$$

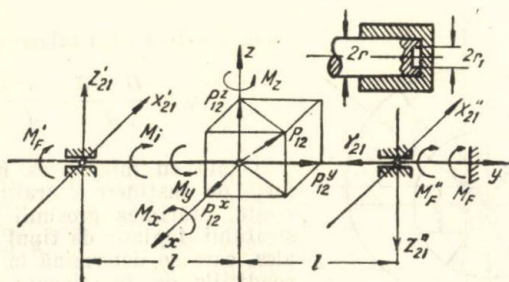


Fig. 5.85.

unde sensurile momentelor de frecare sînt opuse sensului de rotație al arborelui. Sistemul de ecuații este

$$\left. \begin{aligned} P_{21}^x + X'_{21} + X''_{21} &= 0, \\ P_{12}^y + Y_{21} &= 0, \\ P_{12}^z + Z'_{21} + Z''_{21} &= 0, \\ M_x + Z'_{21}l + Z''_{21}l &= 0, \\ M_y + M'_F + M''_F + M_F + M_i &= 0, \\ M_z + X'_{21}l + X''_{21}l &= 0. \end{aligned} \right\} \quad (5.180)$$

Rezolvarea unui astfel de sistem de ecuații nu prezintă dificultăți, deoarece sensurile momentelor de frecare se stabilesc ușor.

*Funcționarea fusului în condițiile frecării lichide**. Datorită aderenței unsoirii de fus, în timpul rotației uleiul desprinde arborele de cuzinet. Fusul și cuzinetul sînt separate printr-un strat de ulei, în interiorul căruia se creează presiunea hidrodinamică, care stabilește un strat de grosime minimă h_0 (fig. 5.86). O dată cu mărirea viscozității absolute η [kg · s/m²] și a lui n [ture/min] și o dată cu micșorarea sarcinii specifice $p = \frac{P}{dl}$ (l este lungimea fusului), h_0 se

*) Vezi Краткий технический справочник под общей редакцией Вяч. А. Зиновьева, partea I-a, Гостехиздат, 1952.

derile totale în lagărele de rostogolire, pot fi determinate cu ajutorul coeficienților convenționali de frecare de rostogolire f_0 , raportați la circumferința arborelui. În asemenea cazuri se recomandă următoarele valori: $f_0 = 0,001...0,004$ pentru lagăre cu bile și $f_0 = 0,0025...0,01$ pentru lagăre cu role.

Cupla șurub. Dacă șurubului 2 care sub acțiunea unui cuplu de forțe M_2 se rotește față de piulița fixă 3, i se opune forța axială P_{12} datorită piesei 1 (fig. 5.87). Piesa 1 nu poate avea decât o mișcare de translație rectilinie. În plus, mișcării șurubului 2 i se opun forțele de frecare în filet și pe suprafața de reazem a piesei 1. Forța P_{12} și forțele de frecare în filet se consideră aplicate pe suprafața mediană a filetului.

În cazul unui moment motor M_2 avem

$$M_2 = P_{12} r_{med} \operatorname{tg}(\alpha + \varphi') + \frac{2}{3} \mu_1 P_{12} \frac{R^3 - R_1^3}{R^2 - R_1^2}, \quad (5.187)$$

unde α este panta filetului, iar $\varphi' = \operatorname{arc} \operatorname{tg} \mu'$ este unghiul convențional de frecare, ce se determină în funcție de μ' conform ecuației (5.178), dacă filetul este triunghiular sau trapezoidal, iar μ_1 este coeficientul de frecare pe suprafața de reazem a piesei 1.

În cazul când P_{12} este forța motoare, se obține

$$P_{12} = \frac{M_2}{r_{med} \operatorname{tg}(\alpha - \varphi') - \frac{2}{3} \mu_1 \frac{R^3 - R_1^3}{R^2 - R_1^2}}. \quad (5.188)$$

Dacă numitorul părții din dreapta (5.188) este mai mic decât zero, aceasta indică faptul că cupla șurub este cu autofrînare.

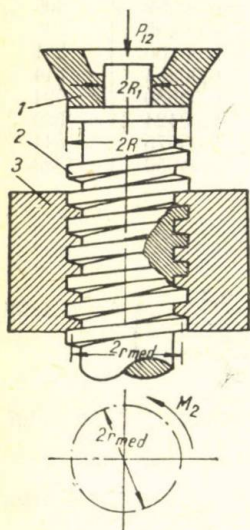


Fig. 5.87.

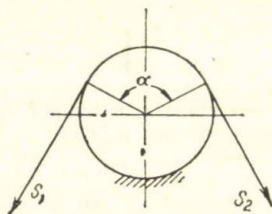


Fig. 5.88.

Frecarea cablului flexibil pe un cilindru fix. Formula lui Euler, care dă relația dintre tensiunea S_1 a părții conducătoare și S_2 a celei conduse a cablului este

$$S_1 = S_2 e^{\mu \alpha}, \quad (5.189)$$

unde μ este coeficientul de frecare; α unghiul de înfășurare, e baza logaritmilor naturali (fig. 5.88).

§ 5.28. Mecanisme cu roți de fricțiune

Studiul forțelor în mecanismele cu roți de fricțiune se reduce la determinarea forței necesare de apăsare a roților în funcție de momentul dat al cuplului forțelor de rezistență și de dimensiunile date ale roților. Afară de aceasta, prin calcul se determină și reacțiunile în lagăre.

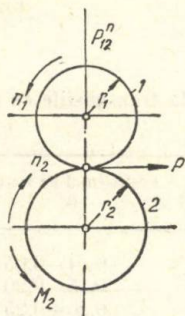


Fig. 5.89.

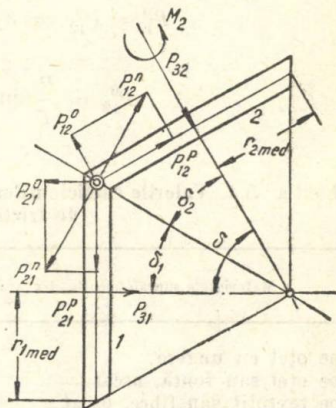


Fig. 5.90.

Pentru o transmisie cu roți cu fricțiune, cilindrice (fig. 5.89), forța de antrenare necesară se determină în funcție de mărimea lui M_2 . Avem

$$P = \frac{M_2}{r_2} k, \quad (5.190)$$

unde $k \approx 1,20 \div 1,50$ este coeficientul de siguranță al acționării.

Forța de apăsare P_{12}^n este

$$P_{12}^n = \frac{P}{\mu}, \quad (5.191)$$

unde μ este coeficientul de frecare dintre cele două roți determinat din tabela 5.4. Reacțiunile în lagăr apar datorită celor două forțe P și P_{12}^n . Mărimile acestor reacțiuni depind și de forma constructivă a transmisiei. La transmisia conică prin fricțiune (fig. 5.90) forța periferică cu contact este îndreptată perpendicular pe desen și notată printr-un cerculeț cu punct. Mărimea ei este

$$P = \frac{M_2}{r_2 \text{ med}} k. \quad (5.192)$$

Forța normală de apăsare necesară este

$$|P_{12}^n| = |P_{21}^n| = \frac{|P|}{\mu}. \quad (5.193)$$

Pentru roata 2 avem

$$P_{12}^p = P_{12}^n \cos \delta_2 = \frac{P}{\mu} \cos \delta_2, \quad (5.194)$$

$$P_{12}^0 = \frac{P}{\mu} \sin \delta_2 = P_{32}. \quad (5.195)$$

T a b e l a 5.4. Valorile coeficienților de frecare la transmisiile cu roți de fricțiune

Materialele suprafețelor în frecare	Coeficientul de frecare μ
Oțel pe oțel cu ungere	0,04—0,05
Oțel pe oțel sau fontă, uscat	0,15—0,20
Oțel pe textolit sau fibre, uscat	0,20—0,25
Oțel sau fontă pe piele, uscat	0,20—0,35
Oțel pe ferodo, uscat	0,30—0,35
Oțel sau fontă pe cauciuc, uscat	0,35—0,45
Oțel sau fontă pe lemn, uscat	0,35—0,50

Pentru roata 1

$$P_{21}^p = \frac{P}{\mu} \cos \delta_1, \quad P_{21}^0 = \frac{P}{\mu} \sin \delta_1 = P_{31}. \quad (5.196)$$

Reacțiunile în lagăre trebuie determinate pentru toate cele trei componente: P , P^p și P^0 .

§ 5.29. Mecanisme cu roți dințate

Calculul forțelor în mecanismele cu roți dințate se efectuează luându-se în considerare și frecarea de alunecare în angrenaje și în lagăre. Sensul forței de frecare în angrenaj este diferit în cele două părți ale polului P (fig. 5.91), deoarece viteza de alunecare își schimbă semnul în pol. Segmentele P_a și P_b ale liniei de angrenare se vor considera aproximativ egale, astfel că valoarea medie a forței de frecare F_{12} pe perioada de angrenare este egală cu zero. Valoarea medie a momentului de frecare M_{12} pentru aceeași perioadă are o

mărime determinată. În fig. 5.91, a este dată epura momentului M_f din care rezultă valoarea medie:

$$M_{12} \approx \frac{1}{2} F_{12} \cdot P_a \approx \frac{1}{2} F_{12} \cdot P_b \approx \frac{1}{4} F_{12} \cdot ab,$$

sau exprimînd P_a și P_b prin arcul de angrenare de pe cercul de bază, avem

$$\begin{aligned} M_{12} &\approx \frac{1}{4} F_{12} \pi m \varepsilon \cos \alpha = \\ &= F_{12} h_{12}, \quad (5.197) \end{aligned}$$

unde m este modulul de angrenare, ε gradul de acoperire.

Prin urmare, se poate considera că la angrenare acționează un cuplu de forțe cu momentul M_{12} îndreptat în sens opus vitezei unghiulare relative ω_{21} egală cu diferența algebrică a vitezelor unghiulare absolute ale roților.

Sub acțiunea forței normale P_{32}^n (fig. 5.91, b) pe circumferința fusului apare forța de frecare $F_{32} = \mu_0 P_{32}^n$, îndreptată în sensul invers vitezei relative. Pentru simplificare se va considera că la centrul fusului se aplică o reacțiune normală și roata se găsește sub acțiunea cuplului forțelor de frecare, al cărui moment este

$$M_{32} \approx \mu_0 P_{32}^n r_{32}. \quad (5.198)$$

Acest moment este orientat de asemenea în sens invers vitezei unghiulare relative. Coeficientul de frecare μ în angrenare depinde de materialul roților dințate, de precizia de prelucrare și de montaj. Coeficientul de frecare în angrenare $\mu \approx 0,05 \div 0,20$, pentru lagăre de alunecare $\mu_0 \approx 0,03 \div 0,10$, pentru lagăre cu bile $\mu_0 \approx 0,001 \div 0,004$, iar pentru lagăre cu role $\mu \approx 0,0025 \div 0,01$.

Exemple. În fig. 5.92 este reprezentată schema unui mecanism cu o singură treaptă cu angrenare exterioră. Utilizînd la început planul forțelor, vom determina reacțiunile în lagăre, așezate convențional în planul de angrenare examinat. Astfel de reacțiuni se vor numi convenționale. Concomitent cu schema de forțe vom utiliza de asemenea planul vitezelor, cu ajutorul cărora vom stabili sensurile vitezelor unghiulare relative, egale cu diferențele algebrice ale vitezelor unghiulare absolute.

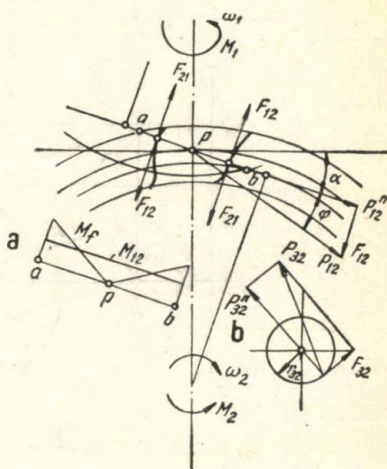


Fig. 5.91.

Roata 1. Deoarece unghiul $\sigma_{21} = 180^\circ - \alpha$, atunci

$$-P_{21} \cos \alpha + P_{31} \cos \sigma_{31} = 0, \quad P_{21} \sin \alpha + P_{31} \sin \sigma_{31} = 0, \quad (5.204)$$

$$M_1 - \mu_0 r_{31} P_{31} - \mu P_{21} h_{21} - P_{21} r_1 \cos \alpha = 0. \quad (5.205)$$

Din ecuația (5.204) avem $\tan \sigma_{31} = \frac{-\sin \alpha}{\cos \alpha}$, $\sigma_{31} = 360^\circ - \alpha$ și $P_{31} = P_{21}$. Prin urmare

$$M_1 = P_{21} (r \cos \alpha + \mu_0 r_{31} + \mu P_{21} h_{21}). \quad (5.206)$$

În lipsa frecării, momentul M_1^i pe roata 1 este egal cu

$$M_1^i = M_2 \frac{r_1}{r_2}, \quad (5.207)$$

Randamentul mecanismului examinat este

$$\eta = \frac{M_1^i}{M_1}. \quad (5.208)$$

Fie $r_1 = 100$, $r_2 = 200$, $m = 5$, $\varepsilon = 1,4$, $\mu = 0,1$, $\mu_0 = 0,05$, $r_{31} = 15$, $r_{32} = 20$, $M_2 = 10\,000 \text{ kg} \cdot \text{mm}$ (toate dimensiunile liniare indicate sînt în mm). Avem $\mu_0 r_{31} = 0,05 \cdot 15 = 0,75$; $\mu_0 r_{32} = 0,05 \times 20 = 1$; $\mu h_{12} = 0,1 \cdot \frac{\pi}{4} \cdot 5 \cdot 1,4 \cos 20^\circ = 0,517$. După înlocuirea valorilor numerice în formulele indicate mai înainte și după efectuarea calculelor obținem $P_{12} = 53,6 \text{ kg}$, $M_1 = 5\,120 \text{ kg} \cdot \text{mm}$, $M_1^i = 5\,000 \text{ kg} \cdot \text{mm}$, $\eta = 0,975$.

În fig. 5.93 sînt reprezentate schema unei transmisii cu roți dințate în două trepte, planul vitezelor elementelor și schema de forțe. Folo-

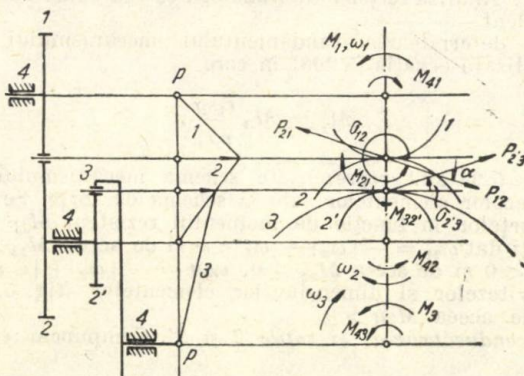


Fig. 5.93.

sind notațiile analoge cu cele anterioare, se prezintă studiul forțelor care acționează asupra mecanismului examinat, atunci cînd momentul M_3 este dat.

Deoarece $\omega_{21} = -|\omega_2| - |\omega_1| < 0$ și $\omega_{23} = -|\omega_2| + |\omega_3| < 0$, atunci $M_{12} > 0$ și $M'_{32} > 0$.

Roata 3.

$$P_{2'3} \cos \alpha + P_{43} \cos \sigma_{43} = 0, \quad P_{2'3} \sin \alpha + P_{43} \sin \sigma_{43} = 0, \quad (5.209)$$

$$M_3 - M_{2'3} + M_{43} - P_{2'3} r_3 \cos \alpha = 0. \quad (5.210)$$

Rezolvarea ultimului sistem de ecuații este analogă cu cea studiată în capitolul precedent.

Roțile 2 și 2'

$$\left. \begin{aligned} P_{12} \cos \alpha - P_{32'} \cos \alpha + P_{42} \cos \sigma_{42} &= 0, \\ -P_{12} \sin \alpha - P_{32'} \sin \alpha + P_{42} \sin \sigma_{42} &= 0, \end{aligned} \right\} \quad (5.211)$$

$$-P_{12} r_2 \cos \alpha + P_{32'} r_2' \cos \alpha + \mu_{12} P_{12} + \mu_{32'} P_{32'} + \mu_{042} P_{42} = 0. \quad (5.212)$$

Pentru determinarea necunoscutelor P_{12} , σ_{42} și P_{42} , utilizînd ecuația (5.212), eliminăm din ecuația (5.211) P_{42} și P_{12} și apoi obținem o ecuație în care σ_{42} intră sub semnul sinusului și cosinusului. O astfel de ecuație se reduce la o ecuație pătrată fixă de una din funcțiile trigonometrice indicate.

Rezolvînd sistemul prin metoda aproximațiilor succesive, luăm în prima aproximație ultimul termen al ecuației (5.212) egal cu zero. Din această ecuație determinăm pe P_{12} , după care se găsește σ_{42} și în sfîrșit pe P_{42} din ecuația (5.211). În a doua aproximație înlocuim în ecuația (5.212) mărimea P_{42} obținută și așa mai departe.

Roata 1. Analiza forțelor este analogă cu cea examinată în exemplul precedent.

Pentru determinarea randamentului mecanismului examinat trebuie utilizată ecuația (5.208) în care

$$M_1^i = M_3 \frac{r_1 r_2'}{r_2 r_3}. \quad (5.213)$$

În fig. 5.94 sînt reprezentate schema mecanismului planar, planul vitezelor elementelor sale și schema de forțe. Se efectuează calculul forțelor în funcție de momentul rezistent M_H al brațului port sateliți dat $\omega_{21} = -|\omega_2| - |\omega_1| < 0$ și de aceea $M_{12} > 0$, $\omega_{23} = -|\omega_2| < 0$ și de aceea $M'_{32} > 0$, $\omega_{2H} = -|\omega_2| + |\omega_H|$, conform planului vitezelor și dimensiunilor elementelor (fig. 5.94) $|\omega_2| > |\omega_H|$, de aceea $M_{2H} > 0$.

Roata conducătoare H și roțile 2 și 2'. Compunem ecuațiile de calcul

$$P_{2H} \cos \sigma_{2H} + P_{3H} \cos \sigma_{3H} = 0, \quad P_{2H} \sin \sigma_{2H} + P_{3H} \sin \sigma_{3H} = 0, \quad (5.214)$$

de unde

$$P_{2H} = P_{3H} \text{ și } \sigma_{3H} = 180^\circ + \sigma_{2H}, \quad (5.215)$$

$$-P_{2H} r_{1H} \cos \sigma_{2H} + M_{1H} + M_{2H} + M_{31H} = 0, \quad (5.216)$$

unde toate notațiile sînt analoge cu cele precedente.

$$\left. \begin{aligned} P_{12} \cos \alpha + P_{H2} \cos \sigma_{2H} - P_{32'} \cos \alpha &= 0, \\ -P_{12} \sin \alpha + P_{H2} \sin \sigma_{2H} - P_{32'} \sin \alpha &= 0, \end{aligned} \right\} \quad (5.217)$$

$$-P_{12} (r_2 - r_1) \cos \alpha + P_{H2} r_2' \cos \sigma_{H2} + M_{12} + M_{32'} + M_{H2} = 0. \quad (5.218)$$

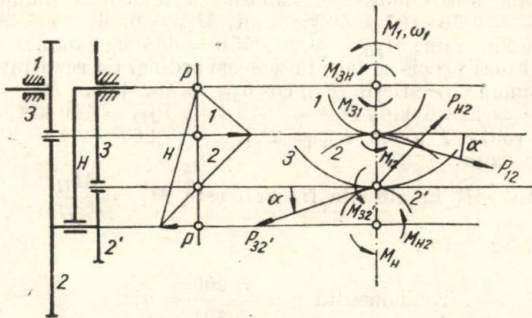


Fig. 5.94.

Rezolvarea precisă a problemei propuse este complicată. Exemplul numeric care urmează se rezolvă printr-o metodă aproximativă.

Utilizăm următoarele date: $m = 5$, $r_1 = 50$, $r_2 = 200$, $r_2' = 40$, $r_3 = 210$, $r_{31} = 15$, $r_{H2} = 20$, $r_{3H} = 25$, $\mu = 0,1$; coeficientul de frecare în toate lagărele $\mu_0 = 0,01$; în lagărele roților 2 și 2' avem $\mu_0' = 0,05$; gradul de acoperire al celor două angrenaje $\varepsilon = 1,5$, $M_H = 100\,000 \text{ kg} \cdot \text{mm}$ (toate dimensiunile liniare sînt date în mm).

Pe baza ecuației (5.197) avem $h_{12} = h_{32'} = \frac{\pi}{4} m \varepsilon \cos \alpha = \frac{3,14}{4} \cdot 5 \times \times 1,5 \cdot \cos 20^\circ = 5,6 \text{ mm}$. Momentele de frecare în angrenaje sînt $M_{12} = \mu h_{12} \cdot P_{12} = 0,1 \cdot 5,6 P_{12} = 0,56 P_{12}$, $M_{32'} = \mu h_{32'} \cdot P_{32'} = 0,1 \cdot 5,6 P_{32'} = 0,56 P_{32'}$.

Momentele de frecare în lagăre se stabilesc pe baza ecuației (5.198)

$$\begin{aligned} M_{41} &= \mu_0 r_{41} P_{41} = 0,01 \cdot 15 P_{41} = 0,15 P_{41}, \quad M_{H2} = \mu_0' r_{H2} P_{H2} = \\ &= 0,05 \cdot 20 P_{H2} = P_{H2}, \quad M_{4H} = \mu_0 r_{4H} P_{4H} = 0,01 \cdot 25 P_{4H} = 0,25 P_{4H}. \end{aligned}$$

Pe baza ecuației (5.216) obținem $P_{4H} = P_{2H}$ și $\sigma_{4H} = 180^\circ + \sigma_{2H}$.

În primă aproximație neglijăm frecarea în lagăre. Din ecuația (5.216): $-250 P_{2H} \cos \sigma_{2H} + 100\,000 = 0$, de unde

$$P_{2H} \cos \sigma_{2H} = 400 \text{ kgf}.$$

iar din ecuația (5.217): $0,94 P_{12} + 400 - 0,94 P_{32}' = 0$,

$$- 0,342 P_{12} + P_{H2} \sin \sigma_{H2} - 0,342 P_{32}' = 0,$$

$$- 150,5 P_{12} + 16\,000 + 0,56 P_{12} + 0,56 P_{32}' = 0.$$

Neglijind în ultima relație mărimea $0,56 P_{32}'$, obținem după rezolvare $P_{12} = 107$ kgf. Calculăm mai departe mărimea $P_{32}' = 532$ kgf. Se poate determina acum $P_{H2} \sin \sigma_{H2} = 218,6$ kgf. În sfârșit avem

$$P_{H2} = \sqrt{400^2 + 218,6^2} = 456 \text{ kgf.}$$

În a doua aproximație se calculează mărimile momentelor de frecare $M_{12} = 0,56 \cdot 107 = 60$ kg · mm, $M_{32}' = 0,56 \cdot 532 = 300$ kg · mm, $M_{H2} = 456$ kg · mm, $M_{4H} = 0,25 \cdot 456 = 114$ kg · mm.

Calculul mai precis se face în aceeași ordine. Ca rezultat al acestui calcul obținem în sfârșit $P_{2H} \cos \sigma_{2H} = 402$ kgf, $P_{12} = 113$ kgf, $P_{2H} \sin \sigma_{2H} = 223,6$ kgf, $P_{32}' = 540$ kgf, $P_{H2} = 460$ kgf, $\sigma_{H2} = 29^\circ$. Pentru roata 1 avem $P_{41} = P_{21}$, $\sigma_{41} = 360^\circ - \alpha = 340^\circ$, $M_1 = 5401$ kg · mm.

Momentul M_1^i în absența frecării este $M_1^i = \frac{M_H}{i_{1H}} = \frac{M_H}{1 - \frac{r_2 r_3}{r_1 r_2'}} = -5\,000$ kg · mm,

$$\text{randamentul } \eta = \frac{5\,000}{5\,401} = 0,922.$$

Roți dințate cu dinți oblici. Vectorul \vec{P}^n al presiunii normale a dintelui unei roți pe dintele celeilalte se află într-un plan rotit cu

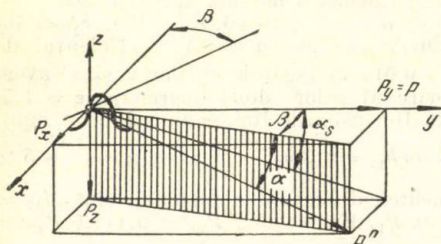


Fig. 5.95.

unghiul de înclinare β a dintelui față de planul frontal al roții și afară de aceasta, el este înclinat cu unghiul de angrenare α față de planul tangent la cilindrii primitivi (de rulare) ai roților (fig. 5.95).

Din condițiile date se stabilește de obicei mărimea efortului tangențial P , din care rezultă

$$P^n = \frac{P}{\cos \alpha \cos \beta}, \quad P_x = P \operatorname{tg} \beta, \quad P_z = P \frac{\operatorname{tg} \alpha}{\cos \beta}. \quad (5.219)$$

Luarea în considerare a frecării în angrenajul cu dinți oblici este complicată. Dacă se consideră, ca înainte, valoarea medie a forței de frecare în angrenaj egală cu zero, atunci pentru determinarea momentului de frecare se poate utiliza formula (5.197), iar momentul se poate considera aplicat în planul de acțiune a efortului tangențial P .

Angrenarea dințată conică. Forța normală P_{21}^n , care acționează în planul median al dinților, se descompune într-o forță tangențială P și o componentă P' , care la rândul ei se descompune într-o componentă radială P_{21}^r și una axială P_{21}^a . Toate aceste componente exercită o acțiune asupra lagărului roții 1 (fig. 5.96).

Dacă se neglijează frecarea, atunci din momentul M_2 dat al cuplului forțelor de rezistență aplicate roții 2 avem

$$P = \frac{M_2}{r_{2cp'}} P_{21}^n = \frac{P}{\cos \alpha'} P_{21}^r = P \operatorname{tg} \alpha \cos \delta_1, P_{21}^a = P \operatorname{tg} \alpha \sin \delta_1. \quad (5.220)$$

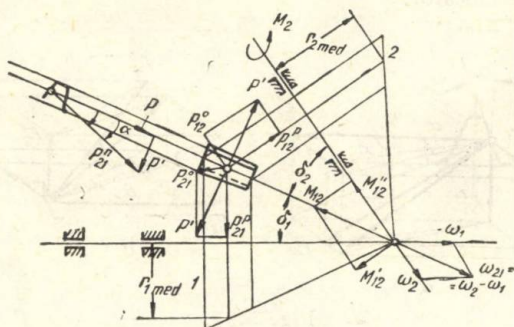


Fig. 5.96.

Admițind ca și înainte că în perioada de angrenare a doi dinți valoarea medie a forței de frecare este egală cu zero, se poate determina momentul de frecare în angrenaj, la fel ca în cazul precedent. Prin utilizarea ecuației (5.197) se obține.

$$M_{12} = \frac{\pi}{4} \mu P_{21}^n m_{med} \varepsilon \cos \alpha = \mu P_{21}^n h_{12}, \quad (5.221)$$

unde m_{med} este modulul măsurat pe diametrul cercului mijlociu al conului primitiv.

Vectorul \vec{M}_{12} este îndreptat în sens invers vitezei unghiulare relative ω_{21} , care se determină conform fig. 5.96 din egalitatea $\omega_{21} = \omega_2 - \omega_1$. Vectorul \vec{M}_{12} se descompune în două componente — în lungul axului roții 2 și perpendicular pe el

$$\vec{M}_{12} = \vec{M}_{12}' + \vec{M}_{12}'', \quad (5.222)$$

unde componenta \vec{M}_{12}' se echilibrează cu cuplul de reacțiune în lagăre; planul de acțiune al acestui cuplu coincide cu planul care conține axul roții 2 și este perpendicular pe desen. Componenta \vec{M}_{12}'' se adună cu momentul \vec{M}_2 și opune rezistență rotației roții 2.

Asupra roții 1 acționează momentul $\vec{M}_{21} = -\vec{M}_{12}$; \vec{M}_{21} se descompune de asemenea în componentele \vec{M}'_{21} și \vec{M}''_{21} .

Angrenajul șurub melc - roată melcată. În fig. 5.97 este indicat profilul filetului unui șurub melc, supus acțiunii forței normale P_{21}^n din partea roții melcate. Angrenajul șurub melc-roată melcată este o combinație între angrenarea de șurub și de cremalieră. Fundamentale în acest caz sînt pierderile datorite frecării de alunecare a șurubului melc față de roata melcată în direcția tangentă la linia elicoidală. Raportul între forțele din transmisia cu melc depinde de elementul care este conducător.

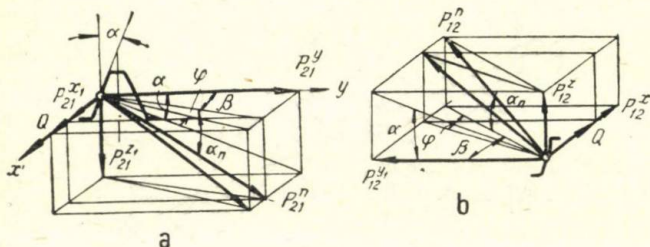


Fig. 5.97.

Șurubul melc conducător motor (fig. 5.97, a). Se dă forța rezistentă la periferia roții melcate P_{21}^y . Efortul Q la periferia șurubului melc și forța radială P_{21}^z sînt respectiv

$$\left. \begin{aligned} Q &= P_{21}^y \operatorname{tg}(\beta + \varphi'), \quad P_{21}^z = P_{21}^y \frac{\operatorname{tg} \alpha_n}{\cos \beta} = P_{21}^y \operatorname{tg} \alpha \\ \text{unde } \varphi' &= \operatorname{arc} \operatorname{tg} \frac{\mu}{\cos \alpha} \end{aligned} \right\} \quad (5.223)$$

Roata melcată conducătoare (fig. 5.97, b). Se dă forța rezistentă Q la periferia șurubului melc. Efortul P_{12}^y la periferia roții melcate și forța radială P_{12}^z sînt respectiv egale cu

$$P_{12}^y = \frac{Q}{\operatorname{tg}(\alpha - \varphi')}, \quad P_{12}^z = P_{12}^y \frac{\operatorname{tg} \alpha_n}{\cos \beta} = P_{12}^y \operatorname{tg} \alpha. \quad (5.224)$$

Forța de frecare a angrenajului șurub melc-roată melcată, considerat ca angrenaj cu cremalieră, se poate calcula cu ajutorul momentului M_{12} , după formula (5.197).

§ 5.30. Mecanisme plane cu cuple inferioare

Analiza forțelor mecanismelor examinate aici se reduce la determinarea reacțiunilor în cuplele cinematice și a momentului de echilibrare M_1 , aplicat elementului conducător, datorite forțelor exterioare aplicate mecanismului, a forțelor de inerție și a forțelor de greutate ale elementelor. Luarea în considerare a forțelor de frecare în cuplele cinematice se va efectua numai cu ajutorul metodelor aproximative. Vectorii tuturor forțelor indicate se vor da prin mărimile lor algebrice, iar unghiurile lor de înclinare, față de sensul pozitiv al axei x al unui sistem rectangular de coordonate.

Rezolvarea problemei propuse se efectuează după terminarea analizei structurale și cinematice a mecanismului după care pe baza acestuia din urmă se determină forțele de inerție ale elementelor, lucru indispensabil pentru folosirea principiului lui d'Alembert.

Rezolvarea problemei reacțiunilor trebuie începută cu grupa lui Assur cea mai îndepărtată de elementul conducător; pentru fiecare grupă se poate alcătui un număr de ecuații de echilibru egal cu numărul de necunoscute, pe care îl conțin reacțiunile ce urmează să fie determinate. După terminarea calculului aferent ultimei grupe se examinează penultima etc., apropiindu-ne astfel de elementul conducător, al cărui echilibru se asigură de momentul de echilibrare, care îi este aplicat.

Elementele mecanismului, a cărui schemă este reprezentată în fig. 5.98, sînt încărcate fiecare cu o forță care este rezultanta tuturor forțelor aplicate elementului respectiv. Se arată cum trebuie determinate reacțiunile în toate cuplele cinematice și de asemenea momentul resultant M , aplicat elementului conducător 1.

Schema mecanismului dat poate fi împărțită în patrulaterul $ABCD$ și triunghiul $DEFD$. Calculul se începe cu triunghiul $DEFD$, în care elementul DE servește drept conducător, iar elementele 4 și 5 formează o grupă cu două brațe (diodă de aspectul 2).

Triunghiul $DEFD$. Asupra elementelor conduse 4 și 5 sînt aplicate forțele exterioare de rezistență $\vec{P}_4 (P_4, \sigma_4)$ și $\vec{P}_5 (P_5, \sigma_5)$; rezultatul acestor acțiuni provoacă din partea elementului conducător 3 reacțiunea $\vec{P}_{34} (P_{34}, \sigma_{34})$, din partea elementului fix 6 — reacțiunea $\vec{P}_{65} (P_{65}, \sigma_{65})$, iar în articulația interioară — reacțiunea $\vec{P}_{45} (P_{45}, \sigma_{45})$ sau $\vec{P}_{54} = -\vec{P}_{45}$ (aici și mai departe σ cu indici corespunzători este unghiul de înclinare a vectorului forței \vec{P} cu aceeași indici față de axa Ox .)

Ecuațiile de echilibru ale elementelor 4 și 5 sînt

elementul 4

$$\vec{P}_{34} + \vec{P}_4 + \vec{P}_{54} = 0, \quad (5.225)$$

elementul 5

$$\vec{P}_{45} + \vec{P}_5 + \vec{P}_{65} = 0. \quad (5.226)$$

Deoarece $\vec{P}_{54} = -\vec{P}_{45}$, atunci adunînd ecuațiile (5.225) și (5.226), obținem

$$\vec{P}_{34} + \vec{P}_4 + \vec{P}_5 + \vec{P}_{65} = 0. \quad (5.227)$$

Pentru reacțiunea \vec{P}_{34} se cunoaște punctul prin care trece dreapta suport a vectorului ei, iar pentru reacțiunea \vec{P}_{65} se cunoaște direcția drepte suport — perpendiculară pe direcția DF , dar în cazul general nu se cunoaște poziția drepte suport. Totuși, în cazul particular de față dreapta suport trece prin punctul F , deoarece în el se intersectează vectorii \vec{P}_5 și \vec{P}_{45} ai celor două forțe aplicate elementului 5.

Pentru determinarea valorii algebrice a vectorului \vec{P}_{65} , este convenabilă folosirea ecuației momentelor forțelor, care acționează asupra elementelor 4 și 5, în raport cu punctul E . Avem

$$P_4 h_4 + P_5 h_5 - P_{65} h_{65} = 0, \quad (5.228)$$

unde h cu indicii corespunzători este perpendiculara coborîtă din punctul E pe dreapta suport a vectorului forței cu aceeași indici.

După calculul lui P_{65} , necunoscuta \vec{P}_{34} se poate găsi prin construirea planului forțelor (fig. 5.98, *b*) pe baza ecuației (5.227).

Pentru determinarea reacțiunii \vec{P}_{45} din cupla cinematică 4 — 5 se poate utiliza ecuația (5.226) (fig. 5.98, *b*).

Aceeași problemă se poate rezolva și analitic. Ecuația (5.227) se descompune în ecuații de proiecții ale vectorilor forță pe axele de coordonate

$$\left. \begin{aligned} P_{34} \cos \sigma_{34} + P_4 \cos \sigma_4 + P_5 \cos \sigma_5 + P_{65} \cos \sigma_{65} &= 0, \\ P_{34} \sin \sigma_{34} + P_4 \sin \sigma_4 + P_5 \sin \sigma_5 + P_{65} \sin \sigma_{65} &= 0. \end{aligned} \right\} \quad (5.229)$$

La aceste ecuații trebuie adăugată ecuația momentelor obținută pe baza ecuației (5.228)

$$P_4 l_{EO_4} \sin(\sigma_4 - \varphi_4) + P_5 l_{EF} \sin(\sigma_5 - \varphi_4) + P_{65} l_{EF} \sin(\sigma_{65} - \varphi_4) = 0, \quad (5.230)$$

din care se determină valoarea algebrică a vectorului \vec{P}_{65} .

Rezolvarea ulterioară a ecuațiilor (5.229) nu prezintă dificultăți. Mai întîi se determină $\tan \sigma_{34}$ și σ_{34} , ceea ce se realizează, după izolarea primilor termeni, prin împărțirea celei de a doua ecuații la prima, iar apoi din una din ecuațiile sistemului (5.229) se calculează P_{34} .

Patrulaterul ABCDA. Elementul 2 este încărcat cu forța \vec{P}_2 (P_2, σ_2), elementul 3 — cu forța \vec{P}_3 (P_3, σ_3) și cu forța \vec{P}_{43} (P_{43}, σ_{43}) de acțiune a elementului 4 asupra elementului 3. Ca rezultat al aplicării acestor forțe apar reacțiunile căutate \vec{P}_{12} (P_{12}, σ_{12}), \vec{P}_{63} (P_{63}, σ_{63}) și \vec{P}_{23} (P_{23}, σ_{23}), unde $\vec{P}_{23} = -\vec{P}_{32}$.

Ecuatiile de echilibru ale elementelor 2 și 3 sînt
elementul 2

$$\vec{P}_{12} + \vec{P}_2 + \vec{P}_{32} = 0, \quad (5.231)$$

elementul 3

$$\vec{P}_{23} + \vec{P}_3 + \vec{P}_{43} + \vec{P}_{63} = 0. \quad (5.232)$$

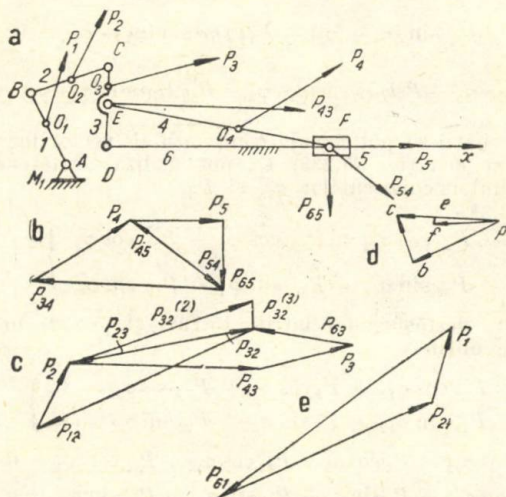


Fig. 5.98.

În scopul simplificării rezolvării ultimelor două ecuații reprezentăm vectorul \vec{P}_{23} sau vectorul \vec{P}_{32} prin cele două proiecții pe direcțiile BD și DC . Avem

$$\vec{P}_{32} = \vec{P}_{32}^{(2)} + \vec{P}_{32}^{(3)}, \quad \vec{P}_{23} = \vec{P}_{23}^{(2)} + \vec{P}_{23}^{(3)}. \quad (5.233)$$

Acum, în locul lui (5.231) și (5.232) se obține

$$\vec{P}_{12} + \vec{P}_2 + \vec{P}_{32}^{(2)} + \vec{P}_{32}^{(3)} = 0, \quad (5.234)$$

$$\vec{P}_{23}^{(2)} + \vec{P}_{23}^{(3)} + \vec{P}_3 + \vec{P}_{43} + \vec{P}_{63} = 0. \quad (5.235)$$

Componentele $P_{32}^{(2)}$ și $P_{32}^{(3)}$ se pot determina din ecuațiile momentelor forțelor, care acționează asupra elementului 2, față de punctul B și a forțelor care acționează asupra elementului 3, față de punctul D . Se obține

$$P_2 h_2 + P_{32}^{(3)} h_{32} = 0, \quad (5.236)$$

$$P_{43} h_{43} - P_3 h_3 + P_{23}^{(2)} h_{23} = 0, \quad (5.237)$$

unde, ca și înainte, h cu indicii corespunzători este brațul de pîrghie al vectorului forță cu aceiași indici.

Reacțiunile căutate \vec{P}_{12} și \vec{P}_{63} se determină prin construirea planului forțelor (fig. 5.98, c) pe baza ecuațiilor (5.234) și (5.235).

La rezolvarea prin metoda analitică a aceleiași probleme relațiile (5.236) și (5.237) trebuie reprezentate în forma algebrică

$$P_2 l_{BO_2} \sin(\sigma_2 - \varphi_2) + P_{32}^{(3)} l_{BC} \sin(\varphi_3 - \varphi_2) = 0, \quad (5.238)$$

$$P_{43} l_{DES} \sin(\sigma_{43} - \varphi_3) + P_3 l_{DO_3} \sin(\sigma_3 - \varphi_3) + P_{23}^{(2)} l_{DC} \sin(\varphi_2 - \varphi_3) = 0. \quad (5.239)$$

Din aceste ecuații se pot calcula componentele vectorilor $P_{32}^{(3)}$ și $P_{23}^{(2)}$, apoi conform ecuației (5.233) se pot utiliza următoarele ecuații pentru calculul necunoscutelor σ_{32} și P_{32}

$$\left. \begin{aligned} P_{32} \cos \sigma_{32} &= P_{32}^{(2)} \cos \varphi_2 + P_{32}^{(3)} \cos \varphi_3 \\ P_{32} \sin \sigma_{32} &= P_{32}^{(2)} \sin \varphi_2 + P_{32}^{(3)} \sin \varphi_3. \end{aligned} \right\} \quad (5.240)$$

În sfîrșit, desfășurînd relațiile (5.231) și (5.232) în ecuații de proiecții, se obțin

$$\left. \begin{aligned} P_{12} \cos \sigma_{12} + P_2 \cos \sigma_2 + P_{32} \cos \sigma_{32} &= 0, \\ P_{12} \sin \sigma_{12} + P_2 \sin \sigma_2 + P_{32} \sin \sigma_{32} &= 0. \end{aligned} \right\} \quad (5.241)$$

$$\left. \begin{aligned} P_{23} \cos \sigma_{23} + P_3 \cos \sigma_3 + P_{43} \cos \sigma_{43} + P_{63} \cos \sigma_{63} &= 0, \\ P_{23} \sin \sigma_{23} + P_3 \sin \sigma_3 + P_{43} \sin \sigma_{43} + P_{63} \sin \sigma_{63} &= 0. \end{aligned} \right\} \quad (5.242)$$

Aceste ecuații permit calcularea lui P_{12} , σ_{12} și P_{63} , σ_{63} .

Elementul conducător 1. Elementul 1 se găsește sub acțiunea forței \vec{P}_{21} (P_{21} , σ_{21}), a forței \vec{P}_1 (P_1 , σ_1) și a unui cuplu de forțe cu momentul căutat M_1 . Avem

$$\vec{P}_{21} + \vec{P}_1 + \vec{P}_{61} = 0, \quad M_1 - P_{21} h_{21} - P_1 h_1 = 0. \quad (5.243)$$

Prima ecuație se poate construi (fig. 5.98, d) sau descompune în ecuații de proiecții, din care se determină P_{61} , σ_{61} .

Pentru calculul lui M_1 este necesar ca a doua ecuație (5.243) să fie reprezentată în forma algebrică

$$M_1 + P_{21} l_{AB} \sin(\sigma_{21} - \varphi_1) + P_1 l_{AO_1} \sin(\sigma_1 - \varphi_1) = 0. \quad (5.244)$$

Pe baza exemplului arătat se pot trage următoarele concluzii: a) analiza forțelor (calculul cinetostatic) trebuie începută cu grupa asurică cea mai îndepărtată de elementul conducător; b) pentru analiză se pot folosi fie ecuațiile vectoriale ale fiecărui element al grupeii, fie ecuațiile vectoriale ale tuturor elementelor ei; c) pentru utilizarea ecuațiilor de momente, reacțiunile necunoscute trebuie

reprezentate sub forma a două componente cu direcții cunoscute; d) pentru aplicarea ecuației de momente se alege un punct astfel, ca momentele unora dintre reacțiunile căutate să se anuleze.

În fig. 5.99 este reprezentată schema cinematică a unui mecanism în structura căruia intră grupa assurică de cl. III, ord. 3 (cu trei biele). Se presupune că fiecărui element i se aplică o forță (vectorii acestei forțe nu sînt indicați în fig. 5.99), iar elementului conducător i se aplică un cuplu cu momentul căutat M_1 . Se cere determinarea reacțiunilor în toate cuplele cinematice și momentul M_1 .

Mai departe se indică planul de rezolvare a problemei propuse. Vectorii \vec{P}_{12} , \vec{P}_{64} și \vec{P}_{65} ai reacțiunilor necunoscute se reprezintă prin cele două componente de forma \vec{P}^n și \vec{P}^t fiecare. În acest caz se pot determina componentele de forma \vec{P}^t din ecuațiile momentelor forțelor ce acționează asupra elementelor 2, 4 și 5 față de centrele articulațiilor respective ale elementului 3. După aceasta, din ecuația momentelor față de punctul S a tuturor forțelor ce acționează asupra elementelor 2, 3, 4 și 5 trebuie determinată mărimea \vec{P}_{64}^n . În această ecuație momentele componentelor necunoscute P_{12}^n și P_{65}^n vor fi nule. În încheiere, cu ajutorul ecuației vectoriale de echilibru a întregii părți conduse se vor putea determina reacțiunile \vec{P}_{12}^n și \vec{P}_{65}^n . Reacțiunile în articulațiile elementului 3 se determină din ecuațiile vectoriale de echilibru ale elementelor 2, 4 și 5.

Rezolvarea aceleiași probleme cu metoda analitică se face în aceeași succesiune, după ce toate ecuațiile au fost scrise în formă algebrică.

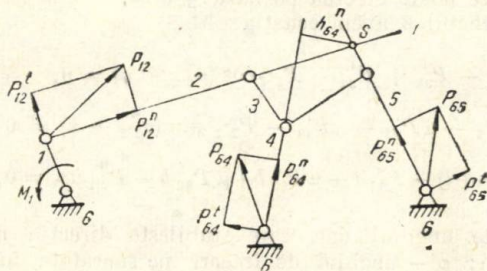


Fig. 5.99.

Dacă se ia în considerare și frecarea în cuplele cinematice, atunci după reacțiunile determinate printr-un calcul prealabil trebuie determinate momentele de frecare. Pentru determinarea sensurilor momentelor de frecare trebuie cunoscute vitezele unghiulare relative, care se stabilesc cu ajutorul planurilor vitezelor. De exemplu,

pentru determinarea sensului momentului de frecare M_{32} în cupla cinematică 2 — 3 (fig. 5.98, *a*) trebuie utilizată relația

$$M_{32} = \mu P_{32} r_{32} \quad (5.245)$$

unde μ este coeficientul de frecare pe suprafețele de contact ale cuplului 2 — 3, iar r_{32} raza fusului aceluiași cuplu.

Pentru stabilirea sensului lui M_{32} se utilizează planul vitezelor (fig. 5.98, *e*), cu ajutorul căruia se determină viteza unghiulară relativă ω_{23}

$$\omega_{23} = \omega_2 - \omega_3 = |\omega_2| - |\omega_3|, \quad (5.246)$$

unde, conform cu fig. 5.98, *a* și *e*, se constată că ω_2 și ω_3 sînt orientate în sens pozitiv și deoarece $|\omega_3| > |\omega_2|$ atunci $M_{23} < 0$ și $M_{32} > 0$.

După ce au fost determinate momentele de frecare în toate cuplele cinemate, trebuie efectuat calculul forțelor în întregul mecanism, cu luarea în considerare a momentelor de frecare indicate.

§ 5.31. Mecanisme cu camă

Dîndu-se forța \vec{P}_2 care acționează asupra tachtetului 2 (fig. 5.100), să se determine reacțiunile în cuplele cinemate și momentul motor M_1 .

Distribuirea reacțiunilor și a forțelor de frecare în cupla de translație a tachtetului se poate efectua pe baza § 5.27.

Pentru tachtetul 2 avem ecuația

$$\left. \begin{aligned} -P'_{32} + P''_{32} + P_{2'2} \cos(\sigma_{2'2}^n + \varphi) &= 0, \\ -P_2 - \mu P'_{32} - \mu P''_{32} - P_{2'2} \sin(\sigma_{2'2}^n + \varphi) &= 0, \\ P'_{32}(a+l) - P''_{32}a - \mu P'_{32}b + \mu P''_{32}b - P_{2'2}\mu r_1 &= 0, \end{aligned} \right\} \quad (5.247)$$

unde $\sigma_{2'2}^n$ este unghiul dat, care stabilește direcția normalei la profilul camei; φ — unghiul de frecare pe suprafața fusului rolei; r_1 — raza fusului; μ — coeficientul de frecare pentru fusul rolei.

În sistemul de ecuații (5.247) avem următoarele necunoscute:

P'_{32} , P''_{32} și $P_{2'2}$, care se pot determina direct sau prin metoda aproximațiilor succesive. Rola 2 din partea tachtetului se găsește sub acțiunea forței $\vec{P}_{22}' = -\vec{P}_{2'2}$ iar din partea camei 1 sub acțiunea forței $\vec{P}_{12} = -\vec{P}_{22}^n$.

Asupra camei 1 acționează forțele $\vec{P}_{2'1}^n = \vec{P}_{22'}^n$, un cuplu de forțe de echilibrare M ; în articulația fixă acționează reacțiunea necunoscută \vec{P}_{31} și un cuplu de forțe de frecare de moment $M_{31} = \mu_0 P_{31} r_2$, unde μ_0 este coeficientul de frecare pe suprafața fusului, a cărui rază este r_2 .

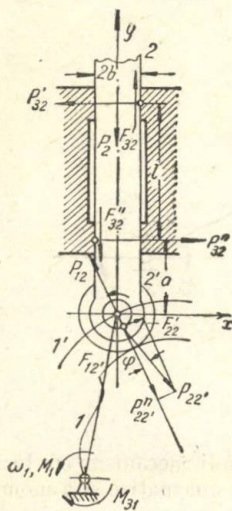


Fig. 5.100.

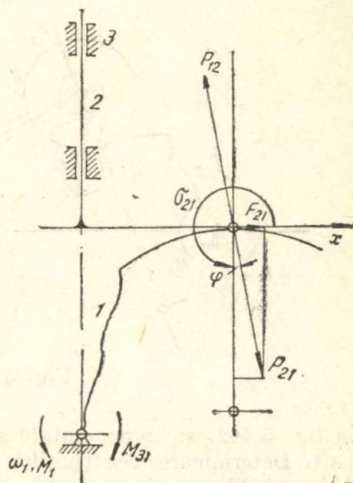


Fig. 5.101.

Pentru determinarea lui P_{31} , σ_{31} și M_1 avem condițiile

$$\left. \begin{aligned} P_{22'}^n \cos \sigma_{22'}^n + P_{31} \cos \sigma_{31} &= 0, \\ P_{22'}^n \sin \sigma_{22'}^n + P_{31} \sin \sigma_{31} &= 0, \\ M_1 - M_{31} - P_{22'}^n h_{22'}^n &= 0, \end{aligned} \right\} \quad (5.248)$$

unde $h_{22'}^n$ este brațul de pîrghie al forței $\vec{P}_{22'}^n$.

Sistemul de ecuații (5.248) se rezolvă prin metoda cunoscută.

Pentru determinarea randamentului mecanismului examinat trebuie cunoscut M_1^i — momentul de echilibrare — în ipoteza că frecarea lipsește, iar după aceasta se obține

$$\eta = \frac{M_1^i}{M_1}.$$

După studierea mecanismului anterior, analiza mecanismului reprezentat în fig. 5.101 nu prezintă dificultăți. Aici trebuie îndreptată atenția doar asupra direcției forței \vec{P}_{21} , care acționează în punctul de contact al tachetului 2 — cama 1. Această forță este înclinată față de perpendiculara pe discul tachetului cu unghiul de frecare φ .

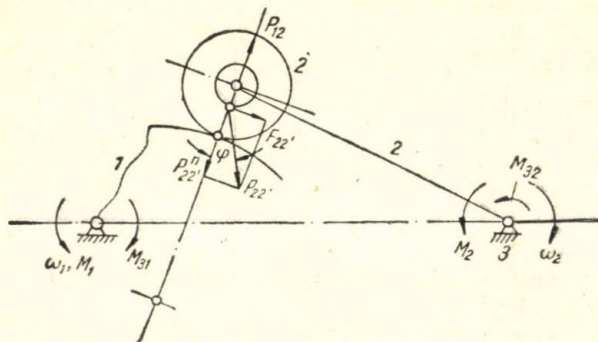


Fig. 5.102.

În fig. 5.102 este reprezentată schema unui mecanism cu tachet oscilant. Determinarea reacțiunilor în cuplele cinematice și a momentului de echilibrare M_1 se efectuează la fel ca în cazul mecanismului cu tachet cu o rolă la extremitate.

5.10

Echilibrarea mecanismelor [1]

§ 5.32. Echilibrarea elementelor în mișcare de rotație

Un element în mișcare de rotație este echilibrat dacă vectorul rezultat și momentul rezultat al forțelor centrifuge de inerție ale punctelor sale materiale sînt egale cu zero. Articulațiile fixe ale unui asemenea element nu au presiuni dinamice. A echilibra un element înseamnă a reduce la zero vectorul și momentul rezultat de mai înainte. Acest lucru se realizează prin adăugarea sau îndepărtarea unei mase de mărime determinată. Masa adăugată se numește *contra-*

greutate. Echilibrarea statică constă în aducerea la zero a vectorului rezultatant; echilibrarea dinamică — în aducerea la zero a vectorului rezultatant și a momentului rezultatant. Echilibrarea statică se obține numai cu o contragreutate, cea dinamică — cu două, așezate în două plane paralele diferite. Astfel de contragreutăți produc o forță și un cuplu de forțe de echilibrare.

Elementul în mișcare de rotație se presupune împărțit prin n plane, perpendiculare pe axa Ox , astfel că pentru fiecare parte așezată între două plane vecine, se cunoaște poziția centrului de greutate. În fig. 5.103 este indicată una din aceste părți sub forma unei mase m_i concentrată în centrul de greutate. Pentru viteza unghiulară dată se cere determinarea presiunilor \vec{P}_I și \vec{P}_{II} . Pentru rezolvarea problemei propuse avem ecuațiile

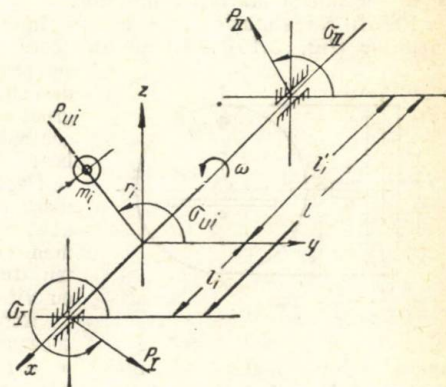


Fig. 5.103.

$$\left. \begin{aligned} P_I l \cos \sigma_I + \omega^2 \sum_{i=1}^{i=n} m_i r_i l'_i \cos \sigma_{ui} &= 0, \\ P_I l \sin \sigma_I + \omega^2 \sum_{i=1}^{i=n} m_i r_i l'_i \sin \sigma_{ui} &= 0; \end{aligned} \right\} \quad (5.249)$$

$$\left. \begin{aligned} P_{II} l \cos \sigma_{II} + \omega^2 \sum_{i=1}^{i=n} m_i r_i l_i \cos \sigma_{ui} &= 0, \\ P_{II} l \sin \sigma_{II} + \omega^2 \sum_{i=1}^{i=n} m_i r_i l_i \sin \sigma_{ui} &= 0, \end{aligned} \right\} \quad (5.250)$$

unde $i = 1, 2, \dots, n$. Din (5.249)

$$\operatorname{tg} \sigma_1 = \frac{- \sum_{i=1}^{i=n} m_i r_i l'_i \sin \sigma_{ui}}{- \sum_{i=1}^{i=n} m_i r_i l'_i \cos \sigma_{ui}}. \quad (5.251)$$

Acum P_I și σ_I se pot determina din relația (5.249). Determinarea lui σ_{II} și P_{II} se obține în mod analog.

Pentru a elibera lagărele de presiunile dinamice este necesar să se determine masele contragreutăților m_{c1} și m_{c2} și razele r_{c1} și r_{c2} ale fixării lor în două plane de echilibrare alese. Cu ajutorul ecuațiilor (5.249) și (5.250) se pot calcula mărimile momentelor statice ale maselor $m_{c1}r_{c1}$ și $m_{c2}r_{c2}$ și apoi, dându-se razele r_{c1} și r_{c2} , se determină și mărimile maselor.

Echilibrarea statică pe cale experimentală se execută cu ajutorul cuțitelor (fig. 5.104). Elementul care urmează să fie echilibrat

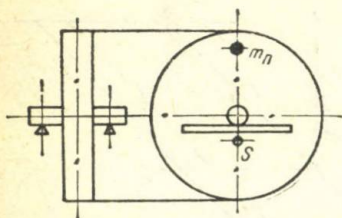


Fig. 5.104.

se oprește după oscilații în poziția de echilibru stabil, centrul ei de greutate se așază pe verticală sub centrul de rotație. Pentru echilibrare, în poziția diametral opusă se fixează o contragreutate, a cărei masă m_c , pentru un loc de fixare ales, se alege experimental. O asemenea echilibrare se utilizează pentru discuri subțiri care se rotesc cu viteze relativ mici.

Echilibrarea dinamică se efectuează pe mașini speciale. Schema uneia din cele mai simple mașini este reprezentată în fig. 5.105, *a*. Partea mobilă *A* a mașinii are o axă de rotație și un arc *B*. Pe lagărele *C* se așază elementul *D*, care urmează să fie echilibrat și care, cu mijloace exterioare, se aduce la o rotație mare. Dacă elementul nu este echilibrat, lagărele *C* vor suporta acțiunea unor presiuni dinamice, care aduc mașina într-o mișcare de oscilație; vectorii lor se rotesc. Amplitudinea acestor oscilații va fi cea mai mare, atunci cînd apare fenomenul de rezonanță, adică atunci cînd perioadele oscilațiilor forțate și proprii ale mașinii vor deveni egale. Amplitudinea oscilațiilor maxime se înregistrează pe hîrtia afumată *F* cu ajutorul unui ac *E*. Cea mai mare amplitudine x_0 este proporțională cu momentul static de dezechilibrare $m_0 r_0$.

Pentru determinarea coeficientului de proporționalitate μ , într-un punct arbitrar al planului *I-I*, la distanța r_h de centru, se fixează o mică greutate de masă m_h și în mod experimental se determină amplitudinea x_1 de dezechilibrare a elementului de masă m_h . După aceasta se transportă greutatea în sens opus la aceeași distanță de centru și se determină din nou amplitudinea de dezechilibrare x_2 . În fig. 5.105, *b* este reprezentată diagrama vectorială, din care se vede că $x_1 = x_0 + x_h$ și $x_2 = x_0 - x_h$. Din paralelogramul vectorilor (fig. 5.105, *b*), rezultă $2x_h^2 + 2x_0^2 = x_1^2 + x_2^2$, de unde avem

$$x_h = \sqrt{\frac{x_1^2 + x_2^2 - 2x_0^2}{2}}. \quad (5.252)$$

Coeficientul de proporționalitate este

$$\mu = \frac{m_h r_h}{x_h}. \quad (5.253)$$

Momentul static al contragreutății este

$$m_c r_c = m_0 r_0 = \mu x_0. \quad (5.254)$$

Unghiul de fixare este

$$\alpha = \arccos \frac{x_0^2 + x_h^2 - x_1^2}{2x_0 x_h} \quad (5.255)$$

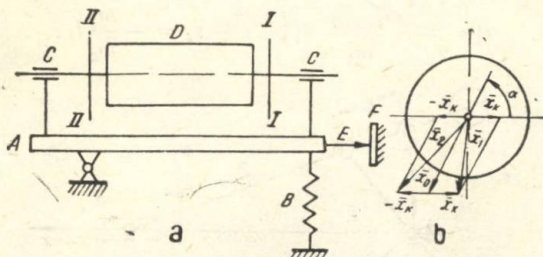


Fig. 5.105.

Pentru a vedea care din cele două valori α obținute din ecuația (5.255) este cea reală, se așază contragreutatea la început sub unghiul α_1 și apoi sub unghiul α_2 . La așezarea corectă a contragreutății mașina nu oscilează.

După efectuarea operațiilor descrise elementul se așază astfel ca planul I—I să se găsească deasupra axului de rotație. Pentru această poziție a elementului se repetă experiențele de mai înainte. După aceasta elementul va fi complet echilibrat.

§ 5.33. Echilibrarea mecanismului pe fundație

În timpul mișcării unui mecanism, batiul lui suferă acțiunea presiunilor dinamice și intră în oscilație; oscilează de asemenea și fundația mecanismului. Cu cât fundația este mai masivă, cu atât mai mici sînt amplitudinile oscilațiilor sale. Presiunile dinamice nu provoacă oscilații, dacă rezultanta și momentul resultant al forțelor de inerție ale punctelor materiale ale elementelor mecanismului sînt egale cu zero. Reducerea la zero a forței rezultante și a momentului resultant al forțelor de inerție se obține prin așezarea de contragreutăți.

Un mecanism este complet echilibrat dacă centrul de greutate al tuturor elementelor ale căror mase se consideră concentrate în centrele de greutate respective rămîne nemișcat și dacă suma tuturor momentelor de inerție I_{xz} și I_{yz} ale elementelor sale este constantă. În cazul dat axele Ox și Oy se așază într-un plan paralel cu planul de mișcare al mecanismului, iar axa Oz este perpendiculară pe aceste axe. În practică este suficientă satisfacerea primei condiții, dacă

mecanismul posedă numai un singur plan de mișcare. Dacă elementele mecanismului se mișcă în diferite plane paralele, neglijarea celei de a doua condiții va fi cu atât mai sensibilă, cu cât sînt mai îndepărtate unul de altul planurile de mișcare.

Echilibrarea mecanismului bielă-manivelă (fig. 5.106) se poate obține prin așezarea a două contragreutăți astfel calculate, încît centrele de greutate S_1 și S_2 ale elementului 1 și 2 să fie așezate la distanțele

$$s_1 = -\frac{m_2 + m_3}{m_1} l_1, \quad s_2 = -\frac{m_3}{m_2} l_2, \quad (5.256)$$

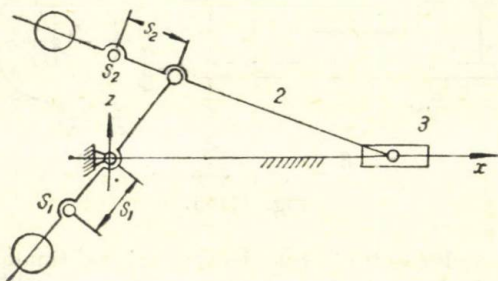


Fig. 5.106.

unde m_1 și m_2 sînt masele manivelei și bielei împreună cu contragreutățile, s_1 și s_2 coordonatele centrelor de greutate ale manivelei și bielei împreună cu contragreutățile, m_3 este masa elementului în mișcare rectilinie alternativă (pistonul).

Dîndu-se s_1 și s_2 la masa dată a pistonului, se pot determina mărimile necesare ale maselor elementelor 1 și 2. Cunoscînd mărimile maselor acestor elemente, se calculează mărimile maselor contragreutăților, după aceasta se determină locurile lor de fixare.

Așezarea contragreutății pe bielă este incomodă din punct de vedere constructiv, de aceea se consideră deseori suficientă așezarea unei singure contragreutăți pe manivelă și astfel se asigură numai o echilibrare parțială. În acest caz mărimea momentului static $m_1 s_1$ al masei manivelei împreună cu contragreutatea se determină din relația

$$m_1 s_1 = -\frac{l_1}{l_2} m_2 (l_2 - s_2), \quad (5.257)$$

unde s_2 este coordonata centrului de greutate al bielei 2 (fig. 5.107).

Determinarea mării masei contragreutății și a poziției ei de fixare se face ca mai înainte. În cazul dat sînt neechilibrate forțele de inerție, după direcția axei de deplasare a pistonului.

Echilibrarea mecanismelor complexe se limitează de obicei la plasarea de contragreutăți numai pe elementele în rotație. Pentru determinarea maselor contragreutăților se poate utiliza metoda urmă-

toare. În fig. 5.108 este indicată schema unui mecanism cu șase elemente, care poate fi parțial echilibrat prin așezarea unor contragreutăți pe elementele 1 și 3.

Masa m_2 a bielei 2 se concentrează convențional în punctele B și C. Pentru calculul mărimilor acestor mase se folosesc ecuațiile.

$$m'_2 + m''_2 = m_2, \quad m'_2 s_2 = m''_2 (l_2 - s_2). \quad (5.258)$$

Cu ecuații analoge se pot determina mărimile maselor m'_4 și m''_4 concentrate în mod convențional în punctele E și F. După aceasta

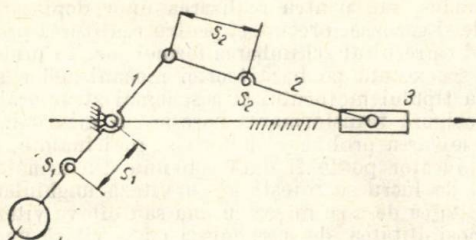


Fig. 5.107.

se calculează mărimile m_{c1} și m_{c2} ale maselor contragreutăților așezate pe elementele 1 și 3 cu condiția ca centrele de greutate împreună cu masele suplimentare să coincidă cu centrele de rotație.

Echilibrarea forțelor de inerție a masei în mișcare de translație ($m''_4 + m_5$) se realizează prin amplificarea construcției mecanismului

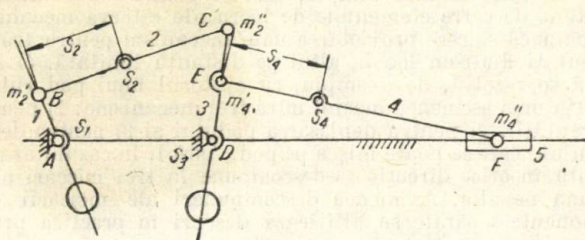


Fig. 5.108.

În acest scop în construcția sa se introduc transmisii cu roți dințate pe care se așază contragreutățile ale căror mărimi sînt astfel calculate încît forțele lor de inerție îndreptate perpendicular pe axa de mișcare a pistonului (masei în mișcare de translație) se anulează reciproc, iar cele îndreptate pe axa sa acționează în sens opus forței de inerție a pistonului (masei în mișcare de translație).

5.11

Proiectarea mecanismelor [1, 2, 3, 9, 11, 13, 15]

§ 5.34. Problemele de bază ale proiectării

Orice mecanism este destinat pentru transformarea mișcării elementului său conducător în mișcarea necesară a elementului de lucru (elementul condus) sau pentru realizarea unor deplasări de corpuri solide, lichide și gazoase, precum și pentru realizarea prelucrării unor obiecte, avînd ca rezultat schimbarea formei lor. În problema de proiectare, care se execută pe baza teoriei mecanismelor și mașinilor, intră alegerea tipului motorului și a schemei structurale a mecanismului, care asigură transformarea necesară a mișcării.

Pentru rezolvarea problemelor descrise mai înainte, mișcarea elementului conducător poate fi dată sub una din următoarele forme:

1. Elementul de lucru se rotește a) cu viteză unghiulară constantă, b) cu posibilitatea de a se mișca cu una sau cîteva viteze unghiulare date, c) cu posibilitatea de a se mișca cu o viteză unghiulară constantă oarecare, situată între anumite limite date, d) cu viteză unghiulară variabilă, care se schimbă după o lege dată.

2. Elementul de lucru are o mișcare de translație cu o viteză care poate fi dată ca mai înainte (pentru elementul în rotație).

3. Elementul de lucru execută o mișcare planparalelă de formă generală, care deseori se dă astfel încît unul din punctele elementului trebuie să descrie o curbă dată.

Dacă mișcarea necesară are un caracter foarte complicat ea se descompune în mișcări mai simple, care se realizează consecutiv sau concomitent de către elementele de lucru ale cîtorva mecanisme. Să presupunem că se cere proiectarea unui mecanism pentru transportul unei greutăți dintr-un loc în altul pe distanță limitată. O astfel de problemă se rezolvă, de exemplu, cu ajutorul unui pod rulant. În compoziția unei asemenea mașini intră trei mecanisme: 1) pentru ridicarea greutății, 2) pentru deplasarea podului și 3) pentru deplasarea căruciorului, care se poate mișca pe pod. Astfel, în cazul dat mișcarea complicată în orice direcție se descompune în trei mișcări perpendiculare una pe alta. Asemenea descompuneri ale mișcării necesare în componente separate se utilizează deseori în practica proiectării mecanismelor.

Pentru realizarea temei (1, a) se utilizează transmisii cu roți de fricțiune, cu roți dințate, cu cureaua și cu lanț.

Tema (1, b) necesită proiectarea unor cutii de viteze, care permit schimbarea în trepte a vitezei unghiulare a elementului de lucru. În acest scop se utilizează transmisii cu roți dințate și cu curele.

Pentru mecanismele ce se proiectează conform temei (1, c), se utilizează variatoare de viteze cu fricțiune (aici nu sînt examinate).

Variantele pentru executarea temei (1, d) sînt extrem de diferite în funcție de legea de mișcare dată a elementului de lucru. În acest

caz se pot întâlni utilizări de mecanisme foarte variate, inclusiv mecanismele cu bare ce posedă numai cuple inferioare.

Variantele pentru executarea temei 2 sînt de asemenea foarte numeroase, deoarece legile de mișcare date ale elementului în mișcare de translație sînt diferite. Mișcarea de translație prescrisă este în majoritatea cazurilor rectilinie, ceea ce în unele cazuri se realizează fără cuple de translație.

Tema 3 prevede utilizarea unor mecanisme cu bare, cu cuple inferioare sau combinate.

Transmisiile hidraulice nu se studiază aici.

Mai departe vor fi examinate metodele de proiectare ale următoarelor mecanisme: 1) de fricțiune și dințate, 2) cu curele, 3) matteeze, 4) cu camă, 5) cu bare cu cuple inferioare.

§ 5.35. Mecanisme cu roți de fricțiune și cu roți dințate

Mecanismele cu roți de fricțiune se utilizează pentru transmiterea rotației între arbori cu axe paralele sau întretăiate. Raportul de transmitere pentru astfel de mecanisme se fixează la cel mult cinci. Pentru vitezele periferice ale roților acestor mecanisme se recomandă mărimi de cel mult 10 m/s.

Utilizarea mecanismelor cu roți dințate este variată. Mecanismele cu roți dințate cilindrice cu dinți drepecți, oblici sau în săgeată se pot executa într-o singură treaptă sau cu mai multe trepte (fig. 5.109)

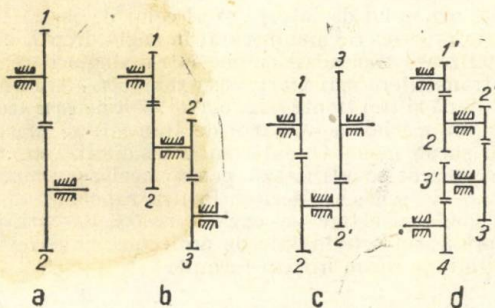


Fig. 5.109.

pentru $i_{12} \leq 10$ — într-o singură treaptă (fig. 5.109, a); pentru $i_{13} = 10 \dots 70$ — în două trepte succesive (fig. 5.109, b) și cu un singur ax (fig. 5.109, c); pentru $i_{14} = 70 \dots 300$ (fig. 5.109, d).

Condiția de a avea un singur ax (fig. 5.109, c) este

$$r_1 + r_2 = r_2' + r_3 \quad \frac{r_2 r_3}{r_1 r_2'} = i_{13} \quad (5.259)$$

În unități relative în ultimele două ecuații sînt trei necunoscute. Condiția de a avea un singur ax se poate satisface dacă pentru obținerea unei soluții precise se dă raportul de transmitere al uneia din trepte. De obicei, raportul de transmitere total se descompune astfel, ca raportul de transmitere al treptei rapide să fie mai mare decît cel al treptei încete. În acest caz, pentru rezolvarea problemei propuse se pot utiliza egalitățile

$$r_2 = i_{12} r_1, \quad r_{2'} = \frac{i_{12} + 1}{i_{23} + 1} r_1, \quad r_3 = i_{23} \frac{i_{12} + 1}{i_{23} + 1} r_1. \quad (5.260)$$

Deoarece mărimile modulelor trebuie să fie standardizate, deseori respectarea primei egalități din (5.259) nu reușește. În astfel de cazuri

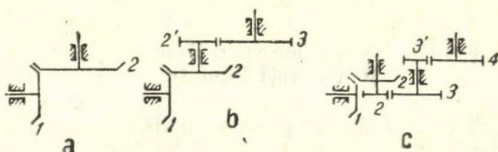


Fig. 5.110.

prelucrarea dinților roților uneia sau a celor două perechi se prevede cu o deplasare a profilului inițial sau roțile se execută cu dinți oblici cu module normale standardizate, care asigură satisfacerea primei egalități din (5.259).

Dacă axele arborelui de intrare și al celui de ieșire trebuie să se intersecteze (în practică cel mai des sînt în unghi drept), atunci pentru $i_{12} \leq 5$ se utilizează transmisii conice într-o singură treaptă; pentru rapoarte de transmitere mai mari, însă sub 150 — transmisii conice-cilindrice în două și trei trepte (fig. 5.110). Tot pentru aceeași așezare a arborilor și în special la rapoarte de transmitere mari se folosesc transmisii cu șurub melc. O dată cu transmisiile cu roți dințate obișnuite, în prezent se utilizează pentru aceleași scopuri și mecanisme planetare de scheme diferite. Pentru rapoarte de transmitere mari, mecanismele planetare se caracterizează deseori prin randament mic. Spre a cunoaște înainte de proiectare valoarea preliminară a randamentului, se poate utiliza formula

$$\eta_{1H} = 1 - (1 - i_{H1}) \psi_H, \quad \eta_{H1} = \frac{1}{1 + (1 - i_{H1}) \psi_H}, \quad (5.261)$$

unde η_{1H} este randamentul mecanismului planetar în cazul transmiterii puterii de la roata 1 la brațul port-sateliți H , η_{H1} același randament în cazul transmiterii puterii de la brațul port-sateliți H la roata 1, i_{H1} raportul de transmitere al mecanismului planetar de la brațul port-sateliți H la roata 1, $\psi_H = 1 - \eta$ coeficientul de pierderi, η randamentul mecanismului cînd brațul port-sateliți H este în repaus și roata 1 care a fost înainte fixă este liberă, adică la inversarea mișcării.

La determinarea randamentului mecanismului în mișcarea inversată trebuie avut în vedere că randamentul roților dințate, în funcție de clasa de precizie a prelucrării, este egal cu: pentru clasa I — 0,99, pentru clasa II — 0,98, pentru clasa III — 0,96, pentru clasa IV — 0,93.

În fig. 5.111 sînt indicate schemele unor mecanisme planetare simple. Pentru mecanismele 5.111 *a*, *b* și *c* trebuie respectată condiția de uniaxialitate, determinată în modul următor

$$\text{fig. 5.111, } a \quad r_3 = r_1 + 2r_2, \quad (5.262)$$

$$\text{fig. 5.111, } b \quad r_1 + r_2 = r_2' + r_3, \quad (5.263)$$

$$\text{fig. 5.111, } c \quad r_1 + r_2 = r_3 - r_2'. \quad (5.264)$$

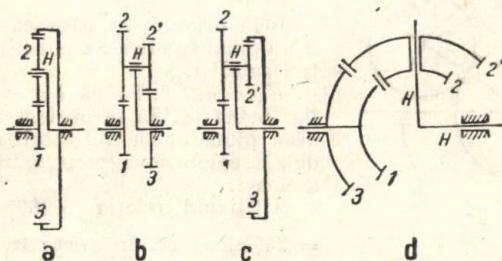


Fig. 5.111.

Condiția de vecinătate în cazul mai multor sateliți (fig. 5.112) este

$$k_1 < \frac{\pi}{\arcsin \frac{z_2 + 2}{z_1 + z_2}}, \quad (5.265)$$

unde k_1 este numărul de sateliți.

Numărul teoretic de sateliți, din condiția de montaj, făcînd abstracție de condiția de vecinătate este

$$\text{fig. 5.111, } a \quad k_0 = z_1 i_{1H}, \quad (5.266)$$

$$\text{fig. 5.111, } b \text{ și } c \quad k_0 = \frac{z_1 z_2'}{j} i_{1H}, \quad (5.267)$$

unde j este divizorul comun al numerelor z_1 și z_2 .

Numărul efectiv k de sateliți se alege unul dintre factorii numărului k_0 .

La proiectarea unei scheme date cu un raport de transmitere dat trebuie indicat numărul de dinți ale roților, care să satisfacă toate condițiile de mai înainte.

Exemplul 1. Se dă $i_{1H} = 6$, schema fig. 5.111, *a*. Să se proiecteze mecanismul planetar cu 5 sateliți.

Analizînd ecuația (5.266) se observă că este indicată folosirea unui număr de dinți multiplu de cinci. Se alege $z_1 = 20$. În acest caz din relația (5.266) $k_0 = 20 \cdot 6 = 120$. Prin urmare, $k = 5$ satisface condiția de montaj.

Deoarece $i_{1H} = 1 + \frac{z_3}{z_1} = 6$, atunci $z_3 = 5z_1 = 100$, iar din ecuația (5.262) avem $z_2 = (z_3 - z_1) 0,5 = (100 - 20) 0,5 = 40$.

Cu ajutorul relației (5.265) se verifică condiția de vecinătate

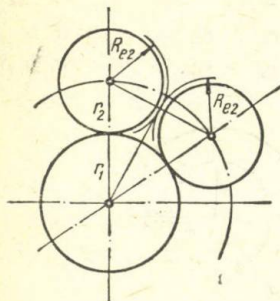


Fig. 5.112.

$$k_1 < \frac{\pi}{\arcsin \frac{40 + 2}{20 + 40}} = 4.$$

Prin urmare, în acest caz nu se pot așeza cinci sateliți. Se pot așeza cel mult trei sateliți.

Exemplul 2. Se dă $i_{1H} = 20$, schema fig. 5.111, c. Să se proiecteze un mecanism planetar cu trei sateliți, dacă modulele celor două perechi de roți sînt aceleași.

Utilizînd relația (5.267) se ia $z_1 = 24$, $z_2' = 18$. În acest caz, $k_0 = \frac{8640}{j}$;

se vede de aici că pentru $k = 3$ condiția de montaj este satisfăcută.

Pentru determinarea lui z_2 și z_3 se folosește ecuația (5.264) din care rezultă $z_3 = z_2 + 42$ și $i_{1H} = 1 + \frac{z_2 z_3}{z_1 z_2'}$, de unde se obține $z_2 = 72$ și $z_3 = 114$.

Verificînd cu relația (5.265) condiția de vecinătate, se găsește $k_1 = 3,56$, iar aceasta arată că condiția dată se poate satisface.

Presupunînd că roțile vor fi prelucrate după clasa II de precizie, se obține pentru mecanismul examinat, în cazul mișcării inversate, $\eta_{13} = \eta_{12} \eta_{23} = 0,98 \cdot 0,98 = 0,96$ și conform ecuației (5.261) se obține $\eta_{1H} = 1 - \left| 1 - \frac{1}{20} \right| \cdot 0,04 = 0,96$.

Exemplul 3. Se dă $i_{14} \approx 150$, schema fig. 5.112. Să se proiecteze mecanismul planetar, dacă modulele tuturor angrenajelor sînt egale.

Pentru obținerea formulei raportului de transmitere se utilizează planul vitezelor (fig. 5.113). Se obține

$$\frac{v_1}{v_4} = \frac{\omega_1 z_1}{\omega_4 z_4} = \frac{2z_2}{z_3 - z_4},$$

de unde rezultă

$$i_{14} = \frac{\omega_1}{\omega_4} = \frac{2z_2 z_4}{z_1 (z_3 - z_4)}. \quad (5.268)$$

Mai departe

$$z_3 = z_1 + 2z_2 \text{ și } z_4 - z_2' = z_1 + z_2. \quad (5.269)$$

Pentru rezolvarea ulterioară

$$2z_2z_4 = i_{14}z_1(z_3 - z_4), \quad z_4 - z_2' = z_3 - z_2. \quad (5.270)$$

Deoarece i_{14} este mare, se ia $z_3 - z_4 = 1$, de unde se obține

$$z_3 = z_4 + 1 \text{ și } z_2 = z_2' + 1. \quad (5.271)$$

După aceasta, ecuația (5.270) se rezolvă în raport cu z_2 ,

$$z_1 = \frac{2z_2^3 + 3z_2 + 1}{0,5i_{1H} - z_2 - 1}. \quad (5.272)$$

Admițând $z_2 = 24$ se găsește $z_1 = \frac{1\,225}{50} = 24,5$. Nu se obține soluția în numere întregi, de aceea se ia $i_{14} = 148$. Într-un asemenea caz avem $z_1 = 25$. Acum numerele dinților de la celelalte roți sînt egale cu $z_2 = 25$, $z_2' = 24$, $z_3 = 75$, $z_4 = 74$.

Pentru determinarea randamentului, mecanismul dat se descompune în două mecanisme cu rapoartele de transmitere i_{1H} și i_{H4} , ale căror valori, pe baza fig. 5.113, sînt următoarele $i_{1H} = 4$ și $i_{H4} = 37$. În mișcarea inversată randamentul primei trepte este $\eta_{13}^H = \eta_{12}^H \eta_{23}^H = 0,98 \cdot 0,98 = 0,96$, iar al celei de a doua trepte $\eta_{2'4}^H = 0,98$, unde se consideră că roțile vor fi prelucrate după clasa a II-a de precizie. După înlocuirea datelor în ecuația (5.261) se obține $\eta_{1H} = 0,97$, $\eta_{H4} = 0,58$ și $\eta_{14} = 0,97 \cdot 0,58 = 0,56$.

Din condiția de montaj după relația (5.266) se obține $k_0 = z_1 i_{1H} = 25 \cdot 4 = 100$, iar din condiția de vecinătate $k_1 = 5,5$. Prin urmare, se pot așeza cel mult cinci sateliți.

În acele cazuri cînd este necesară asigurarea posibilității de variație în trepte a vitezei unghiulare a elementului condus, se utilizează cutii de viteză cu roți dințate, ale căror scheme sînt foarte variate. Să examinăm unele dintre ele.

În fig. 5.114 este arătată o cutie de viteză obișnuită în trei trepte, la

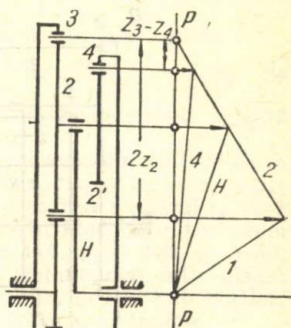


Fig. 5.113.

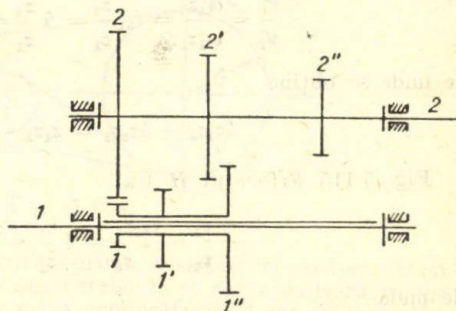


Fig. 5.114.

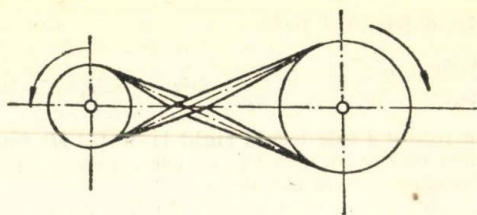


Fig. 5.117.

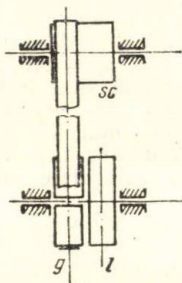


Fig. 5.118.

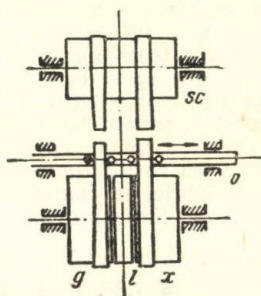


Fig. 5.119.

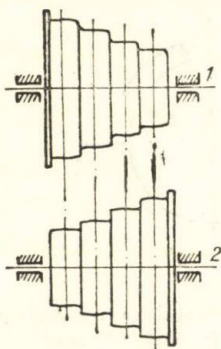


Fig. 5.120.

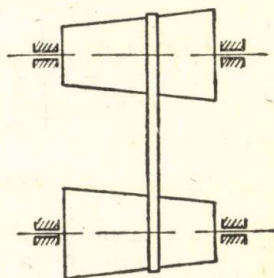


Fig. 5.121.

Folosind concomitent transmisiile deschise și încrucișate, se pot schimba sensurile de rotație ale arborelui conducător (în fig. 5.119) *sc* este șaiba conducătoare, *l* cea de lucru și *g* șaiba liberă, *o* este bara de decuplare. Pentru reglarea în trepte a vitezei arborelui conducător se utilizează *șaibe în trepte* (fig. 5.120). Diametrele șaibelor se aleg astfel, încât lungimea curelei, pentru toate treptele, să rămână aceeași, iar rapoartele de transmitere să realizeze o progresie geometrică.

$$\frac{\omega_1}{\omega_2} = i_{12}; \quad \frac{\omega_1}{\omega'_2} = \zeta i_{12}; \quad \frac{\omega_1}{\omega''_2} = \zeta^2 i_{12}; \dots \quad (5.273)$$

unde: $\zeta > 1$ și $i_{12} > 1$.

Transmisiile cu curea se pot proiecta și pentru reglarea continuă a vitezei șaibei conducătoare, lucru ce se realizează cu ajutorul a două șaibe conice (fig. 5.121).

§ 5.37. Mecanisme cu cruce de Malta

Cum s-a indicat în § 5.9, mecanismele cu cruce de Malta se utilizează pentru transmiterea rotațiilor cu opriri. Tema principală la proiectare trebuie să fie numărul de tăieturi z ale crucii 2, prin aceasta determinându-se numărul de opriri ale ei în timpul unei rotații (fig. 5.122). Unghiul $2\varphi_2$ de rotire a crucii 2 în timpul unei perioade a mișcării ei este

$$2\varphi_2 = \frac{2\pi}{z}. \quad (5.274)$$

Unghiul de rotire a elementului conducător în același interval de timp al mișcării este

$$2\varphi_1 = \pi \left(1 - \frac{2}{z}\right). \quad (5.275)$$

Timpul t_m de mișcare a crucii este

$$t_m = \frac{30}{n_1} \left(1 - \frac{2}{z}\right), \quad (5.276)$$

unde n_1 este numărul de rotații pe minut ale elementului conducător.

Timpul t_r de repaos al crucii este

$$t_r = \frac{30}{n_1} \left(1 + \frac{2}{z}\right). \quad (5.277)$$

Timpul T al unei rotații complete a elementului 1, pentru un singur fus este

$$T = t_m + t_r. \quad (5.278)$$

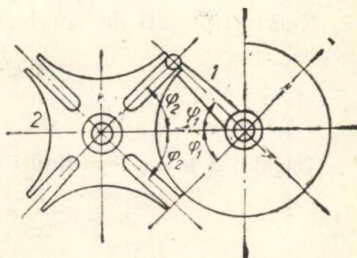


Fig. 5.122.

T a b e l a 5.5. Relația între mărimile z , k , $\frac{t_m}{T}$ și $\frac{t_r}{T}$

z	$2\varphi_2$	$\frac{t_m}{T}$	$\frac{t_r}{T}$ la un număr de fusuri egal cu:			
			$k = 1$	$k = 2$	$k = 3$	$k = 4$
3	120°	0,1667	0,8333	0,3333	0,1667	0,0833
4	96°	0,2500	0,750	0,2500	0,0833	—
5	72°	0,3000	0,7000	0,2000	0,0333	—
6	60°	0,3333	0,6667	0,1667	—	—
7	51°26'	0,3571	0,6429	0,1429	—	—
8	45°	0,3750	0,6250	0,1250	—	—
9	40°	0,3889	0,6111	0,1111	—	—
10	36°	0,4000	0,6000	0,1000	—	—
12	30°	0,4167	0,5833	0,0833	—	—

Observație: z este numărul de tăieturi ale crucii; k — numărul de fusuri; t_m — timpul de mișcare al crucii; t_r — timpul de repaos al crucii; T — timpul unei rotații complete a elementului conducător; $2\varphi_2$ — unghiul de rotire a crucii într-o perioadă de timp a mișcării sale.

Mărimile t_m și t_r , în unități relative, sînt

$$\frac{t_m}{T} = \frac{1}{2} - \frac{1}{z}, \quad \frac{t_r}{T} = \frac{1}{2} + \frac{1}{z}. \quad (5.279)$$

Numărul posibil de fusuri al elementului conducător este

$$k < \frac{2}{1 - \frac{2}{z}}. \quad (5.280)$$

Unghiul λ între două fusuri vecine este legat prin relația

$$\frac{\lambda}{2\pi} = \frac{t_m + t_r}{T}, \quad (5.281)$$

unde t_r depinde, pentru mecanismul examinat, de unghiul λ .

Tabela 5.5 permite determinarea la proiectare a parametrilor de bază ai unui mecanism cu cruce de Malta.

§ 5.38. Mecanisme cu camă

În § 5.7 s-a arătat că mecanismele cu camă se utilizează în special pentru transformarea mișcării de rotație a camei într-o mișcare de translație a tachtului sau într-o mișcare de rotație a tachtului oscilant cu un unghi de rotire limitat.

La proiectarea mecanismelor cu funcționare înceată se dă de obicei relația dintre spațiul parcurs de elementul conducător fie în funcție de timp, fie în funcție de unghiul de rotire a camei. La mecanismele cu mers rapid, legea de variație a accelerației în funcție de timp are o importanță deosebită, deoarece la variații rapide ale accelerațiilor mecanismul funcționează neliniștit. În ultimul caz, printr-o integrare dublă se obține relația spațiului în funcție de timp, care se utilizează la proiectare.

La proiectarea cinematică se pot da: 1) schema mecanismului și dimensiunile elementelor; 2) legea de mișcare a elementului conducător; 3) unghiul de funcționare al camei; 4) legea mișcării ei.

Dimensiunile elementelor nu pot fi date arbitrar, deoarece în astfel de cazuri nu se exclude posibilitatea de construire a mecanismului incapabil de funcționare, care se obține din cauza unghiurilor nefavorabile de presiune.

Unghiul de presiune este unghiul ϑ între linia de acțiune a forței P_{12}^n , aplicată elementului condus 2 din partea elementului conducător 1 și îndreptată după normala în punctul de contact și între viteza de pe elementul condus a punctului de aplicare a acestei forțe (fig. 5.123). Lucrul mecanic al forței P_{12}^n pe un spațiu oarecare s este egal cu

$$A = \int_s P_{12}^n \cos \vartheta \, ds, \quad (5.282)$$

adică cu cât ϑ este mai mic, cu atât lucrul mecanic efectuat de forța P_{12}^n este mai mare.

Variația unghiului de presiune în mecanismele cu camă se poate studia grafic. Pentru mișcarea de translație a tachelului cu rolă (vezi fig. 5.33, a) trebuie construită relația $\frac{v}{\omega_1} = f(s)$ și apoi, pe prelun-

girea axei s , se așază mărimea $\sqrt{R_0^2 - e^2}$, unde R_0 este valoarea minimă a razei vectoare a profilului camei (raza cercului de bază), iar e este excentricitatea (fig. 5.124). Unghiul ϑ se determină astfel, cum este indicat în fig. 5.124.

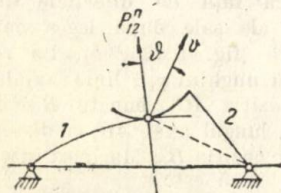


Fig. 5.123.

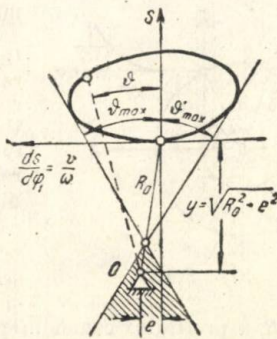


Fig. 5.124.

La proiectare trebuie satisfăcută condiția ca ϑ_{max} să nu fie mai mare decât o mărime dată. În acest caz se duc tangente la diagramă sub unghiul ϑ_{max} , apoi se alege centrul O de rotație al camei în zona hașurată (fig. 5.124). Prin aceasta, se determină R_0 — raza vectorie minimă a profilului camei (raza cercului de bază).

Aceeași problemă pentru mecanismul cu tachtet oscilant (vezi fig. 5.33, c) se rezolvă astfel: în cazul dat, valorile v/ω trebuie așe-

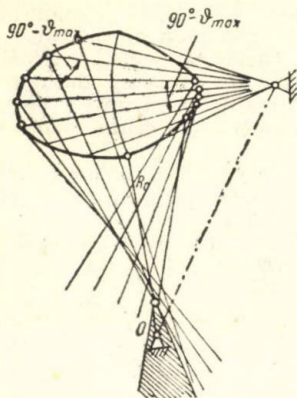


Fig. 5.125.

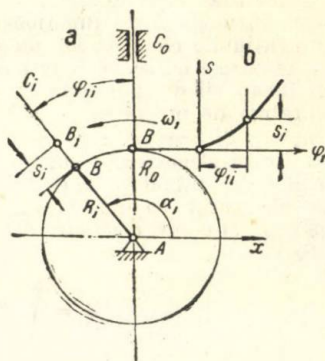


Fig. 5.126.

zate pe prelungirile axei tachtetului oscilant, rotit cu unghiurile date (fig. 5.125). În unele poziții ale tachtetului oscilant se duc drepte sub unghiul $(90^\circ - \vartheta_{max})$. Regiunea hașurată indică locul unde se poate alege centrul de rotație al camei.

La determinarea formei profilului camei se utilizează metoda inversării mișcării.

În mișcarea inversată cama este fixă (fig. 5.126), iar linia axială AC_0 se rotește în sens contrar mișcării acelor ceasornicului cu viteza unghiulară ω_i (fig. 5.126, a); afară de aceasta, tachtetul se mișcă față de diferitele direcții relative ale sale după legea dată de diagramă (fig. 5.126, b). La rotirea camei cu unghiul φ_{ii} , linia axială AC_0 ocupă poziția AC_i , punctul B se deplasează în lungul axei AC_i cu distanța s_i și ocupă poziția B_i . Mărimea razei vectorie

R_i a profilului camei în poziția nouă este

$$R_i = R_0 + s_i. \quad (5.283)$$

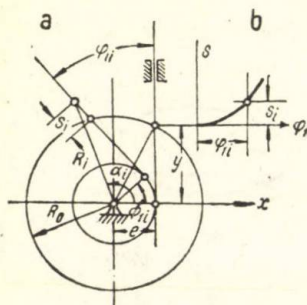


Fig. 5.127.

În cazul mecanismului cu tachtet dezaxat (fig. 5.127, *a*), poziția tachtetului după rotirea sa în mișcarea inversată este determinată de tangenta la cercul de excentricitate e . În acest caz s_i se așază de la cercul descris cu raza R_0 (cercul de bază).

În conformitate cu fig. 5.127, mărimea razei vectoriale \vec{R}_i este

$$R_i = \sqrt{e^2 + (y + s_i)^2}, \quad (5.284)$$

unde

$$y = \sqrt{R_0^2 - e^2}. \quad (5.285)$$

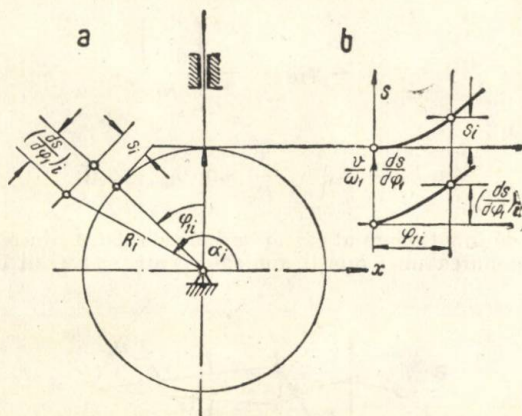


Fig. 5.128.

Pentru mecanismul cu tachtet cu disc plan (fig. 5.128) profilul camei se construiește ca înfășurătoare a diferitelor poziții ale discului plan. Pozițiile lui se determină la fel ca și pentru mecanismul din fig. 5.126. Pentru determinarea mărimii R_i a razei vectoriale în poziția i este necesară diagrama v/ω_1 în funcție de unghiul φ_1 de rotire a camei (fig. 5.128, *b*). Se obține

$$R_i = \sqrt{(R_0 + s_i)^2 + \left(\frac{ds}{d\varphi_1}\right)_i^2}. \quad (5.286)$$

Construirea profilului camei în cazul unui mecanism cu tachtet oscilant reiese clar din fig. 5.129. Raza vectoriale a profilului în poziția i se poate determina din ecuația

$$R_i = \sqrt{L^2 + l^2 - 2Ll \cos(\varphi_{20} + \varphi_{2i})}. \quad (5.287)$$

În § 5.7 s-a arătat că pe desenul de lucru al camei se indică tabela valorilor razei vectoriale a profilului pentru valorile determi-

nate ale unghiului de înclinare a razei vectoriale față de direcția fixă pe camă.

Notînd aceste unghiuri cu α cu indicii corespunzători, se obține
fig. 5.126

$$\alpha_i = 90^\circ + \varphi_i, \quad (5.288)$$

fig. 5.127

$$\cos(\alpha_i - \varphi_{1i}) = \frac{e}{R_i}, \quad (5.289)$$

fig. 5.123

$$\cos(\alpha_i - \varphi_{1i}) = - \frac{\left(\frac{ds}{d\varphi_1}\right)_i}{R_i}, \quad (5.290)$$

fig. 5.129

$$\sin(\alpha_i - \varphi_{1i}) = \frac{1}{R_i} \sin(\varphi_{20} + \varphi_{2i}). \quad (5.291)$$

Pe desenul de funcționare al camei se indică relația dintre R'_i și α'_i . După determinarea unei relații analoge pentru profilul teoretic, se

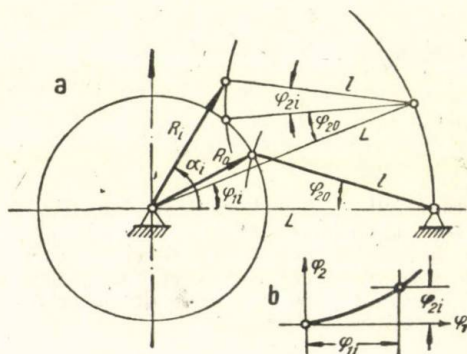


Fig. 5.129.

pot stabili valorile din tabelă ale relației indicate. În acest scop se poate utiliza metoda următoare (fig. 5.130).

$$\rho_i \cos \beta_i = -x_i + R_i \cos \alpha_i, \quad \rho_i \sin \beta_i = R_i \sin \alpha_i, \quad (5.292)$$

de unde

$$\operatorname{tg} \beta_i = \frac{R_i \sin \alpha_i}{-x_i + R_i \cos \alpha_i}. \quad (5.293)$$

și ρ_i se determină din relațiile (5.292) (β_i este unghiul de deviere a vectorului \vec{r} de la axa Ox).

Pentru determinarea lui R_i și α_i avem ecuațiile

$$\left. \begin{aligned} R_i \cos \alpha_i' &= r \cos \beta_i + R_i \cos \alpha_i, \\ R_i \sin \alpha_i' &= r \sin \beta_i + R_i \sin \alpha_i. \end{aligned} \right\} \quad (5.294)$$

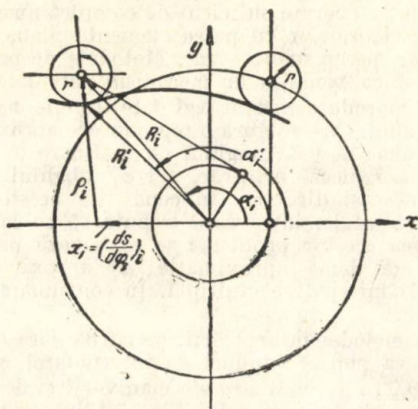


Fig. 5.130.

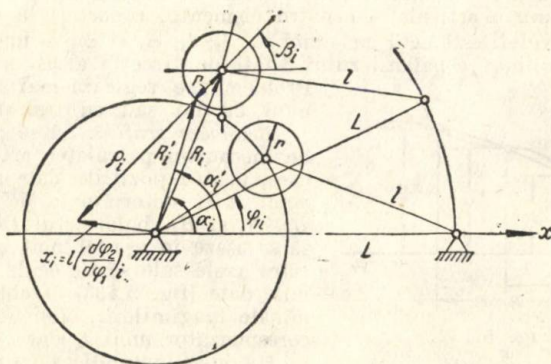


Fig. 5.131.

Aceeași problemă pentru un mecanism cu tachtet oscilant se rezolvă la fel cu cea precedentă cu ajutorul fig. 5.131.

§ 5.39. Mecanisme cu cuple inferioare

Proiectarea mecanismelor cu cuple inferioare ce se efectuează pe baza teoriei mecanismelor și mașinilor, se reduce la determinarea parametrilor schemei cinematice în funcție de condițiile date de mișcare a elementelor. Problemele de bază ale proiectării mecanismelor cu cuple inferioare sînt: 1) problema reproducerii unei legi de mișcare date; 2) problema reproducerii unei traiectorii date.

În prezent sînt elaborate suficient de complet numai metodele de proiectare ale mecanismelor cu patru elemente plane și spațiale. Se vor examina doar mecanismele plane. Metodele de proiectare se vor prezenta luîndu-se ca exemplu un mecanism patruleter articulată.

În problema reproducerii unei legi date trebuie determinați parametrii mecanismului, care asigură o reproducere aproximativă a relației $\varphi_3 = f(\varphi_1)$, unde φ_3 este unghiul de înclinare a balansierului 3 față de o direcție x aleasă arbitrar, iar φ_1 unghiul de înclinare a manivelei 1 pe aceeași direcție. În condițiile acestor probleme se indică de obicei limitele, între care trebuie să se miște elementele 1 și 3. Rezolvarea acestor probleme se realizează prin următoarele metode: 1) cea mai bună aproximație; 2) aproximație pătratică; 3) interpolare; 4) interpolare multiplă. În continuare se expun ultimele trei metode.

La utilizarea metodei interpolării, pe curba care reprezintă legea dată se aleg cîteva puncte (noduri de interpolare), determinate de unghiurile $\varphi_{11}, \varphi_{12} \dots$ de înclinare ale manivelei și de unghiurile $\varphi_{31}, \varphi_{32} \dots$ de înclinare ale balansierului (fig. 5.132), în care legea dată și cea reprodusă se intersectează. Între noduri curbele diferă. Numărul de noduri este egal cu numărul de parametri ai mecanismului, care urmează să fie determinați. Numărul maxim de parametri ai unui mecanism articulată cu patru elemente, raportați la lungimea l_1 a manivelei, este egal cu cinci l_2, l_3, l_4, φ_4 și φ_{31} — unghiul inițial de înclinare a balansierului 3 față de direcția aleasă a axei Ox .

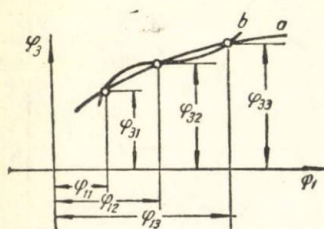


Fig. 5.132.

Problema se reglează mai simplu cu unul, cu doi sau cu trei parametri.

Rezolvare grafică. Să se proiecteze un mecanism patruleter articulată, la care, pentru pozițiile date ale manivelei AB , determinate de punctele B_1, B_2 și B_3 , balansierul DC trebuie să se așeze în așa fel încît unghiurile între axele sale să fie egale cu mărimile date (fig. 5.133). Trebuie determinate lungimile l_2, l_3 și unghiul φ_{31} corespunzător unui l_4 dat.

Dîndu-se lungimile AB a manivelei și DC a balansierului se notează cu B_1, B_2, B_3 respectiv C_1, C_2, C_3 pozițiile corespunzătoare unui unghi arbitrar ales φ_{31} . Alegînd poziția punctelor C într-un loc arbitrar al circumferinței balansierului, nu se poate aștepta că distanțele între pozițiile corespunzătoare B și

C vor fi egale. Pentru a determina pozițiile reale C'_1 , C'_2 și C'_3 ale punctului C , trebuie procedat după cum urmează.

Se determină poziția relativă B'_2 a punctului B față de punctul C_1 în poziția a doua a mecanismului. Pentru aceasta, pe latura DC_1 trebuie construit triunghiul DC_1B_2 egal cu triunghiul DC_2B_2 (fig. 5.133). În mod analog se stabilește poziția relativă B'_3 a punctului B , care corespunde celei de a treia poziții a mecanismului. Pentru a determina poziția inițială DC'_1 a balansierului, trebuie găsit centrul C'_1 al cercului, care trece prin punctele B_1 , B'_2 și B'_3 .

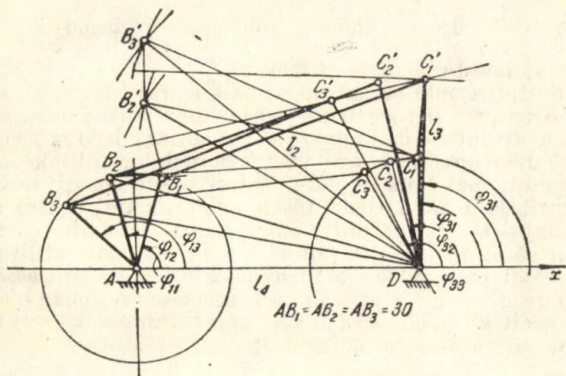


Fig. 5.133.

Celelalte poziții ale balansierului se determină cu ajutorul unghiurilor date. Prin această metodă, în limitele de precizie ale construcțiilor grafice, se poate asigura coincidența în trei puncte a relației date cu cea reprodușă.

Rezolvarea analitică. Pe baza a trei poziții date ale manivelei I și ale balansierului 3 să se determine l_2 , l_3 și l_4 (fig. 5.133). Se dă $l_1 = 1$, φ_{11} , φ_{12} , φ_{13} , φ_{31} , φ_{32} , φ_{33} , $\varphi_4 = 0$.

Pentru rezolvare utilizăm următorul sistem de trei ecuații

$$u - c_{1i}l_4 - c_{2i}l_3 + c_{3i}l_3l_4 = 0 \quad (i = 1, 2, 3), \quad (5.295)$$

unde

$$2u = 1 - l_2^2 + l_3^2 + l_4^2, \quad (5.296)$$

$$\left. \begin{aligned} c_{1i} &= \cos(\varphi_{1i} - \varphi_4), & c_{2i} &= \cos(\varphi_{1i} - \varphi_{3i}), \\ c_{3i} &= \cos(\varphi_4 - \varphi_{3i}), & i &= 1, 2, 3. \end{aligned} \right\} \quad (5.297)$$

În cazurile examinate $k = 3$, iar pentru mărimea n trebuie ales un număr sensibil mai mare decât 3, de exemplu 6 sau mai mult.

Metoda interpolării multiple se utilizează atunci când este necesară asigurarea tangentei de ordin superior în punctele comune ale relațiilor dată și reprodusă. În acest caz câteva derivate ale celor două relații trebuie să fie respectiv egale. Proiectînd mecanismul prin metoda indicată, se poate obține într-o mică vecinătate a nodurilor de interpolare, o bună aproximație a relației reprodusă. La calculul a trei parametri, în cazul unui singur nod de interpolare, trebuie utilizată ecuația (5.295), a doua se obține prin derivarea în raport cu unghiul φ_1 a acestei ecuații, iar a treia este aceea care se obține ca rezultat al celei de a doua derivări.

Fie dat $l_1 = 1$, φ_1 , φ_3 , $\varphi'_3 = \frac{d\varphi_3}{d\varphi_1}$, $\varphi''_3 = \frac{d^2\varphi_3}{d\varphi_1^2}$. Să se determine l_2 , l_3 și l_4 . Pentru rezolvare avem

$$\left. \begin{aligned} u - c_1 l_4 - c_2 l_3 + c_3 l_3 l_4 &= 0, \\ -c'_1 l_4 - c'_2 l_3 + c'_3 l_3 l_4 &= 0, \\ -c''_1 l_4 - c''_2 l_3 + c''_3 l_3 l_4 &= 0, \end{aligned} \right\} \quad (5.302)$$

unde

$$c_1 = \cos(\varphi_1 - \varphi_4), \quad c_2 = \cos(\varphi_1 - \varphi_3), \quad c_3 = \cos(\varphi_4 - \varphi_3); \quad (5.303)$$

$$\left. \begin{aligned} c'_1 &= -\sin(\varphi_1 - \varphi_4), \quad c'_2 = \sin(\varphi_1 - \varphi_3)(\varphi'_3 - 1), \\ c'_3 &= \sin(\varphi_4 - \varphi_3)\varphi'_3; \end{aligned} \right\} \quad (5.304)$$

$$\begin{aligned} c''_1 &= -\cos(\varphi_1 - \varphi_4), \quad c''_2 = \cos(\varphi_1 - \varphi_3)(-1 + 2\varphi'_3 - \varphi_3'^2) + \\ &+ \sin(\varphi_1 - \varphi_3)\varphi_3'', \quad c''_3 = \cos(\varphi_4 - \varphi_3)\varphi_3'^2 + \sin(\varphi_4 - \varphi_3)\varphi_3''. \end{aligned} \quad (5.305)$$

Rezolvarea sistemului de ecuații (5.302) nu prezintă dificultăți; ea nu va fi examinată.

În cazul a două noduri de interpolare se poate proiecta un mecanism care reproduce relația astfel, încît într-un nod să aibă loc tangența, iar în al doilea — ambele să aibă un punct comun.

Problemele examinate se pot rezolva și grafic. Fie de exemplu $l_1 = 30$, $l_4 = 90$, $\varphi_{11} = 45^\circ$, $\varphi_{12} = 90^\circ$, $\varphi_{31} = 60^\circ$, $\varphi_{32} = 80^\circ$, $\varphi'_3 = 1/3$. Să se proiecteze un mecanism care asigură condițiile date (fig. 5.134).

Rezolvarea problemei propuse este analogă cu cea examinată mai înainte (fig. 5.133). Pentru două poziții date ale manivelei și balansierului se poate determina numai locul geometric $E_1 C_1$ pe care se așază punctul C_1 căutat, care determină prima poziție a balansierului, aceasta satisfăcînd condițiile date. Al doilea loc geometric se stabilește pe baza următoare: linia de acțiune împarte linia articulațiilor fixe în părți invers proporționale cu vitezele unghiulare. În

tului C . Descompunându-l pe direcția BC și pe cea perpendiculară cu ea, se determină $a_{CB}^n = n_{CB}b$. Pentru exemplul studiat se obține $l_2 = 88$. După aceasta urmează construirea schemei mecanismului dat în poziția căutată (fig. 5.135).

În cazul dat parametrii de reglare sînt lungimea balansierului BC și unghiul de înclinare a manivelei AB față de axa Ox . Acești parametri pot fi utilizați, dacă se cere satisfacerea unor condiții suplimentare, de exemplu, dacă este necesară asigurarea intersecției relației date și a celei reproduse într-o altă poziție a mecanismului. Asemenea problemă poate fi rezolvată aproximativ.

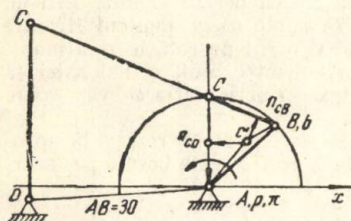


Fig. 5.135.

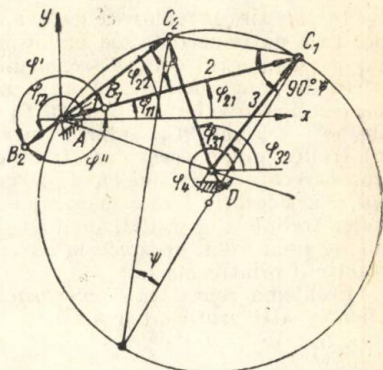


Fig. 5.136.

Se examinează în continuare cazul proiectării unui mecanism, la care, la rotația uniformă a manivelei, timpii de mers în cursa directă și inversă a balansierului sînt *inegali*. În condițiile unei astfel de probleme trebuie să fie dat raportul k al unghiurilor de rotire ale manivelei, corespunzătoare mersului direct și inversat al balansierului. Avînd în vedere că suma acestor unghiuri de rotație ale manivelei este egală cu 360° , atunci în funcție de raportul k se pot determina și aceste unghiuri. Afară de aceasta, trebuie dată lungimea balansierului (ea poate fi luată egală cu unitatea) și unghiul lui de oscilație maxim. Conform schemei de calcul (fig. 5.136), avem următoarele date inițiale: $\varphi_{11}, \varphi_{12}, \varphi_{21} = \varphi_{11}, \varphi_{22} = \varphi_{12} - 180^\circ, l_3 = 1, \varphi_{31}, \varphi_{32}$. Să se determine l_1, l_2, X_4, Y_4 , unde: $X_4 = l_4 \cos \varphi_4, Y_4 = l_4 \sin \varphi_4$.

Pentru determinarea necunoscutelor, se folosesc ecuațiile de proiecții pe axele de coordonate ale contururilor închise ale schemei mecanismului. Se obține

$$\left. \begin{aligned} l_1 \cos \varphi_{11} + l_2 \cos \varphi_{11} &= X_4 + \cos \varphi_{31}, \\ l_1 \sin \varphi_{11} + l_2 \sin \varphi_{11} &= Y_4 + \sin \varphi_{31}, \\ l_1 \cos \varphi_{12} - l_2 \cos \varphi_{12} &= X_4 + \cos \varphi_{32}, \\ l_1 \sin \varphi_{12} - l_2 \sin \varphi_{12} &= Y_4 + \sin \varphi_{32}. \end{aligned} \right\} \quad (5.306)$$

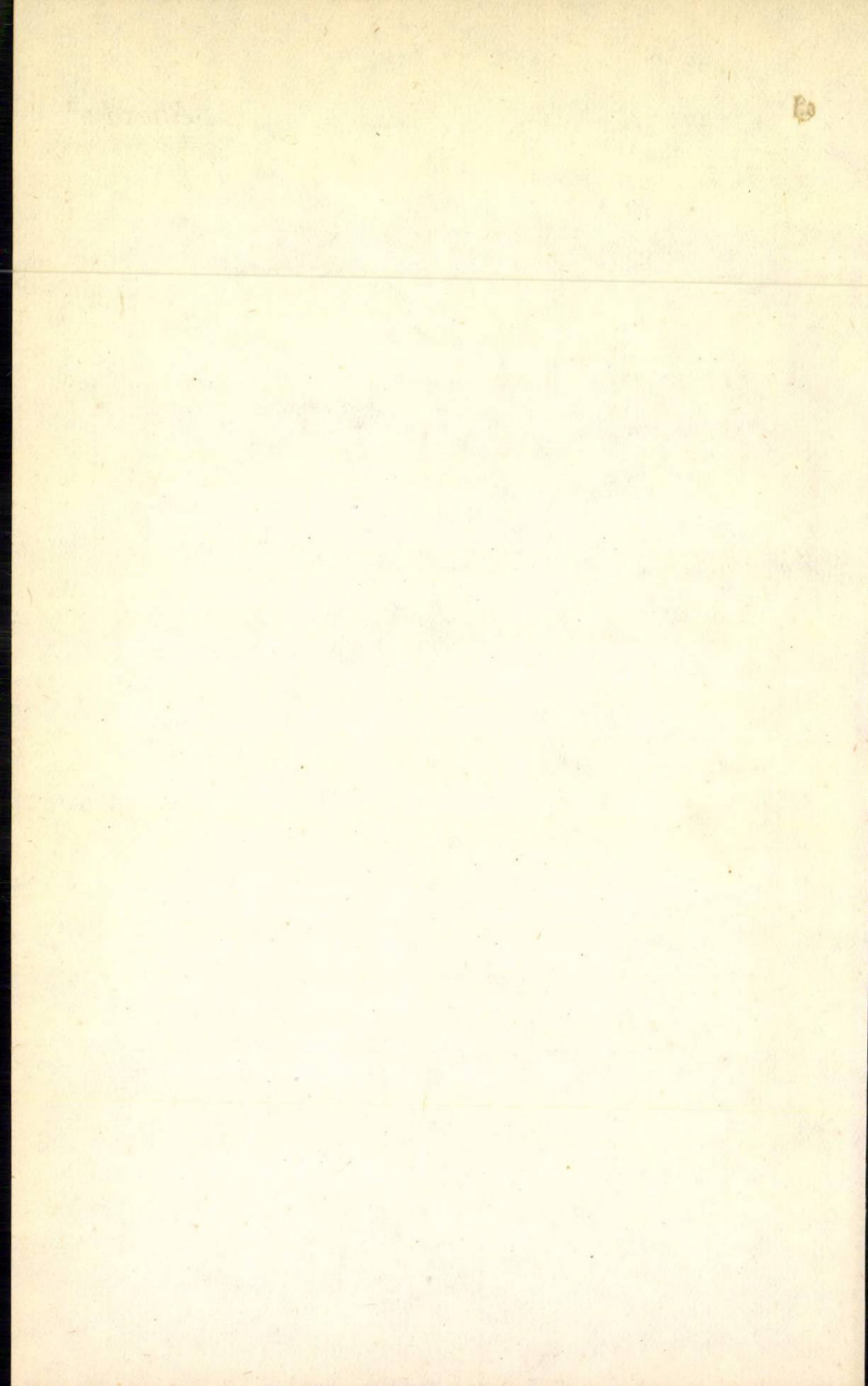
Fie dată curba $\alpha - \alpha$ care în sistemul Oxy este definită de relația $L(\Phi)$. Pe baza acestei relații, curba poate fi trasată (fig. 5.137). Alegînd centrul de rotație A al manivelei AB și lungimea ei, l_1 , se dă lungimea l_2 a barei $2'$. După aceasta, pentru cîteva poziții ale manivelei AB verificăm caracterul mișcării barei $2'$ (variațiile brusce ale poziției barei $2'$ sînt indicații despre alegerea nereușită a parametrilor). Se dă în continuare mărimea unghiului ϕ' , care determină direcția bielei 2 față de bara $2'$. Alegînd lungimea bielei 2, se trasează traiectoria capătului ei. Variind dimensiunea l_2 , se face încercarea de a găsi o traiectorie, care să coincidă aproximativ cu un arc de cerc sau cu o linie dreaptă. Fig. 5.137 ilustrează ultima etapă a căutării mecanismului, al cărui punct E descrie aproximativ traiectoria dată. Problema propusă se simplifică mult, dacă există la îndemînă un atlas de curbe de bielă, care permite găsirea unei curbe asemănătoare cu curba dată și astfel căutările soluției necesare pot fi începute în regiunea unde este așezată curba, care coincide cu cea dată (3.15). Aceeași problemă poate fi rezolvată și analitic, însă în acest caz trebuie să se facă operații cu ecuații de grad mare [11].

Bibliografie

1. Артоболевский И. И., Теория механизмов и машин, Гостехиздат, 1963.
2. Артоболевский И. И., Левитский Н. И. и Черкудинов С. А., Синтез плоских механизмов, Гостехиздат, 1944.
3. Атлас по кинематическому расчету кривошипно-шатунных механизмов, Изд. АН СССР, 1942.
4. Гавриленко В. А., Цилиндрическая эвольвентная зубчатая передача, Машгиз, 1956.
5. Жегалова Т. С., Геометрия эвольвентного зацепления, Машгиз, 1952.
6. Зиновьев В. А., Аналитические методы расчета плоских механизмов, Гостехиздат, 1949.
7. Зиновьев В. А., Кинематическое исследование кулачковых механизмов аналитическим методом, Труды Института машиноведения, семинар по теории машин и механизмов, т. XV, вып. 58, Изд. АН СССР, 1955.
8. Зиновьев В. А., Пространственные механизмы с низшими парами, Гостехиздат, 1952.
9. Кудрявцев В. Н., Выбор типов передач, Машгиз, 1955.
10. Левитский Н. И., Методы расчета кулачковых механизмов, Машгиз, 1954.

11. Левитский Н. И., Проектирование плоских механизмов с низшими парами, Изд. АН СССР, 1950.
12. Решетов Л. Н., Кулачковые механизмы, Машгиз, 1953.
13. Решетов Л. Н., Расчет планетарных механизмов, Машгиз, 1952.
14. Детали машин, Сборник материалов по расчету и конструированию, изд. второе, книга 1, под ред. проф. Н.С. Ачеркана, Машгиз, 1953.
15. Hrones, Nelson, Analysis of the Four-Bar Linkage, New York, 1951.

Anexă
=====



Unele sisteme de unități nemetrice

În Anglia și America, pentru măsurarea lungimilor (suprafețelor, volumelor) și maselor (greutăților), se utilizează mult sisteme proprii naționale de unități; majoritatea unităților în aceste sisteme sînt comune, iar unele deosebiri dintre sistemele engleze și americane se indică mai departe. În tabele se indică sisteme de unități menționate și se dau factorii de trecere de la aceste sisteme la sisteme metrice și invers.

1. Sistemul englez de unități

Unități fundamentale

- 1) Brit. yard, yd, 1 yd = 0,914398 m,
- 2) pound, lb. av., 1 lb. av = 0,453592 kg.

Unități pentru lungime

Unitatea	Denumirea engleză	În unități derivate	În unități metrice
Milă terestră (engleză)	Statute mile (st. mi.)	1760 yard	1609,34 m
Yard	yard (yd)	3 picioare	0,91440 m
Picior	foot (ft)	12 țoli	30,47997 cm
Țol	inch (in)	—	2,539996 cm
Milă marină	Nautical mile (n.mi)	10 ancabluri	1 853,18 m
Ancablură	Cable's length	608 picioare	185,318 m
Lanț	chain	66 picioare	20,117 m

Unități de suprafață

Unitatea	Denumirea engleză	În unități derivate	În unități metrice
Milă terestră pătratată	Square, st. mile (sq. mi și mi ²)	640 acri	2,58998 km ²
Acre	Acre	4860 yarzipătrați	4046,842 m ²
Yard pătrat	Square yard (sq. yd. și yd ²)	9 picioare pătrate	0,83612 m ²
Picior pătrat	Square foot (sq. ft. și ft ²)	144 țoli pătrați	9,2903 dm ²
Țol pătrat	Square inch (sq. in. și in ²)	—	6,4516 cm ²

Unități pentru volume

Unitatea	Denumirea engleză	În unități derivate	În unități metrice
Tonă registru	Register ton (reg. tn)	100 picioare cubice	2,83167 m ³
Yard cub	Cubic yard (cu. yd. și yd ³)	27 picioare cubice	0,76455 m ³
Picior cub	Cubic foot (cu. ft. și ft ³)	1728 țoli cubi	28,3167 dm ³
Țol cub	Cubic inch. (cu. in. și in ³)	—	16,3870 cm ³

Unități de capacitate

Unitatea	Denumirea engleză	În unități derivate	În unități metrice
Cvarter	Quarter	8 bușeli	290,949 l
Bușel	Bushel (bu)	8 galoni	36,369 l
Galon	Imperial gallon (gal)	4 sferturi	4,546 l
Sfert	Quart (qt)	2 pint	1,1365 l
Pint	Pint (pt)	4 gil	0,56826 l
Gil	Gill (gi)	—	0,14206 l

Unități de masă (greutate)

Unitatea	Denumirea engleză	În unități derivate	În unități metrice
Tonă englezească	longton, ton (tn. l și tn)	20 chintale englezești	1 016,05 kg
Chintal englezesc	Hundredweight (cwt. l)	112 pfunzi	50,8023 kg
Pfund	Pound (lb. av)	16 uncii	0,45359 kg
Uncie	Ounce (oz. av)	16 drahme	28,34953 g
Drahmă	Dram (dm. av)	—	1,77184 g
Pfund farmaceutic	Apothecary pound (lb. ap)	16 pfunzi farm.	0,37324 kg
Uncie farmaceutică	Apothecary ounce (oz. ap)	8 drahme farm.	31,1035 g
Drahmă farmaceutică	Apothecary dram (dm. ap)	3 scrupuli	3,88793 g
Scrupul	Scruples (s.ap.)	20 grani	1,29598 g
Gran (1/7000 lb. av)	Grain (gr)		64,79892 g

§ 2. Sistemul american de unități

În S.U.A. este admis sistemul englez de unități cu unele schimbări care sînt în esență următoarele:

1. Țolul american se deosebește foarte puțin de cel englez și este egal cu 2,5400051 mm; în legătură cu aceasta se deosebesc de cele engleze și alte unități americane de lungimi și totodată de suprafețe și volume, însă aceste deosebiri sînt atît de neînsemnate, că nu au importanță pentru calculele practice.

2. O suprafață egală cu 36 mile pătrate este în S.U.A. o unitate separată numită township; 1 township = 93,240 km² sau mai precis 93,2399 km².

3. În S.U.A. se utilizează gallon (gall) deosebit de cel englez, egal cu 0,83268 de galloni englezi; un gallon american este egal cu 3,7853 l și în legătură cu aceasta se schimbă și celelalte unități de capacitate. Apoi, 42 galloni formează un barrel, care se utilizează pentru măsurarea volumului lichidelor (păcură, petrol și altele) și este egal cu 158,9826 l, însă pentru măsurarea volumului băuturilor alcoolice, se utilizează 1 barrel, egal cu 31,5 galloni, sau 119,23695 l.

4. Afară de tona engleză, în S.U.A. se folosește și tona mică (short ton), egală cu 2000 pfunduri engleze; o tonă mică = 0,90718 t.

Tabele pentru transformarea unităților engleze în unități metrice și invers.

Transformarea folilor în mm

Pentru calcule s-a luat: un țol englez = 25,4000 mm.

Fracțiuni de țol

Fracțiuni de țol	În fracții zecimale	mm	Fracțiuni de țol	În fracții zecimale	mm.
1/64	0,015625	0,396875	33/64	0,515625	13,09688
1/32	0,03125	0,793750	17/25	0,53125	13,49375
3/64	0,046875	1,190625	35/64	0,546875	13,89063
1/16	0,0625	1,587500	9/16	0,5625	14,28750
5/64	0,078125	1,984375	37/64	0,578125	14,68438
3/32	0,09375	2,381250	19/32	0,59375	15,08125
7/64	0,109375	2,778125	39/64	0,609375	15,47813
1/8	0,125	3,175000	5/8	0,625	15,87500
9/64	0,140625	3,571875	41/64	0,640625	16,27188
5/32	0,15625	3,968750	21/32	0,65625	16,66875
11/64	0,171875	4,365625	43/64	0,671875	17,06563
3/16	0,1875	4,762500	11/16	0,6875	17,46250
13/64	0,203125	5,159375	45/64	0,703125	17,85938
7/32	0,21875	5,556250	23/32	0,71875	18,25625
15/64	0,234375	5,953125	47/64	0,734375	18,65313
1/4	0,25	6,350000	3/4	0,75	19,05000
17/64	0,265625	6,746875	49/64	0,765625	19,44688
9/32	0,28125	7,143750	25/32	0,78125	19,84375
19/64	0,296875	7,540625	51/64	0,796876	20,24063
5/16	0,3125	7,937500	13/64	0,8125	20,63750
21/64	0,328125	8,334375	53/64	0,828125	21,03438
11/32	0,34375	8,731250	27/32	0,84375	21,43125
23/64	0,359375	9,128125	55/64	0,859375	21,82813
3/8	0,375	9,525000	7/8	0,875	22,22500
25/64	0,390625	9,921875	57/64	0,890625	22,62188
13/32	0,406250	10,31875	29/32	0,90625	23,01875
27/64	0,421875	10,71563	59/64	0,921875	23,41563
7/16	0,4375	11,11250	15/16	0,9375	23,81250
29/64	0,453125	11,50938	61/64	0,953125	24,20938
15/32	0,46875	11,90625	31/32	0,96875	23,60625
31/64	0,484375	12,30313	63/64	0,984375	25,00313
1/2	0,5	12,70000	1	1	25,40000

Toli întregi

țoli	mm	țoli	mm	țoli	mm	țoli	mm	țoli	mm
0	0	20	508,0	40	1016,0	60	1524,0	80	2032,0
1	25,4	21	533,4	41	1041,4	61	1549,4	81	2057,4
2	50,8	22	558,8	42	1066,8	62	1574,8	82	2082,8
3	76,2	23	584,2	43	1092,2	63	1600,2	83	2108,2
4	101,6	24	609,6	44	1117,6	64	1625,6	84	2133,6
5	127,0	25	635,0	45	1143,0	65	1651,0	85	2159,0
6	152,4	26	660,4	46	1168,4	66	1676,4	86	2184,4
7	177,8	27	685,8	47	1193,8	67	1701,8	87	2209,8
8	203,2	28	711,2	48	1219,2	68	1727,2	88	2235,2
9	228,6	29	736,6	49	1244,6	69	1752,6	89	2260,6
10	254,0	30	762,0	50	1270,0	70	1778,0	90	2286,0
11	279,4	31	787,4	51	1295,4	71	1803,4	91	2311,4
12	304,8	32	812,8	52	1320,8	72	1828,8	92	2336,8
13	330,2	33	838,2	53	1346,2	73	1854,2	93	2362,2
14	355,6	34	863,6	54	1371,6	74	1879,6	94	2387,6
15	381,0	35	889,0	55	1397,0	75	1905,0	95	2413,0
16	406,4	36	914,4	56	1422,4	76	1930,4	96	2438,4
17	431,8	37	939,8	57	1447,8	77	1955,8	97	2463,8
18	457,2	38	965,2	58	1473,2	78	1981,2	98	2489,2
19	482,6	39	990,6	59	1498,6	79	2006,6	99	2514,6

Transformarea centimetrilor în foli
Pentru calcule s-a luat 1 cm = 0,393700 fol englez

0,1 cm cm	0,0	0,1	0,2	0,3	0,4	0,5	0,6	0,7	0,8	0,9
0	—	0,03937	0,07874	0,11811	0,15748	0,19685	0,23622	0,27559	0,31496	0,35433
1	0,39370	0,43307	0,47244	0,51181	0,55118	0,59055	0,62992	0,66929	0,70866	0,74803
2	0,78740	0,82677	0,86614	0,90551	0,94488	0,98425	1,0236	1,0630	1,1024	1,1417
3	1,511	1,2205	1,2598	1,2992	1,3386	1,3780	1,4179	1,4567	1,4961	1,5354
4	1,5748	1,6142	1,6535	1,6929	1,7323	1,7717	1,8110	1,8504	1,8898	1,9291
5	1,9685	2,0079	2,0472	2,0866	2,1260	2,1654	2,2047	2,2441	2,2835	2,3228
6	2,3622	2,4016	2,4409	2,4803	2,5197	2,5591	2,5984	2,6378	2,6772	2,7165
7	2,7559	2,7953	2,8346	2,8740	2,9134	2,9528	2,9921	3,0315	3,0709	3,1102
8	3,1496	3,1890	3,2283	3,2677	3,3071	3,3465	3,3857	3,4252	3,4646	3,5039
9	3,5433	3,5827	3,6220	3,6614	3,7008	3,7402	3,7795	3,8189	3,8583	3,8976
10	3,9370	3,9764	4,0158	4,0551	4,0945	4,1339	4,1732	4,2126	4,2520	4,2913
11	4,3307	4,3701	4,4094	4,4488	4,4882	4,5276	4,5669	4,6063	4,6457	4,6850
12	4,7244	4,7638	4,8031	4,8425	4,8819	4,9213	4,9606	5,000	5,0394	5,0787
13	5,1181	5,1585	5,1968	5,2362	5,2756	5,3150	5,3543	5,3937	5,4331	5,4724
14	5,5118	5,5512	5,5905	5,6299	5,6693	5,7087	5,7480	5,7874	5,8268	5,8661
15	5,9055	5,9449	5,9842	6,0236	6,0630	6,1024	6,1417	6,1811	6,2205	6,2598
16	6,3992	6,3386	6,3779	6,4173	6,4567	6,4961	6,5354	6,5748	6,6142	6,6535
17	6,6929	6,7323	6,7716	6,8110	6,8504	6,8898	6,9291	6,9685	7,0079	7,0472
18	7,0866	7,1260	7,1653	7,2047	7,2441	7,2835	7,3228	7,3622	7,4016	7,4409
19	7,4803	7,5197	7,5590	7,5984	7,6378	7,6772	7,7165	7,7559	7,7953	7,8346
20	7,8740	7,9134	7,9527	7,9921	8,0315	8,0709	8,1102	8,1496	8,1890	8,2283
21	8,2766	8,3071	8,3464	8,3858	8,4252	8,4646	8,5039	8,5433	8,5827	8,6220
22	8,6614	8,7008	8,7401	8,7795	8,8189	8,8583	8,8976	8,9370	8,9764	9,0157
23	9,0551	9,0945	9,1338	9,1732	9,2126	9,2520	9,2913	9,3307	9,3701	9,4094
24	9,4488	9,4882	9,5275	9,5669	9,6063	9,6457	9,6850	9,7244	9,7638	9,8031
25	9,8425	9,8819	9,9212	9,9606	10,000	10,039	10,079	10,118	10,157	10,197

26	10,236	10,276	10,315	10,354	10,394	10,433	10,472	10,512	10,551	10,591
27	10,630	10,669	10,709	10,748	10,787	10,827	10,866	10,905	10,945	10,984
28	11,024	11,063	11,102	11,142	11,181	11,220	11,260	11,299	11,339	11,378
29	11,417	11,457	11,496	11,535	11,575	11,614	11,654	11,693	11,732	11,772
30	11,811	11,850	11,890	11,929	11,968	12,008	12,047	12,087	12,126	12,165
31	12,205	12,244	12,283	12,323	12,362	12,402	12,441	12,480	12,520	12,559
32	12,598	12,638	12,677	12,717	12,756	12,795	12,835	12,874	12,914	12,953
33	12,992	13,031	13,071	13,110	13,150	13,189	13,228	13,268	13,307	13,346
34	13,386	13,425	13,465	13,504	13,543	13,583	13,622	13,661	13,701	13,740
35	13,780	13,819	13,858	13,898	13,937	13,976	14,016	14,055	14,094	14,134
36	14,173	14,213	14,252	14,291	14,331	14,370	14,409	14,449	14,488	14,528
37	14,567	14,606	14,646	14,685	14,724	14,764	14,803	14,842	14,882	14,921
38	14,961	15,000	15,039	15,079	15,118	15,157	15,197	15,236	15,276	15,315
39	15,364	15,394	15,433	15,472	15,512	15,551	15,591	15,630	15,669	15,709
40	15,748	15,787	15,827	15,866	15,905	15,945	15,984	16,024	16,063	16,102
41	16,142	16,181	16,220	16,260	16,299	16,339	16,378	16,417	16,457	16,496
42	16,535	16,575	16,614	16,654	16,693	16,732	16,772	16,811	16,850	16,890
43	16,929	16,968	17,008	17,047	17,087	17,126	17,165	17,205	17,244	17,283
44	17,323	17,362	17,402	17,441	17,480	17,520	17,559	17,598	17,638	17,677
45	17,717	17,756	17,795	17,835	17,874	17,913	17,953	17,992	18,031	18,071
46	18,110	18,150	18,189	18,228	18,268	18,307	18,346	18,386	18,425	18,465
47	18,504	18,543	18,583	18,622	18,661	18,701	18,740	18,779	18,819	18,858
48	18,898	18,987	18,976	19,016	19,056	19,094	19,134	19,173	19,213	19,252
49	19,291	19,331	19,370	19,409	19,449	19,488	19,528	19,567	19,606	19,646
50	19,685	19,724	19,764	19,803	19,842	19,882	19,921	19,961	20,000	20,039
51	20,079	20,118	20,157	20,197	20,236	20,276	20,315	20,354	20,394	20,433
52	20,472	20,512	20,551	20,591	20,630	20,669	20,709	20,748	20,787	20,827
53	20,866	20,905	20,945	20,984	21,024	21,063	21,102	21,142	21,181	21,220
54	21,260	21,299	21,339	21,378	21,417	21,457	21,496	21,535	21,575	21,614
55	21,654	21,693	21,732	21,772	21,811	21,850	21,890	21,929	21,968	22,008

(continue)

	0,0	0,1	0,2	0,3	0,4	0,5	0,6	0,7	0,8	0,9
56	22,047	22,087	22,126	22,165	22,205	22,244	22,283	22,323	22,362	22,402
57	22,441	22,480	22,520	22,559	22,598	22,638	22,677	22,716	22,756	22,795
58	22,835	22,874	22,913	22,953	22,992	23,031	23,071	23,110	23,150	23,189
59	23,228	23,268	23,307	23,346	23,386	23,425	23,465	23,504	23,543	23,583
60	23,622	23,661	23,701	23,740	23,779	23,819	23,858	23,898	23,937	23,976
61	24,016	24,055	24,094	24,134	24,173	24,213	24,252	24,291	24,331	24,370
62	24,409	24,449	24,488	24,528	24,567	24,606	24,646	24,685	24,724	24,764
63	24,803	24,842	24,882	24,921	24,961	25,000	25,039	25,079	25,118	25,157
64	25,197	25,236	25,276	25,315	25,354	25,394	25,433	25,472	25,512	25,551
65	25,591	25,630	25,669	25,709	25,748	25,787	25,827	25,866	25,905	25,945
66	25,984	26,024	26,063	26,102	26,142	26,181	26,220	26,260	26,299	26,339
67	26,378	26,417	26,457	26,496	26,535	26,575	26,614	26,653	26,693	26,732
68	26,772	26,811	26,850	26,890	26,929	26,968	27,008	27,047	27,087	27,126
69	27,165	27,205	27,244	27,283	27,323	27,362	27,402	27,441	27,480	27,520
70	27,559	27,598	27,638	27,677	27,716	27,756	27,795	27,835	27,874	27,913
71	27,953	27,992	28,031	28,071	28,110	28,150	28,189	28,228	28,268	28,307
72	28,346	28,386	28,425	28,465	28,504	28,543	28,583	28,622	28,661	28,701
73	28,740	28,779	28,819	28,858	28,898	28,937	28,976	29,010	29,055	29,094
74	29,134	29,173	29,213	29,252	29,291	29,331	29,370	29,409	29,448	29,488
75	29,528	29,567	29,606	29,646	29,685	29,724	29,764	29,803	29,842	29,882
76	29,921	29,961	30,000	30,039	30,079	30,118	30,157	30,197	30,236	30,276
77	30,315	30,354	30,394	30,433	30,472	30,512	30,551	30,590	30,630	30,669

78	30,709	30,748	30,787	30,827	30,866	30,905	30,945	30,984	31,024	31,063
79	31,102	31,142	31,181	31,220	31,260	31,299	31,339	31,378	31,417	31,457
80	31,496	31,535	31,575	31,614	31,653	31,693	31,732	31,772	31,811	31,850
81	31,890	31,929	31,968	32,008	32,047	32,087	32,126	32,165	32,205	32,244
82	32,283	32,323	32,362	32,402	32,441	32,480	32,520	32,559	32,598	32,638
83	32,677	32,716	32,756	32,795	32,835	32,874	32,913	32,953	32,992	33,031
84	33,071	33,110	33,150	33,189	33,228	33,268	33,307	33,346	33,386	33,425
85	33,465	33,504	33,543	33,583	33,622	33,661	33,701	33,740	33,779	33,819
86	33,858	33,898	33,937	33,976	33,016	34,055	34,094	34,134	34,173	34,213
87	34,252	34,291	34,331	34,370	34,409	34,449	34,488	34,527	34,567	34,606
88	34,646	34,685	34,724	34,764	34,803	34,842	34,882	34,921	34,961	35,000
89	35,039	35,079	35,118	35,157	35,197	35,236	35,276	35,315	35,354	35,394
90	35,433	35,472	35,512	35,551	35,590	35,630	35,669	35,709	35,748	35,787
91	35,827	35,866	35,905	35,945	35,984	36,024	36,063	36,102	36,142	36,181
92	36,220	36,260	36,299	36,339	36,378	36,417	36,457	36,496	36,535	36,575
93	36,614	36,653	36,693	36,732	36,772	36,811	36,850	36,890	36,929	36,968
94	37,008	37,047	37,087	37,126	37,165	37,205	37,244	37,283	37,323	37,362
95	37,402	37,441	37,480	37,520	37,559	37,598	37,638	37,677	37,716	37,756
96	37,795	37,835	37,874	37,913	37,953	37,992	38,031	38,071	38,110	38,150
97	38,189	38,228	38,268	38,307	38,346	38,386	38,425	38,464	38,504	38,543
98	38,583	38,622	38,661	38,701	38,740	38,779	38,819	38,858	38,898	38,937
99	38,976	39,016	39,055	39,094	39,134	39,173	39,213	39,252	39,291	39,331

Transformarea yarzilor în m și invers

Pentru calcule s-a admis 1 yard = 0,914398 m

yarzi	0	1	2	3	4	5	6	7	8	9
0	0	0,91440	1,82880	2,74320	3,65760	4,57199	5,48639	6,40079	7,31519	8,22959
10	9,14398	10,0584	10,9728	11,8872	12,8016	13,7160	14,6304	15,5448	16,4592	17,3736
20	18,2880	19,2024	20,1168	21,0312	21,9456	22,8600	23,7744	24,6888	25,6032	26,5176
30	27,4320	28,3464	29,2607	30,1751	31,0895	32,0039	32,9183	33,8327	34,7471	35,6615
40	36,5759	37,4903	38,4047	39,3191	40,2335	41,1479	42,0623	42,9767	43,8911	44,8055
50	45,7199	46,6343	47,5487	48,4631	49,3775	50,2919	51,2063	52,1207	53,0351	53,9495
60	54,8639	55,7783	56,6927	57,6071	58,5215	59,4359	60,3503	61,2647	62,1791	63,0935
70	64,0079	64,9223	65,8367	66,7511	67,6655	68,5799	69,4943	70,4087	71,3231	72,2375
80	73,1518	74,0663	74,9807	75,8951	76,8095	77,7239	78,6383	79,5527	80,4671	81,3815
90	82,2958	83,2103	84,1247	85,0391	85,9535	86,8678	87,7822	88,6966	89,6110	90,5254
100	91,4398	92,3542	93,2686	94,1830	95,0974	96,0118	96,9262	97,8406	98,7550	99,6694

Pentru calcule s-a admis ca 1 m = 1,093615 yarzi

metri	0	1	2	3	4	5	6	7	8	9
0	0	1,09362	2,18723	3,28085	4,37446	5,46808	6,56169	7,65531	8,74892	9,84254
10	10,9362	12,0298	13,1234	14,2170	15,3106	16,4042	17,4978	18,5915	19,6851	20,7787
20	21,8723	22,9659	24,0595	25,1531	26,2468	27,3404	28,4340	29,5276	30,6212	31,7148
30	32,8085	33,9021	34,9957	36,0893	37,1829	38,2765	39,3701	40,4638	41,5574	42,6510
40	43,7446	44,8382	45,9318	47,0255	48,1191	49,2127	50,3063	51,3999	52,4935	53,5871
50	54,6808	55,7744	56,8680	57,9616	59,0552	60,1488	61,2425	62,3361	63,4297	64,5233
60	65,6169	66,7105	67,8041	68,8978	69,9914	71,0850	72,1786	73,2722	74,3658	75,4594
70	76,5531	77,6467	78,7403	79,8339	80,9275	82,0211	83,1148	84,2084	85,3020	86,3956
80	87,4892	88,5828	89,6764	90,7701	91,8637	92,9573	94,0509	95,1445	96,2381	97,3318
90	98,4254	99,5190	100,613	101,706	102,800	103,893	104,987	106,081	107,174	108,268
100	109,362	110,455	111,549	112,642	113,736	114,830	115,923	117,017	118,110	119,204

Transformarea metrilor în picioare și invers
 Pentru calcule s-a admis ca 1 m = 3,280833 picioare
 1 picior = 0,30480 m

m	0	1	2	3	4	5	6	7	8	9	picioare	m
0	...	3,2808	6,5617	9,8425	13,123	16,404	19,685	22,966	26,247	29,527	1	0,30480
10	32,808	36,089	39,370	42,651	45,932	49,212	52,493	55,774	59,055	62,336	2	0,60960
20	65,617	68,897	72,178	75,459	78,740	82,021	85,302	88,583	91,863	95,144	3	0,91440
30	98,425	101,71	104,99	108,27	111,55	114,83	118,11	121,39	124,67	127,95	4	1,21920
40	131,23	134,51	137,80	141,08	144,36	147,64	150,92	154,20	157,48	160,76	5	1,52400
50	164,04	167,32	170,60	173,88	177,16	180,45	183,73	187,01	190,29	193,57	6	1,82880
60	196,85	200,13	203,41	206,69	209,97	213,25	216,53	219,82	223,10	226,38	7	2,13360
70	229,66	232,94	236,22	239,50	242,78	246,06	249,34	252,62	255,90	259,19	8	2,43840
80	262,47	265,75	269,03	272,31	275,59	278,87	282,15	285,43	288,71	291,99	9	2,74320
90	295,27	298,56	301,84	305,12	308,40	311,68	314,96	318,23	321,52	324,80	10	3,04800

Transformarea kilometrilor în mile și invers
 Pentru calcule s-a admis ca 1 km = 0,62137 mile
 1 milă = 1,60934 km

km	0	1	2	3	4	5	6	7	8	9	mile	km
0	...	0,62137	1,2427	1,8641	2,4855	3,1069	3,7282	4,3496	4,9710	5,5923	1	1,60934
10	6,2137	6,8351	7,4564	8,0778	8,6992	9,3206	9,9419	10,563	11,185	11,806	2	3,21868
20	12,427	13,049	13,670	14,292	14,913	15,534	16,156	16,777	17,398	18,020	3	4,82802
30	18,641	19,262	19,884	20,505	21,127	21,748	22,369	22,991	23,612	24,233	4	6,43736
40	24,855	25,476	26,098	26,719	27,340	27,962	28,583	29,204	29,826	30,447	5	8,04671
50	31,069	31,690	32,311	32,933	33,554	34,175	34,797	35,418	36,039	36,661	6	9,65605
60	37,282	37,904	38,525	39,146	39,768	40,389	41,010	41,632	42,253	42,875	7	11,26539
70	43,496	44,117	44,739	45,360	45,981	46,603	47,224	47,845	48,467	49,088	8	12,87473
80	49,710	50,331	50,952	51,574	52,195	52,816	53,438	54,059	54,681	55,302	9	14,48407
90	55,923	56,545	57,166	57,787	58,409	59,030	59,652	60,273	60,894	61,516	10	16,09341

Transformarea picioarelor pătrate în unități metrice și invers
Pentru calcul s-a admis ca 1 picior pătrat = 9,29027 dm²

Pic. patr.	0	1	2	3	4	5	6	7	8	9
0	0	9,29027	18,5805	27,8708	37,1611	46,4514	55,7416	65,0319	74,3222	83,6124
10	92,9027	102,193	111,483	120,774	130,064	139,354	148,644	157,935	167,225	176,515
20	185,805	105,096	204,386	213,676	222,966	232,257	241,547	250,837	260,128	269,418
30	278,708	287,998	297,289	306,579	315,869	325,159	334,450	343,740	353,030	362,321
40	371,611	380,901	390,191	399,482	408,772	418,062	427,352	436,643	445,933	455,223
50	464,514	473,804	483,094	492,384	501,675	510,965	520,255	529,545	538,836	548,126
60	557,416	566,706	575,997	585,287	594,577	603,868	613,158	622,448	631,738	641,029
70	650,319	659,609	668,899	678,190	687,480	696,770	706,061	715,351	724,641	733,931
80	743,222	752,512	761,802	771,092	780,383	789,673	798,963	808,253	817,544	826,834
90	836,124	845,415	854,705	863,995	873,285	882,576	891,866	901,156	910,446	919,737
100	929,027	938,317	947,608	956,898	966,188	975,478	984,769	994,059	1003,35	1012,64

Pentru calcul s-a admis ca 1 m² = 10,7639 picioare pătrate

m ²	0	1	2	3	4	5	6	7	8	9
0	0	10,7639	21,5279	32,2918	43,0558	53,8197	64,5837	75,3476	86,1116	96,8755
10	107,639	118,403	129,167	139,931	150,695	161,459	172,223	182,987	193,751	204,515
20	215,279	226,043	236,807	247,571	258,335	269,099	270,863	290,627	301,391	312,154
30	322,918	333,682	344,446	355,210	365,974	376,738	387,502	398,266	409,030	419,794
40	430,558	441,322	452,086	462,850	473,614	484,378	495,142	505,906	516,669	527,433
50	538,197	548,961	559,725	570,489	581,253	592,017	602,781	613,545	624,309	635,073
60	645,837	656,601	667,365	678,129	688,893	699,657	710,421	721,184	731,958	742,712
70	753,476	764,240	775,004	785,768	796,532	807,296	818,060	828,824	839,588	850,352
80	861,116	871,880	882,644	893,408	904,172	914,936	925,700	936,463	947,727	957,991
90	968,755	979,519	990,283	1001,05	1011,81	1022,58	1033,34	1044,19	1054,87	1065,63
100	1076,39	1087,16	1097,92	1108,69	1119,45	1130,21	1140,98	1151,74	1162,51	1173,27

Transformarea yarzilor pătrați în metri pătrați și invers
Pentru calcule s-a admis ca 1 yard pătrat = 0,836124 m²

	0	1	2	3	4	5	6	7	8	9
0	0	0,836124	1,67225	2,50837	3,34450	4,18062	5,01674	5,85287	6,68899	7,52512
10	8,36124	9,19736	10,0335	10,8696	11,7057	12,5419	13,3780	14,2141	15,0502	15,8864
20	16,7225	17,5586	18,3947	19,2309	20,0670	20,9031	21,7392	22,5753	23,4115	24,2476
30	25,0837	25,9198	26,7560	27,5921	28,4282	29,2643	30,1005	30,9366	31,7727	32,6088
40	33,4450	34,2811	35,1172	35,9533	36,7895	37,6256	38,4617	39,2978	40,1340	40,9701
50	41,8062	42,6423	43,4784	44,3146	45,1507	45,9868	46,8229	47,6591	48,4952	49,3313
60	50,1674	51,0036	51,8397	52,6758	53,5119	54,3481	55,1842	56,0203	56,8564	57,6926
70	58,5287	59,3648	60,2009	61,0371	61,8732	62,7093	63,5454	64,3815	65,2177	66,0538
80	66,8899	67,7260	68,5622	69,3983	70,2344	71,0705	71,9067	72,7428	73,5789	74,4150
90	75,2512	76,0873	76,9234	77,7593	78,5957	79,4318	80,2679	81,1040	81,9402	82,7763
100	83,6124	84,4485	85,2846	86,1208	86,9569	87,7930	88,6291	89,4653	90,3014	91,1375

Pentru calcule s-a admis ca 1 m² = 1,19599 yard pătrat

	0	1	2	3	4	5	6	7	8	9
0	0	1,19599	2,39199	3,58798	4,78398	5,97997	7,17597	8,37196	9,56796	10,7639
10	11,9599	13,1559	14,3519	15,5479	16,7439	17,9399	19,1359	20,3319	21,5279	22,7239
20	23,9199	25,1159	26,3119	27,5079	28,7039	29,8999	31,0958	32,2918	33,4878	34,6838
30	36,8798	37,0758	38,2718	39,4678	40,6638	41,8598	43,0558	44,2518	45,4478	46,6438
40	47,8398	49,0358	50,2318	51,4277	52,6237	53,8197	55,0157	56,2117	57,4077	58,6037
50	59,7997	60,9957	62,1917	63,3877	64,5837	65,7797	66,9757	68,1717	69,3677	70,5637
60	71,7597	72,9556	74,1516	75,3476	76,5436	77,7396	78,9356	80,1316	81,3276	82,5236
70	83,7196	84,9156	86,1116	87,3076	88,5036	89,6996	90,8956	92,0916	93,2875	94,4835
80	95,6795	96,8755	98,0715	99,2675	100,464	101,660	102,855	104,051	105,247	106,443
90	107,639	108,835	110,031	111,227	112,423	113,619	114,815	116,011	117,207	118,403
100	119,599	120,795	121,991	123,187	124,383	125,579	126,775	127,971	129,167	130,363

Transformarea kilogramelelor în pfunzi englezi și invers
 Pentru calcul s-a admis ca 1 kg = 2,204622 pfunzi englezi,
 1 pfund englez = 0,453592 kg

kg	0	1	2	3	4	5	6	7	8	9	Pfund englez	kg
0	—	2,2046	4,4092	6,6139	8,8185	11,023	13,228	15,432	17,637	19,842	1	0,45359
10	22,046	24,251	26,455	28,660	30,865	33,069	35,274	37,479	39,683	41,888	2	0,90718
20	44,092	46,297	48,502	50,706	52,911	55,116	57,320	59,525	61,729	63,934	3	1,36078
30	66,139	68,343	70,548	72,753	74,957	77,162	79,366	81,571	83,776	85,980	4	1,81437
40	88,185	90,390	92,594	94,799	97,003	99,208	101,41	103,62	105,82	108,03	5	2,26796
50	110,23	112,44	114,64	116,84	119,05	121,25	123,46	125,66	127,87	130,07	6	2,72155
60	132,28	134,48	136,69	138,89	141,10	143,30	145,51	147,71	149,91	152,12	7	3,17515
70	154,32	156,53	158,73	160,94	163,14	165,35	167,55	169,76	171,96	174,17	8	3,62874
80	176,37	178,57	180,78	182,98	185,19	187,39	189,60	191,80	194,01	196,21	9	4,08233
90	198,42	200,62	202,83	205,03	207,23	209,44	211,64	213,85	216,05	218,26	10	4,53592

Index alfabetic ¹⁾

1 *Matematici*

- Abscisa 62
- Adams-Krilov, metoda lui ~ 228
- Agnesi, curba lui ~ 159
- d'Alembert, criteriul lui ~ 178
- Algebra 21
 - vectorială 193
- Analiza combinatorie 22
 - vectorială 199
- Aranjamente 22
- Arc, lungime ~ 129
- Arhimede, spirala lui ~ 165
- Arie 32
- Asimptota 157
- Astroida 164
- Axe de coordonate, rotația ~ 69
 - — —, translația paralelă a ~ 69
- Bernoulli, ecuația lui ~ 207
 - , lemniscata lui ~ 162
- Binormala 168
- Calculul integral 109
 - diferențial 94
 - —, teoreme fundamentale ale ~ 103
 - operațional 213
 - vectorial 193
- Cardioida 161
- Cassini, ovalul lui ~ 161
- Cauchy, criteriul lui ~ 177
 - , forma (restul) ~ 183
 - , teorema ~ 103, 205, 208
- Cebîșev, condițiile de integrabilitate ale lui ~ 116
 - formula lui — 223
- Centre de greutate, coordonatele ~ 131
- Centru de curbură 156
- Cerc de curbură 156
 - , evolventa ~ 165
 - osculator 156
- Cicloida 162
- Cilindru circular 92
 - eliptic 92
 - hiperbolic 92
 - parabolic 92
- Cisoida 159
- Cîmp de direcții 205
 - irotațional 203
 - scalar 200
 - solenoidal 203
 - vectorial 200
 - —, circulația ~ 201
 - —, divergența ~ 201
 - —, fluxul ~ 202
 - —, rotorul ~ 201
- Clairaut, ecuația lui ~ 207
- Combinări 23
- Concavitate 155
- Concoida 160
- Constantă de integrare 109
- Continuitate 98
- Con de gradul al doilea 91
- Convergență absolută 179
 - relativă 179

¹⁾ Termenii urmați de semnul *) sînt cuprinși în tabele.

- Convergență uniformă 182
 Convexitate 155
 Coordonate cilindrice 84
 — curbilinii 172
 — gaussiene 172
 — polare 69
 — sferice 84
 Corp de rotație, volumul ~ 130
 Corpuri circulare 40
 Criteriul integral de convergență 177
 Cuadraturi mecanice 222
 Curba discriminantă 158
 — exponențială 166
 — — naturală 166
 — integrală 205
 — logaritmă 166
 — oscilației amortizate 166
 — sceptoru 166
 Curbe coordonate 172
 — în spațiu 167
 — plane 153
 Curbura curbei 155, 170
 — medie a suprafeței 175
 Curbură gaussiană 175
 — totală 175

 Derivata după direcție 106
 Derivare, reguli de ~ 100
 Derivata 99, 105
 — parțială 105
 Derivatele de ordin superior ale funcțiilor elementare fundamentale *109
 Derivatele funcțiilor elementare fundamentale *101
 Descartes, curba lui — 159
 Desfășurata curbei 156
 Desfășurătoarea curbei 156
 Determinant 60
 —, complement algebric al ~ 60
 —, minorul ~ 60
 Diferențiala 100, 106
 — parțială 107
 — totală 106,
 Diferențierea grafică 231
 Dinostrat, cvadratricea lui ~ 167
 Discontinuitate, puncte de ~ 98
 Discriminantul ecuației 28
 Domenii de convergență 182

 Două plane, unghiul dintre ~ 87
 Dreapta în spațiu 88
 —, ecuația generală a ~ 71
 —, — normală a ~ 72

 Ecuația binomă, rădăcinile ~ 30
 — bipătrată 30
 — de gradul al doilea (pătrate) 28
 — — — — patruilea 30
 — — — — treilea (cubice) 29
 — — — — întâi (liniară) 28
 — — — n 30
 — drepte cu tăieturi 72
 — generală a curbei de gradul al doilea 82
 — planului cu tăieturi 86
 — reciprocă de gradul al patru-lea 30
 — — — — — treilea 30
 — redusă 28
 Ecuația tangentei la curbă (con, elipsă, hiperbolă și parabolă) 79
 — trinomă 30
 — unei suprafețe 86
 Ecuația, forma canonică a ~ 28
 Ecuații cu diferențiale totale 205
 — — variabile separabile 206
 — liniare 209
 — — omogene 210
 — — — neomogene 210
 Elipsa 76
 —, directoarele ~ 76
 —, ecuația canonică a ~ 76
 —, excentricitatea ~ 76
 —, focarele ~ 76
 Elipsoid 90
 Epiciclopedia 163
 — de rotație 90
 Ermakov, criteriul lui ~ 178
 Eroarea pătratică medie 189
 Euler — Cauchy, metoda lui ~ 228
 Euler, constanta lui ~ 135
 —, ecuația lui ~ 212
 —, formulele lui ~ 175
 Euler — Fourier, formulele lui ~ 188
 Euler, integralele lui ~ 138
 —, substituțiile lui ~ 116
 Evoluta curbei 156
 Evolventa curbei 156

- Exces sferic 59
 Expresia integrantului 126
 Expresii algebrice raționale 25
 — iraționale 27
 Expresii iraționale, forma nor-
 mală a ~ 27
 Extrem condiționat 103

 Factor de normare 72, 89
 — integrant 206
 Fascicul 73
 —, centrul ~ 73
 Figuri plane 32
 Fourier, coeficienții ~ 188
 —, integrala ~ 193
 —, serii ~ 187
 Frația rațională regulată 25
 Funcția gamma 138
 — — *138
 Funcție algebrică 95
 — — irațională 95
 — — rațională 95
 — continuă 98
 — crescătoare 104
 — de punct 105
 — descrescătoare 104
 — explicită 94
 — impară 94
 — mărginită 96
 — monotonă 104
 — pară 94
 — parametrică 94
 — periodică 94
 — potențială 203
 — — armonică 203
 — primitivă 109
 — putere, graficul ~ 158
 — transcendentă 95
 — vectorială 199, 200
 Funcții compuse, derivarea ~ 107
 — de o variabilă 94
 — — mai multe variabile 104
 — elementare 95
 — hiperbolice 47, 55
 — —, integrarea ~ 121
 — — inverse 56
 — implicite, derivarea ~ 107
 — întregi (polinom) 95
 — transcendente, integrarea
 unor ~ 122
 — trigonometrice circulare 47
 — — inverse ~ 117
 — —, integrarea 50

 Gauss, curba lui ~ 166
 Gauss-Ostrogradski, formula ~
 152, 202
 Geometria 32
 — analitică 68
 — — în spațiu 83
 — — plană, 68
 — diferențială 153
 Gradientul cimpului scalar 200
 Gradul ecuației 28
 Green, formula lui — 202
 Guldin, teoremele lui ~ 132, 133

 Hamilton, operatorul lui ~ 204
 Hiperbol 77
 —, directoarele ~ 77
 — echilateră 78
 —, excentricitatea ~ 77
 —, focarele ~ 77
 —, semiaxa imaginară a ~ 77
 — — reală a ~ 75
 Hiperboloid cu o pînză 91
 — — două pînze 91
 — de rotație cu două pînze 91
 — — — o pînză 91
 Hipocicloida 164
 Hodograf 199
 l'Hôpital, regula lui ~ 97

 Imagine 214
 Inegalități 31
 — echivalente 19
 Înfășurătoarea unei familii de
 curbe 158
 Infinit mare 96
 — mic 96
 Infiniți mici echivalenți 96
 Integrala curbilinie 146
 — de suprafață 151
 — definită 125
 — dublă 139
 — nedefinită 109
 — probabilității *136
 — triplă 139
 Integrale convergente 128
 — cu limite infinite 128
 — eliptice de speța a doua 134
 — — — — — întâi *134

- Integrale improprii 128
 — multiple 139
 — —; aplicații *141
 Integrant 109
 Integrarea grafică 232
 — numerică 222
 Interpolare liniară 220
 Interval de convergență 182
 Invarianții curbei de gradul al
 doilea 82
 — suprafeței de gradul aldoilea
 93
 Izocline 205
- Lagrange, ecuația lui ~ 207
 —, forma (restul) ~ 183
 —, multiplicatorii lui ~ 109
 —, teorema ~ 103
 Laplace, ecuația lui ~ 203
 —, operatorul lui ~ 203
 Lăntșor 167
 Leibniz, teorema lui ~ 179
 Limita funcției 95, 105
 — inferioară 126
 — superioară 126
 Limite 95
 —, teoreme asupra ~ 96
 Linii de curbă 175
 — — nivel 200
 — geodezice 58, 175
 Lipschitz, condiția lui ~ 205
 Lobacevski, criteriul lui ~ 177
 Logaritm integral 110
 Logaritmi 22
 Longitudine 84
- MacLaurin, serii ~ 183, 186
 Matricea 65
 —, minorul ~ 65
 —, rangul ~ 61
 Maxim 104
 Mărimi scalare 193
 — vectoriale 193
 Metoda aproximațiilor succesive
 226
 — coeficienților nedeterminați
 27
 — coardelor 220
 — iterației 217
 — variației constantelor ar-
 bitrare 212
- Metode aproximative în analiză
 216
 — grafice 231
 Meusnier, teorema lui ~ 175
 Minim 104
 Moivre, formula lui ~ 25
 Momente statice 131
- Newton, binomul lui ~ 23
 — formula lui ~ 220
 Newton-Leibniz, formula ~ 127
 Newton, metoda lui ~ 220
 Normala la suprafață 172
 — principală 168
 Numere complexe 24
 — —, rădăcina ~ 25
- Ordonata 68
 — la origină 72
 Original 214
- Parabola 78
 —, directoarea ~ 78
 —, ecuația canonică a ~ 78
 —, excentricitatea ~ 78
 —, focarul ~ 78
 —, parametrul ~ 78
 — raza vectoare a ~ 78
 — semicubică 159
 Paraboloid de rotație 92
 — eliptic 91
 — hiperbolic 92
 Parseval, egalitatea lui ~ 193
 Pascal, melcul lui ~ 160
 —, triunghiul lui ~ 23
 Perimetru 32
 Perioada 94
 Permutări 22
 Plan normal 172
 — osculator 168
 — rectificanț 168
 — tangent 172
 Planul 86
 Poliedre 37
 Prima formă pătratică (funda-
 mentală) 174
 Progresia aritmetică 21
 — geometrică 21
 Produs mixt 198
 — scalar 196
 — vectorial 197

- Punct vectorial dublu 198
 Punct autoosculator 157
 — de aplicație 193
 — — extrem 108
 — — inflexiune 155
 — — intersecție a trei plane 88
 — — oprire 158
 — dublu 157
 — — izolat 157
 — — nodal 157
 Punct hiperbolic 157
 — multiplu 157
 — ombilical 157
 — parabolic 157
 — unghiular 158
 Puncte singulare 157
 Puț 204
 Ramura funcției 94
 Raza de convergență a seriei 182
 — — curbura 156, 170
 — — — principală 175
 — — torsiune 171
 — — vectoare 69, 76, 77, 195
 Rădăcina multiplă a polinomu-
 lui 26
 Restul unei serii 176
 Riemann, teorema lui ~ 179
 Roll, teorema lui ~ 103
 Sarrus, regula lui ~ 61
 Scalar 193
 Sector curbiliniu, aria ~ 129
 Secțiuni normale principale 175
 Semiperimetru 32
 Seria absolut convergentă 179
 — semiconvergentă 179
 Serii alternate 179
 — criterii de convergență a
 ~ 176
 — de funcții 181
 — — — convergența ~ 181
 — — numere 176
 Serii infinite 176
 — operații cu ~ 180
 — trigonometrice 187
 Serret-Frenet, formulele ~ 171
 Sisteme de două ecuații liniare 63
 — — ecuații liniare 63
 — — trei ecuații liniare 63
 — principale de coordonate 68
 Sinus integral 110
 Spirala logaritmică 165
 — hiperbolică 165
 — parabolică 166
 Stirling, formula lui ~ 97
 Stokes, formula lui ~ 153, 204
 Strofoida 160
 Subnormală 155
 Subtangentă 155
 Suprafețe 172
 — de nivel 200
 — — rotație, aria ~ 130
 Șir convergent 96
 — divergent 96
 Taylor, formula lui ~ 186
 —, seria lui ~ 183
 Teorema cosinusurilor 53
 —, de existență 205, 208
 — sinusurilor 52
 Torsiunea curbei 171
 Tractricea 167
 Trapez curbiliniu, aria ~ 129
 Triedrul asociat 168
 Trigonometrie sferică 58
 Triunghi sferic 58
 Triunghiuri ascuțit-unghice, rez-
 zolvarea ~ 54
 Trohoida 163
 Unghi de contingență 170
 — polar 69
 Variabil de integrare 109, 126
 Vector 193
 —, capătul ~ 193
 —, componentele ~ 196
 —, coordonatele ~ 194
 —, modulul ~ 193
 —, unitar 194
 —, zero 193
 Vectori coliniari 194
 — coplanari 194
 — opuși 194
 Versor 194
 Virful curbei 156
 Weierstrass, criteriul de conver-
 gență al lui ~ 183
 Wronski, determinantul lui ~ 209

2 Fizica

- Absorbția radiațiilor infraroșii de către cuarț* 598
 Abundența izotopică* 448
 Accelerația căderii libere* 520
 Activitate specifică* 452
 Activitatea unei surse* 452
 Acustica 540
 Acumulatorii cu cadmiu-nichel 584
 — — fier-nichel 584
 — — plumb 584
 Amper internațional 594
 Amperul 424
 Analiza dimensională 426
 Areometru 533
 Avogadro, numărul lui ~ 422, 453, 454

 Bacinski, formula lui ~ 548
 Balling, areometrul ~ 535
 Balmer, seria ~ 604
 Baumé american, areometrul ~ 535
 — rațional areometrul ~ 535
 — vechi, areometrul ~ 535
 Benzil de absorbție ale bioxidului de carbon 598
 — — — vaporilor de apă* 598
 Boltzman, constanta lui ~ 421, 454
 Boltzman Stefan ~ 454
 Bohr, formula lui ~ 604
 — magnetonul ~ 453
 Boyle — Mariotte, legea ~ 517
 Brackett, seria ~ 604

 Candela 424
 Căldura 547
 Căldura specifică a apei *575
 — — mercurului *575
 Căldurile specifice și de evaporare ale corpurilor solide și lichide *579
 Celsius, punctele principale ale scărilor ~ 557
 —, grade ~ 1, 558
 Centimetrul 425

 Le Chatelier, termocuplul normal ~ 585
 Clerck, elementul ~ 585
 Clerioci, lichidul lui ~ 523
 Coeficient de atenuare liniar 451
 — — — masic 451
 — — autodifuzie al gazelor 551
 — — difuzie al gazelor 551
 — — — vaporilor 551
 — termic de rezistență al aliajelor *590
 — — — al metalelor pure *590
 Coeficienți de absorbție ai suncului *546
 — — frecare internă (viscozitate) ai gazelor *547
 — — — — lichidelor *548
 — — — — — vaporilor *547
 — — izolare fonică *546
 — termici de dilatare ale corpurilor solide *559
 — — — — lichidelor *561
 — — — și presiune ai gazelor *568
 Combinații anorganice *479
 — organice. Proprietăți generale 495
 Componenta orizontală a magnetismului terestru *582
 Compoziție și temperaturi de înghețare a apei mării *504
 Conductibilitatea termică a corpurilor solide *571, 574
 — — — — gazelor *573
 — — — — lichidelor *572, 574
 Constanta dielectrică (permisivitatea relativă) a corpurilor gazoase *582
 — — — — — lichide *, *582
 — — — — — corpurilor solide *582
 — de dezintegrare *451
 Constante fizice *453

- Presiunea vaporilor saturați ai lichidelor *569
 Principiul energetic 606
 — numărului de electroni în păături 606
 Procesele nucleare 604
 Proprietățile elastice ale corpurilor nemetale *538
 — — — metalelor *537
 — generale ale corpurilor 467
 — — — unor minerale *500
 — nucleare ale elementelor și izotopilor lor stabili *618
 Punctele de fierbere ale apei la diferite presiuni *565
 — — topire și fierbere ale corpurilor *564
 Punctul de transformare magnetică *581

 Radiațiile Roentgen *612
 Radioactivitatea naturală a altor elemente *615
 Raportarea greutății corpului la greutatea lui în vid *516
 — indicațiilor barometrului la 0°C *514
 — — manometrului cu apă la cele ale manometrului cu mercur *513
 — volumului de gaz la 0°C și 760 mm Hg *516
 Raportul dintre conductivitatea termică și conductivitatea electrică a metalelor *592
 Réaumur, scara ~ 559
 Reflexia luminii de către metale *599
 Rezistența metalelor pure la temperaturi joase *591
 — specifică a corpurilor solide *589
 — — — electroliților *593
 Reacțiile nucleare și energiile lor *628
 Rotația magnetică a planului de polarizare *603
 — planului de polarizare în cuarț *241
 — — — — — soluții *602

 Roentgen, radiațiile ~ 612
 Rydberg, constanta lui ~ 454

 Sarcină elementară *447
 Scara chimică 468
 Scara decimală de duritate *540
 — fizică 468
 Scări areometrice *533
 Secțiune eficace *450, 617
 — — microscopică *450
 — totală 617
 Secțiunile eficace ale unor nuclee pentru neutroni *617
 Secunda 423
 Seriile radioactive ale actiniului *613
 — — — toriului *613
 — — — uraniu-radiului *613
 Simboluri *425
 Sistemul metric 425
 — periodic al elementelor 469
 — SI 424, 444
 — tehnic 426
 Spectrul hidrogenului *604
 Spinul nuclear *450
 — unei particule elementare *447
 Solubilitatea în apă a sărurilor anorganice *555
 Stoppani, areometrul ~ 535
 Structura atomului 604
 Strălucirea unor surse de lumină 595
 Susceptibilitatea magnetică a corpurilor para- și diamagnetice *577

 Tabela psihrometrică *568
 Temperaturi de înghețare la diferite valori ale salinității apei mării *505
 Tensiunea superficială a lichidelor *554
 Tensiuni electromotoare *584
 — termoelectromotoare *585
 Teoria erorilor, elemente de ~ 455
 Termocuplu normal 585
 Termocupluri de lucru *588
 Timp de înjumătățire *452
 Timpul 423
 Tweddle, areometrul ~ 535

- Unități de măsură 423
 — fundamentale *426
 — în fizica atomică și nucleară *447
- Viteza medie *452
 — lungimea parcursului liber, numărul de ciocniri și dimensiunile moleculelor de gaz *552
 — sunetului în aer *541
 — — — corpuri solide *543
 — — — lichide *543
- — — vapori și în gaze *542
- Van der Waals ecuația lui ~ 548
- Weston, elementul ~ 585
 —, element cu cadmiu ~ 584
- Wien, constanta lui ~ 454
- Young, modulul lui ~ 537
- Zero absolut de temperatură 453
- Ziua 424

3 *Mecanica*

- Accelerația punctelor figurii plane 660
 — punctului 645
 — — în mișcarea compusă 670
 — punctelor rigidului în rotație 656
- Accelerație absolută 667
 — axipedă 656
 — centripetă 646, 656, 660
 — complementară 670
 — de rotație 646, 660
 — — transport 667
 — normală 646
 — punctului în mișcarea compusă 670
 — relativă 667
 — tangențială 646
 — unghiulară 648, 652, 655
 — — absolută, vectorul ~ 666
- d'Alembert-Euler, teorema ~ 650
- d'Alembert, forța de inerție a lui ~ 765
 —, principiul lui ~ 765
- Amplitudinea oscilației 644, 710
- Anvergura oscilației 644
- Axa giroscopului 755
- Axa centrală 686
 — — a sistemului de forțe 687
 — de oscilație 749
 — — rotație 651
 — elicoidală instantanee 664
 — instantanee de rotație 653
- Axe de rotație liberă ale corpului 748
 — — — mobile 654
 — — principale centrale de inerție 740
 — — de inerție 740
- Axoidă fixă 653, 666
 — mobilă 653, 666
- Binet, formula lui ~ 707
- Brațul cuplului de forțe 682
 — forței 676
- Bresse, cercul lui ~ 662
- Carnot, formula lui ~ 795
- Căderea liberă 708
 — pe verticală 709
- Centroidă fixă 659
 — mobilă 659
- Centroide 659
- Centru de ciocnire 795
 — — greutate 694, 720, 740
 — — al corpului 694
 — — inerție al sistemului 720
 — — masă al punctelor 720
 — — oscilație 644, 711, 749
 — — rotație 652
 — — instantaneu al vitezelor 658
 — — de rotație 658
- Centrul de greutate al liniei 696, 697
 — — — suprafeței 696, 698
 — — — unor volume 700
 — forțelor paralele 683
 — instantaneu al accelerațiilor 661

- Centrul sistemului 702
 — volumului 695
 Cercul inflexiunilor 662
 Cercuri limită 719
 Ciocnire normală centrală 793
 — perfect elastică 793
 — — plastică 794
 — plastică 792
 Ciocniri 790
 Cinematica 638
 — punctului 638
 — rigidului 649
 Câmp de forțe 729
 — staționar 729
 Câmpul forței gravitaționale 730
 — unei forțe centrale 730
 Coeficient de dinamicitate 786
 — — frecare de alunecare 680
 — — statică 680
 — restituire 792
 Coeficienți cuasielastici ai siste-
 mului 779
 — cuasiinertțiali 779
 Coeficienții ecuației elipsoidului
 de inerție 739
 Componentele tensorului 739
 Compunerea rotațiilor în jurul
 axelor concurente 667
 — — — — paralele 668
 — — — — unei axe oarecare
 669
 Con de frecare 680
 Coordonate generalizate ale unui
 sistem 758
 — — ciclice 776
 Coriolis, accelerația \sim 670
 —, formula lui \sim 670
 Corp omogen 695
 Cuplu de forțe 682
 — — rotație 669
 Curbă dinamică netedă 713

 Decrement logaritm al oscila-
 țiilor 712, 784
 Deplasare elementară 640
 — finită 649
 — virtuală 757, 762
 Deplasarea punctului 640
 Derivata vectorului vitează 645
 Dinama 685

 Dinamica 702
 — generală a sistemelor 719
 — punctului material 702
 — rigidului 736

 Echilibrul astatic 694
 — forțelor 674
 — indiferent 694
 — stabil 777
 — unui corp greu 701
 Ecuația de frecvență 781
 — de mișcare a centrului de
 inerție 722
 — — rotație 652
 — traiectoriei 707
 Ecuații canonice 776
 — — de mișcare ale sistemului
 olonom 777
 — de echilibru 764
 — — — ale punctului mate-
 rial 674
 — — mișcare ale punctului
 639
 — — — ale sistemului 768
 — diferențiale ale mișcării
 punctului liber 704
 — parametrice ale mișcării 639
 — vectoriale a mișcării 639
 Ecuațiile dinamice ale unui rigid
 liber 754
 — mișcării plane 657
 — sistemului 759
 Elipsoidul de inerție 739
 — momentelor de inerție 739
 Energia cinetică a unui punct
 material 730
 — — — — rigid 752
 — — — — sistem 733
 — — mecanică a sistemului 735
 — — — unui punct 732
 — — totală a sistemului 772
 — — — — conservativ 736
 Energie potențială 732
 — — a sistemului 762
 — — — conservativ 736
 Euler-Chasles, teorema \sim 649
 Euler, ecuațiile dinamice ale lui
 \sim 753, 754
 — formula lui \sim 652
 — unghiurile lui \sim 653, 654

- Faza oscilației 644, 710
 Figura conjugată 692
 Forța activă 705
 - centrifugă 766
 - dată 705
 - de atracție newtoniană 730
 - — ciocnire 790
 - — frecare de alunecare 680
 - — inerție 765
 - — reacție 724
 - pozițională 709
 Forțe 671
 - centrale 707
 - complementare 704
 - concurente 681
 - exterioare 679, 734
 - fictive 304
 - generalizate 760
 - interioare 719, 734
 - paralele 692
 Funcție de forță 729, 735
 - — — generalizată 762
 - potențială 732
 - — a sistemului 735
 Galilei, principiul relativității al lui ~ 4
 Geodezică 718
 Giroscopul 755
 - echilibrat 755
 Grade de libertate 759
 Greutate specifică 694
 Hamilton, funcția caracteristică a lui ~ 637, 777
 Hodograful razei vectoare 721
 Impuls 722
 - generalizat ciclic 776
 Impulsuri generalizate 776
 Integrala eliptică completă de speța întâia 715
 - energiei 775
 - geometrică a vectorului 723
 - primă 775
 Interacțiune mecanică 671
 Invariant al reducerii, al doilea ~ 686
 - — —, primul ~ 686
 Invarianții reducerii 686
 Kelvin, formula lui ~ 792
 König, formula lui ~ 753
 Lagrange, ecuațiile lui ~ 783
 - — — ~ de speța a doua 773
 - — — ~ de speța întâia 769
 - , integralele ciclice ale ecuațiilor lui ~ 776
 - , multiplicatorii lui ~ 763
 - , parametrii independenți ai lui ~ 759
 Legături 680, 734
 - de durată 795
 - ideale 762
 - neintegrabile 758
 - nestaționare 758
 - perfecte 762
 - posibile 757
 - reonome 758
 - scleronome 758
 - staționare 758
 - virtuale 757
 Legături virtual ideale 762
 Legea conservării energiei mecanice 733, 777
 - — — a sistemului 735
 - — — totale 775
 - egalității acțiunii și reacțiunii 680
 - orară a mișcării 640
 Lejeune-Dirichlet, teorema ~ 778
 Linia nodurilor 654
 Lissajou, figuri ~ 782
 Loxodromă 642
 Lucru mecanic elementar 728
 - — total 731
 - — virtual 760, 772
 Lungimea pendulului circular 714
 - redusă a pendulului fizic 748
 Masa punctului material 703
 - sistemului 720
 Mecanica generală 638
 Meşcerski, ecuația lui ~ 724
 Metoda cinetostatică 767
 - deplasărilor virtuale 757
 Mișcarea absolută 666
 - accelerată 646

- aperiodică 784
- cardanică 663
- compusă 666, 667
- de rotație 651
- — — în jurul unui punct fix 652
- — — translație 651
- — — transport 666
- — — elicoidală 650
- — — încetinită 647
- — — plan-paralelă 656
- — — plană 656
- — — a unui rigid 656, 750
- — — relativă 666
- — — a unui punct material pe o curbă netedă mobilă dată 716
- — — uniformă 641
- — — uniform variată 647
- Mișcarea rectilinie a punctului material 708
 - rigidului liber 664
 - unui punct material greu 706
 - — — pe o curbă netedă dată 713
 - — — — suprafață netedă dată 717
- Modulul momentului cuplului 682
- Moment cinetic al unui punct material 724
 - — — — rigid 744
 - — — — sistem 726
 - — — axial 725
 - — — de inerție în raport cu un plan 736
 - — — — ecuatorială 738
 - — — răsturnare 701
 - — — stabilitate 701
 - — — giroscopic 757
 - — — rezultat minim 684
 - — — static 693
- Momente centrifugale de inerție 739, 766
 - — — cinetice axiale 725
 - — — geometrice de inerție 738
 - — — principale centrale de inerție *740
 - — — de inerție 740
- Momentul cuplului 682
 - — — forței 676
 - — — în raport cu o axă 677
- Momentul percuției 791
- Newton, legea lui ~ 793
- Oscilație 710
 - — — fundamentală 781
 - — — rectilinie 709
 - — — — armonică 644
- Oscilații amortizate 712, 782
 - — — armonice 644, 710
 - — — de torsiune 749
 - — — forțate 784
 - — — — divergente 789
 - — — fără rezistență 788
 - — — izocrone 710
 - — — mici 777
- Parametrul elicei 665
 - — — torsorului minimal 685
- Particulă materială 671
- Pasul elicei 665
- Pendul conic 719
 - — — fizic 748
 - — — matematic circular 714
 - — — sferic 718
- Percuții 790
- Perioada proprie a sistemului 780
- Plan de mișcare 656
- Pol 656
 - — — fix 657
- Poligon de susținere 701
 - — — funicular 691
 - — — închis 691
- Poligonul forțelor 681, 690
- Polul accelerațiilor 661
- Potențial 729
- Precesie regulată a giroscopului 756
- Presiunea punctului pe o suprafață 718
- Principiul deplasărilor virtuale 763
 - — — independenței acțiunii forțelor 703
 - — — vitezelor virtuale 763
- Produse de inerție 739
- Proiecția unei forțe pe o axă 673
- Punct fundamental 656
 - — — liber 704
 - — — material 671
- Punctul de aplicație al forței 671

- Raza de inerție 737
 Rayleigh, funcția disipativă a lui ~ 783
 Reacțiune dinamică 713
 — a suprafeței 717
 — normală a suprafeței 680
 Reacțiunea liniei date 676
 — suprafeței 675
 Reacțiunile legăturilor 680
 Reducerea unui sistem de forțe într-un punct dat 683
 Resal, regula lui ~ 727, 735
 Rezonanță 787
 Rezultanta forțelor 672
 Rigid 679
 — mobil, vitezele punctelor unui ~ 650
 — perfect 679

 Savary, formula lui ~ 663
 Scalarul vitezei 641
 Sistem astatic 694
 Sistem de echilibrare 679
 — — forțe concurente 681
 — — referință 638
 — — — absolut 638
 — echivalent 679
 — fundamental (absolut) 666
 — indiferent 694
 Sistem inerțial 702
 — în echilibru 679
 — mecanic 719
 — mobil 666
 — neolonom 758
 — olonom 758
 — plan de forțe 689
 — supus la legături 757
 Sisteme conservative 736
 — inerțiale de referință 702
 — mecanice 719
 Spațiu parcurs de punct 640
 Statica 671
 — analitică 757
 — punctului material 671
 Suprafață dinamic netedă 717
 — netedă 675, 680
 Suprafețe de nivel 733
 — echipotențiale 733

 Tensor de inerție 739
 Tensorul momentelor de inerție 739

 Teorema mișcării centrului de inerție 721
 — paralelogramului vitezelor 667
 Teoria geometrică a staticii rigide 679
 Torricelli, principiul lui ~ 764
 Traietoria 639
 — punctului 639
 Translația 649
 — instantanee 651
 Transport paralel al forței 683
 Triunghi de moment 676
 Torsor minimal 685

 Unghi de frecare 680
 Unghi de rotație 654
 — — precesie 654
 — — rotație 651, 657
 — — — proprie 654

 Variația impulsului 723
 Variații virtuale 757
 Varignon, polinomul lui ~ 691
 — teorema lui ~ 678
 Vectorul accelerație al centrului de inerție 721
 — — unghiulară absolută 666
 — liber 682
 — moment static al sistemului 693, 720
 — rezultat al sistemului de forțe 684
 — forță 672
 — viteză al centrului de inerție 721
 — — unghiulară 657
 Virialul 702
 Viteză absolută 667
 — areolară 707,
 — de transport 645, 667
 — pierdută 795
 — relativă 667
 — sectorială 645, 707
 — unghiulară 643, 652, 657
 — — instantanee 653
 Viteza centrului instantaneu 39
 — punctului 659
 — virtuală a punctului 757
 Viteze generalizate 769

 Zonă moartă 712

4 Rezistența materialelor

- Alungire specifică octaedrică 806
 Alungiri specifice principale 805
 Arc conic, 935
 — elicoidal 935
 Arce 929
 Arcuri, 935
- Balandin, teoria de rezistență a lui ~ 811
- Bare articulare 845
 — compuse 927
 — curbe 905
 — de secțiune variabilă *925
 — pe reazeme elastice 927
- Cadre plane simple 901
 — simple 904
- Calculul grinzilor solicitate la încovoiere 908
 — după capacitatea portantă 921
 — — stadiul la rupere 821
 — la starea limită 842
- Capacitatea portantă 837
- Caracteristici geometrice ale secțiunii 837, 861
 — mecanice ale unor materiale *817
 — la temperaturi ridicate *819
- Compresiune excentrică 931
- Compresiunea barelor, 815
- Concentrarea tensiunilor 811
- Condițiile de pierdere a stabilității, *923
- Coordonate sectoriale 857, 862
- Curba caracteristică de întindere 816
- Curbura barei 860
- Coefficient de concentrare 811
 — — neuniformitate, 837
 — — plenitudine al diagramei 818
 — — sensibilitate a materialului 812
 — — siguranță 809, 819
 — dinamic 821, 940
- Coefficienți de siguranță pentru elementele de beton armat la calculul după stadiul la rupere, 836
 — — supraîncărcare *837
 — pentru calculul lui T și M în grinzi continue *894
 — speciali de condiții de lucru 837
- Coefficienții condițiilor de lucru *837
 — de siguranță ai zidărilor la calculul după stadiul la rupere *836
 — dinamici *939
 — α , β și γ pentru dreptunghi 856
- Deformația elastică 816
 — izotropă 806
 — maximă 809
 — remanentă 816
 — volumică specifică 805
- Deformații 802, 805
 — pe direcții înclinate 843
- Deplasarea efectivă a construcției 838
- Deschiderea firului în funcție de raportul l/f și tensiunea σ *840
- Diagrama sarcinii fictive 882
 — T și M *875, 890
- Ecuatia generală a săgeților 898
- Ecuatii generale pentru bare drepte 874
- Efectul temperaturii 842
- Efort de calcul 837
 — unitar echivalent 809
- Eforturi în inele *908
- Energia de deformații 850
 — — schimbare a formei 810
 — potențială de deformație 860
- Engesser Iasinski, formula lui ~ 920
- Euler, expresiile ~ pentru flambaj 919
- Factor de scară 820
- Fir flexibil 840
- Forfecare 849
- Formule fundamentale 815

- Forțe interioare în bare 814
 — — — plăci 814
 Funcții hiperbolo-circulare *898
 Grad de nedeterminare 901
 Greutate proprie 839
 Grinzi cu zăbrele 845
 — — — cu tălpi paralele 845
 — de egală rezistență la încovoiere *884
 — — secțiune variabilă 881
 — lungi 895
 — pe teren elastic 894
 — static nedeterminate 886
 Hooke, legea lui ~ 806, 808, 849, 853, 860
 — — — ~ generalizată, 808
 Inele 350, 929
 Intensitatea deformației 806
 — tensiunii 804
 Invarianții tensorului 805
 Îmbinări în lemn 852
 — prin nituire 850
 — — sudură 851
 Încovoiere 859
 — oblică 931
 Întinderea barelor 815
 Înelitori 930
 — subțiri de rotație 843
 Juravski, formula lui ~ a tensiunii tangențiale 859, 913
 Lamé, constantele lui ~ 808
 — modulul lui ~ 800
 Laplace, ecuația lui ~ 843
 Legea de variație a formei 809
 — — — volumului 808
 — elasticității volumului 808
 Lucru mecanic elastic pe unitatea de greutate *818
 — — elementar 818
 Limita de curgere 809, 816
 — — proporționalitate 816
 Lunecare octaedrică 806
 Lunecări maxime 806
 Maxwell-Cremona, epura ~ 848
 Metoda de calcul fără rezolvarea ecuațiilor canonice 888
 — deformațiilor 902
 — deplasărilor 888
 — ecuației generale 814
 — la rupere 841
 — parametrilor inițiali 886
 — rezistențelor admisibile 844
 — secțiunilor 814
 Mirohiubov, I.N., Teoria de rezistență a lui ~ 810
 Modul de elasticitate 806, 816
 — — — cubic 808
 — — — dat de tangentă 816
 — — — transversal 849
 — secant 816
 Module de rezistență *854
 — — — axiale *864
 Modulele E și G *807
 — E 1 și T *920
 Mohr, cercul lui ~ 860
 —, integrala lui ~ 901
 —, teoria de rezistență a lui ~ 810
 Moment static sectorial 862
 Momente de inerție axiale *864
 — — — fictive *854
 — — — sectoriale 862
 — statice liniare-sectoriale 862
 Oscilațiile sistemelor cu diferite grade de libertate 938
 Oțel cornier cu aripi egale *868
 — — — neegale *870
 — I *872
 — U *873
 Plăci 912, 930
 — circulare 916
 — dreptunghiulare 912
 — eliptice 916
 Presiuni admisibile pentru terenul de fundație
 — bolovănișuri, pietrișuri *834
 — — — — — pământuri argiloase *835
 — — — — — ; pământuri nisipoase *834
 — — — — — ; roci mar-noase, argiloase și nisipoase consolidate *833
 — — — — — roci stin-coase *833

- Poisson, coeficientul lui ~ 801,
806, *807, 815
Prima stare limită 912
Probleme static nedeterminate 841
- Radiatii radioactive 818**
Rapoarte focare 905
Răsucire 852
— cu încovoiere 934
— împiedicată 856
— pură 856
- Rezistența materialelor. Notatii 799
Rezistență admisibilă la întindere 815
— la oboseală 811, 812
— limită 837
- Rezistențe admisibile, 809, 819
Rezistențe admisibile în construcții *824, *825
— — — de lemn *826
— — pentru beton la poduri de beton armat *833
— — — îmbinarea pieselor de oțel *825
— — — terenul de fundație *833
— de calcul *838
— — — ale betoanelor *830
— — rupere a zidărilor *831
— — la oboseală 812
- Ritter, punctele lui ~ 847
- Sarcini variabile 812
Săgețile maxime ale elementelor supuse la încovoiere *838
Shanley 920
Simbure central 932
Solicitări compuse 931
— dinamice 938
— prin șoc 934
Stabilitate elastică 919
- Starea de rupere 856
— — tensiune 802
Stările limită ale construcției 837
Suprafață de rupere 851
Suprafețe octaedrice 803
- Tensiunea deformăției de volum 803**
— tangențială maximă 803, 810
— octaedrică 803
- Tensiuni 802**
— normale maxime 809
— pe direcții înclinate 843
— principale 860
— tangențiale 810, 852, 859
- Tensiunile tangențiale maxime 810**
Tensor 802
Tensorul de volum 804, 806
— deformațiilor 805
— deviator 804
— sferic 806
— tensiunii 804
- Tensorii directori ai tensiunilor 809**
Teorii combinate (generalizate) de rezistență 810
— de rezistență 809
— generalizate (combinat) în rezistență 810
- Tetmayer-Iasinski, formulele ~ 921**
- Unghi de rotire al secțiunilor 860**
- Valorile coeficientului de flambaj *922**
— funcțiilor η *896
— W_p și coeficientul η 909
- Vase cu pereți groși 936**
— sferice cu pereți groși 937
- Vereșciaghin, metoda lui ~ 901**
- Young, modulul lui ~ 799**

5 *Teoria mecanismelor și mașinilor*

- Acoperire auxiliară 999
Agregat de mașină 1007
Angrenaj cu șurub melc și roată melcată 1001, 1036
- Angrenare dințată conică 999, 1035
— exterioară 989
— în evolută 986

- Arc de angrenare 986
 Arhimede, suprafață elicoidală
 ~ 1001
 Assur, formarea mecanismelor plane, după ~ 957
 — metoda suprapunerii a lui ~ 958
 Autofrinare 1005
 Batiu 958
 Brațul frecării de rostogolire 1006
 Cablu flexibil, frecarea ~ pe un cilindru fix 1026
 Cama 974
 Capul dintelui 990
 Caracteristica de încărcare 1010
 — — viteze, 1010
 — — mecanică a motorului 1003
 — — — electromotorului 1003
 Centru instantaneu de rotație 969
 — — în mișcarea relativă a elementelor 985
 Cerc de bază 986
 — — divizare 986
 — — rulare 985
 Cercuri primitive 970, 1000
 Coeficient convențional de frecare 1022
 — de deplasare 990
 — — frecare 1004
 — — — lichidă 1005
 — — înălțime 990
 — — pierderi 1010
 Con de frecare 1004
 Condiția de montaj 1053
 — — vecinătate 1053
 Conducător 958
 Contragreutate 1045
 Conuri complementare 1001
 Coriolis, accelerație ~ 947
 Cupla de rotație 954, 1022
 — — translație 954, 1020
 — — inferioară 954
 — — superioară 954
 — șurub 1026
 Cuple cinematice 954, 1020
 Curbe primitive 969
 Deplasare absolută 990
 Derivata versorului 962
 Dinți 986
 Dreaptă de modul 990
 — generatoare 986
 Echilibrare dinamică 1045
 — statică 1045
 Echilibrarea mecanismelor 1044
 — mecanismului pe fundație 1047
 Ecuația diferențială de mișcare 1009
 — vectorială de închidere 958
 Ecuații de închidere 956
 Engler, viscozitatea după ~ 947, 1024
 Evolventa unui cerc 986
 Evoltentă elicoidală 1001
 Forță de echilibrare 1008
 — — frecare la rostogolire 1006
 — — rezistență utilă (productivă) 1002
 Forță redusă 1008
 Forțe de inerție 1006
 — — rezistență productivă (utilă) 1002
 — motoare 1002
 Frecare 1004
 — curată 1004
 — lichidă 1004
 — limită 1004
 — semilichidă 1004
 — semiuscată 1004
 — uscată 1004
 Frecarea de alunecare 1004
 — — pivot 1004
 — — rostogolire 1004
 Freza 994
 Fusul, funcționarea ~ 1023
 Grad de acoperire 986
 — — insensibilitate 1019
 — — neregularitate al funcționării 1019
 Grosimea stratului de ulei *1024
 Grupă cu două antrenoare 958
 Grupe assurice 960
 Interferență (subțiere) 989
 Involuta unghiului 987
 Insensibilitate 1019

- Jukovski, teorema lui ~** 1008
Lanț cinematic 954, 955
Legea fundamentală a angrenării 970
Linie de angrenare 986
Masa redusă 1009
Mărimi standardizate ale modulelor 986
Mecanism 954
 — coaxial 971
 — conducător 958
 — — cu roți în contact 970
 — diferențial 971
 — închis 973
 — executant 1003
 — monoaxial 971
 — plan cu camă 974
 — planetar 971
 — reductor 971
Mecanisme cu camă 1042, 1060
 — bielă-manivelă 980
 — — — cu trei elemente 974
 — — cruce de Malta 974, 978, 1059
 — — cuple inferioare 1066
 — — roți de fricțiune 1027, *1028, 1051
 — — — dințate 1028, 1051
 — — — — cu mai multe trepte 971
 — de Malta 978
 — obișnuite cu roți cu fricțiune și dințate 969
 — plane cu cuple inferioare 1037
 — — Proprietăți 957
 —, proiectarea ~ 1050
 — spațiale 978
Mecanismul manivelă-balansier 983
Melc 1001
Metoda analitică 962
 — derivării grafice 975
 — interpolării multiple 1069
 — inversării mișcării 975
 — locului geometric 962
 — suprapunerii 958
Metoda șabloanelor 962
Metoda vectorială 976
Mișcare nestaționară 1009
 — staționară 1009
Modul 986
 — aparent 997
 — axial 997
 — normal 997
Moment de echilibrare 1008
Motor 1002
Notații 947
Novikov, angrenarea dințată a lui ~ 998
Parametri de bază 986
 — — poziție 954
Pas 986
 — aparent 997
 — axial 997
 — circular 986
 — frontal 997
 — normal 997
Piciorul dintelui 990
Pol de angrenare 985
Profil conjugat 985
 — practic al camei 974
 — teoretic al camei 974
Punct de reducere 1008
Puncte conjugate 985
Raport de transmisie 970
Randamentul agregatului 1010
Reducerea forțelor 1007
 — maselor 1007
Reproducerea unei traiectorii date 1072
Regulator 1018
 — cu acțiune directă 1018
 — cu acțiune indirectă 1018
Relația între mărimile Z , K , $\frac{t_m}{T}$ și $\frac{t_r}{T}$ *1060
Roată melcată 1001
 — — conducătoare 1036
Roți cu fricțiune 969
 — dințate 986
 — — cu dinți oblici 1034

- Satelit 972
 Scara graficului vitezelor 970
 Servomotor 1018
 Sisteme de unități nemetrice *1077
 Sistemul american de unități *1079
 — englez de unități 1077
 Structura mecanismelor 954
 Subțiere 989
 Suprafață de autofrinare 1005
 — divizoare 1002

 Șaibe în trepte 1059
 Șurub melc conducător motor 1036

 Tabele pentru transformarea unităților engleze în unități metrice și invers *1080
 Tachet 974
 — oscilant 974
 Teoria angrenării roților dințate 985

 Teoria mecanismelor și a mașinilor 947
 Transmisii cu curele 1057
 Treaptă a mecanismului 971

 Toli întregi *1081

 Uleiuri industriale *1025
 Unghi de angrenare 989, 993, 996
 — — frecare 1004
 — — presiune 1061
 Unități pentru capacitate (engleze) *1078
 — — lungime (engleze) *1077
 — — masă (greutate) (engleze) 1079
 — — suprafață (engleze) *1077
 — — volume *1077

 Valorile coeficienților de frecare la transmisiile cu roți de fricțiune 1028
 — lui θ = involuta α *988
 Viscositate absolută 1005

Redactor responsabil : TEODORESCU CLOTILDA
 și Ing. MARCOVICI AVRAM
 Tehnoredactor : GERU ELENA
 și MORĂRESCU VALERIU

Dat la cules 25.07.1964. Bun de tipar 15.12.1964. Apărut 1964. Tiraj 50.000+200+20. Legate. Hîrtie velină de 63 g/m², 540×840/16. Coli editoriale 70,20. Coli de tipar 69,50. A. 11.020/1964. C.Z. pentru bibliotecile mari 5+62/69(083). C.Z. pentru bibliotecile mici 5+62/69.

Tiparul executat sub comanda nr. 40.572 la Combinatul Poligrafic „Casa Științei, Piața Științei nr. 1, București — R.P.R.